



This is a digital copy of a book that was preserved for generations on library shelves before it was carefully scanned by Google as part of a project to make the world's books discoverable online.

It has survived long enough for the copyright to expire and the book to enter the public domain. A public domain book is one that was never subject to copyright or whose legal copyright term has expired. Whether a book is in the public domain may vary country to country. Public domain books are our gateways to the past, representing a wealth of history, culture and knowledge that's often difficult to discover.

Marks, notations and other marginalia present in the original volume will appear in this file - a reminder of this book's long journey from the publisher to a library and finally to you.

Usage guidelines

Google is proud to partner with libraries to digitize public domain materials and make them widely accessible. Public domain books belong to the public and we are merely their custodians. Nevertheless, this work is expensive, so in order to keep providing this resource, we have taken steps to prevent abuse by commercial parties, including placing technical restrictions on automated querying.

We also ask that you:

- + *Make non-commercial use of the files* We designed Google Book Search for use by individuals, and we request that you use these files for personal, non-commercial purposes.
- + *Refrain from automated querying* Do not send automated queries of any sort to Google's system: If you are conducting research on machine translation, optical character recognition or other areas where access to a large amount of text is helpful, please contact us. We encourage the use of public domain materials for these purposes and may be able to help.
- + *Maintain attribution* The Google "watermark" you see on each file is essential for informing people about this project and helping them find additional materials through Google Book Search. Please do not remove it.
- + *Keep it legal* Whatever your use, remember that you are responsible for ensuring that what you are doing is legal. Do not assume that just because we believe a book is in the public domain for users in the United States, that the work is also in the public domain for users in other countries. Whether a book is still in copyright varies from country to country, and we can't offer guidance on whether any specific use of any specific book is allowed. Please do not assume that a book's appearance in Google Book Search means it can be used in any manner anywhere in the world. Copyright infringement liability can be quite severe.

About Google Book Search

Google's mission is to organize the world's information and to make it universally accessible and useful. Google Book Search helps readers discover the world's books while helping authors and publishers reach new audiences. You can search through the full text of this book on the web at <http://books.google.com/>



Über dieses Buch

Dies ist ein digitales Exemplar eines Buches, das seit Generationen in den Regalen der Bibliotheken aufbewahrt wurde, bevor es von Google im Rahmen eines Projekts, mit dem die Bücher dieser Welt online verfügbar gemacht werden sollen, sorgfältig gescannt wurde.

Das Buch hat das Urheberrecht überdauert und kann nun öffentlich zugänglich gemacht werden. Ein öffentlich zugängliches Buch ist ein Buch, das niemals Urheberrechten unterlag oder bei dem die Schutzfrist des Urheberrechts abgelaufen ist. Ob ein Buch öffentlich zugänglich ist, kann von Land zu Land unterschiedlich sein. Öffentlich zugängliche Bücher sind unser Tor zur Vergangenheit und stellen ein geschichtliches, kulturelles und wissenschaftliches Vermögen dar, das häufig nur schwierig zu entdecken ist.

Gebrauchsspuren, Anmerkungen und andere Randbemerkungen, die im Originalband enthalten sind, finden sich auch in dieser Datei – eine Erinnerung an die lange Reise, die das Buch vom Verleger zu einer Bibliothek und weiter zu Ihnen hinter sich gebracht hat.

Nutzungsrichtlinien

Google ist stolz, mit Bibliotheken in partnerschaftlicher Zusammenarbeit öffentlich zugängliches Material zu digitalisieren und einer breiten Masse zugänglich zu machen. Öffentlich zugängliche Bücher gehören der Öffentlichkeit, und wir sind nur ihre Hüter. Nichtsdestotrotz ist diese Arbeit kostspielig. Um diese Ressource weiterhin zur Verfügung stellen zu können, haben wir Schritte unternommen, um den Missbrauch durch kommerzielle Parteien zu verhindern. Dazu gehören technische Einschränkungen für automatisierte Abfragen.

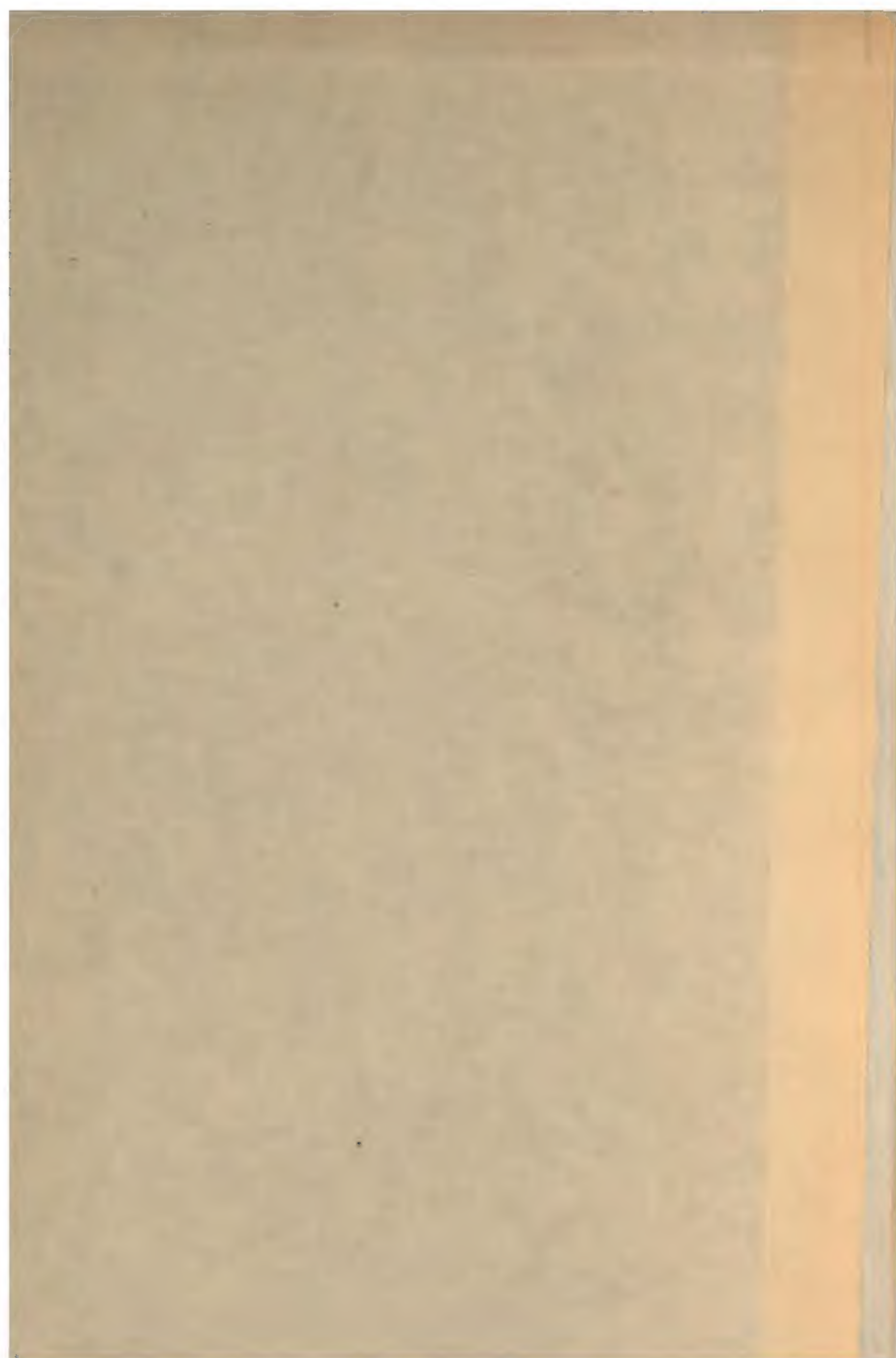
Wir bitten Sie um Einhaltung folgender Richtlinien:

- + *Nutzung der Dateien zu nichtkommerziellen Zwecken* Wir haben Google Buchsuche für Endanwender konzipiert und möchten, dass Sie diese Dateien nur für persönliche, nichtkommerzielle Zwecke verwenden.
- + *Keine automatisierten Abfragen* Senden Sie keine automatisierten Abfragen irgendwelcher Art an das Google-System. Wenn Sie Recherchen über maschinelle Übersetzung, optische Zeichenerkennung oder andere Bereiche durchführen, in denen der Zugang zu Text in großen Mengen nützlich ist, wenden Sie sich bitte an uns. Wir fördern die Nutzung des öffentlich zugänglichen Materials für diese Zwecke und können Ihnen unter Umständen helfen.
- + *Beibehaltung von Google-Markenelementen* Das "Wasserzeichen" von Google, das Sie in jeder Datei finden, ist wichtig zur Information über dieses Projekt und hilft den Anwendern weiteres Material über Google Buchsuche zu finden. Bitte entfernen Sie das Wasserzeichen nicht.
- + *Bewegen Sie sich innerhalb der Legalität* Unabhängig von Ihrem Verwendungszweck müssen Sie sich Ihrer Verantwortung bewusst sein, sicherzustellen, dass Ihre Nutzung legal ist. Gehen Sie nicht davon aus, dass ein Buch, das nach unserem Dafürhalten für Nutzer in den USA öffentlich zugänglich ist, auch für Nutzer in anderen Ländern öffentlich zugänglich ist. Ob ein Buch noch dem Urheberrecht unterliegt, ist von Land zu Land verschieden. Wir können keine Beratung leisten, ob eine bestimmte Nutzung eines bestimmten Buches gesetzlich zulässig ist. Gehen Sie nicht davon aus, dass das Erscheinen eines Buchs in Google Buchsuche bedeutet, dass es in jeder Form und überall auf der Welt verwendet werden kann. Eine Urheberrechtsverletzung kann schwerwiegende Folgen haben.

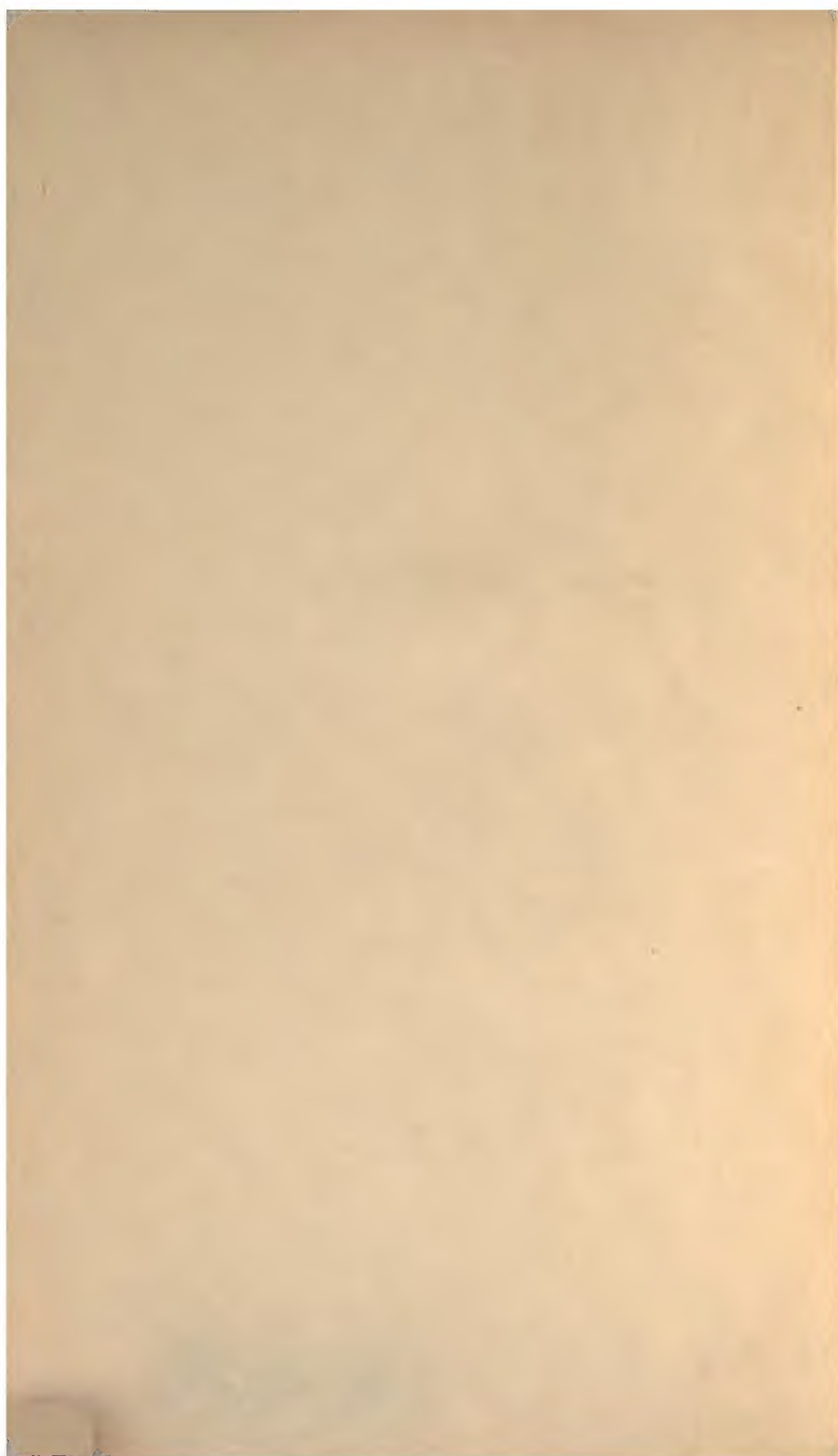
Über Google Buchsuche

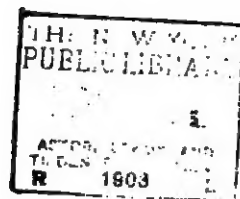
Das Ziel von Google besteht darin, die weltweiten Informationen zu organisieren und allgemein nutzbar und zugänglich zu machen. Google Buchsuche hilft Lesern dabei, die Bücher dieser Welt zu entdecken, und unterstützt Autoren und Verleger dabei, neue Zielgruppen zu erreichen. Den gesamten Buchtext können Sie im Internet unter <http://books.google.com> durchsuchen.

3 3433 06906649 0



PKA
Jahresbericht





Jahresbericht
über die Fortschritte der
C H E M I E

B e r i c h t

über die

**Fortschritte der Chemie und verwandter Theile
anderer Wissenschaften**

Für 1894

Braunschweig
Druck und Verlag von Friedrich Vieweg und Sohn
1902

Jahresbericht
über die Fortschritte der
C H E M I E
und verwandter Theile anderer Wissenschaften

Begründet von

J. Liebig und H. Kopp

unter

Mitwirkung namhafter Fachgenossen

herausgegeben von

G. Bodländer, W. Kerp

und

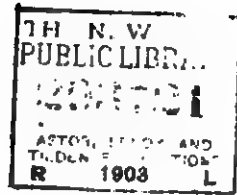
G. Minunni

Für 1894

Erster Theil

**Physikalische und anorganische Chemie ausschliesslich der anorganischen
Analyse**

Braunschweig
Druck und Verlag von Friedrich Vieweg und Sohn
1902



Alle Rechte, namentlich dasjenige der Uebersetzung in fremde Sprach
vorbehalten

ABT.

Inhaltsverzeichnis des ersten Theiles.

Allgemeine und physikalische Chemie.

Atomtheorie und Anordnung der Elemente.

Allgemeines:	Seite
Unterscheidung der Gemenge von Verbindungen; Einheit des Planes in den Gesetzen, die die chemische und physikalische Einheit der anorganischen Materie im festen Zustande beherrschen; Bericht der Commission über Bestimmungen der Atomgewichte, die während 1893 veröffentlicht wurden	1
Wahrscheinlichster Werth der aus den von Stas durchgeführten Untersuchungen sich ableitenden Atomgewichte	2
Genaue Atomgewichte, bezogen auf Silber als Einheit; graphochemisches Rechnen, ein neues Element aus dem rothen französischen Bauxit	3
Die Grundlagen eines neuen Systems der Elemente	4
Atomvolumen; die Oxyde der Elemente und das periodische System; Verhalten der bestandigen Oxyde bei hohen Temperaturen; Beständigkeit der Oxyde in Beziehung zum periodischen System . .	5
Magnesium im periodischen System der Elemente; Allotropie und Isomerie	6
Lagerung der Atome im Raume; chemische Eintheilungen und Symbole im Alterthum und Mittelalter	7
Jahrbuch der Chemie	8
Bearbeitung von Roscoe-Schorlemmer's Lehrbuch der Chemie von Classen	9
Stoichiometrie der Gase und Flüssigkeiten.	
Bestimmung der absoluten Temperatur	10
Beweis des Maxwell'schen Geschwindigkeitsvertheilungsgesetzes unter Gasmolekülen; Thermodynamik der Gase. Vergleich der Annäherungen an die Gesetze von Joule, Mariotte und Gay-Lussac; das Joule'sche und das Mariotte'sche Gesetz in realen Gasen .	11
Experimente über die Beziehungen zwischen Druck, Volumen und Temperatur bei verdünnten Gasen	12
Ueber den inneren Druck in Gasen; über die Function α in der Zustandsgleichung von van der Waals	13
Vergleichung der von Amagat beobachteten und der nach der van der Waals'schen Formel berechneten Isothermen	14
Diffusion von Gasen; Durchgang von Wasserstoff durch eine Scheidewand aus Palladium und der Druck, den er erzeugt	15

	Seite
Zur Dampfdichtebestimmung und über ein Verfahren, ohne Luft- oder Wasserpumpe zu evacuiren; actinische Wärmetheorie und chemische Aequivalenz	16
Directe experimentelle Bestimmung der specifischen Wärme des gesättigten Dampfes und der inneren Verdampfungswärmen	17
Die specifischen Wärmen von Gasen bei constantem Volumen. II. Theil. Kohlendioxyd	18
Bestimmung des Einflusses des Druckes auf die specifische Wärme, unterhalb und oberhalb der kritischen Temperatur	19
Experimenteller Beweis für den rein zufälligen Charakter des kritischen Zustandes	20
Bestimmung der Volumina von Flüssigkeit und Gas oberhalb der kritischen Temperatur; flüssiger und gasförmiger Zustand	21
Neue Methode, die kritischen Temperaturen zu bestimmen, mittelst des kritischen Brechungsindex; Verhalten der Kohlensäure bei der kritischen Temperatur	22
Kritischer Zustand; Gesetz der correspondirenden Zustände und die Methoden für die Messung der kritischen Elemente	23
Bemerkung über van der Waals' Verallgemeinerungen, die correspondirenden Temperaturen, Drucke und Volumina betreffend	24
Näherungsgesetz über die Aenderung des Druckes gesättigter Dämpfe	25
Einfluß der relativen Volumina von Flüssigkeit und Dampf auf den Dampfdruck der Flüssigkeit bei constanter Temperatur; Dampfspannungsmessungen	26
Prioritätsreclamation betr. das Gesetz der correspond. Siedetemperaturen Gesetz der correspondirenden Siedetemperaturen; zur Prüfung von Herrn Dühring's Gesetz der correspondirenden Siedetemperaturen	27
Zur Wahrung der Allgemeingültigkeit des Gesetzes der correspondirenden Siedetemperatur	29
Trennung von drei Flüssigkeiten durch fractionirte Destillation; Methode der fractionirten Destillation, an der Untersuchung des raffinierten Petroleums erläutert	30
Die Siedepunkte homologer Verbindungen	31
Regelmässigkeiten von Siede- und Schmelzpunkten	32
Anwendung der Trouton'schen Regel auf die gesättigten Alkohole der Fettreihe; molekulare Polymerisation der Flüssigkeiten	33
Polymerisation von Flüssigkeiten	34
Die kritische Dichte; die Formel von van der Waals; Bestimmung des Molekulargewichtes von Flüssigkeiten	35
Aenderung der Oberflächenspannung mit der Temperatur; Complexität und Dissociation von Flüssigkeitsmolekeln	36
Molekularformeln einiger Flüssigkeiten nach ihrer Oberflächenspannung berechnet	37
Die Molekularformeln einiger Flüssigkeiten aus ihrer molekularen Oberflächenenergie bestimmt	38
Die molekulare Oberflächenenergie der Ester und ihre Aenderung mit der chemischen Constitution; die molekulare Oberflächenenergie von Mischungen sich nicht associirender Flüssigkeiten	39

	Seite
Die Oberflächenspannung gemischter Flüssigkeiten	40
Beziehung zwischen der inneren Reibung von Flüssigkeiten und ihrer chemischen Natur; die innere Reibung in Oelen und deren Aenderung mit der Temperatur	41
Die dispersionsfreie Molekularrefraction einiger organischer Verbindungen	42
Mischbarkeit von Flüssigkeiten; Temperatur des Dichtemaximums beim Wasser	43
Ueber die Temperatur des Dichtemaximums und den Gefrierpunkt von Rohrzuckerlösungen	44

Lösungen:

Entstehung der Theorie der Lösungen, über die mit der Vermischung concentrirter Lösungen verbundene Aenderung der freien Energie	45
Beziehung zwischen der Oberflächenspannung und dem osmotischen Druck von Lösungen; Oberflächenspannung der Salzlösungen . . .	46
Die Natur des osmotischen Druckes; Molekulargewichtsbestimmung von in Wasser löslichen Substanzen mittelst der rothen Blutkörperchen; Dampfspannung und Feuchtigkeitsgehalt	47
Dampfdrucke wässriger Lösungen bei 0° C.	48
Dampfdrucke wässriger Lösungen	49
Proportionalität zwischen Gefrierpunktniedrigung und osmotischem Druck; Beziehung von Gefrierpunktd Depression und osmotischem Druck von Lösungen, osmotischer Druck von Lösungen von endlicher Concentration	50
Beziehung zwischen den Maximaldampfspannungen von Wasser, Eis und einer Salzlösung beim Erstarrungspunkt dieser Lösung; über die genauen Formeln für den osmotischen Druck, für die Aenderungen der Löslichkeit, für Gefrierpunkts- und Siedepunktänderungen, und für die Lösungs- und Verdünnungswärmen bei in Lösungen dissociirten Körpern	51
Loslichkeitsverminderung, über eine auf Titration gegründete Methode der Molekulargewichtsbestimmung an gelösten Substanzen; einige Modificationen von Beckmann's Siedeapparaten	52
Vorrichtung zur Verhütung des Siedeverzuges; Bestimmung von Molekulargrößen, I. Zur Praxis der Siedepunktmethode, Siedepunktverdünnter Lösungen von Wasser in Alkohol und Aether	53
Die Dichten gesättigter Dämpfe und ihre Beziehungen zu den Gesetzen der Erstarrung und Verdampfung der Lösungsmittel, Bestimmung des Gefrierpunktes von verdünnten Lösungen einiger Säuren, Alkalien, Salze und organischen Verbindungen	54
Bestimmung der Gefrierpunktniedrigung	55
Neuere Gefrierpunktsbestimmungen; die Resultate der Messungen der Gefrierpunkte verdünnter Lösungen	56
Exacte Bestimmungen von Gefrierpunktniedrigungen	57
Erniedrigung des Gefrierpunktes des Lösungsmittels durch Elektrolyte; der experimentelle Beweis der van 't Hoff'schen Constante, des Arrhenius'schen Satzes und des Ostwald'schen Verdünnungsgesetzes in sehr verdünnten Lösungen	58

	Seite
Bestimmung des Gefrierpunktes des Wassers	59
Bestimmung der Gefrierpunkte von sehr verdünnten Lösungen	60
Bestimmung der Gefrierpunktserniedrigung von Lösungen	61
Gefrierpunkte concentrirter Lösungen	62
Erstarrungspunkt verschiedener Mischungen von Alkohol und Wasser	63
Verdünnungswärmen concentrirter Chlorcalciumlösungen	64
Dichten von Chlorcalciumlösungen. Knicke der Hydrattheorie; Depression einiger Körper in Alkohol-Wasser-Gemischen	65
Maximale Gefrierpunktserniedrigung in Gemischen zweier Flüssigkeiten	66
Gefrierpunkte von Legirungen, in denen Thallium Lösungsmittel ist; Erstarrungspunkt von dreifachen Legirungen	67
Specifische Wärmen einiger Lösungen von organischen Körpern	68
Wärmeausdehnung und Compressibilität von Lösungen	69
Correspondirende Lösungen; Einfluss des Druckes auf die Eigenschaften von Lösungen	70
Wärmeausdehnung einiger Lösungen in Alkohol, Aether, Benzol und Schwefelkohlenstoff; Dichtigkeit verdünnter, wässriger Lösungen; atomares und molekulares Lösungsvolumen	71
Beziehung zwischen der Dichte einer Salzlösung und dem Molekulargewicht des gelösten Salzes; Volumenänderungen beim Mischen zweier Flüssigkeiten im Vergleiche mit dem kryoskopischen Verhalten	72
Volumenänderungen bei der Neutralisation starker Säuren und Basen	73
Diffusion von Gasen in Wasser; Diffusionsfähigkeit einiger Elektrolyte in Alkohol; zur Lehre von der Constitution der Lösungen; innere Reibung der Lösungen	74
Elasticität von Gelatinelösungen; Lösungen und Pseudolösungen	75
Stoichiometrie fester Körper:	
Vergleich von Metallen mit ihren Oxyden, Sulfiden, Hydroxyden und Halogenverbindungen bezüglich der Krystallform	76
Zusammenhang zwischen chemischer und krystallographischer Einfachheit	77
Chemische und krystallographische Einfachheit	78
Ueber Krystalltypen bei Metallen, ihren Oxyden, Sulfiden, Hydroxyden und Halogenverbindungen. historische Notiz; mikroskopische Metallographie	79
Thalliumsilbernitrat als schwere Schmelze zu Mineraltrennungen	80
Volumentheorie der krystallharten Körper	81
Molekulargewicht und Dichte der Körper im festen und flüssigen Zustande; die specifischen Gewichte einiger Edelsteine	82
Bestimmung der Volumenänderung beim Schmelzen für eine Anzahl von Elementen	84
Schmelzpunktbestimmungen bei Glühhitze	85
Hochliegende Schmelzpunkte	86
Verflüchtigung von Salzen während der Verdampfung; Vorkommen gewisser für den Flüssigkeits- oder Gaszustand charakteristischer Eigenschaften bei festen Metallen	87
Zähigkeit fester Körper	88

	Seite
Adhäsion von Aluminium und einigen anderen Metallen an Glas; chemische Bindung des sogen. Krystallwassers in den Mineralien .	89
Physikalische Eigenschaften der wasserfreien und wasserhaltigen Ver- bindungen	90
Bindung des Wassers in anorganischen Salzen; Constitution hydrati- serter Verbindungen, Bestimmung kleiner Dissociationsspannungen, speziell krystallwasserhaltiger Salze	91
Dissociation der Salzhydrate und ähnlicher Verbindungen	92
Wasserhaltige Metallchloride; das Hydrogel und das krystallinische Hydrat des Kupferoxyds	93
Hydrogele	94
Temperaturveränderungen durch Berührung von Flüssigkeiten mit ge- pulverter Kieselsäure	95
Zersetzung von Flüssigkeiten in Berührung mit Kieselsäure	96, 97
Adsorption; Natur der Kräfte, welche bei der Färberei in Frage kommen	98
Theorie des Färbens; substantive Farbstoffe und substantives Färben	99
Theorie des Farbprocesses	100, 101
Einfluß der Structur der Gespinnstfasern auf die Aufnahme von Farb- stoffen	102
Theorie des Farbprocesses	103
Jodometrische Versuche und Beitrag zur Kenntniß der Jodstärke . .	104
Ueber die blaue Jodstärke u. die molekulare Structur der gelösten Stärke	105
Molekulargewichtsbestimmung an festen Lösungen; Gleichgewicht zwischen Wasser, Kautschuk und Aether	106
Sedimentation und Farbstoffabsorption; elektrische Convection, Sedi- mentation und Diffusion	107
Künstliche Färbung von Krystallen und amorphen Körpern	108
Zur Kenntniß des Isomorphismus	109
Chemische Verbindungen isomorpher Körper	110
Isomorphie von Nitraten, Chloraten, Bromaten (Jodaten) zweiwertiger Elemente; Zusammenhang zwischen den krystallographischen Eigenschaften von isomorphen Salzen und dem Atomgewicht der darin enthaltenen Metalle; eine vergleichende Untersuchung der normalen Sulfate von Kalium, Rubidium und Cäsium	111
Eigenschaften isomorpher Körper	112
Einfluß der chemischen Constitution anorganischer Stoffe auf ihre Fähigkeit, feste Lösungen zu bilden	113
Kryoskopisches Verhalten von Substanzen mit einer dem Lösungsmittel gleichen Constitution	114
p-Xylol als Lösungsmittel bei kryoskopischen Untersuchungen; Ge- rierpunkte isomorpher Mischungen	115
Schmelzpunkte isomorpher Salzgemische	116
Schmelzpunkte von isomorphen Gemischen gewisser Doppelcarbonate; das allgemeine Gesetz der Löslichkeit normaler Körper	117
Gegenseitige Löslichkeit der Salze	118
Schmelzpunkte von Salzmischungen	119
Schmelzpunkt von Gemischen isomorpher Salze: Löslichkeit der Misch- krystalle einiger isomorpher Salzpaare	120

	Seite
Bestimmung des Gefrierpunktes des Wassers	59
Bestimmung der Gefrierpunkte von sehr verdünnten Lösungen	60
Bestimmung der Gefrierpunktserniedrigung von Lösungen	61
Gefrierpunkte concentrirter Lösungen	62
Erstarrungspunkt verschiedener Mischungen von Alkohol und Wasser	63
Verdünnungswärmen concentrirter Chlorcalciumlösungen	64
Dichten von Chlorcalciumlösungen, Knicke der Hydrattheorie; Depression einiger Körper in Alkohol-Wasser-Gemischen	65
Maximale Gefrierpunktserniedrigung in Gemischen zweier Flüssigkeiten	66
Gefrierpunkte von Legirungen, in denen Thallium Lösungsmittel ist; Erstarrungspunkt von dreifachen Legirungen	67
Specifische Wärmen einiger Lösungen von organischen Körpern	68
Wärmeausdehnung und Compressibilität von Lösungen	69
Correspondirende Lösungen; Einfluss des Druckes auf die Eigenschaften von Lösungen	70
Wärmeausdehnung einiger Lösungen in Alkohol, Aether, Benzol und Schwefelkohlenstoff; Dichtigkeit verdünnter, wässriger Lösungen; atomares und molekulares Lösungsvolumen	71
Beziehung zwischen der Dichte einer Salzlösung und dem Molekulargewicht des gelösten Salzes; Volumenänderungen beim Mischen zweier Flüssigkeiten im Vergleiche mit dem kryoskopischen Verhalten	72
Volumenänderungen bei der Neutralisation starker Säuren und Basen	73
Diffusion von Gasen in Wasser; Diffusionsfähigkeit einiger Elektrolyte in Alkohol; zur Lehre von der Constitution der Lösungen, innere Reibung der Lösungen	74
Elasticität von Gelatinelösungen; Lösungen und Pseudolösungen	75
Stoichiometrie fester Körper:	
Vergleich von Metallen mit ihren Oxyden, Sulfiden, Hydroxyden und Halogenverbindungen bezüglich der Krystallform	76
Zusammenhang zwischen chemischer und krystallographischer Einfachheit	77
Chemische und krystallographische Einfachheit	78
Ueber Krystalltypen bei Metallen, ihren Oxyden, Sulfiden, Hydroxyden und Halogenverbindungen - historische Notiz; mikroskopische Metallographie	79
Thalliumnitrat als schwere Schmelze zu Mineraltrennungen	80
Volumentheorie der krystallisirten Körper	81, 82
Molekulargewicht und Dichte der Körper in festen und flüssigen Zustände, die specifischen Gewichte einiger Edelsteine	83
Bestimmung der Volumenänderung beim Schmelzen für eine Anzahl von Elementen	84
Schmelzpunktsbestimmungen bei Glühhitze	85
Hochliegende Schmelzpunkte	86
Verflüchtigung von Salzen während der Verdampfung; Vorkommen gewisser für den Flüssigkeits- oder Gaszustand charakteristischer Eigenschaften bei festen Metallen	87
Zähigkeit fester Körper	88

	Seite
Adhäsion von Aluminium und einigen anderen Metallen an Glas; chemische Bindung des sogen. Krystallwassers in den Mineralien	89
Physikalische Eigenschaften der wassertreien und wasserhaltigen Ver- bindungen	90
Bindung des Wassers in anorganischen Salzen; Constitution hydrati- sirter Verbindungen; Bestimmung kleiner Dissociationsspannungen, speciell krystallwasserhaltiger Salze	91
Dissociation der Salzhydrate und ähnlicher Verbindungen	92
Wasserhaltige Metallchloride; das Hydrogel und das krystallinische Hydrat des Kupferoxyds	93
Hydrogele	94
Temperaturveränderungen durch Berührung von Flüssigkeiten mit ge- pulverter Kieselsäure	95
Zersetzung von Flüssigkeiten in Berührung mit Kieselsäure	96, 97
Adsorption: Natur der Kräfte, welche bei der Färberei in Frage kommen	98
Theorie des Färbens, substantive Farbstoffe und substantives Farben	99
Theorie des Färbeprocesses	100, 101
Einfluss der Structur der Gespinnstfasern auf die Aufnahme von Farb- stoffen	102
Theorie des Färbeprocesses	103
Jodometrische Versuche und Beitrag zur Kenntniss der Jodstärke	104
Ueber die blaue Jodstärke u. die molekulare Structur der gelösten Stärke	105
Molekulargewichtsbestimmung an festen Lösungen; Gleichgewicht zwischen Wasser, Kautschuk und Aether	106
Sedimentation und Farbstoffabsorption; elektrische Convection, Sedi- mentation und Diffusion	107
Künstliche Färbung von Krystallen und amorphen Körpern	108
Zur Kenntniss des Isomorphismus	109
Chemische Verbindungen isomorpher Körper	110
Isomorphie von Nitraten, Chloraten, Bromaten (Jodaten) zweiwerthiger Elemente. Zusammenhang zwischen den krystallographischen Eigenschaften von isomorphen Salzen und dem Atomgewicht der darin enthaltenen Metalle; eine vergleichende Untersuchung der normalen Sulfate von Kalium, Rubidium und Cäsium	111
Eigenschaften isomorpher Körper	112
Einfluss der chemischen Constitution anorganischer Stoffe auf ihre Fähigkeit, feste Lösungen zu bilden	113
Kryoskopisches Verhalten von Substanzen mit einer dem Lösungsmittel gleichen Constitution	114
p-Xylol als Lösungsmittel bei kryoskopischen Untersuchungen; Ge- frierpunkte isomorpher Mischungen	115
Schmelzpunkte isomorpher Salzgemische	116
Schmelzpunkte von isomorphen Gemischen gewisser Doppelcarbonate; das allgemeine Gesetz der Löslichkeit normaler Körper	117
Gegenseitige Löslichkeit der Salze	118
Schmelzpunkte von Salzmischungen	119
Schmelzpunkt von Gemischen isomorpher Salze; Löslichkeit der Misch- krystalle einiger isomorpher Salzpaare	120

	Seite
Löslichkeit der Mischkrystalle isomorpher Salzpaare	121
Löslichkeit von Mischkrystallen; der specifische Leitungswiderstand und der Temperaturcoefficient der Kupfer-Zinnlegirungen	122
Die elektromotorische Kraft von Legirungen in einer Volta'schen Zelle	123
Vorgänge bei Umschmelzungen von Blei-Zinnlegirungen	124
Zusammensetzung und Constitution gewisser Legirungen	125
Chemische Natur der Metalllegirungen	126
Constitution der Legirungen	127, 128, 129
Löslichkeit:	
Die angenommene Beziehung zwischen der Löslichkeit eines Gases und der Viscosität des Lösungsmittels	130
Absorption des Wasserstoffs in Wasser und in wässrigen Lösungen	131
Löslichkeit von Wasserstoff in Salzlösungen	132
Lysimeter, ein Apparat zur Löslichkeitsbestimmung; Experimental- untersuchungen über gesättigte Lösungen	133
Gleichzeitige Löslichkeit mehrerer Salze	134
Löslichkeit der Nichtelektrolyte in Gemischen zweier Flüssigkeiten	135
Thermochemie:	
Das Princip der maximalen Arbeit und der Entropiebegriff	136
Das mechanische Wärmeäquivalent; Correcturen bei thermochemischen Messungen; Neuerung am Eiscalorimeter	137
Kohlenuntersuchung; Bestimmung des Heizwerthes der Brennmate- rialien mit Hilfe des neuen Mahler'schen Calorimeters	138
Salzbildung in alkoholischer Lösung	139
Substitution alkoholischer Radicale, die an Kohlenstoff oder Stickstoff gebunden sind; thermochemische Constanten einiger vielatomiger Basen	140
Wärmewerth des Glycogens und isomerer Säuren von der Zusammen- setzung $C_7H_6O_5$ und $C_8H_8O_5$	141
Wärmewerth der Bestandtheile der Nahrungsmittel	142
Spectralanalyse, Lichtabsorption:	
Das Leuchten der Gase	142
Spectralanalyse	143
Die Veränderungen im Spectrum der Kohlenelektroden und der Ein- fluss einer Substanz auf das Spectrum einer anderen	144
Linienpectra	145, 146
Methode zur Wiedergabe von Metallspectren; Spectra von Blei, Zinn, Arsen, Antimon, Wismuth	147
Das Spectrum von metallischem Mangan, Manganlegirungen und von manganhaltigen Verbindungen	148
Funkenspectra einiger Mineralien; die Farbe von Salzen in Lösungen	149
Hypothese der Färbung der Ionen	150
Absorptionsspectren von farblosen und gefärbten Gläsern mit Berück- sichtigung des Ultraviolett	151

Optisches Brechungsvermögen:

	Seite
Vorrichtung zur Erzeugung von monochromatischem Licht beliebiger Wellenlängen und ihre Verwendung bei krystalloptischen Untersuchungen	152
Refractometer mit heizbarem Hohlprisma: Bestimmung des Brechungs-exponenten nicht homogener Flüssigkeiten, refractometrische Untersuchungen	153
Refractometrische Untersuchungen	154
Formel für die spezifische und die Molekularrefraction; Anwendung des Refractometers zur Untersuchung chemischer Reactionen	155
Änderung des Brechungsindex bei Reactionen	156
Brechungsvermögen des Sauerstoffs, des Schwefels und des Stickstoffs in heterocyclischen Kernen; Atomrefraction des Selen	157
Brechungsvermögen des Phosphors	158
Brechungsvermögen der carbonylhaltigen Verbindungen	159
Brechungsvermögen der Carbonylgruppe	160
Atomrefraction einiger Elemente	161
Brechungsvermögen organometallischer Verbindungen	162
Lichtbrechung und Dichte verdünnter Lösungen; Brechungsindices von Mischungen von Wasser und Alkoholen mit Fettsäuren	163
Refractometrische Bestimmung der Zusammensetzung wässriger Lösungen	164
Brechungs-exponenten von Schwefel- und Phosphorlösungen in Schwefelkohlenstoff	165

Drehung der Polarisationssebene (natürliche und magnetische):

Bezeichnung des Drehungsvermögens activer Körper	165
Die Natur des molekularen Drehungsvermögens	166
Einfluß der Temperatur auf das optische Drehungsvermögen	167
Umkehrung des Vorzeichens für das optische Drehungsvermögen	168
Veränderung des Drehungsvermögens mit der Temperatur	169
Uebereinanderlagerung der optischen Wirksamkeit mehrerer asymmetrischer Kohlenstoffatome in demselben Molekül	170
Änderung des optischen Drehungsvermögens in der Weinsäurereihe und über das Drehungsvermögen gelöster Stoffe	171
Drehungsvermögen in der Weinsäurereihe	172
Optische Drehung der Ionen; Beziehung zwischen der elektrolytischen Dissoziation und dem optischen Drehungsvermögen	173
Beziehungen zwischen dem Lichtbrechungs- und Drehungsvermögen chemischer Verbindungen und eine neue Bestimmungsmethode der spezifischen Drehung	174
Beziehung zwischen Lichtbrechung und Drehung	175
Drehungsvermögen gelöster Stoffe	176
Das spezifische Drehungsvermögen der optisch activen Substanzen in Lösungen	177
Einfluß der sauren Natrium- und Ammoniummolybdate auf das Drehungsvermögen der Rhamnose	178
Bestimmung der Rotationsdispersion mit Hilfe von Strahlenfiltern	179

	Seite
Bestimmung der Rotationsdispersion	180
Beziehungen zwischen der natürlichen und der elektromagnetischen Drehung der Polarisationssebene; das magnetische Drehungsver- mögen von Chlorwasserstoff in verschiedenen Lösungsmitteln, sowie von Natriumchlorid, Lithiumchlorid und Chlor	181
Das magnetische Drehungsvermögen einiger Halogenderivate der Fett- säuren, sowie der Essigsäure, Propionsäure, des Phosgens und des Aethylcarbonats	182
Das magnetische Drehungsvermögen von Verbindungen, die vermutlich Acetylgruppen enthalten oder aus Ketonen entstanden sind	183
Dispersion des magnetischen Drehungsvermögens im ultrarothem Spec- trum beim Schwefelkohlenstoff	184
Luminescenz:	
Fluorescenzerscheinungen	185
Natur der Phosphorescenz	186
Einwirkung von Kathodenstrahlen auf einige Salze	187, 188
Experimentaluntersuchung über den Einfluss der Temperaturerniedri- gung auf die Phosphorescenzerscheinungen	189
Verhalten der Phosphorescenzerscheinungen bei sehr tiefen Tempe- raturen; Phosphorescenz und Lichtwirkung bei niedrigeren Tempe- raturen	190
Lichterscheinungen während der Krytallisation	191
Photochemie:	
Experimentaluntersuchung über den der chemischen Lichtwirkung ent- sprechenden Energieaufwand, Temperatur und photochemische Wirkung	192
Lichtempfindliche Elektrode; zur Kenntniss der photochemischen Wir- kung in Lösungen	193
Lichtwirkung in Elektrolyten	194
Jodkaliumzersetzungswertb des Sonnenlichtes in den Hochalpen; Zer- setzung der Oxalsäure unter Einwirkung des Sonnenlichtes	195
Wasserstoffsuperoxyd bei der Zersetzung von Oxalsäure	196
Lichtempfindliche Nickelsalze; Einfluss der sogenannten chemischen Lichtintensität auf den Gestaltungsproceß der Pflanzenorgane; Lichtwirkung auf technische Farbstoffe	197
Lichtwirkung auf Farbstoffe	198
Nascirendes Silber, das latente Bild; elektromotorische Reihe der photographischen Entwicklungsfähigkeiten	199
Theorie der chemischen Entwicklung; Entwickler für Eisenoxalat- bilder	200
Chemie der Entwickler; Entwickler für Bromsilbergelatine, neue Classe von Entwicklern	201
Entwicklung des latenten photographischen Bildes durch die Alkali- superoxyde; neue Entwickler für Eisenchloridbilder	202
Lichtfärbung, neue Verwendung der Chromgelatine; neue Fixirsalze; Rhodanionen, Sulfocarbamid und Thioisocyanamin als Fixirmittel .	203

Kallitypie, Similiplatinproceß; praktischer Werth des Similiplatinpapiers und Nicol's Kallitypiepapier; Platinionung	204
Ueber das Tonen von photograph. Silberbildern mit den Ferrocyanden der Metalle, die Lumière-Lippmann'sche Farbenphotographie	205

Elektrochemie.

Allgemeines:

Das Elektron oder Atom der Elektricität; Bestimmung von Dielektricitätsconstanten	206
Beziehung zwischen Dielektricitätsconstante und chemischer Constitution des Dielektricum	207
Dielektricitätsconstante des Eises	208
Dielektricitätsconstante des Glases; Dielektricitätsconstanten fester und optische Brechungsexponenten geschmolzener Salze; dielektrische Polarisation von Flüssigkeiten, Messung der Dielektricitätsconstanten von Wasser, Alkohol etc.; Einfluß des Druckes auf die Dielektricitätsconstante des Wassers und des Aethylalkohols	209
Villari's kritischer Punkt beim Nickel	210
Magnetisierungsstärke bei Nickel	211
Elektrostriction durch freie Ionen; Theorie der elektrol. Dissociation	212

Leitfähigkeit:

Continuirliche Elektricitätsleitung durch Gase	212
Anwendung der Elektricität, um die Phasen gewisser chemischer Reactionen zu verfolgen	213
Tauchelektroden für Widerstandsbestimmung in Elektrolyten, elektrol. Leitfähigkeit schwach dissociirter Stoffe	214
Widerstandsbestimmung von Elektrolyten mit constanten oder mit Wechselströmen; Anomalie des Leitvermögens wässriger Lösungen bei 4°	215
Stoichiometrie der Ionenbeweglichkeit	216
Beeinflussung der Molekularleitfähigkeit der Essigsäure durch kleine Mengen anderer elektrol. Substanzen, Anwendung der Theorie der isohydrischen Lösungen	217
Änderung der Leitfähigkeit einer Lösung durch Zusatz von kleinen Mengen eines Nichtleiters, Abnahme der molekularen Leitfähigkeit einiger starken organischen Säuren bei Ersatz des Lösungswassers durch Alkohol, Leitfähigkeit von einigen Salzen in Aethyl- und Methylalkohol	218
Einfluß des Druckes auf die Leitfähigkeit von Elektrolyten, Änderungen des elektrischen Widerstandes wässriger Lösungen und der galvanischen Polarisation mit dem Drucke	219
Anomales Verhalten von Flüssigkeitswiderständen gegen Wechselströme	220
Elektrolyse mit Wechselstrom; elektrochemische Methode der Beobachtung von Wechselströmen: Bestimmung der Form periodischer Ströme als Zeitfunction mittelst der elektrochemischen Registrir-methode; Erscheinung beim Durchgang der Elektricität durch schlecht leitende Flüssigkeiten	221

Elektromotorische Kräfte:

	Seite
Mittel zur Compensation der elektromotorischen Kraft	221
Directe Messung elektromotorischer Kräfte; Thermoelektricität chemisch reiner Metalle	222
Theorie d. Capillarelektrometers; Capillarelektrometer u. Tropfelektroden	223
Elektrische Capacität des Quecksilbers und die Polarisationscapacitäten im Allgemeinen; Capacität des Capillarelektrometers und die Initialecapacität des Quecksilbers; Polarisationscapacitäten	224
Flüssigkeitsketten; Auflösung von Metallen in galvanischen Elementen; Lösungstension von Metallen	225
Einwirkung concentrirter Säuren auf gewisse im Contact mit einander befindliche Metalle	226
Potentialdifferenzen zwischen Metallen und Elektrolyten; Thermo- elemente aus Metallen und Salzlösungen	227
Thermoelektrische Eigenschaften von Salzlösungen	228
Ueber die thermoelektrischen elektromotorischen Kräfte zwischen zwei Elektrolyten und den elektrischen Transport der Wärme in den Elektrolyten; elektrochemische Untersuchungen	229
Studien zur Volta'schen Kette	230
Krystallisation einiger Metalle, wenn man sie auf Lösungen ihrer Chloride in Salzsäure einwirken läßt; ein eigenthümlicher Fall von Metallabscheidung	231
Abscheidung der Metalle aus verdünnten Lösungen	232
Bildung von Legirungen auf nassem Wege	233
Potential des Wasserstoffs und einiger Metalle	234
Elektromotorische Kraft des Clark'schen Normalelementes	235
Darstellung von Clark'schen Normalelementen	236
Clark-Element während der Stromabgabe	237
Thermochemische Vorgänge im Secundärelement; die Theorie der Blei- accumulatoren nach M. G. Darrieus und Beitrag zur Frage der Lebensdauer der Bleisammler	238
Messung der elektromotorischen Größen an Accumulatoren	239
Reactionen an der Superoxydelektrode; Darstellung der wirksamen Masse für Sammelbatterien; die Chlorid-Accumulatoren-Batterie .	240
Batterieschalter für Accumulatoren-Batterien; zweckmäßige Anordnung von Accumulatoren für chemische Laboratorien	241
Der alkalische Zink-Kupfer-Accumulator im Trambetrieb; das Magnesiumelement; kleines Trockenelement	242
Verbesserungen in primären Volta'schen Batterien; Vorgänge im Leclanché-Element und in einigen analogen Elementen; Seewasser als chemischer und mechanischer Depolarisator für Primärbatterien; Gasketten	243
Ueber die Condensation der Gase der Elektrolyse durch poröse Körper und besonders durch die Metalle der Platingruppe; Anwendungen auf das Gaselement, elektrische Accumulatoren unter Druck . .	244
Ausbreitungswiderstand u. Polarisation an Elektroden von kleiner Oberfläche; Polarisation an festen Niederschlägen zwischen Elektrolyten	245

	Seite
Der zeitliche Verlauf der Selbstpolarisation in geschlossenen Amalgampolarisationselementen; die kathodische Polarisation, Verlauf und Grösse der galvanischen Polarisation bei festen Kathoden	243
Elektrolyse und Polarisation von Salzgemischen	247
Gesetze der galvanischen Polarisation und Elektrolyse; Zersetzungsspannung der Alkalisalze	248
Ueber die kleinste zur Elektrolyse von Elektrolyten nothwendige elektromotorische Kraft; Grenzen der Elektrolyse, primäre oder secundäre Wasserzersetzung	249
Grundgesetz der Elektrolyse	250
Elektrolyse:	
Die wissenschaftliche Elektrochemie der Gegenwart und die technische der Zukunft; Elektrizitätswerke und Elektrochemie	250
Einfluss der Elektrochemie auf die chemische Industrie; technische Anwendung der Elektrizität in der organischen Chemie; Verwendung der Elektrolyse in technisch-chemischen Processen; eine wirtschaftliche Frage der Elektrochemie; Thermoelement	251
Anode zur Elektrolyse von Salzlösungen; Kohlenelektrode mit Metallkern; Verbesserungen in der Construction von Kohleelektroden	252
Darstellung von Kohleelektroden; Ferrosiliciumanode; Circulationsvorrichtungen an elektrolytischen Apparaten; Elektrolyse von Flüssigkeiten	253
Vergleichungen des elektrischen Verhaltens einer gewöhnlichen und einer Pukall'schen Thonzelle; Verbesserungen in Materialien für Diaphragmen für elektrolytische Prozesse und als Filtermaterial; Verbesserung in elektrolytischen Apparaten; elektrolytische Darstellung von Sauerstoff und den Halogenen; technische Elektrolyse	254
Das Ohm'sche Gesetz und elektrochemische Vorgänge in ihren Beziehungen zur Badspannung; Einfluss von Stromdichte und Concentration auf den Verlauf elektrochemischer Reactionen; wissenschaftliche Aufgaben der Elektrochemie	255
Bildung schwimmender Metallblätter durch Elektrolyse; elektrochemische Bereitung von Zinkoxydkahlösung	256
Einige elektrochemische Versuche	257
Elektrosynthesen durch directe Vereinigung der Anionen schwacher organischer Säuren	258
Apparate für den Hörsaal und das Versuchslaboratorium; neue Erscheinungen bei der Schmelzung und Verflüchtigung durch den elektrischen Ofen, quantitative Analyse durch Elektrolyse	259
Die von Rüdorff empfohlenen Methoden der quantitativen Analyse durch Elektrolyse; elektrochemische Notizen	260
Quantitative Analysen durch Elektrolyse	261
Elektrolytische Trennungen	262
Chemisches Gleichgewicht	
Das Chemometer; Dielektricitätsconstante und chemisches Gleichgewicht	263

	Seite
Geschwindigkeit der Ionen und das relative Ionisationsvermögen der Lösungsmittel; das chemische Gleichgewicht in seiner Abhängigkeit von der Temperatur	264
Endothermische Reactionen, verursacht durch mechanische Kraft	265
Einwirkung andauernden, gleitenden Druckes	266
Chemische und mechanische Energie	267
Löslichkeit des sauren Kaliumtartrats bei Gegenwart anderer Salze; fractionirte Fällung	268
Löslichkeit von Doppelverbindungen; gesättigte Lösungen von Magnesiumchlorid und Kaliumsulfat oder von Magnesiumsulfat und Kaliumchlorid	269
Graphische Darstellung der heterogenen Systeme aus ein bis vier Stoffen mit Einschluss der chemischen Umsetzung	270
Graphische Darstellung von Gleichgewichten	271
Gleichgewichte zwischen flüssigen und festen Phasen im System: Wasser, Chlorwasserstoff, Eisenchlorid; die Lösungstension als Hilfsmittel für die Bestimmung von Umwandlungstemperaturen	272
Das Umwandlungselement und eine neue Art seiner Anwendung	273
Dissociationstheorie der Lösungen	274
Die elektrolytische Dissociation und das Verdünnungsgesetz in organischen Lösungsmitteln	275
Bestimmung der relativen Affinitäten einiger Säuren; Affinität der mehrbasischen Säuren	276
Affinitätsgrößen einiger schwefelhaltiger Substitutionsderivate der Essigsäure und der Propionsäure	277
Affinitätsgrößen der Basen	278, 279
Affinitätsgrößen der Säuren. Affinität einiger Basen in alkoholischer Lösung	280
Relative Stärke oder Avidität schwacher Säuren; Affinitätsconstanten schwacher Säuren und die Hydrolyse der Salze	281
Hydrolyse von Salzen schwacher Säuren und Basen; elektrolytische Dissociation des Wassers	282
Dissociation des Wassers	283
Reaktionsgeschwindigkeit:	
Methoden und Apparate zur Verfolgung von Gasreactionen bei gewöhnlicher Temperatur durch Beobachtung von Volumenänderungen	284
Reaktionsgeschwindigkeit und Siedepunkt; Geschwindigkeit der Reduction des Eisenchlorids durch Zinnchlorür; Verseifungsgeschwindigkeit einiger Ester	285
Verseifungsgeschwindigkeit einiger Ester	286
Verseifungsgeschwindigkeit des Methylacetats durch Wasser und deren Minimalwerth; Geschwindigkeit des Ueberganges von Aldoximen in Säurenitrile	287
Reaktionsgeschwindigkeit in nicht homogenen Systemen	288
Geschwindigkeit der Oxydation von Phosphor, Schwefel und Aldehyd	289
Oxydationsgeschwindigkeit von Aldehyd	290
Eigenartiger Fall von Selbstentzündung	291

	Seite
Selbstentzündung von Oelen auf Baumwolle und von Heu	292
Verbrennung der gebräuchlichen Schießpulversorten; über moderne Explosivstoffe	293
Einfluß der Gelatine auf die doppelte Zersetzung der Salze; Geschwindigkeit der Reaction zwischen Jodäthyl und Aethylsulfid für sich oder in Gegenwart von Wasser	294
Einwirkung neutraler Lösungsmittel auf die Geschwindigkeit der Bildung von Triäthyläthyljodid; Affinitätscoefficienten zwischen Alkylsulfiden und den Alkyljodiden	295
Elektrolytische Dissociation und Verdünnungsgesetz in organischen Lösungsmitteln; Phasen u. Bedingungen beim chemischen Austausch	296
Die Inactivität des gebrannten Kalkes; Einfluß von Feuchtigkeit auf den Eintritt chemischer Reactionen	297
Wirkung von trockenem Ammoniak auf trockenes Kohlendioxyd; Verhalten der flüssigen Kalium-Natriumlegirung gegen trockenen Sauerstoff	298

Anorganische Chemie.

Apparate und Methoden.

Gasapparate:

Selbstthätige, stetig wirkende Quecksilberluftpumpe für chemische Zwecke	299, 300
Quecksilberluftpumpe nach Sprengel, Regulirungsvorrichtung zur Darstellung beliebiger Minderdrucke; zur Gasentwicklung . . .	301
Continuirlich wirkende Gasentwickler	302
Neuer Gasentwicklungsapparat; Modification des Kipp'schen Apparates; Sicherheitsrohr	303
Neuer Schwefelwasserstoffapparat für den Laboratoriumsgebrauch; neuer Schwefelwasserstoffentwickler	304
Schwefelwasserstoffentwickler; Nitrogenerator	305
Das hydrostatische Gasometer von van Marum; Waschvorrichtung; verbesserte Wasch- und Absorptionsflasche	306
Reinigungsapparat für Elementaranalyse; Absorptionsapparat für die Elementaranalyse mit einem Hahn	307
Kaliapparate; Trockenapparate; Chlorcalciumrohre mit einem Hahn .	308
Aerodekterkolben; Apparat zum Bestimmen des specifischen Gewichtes von Gasen; Vermeidung des Auskochen von Barometerrohren	309
Neues Laboratoriumsbarometer	310

Extraction und Destillation:

Zur Dialyse; Extractionsmühle	310
Extractionsapparate	311
Modification von Knorr's Extractionsapparat; Benzinextraction und Extractionsapparate; neue Siedegefäße	312
Apparat zur Vacuumdestillation; neue Fractionirapparate	313

XVIII

Inhaltsverzeichnis.

	Seite
Eine Einrichtung, beliebig viele Dampfdestillationen nach Bedarf ausführen zu können	314
Kühler für Laboratorien; Kühler mit innerer Wassercirculation . . .	315
Umkehrbarer Vorstoß für Kühler; Reagenzglaskühler; zerlegbare thönerne Kühlschlangen mit genau oben abgeschliffenen Stoßflächen	316
Dephlegmator	317
Brenner. Thermometer. Oefen:	
Vorrichtung zum automatischen Anzünden oder Auslöschen der Gasflammen in einer bestimmten Zeit; Bunsenbrenner mit Sicherheitskorb	317
Benzinkocher; Lampe zum Brennen von Paraffinölen mit rauchloser Flamme für den Laboratoriumsgebrauch	318
Selbstthätige Spiritusgebläseflamme; elektrisches Gebläse	319
Spiralförmiges Gebläse; Anwendung des Barothermoskops und der absoluten Millesimalscala in Theorie und Praxis	320
Absolute Temperaturscala	321
Toluolthermometer; verbessertes Quecksilberthermometer für hohe Temperaturen; Thermometer mit elektrischer Temperaturankündigung für Laboratoriumstrockenschränke	322
Thermometer für höhere Temperaturen	323
Neue Luftpyrometer	324
Neuere Fortschritte in der Pyrometrie	325
Dampfüberhitzer; Muffelöfen	326
Muffel für die Veraschung von Zucker; ein Explosionsofen zur Verhütung des Springens von Einschmelzröhren	327
Regulirung der Temperatur in Trockenkästen; Trockenschränken aus Aluminium; Trockenkasten	328
Entwässerung hygroskopischer Substanzen; Luftbad	329
Trockenschränke	330
Vacuumwasserbad für Temperaturen von 100° C und höher; Laboratoriums-Vacuumapparat mit Porcellanschale; Vacuumverdampfapparat für Laboratorien	331
Automatischer Meldeapparat für Wasseröfen und Wasserbäder . . .	332
Heber zur Erhaltung eines constanten Flüssigkeitsstandes; Apparat für constantes Niveau	333
Kräftige und einfach construirte Kältemaschine	334
Wägen und Messen:	
Colorimetrischer Apparat; Verhältniße der Saccharimetergrade zu Kreisgraden für Natriumlicht	335
Polarisationsvorrichtungen; Spiegelphotometer; Justirung einer Wage	336
Sicherheitsvorrichtung für Reiter; Verbesserungen an analytischen Wagen; Modification der Mohr'schen Wage	337
Westphal'sche Wage für Wachs und Harze	338
Neues Gewichtsärometer; verbessertes Pyknometer. Apparat zum Abwägen von Flüssigkeiten	339

	Seite
Messapparat für Flüssigkeiten; Instrumente zur Graduierung und Kalibrierung von Messgefäßen	340
Apparat zum schnellen Aichen von Kolben, Pipetten und Büretten	341
Einfaches Geräth für erleichtertes Einstellen schäumender Flüssigkeiten auf die Marke; Modification von Interflaschen	342
Kalibrieren von Pipetten; automatische Pipette; selbstinstellende Messpipette; Bürettenfüller	343
Büretten	344
Hängende Bürette; Apparat für die Massanalyse	345
Tropfflasche für Maßflüssigkeiten	346
Viscosimeter	347
Consistenzprüfung der Maschinenfette	348
Rühr- und Filtrirapparate:	
Schüttelwerk; elektrisch betriebene Centrifuge	348
Koch-, Misch- und Schmelzapparat, Schüttelvorrichtung; Laboratoriumsturbine	349
Heißluftmotoren; Retorten- und Filtrirstativ; nitrocellulosehaltiges Filtrirpapier; verbesserte Filterscheibe	350
Waschflasche mit Druckluft; Filtrir- und Fällungsapparat	351
Analysentrichter; Gooch'scher Tiegel; biegsame Metallschläuche; Apparate aus Silber	352
Bequemer Heberaussauger; Korkpresse; neues Gerätheglas	353
Aufbewahrung reiner alkalischer Lösungen; Glasatzflussigkeit	354
Vorlesungsversuche:	
Elektrischer Ofen	354
Temperaturveränderung beim Auflösen	355
Elektrolyse der Salze; Reaction zur Illustration der Dissoziationerscheinungen	356
Veranschaulichung der neueren Theorie der Elektrolyse	357
Demonstration von Elektrolysen	358
Elektrolytische Reactionen; elektrolytische Ozonbildung	359
Demonstration des Faraday'schen Gesetzes	360
Experimente mit fester Kohlensäure	361, 362
Ueber Acetylen, eine Warnung; Versuche mit Aether	363
Quantitative Arbeiten für das Anfangsstudium der Chemie	364
Metalloide.	
Wasserstoff, Sauerstoff:	
Verhältnisse zwischen den Atomgewichten des Wasserstoffs und Sauerstoffs	365, 366
Vorkommen von Wasserstoff und Methan in dem rückständigen Stickstoff des Blutes, über die Existenz eines besonderen „status nascens“	367
Status nascendi; Sauerstoff in der Sonnenatmosphäre	368
Sauerstoffausscheidung chromophyllhaltiger Pflanzen, Abhängigkeit des Ergrünsens von der Wellenlänge des Lichtes	369

	Seite
Darstellung einer Manganatmasse zur Sauerstoffgewinnung aus atmosphärischer Luft; Entwicklung von Chlor bei der Erhitzung eines Gemisches von Kaliumchlorat und Manganoxyperoxyd	370
Linien-spectrum des Sauerstoffs. Sauerstoffspectrum bei höherer Temperatur; Erhitzen von Gasen auf elektrischem Wege	371
Verbesserte Form von Ozonapparaten; Bildung von Ozon; atmosphärisches Ozon; Löslichkeit von Ozon	372
Reines Wasser; spezifische Wärme des Wassers zwischen 0 und 22°; spezifische Wärme des Wassers unter constantem Volumen; Farbe des Wassers; hohle pyramidale Eiskryalle	373
Künstliches Eis; Untersuchung schleimiger Wasser; chemische Untersuchungen im östlichen Mittelmeer	374
Veränderlichkeit in der Zusammensetzung von Seewässern mit der Tiefe und der Jahreszeit; Bedeutung der Nitrile in Trinkwässern	375
Trinkwasser und seine Verunreinigungen; Aetzkalk enthaltendes Brunnenwasser; Veränderungen von Flußwasser durch die Abwasser einer Chlorkalkfabrik	376
Natürliche Verminderung der gelösten organischen Substanz im Flußwasser; Selbstreinigung der Flüsse	377
Selbstreinigung der Flüsse, Verfahren, Wasser in großen Mengen keimfrei zu machen	378
Betriebsführung von Sandfiltern; Verfahren, Wasser mittelst Zinnoxid zu reinigen; Reinigung des Dampfkesselspeisewassers; Abwasserreinigung	379
Wasserstoffsuperoxyd der atmosphärischen Luft und der atmosphärischen Niederschläge	380, 381
Nachweis von Wasserstoffsuperoxyd in den grünen Pflanzen; Zersetzung von Jodkaliumlösung	382

Halogene:

Fluoplumbate und freies Fluor	383
Verbindung von Fluorwasserstoff mit Wasser; Untersuchung der wasserfreien krystallisierten Fluoride; Fluorgehalt der Knochen und Zähne; zur pharmakologischen Kenntniss der Halogene . .	384
Darstellung von Chlor für Laboratoriumszwecke	385
Die Rolle des Chlorkalks bei der Weldon'schen Braunstein-Regenerierung; Darstellung von Chlor aus Salzsäure in wässriger Lösung mittelst Salpetersäure und Schwefelsäure	386
Darstellung von Chlor; technische Gewinnung von Chlor beim Ammoniakproceß	387
Gewinnung von Ammoniak, Chlor und Chlorwasserstoff aus Chlorammonium; Condensation von Salzsäure durch Lunge-Rohr-mann'sche Plattenthürme; Bleichverfahren mittelst künstlicher Ozonmel und schwacher Chlorkalksalzlösungen	388
Elektrodensystem zur Zerlegung von Salzlösungen für Bleichflüssigkeiten; Desinfectionen durch Elektrizität	389
Elektrolytische Desinfectionen	390

	Seite
Löslichkeit des Jods in Schwefelkohlenstoff und die Natur dieses Lösungsvorganges	391
Der Lösungszustand des Jods und die wahrscheinliche Ursache der Farbenunterschiede seiner Lösungen	392, 393
Dissociation von Kaliumtrijodid in wässriger Lösung; Zersetzung des Jodwasserstoffgases in der Hitze	394
Einwirkung von Eisenchlorid und von Ferrisulfat auf Jodkalium und Jodwasserstoff	395
Einwirkung von Ferriacetat auf Kaliumjodid und Jodwasserstoff . . .	396
Einwirkung von Reduktionsmitteln auf Jodsäure	397
Wirkung von Hitze auf Jodate und Bromate	398
Schwefel, Selen:	
Vorkommen von Schwefel in Russland; Darstellung von Schwefel aus Schwefelkiesen unter gleichzeitiger Gewinnung von schwefelsaurem Eisenoxydul	398
Darstellung von Schwefel aus Schwefelwasserstoff und schwefeliger Säure, Condensation des bei der unvollkommenen Verbrennung von Schwefelwasserstoff erzeugten gasförmigen Schwefels; Linienspektren des Schwefels und dessen Nachweis in Metallverbindungen	399
Die elektrischen Eigenschaften des reinen Schwefels	400
Zähigkeitsänderung bei geschmolzenem Schwefel; Löslichkeit von Sulfur praecipitatum in Schwefelkohlenstoff	401
Oxydation von Phosphor, Schwefel und Aldehyd, oxydirende Wirkung der Luft auf Schwefel	402
Wirkung des Schwefels bei Gusseisen; Wirkung von Kohlensäure, Kohlenoxyd, Schwefelwasserstoff und Wasser- und Leuchtgas auf den thierischen Organismus. Röstofen für Schwefelmetalle und andere Zwecke	403
Specifische Wärme der flüssigen schwefeligen Säure; Entsäuerung der Röstgase durch Schwefelcalciumlauge	404
Elektrolyse ammoniakalischer Sulfidlösungen; Einwirkung von Thionylchlorid auf Mineralsäuren	405
Verbesserungen in der Schwefelsäurefabrikation	406
Concentriren von Schwefelsäure	407
Concentration von Schwefelsäure in bleiernen Gefäßen; Anwendbarkeit elektrischer Wärme zur Concentration der Schwefelsäure; Zerstörung der Salpetersäure bei der Concentration der Schwefelsäure durch Ammonsulfat	408
Schwefelsäurefabrikation in Amerika; Hydrat der Schwefelsäure als mikroskopisches Lösungsmittel	409
Gefrierpunkte von Schwefelsäure verschiedener Concentration . . .	410
Verbindung von Schwefelsäure mit Wasser in Gegenwart von Essigsäure	411
Krystallographie der normalen Kalium-, Rubidium- und Cäsiumsulfate; Reactionsgeschwindigkeiten in inhomogenen Systemen; Zersetzung des Sulfurylchlorids	412
Binge zu Vorlesungsversuchen geeignete Reactionen über schwefelsaurer Salze; Studium der Säure S_2O_3 ; unterschweflige Säure .	413

	Seite
Vereinigung von Selen mit Wasserstoff in ungleich erwärmten Räumen	414
Einfluss des Druckes auf die Bildung von Selenwasserstoff	415
Stickstoff:	
Ueber eine bei der Bestimmung der Dichte des Stickstoffs sich zeigende Anomalie	415
Verhalten des auf chemischem Wege erhaltenen und des atmosphärischen Stickstoffs im flüssigen Zustande	416
Natur des Stickstoffs; chemische Constitution der Atmosphäre; freier Sauerstoff in der Atmosphäre	417
Giftigkeit der Aushaemungsluft	418
Flüssige atmosphärische Luft	419, 420
Spektrum der elektrischen Entladung in flüssigem Sauerstoff, Luft und Stickstoff	421
Fixirung des atmosphärischen Stickstoffs durch die Mikroorganismen	422
Aufnahme von freiem Stickstoff durch Nichtlegumosen, Einfluss der Kaliumsalze auf die Nitrification	423
Einfluss der Chloride auf die Nitrification; Nitrification an Mauern .	424
Bildung secundärer stickstoffhaltiger Producte bei der Verbrennung an der Luft	425
Bei der Aufeinanderwirkung von Ozon und Ammoniak sich bildende Nebenproducte	426
Synthetische Darstellung von Ammoniak; Gewinnung rhodanfreier Ammoniaksalze; Einfluss gewisser Metalle auf die Stabilität des Ammoniumamalgams	427
Einfluss des Stickstoffs, des Stickoxyduls und des Stickoxyds auf Alkaliammonium	428
Bildungsweise von Hydrazin auf anorganischem Wege	429
Metalldoppelsalze des Diammons und Diamids	430
Reactionen des Hydrazins	431
Metalldoppelsalze des Hydrazins	432
Salze der Stickstoffwasserstoffsäure; anorganische Halogenstickstoffe	433
Jodstickstoff	434
Beständigkeit und Darstellung des freien Hydroxylamins	435
Verbindungen des freien Hydroxylamins mit einigen Metallsalzen . .	436
Reaction zwischen salzsaurem Hydroxylamin und Natriumnitrit . . .	437
Ueber das Nitramid; Darstellung von Stickstoffoxydul, Fabrikation und Compression des Stickoxyduls	438
Physikalische Eigenschaften des reinen Stickoxyduls; Zusammensetzung und Bildungswärme des Hydrats des Stickoxyduls	439
Einwirkung des Stickoxydes auf einige Metalle bei höherer Temperatur; Stickstofftrioxyd (Salpetrigsäureanhydrid)	440
Nichtexistenz des gasförmigen Salpetrigsäureanhydrids	441
Salpetrige Säure in Lösungen von Salpetersäure	442
Darstellung von Nitriten, Darstellung von Ammoniumnitrit	443
Zerlegbarkeit der Nitrite durch Hydroxylamin; Salze der stickoxydschwefligen Säure	444
Elektrolyse der Nitrosylschwefelsäure in schwefelsaurer Lösung . . .	445

	Seite
Oximidosulfonate oder Sulfazotate	446
Oximidosulfonate	447
Ursprung der Salpetersäure; chemisch reine Salpetersäure; Reaction zwischen Saurechloriden und Nitraten	448

Phosphor.

Darstellung von Phosphor aus den Phosphaten mittelst Aluminium; Einwirkung des Aluminiums auf Sulfate und Chloride	449
Darstellung von Phosphor und von Phosphorwasserstoff	450
Einwirkung von Phosphorwasserstoff auf Kaliumammonium und Natrium- ammonium: Einwirkung von Chlor auf Phosphoniumjodid; Ver- bindungen der Sulfide des Phosphors, Arsens und Antimons mit den Halogenen	451
Sulfophosphide der Metalle; neue Reihe von Sulfophosphiden, die Thio- hypophosphate	452
Phosphorperoxyd	453
Eigenthümliche Phosphorsäure des Handels	454
Prüfung von Acid. phosphoricum; eigenthümliche Phosphorsäure; eigen- thümlich verunreinigte Phosphorsäure	455
Fabrikation des Superphosphats und Thomasphosphatmehls; Auf- schließung von natürlichen oder künstlichen Phosphaten; Dar- stellung von löslichen Phosphorsäure-Doppelverbindungen der Al- kalien mit Zinn, Kupfer, Zink, Wismuth und Antimon	456
Triammoniumorthophosphat und qualitativer Nachweis des Magnesiums; gesättigt orthophosphorsaures Ammoniumoxyd	457
Condensationsproducte von Phosphaten und Arsenaten mit Chromaten und Sulfaten und über solche von Nitraten mit Sulfaten	458
Diamidophosphorsäure und Diamidtrihydroxylphosphorsäure	459
Amidophosphorsäure; Kaliumdoppelsalze der Unterphosphorsäure	460, 461

Arsen.

Schuller's gelbe Modification des Arsens; gelbes Arsen; Löslichkeit von arseniger Säure	462
Einwirkung des sauren arsenigsauren Kaliums auf Metallsalze	463
Einfluß der arsenigen Säure auf die Vegetation der Algen	464
Kaliumdoppelsalz der Arsenigsäure und Schwefelsäure	465

Antimon.

Verbesserungen in der Reduction von Antimonerzen, Legirungen und Salzen und Reinigung des dabei erhaltenen Metalls; Darstellung von Antimonfluorür-Alkalisulfat-Doppelsalzen	465
Doppelhaloide von Antimon und Kalium, Pyroantimonigsäurehydrat	466
Antimonzinnober ist kein Oxyd; Kermesit	467

Wismuth, Vanadin, Niob, Tantal:

Wiedergewinnung des Wismuths	467
Atomgewicht des Wismuths	468

Einfluß der Magnetisirung und der Temperatur auf die elektrische Leitfähigkeit des Wismuths; Wismuthsalze	469
Einwirkung von Salzsäuregas auf vanadinsaures Natron; zur Kenntniss der complexen Säuren	470
Vanadinphosphorsäuren	471
Versuche mit den Oxyden von Columbium und Tantal	473
Kohlenstoff:	
Zur Chemie des Kohlenstoffs; Verdampfung des Kohlenstoffs	473
Verdampfung des Kohlenstoffs	476
Verschiedene Graphitvarietäten	475
Darstellung einer aufquehbaren Graphitvarietät; Graphite des Eisens	476
Graphite des Eisens	477
Physikalische Eigenschaften einiger aus verschiedenen Metallen ab- geschiedenen Graphite; Eisen von Ovisak; Darstellung von Kohlen- stoff unter starkem Druck; künstlicher Kohlenkörper, Gewinnung von Ruß aus Kohlenstoffverbindungen	478
Gasförmige Zersetzungsproducte beim Erhitzen der Holzkohle auf hohe Temperatur und bei Luftabschluß; Einwirkung von Schwefelsäure auf Holzkohle	479
Einwirkung der Schwefelsäure auf Kohle	480
Veränderung von Steinkohlen unter Wasser; Gasgehalt der Kohle	481
Destillation von Torf	482
Studien über Brennmaterialien	483
Wärmeproduction durch Verbrennung von Kohlen	484, 485
Wärmeverlust bei unvollkommener Verbrennung, Erzeugung bezw. Re- generirung von Kohlenoxydwasserstoffgasen bei der continuirlichen Wasserstoffherzeugung; Entfernung der im Wassergas befindlichen gasförmigen Eisenverbindung (Eisenkohlenoxyd); Gewinnung von Halbwassergas; Dowson-Gas	486
Zur Carburationsfrage	487
Bildung von Wassergas	488
Unvollständige Verbrennung einiger gasförmiger Kohlenstoffverbin- dungen; Verbrennungsproducte von Leuchtgas bei Benutzung eines Argand- und eines Auerbrenners	489
Minimalmengen von Kohlendioxyd und Stickstoff in der Luft, welche verschiedene Flammen zum Erlöschen bringen; Structur und Chemie der Cyangasflamme	490
Einfluß der Zeit auf die Absorption des Kohlenoxyds durch die Luft	491
Versäuerung von Chlor mit Kohlenoxyd unter dem Einfluß des Lichtes; Gewinnung reiner Kohlensäure aus Feuerungs- und Ofengasen	492
Bildung von Kohlensäure und Absorption des Sauerstoffs durch von den Pflanzen abgetrennte Blätter	493, 494, 495
Ueber Kohlensäurehydrat und die Zusammensetzung der Hydrate von Gasen	496
Eigenschaften des Schwefelkohlenstoffs; Einfluß technisch und hy- gienisch wichtiger Gase und Dämpfe auf den Organismus. Schwefel- kohlenstoff und Chlorschwefel	497

Silicium, Titan:

Seite

Einwirkung des elektrischen Bogens auf Diamant, amorphes Bor und kristallisiertes Silicium; Darstellung und Eigenschaften des kry- stallisierten Siliciumcarbids; Carborundum	498
Darstellung von Carborundum	499
Siliciumverbindungen	500
Kristallochemische Theorie der Silicate	501
Zusammensetzung des Topas und deren Beziehung zu seinen physi- kalischen Eigenschaften	502
Zusammensetzung des Apophyllits	503
Constitution der Zeolithe	504, 505
Der feurige Fluß und die Silicate	506, 507, 508
Vorkommen von Cyan-Stickstoff-Titan im Ferromangan	509

Zirkon, Thor, Zinn, Germanium:

Ueber die Verflüchtigung von Kieselsäure und Zirkonerde und über die Reduction dieser Verbindungen durch Kohlenstoff; Chloride des Zirkons	509
Thoriummetaoxyd und dessen Hydrate	510
Reinigung des Thoroxys	511
Verbindungen der Thorerde mit Phosphorsäure und Vanadinsäure	512
Schwefelverbindungen des Thoriums	513
Gewinnung von Zinn; Bildung der grauen Modification des Zinns	514
Verschiedenes Verhalten und Structur des aus verschiedenen Lösungen gefallten metallischen Zinns und die Darstellung reinen Zinn- pulvers; zinnhaltige Conserven	515
Weißes, in Ammoncarbonat lösliches Zinnsulfid	516
Argyrodit und ein neues Sulfostannat des Silbers aus Bolivia	517

Metalle.**Natrium:**

Bleichpulver	518
Zersetzung von Natriumbioxyd durch Aluminium; Verhalten des Na- triumsuperoxyds gegen Säuren	519
Verhalten des Natriumsuperoxyds gegen Alkohol	520, 521
Verhalten des Natriumsuperoxyds gegen Jod und Bleioxyd	522
Durch Natriumsuperoxyd verursachte Explosion	523
Flüchtigkeit von Fluornatrium; Darstellung von Bleichflüssigkeit durch Elektrolyse von Alkalichloriden	524
Dimorphie des Natriumchlorats; Vorbereitung des Salzes für den Har- greavesprocess	525
Verwerthung von saurem Natriumsulfat; Darstellung von festem über- schwefelsaurem Natron; Natriumstickstoff	526
Natriumnitrat in Aegypten	527
Ein neues explosives Gemisch	528
Natriumpyrophosphate	529
Handbuch der Sodaindustrie	530

	Seite
Betriebsführung und Materialverbrauch der Ammoniaksodafabrikation	531
Darstellung von Aetzkali, Salpetersäure und Eisenoxyd; Darstellung von basischen Bleisalzen und Aetzkalken	532
Darstellung von Sulfaten, Aluminaten und Carbonaten des Kaliums und Natriums und Gewinnung von Salzsäure und Schwefel; Darstellung von Alkalicarbonaten	533
Darstellung von Aetzkalken	534
Elektrolyse der Alkalichloride	535
Darstellung von kaustischem Alkali; Elektrolyse von geschmolzenen Salzen	536
Verbesserte Methode und Apparate für elektrische Zersetzung von Alkalisalzen; Verminderung der bei gewissen elektrolytischen Processen erforderlichen Energie	537
Verbesserungen in der Darstellung von Alkali; Verwendung der Chloride von Natrium und Kalium zur Gewinnung nützlicher Producte; Darstellung von Natriumdicarbonat und von Soda	538
Darstellung von Alkalisilicat; Verwendung des Natriumsilicats	539

Kalium:

Oxydation der Alkalimetalle	540
Kaliumtetroxyd, Kaliummonoxyd, Kaliumtrioxyd	541
Amide von Natrium, Kalium und Lithium	542
Natriumamid	543
Natriumammonium, Natriumamid, Kaliumnitrid	544
Lithiumamid	545
Einwirkung von Phosphorwasserstoff auf Kalium- und Natriumammonium	546
Die Dichten von Kalium- und Natriumhydroxydlösungen	547, 548
Elektrolytische Bildung von unterchlorigsauren und chloresäuren Salzen	549
Elektrolytische Bildung von Hypochloriten	550
Elektrolytische Bildung von Chloraten	551
Darstellung von Kaliumchlorat auf elektrolytischem Wege	552
Fabrikation von Kaliumchlorat	553
Kaliumnatriumchlorat; Kalium jodatum	554
Beschaffenheit des Kaliumjodids Marke U. S. P.	555
Raffinirverfahren für Rübenpotasche	556

Rubidium, Cäsium, Thallium:

Die Salze des Rubidiums und ihre Bedeutung für die Pharmacie . .	556
Rubidiumsalze	557, 558
Neue Darstellungsmethode der Alkalimetalle	559
Thermochemische Bestimmung der Einwirkung des metallischen Cäsiums und seines wasserfreien Oxyds auf Wasser	560
Einwirkung von Wasserstoff auf wasserfreies Cäsiumoxyd	561
Einige physiko-chemische Eigenschaften der Haloidsalze des Cäsiums .	562
Atomgewicht des Thalliums; das saure Thalliumcarbonat; Thalliumtrijodid und seine Beziehung zu den Trijodiden der Alkalimetalle	563
Hypophosphate des Thalliums	564

Beryllium, Magnesium:

Seite

Werthigkeit des Berylliums und Formel der Beryllarde; metallische Reduktionsmittel; Dekahydrate des Brom- und Jodmagnesiums . . .	565
Bestimmung der Dichte der geschmolzenen Magnesia	566
Einwirkung des Phosphortrichlorids auf Magnesiumnitrid, über Magnesiumnitrit; ein krystallisirtes neutrales Magnesiumcarbonat . .	567

Calcium:

Die elektrische Leitfähigkeit einiger Lösungen von Salzen, besonders des Calciums, Strontiums und Baryums	568
Hydrate von Calciumbromid und -jodid, basische Calciumsalze . . .	569
Aufarbeitung von Chlorcalcium- und Chlormagnesiumlängen; freie alkalische Erden in carbonathaltigem Gestein	570
Aetzkalk enthaltendes Brunnenwasser; das Harten des Mörtels . . .	571
Reduction von Gyps zu Schwefelcalcium	572
Löslichkeit des wasserfreien Gypses; Ursache und Bedingungen des Erhartens von Gyps	573
Das Abbinden von Scott's Cement; Einwirkung von Wasser auf Dicalciumphosphat	574
Darstellung eines krystallisirten Calciumcarbids im elektrischen Ofen .	575
Darstellung von Kohlenstoffverbindungen der Eralkalimetalle; Kesselsteinbildung	576
Härtescala für Glas	577
Glasvergoldung; Einwirkung von Säuren auf Glas	578
Chemisches Verhalten von Glassorten	579
Erscheinungen bei der Verwitterung der Gläser und bei der Zersetzung derselben durch Wasser	580

Strontium, Baryum:

Ueber den Ersatz des Kalkes durch Strontium im thierischen Organismus	580
Zusammensetzung von Steinkohlen-Grubenwässern	581
Neubestimmung des Atomgewichtes von Baryum	582, 583
Das weit verbreitete Vorkommen von Baryum und Strontium in Silicatgesteinen	584
Baryumsuperoxyd	585
Stickstoffbaryum; über die künstliche Darstellung der dem Apatit und der Thomasschlacke analog zusammengesetzten Baryum- und Strontiumverbindungen	586
Untersuchung des krystallisirten Baryum- und Strontiumcarbids . . .	587

Bor, Aluminium, Oer:

Dimorphie des Kaliumfluoborats; die Borsäurewerke in Lardarello; Flüchtigkeit des Borax	588
Reaction zwischen Borax, Carbonaten und mehrwerthigen Alkoholen, sowie über die Zusammensetzung des Borax	589
Ueber die Chlor- und Bromboracite	590
Darstellung und Eigenschaften von Borearbid	591

	Seite
Reduction der Thonerde durch Kohle und durch Wasserstoff . . .	592
Dichte einiger geschmolzener Salze; Unreinheiten des technischen Aluminiums	593
Löthen von Aluminium; Ueberziehen von Aluminium mit anderen Metallen	594
Giftigkeit des Aluminiums; Darstellung von Aluminiumchlorid . . .	595
Darstellung von Thonerde aus Thon; kryoskopische Untersuchungen mit Aluminaten und Boraten von Alkalimetallen	596
Verbesserte Darstellung von Krystallen; Darstellung von Aluminiumsulfid	597
Schwefelsaure Thonerde des Handels	598
Basisches Aluminiumsulfat	599
Darstellung eines krystallisirten Aluminiumcarbids; Einwirkung des Aluminiums auf Kohlenstoff und seine Verbindungen	600
Versuche zur Bestimmung der Schwereschmelzbarkeit feuerbeständiger Thone	601
Einwirkung der Sande und Wässer der Sahara auf die hydraulischen Kalke; Chemie des Cers	602
Chemie des Cers	603
Cerlichromat und Trennung des Cers von Lanthan und Didym . . .	604
Eisen:	
Spectrophotographie von elektrolytischem Eisen	604
Allotrope Umwandlung des Eisens; Rolle der Umwandlungen des Eisens und des Kohlenstoffs bei dem Härtungsprocesse	605
Umwandlungstemperaturen von Eisen und Stahl; Bildung von Eisen- hochofenschlacke vom thermochemischen Standpunkte aus be- trachtet; Vorgänge bei Darstellung von fertigem Schweiß-eisen aus Rohluppen	606
Struktur des Stahls; Ausscheidungen in Stahl- und Eisengüssen und deren Folgen; über Arnold's Arbeiten über den Einfluß der wichtigsten Eisenbestandtheile	607
Schwefel im Eisen	608, 609
Entschwefelung des Roheisens; Entschwefelung des Roheisens durch Baryum	610
Schwefel im basischen Bessemerproceß; über die verschiedenen Arten des Vorkommens von Phosphor in Eisen und Stahl	611
Verhalten von Eisenphosphid und Eisenphosphat bei der Analyse . .	612
Chemische Beziehungen von Kohlenstoff und Eisen	61
Untersuchungen von Arnold und Read über die Formen des Kohlen- stoffs im Stahl	61
Carbid des Eisens	61
Vertheilung des Gesamtkohlenstoffs im Gießereiroheisen; Ersatz des Kohlenstoffs durch Bor und Silicium im geschmolzenen Gußeisen	616
Ueber gesetzmäßig variirenden Siliciumgehalt im Roheisen eines und desselben Hochofenstiches; Aluminiumzusatz zu Flußmetall . . .	617
Die Metall- namentlich Stahlreinigung durch Aluminium; Legirungen von Eisen und Nickel	618
Manganstahl; Versuche über ein Wolframeisen	619

	Seite
Ueber Cementstahl, Ferrochrom, Wolframeisen, Chrom- u. Wolframstahl	620
Oxydation und Corrosion von Eisen und Stahl	621
Verfahren, Eisenchlorid in feste und haltbare Form überzuführen; Molekulargewicht des Eisenchlorids	622
Hydrate von Eisenjodur und -bromür; über die Doppelchloride und -bromide von Cäsium, Rubidium, Kalium und Ammonium mit dreierwerthigem Eisen, sowie Beschreibung zweier Ferro-Ferri- doppelbromide	623
Künstliche Darstellung von Hämatit	624
Fabrikation von Eisenoxyd; Darstellung von Eisenoxydfarben; che- misches Verhalten von Arsenkies	625
Ueber Alaune und besonders über den Kali-Eisenalaun	626
Nickel, Kobalt:	
Chlorirende Röstung armer Nickelerze; Nickel und dessen wichtigste Legirungen	627
Darstellung von walz- und schmiedbarem Flußnickel und dessen Le- girungen	628
Doppelhalogenide von Cäsium mit Kobalt und Nickel; Entschwefelung von Kobalt und Nickel	629
Metallsulfide; Sulfide von Nickel und Kobalt	630
Zur Constitution anorganischer Verbindungen	631
Constitution der Kobalt-, Chrom- und Rhodiumbasen	632
Complexe Kobaltverbindungen	633
Xanthokobaltsalze	634
Dinitrotriaminkobaltsalze	635, 636
Mangan, Chrom:	
Elektrolytische Darstellung von Mangan; Stickstoffverbindungen des Mangans	637
Einwirkung von metallischem Magnesium auf Mangansalze	638
Die Oxydationsstufe des Mangans in den bei der Reduction des Ka- liumpermanganats entstehenden Niederschlägen	639
Schnelle Darstellung von Chrom und Mangan bei hoher Temperatur; neue Untersuchungen über Chrom	640
Chromcarbid; reines Chrom	641
Lösungen des grünen Chromchlorids, molekulare Umlagerungen bei einigen Chromderivaten	642
Umwandlungen von Chromverbindungen	643
Fabrikation von Alkalichromaten; Eisenchromate	644
Chlorchromsaures Kali	645
Chlor- und amidochromsaure Salze	646
Azidochromate; Phosphorchromate	647
Wolfram, Molybdän, Uran:	
Darstellung von Wolfram, Molybdän und Vanadin im elektrischen Ofen; Molybdän-, Wolfram- und Chromeisenlegirungen als Lösungen	648
Einwirkungen von Phosphorpentachlorid auf Molybdänsäure	649

	Seite
Phosphorpentachlorid und Wolframtrioxyd; Darstellung von Molybdänhexachlorid; Einwirkung von Molybdändioxyd auf Silbersalze . .	650
Analyse eines Molybdänminerals und Existenz eines Ferrotetramolybdate; schwefigmolybdänsäure Salze	651
Unorganische complexe Säuren	652
Ammoniumverbindungen der sogenannten Phosphor- und Arsenmolybdänsäuren	653
Complexe anorganische Säuren; Phosphorwolframsäure	654
Phosphorduodecimolybdänsäure und Phosphorluteomolybdänsäure	655, 656
Wolframvanadate	657, 658
Reaction zwischen Molybdänsäure und einfach und zweifach chromsaurem Kalium; Darstellung von Uran bei hoher Temperatur . .	659
 Zink, Cadmium:	
Verarbeitung zinkhaltiger Kiesabbrände durch chlorirende Röstung .	660
Bereitung einer Zinklösung aus Zinkerz; Vorbereitung zinkischen Rohmaterials zur Elektrolyse; künstliche Krystalle von Zinkoxyd; Verbindungsform des in abgerösteten Zinkblenden verbliebenen Schwefels	661
Colloidales Zinkulfid; Brechungsexponenten von wässrigen Cadmiumsalzlösungen	662
 Blei:	
Metallurgie des Bleies; neue flüchtige Bleisulfidverbindungen	663
Einwirkung von Bleisulfid auf das Sulfat und Oxyd des Bleies . . .	664
Darstellung von Chlor und raffiniertem Blei nebst Gewinnung des im Blei enthaltenen Silbers	665
Gewinnung von reinem Blei; eigenthümliche Ausscheidung von Blei; giftige Wirkung der Bleisalze; das Doppelsalz des Trihydrats von Jodlithium mit Jodblei	666
Löslichkeit von Metalloxyden in den normalen Kaliumsalzen von Weinsäure und anderen organischen Säuren	667
Darstellung von Bleisuperoxyd; Darstellung der Alkalisalze der Orthobezw. Metableisäure; Darstellung von Bleiweiße	668
 Kupfer:	
Ueber einige sehr alte kupferne Gegenstände aus Chaldäa	668
Neue kupferne Gegenstände aus Altägypten; langsame Veränderung von kupfernen Gegenständen im Erdboden und in den Museen .	669
Elektrolytische Gewinnung von Kupfer; Verhalten von Coniferenbölzern zu den Halogensalz-Kupferextractionsalgen	670
Verarbeitung armer Kupferschiefer mittelst Verwitterungsprocesses; elektrolytisches Kupferbad; Kupferkrystalle im Aventuringlas . .	671
Wirkung des Kupfers auf den thierischen Organismus	672
Das Kupfer vom Standpunkte der Toxikologie; pharmakologische Wirkungen des Kupfers	673
Neuere Kupferlegirungen; Mangantrichlorid und Chlorokupfersäuren .	674

	Seite
Casumcuprichloride; Casumcuprichloride	675
Casumcupribromide; Cupriammoniumdoppelsalze	676
Cupriammoniumdoppelsalze	677
Kupferbromid	678
Bronhydrazat des Kupferbromids und ein rothes Natriumkupferbromid; Absorptionspectren des Kupferbromids	679
Absorptionspectren der Lösungen von Kupferbromid in Bromwasserstoff	680
Darstellung von Kupferoxydul; basische Kupfernitrate; Bildung kry- stallisirter Verbindungen beim Deaconproceß	681
Verhüttung der Zinnobererze	682, 683
Das alte und moderne Quecksilberverhüttungswesen in Idria; Queck- silbergehalt der Luft in Spiegelbeleganstalten	684
Verdampfen von Quecksilber in den Wohnräumen; Löslichkeit von Quecksilbersalzen in Schwefelkohlenstoff, Fabrikation von Calomel in Japan	685
Molekularzustand des Calomeldampfes	686
Molekulargewicht des Quecksilberchlorürs; Molekularzustand des Ca- lomeldampfes; Verhalten von Jodoform zu Calomel	687
Flüchtigkeit des Quecksilberchlorids; eine isotherme Curve für die Lös- lichkeit von Quecksilber- und Natriumchlorid in Essigäther	688
Beständigkeit verdünnter Lösungen von Sublimat	689
Luftbeständigkeit von Lösungen 1:1000 des Quecksilberchlorids; Be- ständigkeit wässriger Lösungen von Quecksilberchlorid	690
Das Verschwinden des Quecksilbers aus den Sublimatlösungen bei der Desinfection; das auf nassem Wege dargestellte krystallisirte Mercurjodid; Sublimation des rothen und gelben Quecksilberjodids	691
Darstellung von Kaliummercurjodid; Quecksilbersulfür	692
Synthetische Bildung von Zinnoberkrystallen; über die Umwandlung des schwarzen Quecksilbersulfids in rothes und die Dichte und specifische Wärme beider Körper	693
Mercurisulfate	694
Mercurinitrate	695

Silber:

Extraction silberhaltiger Aufbereitungsabgänge mittelst des Russellpro- cesses	695
Rossler-Edelmann'scher Bleientailberungsproceß	696
Ueber eine Form des Silbers, welche durch Reduction von Silbersulfid mit Wasserstoff erhalten wird; Farben von Textilfasern, Leder, Holz u. dergl. mit Silber-, Uran- und Chromsalzen; colloidales Silber	697
Lösungen von metallischem Silber; Beobachtungen am colloidalen Silber	698
Reactionen einiger Silberverbindungen mit reducirenden Salzen	699
Das Product der Einwirkung von Mercurchlorid auf metallisches Silber	700
Verbindungen von Ammoniak mit verschiedenen Silbersalzen; Lös- lichkeit des Chlor-, Brom- und Jodsilbers in verschiedenen Lösungs- mitteln	701

Gold:

	Seite
Ueber den Ursprung des moosförmigen Goldes	702
Ursprung der „gold nuggets“	703, 704, 705
Structur der „gold nuggets“	706
Einwirkung von Cyankalium auf Gold und einige andere Metalle und Mineralien	707
Cyankalium zur Goldextraction	708
Neuere Verfahren der Goldgewinnung	709
Mac Arthur-Forrest-Proceß	710
Die neue Witwatersrand-Goldindustrie in Transvaal	711
Die Behandlung der Golderze auf den Witwatersrandgoldfeldern	712
Gewinnung des Goldes	713
Allgemeiner Goldextractionsproceß	714
Behandlung der Goldsulfide vom Chlorations- und Bromationsproceß; neues Verfahren, Golderze mit Brom zu behandeln unter Regeneration des angewandten Broms	715
Verbesserungen in der Extraction von Gold und Silber aus Erzen und dergleichen durch Lösungsmittel und Apparate; Extraction von Gold aus reinen Erzen; Gewinnung von Gold aus reiner Chloridlösung	716
Fällung von Gold aus Cyanidlösungen durch Aluminium; colloidales Gold	717
Das specifische Gewicht des Goldes in Goldsilberlegirungen; Chloraurat des Silbers	718

Platinmetalle:

Atomgewicht des Palladiums; Doppelbromüre von Palladium; Einwirkung der Wärme auf die Alkalidoppelnitrite der Metalle der Platingruppe; Verbindungen des Rutheniums	719
Ruthenium und seine Nitroschloride	720
Neue Methoden zur Darstellung von Platinchloriden; wahrscheinliche Existenz eines Platinsubchlorids	721
Chemische und calorimetrische Untersuchungen über einige Haloidverbindungen des Platins; Verbindungen des Platosomonodiamins	722
Constitution der Platosooxalylverbindungen	723

Inhaltsverzeichnis des zweiten Theiles.

Organische Chemie.

Allgemeines:	Seite
Nomenclatur der organischen Chemie; Constitutionsbestimmung auf kryoskopischem Wege	725
Tautomerie	726, 727
Berechnung der möglichen Isomeren in einem kohlenstoffhaltigen Moleküle; optische Isomerie in Körpern mit geschlossenen Ketten; Stereochemie	728
Stereoisomerie und die sogenannte stereochemische Isomerie; Blausäure, ein Reagens auf symmetrische Oxime, Hydrazene und Anilinderivate; Anilide und Toluide der Glycosen	729
Cyanide von Aniliden und Toluiden der Glycosen	730
Drehungsvermögen in der Serie der Ester der activen Diacetyl-glycerinsäure; Einfluss der Temperatur auf die optische Activität organischer Flüssigkeiten	731
Die molekulare Asymmetrie und das Drehungsvermögen organischer Körper; Einfluss der Stellungsisomerie auf das Drehungsvermögen optisch activer Körper	732
Spaltung der ungesättigten Körper	733
Das zweiwerthige Kohlenstoffatom	734, 735, 736
Formylchloridoxim; Krystallisationspunkt einiger organ. Substanzen	737
Schmelzwärmen einiger organischer Verbindungen; hydrolytische Spaltung organischer Substanzen	738
Hydrirungsmethode durch Natrium und Alkohol; Verstärkung der Wirksamkeit von Condensationsmitteln; Tschireh's natürliches System der neuen Arzneimittel; künstliche Darstellung kohlenstoffhaltiger Arzneimittel	739

Verbindungen der Fettreihe.

Kohlenwasserstoffe:	
Verbrennungswärme der wichtigsten Kohlenwasserstoffe	739
Oxydation von Wasserstoff und Kohlenwasserstoffen	740, 741
Chemische Eigenschaften von Gasen, qualitative Reactionen; Substitutionsprodukte der Einwirkung von Chlor auf Methan	742
Darstellung der Paraffine; Aethan und Propan	743
Aethan und Propan	744
Optisches Verhalten einiger die Amylgruppe enthaltender Kohlenwasserstoffe; Bildung von Naphtalin und Benzol bei der Leuchtgasfabrikation	745

	Seite
Trocknen von Leuchtgas mittelst Schwefelsäure; Oelgas; Oxyölgas (Tatham's Process) zur Aufbesserung von Leuchtgas; Darstellung von Schwefelgas aus flüssigen Brennstoffen	746
Verfahren, Benzin für Beleuchtungszwecke untauglich zu machen; Entschwefelung von übelriechendem Erdöl; Säurebildung in Erdölen; Petroleumindustrie	747
Ceresinindustrie; Bleichen von Mineralöl; künstlicher Brennstoff; stickstoffhaltige Bestandtheile im californischen Bitumen; Ursprung des Bitumens; Verhalten der Chloranhydride der Säuren zu den Aethylenkohlenwasserstoffen bei Gegenwart von Chlorzink	748
Einwirkung von Hitze auf Aethylen	749
Die mit Propylen isomeren Gase und ihre Schwefelsäureverbindungen; Trimethylen und Propylen und eine neue Classe von Kohlenwasserstoffen; dynamische Isomerie	750
Condensation von Caprylen; Atomgewicht des Kohlenstoffs	751
Verbindungen der inactiven Kohlenwasserstoffe; Atomgewicht des Kohlenstoffs; Quecksilberacetylid; Hydratation der Acetylene	752
Linaloolen. Hicen, ein aus <i>Ilex aquifolium</i> L. dargestellter neuer Kohlenwasserstoff	753
Gewinnung von Ruß aus Kohlenstoffverbindungen	754

Haloidderivate der Kohlenwasserstoffe:

Fluoride der Fettreihe	754
Zur Chloroformfrage	755
Darstellung von Tetrachlorkohlenstoff; Producte der Einwirkung des Chlors auf Trimethylen, Darstellung von Perchloräthylen und die Einwirkung von ozonisirtem Sauerstoff auf diesen Körper	756
Bromirte Derivate des Perchloräthylens; Oxydation einiger ungesättigter bromirter Kohlenwasserstoffe; Darstellung reinen Bromäthyls	757
Darstellung von Bromoform; Darstellung von Kohlenstofftetrabromid	758
Darstellung von Tetrabromkohlenstoff; Substitution in der aliphatischen Reihe, Hexamethylen dibromid und seine Einwirkung auf Natrium und auf Natriummalonsäureäthylester	759
Hexamethylen dibromid	760
Einwirkung von Brom auf Diallyl; Zersetzbarkeit des Jodoforms	761
Kohlenstofftetraiodid, -tetrabromid und -tetrachlorid	762

Nitroso- und Nitroderivate:

Tetramethylethylennitroschlorid; Einwirkung von Nitrosylchlorid auf ungesättigte Verbindungen	763
Constitution der Salze der Nitroparaffine	764
Nitroparaffine, Nitroathan, Nitromethan, Nitropropylnatrium	765
Dinitroäthansilber	766
Nitromethan und seine Homologen	767
Natrium- und Kaliumnitromethan; Aethylnitrosäure und Nitromethan; Einwirkungsproduct von Stickoxyd auf Natriumäthylat	768

	Seite
Die Nitrirung der ungesättigten Kohlenwasserstoffe durch verdünnte Salpetersäure	769

Alkohole:

Die latente Verdampfungswärme der gesättigten Alkohole der Fettreihe; Rectification des Alkohols; Reinigung von alkoholischen Flüssigkeiten; Oxydation des Alkohols durch Fehling'sche Lösung	770
Aethylat des Calciums; Butylalkoholgährung und das Buttersäureferment; Einwirkung des Chlors auf Isobutylalkohol	771
Isobutylalkohol; Chlorisobutylaldehyd	772
Einwirkung des Chlors auf die secundären Alkohole	773
Die optische Drehung einiger Derivate des Amylalkohols	774, 775
Pentadecylalkohol aus Palmitinsäure	776
Aethylallylcarbinol	777
Einige secundäre Allylalkohole; Allylmethyläthylcarbinol und daraus sich bildendes Heptylglycerin	778
Allylmethylhexylcarbinol und das daraus sich bildende Hendecatylglycerin; Lanolinalkohol	779
Lanolinalkohol	780
Licareol und Linalol; Darstellung von Geraniol aus Citronellöl; Geraniol des Oeles von Andropogon Schönanthus	781
Constitution des Licareols	782
Licareol	783
Constitution des Rhodinols aus Pelargoniumöl	784
Reuniol, ein neuer Terpenalkohol, Ersatz für Rosenöl	785
Methyläthylpropyläthylenglycol; synthetisch gewonnene mehrwerthige Alkohole aus Aldehyden und Ketonen mittelst Formaldehyd	786
Verbindungen des Formaldehyds mit mehrwerthigen Alkoholen	787
Mannittriformacetal, Adonitdiformacetal	788

Alkoholische Getränke.

Die Lagerung bei geistigen Flüssigkeiten und Getränken; Bildung des Mannits im Weine	789
Mannitgährung in sicilianischen Weinen	790
Mannithaltige Weine	791
Schweflige Säure im Wein	792
Veränderungen der schwefligen Säure im Wein	793
Chemische Wirkung des Abrastols auf den Wein	794
Kornfuselöl; Behandlung der ungehopften Bierwürze mit ozonhaltiger Preßluft; Brauverfahren; Darstellung gehopfter Bierfarbe	795

Aether und Ester:

Reinigung von künstlichem Aethyläther; zur Charakteristik des Aethyläthers; Löslichkeit des Aethyloxydes in Wasser und wässriger Salzsäure	796
Einwirkung von Brom auf die Aether in Gegenwart von Schwefel	797

	Seite
Cyanäther	798
Aethylenoxyd	799, 800, 801
Ein Polymeres des Epichlorhydrins	802, 803
Epiäthylin; Acetoläther	804, 805, 806
Abhängigkeit der elektrischen Leitfähigkeit von der Temperatur bei den zusammengesetzten Aethern; Ester des activen Amylalkohols	807
Drehungsvermögen der isomeren Ester in der Amylreihe; Darstellung des Salpetersäuremethylesters	808
Darstellung von Aetherschwefelsäuren; Aethylphosphorsäure; Calcium- glycerinphosphat und eine praktische Methode zur Darstellung	809
Glycerinphosphorsäure Salze	810, 811
Schwefelderivate der Kohlenwasserstoffe und Alkohole:	
Affinitätscoefficienten der Alkylsulfide für die Alkyljodide; Geruchs- verhältnisse der Alkylsulfide; Vorkommen von Aethylsulfid im Hundeharn und einige Reactionen zur Auffindung der Aethylsulfide	812
Aethenyltrisulfid; sulfonirte Producte aus Mineralölen und Schwefel- säure	813
Gesättigte Säuren mit 2 At. Sauerstoff:	
Wärmewerth der aliphatischen Säuren	814, 815, 816
Thermische Untersuchungen der organischen Säuren und besonders der Säuren der Oxalsäurereihe; Elektrolyse einiger substituirt organ- ischer Säuren	817
Elektrolyse organischer Säuren	818
Die Constitution der fetten Säuren und die Löslichkeit ihrer Salze; Oxydation normaler fetter Säuren	819
Oxydative Spaltung der Fettsäuren bei gewöhnlicher Temperatur ohne Fermente; Anomalien bei Verkettungen	820
Aethylenester der Glycol- und Oxalsäure und die Anhydride α -haloge- nisirter Fettsäuren	821
Oxalsäureäthylenester; Anhydride von Halogenfettsäuren; Polyglycolid	822
Reduction der organischen Säurechloride; elektrische Leitfähigkeit der Ameisensäure	823
Ameisensaures Chromoxyd; Acetin; Verhalten der Dichloressigsäure gegen Ammonsulfhydrat	824
Umwandlung der Propionsäure in Milchsäure	825
β -Brompropionsäure; Dibrompropionsäure	826
Nitrosopropionsäureäthylester	827
Reaction des Methylbrompropionats auf Natriumnitrit	828
Methyl- und Aethylnitrosobutyrat; $\alpha\beta$ -Dibromisovaleriansäure	829
Die Methyl-2-pentansäure-5 und die Löslichkeit ihrer Calcium-, Baryum- und Silbersalze	830
Die active Amylessigsäure und einige ihrer Derivate	831
Fettsäuren des Lanolins	832
Zur Geschichte der Behensäure; Isolirmasse aus Stearinpech	833

Ungesättigte Säuren mit 2 At. Sauerstoff:

	Seite
Ungesättigte Säuren; Umlagerungen bei den ungesättigten Säuren;	
Umlagerung der $\beta\gamma$ -Pentensäure	833
Aethylidenpropionsäure; Propylenessigsäure	834
Umwandlungsversuche mit der $\gamma\delta$ -Pentensäure (Allylessigsäure); Pentensäuren, welche durch Einwirkung von Propionaldehyd auf Malonsäure entstehen	835
Krystallform der Mono- und Dibromvaleriansäure	836
Umlagerung der Angelicasäure und Tiglinsäure	837
Oxydation von Tiglinsäure und Angelicasäure	838
Umlagerung der $\beta\gamma$ -Hexensäure (Hydrosorbinsäure)	839
Hexensäure, Dibromcapronsäuren	840
Umlagerung der $\beta\gamma$ -Isoheptensäure	841
$\alpha\beta$ -Dibrom-, β -Brom-, β -Oxyisoheptylsäure	842
Oxydationsproducte der $\beta\gamma$ - und $\alpha\beta$ -Isoheptensäure	843
$\beta\gamma$ -Dioxyheptylsäure, Isoheptenlacton, δ -Dimethylavulinsäure	844
Umlagerung der $\beta\gamma$ -Isotensäure	845
Oxydationsproducte der $\beta\gamma$ - und $\alpha\beta$ -Isotensäure	846
Acrylsäure und ihre Derivate	847
Condensation von Aceton mit Malonsäure zu β -Dimethylacrylsäure	848
Dimethylacrylsäure	849
Bildungsbedingungen und krystallographische Eigenschaften der beiden stereoisomeren α -Methyl- β -chlorcrotonsäuren aus der α -Dichlor- β -dimethylbernsteinsäure	850
Derivate von Tetramethylen	851
Hydroxy-, Chlor-, Brom-, Jodtetramethylen	852
Itribromtetramethylenedicarbonsäure	853
Bromdihydrotetrenicarbonsäure, Dioxytetramethylenedicarbonsäure	854
Dihydrotetrenedicarbonsäure	855
Neue Synthese der Pentamethencarbonsäure	856
Synthese von Pentamethylen-carbonsäure, Hexamethylen-carbonsäure (Hexahydrobenzoesäure) und Azelainsäure	857
Hexamethylen-carbonsäure, Hexahydrobenzoesäure, Pentamethylen-carbonsäure	858
Heptantetracarbonsäure	859
Hexahydro-o-toluylsäure; Darstellung der Campholsäure	860
Salze der Campholsäure; Ester der Campholsäure	861
Derivate der Campholsäure	862
Eine neue mit der Campholsäure isomere Säure; Isocampholsäure	863
Umwandlung der Elaidinsäure in Isoölsäure und Oelsäure; Isoerucasäure	864
Umwandlung der Brassidinsäure in Isoerucasäure; Oxydation der Brassidinsäure mit Kaliumpermanganat in alkalischer Lösung, Einwirkung von Natriumbisulfit und schwefliger Säure auf Oel- und Erucasäure	865
Constitution der Oelsäure, Erucasäure und der mit ihnen isomeren Säuren	866
Campholsäuren und Campholenamide	867

	Seite
Umwandlung von Verbindungen der Citralreihe in Isomere	868
Hypogäalsäure, Palmitolsäure, Ketopalmitinsäure, Behenolsäure	869
Thierische und pflanzliche Fette, Wachsarten. Fette.	
Wollfett:	
Raffiniren von Fetten und Oelen; Untersuchung des Wollfettes	870
Wollfett, Eigenschaften verschiedener Proben, Verseifung	871
Abscheidung von Wollwachs aus Wollfett; Darstellung einer wasserfreien Lösung von Wollfett in Benzin; Darstellung von hellem Wollfett; Zerlegung von Wollfett in seine Bestandtheile; fractionirte Destillation von Wollfett; Darstellung von halb- und ganzconsistenten Oelen und Fetten	872
Milch, Butter, Käse:	
Milchuntersuchungen	872
Casein der Kuhmilch	873
Milchsterilisation und Fettsäureabscheidung aus sterilisirter Milch; Verlust der Milch an Gesamttrockensubstanz beim Aufbewahren	874
Ein Milchfehler und seine Ursache	875
Zusammensetzung und Beschaffenheit der aus den großen und den kleinen Fettkugeln der Kuhmilch gewonnenen Butter, das Ranzigwerden und die Säurezahl der Butter	876
Säuerungsverfahren für die Erzeugung von Butter; Cheshirekäse	877
Blaufarben des Käses; Grünfärbung lombardischer Käse	878
Seifen, Oele, Wachsarten:	
Verhalten der fettsauren Alkalien und der Seifen in Gegenwart von Wasser	878
Verhalten der neutralen und sauren Natriumsalze der Palmitin-, Stearin- und Oelsäure	879
Verhalten der fettsauren Alkalien und der Seifen in Gegenwart von Wasser	880
Darstellung von festen Kali- und Kaliumseifen; Darstellung von Natronseife; Darstellung von Türkischrothölseife; Insectenvertilgungsmittel	881
Temperaturerhöhung der Oele mit Schwefelsäure; Auspressen des Oeles aus ölhaltigen Pflanzen und Früchten unter Zusatz von Salz oder Zucker; Verhalten der fetten Schmieröle gegen Metalle	882
Untersuchung von Mischungen verseifbarer und unverseifbarer Fette; Ranzigwerden der Speiseöle; Untersuchung von Mehlsorten; Untersuchung des Haarfettes	883
Untersuchung des Fettes des Maismehles	884
Oxydirtes Leinsamenöl; Sonnenblumenöl; Sonnenblumenkuchennmehl	885
Kurbiöl	886
Bilsenkrautamenöl; Darstellung von Kautschukerrogaten aus trocknenden Oelen und Chlorschwefel; Verfahren zum Verdicken trocknender Oele; Extraction der freien Säuren aus dem Bienenwachs	887

Ueber einen neuen Bestandtheil der Traubenbeeren amerikanischer Reben und den Wachskörper derselben	888, 889
--	----------

Säuren mit 3 At. Sauerstoff:

Reaction der Alkoholsäuren; Drehungsvermögen des Pyrotraubensäure- und Milchsäureamylesters	890
Derivate der Glycolsäure	891
Dichloranilacetessigsäureanilidchlorid; Dianildichlorcyklobutan	892
Dichloracetanilid, Phosphorsäuretriglycolsäureanilidester, Glycolsäure- o-toluid	893
Phosphorsäuretriglycolsäuretoluidester; Glycolsäure-p-toluid	894
Verhalten des Äthylglycolsäuren Kalks bei der trockenen Destillation . .	895
Hydroxylaminessigsäure und α -Hydroxylaminpropionsäure	896
Derivate der Milchsäure	897
Phosphorsäuretrimilchsäureanilidester; Brenztraubensäuretoluide . . .	898
Chlorpropionsäuretoluid, Phosphorsäuretrimilchsäuretoluidester	899
Milchsäuremethylanilid; Milchsäure- α -naphthalid	900
Vorkommen von Fleischmilchsäure in pathologischen Harnen	901
Derivate der beiden α -Oxybuttersäuren	902
Propionylameisensäure-p-toluid; α -Oxyisobuttersäure	903
α -Oxyisobuttersäureanilid; Phosphorsäuretri(oxyisobuttersäureanilid)- ester	904
Einige Derivate der δ -Oxycapronsäure	905
Substituirte Crotonolactone und Mucobromsäure	906
$\alpha\beta$ -Dibromocrotonolacton; Mucobromsäure; β -Bromocrotonolacton . . .	907
α -Bromocrotonolacton; Crotonolacton; Mucobromsäure; Mucobromoxim .	908
Die aus der Einwirkung von Blausäure auf ungesättigte Aldehyde hervorgehenden Verbindungen	909
Constitution der Ricinölsäure und Ricinatearolsäure	910
Ketoxystearinsäure; Ketoximoxystearinsäure	911
Constitution der Ricinölsäure und ihrer Derivate	912
Ricinelaidsäure, Ricinsäure	913
Optisch active Ricinölsäuren und Ricinelaidsäuren	914
Ricinusöl, Ricinelaidin- und Ricinatearolsäure	915
Constitution der Oele für Roth	916
Riciniussäure, Ricinoriciniussäure, Dioxystearinsäure	917

Ketonsäuren:

Darstellung von Aethoxymethylen und Oxymethylenderivaten	918
Freiwillige Bildung von Brenztraubensäure in einer wässrigen Lösung von Weinsäure; Unabhängigkeit der Bildung von Brenztrauben- säure in einer wässrigen Weinsäurelösung von Mikroorganismen; Harnstoffabkömmlinge der Tribrombrenztraubensäure	919
Neue Bildungsweise der Sulfarinsäure; Einwirkung von primären aromatischen Basen auf dissymmetrische Ketonverbindungen	920
Natriumacetessigsäureester, chemische Function und Constitution des Acetessigesters	921

	Seite
Eintritt der Halogene in das Molekül des Acetessigesters	922
Halogenacetessigesters; α -Chloracetessigester	923
Chlorirte und bromirte Acetessigester	924
α - und γ -Bromacetessigester	925
Eine merkwürdige intramolekulare Umlagerung	926
Ursache der Umlagerung von α -Bromacetessigester in γ -Bromacetessigester; Reduction des Isonitrosoacetessigesters	927
Acetessiganilid	928
Acetylglyoxylsäurederivate; Methylisoxazon	929
Darstellung des Methylendiacetessigesters und seiner Homologen . . .	930
Formel der Oxybrassidinsäure (Ketobehensäure); Constitution der Oxybehensäure; Spaltung d. Behensäure; Constitution d. Stearolsäure . . .	931
Condensation von Methyläthylketon mit Malonsäure	932
Kohlenoxydspaltung des Oxalessigesters und seiner Derivate	933
Einwirkung von Diazobenzol auf Acetondicarbonsäure	934
Phenyl- und Chlorphenylbenzolazopyrazol	935
Einwirkung von salpetriger Säure auf den Acetylglutarsäureester . .	936
Salze der Dehydracetsäure; Abbau des Dioxobernsteinsäureesters zu Oxomalonsäureester und Oxalester durch Abspaltung von Kohlenoxyd	937
Constitution des Diacetbernsteinsäureesters	938
Isocarbopyrotitritsäure, Diacetbernsteinsäurelacton	939
Ringbildung aus Kohlenstoffketten	940
Ringförmiges Analogon des Ketipinsäureesters; chemische Function der Filixsäure	941

Gesättigte Säuren mit 4 At. Sauerstoff:

Darstellung der Glyoxylsäure	942
Nachweis der Glyoxylsäure	943
Glyoxylsäure	944
Condensation der Glyoxylsäure mit Phenolen	945
Scharlachsäure, ein Thioharnstoffderivat der Glyoxylsäure	946
Aethylenester zweibasischer Säuren	947
Dibernsteinsäurediäthylenester; Kohlensäureäthylenester	948
Aethylchloräthylsuccinat; Bernsteinsäurebischloräthylester	949
Kohlensäure-, Fumar-, Maleinsäureäthylenester	950
Verhalten der Oxalsäure beim Erhitzen; Wirkung des Thionylchlorids auf Oxalsäure und Ameisensäure; Botrytis Bassiana und dessen krystallinische Producte	951
Kohlendioxydabspaltung bei den alkylsubstituirten Malonsäuren; Vorkommen und Bildung der Bernsteinsäure	952
Disubstituirte Bernsteinsäuren	953
Isodibrombernsteinsäure; Dibrombernsteinsäure	954
Gechlorte Bernsteinsäuren und Chlormaleinsäure	955
Isodichlorbernsteinsäure	956
Chlorfumarsäure; Chlormaleinsäure	957
Isobernsteinsäure und Isoäpfelsäure	958

	Seite
Isobornsteinsäure	959
Darstellungsgewise der Glutarsäure	960
$\beta\beta$ -Dimethylglutarsäure	961
Darstellungsgewise der α, α -Dimethyladipinsäure; Dimethylpimelinsäure	962
Substituirte Pimelinsäuren	963
Anhydride der Korksäure; Azelaänsäure und Sebacinsäure	964
Brom- und Oxysebacinsäuren	965
Dibrom-, Tetrabrom-, Monoxy- und Dioxysebacinsäure	966
Ungesättigte Säuren mit 4 At. Sauerstoff:	
Verhalten der Maleänsäure beim Erhitzen; Umwandlung der Citracon- säure in Mesaconsäure	967
Citraconsäure, Mesaconsäure, Itaconsäure	968
Umwandlung der Citraconsäure in Mesaconsäure	969
Eulyt	970
Brommesaconsäure	971, 972
cis-Glutaconsäure; cis- und trans-Modificationen der 1-2-Tetramethylen- dicarbonsäure und der 1-2-Pentamethylenedicarbonsäure	973
Tetramethylenetetracarbonsäure	974
cis- und trans-Tetramethylenedicarbonsäure	975
trans-Pentamethylenedicarbonsäure	976
1-2-Pentamethylenedicarbonsäure	977
Bromdihydropentacarbonsäure; Dihydropentendicarbonsäure	978
trans-Pentamethylenedicarbonsäureanhydrid	979
Ungesättigte Dicarbonsäuren aus Ketonen und Bernsteinsäureester	980
γ -Methylphenyllitaconsäure; γ -Methylphenylparaconsäure	981
γ -Methylphenyl β -bromparaconsäure; γ -Methylphenyllitaconsäure	982
γ -Methyläthyllitaconsäure; γ -Methyläthylparaconsäure	983
γ -Methyläthylbromparaconsäure; Diphenyllitaconsäure	984
Isomere Camphersäuren	985
Camphersäure	986, 987
β -Campheraminsäure; Dihydroaminocampholytsäure; Campholytsäure	988
Derivate der Camphersäure	989
Einwirkung von Hydroxylamin auf Camphersäureanhydrid	990
Einwirkung von Kaliumhypobromit auf Camphersäureamid; Oxydation der Camphersäure	991
Producte der Einwirkung von geschmolzenem Kali auf Camphersäure	992
Einwirkung von Camphersäureanhydrid auf Benzol in Gegenwart von Aluminiumchlorid; Darstellung des Bromcamphersäureanhydrids und der Lauronoläure	993
Eine neue Spaltungsreaction des Bromcamphersäureanhydrids; Addition von Natriumacetessig- und Natriummaleonsäureester zu dem Ester ungesättigter Säuren	994
Säureester der Acetylenreihe mit Natriummaleonsäureester	995
Säuren mit 5 At. Sauerstoff:	
Derivate der Aepfelsäure	996
Anilidobornsteinsäureanil; Dichlormaleindianil; Aepfelsäuredi-p-toluid	997

	Seite
Bildung von Propyltartronsäure aus den Dibutyryldicyaniden	998
Butyrylformamide; Propyltartronsäure	999
Isobutyrylformamide; Isobutyrylameisensäure	1000
Isopropyltartronsäure	1001
Formylbernsteinsäureester; Aconsäure	1002
Oxyterpenylsäure, ein Oxydationsproduct des Carvols	1003
Oxyterpenylsäure; Dilacton der Oxydiaterpensäure	1004
Gruppe der Pyrone	1005
Cholsäure	1006
KrySTALLISIERBARE SÄUREN der menschlichen Galle	1007
Fellinsäure; Cholalsäure	1008
Säuren mit mehr als 5 At. Sauerstoff:	
Synthese der Mesoxalsäure und das Wismuthmesoxalat; synthetische Bildung von Mesoweinsäure und Traubensäure	1009
Darstellung des Glyoxaldicyanhydrins	1010
Glyoxaldicyanhydrin oder Mesoweinsäurenitril	1011
Mesoweinsäure; Diacetyltraubensäurenitril	1012
Derivate der Weinsäure	1013
Dichormaleindianil; Anilidomaleinanil; Weinsäureditoluid	1014
Weinsäuredinaphtalid	1015
Derivate der ein- und zweibasischen α -Oxysäuren; Löslichkeit des Weinsteins in Alkohol von verschiedener Stärke bei verschiedener Temperatur; Brechweinsteine	1016
Tétrasubstituirte Weinsäureester	1017
Diacetyl-, Dipropionyl-, Dibutyryl-, Divaleeryltartrate	1018
Weinsäureester mit secundären Ketten	1019
Substituirte Weinsäureester mit secundären Radicalen; optische Dre- hung	1020
Weinsäureester mit aromatischen Radicalen	1021
Dibenzoyl-, Ditolyl-, Diphenylacetylweinsäureester	1022
Ueber die aus der Weinsäure abgeleitete Ketonensäure und über die Paratraubensäure; Zersetzung der Weinsäure und Citronensäure durch das Sonnenlicht; Oxydation der Weinsäure in Gegenwart von Eisen	1023
Säure $C_4H_4O_6$ aus Weinsäure	1024
Neue Darstellung der Dioxyweinsäure und der Gebrauch dieser Säure als Reagens auf Natrium; Aconitsäure aus <i>Adonis vernalis</i>	1025
Darstellung von Citronensäure durch Gährung; Oxydation der Zucker- säure und Schleimsäure mit Kaliumpermanganat	1026
Isozuckersäure	1027
Isozuckersäurediäthylester, -diamid, -dianilid, Norisozuckersäureester	1028
Propionylirte Schleimsäureester	1029
Stereoisomere Butantetracarbonsäuren	1030
Umwandlung der Butantetracarbonsäuren in einander	1031
Darstellung der Butantetracarbonsäure	1032
Addition von Natriummalonsäureester zu Trimethyldicarbonsäure- ester; Homologe der Butantetracarbonsäure und Adipinsäure	1033

	Seite
α -dialkylirte Butantetracarbonsäuren und Adipinsäuren	1034
Isomere Dimethyl- und Diäthyladipinsäuren	1035
Diacetylbutantetracarbonsäuren; Diacetyladipinsäuren	1036
Allentetracarbonsäureester	1037
Glucinsäure	1038
Thiosäuren:	
Eigenschaften des Schwefelkohlenstoffs	1039
Dicarbonide aus Schwefelkohlenstoff bei niedriger Temperatur; Darstellung der Thiodiglycolsäure	1040
Sulfocamphylsäure; Selenetine	1041
Aldehyde:	
Reaction der Aldehyde; Differenzirung der Aldosen und Ketosen . .	1042
Isomerie der aliphatischen Aldoxime	1043
Formol	1044
Antiseptische Eigenschaften der Formoldämpfe; Darstellung von gasförmigem Formaldehyd zur Desinfection	1045
Formalin, seine desodorirenden Wirkungen, die Ursachen derselben und die daraus folgenden neuen Verwendungsweisen	1046
Formalin; Formol	1047
Einwirkung des Trioxymethylens auf aliphatische Alkohole in Gegenwart von Eisenchlorid	1048
Die durch Einwirkung von Trioxymethylen und Eisenchlorid auf Alkohole erhaltenen Aether	1049
Condensation des Formaldehyds mit den Alkoholen der Fettreihe in Gegenwart von Chlorwasserstoffsäure	1050
Einwirkung der Halogenwasserstoffsäuren auf Formaldehyd bei Gegenwart von Alkoholen; gechlorte Derivate des Methylals; Einwirkung von Aldehyden auf Nitrosokörper	1051
Umwandlungsproducte des Formylamidodimethylanilins	1052
Formaldoxim	1053
Methylenamidoacetonitril	1054
Bildung von Paraldehyd durch Hydratation des Acetylen; polymere Modificationen des Acetaldehyds: Paraldehyd und Metaldehyd .	1055
Phenylather des Glycolaldehyds	1056
Stereoisomere Anilverbindungen	1057
Verhalten des Chloralhydrats zu Alkohol	1058
Chlorirung des Alkohols	1059
Chlorirung des Aethers	1060
Darstellung einer Verbindung von Chloralhydrat mit Coffein; die polymeren Modificationen des Propionaldehyds: Para- und Metapropionaldehyd	1061
Butylchloral	1062
Darstellung des Valeraldehyds; Condensation von Aldehyden mit der Glutarsäure	1063
Isovaleraldehyd und Glutarsäure	1064

	Seite
Isononensäure; Diisovaleralglutarsäure	1065
Vorkommen des Citronellals neben Citral im Citronenöl; Aldehyd des Lemongrasöls	1066
Ketone:	
Oxymethylenverbindungen	1067
Oxymethylenverbindungen der Ketone	1068, 1069
Contraction wässriger Lösungen in Aceton	1070
Hydratation des Allylens; Bildung der Oxime	1071
Chlorirung des Acetons; Einwirkung von Natrium auf Aceton; Ein- wirkung von Chlorkohlensäureäthylester auf Natriumaceton	1072
Einwirkung der Salpetersäure auf Aldehyde und Ketone, insbesondere auf Dimethylketon	1073
Oxydation aliphatischer Aldehyde und Ketone durch Salpetersäure	1074
Acetylmethylnitrosäure, Oxydationsproducte	1075
Einwirkung von Aethylendiamin auf Phoron und Mesityloxyd	1076
Condensation von Aceton mit Isovaleraldehyd; Darstellung eines neuen Riechstoffs, Ionon	1077
Ein natürliches ungesättigtes Keton	1078
Methylcykloheptenenon und einige seiner Derivate, sowie symmetrisches Cyklopentenon	1079
Untersuchung des Suberons	1080
Einwirkung der Schwefelchloride auf das Acetylaceton	1081
Einwirkung von Schwefelchlorür auf die Kupferverbindungen des Acetyl- und des Benzoylacetons	1082
Undekadion	1083
Sulfone:	
Abkömmlinge des Oxäthylmethylsulfons	1084
Polymere Form des Oxäthylsulfonäthylensulfonsäurelactons; Trimethyl- trimethylentrisulfon	1085
Kohlenhydrate, Pentosen und Hexosen:	
Synthesen in der Zuckergruppe	1086
Umlagerung der einbasischen Säuren in der Zuckergruppe	1087
Umlagerung und Gewinnung der einbasischen Säuren in der Zucker- gruppe	1088
Monosaccharide; die zugehörigen Säuren und Alkohole	1089, 1090
Configuration der Zucker	1091, 1092, 1093, 1094
Erläuterung der Tabelle III; Nomenclatur	1095
Verhalten der verschiedenen Zucker gegen reine Hefen	1096, 1097
Multirotation der Zucker; Osazone und Hydrazone der Zuckergruppe	1098
Phenylxylosazon; Phenylturanosazon; Arabinose-p-bromphenyl- hydrazon	1099
Verbindungen der Zuckerarten mit den Mercaptanen	1100
Galactoseäthylmercaptal	1101
Furfurosen und Furfurosane; Verbindungen von Zuckerarten mit primären Hydrazinen	1102

	Seite
Xylose und Phloroglucin	1103
Configuration der Rhamnose und Galactose	1104
α - und β -Rhamnohexonsäure	1105, 1108
l-Taloeschleimsäure; Pentahydroxypimelinsäure aus α -Galactose . . .	1107
Einige natürliche Zuckerarten; Zuckerart des Indicans; Glucosamin	1108
Glucosamin; Chitose, Chitonsäure	1109
Chitaminsäure; Chitarsäure	1110
Verbindungen von Aundoguanidin mit Zuckerarten	1111
Lavoglucosan	1112
Zersetzungsproducte der Glucose; Zersetzung von Glucose durch Alkalien	1113
Lävulose aus getrockneten Apfelsinenschalen; fabrikmäßige Darstellung von reiner Lavulose	1114

Polysaccharide:

Invertirende Wirkungen des Glycerins	1114
Die Maltose und ihr Anhydrid	1115
Die Isomaltose und die „Amyloine“; Einwirkung von Diastase auf Isomaltose	1116
Invertirung von Maltose und Isomaltose durch Hefe, über den Einfluß von verschiedenen Maischtemperaturen auf die Bildung von Isomaltose und deren Bestimmung unter Anwendung der physiologischen Methode mittelst Hefen Saaz und Fröhberg	1117
Natur der Kohlehydrate des normalen Harns; Darstellung eines isomaltoserreichen Malzauszuges; präexistierende und wasserlösliche Kohlehydrate des Malzes	1118
Verbindungen von Zuckerarten mit Eisen; Darstellung einer löslichen Eisenmaltose; Maltol	1119
Maltol	1120
Verbreitung des Rohrzuckers in den Pflanzensamen; Production von Saccharose während des Keimens der Gerste und des Reifens des Apfels	1121
Das Zurückgehen des Saccharosegehaltes von geschnittenem Zuckerrohr; Werthschätzung des Zuckers als Nahrungsmittel; Löslichkeit des Zuckers in Alkoholwassermischungen; zwei merkwürdige Zersetzungsproducte des Rohrzuckers	1122
Reinigung von Zuckersäften durch Elektrolyse unter Benutzung löslicher Elektroden, welche Metalalkaliverbindungen geben; Reinigung von Zuckerlösungen durch schweflige Säure und Knochenkohle; Erzeugung von Füllmasse, welche unter Wegfall der üblichen Deckverfahren weißen Raffinadezucker liefert; Beförderung des Auskristallisirens des Zuckers aus den Füllmassen	1123
Reinigung der Alkohole, Zucker und anderer organischer Stoffe; zur Geschichte der Melassenentsuckerung mittelst Strontian; Trocknen von Melasse mit Hülfe von nassen abgepreßten Diffusionsrückständen der Rübenzuckerfabrikation; Verbesserung der Vergärbbarkeit von Melassen	1124

	Seite
Alkalität der Säfte; Schießpulver; Trehalose; Auftreten der Trehalose in den Pilzen	1125
Vorkommen und Verschwinden der Trehalose im <i>Lactarius piperatus</i> Scop.; Vorkommen von Raffinose im Keim des Weizenkorns; Melitriose und deren quantitative Bestimmung	1126
Krystallisirtes Lävulin; β -Lävulin	1127
Cellulose:	
Chemie der pflanzlichen Zellmembranen	1128
Zellmembran der Pilze	1129
Die in den Membranen der Pilze enthaltenen Bestandtheile	1130
Pilzcellulose; stickstoffhaltiges Spaltungsproduct der Pilzcellulose; Chitin und Cellulose	1131
Lösungsmittel der Cellulose; Celluloseschwefelsäure und die Producte ihrer Hydrolyse; natürliche Oxycellulosen	1132
Jutefaser; hygroskopische Feuchtigkeit von Nitrocellulosen; Nitrirung von Cellulose	1133
Darstellung gelatinirter Nitrocellulose; Fabrikation und Anwendungen von Pyroxylin; Darstellung eines Glasersatzes aus Collodiumwolle; neue Cellulosederivate; industrielle Anwendungen der Cellulose-thiocarbonate und davon abstammende Producte; Gewinnung von Zellstoff aus Stroh; Gewinnung von Zellstoff	1134
Aufschließen von Pflanzenstoffen zur Zellstoffgewinnung; Darstellung von Papierstoff aus Pflanzenmaterial; Aufbereitung von Pflanzenfasern für die Textilindustrie; Darstellung eines säurebeständigen Gewebes für Filtrirzwecke; Verfahren und Einrichtung zum Entsäuern der Kochlauge bei der Zellstofffabrikation nach Beendigung des Kochprocesses; Klebemittel	1135
Darstellung eines Klebe-, Binde- und Eindickungsmittels aus Zellstoffablaugen; Darstellung einer plastischen Masse aus Holzfaser; Anwendung von Türkischrothöl zum Bleichen von Baumwollwaaren; Bleichverfahren mittelst künstlicher Ozonnel und schwacher Chlorbleichsalzlösungen	1136
Beizen und Färben in kupfernen Gefäßen; Anwendung von Kiesel-fluorchromverbindungen in der Färberei und Zeugdruckerei; Färben von Textilfasern, Leder und Holz mit Silber-, Uran- und Chromsalzen	1137
Stärke, Dextrin, Gummi:	
Quellung der Stärke	1137
Bindung des Jods durch Stärke; Reaction des Jods auf Stärke . .	1138
Vergleichende Untersuchung von fünf Stärkeproben; Darstellung von Traubenzucker und Traubenzuckersyrup unmittelbar aus Kartoffelreibeel, Kartoffelpülpe, Schlammstärke; Veränderung der in heißem Glycerin gelösten Stärke	1139
Ueber ein zweites bei der Einwirkung von Diastase auf Stärke entstehendes Achroodextrin	1140

	Seite
Die im Caramelmalz enthaltenen Umwandlungsproducte der Stärke; Darstellung von verzuckertem, aromatischem Malz	1141
Gewinnung von Hefe; Prefehferzeugung aus Kartoffeln; Conservirung von Nahrungsmitteln: Maissan, das Reservematerial in den Samen von Diospyros Kaki	1142
Wärmewerth des Glycogens, Demonstration des Hefeglycogens in den Zellen und als Präparat; Säureabbau des Glycogens	1143
Hefe- und Leberzelle; Mechanismus der Umwandlung des Glycogens in Glucose im Organismus, Araban, ein der Arabinose ent- sprechendes Kohlehydrat $C_2H_4O_4$	1144
Pentosane in Pflanzen	1145
Pentosane im Boden und in den Pflanzen	1146
Pectinsubstanzen; Rübenpectin	1147
Amine:	
Darstellung von Aminbasen der Fettreihe; Darstellung von Mono- und Dialkylaminen der Fettreihe	1148
Oxydation von Aminen; Reductionsproducte von Nitroverbindungen; neue Darstellung von Methylamin und Constitution des Hexa- methylenetramins; Methylnitramin	1149
Abkömmlinge, auch geschwefelte des Propylamins	1150
Propylmercaptophthamid; Thiopropylamin; Diamidopropylsulfoxyd	1151
Chlorderivate der zusammengesetzten Ammoniake	1152
Isoamylamine, Aethylchloramine, n-Butylchloramine	1153
Isobutylisobutylidenamin, Isamylamylidenamin	1154
Isoundecylamin	1155
Salze des Tetraäthylammoniums; Wirkung des Methylenchlorbromids auf Ammoniak in methylalkoholischer Lösung	1156
Wirkung des Methylenchlorids auf Ammoniak in methylalkoholischer Lösung; Verbindungen des Hexamethylenamins mit dem Nitrat, Chlorid und Carbonat des Silbers	1157
Jodwismuthverbindungen des Hexamethylenamins	1158
β -Alkylhydroxylamine	1159
Wirkung von Methyljodid auf Hydroxylamin; Isonitramine	1160
Isonitramine	1161
Wirkung des Aethylendiamins auf die Anhydride von zweibasischen Säuren	1162
Wirkung des Aethylendiamins auf einige Dicarbonsäuren; Einwirkung der salpetrigen Säure auf Trimethyldiamin	1163
Einwirkung der salpetrigen Säure auf Pentamethyldiamin	1164
Cadaverin und Cholin aus faulem Pferdefleisch	1165
Octomethyldiamin	1166
Aminoderivate von Alkoholen, Säuren, Aldehyden und Ketonen:	
Verbindungen mit 1 At. Kohlenstoff	1168
Methyl-, Propyl-, Aethyl-, Isobutylamidomethylalkohol	1167

	Seite
Isoamyl-, Benzyl-, Dimethyl-, Diäthylamidomethylalkohol	1168
Dipropyl-, Diisobutyl-, Diisoamyl-, Dibenzylamidomethylalkohol . . .	1169
Alkoholcharakter der Nitrilalkohole und Amylalkohole	1170
Cholin und verwandte Verbindungen mit besonderer Berücksichtigung des Muscarins	1171
Synthetisches, natürliches Muscarin; Isomuscarin	1172
Thermische Vorgänge bei der Bildung einiger Aminosäuren und Nitrile	1173
Einwirkung von Phenylisocyanat auf organische Aminosäuren . . .	1174
Constitution des Glycocolls und seiner Derivate	1175
Constitution des Glycocolls	1176
Sarkosin	1177
Metallsalze des Sarkosins; Betaïn; Betaïnmethyläther	1178
Nitrososarkosin, Salze; Nitrososarkosin; Acetylsarkosin	1179
Diamidopropionsäure	1180
Das bei der Pankreasverdauung entstehende Leucin; Entstehung von Amidosäuren bei der Spaltung vegetabilischer Eiweißkörper . .	1181
Einige Derivate der Glutaminsäure; Pyroglutaminsäuren und Pyro- glutamide	1182
Inactive Glutaminsäure und Derivate; Aminofumarsäurederivate . .	1183
Amidoacetaldehyd	1184
Dioxypiperazin aus Amidoacetaldehyd	1185
Darstellung einer polymeren krytallisierten Base aus Amidoacetaldehyd; Derivate des Aminoaldehyds	1186
p-Methoxybenzylamino-, p-Methoxyhippur-, o-Oxyhippuraldehyd . . .	1187
Einwirkung von Aminoacetal auf o- und p-Nitrobenzoylchlorid . . .	1188
Phthalylverbindungen des Aminoacetals	1189
Hydrazidoacetaldehyd (Hydrazinoäthanal)	1190
Hydrazinoacetaldehyd; Oxalyldihydrazinoacetal	1191
Hydrazinoacetaldehyd	1192
Einwirkung der salpetrigen Säure auf Aminouracil und Aminoaceton; Harnstoffderivate des Diacetonamins	1193
Triacetonamin	1194
Fette Amidoketone	1195

Cyansäuren:

Einige Derivate der Cyanessigester	1196
Neue Derivate der Cyanessig- und Cyanbernsteinsäureester	1197

Säureamide:

Constitution der Säureamide	1197
Quecksilberformamid; Propylacetamide; Urethan	1198
Einwirkung von Phosphorpentachlorid auf Urethane	1199
Oxyphenylurethane	1200
•Darstellung einiger neuer Salze des Harnstoffs	1201
Tetrapropylharnstoff; Metallderivate des Formyl- und Acetylharnstoffs und der Oxalursäure; Nitramine der Harnstoffgruppe	1202
Semicarbazid	1203, 1204

	Seite
Nitrobenzalsemicarbazone; Acetessigestersemicarbazone	1205
Carbonamidhydrazobutyronitril; Carbaminsäureazid	1206
Hydrazide der Kohlensäure und der geschwefelten Kohlensäure	1207
Ringbildung bei organischen, stickstoffhaltigen Verbindungen	1208
Thioparabansäure; Thiobarbitursäure; Methylimidouracil	1209
Amidoguanidin u. seine Alkylderivate; zusammengesetzte Metallbasen	1210
Complexe Metallverbindungen von Alkylthioharnstoffen	1211
Sulfat des Oxamids; Stickstoffderivate der Oxalsäure	1212
Vorkommen von Glutamin in grünen Pflanzentheilen; Beständigkeit der Imide von zwei basischen Säuren; Beständigkeit der am Stickstoff substituirten Succinimide	1213
Succinimid; Darstellung von Jodderivaten des Succinimids und sub- stituierter Succinimide	1214
Bildung von Hydroxamsäuren aus Säureäthern	1215
Einwirkung von Hydroxylamin und Aethoxylamin auf Oxaläther	1216
Oxalendiaminoxim	1217
Harnsäure, Purine:	
Verwandlungen des Dimethylalloxans	1217
Dimethyltartratsäure, -violursäure, -uramilpseudoharnsäure	1218
Harnsäurehydrat; Einwirkung von Jod und Kalilauge auf Harnsäure; Uronsäure und Oxonsäure	1219
Derivate des Caffeins	1220
Darstellung von coffeinsulfosauren Salzen; Verfahren zum Rösten von Kaffee; Darstellung eines entolten Kaffeeauszuges; Entbittern von Kolaapulver durch Wasserstoffsuperoxyd	1221
Behandlung von Cacao	1222
Säurenitrile:	
Darstellung von Cyaniden; Darstellungen von Cyanverbindungen; Verbindungen des Molybdänbioxyds und -bisulfids mit den Alkali- cyaniden	1222
Doppelcyanide aus Molybdänbioxyd und Alkalicyaniden	1223
Reaction der Pikrinsäure und von Pikraten auf Metallecyanure; die kupferpurpursäuren Salze; Einwirkung von Natriummalonsäureäthyl- ester auf Cyanurchlorid	1224
Bildungsweise des Cyanamids; Krystallform des Kaliumisocyanats; Verbesserungen in der Fabrikation von Rhodaniden	1225
Darstellung von Rhodanverbindungen; Rhodansäure; Eigentümlich- keiten der Eisensulfocyanatlosungen	1226
Einwirkung des Thionylchlorides auf die Aldoximbildung von Ni- trilen; Umwandlung des Acetonitrils und seiner Homologen im Thierkörper	1227
Umwandlung der Cyanverbindungen im Thierkörper	1228
Tribromacetonitril und einige Abkömmlinge des polymeren Trichlor- acetonitrils	1229
Tribromacetamid; trimolekulares Tribromacetonitril	1230

L

Inhaltsverzeichnis.

	Seite
Mono- und Diamidoperbrommethyleyanidin; Alkylderivate	1231
Einige Acetonitrile	1232
Imidoacetonitril; Nitriloacetonitril; Di- und Triglycolamidsäure	1233
Amidoacetonitril; Sarkosinnitril; Methyl diglycolamidsäure	1234
Reductionsproducte des starren α -Dichlorcyanäthyls	1235
Condensation von Aldehyden und Cyaniden	1236
α -Benzal- β -cyanpropionsäureamid; p-Methoxybenzalsuccinamid	1237
p-Methoxyphenyl-, Cinnamenyl-, Furfur- α -cyanacrylsäure	1238
Methylendioxyphenyl- α -cyanacrylsäure; Oxybenzaldehydcyansäure	1239
Diazo-, Azo- und Hydrazoverbindungen:	
Diazomethan	1240
Reduction des Diazoessigesters	1241
Darstellung von Hydrazinsalzen aus Chloressigsäure; Hydrazessigsäure	1242
Aethanhydrazoäthan	1243
Diformyläthanhydrazoäthan; Aethanhydrazoäthan	1244
Hydraz- und Azocarbonester; Stickstoffkohlenoxyd und Diharnstoff	1245
Phosphor-, Arsen-, Borverbindungen. Metallorganische Verbindungen:	
Ueber Phosphorcyanwasserstoffsäure	1246
Dimethylarsin	1247
Einwirkung von Borfluorid auf einige organische Verbindungen	1248
Bordifluoräthylen; Borfluordiäthylen	1249
Einwirkung von Borfluorid auf organische Verbindungen	1250
Analytische Bestimmung von Fluor neben Bor	1251
Darstellung von Bleitriäthyl	1252
Aromatische Reihe.	
Allgemeines:	
Constitution des Benzols	1252, 1253, 1254
Benzolkern; Erklärung der Molekularstruktur des Benzols; Nomenclatur ringförmiger Naphtalinderivate; Chemie des Naphtalins	1255
Verhalten einiger Benzolderivate gegen nascirendes Brom; Bleichen auf Baumwolle fixirter Pigmente	1256
Kohlenwasserstoffe:	
Wirkungsweise des Aluminiumchlorids	1257
Fichtentheer; Fichtenholztheer	1258
Einwirkung des elektrischen Stromes auf Benzol	1259
Neue stufenweise Synthese des Benzols; Derivate des Isodurols	1260
Nebenproducte bei der Darstellung des Butyltoluols	1261
Aethylbutylbenzol; Krystallform des β -Methylnaphtalins; Butyl-naphtalin; Phenylnaphtalin; Umwandlung von Fluoren in o-Aminobiphenyl	1262

Chrysen und Chrysofluoren; Bildung des Kohlenwasserstoffs Truxen aus Phenylpropionsäure und aus Hydrindon	1263
Truxen; Insectenleum	1264

Halogenderivate:

Eine neue Chlorverbindung des Kohlenstoffs, das Dichlorid des Hexachlorbenzols; Synthesen von m-Chlortoluol und s-Chlorxytol mit- telst Acetessigester	1264
Darstellung von β -Chlornaphtalin; Condensation des Dichloracetals mit Benzol und Toluol	1265
Diphenylvinyläther; Dioxytetraphenyläthan; Dithymoldiphenyläthan	1266
Ditolyldichloräthan; Ditolyldichloräthylen; Ditolyloxyäthan	1267
Hexamethyldibromid; Hydrogenisation des Normalpropylbenzols .	1268
Einwirkung von Natrium auf Monobrommesitylen; bromirtes Butyl- toluol	1269
Berichtigungen der Ansichten V. Meyer's über Jodoxo- und Jodo- verbindungen	1270
Wandelbarkeit von Jodoxoverbindungen bei gewöhnlicher Temperatur; Jodoxo- und Jodoverbindungen des p-Dijodbenzols	1271
Jodoxo- und Jodopseudocumol, Naphtyljodidechloride und Monojodoxo- naphtaline	1272
Eine neue Classe jodhaltiger, stickstofffreier, organischer Basen . .	1273
Jodaminbasen	1274
Darstellung von Salzen einer stickstofffreien, jodhaltigen, aromatischen Base; Darstellung einer stickstofffreien, jodhaltigen Base	1275

Nitroso- und Nitroderivate:

Neue Bildungsweise des Nitrosobenzols; Darstellung von Azoxy- verbindungen der aromatischen Reihe; Darstellung von Spreng- stoffen aus Ammoniaksalpeter und den Nitraten der Amido- und Nitroamidoverbindungen des Benzols, Toluols, Xylols und Naphtalins; aromatische Nitroverbindungen; vergleichendes Stu- dium der drei Dinitrobenzole	1276
1-3-5-Trinitrobenzol und 1-3-5-Dinitrophenol; Darstellung von 1-3-5- Trinitrobenzol aus 1-2-4-6-Trinitrobenzoesäure	1277
Darstellung von 1-2-4-6-Chlortrinitrobenzol; Einwirkung von Wasser auf Tribromtrinitrobenzol und Tribromdinitrobenzol; Trianilido- dinitrobenzol und einige verwandte Verbindungen	1278
Phenylnitromethan, Trennung von o-Nitrotoluol von seinen Isomeren; Dinitrotoluole; Einwirkung der Salpetersäure auf Isopropylbenzol	1279
Nitroprodukte des Butylbenzols; Darstellung von künstlichem Moschus; isomere Dinitrodiphenylmethane und ihre Abkömmlinge	1280
Reduction der Nitroverbindungen	1281
Technisches Verfahren der Anilindarstellung; Reduction aromatischer Nitrokörper und die Bildung von Hydroxylaminderivaten; elek- trolytische Reduction aromatischer Nitrokörper	1282

Schwefelderivate der Kohlenwasserstoffe:

	Seite
Thiosulfonsäuren und Sulfinsäuren	1283
Amidobenzothiosulfonsäure; Amidobenzolsulfinsäure	1284
Verhalten des Schwefelwasserstoffs gegen Sulfonverbindungen	1285
Darstellung von aromatischen Sulfosäuren bei Gegenwart von Thierkohle	1286
Darstellung von Säureestern mittelst aromatischer Sulfosäuren; Derivate des Benzolsulfamids und -hydrazins	1287
Naphtylirte Benzolsulfamide und Toluolsulfamide	1288
Einwirkung von Benzolsulfonsäure auf Kaliumjodid	1289
Reductionsproduct des o-Sulfonbenzoesäurechlorids; Darstellung von Nitro- und Amidobenzoldisulfosäure	1290
Reinigung von rohem Toluolsulfonamid; isomere Naphtalinderivate	1291
Sulfosäuren aus α -Chlor- β -naphtylamin	1292
Sulfurirungen in der Naphtalinreihe	1293
β -Naphtylamintrisulfosäuren; β -Naphtylamintetrasulfosäure	1294
β -Naphtoldi- und -tetrasulfosäuren; β -Naphtoltetrasulfosäure	1295
1-8-Naphtsultam-2-4-disulfosäure	1296
1-Amido-8-naphtol-2-4-disulfosäure; 1-8-Dioxynaphtalin-2-4-disulfosäure	1297
1-8-Naphtsultamtrisulfosäure; 2-Naphtylsulfaminsäure-6-8-disulfosäure	1298
Darstellung der $\alpha_1\beta_3$ - und $\alpha_1\beta_4$ -Chlornaphtalinsulfosäure und der α_1 -Chlornaphtalin- $\alpha_1\beta_1\beta_4$ -trisulfosäure; Darstellung von Anthracensulfosäure aus Anthracen	1299
Darstellung einer bei der Oxydation Anthrachinon- β -disulfosäure liefernden Anthracendisulfosäure; Allylphenylsulfon und Allyltolylsulfon	1300
Phenylsulfon- α -propylenglycol; Allyltriphenylsulfon	1301
Krystallform einiger neuer aromatischer Sulfone der Buttersäure; Constitution aromatischer Sulfone; Diphenylsulfonderivate	1302
Aromatische Sulfone	1303
Bildungsweisen und chemisches Verhalten des Vinyltriphenylsulfons (Triphenylsulfonäthan)	1304
Diphenylselenid und einige Derivate	1305
Synthese der aromatischen Selenverbindungen; Diphenyltellurid und ein Verfahren zur Darstellung von Sulfiden, Seleniden und Telluriden	1306

Aminoderivate:

Substitutionen der an Stickstoff und Kohlenstoff gebundenen Alkoholradicale	1307
Saure Sulfate des Anilins und des o- und p-Toluidins; Chlorirung des Anilins; Darstellung des Dibromanilins; Fabrikation von o-Nitranilin	1308
Einwirkung von Nitrosylchlorid auf aromatische Amine; schwefelhaltige Begleiter der Anilinbasen und deren Farbenreactionen	1309
Schwefelgehalt und Chlorkalkreaction des Anilins und Paraamidophenols; Oxydation von Anilin	1310

Färben und Drucken mit Anilinschwarz und analogen Farbstoffen; Thioanilin und ein neues Isomeres	1311
Neue Bildungswesen des Thiodiphenylamins; Raumisomerie der Carbodiphenyl- und -ditolylimide; Stickstoffhalogenverbindungen .	1312
Alkylisoharnstoffe; Additionsproducte der aromatischen Isocyanide .	1313
Alkaloidähnliche Reactionen des Acetanilids; Diacetanilid; Diacetyl- derivate einiger Amine der aromatischen Reihe	1314
Diacetanilide; Einwirkung von Mercuriacetat auf Acetanilid	1315
Quecksilberverbindungen des Acetanilids; Darstellung eines neuen Derivates des Amidopropionsäureanilids; Anilin und Iodibrom- bernsteinsäureester	1316
Aminoäthylendicarbonsäureester	1317
Condensationsproducte aromatischer Amine mit Formaldehyd in alkalischer Lösung; Constitution der Anilinverbindung der Glu- cose; das saure Oxalat des Benzylamins und seine Zersetzungs- producte	1318
Abkömmlinge des Benzylamintartrats und -citrats; Einwirkung von Benzylamin auf Acetessigsäure	1319
Darstellung von Monomethylanilin, Monomethyltoluidinen und sym- metrischem Monomethylphenylhydrazin; Darstellung alkylirter o-Nitroaniline	1320
Darstellung nitirter Basen aus Benzylidenverbindungen primärer aromatischer Monamine; α -Phenyläthylamin; γ -Phenylpropylamin und dessen Ueberführung in Allylbenzol; Darstellung von p-Amidodiphenylaminsulfosäure aus p-Nitrosodiphenylamin; Dar- stellung von m-Oxydiphenylaminsulfosäure	1321
Dialkyl-p-amido-m-oxydiphenylamin; p-Amidoäthoxymethyldiphenyl- amin, Darstellung schwefelhaltiger Basen der Gruppe des Thio- chromogens, Abkömmlinge des α -Naphthylamins	1322
Darstellung von α -Naphthylaminsulfosäuren aus halogensubstituirten Naphthalinsulfosäuren; Darstellung der α_1 -Naphthylamin- β_1 -sulfo- säure aus α -Naphthylamin durch aromatische Amidosulfosäuren; $\alpha_1\beta_1$ -Naphthylaminsulfosäure; α_1 -Naphthylamin- $\beta_2\alpha_2$ -disulfosäure; α_1 -Naphthylamin- $\alpha_2\beta_2$ -trisulfosäure aus α_1 -Nitronaphtalin- $\alpha_2\beta_2$ -di- sulfosäure mittelst Sulfiten	1323
Darstellung von α -Nitro- α -naphthylamin- β -sulfosäuren; Darstellung von β -Naphthylamin, $\beta_1\alpha_1$ -Naphthylaminsulfosäure und β -Naphthylsulfo- aminsäure aus $\beta_1\alpha_1$ -Naphtholsulfosäure; Darstellung von Dialkyl- amidophenyl-naphthylamin; o-Amidodiphenylmethan	1324
Darstellung eines Diphenylmethanderivates durch elektrolytische Re- duction von p-Nitrotoluol in schwefelsaurer Lösung; Darstellung von Diamidodioxyditolylmethan; Darstellung von aromatisch- substituirten Amidodiphenylmethanen	1325

Diamine:

Einwirkung aromatischer Orthodiamine auf die Anhydride einiger zweibasischer Säuren	1325
--	------

	Seite
Bromderivate des m-Phenylendiamins; Darstellung von β -Dinaphtyl-m-phenylendiamin und einer Sulfosäure des β -Dinaphtyl-m-phenylendiamins; Oxydation des Paraphenylendiamins	1326
Harnstoffderivate des Paraphenylendiamins; Nitrite einiger Aminbasen	1327
Einwirkung von Phosphortri- und -pentachlorid auf o-Toluyldiamin: 2-S-Naphtyleudiamin; $\beta_1\beta_2$ -Naphtyleudiamin	1328
Darstellung von Naphtyleudiamindisulfosäuren	1329
Naphtyleudiaminmonosulfosäure; Acetnaphtyleudiamin; Tetramethyldiamidodiphenylnaphtyleudiamin; Diamidodiphenylmethansulfon; Tetramethyldiamidodiphenylmethan	1330
Condensationen mit $\frac{1}{2}$ Formaldehyd	1331

Benzidingruppe:

Benzidinenförl; Echtfärbung der Baumwolle mit Benzidinfarbstoffen; Darstellung von Farbstoffen durch Condensation von Benzidin und seinen Homologen mit p-Nitrotoluolsulfosäure; Darstellung geschwefelter Basen	1332
Reactionen des Orthotolidins; Darstellung von Basen durch Condensation von Tolidin bzw. Dianisidin, Anilin, Phenylendiamin mittelst Formaldehyd	1333

Phenole.**Phenole mit 1 At. Sauerstoff:**

Schmelz- und Siedepunkte einiger Phenole und ihrer Benzoylather	1333
Quecksilberverbindungen der Phenole und einige ihrer Derivate	1334
Aetherificirung der aromatischen Hydroxylgruppe	1335
Zur Kenntniss des thiokohlensauren Diphenylesters und seiner Homologen	1336
Einwirkung von Thionylchlorid auf einige organische Verbindungen: Thionylanisol; Thiophenetol; Thionylphenetol; Phenetolsulfon	1337
Verhalten der Natriumsalze von Phenolen gegen Mono- und Dichloressigester	1339
Dinaphtoxylessigsäure; Bromphenoxylessigsäure	1340
Systematische Untersuchung der Wirkung verwandter chemischer Verbindungen auf den Thierkörper	1341
Löslichmachen von Phenolen, Kohlenwasserstoffen in Wasser; Veränderung des Phenols durch Einwirkung des Lichtes und die Bildung von Wasserstoffsuperoxyd, Condensation des Dichloracetals mit Anisol und Phenetol	1342
Dimethoxytolan; Dimethoxystilben; Diphenetyldichlorathan	1343
Darstellung von Brom- und Chlorphenol aus hoch erhitztem Phenol; desinficirende Wirkung der Monochlorphenole und ihrer Salicylsäureester, sowie die Umwandlungen derselben im Organismus; Darstellung von Hexachlorphenol	1344
Darstellung von Sprengstoffen unter Verwendung der aus Dinitrophenolen und Ammoniak bzw. aromatischen Aminen erhaltenen Verbindungen; Quecksilberpikrat	1345

	Seite
Einwirkung der Pikrinsäure und der Pikrate auf die Metallcyanide; Isopurpurate; Diazoessigester und Pikrinsäure	1346
Verbindung der Pikrinsäure mit Anethol; Darstellung von α -Trinitrophenol (bezw. -naphthol-) dinitroglycerin; Darstellung von Amidophenolen durch elektrolytische Reduction von Nitrokohlenwasserstoffen der Benzolreihe in schwefelsaurer Lösung; Verwendung der Glycine von Amidophenolen zum Entwickeln photographischer Bilder; o-Anisidin	1347
Anisidin; Amidoäthylaminidin; Amidoäthylamidophenol	1348
Oxydiphenylamin; Darstellung von m-Amidophenol aus m-Phenylendiamin	1349
Darstellung von Alkyl-m-amidophenolen aus m-Phenylenoxaminsäure; angebliche Nichtexistenz des Isopropyl-p-amidophenols	1350
Schmelzpunkt des Phenacetins; Reactionen des Phenacetins; Darstellung von Diacetphenetidid; physiologische Wirkung des p-Amidophenols und einiger Derivate desselben	1351
Antipyretica; Beziehungen zwischen chemischer Constitution und antipyretischer Wirkung bei den aromatischen Verbindungen; Neurodin, ein neues Nervenmittel; Thermodin, ein neues Fiebermittel	1352
Darstellung eines Diacetylderivats des o-p-Diamidophenols; Benzolverbindungen der p-Oxyphenylmethane oder deren Aether; Dulcin	1353
Darstellung von p-Phenetolcarbamid	1354
Darstellung von p-Phenetolcarbamid; Darstellung von β -Phenetolcrotonsäureester; Darstellung von p-Aethoxyphenylsuccinimid und von p-Methoxyphenylsuccinimid	1355
Wasserlösliche Kresolpräparate	1356
Kresol und Kresolpräparate; Jodkresole	1357
Mittel zur Vertilgung von Insecten und schädlichen Pilzen; Darstellung von Amidophenol- und Amidokresolsulfosaure; Aethylphenole	1358
Synthese des asymmetrischen Carvacrols; Phenole des Butyltoluols und deren Aether	1359
Estragonöl und seine Bildung aus Anethol	1360
Naphthol:	
Darstellung von α -Naphthol aus α -Naphthylamin; neue Darstellungsweise der Naphtholsulfosaure	1361
Darstellung von α -Naphtholsulfosaure, α -Naphtholdisulfosaure, Amidonaphtholsulfosaure und Amidonaphtholdisulfosaure	1362
Darstellung von Amidonaphthol und Amidonaphtholsulfosaure	1363
Darstellung von Amidonaphtholsulfosaure, Amidonaphtholdisulfosaure Alkylamidonaphtholdisulfosaure	1364
Darstellung der Thonerdesalze der Naphtholsulfosauren, der Alumne; Naphthalinderivate als Entwickler in der Photographie; Drucken mit einer Braulfiverbindung des Nitroso- β -naphthols; Thioderivate des β -Naphthols	1365
Dioxydinaphthylidisulfid; Dehydrodioxydinaphthylid	1366

	Seite
Thioderivate des β -Naphthols	1367
Naphtolätherderivate; Sulfonirung des α - und β -Naphtoläthyläthers	1368
Abrostol	1369
Darstellung von Naphtoldisulfosäure, Amidonaphtoldisulfosäure, Dimethylnaphtol	1370
Phenole mit zwei und mehr Atomen Sauerstoff:	
Einwirkung der Aldehyde auf mehrwerthige Phenole; aromatische Acetale; Verbindung der Zucker mit den mehrwerthigen Phenolen	1371
Einwirkung von Sulfurylchlorid auf Phenole und deren Aether	1372, 1373
Dichlorchinon; Chlorhydrochinondichlorid	1374
Krystallisirtes Guajacol; Reinigung des Guajacols durch starke Abkühlung	1375
Guajacol; synthetisches krystallinisches Guajacol	1376
Guajacolglycolsäure; Espentheer	1377
Darstellung gemischter Schwefelsäureester mit je einem Alkylrest der fetten und aromatischen Reihe; Darstellung von Kohlensäureestern des Brenzcatechins und seiner Monoalkyläther; neue Aether des Guajacols	1378
Zwei cyklische Ester des Brenzcatechins; Aethylenäther des Hydrochinons und Brenzcatechins	1379
Darstellung von Amidoguajacol aus Nitroacet-o-anisidin; Entwicklung von Resorcingrün auf baumwollenen, wollenen und seidenen Geweben	1380
Dihydroresorcin	1381
Dihydroresorcinsalze; Dioxim	1382
Diamidohexamethylen; Dihydroresorcinphenylhydrazon	1383
Halogenetrahydroresorcine	1384
Acylderivate des Dihydroresorcins; Dioxyhexahydroisimid	1385
Darstellung eines Dihydroresorcins	1386
Verwendung von freiem Trinitroresorcin als rauchloses Pulver; Anwendung von Diamidodioxybenzol als photographischer Entwickler; Einwirkung der Halogene auf Homobrenzcatechin	1387
Thermischer Werth der Functionen des Orcins; Constitution des Orcins; Eugenol und Isoeugenol	1388
Nitrophenyläther des Eugenols, Isoeugenols und Vanillins	1389
Umwandlung des Eugenols in Isoeugenol; Darstellung von Isoeugenol aus Eugenol; Darstellung von monomolekularen anorganischen Säurederivaten des Isoeugenols	1390
Darstellung von nitrirten Eugenyl- und i-Eugenylphenyläthern	1391
Diisoeugenolacetophenon	1392
Diisosaftrol und Cubebin; Darstellung von $\alpha_1\alpha_4$ -Dioxynaphtalin- α_2 -sulfosäure; Darstellung der $\alpha_1\alpha_4$ -Dioxynaphtalin- α -sulfosäure aus α_1 -Naphtylamin- $\alpha_2\alpha_4$ -disulfosäure; Darstellung der $\alpha_1\alpha_4$ -Dioxy-naphtalin- $\beta_2\beta_4$ -disulfosäure	1393
Darstellung von Alkylsubstitutionsproducten der $\alpha_1\alpha_4$ -Dioxynaphtalin-sulfosäuren; Darstellung einer α_1 -Amidodioxy-naphtalinsulfosäure aus α_1 -Naphtylamin- $\alpha_2\beta_2\beta_4$ -trisulfosäure; über Diphenole	1394

Darstellung von Condensationsproducten von Formaldehyd und Nitrophenolen und Nitrophenolathern; Darstellung von Dinitrodioxydiphenylmethan und Dinitrodiathoxydiphenylmethan; Darstellung von Thiodioxydiphenylmethansulfosäuren; Pyrogallolwismuth . . .	1395
Synthese von Hexamethylenderivaten, Triäthylphloroglucin	1396
Benzophloroglucintrimethyläther	1397
Einwirkung von Alkalien auf bromirte Phloroglucinderivate	1398

Alkohole:

Synthese aromatischer Oxyalkohole	1399
Synthese von Phenolalkoholen; Condensation aromatischer Alkohole mit Nitrokohlenwasserstoffen	1400
Nitrobenzylalkohol; Einwirkung von Ammoniak und primären Aminen auf o-Oxybenzylalkohol (Saligenin); Derivate des o-Amidobenzylalkohols	1401
o-Amidobenzylalkohol; o-Diazobenzylalkohol	1402
p-Dimethylamidobenzylalkohol; Cholesterin	1403
Cholesterin	1404
Tetramethyldiamidobenzhydrol	1405
Darstellung von Sulfosäuren der mono- und dialkylierten Amidobenzhydrole; Darstellung von Tetramethyldiamidobenzhydroleyanid	1406
Pyronine	1407
Tetramethyldiamidodioxydiphenylmethan	1408
Tetramethyldiamidodiphenylmethanoxyd	1409
Diphenylmethanfarbstoffe	1410
Die blaue Färbung des Lenkauramins beim Contact mit Säuren; Darstellung und Abkömmlinge des Auramins	1411
Amidophenylauramine und Derivate	1412
Constitution der Triphenylmethanfarbstoffe; Vergleich zwischen den gefärbten und ungefärbten Körpern, welche sich vom zwei- und dreifach phenylirten Methan ableiten	1413
Sulfuirte Farbstoffe der Triphenylmethanreihe; chemische Formel der Saurefuchaine; Verhalten der Triphenylmethanfarbstoffe gegen nasirendes Brom	1414
Saurefuchain	1415
Triphenylmethanfarbstoffe; Theorie des Färbeprocesses	1416
Aurin	1417
Darstellung grüner und blaugrüner Farbstoffe aus der Malachitgrünreihe; Darstellung einer Trisulfosäure des Triphenylpararosanilins; Darstellung grünblauer Beizenfarbstoffe aus Tetraalkyldiamidobenzhydrolen; Darstellung von Diphenylnaphtylmethanfarbstoff-sulfosäuren; Darstellung von Triphenylmethanfarbstoffen	1418
Darstellung blauer basischer Farbstoffe der Triphenylmethanreihe aus Dichlorbenzaldehyd; Darstellung eines violetten und grünblauen Säurefarbstoffes der Triphenylmethanreihe; Darstellung von blauen Farbstoffen, den Sulfosäuren der secundären Diamidoditolyloxyphenylcarbinole	1419

Darstellung von Säurefarbstoffen der Malachitgrünreihe, den Sulfosäuren der Alkylderivate des Diamidoliphenyl-m-tolylcarbinols; Darstellung eines rothen beizenfärbenden Triphenylmethanfarbstoffes aus p-Nitrobenzaldehyd und Salicylsäure; über Phloroglucit	1420
--	------

Säuren mit 2 At. Sauerstoff:

Ein seltsames Gesetz bei der Esterbildung aromat. Säuren	1421, 1422, 1423
Darstellung von Acylsuperoxyden	1424
Dehydrogenisation hydrirter Benzolcarbonsäuren	1425
Synthese der Hexahydrobenzoesäure	1426
Reduction der Dimethylamidobenzoessäure und der p-Amidobenzoessäure	1427
Einige Verbindungen der Reihe hydrirter p-Tolylsäuren	1428
Isomere Octonaphensäuren	1429
Hexahydrotolylsäure	1430, 1431
α-Octonaphensäure	1432
Stereoisomere p-Phenylhexahydrobenzoesäuren	1433
p-Phenylbenzoesäure	1434
Tetrahydro-, Hexahydro-, Isohexahydrophenylbenzoesäure	1435
Geruch der Benzoesäure, Darstellung von Benzoesäureanhydrid	1436
Benzoylsuperoxyd, ein Oxydationsproduct des Bittermandelols; Benzoylhydrogenamide	1437
Benzoylamid	1438
Benzenylamidothiophenol; Benzolazophenoläthyläther	1439
Polymorphe Modificationen bei Hydroxylaminderivaten	1440
Isophthal- und Terephthalhydroxamsäure; Aether der Hydroxamsäuren	1441
Aether der Benz-, Tol- und Anishydroxamsäure	1442
α- und β-Aethyl- und Methylbenzhydroxamsäuren	1443
Methyl-, Propylbenzhydroxamsäuren	1444
Aethyltolhydroxamsäuren; Aethylanishydroxamsäuren	1445
Alkylhydroxamsäureäther	1446
Ditolhydroxamsäuren; Tolbenzhydroxamsäure	1447
Isophthal- und Terephthalbenzhydroxamsäure	1448
Dibenzhydroxamsäureäther	1449
Ditolhydroxamsäureäther	1450
Benztolhydroxamsäureäther	1451
Tolbenzhydroxamsäureäther	1452
Dianishydroxamsäureäther	1453
Anisbenzhydroxamsäureäther	1454
Acylirte Hydroxamsäureäther; Tribenzhydroxylamin	1455
Dibenztolhydroxylamin; Benzenylamidoximäther	1456
Tolonyl-, Anisnylamidoximäther	1457
Oxyurethan und einige Reactionen der Benzhydroxamsäure	1458
Oxyurethan; Benzhydroxamsäureacetat	1459
Reaction der Dihydroxamsäuren; Oxydation von Amidoximen; Benzenylamidoxim	1460
Eigenschaften und Spaltung isomerer Amidine	1461
Hydrazide und Azide organischer Säuren	1462

	Seite
Primäre Säurehydrazide	1463
Sekundäre, symmetrische Hydrazide	1464
Säureazide, Darstellung und Eigenschaften	1465
Säureazide, Umsetzungen	1466
Hydrazide und Azide organischer Säuren	1467
Acetylbenzoylhydrazin; Dibenzoylhydrazin	1468
Benzalbenzoylhydrazin und Derivate	1469
Umlagerung von Säureaziden, $R.CO.N_3$	1470
Synthetische Versuche mittelst Natrium und Nitrilen	1471
Darstellung der symmetrischen und einer nicht symmetrischen Tri- brombenzoesäure	1472
Entstehung der Jodo-o-, Jodo- und Jodobenzoesäure	1473
Jodo- und Jodosobenzoesäure	1474
Hydroxyjodobenzoat	1475
Darstellung von o-o-p-Trinitrobenzoesäure aus nitrirtem Toluol bezw. aus Toluol; Isomerie der Nitrobenzoesäuren	1476
Relative Löslichkeit der Nitrobenzoesäuren	1477
Thermische Studie über die Nitrobenzoesäure	1478
Elektrolytische Reduction von Paranitrobenzoesäure in schwefelsaurer Lösung; mehrfach nitrirte aromatische Körper	1479
Einwirkung von Alkali auf p-Tri- und 1-3-5-Dinitrobenzoesäure	1480
Orceinsulfonphthalein; Parachlormetaulfobenzoësäure und einige ihrer Derivate	1481
p-Chlor-m-sulfobenzoësäure und Derivate	1482
Phthaleine der Orthosulfoparatoluylsäure	1483
Diphenol-p-methylsulfonphthalein; Resorcinolmethylsulfonphthaleine	1484
Neue Classe cyclischer Jodverbindungen der Jodosogruppe aus Jod- phenylensigsäure	1485
Abkömmlinge des p-Cyantoluols	1486
Isomere p-Methylendiohydrobenzoesäuren	1487
p-Methylendiohydrobenzoesäure	1488
m,p-Methylendiohydrobenzoesäure	1489
m,m'-1,4-Aethylecyklopentencarbonsäure	1490
m,m'-1,4- und m',m'-1,4-Aethylecyklopentencarbonsäure	1491
1,4-Aethylecyklopentencarbonsäure	1492
1,4-Aethylecyklopentencarbonsäure, Salze und Derivate	1493
Optisch actives Zimmtsäuredichlorid	1494
Verhalten von Zimmtsäuredichlorid gegen Mikrophyten	1495
Zerlegung des Zimmtsäuredibromids in die optisch activen Modi- ficationen	1496
Zimmtsäuredibromid, Salze mit organischen Basen	1497
Zerlegung der Phenyldibrombuttersäure in ihre optisch activen Modi- ficationen	1498
Isodurylsäure Nitroisodurylsäurenitril	1499
Nitro-, Dinitroisodurylsäurenitril	1500
Einige Derivate der Zimmtsäure	1501
Allozimmtsäure	1502
Allozimmtsäureanhydrid	1503

	Seite
Umlagerung der $\beta\gamma$ -Phenylcrotonsäure	1504
Umlagerung der Phenyl- $\beta\gamma$ -pentensäure	1505
Phenyl- $\alpha\beta$ -pentensäure	1506
Phenyl- β -oxyvaleriansäure	1507
Phenylbromvaleriansäuren	1508, 1509
Phenylpentenlacton; Phenylloxypentensäure	1510
Oxydationsproducte der Phenyl- $\beta\gamma$ - und Phenyl- $\alpha\beta$ -pentensäure . . .	1511
Abietinsäure	1512
Abietinsäurechlorid, -amid	1513

Säuren mit 3 At. Sauerstoff:

Wärmewerth isomerer Säuren von der Zusammensetzung $C_7H_6O_3$ und $C_8H_6O_3$	1514
Wärmewerth und elektrische Leitfähigkeit der Oxybenzö- und Oxytoluylsäuren	1515
Abhängigkeit des Wärmewerthes von der Constitution	1516
Hexahydroanthranilsäure und Hexahydrosalicylsäure	1517
Reduction des β -Ketohexamethylencarbonsäureesters zur Hexahydro-salicylsäure	1518
Darstellung von Salicylsäure; Cadmiumsalicylat	1519
Vorkommen des Salicylsäuremethyläthers in einigen einheimischen Pflanzen; flüchtige Stoffe der auf Java cultivirten Kokablätter; Oel in den Wurzeln einiger auf Java wachsenden Polygaleen; Darstellung von Salol aus Polysalicylid und Phenol	1520
Darstellung von Salicylmetaphosphorsäure; Wismuthnitrosalicylate .	1521
Thioform; Natriumborsalicylat	1522
Borsalicylat, ein Antisepticum; Verhalten der Kalksalze einiger aromatischer Aethersäuren bei der trockenen Destillation	1523
Darstellung von p-Chlor-m-oxybenzoesäure	1524
Bildung von Chlorhydrinestern im Allgemeinen und ein neuer Dichlorhydrinester der Anissäure; Derivate der Mandelsäure . . .	1525
Phenylchloroessigsäure	1526
Mandelsäure- und Phenylchloroessigsäureanilide	1527
Reduction der Aminonitrile; Indigountersuchungen	1528
Färben von Textilstoffen jeder Art in der Indigoküpe	1529
Darstellung von carboxylirten Indigofarbstoffen; Condensationsproducte von α -Aldehydsäuren und Phenolen	1530
Geschwindigkeit der Cumarinbildung; Entstehung von Oxylactonen aus Phenylbrenztraubensäure	1531
Phenylbrenztraubensäure; Benzollacton; Phenyllacton	1532
Einführung von Acylen in den Benzoylessigäther	1533
α -Benzoyl- β -benzoylessigzimmtäther; Benzoylmalonsäureäther . . .	1534
Benzoylessigester und Säureanhydride	1535
Constitution der β -Ketonsäureester	1536
Dichloroxyindencarbonsäure	1537, 1538
Chlorketoidencarbonsäure; Dichlordiketohydrindencarbonsäure . . .	1539
Chlorldibromketo-, Dichlorketoxy-hydrindencarbonsäure	1540

	Seite
β -Oxynaphtoesäure vom Schmelzp. 216°	1541
Bildung von α -Naptoldithiocarbonäure	1542
Dimethyl- und Diäthylamidobenzoylbenzoesäuren und das Dimethyl- aminphtalein	1543
Neue von der Benzoylbenzoesäure abstammende Derivate	1544

Säuren mit 4 At. Sauerstoff:

Derivate der Veratronsäure und des Veratrols	1545
Diäthylprotocatechusäure; Synthese der Homogentisinsäure	1546
Ein Fall von Alkaptonurie	1547
Spaltung der Dihydro-o-phthaläuren; Oxyderivate der Phenylbutter- säure	1548
Synthese des Kresolcamarins	1549
Santonin; zwei substituirte Isoimide der Phtalsäure	1550
Phtalmethylisoimid, Phtalbenzylisoimid	1551
Einwirkung von Phtalylehlorid auf die Dinitrodiazoamidobenzole; Säureimide und Hydrazinhydrat	1552
Einwirkung von Hydroxylamin auf Phtalsäureanhydrid	1553
Constitution der Alkaliverbindungen des Phenolphthaleins	1554
Condensation des Phtalimids mit Phenol	1555
Indophenolphthaleinderivate	1556
Fluoresceinfarbstoffe	1557
Phenolphthaleinanhydridanilid und Galleinanilid	1558
Fluoresceinanilid	1559
Ueberführung tetraalkylierter Bernsteinsäurerhodamine in höher alky- lierte Farbstoffe	1560
Ueberführung von Rhodaminen in höher alkylierte, blausüchtigere Farbstoffe; Ueberführung dialkylierter Rhodamine in höher alky- lierte Farbstoffe; Darstellung rother Farbstoffe aus Rhodamin und Dinitrochlorbenzol; Darstellung von Farbstoffen aus Phtalsäure- rhodaminen und aromatischen Basen; o-Cyanbenzylcyanid	1561
Umwandlungsproducte aus o-Cyanbenzylcyanid	1562
Synthese der Piperinsäure und des Piperins	1563
Tetrahydronaphtalsäure	1564
Synthese von Inden, Hydrinden und einigen ihrer Derivate	1565
Hydrindenmonocarbonsäurederivate	1566
Indencarbonsäure; Hydrindenmethyl-äthylketon	1567
Hydradenphenylketon; Inden; Hydrinden	1568
$\alpha\beta$ -Dioxynaphtoesäuren; Phenacylcyanessigester; Truxillsäuren	1569
Abkömmlinge der Truxillsäuren	1570

Säuren mit 5 At. Sauerstoff:

Verhalten des trimethylgallussäuren Calciums bei der trockenen Destillation	1571
Darstellung von Acetyl-gallussäuren und Acetyldibromgallussäuren und die Bestimmung des Acetyls in diesen Verbindungen	1572

	Seite
Tri- und Diacetylgallussäure; Triacetyldibromgallussäure	1573
Gallussäurederivate	1574
Homologen des Gallanilids; Darstellung des Gallotoluidids, seiner Triacetylverbindung und einiger Salze	1575
Dibromgallanilid und seine Triacetylverbindung; die blauen Lacke aus Dibromgallanilid und einige blaue Reactionen der Polyphenole	1576
Oxydationsproduct aus Dibromgallanilid	1577
Sulfogallussäure; Darstellung brauner beizenfärbender Farbstoffe aus Nitrosonaphtolen; Oxalkylbenzylmalonsäuren	1578
Phenylloxaloesigester und die Phenylmalonsäureester	1579
Phenylmalonsäure	1580
Säuren mit mehr als 5 At. Sauerstoff:	
Norhemipinsäure	1581
Norhemipinsäureanhydrid	1582
Carbonylirte Cumarine und neue Synthese von Cumarinen	1583
Isophtaldicyanessigsäureäther	1584
Phtaldicyanessigsäureäther; Tricyandibenzyl	1585
Tricyandibenzyl und Umwandlungsproducte	1586
Methyldibenzyl-, Oxydibenzyltricarbonsäure	1587
Hydrodiphtallactonsäure; Oxydibenzyldicarbonsäure	1588
Synthese und Constitution der Vulpinsäure	1589
Oxalylbisbenzylcyanür; Pulvinsäuredilacton; Vulpinsäure	1590
Pulvinsäure	1591
Pulvinaminsäuren und Pulvinsäureester	1592
Substituirte Pulvinaminsäuren	1593
Pulvinhydroxamsäure	1594
Pulvinsäureester	1595
Diphenylketipinsäureamidnitril	1596
Salze des Diphenylketipinsäureamidnitrils	1597
Isocyanphenylbrenztraubensäureamid	1598
Phenylhydroxymaleinimid	1599
Phenylamidomaleinimid	1600
Verhalten des Dibenzoylbernsteinsäureesters beim Erhitzen; Carminsäure	1601
Aldehyde:	
Reaction zwischen Aldoximäthern und Phenylisocyanat	1602
Dinitrophenyläther von Oximen	1603
Ueber zwei neue Hexite und über die Verbindungen der mehrwerthigen Alkohole mit dem Bittermandelöl	1604
Thioacetale des Naphtalins	1605
Condensation von Aldehyden mit α -Naphtohydrochinon und α -Naphtochinon; Einwirkung von Natriumäthylat auf Benzaldehyd und Bernsteinsäurediäthylester	1606
Benzaldehyd und Glutarsäure; pharmakologische Untersuchung des Hydrobenzamins und des Amarins; Condensationsproducte aus Benzylamin und einigen Benzaldehyden	1607

	Seite
Benzalbiuretamidocrotonsäureäther und Benzalbiuret	1608
Reaction zur Umlagerung von Oximoloverbindungen in Amide	1609
Die Eigenschaften des α -Benzaldoxims und einige seiner Derivate; Benzhydroximsäurechlorid	1610
Hydroximsäurechloride und ihre Umwandlungsproducte	1611
Substituirte Benzhydroximsäurechloride und Umwandlungsproducte	1612
Ein Stereoisomeres des Zimmtaldoxims; Darstellung von Diphenyl- acetaldehyd und eine neue Synthese von Tolanderivaten; Phenyl- hydrazone des Salicylaldehyds	1613
Isobutylsalicylaldehyd und einige seiner Derivate	1614
Darstellung aromatischer p-Sulfoderivate des Protocatechualdehyds	1615
Vorkommen von Vanillin; Darstellung von Vanillin	1616
Darstellung von Methylbivanillin	1617

Ketone:

Einwirkung von Chlor auf Phenole	1617
Ketochloride aus gewöhnlichem Phenol	1618
Oetochlorketotetrahydrobenzol	1619
Trichlordimethoxyphenol; Trichloroxychinon	1620
Trichloroxyhydrochinon; Trichlormethoxyhydrochinon	1621
Einwirkung von Chlor auf o- und p-Diamine; Ueberführung derselben in Diketone und Chlorone	1622
Ueberführung von Diketochloriden in gechlorte Keto-R-pentene durch Chlorkalk	1623
Oxydationsproducte des Carbons; Reindarstellung des Irisaromas (Irons) Uride von α -Ketonalkoholen; Darstellung von Glycosinderivaten der Amidoacetophenone	1625
p-Amidoacetophenon und secundärer p-Amidophenyläthylalkohol	1626
Methoxyacetophenon und Derivate; Resacetophenon	1627
Einwirkung von Jodmethyl auf Resacetophenonkalium; Verhalten der aromatischen Oxyketone im Thierkörper	1628
Ueber die aus Phenolen und halogensubstituirten Fettsäuren erhaltenen Ester und Ketone	1629
Anhydrophenylendiimidoglyco-brenzcatechin, -pyrogallol	1630
Stellung der Seitenketten in den Ketonen aus Pyrogallol	1631
Darstellung wasserlöslicher Bissulfidverbindungen des o-Nitrophenyl- milchsäureketons, Einwirkung von Aluminiumchlorid auf Heptyl- chlorid; α -Hydrindon und seine Derivate	1632
Lamitroschhydrindon; Anhydrobischhydrindon	1633
Einwirkung von Malonester auf Benzylidenaceton	1634
Einwirkung von Natriummalonäthylester auf Benzolaceton	1635
Ketotetrahydronaphtalin; Benzophenonoxim aus Bismitrosylbenzhydril benzhydrilhydroxylamin	1636
Freiwillige Zersetzung des Oxims des Benzophenons; Abkömmlinge des Diphenylmethans und Benzophenons	1639
Constitution der isomeren symmetrischen Biderivate des Diphenyl- methans und Benzophenons	1639

	Seite
Dinitro-, Diamido-, Dioxybenzophenone	1640, 1641
Dinitro-, Diamidobenzophenone	1642
Symmetrisches Di-o-diamidobenzophenon	1643
Darstellung benzylirter Ketone aus Tetramethyl- bzw. Tetraäthyl- diamidobenzophenon; Benzoresorsin	1644
Synthese des Trimethyläthers des Benzophloroglucins; Anwendung der Friedel-Craft'schen Reaction auf Thiophenoläther	1645
Sulfäthylbenzophenon; Sulfäthylbenzophenonoxime, Umlagerung . .	1646
Darstellung von gelben Oxyketonfarbstoffen aus Protocatechusäure und Phenolen	1647
Darstellung eines basischen Farbstoffes der Pyrongruppe; Constitution des Euxanthons	1648
Einige Derivate der Oxyxanthone und über das Maklurin	1649
Synthese des Gentisins	1650
Zwei stereoisomere Hydrazone des Benzoin	1651
Einwirkung von Oxaläther auf Dibenzylketon; Constitution des Cöruleins	1652

Diketone:

1,5-Diketone	1653, 1654
Ketophenylparakophenon; Desoxybenzoinbenzylidenacetophenon . .	1655
Benzylidendibenzoylessigester; Desoxybenzoincinnamylanisol . . .	1656
Triphenylketo-R-hexane	1657
Benzylidenacetylaceton; Benzylidendiacetylaceton	1658
Acetessigester-, Desoxybenzoin-benzylidenacetylaceton	1659
Methylendiacetessigester	1660
Tetrahydroketotoluol; Tetrahydro-m-toluidin	1661
Dimethylketo-R-hexen	1662
Dimethylbenzylidenketo-R-hexen; Tetrahydroxyliden	1663
Darstellung von Derivaten des Δ^2 -Keto-R-hexens	1664
Paradiacetylbenzol; Säuren aus dem Dicyanhydrin des Benzoyl- acetons	1665
Derivate des 1-3-Diketocyclohexans	1666
Condensation des Benzils mit Malonsäureäthyläther	1667
Einwirkung von Benzylamin auf Benzil in Gegenwart von Zinkchlorid; Reductionsversuche mit Benzildioxim	1668
Configuration einiger Glyoxime	1669
Glyoxime aus Isosafrol, Configuration	1670
Carbonsäuren der Benzilhydrazone	1671

Tri- und Tetraketone:

Ueber die Isomerien bei den 1-3-Triketonen und den Oxy-methylen- verbindungen	1672
Synthese von Hexamethylenderivaten, Triäthylcyclohexantrion . . .	1673
Einwirkung von Natriumalkoholat auf Phtalsäureester und Ketone, sowie auf Phtalsäureester und Bernsteinsäureester	1674
Aromatische Tetraketone	1675

	Seite
Formoime	1676
β -Aethylbenzoylformoin; Alkylbenzoylformoime	1677
Chinone:	
Darstellung von p-Chinonen mit Hilfe der Indophenole	1678
Allgemeine Darstellungsmethode einer Reihe von Indophenolen	1679
Ueber racemisierte Aether und Ester des Monochlorchinonmetaoxims; Isomerie der beiden Benzoyläther und Methyläther des Chlor- chinonmetaoxims	1680
Bildung von Tetrachlorchinon aus Hexachlorphenol	1681
Einwirkung von Phosphorpentachlorid auf Tetrachlorchinon; Ein- wirkung von Chinonen auf m-Nitranilin und Nitro-p-toluidin	1682
Condensation von Teluchinon und Acetessigeste	1683
Oxydimethylisocumarilsäure und Derivate	1684
Aethylbenzochinon; Derivate des Pseudocumols	1685
Pseudocumochinon	1686
Constitution des Polythymochinons; Darstellung des 1-2-Naphtochinons	1687
Halogenadditionsproducte von α - und β -Naphtochinon	1688
Einwirkung von Chlorkalk und von unterchloriger Säure auf Chinone	1689
Umwandlungsproducte aus Chlor- β -naphtochinon mit Chlorkalk	1690
Umwandlungsproducte aus Brom- β -naphtochinon mit Chlorkalk	1691
Verbindung von Nitro- β -naphtochinon mit Methylalkohol	1692
Einwirkung von Chlorkalk auf Nitro- β -naphtochinondimethylat	1693
o-Chlornitromethoxyäthylbenzoylcarbonensäure	1694
Naphtochinonchlorimide	1695
Darstellung von Nilblau mit α -Naphtochinondichlorimid; 1-2-Amido- naphtol-4-monosulfosäure und Derivate derselben	1696
β -Oxy- α -naphtochinonderivate; β -Oxyindophenole	1697
1-2-Amidonaphtolsulfosäuren	1698
Chinonimide und Aminochinone	1699
Aminonaphtochinonimid und Umwandlungsproducte	1700
Ueber Naphtazarin und über die Bildung der Naphtocyaninsäure	1701
Darstellung von Naphtazarin aus α, α' -Dinitronaphtalin; Synthese des Lapachols	1702
Condensation von Aldehyden mit β Hydroxy- α -naphtochinon	1703
Dinaphtyldichinon; Darstellung und Eigenschaften von Bromlapachol	1704
Hydroxime der Lapacholgruppe; Anthrachinonderivate	1705
Darstellung von β -Chloranthrachinon; Anthrachinonoxim	1706
Darstellung blauer beizenfärbender Farbstoffe aus Dinitroanthrachinon; Geschichte des Anthracens	1707
m-Benzodioxyanthrachinon; Di- und Trioxyanthrachinone	1708
Monoalkyläther des Alizarins; Darstellung von Brom- und Chloralizarin	1709
Darstellung des Methyläthers des o-Oxyanthrachinons; Darstellung von Nitrooxyanthrachinon; Darstellung von α -Nitroverbindungen der Oxyanthrachinonfarbstoffe	1710
α -Nitroalizarin; Sulfosäure des α -Nitroalizarins; β -Nitroverbindungen der Oxyanthrachinone; alkylierte stickstoffhaltige Alizarinfarbstoffe	1711

	Seite
Anthrarufin- und Chrysazinmethyläther; Darstellung von Farbstoffen durch Reduction von Dinitroanthrachrysondisulfosäure; Darstellung eines grün- bis schwarzfärbenden Beizenstoffes der Anthracenreihe	1712
Grünblaue beizenfärbende Anthracenfarbstoffe; Darstellung von Tetranitroanthrachryson	1713
Darstellung von Beizenfarbstoffen durch Reduction des Tetranitroanthrachrysons; Farbstoffe der Alizarincyaninreihe; β -Anthrachinon	1714
Constitution des Rubiadins; Einwirkung des Harnstoffes auf Chinone	1715

Inhaltsverzeichnis des dritten Theiles.

Campherarten.

	Seite
Isoborneol	1717
Synthetische Borneole; Einwirkung von Schwefelsäure auf Camphen	1718
Metallorganische Verbindungen des Borneols, des Camphers und des Monochlorcamphers mit Aluminiumchlorid; Einwirkung von Nitrochlorid auf Menthon	1719
Oxydation des Menthons	1720
Ueber das Verhältniß zwischen dem Rotationsvermögen des Camphers und dem Molekulargewicht einiger Lösungsmittel desselben	1721
Constitution des Camphers und einiger seiner Derivate	1722
Entstehung der Abbauprodukte aus Campher	1723
Formulirung von Campholen	1724
Constitution des Camphers	1725
Oxydationsproducte des Camphers	1726
Campherformel von Bredt	1727
Forschungen in der Camphergruppe	1728
Ueber die Campholene und über die Constitution des Camphers	1729
Constitution des Camphers und seiner Derivate	1730
Halogenderivate des Camphers	1731
Ueberführung der Camphocarbonsäure in Isonitrosocampher; über Isonitrosocampher	1732
Nitrocampher; Einwirkung von salpetriger Säure auf den Amidocampher	1733
Camphenon; Azocamphanon	1734
Einwirkung von salpetriger Säure auf den Aminocampher	1735
Untersuchung einiger Derivate des Cyancamphers und des Camphocarbonsaureesters	1736
Darstellung von Sulfoderivaten des Camphers	1737
Rechtadrehendes Camphersulfchlorid	1738
Oxymethylencampher	1739, 1740
Amido-, Imidomethylencampher; Chlorid, Bromid des Oxymethylen- camphers	1741
Anhydrid, Aether, Acylderivate des Oxymethylencamphers	1742
Oxymethylenmenthon	1743
Tautomerisation von Oxymethylenverbindungen	1744
Bildung des Campherchinons bei der Oxydation der Camphercarbon- säure mit Kaliumpermanganat	1745
Campherpinakon	1746

	Seite
Zwei isomere Methylcycanapher	1747
Tanacetol und seine Beziehungen zu Thujon	1748
Poleyöl	1749

Terpene:

Oxydation von Terpenen und ätherischen Oelen durch die Luft; Ortsbestimmungen in der Terpenreihe	1750
Nomenclatur und Bezeichnung von Terpenen	1751
Dipententetrabromid	1752
Constitution des Terpinolens	1753
Terpenol und Abkömmlinge	1754
Constitution des Dipentens und Terpinens	1755
Eucarvol	1756
Terpene der Carvongruppe	1757, 1758
Caron; Dihydroeucarvol; Dihydroeucarvon	1759
Carylamin; Vestrylamin	1760
Carvestren; Dihydrobromid; Dihydrochlorid	1761
Ueber das Verhalten der Oxime cyclischer Ketone und über die Ueberführung von Terpenderivaten in aliphatische Verbindungen von gleicher Anzahl der Kohlenstoffatome	1762
Iso-l-Menthenoxim; Menthonitril	1763
Menthonylamin u. Umwandlungsproducte; Aufspaltung des Menthonringes	1764
Verbindungen der Carvonreihe	1765
Carvacrylamin; l-Dihydrocarvon; Dihydrocarvoxim	1766
Isodihydrocarvoxim; Isocarvon	1767
Terpene und ätherische Oele	1768
Umwandlung von Limonentetrabromid in Carvon	1769
Carveolmethyläther	1770
Pinol und dessen Ueberführung in Verbindungen von gleichem Kohlenstoffgehalt und von neuem Typus	1771
Constitution des Pinols und seiner Derivate	1772
Oxydation cyclischer Verbindungen	1773
Menthen; Menthenglycol	1774
Pinol; Pinolglycol; Sobrerol	1775
Constitution des Pinens und seiner Umwandlungsproducte	1776
Oxydation cyclischer Verbindungen	1777
Oxydation des Menthens und dessen chemische Structur	1778
Mentholgruppe	1779
Vom Pinen abstammende Ketone; Stereoisomerie in der Campherreihe	1780
Isomere Hydrocamphene	1781
Vorkommen von Camphen in ätherischen Oelen; Phosphorabkömmlinge des Camphens	1782
Halogenhaltige Camphenderivate	1783
Campholen	1784
Terpenartige Kohlenwasserstoffe im Erdöl	1785

Aetherische Oele; Kautschuk:

	Seite
Flüchtige Kohlenwasserstoffe des Baldrianöls; über das Canangaöl	1786
Aetherische Oele der Citrone; Oel von <i>Erigeron Canadense</i> ; <i>Eucalyptus</i> ole von <i>Victoria</i>	1787
Aetherische Oele des indischen Hanfes; ätherisches Oel des Hopfens	1788
Lavendelöl; <i>Pelargonium</i> öl von Réunion	1789
Bestandtheile des amerikanischen Pfefferminzöles	1790, 1791
Bestimmung von Menthol und Menthon	1792
Resedawurzelöl	1793
Rosenöl	1794
Anwesenheit von Camphen in Spiköl; finnländisches Terpentinsel	1795
Amerikanisches Terpentinsel; über das Vogelbeerenöl, die Parasorbin- säure und ihre Isomerie mit der Sorbinsäure	1796
Sorbinöl; Sorbinsäure	1797
Ylang-Ylangöl	1798
Vulcanisirung des Kautschuks	1799
Polyprensulfochloride; Polypren	1800
Kautschuk, Behandlung von Guttapercha oder Gummi mit Woll- cholesterin; Entvulcanisiren von vulcanisirtem Kautschuk; Dar- stellung von mit Metallen durchsetztem Hartgummi; Darstellung einer dauernd elastischen Masse	1801

Harze:

Perubalsam; Galbanumharz	1802
Tolubalsam	1803
Toluenacetanndol	1804
Birnit	1805
Ueberwallungsharze	1806
Technologie der Harzesenz; Jodzahl des Kolophoniums	1807
Thapsiaharz des Handels; Darstellung von Harzsäureestern	1808
Bronzetiefenfarben für den Zeugdruck; Darstellung von Sprengstoffen aus Salpeter und Harzlösungen; Schmiermittel für Leder; Dar- stellung einer Dachbedeckung	1809

Glucoside:

Einige synthetische Glucoside	1809
Aethylglucosid; Methylgalactosid	1810
Ueber das zweite Methylglucosid	1811
Chloralose	1812
Chloralsäure; Parachloralose	1813
Chloralose	1814
Untersuchung des Harzes der echten Jalape	1815
Convolvulin; Convolvulinsäure	1816
Scammoniumharz; Jalapin	1817
Scammoniumharz, hydrolytische Spaltungsproducte und Zusammen- setzung von Convolvulin	1818

	Seite
Eurybin; Gaultherin	1819
Iridin	1820
Alkyliretote; Irogenin; Iridinsäure	1821
Ueber Melanthin und über die quantitative Zusammensetzung des Hernidrin und des Yucca-Saponins	1822
Picein	1823
Ruberythrinsäure; gelber Farbstoff von Sophora Japonica	1824

Bitterstoffe und indifferente Stoffe:

Artemisin	1824
Cannabindon	1825
Neuer Stoff aus der wahren Cotorinde	1826
Umwandlungen des Phenylcumalins	1827
Constitution des Cotoins	1828
Diacetylcotin; Dibromcotoin	1829
Dimethylcotoin; Methylhydrocotoin	1830
Dioxyphenyleumarin	1831
Ueber die in der echten Cotorinde enthaltenen krystallisirbaren Stoffe	1832, 1833
Pseudodicotin; Oxyphenylcumalin; β -Phenylcumalin	1834
Einwirkung von Brom auf Datisacetin; neue Derivate des Digitogenins	1835
Euparin; neue Substanz aus den Flechten	1836
Maclurin und Phloretin	1837
Constitution des Phloretins	1838
Quassol; Quercetin und seine Derivate	1839
Scoparin	1840
Umwandlungsproducte des Scoparins	1841
Sordidin	1842

Farbstoffe unbekannter Constitution:

Brasilin	1843
Brasilin und Hämatoxylin	1844
Chemie des Chlorophylls	1845
Spaltungsproducte des Chlorophylls; Phylloxanthin	1846
Chemie des Chlorophylls; Gegenwart mehrerer Chlorophyllarten in derselben Pflanze	1847
Chrysin; Dinitrochrysin; Giftigkeit der Wandflechte; Darstellung eines festen Farbstoffs aus Blauholzextract	1848
Lebergalle des Menschen; gelber Harnfarbstoff	1849
Urobilin	1850
Chemische Charakteristik des Samenmantels „Macis“ der Myristica- arten; Farbstoff und andere Substanzen in Mang-Kouda	1851
Phycocerythrin, Krystallisirbarkeit und chemische Natur	1852
Farbstoff in den Bebenblättern; Kamála und Rottlerin	1853
Einwirkung von Kaliumpermanganat, sowie von Jodwasserstoff und rothem Phosphor auf das Rottlerin; über Krappfarbstoffe	1854

	Seite
Methylpurpurroxanthin; Hexa- und Heptabenzoylruberythrinsäure . .	1853
Farbstoff der indischen Farbe „Tessu“; Farbstoff aus Ventilago madras-	
patana	1856
Die färbenden Gerbstoffe der rothen Weintrauben	1857
Oenocyanin	1858

Gerbstoffe:

Hopsengerbstoff; Gerbstoff der Theeblätter	1859
--	------

Alkaloide:

Aconitin; Einwirkung von Jod und von Methyljodid auf Aconitin .	1859
Aconitin; Jodaconitin	1860
Aconitalkaloide; Umwandlung von Aconitin in Isaconitin und die	
Hydrolyse von Aconitin; Wirkung der Hitze auf Aconitin und	
einige Abkömmlinge. Bildung von Pyraconitin	1861
Natur des Aconitins	1862
Pyraconitin; Pyraconin; Piraconitin	1863
Aconitin	1864
Zwei Cacteenalkaloide	1865
Ueber Pellote	1866
Ueber Anhalonin	1867, 1868
Alkaloide in einigen Samen; Tropeine; Scopolamin	1869
Scopolin; Atropin; Hyoscyamin	1870
Scopoleine	1871
Gewinnung des Berberins aus der Wurzel von Hydrastis canadensis	1872
Das Canadin	1873
Pharmacochemie von Chelidonium majus; mikrochemische Prüfung	
des Chinins	1874
Mikrochemischer Nachweis von Chinidin	1875
Mikrochemischer Nachweis von Cinchonin, Cinchonidin	1876
Neue Verbindungen der Chinaalkaloide mit Aethyljodid	1877
Cinchoninjodäthyl, Cinchonindiäthyljodid	1878
Jodäthylcinchonin, Chininäthyljodid, Jodäthylchinin	1879
Constitution der Verbindungen von Chinaalkaloiden mit Aethyljodid;	
physiologische und therapeutische Wirkung der Homologen des	
Chinins	1880
Chinischlorhydratsulfat; Darstellung von leicht löslichen Doppelsalzen	
des Chinins	1881
Benzoylchinin; hydrolytische Spaltungen des Chinins und Cinchens	1882
Apocinchen und Apochinen	1883
Amidoapocinchen, Merochinen	1884
Merochinen und Cincholoipen	1885
Constitution des Cinchonins	1886
Verhalten von Hydrojodecinchonin zu Wasser; Cinchotin oder Hydro-	
cinchonin	1887
β -Oxycinchonin	1888

	Seite
Bromhydrat des Diisobutylcinchonins; Cinchotenin	1889
Neues Isomeres des Cinchonins	1890
Cinchonidin	1891
Darstellung von Rhodanzinkdoppelsalzen der Cocaalkaloide	1892
Technische Darstellung des Cocains aus seinen Nebenalkaloiden	1893
Darstellung von Ecgoninalkylestern; einige in der Benzoylgruppe substituirt Cocaine	1894
Rechtscocaine, die in der Benzoylgruppe substituirt sind	1895
Methylbetain des Anhydroecgonins	1896
Anhydroecgoninmethylbetain	1897
Jodmethylate des Anhydroecgoninmethyl- und -äthylesters	1898
Physiologische Wirkungen der Verbindungen der Cocainreihe; neues Alkaloid im Kaffee	1899
Neue Reaction des Colchicins; Oxydation von Corydalin mit Kaliumpermanganat	1900
Corydalin	1901
Alkaloide von Corydalis cava, Corybulbin; Cytisin und Ulexin	1902
Identität von Sophorin und Cytisin und von Cytisin und Ulexin	1903
Chemie des Ipecacuanha	1904, 1905
Emetin; Ephedrin	1906
Ergotin	1907
Alkaloide der Calabarbohnen	1908
Neue Verbindungen der Alkaloide von Lupinus albus; chemisch-pharmakologische Untersuchung über die Manacawurzel	1909
Manacin; Manacein	1910
Stickstoff in den Mohnkapseln; Opiumalkaloide	1911
Morphin	1912
α - und β -Methylmorphimetin	1913
Neue Morphinreaction	1914
Codein; Thebain	1915
Jodide von Narcein	1916
Paucin; Krystalle, welche aus salzsaurer Strychninlösung ausfallen; Darstellung des Strychninnitrats	1917
Ein isomeres Jodmethyl-Brucin; Polysulphydrat des Brucins; Vorkommen von Trigonellin in den Samen von Pisum sativum und Cannabis sativa; Vellosin	1918
Vellosin; Geißospermin; Apovellosin	1919

Furfurangruppe:

Das Brechungsvermögen des Furanalkohols, der Brenzschleimsäure und ihrer Aether	1920
Furfurylnitrit und andere Alkoholnitrite	1921
Bildung von Allosäuren und über Allofurfuracrylsäure	1922
Furalcyanacrylsäure und deren Derivate	1923
Dehydroschleimsäure aus d-Methylbrenzschleimsäure	1924
Einwirkung von Essigsäureanhydrid auf Bernsteinsäure in Gegenwart von Chlorzink; Spectrochemie des Cumarons und des Indens	1925

Thiophengruppe:

	Seite
Die Sulfonirung des Thiophens und die Oxydation desselben durch Schwefelsäure zu einem neuen Dithienyl	1926
Einwirkung von Schwefelsäure auf Bromthiophene; Dithienyle . . .	1927
Bromderivate von $\beta\beta$ -Dithienyl	1928
$\alpha\alpha$ -Dithienyl	1929

Pyrrolgruppe:

Verhalten ungesättigter Basen gegen Chlorwasserstoff	1929
Methyl- $\alpha\beta$ -Dimethylpyrrolidin	1930
γ -Aminovaleriansäure und Methylpyrrolidin	1931
Verhalten einiger stickstoffhaltiger Kerne gegen nasirendes Brom; Verbindung des Pyrrols mit der Ferrocyanwasserstoff-säure . . .	1932
Ueberführung des Pyrrols in Indol; Synthese von Pyrrolverbindungen aus Nitrosoketonen	1933
Dimethylacetylpyrrolcarbonsäuren	1934
Bildung von Pyrrolderivaten aus Aconitsäure	1935

Pyrazolgruppe:

Derivate des Diamids mit geschlossener Atomgruppierung; Pyrazolin und einige seiner Derivate	1938
3-Methyl-5-dimethylpyrazolin; 1-Phenylpyrazolin	1937
Einwirkung von Diazoessigester auf ungesättigte Säureester . .	1938, 1939
Umlagerung von Ketazinen in Pyrazoline	1940
5-Phenylpyrazolin	1941
Constitution des Pyrazols	1941
Oscillationshypothese des Pyrazols	1943
Pyrazol- und Benzolformel	1944
Speculationen über Werthigkeit; Valenzkörper	1946
Atombewegung im Pyrazol	1948
Darstellung von Pyrazolderivaten aus β -Diketonen oder β -Ketoaldehyden der Fettreihe mit Hydrazin	1947
3-Methylpyrazol	1948
5-Methylpyrazol	1949
3,5-Dimethylpyrazol	1950
Condensation von Hydrazin mit Acetylaceton, Acetylacetessigester und Äthylidenacetessigester	1951
Condensation von Hydrazin mit Methylacetylaceton oder mit Dimethylacetylaceton oder mit Benzoylaceton und Benzoylacetessigester .	1952
Methylphenylpyrazol; Phenylpyrazoldicarbonsäure	1953
Am Kohlenstoff phenylierte Pyrazole; Versuche über Pyrazolverbindungen	1954
Dimethylbenzoylpyrazole; Triphenylbenzoylpyrazol	1955
Hydrazinhydrat auf Cyanessigester und Malonitril	1956
Condensation von Methylhydrazin mit β -Diketonen; Condensationsproducte von aromatischen Hydraziden des Acetessigesters . . .	1957

	Seite
Zur Kenntniss der Pyrazolreihe	1958
Isomere 1-Phenylmethylpyrazole	1959
Isomere 1-Phenylmethylpyrazolcarbonsäuren	1960, 1961
Einwirkung des Phenylhydrazins auf Oxymethylenaceton und auf Acetonoxalsäure	1962
Diphenyldimethyldipyrazol; Tetraphenyldipyrazol	1963
Einige Sulfophenyl- und Oxyphenylpyrazole; Nomenclatur der Pyrazolone	1964
Pyrazolonreactionen	1965
Pyrazolon aus β -Aldoximeessigsäure; Einwirkung von Hydrazinhydrat auf einige β - und γ -Ketosäureester	1966
Bismethylpyrazolon; 3-Methylpyridazinon	1967
Pyrazolonderivate aus Dehydracetsäure und Cumalinsäure	1968
Pyrazolon aus Phenylpropionsäure und deren Azoderivate	1969
Pyrazolon und Isopyrazolon	1970
Isopyrazolone	1971
Succinylbernsteinester und Hydrazinhydrat	1972
1-Phenylpyrazolon	1973
Isomere (n)-Phenylpyrazolone	1974
Constitution der Phenylpyrazolone	1975
Darstellung von 1-Phenyl-3-methyl-5-pyrazolonen und von 1-Phenyl-2-methyl-5-pyrazolon; Darstellung von Antipyrin	1976
3-Resalrin; Darstellung von 1-Phenyl-2,3-dimethyl-4-oxy-5-pyrazolon	1977
Darstellung von 1-Phenyl-2-oxäthyl-3-methylpyrazolon und dessen Acetyl- und Benzoylderivaten	1978
Darstellung von p-Tolyldimethylpyrazolonsalicylat	1979
Benzopyrazol- oder Indazolgruppe:	
Einige Derivate des 2-(n)-Phenylindazols	1979
Imidazol- oder Glyoxalgruppe:	
Methylglyoxalidin oder Lysidin	1980
Darstellung von Methylglyoxalidin und seinen Homologen; Einwirkung aromatischer Aldehyde auf para-substituierte Aniline	1981
β -Phenyl- γ -methylhydantoin	1982
Platinverbindung des Glyoxalins	1983
Einwirkung von 1,2-Diketonen auf primäre Amine der allgemeinen Formel $R'.CH_2$	1984
Einwirkung von Benzil auf Benzylamin in Gegenwart von Zinkchlorid; Aldehydinreaction	1985
Aldehydine aus o-Diaminen und Aldehyden	1986
Darstellung von m-Diamdodibenzimidazol; Orthodiamine	1987
Imidazole aus p-Tolyloaphtylendiamin	1988
Isoxazolgruppe:	
Cyanacetophenon und Hydroxylamin	1989
Phenylisoxazonimid; Substanzen, die den Ring $C_6H_4N_2O_2$ enthalten	1990

	Seite
Einwirkung von salpetriger Säure auf Isomethyleugenol	1991
Peroxyd des Diazonitrosoisomethyleugenols	1992
Dioxime aus Diazonitrosoisomethyleugenol	1993
Benzisoxazol- oder Indoxazenverbindungen:	
Indoxazene	1994
Derivate des Phenylindoxazens	1995
Oxazolgruppe:	
Oxazoline und Thiazoline der Anissäurereihe	1996
Thiazolgruppe:	
Alkylamidothiazole und deren Isomere	1997
α -Methyl- μ - α -dibenzylamidothiazol	1998
Reductions- und Condensationsversuche bei Thiazolen; Thiohydantoin- essigsäure und Diphenylthiohydantoinessigsäure	1999
Triazol- und Tetrazolgruppe:	
Einwirkung von Alkalien auf Orthonitrophenylhydrazin	2000
Synthese des Triazols und seiner Derivate	2001
Urazol und Triazol	2002
Urazolsalze; Darstellung von Triazol aus Urazol	2003
Einwirkung des Cyans auf α -Acidylphenylhydrazide	2004
Einwirkung von Cyanwasserstoff auf Phenylhydrazin, Dithiourazol und Derivate desselben	2005
Guanazol und seine Alkylderivate	2006
Tolyl-, Naphtyl-, Phenylmethylguanazol	2007
Oxydation der Formazylverbindungen	2008
Diphenyltetrazoliumchloridcarbon-säure; Diphenyltetrazoliumchlorid	2009
Thiobiazoline:	
Reaction zwischen Schwefelkohlenstoff und primären Hydrazinen	2010
Phenylthiobiazolonsulfhydrat	2011
Abkömmlinge des Thiosemicarbazids und Umsetzungsproducte der- selben	2012
Phenylthiosemicarbazid; Phenylimidothiobiazolin	2013
Phenylimidomethylthiobiazoline	2014
Methylimidothiobiazolin; Allylthiosemicarbazid	2015
Einwirkung von Thiophosgen auf Aethyldiamin	2016
Base $C_6H_{10}N_4S$ aus Thiophosgen und Aethyldiamin	2017
Indol- und Carbazolgruppe:	
Oxydation hydrirter Indole; Darstellung von 2' 3'-Diphenylindolen aus Benzoin und primären aromatischen Aminen	2018

	Seite
Einwirkung der Anilinbasen auf Benzoin; Synthese von Indol- und Glycoollderivaten	2019
Tetrahydrocarbazol	2020
Farbreaction des Carbazols	2021
Pyridingruppe:	
Piperidoacetal; α -Epichlorhydrinpiperidinverbindungen	2022
Verbindungen aus Epichlorhydrin und Piperidin	2023
Sulfopiperidid und Sulfoamidovaleriansäure; Einwirkung von Chloroform und Aetzkali auf Piperidin	2024
Einwirkung von Piperidin auf Acetessigester; Isopipecolin und asymmetrischer Stickstoff	2025
Spaltung von β -Pipecolin und Tetrahydrochinaldin in ihre optischen Isomeren; Krystallform des weinsauren β -Pipecolins; Constitution des Dimethylpiperidins und seiner Homologen	2026
Dimethylpiperidin	2027
Vorkommen von Coniin in Sambucus nigra	2028
Reines d-Coniin	2029
Coniin; Coniumalkaloide	2030
n-Methylconiin als Begleiter des Coniins	2031
Coniin und seine Verbindungen; Krystallformen des Isoconiinplatins	2032
Conhydrin und Pseudoconhydrin; Reactionen des Pyridins, Anderson'sche Reaction	2033
Einwirkung reducirender Mittel auf Metalicyanide	2034
Tetrapyridinkobaltchlorür; Dipyridinnickel-, Dichinokobaltchlorür	2035
Verbindungen des Pyridins mit den Permanganaten; Additionsproduct von Pyridin mit Monochloraceton	2036
Holzölbestandtheile; Untersuchungen in der Pyridinreihe	2037
α -Amidonicotinsäure; α -Amidopyridin	2038
γ -Amidolutidindicarbonsäure; γ -Amidolutidin	2039
Aethoxylutidin; Brom-, Dibromamidolutidin	2040
β -Nitro- α' -amidonicotinsäure; α' - β' -Diamidonicotinsäure	2041
Pyridinderivate aus Aldehyden und Benzoylpiperidin	2042
$\beta\beta$ -Dibenzoylpyridin; Dinitro-, Diamidodibenzylpyridin	2043
Diecumylpyridin; Mono- und Tricumylpyridin	2044
Einwirkung von Benzaldehyd auf s-Trimethylpyridin	2045
Einwirkung von Chloral auf Aldehydcollidin	2046
Einige Derivate der Picolinsäure und Ueberführung derselben in α -Amidopyridin	2047
Picolinsäureamid; α -Amidopyridin	2048
Ester und Amide der Pyridincarbonsäure	2049
Amidopyridincarbonsäuren; Zersetzung der α' -Oxynicotinsäure durch nascirenden Wasserstoff	2050
Citrazinsäure	2051, 2052
Umwandlung des Citrazinamids in Phenylpyrazolonecarbonsäure	2053
Configuration der Aconitsäure; Studien in der Pyridinreihe	2054
Reductionsproducte des α -Methylpyridylketons und die Nichtidentität des α -Aethylpiperylalkins mit dem activen Pseudoconhydrin	2055

	Seite
Nicotin	2056, 2057
Constitution des Nicotins	2058
Industrielle Darstellung von nicotinreichen Producten	2059
Industrielle Darstellung und physiologische Eigenschaften des Oxalates und der krystallisirten Salze des Nicotins	2060
Zur Kenntniss des Tabakrauches; Anthrapyridinchinon	2061

Chinolingruppe:

Synthesen hydroxyirter aromatischer Basen	2062
Tetrahydrochinolin und Chloroxyketone	2063
Dekahydrochinolin	2064
Hexahydrohydrocarbostyryl	2065
Hexahydrochinolin	2066
Oxydation hydrirter Chinoline, Hydrochinolin; Dihydrochinoline	2067
Constitution der Hydrochinoline; Structur der stickstoffhaltigen Kerne	2068
Cinnamylidihydrotrimethylchinolin	2069
β -Cyan- γ -phenylpseudocarbostyryl; Darstellung des Chinolins; Synthese von Chinolin	2070
Synthese des Chinolins und Skatols; Nachweis des Chinolins im Braunkohlentheer	2071
Chlorchinolin	2072
p-Chlorchinolin und Substitutionsproducte; p-Chlorchinolinsulfonsäuren	2073
β -Bromchinolin und γ -Bromchinolin	2074
p-Bromchinolin	2075
Meta-ana-Dibromchinolin; IV-m-ana- γ -Tribromchinolin und V-o-m-ana-Tribromchinolin	2076
Ester und Betaine von Chinolinsulfonsäuren	2077
Darstellung von m-Chlor- und m-Brom-o-oxychinolin-ana-sulfonsäure und von m-Jod-o-oxychinolin-ana-sulfonsäure	2078
Loretin	2079
Darstellung eines Conservirungs- und Desinfectionsmittels aus Oxychinolin; Analgen (o-Aethoxy-ana-monobenzoylanudochinolin)	2080
Chinolinderivate im thierischen Organismus; Einwirkung von Formaldehyd auf Chinaldin	2081
Condensationsproducte von Salicyl- und p-Oxybenzaldehyd mit Chinaldin	2082
Synthese des Kynurins; Constitution der Ringsysteme	2083
Constitution der Ringsysteme	2084
Constitution von Kohlenstoff-Stickstoffringen	2085, 2086
γ -Amidochinaldin; α -Methyl- γ -chinochinolin; α -Dimethyl- γ -chinochinolin	2087
γ -o-Oxyphenylchinolin und γ -m-Oxyphenylchinolin	2088
γ -p-Oxyphenylchinolin	2089
γ -p-Oxyphenylchinolin; γ -p-Oxyphenylchinaldin	2090
Synthese der Chinolinderivate	2091
Constitution der Chinolinammoniumbasen	2092, 2093
Halogenalkylate der Chinarsäure	2094

	Seite
Alkylderivate der Chinaldin- β -carbonsäure	2095
Chinaldin- β -carbonsäureester-Halogenalkylate	2096, 2097
Alkylderivate substituierter Cinchoninsäuren	2098
p-Oxy- α -phenylcinchoninsäure	2099
α -Alkylicinchoninsäuren und α -Alkylchinoline	2100
Amidoderivate der Phenylcinchoninsäure	2101
Synthese der α -Alkyl- β -naphtocinchoninsäuren	2102
α -Methyl-, Citroneillon- und Citryl- β -naphtocinchoninsäure	2103
Synthese der α -Alkyl- β -naphtocinchoninsäuren	2104, 2105
Alkaloide der Granatwurzelsrinde	2106
Granatenin	2107
Granatal; Methylgranatenin; Granatanin	2108
Pseudopelletierin; Abkömmlinge des Granatanins	2109
Norgranatanin	2110
Norgranatolin; Norgranatenin	2111

Acridingruppe; Phenanthridingruppe:

Darstellung von o-Aminobenzophenon und Synthese von Acridon . .	2112
Symmetrisches Diamidoacridon	2113
Methylacridone und Methylacridine	2114, 2115
Dimethylacridon und Dimethylacridin	2116
Dihydrophenonaphtacridin und Phenonaphtacridin	2117
Dioxynaphtacridon	2118
Gelbe Farbstoffe der Acridinreihe	2119
Synthese des Phenanthridins und seiner Derivate	2120
Phenanthridin; Mesoalkylphenanthridine	2121
Octahydro-1, 8-naphtyridin und β -(ω -Amidopropyl)piperidin	2122
Hydrirte Naphtinoline	2123
Tetrahydro-, Methyltetrahydro-, Dihydro- α -naphtinolin	2124

Isochinolingruppe:

Synthese des Isochinolins und seiner Derivate	2125
Synthese des 3-Aethylisochinolins	2126
Aethoxyäthylisochinolin	2127
Darstellung von Isochinolinderivaten; Synthese des Isocumarins und einiger Abkömmlinge des Isochinolins	2128
Phenyl- und Aethylisocarbostyryl	2129
Aethyl-, Methylisocarbostyryl; Isocumarin	2130
Cyanid und eine Carbonsäure des Isochinolins; Alkylatderivate des Isochinolins	2131
Methylenisochinolin	2132

Oxazine und Thiazine:

Constitution der Söderbaum-Widman'schen Phendihydroaci- und Thiomiazine	2133
Constitution der Keto- und Thiochinazoline	2134

	Seite
Halogenisirte Amine	2135
μ -Methylphenpenthiazol	2136
Thiocumazon und seine Umwandlung in Thiochinazoline	2137
Abkömmlinge aus der Reihe der Oxazine und der Eurhodine	2138
Darstellung von Oxazinfarbstoffen	2139
Darstellung von Gallocyaninfarbstoffen	2140
Oxidophenolfarbstoffe, welche vom Gallanilid und vom Gallopara- toluid abstammen; Synthesen von Cumothiazonderivaten	2141
Beizenfarbende Thioninfarbstoffe	2142, 2143

Oxiazingruppe:

Derivate des Opiazons	2144
Noropiazon; Methylnoropiazon	2145

Chinazolingruppe:

Synthesen der Chinazolinverbindungen; Benzyl-o-amido-benzylanilin	2146
Isomerie der Chinazolinreihe	2147
Neue Synthesen von Diketochinazolin	2148
Bildung von Diketochinazolin aus substituirten Anthranilsäuren	2149

Pyrazin- und Chinoxalingruppe:

Darstellung von Piperazin	2150
Einwirkung von Benzylamin auf Chloressigsäureäthylester	2151
Neue Reihe von Farbstoffen	2152
Dimethyldiazinmethyldiphenylchloromethan	2153
Pyrazine, Darstellung von Pyrazinen aus Amidoketonen	2154
Darstellung von Homologen des Pyrazins; Oxydation des Toluall- oxazins	2155
Hydrate Chinoxaline	2156
Darstellung von Amidodioxychinoxalin	2157

Phenazingruppe.

Constitution der Fluorindine und Rosinduline	2158
Constitution der Safranine	2158
Oxydation der aromatischen o-Diamine und o-Amidophenole	2159
Darstellung von Rosindonsulfosäuren; Darstellung eines am Stickstoff alkylieren Eurhodins; Darstellung von basischen Farbstoffen und deren Sulfosäuren aus phenylierten α, β -Naphtylendiaminen	2160
Darstellung blauer basischer Farbstoffe	2161
Darstellung blauer Farbstoffe sauren Charakters aus Nitrosodialkyl- m-amidophenol; Darstellung eines grünblauen basischen Farb- stoffs; Darstellung wasserlöslicher Induline; Darstellung von wasserlöslichen basischen Azinfarbstoffen	2162
Darstellung am Azinstickstoff alkylierter Induline	2163
Darstellung von Sulfosäuren der am Azinstickstoff alkylierten Induline	2164

Asthiazine:

	Seite
Constitution der Carbizine	2165
Phenylthiocarbizin	2166

Triazin- und Tetrazingruppe:

Darstellung von Amidotriazinen aus Chrysoidinen durch Aldehyde	2167
Einwirkung von Hydrazin auf Imidoäther	2168
Diphenyltriazol	2169
Diphenyldihydrotetrazin; Diphenyltetrazin	2170
Einwirkung von Hydrazin auf Imidoäther	2171
Ditolyltriazol; Ditolyldihydrotetrazin	2173

Diazoverbindungen:

Diazoverbindungen und Nitrosamine	2173, 2174
p-Nitrophenylnitrosamin und Salze; Diazobenzokalkium	2175
Diazobenzolsäure	2176
α - und β -Diazobenzolsäuremethylester	2177, 2178
Diazobenzolsäurechlorimid	2179
Darstellung von Diazobenzolsäure; Nitrierung des Anilins	2180
Diazobenzolsäure aus Nitrylchlorid und Anilin	2181
Isomerieerscheinungen bei Diazokörpern	2182
Diazonaphtalinsäure; Naphtalindiazooxyd	2183
Diazo- und Isodiazoverbindungen	2184
Isodiazokörper und Diazosäuren	2185
Beziehungen zwischen Nitrosaminen, Diazosäuren und Isodiazokörpern	2186
Diazobenzolperbromid; Darstellung von Diazobenzolsäure	2187
Diazotierungsproceß	2188
Stereoisomerie bei Diazoverbindungen und die Natur der Isodiazokörper; Constitution der Diazobenzolsäure	2189
Stereomere benzoldiazosulfonsaure Salze	2190, 2191
Nitrodiazobenzolmethylester	2192
Stereoisomerie bei Diazoverbindungen und die Natur der Isodiazokörper	2193
Stereoisomere Salze der Benzoldiazosulfonsäure; Stereoisomerie der benzoldiazosulfonsauren Salze	2194
Constitution der Diazobenzolsäure	2195
Bildung von Farbstoffen aus stereoisomeren Diazoverbindungen und Configuration von Diazoäthern	2196
Stereoisomerie der Diazoverbindungen und speciell der Diazosulfonsäuren	2197
Die beiden isomeren Formen des Diazobenzokalkiumsulfäts	2198
p-Nitrodiazobenzol; aromatische Diazoverbindungen und Nitrosamine	2199
Benzoylphenyl-, Benzoyl-p-tolylnitrosamin, Acetyltolylnitrosamin	2200
Aromatische Bisdiazoverbindungen	2201
Einwirkung von Ammoniak auf Diazobenzol; Zersetzung der Diazoverbindungen	2202
Verhalten einiger Nitro- β -diazonaphtaline	2203

	Seite
Einseitige Diazotirung des Benzidins	2204
Stereoisomere Diazoamidoverbindungen	2205, 2206, 2207
Diazoamidobenzol	2208
Einwirkung von salpetriger Säure auf Amido-p-dichlorbenzol; Reduktion des Dinitrodiazoamidobenzols	2209
Zersetzung einiger substituierter Diazobenzolimide	2210, 2211
Azoverbindungen:	
Amidosulfonsäure	2212
Einwirkung von Diazobenzolchlorid und seinen Homologen auf Cyanoessigäthylester	2213
α - und β -Benzolazocyanessigester	2214
Derivate des Benzolazocyanessigesters	2215
Phenylhydrazonessigsäure	2216
Toluol-, Xylolazocyanessigester	2217
Pseudocumolazo-, Carboxylphenylhydrazoncyanessigester	2218
Reductionsproducte von Azoverbindungen	2219
Dimethylthoxydiamidodiphenyl	2220
2,4'-Dimethyl-5-athoxy-4-amidodiphenylamin	2221
Structur von Azobenzol; Einwirkung von Brom auf Azobenzol; Bildung von Tetrabrombenzidin	2222
Reduction von p-Toluolazodimethylanilin	2223
2-Amido-5-methyl-4-dimethylamidodiphenylamin	2224
Condensationsproducte der Semidinbase	2225
Azo-p-kresolderivate	2226
Reductionsproducte alkylirter Azofarbstoffe der Naphtalinreihe	2227
Touminazonaphtoläthyläther	2228
Reductionsproducte alkylirter Azofarbstoffe der Naphtalinreihe	2229
Phenatidinazonaphtoläthyläther	2230
Monosulfosäuren des Phenylnaphtylamins und die aus ihnen entstehenden Azofarbstoffe	2231
Azoverbindungen der Orthoreihe	2232
Naphtalinazonaphtol; Nitrobenzolazokresol	2233
m-Azoverbindungen	2234
Nitrobenzolazonaphtalin; Nitrosamidoazobenzol	2235
Constitution des Bismarckbrauns	2236
Einige alkylirte Azokörper	2237
Monoalkyläther von Diazofarbstoffen: Diamingoldgelb	2238
Darstellung von farbigen Aetzmustern auf Azofarbengrund; Färben von Wolle und Seide mit Orthooxyazofarbstoffen; Darstellung von Lackfarben; Darstellung von substantiven Azofarbstoffen mittelst Dioxylidiphenylmethan	2239
Darstellung von Azokörpern der Naphtalinreihe; Darstellung von Azofarbstoffen aus Dioxynaphtalindisulfosäuren und Dioxynaphtalinsulfosäuren; Darstellung Metallbeizen färbender Azofarbstoffe mittelst Amidonaphtol, Erzeugung von orange bis braunen Färbungen mit Hilfe eines aus Dinitroostilbendisulfosäure durch Reduction entstehenden Farbstoffs	2240

Benzylirte Azofarbstoffe; beizenfarbende Monoazofarbstoffe aus Amido-kresoläthern durch aromatische Diazocarbonsäuren; Azofarbstoffe aus m-Phenylendiamindisulfosäure; braune substantive Farbstoffe der p-Phenylendiaminreihe aus p-Amidobenzolazoanilinsäure; Farbstoff aus p-Phenylendiamin und α, α' -Dioxynaphthalin- β, β' -disulfosäure	2241
Azofarbstoffe aus aromatisch-substituirten α, α' -Naphthylaminsulfosäuren; blaue Monoazofarbstoffe aus unsymmetrischen Dialkyl-p-phenyldiaminen und α, α' -Dioxynaphthalinmono- und -disulfosäuren; Darstellung rother, violetter bis blauer Azofarbstoffe aus α, α' -Amidonaphthol- α, β' -disulfosäure; Darstellung von Azofarbstoffen aus Amidonaphtholdisulfosäure II; substantive Baumwollfarbstoffe aus Thioamidbasen und monoalkylirten α, α' -Dioxynaphthalin- β, β' -disulfosäuren; Baumwollfarbstoffe aus geschwefelten Basen und α -Naphthol β' -sulfosäure	2242
Azofarbstoffe aus Triamidoazobenzol, Azofarbstoffe, die den α, α' -Azinidonaphthalinrest enthalten; Disazofarbstoffe aus β -Amido- α -naphthol- β' -sulfosäure; Darstellung von brannen bis braunschwarzen Azofarbstoffen; braune Baumwollfarbstoffe aus Diazo-lenzoessäure und Bismarckbraun	2243
Darstellung von Disazofarbstoffen	2244, 2245, 2246
Darstellung von Disazo-, Trisazo- und Polyazofarbstoffen	2247
Darstellung von Hexazofarbstoffen und Polyazofarbstoffen	2248
Formazylverbindungen:	
Bildungsweisen der Formazylverbindungen	2248
Oxydation der Formazylverbindungen	2249
Gemischte Formazylverbindungen	2250
Phenyltolyl- und Tolyphenylformazylbenzol	2251
Phenyltolyl- und Tolyphenylformazylaminensäure	2252, 2253
Benzolazophenyltolylformazyle; Formazylbenzolderivate	2254
Spaltungsproducte der Formazylverbindungen	2255
Einwirkung von Diazobenzol auf Nitromethan	2256
Einwirkung von Diazobenzol auf Acetaldehyd, Brenztraubensäure und das Phenylhydrazon der letzteren	2257
Formazylglyoxalsäure	2258
Hydrazine:	
Phenylhydrazine	2259
Phenylhydrazinhydrat	2260
Löslichkeit des Phenylhydrazins in wässrigen Lösungen der Alkalisalze von Salzsäuren, Sulfonsäuren, Fettsäuren u. Gallensäuren	2261
Phenylhydrazinformiat, -lactat, Acetyl- und Formylphenylhydrazin	2262
Darstellung von s-Formyl- β -phenylhydrazidobuttersäureester; α -Acetphenylhydrazid	2263
Synthesen von Benzolhydrazinen mittelst Hydrazinhydrat	2264, 2265
Dinitrophenylhydrazin	2266
Dinitrophenylnitrosylhydrazin; Dinitrodiazobenzollmid	2267

Einwirkung von Pikrylchlorid auf Hydrazin	2268
3, 4-Dinitrophenylhydrazin und Pikrylhydrazin und ihre Derivate . .	2269
Dinitrophenylhydrazin	2270
Dinitrophenylhydrazinderivate	2271
Condensationsproducte von Dinitrophenylhydrazin	2272
Condensationsproducte von Pikrylhydrazin	2273
Einwirkung von Phosphorpentachlorid auf <i>s</i> -Benzoylphenylhydrazin .	2274
Einwirkung von Chlorphosphor auf <i>s</i> -Benzoylphenylhydrazin	2275
Darstellung von Condensationsproducten aus $\alpha\alpha$ -alkylsubstituirten Phenylhydrazinen und Salicylaldehyd, Thionylverbindungen sub- stituierter Phenylhydrazine und der Hydrazinbenzoesäure	2276
<i>o</i> - und <i>m</i> -Nitro-, Halogen-, Thionylphenylhydrazone	2277
Einwirkung von Phenylhydrazin auf Benzalmalonsäureester	2278
Derivate des α -Diphenylsemicarbazids und des α -Diphenylsulfosemi- carbazids	2279
Diphenylsemi-, Diphenylsulfosemicarbazid	2280
<i>o</i> -Amido-benzylhydrazine	2280
<i>p</i> -Hydrazinodiphenyl	2282, 2283
Phosphor- und Arsenverbindungen. Metallorganische Ver- bindungen:	
Oxychlorphosphin	2285
α -Chlorphosphine des Phenols und der Naphtols	2286
α -Naphtol- α -oxychlorphosphin	2287
α -Chlorphosphine der zweiatomigen Phenole	2288
Resorcin-di-, Hydrochinon-di- α -chlorphosphin	2289
<i>n</i> -Oxychlorphosphine der aromatischen Amine	2290
Dianilin- <i>n</i> -phosphinsäure; Trianilin- <i>n</i> -phosphinoxyl	2291
Toluidin- <i>n</i> -phosphinsäure, <i>o</i> -Toluidin- <i>n</i> -oxychlorphosphin	2292
Das Betain und Cholin des Triphenylphosphins	2293
Triphenylphosphorbetain	2294
Phosphazobenzolchlorid und dessen Derivate	2295
Phosphazobenzoläther	2296
Nitrierte Phenylarsenverbindungen	2297
Nitrophenylarsinsäure; Dinitroarsinobenzol	2298
Nitrophenylarsensulfide, Amidophenylarsensulfid	2299
Magnesiumdiphenyl	2300
Magnesiumdiphenyl und Umwandlungsproducte	2301
β -Quecksilberdinaphtyl und $\beta\beta$ -Dinaphtyl; <i>p</i> -Quecksilberdiäthylanilin	2302
Von den Anilinen sich ableitende organische Quecksilberverbindungen	2303
<i>p</i> -Quecksilberanilin, <i>p</i> -Quecksilberalkylaniline	2304
Neue Organometallverbindungen	2305
Eiweißstoffe:	
Bestimmung des osmotischen Druckes eiweißhaltiger Flüssigkeiten mittels der Erniedrigung des Gefrierpunktes; über die bei der Verbrennung der Eiweißstoffe im Organismus entwickelte Ge- samtenenergie	2306

	Seite
Coagulation von Eiweißkörpern auf mechanischem Wege	2307
Einfluß des Natriumoxalates auf die durch Hitze und Alkohol erzeugte Coagulation des Blut- und Eiereiweißes; Asaprol, ein Reagens auf Eiweiß, Albumosen, Peptone und Pepsin	2308
Anwendung von Farbstoffen zur Erkennung verschiedener Eiweiß- arten	2309
Die sogenannte Asche der Eiweißkörper; Oxydation der Eiweißstoffe mit Kaliumpermanganat	2310
Zersetzung der Albuminate durch die Hydrate der Alkalien; pflanz- liche Eiweißstoffe	2311
Proteinähnliche Substanzen	2312
Chemie der Eiweißkörper	2313
Fractionirte Krystallisation des Eieralbumins; zur Frage des kry- stallisirten und aschefreien Albumins	2314
Fibrin und Fibrinogen; spezifische Drehung des Fibrinogens	2315
Einige Albuminoide, die Classe der Caseine, die Familie der Fibrine; das Casein und der organische Phosphor des Caseins	2316
Casein der Frauenmilch; Blutgerinnung	2317
Blutgerinnung	2318
Fractionirte Fällung der Eiweißkörper des Bluteserums	2319
Abscheidung der Albumine aus dem Blute, Eiweißkörper des Blut- serums; Dissociationscurve des Kohlenoxydhämoglobins	2320
Darstellung von Oxyhämoglobinkrystallen; Einwirkung des Zinks und seiner Salze auf das Blut und den Blutfarbstoff; chemische Zu- sammensetzung des Hamatoporphyrins	2321
Chlorwasserstoffsäures und bromwasserstoffsäures Hämatin; Nucleo- proteide	2322
Spaltungsproducte der Nucleinsäure	2323
Physiologie der Kohlehydrate	2324
Gewinnung von Nucleinsäuren aus nucleinsäurehaltigen Producten und Organen, Verflüssigung u. Haltbarmachung von thierischem Leim; Wiederbelebung gebrauchter Knochenkohle, Elastin, Elacin, basophiles Collagen und Collacin	2325
Neues Spaltungsproduct der Hornsubstanz, Gerbung der thierischen Haut durch Tannin; Schnellgerbverfahren	2326
Farben thierischer Fasern und Gewebe unter Erzeugung von Azo- derivaten ihrer eiweißartigen Bestandtheile; Darstellung von Farbstoffen auf Wolle mit Hilfe der Sulfosäuren der hydroxy- lirten und amidirten Naphtele bezw. der hydroxylirten Naphthyl- amine, Reinigung von Pechwolle; Imprägnirung von Wolle mit einem schweißzersetzenden Mittel; Beschweren von Seide und Schappe	2327
Darstellung eines Ersatzes für Fischbein; Somatosen- und Albumosen- präparate	2328
Peptonsalze des Eieralbumins; Fleischsäure	2329
Darstellung resorbirbarer Eisenverbindungen der Phosphorfleischsäure; Darstellung einer resorbirbaren organischen Eisenverbindung . .	2330

Fermentwirkungen:

	Seite
Einfluss der Configuration auf die Wirkung der Enzyme	2330
Invertin, Emulsin	2331
Glucose; Einfluss der Configuration auf die Wirkung der Enzyme . .	2332
Enzyme	2333
Verdauung ohne Verdampfungsfermente	2334
Bestimmung der fermentativen Kraft von Flüssigkeiten, welche Pepsin enthalten, nach der Methode von Mett; Einwirkung verschiedener Sauren bei der Pepsinverdauung	2335
Einfluss der Halogensäuren auf die Pepsinverdauung; Einfluss des Chloroforms auf die künstliche Pepsinverdauung	2336
Ptyalinogenfrage	2337
Verdaunende Wirkung des Papains und Pepsins; Wirkung des Papains auf Hühnereweiss und Serumalbumin in saurer und alkalischer Lösung, Papainverdauung; Papain und sein Werth als Digestivum	2338
Papayapräparate des Handels; Lab und labähnliche Fermente . . .	2339
Diastatische Wirkung des Blutplasmas; Einwirkung der Kohlensäure auf die diastatischen Fermente des Thierkörpers; Oxydations- ferment der Gewebe	2340
Eiweißkörper in den Tuberkelbacillen; Darstellung von Lösungen, welche Stoffwechselproducte und Bestandtheile pathogener Spalt- pilze in ausschliesslicher Mischung mit Nichtproteinstoffen ent- halten	2341
Fuchsinähnliche Bacterienfärbung des Fleisches; Bacteriengifte; Vor- kommen und Bedeutung eines eiweißlösenden Enzyms in jugend- lichen Pflanzen	2342
Diastase aus Getreide; Zusammensetzung und Analyse der Hefe . .	2343
Chemie der Hefezellen; Kohlehydrate der Hefe	2344
Chemische Eigenschaften des alkoholischen Extractes der Bierhefe; Kohlensäurebildung und Sauerstoffabsorption; specifischer Cha- rakter der Gahrfunction der Hefezelle	2345
Hefereinzucht und Verwendung rein gezüchteter Hefen zur Wein- vergährung; alkoholische Gährung	2346
Einfluss des Sauerstoffs auf die alkoholische Gährung	2347
Verhalten der Hefen gegen Glycogen	2348
Bildung der Bernsteinsäure und des Glycerins bei der alkoholischen Gährung; secundäre Gährungen und Nachgährungen des Bieres; die sogenannten Glutinkörperchen in der Wurze, im Biers und in der Hefe	2349
Glutinkörperchen im Biers und in der Hefe	2350
Eiweißkörper in Bierwurze und Bier; Gährung von Glykosesyrupen; anaerobe Gährung durch den Bacillus orthobutylicus; Milch- säuregährung	2351
Milchsäurefermente	2352
Links-milchsäurebildende Vibrien	2353
Pectase und Pectingährung; Milchsäft des Lackbaumes von Tonkin; Nitrificationsferment	2354

	Seite
Schleimige Gährung der Milch; Eiweißfäulnis; Käsegährung	2355
Gährung in der Lederindustrie; Gewöhnung der Fermente an Antiseptica und der Einfluss dieser Gewöhnung auf ihre chemische Arbeit	2356
Wirkung einiger Antiseptica auf Hefe	2357
Einfluss der Fluorverbindungen auf die Bierhefe; Anpassung der Alkoholhefe in Flüssigkeiten, welche Flußsäure enthalten; neue Experimente über die Wirkung des schwefelsauren Calciums auf die alkoholische Gährung; Wirkung einiger Antiseptica auf die Fermente der Alkoholgährung und der Weinkrankheiten; mikrobiocide Wirkung des Gallanlids oder Gallanols; Einfluss des Wasserstoffsuperoxyds auf einige Mikroorganismen	2358
Darstellung alkalischer, Eiweiß nicht coagulirender antiseptischer Flüssigkeiten, Darstellung immunisirender Stoffe; Abcheidung einer als Antiptisin bezeichneten Substanz; Desinfection mit Schwefelsäureanhydrid und mit Pictet's Mischung	2359
Rationelle Sterilisation flüssiger Nahrungsmittel	2360
Pflanzenchemie:	
Verlust und Erhaltung der Nahrungstoffe der Pflanzen	2360
Pflanzliche Aschebestandtheile; Bestandtheile der Pflanzen, die sich unter Bildung von Kohlensäure zersetzen; Gehalt der Fäcalien an Pflanzennährstoffen	2361
Analyse der Pflanzensamen	2362
Eiweißstoff des Weizenkornes; Untersuchung der Güte des Roggenmehles; Volumen und Gewicht der Mehle	2363
Untersuchung des beim Aufbewahren in Elevatoren verdorbenen Roggens und des daraus gebackenen Brotes	2364
Einfluss des Alkalis, des Aluminiumhydroxyds und des Aluminiumphosphats auf die Verdaulichkeit des Brotes; verfälschte Kleie; Volumen und Gewicht der Mehle; Eiweißkörper der Schminkebohne	2365
Proteide der Bohne, Japanknollen	2366
Eiweißkörper des Baumwollsamens; Pfeffer	2367
Chemische und physikalische Untersuchung des Bodens; Einfluss des Klimas auf Bildung und Zusammensetzung des Bodens	2368, 2369
Permeabilität des Bodens für Luft, organische Substanzen der Ackererde; Grandeaumethode zur Bestimmung des Humus im Boden	2370
Thierchemie:	
Methylierung im Thierkörper	2370
Protagon; Bewegung und Oxydation von Zucker, Fett und Eiweiß unter dem Einfluss des respiratorischen Gaswechsels	2371
Alkaleszenz des Blutes	2372
Lymphzellen; Proteine der Schilddrüse und der Milz	2373
Darstellung von Toxinen aus dem Harn bei acuten Infectiouskrankheiten; peptomartige Körper im Harn bei chronischen Krankheitsprocessen	2374

	Seite
Ptomain aus dem Urin eines Pleuritiskranken und von Krebskranken	2375
Zwei neue Basen im Harn von Irrenkranken; Schlangengift	2376
Untersuchung auf Ptomain anlässlich einer Fleischvergiftung; Fischgift	2377
Analyse eines verdorbenen Käses, Extraction eines Ptomains; alkalische Reaction einiger Nahrungsmittel	2378
Conservirung von Nahrungs- und Genußmitteln, insbesondere von Eiern	2379

Analyse anorganischer Stoffe.

Allgemeine Methoden:

Ausschluss des Schwefelwasserstoffstromes aus der quantitativen Ana- lyse und dessen Ersatz durch Thioessigsäure; Empfindlichkeit einer Zonenreactionen und deren Anwendung bei der Auf- suchung von Säuren	2380
Das Probenehmen	2381
Methoden der indirecten Analyse	2382
Analysenfehler; Anwendung von Natriumsuperoxyd in der Analyse	2383, 2384
Natriumsuperoxyd	2385
Ammoniakalisches Quecksilbercyanid in der quantitativen Analyse .	2386
Verwandlung der Metallsulfide in Oxyde	2387
Verwendung von Quecksilberoxyd bei der Analyse	2388
Correction der Bestimmung des Gehaltes einer Flüssigkeit, die einen Niederschlag suspendirt enthält	2389
Bestimmung des Volumens von Niederschlägen	2390, 2391
Das spezifische Gewicht als Procentgewichtsbestimmung	2392
Colorimetrische Analysen	2393

Mafsanalyse:

Analytisch-titrimetrische Methoden; Darstellung von Lackmustinctur	2393
Indicatoren	2394
Beiträge zur Mafsanalyse	2395
Natriumcarbonat als Urmafs	2396
Chlorammonium als Urmafs für die Säure-, Alkali- und Chlormessung; Einfluss des Kochens in Glasgefäßen	2397
Zur Mafsanalyse; Anwendung von Lackmus und Methylorange als Indicatoren in der Mafsanalyse	2398
Vergleich von Lackmus und Methylorange	2399
Saures, weinsaures Kalium als Urtitersubstanz; Darstellung von reinem Kaliumjodat zur Titerstellung	2400
Unterschwefligsaures Natron als Urmafs der Jodometrie	2401
Jodstärkereaction	2402
Mafsanalytische Methoden	2403

Gasanalyse und Gasometrie:

Analyse durch Messen eines feuchten Gases	2404
Apparate zur Gasanalyse	2405, 2406

	Seite
Bestimmungen von Grubengas	2407
Wechselhahn für Apparate zur Gasanalyse; Gaspipette einfacher Construction; Gasvolumeter	2408
Gasbaroskop zur Gewichtsbestimmung von Gasen	2409
Gasbaroskop und dessen Anwendung zur Stickstoffbestimmung nach Dumas und zur Dampfdichtebestimmung nach Meyer	2410, 2411
Anwendung des Calcinometers von Mohr für die Bestimmung der Carbonate in der Pharmacie	2412
Kohlensäurebestimmungsapparat	2413
Wasser:	
Bestimmung des Wassergehaltes; Bestimmung des Wassers in hygroskopischen Substanzen; Feuchtigkeitsbestimmung im Holzschliff; Apparat zum Probenehmen von Wasser in verschiedener Tiefe	2414
Apparat zur Entnahme bacteriologischer Wasserproben aus verschiedenen Tiefen; Senkvorrichtung für bacteriologische Wasserproben; die Mittel der Trinkwasseruntersuchung	2415
Beurtheilung eines Trinkwassers nach den Ergebnissen der Analyse; Trinkwasseruntersuchungen	2416
Wasseranalyse	2417
Makroskopische Wasseruntersuchung mit Wasserstoffsuperoxyd; Extraction der im Wasser gelösten Gase für deren Untersuchung; Bestimmung des Sauerstoffs im Wasser	2418
Bestimmung des freien und des „Albuminoid“-Ammoniaks im Trinkwasser	2419
Bestimmung der Nitrate im Trinkwasser	2420
Ueber das Permanganatverfahren bei der Bestimmung organischer Substanzen im Trinkwasser: Wahrnehmung fäcalischer Verunreinigungen des Trinkwassers	2421
p-Diazobenzolsulfosäure als Reagens bei der Trinkwasseruntersuchung; Hydrotimetrie, ihre Fehlerquellen	2422
Alkalimetrische Bestimmung der Härte des Wassers; volumetrische Bestimmung der Phosphorsäure durch Titration des Ammoniummolybdates, Beurtheilung der stark eisenhaltigen Grundwässer; ammoniakalische Silberlösung als Reagens auf Ferrohydrocarbonat bei Trinkwasseruntersuchungen	2423
Halogene:	
Elektrolytische Bestimmung der Halogene	2423
Nachweis von Salzsäure; Erkennung von Spuren Chlor	2424
Bestimmung von Chloriden in organischen Stoffen; Salzsäurebestimmung im Magensaft; chemisch-analytische Untersuchungen des Mageninhaltes, Methodik der Salzsäurebestimmung; Methode zur titrimetrischen Bestimmung der hauptsächlichsten Factoren der Magenacidität	2425
Gasvolumetrische Bestimmung der Salzsäure im Mageninhalt	2426
Nachweis von überchlorsauren Alkalien bei Gegenwart von Chloriden, Chloraten und Nitraten; Nachweis von Bromwasserstoffsäure	2427

Trennung des Chlors von Brom; Bestimmung von Chlor in Brom; Jodtinctur und ihre Analyse	2428
Bestimmung des Jods; Bestimmung von Jod neben Brom und Chlor; Nachweis von Chlor bei Gegenwart von Jod und quantitative Trennung derselben von einander; Nachweis des Jods in löslichen Jodiden, in deren Mischungen mit Bromiden und in Jodaten . .	2429
Prüfung von Jodkalium; Erkennung von Jodaten in Alkalijodiden; massanalytische Methode zur Bestimmung des Jodes, der Jod- säure und der Jodate	2430

Schwefel, Tellur:

Feinheitsgrad des Schwefels; Erkennung kleiner Mengen von Schwefel- metallen in gefälltem Schwefel	2431
Reaction zur Erkennung freien Schwefels; Aufschließen von Pyriten mittels Natriumsuperoxyds	2432
Schwefelbestimmung in Pyriten	2433
Bestimmung von Natriumbisulfit; volumetrische Schwefelsäurebestim- mung in der rohen Salzsäure; Fällung von Baryumarsulfat bei Gegenwart von Kieselsäure und zersetzende Wirkung von Fluor- wasserstoffsäure auf das erstere	2434
Gehaltsbestimmung von Schwefelsäure; jodometrische Bestimmung der Tellursäure	2435

Stickstoff, Luft:

Bestimmung der Schwefelverbindungen in der Luft; quantitative Staubbestimmungen in der Luft nebst Beschreibung eines neuen Staubfängers	2436
Nachweis des Ammoniaks mit Nefeler'scher Lösung	2437
Colorimetrische Ammoniakbestimmung	2438
Stickstoffgehalt und Ammoniakausbeute bei der trockenen Destillation verschiedener Brennstoffe	2439
Zusammensetzung des technischen Ammoniumcarbonats	2440
Stickstoffbestimmung	2441
Bestimmung des organischen Stickstoffs nach der Methode von Stock Constanter Fehler der Stickstoffbestimmung in organischen Sub- stanzen u. s. w. durch Wägung des beim Glühen von Ammonium- platinchlorid verbleibenden Platinmetalles; Stickstoffbestimmung nach Kjeldahl in Futtermitteln; Stickstoffbestimmung in Guano .	2443
Analyse von Fischguano, Poudrette u. dgl. Substanzen; Bestimmung des Stickstoffs in Benzol-, Pyridin- und Chinolinderivaten nach Kjeldahl	2444
Stickstoffbestimmung in Düngemitteln nach Gunning	2445
Nachweis und Bestimmung sehr kleiner Mengen von Stickstoffsäuren .	2446
Bestimmung des Stickstoffs in Nitraten, Nitro- und Nitrosoverbin- dungen auf nassem Wege; neue Ausführungsweise der Schlä- sing'schen Salpetersäurebestimmungsmethode	2447
Bestimmung des Salpeterstickstoffs mit Hilfe des Nitrometers . . .	2448

Bestimmung des Salpeterstickstoffs im Wasser; Indol als Reagens auf Nitrite; Bestimmung der salpetrigen Säure in Gegenwart von Eisenoxydsalzen; Farbenreaction auf die salpetrige Säure der Culturen der Cholera bacillen und anderer Bacterien	2449
Maaßanalytische Bestimmung der Salpetersäure	2450
Prüfung des Kalisalpeters; Fehlergrenze für die Stickstoffbestimmung bei der Analyse der Chilisalpeter, Bestimmung des Stickstoffs im Chilisalpeter und anderen Düngemitteln; Gehalt der Salpeter an Perchlorat	2451
Reinigung des Salpeters von Perchlorat	2452
Phosphor:	
Bestimmung der Phosphorsäure; volumetrische Bestimmung der Phosphorsäure	2453
Volumetrische Bestimmung reiner Phosphorsäurelösungen; directes Titriren der Phosphorsäure; maaßanalytische Bestimmung der wasserlöslichen Phosphorsäure in Superphosphaten	2454
Bestimmung der Phosphorsäure; Bestimmung der Phosphorsäure durch Titration des gelben Niederschlages nach Pemberton	2455
Pemberton's maaßanalytische Phosphorsäurebestimmung	2456
Volumetrische Bestimmung der Phosphorsäure durch Titration des Ammoniumphosphormolybdats	2457
Gewichtsanalytische Bestimmung des Phosphors mit molybdansaurem Ammon; Autarbeitung der Molybdänrückstände, sowie Phosphorsäurebestimmung mittelst der Molybdänmethode	2458
Bestimmung der Phosphorsäure	2459
Bestimmung der Phosphorsäure nach der Citratmethode; Bestimmung von Phosphorsäure neben Stickstoff nach Kjeldahl; Bestimmung der Phosphorsäure als Magnesiumpyrophosphat	2460
Constitution der Thomasschlacke und Ermittlung ihres relativen Wirkungswerthes; Umwandlung schwer löslicher Thomasschlacke in leicht lösliche	2461
Verfälschungen des Thomasmehles; Bestimmung der citratlöslichen Phosphorsäure in Thomasschlacken und unaufgeschlossenen mineralischen Phosphaten	2462
Löslichkeit der Phosphorsäure in den Knochenmehlen; Phosphat von Grand Connétable	2463
Wasserlösliche Verbindungen der Phosphorsäure in den Superphosphaten	2464
Bestimmung der citratlöslichen Phosphorsäure; Werthbestimmung der in Wasser unlöslichen Phosphorsäure	2465
Analytische Bestimmung der wahrscheinlich disponiblen mineralischen Pflanzennahrung im Boden	2466
Abscheidung der Phosphorsäure als phosphorsaures Alkali aus den Phosphaten des Kalks und Eisenoxyds	2467
Bestimmung von Eisenoxyd und Thonerde in Mineralphosphaten	2468
Eisen und Thonerde in Phosphaten; Aufschließung fluorhaltiger Phosphate	2469
Ersatzmittel für Weinstein	2470

Arsen, Wismuth, Vanadin:

Seite

Arsenikproben der amerikanischen Pharmakopoe; Erkennung des Arsens in einem Maismehl mit Hilfe von <i>Penicillium brevicaulis</i>	2471
Vorteile und Bedingungen der Bettendorfschen Arsenprobe; Bestimmung des Schwefels in Sulfiden, sowie gleichzeitige Ermittlung ihres Arsengehaltes; Nachweis und Abscheidung des Arsens bei Gegenwart von Antimon und Zinn	2472
Grenzen der forensischen Verwerthbarkeit des chemischen Arsenachweises bei Exhumirungen; toxikologischer Nachweis und Bestimmung des Arsens	2473
Arsenbestimmung; Nachweis und annähernde Bestimmung geringer Mengen von Arsen im Kupfer	2474
Bestimmung des Arsens im Kupfer durch Destillation mit Eisenchlorid; Arsenik in Glycerin	2475
Reduction der Arsensäure durch Einwirkung von Salzsäure und Bromkalium; Bestimmung des Wismuthgehaltes	2476
Gegenwart von Vanadin im technischen Aetznatron; Reduction der Vanadinsäure durch Einwirkung von Weinsäure und Titration derselben in alkalischer Lösung durch Jod	2477

Kohlenstoff:

Verwendung und Prüfung der Kleinkohle	2477
Bestimmung des Phosphorgehaltes in Kohlen und Koks; Apparat zur Bestimmung der Kohlensäure	2478
Bestimmung der Kohlensäure in der Luft	2479
Bestimmung der Kohlensäure in Trink- und Mineralwässern	2480
Titrimetrische Trennung von Hydroxyden und Carbonaten und Bicarbonaten und Carbonaten der Alkalien, alkalischen Erden und der Magnesia	2481
Bestimmung der Kohlensäure bei Anwesenheit von löslichen Sulfiden	2482

Silicium, Titan, Zirkon, Zinn:

Auflösung zur größeren Vollständigkeit bei Gesteinsanalysen; Aufschließung von Silicaten durch Eisenoxydul und Manganoxydul; Aufschließung von Silicaten unter Druck durch concentrirte Salzsäure; Bestimmung der Kieselsäure	2483
Bestimmung der Kieselsäure in Hochofenschlacke; Nachweis und annähernde Bestimmung von Sand in Futtermitteln; Abscheidung des Zirkoniums durch schwellige Säure	2484
Schneller Nachweis des Zinns	2485
Analyse von Phosphorzinn; quantitative Trennung von Arsen, Antimon und Zinn	2486
Trennung und Bestimmung des Zinns und Antimons in einer Legirung	2487

Metallanalyse. Allgemeines:

Probenahme von Metallaschen für chemische Untersuchung	2488
Lösende Wirkung der Tartrate auf die Metallhydroxyde; quantitative Analyse von Schwermetallen durch Titriren mit Natriumsulfid	2489

Trennung des Arsens, des Zinns oder des Antimons von Blei, Kupfer, Silber, Cadmium, Kobalt, Nickel u. s. w.; quantitative Bestimmung von Mangan, Magnesium, Zink, Nickel mittelst der Oxalatmethode.	2489
--	------

Alkalimetalle:

Bestimmung von Carbonaten und Aetzalkalien in Gemischen .	2490, 2491
Doppelchloride der Alkalimetalle und Gold und die Trennung der Alkalien von einander; Natriumkobaltinitrit als Reagens auf Kalium	2492
Fehlerquellen in Robinson's Methoden zur Bestimmung von Kali in Düngemitteln und deutschen Kalisalzen	2493
Neue Methode der Kalibestimmung	2494, 2495
Bestimmung von Kali in Düngemitteln; Bestimmung von Jodkalium und Natriumacetat in Gegenwart complicirter, organischer Mischungen	2496
Werthbestimmung von Pottasche	2497

Erdalkalien:

Volumetrische Bestimmung der Erdalkalimetalle und einiger Schwermetalle; neue Anwendungen der Alkali- und Acidimetrie	2497
Massanalytische Bestimmung der Erdalkalien	2498
Neue Anwendungen der Alkali- und Acidimetrie; volumetrische Methode zur quantitativen Bestimmung des Magnesiums	2499
Bestimmung von Calciumoxyd in gebranntem Kalk	2500
Bestimmung des Calciumcarbonats in der Ackererde; schnelle Auffindung von Magnesia in Fabrikationskalk	2501
Bestimmung des Mengenverhältnisses von Calcium- und Magnesiumcarbonat in Erden, Asche u. s. f.	2501
Bestimmung des Kalks und der Magnesia; Bestimmung geringer Mengen Baryum und Strontium in Silicatanalysen	2503, 2504

Bor, Aluminium, seltene Erden:

Bestimmung des Bors, massanalytische Bestimmung der Borsäure in den Boraten	2505
Nachweis der Borsäure in der Weinasche; Nachweis des Aluminiums	2506
Prüfung hydraulischer Mörtel	2507
Analyse einiger Puzzolaneemente; Prüfung von Portlandcement . . .	2508
Wertbestimmung von Mergeln für hydraulische Zwecke; Trennung des Thoriums von den seltenen Erden der Cer- und Yttriumgruppe durch stickstoffwasserstoffsäures Kalium	2509
Trennung des Thors von seltenen Erden	251

Eisen:

Eisenprobirkunst	2511
Analyse von Eisen und Stahl	2512

	Seite
Titerstellung des Kaliumpermanganats bei der Eisenanalyse; Bestimmung des Ferroeisens in Silicaten; Analyse von Eisenerzen . . .	2513
Bestimmung des Eisens in Erzen, Schlacken etc.; Analyse von Stahl . . .	2514
Bestimmung des Schwefels im Eisen und Stahl	2515, 2516
Ermittelung des Phosphors im Stahl und Eisen	2517, 2518
Maßanalytische Bestimmung des Phosphors im Stahl	2519
Bestimmung des Phosphors nach der Molybdatmethode in Eisen, Stahl und Erzen, welche Arsenik enthalten; Bestimmung des Phosphors in Eisen und Stahl	2520
Bestimmung des Phosphors in den Producten der Metallurgie des Eisens; Eggertz'sche Phosphorprobe	2521
Bestimmung des Kohlenstoffs in Eisen und Stahl	2522—2528
Bestimmung des Kohlenstoffs in Eisencarburaten	2529
Zwei neue Colorimeter zur Kohlenstoffbestimmung	2530
Bestimmung des Graphits im Roheisen	2531
Analyse titanreicher Eisenerze	2532
Trennung des Titans vom Eisen; Bestimmung von Kalk und Magnesia in Eisenerzen, Silicium- und Aluminiumbestimmung	2533

Nickel, Kobalt:

Bestimmung der Beimischungen des im Handel vorkommenden Nickels . . .	2534
Bestimmung von Nickel; Bestimmung des Nickels mittelst ammoniakalischem Quecksilbercyanid; elektrolytische Bestimmung von Nickel und Kobalt in ammoniakalischem Quecksilbercyanid; elektrolytische Bestimmung von Nickel und Kobalt in ammoniakalischer Chloridlösung	2535
Bestimmung von Nickel in Nickelstahl	2536, 2537
Colorimetrische Kobaltbestimmung zur schnellen Untersuchung von Kobalterzen; elektrolytische Trennung von Nickel und Kobalt; Trennung des Kobalts und Nickels von Eisen, Mangan und Thonerde	2538

Mangan, Chrom, Wolfram:

Bestimmung von Mangan in Mineralen und Metallen; Apparat zur Braunsteinbestimmung nach Bunsen; Verwendung des Wasserstoffsuperoxyds zur gewichtsanalytischen und maßanalytischen Bestimmung von Chrom und Mangan	2539
Bestimmung von Mangan und Chrom durch Wasserstoffsuperoxyd . . .	2540
Quantitative Trennung des Chroms von Eisen und Aluminium; acidimetrische Bestimmung der Wolframsäure	2541

Zink, Cadmium:

Elektrolytische Trennung des Eisens und Kobalts vom Zink	2541
Trennung von Wismuth und Zink und Trennung von Wismuth und Nickel; Werthbestimmung des Zinkstaubes	2542
Chemische Untersuchung der Zinkerze	2543

Untersuchung der amerikanischen Ringäpfel	Seite 2544
Analyse des Zinkchlorids; Bestimmung von Cadmium	2545

Blei:

Bestimmung des Bleis, quantitative elektrolytische Bestimmung des Bleis	2546
Volumetrische Bleibestimmung	2547
Analyse von Bleiglanz und silberhaltigem Blei unter Anwendung von Jodwasserstoffsäure, technische Werthbestimmung von Blei-Zinn- und Blei-Antimonlegirungen; Untersuchung von Bleiweiß in Oel	2548

Kupfer:

Reaction der Kupfersalze; elektrolytische Bestimmung des Kupfers in ammoniakalischer Lösung	2549
Colorimetrische Bestimmung minimaler Mengen von Blei, Kupfer, Zinn und Eisen; Entdeckung und annähernde Bestimmung von geringen Mengen Arsen im Kupfer	2550
Elektrolytische Trennungen; Trennung des Kupfers von Cadmium, Zink und Nickel	2551
Kupferanalyse	2552
Analyse von „pig copper“, Messing und Bronze; Bestimmung der Verunreinigungen im Kupfer	2555

Quecksilber, Silber, Gold:

Erkennung der Quecksilberdämpfe in der Luft und Absorption des Quecksilbers nach Einreiben mit Quecksilbersalbe, Bestimmung des Quecksilbers bei Gegenwart von Jod	2554
Volumetrische Bestimmung des in irgend einer Form vorliegenden Silbers; technische Silberproben	2555
Cupellation von Wismuth-Silberlegirungen	2556
Verluste an Gold und Silber während des Abtreibens; elektrolytische Trennungen von Silber und Kupfer, von Quecksilber und Kupfer u. von Silber u. Cadmium; massanalytische Bestimmung des Goldes	2557
Gewinnung und Messung von Goldkugeln zur Bestimmung ihres Gewichtes; Bestimmung des Silbers und des Goldes in kupferhaltigen Substanzen	2558
Rückgewinnung von Silber und Salpetersäure aus den bei den Goldinquantationsproben erhaltenen Lösungen	2559
Scheidung von Silber und Gold	2560

Analyse organischer Stoffe.**Allgemeines:**

Modification der Elementaranalyse sehr flüchtiger Körper; Bestimmung des Schwefels in organischen Stoffen	2561
Nachweis und Bestimmung des am Stickstoff gebundenen Alkyls; Farbreaktionen der Kohlenstoffverbindungen	2562

Kohlenwasserstoffe:

	Seite
Grubengasbestimmung; neue Graduirung von Probirröhren für Grubengase, Bestimmung schlagender Wetter durch die Entflammbarkeit; Clowes' Sicherheitslampe mit Wasserstoffgaszuführung zur Prüfung der Grubenwetter	2563
Untersuchung von Petroleum u. Petroleumölen; Schwefelverbindungen im Ohiopetroleum; canadisches Schwefelpetroleum; Ermittlung von Petroleum bei verimuthlicher Brandstiftung	2564
Schmelz- und Erstarrungstemperatur von Paraffin und Vorschlag zur einheitlichen Bestimmungsmethode; Prüfung des Vaseline; Abel's Probe und Sicherheitsanna für Mineralöle; Flammpunktbestimmung der Mineralschmieröle; Verharzungsfähigkeit und Harzgehalt der Mineralöle	2565
Quantitative Trennung des Harzöles von Mineralölen; Löslichkeit dunkler Mineralschmieröle in Petroleumbenzin; technische Analyse des Asphalts	2566

Alkohole, alkoholische Getränke:

Trennung und Bestimmung kleiner Mengen von Methyl- und Aethylalkohol, Bestimmung des Alkohols in Fuselölen	2567
Weinanalyse nach Schmitt; Untersuchungen 1892er Weissweine des preussischen Mosel- und Saargebietes; charakteristische Merkmale der californischen Weine	2568
Bestimmung des Wassers im Weine	2569
Alkoholbestimmung im Weine durch Destillation und Ermittlung der Dichte des Destillates; aräometrische Weinanalyse	2570
Glyceringehalt der Weine	2571
Vernähtnis zwischen Glycerin und Alkohol in Naturweinen; Ursachen von Differenzen bei der Extractbestimmung im Weine	2572
Löslichkeit von Bleisalzen in Zuckerlösungen und Modification der Zuckerbestimmung in Süßweinen; Zuckerbestimmung in Weinen	2573
Vorbereitung des Weines zur Zuckerbestimmung	2574, 2575, 2576
Bestimmung des Mannits nach der optischen Methode	2577
Die sauren Bestandtheile des Weines	2578
Bestimmung von Weinsäure in Süßweinen nach Berthelot u. Fleuriou; Bestimmung der Phosphorsäure in Süßweinen	2579
Aschengehalte der 1893er Weine und die Ausführung der Aschenbestimmung; Nachweis von Theerfarbstoffen in gefärbten Weingen	2580
Arata's Bestimmung der künstlichen Farbstoffe im Weine	2581
Künstlich gefärbte Weine; Einwirkung von Natriumsuperoxyd auf die natürlichen und künstlichen Farbstoffe der Weine	2582
Auffindung des Abrastols im Weine	2583
Untersuchung der Spirituosen	2584
Bestimmung des denaturirten Spiritus in Tincturen, Spirituosen etc.	2585
Bestimmung des Werthes von Cognac; Beurtheilung des echten Zwetschenbrandweins; Bestimmung des Fuselöls im Spiritus	2586

	Seite
Bestimmung der flüchtigen Oele in den Alkoholen; physikalische Methoden zur Beurtheilung von Bier; das Ebullioskop zur Alkoholbestimmung im Bier	2587
Ebullioskop	2588
Physiologische Eiweißbestimmung für Würze und Bier; quantitative Trennung der in Bierwürze enthaltenen amorphen stickstoffhaltigen organischen Verbindungen	2589
Auffindung von Saccharin im Bier	2590
 Aether und Ester:	
Ueber Aether	2590
Verunreinigungen im officinellen Aether	2590
Bestimmung des Lecithingehaltes der Pflanzenbestandtheile	2591
 Aliphatische Säuren:	
Rosanilinchlorhydrat als Reagens zur Erkennung von Mineralsäuren in Essig	2592
 Fette, Wollfett:	
Zeiss'sches Butterrefractometer zur Untersuchung der Fette	2592
Modification des Fettextractionsapparates von Tollens; Analyse der Fette und Oele	2593
Fette und Fettsäuren; neue pyknometrische Dichtebestimmungsmethode der weichen Fette	2594
Ueber Valenta's Essigsäureprobe	2595
Trübungstemperatur von Oelen und Fetten mit Eisessig; Analyse von Fetten	2596
Analyse von Fetten und Harzen; Bestimmung kleiner Mengen Chlor in Fetten	2597
Gantter's Bestimmung der Jodzahl von Fetten; Jodadditionsmethode; Bestimmung d. Jodzahl; Bestimmung d. Köttstorffer'schen Zahl von dunkel gefärbten Substanzen	2598
Fettbestimmung im Brot; Analyse von Schweineschmalz	2599
Trennung und Bestimmung der Fettsäuren im Schweineschmalz	2600
Analyse von Schweinefett	2601
Bestimmung von Rinderfett im Schmalz	2602
Nachweis von Baumwollsaatöl im Schweinefett; polizeiliche Controle des Verkehrs mit Schweinefett	2603
Speisefette	2604, 2605
Neue Talgtiterbestimmung; analytische Constanten des Robbenthrons	2606
Adeps Lanae	2607
Chlorgehalt des Adeps Lanae	2608
 Milch, Butter, Käse:	
Milchanalysen	2609
Gaagehalt der Milch	2610

	Seite
Nachweis der Milchfälschungen durch Vergleich mit der Stallprobe	2611
Milchanalyse; spezifisches Gewicht und Dichte der Milch	2612, 2613, 2614
Soxhlet'sche aräometrische Fettbestimmungsmethode	2615, 2616, 2617
Fettbestimmung in der Milch mittelst Centrifugalkraft mit Berücksichtigung der Methoden von Babcock und Gerber	2618
Fettbestimmungsmethode der Milch	2619, 2620
Leffmann-Beam'sche Fettbestimmungsmethode in Milch	2621
Bestimmung des Fettgehaltes der Milch	2622
Verbesserungen am Milchwerthmesser; Abscheidung und Bestimmung des MilCHFettes; Milchuntersuchung	2623
Milchfettbestimmung nach Werner Schmid; neue Milchfettbestimmung	2624
Fettbestimmung in saurer und geronnener Milch; Berechnung der Bestandtheile der fettfreien Milchtrockensubstanz	2625
Bestimmung des Säuregrades der Milch, Citronensäure und Calciumphosphat in der Milch	2626
Eudiometrische Untersuchungsmethode von Milch, Lab und Wasser für Käseerzwecke	2627
Labprobe der Milch; chemische Zusammensetzung des Colostrums der Kuh	2628
Butteranalyse; Wassergehalt der Butter	2629
Wassergehalt schleswig-holsteinscher Butter; Zusammensetzung der Butter	2630
Acid-Butyrometrie; Oleorefractometer in der Butteranalyse	2631
Das Polarisationsmikroskop und das Refractometer Zeiss in ihrer Anwendung bei der Butteruntersuchung	2632
Bestimmung der flüchtigen und unlöslichen Säuren im Butterfett; Bestimmung der unlöslichen und nicht flüchtigen Fettsäuren	2633
Prüfung von Butter auf Margarinezusatz	2634
Butterprüfung nach Reichert-Meißel	2635
Gebir Butter und Margarine	2636
Butteruntersuchung	2637
Die Eigenschaft der Butter, Jod zu absorbiren und zurückzuhalten; einfache Untersuchungsmethode von Butter auf fremde Fette; viscosimetrische Butteruntersuchung	2638
Brüllé'sche Methode zur Untersuchung von Butter	2639
Oleogramm; Aenderung in der Zusammensetzung der Butter durch langes Aufbewahren	2640
Buttercontrole	2641
Käseanalyse; Reifegrad und Fettgehaltsbestimmung der Käse	2642
Zusammensetzung von Käse	2643

Seifen, Oele, Wacharten:

Bestimmung von flüchtigen Stoffen in Seife; neue Reaction zur Entdeckung von Seife in Schmierölen	2643
Schmelzpunkte und Zusammensetzung von Kerzenmaterial	2644
Apparat zur Darstellung von 50 mm Wasserdruck bei der Bestimmung des Kältepunktes der Oele; Nachweis von Pflanzenölen	2645

	Seite
Vegetabilische und animalische Oele; Bestimmung der Viscosität von Schmierölen bei verschiedenen Temperaturen	2646
Untersuchung der Leinöle; Leinölmisse und Oelfarben	2647
Bestimmung der Feuchtigkeit und des Oeles in Leinkuchen und anderen Futterstoffen; quantitative Bestimmung des Ricinusöles .	2648
Nachweis von Ricinusöl im Copaivabalsam und im Crotonöl; Erkennung und Bestimmung des Ricinusöles in verfälschtem Olivenöl; Verfälschung von Olivenöl mit Arachisöl	2649
Jodabsorption einiger seltener fetter Oele, Prüfung von Bienenwachs	2650
 Kohlenhydrate, Rohrzucker, Honig:	
Quantitative Bestimmung der Kohlenhydrate	2650
Pentosen und Pentosane; Zuckeranalyse	2651
Bestimmung des krystallisierten Zuckers in der Runkelrübe, im Rohzucker, in Nachproducten, in Wurzeln; quantitativ colorimetrische Untersuchungsmethode auf Kohlenhydrate; Resorcin als Zuckerreagens	2652
Gravimeter für Zuckeranalyse; Requisiten für die Polarisation des Zuckers, Titrirapparat für Saftuntersuchung in der Zuckerfabrikation	2653
Bestimmung der Alkalität in Rohrzuckern; Titration mit Fehling'scher Lösung; Klärung glucosehaltiger Säfte mit neutralem oder mit basischem Bleiacetat	2654
Massanalytische Zuckerbestimmung; gewichtsanalytische Bestimmung reducirter Zucker durch alkalische Kupferlösungen	2655
Gewichtsanalytische Bestimmung reducirender Zucker mittelst Fehling'scher Lösung	2656
Zuckerbestimmung mit Ost'scher Kupferlösung; gewichtsanalytische Bestimmung der Glucose; Zuckerbestimmung mit alkalischen Kupferlösungen	2657
Ueber Zucker	2658
Muffel zum Veraschen von Zucker; Untersuchung von Zuckerwaren	2659
Prüfung des Honigs; Analyse des Honigs	2660
Dialytische Untersuchung des Honigs; die Zusammensetzung des Honigthaus und der Einfluss auf die Beschaffenheit des Bienenhonigs	2661
Zusammensetzung des Honigthaus	2662
Rechtsdrehende Bienenhonige	2663
Abnorm hoher Rohrzuckergehalt der Blüthenhonige als Zeichen der Verfälschung	2664
 Cellulose:	
Bestimmung der Rohfaser im Zuckerrohr	2664
Bestimmung von Furfurel; Bestimmung des Stickstoffs in der Nitrocellulose	2665

Stärke, Dextrin, Gummi:

	Seite
Vergleichung von Methoden zur Bestimmung der Stärke	2665
Bestimmung der Stärke durch alkoholische Gährung; Stärkebestimmung in der Pilsbierhefe; Untersuchung der Bierschäumer	2666
Reis- und Buchweizenstärke; Prüfung der Erdnussölkuchen; Analyse des Malzes; Bedeutung des Rohrzuckergehaltes der Malze und Würzen für deren Beurtheilung und für die Praxis	2667
Malzanalyse; quantitative Bestimmung von Furfural bzw. den in den Vegetabilien enthaltenen Pentosanen	2668
Gummi arabicum und Gummi Senegal	2669

Aminosäuren:

Quantitative Bestimmung des Glycocolls in den Zersetzungsproducten der Gelatine	2669
Quantitative Bestimmung des Glycocolls durch Ueberführung in Hippursäure	2670

Säureamide:

Bestimmung von Harnstoff; Nachweis von Asparagin und Verhalten im Thierkörper	2671
---	------

Harn:

Bestimmung der Acidität von Harnen; Alkalinität und Acidität des Harns	2672
Bestimmung der Acidität des Harns	2673, 2674, 2675
Die Acidität des Harns und die Paraoxalsäure nach erfolgter Gehärtung; Chlorbestimmung im Harn	2676
Chlorverbindungen im Harn; organische Chlorverbindungen des Harnes	2677
Chlor im Harn; Jod im Harn	2678
Bestimmung des gesammten Schwefelgehaltes im Harn	2679
Untersuchung des Harns auf Aceton	2680
Nachweis von Zucker im Harn	2681, 2682
Reagens auf Zucker im Harn; Nachweis von Traubenzucker; Nachweis geringer Zuckermengen im Harn	2683
Verhalten des Harns gegenüber dem polarisirten Lichte	2684
Verdünnung des Harns bei der Untersuchung auf Eiweiß, Zucker und Gallenfarbstoff; Stickstoffbestimmung im Harn	2685
Bestimmung des gesammten Harnstickstoffs	2686, 2687
Neues Quecksilberurometer, Bestimmung der Harnsäure und der Xanthinkörper im Harn	2688
Quantitative Bestimmung der Xanthinkörper im Harn	2689
Bestimmung von Xanthoharnsäureverbindungen	2690
Bestimmung des Cystins im Harn	2691, 2692
Optisches Verfahren zur Bestimmung des Albumins und der Harnsäure im Harn	2693
Nachweis des Peptons im Harn	2694

Harnsauregruppe:

Verhalten von Harnsäure, Adenin und Hypoxanthin zu Kupfersulfat und Natriumbisulfat resp. Natriumthiosulfat; das Piperazin . . .	2695
Quantitative Untersuchung von Harnsteinen	2696
Quantitative Trennung und Bestimmung der Cacaoalkaloide . . .	2697, 2698
Quantitative Trennung von Theobromin und Caffein; quantitative Bestimmung des Theobromins im Cacaosamen und dessen Präparaten	2699

Cyanverbindungen:

Quantitative Bestimmung des Cyanwasserstoffs; neue Bestimmungsmethode von Cyanwasserstoffsäure und von Kirschchlorbeerwasser . .	2700
Quantit. Blausäurebestimmung in den officinellen Wässern 2701, 2702, 2703	
Verbindungsfähigkeit der Blausäure mit Benzaldehyd; Benzaldehyd und Cyanwasserstoff in verdünnter Lösung	2704
Zerlegung des Benzaldehydcyanhydrins durch Alkalien; Bestimmung von Schwefelcyanwasserstoffsäure	2705

Aromatische Reihe. Allgemeines:

Acidimetrische Bestimmung von Naphtalin, Acenaphten, α - und β -Naphtol und ähnlichen Substanzen, welche molekulare Pikrinsäureverbindungen liefern; Untersuchung künstlicher Farbstoffe . .	2706
---	------

Kohlenwasserstoffe:

Bestimmung von Benzol im Leuchtgas; Untersuchung zweier Rohbenzole aus Kokaofengasen; Prüfung des präparierten Theers . .	2707
---	------

Phenole:

Qualitative und quantitative Zusammensetzung der Kreosote des Buchen- und des Eichenholzes; Anwendung der Colorimetrie zur quantitativen Bestimmung der Pikrinsäure in ihren Verbindungen mit organischen Basen	2708
Jodometrische Bestimmung von β -Naphtol; Nachweis freier Benzoesäure im Benzonaphtol	2709
Neue Farbenreaction des Iridols	2710

Aromatische Säuren

Werthbestimmung der Saccharine des Handels	2711
Neue Bestimmung der Salicylsäure und der Salicylate	2712
Entdeckung der Salicylsäure in Nahrungs- u. Genussmitteln; Prüfung und Bereitung von Wismuthsalicylat	2713
Bestimmung von Salol, Kresalol und salolhaltigen Verbandzeugen . .	2715
Bestimmung des Indigotins im Indigo	2716

Aldehyde:	
Bestimmung von Benzaldehyd in Kirschwasser	Seite 2716
Chinone	
Bestimmung der Nüance von Alizarinpasten; Analysen alizarin- gefarbter Baumwollstoffe	2717
Aetherische Oele, Kautschuk	
Quantitative Bestimmung einiger Bestandtheile der ätherischen Oele	2718
Technische Analyse der atherischen Oele; Verwendung der mikro- chemischen Reagentien in der analytischen Chemie	2719
Analyse der Lacke	2720
Untersuchung von Kautschukgegenständen	2721, 2722
Analytische Untersuchung von Kautschuk	2723, 2724, 2725
Vulcanisation des Kautschuks	2727
Bitterstoffe, Farbstoffe unbekannter Constitution, Gerb- stoffe	
Zusammensetzung des Hopfens und Verhalten des Hopfens zur Würze	2728
Prüfung des Campecheholzextracts, Prüfung des Cochenillecarmins; quantitative Bestimmung des Bilirubins in der Galle	2729
Qualitative Bestimmung von Gerbmaterien	2730
Wassergehalt der gebräuchlichsten Gerbmaterien	2731
Zuckerbestimmung und Zuckergehalte der Gerbmaterien	2732, 2733
Bestimmung des Gerbstoffs in Obstsaften	2734
Alkaloide:	
Werthbestimmung von Drogen	2734
Werthbestimmung narkotischer Extracte	2735
Alkaloidbestimmungen	2736
Kaliumquecksilberjodid- und Jodjodkaliumreagentien	2737
Geschichte des Mayer'schen Alkaloidreagens; Werthbestimmungen von Drogen	2738
Das Cornutin	2739
Prüfung von Opium; Irrthümer bei der Untersuchung von Leichen auf Morphin	2740
Prüfung von Strychnin	2741
Bedingungen des Strychninnachweises bei vorgeschrittener Fäulnis .	2742
Entdeckung und Bestimmung von Strychnin in Leichen	2743
Pyrazolgruppe:	
Quantitative Bestimmung des Antipyrins	2744
Eiweißkörper, Blut:	
Esbach's Methode der quantitativen Eiweißbestimmung; Bestimmung von Albumin in Kuhmilch	2744

	Seite
Bestimmung von Gelatine und Eiweiß neben Pepton; Zusammen- setzung und Analyse der Peptone	2745
Quantitative Bestimmung der Peptone; Nachweis von Blut mittelst Guajactinctur	2746
Verschiedene Nahrungs- und Genußmittel:	
Fehlerquellen bei der chemischen Analyse der Mehle; polizeiliche Brotuntersuchung	2747
Nachweis des Mutterkorns in Mehl und Kleien	2748
Nachweis von Pferdefleisch; Untersuchung von Fleischconserven . .	2749
Verfälschungen im Himbeersaft; Nachweis von extrahiertem Ingwer .	2750
Untersuchung der Kaffeesurrogate; Nachweis von Kaffeesälschung; Bestimmung des Eisengehaltes in Pflanzen- und Thieraschen . .	2751
Untersuchung von Conservenbüchsen; Fortschritt in der Futteranalyse	2752
Sonnenblumenkuchenmehl; Analyse der Samenarten	2753
 Autorenregister	 2755
Sachregister	2836
Formelregister	2943
Systematisches Register	3062
Abkürzungen in den Literaturangaben	3185
Verzeichniß der Herren Mitarbeiter	3189

Allgemeine und physikalische Chemie.

Atomtheorie und Anordnung der Elemente.

Allgemeines.

P. J. Hartog. Unterscheidung der Gemenge von Verbindungen¹⁾. — Die Lehrbücher unterscheiden theoretisch mechanische Gemenge und chemische Verbindungen dadurch, daß die gleiche Verbindung stets die gleichen Elemente in den gleichen Verhältnissen enthält, was bei Gemischen nicht der Fall ist. Nach dem Verfasser stellt man die Reinheit einer chemischen Verbindung praktisch durch Bestimmung des constanten Gefrier- und Schmelzpunktes fest. *Op.*

H. Witmeur. Ueber die Einheit des Planes in den Gesetzen, die die chemische und die physikalische Einheit der anorganischen Materie im festen Zustande beherrschen²⁾. — Indem der Verfasser zeigt, daß das Gesetz von Haüy der Constanz der Axenwinkel und der rationalen Indices auch als Gesetz der bestimmten und multiplen Indices bezeichnet werden kann, weist er auf die Analogie mit dem Dalton'schen Gesetz der bestimmten und multiplen Proportionen hin. *Op.*

F. W. Clarke. Bericht der Commission über Bestimmungen der Atomgewichte, die während 1893 veröffentlicht wurden³⁾. — Das Atomgewicht von *Bor* wurde von Ramsay und Aston bestimmt und liegen die nach verschiedenen Methoden gefundenen Werthe zwischen 10,921 und 11,052. Rimbach fand im Mittel seiner Versuche den Werth 10,945 ($O = 16$). Zu 12,003 wurde von Leduc das Atomgewicht des *Kohlenstoffes* gefunden. Nach den Versuchen von Winkler ergab sich das Atomgewicht von *Kobalt* und *Nickel* zu 59,6834 bis 59,6613 und 58,9033 bis 58,9104 ($O = 15,96$). Smith und Maas fanden für *Molybden* 96,087

¹⁾ Chem. News 70, 99. — ²⁾ Bull. acad. roy. Sc. 27, 586. — ³⁾ Amer. Chem. Soc. J. 16, 179—193.

Journal für Chemie, u. s. w. für 1894.

und Joly und Leidié für *Palladium* 105,702 ($O = 16$). Aus der Untersuchung von Richards ergab sich für *Baryum* der Werth 137,43 und aus der von Lepierre für *Thallium* 204,08 ($O = 16$). Scott bestimmte das Verhältniß von *Wasserstoff* zu *Sauerstoff* im Wasser und erhielt im Mittel den Werth 2,00245. Rayleigh bestimmte die *Dichte* von *Wasserstoff*, *Stickstoff* und *Sauerstoff* zu 0,06960, 0,97209 und 1,10535. Richards und Rogers machten auf eine mögliche Fehlerquelle bei den Atomgewichtsbestimmungen von Kupfer, Zink, Magnesium und Cadmium aufmerksam, die darin besteht, daß deren Oxyde, wenn sie durch Glühen der Nitrats dargestellt wurden, beträchtliche Mengen von Stickstoff und Sauerstoff occludiren konnten. Zur Atomgewichtsbestimmung der *selteneu Erden* benutzte Gibbs die Oxalate. Verfasser wendet sich gegen die verschiedenen Veröffentlichungen von Hinrichs, dessen Untersuchungen bereits von Spring und van der Plaats kritisch beleuchtet waren. Am Schluß giebt der Verfasser eine Zusammenstellung der Atomgewichte, für die er $O = 16$ als vorläufige Grundlage wählt. *Op.*

J. Thomsen. Ueber den wahrscheinlichsten Werth der aus den von Stas durchgeführten Untersuchungen sich ableitenden Atomgewichte ¹⁾. — Die Arbeiten von Stas sind mehrfach einer systematischen Berechnung unterworfen worden, zuletzt von van der Plaats ²⁾. Die erhaltenen Resultate weichen beträchtlich von einander ab, weshalb der Verfasser eine neue Bearbeitung derselben unternimmt. Die Grundlagen sämtlicher aus den Stas'schen Untersuchungen sich ableitenden Atomgewichte bilden zehn Versuchsgruppen, aus deren directen Resultaten sich fünf von einander völlig unabhängige Werthe für das Verhältniß des Atomgewichtes des Silbers zu demjenigen des Sauerstoffes ableiten lassen, und zwar beträgt der Mittelwerth $O_1 = 0,444733 \text{ Ag}$ und wird, wenn man $O = 16$ setzt, $\text{Ag} = 107,9299$. In folgender Tabelle sind die für die anderen Elemente berechneten Zahlen zum Vergleiche zusammengestellt:

$\frac{16}{O}$	Atomgewicht berechnet von			$\frac{16}{O}$	Atomgewicht berechnet von		
	Stas	Thomsen	v. d. Plaats		Stas	Thomsen	v. d. Plaats
Ag	107,930	107,9299	107,9244	Pt	206,934	206,9042	206,9308
Cl	35,457	35,4494	35,4565	K	39,142	39,1507	39,1403
Br	79,962	79,9510	79,9548	N	23,045	23,0543	23,0143
J	126,860	126,8556	126,8494	Li	7,022	7,0307	7,0235
S	32,074	32,0606	32,0590	Na	14,055	14,0396	14,0519

¹⁾ Zeitschr. physik. Chem. 13, 726—735. — ²⁾ JB. f. 1886. S. 42 f.

Ob nun die eine oder andere Gruppe der Atomgewichte dieser Körper den wahrscheinlichsten Werth enthält, muß aus einer Vergleichung derjenigen Werthe hervorgehen, welche einerseits in Stas' Versuchsmaterial enthalten sind und andererseits für die untersuchten Reactionen folgen würden, wenn die Zahlen der einen oder anderen Gruppe der berechneten Atomgewichte genau wären. Es zeigt sich nun, daß die mittlere Abweichung der aus den Atomgewichten von Thomsen berechneten Verhältnisszahlen nur 3,5 Einheiten in der sechsten Decimale beträgt, während sie nach van der Plaats' Atomgewichten mehr als viermal so groß wird. Auch die von Stas selbst berechneten Atomgewichte stehen nur in geringem Grade mit den numerischen Bestimmungen seiner Untersuchung im Einklang. Benutzt man die von Thomsen berechneten Werthe der Atomgewichte für Chlor und Stickstoff, sowie das vom gleichen Forscher experimentell bestimmte Verhältniss der Molekulargewichte für NH_3 und HCl , so erhält man für $\text{H} = 0,9992$, d. h. einen um 0,0003 höheren Werth als durch Benutzung der von Stas angegebenen Atomgewichte für Chlor und Stickstoff.

Op.

G. Hinrichs. Sur les poids atomiques de précision, déterminés par l'argent comme matière étalon secondaire¹⁾. — Setzt man Silber = 108, so berechnet Verfasser nach seiner Methode $\text{Cl} = 35,5$; $\text{Br} = 80$; $\text{J} = 127$; $\text{S} = 32$.

Op.

E. Nickel. Ueber graphochemisches Rechnen. Ueber todte Räume im graphocentrischen Felde [mit besonderer Berücksichtigung der Kalknatrongläser²⁾]. — Im Anschluß an frühere Mittheilungen³⁾ wendet Verfasser seine Theorie der todten Räume auf die Analysen der Kalknatrongläser an.

Op.

E. Nickel. Ueber graphochemisches Rechnen⁴⁾. — Das graphische Verfahren des Verfassers wird auf das Gebiet von Verbindungen der allgemeinen Formel $\text{C}_n\text{H}_m\text{N}_p$ ausgedehnt. Es läßt sich in diesem Falle dazu verwenden, um den Zusammenhang zwischen der atomistischen und der procentischen Zusammensetzung zur Anschauung zu bringen und besitzt den didaktischen Werth, eine Reihe von Reactionen der entsprechenden Verbindungen klar zu legen.

Op.

R. S. Bayer. Ein neues Element aus dem rothen französischen Bauxit⁵⁾. — Nachdem aus dem Theile des französischen Bauxits,

¹⁾ Compt. rend. 118, 523—531. — ²⁾ Zeitschr. physik. Chem. 13, 366. —

³⁾ Jb. f. 1892. S. 2736. — ⁴⁾ Zeitschr. physik. Chem. 14, 93—104. —

⁵⁾ Chemikerzeit. 18, 671—672; Bull. soc. chim. [3] 11, 1155—1162.

der beim Glühen mit Soda oder Natron in die wässrige Lösung geht, die Hauptmenge des Vanadiums und Chroms entfernt waren, fand der Verfasser in dem Rückstande einen Körper, dessen Reactionen auf ein neues Element hindeuteten. Die gelbbraune Metallsäure ist in Wasser löslich. Ammoniak verwandelt die Säure in ein olivengrünes, krystallinisches Pulver, das sich leicht in heißem Wasser löst und nach dem Erkalten aus dieser Lösung in kleinen Würfeln auskrystallisirt. Von den Reactionen, die eine solche Lösung zeigen, seien folgende erwähnt: Chlorbaryum erzeugt einen grünlichgelben, in Säuren mit gelber Farbe leicht löslichen Niederschlag. Quecksilberoxydullösung giebt einen strohgelben, in Salpetersäure leicht löslichen Niederschlag. Silbernitrat bewirkt einen grünlichen Niederschlag, der sowohl in Ammoniak wie Salpetersäure löslich ist. Magnesiumchlorid giebt nach einiger Zeit, besonders, ähnlich wie Phosphorsäure, beim Reiben der Glaswände einen krystallinischen, grünen Niederschlag. Molybdänlösung giebt in mit Salpetersäure angesauerter Lösung einen weißlichen Niederschlag. Schwefelwasserstoff verwandelt beim Einleiten in die alkalisch gemachte Flüssigkeit diese in das entsprechende Sulfosalz, das eine rothe Farbe besitzt, aus welcher Lösung Säuren rothbraunes Schwefelmetall ausscheiden. In sauren Lösungen giebt Schwefelwasserstoff keinen Niederschlag, sondern reducirt nur unter Abscheidung von Schwefel die ursprünglichen gelben Lösungen zu violetten Flüssigkeiten. Dampft man die Lösung an der Luft ein, so nimmt sie nach dem Entweichen des Schwefelwasserstoffs Sauerstoff auf und wird wieder gelb. Eine violette Lösung dagegen, unter Abschluss der Luft eingedampft, giebt mit Ammoniak einen intensiv violetten, voluminösen Niederschlag. Aehnlich verhält sich Natronlauge, ebenso kohlensaures Natrium, die theilweise fällen; die entstandenen Niederschläge sind jedoch im Ueberschuß des Fällungsmittels leicht löslich. Wasserstoffsuperoxyd giebt weder in alkalischen noch in sauren Lösungen eine Farbenänderung oder Niederschlag (Unterschied vom Vanad.). Ebenso erzeugt Ferroryankalium keinen Niederschlag oder Färbung, was bei Anwesenheit von Vanadium oder Molybdän eintreten müßte. Verfasser stellte weitere Untersuchungen in Aussicht. Op.

J. Traube. Die Grundlagen eines neuen Systems der Elemente ¹⁾. — Die Hauptmängel des periodischen Systems liegen darin, daß verschiedene Elemente nicht diejenigen Plätze im System

¹⁾ Ber. 27, 3179—3181.

inne haben, die ihnen auf Grund ihrer verwandtschaftlichen Beziehungen zukommen. Diese Unebenheiten werden nach Ansicht des Verfassers beseitigt, wenn man den Satz „Die Eigenschaften der Elemente sind in erster Linie Functionen von Atomgewicht und Atomvolumen“ an die Spitze eines neuen Systems stellt. Verfasser giebt einen kurzen Abriss von der Gestalt dieses neuen Systems, das für die endgültige Festlegung der Eigenschaften der Elemente einen Schritt vorwärts bedeute. *Op.*

C. T. Blanshard. Atomvolumen ¹⁾. — Indem der Verfasser in den einzelnen Verticalreihen des periodischen Systems die Atomvolumen mit einander vergleicht, findet er, dass, während in der ersten und zweiten Reihe die Atomvolumen der einzelnen Glieder sehr, in der dritten und vierten wenig von einander verschieden sind, in der fünften, sechsten und siebenten Reihe die Atomvolumen für jede Gruppe eine Constante bilden. *Op.*

R. M. Deeley. Die Oxyde der Elemente und das periodische System ²⁾. — Der Verfasser zeichnet im Anschluss an frühere Untersuchungen ³⁾ eine Curve, bei der als Abscissen die Atomgewichte aufgetragen sind, und als Ordinaten die specifischen Gewichte der Oxyde dividirt durch die Atomgewichte der betreffenden Elemente. Er gelangt so zu einer Anordnung der Elemente im periodischen System, die gegenüber der von Mendelejeff und L. Meyer einige Abänderungen zeigt. *Op.*

A. A. Read. Verhalten der beständigen Oxyde bei hohen Temperaturen ⁴⁾. — Verfasser untersucht die Beständigkeit verschiedener Oxyde bei 1750°. Es zeigt sich, dass folgende Oxyde: CaO , SrO , BaO , MgO , ZnO , CdO , Al_2O_3 , Zn_2O_3 , Bi_2O_3 , CeO_2 , ZrO_2 , FeO , PbO , Bi_2O_3 , Nb_2O_5 , und WO_3 unverändert bleiben. SnO_2 verliert ein klein wenig an Gewicht. Antimonpentoxyd geht schon bei geringer Erwärmung in Sb_2O_3 über, das bei höherer Temperatur noch weiter Sauerstoff abgiebt und Sb_2O_3 bildet. Vanadiumpentoxyd liefert V_2O_5 . Fe_2O_3 geht in Fe_3O_4 über, ebenso U_3O_8 in U_3O_{10} . Molybdänoxid verliert etwas Sauerstoff, während Co_3O_4 und Ni_3O_4 in die entsprechenden Metalle reducirt werden. *Op.*

G. H. Bailey. Beständigkeit der Oxyde in Beziehung zum periodischen System ⁵⁾. — Indem der Verfasser die Beständigkeit der Oxyde mit der Stellung der betreffenden Elemente im periodischen System vergleicht, findet der Verfasser, dass in den geraden Reihen die Beständigkeit der Oxyde in den Verticalreihen mit

¹⁾ Chem. News 70, 271. — ²⁾ Chem. Soc. J. 65, 106–115. — ³⁾ JB f. 1896, S. 17. — ⁴⁾ Chem. Soc. J. 65, 313. — ⁵⁾ Daselbst, S. 315.

steigendem Atomgewicht wächst, während sie in den Horizontalreihen mit fallendem Atomgewicht abnimmt, womit allerdings das Verhalten der Oxyde von Eisen, Nickel und Kobalt nicht übereinstimmt. Die ungeraden Reihen zeigen das umgekehrte Verhalten, indem hier in den Verticalreihen die Beständigkeit mit wachsendem Atomgewicht geringer wird, während sie in den Horizontalreihen nach der Mitte zu wächst, um dann wieder zu fallen. Betrachtet man die Aufnahmefähigkeit für Sauerstoff, so bilden bei den geraden Reihen die Elemente mit höherem Atomgewicht höhere Oxyde als die mit geringerem Atomgewicht, während bei den ungeraden Reihen wieder das Umgekehrte der Fall ist. Verfasser macht noch darauf aufmerksam, daß, da die Elemente der geraden Reihen paramagnetisch, die der ungeraden diamagnetisch sind, die Fähigkeit, Sauerstoff aufzunehmen, damit in Verbindung zu stehen scheint.

Op.

C. T. Blanshard. Die Stellung von Magnesium im periodischen System der Elemente¹⁾. — Um zu zeigen, daß Magnesium im periodischen System der Elemente nicht das Anfangsglied der Reihe Zink, Cadmium, Quecksilber bildet, sondern eigentlich vor der Reihe Calcium, Strontium, Baryum stehen müßte, betrachtet Verfasser einige physikalische Eigenschaften dieser Elemente. Berechnet man die Atomvolumen, so erhält man $Mg = 13.9$, $Zn = 9.2$, $Cd = 13.0$, $Hg = 14.7$. Das Magnesium fällt also vollkommen heraus. Bestimmt man nach der von Kayser und Runge modificirten Balmer'schen Formel die Constanten der Spectrallinien, so paßt auch hier Magnesium nur als erstes Glied der alkalischen Erden. Das Gleiche gilt von der Volumwärme (Atomwärme dividirt durch Atomvolumen). Die Atomwärme selbst verlangt jedoch die Stellung des Magnesiums zwischen Beryllium und Zink.

Op.

C. T. Blanshard. Allotropie und Isomerie²⁾. — Die von Thomsen gefundene Regel, daß bei verschiedenen allotropischen Modificationen von Schwefel, Selen, Phosphor und Kohle die Modification eine größere Dichte, ein kleineres Atomvolumen und eine geringe specifische Wärme besitzt, die beim Uebergang in die andere Wärme abgibt, will Verfasser auch auf die organische Chemie ausdehnen. Er sucht zu zeigen, daß, wie bei den Allotropien der Elemente das Atomvolumen proportional der Verbrennungswärme wächst und mit dem Schmelzpunkte abnimmt, das Gleiche auch bei den organischen Isomeren der Fall ist.

Op.

¹⁾ Chem. News 70. 235. — ²⁾ Dasselbst. S. 295.

J. H. van 't Hoff. Die Lagerung der Atome im Raume. Zweite umgearbeitete und vermehrte Auflage. Mit einem Vorwort von Johannes Wislicenus. Mit 16 eingedruckten Holzschnitten. 8°, XII u. 148 Seiten. Braunschweig 1894. Friedr. Vieweg u. Sohn. Preis 4 Mk. — Es genügt, den Titel des Buches zu nennen, um an seine fundamentale Bedeutung in der Geschichte der Wissenschaften zu erinnern. Die vorliegende zweite Auflage berichtet von einer durch keinen Widerspruch unterbrochenen Kette von Erfolgen der in der ersten Auflage ausgesprochenen Ideen. Die Hypothese des Verfassers hat, wie Wislicenus hervorhebt, „schon heute in vollem Mafse geleistet, was überhaupt von einer Hypothese geleistet werden kann; denn sie hat vorher unverständliche, scheinbar auferhalb der chemischen Grundtheorie stehende That-sachen organisch an jene angeschlossen, und aus ihnen in einfachster Weise zu erklären vermocht, sie hat durch Stellung neuer Probleme die empirische Forschung vielseitig angeregt, das That-sachenmaterial mächtig gehäuft, den Weg zur Erfindung neuer Beobachtungsmethoden gewiesen, und ist damit der experimentellen Prüfung zugänglich und gleichzeitig zum Anstofs einer bedeutungsvollen Bewegung, in gewissem Sinne sogar einer neuen Epoche unserer Wissenschaft geworden“. — Die beiden Gebiete der reinen Chemie, die physikalische anorganische und die organische Chemie haben fast gleichzeitig durch denselben Mann die Anregungen erhalten, die seit nunmehr 15 Jahren die Grundlagen ihrer wichtigsten Arbeiten geworden sind. Dafs das möglich war trotz der scheinbaren Divergenz der Interessen, die ein Auseinanderfallen der beiden Disciplinen unvermeidlich erscheinen liefs, erfreut jeden, dem die Einheit des Zieles aller Naturwissenschaften am Herzen liegt. Dafs neben dem atomistisch-kinetischen der allgemeineren energetische Standpunkt vom Verfasser auch bei dieser Untersuchung nicht vernachlässigt wurde, braucht kaum hervorgehoben zu werden.

BdI.

M. Berthelot. Die chemischen Eintheilungen und Symbole im Alterthum und Mittelalter¹⁾. In dieser rein historischen Abhandlung weist Berthelot darauf hin, dafs die Classification in der Chemie bereits im Alterthume eine grofse Rolle gespielt hat. Die heilige Zahl 7 setzt bei den griechischen Schriftstellern die Planeten mit den Metallen in Verbindung, von denen die folgenden bekannt waren: Gold, Silber, Elektrum, Blei, Eisen, Kupfer, Zinn. Als im sechsten Jahrhundert das Elektrum aus dieser Reihe

¹⁾ Bull. soc. chim. 11, 823—836; Ann. chim. phys. 1, 259.

verschwand, trat das Quecksilber an dessen Stelle. Eine klare Eintheilung der Chemie nach dieser Zahl 7 giebt Zosinus, dessen Werk in syrischer Uebersetzung erhalten ist. Verfasser giebt einen kurzen Abriss der Eintheilung dieser Arbeit. Diesen Metallen stellen die Araber noch zwei andere große Gruppen gegenüber und zwar die flüchtigen Substanzen und die Steine, feste und unschmelzbare Körper. Auch diese Gruppen zerfallen in Unterabtheilungen, die kurz an Beispielen erläutert werden. Berthelot bespricht dann noch ein Werk aus dem 13. Jahrhundert, das „Liber Secretorum Bubacaris“, in dem eine Eintheilung nach folgenden sechs Unterabtheilungen sich vorfindet: den flüchtigen Körpern, den Metallen, den Steinen, Vitriolen, Boraten und Salzen. In dem Buche finden sich keine bestimmte Angaben, welche auf die Schwefelsäure oder Salpetersäure bezogen werden können.

(1p.

Richard Meyer. Jahrbuch der Chemie. Bericht über die wichtigsten Fortschritte der reinen und angewandten Chemie. Unter Mitwirkung von H. Beckurts, R. Benedikt, C. A. Bischoff, C. F. Dürre, J. M. Eder, P. Friedländer, C. Häufsermann, M. Märcker, W. Nernst, F. Röhlmann und K. Seubert. IV. Jahrgang. 1894. 8°, XII und 646 Seiten. Braunschweig 1895. Friedr. Vieweg u. Sohn. Preis 15 Mk. — Wenn Jemand die Fortschritte auf dem Gesamtgebiete der Chemie und ihrer wichtigsten Anwendungen durch Lesen aller Originalarbeiten verfolgen wollte, müßte er täglich etwa 17 meist umfangreichere Arbeiten lesen, und wenn die Auffassung des Inhaltes ihm keine besonderen Schwierigkeiten macht, etwa 17 Stunden darauf verwenden. Es ist unmöglich, daß Jemand, auch wenn er auf andere Arbeit und selbständige Forschung verzichtet, tagaus tagein eine solche Riesenarbeit leisten konnte. Andererseits würde aber eine ausschließliche Beschränkung des Einzelnen auf ein engeres Specialgebiet ohne Kenntnisaufnahme der Fortschritte auf den Nachbargebieten vom größten Schaden für ihn selbst, wie für die Wissenschaft sein. Eine Abhilfe ist geschaffen durch die Sammelwerke, von denen das Chemische Centralblatt und dieser Jahresbericht besondere Bedeutung besitzen. Beide aber müssen das Hauptaugenmerk auf die Vollständigkeit der Berichterstattung legen; sie können nicht durch Auslese des Wichtigsten dem Leser die Arbeit erleichtern, da auch ein unwichtigerer früherer Beitrag für den Forscher von Wichtigkeit ist und diese Sammelwerke, insbesondere der Jahresbericht, die Aufgabe haben, die gesammte wissenschaftliche Arbeit aufzuspeichern und für die spätere Ver-

wendung in bequemer Form zugänglich zu machen. Auch diese Sammelwerke vollständig mit Nutzen zu lesen, würde mehr Zeit erfordern, als den Meisten zu Gebote steht. Sie werden als Nachschlagewerke und zur Gewinnung einer Uebersicht über einzelne Gebiete hauptsächlich benutzt. — Eine ganz andere Aufgabe hat sich der Herausgeber des Jahrbuchs der Chemie gestellt. Das Jahrbuch soll in zusammenhängender Darstellungsweise einen Ueberblick über die Gesammtergebnisse, nicht über die Einzelresultate der wissenschaftlichen Arbeit auf den einzelnen Gebieten geben. Es gestattet dem Bearbeiter, das herauszugreifen, was ihm als das Wichtigste erscheint, anderes unberücksichtigt zu lassen und bei der Beurtheilung der Leistungen der Einzelnen seinem wissenschaftlichen Standpunkte und seinem Temperament zu folgen. Es soll dem Specialisten den Fortschritt eines Jahres auf seinem eigenen Gebiete recapitulirend in die Erinnerung zurückrufen, und ihn, wie denjenigen, der alle chemischen Fortschritte mit gleichem Interesse verfolgt, in fesselnder, leicht übersichtlicher Weise über die Gebiete unterrichten, auf denen sie die Einzelercheinungen nicht verfolgen können. Der Herausgeber hat es verstanden, sich die geeignetsten Mitarbeiter herauszusuchen, ihren Berichten die gemeinsame Richtung zu geben, Schroffheiten in den Urtheilen zu mildern, ohne eine unerwünschte Farblosigkeit herbeizuführen, und in Allen das Interesse an dem Unternehmen zu wecken, das nöthig ist, damit der Bericht so schnell wie bisher nach Ablauf des Berichtsjahres erscheinen kann. Dadurch erklärt sich die steigende Beliebtheit des verdienstvollen Unternehmens. Der Stoff ist in die folgenden Capitel eingetheilt: Physikalische Chemie (Nernst und Küster). Anorganische Chemie (Seubert). Organische Chemie (Bischoff). Physiologische Chemie (Rohmann). Nahrungs- und Genußmittel (Beckurts). Agriculturchemie (Märcker und Naumann). Metallurgie (Dürre). Brennstoffe und anorganisch-chemische Technik (Häufsermann). Explosivstoffe (Häufsermann). Technologie der Kohlehydrate und Gährungsgewerbe (Märcker, Schultze und Naumann). Technologie der Fette (Benedikt). Theer- und Farbenchemie (R. Meyer). Technologie der Spinnfasern (Friedländer). Photographie (Eder und Valenta). *Bdl.*

Roscoe-Schorlemmer's Kurzes Lehrbuch der Chemie, nach den neuesten Ansichten der Wissenschaft von Sir Henry E. Roscoe und Alexander Classen. Mit 71 Holzstichen und einer farbigen Spectraltafel. Zehnte vermehrte Auflage. Kl. 8°. XXVI u. 542 S. Braunschweig 1894. Friedr. Vieweg u. Sohn. Preis 7 Mk. 50 Pf. —

Mit der zehnten Auflage ist die deutsche Bearbeitung dieses altbekannten und altbewährten Lehrbuches der anorganischen und organischen Chemie in die Hände von Classen übergegangen. Es ist dadurch dafür gesorgt, daß den neuesten Ansichten der Wissenschaft auch weiter der ihnen gebührende Raum zugewiesen wird. Vielleicht hätte auch schon in dieser Auflage das in Bezug auf die physikalische Chemie in erheblicherem Umfange geschehen können. Doch war die Bedeutung der neueren Lehren zu der Zeit, als diese Auflage geschrieben wurde, noch nicht so allgemein zugestanden, wie jetzt, da diese Besprechung erscheint. Auch ein anderer Gesichtspunkt, der uns heute geläufig ist, wurde früher nicht in demselben Maße beachtet, die schärfere Trennung dessen, was direct zu beobachten, und dessen, was durch unser Causalbedürfnis in den Gegenstand hineingetragen ist. Wenn auch die Begründung der Atomtheorie sachgemäß erst gebracht wird, nachdem der Schüler genügend viel Thatsächliches aufgenommen hat, so werden Atomgewichte und chemische Formeln doch schon auf den ersten Seiten angewendet, noch ehe auch nur das Gesetz der constanten Verbindungsgewichte genügend fest sich eingepreßt haben kann. Indessen mag für den Anfänger die mehr dogmatische Vortragsweise bequemer sein und der Vortheil, daß die große Zahl der Beobachtungen sich leichter einprägen läßt, wenn man die kurzen Formeln schwarz auf weiß besitzt, den von ihm noch nicht recht empfundenen logischen Fehler überwiegen. Das gilt besonders für die große Schaar der Mediciner, Mathematiker und Techniker, denen die Chemie nicht Hauptfach ist. Für sie besonders ist ja auch ein Lehrbuch bestimmt, das die gesammte Chemie auf so kurzen Rahmen zusammendrängt, und unter ihnen wird es, wie bisher, sich zahlreiche Freunde erwerben. *Boll.*

Stoichiometrie der Gase und Flüssigkeiten.

Ludwig Boltzmann. Ueber die Bestimmung der absoluten Temperatur¹⁾. — Theoretisch liefse sich die absolute Temperatur nach der Temperaturskala von Lord Kelvin messen, doch ist eine directe experimentelle Bestimmung mittelst derselben aus praktischen Gründen unmöglich. Indirect läßt sich die absolute Temperatur auf Grund der Versuche von Thomson und Jonle berechnen. Der Gedanke liegt nahe, sie mit Hilfe der für wirk-

¹⁾ Ann. Phys. 53, 945—954.

liche Gase geltenden Relationen zwischen Druck, Volumen und empirischer Temperatur zu berechnen, weil sich diese Größen empirisch schärfer darstellen lassen, als die spezifische Wärme oder die Temperaturveränderung in Folge der Ausdehnung. Doch zeigt der Verfasser, daß die Berechnung ohne Zuziehung der letztgenannten Daten nicht möglich ist. Sehr genaue Bestimmungen der Abhängigkeit von $c_p - c_v$ und c_p von der Temperatur könnten zur Bestimmung der absoluten Temperatur führen. Bis diese vorliegen, ist der Joule-Thomson'sche Versuch die beste Basis zur Berechnung.

W. A. R.

Ludwig Boltzmann. Ueber den Beweis des Maxwell'schen Geschwindigkeitsvertheilungsgesetzes unter Gasmolekülen¹⁾. — Verfasser corrigirt eine Ungenauigkeit in dem vierten Bande von Kirchhoff's Vorlesungen über mathematische Physik (S. 147 Gastheorie). Dort wird die Wahrscheinlichkeit, daß sich von zwei Molekülen, die gerade von einem Zusammenstoß kommen, das eine in dem einen, das andere in dem anderen von zwei betrachteten Gebieten befindet, ebenso berechnet, wie wenn die Positionen der beiden Moleküle von einander unabhängig wären.

W. A. R.

Jules Andrade. Thermodynamik der Gase; Vergleich der Annäherungen an die Gesetze von Joule, Mariotte und Gay-Lussac²⁾. — Verfasser combinirt die Resultate von Regnault über die Constanz der specifischen Wärmen und die Joule-Thomson'schen Versuche über das langsame Ausströmen von Gasen. Er schließt, daß die Abweichungen, welche reale Gase von den genannten drei Gesetzen zeigen, von derselben Größenordnung sind.

W. A. R.

Jules Andrade. Das Joule'sche und das Mariotte'sche Gesetz in realen Gasen³⁾. — Vervollständigung der thermodynamischen Betrachtungen in der vorstehenden Arbeit. Wenn ein Gas dem Joule'schen Gesetz folgt und seine spezifische Wärme nur von der Temperatur abhängt, folgt es dem Mariotte'schen Gesetz. Mit verschiedenen Gasen gefüllte Thermometer zeigen Temperaturen an, welche unter einander und von der absoluten Temperatur nur um eine kleine Größe differiren. Die Größenordnung der Differenz ist gleich derjenigen der Annäherung an das Mariotte'sche Gesetz für dasjenige Gas, welches dem Gesetz am wenigsten gehorcht.

W. A. R.

¹⁾ Ann. Phys. 53. 955—958. — ²⁾ Compt. rend. 118. 64—66. — ³⁾ Dasselbst. S. 244—246.

E. C. C. Baly und William Ramsay. Experimente über die Beziehungen zwischen Druck, Volumen und Temperatur bei verdünnten Gasen¹⁾. — Die bisher über den Gegenstand angestellten Untersuchungen werden besprochen, besonders ausführlich die von Siljeström (1873), Mendeléeff, dann die von Amagat (1883), Bohr (1886), Fuchs (1888) und van der Ven (1889); bei diesen blieb die Temperatur constant. Melander bestimmte 1892 direct die Wärmeausdehnung bei verschiedenen Drucken. Die Resultate sind recht widerspruchsvoll. Nach Mendeléeff und Siljeström steigt α mit abnehmendem Druck. Nach Bohr wird der Ausdehnungscoefficient von Sauerstoff bei 0,7 mm Druck plötzlich anomal. Beide Resultate können die Verfasser bestätigen. Im Ganzen ist zu den aufgezählten Arbeiten zu bemerken, daß die Gase bei niedrigen Drucken leicht durch die von der Glaswand frei werdenden Gase, besonders Kohlensäure, verunreinigt werden können und daß man für die Reinheit der untersuchten Gase nur eintreten kann, wenn man sie im Apparat selbst spectral untersucht. So machen es die Verfasser. Sie arbeiten mit zwei MacLeod-Manometern, die durch eine Combination von Wasser- und Quecksilberluftpumpen sehr weit ausgepumpt und oft mit dem zu untersuchenden Gase gewaschen werden. Zwischen die Gasbürette und die Manometer ist ein Geißler-Rohr eingeschaltet. Alle Theile des sehr complicirten Apparates sind mit einander verschmolzen. Die Kalibrationen aller Meßapparate sind mit der bekannten Ramsay'schen Eleganz und Präcision ausgeführt. Das eine Manometer wird auf 130 bis 180° gebracht, das andere behält Zimmertemperatur. Sie werden gleichzeitig ausgepumpt und geschlossen; aus der Druckdifferenz nach dem Abkühlen berechnet sich der Ausdehnungscoefficient. Die Brauchbarkeit der MacLeod-Manometer wird eingehend studirt. Mit Wasserstoff erhält man vollkommen übereinstimmende, sichere Werthe, da er von den Glaswänden gar nicht absorbiert wird; Sauerstoff und Stickstoff sind weniger gut; mit Kohlensäure läßt sich bei geringen Drucken gar nicht arbeiten. Folgendes sind die Resultate: der Ausdehnungscoefficient des Wasserstoffs ist bis 0,4 mm Druck normal, dann nimmt er ab und ist bei 0,1 mm $\frac{1}{25}$; derjenige von Sauerstoff ist bei 4 bis 5 mm Druck $\frac{1}{261}$, bei 2,5 mm $\frac{1}{250}$, bei 1,4 mm $\frac{1}{235}$, bei 0,7 mm läßt er sich nicht messen, bei noch geringeren Drucken beobachtet man keine Unregelmäßigkeiten, sondern den Werth $\frac{1}{240}$. Der Ausdehnungs-

¹⁾ Phil. Mag. [5] 38, 301—327.

coefficient für Stickstoff ist zwischen 5 und 1 mm constant $1,304$, bei 0,8 mm $1,331$, bei 0,6 mm $1,343$. Kohlensäure scheint sich ähnlich zu verhalten; genaue Versuche sind unmöglich. Die Abnahme der Ausdehnungscoefficienten bei den kleinsten Drucken führt zu dem Schluss, daß ein größerer Theil der zugeführten Wärme als sonst in innere Energie umgesetzt wird. Dieser Umstand kann vielleicht zu den Phosphoreszenzerscheinungen Anlaß geben. Sauerstoff kann, nach seinem spectralen Verhalten zu urtheilen, bei niederen Drucken in mehreren Modificationen existiren; vielleicht ist die Abnormität bei 0,7 mm so zu erklären. W. A. R.

E. H. Amagat. Ueber den inneren Druck in Gasen¹⁾. — Zieht man von der bei einer isothermen Volumänderung verbrauchten Arbeit die äußere Arbeit ab, so bleibt für die innere

Arbeit der Ausdruck $\left(T \frac{dp}{dt} - p\right) dv$ übrig. Den Klammeraus-

druck nennt der Verfasser (analog dem äußeren Druck p) den inneren Druck (π). Er berechnet aus seinen Versuchen die Werthe von π für Kohlensäure und Aethylen (0 bis 200°, Drucke bis 1000 Atm.) und für Sauerstoff, Stickstoff, Wasserstoff und Luft (0 bis 100° bezw. bis 50°, Drucke bis 3000 Atm.). Die Werthe von π ändern sich nur wenig mit der Temperatur, da

$\frac{dp}{dt}$ fast ausschließlich vom Volumen abhängt. Für Sauerstoff, Luft

und Stickstoff wächst π mit zunehmendem Druck bis zu einem Maximum, um dann für Sauerstoff langsam, für Stickstoff und Luft schneller zu sinken. Bei Wasserstoff wird das Maximum (16 Atm.) schon bei 400 Atm. erreicht, bei etwa 720 Atm. ist

$\pi = 0$ und $\frac{1}{p} \frac{dp}{dt} = 0,00367$; bei höheren Drucken nimmt π und

$\frac{1}{p} \frac{dp}{dt}$ immer stärker ab. Bei 720 Atm. ist das Volumen des

Wasserstoffs 0,0021 des Volumens bei 0° und 1 Atm., also noch weit größer als die untere Grenze des Covolumens. W. A. R.

G. Bakker. Bemerkung über die Function a in der Zustandsgleichung von van der Waals²⁾. — Der Verfasser formulirt die Resultate seiner thermodynamischen Betrachtungen selbst folgendermaßen: Die Function a in der Zustandsgleichung von van der Waals nimmt ab mit Erhöhung der Temperatur, um Null zu werden, wenn die specifischen Wärmen bei constantem Volumen

¹⁾ Compt. rend. 118, 326–330.
664–670.

²⁾ Zeitschr. physik. Chem. 14,

und constantem Druck Temperaturfunctionen oder Constanten geworden sind; die Curve, welche diese Function in ihrer Abhängigkeit von der Temperatur darstellt, kehrt ihre convexe Seite der Temperaturaxe zu. Die Formel

$$a = a_0 e^{1 - \frac{T}{T_k}},$$

welche van der Waals für diese Function vorgeschlagen hat, genügt allen diesen Bedingungen. Dafs a bei gewöhnlichen Temperaturen für Wasserstoff vernachlässigt werden darf, ist wahrscheinlich eine Folge seiner niedrigen kritischen Temperatur. W. A. R.

P. de Heen und F.-V. Dwelshauvers-Dery. Vergleichung der von Amagat beobachteten und der nach der van der Waals'schen Formel berechneten Isothermen¹⁾. — Die Verfasser berechnen aus den Isothermen von Amagat für Kohlensäure die Werthe für a und v , indem sie das Mariotte'sche Gesetz für 198° und kleine Drucke als gültig annehmen und

$$\left(P + \frac{a}{V^2}\right)(V - v) = (P_0 V_0)_{198^\circ}$$

setzen. Sie finden $a = 0,0050017$ und $v = 0,001493$. Diese Werthe für a und v benutzen sie, um auch bei anderen Temperaturen den zu einem beobachteten Werth von V zugehörigen Werth von P zu finden. Berechnung und Beobachtung stimmen schlecht überein. Bei 30, 40 und 60° berechnen sich stets zu grofse Werthe von P . Das Maximum der Compressibilität zeigt sich in der berechneten Isotherme, aber es tritt bei zu hohen Drucken auf. Die Verfasser nehmen daher a und v als mit der Temperatur variabel an und berechnen die Werthe für jede Isotherme. Zwischen 30 und 258° ist der mittlere Temperaturcoefficient, d. h. der Ausdehnungscoefficient des Moleküls selbst, 0,001, also dem Dilatationscoefficienten der Flüssigkeiten sehr nahe liegend. Die mit den variablen Werthen von a und v berechneten Isothermen schliessen sich den gefundenen besser an. Für Drucke oberhalb des Compressionsmaximums ist die Uebereinstimmung sehr gut. Unterhalb findet man zu grofse Werthe von P . Bei Temperaturen unter der kritischen haben die berechneten Isothermen die Form eines λ , die sich oberhalb der kritischen Temperatur immer mehr abschleift. Man müfste, um die Beobachtungen getreu wiederzugeben, in die van der Waals'sche Gleichung ein drittes, die innere Condensation des Gases darstellendes Glied einfügen, das bei höheren Drucken zu vernach-

¹⁾ Belg. Acad. Bull. [3] 28, 46—47.

lässigen ist. Die Formel würde aber dann ihren theoretischen Werth einbüßen.

W. A. R.

William Sutherland. Die Anziehung ungleicher Moleküle. I. Die Diffusion von Gasen¹⁾. — Die gegenseitige Anziehung zweier ungleichartiger Moleküle ist das geometrische Mittel der Anziehungen entsprechender gleicher Moleküle im gleichen Abstand von einander. In früheren Arbeiten hat der Verfasser gezeigt, daß man die Anziehung der Moleküle bei der inneren Reibung und der Diffusion keineswegs vernachlässigen kann. Verfasser recapitulirt die Theorien, die Stefan, O. E. Meyer und Tait über die Gasdiffusion entwickelt haben. Er giebt wie Maxwell der von Stefan den Vorzug. Stefan hat seine Theorie auf das Problem der Verdampfung angewendet und durch seine und Winkelmann's Versuche bestätigt gefunden. Der Verfasser corrigirt die Stefan'sche Diffusionstheorie, die kraftlose Moleküle voraussetzt, bezüglich der Attraction der Moleküle, indem er den Diffusionscoefficienten durch $1 + \frac{1}{T} C_2$ dividirt. C_2 ist ein Maß

für die potentielle Energie der sich berührenden Moleküle. Verfasser prüft die corrigirte Formel an Versuchen von Loschmidt und von von Obermayer, die Gase untersucht haben, und von Winkelmann, der mit Dämpfen und Gasen gearbeitet hat. Die Werthe von C_2 werden für verschiedene Gase und Dämpfe berechnet und aus der corrigirten Formel die Werthe für die Diffusionscoefficienten bei 0° abgeleitet. Die uncorrigirte Stefan'sche Formel giebt, zufällig, für manche Temperaturen die beobachteten Werthe, weil man zwei sich compensirende Fehler beging. Die Anziehung der Moleküle wurde vernachlässigt und die zusammenstossenden Moleküle als ganz elastisch angenommen.

W. A. R.

William Ramsay. Der Durchgang von Wasserstoff durch eine Scheidewand aus Palladium und der Druck, den er erzeugt²⁾. — Der benutzte Apparat erlaubte, bei constanter hoher Temperatur eine Palladiumzelle mit einem beliebigen Gas anzufüllen und außen mit reinem Wasserstoff oder einem Gasgemisch zu umgeben; der durch den Durchgang des Wasserstoffs in der Zelle entstehende Ueberdruck wurde auf $\frac{1}{10}$ mm genau gemessen. Der Wasserstoff im Inneren übt, wenn Gleichgewicht eingetreten ist, einen geringeren Druck aus, als der äußere Wasserstoff. Das Verhältniß der beiden Drucke ist bei 250 bis 335° dasselbe (ca. 0,9). Verdünnt man den äußeren Wasserstoff mit Stickstoff, so

¹⁾ Phil. Mag. [5] 38, 1—19. — ²⁾ Dasselbst, S. 206—218.

steigt das Verhältniß. Füllt man die Zelle statt mit Stickstoff oder Luft mit Kohlensäure, Kohlenoxyd oder Cyan, so steigt das Verhältniß ebenfalls (auf 0,95 bis 0,97). Bei den Versuchstemperaturen kann der Palladiumwasserstoff nicht mehr existiren. Eine Erklärung des Phänomens ist also schwer zu geben. Der durchgegangene Wasserstoff reducirt Stickoxyde, gewöhnlicher Wasserstoff ist bei derselben Temperatur nicht dazu fähig. Das Palladium muß also, auch bei Temperaturen, wo der Palladiumwasserstoff nicht mehr beständig ist, eine solche Anziehungskraft auf den Wasserstoff ausüben, daß das Molekül aufgespalten wird. Daß der Druck des Wasserstoffs im Inneren der Zelle den äußeren Druck nicht erreicht, kann seinen Grund in der Anwesenheit des Stickstoffs im Inneren des Gefäßes haben; denn wenn sich außen und innen Stickstoff befindet, wächst das Verhältniß zwischen den beiden Wasserstoffconcentrationen. Es sei bemerkt, daß man den Wasserstoffgehalt von Gasgemischen, wie Leuchtgas, aus dem Druck des durchgegangenen Gases ableiten kann. W. A. R.

C. Schall. Zur Dampfdichtebestimmung und über ein Verfahren, ohne Luft- oder Wasserluftpumpe zu evacuiren¹⁾. — Verfasser hatte²⁾ einen Apparat zur Dampfdichtebestimmung bei erniedrigtem Druck beschrieben. Es wird die Druckzunahme, die die zu untersuchende Substanz beim Vergasen hervorruft, mit derjenigen verglichen, welche durch Zersetzen einer gewogenen Menge Bicarbonat mit Säure entsteht. Verfasser hat den Apparat verbessert, indem das Zersetzungsgefäß an die zum Manometer führende Capillare fest angeschmolzen ist. Kann man den Apparat nicht auf dem gewöhnlichen Wege evacuiren, so verbindet man ihn mittelst eines Bunsen-Ventils mit einer verschließbaren Blechfläche, in welcher Wasser kocht. Aus dieser wird durch das Kochen die Luft ausgetrieben, kühlt man sie nach dem Verschließen ab, so saugt sie die Luft aus dem Dampfdichteapparate heraus; eventuell wiederholt man die Proceedur. W. A. R.

C. Puschl. Aktinische Wärmetheorie und chemische Aequivalenz³⁾. — Verfasser nimmt für die meisten gasförmigen Elemente an, daß die Atome, trotzdem ihnen eine innere Structur eigen ist, nur an den Außenseiten mit dem sie umspülenden Aether in Berührung sind. Solche Körper nennt der Verfasser thermisch einfach. An den Außenseiten werden die meisten Wärmestrahlen reflectirt, die hin- und hergeworfene Strahlenmenge macht in der

¹⁾ J. pr. Chem. [2] 50, 87-88. — ²⁾ JB. f. 1892, S. 131 ff. — ³⁾ Wien. Akad. Ber. 103, II a, 800-831.

Hauptsache die Wärmemenge des Körpers aus. Gewichtsmengen mit gleich viel Atomaufsenflächen sind thermisch äquivalent. Thermisches Aequivalentgewicht \times spezifische Strahlenwärme ist für alle Körper gleich. Für ein thermisch einfaches Gas ist der Idealwerth von $\frac{c_p}{c_v} = 1,4$. Besteht ein Körper nicht direct aus

Atomen, sondern aus Molekeln, so spielen bei der Wärmestrahlung auch die Innenflächen eine Rolle (thermisch zusammengesetzte Stoffe). Chemisch zusammengesetzte Gase können thermisch einfach, also direct aus Atomen aufgebaut sein, chemisch einfache

können thermisch zusammengesetzt sein. Aus $\frac{c_p}{c_v}$ läßt sich das

Verhältniß von Außen- und Innenflächen berechnen. Für thermisch einfache und zusammengesetzte Gase gilt Folgendes: Die thermischen Aequivalentgewichte zweier Gase verhalten sich wie die Dichten, sind also auch chemisch äquivalent. Das gilt auch für feste Stoffe (Gesetz von Dulong und Petit). Das Aequivalentgewicht einer Verbindung ist gleich der halben Summe der verbundenen Aequivalentgewichte. Es giebt wahrscheinlich keinen Grundstoff, welcher ohne Vergrößerung seines Aequivalentgewichtes aus dem festen oder flüssigen Zustande in die Gasform übergehen kann. Einatomige Gase im Sinne der kinetischen Energie giebt es nicht. Jedes Element ändert bei seiner chemischen Verbindung mit einem anderen seine innere Atomstructur. W. A. R.

E. Matthias. Directe experimentelle Bestimmung der specifischen Wärme des gesättigten Dampfes und der inneren Verdampfungswärmen¹⁾. — Das Gewicht des SO_2 -Dampfes P , der bei t^0 ein gegebenes, ein für alle Mal gefülltes Gefäß anfüllt, sei bekannt, ebenso die Menge flüssiger schwefeliger Säure p , welche bei θ^0 ($< t^0$) im Gefäß vorhanden ist, und die innere Verdampfungswärme q bei θ^0 . Um das Gemisch von Dampf und Flüssigkeit von θ^0 in Dampf von t^0 überzuführen, muß man die Wärmemenge Q zuführen. Man schlägt folgende beiden Wege ein: 1. Man verdampft p g Flüssigkeit bei θ^0 und hat P g gesättigten Dampf vom specifischen Volumen u' ; diese P g bringt man auf t^0 und hält sie dabei fortwährend gesättigt. Bedeutet ϵ das mechanische Wärmeäquivalent, so ist:

$$Q = pq + P'q'' - \frac{P}{\epsilon} \int_{u'}^t p du'.$$

¹⁾ Compt. rend. 119, 849—852.

Man erhält aus der Bestimmung von Q y'_s die specifische Wärme des Gases zwischen θ^0 und t^0 . 2. Man bringt p g Flüssigkeit und $P - p$ g gesättigten Dampf von θ^0 auf t^0 und verdampft die Flüssigkeit bei t^0 . In der Gleichung:

$$Q = p\varphi' + px'_s + (P - p)y'_s - \frac{p}{\varepsilon} \int_s^t p du - \frac{P - p}{\varepsilon} \int_s^t p du'$$

ist nur φ' unbekannt; x'_s , die specifische Wärme der Flüssigkeit zwischen θ^0 und t^0 , hat Verfasser früher bestimmt¹⁾, u und u' , die specifischen Volumina des Dampfes, sind bekannt. Verfasser findet auf diese Weise:

t^0	y'_{20} Cal.	φ'_t Cal.	t^0	y'_{20} Cal.	φ'_t Cal.
155,80	-41,72	+ 4,75	144,08	-33,52	+ 20,49
156,45	-39,60	+ 8,03	137,70	-31,67	+ 21,84
153,80	39,76	+ 9,41	128,00	-31,17	+ 27,66
151,85	37,70	+ 12,67	121,00	-32,82	+ 27,72
147,80	-34,48	+ 17,95	102,66	-29,20	+ 35,51

Die Curve $y = f(t)$ wird discutirt. Für die kritische Temperatur (156^0) strebt die specifische Wärme des gesättigten Dampfes den Werthe $-\infty$ zu, die innere Verdampfungswärme dem Werthe 0. Die Curve $y = f(t)$ hat ein Minimum bei 116^0 (erster Umkehrpunkt), ein Maximum bei $132,5^0$ (zweiter Umkehrpunkt), einen Wendepunkt bei 124^0 , der Temperatur der größten specifischen Wärme des gesättigten Dampfes. W. A. R.

J. Joly. Die specifischen Wärmen von Gasen bei constantem Volumen. Zweiter Theil. Kohlendioxyd²⁾. — Verfasser führt die 1891 angefangenen Versuche³⁾ mit Kohlendioxyd von größerer Dichte (von 0,0377 an aufwärts) weiter. Er arbeitet mit zwei Kupferkugeln, deren eine das Gas enthält, in einem Differentialwasserdampfc calorimeter. Die specifischen Wärmen beziehen sich auf das Temperaturintervall 12 bis 100^0 . Die größte Dichte, bei welcher noch keine Verflüssigung auftrat, ist 0,1444. Die specifischen Wärmen werden durch folgende empirische Gleichung gut wiedergegeben, wo ρ die Dichte bedeutet:

$$C_v (12 - 100^0) = 0,1650 + 0,2125 \rho + 0,3400 \rho^2.$$

¹⁾ Compt. rend. 119, 404-407. — ²⁾ Proc. Roy. Soc. 55, 390-391. — ³⁾ JB. f. 1891, S. 231.

Für die im ersten Theile untersuchten Gase von geringerer Dichte hatte die lineare Formel genügt:

$$C_{v(12-100)} = 0,16577 + 0,2064 p. \quad W. A. R.$$

J. Joly. Die specifischen Wärmen von Gasen bei constantem Volumen. Dritter Theil. Die specifische Wärme von Kohlendioxyd als Function der Temperatur¹⁾. — Es wird Kohlendioxyd von der Dichte 0,0456, 0,0800, 0,1240, 0,1800 und 0,1973 zwischen 100° einerseits und Zimmertemperatur, 35, 56 und 78° andererseits untersucht. Bei Zimmertemperatur tritt in den Gasen von den drei größten Dichten Flüssigkeit auf und complicirt das Phänomen. Verfasser zeichnet und discutirt folgendes Diagramm: Abscisse = Anfangstemperatur. Ordinate = die durch die Wärmecapazität des Gases condensirte Wassermenge. Für die beiden verdünntesten Gase erhält man gerade Linien; die specifische Wärme ist also constant. Für die stärker verdichteten Gase fällt die specifische Wärme mit steigender Temperatur, wird aber für die höheren Temperaturen fast constant. Das liefs sich nach der Zustandsgleichung für Kohlensäure voraussagen; doch ist die quantitative Uebereinstimmung zwischen Theorie und Experiment recht sehr gut.

W. A. R.

P. de Heen. Bestimmung des Einflusses des Druckes auf die specifische Wärme, unterhalb und oberhalb der kritischen Temperatur²⁾. Verfasser bestimmt die Dichten und specifischen Wärmen von Wasser, Aether und Amylen bei Temperaturen zwischen 100 und 300° und Drucken zwischen 50 und 300 Atm. Er benutzt einen stählernen Recipienten von ca. 29 ccm Inhalt. Die specifischen Wärmen werden aus der Zeit abgeleitet, in der sich das von einem Vacuummantel umgebene Gefäß um 50° erwärmt. Der Apparat wird mit Wasser geächtet, wobei die Formel von Regnault: $c = 1 + 0,000004 t + 0,0000009 t^2$ bis 300° als zutrig angenommen wird:

	Dichte des Wassers			Dichte des Aethers			
	100 Atm.	200 Atm.	300 Atm.	50 Atm.	100 Atm.	200 Atm.	300 Atm.
100	0,981	0,981	0,987	0,619	0,659	0,669	0,688
150	0,935	0,938	0,942	0,572	0,617	0,596	0,665
200	0,879	0,886	0,893	0,484	0,523	0,557	0,582
250	0,811	0,823	0,830	0,349	0,432	0,494	0,531
300	0,729	0,740	0,757	0,167	0,324	0,428	0,479

¹⁾ Proc. Roy. Soc. 55, 392—393. — ²⁾ Belg. Acad. Bull. [3] 27, 232—240.

	Dichte des <i>Amylens</i>	
	50 Atm.	300 Atm.
100°	0,551	0,595
150	0,499	0,554
200	0,432	0,512
250	0,334	0,470
300	0,212	0,428

	Specifische Wärme des <i>Aethers</i>			Specifische Wärme des <i>Amylens</i>	
	50 Atm.	100 Atm.	300 Atm.	50 Atm.	300 Atm.
150—200°	1,128	1,041	0,976	1,019	0,889
200—250	1,277	1,021	0,961	1,170	0,964
250—300	0,940	0,669	0,605	0,973	0,718

Die specifischen Wärmen der Flüssigkeiten nehmen in der Nähe der kritischen Temperaturen mit steigendem Druck ab. — Für ein ideales Gas ist die specifische Wärme vom Druck unabhängig, für den Wasserstoff nimmt sie mit steigendem Druck ab, für die anderen Gase nimmt sie zu, für die Flüssigkeiten ist sie anfangs ziemlich constant, steigt dann mit steigendem Druck, um bei weiterem Steigen von einer bestimmten Grenze an abzunehmen. *W. A. R.*

P. de Heen. Experimenteller Beweis für den rein zufälligen Charakter des kritischen Zustandes¹⁾. — Der Gesamtdruck, unter dem die Flüssigkeitsmolekeln stehen, ($-P$), setzt sich aus der Kraft k , die die Molekeln von einander zu entfernen strebt, dem inneren Druck π , dem Dampfdruck h und dem äußeren Druck p , die alle in der entgegengesetzten Richtung wirken, zusammen. Dafs die Resultante P negativ sein kann, hat Berthelot experimentell gezeigt (negativer Druck). Verfasser discutirt an der Hand von Diagrammen die Veränderungen des Volumens mit dem Druck unterhalb und oberhalb der kritischen Temperatur. Unterhalb derselben braucht man keinen äußeren Druck anzuwenden, um die Verdampfung zu verhindern, man kann sogar einen negativen Druck, einen Zug, einwirken lassen; bei der kritischen Temperatur ist zu demselben Zweck kein äußerer Druck nothwendig; oberhalb genügt ein geringer positiver Druck. Das letztere zeigt der Verfasser am Amylen (Siedepunkt bei normalem Druck 35°, kritische Temperatur 201°, kritischer Druck etwa

¹⁾ Belg. Acad. Bull. [3] 27, 348—354.

38 Atm.). Die Substanz wurde in einem engen Rohr erhitzt, über ihr stand Quecksilber; das Rohr war mit einer Carliet'schen Druckpumpe verbunden. Unter 5 Atm. Druck konnte die Flüssigkeit, ohne die kritischen Erscheinungen zu zeigen, auf 350° erhitzt werden. Die Compressibilität war auch oberhalb der kritischen Temperatur gering. Bildete sich zufällig Dampf, so erhielt man die gewöhnlichen kritischen Erscheinungen. Bei einem Versuche rifs die Quecksilbersäule und ein Theil des Amylens bildete Dampf, der andere nicht. Der kritische Zustand stellt also kein homogenes Gemisch von Flüssigkeits- und Gasmolekeln (*molécules liquidogéniques et gazogéniques*) dar, sondern wenn man, was nur in einem ganz luftfreien Apparate möglich ist, die Gasbildung verhindert, besteht die Substanz auch oberhalb der kritischen Temperatur nur aus Flüssigkeitsmolekeln. Erst bei viel höherer Temperatur — der Verfasser schätzt sie auf 800 bis 900° — sind alle Molekeln, die die Flüssigkeit bilden, dissociirt. Der Zustand einer Flüssigkeit ist also nicht durch Druck und Volumen allein definiert, da bei der kritischen Temperatur das Volumen unter dem Druck Null zwischen 1 und ∞ liegen kann. W. A. R.

P. de Heen. Bestimmung der Volumina von Flüssigkeit und Gas oberhalb der kritischen Temperatur¹⁾. — Zeichnet man für einen gegebenen Druck das Temperaturdruckdiagramm, so erhält man unter dem kritischen Druck für Flüssigkeit und Gas zwei distincte Zweige, die sich oberhalb des kritischen Drucks einander nähern. Denn die für das Gas geltende Curve flacht sich ab, weil das Gas im Stande ist, Flüssigkeitsmolekeln in jedem Verhältniss aufzulösen. Aus der „inneren Verdampfung“ wird eine „äußere“. Verfasser giebt die Volumina von Aethyläther zwischen 100 und 350° für 50, 70 und 100 Atm. Die kritische Temperatur ist ca. 190° , der kritische Druck ca. 40 Atm. Er hat die Volumina bei Gegenwart von Dampf und bei Abwesenheit von Dampf bestimmt und erhält so für jeden Druck zwei Curven, die bei höherem Druck einander näher liegen als bei niedrigeren Drucken. Bei noch stärkeren Drucken werden sie wahrscheinlich zusammenfallen. Die Curve für die Flüssigkeit bei 50 Atm. Druck steigt für höhere Temperaturen starker an als die für das Gas. Der Schnittpunkt muß bei etwa 360° liegen. Oberhalb 360° würde die Dichte der Flüssigkeit kleiner sein als die des Gases! W. A. R.

P. de Heen. Notiz über den flüssigen und gasförmigen Zustand²⁾. — Bedeutet P' den äußeren, π den inneren Druck, K

¹⁾ Belg. Acad. Bull. [3] 27, 580—586. — ²⁾ Dasselbst, S. 585—588.

die Kraft, welche die Molekeln von einander entfernen will, so gilt nach van der Waals für Flüssigkeiten und Gase $P = K - \pi$. Verfasser nennt P den vom Gas selbst ausgeübten Druck. Dann gilt für Gase, wie vorher, $P = K - \pi$; für Flüssigkeiten aber hat man andere Werthe einzusetzen und P_1 wird negativ $-P_1 = K_1 - \pi_1$, denn $K_1 < \pi_1$. Beim kritischen Punkt wird $P_1 = 0$, beim absoluten Nullpunkt $P = 0$. In einen Fall kommen die Flüssigkeits-, im anderen die Gasmolekeln zur gegenseitigen Berührung. Lebt man auf das Gas einen äußeren Druck h aus, so hat man $-P_1 = K_1 - (\pi_1 + h)$. Je größer man also h macht, desto höher liegt die Temperatur, für welche $-P_1 = 0$ ist. Ist h gleich dem kritischen Druck, so wird P bei der kritischen Temperatur $= 0$. Ist nur Flüssigkeit vorhanden, so kann man durch Erhöhung von h P_1 auch oberhalb der kritischen Temperatur negativ halten, wie Verfasser experimentell gezeigt hat.

W. A. R.

James Chappuis. Ueber eine neue Methode, die kritischen Temperaturen zu bestimmen; mittelst des kritischen Brechungsindex¹⁾. — Der Verfasser bestimmt mittelst der Jamin'schen Interferenzmethode die Brechungsindices von Kohlensäure in der Nähe der kritischen Temperatur. Bezüglich der Einzelheiten der Versuchsanordnung sei auf das Original verwiesen. Bei langsam sinkender Temperatur erhält man sehr scharfe Interferenzbilder. Der Brechungsindex, der von 35 bis 31,4° constant bleibt, zeigt bei 31,99 bis 31,41° plötzlich ein starkes Ansteigen. 31,40° ist folglich die kritische Temperatur der Kohlensäure (Amagat fand 31,35°). Die Methode ist die einzige, mit der man bequem bis zur kritischen Temperatur selbst und über sie hinaus arbeiten kann.

W. A. R.

K. Wesendonck. Einige Versuche über das Verhalten der Kohlensäure bei der kritischen Temperatur²⁾. — Oberhalb der Temperatur, bei welcher der Meniscus der flüssigen Kohlensäure verschwindet, beobachtet der Verfasser im Gasraum eine nebelartige Trübung. Homogenität tritt erst bei höherer Temperatur ein. Die Inhomogenität kann bei constanter Temperatur stundenlang beobachtet werden. Der Verfasser definiert danach die kritische Temperatur nicht als diejenige, bei welcher Homogenität eintritt, sondern als diejenige, bei welcher die Materie die Fähigkeit verliert, sich als zusammenhängende, durch einen Meniscus begrenzte Masse abzuscheiden. Einen gewissen Zusammenhang bewahrt die

¹⁾ Compt. rend. 118, 976—977. — ²⁾ Naturw. Rundsch. 9, 209—212.

Flüssigkeit noch oberhalb der kritischen Temperatur, wenn sie in Ruhe bleibt.

W. A. R.

W. Ramsay. Ueber den kritischen Zustand¹⁾. — Die Ansicht, daß Flüssigkeit und Dampf beim kritischen Punkt noch einheitlich in einander übergehen, ist irrig. Die irreführenden Erscheinungen (s. z. B. vorst. Arbeit von Wesendonck) sind durch Verunreinigungen, meistens Luft, und durch Schwankungen der Versuchstemperatur hervorgerufen. Der Verfasser beschreibt ausführlich, wie man ein Rohr von geeigneter Gestalt mit ganz reinem, luftfreiem Aether füllen und ganz gleichmäßig erwärmen kann, so daß man die kritischen Erscheinungen rein erhält. So lange noch Flüssigkeitsnebel auftreten, ist der kritische Punkt noch nicht erreicht.

W. A. R.

K. Wesendonck. Ueber den kritischen Zustand²⁾. — Im Wesentlichen wiederholte, detaillirte Beschreibung seiner Versuche mit einer flüssigen Kohlensäure enthaltenden Glasrohr (s. obiges Ref.). Oberhalb der Temperatur, bei welcher beim Abkühlen der Meniskus wieder erscheint, beim Erwärmen der an Stelle des Meniskus gebildete Nebel eben verschwindet, beobachtet der Verfasser, wenn er die Röhre umkehrt, einen bläulichen Nebel, der erst oberhalb 31,7° verschwindet. Noch bei 32° kann man beim Umkehren ein eigenthümliches Perlen, also eine Inhomogenität, in der Röhre wahrnehmen. Es ist die Frage, ob man die kritische Temperatur der Kohlensäure höher als bisher ansetzen oder dem feinen Nebel einen anderen molekularen Bau als der Flüssigkeit zuschreiben soll.

W. A. R.

Giulio Zambiasi. Das Gesetz der correspondirenden Zustände und die Methoden für die Messung der kritischen Elemente³⁾. — Daß das Gesetz von den correspondirenden Zuständen nicht allgemein, sondern nur für Gruppen von Körpern gilt, hat seinen Grund in der Unbestimmtheit der Meßmethoden und der daraus entspringenden Discrepanz in den Experimentaldaten. Verfasser will untersuchen, welches Volumen eine bestimmte Menge Aether haben muß, wenn man die kritischen Daten messen will und an welcher Erscheinung man den kritischen Punkt sicher erkennt. Zur Beantwortung der ersten Frage untersucht der Verfasser verschiedene Mengen Aether in großen Natterer-Röhren, von denen eine das Volumen zu reguliren erlaubte. Er mißt katheto-

¹⁾ Zeitschr. physik. Chem. 14. 486—490. — ²⁾ Dasselbst 15. 262—266. — ³⁾ Accad. dei Lincei Rend. [5] 3, II, 184—190.

metrisch das Verhältniß vom Flüssigkeits- und Dampfvolumen. Das maximale Verhältniß, für welches der Meniscus noch verschwindet, findet er zu 0,77. Amagat hat 0,8 angegeben. Dies Verhältniß schlägt er als Grundlage für die Messungen der kritischen Elemente und für den Vergleich zwischen den Werthen verschiedener Körper vor. Die Discussion der Versuche des Verfassers entzieht sich einer kurzen Wiedergabe. *W. A. R.*

Sydney Young. Bemerkung über van der Waals' Verallgemeinerungen, die „correspondirenden“ Temperaturen, Drucke und Volumina betreffend¹⁾. — Verfasser hat 1892²⁾ die absoluten Temperaturen und Molekularvolumina von elf Substanzen mit denen des Fluorbenzols bei correspondirenden Drucken verglichen. Die correspondirenden Temperaturen und Volumina für beide Aggregatzustände, die sich besser zum Vergleich geeignet hätten, waren damals nicht genau genug bekannt. Verfasser hat diese Daten nach der Methode von Cailletet und Matthias neu berechnet und führt die consequente Vergleichung der Werthe für Fluorbenzol, Benzol und die anderen Monohalogenderivate, Zinn- und Kohlenstofftetrachlorid, Aether, Essigsäure, zehn niedrige Ester und die drei niedrigsten Alkohole durch. Bei dieser wie bei der früheren Vergleichung kann man die Substanzen in vier Gruppen theilen: 1. Benzol und Derivate, die beiden Tetrachloride und Aether; 2. die drei Alkohole, von denen der Methylalkohol etwas anomal ist; 3. Essigsäure; 4. die zehn Ester. Für die Verhältnisse der zu correspondirenden Drucken gehörigen absoluten Temperaturen zur absoluten kritischen Temperatur hat Gruppe 1 die niedrigsten Werthe, dann kommen die Ester, für welche die Werthe etwas mit dem Molekulargewicht ansteigen, im engen Anschluß daran die Kohlensäure und mit erheblich höheren Werthen die Alkohole. Die Verhältnisse der zu correspondirenden Drucken gehörigen Flüssigkeitsvolumina zu den kritischen variiren nur wenig von einer Substanz zur anderen. Für die höheren Drucke giebt der Methylalkohol zu niedrige Werthe. Betrachtet man die Werthe für die correspondirenden Dampfvolumina, so zeigt Methylalkohol, namentlich bei niedrigen Drucken, zu hohe Zahlen, dann kommen die anderen Alkohole, die Ester, Gruppe 1 und mit zu niedrigen Zahlen die Essigsäure, wohl weil bei kleineren Drucken auch im Dampf complexe Molekeln vorhanden sind. Zu demselben Schlufs waren Ramsay und Shields auf ganz anderem Wege gekommen. Seien für zwei

¹⁾ Phil. Mag. [5] 37, 1—8. — ²⁾ Dasselbst 33, 153—185.

Substanzen v und v' die Molekularvolumina der gesättigten Dämpfe, V und V' die Molekularvolumina der Flüssigkeiten, T und T' die absoluten Siedepunkte bei den correspondirenden Drucken p und p' , so müßte nach van der Waals $\frac{v}{v'} = \frac{V}{V'} = \frac{T}{T'} \cdot \frac{p}{p'}$ sein und

beim kritischen Punkt müßte $\frac{P \cdot V}{T}$ für alle Substanzen denselben Werth haben, ebenso das Verhältniß der thatsächlichen zur theoretischen Dichte. Auch hier kann man die vier Gruppen deutlich erkennen:

	$\frac{P \cdot V}{T}$	$\frac{D}{D'}$		$\frac{P \cdot V}{T}$	$\frac{D}{D'}$		$\frac{P \cdot V}{T}$	$\frac{D}{D'}$
C_2H_5F	16380	3,79	CH_3OH	13750	4,52	CH_3OOCH	15840	3,93
C_2H_5Cl	16380	3,77	C_2H_5OH	15470	4,02	C_2H_5OOCH	15990	3,88
C_2H_5Br	16270	3,80	C_2H_7OH	15460	4,02	CH_3OOCCH_3	15750	3,94
C_2H_5J	16360	3,78				$C_2H_5OOCCH_3$	16070	3,87
C_2H_6	16610	3,71	CH_3COOH	12440	5,00	$C_2H_5OOCCH_3$	15730	3,95
CCl_4	16940	3,65				$CH_3OOCCH_2H_5$	15920	3,90
$SnCl_4$	16610	3,76				$C_2H_5OOCCH_2$	15760	3,94
$(C_2H_5)_2O$	16290	3,83				$C_2H_5COOC_2H_5$	15830	3,92
						CH_3OOCCH_2	15900	3,90
						$CH_3OOCCH_2H_5$	16070	3,87

W. A. R.

K. D. Krasvitch. Ein Näherungsgesetz über die Aenderung des Druckes gesättigter Dämpfe¹⁾. — Verfasser setzt voraus, daß der gesättigte Dampf bei der absoluten Temperatur T_0 dem Boyle-Gay Lussac'schen Gesetz genau gehorcht, bei der Temperatur T approximativ, daß die Differenz zwischen den specifischen Wärmen von Flüssigkeit und Dampf ($c - c_1$) von der Temperatur unabhängig ist, daß der Ausdehnungscoefficient der Flüssigkeit ganz und ihr specifisches Volumen relativ zu demjenigen ihres Dampfes vernachlässigt werden kann. Wenn alle Voraussetzungen erfüllt sind, was z. B. bei den verflüssigten Gasen nicht der Fall ist, gilt die Gleichung:

$$\log_{10} \frac{p}{p_0} = - \frac{c - c_1}{AD} \left(\log_{10} \frac{T}{T_0} - m \frac{T - T_0}{T} \right) + \frac{m r_0}{AD} \left(\frac{1}{T_0} - \frac{1}{T} \right);$$

A ist das mechanische Wärmeäquivalent, D die Gasconstante, m der Modulus des Brigg'schen Systems 2,3026, r_0 die latente

¹⁾ Phil. Mag. [5] 37, 38—53.

Verdampfungswärme der Temperatur bei T_0 . In der Folge vereinfacht der Verfasser die Gleichung; nach einigen Vernachlässigungen kann sie in die Formeln von Roche und Bertrand übergeführt werden. $c - c_1$ und r_0 entnimmt man besser nicht aus calorimetrischen Messungen, sondern leitet sie aus schon bekannten Dampfdrucken ab. Dazu giebt der Verfasser zwei Methoden an, die aber nach einer kritischen Bemerkung von Geo. Fras. Fitzgerald zu der Arbeit des Verfassers nicht von einander unabhängig sind. Verfasser hält seine Formel für besser fundirt und genauer als alle empirischen Interpolationsformeln. Sie wird ausführlich discutirt und auf viele Substanzen angewendet. Die Uebereinstimmung der gefundenen und berechneten Dampfdrucke ist nur in der Nähe von T_0 und der zur Berechnung von $c - c_1$ und r_0 benutzten Temperaturen gut. Die berechneten Werthe von $c - c_1$ und r_0 stimmen mit den calorimetrisch gefundenen meist nicht sehr gut. W. A. R.

Sydney Young. Der Einfluss der relativen Volumina von Flüssigkeit und Dampf auf den Dampfdruck der Flüssigkeit bei constanter Temperatur¹⁾. — Batelli hatte die Meinung ausgesprochen, dass der Dampfdruck einer reinen Flüssigkeit um so größer ist, je kleiner der Dampfraum ist. Verfasser weist nach, dass eine kleine Menge Luft im Dampfraume oder Schwankungen in der Versuchstemperatur die von Batelli beobachteten und irrig interpretirten Phänomene hervorrufen können. Verfasser hat Versuche mit ganz reinem Isopentan und ganz reinen Heizflüssigkeiten angestellt. Bei 90° schwankte der Dampfdruck nur zwischen 4277 und 4286 mm, wenn das Verhältniss zwischen Dampfraum und Flüssigkeitsraum von 0,2 auf 1,7 stieg. Bei 140° variirte die letztere Gröfse zwischen 0,02 und 310,0 und die entsprechenden Dampfdrucke waren 11636 und 11632 mm! W. A. R.

Georg W. A. Kahlbaum. Studien über Dampfspannungsmessungen. Erste Abtheilung²⁾. — Es werden die Dampfspannungen der wichtigsten Fettsäuren untersucht. Zwischen den früheren Beobachtungen von Kahlbaum und von Landolt, die nach der dynamischen bezw. der statischen Methode erhalten waren, zeigen sich beträchtliche und regelmäßige Abweichungen der Art, dass mit der dynamischen Methode stets höhere Temperaturen beobachtet wurden. Wenn bei dieser Methode Molekeln aus dem Inneren der Flüssigkeit vergast werden, sind größere

¹⁾ Phil. Mag. [5] 38, 569—572. — ²⁾ Zeitschr. physik. Chem. 13, 14—55; Arch. ph. nat. 31, 49—67, 133—163.

Cohäsionskräfte zu überwinden, als beim alleinigen Verdampfen von der Oberfläche her, so daß der beobachtete Temperaturunterschied erklärlich wäre. Thatsächlich aber findet auch bei der dynamischen Methode Vergasung nur an Oberflächen (Luftblasen und Staubtheilchen im Inneren der Flüssigkeit) statt, so daß praktisch kein Unterschied zwischen den nach beiden Methoden erhaltenen Zahlen bestehen dürfte. Die Richtigkeit dieser Ansicht weist der Verfasser an mehreren Versuchsreihen mit Wasser und Quecksilber nach. Die von Landolt benutzten Säuren waren nicht ganz wasserfrei. Wasser erhöht die Spannung der Säure um so mehr, je größer ihr Molekulargewicht ist (Konowalow) und je niedriger ihre Tension ist. Außerdem befand sich stets etwas Luft in der Vacuumkammer. Beide Fehler traten in geringerem Maße auch bei den statischen Versuchen des Verfassers auf, so daß keine genaue Uebereinstimmung zwischen den nach der dynamischen und den nach der statischen Methode erhaltenen Daten zu erzielen war. Der Verfasser stellt daher die definitiven Messungen nach der dynamischen Methode an. Die Einzelheiten der Versuchsanordnung und das vollständige Versuchsmaterial findet sich in der ausführlichen Publication (Basel, Benno Schwabe's Verlag, 1893) angegeben. In der Zeitschrift sind von S. 33 bis 45 die Resultate für die Normalsäuren bis zur Caprinsäure zusammengestellt, von S. 45 bis 49 die Resultate für die Isosäuren bis zur Isocaprinsäure. Zum Schluss finden sich einige Messungen mit wässriger Ameisen- und Essigsäure und mit molekularen Gemengen verschiedener Säuren. Volta-Dalton's Gesetz hat für die homologen Fettsäuren ebenso wenig Geltung wie für die fetten Alkohole.

W. A. R.

Ulrich Dühring. Prioritätsreclamation gegenüber Herren E. Colot und S. Young, betreffend das Gesetz der correspondirenden Siedetemperaturen¹⁾. — Das von Colot²⁾ aufgestellte Gesetz, daß zwischen den correspondirenden Temperaturen der gesättigten Dämpfe zweier Flüssigkeiten, t und θ , die Beziehung besteht: $t = A\theta + B$, wo A und B Constanten sind, ist bereits 1878 und 1880³⁾ vom Verfasser aufgestellt und ausführlicher an den vorliegenden Experimentaldaten verificirt worden. Eine ähnliche Reclamation ist bereits 1880 de Mondesir gegenüber nothig gewesen. S. Young halt⁴⁾ eine seiner 1855 zusammen mit Ramsay aufgestellten Annäherungsformeln für besser (und

¹⁾ Zeitschr. physik. Chem. 13, 492—499. — ²⁾ JB. f. 1892, S. 174. —

³⁾ Ann. Phys. 11, 161. — ⁴⁾ Zeitschr. physik. Chem. 11, 285.

älter) als die Formulirung von Colot (bezw. von Dühring), doch sind Young's Constanten weniger constant als die nach der Formel des Verfassers berechneten. Schwanken die vom Verfasser berechneten „Constanten“ stark und unregelmäßig, so sind die Beobachtungsreihen ungenau; haben die Schwankungen den Charakter von Differenzen zweiter Ordnung, so wird das Gesetz durch sie nicht tangirt. Eine absolute Constanz der „specificischen Factoren“ (A in obiger Formel) innerhalb weiter Druckintervalle oberhalb und unterhalb der Schmelztemperatur kann nicht erwartet werden.

W. A. R.

Ulrich Dühring. Reclamation, betreffend eine Veröffentlichung Herrn Colot's¹⁾. — Siehe vorstehendes Referat. W. A. R.

Ulrich Dühring. Vertheidigung der ursprünglichen Fassung des Gesetzes der correspondirenden Siedetemperaturen gegenüber Herrn S. Young²⁾. — Ausführlicher als die Arbeit in der Zeitschrift für physikalische Chemie. Zum Schluss giebt der Verfasser ausführliche Tabellen, in denen er die correspondirenden Siedetemperaturen von Wasser einerseits und Chlor, Schwefel, Stickstoff, Quecksilber, Stickoxydul, Kohlensäure, Schwefelkohlenstoff, Cyanchlorid, Methylchlorid, Aether, Essigsäure, Aethylacetat, Propylalkohol, Aceton und Fluorbenzol andererseits zusammenstellt und zeigt, daß die Formulirungen von Young weniger gut als seine eigene, ältere Formel sind.

W. A. R.

Georg W. A. Kahlbaum und C. G. v. Wirkner. Zur Prüfung von Herrn Dühring's Gesetz der correspondirenden Siedetemperaturen³⁾. — Sind T und ϑ die Siedepunkte einer Substanz bei zwei Drucken und T' und ϑ' die Siedepunkte einer anderen Substanz bei denselben Drucken, so sollte nach Dühring:

$$\frac{T - \vartheta}{T' - \vartheta'} = q = \text{Konst.}$$

sein. Schwanken die Constanten unregelmäßig, so sollen die Beobachtungen fehlerhaft sein. Die Verfasser prüfen das Gesetz an fünf Flüssigkeitspaaren, deren Dampfdrucke sie in mehreren unabhängigen Versuchsreihen mit großer Genauigkeit bestimmt haben. Nur bei Brombenzol-Benzol sind die specificischen Factoren annähernd constant, bei Benzylalkohol-Aethylalkohol schwanken sie zwischen 1.74 und 1.42. Berechnet man aus dem Gesetz die Siedetemperaturen, so findet man gegen die Beobachtungen Differenzen bis zu 8°. Die Uebereinstimmung wird nicht besser, wenn man

¹⁾ Ann. Phys. 51, 223—224. — ²⁾ Dasselbst 52, 556—588. — ³⁾ Ber. 27, 1891—1902.

als Normalsubstanz, auf welche man alle anderen bezieht, das Wasser wählt. Das Dühring'sche Gesetz ist also kein allgemein gültiges Naturgesetz, kann aber in einzelnen Fällen als Interpolationsformel benutzt werden. W. A. R.

Ulrich Dühring. Zur Wahrung der Allgemeingültigkeit des Gesetzes der correspondirenden Siedetemperaturen gegenüber den Herren Kahlbaum und v. Wirkner¹⁾. — Die Ungültigkeit des Gesetzes läßt sich nicht mit so wenig Material beweisen, wie Kahlbaum und v. Wirkner beigebracht haben; die von ihnen in Betracht gezogenen Druckdifferenzen (50 mm) sind so gering, daß schon die unausbleiblichen Versuchsfehler ein starkes Schwanken der specifischen Factoren hervorrufen können. Absolute Constanz der specifischen Factoren ist nicht zu erwarten; aber wenn $\frac{dq}{dt} > 0,001$

ist, so liegen Experimentalfehler vor. Die für niedrige Drucke angegebenen Siedepunkte sind bei Kahlbaum und v. Wirkner nicht die normalen Siedepunkte, sondern „Kochpunkte“ überhitzter, durch Luft verunreinigter Flüssigkeiten. W. A. R.

Georg W. A. Kahlbaum und C. G. v. Wirkner. Das Gesetz der correspondirenden Siedetemperaturen; Herrn U. Dühring zur Antwort²⁾. — Wenn das Gesetz $\frac{t-s}{t_1-s_1} = \text{const.}$ streng gilt, müssen sich die Siedepunkte einer Substanz, deren Siedepunkte man für zwei Drucke kennt, aus den Siedepunkten zweier anderer Flüssigkeiten unter sich und mit der Beobachtung übereinstimmend berechnen lassen. Die Verfasser nehmen die Siedepunkte der normalen Fettsäuren bis zur Caprinsäure bei 15 und 760 mm, die des Wassers und der Propionsäure bei allen Drucken zwischen 10 und 50 mm als gegeben an. Die aus den Daten für Wasser beobachteten Siedepunkte der Säuren weichen von den gefundenen Werthen im Durchschnitt um 0,9° ab, die aus den Daten für Propionsäure gefundenen um 0,3°. Aus der Kleinheit der letzteren Differenz folgt, daß Dühring's Bedenken gegen die Zahlen der Verfasser unbegründet sind. In manchen Fällen ist also das Dühring'sche Gesetz als Interpolationsformel zu verwenden, wenn die zu vergleichenden Substanzen chemisch verwandt sind, aber nicht immer; z. B. lassen sich die Siedepunkte von Aethylanilin aus denen von Wasser genauer berechnen als aus denen von Anilin! Wäre das Gesetz allgemein gültig, so müßten auch die aus den Differenzen von 50 mm berechneten specifischen Factoren constant sein. W. A. R.

¹⁾ Ber. 27. 3025—3035. — ²⁾ Daselbst, S. 3366—3373.

F. R. Barrell, G. L. Thomas und Sydney Young. Ueber die Trennung von drei Flüssigkeiten durch fractionirte Destillation¹⁾. — Für die fractionirte Destillation zweier Flüssigkeiten

gilt nach Brown angenähert folgende Regel: $\frac{x_1}{x_2} = c \frac{W_1}{W_2}$, wo

W_1 und W_2 die relativen Mengen der beiden Flüssigkeiten im Kolben, x_1 und x_2 die relativen Mengen im Dampf und in der Vorlage bedeuten. Die Constante c ist approximativ der mittlere Werth des Verhältnisses der beiden Dampfdrucke. Die Verfasser stellen eine analoge Regel für drei Substanzen (A , B , C) auf und discutiren sie. Sie zeigen durch Diagramme an einem einfachen Beispiel, wie sich die drei Substanzen in den Destillaten vertheilen und wie schwer es ist, die mittlere Fraction rein zu erhalten. Das letztere kann man nur dadurch bewerkstelligen, daß man die ersten Fractionen, die wenig C enthalten, in zahlreiche Unterfractionen zerlegt, die einzeln behandelt werden. Ebenso unterwirft man die mittleren Fractionen des bei der ersten vorläufigen Trennung am höchsten siedenden Antheils, die wenig A enthalten, einer gesonderten Bearbeitung, so daß die resultirende Menge B aus zwei verschiedenen Versuchsreihen gewonnen wird. Die Verfasser führen eine Versuchsreihe mit Methyl-, Aethyl- und Propylacetat durch; sie geben ganz ausführlich Siedepunkte und Menge der Destillate an. Sie gewinnen etwa 50 Proc. des Methyl- und Aethyl- und 70 Proc. des Propylacetates zurück. Die Reinheit der Produkte wird durch Bestimmung des specifischen Gewichtes bewiesen.

W. A. R.

Alfred Wanklyn und W. J. Cooper. Die Methode der fractionirten Destillation, an der Untersuchung des raffinierten russischen Petroleums (Kerosin) erläutert²⁾. — Das Kerosin besteht aus Kohlenwasserstoffen von der Formel C_nH_{2n} , Isomeren der Olefine. Bei schneller Destillation geht nichts unterhalb 170° über, zwei Drittel zwischen 170 und 250°. Trotzdem besteht über ein Fünftel des Kerosins aus Kohlenwasserstoffen mit einem Siedepunkt unter 170°. Durch systematische Fractionirung isoliren die Verfasser 24 unterhalb 260° siedende Substanzen, von denen mehrere genauer untersucht werden. Von den beiden flüchtigsten, bei 77 und 87° siedenden Körpern abgesehen, sind alle etwa in der gleichen Menge vorhanden. Die Differenz der Siedepunkte zweier Nachbarn beträgt bis 190° etwa 10° und wird dann kleiner. Die Verfasser bestimmen die Dampfdichten (auf Luft bezogen).

¹⁾ Phil. Mag [5] 37, 8—38. — ²⁾ Daselbst, S. 495—499.

Die Differenzen sind im Durchschnitt 0,24; das würde einem Zuwachs des Molekulargewichtes von $\frac{\text{CH}_2}{2}$ entsprechen. Die Verfasser schliessen daher, dass das Atomgewicht des Kohlenstoffs nicht 12, sondern 6 ist!! W. A. R.

James Walker. Die Siedepunkte homologer Verbindungen. I. Theil. Einfache und gemischte Aether¹⁾. — Die Formel $T = aM^b$ giebt in vielen Fällen die absoluten Siedetemperaturen bei Atmosphärendruck T der Glieder einer homologen Reihe wieder, wo M das Molekulargewicht, a und b Constanten sind. a und b gelten nur für eine homologe Reihe, ändern sich aber meist beim Uebergang zu einer anderen nicht sehr stark. Nur die Werthe für die Methyläther fallen aus dem Zusammenhang heraus. Ihr Siedepunkt liegt durchweg höher, als die Formel angiebt; auch der Dimethyläther ordnet sich in die Reihe der einfachen Aether schlecht ein. Bei den aliphatischen Aethern ist die Uebereinstimmung mit der Formel besser als bei den aromatischen; auch bei diesen sind die Methyläther anomal. Die Formeln sind bis zu den Octyläthern geprüft. Mit steigendem Molekulargewicht nehmen in den aliphatischen Reihen die Werthe von a zu, die von b ab, in den aromatischen Reihen umgekehrt. Die isomeren Xylyläther haben verschiedene Constanten. b schwankt um 0,5 herum, wie folgende Zahlen zeigen:

	a	b
Reihe der Aethyläther	30,42	0,537
„ „ Butyläther	32,68	0,522
„ „ Phenyläther	57,60	0,425
„ „ Orthoxylyläther	53,22	0,438
„ „ Paraxylyläther	54,96	0,434

Man könnte die Formel auch $\frac{dT}{T} = b \frac{dM}{M}$ schreiben; für zwei Glieder seiner homologen Reihe gilt:

$$\frac{\log \frac{T_1}{T_2}}{\log \frac{M_1}{M_2}} = b.$$

W. A. R.

James Walker. Die Siedepunkte homologer Verbindungen. Zweiter Theil²⁾. — Die Formel $T = aM^b$ gilt für die höheren Glieder folgender Reihen, soweit Beobachtungen vorliegen: die normalen Fettsäuren, ihre Paraffinester, die normalen Paraffine,

¹⁾ Chem. Soc. J. 65, 193—202. — ²⁾ Daselbst, S. 725—734.

die Alkylchloride und Amine, die Ketone und Aldehyde, die Nitrile der Fettsäuren. Bei den Alkoholen sind die Glieder bis zum Amylalkohol anomal, wegen des wechselnden Assoziationsgrades. Bei den normalen Paraffinen gilt das Gesetz erst vom siebenten Gliede an streng, dann aber auch für alle Drucke. b ist 0,5, die Curve ist also eine Parabel. Auch in anderen Reihen ist b vom Druck unabhängig, die Werthe von a ändern sich für gleiche Druckänderungen bei analogen Reihen nur wenig. Also ist das Verhältniß der absoluten Siedepunkte bei beliebigen Drucken für alle Glieder einer homologen Reihe constant, ein Gesetz, das schon Ramsay und Young früher in ähnlicher Fassung ausgesprochen haben. In der Esterreihe sind die Werthe von b für die Methyl-, Aethyl- und Propylester gleich, die von a nur wenig verschieden; die isomeren Ester (Propylpropionat und Aethylbutyrat z. B.) haben fast denselben Siedepunkt. W. A. R.

Georg Cohn. Regelmäßigkeiten von Siede- und Schmelzpunkten¹⁾. — Die Siedepunkte zweier benachbarter aliphatischer Orthodiketone mit normalen Alkylen unterscheiden sich um 20,2°; enthalten sie die Isopropylgruppe, so ist die Differenz 23,8°. Die Siedepunkte von Fettsäuren und Orthodiketon liegen bei normalen Verbindungen um 32,5° aus einander, bei Isoverbindungen um 37,7°. Entsteht aus zwei Säuren mit primären Alkylen unter Kohlensäureaustritt ein Keton, so liegt sein Siedepunkt 178,2° unter der Summe der Siedepunkte der Säuren. Enthalten die Säuren tertiäre Alkyle oder einen Tetramethylenring, so ist die Differenz 173°. Für Körper mit secundären Alkylen laßt sich nichts Sicheres aussagen; für ungesättigte Ketone gilt die Zahl 173°. Für die Aldehyde lassen sich entsprechende, einfache Regeln nicht aufstellen. Die Siedepunkte von Säure und Aldehyd unterscheiden sich nicht, wie Marckwald 1888 annahm, constant um 100°, sondern die Differenz wächst mit dem Molekulargewicht, ist aber für isomere Säuren und Aldehyde dieselbe. Die Art, auf welche N. Nowitzky²⁾ 1885 Siedepunktsregelmäßigkeiten herausgerechnet hat, wird als sinnlos und rein mechanisch bezeichnet. Die primären Amine zeigen fast dieselbe Siedepunktsdifferenz (26,5°) wie die Aldehyde, und die Siedepunkte entsprechender Körper liegen sich sehr nahe. Die Alkyle können primär, secundär oder ungesättigt sein. Die Siedepunktsdifferenz für die secundären Amine ist 50,9°, für die Diamine 20,7°, für die Homologen des Anilins 11°, für die Pyridinbasen 20,8°. Zu den öfters

¹⁾ J. pr. Chem. 50. 38—57. — ²⁾ Ber. 20. 1948—1955.

höheres f weist daher stets auf Association hin, ein normales nicht notwendig auf Fehlen von Association. W. A. R.

Philippe A. Guye. Ueber die kritische Dichte¹⁾. — Nach van der Waals' Theorie sollte kritische Dichte: Theoretische

Dichte $= \frac{8}{3(1+a)(1-b)}$ sein, also wenn $(1+a)(1-b) = 1$ gesetzt wird. — 2,67. Man hat für normale Flüssigkeiten im Mittel 3,85 gefunden. Nach Heilborn und O. E. Meyer multipliziert man den van der Waals'schen Quotienten mit $\sqrt{2}$ multipliciren, wodurch er zu 3,77 wird, in Uebereinstimmung mit dem Experiment. Da $(1+a)(1-b)$ nicht für alle Substanzen denselben Werth hat und im Allgemeinen 1 bis 2 Proc. unter 1 bleibt, kann man nicht für alle Substanzen denselben theoretischen

Werth von $\frac{D_c}{D}$ erwarten; der Werth kann schwanken und etwas höher sein. W. A. R.

Philippe A. Guye. Ueber die Formel von van der Waals:

$\log p = \log p - f \frac{T_c}{T} - f^2$. — Die (empirische) Formel führt auch für die normalen Flüssigkeiten nicht zu wirklich constanten Werthen von f . Die Werthe schwanken für jede einzelne Versuchssreihe mit der Temperatur und schwanken von Körper zu Körper, theils weil die Werthe für p_c und T_c nicht ganz sicher sind, theils weil die Dampfdrucke für niedrige Temperaturen ungenau bestimmt sind. Für polymerisirte Körper hingegen nehmen die Werthe von f mit der Temperatur ab und sind wesentlich höher als der Durchschnitt für normale Substanzen (3,06). Als obere Grenze für die nicht associirten Körper kann man 3,2 annehmen. W. A. R.

Ph. A. Guye. Bestimmung des Molekulargewichtes von Flüssigkeiten²⁾. — Berechnet man die Molekularrefraction einer Flüssigkeit aus dem Coefficienten A der Cauchy'schen Dispersionsformel, so ist für normale Flüssigkeiten:

$$\frac{\text{Molekularrefraction} \cdot \text{kritischem Druck}}{\text{kritische Temperatur}} = 1,8.$$

Für die von Jahn und Landolt³⁾ auf das Brechungsvermögen, von Altschul⁴⁾ auf die kritischen Daten untersuchten Kohlenwasserstoffe liegt der obige Coefficient zwischen 1,7 und 2,1. Also

¹⁾ Arch. ph. nat. 31, 176—180. ²⁾ Dasselbst, S. 463—480. — ³⁾ Compt. rend. 119, 852—854. — ⁴⁾ JB. f. 1892, S. 473. — ⁵⁾ JB. f. 1893, S. 25

größer ist als der Durchschnitt (3,85 nach Young und Thomas), so sind im kritischen Zustande associirte Molekeln vorhanden, also auch unter gewöhnlichen Bedingungen. Das Verhältniß ist für Methylalkohol 4,52, für Aethyl- und Propylalkohol 4,02, für Essigsäure 5,00; umgekehrt aber kann ein bei gewöhnlicher Temperatur associirter Körper bei der kritischen Temperatur normal sein. 2. Nach Cailletet und Matthias ist für sehr viele Substanzen das Mittel zwischen den Dichten von Flüssigkeit und zugehörigem Dampf eine lineare Function der Temperatur (Gesetz vom geraden Durchmesser). Für Substanzen mit associirten Flüssigkeitsmolekeln krümmt sich der Durchmesser bei tiefen Temperaturen der Temperaturaxe zu (Wasser, Methyl-, Aethyl- und Propylalkohol). Wenn eine Substanz auch im Dampfzustande polymerisirt ist, wie die Essigsäure, kann der Durchmesser geradlinig sein. Die schwache Krümmung, die für viele Substanzen bei tiefen Temperaturen beobachtet ist, weist auch darauf hin, daß eine geringe Association bei tiefen Temperaturen (in vielen Fällen) eintritt. 3. Wenn eine Substanz im flüssigen Zustande stärker polymerisirt ist als im gasförmigen, setzt sich die Verdampfungswärme aus der Dissociationsarbeit und der wirklichen Verdampfungsarbeit zusammen, kann also, als Function von zwei unabhängigen Variablen, durch ein Maximum gehen. Ein Maximum ist z. B. für Alkohol und Essigsäure beobachtet worden. 4. In dem Dampfdruck-Temperaturdiagramm schneiden sich die zu verschiedenen Substanzen gehörenden Linien für gewöhnlich nicht. Für eine associirte Substanz gehören aber, wenn beim Erwärmen Dissociation eintritt, die Enden der Curven quasi verschiedenen Körpern an; die Curven sind anormal und schneiden sich unter einander und mit den zu normalen Substanzen gehörigen Curven. Ein bei Erwärmung stark dissociirender Körper (Aethyl-Propylalkohol) wird mehr Schnittpunkte geben als ein Körper, der auch im kritischen Zustande partiell associirt ist (Methylalkohol, Essigsäure). — Bedeutet p den Dampfdruck bei der absoluten Temperatur, T , p_c den kritischen Druck, T_c die kritische Temperatur, so ist nach van der Waals $\log \frac{p_c}{p} = f \frac{T_c - T}{T}$, wo die Constante f den Werth 3 haben soll. Nach den Daten von Ramsay, Young und Thomas findet man für normale Körper im Mittel 3,06, für polymerisirte ergeben sich höhere Werthe, für Wasser findet man den normalen Werth; in der Formel $f = \frac{(\log p_c - \log p) T}{(T_c - T)}$ können sich die beiden Klammerausdrücke compensiren. Ein zu

hohes f weist daher stets auf Association hin, ein normales nicht nothwendig auf Fehlen von Association. W. A. R.

Philippe A. Guye. Ueber die kritische Dichte¹⁾. — Nach van der Waals' Theorie sollte kritische Dichte: Theoretische

Dichte $= \frac{8}{3(1+a)(1-b)}$ sein, also wenn $(1+a)(1-b) = 1$ gesetzt wird, $= 2.67$. Man hat für normale Flüssigkeiten im Mittel 3.85 gefunden. Nach Heilborn und O. E. Meyer muß man den van der Waals'schen Quotienten mit 1.2 multipliciren, wodurch er zu 3.77 wird, in Uebereinstimmung mit dem Experiment. Da $(1+a)(1-b)$ nicht für alle Substanzen denselben Werth hat und im Allgemeinen 1 bis 2 Proc. unter 1 bleibt, kann man nicht für alle Substanzen denselben theoretischen Werth von $\frac{D_c}{D}$ erwarten; der Werth kann schwanken und etwas höher sein. W. A. R.

Philippe A. Guye. Ueber die Formel von van der Waals: $\log p = \log p - f \frac{T_c}{T} - f^2$. — Die (empirische) Formel führt auch für die normalen Flüssigkeiten nicht zu wirklich constanten Werthen von f . Die Werthe schwanken für jede einzelne Versuchreihe mit der Temperatur und schwanken von Körper zu Körper, theils weil die Werthe für p und T_c nicht ganz sicher sind, theils weil die Dampfdrucke für niedrige Temperaturen ungenau bestimmt sind. Für polymerisirte Körper hingegen nehmen die Werthe von f mit der Temperatur ab und sind wesentlich höher als der Durchschnitt für normale Substanzen (3.06). Als obere Grenze für die nicht associirten Körper kann man 3.2 annehmen. W. A. R.

Ph. A. Guye. Bestimmung des Molekulargewichtes von Flüssigkeiten²⁾. — Berechnet man die Molekularrefraction einer Flüssigkeit aus dem Coefficienten A der Cauchy'schen Dispersionsformel, so ist für normale Flüssigkeiten:

$$\frac{\text{Molekularrefraction}}{\text{kritischem Druck}} = \frac{\text{kritische Temperatur}}{\text{kritische Dichte}} = 1.8.$$

Für die von Jahn und Landolt³⁾ auf das Brechungsvermögen, von Altschul⁴⁾ auf die kritischen Daten untersuchten Kohlenwasserstoffe liegt der obige Coefficient zwischen 1.7 und 2.1. Also

¹⁾ Arch. ph. nat. 31, 176—180. — ²⁾ Dasselbst. S. 463—480. — ³⁾ Compt. rend. 119, 852—854. — ⁴⁾ JB. f. 1892, S. 473. — ⁵⁾ JB. f. 1892, S. 25.

ist ihr Molekulargewicht im Gaszustande und im kritischen Zustande identisch. Nach van der Waals ist:

$$\frac{\log p_c}{T_c} - \frac{\log p}{T} \quad T = 2,8 \text{ bis } 3,2,$$

für associirte Flüssigkeiten geht der Werth bis 4,1 hinauf. Für die erwähnten Kohlenwasserstoffe berechnet sich 2,85 bis 3,31; sie sind also normal. Für das Benzol und das Normaloctan waren Ramsay und Shields¹⁾ nach ihrer ganz verschiedenen Methode zu demselben Schlufs gekommen. *W. A. R.*

H. Pellat. Aenderung der Oberflächenspannung mit der Temperatur²⁾. — Verfasser betrachtet eine Flüssigkeit, die bei jeder Temperatur unter dem Druck ihres gesättigten Dampfes steht. Um ihre freie Oberfläche bei constanter Temperatur zu vergrößern, muß man ihr Wärme zuführen. Es sei vorausgesetzt, daß der Vorgang reversibel ist. Ist die specifische Wärme der Flüssigkeit an der Oberfläche und im Inneren gleich, so läßt sich leicht ableiten, daß die Oberflächenspannung eine lineare Function der absoluten Temperatur ist, wie Ramsay und Shields bei den meisten Flüssigkeiten gefunden haben. Ist das nicht der Fall, bleibt aber die specifische Wärme durch die gesammte Flüssigkeit constant, so ist der Vorgang nicht mehr reversibel, d. h. nicht mehr allein von Temperatur und Oberflächenspannung abhängig. Es müssen sich chemische Reactionen oder Molekulargewichtsänderungen abspielen. *W. A. R.*

W. Ramsay. Die Complexität und Dissociation von Flüssigkeitsmolekeln³⁾. — Verfasser referirt ausführlich über die vorstehenden Arbeiten von Ph. A. Guye⁴⁾ und fügt zu den dort zusammengestellten Kriterien für die Complexität mancher Flüssigkeitsmolekeln folgende hinzu: Das Verhältniß des Volumens des gesättigten Dampfes beim kritischen Druck zu demjenigen bei einem beliebigen anderen Druck ist anomal; die associirten Stoffe haben bei allen Drucken besonders große Verdampfungswärmen; bei der Verdampfung ist die Gesamtarbeit ein größeres Vielfaches von der äußeren Arbeit als sonst. — Bedeutet x den Associationsfactor ($x > 1$), so gilt für alle Flüssigkeiten

$$\frac{d\gamma(Mvx)^{2/3}}{dt} = x = 2,121;$$

¹⁾ JB. f. 1893, S. 37. — ²⁾ Compt. rend. 118, 1193—1196. — ³⁾ Zeitschr. physik. Chem. 15, 106—116; Proc. Roy. Soc. 56, 171—182. — ⁴⁾ Dieser JB., S. 33—36.

$d(\frac{\gamma}{T})$ war früher als constant angenommen worden. Es resultirten in Folge dessen zu hohe Associationsfactoren. Die empirische Gleichung:

$$\gamma(Mv)^{\frac{1}{2}} = \frac{x(\tau - d)}{1 + \mu\tau}$$

wo μ ein constanter, kleiner, positiver Bruch ist, schließt sich den Beobachtungen gut an. Aus beiden Gleichungen folgt:

$$x = \left[\frac{2,121}{x} (1 + \mu\tau) \right]^{\frac{1}{2}}$$

wo berechnen sich folgende Werthe für x :

H ₂ O		CH ₃ OH		C ₂ H ₅ OH		CH ₃ COOH	
Temperatur	x	Temperatur	x	Temperatur	x	Temperatur	x
0°	1,71	90°	2,65	— 90°	2,03	+ 20°	2,13
20	1,64	+ 20	2,32	+ 20	1,65	+ 40	2,06
40	1,58	+ 70	2,17	+ 60	1,52	+ 60	1,99
60	1,52	+ 110	2,06	+ 80	1,46	+ 100	1,86
80	1,46	+ 170	1,89	+ 100	1,39	+ 140	1,72
100	1,41	+ 200	1,81	+ 140	1,27	+ 180	1,59
120	1,35	+ 220	1,75	+ 180	1,15	+ 220	1,47
140	1,29			+ 210	1,06	+ 260	1,35
				+ 230	1,00	+ 280	1,30

Der Verfasser macht zum Schluss einige Bemerkungen zu der Arbeit von van der Waals¹⁾: Ueber die thermodynamische Theorie der Capillarität unter Voraussetzung stetiger Dichteänderung. Die von van der Waals vorgeschlagene Gleichung für den Associationsfactor gilt für Wasser nicht, dagegen gilt die für die Oberflächenspannung γ aufgestellte Gleichung innerhalb sehr weiter Grenzen. Zwei ziemlich unerhebliche Ausstellungen an der Arbeitsmethode von Ramsay sind gegenstandslos. W. A. R.

E. Aston und W. Ramsay. Die Molekularformeln einiger Flüssigkeiten nach ihrer Oberflächenspannung berechnet²⁾. — Die Verfasser haben die von Ramsay und Shields ausgearbeitete Methode zur Bestimmung von Molekulargewichten aus den Oberflächenspannungen bei verschiedenen Temperaturen experimentell geprüft. Phenol zeigt, wie bei seinem alkoholischen Charakter zu erwarten war, eine deutlich ausgeprägte Association. Zwischen 40 bis 78° betrug das aus der Oberflächenspannung berechnete Molekulargewicht 133,5, während Phenol im Gaszustande 94 zeigt.

¹⁾ Zeitschr. physik. Chem. 13, 657—725. — ²⁾ Chem. News 79, 57—58.

Brom entspricht zwischen 10,6 bis 46° nicht genau der Formel Br_2 , sondern man findet statt der Zahl 160 den Werth 202,8. Salpetersäure (Mol.-Gew. 63) zeigt zwischen 11,6 bis 46,2° das Molekulargewicht 105,9, eine Zahl, die sich der Formel $\text{H}_2\text{N}_2\text{O}_4$ nähert. Ganz abweichend und überraschend ist der sehr hohe Werth für H_2SO_4 ; bei 132,5° ist das Molekül nahezu das 32fache, bei höherer Temperatur tritt schnell Dissociation ein, so daß zwischen 227 bis 281° das Molekül nur noch 2,8 mal so groß zu sein scheint, als der Formel H_2SO_4 entspricht. Phosphor besitzt im flüssigen Zustande dieselbe Dichte wie im gasförmigen. Auch Chlorpikrin gab normale Dichten. In der Discussion hält es Pickering für sehr wahrscheinlich, daß der Werth 32 für die Schwefelsäure noch etwas zu gering ist, seine eigenen Versuche über die Dichten deuten auf die Formel $(36\text{H}_2\text{SO}_4)$ hin. Ramsay hält es für möglich, daß sein Werth um einige Grade zu hoch oder zu niedrig gefunden ist. Rodger hält die Methode, die auf die theoretischen Anschauungen von Eötvös aufgebaut ist, für nicht genügend begründet, um solche Schlüsse auf die Complexität der Substanzen zu ziehen.

Mr.

Emily Aston und William Ramsay. Die Molekularformeln einiger Flüssigkeiten aus ihrer molekularen Oberflächenenergie bestimmt ¹⁾. — Die Verfasser vernachlässigen bei der Berechnung die Aenderung des Associationsgrades mit der Temperatur. Sie finden folgende Werthe für den Associationsgrad:

Phenol	46 bis 78°	1,42	H_2SO_4	10 bis 46°	32,3
"	78 " 132	1,35	"	46 " 79	
"	132 " 184	1,18	"	79 " 133	
Brom	11 " 46	1,267	"	133 " 185	19,1
"	46 " 78	1,154	"	185 " 238	6,7
HNO_3	12 " 46	1,681	"	238 " 281	2,8
"	46 " 78	1,864	Phosphor	78 " 132	0,94

Die Molekularformel ist also P_4 . Phenol verhält sich den niederen aliphatischen Alkoholen analog. Der enormen Association der concentrirten Schwefelsäure ($\text{H}_2\text{SO}_4 + 12\text{H}_2\text{O}$) entspricht das Fehlen jeder Dampfspannung und die Existenz complexer Sulfate. Die rapide Abnahme des Molekulargewichts oberhalb 138° ist wahrscheinlich zum Theil durch Dissociation in Anhydrid und Wasser bedingt. Die interessante Anordnung der Versuche mit Phosphor muß im Original eingesehen werden.

W. A. R.

¹⁾ Chem. Soc. J. 65, 167—173

W. Ramsay und Emily Aston. Die molekulare Oberflächenenergie der Ester und ihre Aenderung mit der chemischen Constitution¹⁾. — Ist $\gamma(Mr)^{1/3}$ die molekulare Oberflächenenergie, r die von der kritischen Temperatur abwärts gemessene Temperatur, k eine constante Zahl, d eine constante Temperatur, so gilt die Gleichung $\gamma(Mr)^{1/3} = k(r - d)$. Die Verfasser finden folgende Werthe:

	Kritische Temperatur	k	d
Methylformiat	211.0 ²⁾	2,042	5,9 ^o
Methylacetat	233.7	2,109	1,5
Methylpropionat	257.1	2,182	5,3
Methylbutyrat	281.3	2,220	3,8
Methylisobutyrat	267.8	2,248	5,3
Aethylformiat	235.4	2,020	4,5
Aethylacetat	251.0	2,226	6,7
Aethylpropionat	272.9	2,240	4,9
Propylformiat	264.9	2,110	4,9
Propylacetat	276.2	2,227	5,0

Mit fortschreitendem Molekulargewicht des Säureradicals wächst k . Bei Temperaturen von gleicher molekularer Oberflächenenergie ist die Uebereinstimmung zwischen dem Molekularvolumen von Isomeren ähnlich wie bei ihren Siedepunkten. Für nicht isomere Körper sind die molekularen Oberflächenenergien bei correspondirenden Drucken nicht vergleichbar. Die flüssigen Ester haben sämmtlich dasselbe Molekulargewicht wie im Gaszustande, da ihre molekulare Oberflächenenergie eine lineare Function der Temperatur ist. Die diesem Schlusse zu Grunde liegende Annahme ist eine Hypothese, die aber ebenso wahrscheinlich ist wie diejenige, welche zur Annahme der für die Gase gebräuchlichen Molekulargewichte geführt hat.

W. A. R.

W. Ramsay und Emily Aston. Die molekulare Oberflächenenergie von Mischungen sich nicht associirender Flüssigkeiten²⁾. — Die Verfasser untersuchen, ob sich nicht associirte Flüssigkeiten beim Mischen in Bezug auf ihre Oberflächenenergie beeinflussen. Es werden vier Flüssigkeitspaare von ungefähr dem gleichen Siedepunkte, aber verschiedener Constitution untersucht: 1. Fehol und Piperidin, 2. Benzol und Tetrachlorkohlenstoff,

¹⁾ Zeitschr. physik. Chem. 15, 98—105; Proc. Roy. Soc. 56, 162—170.

²⁾ Zeitschr. physik. Chem. 15, 89—97; Proc. Roy. Soc. 56, 182—191.

3. Chlorbenzol und Aethylen dibromid, 4. Schwefelkohlenstoff und Chloroform. Das letzte Paar scheidet aus der Betrachtung aus, weil der Schwefelkohlenstoff nach der bei dieser Gelegenheit wiederholten Untersuchung bei niederen Temperaturen etwas associirt zu sein scheint. Bei Paar 1. sind die beobachteten Steighöhen bei allen Temperaturen und Mischungsverhältnissen das Mittel aus den Werthen der Componenten, ebenso die Oberflächenspannung und die molekularen Oberflächenenergien. Aus deren Temperaturcoefficienten läßt sich das mittlere Molekulargewicht richtig berechnen. Bei Paar 2. sind die Steighöhen für die Componenten sehr verschieden, die Werthe für die Mischung weichen daher von den Mitteln aus den Werthen der Componenten ab, aber die Oberflächenspannungen, die molekularen Oberflächenenergien und das mittlere Molekulargewicht bleiben durch das Mischen unbeeinflusst. Bei dem dritten Paar erhöhen sich die Oberflächenspannungen und die molekularen Oberflächenenergien gegenüber den aus der Mischungsregel berechneten Werthen; aber die Temperaturecoefficienten für die molekulare Oberflächenenergie sind fast normal, so daß sich das richtige mittlere Molekulargewicht berechnet. Die Verfasser halten daher die früher bei der Berechnung des Associationsfactors gemachte Voraussetzung, daß sich das mittlere Molekulargewicht eines Stoffes aus dem Temperaturecoefficienten der molekularen Oberflächenenergie einer Mischung verschiedener Molekeln, in diesem Fall associirter und nicht associirter, berechnen läßt, für begründet. *W. A. R.*

William Sutherland. Die Anziehung ungleicher Moleküle. II. Die Oberflächenspannung gemischter Flüssigkeiten¹⁾. — Verfasser hat früher abgeleitet, daß die Oberflächenspannung proportional der Anziehung der Molekeln, dem Quadrat der Dichte und dem mittleren Molekularabstand ist. Durch Ausdehnung des Satzes auf ein ohne Contraction entstehendes Flüssigkeitsgemisch erhält der Verfasser eine langathmige Gleichung, die er an der Hand eigener Bestimmung und älterer Werthe von Traube und Rodenbeck prüft. Er setzt die Anziehung von ungleichartigen Molekeln A_2 , wie in der vorigen Abhandlung, gleich dem geometrischen Mittel aus A_1 und ${}_2A_1$. Verfasser stellt seine eigenen Versuche in schräggestellten Capillarrohren an. Das Rohr wird geneigt, bis der Meniscus eine bestimmte Marke erreicht, und der Neigungswinkel gemessen. Aus den gefundenen und den nach seiner Gleichung berechneten Werthen für die Oberflächenspan-

¹⁾ Phil. Mag. [5] 38, 188—197.

nungen der Gemische berechnet der Verfasser $\frac{A_2}{V_1 A_1 + V_2 A_2}$, und findet thatsächlich bei 24 von 28 Gemischen 0,9 bis 1,1. Auch aus den meisten Versuchen von Traube und Rodenbeck folgt, daß das Verhältniß fast genau gleich 1 ist.

W. A. R.

T. E. Thorpe und J. W. Rodger. Ueber die Beziehung zwischen der inneren Reibung von Flüssigkeiten und ihrer chemischen Natur [Auszug]¹⁾. — Die bisher vorliegenden Untersuchungen sind nicht unter vergleichbaren Bedingungen angestellt. Der Verfasser bestimmt die innere Reibung vieler organischer Flüssigkeiten bei verschiedenen Temperaturen in absolutem Maße. Abgesehen von Wasser und von Alkoholen, welche wegen des hohen Assoziationsgrades ein ganz anomales Verhalten zeigen, läßt sich die Aenderung der inneren Reibung (η) mit der Temperatur gut

durch die Formel von Slotte ausdrücken, $\eta = \frac{c}{1 + \beta t + \gamma t^2}$.

Die Werthe von η für homologe Flüssigkeiten sind bei folgenden Temperaturen vergleichbar: bei den Siedepunkten, bei correspondierenden Temperaturen und bei Temperaturen, für welche $\frac{d\eta}{dt}$

gleiche Werthe hat, „Temperaturen gleicher Neigung“. Diese letzteren sind am geeignetsten. Verfasser berechnet außer η die molekulare Reibung ($\eta \times$ molekulare Oberfläche) und die molekulare Reibungsarbeit ($\eta \times$ Molekulargewicht) und setzt die Werthe aus „fundamentalen Constanten“ für die einzelnen Atome und Bindungsverhältnisse zusammen. Wasser, Alkohole, Dihalogenverbindungen, ungesättigte Kohlenwasserstoffe und die Anfangsglieder homologer Reihen zeigen meistens anomales Verhalten. Sind die Reibungsgrößen von Flüssigkeiten bei zwei Temperaturen gleicher Neigung mit einander vergleichbar, so sind sie es bei allen. Die Reibungsgrößen steigen mit dem Molekulargewicht und sind von der Art der Atomverkettung sehr abhängig; z. B. hat eine Isoverbindung stets einen höheren Coefficienten als die normale. Die Abweichungen von diesen Gesetzmäßigkeiten rühren zum Theil von Molekularaggregationen her, sind aber öfters auch der chemischen Constitution zuzuschreiben.

W. A. R.

J. G. Garvanoff. Ueber die innere Reibung in Oelen und deren Aenderung mit der Temperatur²⁾. — Verfasser bestimmt nach der Poiseuille'schen Methode die innere Reibung von fünf

¹⁾ Zeitschr. physik. Chem. 14, 361–373; Proc. Roy. Soc. 55, 148–159.

²⁾ Wien Akad. Ber. 103. Ha, 873–886.

aromatischen und drei fetten Oelen zwischen 20 und 80° (Citronen-, Bergamotte-, Terpentin-, Nelken- und Kümmelöl); Oliven-, Mandel- und Vaselineöl). Bei höheren Temperaturen arbeitet er in einem Wasserbade mit einer am unteren Ende nach oben gebogenen, in Kugeln endenden Röhre, die er mit den in einer geraden Capillaren erhaltenen Zahlen aicht. Aus dem Aichfactor, der Dichte und der Ausflußzeit berechnet sich dann der Reibungscoefficient für die betreffende Substanz und Temperatur. Verfasser giebt die absoluten und die auf Wasser von 0° bezogenen Werthe von 20 zu 20° an. Die Aenderung der inneren Reibung zwischen 20 und 80° in Procenten des für 20° gefundenen Werthes schwankt zwischen 49 Proc. (Citronenöl) und 92 Proc. (Vaselineöl). W. A. R.

Hans Jahn und Guido Möller. Ueber die dispersionsfreie Molekularrefraction einiger organischer Verbindungen¹⁾. — Die Verfasser bestimmen die Dielektricitätsconstante einiger organischer Chloride und Bromide, einiger Fettsäuren und einiger Gemische von Alkoholen und Xylol bei Zimmertemperatur. Die Methode ist die von Landolt und Jahn angewendete²⁾. Für die Halogenverbindungen werden auch die Brechungsexponenten für H_a , H_v , H_γ und D bestimmt. Die Quadratwurzel aus der Dielektricitätsconstante ist stets erheblich größer als die Constante A in der Cauchy'schen Dispersionsformel; die Substanzen zeigen also durchweg anormale Dispersion. Die Verfasser vergleichen ferner die dispersionsfreie Molekularrefraction $\left(M \cdot \frac{k-1}{k+2} \cdot \frac{1}{\alpha}\right)$ mit der

Molekularrefraction für H_a $\left(M \cdot \frac{\mu_a^2}{\mu_a^2 - 2} \cdot \frac{1}{\alpha}\right)$. Bei isomeren Chloriden sind die Werthe für H_a identisch, diejenigen für unendlich lange Wellen hingegen nicht. Für Chlor- und Bromverbindungen einwerthiger Radicale sind die dispersionsfreien Molekularrefractionen gleich, die für H_a zeigen eine constante Differenz. Bei der Substitution eines Wasserstoffs- durch ein Chlor- oder Bromatom erhöhen sich die Molekularrefractionen für H_a um einen constanten Werth, für die unendlich langen Wellen ist der Zuwachs ganz von der Constitution des Radicals abhängig. Das molekulare Brechungsvermögen der Essigsäure für unendlich lange Wellen zeigt einen abnorm hohen Werth, wohl in Folge des Vorhandenseins von Molekularaggregaten. Die Constanten für Normalbutter- und Propionsäure zeigen etwa dieselbe Differenz, wie sie Landolt und Jahn für die CH_3 -Gruppe in der Paraffinreihe gefunden

¹⁾ Zeitschr. physik. Chem. 13, 385–397. — ²⁾ JB f. 1892, S. 473.

haben. Die Lösungen von Alkoholen in Xylol zeigen bei geringem Alkoholgehalt die aus der Mischungsregel berechneten Brechungsvermögen, für größeren Alkoholgehalt ergaben sich zu hohe Werthe, wohl in Folge von Bildung von Molekularaggregaten. Lösungen von Amylchlorid in Xylol zeigen durchweg zu hohe Werthe. *W. A. R.*

J. de Kowalski. Ueber die Mischbarkeit von Flüssigkeiten¹⁾. — Verfasser will die Theorie von van der Waals prüfen, nach der sich unter genügend hohem Druck alle Flüssigkeiten vermischen können. Ein Gemisch von 95 Isobutylalkohol und 90,5 Wasser, das unter Atmosphärendruck bei 18° homogen wird, zeigt bei 15° noch unter 1000 Atm. Schichtung, ähnlich verhalten sich Aether-Wasser und Anilin-Wassergemische (90 bzw. 96 Proc. Wasser). Ein Gemisch von Wasser, Aethyl- und Isobutylalkohol, das bei Atmosphärendruck bei 22,7° homogen wird, verlangte bei 19,5° einen Druck von etwa 900 Atm.; bei 19,0° genügten 1400 Atm. nicht. Verfasser hält die Existenz einer kritischen Mischungstemperatur für nicht ausgeschlossen. Bei Löslichkeitsversuchen in zugeschmolzenen Röhren verursacht die Drucksteigerung nur eine geringe Löslichkeitszunahme. *W. A. R.*

L. C. de Coppet. Untersuchungen über die Temperatur des Dichtemaximums beim Wasser²⁾. — Verfasser leitet die Temperatur des Dichtemaximums, die direct kaum zu bestimmen ist, aus der Schichtung der verschieden temperirten Lagen des Wassers beim Abkühlen und Erwärmen in der Nähe von 4° ab. Man muß eine Versuchsreihe, bei der das Wasser von 4 — d auf 4 + d erwärmt wird, mit einer anderen verbinden, bei der der Temperaturabfall in der entgegengesetzten Richtung geleitet wird. In ein hermetisch schließendes Glasgefäß, das in einem großen Wasserreservoir steht, sind fünf Thermometer bis zu verschiedenen Tiefen eingetaucht. Die Thermometer stehen symmetrisch zu einander und tragen, um Störungen in der Wärmeleitung auszugleichen, gläserne Fortsetzungen, die bis auf den Boden des Gefäßes reichen. Der Gang der Thermometer wird in regelmäßigen Abständen bei einem Abkühlungs- und einem Erwärmungsversuch abgelesen und die Temperaturen als Functionen der Zeit aufgezeichnet. Die Curven für zwei Thermometer schneiden sich bei jedem Versuch nur einmal. Das Mittel der beiden Schnittpunkte ist die Temperatur des Dichtemaximums (t_m); oder man bestimmt die Temperaturen, bei denen die Curven eine plötzliche Richtungsänderung zeigen, und nimmt das Mittel aus den beim Abkühlen

¹⁾ Compt. rend. 119, 512–513. — ²⁾ Ann. chim. phys. [7] 3. 246–268

und den beim Erwärmen erhaltenen Temperaturen. Stets findet man beim Abkühlen zu hohe, beim Erwärmen zu niedrige Werthe für t_m , die für die Thermometer je nach ihrem Standort verschieden sind. Die Mittel sind aber fast identisch, wie folgendes Beispiel zeigt:

Schnittpunkte der Curven für die Thermometer	beim Abkühlen	beim Erwärmen	Mittel
V und IV	5,290 ^o	2,800 ^o	4,045 ^o
V „ II	4,683	3,350	4,017
II „ I	4,190	3,760	3,975

Plotzliche Richtungs- änderung der Curve für das Thermometer	beim Abkühlen	beim Erwärmen	Mittel
V	5,85 ^o	2,37 ^o	4,11 ^o
IV	5,20	2,88	4,02
III	4,54	3,17	4,01
II	4,60	3,41	4,00
I	4,20	3,76	3,98

Das Generalmittel ist 4,005^o (Maximum 4,081^o, Minimum 3,910^o), nach der Reduction auf das Wasserstoffthermometer 3,982^o, in guter Uebereinstimmung mit den direct gefundenen Werthen 3,960 und 3,973^o (Scheel und Kreitling). W. A. R.

L. C. de Coppet. Ueber die Temperatur des Dichtemaximums und den Gefrierpunkt von Rohrzuckerlösungen¹⁾. — Die Werthe von t_m wurden nach der im vorstehenden Referat besprochenen Methode gefunden; in demselben grossen Gefässe wurde dann der Gefrierpunkt bestimmt, hierauf der von reinem Wasser. Die Flüssigkeiten wurden nur 0,3 bis 0,5^o unterkühlt und der Gefrierpunkt unter stetigem, heftigem Rühren an einem in 1₁₀₀^o getheilten Thermometer abgelesen. Die Temperaturen von t_m sinken mit steigendem Procentgehalt; sie sind durch eine Interpolationsformel $t_m = a - bp + cp^2$ auszudrücken. Die Erniedrigung gegen Wasser ist dem Procentgehalt proportional, nur bei den verdünntesten Lösungen ist die Proportionalität durch Versuchsfehler etwas verdeckt. Als molekulare Gefrierpunktserniedrigung findet Verfasser an 0,7- bis 11 proc. Lösungen 19,5 bis 20,6, für concentrirtere Lösungen steigt der Werth; z. B. findet Ver-

¹⁾ Ann. chim. phys. [7] 3. 268–274.

fasser für eine Lösung, die 105,7 g Zucker in 100 g Wasser enthält, 25,3. Die molekulare Erniedrigung der Temperatur des Dichtemaximums ist für die verdünnteren Lösungen fast constant achtmal so groß als die Gefrierpunkterniedrigung. Eine vollkommene Constanz für alle Concentrationen ist wegen der Association des Wassers bei den tieferen Temperaturen nicht zu erwarten.

W. A. R.

Lösungen.

J. H. van 't Hoff. Wie die Theorie der Lösungen entstand ¹⁾. — Der in der Deutschen chemischen Gesellschaft gehaltene Vortrag des Begründers der Theorie der Lösungen ist von höchstem Interesse nicht nur wegen der eleganten theoretischen Verknüpfung der Lösungsgesetze, sondern vor allem, weil er einen Einblick in das geistige Schaffen eines der bedeutendsten Naturforscher gewährt, weil er zeigt, wie die Lösung eines rein chemischen Problems zur Lösung von anscheinend ganz entlegenen mehr physikalischen Problemen zwang und wie die Errichtung des Gebäudes der heutigen physikalischen Chemie nur dadurch möglich war, daß der Verfasser die tiefsten Kenntnisse und die lebhaftesten Interessen auf den Gebieten der Chemie, der Physik und der Mathematik in sich verknüpfte.

Bdl.

W. Nernst. Ueber die mit der Vermischung concentrirter Lösungen verbundene Aenderung der freien Energie ²⁾. — Bei den ideal verdünnten Lösungen ist die weitere Verdünnung von keiner Wärmetönung begleitet. Es ändert sich nur die freie Energie, nicht die Gesamtenergie. Bei einigen concentrirten Lösungen, insbesondere von Zinkchlorid und von Schwefelsäure, ist die bei der Verdünnung frei werdende Wärme der Aenderung der freien Energie gleich. Lösungen, bei denen das der Fall ist, bezeichnet Nernst als „ideal concentrirte Lösungen“. Er stellt die Eigenschaften der ideal verdünnten denen der ideal concentrirten Lösungen gegenüber. Es wird vom Verfasser darauf hingewiesen, daß die Abweichungen, welche die Dampfdruck- und Gefrierpunkterniedrigungen starker (1- bis 5-normaler) Lösungen von einfacher Proportionalität mit der hinzugefügten Molekülzahl aufweisen, mit der Verdünnungswärme im engen Zusammenhange stehen.

Bdl.

¹⁾ Ber. 27. 6—19. — ²⁾ Ann. Phys. [2] 53. 57—68.

B. Moore. Ueber eine Beziehung zwischen der Oberflächenspannung und dem osmotischen Druck von Lösungen¹⁾. — Wenn man zwei Flüssigkeiten von verschiedener Oberflächenspannung in die beiden Schenkel eines U-Rohres bringt, die durch eine Capillare mit einander verbunden sind, so findet eine Bewegung aus der Flüssigkeit von kleiner in die von größerer Oberflächenspannung statt. Damit aber die Flüssigkeit aus dem Schenkel, in den sie durch Capillarattraction einströmt, in Folge des hydrostatischen Druckes nicht wieder durch den centralen Theil des Capillarrohres zurückfließt, ist es nothwendig, daß die Capillare so eng ist, daß die gesammte Flüssigkeit in ihr sich innerhalb der capillaren Wirkungssphäre befindet. Das scheint, wie der Verfasser durch eine Ueberschlagsrechnung zu beweisen sucht, bei den in semipermeablen Wänden vorhandenen Capillaren der Fall zu sein. Wenn die Erscheinungen des osmotischen Druckes sich auf Oberflächenspannung zurückföhren lassen sollen, so muß die Oberflächenspannung der Lösungen größer sein als die des Lösungsmittels, und zwar proportional der Anzahl gelöster Moleküle oder Ionen; sie muß bei verschiedenen gelösten Stoffen für isotonische Lösungen gleich sein und es muß der Unterschied zwischen der Oberflächenspannung der Lösung und des Lösungsmittels für äquimolekulare Lösungen des gleichen Stoffes in verschiedenen Lösungsmitteln der gleiche sein. Der Verfasser föhrt aus der Literatur Gründe an, die für ein Zutreffen dieser Bedingungen sprechen. Daß die Lösung einer Flüssigkeit von geringerer Oberflächenspannung in einer von größerer, etwa von Alkohol in Wasser, eine geringere Oberflächenspannung hat als das Wasser, erscheint dem Verfasser nicht als Widerspruch, weil ja in einem analogen Falle auch die Dampfspannung der Lösung nicht kleiner ist als die Dampfspannung des Lösungsmittels. *Bdl.*

H. Sents. Ueber die Oberflächenspannung der Salzlösungen²⁾. — Es wird eine Formel abgeleitet, welche den Einfluß des Salzes auf die Oberflächenspannung des Wassers zum Ausdruck bringt. Ist F die Oberflächenspannung der Lösung, f die des Wassers, u das Volumen von 100 Mol. Wasser, v das Volumen einer Lösung von n Mol. Salz in $100 - n$ Mol. Wasser, so ergibt sich die Wirkung des Salzes durch die Formel:

$$\Phi = F - \frac{100 - n \cdot f}{100 \frac{v}{u}}$$

¹⁾ Phil. Mag. 38. 279--285. — ²⁾ Compt. rend. 118. 1132—1133.

Φ ist zwischen 0 und 25° unabhängig von der Temperatur; es ist bis zu hohen Concentrationen proportional n . Der Werth Φn ist für binäre Salze etwa 1,56 Dynen für den Centimeter, für ternäre 1,56 + 0,78, für quaternäre 1,56 + 2.0,78 etc. Letztere Beziehung gilt nur angenähert, wie die folgende Tabelle der Werthe Φn zeigt:

NH ₄ Cl	NaCl	KCl	KJ	NaBr	KCN	NH ₄ NO ₃	NaNO ₃
1,7	1,5	1,7	1,6	1,6	1,5	1,5	1,5
KNO ₃	AgNO ₃	ZnSO ₄	CuSO ₄	FeSO ₄	MgSO ₄	MnSO ₄	KMnO ₄
1,6	1,6	1,7	1,7	1,7	1,6	1,7	1,7
K ₂ C ₂ H ₂ O ₄	KClO ₃	NaClO ₃	CaCl ₂	SrCl ₂	BaCl ₂	CuCl ₂	
1,4	1,3	1,3	2,3	2,8	2,5	2,1	
ZnCl ₂	MgCl ₂	MnCl ₂	Pb(NO ₃) ₂	Zn(NO ₃) ₂	Ba(NO ₃) ₂	Sr(NO ₃) ₂	K ₂ SO ₄
2,5	2,6	2,2	2,2	2,5	2,6	2,4	2,5
Na ₂ SO ₄	(NH ₄) ₂ SO ₄	NaHSO ₄	K ₂ CrO ₄	Mg(C ₂ H ₃ O ₂) ₂	Sr(C ₂ H ₃ O ₂) ₂	Al ₂ (SO ₄) ₃	
2,4	2,6	2,6	2,4	2,0	1,9	3,2	

Bdl.

G. Magnanini. Ueber die Natur des osmotischen Druckes¹⁾.

— Der Verfasser zeigt, daß die Versuche von Naccari²⁾ mit der Theorie des osmotischen Druckes in vollem Einklang stehen³⁾. Bdl.

Walther Loeb. Ueber Molekulargewichtsbestimmung von in Wasser löslichen Substanzen mittelst der rothen Blutkörperchen⁴⁾.

— Der Verfasser hat sich mit der von Hamburger ausgearbeiteten Methode der Ermittlung isotonischer Lösungen beschäftigt, ohne Wesentliches daran zu ändern. Zum Schutz der Blutkörperchen vor Faulnis wurde ihnen Jodoform beigemengt. Bdl.

J. Verschaffelt. Dampfspannung und Feuchtigkeitsgehalt⁵⁾.

— Das Dalton'sche Gesetz, nach dem die Verdampfungsgeschwindigkeit proportional ist der Differenz zwischen der Maximaltension F und der bestehenden Dampfspannung f , wendet der Verfasser auf Salzlösungen an. In Berührung mit Luft ist der Gleichgewichtszustand erreicht, wenn die Wasserdampfspannung in der Luft genau gleich ist der Maximaltension des Wassers über der Salzlösung. Man kann so den Feuchtigkeitsgehalt der Luft

aus der Gleichung $e = \frac{F}{F}$ bestimmen, wenn man ein Salz anwendet, dessen Dampfspannungen für verschiedene Temperaturen und Concentrationen bekannt ist. Da einerseits die specifische Verminderung des Dampfdruckes um so größer, je kleiner das

¹⁾ Gazz. chim. ital. 24, 1, 81—90. — ²⁾ JB. f. 1893, S. 47. — ³⁾ Vgl. JB. f. 1893, S. 48. — ⁴⁾ Zeitschr. physik. Chem. 14, 124—132. — ⁵⁾ Bull. acad. roy. Sc. 28, 261—275.

Molekulargewicht, andererseits die Erniedrigung der Dampfspannung der Concentration proportional ist, so sind die Salze am geeignetsten, die neben einem geringen Molekulargewicht eine große Löslichkeit besitzen, wie z. B. das Lithiumchlorid. Um der Lösung eine große Oberfläche zu geben, trinkt Verfasser Asbestpapier mit der Lösung. Es dauert einige Zeit, bis das Gleichgewicht eingetreten ist, dann aber folgt das mit Salzlosung durchtränkte Papier jeder Feuchtigkeitsänderung. Um die Empfindlichkeit der Methode kennen zu lernen, legt der Verfasser in einem Zimmer drei Blätter Filtrirpapier, die mit einer Lösung von Lithiumchlorid, Calciumchlorid und Calciumnitrat angefeuchtet waren, auf drei Krystallisirschalen und wägt die drei Blätter von Zeit zu Zeit rasch hinter einander. Aus einer der Arbeit beigefügten Tabelle ergibt sich, daß die drei Blätter ungefähr gleiche Gewichtsveränderungen erleiden. Verfasser giebt eine Anweisung, wie man auf Grund dieser Versuche mit einer Wage ein selbstregistrirendes Hygrometer bauen kann und hebt hervor, daß man bei diesem Instrumente die Scala nicht empirisch bestimmt, sondern theoretisch berechnen kann. Umgekehrt kann man auch aus dem Feuchtigkeitsgehalt der Luft auf die Dampfspannung einer Lösung schließen, die mit derselben im Gleichgewichte steht, worauf schon Tammann¹⁾, Charpy²⁾ und Ewan und Ormandy³⁾ hingewiesen haben. *Op.*

C. Dieterici. Ueber die Dampfdrucke wässriger Lösungen bei 0°C. ⁴⁾ — Es wurde eine sehr exacte Methode zur Messung der Dampfdrucke ausgearbeitet; sie beruht auf Messung der Ausbauchungen einer gewellten Metallmembran, wie sie für Aneroidbarometer verwendet werden, mit Spiegel, Fernrohr und Scala. In den nebenstehenden Tabellen sind die Concentrationen in Normalitäten, die Dampfdrucke der wässrigen Lösungen in mm. Hg unter p_s und die relativen Dampfdruckerniedrigungen unter $\frac{p_w - p_s}{p_w}$ mitgetheilt. — Einen Widerspruch mit den Folgerungen der Dissociationstheorie erblickt der Verfasser darin, daß die Dampfspannungserniedrigungen bei Lösungen von Elektrolyten der Concentration proportional oder schneller als diese anwachsen, während die Theorie fordert, daß, wegen des Rückganges der Dissociation bei höheren Concentrationen, das Anwachsen langsamer erfolgen sollte als die Concentration.

¹⁾ JB. f. 1888, S. 185 ff. — ²⁾ JB. f. 1890, S. 171. — ³⁾ JB. f. 1892, S. 181. — ⁴⁾ Ann. Phys. [2] 50, 47–87.

Schwefelsäure			Phosphorsäure		
Concen- tration	$\frac{p_w - p_s}{p_w}$	p_s	Concen- tration	$\frac{p_w - p_s}{p_w}$	p_s
0,007	0,01835	4,535	0,984	0,02378	4,510
1,040	0,0363	4,452	2,278	0,05254	4,377
1,903	0,0728	4,284	4,020	0,1059	4,135
2,681	0,1199	4,065	7,914	0,2442	3,496
3,792	0,2059	3,664	12,74	0,4131	2,710
4,908	0,3003	3,238	22,47	0,6636	1,557
5,698	0,3597	2,952	39,88	0,8626	0,686
6,164	0,5495	2,077	Natriumhydroxyd		
9,430	0,6360	1,679	1,355	0,0414	4,429
11,60	0,7387	1,206	2,945	0,1030	4,144
16,19	0,8780	0,569	5,125	0,2201	3,598
22,18	0,9645	0,164	6,81	0,3234	3,118
Natriumhydroxyd			8,795	0,4530	2,516
0,095	0,02832	4,489	11,86	0,6482	1,621
1,959	0,0571	4,356	14,90	0,7756	1,027
3,232	0,0922	4,196	CaCl ₂ + 6H ₂ O		
4,846	0,1557	3,898	0,982	0,0443	4,415
7,214	0,2495	3,470	1,996	0,1046	4,137
11,91	0,4386	2,593	4,976	0,2876	3,296
19,14	0,6655	1,547	10,44	0,5065	2,277
31,25	0,8614	0,638	Glycerin		
Calciumphosphid			2,309	0,04065	4,432
0,992	0,0440	4,417	5,581	0,1072	4,125
2,032	0,1069	4,122	9,581	0,1813	3,787
4,845	0,3432	3,033	20,16	0,3255	3,118
6,934	0,5065	2,285	39,51	0,5012	2,305

Die Gefrierpunkte verhalten sich der Theorie entsprechend. Der Unterschied zwischen den Curven der Erniedrigung des Dampfdruckes und des Gefrierpunktes läßt sich darauf zurückführen, daß die Parallelität nur bestehen würde, wenn man die Verdünnungswärmen bei dem Kreisproceß vernachlässigen dürfte, was nicht der Fall ist. Auch wenn man den Gefrierpunkt einer Lösung aus dem Schnittpunkt der Dampfdruckcurven von Lösung und Eis bestimmt, ergibt sich, daß der Satz von van 't Hoff über die Proportionalität von osmotischer Arbeit beim Gefrierpunkt des Lösungsmittels und Gefrierpunktsdepression nur bis zu Concentrationen von 0,1 bis 0,15 *n* mit 1 Proc. Sicherheit gilt. Bei höheren Concentrationen ergeben sich aus den Zahlen von Fischer über die Dampfdruckcurven von Wasser und Eis sehr

große Abweichungen, für normale Lösungen schon solche von 8 Proc. — Der Verfasser giebt zum Schluss eine kinetische Ableitung der Lösungsgesetze, welche gestattet, den Factor i stat. auf die elektrolytische Dissociation auf die Verschiedenheiten der „Wirkungssphären“ der Moleküle des gelösten Stoffes gegenüber den Molekülen des Lösungsmittels zurückzuführen. *Bdl.*

Svante Arrhenius. Ueber die Proportionalität zwischen Gefrierpunkterniedrigung und osmotischem Druck ¹⁾. — In der vorstehenden Abhandlung hat Dieterici auf Grund der Zahlen von Fischer über die Dampfdrucke von Wasser und Eis unter 0° die Proportionalität zwischen Gefrierpunkterniedrigung und osmotischem Druck bestritten. Es sind aber die Zahlen von Fischer sehr fehlerhaft. Benutzt man die von Juhlin bestimmten Werthe, so ergibt sich die Proportionalität zwischen Gefrierpunkterniedrigung und osmotischem Druck, noch wenn die erstere 18° beträgt, mit einer innerhalb der Fehlergrenzen bleibenden Abweichung. *Bdl.*

C. Dieterici. Ueber die Beziehung von Gefrierpunktsdepression und osmotischem Druck von Lösungen ²⁾. — Der Verfasser gesteht zu, daß die Beobachtungen von Fischer mangelhaft sind und daß die aus ihnen gezogenen Schlüsse nicht zutreffen. Daß aber allgemein Proportionalität zwischen Gefrierpunktsdepressionen und osmotischem Druck bis zu Gefrierpunkterniedrigungen von 10° bestehe, ist nicht richtig. Der Verfasser leitet durch einen Kreisproceß eine strenge Formel für die Beziehung zwischen osmotischem Druck und Gefrierpunkterniedrigung ab. Darin spielt auch die Verdünnungswärme und die Differenz der specifischen Wärmen des Lösungsmittels im festen und flüssigen Zustande eine Rolle. Nur wenn die Verdünnungswärme 0 ist, gilt für Wasser, und nur für dieses aus einem mehr zufälligen Grunde die Proportionalität bis zu Depressionen von 10°. Für andere Lösungsmittel gilt auch bei der Verdünnungswärme 0 die Proportionalität nicht so weit. Des Verfassers Formel, die auch die Verdünnungswärme berücksichtigt, ergibt für Chlornatrium, Chlorkalium und Chlorkalcium auch bei hohen Concentrationen eine ausgezeichnete Uebereinstimmung zwischen den aus den Dampfdrucke und aus den Gefrierpunkterniedrigungen berechneten osmotischen Drucken. *Bdl.*

Thomas Ewan. Ueber den osmotischen Druck von Lösungen von endlicher Concentration ³⁾. — Unter Berücksichtigung der Ver-

¹⁾ Ann. Phys. [2] 51, 493—499. — ²⁾ Dasselbst [2] 52, 263—274.

³⁾ Zeitschr. physik. Chem. 14, 400—423.

Verdünnungswärmen und der beim Verdünnen auftretenden Volumenänderungen leitet der Verfasser durch einen Kreisproceß eine auch für höhere Concentrationen streng gültige Formel für den Zusammenhang zwischen osmotischer Arbeit und Gefrierpunkts-erniedrigung ab. Es ergibt sich daraus auch eine Formel für die Berechnung der Dampfdruckerniedrigung aus der Gefrierpunkts-erniedrigung, die zwischen Concentrationen von 1,8 bis 16,8 g Wasser auf 1 g Schwefelsäure, also bei Gefrierpunktserniedrigungen von 2,3 bis 60,3° mit der Beobachtung gut übereinstimmt. Gewisse Fehler in der von Dieterici (siehe S. 48) gegebenen Ableitung werden dabei berichtigt. Es werden ferner strenge Formeln für den Zusammenhang zwischen osmotischem Druck und Concentration abgeleitet. Die Molekulargefrierpunktserniedrigung ist größer, als dem Ausdruck $0,02 T'W$ entspricht, wenn die Verdünnungswärme positiv ist, und kleiner, wenn sie negativ ist. Für Rohrzucker wurden die Verdünnungswärmen aus den Gefrierpunktserniedrigungen berechnet und experimentell bestimmt. Die Abweichungen sind zum Theil sehr beträchtlich. *Bdl.*

A. Ponsot. Beziehung zwischen den Maximaldampfspannungen von Wasser, Eis und einer Salzlösung beim Erstarrungspunkt dieser Lösung¹⁾. — Es wird die Formel abgeleitet:

$$RT \log \frac{F}{f} = E \left[\frac{l_0}{T_0} (T_0 - T_1) - (C - C_1) T \left(\frac{T_0}{T} - 1 - \log \frac{T_0}{T} \right) \right].$$

Dam bedenten F und f die Dampfspannungen des Wassers und des Eises resp. der damit im Gleichgewicht befindlichen Lösung, E das mechanische Wärmeäquivalent, l_0 die Schmelzwärme des Eises, C_0 und C_1 die specifischen Wärmen von Wasser und Eis, T_0 und T_1 der absolute Erstarrungspunkt des Wassers und der Lösung. Zur Prüfung der Formel dienten die Werthe f von Juhlin und von Fischer. Die beobachteten Dampfdrucke stimmen mit den berechneten noch bis zu Depressionen von 10° überein. *Bdl.*

J. J. van Laar. Ueber die genauen Formeln für den osmotischen Druck, für die Aenderungen der Löslichkeit, für Gefrierpunkts- und Siedepunktänderungen, und für die Lösungs- und Verdünnungswärmen bei in Lösungen dissociirten Körpern²⁾. — Es kann auf die auf der Grundlage des thermodynamischen Potentials durchgeführte Rechnungsweise, die auch für concentrirte Lösungen gültige Formeln ergibt, nur hingewiesen werden. *Bdl.*

¹⁾ Compt rend 119, 731—733. — ²⁾ Zeitschr. physik. Chem. 15, 456—497.

F. W. Küster. Ueber Löslichkeitsverminderung. Vorläufige Mittheilung¹⁾. — Wie ein gelöster Stoff den Dampfdruck des Lösungsmittels herabdrückt, verringert er auch dessen Löslichkeit in einem zweiten Lösungsmittel und man kann, wie Nernst²⁾ gezeigt hat, auch diese Löslichkeitsverminderung ebenso wie die Dampfdruckerniedrigung zur Bestimmung des Molekulargewichtes des gelösten Stoffes benutzen. Voraussetzung ist, daß das zweite Lösungsmittel in dem ersten nicht zu sehr löslich ist und nicht zu viel von diesem selbst auflöst. Der Verfasser prüfte die Verwendbarkeit des Phenols als erstes, einer Salzlösung als zweites Lösungsmittel. Die Löslichkeit des Phenols vor und nach Zusatz des gelösten Stoffes in der Salzlösung wurde maßanalytisch bestimmt. Es zeigte sich bei Verwendung von Benzol, Chloroform und Vinyltribromid als gelöste Stoffe, daß sich constantes Molekulargewicht nur ergibt, wenn man für die Volumenänderung, die das Phenol durch die Auflösung der untersuchten Körper erfährt, eine Correction anbringt. Die „Constante“, die an Stelle des theoretischen Werthes 1 in die Gleichung einzuführen ist, damit man das Molekulargewicht erhält, ist im Mittel 1,15, schwankt aber beträchtlich. Aehnliche Schwankungen ergeben sich auch aus Versuchen von Nernst mit anderen Lösungsmitteln. Sie sind darauf zurückzuführen, daß z. B. in dem vom Verfasser untersuchten Beispiel das Phenol aus der Salzlösung Wasser aufnimmt. Setzt man zum Phenol Benzol, so wird dadurch die Löslichkeit des Wassers erniedrigt. Es wird also die Anzahl der im Phenol gelösten Moleküle kleiner, als dem Zusatz von Benzol entspricht, und dadurch wird auch die Löslichkeitserniedrigung kleiner. *Bdl.*

F. W. Küster. Ueber eine auf Titration gegründete Methode der Molekulargewichtsbestimmung an gelösten Substanzen³⁾. — Es wird die Ausführung der oben erwähnten Molekulargewichtsbestimmungen von Benzol, Chloroform und Vinyltribromid aus der Löslichkeitsverminderung des für sie als Lösungsmittel dienenden Phenols in gesättigter Kochsalzlösung beschrieben. Die Bestimmung des gelösten Phenols erfolgte maßanalytisch durch Versetzen der wässrigen Phenollösung mit gemessener Bromid-Bromatlösung und Zurückmessen des überschüssigen freien Broms mit Jodkalium und Thiosulfat. *Bdl.*

C. E. Linebarger. Einige Modificationen von Beckmann's Siedeapparaten⁴⁾. — Der Verfasser empfiehlt statt der geneigten

¹⁾ Ber. 27, 324—328. — ²⁾ JB. f. 1890, S. 211. — ³⁾ Ber. 27, 328—331.
— ⁴⁾ Chem. News 69, 279—280.

einen senkrechten Kühler zu benutzen, weil dieser gestattet, auch pulverförmige Substanzen ohne Verlust in den Siedeapparat einzuführen. Man verwendet am besten ein oben erweitertes Siederohr, damit der Stopfen den Rückfluskühler neben dem Thermometer bequem aufnehmen kann. Das obere Ende des Rückfluskühlers verschließt man durch ein engeres, oben offenes, unten zugeschmolzenes Rohr, welches seitliche Oeffnungen in der Nähe des unteren Endes enthält. Dadurch wird eine vollständigere Condensation des Dampfes erreicht. Der Verfasser empfiehlt auch die Verwendung eines aus vergoldetem Kupferblech hergestellten inneren statt des gewöhnlichen Liebig'schen Kühlers.

Bdl.

Victor Gernhardt. Ueber eine Vorrichtung zur Verhütung des Siedeverzuges¹⁾. — Statt des eingeschmolzenen Platinstiftes kann man auch einen oder mehrere angeschmolzene Stifte von rothem Einsmelzglas zur Aufhebung des Siedeverzuges benutzen.

Bdl.

Ernst Beckmann. Beiträge zur Bestimmung von Molekulargrößen. 1. Zur Praxis der Siedepunktmethode²⁾. — Bei den Apparaten ohne Dampfmantel ist der eingeschmolzene Platinstift das geeignetste Mittel, den Siedeverzug aufzuheben. Rothes Einsmelzglas hat der Verfasser für diesen Zweck schon früher verwendet (vgl. Gernhardt, vorstehendes Referat). Es leistet aber nicht so viel wie der Platinstift. Die Verwendung von Füllmaterial zur Erreichung eines constanten Siedens hat der Verfasser zuerst gelehrt. Es werden für die Apparate mit Dampfmantel Dampfmäntel aus Porcellan beschrieben. Ferner wird die geeignetste Form des Siederohrs, Rückfluskühlers, des Heizkastens, der Brenner und der Pastillenpresse besprochen und die Einführung der zu untersuchenden Substanz in Pastillen empfohlen. Die Handhabung des vom Verfasser angegebenen Thermometers wird erläutert. Es wird die Correction angegeben, die anzuwenden ist, wenn man das Thermometer bei verschiedenen Temperaturen benutzt. Sie ist meist so klein, daß sie vernachlässigt werden kann. Der Verfasser wahrt sich gegenüber Raoult die Priorität für Einzelheiten in der Ausführung der Siedemethode.

Bdl.

C. E. Linebarger. Die Siedepunkte verdünnter Lösungen von Wasser in Alkohol und in Aether³⁾. —

¹⁾ Zeitschr. angew. Chem. 1894, S. 328. — ²⁾ Zeitschr. physik. Chem. 15, 656—680. — ³⁾ Chem. News 70, 52—53.

Siedepunkte von Alkohol (756 mm)		Siedepunkte von Aether (750 mm)	
Theile Wasser in 100 Thln. Alkohol		Theile Wasser in 100 Thln Aether	
0	78,1°	0	34,4°
0,241	78,090	0,122	34,322
0,876	78,078	0,176	34,299
1,810	78,053	0,178	34,295
2,443	78,009	0,311	34,235
4,497	77,990	0,417	34,210
5,898	78,011	0,517	34,180
9,222	78,088	0,657	34,159
10,650	78,198	0,821	34,128
16,856	78,440	1,092	34,068
18,781	78,588	1,320	34,074
		1,326 (gesättigt)	34,070

Bdl.

F. M. Raoult. Die Dichten gesättigter Dämpfe und ihre Beziehungen zu den Gesetzen der Erstarrung und Verdampfung der Lösungsmittel ¹⁾. — Der theoretische Zusammenhang zwischen Dampfdruckerniedrigung, Siedepunktserhöhung und Gefrierpunktniedrigung wird erläutert. Eine Abweichung von dem theoretischen Werthe der Dampfdruckerniedrigung stellt sich scheinbar heraus, wenn man annimmt, daß die gesättigten Dämpfe die theoretischen Dichten haben. Umgekehrt können die gefundenen Abweichungen dazu dienen, das Verhältniß der wirklichen Dampfichten zu den theoretischen festzustellen. Dieses Verhältniß hat Raoult für verschiedene Lösungsmittel bestimmt. Es ist für Wasser 1,02, Alkohol 1,01, Aether 1,04, Schwefelkohlenstoff 0,99, Benzol 1,01 und Essigsäure 1,63. Diese Zahlen stimmen ausgezeichnet mit den von Ramsay und anderen experimentell direct bestimmten Dichten der gesättigten Dämpfe im Vergleich zu den theoretischen Dichten überein.

Bdl.

Harry C. Jones. Ueber die Bestimmung des Gefrierpunktes von verdünnten Lösungen einiger Säuren, Alkalien, Salze und organischen Verbindungen ²⁾. — Verfasser hat zunächst die Dissociation von Lösungen von Chlorwasserstoff in Wasser in Concentrationen zwischen 0,1228 bis 0,001222 normal untersucht. Bei der letztgenannten Concentration beträgt der Dissociationsgrad 99,2 Proc., bei ersterer 88,8 Proc. Die Säure dissociirt stärker als

¹⁾ Zeitschr. physik. Chem. 13, 187—190. — ²⁾ Daselbst 12, 623—656.

bre- Salze und die Dissociation nimmt mit steigender Concentration regelmäÙig ab. Die Schwefelsäure, in Lösung von 0,1165 bis 0,001348 normal untersucht, zerfällt in drei Ionen, wobei aus der Gefrierpunktserniedrigung nicht hervorgeht, inwieweit Spaltung in H^+ und HSO_4 und $2H^+$ und SO_4 vor sich geht. Bei der größten Verdünnung betrug der Dissociationsgrad 93,2 Proc., bei der geringsten 53,1 Proc. Mit steigender Concentration sinkt demnach die Dissociation erheblich. Die Säure ist weniger dissociirt als ihr Kaliumsalz. Die Resultate bei der Salpetersäure, die in Lösungen von 0,1059 bis 0,001054 normal untersucht wurde, waren analog denen bei der Salzsäure. Die erhaltene Ionenspaltung lag zwischen 100,5 und 86,6 Proc. Die Dissociation der Phosphorsäure ist weit geringer, und die Säure wohl bei den untersuchten Concentrationen nur in zwei Ionen zerfallen. Eine Säure von 0,001093 normal zeigte eine Dissociation von 88,8 Proc., eine Säure von 0,1717 nur 21,0 Proc. Lösungen von KOH von 0,001009 normal bis 0,1109 normal zeigten Dissociationsgrade, die von 98,0 Proc. regelmäÙig auf 82,3 Proc. sanken. Kalihydrat ist fast in gleichem Maße wie KCl dissociirt, aber geringer als die Salzsäure. Während eine Lösung von 0,001058 normal $NaOH$ den Dissociationsgrad von 100 Proc. aufwies, zeigte eine Lösung von 0,09330 nur 80,9 Proc. Während die Ammoniaksalze normal dissociirt sind, ergeben sich für das Ammonhydrat abnorm niedrige Werthe. Eine Lösung von 0,002310 normal ergab die Ionenspaltung von 21,4 Proc., eine Lösung von 0,05016 normal hatte den Dissociationsgrad von 3,8 Proc. Concentrirtere Lösungen konnten nicht gemessen werden, da sonst Fehler durch Verdunstung von Ammoniak entstehen. Kaliumcarbonat ist weitgehend dissociirt, eine Lösung von 0,00135 normal zeigte den Dissociationsgrad von 98,6%. In einer Lösung von 0,001515 war Na_2CO_3 zu 98,4 Proc. in Ionen zerfallen, also ebenso stark wie das Kaliumcarbonat. Bei zunehmender Concentration sinkt jedoch die Dissociation von Na_2CO_3 schneller. Ein Vergleich mit den von Kohlrausch durch Leitfähigkeit ermittelten Dissociationen ergab eine genügende Uebereinstimmung. Ferner wurde eine Reihe von organischen Substanzen geprüft, hauptsächlich zu dem Zwecke, die Constante für das Wasser mit möglichster Genauigkeit zu ermitteln. Beim Rohrzucker ergab sich dabei das überraschende Resultat, daß die Molekularerniedrigung bei einem gewissen Punkte ein Minimum zeigt, und von diesem an sowohl bei größerer als auch bei geringerer Concentration zunimmt. Das Minimum liegt etwa bei 0,1 normal; genau ebenso verhält sich Dextrose. Bei

Harnstoff wird die Mol.-Erniedrigung von 0,1 normal an constant für höhere Concentrationen. Phenol zeigt kein Minimum. Auch für Aethyl- und Propylalkohol wird der Werth der Constante für Concentrationen über 0,1 normal unveränderlich. Bei verdünnteren Lösungen ist die Erniedrigung bei C_2H_5OH grösser als bei dem Homologen. Eine Lösung von Bernsteinsäure von 0,002023 war zu 20,3 Proc., eine Lösung von Essigsäure von 0,002387 zu 10,8 Proc. dissociirt. Diese Werthe bei der Bernsteinsäure weichen beträchtlich von denen von Ostwald aus der Leitfähigkeit ermittelten Werthen ab. Aus den Daten für Harnstoff, Aethyl- und Propylalkohol berechnet sich die Constante für das Wasser zu 1,87, während van 't Hoff dafür 1,89 berechnete. *Mr.*

Spencer U. Pickering. Prüfung einiger neuerer Gefrierpunktsbestimmungen¹⁾. — Verfasser unterzieht die Arbeiten von H. Jones²⁾ einer eingehenden Kritik, aus der sich ergab, daß Nichtelektrolyte ebenso wie Elektrolyte eine abnorm hohe Gefrierpunktserniedrigung besitzen. Verfasser stellt Jones' Resultate graphisch dar und es ergeben sich Abweichungen sowohl von den Tabellen von Loomis und Raoult, als auch von den vom Verfasser früher gefundenen Werthen. Auch mit den Tabellen, die sich aus Kohlrausch's Leitfähigkeitsbestimmungen ergeben, stimmen die Werthe von Jones schlecht überein. Während bei Verfassers früheren Untersuchungen ein Fehler von 0,001° vorhanden war, sind in den Angaben von Jones Fehler von mindestens 0,01° enthalten. Hierdurch erklären sich die Abweichungen von den Zahlen anderer Autoren und hierauf sind auch die von Jones an Nichtelektrolyten beobachteten abnorm hohen Gefrierpunktserniedrigungen zurückzuführen. Verfasser bespricht zum Schluß eingehend die von Jones für Schwefelsäure gefundenen Zahlen, die mit den vom Verfasser früher ermittelten sehr gut übereinstimmen. Bei der graphischen Darstellung dieser Werthe zeigt die Curve an denselben Stellen Knicke, an denen sie Verfasser gefunden hat. *Op.*

Harry C. Jones. Die Resultate der Messungen der Gefrierpunkte verdünnter Lösungen³⁾. — Die Arbeit enthält eine Erwiderung auf Pickering's Kritik über die Untersuchungen des Verfassers. Pickering hatte zur Prüfung der Versuche von Jones die gefundenen Werthe graphisch dargestellt, wobei er von der gefundenen Gefrierpunktserniedrigung ein constantes Viel-

¹⁾ Chem. Soc. J. 65, 293–312. — ²⁾ JB. f. 1893, S. 77–83; vorstehendes Referat. — ³⁾ Chem. News 69, 249–251

faches der Concentration abzog und die Differenz mit der Concentration in Beziehung setzte. Verfasser weist dem gegenüber darauf hin, daß hierdurch die experimentellen Fehler vergrößert werden und zwar in verschiedenem Maße an verschiedenen Stellen. — In einer an diese Veröffentlichung anknüpfenden Discussion bemerkt Pickering, daß durch seine Correction die Lage der Curve nicht geändert werde. (η_p)

E. H. Loomis. Ueber ein exacteres Verfahren bei der Bestimmung von Gefrierpunktserniedrigungen ¹⁾. — Eine wesentliche Fehlerquelle der Bestimmungen von Gefrierpunktserniedrigungen erkannte der Verfasser in dem Einflusse des Kältebades auf die Temperatur der Lösung. Um diese Fehlerquelle möglichst klein zu machen, umgibt der Verfasser die Gefrieröhre mit einer Kältemischung, dem „Schutzbad“, deren Temperatur nur $0,3^\circ$ unter der zu bestimmenden Gefriertemperatur liegt. Außerdem macht er die Gefrieröhre länger als sonst, um auch die Einwirkung der Außentemperatur möglichst auszuschließen. Die Gefrieröhre bringt man zunächst 20 Minuten in das Schutzbad, um alle Theile auf 0° abzukühlen, dann in ein „Gefrierbad“ von -10° zur Eisbildung und dann in das „Schmelzbad“ von 0° , in welchem schon durch Umrühren das Eis fast zum Verschwinden gebracht wird. Sobald das geschehen ist, kommt die Gefrieröhre wieder in das „Gefrierbad“, wo die Temperatur auf $0,1$ bis $0,2^\circ$ unter den Schmelzpunkt fällt und von da schnell in das Schutzbad. Damit sich das Thermometer sicher einstellt, wird sein Ende beständig mit einem elektrisch betriebenen Hammer geklopft. Gleichzeitig wird die Flüssigkeit im Gefrierbade und Schutzbade gerührt. Das Thermometer erreicht nach zwei Minuten seinen höchsten constanten Standpunkt. Die Bestimmungen sind auf $0,001^\circ$ genau. Die Correction für die Konzentrationszunahme in Folge der Eisausscheidung ist klein und leicht zu berechnen. — In der umstehenden Tabelle bezeichnet m die Anzahl Grammmoleküle im Liter der Lösung. Die Resultate, die im Allgemeinen mit den nach der Leitfähigkeit zu erwartenden gut übereinstimmen, stehen im guten Einklang mit den von Jones ²⁾ nach anderen Methoden erhaltenen.

¹⁾ Ann. Phys. [2] 51, 500–523. — ²⁾ JB. f. 1893, S. 77; dieser JB., S. 64.

$$\text{Molekularniedrigung} = \frac{\Delta}{m}$$

<i>m</i>	NaCl	Rohr- zucker	MgSO ₄	H ₂ SO ₄	C ₂ H ₅ .OH	H ₃ PO ₄	Harn- stoff
0.01	3.674	1.705	2.062	4.493	1.720	2.310	1.722
0.02	3.597	1.773	2.554	4.310	1.755	2.172	—
0.03	3.560	1.818	2.473	—	1.769	—	1.760
0.04	3.541	1.822	2.442	—	1.822	—	—
0.05	3.531	1.812	2.399	4.130	1.787	2.007	1.813
0.06	3.529	1.858	2.362	—	1.799	—	—
0.07	3.510	1.865	2.319	—	—	—	—
0.10	3.484	1.807	2.231	3.968	1.925	1.886	1.824
0.15	—	1.923	—	—	1.830	—	—
0.20	3.439	1.969	2.079	3.850	—	1.791	1.835

Bdl.

F. Kohlrausch. Bemerkung zu der obigen Abhandlung von Herrn Loomis ¹⁾. — Die Uebereinstimmung der Resultate von Loomis mit denen von Jones erstreckt sich nicht auf die von Jones später mitgetheilten Versuchsergebnisse ²⁾. Es wäre möglich, daß das von Jones gewählte sehr große Thermometer zu Fehlern Veranlassung gab, wegen der Unvollkommenheit seines Wärmeausgleiches oder wegen elastischer Nachwirkungen in Folge der durch die beträchtlichen Höhenunterschiede der Quecksilbersäulen verursachten Druckschwankungen.

Bdl.

Harry C. Jones. Die Erniedrigung des Gefrierpunktes des Lösungsmittels durch Elektrolyte ³⁾. — Eine wiederholte Nachprüfung ergab, daß die von Kohlrausch oben angeführten Gründe einen in Betracht kommenden Fehler der Bestimmungen des Verfassers nicht verursacht haben können. Es scheint aber, daß die Prüfung der untersuchten Stoffe durch Loomis nicht ausreicht, um deren chemische Reinheit zu garantiren. Vielleicht beruhen hierauf die namentlich bei verdünnteren Lösungen hervortretenden Abweichungen.

Bdl.

Mejer Wildermann. Der experimentelle Beweis der van't Hoff'schen Constante, des Arrhenius'schen Satzes, des Ostwald'schen Verdünnungsgesetzes in sehr verdünnten Lösungen ⁴⁾. — Einen Hauptfehler der bisherigen Gefrierpunktsbestimmungen hat Lewis (siehe S. 60) bei seiner Methode vermieden. Er be-

¹⁾ Ann. Phys. [2] 51. 524–528. — ²⁾ JB. f. 1893, S. 82, 83. — ³⁾ Ann. Phys. [2] 53. 392–395. — ⁴⁾ Zeitschr. physik. Chem. 15. 337–357.

steht darin, daß der Gefrierpunkt des Wassers meist falsch bestimmt wird, weil sich in der unterkühlten Flüssigkeit, wenn diese aus reinem Wasser besteht, eine zusammenhängende Eiskapsel um das Thermometer bildet, die die Wärme schlecht leitet. In Lösungen bildet sich diese Kapsel nicht. Bei Vermeidung der Eiskapsel in allen Fällen erhielt der Verfasser für Rohrzucker zwischen 0,019 und 0,056 Mol. im Liter die Constante 184,3 bis 189, für Harnstoff zwischen 0,009 und 0,1112 Mol. 186,1 bis 195,8, für Alkohol zwischen 0,006 und 0,204 180,8 bis 186,9. Die zu niedrigen Werthe bei Alkohol sind wahrscheinlich durch ungenaue Gehaltsbestimmungen verursacht. Die van 't Hoff'sche Constante ist 189, wenn die Schmelzwärme des Wassers 79. und 187, wenn sie 80 Cal. beträgt. Man kann sich von den Fehlern bei der Untersuchung von reinem Wasser unabhängig machen, wenn man die Gefrierpunktserniedrigungen nicht vom reinen Wasser aus rechnet, sondern von einer verdünnten Lösung, indem man also die durch weiteren Zusatz des gelösten Stoffes verursachte Erniedrigung zur Berechnung der Molekulardepression benutzt. Man erhält dann sowohl aus den Bestimmungen des Verfassers als aus denen von Jones¹⁾ nahezu die theoretische Constante. — Einen Beweis des Arrhenius'schen Satzes erblickt der Verfasser darin, daß seine Beobachtungen an Schwefelsäure, Chlorkalium, Dichloressigsäure, Trichloressigsäure und o-Nitrobenzoësäure Dissociationswerthe ergeben, die zum Theil den aus der Leitfähigkeit berechneten nahe liegen. Theilweise sind die Unterschiede recht beträchtlich. — Die aus den Gefrierpunktserniedrigungen berechneten Dissociationsgrade von Dichloressigsäure und o-Nitrobenzoësäure ergeben eine ziemlich gute Constante des Ostwald'schen Verdünnungsgesetzes.

Bdl.

Mejer Wildermann. Zur Bestimmung des Gefrierpunktes des Wassers²⁾. — Es wurde experimentell geprüft, ob die Bildung der Eiskapsel um das Thermometer in reinem Wasser thatsächlich den Fehler der Bestimmung des Gefrierpunktes verursacht. Die Bildung der Eiskapsel wurde vermieden, indem im Wasser die Eisabscheidung bewirkt wurde, ehe das Thermometer eingesetzt wurde. Es ergab sich dann immer, daß bei Vermeidung der Eiskapsel der Gefrierpunkt um 0,0015 bis 0,0017° höher gefunden wurde, als bei Bildung der Eiskapsel. Derselbe Unterschied liefs sich auch aus den Versuchen mit Rohrzucker, Alkohol und Harnstoff berechnen.

Bdl.

¹⁾ Dieser JB. S. 54. — ²⁾ Zeitschr. physik. Chem. 15, 358—364.

Percy Benedict Lewis. Methode zur Bestimmung der Gefrierpunkte von sehr verdünnten Lösungen¹⁾. — Wildermann veröffentlicht die Beschreibung der von dem inzwischen verstorbenen Verfasser ausgearbeiteten Methode, deren sich Wildermann selbst bei seinen Versuchen bedient hat. Die Beobachtungen erfolgten meist mit Hilfe eines in 1_{1000}° eingetheilten Thermometers. Es wurden die Bedenken geprüft, die Kohlrausch (vgl. S. 58) gegen die Verwendung eines zu langen Thermometers erhoben hat. Nach der Ansicht von Wildermann ist die Methode des Verfassers, deren Einzelheiten hier nicht wiedergegeben werden können, für Depressionen bis $0,2^{\circ}$ die bestmögliche; für höhere Depressionen kann sie noch verbessert werden.

Hdl.

W. Nernst und R. Abegg. Ueber den Gefrierpunkt verdünnter Lösungen²⁾. — Die Unterschiede der Bestimmungen von Jones und von Loomis (dieser JB. S. 54 u. 57) lassen darauf schließen, daß sie durch eine noch nicht erkannte Fehlerquelle verunzirt sind. Diese fanden die Verfasser darin, daß die abgelesene Gefriertemperatur nicht die richtige ist, sondern daß sie beeinflusst ist einmal durch die Strahlung und Leitung vom Kühlgefäß und sodann dadurch, daß das Gleichgewicht zwischen Eis und Flüssigkeit sich nicht momentan einstellt. Als Convergenztemperatur t_0 bezeichnen die Verfasser die Temperatur, der die Lösung zustreben würde, wenn kein Gefrieren stattfinden würde. Es ergibt sich t_0 aus den Temperaturen t_1 und t_2 , die unter bestimmten Bedingungen, insbesondere bei bestimmter Rührgeschwindigkeit und bestimmter Temperatur des Kühlbades, das Gefriergefäß in den Zeiten z_1 und z_2 einnimmt, wenn keine Eisausscheidung erfolgt. Es gilt dann die Newton'sche Gleichung

$$k(z_2 - z_1) = \log \text{nat} \frac{t_0 - t_1}{t_0 - t_2}.$$

k und t_0 werden durch besondere Versuche bestimmt. Weil die Einstellung des Gleichgewichtes zwischen Eis und Lösung nicht momentan erfolgt, ist die beobachtete Temperatur t zur Zeit z von der wahren Gefriertemperatur T_0 verschieden. Sind zu den Zeiten z_1 und z_2 die Temperaturen t_1 und t_2 beobachtet worden, so gilt:

$$K(z_2 - z_1) = \log \text{nat} \frac{T_0 - t_1}{T_0 - t_2}.$$

¹⁾ Zeitschr. physik. Chem. 15. 365—385. — ²⁾ Dasselbst, S. 681—693.

Aus beiden Gleichungen ergibt sich durch Superposition:

$$t' = T_0 - \frac{k}{K} (t' - t_0).$$

K läßt sich experimentell aus der Geschwindigkeit bestimmen, mit der sich das Gleichgewicht zwischen Lösung und Eis herstellt. Für reines Wasser und Lösungen von Chlornatrium und Alkohol hat K einen so großen Werth, daß die Correction vernachlässigt werden kann. Dagegen ist die Correction wesentlich bei der Einstellung des Gleichgewichtes zwischen Eis und Rohrzuckerlösung. Hier führt die Correction für Concentrationen zwischen 0,018 und 0,127-normal zu constanten Werthen der Molekulardepression, die mit dem theoretischen Werthe übereinstimmen. Wegen des größeren Einflusses der Convergenztemperatur bei den Versuchsanordnungen von Loomis und von Jones und wegen der Nichtberücksichtigung der langsamen Gleichgewichtseinstellung sind deren Werthe fehlerhaft. *Bdl.*

A. Ponsot. Ueber eine neue Methode zur Bestimmung der Gefrierpunkterniedrigung von Lösungen¹⁾. — Man sucht eine Anzahl von Kryohydraten aus und umgibt mit einem bestimmten von unten, von der Seite und von oben das Gefäß, in dem sich die zu untersuchende Lösung befindet. Da die Temperatur eines theilweise geschmolzenen Kryohydrats ganz constant bleibt, ist die zu untersuchende Lösung auf allen Seiten von constanter Temperatur umgeben und nimmt diese genau an. Die durch Strahlung und Leitung verursachten Fehler der Temperaturbestimmung fallen weg. Wenn sich in der Lösung Eis abgeschieden hat und der Temperaturausgleich vollständig ist, nimmt man eine Probe des flüssig gebliebenen Antheils der Lösung heraus und analysirt es. Dadurch bestimmt man direct die Zusammensetzung der mit dem Eis im Gleichgewicht befindlichen Flüssigkeit und braucht keine Correction für die Konzentrationsänderung durch Eisabscheidung. Die Gefäße aus Messing, die das Kryohydrat enthalten, sind mit Tuch umkleidet, um die Strahlung von außen zu eliminiren. Das Rühren erfolgt, indem das die untersuchte Lösung enthaltende Gefäß gedreht wird, während das Thermometer, ein Glasstab und ein Glasrohr feststehen. Zur Bestimmung des Nullpunktes bringt man in die umgebenden Gefäße statt des Kryohydrates Wasser mit Eis und umgibt sie von außen mit einer Kaltemischung von -1 bis -2° . *Bdl.*

Richard Abegg. Studien über Gefrierpunkte concentrirter

¹⁾ Compt. rend. 418. 977—980.

Lösungen ¹⁾. — Um über die Abweichungen concentrirter Lösungen von den Gasgesetzen einen Aufschluss zu erhalten, hat der Verfasser Gefrierpunktserniedrigungen bis zu 15°, bei Concentrationen bis über 7-normal gemessen. Untersucht wurden wässrige Lösungen von Rohrzucker, Glycerin, Citronensäure, Weinsäure, Aethylalkohol, Methylalkohol, Ameisensäure, Essigsäure, Aceton, Chloralhydrat, Propylalkohol, Isopropylalkohol, Propionsäure, Allylalkohol, Methylformiat, Methylacetat, Aethylformiat, Dextrose, Lävulose und Milchsäure. Es wurden die molekularen Gefrierpunktserniedrigungen berechnet nach der Definition von Arrhenius, wonach eine Lösung normal ist, die 1 g-Mol. im Liter der Lösung enthält und nach der von Raoult, die die Gehalte in Grammolekülen für 1000 g Wasser angiebt. Bei der Concentrationsrechnung nach Arrhenius steigt die Molekularerniedrigung für die meisten Stoffe — eine Ausnahme macht nur die Propionsäure — bei steigender Concentration stark an. Es ist die Abweichung bei den verschiedenen Stoffen deren Molekulargewicht nahezu proportional. Berechnet man dagegen die Molekularerniedrigungen nach Raoult, so sind die Abweichungen von dem Normalwerth auch bei höheren Concentrationen ziemlich klein und ebenso oft negativ wie positiv. Ein deutlicher Einfluss des Molekulargewichtes und der Constitution ist nicht zu erkennen. Die nach der Arrhenius'schen Rechnungsweise erhaltenen Regelmäßigkeiten in den Abweichungen liegen wahrscheinlich mehr in der Rechnungsweise als in den Dingen selbst. Führt man die nach Raoult erhaltenen zu kleinen Depressionen auf Polymerisation der gelösten Moleküle zurück und extrapolirt auf die Polymerisation des reinen, nicht gelösten, Stoffes, so erhält man vielfach, namentlich bei den Fettsäuren, bei Propyl- und Allylalkohol, nicht aber bei Methyl- und Aethylalkohol, Polymerisationswerthe, die mit den von Ramsay und Shields aus den Temperaturcoefficienten der Oberflächenspannung erhaltenen qualitativ übereinstimmen. — Es wurden ferner die Gefrierpunkte concentrirter Lösungen in *Eisessig* von Methylacetat, Aethylformiat, Aethylacetat, Propylacetat, Aethylbutyrat, Amylformiat, Amylacetat, Aethylvalerat, Phenol und Benzaldehyd und in *Benzol* von den genannten Estern und von Aethyloxalat und von Anethol bestimmt. Auch hier ergab die Rechnungsweise nach Arrhenius meist ein starkes Ansteigen, die nach Raoult immer ein dem Zahlenwerthe nach geringeres Fallen der Molekulardepression bei steigendem Molekulargewicht. Es wurde nach den

¹⁾ Zeitschr. physik. Chem. 15. 208—261.

von Arrhenius abgeleiteten Beziehungen zwischen Gefrierpunktserniedrigungen und osmotischer Arbeit der Betrag der Abweichung beider von den theoretischen Werthen berechnet. Die osmotischen Arbeiten, die bei der Verdünnung der Lösungen gewonnen werden, sind weniger mit der Concentration veränderlich, wenn man nach Raoult als wenn man nach Arrhenius die Concentrationen berechnet. Der Einfluss der Verdünnungswärme auf die Beziehung zwischen Gefrierpunktserniedrigung und osmotischer Arbeit ist in den untersuchten Fällen geringfügig. Es werden die Gründe discutirt, die für die Concentrationsrechnung nach Arrhenius und nach Raoult angeführt werden können. Das Gewicht der Gründe für die Berechnung nach Raoult überwiegt; doch wäre, in Uebereinstimmung mit der Beobachtung, eine zwischenliegende, aber der Raoult'schen näher kommende Rechnungsweise theoretisch am besten begründet. Es lassen sich die Abweichungen der concentrirten Lösungen von den Gasgesetzen qualitativ durch dieselben Umstände erklären, auf die nach van der Waals die Abweichungen comprimierter Gase von den einfachen Gesetzen zurückzuführen sind. Es fehlt aber für die quantitative Berechnung die Kenntniss der Molekülcomplexe, die in den concentrirteren Lösungen vieler Stoffe neben den einfachen Molekülen vielfach vorhanden sind. — Es wurden auch die Gefrierpunktserniedrigungen gemeinsamer Lösungen mehrerer Stoffe bestimmt. Sie sind namentlich für concentrirte Lösungen grösser als die Summe der Depressionen der einzelnen Stoffe. Untersucht wurden in wässriger Lösung die Paare Rohrzucker und Methylalkohol, Glycerin und Aethylalkohol, Aceton und Aethylalkohol und Glycerin und Rohrzucker. Es lassen sich die Depressionen der Gemische aus den empirischen Formeln für die Depressionen der einfachen Lösungen bei höheren Concentrationen berechnen.

Bdl.

Raoul Pictet. Experimentaluntersuchungen über den Erstarrungspunkt verschiedener Mischungen von Alkohol und Wasser.).

— Es werden die Erstarrungspunkte gewisser Gemische, die die Körper in molekularen Verhältnissen enthalten, mitgetheilt. Welche Zusammensetzung die Bodenkörper hatten, ob sie Eis, Alkohol oder Alkoholhydrate waren, wird nicht mitgetheilt, wohl aber Curven und recht hypothetische Erwägungen, aus denen sich die Existenz von Hydraten in den Lösungen ergeben soll. In der Tabelle sind die Zahlen Wassermoleküle auf 1 Mol. Alkohol und daneben die specifischen Gewichte der Lösungen und die Erstarrungspunkte angegeben.

Mol. Wasser	Spec. Gew.	Erstarrungs- punkt	Mol. Wasser	Spec. Gew.	Erstarrungs- punkt
1	0,8671	— 51,3	10	0,9712	— 10,6
2	0,9047	— 41,0	11	0,9732	— 9,4
3	0,9270	— 33,9	12	0,9747	— 8,7
4	0,9417	— 28,7	13	0,9761	— 7,5
5	0,9512	— 23,6	16	0,9793	— 6,1
6	0,9578	— 18,9	20	0,9824	— 5,0
7	0,9627	— 16,0	35	0,9870	— 3,0
8	0,9662	— 14,0	50	0,9916	— 2,0
9	0,9689	— 12,2	100	0,9962	— 1,0

Bd.

Spencer Umfreville Pickering. Untersuchung einiger Eigenschaften von Chlorcalciumlösungen. II. Lösungswärme¹⁾. — Es wurden die Verdünnungswärmen concentrirter Chlorcalciumlösungen gemessen. Nothwendig war für die Auswerthung der Messungen die Kenntniss der specifischen Wärmen von Chlorcalciumlösungen, weshalb auch diese bestimmt wurden. Die specifischen Wärmen sind bei

39,060	22,6615	12,3944	6,5145	2,3450	1,6957	0,4284	Proc. CaCl ₂
0,6253	0,7633	0,8841	0,9370	0,9707	0,9860	0,9994	„ „

Die Verdünnungswärmen ergeben sich aus der folgenden Tabelle. Ist die Zusammensetzung der concentrirten Lösung die der angegebenen Formel entsprechende, so bedeutet Verdünnungswärme die Wärme, die bei der Verdünnung von 1 g-Mol. Chlorcalcium von der angewandten auf unendlich kleine Concentrationen bei 17,91° frei wird.

Lösung	Verdünnungs- wärme	Lösung	Verdünnungs- wärme
CaCl ₂ + 6H ₂ O . . .	6662	CaCl ₂ + 20H ₂ O . .	1414
CaCl ₂ + 7H ₂ O . . .	5472	CaCl ₂ + 50H ₂ O . .	917
CaCl ₂ + 8H ₂ O . . .	4446	CaCl ₂ + 100H ₂ O . .	772
CaCl ₂ + 9H ₂ O . . .	3711	CaCl ₂ + 200H ₂ O . .	690
CaCl ₂ + 10H ₂ O . . .	3097	CaCl ₂ + 1500H ₂ O . .	344
CaCl ₂ + 15H ₂ O . . .	1763	CaCl ₂ + 3500H ₂ O . .	189

Die Lösungswärme von 1 Mol. festen, wasserfreien Chlorcalciums in unendlich viel Wasser beträgt 19259 cal., die von 1 Mol. des

¹⁾ Ber. 27, 67—75; vgl. JB. f. 1893, S. 461.

festen Hydrats $\text{CaCl}_2 + 6\text{H}_2\text{O}$ ist -4755 cal. Die Schmelzwärme des Hydrats ist demnach $4755 + 6662 = 11417$ cal. *Bdl.*

Spencer Umfreville Pickering. Prüfung einiger Eigenschaften von Chlorcalciumlösungen. III. Dichten und Discussion der Resultate ¹⁾. — Aus den von dem Verfasser bestimmten Werthen sollen hier nur einige herausgegriffen werden, während wegen der übrigen auf das Original verwiesen wird.

Proc. CaCl_2	Dichte bei 17,925°	Proc. CaCl_2	Dichte bei 17,925°
50	1,506 76	15	1,130 67
45	1,451 24	10	1,084 67
40	1,394 89	5	1,040 89
35	1,338 21	4	1,032 38
30	1,282 71	3	1,023 86
25	1,229 41	2	1,015 48
20	1,179 10	1	1,007 03

Ebenso wie für die specifischen Gewichte giebt der Verfasser auch für die Gefrierpunkte und Lösungswärmen interpolirte Tabellen für Gehalte von 0 bis 53 Proc. Eine Discussion der Fehlerquellen und der Curven für die drei Eigenschaften führt den Verfasser zur Annahme von Knicken in den Curven bei den molekularen Zusammensetzungen der Lösungen: $\text{CaCl}_2 + 7,23\text{H}_2\text{O}$, $\text{CaCl}_2 + 8,10\text{H}_2\text{O}$, $\text{CaCl}_2 + 9,74\text{H}_2\text{O}$, $\text{CaCl}_2 + 12,8\text{H}_2\text{O}$, $\text{CaCl}_2 + 17,4\text{H}_2\text{O}$, $\text{CaCl}_2 + 28,7\text{H}_2\text{O}$, $\text{CaCl}_2 + 60,8\text{H}_2\text{O}$, $\text{CaCl}_2 + 145\text{H}_2\text{O}$, $\text{CaCl}_2 + 249\text{H}_2\text{O}$ und $\text{CaCl}_2 + 1534\text{H}_2\text{O}$. *Bdl.*

Spencer Umfreville Pickering. Die Knicke der Hydrattheorie ²⁾. — Gegenüber den Ausführungen von Meyerhoffer ³⁾ weist Verfasser darauf hin, daß auch dann eine Aenderung der Richtung der Löslichkeitscurve eintreten kann, wenn die Flüssigkeit eine sprungweise Aenderung erleidet. Das ist nach Ansicht des Verfassers eben der Fall, indem das gelöste Salz bei der ersten Concentration hauptsächlich in Form des einen, bei der nächsten hauptsächlich in Form eines anderen Hydrates in der Lösung existiren kann. Nur sind die Knickpunkte in Folge einer Aenderung in der Natur des gelösten Hydrates weniger deutlich als bei einer Aenderung des Bodenkörpers. *Bdl.*

S. Tanatar, J. Choina und D. Kozireff. Die Depression einiger Körper in Alkohol-Wasser-Gemischen ⁴⁾. — In der Tabelle

¹⁾ Ber. 27. 1379–1385. ²⁾ Dunkelbat, S. 30–31. ³⁾ JB. f. 1893. S. 85.

⁴⁾ Zeitschr. physik. Chem. 15. 124–125.

Jahresber. f. Chem. u. s. w. für 1894.

gibt die erste Spalte den Gehalt der Lösung in Molekülen für 1 Liter Wasser an, die übrigen die Erniedrigung des Gefrierpunktes des Alkoholwassergemisches durch den Zusatz:

Gefrierpunktserniedrigungen.

Gehalt	Wasser	1 Liter Wasser + Aethylalkohol			1 Liter Wasser + Methylalkohol	
		100 g	200 g	250 g	100 g	200 g
1 Essigsäure	1,90	1,90	1,95	1,95	1,90	1,85
1 Methylalkohol	1,73	1,79	2,00	—	—	—
1 Aethylalkohol	1,73	—	—	—	1,85	2,00
1 NaCl	3,51	4,45	5,40	5,90	4,82	5,10
$\frac{1}{2}$ NaCl	1,75	2,30	2,80	—	2,50	2,80
1 KCl	3,86	4,25	5,25	5,30	4,00	4,60
$\frac{1}{2}$ KCl	1,68	2,20	2,75	—	2,10	2,60
1 HCl	3,91	4,25	4,35	—	4,15	4,10
$\frac{1}{2}$ KNO ₃	1,50	1,85	—	—	—	—
1 Rohrzucker	1,85	2,90	3,65	3,85	2,85	3,60
$\frac{1}{2}$ Rohrzucker	0,93	1,45	1,90	1,95	1,62	1,90

Während sich die übrigen Nichtelektrolyte in Wasseralkoholgemischen normal verhalten und nur die Elektrolyten in ihnen gröfsere Depressionen geben als in Wasser, gibt Rohrzucker in den Wasseralkoholgemischen abnorme Depressionen. *Bdl.*

E. Paternò und C. Montemartini. Ueber die maximale Gefrierpunktserniedrigung in Gemischen zweier Flüssigkeiten ¹⁾. — Die Verfasser halten es für wahrscheinlich, dafs die Gefrierpunktscurven von Gemischen zweier Flüssigkeiten ihren gemeinsamen tiefsten Punkt bei einem Gemisch aus gleich viel Molekülen beider Flüssigkeiten haben werden, wenn diese gleichen Polymerisationsgrad besitzen, dafs dagegen das Minimum nach der einen oder anderen Seite sich verschieben wird, wenn der Polymerisationsgrad beider Flüssigkeiten sehr verschieden ist. Die experimentellen Resultate scheinen der Voraussetzung nicht zu widersprechen. Bei Gemischen aus Xylol und Benzol liegt das Minimum etwa bei 50 Mol.-Proc., bei Essigsäure mit Xylol bei einem Gemisch aus 1 Mol. Xylol mit 2 Mol. Essigsäure, bei Gemischen aus Xylol und Phenol bei dem Gemisch 1 Xylol : 2 Phenol, bei Trimethylcarbinol mit p-Xylol bei dem Gemisch 1 Xylol : 3 Trimethylcarbinol. Für

¹⁾ Accad. dei Lincei Rend. [5] 3, II. 215–224; Gazz. chim. ital. 24, II, 208–222.

das Gemisch Trimethylcarbinol mit Phenol giebt es ein Minimum bei dem Verhältniß 6 Trimethylcarbinol : 1 Phenol und ein zweites bei dem Verhältniß 1 Trimethylcarbinol : 3 Phenol. *Bdl.*

C. T. Heycock und F. H. Neville. Gefrierpunkte von Legirungen, in denen Thallium Lösungsmittel ist ¹⁾. — Die Schmelzwärme des Thalliums ist nicht bekannt. Deshalb konnte die theoretische Schmelzpunktserniedrigung nicht berechnet werden. Die Schmelzpunktscurven von Gold, Platin und Silber in Thallium sind aber linear und ergeben eine atomare Schmelzpunkts-erniedrigung von 6,31. Bilden die Metalle einatomige Moleküle, so ergibt sich daraus, da der Schmelzpunkt des Thalliums 301° ist, die latente Schmelzwärme von 1 g Thallium zu 5,12. Blei ruft in Thallium eine atomare Schmelzpunktserhöhung von etwa 2,2° hervor, die bis zu 2,5 At.-Proc. Blei constant bleibt. Steigende Zusätze von Wismuth erhöhen zunächst den Schmelzpunkt, dann fällt die Curve wieder, steigt darauf bis zu einem Maximum bei 14 At.-Proc. Wismuth und fällt dann geradlinig bis zu 70 At.-Proc.

Bdl.

C. T. Heycock und F. H. Neville. Der Erstarrungspunkt von dreifachen Legirungen ²⁾. — Das Verhalten eines Gemisches von Gold und Cadmium in Zinn führte die Verfasser ³⁾ zu dem Schlufs, daß sie eine im Zinn etwas lösliche und darin schwach dissociirte Verbindung der Formel AuCd enthalten. Zu demselben Ergebnifs führten die jetzt mitgetheilten Versuche mit Blei, Wismuth oder Thallium als Lösungsmittel. So wurde durch 4,9 At. Cadmium auf 100 At. Blei der Schmelzpunkt des Bleies von 327,6° auf 308,76° erniedrigt. Successiver Zusatz von Gold erhöhte dann den Schmelzpunkt bis zu einem Maximum von 318,55° bei 4,9 At. Gold auf 100 At. Blei, worauf ein weiterer Zusatz von Gold den Schmelzpunkt wieder erniedrigte. Dasselbe ergab sich bei den anderen Metallen, wobei es gleichgültig ist, ob man mit dem Zusatz von Cadmium oder von Gold beginnt. Silber und Cadmium wurden in gemeinsamer Lösung in Zinn, Thallium, Blei und Wismuth untersucht. 6 At. Silber auf 100 At. Blei erniedrigen dessen Schmelzpunkt von 327,6 auf 303,15°. Setzt man darauf successive Cadmium hinzu, so steigt der Schmelzpunkt wieder, und erreicht ein Maximum von 315,79°, wenn die Legirung auf 100 At. Blei etwa 3 At. Cadmium enthält. Es wird also das Silber durch das Cadmium aus dem Blei theilweise ausgefällt, wobei die Verbindung

¹⁾ Chem. Soc. J. 65, 31—35. — ²⁾ Daselbst, S. 65—76. — ³⁾ JB. f. 1891, S. 236.

Ag_2Cd entsteht. Durch die Ausscheidung des gelösten Metalls wird die Erhebung des Schmelzpunktes hervorgerufen. Dieselbe Verbindung Ag_2Cd bildet sich auch in Zinn und Thallium. In Wismuth dagegen bildet sich die Verbindung Ag_4Cd . Während diese Verbindungen in den metallischen Lösungsmitteln zum Theil im dissociirten Zustande gelöst sind, wird Aluminium durch Gold aus seinen Lösungen in Zinn vollständig in Form der Verbindung Al_2Au gefällt. Der durch 2 At. Aluminium auf 100 At. Zinn von $231,55^\circ$ auf $228,67^\circ$ erniedrigte Schmelzpunkt des Zinns steigt bei Zusatz von Gold wieder bis auf $231,55^\circ$ bei einem Goldgehalt von 0,9 At. und fällt bei weiterem Zusatz von Gold. Die theilweise Oxydation des Aluminiums verschuldet vermutlich die kleine scheinbare Abweichung von dem Atomverhältniss 2:1.

Bdl.

F. Louis Perrot. Untersuchungen über die specifischen Wärmen einiger Lösungen von organischen Körpern¹⁾. — Nach den Untersuchungen von Mathias berechnet sich die specifische Wärme einer Lösung aus der Gleichung $\gamma_n = \frac{a + \frac{n}{b}}{1 + \frac{n}{b}} c$, worin a und b zwei Constante sind und c die specifische Wärme des Lösungsmittels, γ_n die specifische Wärme der Lösung in n Molekülen des Lösungsmittels bezeichnet. Mathias vermuthet, dass das Lösungsmittel seine gewöhnliche specifische Wärme in der Lösung behält. Aus zwei Beobachtungen γ_{n_1} und γ_{n_2} lassen sich die Constanten a und b berechnen. Bezeichnet man mit e das Molekulargewicht des Lösungsmittels, so geht, da $\gamma_e = \frac{ac}{b}$ und $E = cb$ ist, die erste Gleichung in die Gleichung $E\gamma_n + nec = \gamma_e(E + ne)$ über. Man erhält also diese Formel, indem man die Mischungsregel anwendet und dabei von einem bestimmten Werthe von n ausgeht, unter der Bedingung, dass man dem gelösten Körper ein neues Molekulargewicht (E) und eine neue specifische Wärme für den flüssigen Zustand (γ_e) zuschreibt, die beide unabhängig von der Verdünnung sind. Gelingt es, γ_e der specifischen Wärme des gelösten Körpers in flüssigem Zustande gleich zu machen, so hat man für den gelösten Körper nur ein von der Verdünnung unabhängiges Molekulargewicht E anzunehmen. Bei den früheren Untersuchungen wurden meist Wasser oder Körper mit Hydroxylgruppen angewandt, so dass sich diese Formel, da in diesen Fällen Complicationen eintreten, nicht prüfen liess. Verfasser

¹⁾ Arch. ph. nat. 32, 145—153, 254—272, 337—356.

untersucht daher nach der Methode von Marignac folgende organische Substanzen in fünf bis sechs verschiedenen Concentrationen: Monobromnaphthalin in Toluol; Monojodbenzol in Anilin; Naphthalin in Toluol; p-Dibrombenzol in Toluol; Perchloräthan in Toluol. Er berechnet die Constanten a und b aus zwei Concentrationen und daraus nach der Formel von Mathias die specifischen Wärmen der anderen Concentrationen. Die so erhaltenen Zahlen kann er mit den wirklich beobachteten vergleichen und es ergibt sich eine gute Uebereinstimmung. Aus der Untersuchung ergibt sich, dafs, wenn weder Lösungsmittel noch gelöster Stoff eine Hydroxylgruppe enthalten und beide chemisch nicht auf einander einwirken, es unnöthig ist, dem gelösten Körper ein neues Molekulargewicht zuzuschreiben. Handelt es sich um zwei Flüssigkeiten, die in einander gelöst werden, so behalten beide Körper ihr Molekulargewicht und ihre specifischen Wärmen, die sie besitzen, wenn sie allein sind. *Op.*

G. Tammann. Ueber die Wärmeausdehnung und Compressibilität von Lösungen¹⁾. — Wenn man bei demselben äufseren Druck die Wärmeausdehnung einer Lösung mit der des reinen Lösungsmittels vergleicht, so sind beide von einander verschieden. Unterwirft man das Lösungsmittel einem Druck, so verändert sich seine Wärmeausdehnung. Bei einem bestimmten äufseren Druck dehnt sich das Lösungsmittel bei der Erwärmung ebenso stark aus, wie eine bestimmte Lösung unter gewöhnlichem Druck. Es verhält sich also eine Lösung so wie das Lösungsmittel, das unter einem gröfseren Druck besteht. Der Druck JK , welcher auf das Lösungsmittel ausgeübt werden mufs, um seine Wärmeausdehnung der der unter gewöhnlichem Druck befindlichen Lösung gleich zu machen, steigt angenähert der Concentration proportional. Er beträgt für eine Lösung von 1 Mol. Rohrzucker in 25 Mol. Wasser 1217 Atm., für eine Lösung von 1 Mol. Natriumsulfat in 25 Mol. Wasser 2332 Atm. Um diesen Betrag ist der Binnendruck der Lösung gröfser als der des Wassers. Zu denselben Werthen von JK gelangt man auch, wenn man bei constanter Temperatur die Drucke untersucht, die nöthig sind, um Lösung und Lösungsmittel um denselben Bruchtheil ihres Volumens zu comprimiren. Es mufs auf das Lösungsmittel ein um JK gröfserer Druck ausgeübt werden als auf die Lösung. Die um JK auf der Druckaxe von ihrem Anfangspunkt verschobene thermodynamische (Druck-Volumen-Temperatur) Fläche einer Lösung deckt sich also

¹⁾ Zeitschr. physik. Chem. 13, 174—186.

mit der des Lösungsmittels. Das gilt aber streng nur dann, wenn ΔK selbst von Druck und Temperatur unabhängig ist, was nur innerhalb kleiner Druck- und Temperaturgrenzen zutrifft. *Bd.*

G. Tammann. Correspondirende Lösungen¹⁾. — Es treten bei der Mischung zweier Lösungen, auch ohne daß eine Reaction zwischen ihnen erfolgt, im Allgemeinen Contractionen ein. Solche Lösungen zweier Stoffe, die sich ohne Contraction vermischen lassen, werden als correspondirend bezeichnet. Correspondirende Lösungen haben auch gleiche Wärmeausdehnungen. Dagegen sind correspondirende Lösungen keineswegs auch isohydrisch; sie haben nicht immer gleichen osmotischen Druck. Das hängt damit zusammen, daß bei der Wärmeausdehnung und der Contraction beim Vermischen die Vermehrung des Binnendruckes des Lösungsmittels um die Größe ΔK eine Rolle spielt. ΔK ist aber, wie früher²⁾ gezeigt wurde, fast durchweg größer als der osmotische Druck. Es wird auch der thermische Druck des Lösungsmittels selbst durch die Auflösung vergrößert. Der Verfasser zeigt an den Versuchsergebnissen von Bender und von Kremers, daß correspondirende Lösungen, wie die Theorie des Verfassers verlangt, gleiche Werthe von ΔK besitzen. Nur in einzelnen Fällen sind correspondirende Lösungen gleichzeitig isohydrisch. Das gilt für Natriumcarbonat und Kaliumcarbonat, sowie für Natriumsulfat und Kaliumsulfat. *Bd.*

G. Tammann. Ueber den Einfluß des Druckes auf die Eigenschaften von Lösungen³⁾. — Man kann die Werthe für ΔK einer Lösung auch aus dem Einfluß des äußeren Druckes auf die Leitfähigkeit berechnen. Der letztere ist im Laboratorium von Röntgen durch Fink⁴⁾ bestimmt worden. Aus dem Unterschied des Druckeinflusses für zwei Lösungen läßt sich der Unterschied ihrer ΔK -Werthe berechnen. Die Berechnung ergibt Werthe, die mit denen gut übereinstimmen, welche man aus der Wärmeausdehnung oder der Compressibilität erhält. Es lassen sich die Leitvermögen verschiedener Lösungen auf den Binnendruck des Lösungsmittels reduciren. Für normale Lösungen beträgt bei 18° bei Salzsäure die Correction 3,5, bei Chlornatrium 5,2 und bei Zinksulfat 19,9 Proc. Durch den äußeren Druck wird das Leitvermögen erhöht. Das beruht auf der Verminderung der inneren Reibung, wodurch die Beweglichkeit der Ionen erhöht wird. Daß sich die innere Reibung des Wassers mit steigendem Druck vermindert,

¹⁾ Zeitschr. physik. Chem. 14, 163—173. — ²⁾ JB. f. 1893, S. 53. —

³⁾ Zeitschr. physik. Chem. 14, 433—445. — ⁴⁾ JB. f. 1885, S. 279.

geht aus Versuchen von Röntgen¹⁾ und Warburg und Sachs²⁾ hervor.

Bdl.

G. Tammann und W. Hirschberg. Ueber die Wärmeausdehnung einiger Lösungen in Alkohol, Aether, Benzol und Schwefelkohlenstoff³⁾. — Wasser unterscheidet sich von allen anderen Lösungsmitteln dadurch, daß es sich bei höheren Drucken stärker ausdehnt als bei niederen. Wird durch Zusatz eines Stoffes zu dem Lösungsmittel der Binnendruck der Lösung erhöht, so müssen auch die wässerigen Lösungen in ihren Wärmeausdehnungen abweichen, indem sie sich stärker ausdehnen. Mit diesem Schlusse steht für wässrige Lösungen die Erfahrung im Einklang, daß mit steigender Concentration der Lösung die Wärmeausdehnung zunimmt. Für andere Lösungsmittel sind jedoch diese Folgerungen nur dürftig experimentell bearbeitet, Verfasser haben daher nach der dilatometrischen Methode die Ausdehnungen von Lösungen obengenannter Lösungsmittel gemessen. Aus dem Isobarendiagramm für das reine Lösungsmittel wurde dann die Isobare herausgesucht, die mit der der Lösung am besten übereinstimmt. Bezeichnet man diesen Werth mit ΔK und die Menge des gelösten Stoffes mit m , so erhält man für den Quotienten $\frac{\Delta K}{m}$ Werthe, die für die Lösungen in Alkohol zwischen 1 bis 25, für Aether zwischen 3 bis 8 schwanken. Für die in beiden Lösungsmitteln untersuchten Stoffe, Sublimat und Salicylsäure, ergab sich ein größerer Werth für die ätherischen Lösungen. Schwefelkohlenstoff und Benzol schlossen sich diesem Verhalten vollkommen an. Für wässerige Lösungen sind die $\frac{\Delta K}{m}$ -Werthe, zumal wenn es sich um gute Elektrolyten handelt, viel größer. Bei HCl: $\frac{\Delta K}{m} = 80$, bei NaCl 103, bei Na₂SO₄ 90 und bei Rohrzucker 19. *Mr.*

F. Kohlrausch und W. Hallwachs. Ueber die Dichtigkeit verdünnter wässriger Lösungen⁴⁾. — Ueber die Ergebnisse dieser Untersuchung ist schon früher⁵⁾ berichtet worden. *Bdl.*

J. Traube. Das atomare und molekulare Lösungsvolumen⁶⁾. — Als molekulares Lösungsvolumen bezeichnet der Verfasser das Volumen eines gelösten Moleküls, welches aus dem specifischen Gewicht der Lösung unter der Annahme berechnet wird, daß das

¹⁾ JB. f. 1884, S. 108. — ²⁾ JB. f. 1884, S. 108. — ³⁾ Zeitschr. physik. Chem. 13, 543–545. — ⁴⁾ Ann. Phys. [2] 53, 14–42. — ⁵⁾ JB. f. 1893, S. 60. — ⁶⁾ Ber. 27, 3173–3178.

Wasser in der Lösung das gleiche Volumen einnimmt wie im reinen Zustande. Das atomare Lösungsvolumen ergibt sich aus dem molekularen unter der Annahme, daß letzteres sich additiv aus dem ersteren zusammensetzt. Der Verfasser stellt gewisse Beziehungen zwischen den atomaren Lösungsvolumen der Elemente fest. Diese sind gleich groß für Wasserstoff, Lithium, Natrium, einwerthiges Kupfer, Silber, einwerthiges Gold und einwerthiges Quecksilber. Dagegen nimmt das atomare Lösungsvolumen in der Reihe Natrium, Kalium, Rubidium, Cäsium von einem Glied zum anderen um zehn Einheiten zu. Andere Beziehungen zwischen den atomaren Lösungsvolumen der Elemente und zwischen verschiedenen Werthigkeiten desselben Elementes sind im Original nachzusehen, da sie sich nicht kurz zusammenfassen lassen. Kry stallwasser nimmt der Verfasser in den gelösten Salzen jetzt nicht mehr an.

Bdl.

Georges Charpy. Ueber die Beziehung zwischen der Dichte einer Salzlösung und dem Molekulargewicht des gelösten Salzes¹⁾. — Man erhält für die Aenderung der Dichte einer Lösung mit der molekularen Concentration weit einfachere Beziehungen, als der Verfasser früher abgeleitet hatte²⁾, wenn man die molekulare Concentration unter der durch Ramsay und Shields wahrscheinlich gemachten Ausnahme berechnet, daß die Wassermoleküle die Formel $(H_2O)_n$ besitzen. Während die Werthe von dD/dC (Aenderung der Dichte nach der molekularen Concentration) in einem Falle von 0,0528 auf 0,0052 steigen, wenn für die Berechnung einfache Wassermoleküle angenommen werden, fallen sie von 0,0196 auf 0,0177, wenn man die Formel $(H_2O)_n$ annimmt. Innerhalb derselben Grenzen sind aber bei Zugrundelegung der Formel $(H_2O)_n$ die Werthe 0,0231, 0,0230, 0,0230, 0,0228, 0,0232, 0,0231. Berechnet man für verschiedene Salze die Lösungen gleicher molekularer Concentration unter der Annahme, daß die Wassermoleküle die Formel $(H_2O)_n$ besitzen, so ergibt sich, daß die Dichten der so definirten gleich concentrirten Lösungen sich dem Molekulargewicht proportional ändern.

Bdl.

E. Paternò und C. Montemartini. Ueber die Volumenänderungen beim Mischen zweier Flüssigkeiten im Vergleich mit dem kryoskopischen Verhalten³⁾. — Die Alkohole und viele andere Stoffe sind nach ihrem kryoskopischen Verhalten in Benzollösung polymerisirt und die Polymerisation nimmt bei der Verdünnung

¹⁾ Compt. rend. 119, 150—158. — ²⁾ JB. f. 1892, S. 187—188.

³⁾ Accad. dei Lincei Rend. [5] 3, II, 139—145; Gazz. chim. ital. 24, II, 179—190.

ab. Man kann annehmen, daß sie im reinen Zustande stärker polymerisirt sind. Man sollte erwarten, daß der Zerfall in einfachere Moleküle, der bei der Verdünnung mit Benzol eintritt, sich auch durch eine Dilatation bei der Vermischung bemerklich machen sollte. Versuche der Verfasser ergaben in der That, daß eine kleine Dilatation eintritt beim Vermischen von Benzol mit Methyl-, Aethyl-, Isopropyl-, Caproyl- und Isobutylalkohol, sowie mit Anethol und Essigsäure, welche Stoffe kryoskopisch sich wie polymerisirt verhalten. Im Widerspruch mit der Annahme steht es aber, daß Benzalkohol, Glycerinbäthyläther und Isobuttersäure, die gleichfalls in Benzol polymerisirt sind, eine Contraction bei der Vermischung mit Benzol ergeben. Wo eine Dilatation beobachtet wurde, nimmt sie zu, wenn die Menge des dem Benzol zugesetzten Stoffes zunimmt. *Bdl.*

Ernst Ruppin. Volumenänderungen bei der Neutralisation starker Säuren und Basen ¹⁾. — Ostwald ²⁾ hat gefunden, daß die Volumenänderungen bei der Neutralisation von der Natur der Säure und Basis abhängen, daß aber die Differenz derselben bei der Neutralisation zweier verschiedener Säuren durch dieselbe Basis sich gleich bleibt, welche Basis auch zur Verwendung kommt. Ebenso ist die Differenz bei der Neutralisation beliebiger Basen unabhängig von der Säure. Dieses vor Aufstellung der Dissociationstheorie gefundene Ergebniss steht mit dieser in vollem Einklang. Die Theorie fordert, daß, wenn irgend eine vollständig dissociirte Base durch irgend eine vollständig dissociirte Säure neutralisirt wird, die Volumenausdehnung immer dieselbe sein muß. Der Verfasser hat zahlreiche Bestimmungen der Volumenänderungen bei der Neutralisation vorgenommen. Die Säuren und Basen wurden in $\frac{1}{10}$ -normalen Lösungen benutzt, so daß die entstehenden Salzlösungen $\frac{1}{10}$ -normal waren. Wenn stark dissociirte Säuren und Basen sich neutralisirten, war die Ausdehnung immer etwa 20 ccm für die Bildung von 1 Mol. Wasser. Bei der Neutralisation von Ammoniak tritt eine Contraction ein. Bei der Neutralisation von Essigsäure durch starke Basen ist die Ausdehnung etwa 9 ccm für 1 Mol. entstandenen Wassers. Bei der Neutralisation der starken Basen Trimethylsulfinium-, Tetramethylammonium- und Tetramethylphosphoniumhydroxyd durch starke Säuren ist die Ausdehnung für 1 Mol. entstandenen Wassers 21 bis 22 ccm, also größer als bei Kalilauge. Der Verfasser führt dies auf die geringere Dissociation der entstandenen Salze zurück. Aus den

¹⁾ Zeitschr. physik. Chem. 14, 467—485. — ²⁾ JB. f. 1878, S. 27.

Versuchen berechnet der Verfasser die scheinbaren Molekularvolumne der untersuchten Säuren, Basen und Salze. *Bdl.*

F. Hoppe-Seyler. Die Diffusion von Gasen in Wasser¹⁾. — Läßt man Luft über ruhigem, gasfreiem Wasser stehen, so erfolgt die Diffusion der an der Oberfläche gelösten Luft so langsam, daß nach 14 tägigem Stehen etwa 1 m unter der Oberfläche das Wasser kaum zur Hälfte mit Sauerstoff und Stickstoff gesättigt war. Die Diffusion erfolgt um so langsamer, je näher das Wasser der Sättigung ist. Durch bloße Diffusion könnte niemals so viel Sauerstoff in die Meerestiefen gelangen, wie nöthig ist, um das darin vorhandene Leben zu unterhalten. Der Verfasser glaubt, daß die an der Oberfläche sich sättigende Wasserschicht specifisch schwerer ist als das ungesättigte Wasser, sich dem entsprechend nach abwärts senkt und dadurch einen rascheren Transport des Sauerstoffs bewirkt. *Bdl.*

W. Kawalki. Untersuchungen über die Diffusionsfähigkeit einiger Elektrolyte in Alkohol. Ein Beitrag zur Lehre von der Constitution der Lösungen²⁾. — Durch die Untersuchungen von Nernst war die Diffusionsconstante wässriger Lösungen von Elektrolyten als eine Function der Wanderungsgeschwindigkeiten der Ionen erkannt worden. Es erschien wichtig, zu prüfen, ob das Gleiche auch für die Diffusion von Elektrolyten in Alkohol gilt. Die Leitfähigkeiten alkoholischer Lösungen hat Völlmer³⁾ gemessen und festgestellt, daß die molekularen Leitfähigkeiten bei wachsender Verdünnung ebenso wie in Wasser einem Grenzwerthe zustreben, der die Summe der Wanderungsgeschwindigkeiten der Ionen ergibt. Die Messungen der Diffusion der von Völlmer untersuchten Salze NaJ, LiCl, KCH₃CO₂, NaCH₃CO₂, KJ und AgNO₃ in Wasser und Alkohol ergab, daß das Verhältniß der Diffusionsconstanten etwa dasselbe ist wie das Verhältniß der molekularen Leitfähigkeiten bei unendlicher Verdünnung, nämlich 3. Daraus ergibt sich, daß auf Grund der Dissociationstheorie auch die Verhältnisse alkoholischer Lösungen von Elektrolyten richtig beschrieben werden können. *Bdl.*

Gustav Jäger. Ueber die innere Reibung der Lösungen⁴⁾. — Die Auflösung eines Stoffes bewirkt nach der Anschauung des Verfassers eine Energieerhöhung des Lösungsmittels, die der durch eine Temperaturerhöhung bewirkten gleichwerthig ist. Deshalb

¹⁾ Zeitschr. physiol. Chem. 19. 411—421. — ²⁾ Ann. Phys. [2] 52. 166—190. 300—327. — ³⁾ JB. f. 1892. S. 431. — ⁴⁾ Wien. Akad. Ber. 103. IIa. 251—265. Monatsh. Chem. 15. 254—265.

mufs auch der Gefrierpunkt einer Lösung um so viel tiefer liegen, als der des Lösungsmittels, als der Energiezunahme des letzteren entspricht. Andererseits ist auch die innere Reibung einer Flüssigkeit eine Temperaturfunction, indem sie abhängt von dem Radius, der Geschwindigkeit und der mittleren Weglänge der Moleküle. Es mufs also auch eine kinetisch ableitbare Beziehung zwischen der Gefrierpunktserniedrigung und dem Unterschied der inneren Reibungen zwischen Lösungsmittel und Lösung bestehen. Der Verfasser leitet eine Ungleichung ab, aus der sich ergibt, dafs der Unterschied der inneren Reibungen kleiner sein mufs als eine gewisse Function der Gefrierpunktserniedrigung, sich aber diesem Werthe bei steigender Temperatur immer mehr nähern mufs. Eine Prüfung dieser Forderung an Versuchsergebnissen von Sprung ergibt eine Bestätigung dieser Folgerung bei Lösungen von Chlorammonium, Bromammonium, Ammoniumnitrat, Chlorkalium, Bromkalium, Jodkalium und Kaliumnitrat. Die von Arrhenius entwickelten Anschauungen über die innere Reibung von Lösungen werden vom Verfasser bekämpft.

Bdl.

Erwin Frans. Ueber Elasticität von Gelatinelösungen¹⁾. — Kochsalz, Chlorkalium und Chlorealcium verringern in hohem Grade die Elasticität und Festigkeit erstarrter Gelatinelösungen. Dagegen ersetzen Glycerin, Rohrzucker und Gummi arabicum innerhalb der durch die Löslichkeit der Gelatine gesteckten Grenzen das Lösungswasser ohne Aenderung der Elasticität der erstarrten Lösungen.

Bdl.

S. E. Linder u. H. Picton. Lösungen und Pseudolösungen²⁾. — Durch Einwirkung von Schwefelwasserstoff auf verdünnte Lösungen von arseniger Säure erhalten die Verfasser Arsenit-sulfidlösungen, die nicht nur durch poröse Gefäfsse filtriren, sondern auch diffundirbar sind. Die Verfasser untersuchen die Lösungen, die diffundirbar, aber nicht filtrirbar sowie jene, die beides sind, aber bei dem Versuche Tyndall's den Lichtstrahl polarisiren. Die coagulirende Kraft von Metallsalzen ist durch die Werthigkeit der Metalle scharf bestimmt, indem die dreiwertigen am stärksten einwirken. Dieser Unterschied zeigt sich auch bei Metallen mit verschiedener Werthigkeit, z. B. beim Eisen, deutlich. Verfasser glauben daher die Werthigkeit eines Elementes in verschiedenen Verbindungen durch die Gröfse der coagulirenden Kraft bestimmen zu können. Auch die negativen Gruppen zeigen ein verschiedenes Verhalten. Die coagulirende Kraft der Halogene ist etwa gleich

¹⁾ Ann. Phys. [2] 53, 1074—1092. — ²⁾ Chem. News 70, 50—60.

stark. Setzt man nach einander verschiedene Salze der gleichen Gruppe zu, so nimmt die Wirkung zu, während Salze verschiedener Gruppen sie schwächen. Die Wirkung von freier Arsen- und Phosphorsäure ist beträchtlich verschieden von der ihrer Salze. Sulfite und Sulfate wirken etwa gleich stark ein, doch verhält sich Schwefelsäure ganz anders als schweflige Säure. Die Dichte der Lösungen ist dem Gehalt streng proportional. Durch die Coagulation wird keine Volumenänderung hervorgebracht. Die Verfasser konnten das Vorhandensein eines geringen osmotischen Druckes constatiren. Läßt man durch eine Lösung von Arsen-trisulfid den elektrischen Strom gehen, so wird ohne bemerkbare Elektrolyse das As_2S_3 von der Anode wie Kathode abgestoßen. Während Jod und Indigo in Wasser von der Kathode zurückgestoßen werden, ist in einer Auflösung in Schwefelkohlenstoff und Naphtha keine Einwirkung zu constatiren. Beim Mischen von Substanzen, die von entgegengesetzten Polen abgestoßen werden, tritt Coagulation ein. Die Versuche wurden mit Anilinblau und Magdalaroth sowie mit Methylviolett angestellt. Wässrige Lösung von Anilinblau coagulirt mit alkoholischer Lösung von Magdala.

Op.

Stöchiometrie fester Körper.

F. Rinne. Vergleich von Metallen mit ihren Oxyden, Sulfiden, Hydroxyden und Halogenverbindungen bezüglich der Krystallform¹⁾. — Das Resultat der vorliegenden Untersuchung faßt der Verfasser folgendermaßen zusammen: Die Krystallformen der Metalle finden sich bei ihren Oxyden, Sulfiden, Hydroxyden und Halogenverbindungen wieder und zwar sind diese Uebereinstimmungen nicht etwa grobe, sondern häufig sehr nahe, sowohl in den Winkelverhältnissen wie in der äußeren Erscheinung der Krystalle. Verfasser theilt die hierher gehörigen, theils künstlichen, theils in der Natur vorkommenden Krystalle in sieben Typen ein. Der erste Typus ist der reguläre Typus der Metalle und der Metalloide, der zweite ist der Magnesiumtypus. Die hierher gehörigen Substanzen sind hexagonal von holoëdrischem Aeußeren. Die Verbindungen des dritten, des Arsentypus, weisen eine mehr oder minder ausgesprochene rhomboëdrische Hemiedrie auf. Verfasser weist auf die geometrischen Beziehungen hin, die diese drei Typen zeigen. Unter den tetragonalen Metallen findet man zwei Aus-

¹⁾ Jahrb. Mineral. 1894, I, 1—55.

bildungsarten. Typus IV. ist der α -Zinntypus, der V. der Zinkcalciumtypus und der VI. der β -Zinntypus. ist eine seltene Ausbildungsart der Metalle. Nach diesen sechs Typen, in die er noch zwischen dem Arsen- und α -Zinntypus den rhomboëdrischen Quarztypus einschleibt, theilt der Verfasser die Metalle mit ihren Oxyden, Sulfiden, Hydroxyden und Halogenverbindungen in eine Tabelle ein, die im Auszug nicht wiedergegeben werden kann. Aus derselben schließt der Verfasser, daß unbekümmert um den besonderen chemischen Typus die gleiche oder eine leicht ableitbare Form bei recht verschiedenen Körpern auftreten kann und daß die Mannigfaltigkeit der Formen dieser Verbindungen auf wenige Typen der Metalle zurückgeführt werden kann. Um die Erscheinung, daß gewisse Typen der Krystallformen in beliebigen Abtheilungen des chemischen Mineralsystems wiederkehren, zu bezeichnen, schlägt Verfasser den Namen „Isotypie“ vor. *Op.*

J. W. Retgers. Beiträge zur Kenntniss des Isomorphismus¹⁾.
 -- Ueber den Zusammenhang zwischen chemischer und krystallographischer Einfachheit. An einer tabellarischen Uebersicht weist der Verfasser statistisch nach, daß sowohl die Elemente, als auch die einfachsten chemischen Verbindungen vorzugsweise entweder regulär oder hexagonal krystallisiren, während, sobald die chemischen Formeln complicirter werden, die niedrigeren Grade von Symmetrie auftreten. Drückt man die chemische Einfachheit in der Atomzahl der möglichst einfach geschriebenen Verbindungen aus, so hegt die Grenze hinter den zweiatomigen Körpern, d. h. drei- und mehratomige Verbindungen krystallisiren meist rhombisch oder monoklin, indem das quadratische und das trikline System die seltensten sind. Das Maximum der chemischen Complicirtheit fällt also nicht mit dem Minimum von Symmetrie (triklines System) zusammen. Verfasser bemängelt die Gruppeneintheilung der Mineralien von Groth, weil in ihr das Gesetz der krystallographischen Einfachheit nicht die gebührende Berücksichtigung gefunden hat und der Einfluß dieses Gesetzes als eine Folge echter Isomorphie betrachtet wird. Er wendet sich gegen die Blagauzgruppe, in der PbS , Cu_2S und Ag_2S als isomorph bezeichnet werden, während es nur die beiden letzteren wirklich sind. Auch die von Groth aufgestellte Isomorphie von HgS mit C_6S in der Zinnobergruppe ist nicht vorhanden, sondern das hexagonale Krystallsystem ist nur verursacht durch die einfache

¹⁾ Zeitschr. physik. Chem. 14, 1—52; vgl. JB. f. 1890, S. 13 u. 21; f. 1891, S. 16 ff.; f. 1892, S. 12 ff.; f. 1893, S. 119.

chemische Zusammensetzung beider. Ebenso wenig wie Schwefel und Arsen isomorph sind, so ist auch eine Isomorphie zwischen Arseniden und Sulfiden, wie sie Groth in seiner Zinkblendegruppe annimmt, nicht vorhanden. Die Isomorphie der Bisulfide mit den Biarseniden und Sulfoarseniden in der Pyritgruppe, sowie der Telluride mit den Sulfiden und Seleniden hält Verfasser nur für eine Formanalogie, die durch das Gesetz der krystallochemischen Einfachheit bedingt ist. Verfasser wendet sich dann gegen die Untersuchung von Rinne, nach dessen Theorie ein den Verbindungen gemeinschaftlicher Metallkern seine formbeeinflussende Kraft ausübt. Nach Verfassers Ansicht sind alle die von Rinne nachgewiesenen Formähnlichkeiten, insoweit die Verbindungen weniger als vier Atome enthalten und regulär oder hexagonal krystallisiren, auf das Gesetz der krystallochemischen Einfachheit zurückzuführen, während bei den complicirteren und in anderen Systemen krystallisirenden Verbindungen nur der Zufall herrsche. Verfasser geht hierauf kritisch auf die Arbeit von O. Lehmann ein, der auf Grund seiner Färberversuche in der Aufnahme von Anilinfarbstoffen in chemisch vollkommen abweichende Krystalle ein der Bildung echter isomorpher Mischkrystalle analoges Phänomen sieht und diese abnormalen sowie die echten Mischungen mit Flüssigkeiten gemischen vergleicht. Auf Grund der Doppelbrechung die „flüssigen Krystalle“ als Bindemittel zwischen Flüssigkeiten und Krystallen zu betrachten, wie es Lehmann thut, ist unstatthaft, da Doppelbrechung ja auch bei amorphen Körpern oft durch mechanische Einwirkung hervorgerufen werden kann. Die charakteristische Aeusserung der inneren regelmäßigen Structur der krystallinen Körper ist vielmehr nach Verfassers Ansicht die Fähigkeit sich zu facettiren, d. h. sich mit ebenen Flächen zu begrenzen.

Ueber morphotrope Mischungen und die Feldspaththeorie. Verfasser ist im Allgemeinen mit den Ansichten, die Arzruni in seiner „Physikalischen Chemie der Krystalle“ entwickelt, einverstanden, wendet sich jedoch gegen die Einführung des Begriffs der „morphotropen Mischungen“ bei den triklinen Feldspathen. Arzruni wendet, um die innigen Mischungen, welche mangelhafte chemische Analogie aufweisen, von den chemisch analogen zu trennen. Verfasser sieht sie als isomorphe Mischungen an und giebt hierbei folgende Eintheilung chemischer Analogie:

1. schwächster Grad BaSO_4 und KJO_4 ($\text{Ba}^{\text{VI}} = \text{K}^{\text{VI}}$);
2. BaSO_4 und K_2SO_4 ($\text{Ba}^{\text{VI}} = \text{K}_2^{\text{VI}}$);
3. BaSO_4 und CuSO_4 ($\text{Ba}^{\text{VI}} = \text{Cu}^{\text{VI}}$);
4. BaSO_4

und SrSO_4 ($\text{Ba} - \text{Sr}$). Der schwächste Grad chemischer Analogie — die Gleichheit der Summe der Valenzen — ist bei den Plagioclasen $[\text{Na} \overset{\text{I}}{\text{Al}} \overset{\text{III}}{\text{Si}}_3 \overset{\text{IV}}{\text{O}}_6$ (Albit) — $\text{Ca} \overset{\text{II}}{\text{Al}}_2 \overset{\text{III}}{\text{Si}}_2 \overset{\text{IV}}{\text{O}}_6$ (Anorthit)] vorhanden und erlaubt sie als isomorphe Mischungen zu betrachten, besonders wenn man die Arbeit Schuster's über die optischen Eigenschaften der Plagioclase berücksichtigt. *Op.*

F. Rinne. Ueber Krystalltypen bei Metallen, ihren Oxyden, Sulfiden, Hydroxyden und Halogenverbindungen. Erwiderung auf eine Besprechung des Herrn Retgers¹⁾. — Verfasser verwarft sich gegen die Kritik, die Retgers an seiner Untersuchung ausübt, in der er keine Theorie aufgestellt, sondern nur durch Einordnung der Mineralien nach ihren krystallographischen Formen Thatsachen mitgetheilt habe. Nachdem er im Einzelnen die falsche Auffassung, die Retgers an verschiedenen Stellen zum Ausdruck gebracht, richtig gestellt hat, wendet er sich besonders gegen die Behauptung Retgers, daß die Formähnlichkeiten bei den complicirteren Verbindungen, die nicht regulär oder hexagonal krystallisiren, bloß „Zufälle“ seien. *Op.*

J. H. van't Hoff. Historische Notiz²⁾. — Van't Hoff macht darauf aufmerksam, daß bereits Buys-Ballot³⁾ im Jahre 1846 das Gesetz der krystallochemischen Einfachheit ausgesprochen hat, nach dem die Körper einem Systeme von um so geringerer Symmetrie angehören, je complicirter ihre chemische Zusammensetzung ist und die zusammengesetzten Körper in unvollkommeneren Krystallsystemen zu finden sind als ihre Bestandtheile. Daß die Hydrate weniger symmetrisch krystallisiren als die zugehörigen Anhydride, ist als ein Specialfall dieser Regel anzusehen. *Op.*

W. Nernst. Erwiderung auf eine Bemerkung des Herrn Retgers⁴⁾. — Retgers⁵⁾ hatte gegen die von Nernst in seiner theoretischen Chemie ausgesprochene Vermuthung, daß das elastische Verhalten mancher amorpher fester Körper diese aus Krystallfragmenten zusammengesetzt erscheinen lasse, Widerspruch erhoben und behauptet, daß „amorph“ und „krystallinisch“ streng zu trennende Begriffe seien. Nernst weist dem gegenüber darauf hin, daß Retgers keinen Beweis für oder gegen die in seinem Buche mit aller Vorsicht geäußerte Vermuthung geliefert hat. *Op.*

F. Osmond. Mikroskopische Metallographie⁶⁾. — Da es

¹⁾ Zeitschr. physik. Chem. 14, 522–534. — ²⁾ Dasselbst, S. 548. — ³⁾ Pogg. Ann. 67, 433. — ⁴⁾ Zeitschr. physik. Chem. 13, 537–538. — ⁵⁾ JB. (1891, S. 119; Zeitschr. physik. Chem. 12, 621. — ⁶⁾ Oesterr. Zeitschr. Berg- u. Hüttenw. 42, 1–4.

keine vollständig amorphen Metalle giebt, sondern die verschiedenen Bearbeitungsweisen eine geometrische Anordnung der Elemente und damit die Bildung einer krystallinischen Structur veranlassen, welche alle Stadien, vom embryonalen bis zum vollkommen ausgebildeten Krystallindividuum, aufweisen, so ist die mikroskopische Metallographie, wie der Verfasser in diesem Vortrage hervorhebt, ein wichtiger und unentbehrlicher Begleiter der chemischen Analyse und der Festigkeitsuntersuchung. Er weist auf die Bedeutung der Mikrophotographie hin und bespricht die Wichtigkeit der Färbungen, die die verschiedenen Bestandtheile des Stahls bei verschiedenen Temperaturen annehmen, wodurch sich ein charakteristisches Bild der Structur ergibt. Verfasser hebt den Werth der Aetzfiguren hervor, die man entweder mit sehr verdünnter Salpetersäure oder mit durch Alkohol verdünnter Salzsäure hervorruft. Wiewohl das Beobachtungsmaterial noch nicht eingehend gesichtet ist, so scheinen doch zwei Punkte festzustellen. 1. Wenn verschiedene Stahlsorten die gleiche Behandlung erfahren haben, ist ihre Mikrostructur bis zu einer gewissen Grenze charakteristisch für die Härte. 2. Werden Proben derselben Stahlsorte in verschiedenen Zuständen beobachtet, so weist die Mikrostructur darauf hin, welche Bearbeitung der Stahl erfahren und von welcher und bis zu welcher Temperatur er abgekühlt wurde.

Op.

J. W. Retgers. Thalliumsilbernitrat als schwere Schmelze zu Mineraltrennungen¹⁾. — Gelegentlich seiner Untersuchung über die Isomorphieverhältnisse zwischen Silbernitrat einerseits und den Alkalinitraten andererseits fand Verfasser, daß die Doppelsalze von AgNO_3 mit KNO_3 , $(\text{NH}_4)\text{NO}_3$ und TlNO_3 sehr niedrige Schmelzpunkte besitzen, verglichen mit denen der einfachen Salze:

	Schmelzp.		Schmelzp.		Schmelzp.
KNO_3	333°	NH_4NO_3	165°	TlNO_3	205°
AgNO_3	224°	AgNO_2	224°	AgNO_2	224°
$\text{KAg}(\text{NO}_2)_2$. . .	125°	$\text{NH}_4\text{Ag}(\text{NO}_2)_2$.	97°	$\text{TlAg}(\text{NO}_2)_2$. . .	75°

Die leichte Schmelzbarkeit und das hohe spezifische Gewicht des Thalliosilbernitrats lassen diese Verbindung als schwere Schmelze zu Metalltrennungen ganz besonders geeignet erscheinen. Die Schmelze, die auf dem Wasserbade bereits vorgenommen werden kann, ist vollkommen farblos und so dünnflüssig, daß Mineral-körner rasch und leicht sinken oder steigen. Eine Zersetzung

¹⁾ Jahrb. Mineral. 1893, S. 90—94.

der Schmelze ist nicht zu befürchten, da die Zersetzungstemperatur erst in der Glühhitze liegt. Das Doppelsalz ist sehr beständig, doch tritt am Lichte nach längerer Zeit Schwärzung ein, die man durch Aufbewahren im Dunkeln leicht verhindern kann. Durch Umkrystallisiren läßt sich die Verbindung rasch reinigen. Ein besonderer Vorzug der Schmelze besteht darin, daß man, da das geschmolzene wasserfreie Salz und die heiße concentrirte, wässrige Lösung ohne Trübung sich mischen, durch Zufügen von Wasser auf jedes geringere specifische Gewicht einstellen kann. Hierzu verfährt man am besten so, daß man etwas mehr Wasser zugeht als nothig war und dann so lange eindampft, bis ein in der Schmelze befindlicher Indicator, ein Krystallkörnchen von der gewünschten Dichte, das anfangs am Boden lag, gerade zu schwimmen anfängt. Es ist gut, so viel von dem Doppelsalz zu nehmen, daß eine 2 bis 3 cm hohe Schicht reiner Schmelze zwischen den beiden zu trennenden Mineralschichten vorhanden ist. Das Doppelsalz stellt man sich dar, indem man das durch Auflösen von Thallium in kalter concentrirter Salpetersäure gewonnene Thallionitrat nach dem Auswaschen mit wenig Wasser unter Zugabe der nothigen Silbernitratmenge in warmem Wasser löst und die erhaltenen Krystalle durch Umkrystallisiren reinigt, oder man löst äquivalente Mengen von Thallium und Silber in Salpetersäure und verdampft durch Erhitzen die freie Säure. Op.

W. Muthmann. Beiträge zur Volumentheorie der krystallisierten Körper¹⁾. — Die Versuche von Kopp, Schröder u. A., das specifische Volumen der festen Stoffe aus den Atomvolumen der Elemente zu berechnen, konnten vor Allem deswegen zu keinem befriedigenden Ergebnisse führen, weil das Volumen der Elemente sowohl wie das der Verbindungen in den verschiedenen polymorphen Modificationen desselben Stoffes verschieden ist und eine bestimmte Modification herauszugreifen willkürlich ist. Es muß deshalb die Krystallform berücksichtigt werden und es dürfen zunächst nur solche Verbindungen verglichen werden, die isomorph sind. (Der Verfasser benutzt leider für das Wort Molekularvolumen das Wort Äquivalentvolumen, ohne daß er etwa äquivalente Mengen der Stoffe vergleicht. Als Äquivalentvolumen bezeichnet er das Volumen von 1 g-Mol. Bleinitrat, nicht von einem halben, und ebenso das von 1 g-Mol. Silbernitrat. Es soll hier das Wort Molekularvolumen beibehalten werden.) Es wird gezeigt, daß in den Salzen verschiedener Säuren dasselbe Metall keineswegs immer

¹⁾ Zeitschr. Kryst. 22, 497–551.

Jahresber. f. Chem. u. n. w. für 1894.

dasselbe Volumen einnimmt und ebenso wenig in den Salzen verschiedener Metalle derselbe Säurerest. Der Verfasser geht von der Ansicht aus, daß die Krystalle nicht aus den chemischen Molekülen direct aufgebaut sind, sondern aus deren Complexen, den Krystallbausteinen. Die Anzahl der einfachen Moleküle in den Krystallbausteinen isomorpher Stoffe ist gleich groß, so daß also die Gewichte der Krystallbausteine deren Molekulargewichten entsprechen. Verfasser untersucht nun nicht, wie sich das Gesamtvolumen des Krystallmoleküls beim isomorphen Ersatz eines Bestandtheiles durch einen anderen ändert, sondern wie sich die Entfernungen der Moleküle in drei Richtungen ändern. Diese Richtungen nennt er die topischen Axen. Er untersucht zunächst solche Krystalle, die sich auf die parallelepipedischen Gitter von Bravais zurückführen lassen. Indem er den einzelnen Parallelepipeden ein dem Molekularvolumen proportionales Volumen zuschreibt, d. h. das der Krystallmoleküle, und über das Verhältniß der Axen des Parallelepipeds, welches ja zu dem Verhältniß der Krystallaxen in rationalem Verhältniß stehen muß, gewisse auf Habitus und Spaltbarkeit begründete (etwas willkürliche) Annahmen macht, gelangt er zu einer Berechnung der Verhältnisse der topischen Axen bei isomorphen Substanzen, erfährt also, in welcher Richtung bei dem Ersatz eines Stoffes durch einen anderen eine Ausdehnung oder Contraction hauptsächlich stattfindet. So ergibt sich bei dem Vergleich des tetragonalen primären Kaliumphosphats, KH_2PO_4 , mit dem primären Kaliumarsenat, daß sich die Schwerpunkte der Moleküle nach allen Richtungen fast gleichmäßig von einander entfernen. Wird dagegen im Phosphat oder im Arsenat das Kalium durch Ammonium ersetzt, so entfernen sich die Krystallbausteine von einander hauptsächlich in der Richtung der Hauptaxe, während in der Richtung der Nebenaxen nur eine minimale Aenderung erfolgt. Daraus zieht der Verfasser Schlüsse auf die Gruppierung der chemischen Moleküle im Krystallmolekül, insbesondere auf die Lage der Kalium- und Phosphor-, resp. Ammonium- und Arsenatome zu den übrigen Molekülen. In ähnlicher Weise vergleicht der Verfasser die Molekularvolumen und Axenverhältnisse der Permanganate von Kalium, Rubidium, Cäsium und Ammonium und des mit diesen isomorphen Kaliumchlorats. Die Messungen der Krystalle und ihrer Dichte wurden an sorgfältig gereinigten Materialien vorgenommen. Wird in den Permanganaten ein Metallatom durch ein anderes ersetzt, so ergeben sich bei diesen rhombisch krystallisirenden Stoffen erhebliche Aenderungen in der a - und c -Axe,

und verschwindende in der *b*-Axe. Wird dagegen im Kaliumpermanganat das Mangan durch Chlor ersetzt, so ändert sich die Entfernung der Moleküle nach allen Richtungen etwa gleich stark. — Aus Berechnungen des Molekularvolumens der Alkalkhaloide, Selenate und Sulfate, und von Calcium-, Strontium- und Baryumcarbonat, sowie aus den oben angeführten Messungen schließt der Verfasser, daß in isomorphen Reihen einer Vergrößerung des Molekulargewichtes eine Vergrößerung des Molekularvolumens entspricht, wenn die Elemente, durch die sich die Glieder der isomorphen Reihe unterscheiden, derselben Gruppe im periodischen System angehören. Daß Ersatz des Mangans durch Chlor im Permanganat keine Vermehrung des Molekularvolumens bedingt, führt der Verfasser zusammen mit anderen Ausnahmen darauf zurück, daß die sich vertretenden Elemente eben nicht derselben Gruppe des periodischen Systems angehören (Mangan und Chlor gehören doch aber in die siebente Gruppe? Der Ref.). Zum Schluß bespricht der Verfasser die Unterschiede zwischen den Bravais'schen Raumgittern und den Sohncke'schen Punktsystemen. Bei Bravais sind die Krystallbausteine die physikalischen Moleküle, bei Sohncke sind es die chemischen. *Bdl.*

Ugo Alvisi. Beobachtungen über das Molekulargewicht und die Dichte der Körper im festen und flüssigen Zustande. Haloide¹⁾. — Eine Zusammenstellung der Dichten und Molekularvolumen der Haloide ergibt, daß etwa drei Viertel aller Chloride ein Molekularvolumen von etwa 26, ein größerer Theil aller Bromide von etwa 32, der Jodide von etwa 38 und der Fluoride von etwa 12,5 besitzt. *Bdl.*

A. Liversidge. Die specifischen Gewichte einiger Edelsteine²⁾. — Verfasser hat eine große Anzahl reiner Edelsteine verschiedener Herkunft bestimmt. Die gewonnenen Resultate sind in vier Tabellen niedergelegt, aus denen der nachfolgende Auszug herrührt. Das specifische Gewicht beträgt von: Beryll 2,6312 bis 2,7816; Chrysoberyll 2,9241 bis 3,7074; Chrysolith 3,3772; rother Korund (Rubin) 3,7331 bis 4,0880; blauer Korund (Saphir) 3,8822 bis 4,1068; grüner Korund (orientalischer Smaragd) 3,9668 bis 4,1082; Diamant 3,4701 bis 3,5585; Mondstein (Feldspath) 2,5772 bis 2,5826; Granat (Almandin) 3,9089 bis 4,2431; Granat (Kaneelstein) 3,6363 bis 3,7276; Lapis Lazuli 2,7629; Perlen 2,6784 bis 2,7237; Bergkrystall 2,6830; Amethyst 2,6434 bis 2,6529; Rosen-

¹⁾ Accad. dei Lincei Rend. [5] 3, 11, 376—382. — ²⁾ Amer. Chem. Soc. J. 16, 205—209.

quarz 2,6632; Rauchtöpas 2,6517 bis 2,6531; Katzenauge 2,6667; Opal 2,0074 bis 2,0746; Spinell 3,5761 bis 3,6343; Topas 3,4622 bis 3,5658; brauner Turmalin 3,0040; Türkis 2,7345; Zirkon 4,4714 bis 4,7757. *Op.*

Max Toepler. Bestimmung der Volumenänderung beim Schmelzen für eine Anzahl von Elementen¹⁾. — Verfasser bestimmt, um wie viel Cubikcentimeter sich 1 g des betreffenden Elementes beim Schmelzen ausdehnt (K). Er arbeitet mit Dilatometern mit und ohne Füllflüssigkeit oder bei den höher schmelzenden Elementen mit oben offenen Pyknometern, die bei der Schmelztemperatur des Elementes durch Abstreichen gefüllt werden. Der beim Abkühlen entstehende Hohlraum wird mit Hilfe einer geeigneten Substanz ausgewerthet. Verfasser zeichnet die Ablesungen des Flüssigkeitsstandes unterhalb und oberhalb des Schmelzpunktes als Functionen der Temperatur und berechnet durch Verlängerung beider Linien bis zum Schmelzpunkt aus der Differenz der Ablesungen, dem Kaliber der Capillaren und der eingewogenen Menge Substanz die Ausdehnung. Wo, wie beim Kalium, vor dem Schmelzen Erweichen stattfindet, wird die regelmäßige Ausdehnung bis zum Schmelzpunkt extrapoliert. Beim Arbeiten mit dem Pyknometer findet Verfasser das specifische Gewicht der flüssigen Substanz beim Schmelzpunkt und der festen Substanz bei Zimmertemperatur. Schwefel, Selen, Tellur giebt sehr complicirte Curven, weil in der Nähe des Schmelzpunktes allotrope Veränderungen einsetzen. Die Resultate hängen zum Theil von der Abkühlungsgeschwindigkeit ab.

	K_z	Aus- dehnung in Proc.		K_z	Aus- dehnung in Proc.
Na	0,0264	2,5	Cu	0,0064	5,2
Al	0,019	4,8	Sn	0,00390	2,8
S	0,0287	5,5	Sb	0,0022	1,4
K	(0,030 erweicht)	2,5	Te	0,0123	—
Zn	0,010	—	J	0,0434	21,1
Se	(0,018 < u.)	—	Tl	0,0027	3,1
Br	0,0311	—	Pb	0,0034	3,7
Rb	0,014	—	Bi	- 0,0034	- 3,27

¹⁾ Ann. Phys. 53, 348—378.

Der für das Selen angegebene Werth gilt für das Schmelzen der β -Modification (4,5 spec. Gew.), die dem monoklinen Schwefel und dem krystallinischen Tellur entspricht; der Werth ist aus den analogen Werthen für Schwefel und Tellur interpolirt. Es hat sich in allen Atomgruppen eine regelmäßige Abnahme von K_2 mit wachsendem Atomgewicht gezeigt. Berechnet man die Ausdehnung pro Grammatom, so erhält man eine periodisch auf- und absteigende Curve, die derjenigen für das Atomvolumen sehr ähnlich ist. Der Ausdehnungscoefficient der Elemente in fester Form und ihre Volumenänderung beim Schmelzen stehen in einem bestimmten Abhängigkeitsverhältnisse zu einander:

	Spec. Gew.	fest	geschmolzen b. Schmelzp.
Sb	6,62	20°	6,410 460°
Cd	8,62	18°	7,975 320°
Al	2,70	20°	2,426 720°

W. A. R.

V. Meyer u. W. Riddle. Ueber Schmelzpunktsbestimmungen bei Glühhitze¹⁾. — Anschliessend an die früheren Versuche²⁾ über die Schmelzpunkte anorganischer Salze haben Verfasser mit einem dreimal so grossen Luftthermometer und wesentlich verbesserten Arbeitsmethoden die Bestimmungen wiederholt, wobei die früheren Zahlen im Wesentlichen bestätigt wurden. Nur bei Soda wurde ein erheblich niedrigerer Schmelzpunkt gefunden als früher. Er liegt zwar noch viel höher als der des Chlornatriums und des Natriumsulfats, aber viel niedriger als der der Pottasche. Eine bestimmte Zahl kann jedoch noch nicht angegeben werden. Der Unterschied kann darin begründet sein, dass früher der Erstarrungspunkt, jetzt aber der wirkliche Schmelzpunkt bestimmt worden ist.

B.

V. Meyer, W. Riddle u. Th. Lamb. Verfahren zur Bestimmung von Schmelzpunkten bei Glühhitze³⁾. — In Verfolgung früherer Versuche, die Verfasser in zwei vorläufigen Mittheilungen⁴⁾ beschrieben haben, haben dieselben die Versuche mit wesentlich verbesserten Hilfsmitteln wiederholt, fanden aber, dass die Resultate, die sie durch Messung der Erstarrungstemperatur der Salze erhalten, im Allgemeinen keine bessere Uebereinstimmung zeigten als die früheren. Diese Fehler wurden durch die Zähigkeit und das schlechte Wärmeleitungsvermögen der erstarrenden Salzmasse bedingt, indem letztere an verschiedenen Stellen verschiedene

¹⁾ Ber. 27. 766. — ²⁾ JB. f. 1893. S. 96. — ³⁾ Ber. 27. 3129—3143. —

⁴⁾ JB. f. 1893. S. 96 u. vorst. Referat.

Temperatur zeigt, zum Beispiel an der einen Stelle bereits erstarrt ist, während sie an einer anderen noch ziemlich dünnflüssig ist. Es wurde daher bei erneuten Versuchen nicht mehr der Erstarrungspunkt, sondern der Punkt festgestellt, bei welchem eine möglichst kleine Substanzprobe von dem festen in den flüssigen Zustand übergeht, wodurch die obigen Uebelstände vermieden wurden. Die Versuche wurden in einem Apparat aus Platin ausgeführt, der im Princip nicht viel von den zur Bestimmung von Schmelzpunkten organischer Substanzen gebräuchlichen Apparaten abweicht und den Vortheil hatte, daß er mit sehr kleinen Substanzmengen arbeitet. Um den Moment des Schmelzens genau feststellen zu können, war in die Probe ein feiner Platindraht eingeschmolzen, der außerhalb des Apparates über eine Rolle laufend durch ein Gewicht belastet war, beim Schmelzen der Probe sich löste, wodurch das Gewicht gegen eine kleine Glocke schlug und so den Moment für die Ablesung des Luftthermometers anzeigte. An Stelle der früher verwendeten Salzsäure wurde Kohlensäure zur Verdrängung der Luft gewählt, die in einem Schiff'schen Apparat über Kalilauge gemessen wurde. Es ergab sich, daß bei dieser Anordnung, wenn auch das Erhitzungsbad nicht an allen Stellen denselben Erhitzungsgrad angenommen hatte, die Resultate doch nicht um mehr als 5° voneinander abwichen. Im Mittel wurden folgende Resultate für die Schmelzpunkte der verschiedenen untersuchten Salze erhalten.

Chlornatrium	815,1°	Natriumsulfat	863,2°
Bromnatrium	767,7°	Kaliumsulfat	1078,0°
Jodnatrium	661,1°	Jodrubidium	641,5°
Chlorkalium	800,0°	Jodcaesium	621,0°
Bromkalium	722,0°	Chloreolum	806,4°
Jodkalium	684,7°	Chlorstrontium	832,0°
Natriumcarbonat	849,2°	Chlorbaryum	921,8°
Kaliumcarbonat	878,6°		

Controlirt wurden diese Bestimmungen durch Beobachtung der Reihenfolge, in welcher diese Salze ohne besondere Vorsichtsmaßregeln an einem Platindraht zum Schmelzen gebracht werden konnten. Die Versuche von Le Chatelier¹⁾, welche die Feststellung der Schmelzpunkte von Salzen auf thermoelektrischem Wege zum Ziele hatten, gaben in vielen Fällen abweichende Resultate. Eine Gesetzmäßigkeit in den Schmelzpunkten zeigte sich nur insofern, als das in chemischer Hinsicht in der Mitte

¹⁾ JB. f. 1887. S. 204.

einer Reihe stehende Salz auch den mittleren Schmelzpunkt zeigte. Weitergehende Regelmäßigkeiten konnten nicht aufgefunden werden.

B.

G. H. Bayley. Verflüchtigung von Salzen während der Verdampfung¹⁾. — In einem Stück Filtrirpapier, das sich über einer auf dem Wasserbade verdampfenden Chlorkaliumlösung befand, konnte Verfasser Chlorkalium nachweisen. Der Versuch gelang bei den Chloriden aller Alkalimetalle und erklärt ihn der Verfasser so, daß sich mit dem Wasser auch feste Substanzen verflüchtigen. Die Stärke der Verflüchtigung wurde bestimmt entweder durch die Gehaltsabnahme der verdampfenden Lösung oder durch die Bestimmung der festen Substanz im condensirten Dampf. Aus den Versuchen ergibt sich, daß mit der Concentration der Lösung die Verflüchtigung zunimmt und von den Alkalimetallen Chlorlithium am schwächsten, Chloraesium am stärksten verdampft. Da im Destillat auch stets das neutrale Salz vorhanden ist, kann eine hydrolytische Abspaltung von Salzsäure nicht stattfinden.

Op.

W. Spring. Ueber das Vorkommen gewisser für den Flüssigkeits- oder Gaszustand charakteristischen Eigenschaften bei festen Metallen²⁾. — Ueberträgt man die kinetische Theorie auf die festen Körper und nimmt an, daß auch bei diesen die Molekeln bei gegebener Temperatur nicht mit der gleichen Geschwindigkeit schwingen, daß es in jedem Augenblick also wärmere und kältere Molekeln giebt, so muß es für jeden festen schmelzbaren Körper eine Temperatur geben, oberhalb deren die Schnelligkeit der am raschesten schwingenden Molekeln für einen Augenblick der Schmelztemperatur entspricht. Diese Molekeln, die also die charakteristischen Eigenschaften des Flüssigkeitszustandes besitzen, werden sich an der Oberfläche, wo die Molekeln ein weites Bewegungsfeld finden, am leichtesten bilden. Zur Prüfung dieser Annahmen prüft Spring die möglichst ebenen Grundflächen zweier Cylinder eines Metalles mit Hilfe eines eisernen Schraubstockes auf einander und erwärmt sie einige Stunden auf 200 bis 400°. Die Metalle haften mit sehr großer Festigkeit an einander mit Ausnahme des Antimons, das ein harter, spröder Körper ist und dessen Molekeln nach den oben erwähnten Annahmen jedenfalls tactmäßig schwingen, also alle die gleiche Temperatur besitzen. Es ist demnach bei Antimon nicht zu erwarten,

¹⁾ Chem. Soc. J. 65, 445—450. — ²⁾ Zeitschr. physik. Chem. 15, 65—78 u. Belg. Acad. Bull. 28, 23—27.

dafs einige Molekeln bis zur Schmelztemperatur gelangt sind, wenn die Temperatur sich bis in die Nähe des Schmelzpunktes erhebt. Die Cylinder von Aluminium, dessen Löthen schwierig ist, haften sehr fest auf einander. Setzte Verfasser Cylinder verschiedener Metalle auf einander und erhitzte sie unter Pressung einige Zeit, so bilden sich Legirungen der beiden Metalle und die Schweissung ist eine so vollkommene, dafs die Reifstache keineswegs durch die Berührungsebene geht. Durch chemische Analyse konnte Verfasser zeigen, dafs Zink und Kupfer in einer Schicht von ca. 18 mm, Cadmium und Kupfer in einer von 15 mm mit einander vereinigt waren. Dies zeigt die hohe Diffusionsfähigkeit dieser Metalle. Um die Verflüchtigung von Cadmium und Zink unterhalb der Schmelzpunkte zu untersuchen, erhitzte er die Metallpaare Cadmium-Kupfer und Zink-Kupfer in einem Heizbade auf 300 resp. 380° derart, dafs er in den einen dieser Metallcylinder eine Hohlung von nicht mehr als 0,0008 mm dreht und ihn auf den Kupfercylinder setzt. In der That liefs sich bei dieser Versuchsanordnung auf dem Kupfer eine Legirung beider Metalle nachweisen.

Op.

James Dewar. Zähigkeit fester Körper¹⁾. — Um die Zähigkeit fester Substanzen zu bestimmen, bediente sich der Verfasser eines massiven Stahlblockes mit weiter Bohrung, in der ein Stahlcylinder niedergedrückt werden konnte. Die weite Bohrung endigte in einer engeren Bohrung von $\frac{1}{10}$ Zoll Länge und $\frac{1}{16}$ Zoll Durchmesser. Der angewandte Druck betrug bis 60 Tons pro Quadratzoll und dauerte das Experiment nicht länger als 5 bis 10 Minuten. Die untersuchten Substanzen liefsen sich bequem in zwei Gruppen theilen, von denen die eine solche Körper enthält, die als Draht (meist schon bei einem Druck von 30 bis 40 Tons) herausgeprefst wurden, während die andere aus Verbindungen besteht, die kaum eine Spur von Zähigkeit zeigten. Folgende Körper, von denen die wasserhaltigen mit aq. bezeichnet sind, flossen in Drahtform aus: Natriumsulfat aq.; Natriumcarbonat aq.; Natriumthiosulfat aq.; Magnesiumchlorid aq.; Ferrosulfat aq.; Ammoniumchlorid; Chlor-, Brom-, Jod-, Cyankalium; die Nitrate von Ammonium, Kalium und Silber; Strontiumchlorid aq.; Aluminiumsulfat aq.; Natronhydrat; Oxalsäure aq.; Natriumacetat; nur langsam flossen: Calciumchlorid; Acetamid; Benzacetat; Benzoesäure; Graphit (leicht brüchiger Draht); Jod (leicht, langer zusammenhängender Draht); Harnstoffe leicht;

¹⁾ Chem. News 69, 307—309.

Anthrachinon (sehr langsam und brüchig). Von den nachfolgenden Substanzen konnte keine drahtförmig erhalten werden: Natriumphosphat aq.; Brom aq.; Alaune; Natriumnitrat; Chloride von Natrium, Lithium, Zink, Quecksilber, Magnesiumsulfat aq.; Ammoniumsulfat; die Oxalate von Natrium und Eisen; Seignettesalz; Arsensäureoxyd; Ferrocyankalium; Natriumacetat; Ammoniumacetat; Nitrate von Baryum und Strontium; Aetzkali; trockenes Carbonat und Sulfat von Natrium; trockenes Aluminiumsulfat; Zucker; Stärke; Naphthaline. Der Verfasser stellt die Bestimmung der Drucke in Aussicht, die bei jeder Substanz zur Auspressung nöthig sind und wahrscheinlich eine Constante bilden werden. Die Ausflusgeschwindigkeit von Ammoniumrhodanat wurde bei 60 Tons Druck zu 1 Zoll pro Minute gefunden. *Op.*

Ch. Margot. Adhäsion von Aluminium und einigen anderen Metallen an Glas¹⁾. — Mit einem Aluminiumstabe kann man bequem auf Glasplatten Figuren einritzen, sobald die Platte etwas feucht und vor Allem vollkommen fettfrei ist. Behandelt man diese Glasplatten mit Salzsäure oder Natronlauge, so löst sich zwar das anhaftende Aluminium auf, es hinterbleibt aber noch ein deutlicher Eindruck auf der Glasplatte. Auch mit Magnesium läßt sich dieser Versuch anstellen, wenn die Platte genügend feucht ist. Durch Oxydation des Magnesiums an der Luft verschwinden jedoch die Striche bald. Mit Cadmium und Zink gelingt es nur schwer, auf Glas Figuren einzugraviren und muß bei diesen Metallen die Glasplatte vollkommen trocken sein. Ebenso wie Glas läßt sich auch Beryll, Topas, Rubin, Schmirgel und Quarz, nicht aber Diamant von diesen Metallen ritzen. *Op.*

B. Kosmann. Ueber die chemische Bindung des sogenannten Krystallwassers in den Mineralien²⁾. — Im Verfolg seiner Anschauung von der Gleichheit des Krystallwassers und des Constitutionswassers in den Mineralien wendet sich Verfasser gegen die Ansicht, nach der das Krystallwasser von einer Verbindung chemisch aufgenommen werde und an der Krystallisation theilnehme, aber trotzdem für die Constitution derselben nicht in Frage komme. Die Wasseraufnahme einer anhydriischen Verbindung kennzeichnet das Wasser nicht als Krystallisationswasser, da z. B. bei Baryt und Aetzkalk, die ebenso leicht Wasser aufnehmen wie abgeben, dieses Wasser als Constitutionswasser angesehen wird. Die Wasseraufnahme von gebranntem Gyps und

¹⁾ Arch. ph. nat. 32. 138-144. — ²⁾ Zeitschr. deutsch. geol. Ges. 45. 529-530

Aetzkalk ist nach Verfassers Ansicht ein gleichwerthiger Vorgang. Die Aufnahme und Abgabe von Wasser steht vor Allem in Beziehung zur chemischen Energie, die bei der Bildung der wasserfreien Sulfate, Haloide und Phosphate theils als Verbindungswärme auftritt, theils als Lösungswärme die Körper zur Wasseraufnahme befähigt.

Op.

S. Surawics. Zur Kenntniss der physikalischen Eigenschaften der wasserfreien und wasserhaltigen Verbindungen ¹⁾. — Aus einer Tabelle, in der der Verfasser eine große Anzahl wasserfreier nebst den dazu gehörigen wasserhaltigen Verbindungen unter Angabe ihres Krystallsystems zusammengestellt, ergibt sich, dass die wasserfreien Verbindungen meistens einem Krystallsystem von höherer Symmetrie angehören. Die morphotrope Function des Krystallwassers ist also bei den wasserfreien Verbindungen eine derartige, dass sie deren Symmetrie herabsetzt und somit eine wesentliche Veränderung ihrer thermischen, optischen und mehrerer anderer chemischen und physikalischen Eigenschaften bedingt. Zu den letzteren gehören unter anderem, wie aus einer weiteren Tabelle ersichtlich ist: Verminderung des specifischen Gewichtes und der Härte, Zunahme des specifischen Volumens. Bemerkenswerth ist ferner die gleiche Symmetrieveränderung, die einige wasserfreie, isomorphe Krystallformen (NaCl , NaBr , NaJ , Al_2O_3 , Fe_2O_3) durch ein und dieselbe Anzahl Krystallwasser erfahren. Bei Kaliumtellurbromid ($2\text{KBr} \cdot \text{TeBr}_2$), saurem schwefligsaurem Kali ($\text{K}_2\text{S}_2\text{O}_5$), Rubidiumplatininitrit ($\text{Rb}_2\text{N}_4\text{O}_6$), saurem oxalsaurem Thallium ($\text{C}_2\text{O}_4\text{HTh}$), Traubensäure ($\text{C}_6\text{H}_8\text{O}_6$), salpetersaurem Ammonplatinammoniak ($\text{PtN}_2\text{O}_6 \cdot 4\text{NH}_3$), schwefelsaurem Natron-Lithium (NaLiSO_4), wolframsaurem Kalium (K_2WoO_6), pyrophosphorsaurem Thallium ($\text{Th}_2\text{P}_2\text{O}_7$), Cholsäure ($\text{C}_{21}\text{H}_{40}\text{O}_6$) bedingt die Wasseraufnahme keine Veränderung des Krystallsystems. Diese Fälle sucht Verfasser durch die Annahme zu erklären, dass hier vielleicht solche wasserhaltige Verbindungen mit wasserfreien verglichen sind, die, wäre ihnen ihr Krystallwasser entzogen, isomere, metamere oder polymere Formen der letzteren sein würden. Auf diesen Umstand ist es auch nach Ansicht des Verfassers zurückzuführen, dass Zinkoxyd hexagonal, Zinkhydroxyd rhombisch krystallisiert, während sich reguläre Octaeder von der Zusammensetzung $\text{Zn}(\text{OH})_2 \cdot \text{H}_2\text{O}$ abscheiden, wenn man eine gesättigte Lösung von Zinkhydroxyd in Natronlauge mehrere Wochen stehen lässt. In völligem Widerspruch

¹⁾ Ber. 27, 1306–1316.

mit der angeführten Gesetzmäßigkeit stehen die Bromabkömmlinge des Anhydroeogonins und das saure schwefelsaure Natrium. Bei Jadeit, Hydrocerussit und Zinkosit sind die Unregelmäßigkeiten auf Beimengungen zurückzuführen, von denen längst bekannt ist, daß nur Spuren derselben die Krystallisation stark beeinflussen.

Op.

B. Kosmann. Ueber die Bindung des Wassers in anorganischen Salzen¹⁾. — Verfasser macht bezüglich der Arbeit von Surawics²⁾ darauf aufmerksam, daß er dieselbe Materie aus dem Princip seiner Hydratisationstheorie und der dieselbe begründenden thermochemischen Grundlagen heraus bereits früher bearbeitet und eine erschöpfende Erklärung dafür gegeben hat³⁾.

Op.

B. Kosmann. Zur Constitution hydratisirter Verbindungen⁴⁾.

Ueber den ersten Theil der Arbeit, in der Verfasser Surawics gegenüber Prioritätsansprüche geltend macht, ist bereits berichtet worden⁵⁾. Im zweiten Theile beschäftigt sich Verfasser mit Kastle's⁶⁾ Arbeit über die Farbenveränderungen von Salzen in Lösungen, die in Verfassers Hydratisationstheorie ihre Erklärung finden.

Op.

C. E. Linebarger. Ueber die Bestimmung kleiner Dissociationsspannungen, speciell krystallwasserhaltiger Salze⁷⁾. — Wenn der Partialdruck eines Dissociationsproductes für Lösungen desselben bei verschiedenen Concentrationen und Temperaturen bekannt ist, so ist es möglich, wenn man das Gleichgewicht zwischen Lösungsmittel und dem dieses Dissociationsproduct gebenden Körper bei bestimmter Temperatur sich hat herstellen lassen, die Dissociationsspannung des letzteren aus einer Bestimmung seiner gelösten Menge zu entnehmen. Löst man daher zum Beispiel ein krystallwasserhaltiges Salz in Aether, so bildet sich ein wasserärmeres Hydrat und Wasser, das in Aether beschränkt löslich ist. Bei einer bestimmten Temperatur wird das höchste Hydrat Wasser abgeben, dessen Menge seiner Dissociationsspannung im Hydrat entspricht. Da der Partialdruck des Wasserdampfes in Lösungen von Wasser und Aether aus den Verteilungsgesetzen berechnet werden kann, so giebt eine Bestimmung der gelösten Wassermenge die Dissociationsspannung. Verfasser bestimmt die Mengen Wasser, die der Aether aufgenommen, mit

¹⁾ Ber. 27, 1911–1912. — ²⁾ Vorst. Referat. — ³⁾ Berg u. Hüttenm. Zeitg. 48, 55. — ⁴⁾ Chemikerzeit. 18, 1092–1093. — ⁵⁾ Vorst. Referat. — ⁶⁾ Döberl JB., S. 149. — ⁷⁾ Zeitschr. physik. Chem. 13, 500–508.

Hülfe des Beckmann'schen Siedeapparates. Die Siedepunkts-erniedrigungen sind unabhängig von der Menge des angewandten Aethers und des zugefügten Salzes, so dass man beide nicht zu kennen braucht. Die erhaltenen Werthe kann Verfasser mit den von Frowein ermittelten vergleichen, der den Partialdruck des Wasserdampfes dadurch bestimmte, dass er bei der Berührung krystallwasserhaltiger Salze von bekannter Dissociationsspannung mit Aether die aufgelöste Wassermenge bestimmte. Die Zahlen sind in guter Uebereinstimmung. Keine gut unter einander übereinstimmenden Siedepunkts-erniedrigungen konnten bei Chlorbaryum erhalten werden. Ebenso zeigte Eisensulfat eine unregelmässige Depression, deren Grund bei diesem Salz in einer chemischen Einwirkung auf den Aether zu suchen ist. Die gewonnenen Resultate lassen sich in dem Satz zusammenfassen, dass: Dissociationsspannungen anstatt mittelst einer directen Druckmessung genauer und einfacher indirect aus Löslichkeitsbestimmungen sich ermitteln lassen.

Op.

H. Lescœur. Untersuchungen über die Dissociation der Salzhydrate und ähnlicher Verbindungen ¹⁾. — Die Beobachtungsmethode ist die gleiche, die in der früheren Publication über diesen Gegenstand (JB. f. 1892, S. 391) von Lescœur angewandt wurde; durch Messung von Dissociationsspannungen wurden nämlich die Hydrationsstufen der untersuchten Salze — in dieser Mittheilung der Haloide — ermittelt und die Ergebnisse zum Theil durch directe Analyse controlirt. So wurde die Existenz folgender Hydrate der Chloride festgestellt: $MgCl_2 + 6H_2O$, $MgCl_2 + 4H_2O$, $ZnCl_2 + 2H_2O$, $CdCl_2 + 4H_2O$, $CdCl_2 + H_2O$, $FeCl_2 + 6H_2O$, $FeCl_2 + 4H_2O$, $FeCl_2 + 2H_2O$, $FeCl_2 + H_2O$, $Fe_2Cl_3 + 12H_2O$, $CuCl_2 + 3H_2O$, $CuCl_2 + 2H_2O$, $CuCl_2 + H_2O$. Von Bromiden wurden folgende Hydrate ermittelt: $BaBr_2 + 2H_2O$, $BaBr_2 + H_2O$, $MgBr_2 + 6H_2O$, $MgBr_2 + H_2O$, $ZnBr_2 + H_2O$, $CdBr_2 + 4H_2O$, $MnBr_2 + 4H_2O$, $MnBr_2 + H_2O$, $FeBr_2 + 6H_2O$, $FeBr_2 + 2H_2O$, $FeBr_2 + H_2O$, $FeBr_2 + 3H_2O$, $2FeBr_2 + 3H_2O$. Von Jodiden wurden erhalten: $NaJ + 4H_2O$, $LiJ + 6H_2O$, $BaJ_2 + 6H_2O$, $MnJ_2 + 6H_2O$, $MnJ_2 + 4H_2O$, $MnJ_2 + 2H_2O$, $MnJ_2 + H_2O$, $FeJ_2 + 2H_2O$, $FeJ_2 + 2H_2O$, $FeJ_2 + H_2O$. Höhere Hydrate als die hier angeführten existiren noch bei einigen Haloiden; sie konnten aber auf dem vom Verfasser eingeschlagenen Wege nicht nachgewiesen werden, weil ihre Dissociationsspannung mit der der gesättigten Lösung zusammenfällt. Durch Salzsäure wurden aus den Lösungen der

¹⁾ Ann. chim. phys. [7] 2, 78—117.

Wasserhaltigen Chloride meist niedrigere Hydrate gefällt. Es wurden so die Hydrate erhalten: $\text{BaCl}_2 \cdot \text{H}_2\text{O}$, $\text{CdCl}_2 \cdot \text{H}_2\text{O}$, $\text{SrCl}_2 \cdot 2\text{H}_2\text{O}$, $\text{CuCl}_2 \cdot 2\text{H}_2\text{O}$, $\text{CoCl}_2 \cdot 2\text{H}_2\text{O}$, $\text{NiCl}_2 \cdot 2\text{H}_2\text{O}$, $\text{FeCl}_3 \cdot 4\text{H}_2\text{O}$, $\text{MnCl}_2 \cdot 2\text{H}_2\text{O}$, $\text{MgCl}_2 \cdot 4\text{H}_2\text{O}$. Nichts gefällt wurde durch Salzsäure aus gesättigten Lösungen von $\text{Fe}_2\text{Cl}_6 \cdot 12\text{H}_2\text{O}$, $\text{CaCl}_2 \cdot 6\text{H}_2\text{O}$, $\text{ZnCl}_2 \cdot 2\text{H}_2\text{O}$. Nur solche gesättigten Lösungen gaben mit Salzsäure Niederschläge, deren Dampfspannung bei 20° gröfser als 8 mm ist. Die drei zuletzt angeführten Salze geben gesättigte Lösungen mit 5,4 bis 6,5 mm Dampfspannung. Sj.

M. P. Sabatier. Einige wasserhaltige Metallchloride¹⁾. — Veranlaßt durch vorstehende Arbeit von Lescœur bringt Verfasser seine den gleichen Gegenstand betreffenden Untersuchungen aus dem Jahre 1889²⁾ in Erinnerung. Verfasser hat damals angegeben, wie Lescœur jetzt wiedergefunden hat, dafs bei der Verwitterung im Vacuum in Gegenwart von Schwefelsäure aus den Salzen mit $6\text{H}_2\text{O}$ die Salze $\text{SrCl}_2 \cdot 2\text{H}_2\text{O}$; $\text{NiCl}_2 \cdot 2\text{H}_2\text{O}$; $\text{CoCl}_2 \cdot 2\text{H}_2\text{O}$ entstehen. Ebenso hatte Sabatier bereits für das Eisenchlorid die beiden Hydrate $\text{Fe}_2\text{Cl}_6 \cdot 12\text{H}_2\text{O}$ und $\text{Fe}_2\text{Cl}_6 \cdot 5\text{H}_2\text{O}$ gefunden. Im Gegensatz zu Lescœur hatte Verfasser beim Verwittern von $\text{MnCl}_2 + 4\text{H}_2\text{O}$ stets das Salz $\text{MnCl}_2 \cdot 2\text{H}_2\text{O}$ erhalten und niemals $\text{MnCl}_2 + 2\text{H}_2\text{O}$, wie Lescœur angiebt. Durch Krysalisation in gesättigter Salzsäure oder durch Verwitternlassen im Vacuum konnte Sabatier aus dem gewöhnlichen MgCl_2 mit $6\text{H}_2\text{O}$ ein Salz mit $5\text{H}_2\text{O}$ gewinnen, dessen Existenz Lescœur verneint. Auch die Behauptung von Lescœur, dafs die Krysalisation des Eisenchlorürs aus wässriger Lösung ein Hydrat mit 6 Wasser liefere und nicht mit 4, das nur in schwach salzsaurer Lösung entstände, bestreitet der Verfasser, da er es auch aus nicht saurer Lösung erhalten habe. Verfasser erhielt aus wässrigen Lösungen stets das Kupferchlorid mit 2 Wasser, während Lescœur ein Hydrat mit 1 Wasser gefunden hat. Op.

M. H. Lescœur. Einige wasserhaltige Metallchloride³⁾. [Aus Anlaß der Veröffentlichung von Sabatier⁴⁾. — Verfasser weist die Prioritätsreclamation Sabatier's zurück und hält die Uebereinstimmung in den Resultaten ihrer Arbeiten trotz der von Sabatier angeführten Differenzen für eine genügende. Op.

J. M. van Bemmelen. Das Hydrogel und das krystallinische Hydrat des Kupferoxyds⁵⁾. — Spring und Lucion⁶⁾ machen in

¹⁾ Bull. soc. chim. Paris 11, 546. — ²⁾ JB. f. 1889, S. 336. — ³⁾ Bull. soc. chim. Paris [3] 11, 853. — ⁴⁾ Vorst. Referat. — ⁵⁾ Zeitschr. anorg. Chem. 5, 406–483. — ⁶⁾ JB. f. 1892, S. 511.

ihrer Mittheilung über die Entwässerung des blauen, gallertartigen Kupferoxyds unter dem Einflusse verdünnter Salzlösungen keinen Unterschied zwischen dem colloidalen und krystallinischen Hydrat und legen keinen Nachdruck darauf, daß sie es mit einer Substanz im colloidalen Zustande zu thun haben, deren Wassergehalt zu einem großen Theil einen anderen Charakter als Hydratwasser hat. Sie finden die Zusammensetzung der Formel $\text{CuO} \cdot 2\text{H}_2\text{O}$ entsprechend. Verfasser ist dagegen der Ansicht, 1. daß das frisch gefällte colloidale Kupferoxyd (das Hydrogel) eine große Menge Wasser absorbiert hält, welches kein chemisch gebundenes Hydratwasser, sondern Imbibitions- und Absorptionswasser ist, wie er das bereits für Kieselsäure nachgewiesen hat; 2. daß es beim Stehen unter Wasser und beim Trocknen allmählich Modificationen erleidet; 3. daß diese colloidale Substanz sich in seinem Verhalten von dem krystallinischen Hydrat unterscheidet. Daß der Wassergehalt von Oxyden oder Oxydhydraten im colloidalen Zustande (Hydrogels von Graham) von der Dampfspannung des Mediums, womit sie sich in Gleichgewicht gestellt haben, von der Temperatur, von den Modificationen, die das Colloid erlitten hat, abhängig ist, und daß diese Eigenschaften beim Uebergange des Colloids in das krystallinische Hydrat aufgehoben werden. Das Hydrogel wurde nach den Angaben von Spring und Lucion aus verdünnter Kupfersulfatlösung mit verdünnten Alkalien dargestellt. Durch sorgfältiges Auswaschen läßt sich ein schwefelsäurefreies Product erhalten. Das krystallinische Hydrat wurde erhalten durch Behandeln von basischem, krystallinischem Kupfernitrat oder Kupfersulfat mit Kalilösung. Die angestellten Versuche erstrecken sich auf die Entwässerung des Hydrogels bei Temperaturen von 15 bis 50° und unter dem Einflusse von Alkali- oder Salzlösungen, die dabei auftretenden Umsetzungen, die Absorption von gelösten Substanzen und führen zu folgenden Resultaten, die vornehmlich in dem colloidalen Zustande des Hydrogels begründet sind. Wie andere Hydrogele (von SiO_2 , Al_2O_3) enthält es in frischem Zustande eine große Menge Imbibitions- resp. Absorptionswasser schwach gebunden in unbestimmten Molekularverhältnissen. Es verliert in frischem Zustande das Wasser ganz oder fast ganz bei 15 bis 50°, noch rascher unter dem Einflusse von Alkali und Salzlösungen. Wenn es schon von Anfang an unter Wasser bei 15° aufbewahrt, oder wenn es als Gallerte, auflösend bei niedrigen Concentrationen, der Gasphase ausgesetzt wird, erleidet es Modificationen. Es nähert sich allmählich dem Zustande und der Zusammensetzung des chemischen Hydrats $\text{CuO} \cdot \text{H}_2\text{O}$. Indem es

unter fortwährend abnehmender Concentration der Gasphase Wasser verliert, stellt es sich jedesmal damit ins Gleichgewicht und hält das rückständige Wasser stärker gebunden. Schließlich kann es 1 Mol. Wasser noch bei einer Temperatur von nahe an 100° festhalten und bietet dem Einflusse von Alkali und Salzlösungen großen Widerstand. Der Entwässerungsvorgang weist darauf hin, daß der Complex ursprünglich eine feste Lösung darstellt. Das krystalline Hydrat von CuO dagegen hat von Anfang an die Zusammensetzung $\text{CuO} \cdot \text{H}_2\text{O}$, ist dauerhaft gegenüber Alkalien, Salzlösungen und Erhitzung bis 100°.

Op.

G. Gore. Temperaturveränderungen durch Berührung von Flüssigkeiten mit gepulverter Kieselsäure¹⁾. — Verfasser bestimmt die Temperaturerhöhungen, die eintreten, wenn er Kieselsäure zu den Lösungen verschiedener Salze giebt. Zu 50 ccm Lösung, die 10 Proc. wasserfreie Substanz enthielt, gab er 100 „Grains“ reine und trockene Kieselsäure von gleicher Temperatur ohne Umschütteln. Das Maximum der Temperaturerhöhung trat schon nach drei Minuten ein.

	Grade C.		Grade C.		Grade C.
Na_2CO_3	0,04	CuSO_4	0,25	FeSO_4	0,38
BiSO_3	0,10	Citronensäure . .	0,25	KBr	0,38
NaHCO_3	0,12	KJ	0,26	MnCl_2	0,39
SrCl_2	0,12	KNO_3	0,26	ZnSO_4	0,41
BaCl_2	0,13	HBr	0,26	MgCl_2	0,41
MnSO_4	0,14	LiCl	0,28	CdCl_2	0,41
Na_2SO_4	0,15	SrCl_2 (5 Proc.) .	0,28	H_2SO_4	0,42
MgSO_4	0,15	CoCl_2	0,29	H_3PO_4	0,44
K_2O (5 Proc.) . .	0,16	KSO_3 (5 Proc.) .	0,29	KHCO_3	0,44
CaCl_2	0,18	NH_4Cl	0,30	$\text{H}_4\text{P}_2\text{O}_7$	0,47
Sn_2NO_3	0,18	Na_2HPO_4 (5 Proc.)	0,30	HCl	0,48
Weinsäure	0,18	KHSO_4	0,30	KCN (1,25 Proc.) .	0,60
H_2O	0,19	SrCl_2 (20 Proc.) .	0,30	KCN (2,5 Proc.) .	0,67
ZnCl_2	0,20	H_2O	0,30	KCN (5,0 Proc.) .	0,70
CaCl_2	0,21	NaCl	0,32	NaCN	0,72
K_2SO_4	0,22	FeCl_2	0,33	CdSO_4	0,78
CaSO_4	0,23	HNO_3	0,34	KCN (10 Proc.) .	0,82
NH_4Br	0,24	K_2CO_3	0,36	NH_4OH	1,40
NaBr	0,24	KBr	0,37		
$(\text{NH}_4)_2\text{SO}_4$	0,24	CH_3COOH . . .	0,37		

¹⁾ Phil. Mag. 37. 306.

In jeder Lösung, aber auch in reinem Wasser trat eine Temperaturerhöhung ein. Verfasser weist darauf hin, daß die Lösungen, deren Temperaturzunahme kleiner ist als die bei Wasser, Substanzen enthalten, die Wärme absorbiren und die Temperaturerhöhung verkleinern, während in den übrigen Lösungen Substanzen aufgelöst sind, die Wärme entwickeln und den Betrag der Temperaturzunahme vergrößern. Es ist leicht möglich, daß Verbindungen gefunden werden, in deren Lösung sogar eine Temperaturabnahme stattfinden kann. Daß die Temperaturzunahme mit der Concentration zusammenhängt, zeigen die Versuche mit Cymkalium und Strontiumchlorid. Den Einfluß der Größe der festen Theilchen konnte der Verfasser dadurch nachweisen, daß 100 „Grains“ Quarzsand, dessen Körner einen ungefähren Durchmesser von $\frac{1}{16}$ Zoll besaßen, in 10 Proc. Kaliumcyanidlösung eine Temperaturerhöhung von nur 0,03° hervorriefen, während die Kieselsäure eine Temperaturänderung von 0,82° bewirkt hatte. Thonerde, von der 200 „Grains“ zu 50 cem einer 10 proc. Lösung zugesetzt wurden, wirkt bei Weitem stärker ein, und beträgt die Temperaturerhöhung in reinem Wasser 1,16°. Die größte Erwärmung, die bei Thonerde beobachtet wurde, betrug 2,5°, und zwar in Kochsalzlösung. Verfasser stellte noch weitere Versuche an mit verschiedenen Carbonaten und Oxyden in reinem Wasser und in 10 proc. Ammoniaklösung. Die Temperaturänderung in wässrigen Lösungen hat dreierlei Ursachen: die Vereinigung des Wassers mit dem Pulver, die Vereinigung der gelösten Substanz mit dem Pulver und die Trennung der Luftschicht. Verfasser macht auf den Einfluß aufmerksam, den sowohl diese Wärmeentwicklung bei der specifischen Wärmebestimmung unlöslicher Pulver, wie die Contraction beim Mischen von Wasser und unlöslichen Pulvern bei der Bestimmung der Dichte derselben ausüben muß.

(Op.

G. Gore. Zersetzung von Flüssigkeiten in Berührung mit Kieselsäure¹⁾. — Zur Aufklärung der bereits bekannten Erscheinungen, daß Essigsäure aus wässriger Lösung beim Filtriren durch ein Quarzfilter zurückgehalten wird und fein vertheilte Kieselsäure Kaliumpermanganat einschließt, untersucht der Verfasser genauer das Verhalten von Kieselsäure und anderen Verbindungen gegen eine große Reihe von Substanzen. Die Versuche wurden in der Weise angestellt, daß 5 g der aufs Sorgfältigste gereinigten Kieselsäure zu 25 cem einer Lösung gegeben wurden.

¹⁾ Chem. News 69, 22—24, 33, 43—45.

Nach 16 bis 20 Stunden wurde die überstehende Flüssigkeit abfiltrirt und analysirt. In den Lösungen folgender Substanzen zeigt sich nach dem Behandeln mit Kieselsäure eine Abnahme des Gehaltes an gelöster Substanz: HCl , HBr , HI , HNO_3 , HClO_3 , HClO_4 , H_2O_2 , H_2PO_4 , $\text{H}_3\text{P}_2\text{O}_7$, Weinsäure, Bernsteinsäure, CuSO_4 , CoCl_2 , FeCl_2 , FeSO_4 , CdCl_2 , ZnCl_2 , MgCl_2 , CaCl_2 , SrCl_2 , BaCl_2 , LiCl , NaCl , NaBr , NaJ , Na_2HPO_4 , NaHCO_3 , KCl , KBr , KJ , KNO_3 , KHSO_4 , KHCO_3 , RbCl , RbJ , Rb_2SO_4 , NH_4Cl , NH_4Br , $(\text{NH}_4)_2\text{SO}_4$, Trimethylamin. Bei diesen Lösungen tritt die relativ größte Absorption in den verdünnten Lösungen ein, doch findet auch in einigen Fällen das Umgekehrte statt. Bei einzelnen Substanzen ändert sich die Absorption mit der Concentration so stark, daß in der einen Lösung eine Absorption überhaupt nicht eintritt, während sie in einer davon verschieden concentrirten Lösung einen beträchtlichen Werth erreicht. In einer Schwefelsäurelösung wird in einer 1proc. wie 10proc. nichts absorbirt, in einer 5proc. dagegen über 6 Proc. Von den angeführten Substanzen werden meist 2 bis 4 Proc. absorbirt. Bedeutend höher ist die Absorption in den Lösungen von NaCN , Na_2CO_3 , K_2CO_3 , in deren verdünnten Lösungen sie etwa 83 bis 87 Proc. beträgt; in einer Lösung von Ammoniumsaccharat werden 60 Proc. von Jod 38 Proc. und von $(\text{NH}_4)\text{OH}$ 21 Proc. absorbirt. Keine Einwirkung ist bei folgenden Substanzen zu constatiren: CrO_3 , Oxalsäure, Citronensäure, NiCl_2 , NiSO_4 , $\text{Na}_2\text{B}_4\text{O}_7$, FeCl_3 , RbBr . Eine Zunahme der Concentration wird bei folgenden Lösungen gefunden: $\text{H}_3\text{P}_2\text{O}_7$, CaCl_2 , CoSO_4 , MnCl_2 , MnSO_4 , CdSO_4 , ZnSO_4 , MgSO_4 , Na_2SO_4 , K_2SO_4 , KSO_3 , KClO_3 , und zwar meist um 1 bis 3 Proc. Setzt man Kieselsäure zu einer Lösung zweier Substanzen, so ändert sich der Betrag der Absorption jedes einzelnen Stoffes. Beim Schütteln mit SiO_2 ist die Absorption größer als beim Filtriren durch ein Kieselsäurefilter. Wie angestellte Versuche zeigen, ist die Dauer der Einwirkung ohne wesentlichen Einfluß. Der Werth der Absorption nimmt mit der Masse der zugefügten Kieselsäure nur wenig zu. Ebenso erhöht eine Temperatursteigerung die Absorption nur gering. In einer Mischung von Alkohol und Wasser bleibt die Absorption die gleiche. Setzt man gefälltes BaSO_4 zu einer Lösung von KNO_3 , so reißt das Baryumsulfat weniger Kaliumnitrat nieder, als wenn man es in der Lösung durch Einwirkung von $\text{Ba}(\text{NO}_3)_2$ auf K_2SO_4 entstehen läßt. Titansäure, Ferritoxid, Thonerde, Baryumsulfat absorbiren die Alkalien weniger als Kieselsäure, obwohl ihr Pulver feinkörniger ist. Magnesiumcarbonat absorbirt nur sehr schwach, Calciumcarbonat überhaupt nicht.

Die Einwirkung zwischen Pulver und Lösung ist unkehrbar und folgt dem Gesetze des chemischen Gleichgewichtes. Verfasser hat gefunden, daß Wärme bei der Absorption entwickelt wird. *Op.*

G. C. Schmidt. Ueber Adsorption¹⁾. — Um die Gültigkeit des Henry'schen Gesetzes bei den Erscheinungen der Adsorption zu studiren, bestimmt Verfasser das Theilungsverhältniß, das sich beim Einbringen von gereinigter Kohle in die alkoholische Lösung von Jod und in die wässerige von Essigsäure, Bernsteinsäure,

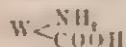
Oxalsäure einstellt. Das Verhältniß $\left(\frac{c_2}{c_1}\right)^x$ ist in keinem der untersuchten Fälle constant; die adsorbirte Menge nimmt zwar mit der Verdünnung der Lösung ab, aber viel langsamer als die Concentration der Lösung; das Henry'sche gilt also hier nicht. Zur Widerlegung der Theorie von Witt, wonach sich beim Färben eine feste Lösung bilde, bestimmt der Verfasser den Theilungscoefficienten zwischen Pikrinsäure und Cellulose, sowie Eosinlösung und Seide. Aus den gewonnenen Resultaten, wonach das Verhältniß zwischen der Concentration des Farbstoffs in der wässrigen Lösung und der in der Faser inconstant ist, schließt der Verfasser, daß der Proceß der substantiven Färbung eine ausgesprochene Oberflächenwirkung ist. Verfasser macht darauf aufmerksam, daß das Färben der Krystalle mit organischen Farbstoffen, wie es von O. Lehmann ausgeführt wird, wahrscheinlich ein Adsorptionsvorgang ist. *Op.*

A. Rosenstichl. Ueber die Natur der Kräfte, welche bei der Färberei in Frage kommen²⁾. — Um zu zeigen, daß bei der Färberei auch eine chemische Reaction eintritt, wählt der Verfasser als Beispiel ein Silberstück, das im Schwefelwasserstoffstrome sich geschwärzt hat. Die schwarze Farbe ruht von einer chemischen Verbindung her, dem Silbersulfid, und doch lassen sich nicht Theile von dem Silberstück wegschaben, deren Analyse einfache Proportionen ergibt, da das nicht angegriffene Silber am Silbersulfid fest haftet. Das Gleiche tritt nach Ansicht des Verfassers in der Färberei zu Tage, wo eine dünne Schicht der Faser mit der färbenden Substanz eine chemische Reaction eingegangen ist. Ebenso spielt die Adhäsion eine große Rolle. Verfasser kommt zu dem Schluß, daß bei dem Färben sowohl eine chemische Reaction wie mechanische Adhäsion stattfindet, deren Wirkungen sich gegenseitig unterstützen. *Op.*

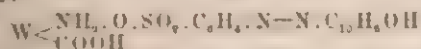
¹⁾ Zeitschr. physik. Chem. 15, 56—64. — ²⁾ Bull. soc. chim. [3] 11, 44.

W. P. Dreaper. Theorie des Färbens¹⁾. — Verfasser färbte Seide mit Primulin, indem er in der Faser diazotirte und dann mit Phenol, Resorcin, Ammoniak, Salicylsäure, Anilin, m-Phenyldiamin und β -Naphthylamin entwickelte. Die so gefärbte Seide wurde mit Seifenlösung ausgezogen und die Menge des abgegebenen Farbstoffes nach 5, 10, 15, 30, 45 und 60 Minuten bestimmt. Es ergab sich, daß die in der Faser diazotirten Farben eine viel größere Beständigkeit besitzen als die Seide, die mit außerhalb der Faser dargestellter Farbe ausgefärbt war. Die erhaltenen Resultate, die in verschiedenen Curven dargestellt sind, sprechen nach Ansicht des Verfassers gegen die Theorie der festen Lösungen, da nach dieser Theorie die in wie außerhalb der Faser erzeugten Farben mit gleicher Stärke festgehalten werden müßten. Die That- sache, daß das Primulin selbst bei der Einwirkung der Seifen- lösung fester zurückgehalten wird als die außerhalb der Faser diazotirten Farben, spricht für eine chemische Verbindung des Pri- mulins mit der Faser. Da die Farben, die mit Aminen entwickelt wurden, beständiger sind als die mit Phenolen entwickelten, so scheint das Fibrin mehr saurer als basischer Natur zu sein. *Op.*

Carl Otto Weber. Substantive Farbstoffe und substantives Färben. Ein Beitrag zur Theorie des Färbens²⁾. — Das Verhalten der Wolle, mit Farbstoffen sowohl saurer wie basischer Natur lackartige Verbindungen zu bilden, wird erklärt durch die An- wesenheit einer Amido- und einer Carboxylgruppe im Molekül der Wolle, das man durch die Formel:

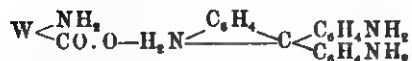


darstellen kann, worin W das unbekannte Radical der Wolle bedeutet. Alle substantiven Farbstoffe besitzen entweder basischen oder sauren Charakter. Indigo, Anilinschwarz, Türkischroth, sowie alle mit Beizmitteln oder durch Diazotirung auf der Faser her- gestellten Farbstoffe färben nicht anders als Chromgelb, Berliner- blau, d. h. es sind als unlösliche Niederschläge in den Hohlraum der Faser mechanisch anhaftende Pigmente. Nach oben erwähnter empirischer Formel ist zum Beispiel Naphtholorange als Säure folgendermaßen:

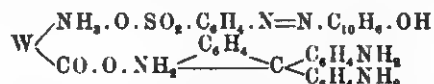


in der Wolle gebunden, während die Formel für mit Magenta gefärbte Wolle

¹⁾ Chem. Soc. Ind. J. 13, 95—100. — ²⁾ Daselbst, S. 120—127.



lautet. Die freie Carboxylgruppe der mit einer Säure gefärbten Wolle muß sich mit einer Base ebenso wie ungefärbte Wolle färben lassen. Und in der That nimmt Wolle, die in einem großen Ueberschufs von Scharlach R gefärbt ist, in einem Bade von Magenta dieselbe Menge dieses Farbstoffes auf wie ungefärbte Wolle. Die Annahme, daß Magenta an Scharlach R chemisch gebunden und die Wolle mit einem Magenta-Scharlachlack gefärbt sei, wird durch die Thatsache hinfällig, daß beim Behandeln der so gefärbten Wolle mit Alkohol nur geringe Mengen von Magenta und keine Spur von Scharlach in Lösung geht, während der Magenta-Scharlachlack in Alkohol sehr leicht löslich ist. Der so gefärbten Wolle kommt folgende Formel zu:



Crofs und Bevan¹⁾ haben gefunden, daß sich die Jutefaser in Lösung von Ferriferricyanid gleichmäfsig mit Berlinerblau färbt und sahen darin einen strikten Beweis für die Witt'sche Theorie der festen Lösung. Verfasser weist dem gegenüber darauf hin, daß die im Molekül der Jutefaser vorhandene Aldehydgruppe überall, wo sie sich befindet, reducirend wirken muß und sich daher der Farbstoff in Folge der gleichmäfsigen Permeabilität der Jutefaser überall gleichmäfsig bilden muß. Behandelt man, wie Verfasser²⁾ früher gezeigt hat, Sulfonsäuren von starken Farbasen mit Chlorbaryum und Gerbsäure, so reagirt die Sulfongruppe mit dem Chlorbaryum und die Amidogruppe mit der Gerbsäure. Badet man so gefärbte Wolle in Chlorbaryum oder Gerbsäure, so ist nicht die geringste Veränderung wahrzunehmen, die doch eintreten müßte, wenn der Farbstoff in der Wollfaser gelöst wäre. Gefärbte Wolle ist ebenso ein Lack wie die Verbindung von Alizarin mit Thonerde oder von Magenta mit Gerbsäure. Die Verwandtschaft, die sulfonirte basische Farbstoffe für mit Tannin gebeizte Baumwolle besitzen, ist um so geringer, je stärker die Sulfosäure und je schwächer basisch der nicht sulfonirte Farbstoff war. — Das Verhalten der Baumwolle gegen basische Farbstoffe ist verschieden von dem der Wolle, entsprechend dem geringeren sauren Charakter der Baumwolle. Sie wird

¹⁾ JB. f. 1892, S. 2905. — ²⁾ JB. f. 1893, S. 611.

durch basische Farbstoffe gefärbt, indem der Farbstoff ohne Trennung von Säure und Base unverändert aufgenommen wird. Der Thatsache, daß Oxycellulose mit ihrem stärkeren sauren Charakter zu basischen Farbstoffen eine größere Verwandtschaft besitzt als Cellulose, kann nicht durch die Witt'sche Hypothese erklärt werden. Der Färbeprocess in der Baumwolle bei der Einwirkung saurer Benzidinfarben, die aus alkalischer Lösung in Form ihrer Salze aufgenommen werden, ist schwierig zu erklären. Mit Benzidinfarbstoffen gefärbte Baumwolle giebt mit Chlorbaryum und anderen Metallsalzen leichte Lacke. Die geringe Lichtbeständigkeit der auf Baumwolle erzeugten Benzidinfarben ist ein Beweis dafür, daß bei der Einwirkung dieser Farben auf Baumwolle kein Lack gebildet wird. Verfasser ist der Ansicht, daß die Diffusion des Farbstoffs, die bei Baumwolle substantiv färbenden Stoffen nur gering sei, in das Wasser der Cellulose zu Ende gelangt, wenn der osmotische Druck innerhalb der Faser so groß ist, wie der außerhalb derselben. Obwohl Dinitrocellulose von Benzidinfarben wie Cellulose gefärbt wird, nimmt der Rückstand, der beim Verdampfen einer Acetonlösung hinterbleibt, keine Benzidinfarbe an, ein Beweis dafür, daß das Wasser den Färbeprocess bedingt. Die große Rolle, die das Diffusionsvermögen der Farbstoffe beim Färben der Baumwolle besitzt, geht aus Versuchen des Verfassers hervor, wonach deren Beständigkeit diesem Diffusionsvermögen direct proportional ist. (Op.

G. v. Georgievica. Ueber das Wesen des Färbeprocesses¹⁾.

— Zweck vorliegender Untersuchung ist die Erforschung der Gesetzmäßigkeiten, welche der Vertheilung eines Farbstoffs zwischen Faser und Farbbad zu Grunde liegen. Reines Seidengewebe wurde mit Indigocarmin unter Zusatz von Schwefelsäure gefärbt. Als Versuchstemperatur wurden 100° gewählt, weil so der Gleichgewichtszustand verhältnismäßig rasch eintritt. Aus einer Zusammenstellung der angestellten Versuche ergibt sich, daß die Menge des aufgenommenen Farbstoffs bis zu einem gewissen Grade der Menge der zugesetzten Schwefelsäure proportional ist. Die Annahme, daß der Schwefelsäure bei diesen und allen ähnlichen Färbeprocessen nur die Aufgabe zufällt, aus dem zum Färben angewandten Alkalisalz des Farbstoffs die Farbsäure frei zu machen, ist unrichtig. Der günstige Einfluss der Schwefelsäure hat in der geringeren Löslichkeit der Farbsäure in schwefelsäurehaltigem Wasser seinen Grund. Daß ein Ueberschufs von

¹⁾ Monatsb. Chem. 15, 705—717.

Schwefelsäure, die doch eine stärkere Säure als die Indigodisulfosäure ist und also die eventuelle Bildung einer salzartigen Verbindung der Seidensubstanz mit der Farbstoffsäure ungünstig beeinflussen müßte, den Färbeprocess befördert, ist ein Beweis gegen die chemische Theorie des Färbens. Der Theilungscoefficient

$\frac{C_{\text{Seide}}}{C_{\text{Wasser}}}$ fällt mit der Concentration des Farbbades, während der

Ausdruck $\sqrt{\frac{C_{\text{Wasser}}}{C_{\text{Seide}}}}$ bei geringem Farbstoffgehalt annähernde Constanz zeigt. Die Seide nimmt einfache Farbstoffmoleküle auf, während dem im Farbbade enthaltenen Farbstoffe zum größten Theil die doppelte Molekulargröße zukommt. Eine chemische Verbindung zwischen Seidensubstanz und Indigodisulfosäure verlangte, daß der Farbstoff in Faser und Flotte in dem gleichen chemischen Zustande enthalten sei.

Op.

G. v. Georgievics. Ueber den Einfluß der Structur der Gespinnstfasern auf die Aufnahme von Farbstoffen¹⁾. — Verfasser färbt zum Vergleich der Aufnahmefähigkeit für Farbstoffe mit Benzopurpurin 4 B und Benzoazurin G gewöhnliche Baumwolle sowie in Kupferoxydammoniak gelöste und mit Säure wieder gefällte Cellulose, ferner mercerisirte (mit NaOH von 22° Bé. behandelte) Baumwolle und mercerisirte Cellulose. Wiewohl die Versuche keine Entscheidung geben, liefs sich doch ein festeres Haften der Farbstoffe auf dem faserigen als auf dem amorphen Material feststellen. Bei dem Färben von loser Wolle und möglichst feinem Wollstaub, sowie faserigem und gepulvertem Asbest haftet der Farbstoff auf dem faserigen Material ebenfalls fester. Auch besitzt dieses Material eine viel größere Aufnahmefähigkeit für Farbstoffe, so daß z. B. faseriger Asbest mehr Farbe wie mercerisirte, amorphe Cellulose aufzunehmen vermag.

Op.

G. v. Georgievics. Ueber das Wesen des Färbeprocesses²⁾.

Drei verschiedene Theorien suchen das Wesen des Färbeprocesses zu erklären. I. Die chemische Theorie. Dieselbe wird u. A. gestützt durch die von Knecht u. Jacquemin beobachtete Thatsache, daß Wolle aus den — salzsauren — Lösungen von Fuchsin, Methylviolett und Chrysoidin nur die Farbbase aufnimmt und aus einer heißen, fast farblosen Lösung von Fuchsin letzteres ebenfalls mit der Farbe seiner Salze fixirt. Verfasser erweitert

¹⁾ Mitth. Technol. Gewerbemuseums, Wien 1894; Ref.: Chem. Centr. 65, II, 821—822. ²⁾ Mitth. Technol. Gewerbemuseums, Wien 1894; Ref.: Chem. Centr. 65, II, 822—824; 66, I, 402—403.

diese Beobachtungen dahin, daß Wolle bei etwa 45° auch einen kleinen Theil der Salzsäure aufnimmt, und findet ferner, daß indifferente Stoffe, wie Thon und Glasperlen, ebenfalls nur die Farbbasen — ohne Salzsäure — unter Rothfärbung aufnehmen. Die Salze sind also schon in Lösung dissociirt. Nach Ansicht des Verfassers besteht die rothe Farbe mit Fuchsin gefärbter Wolle aus „gefärbter Rosanilinbase“, die man auch erhält, wenn man Fuchsinlösung mit etwas mehr als zur Neutralisation erforderlichen Menge Natronlauge versetzt oder indem man farblose Rosanilinbase mit Wasser behandelt oder in feuchter Atmosphäre erhitzt, wobei eine Umlagerung der farblosen Carbinolform zu der gefärbten Ammoniumbase eintritt. Beim Färben mit Fuchsin nimmt also die Wolle aus dem dissociirten Salze der gefärbten Rosanilinbase nur die Base auf. Die Carbinolform bildet sich nur in alkalischer Lösung und ist nur in ihr beständig. Nach Entfernung des Alkalis durch Waschen mit Wasser entsteht durch Umlagerung sofort die gefärbte Form. Die farblose, wässrige Lösung der Rosanilinbase ist ammoniakalisch und färbt sich die Wolle nur deswegen in ihr, weil eine Trennung von Base und Alkali dadurch stattfindet, daß die Wolle mehr Rosanilinbase aufsaugt. Aus dem Umstande, daß Amidoazobenzolsulfosäure nicht mit seiner rothen Eigenfarbe, sondern mit der gelben Farbe ihrer Salze aufgenommen wird, wurde gefolgert, daß Wolle und Seide die Rolle von Basen spielen können. Verfasser weist dem gegenüber darauf hin, daß verdünnte Lösungen von Amidoazosulfosäure stets gelb gefärbt sind und concentrirte Lösungen Wolle dauernd roth färben können. II. Verfasser wendet sich dann gegen die *Lösungstheorie* von Witt¹⁾, der zur Stütze seiner Theorie anführt, daß die mit Fuchsin etc. erhaltenen Farben nicht die Farbe des festen Salzes, sondern die der Lösung besitzen. Nach Verfassers Ansicht beruht die grüne Oberflächenfarbe nur auf der anormalen Dispersion des Lichtes; sie verschwindet, wenn man das Salz fein verreibt und es tritt dann sofort die eigentliche Farbe des Farbstoffs auf. Der Farbstoff hat sich in der Faser in sehr fein vertheiltem Zustande abgeschieden und erscheint daher roth. Die Oberflächenfarben des festen Salzes treten auch beim Färben in concentrirten Lösungen auf, eine Erscheinung, die als Bronziren bekannt ist. Ferner besteht die Fuchsinfärbung auf Wolle nicht aus salzsaurem Rosanilin, sondern entweder aus einer chemischen Verbindung von Rosanilin mit der Wollsubstanz oder

¹⁾ JB. f. 1890, S. 2896; f. 1891, S. 2821.

aus gefärbter Rosanilinbase. — Da Seidenfärbungen mit Rhodamin, Eosin oder Fluorescein Fluorescenz zeigen, die diesen Farbstoffen jedoch nur in Lösungen eigen ist, müssen nach Witt die Farbstoffe auch in der Faser gelöst sein. Verfasser bemerkt hierzu, daß auch feste Körper, wie Baryumplatincyauür, Fluorescenz zeigen und daß bei Woll- wie Seidenfärbungen bei Beschädigung des Oberflächenglanzes die Fluorescenz aufhört. Fluorescenz ist nur der Glanz des gefärbten Materials. — Wenn Witt als Stütze seiner Theorie den Umstand betrachtet, daß nur die substantiven Färbevermögen gewisser Farbstoffe zu erklären vermag, so sind nach dem Verfasser auch adjective Farbstoffe, wie Alizarin, in Schafwolle leicht löslich. Sie lassen sich ebenfalls zuerst anfärben und dann durch Beizen in ihre gefärbten Metalllacke verwandeln. — Wenn Witt behauptet, daß das Ausschütteln einer wässerigen Lösung mit Alkohol ein dem Färben analoger Vorgang sei, so ist nach dem Verfasser diese Analogie nur unvollständig, da das Färben ein irreversibler, das Ausschütteln ein reversibler Process sei. III. Verfasser entscheidet sich für die *mechanische Theorie* des Färbens, die den Färbeprocess als eine Art von Adsorptions- und Adhäsionsvorgang auffaßt. Für sie sprechen u. A. die vom Verfasser erhaltenen Färbungen auf Asbest, Glas und Thon, das Egalisiren gewisser Farbstoffe, sowie der Einfluß der Structur des zu färbenden Materials. Das Beizen erklärt der Verfasser ebenfalls als einen mechanischen Vorgang, indem dabei auf die Dissociation z. B. von Alaun in wässerigen Lösungen Rücksicht nimmt. Er erwähnt hierbei, daß Schafwolle aus Alaunlösungen je nach der Concentration entweder mehr Schwefelsäure oder Thonerde aufnimmt.

Op.

Carl Lounes. Jodometrische Versuche und Beitrag zur Kenntniss der Jodstärke¹⁾. — Wässrige Stärkelösung giebt die Blaufärbung durch Jod viel schärfer und leichter bei Gegenwart von Jodkalium als ohne diesen Zusatz. Auch die Gegenwart von Alkalicarbonaten und -dicarbonaten stört die Reaction nicht; bei Gegenwart von Ammoniumcarbonat kann noch 0,5 mg arsenige Säure durch Jodlösung titirt werden. Durch Einwirkung von Jod auf Alkalien entsteht eine farblose Lösung, die ein niedrigeres Jodoxyd enthält, dessen Beständigkeit von der Temperatur, der Concentration und der Natur des Alkalis abhängt. Ueber die Natur der Jodstärke äußert sich der Verfasser im Sinne von Mylius²⁾, wonach die Jodstärke sicher Jodwasserstoff enthält.

¹⁾ Zeitschr. analyt. Chem. 33, 409—436.²⁾ JB. f. 1887, S. 2263.

Die Einwände von Meincke¹⁾ gegen diese Anschauung werden zurückgewiesen. Wegen vieler Einzelheiten der ausführlichen Arbeit muß auf das Original verwiesen werden. *Hz.*

Charlotte F. Roberts. Ueber die blaue Jodstärke²⁾. — Die Arbeit enthält experimentelle Beweise für die Mylius'sche Auffassung, daß Jodstärke $(C_5H_{10}O_5J)_x$ ist. *Hz.*

F. W. Kuster. Ueber die blaue Jodstärke und die molekulare Structur der „gelösten“ Stärke³⁾. — Nachdem Verfasser die Beobachtung von Mylius⁴⁾ bestätigt, wonach aus einer Lösung von Jod in Chloroform oder einem ähnlichen Lösungsmittel überhaupt kein Jod in Stärke, feste oder gelöste, übergeht, bestimmt er die Aufnahmefähigkeit fester Stärke für Jod aus Jodjodkaliumlösung. Die Versuche wurden in der Weise angestellt, daß gewogene Mengen Stärke mit gemessenen Mengen Jodjodkaliumlösung bekannter und verschiedener Concentration andauernd mit Hilfe der Turbine geschüttelt wurden. Das aus der Lösung verschwundene Jod wurde als von der Stärke aufgenommen in Rechnung gebracht. Wie aus einer mitgetheilten Tabelle hervorgeht, ist der Jodgehalt der entstandenen Jodstärke in hohem Grade abhängig von der Concentration des Jods in wässriger Lösung. Das freie Jod vertheilt sich nicht einfach nach einem constant bleibenden Verhältniß zwischen der Stärke und dem Wasser; denn während der Jodgehalt der Stärke im Verhältniß 3:2 zurückgeht, fällt der der wässrigen Lösung im Verhältniß von rund 50:1. Dividirt man die sechste Wurzel der Concentration des Jods im Wasser durch die Concentration des Jods in der Stärke, so erhält man in grober Annäherung constante Werthe. Die blaue Jodstärke ist also keine chemische Verbindung, auch kein mechanisches Gemenge von Jod und Stärke, sondern eine wohldefinierte feste Lösung von Jod in Stärke. Verfasser untersucht auch das Verhalten der gelösten Stärke und findet, daß auch die aus sorgfältig filtrirter, klarer Stärkelösung bereitete Jodstärke ganz verschieden viel Jod enthält, je nach der Concentration des Jods in der mit der Stärke in Berührung stehenden wässrigen Lösung. Constant dagegen ist der Quotient aus der zehnten Wurzel der Concentration des Jods im Wasser durch die Concentration des Jods in der Stärke. Auch hier liegt also eine feste Lösung vor. Da es aber undenkbar ist, daß die in Wasser gelöste Stärke ihrerseits wieder Jod löst, so ist nach Ansicht des

¹⁾ Chemikerzeit. 18, 157. ²⁾ Sill. Am. J. 47, 422–429. — ³⁾ Ann. Chem. 283, 360–379. — ⁴⁾ JB. f. 1887, S. 2263.

Verfassers die „gelöste“ Stärke als eine Emulsion äusserst feiner, durch Wasseraufnahme verflüssigter Stärketropfen in überschüssigem Wasser aufzufassen, das seinerseits auch sehr kleinen Mengen Stärke gelöst enthält. Durch diese Annahme wird auch erklärt, warum Stärkelösungen nur einen geringen osmotischen Druck besitzen und also weder Gefrierpunkterniedrigungen noch Siedepunkterhöhungen zeigen. Op.

F. W. Küster. Beiträge zur Molekulargewichtsbestimmung an „festen Lösungen“. Gleichgewicht zwischen Wasser, Kautschuk und Aether¹⁾. — Um das Molekulargewicht zu bestimmen, mit dem sich Verbindungen in festen Körpern lösen, studirt Verfasser die Vertheilungsverhältniss dieser Verbindungen zwischen zwei Lösungsmitteln, welche sich gegenseitig wenig oder nicht lösen und von denen eines fest, das andere flüssig ist. Als Beispiel benutzt Küster in dieser Abhandlung die Vertheilung von Aether zwischen Wasser und Kautschuk. Zu Wasser, in dem Aether gelöst ist, werden Kautschukstücke zugegeben und die dadurch hervorgerufene Konzentrationsänderung des Aethers mit Hülfe des Beckmann'schen Gefrierapparates bestimmt. Durch einen Vorversuch wurde ermittelt, dass 10 g Kautschuk in einer Aetheratmosphäre etwa 12 g Aether aufnehmen können, die sie an Luft in etwa vier Stunden vollkommen wieder abgeben. Die Diffusionsgeschwindigkeit des Aethers in Kautschuk ist demnach eine sehr grosse. Bezeichnet C_w die räumliche Concentration des Aethers in der wässrigen Lösung und C_k die räumliche Concentration des im Kautschuk gelösten Aethers, so deutet das starke Anwachsen der Werthe für $\frac{C_k}{C_w}$ darauf hin, dass sich der Aether im Kautschuk bei 1,25 bis 1,6° vorherrschend mit grösserem Molekulargewicht auflöst als in Wasser. Die Constanz des Werthes $\frac{1}{C_w} \frac{C_k}{C_w}$ rechtfertigt die Annahme, dass sich der Aether bei — 1° im Kautschuk hauptsächlich mit dem doppelten Molekulargewicht löst. Eine zweite Versuchsreihe, in der das Vertheilungsverhältniss bei etwa 16 bis 18° R. festgestellt wird, ergiebt vollkommen andere Werthe für den Theilungscoefficienten. Dass die verhältnissmässige Aenderung des Ausdruckes $\frac{C_k}{C_w}$ mit der Concentration nicht so gross ist wie in der ersten Versuchsreihe, ergiebt, dass

¹⁾ Zeitschr. physik. Chem. 13, 445—453.

sich bei dieser Versuchstemperatur der Aether in Kautschuk nur in untergeordneter Menge mit größerem Molekulargewicht als in Wasser löst. Der Gang des Theilungscoefficienten $\frac{C_k}{C_w}$ ergibt bei unendlicher Verdünnung den Werth 2,8, der in allen Concentrationen für die normalen Aethermoleküle constant sein muß. Aus C_w läßt sich für jede Concentration die GröÙe C'_k , d. h. die Concentration der einfachen Aethermoleküle im Kautschuk, berechnen. C''_k — der Ueberschuß von C_k über C'_k — ist die Concentration der Doppelmoleküle des Aethers im Kautschuk. Aus den ermittelten Werthen ergibt sich, daß bei der größten untersuchten Verdünnung gerade nur ein Zehntel des Aethers in Gestalt von Doppelmolekülen im Kautschuk vorhanden, ein Werth, der in den concentrirteren Lösungen bis zu 0,5 steigt. Da nach den Dissociationsgesetzen die Concentration der einfachen Moleküle der Quadratwurzel aus derjenigen der Doppelmoleküle proportional ist, müßte der Ausdruck $\frac{C'_k}{\sqrt{C''_k}} = K$ sein. Und in der That zeigt

dieser Werth in der angeführten Tabelle diese Constanz. *Op.*

O. Lehmann. Ueber Sedimentation und Farbstoffabsorption ¹⁾. — Verfasser untersucht unter dem Mikroskope das Verhalten chinesischer Tusche bei Zusatz verschiedener Lösungen, die zum Theil sedimentirend wirken. Bei gleicher Beschaffenheit des Lösungsmittels verharrten suspendirte Theilchen nur dann in gleichmäßiger Vertheilung, wenn ihre GröÙe unter einer bestimmten Grenze liegt. Löst man dagegen in der Flüssigkeit so viel von einem Körper auf, daß der Sättigungspunkt der so entstandenen Lösung in Bezug auf die festen suspendirten Theilchen überschritten wird und sich auf letzteren ein Ueberzug der gelösten Substanz bildet, so kann die GröÙe derselben durch die Anlagerung derart zunehmen, daß weiteres Verbleiben in der Lösung unmöglich ist. Außer der eigentlichen Sedimentation beobachtet Verfasser eine Einwirkung fremder Zusätze zu einer Suspension in der Art, daß die Theilchen das Bestreben zeigen, sich von dem auflösenden Körper — z. B. Zucker — zu entfernen. Den Grund dieser Erscheinung bilden in erster Linie die Störungen in Folge der Dichtedifferenzen, die an dem sich losenden Körper auftreten.

Op.

O. Lehmann. Ueber elektrische Convection, Sedimentation und Diffusion ²⁾. — Verfasser beschreibt an der Hand zahlreicher

¹⁾ Zeitschr. physik. Chem. 14. 157—160. — ²⁾ Dasselbst, S. 301—316.

Abbildungen die Vorgänge, die man unter dem Mikroskope in der Lösung und an den Elektroden beobachtet, wenn hochgespannte Ströme gefärbte Suspensionen und Lösungen von Farbstoffen durchsetzen. Elektrische Sedimentation nennt Verfasser die Ausammlung der Farbstoffpartikelchen an der Elektrode — meist der Anode. Die elektrische Diffusion beruht auf der Diffusion der an der Elektrode ausgeschiedenen Zersetzungsproducte, bedingt durch elektrische Ladungen, welche deren Moleküle im Entstehungszustande von den Elektroden angenommen haben. Die Einzelheiten, aus denen allgemeine Schlüsse nicht gezogen werden, müssen im Original nachgesehen werden. *Op.*

O. Lehmann. Ueber künstliche Färbung von Krystallen und amorphen Körpern¹⁾. — Die Eigenschaften eines Krystalles sind in erster Linie durch die Beschaffenheit der Moleküle selbst bedingt und es liegt kein Grund vor, anzunehmen, daß durch Betheiligung fremder Moleküle am Aufbau des Krystalles erhebliche Störungen eintreten müssen. Die Bildung von Mischkrystallen chemisch nicht analog zusammengesetzter Stoffe ist genau ebenso möglich, wie die Mischung chemisch nicht analog zusammengesetzter Flüssigkeiten oder Lösung fester Körper in Flüssigkeiten, nur daß, wie in letztgenannten Fällen, bei beträchtlicher Verschiedenheit der Constitution das Mischungsverhältniß im Allgemeinen ein beschränktes ist. Verfasser hat bereits früher Versuche über die Bildung von Mischkrystallen nicht isomorpher Stoffe angestellt und gefunden, daß insbesondere bei der Färbung von Salmiak mit Eisenchlorid die Krystalle viel dunkler gefärbt waren als die umgebende Lösung, so daß die Färbung unmöglich von mechanischer Einschließung von Mutterlauge oder in derselben suspendirter Farbstoffpartikelchen hervorgebracht sein kann. Letztere Erscheinung wiederholt sich bei den meisten Versuchen, die der Verfasser in vorliegender Abhandlung veröffentlicht, in der er die Färbungen einer Reihe von organischen Verbindungen durch eine große Anzahl von Farbstoffen studirt. Verfasser erklärt sich den Färbvorgang z. B. bei der Färbung von Meconsäure mit Safranin so, daß die gemischte Lösung — als Lösung von Safranin betrachtet — nicht nur einen Sättigungspunkt in Bezug auf Safraninkrystalle, sondern auch in Bezug auf Meconsäurekrystalle besitzt. Wird nun bei fortschreitender Abkühlung der Sättigungspunkt der gefärbten Lösung — als Meconsäurelösung betrachtet — überschritten, so beginnt die Ausscheidung von

¹⁾ Ann. Phys. 51, 47—76.

Meconsäurekrystallen; so lange aber die Lösung — als Safraninlösung betrachtet — in Bezug auf die Krystalle noch untersättigt ist, wachsen diese ungefärbt weiter. Erst wenn mit weiter sinkender Temperatur die Flüssigkeit als Safraninlösung in Bezug auf die Meconsäurekrystalle ihren Sättigungspunkt erreicht, beginnt die Aufnahme von Safranin und die bereits gebildeten Krystalle umgeben sich bei fortgesetzt sinkender Temperatur mit einer immer dunkler werdenden gefärbten Rinde. Verfasser wendet sich gegen die Ansicht von van't Hoff, der Mischkrystalle und amorphe Mischungen unter der gemeinsamen Bezeichnung „feste Lösungen“ zusammenfasst und den Färbevorgang durch Diffusion erklärt. Diese Annahme ist nach Ansicht des Verfassers falsch. Die Unmöglichkeit der Diffusion ist für den Verfasser charakteristisch für den festen Zustand. So kann z. B. aus mit violetter Färbung intensiv gefärbten, mikroskopisch dünnen Krystallblättchen durch längere Behandlung mit Petroläther oder Benzol der Farbstoff, obwohl er darin leicht löslich ist, nicht ausgezogen werden. — Bei der Aufnahme der fremden Substanzen findet oft eine eingreifende Structurstörung statt, die die völlige Aufblätterung des Krystalls in dünne Lamellen oder Zerkleinerung in sehr feine Trüchthen bewirkt. Die Farbstoffaufnahme ist im Allgemeinen nicht auf allen Flächen eine gleichmäßige, so dass es zur Ausbildung farbiger Sektoren kommt. Manchmal bilden sich auch geschichtete Krystalle aus alternirenden Lagen von Grundsubstanz und Farbstoffkrystallen. *Op.*

I. W. Retgers. Beiträge zur Kenntniss des Isomorphismus¹⁾. — Ueber chemische Verbindungen isomorpher Körper. Der Satz: „Mischung und Bindung schliessen sich aus“, hat allgemeine Gültigkeit und gestattet in allen zweifelhaften Fällen, wo man trotz der Gleichwerthigkeit zweier Metalle über das Vorkommen echter Isomorphie im Ungewissen ist, eine Entscheidung zu treffen. So folgt aus dieser Regel, dass Ag nicht mit K, sondern mit Na isomorph ist, da zahlreiche K-Ag-Doppelsalze existiren, während kein einziges Na-Ag-Doppelsalz sicher bekannt ist. Aus dem gleichen Grunde ist das zweiwerthige Hg der Mercurisalze weder mit Ca-, Sr-, Ba-Salzen noch mit Mg-, Zn-Salzen isomorph, da es chemische Verbindungen der Mercurisalze mit diesen Salzen giebt. Ebenso wie das zweiwerthige Hg unter den zweiwerthigen Salzen, steht der Wasserstoff unter den einwerthigen isolirt da, weil er sowohl mit Na wie mit K chemische Verbindungen, saure Salze, liefert.

¹⁾ Zeitschr. physik. Chem. 15. 529—597.

Verfasser stellt die Salze aus der Reihe der Alkali- und Erdalkalisalze zusammen, die eine Ausnahme von dieser Regel bilden sollen, indem sie Doppelsalze und isomorphe Mischungen liefern. Es sind dies: Kaliumammoniumsulfat, Kaliumammoniumchromat, Kaliumammoniumpyrophosphat, Kaliumammoniumsesquivanadat, Thalliumammoniumphosphat, Natriumlithiumphosphat, Natriumlithiumsulfat, Silbernatriumhyposulfat, Silbernatriumhyposulfid, Silbernatriumsulfid, Silbernatriumnitrit, Calciumbaryumpropionat, Calciumstrontiumpropionat, Calciumblei- und Calciumbaryumcarbonat. Verfasser weist im Einzelnen nach, daß alle diese angeblichen Doppelsalze echte isomorphe Mischungen sind, indem er besonders auf den Barytocalcit unter Berücksichtigung der Arbeiten von Descloizeaux u. Vater eingeht. — *Die Mischungsverhältnisse bei den Vitriolen der Magnesiumreihe.* Zur Entscheidung der Frage, ob Körper, welche als echt isomorph bekannt sind, auch chemische Verbindungen nach festen Verhältnissen zu liefern im Stande sind, stellt Verfasser gesättigte Lösungen der reinen Endglieder der Magnesiumgruppe dar (Mg , Zn , Fe , Ni , Co , Cu) und mischt sie in den Volumenverhältnissen 9:1,8:2 etc. bis 1:9, so daß er unter Hinzurechnung der beiden Endglieder 11 Mischungen erhält. Die aus jeder Lösung erhaltenen Krystalle werden analysirt und lassen sich die verschiedenen Mischungstypen auf vier zurückführen. In der isomorphen Mischung, für die die Combination Eisen-Kobaltvitriol ein Beispiel liefert, krystallisiren beide Endglieder bei gleichem Krystallwassergehalt in dem gleichen Systeme und bilden eine vollständig geschlossene Mischungsreihe. In der isodimorphen Mischung sind die beiden Endglieder gleich hydratirt, gehören jedoch verschiedenen Krystallsystemen an. Bei der Mischung von zwei verschieden hydratirten Vitriolen muß man die Fälle unterscheiden, in denen man nur zweierlei Arten von Mischkrystallen in den Systemen der Endglieder erhält, von denen, die noch eine dritte Art liefern. Als Beispiele für den II. Typus sind $\text{MgSO}_4 + 7\text{aq.} - \text{FeSO}_4 + 7\text{aq.}$ und $\text{ZnSO}_4 + 7\text{aq.} - \text{FeSO}_4 + 7\text{aq.}$ gewählt; für den III. Typus sind $\text{FeSO}_4 + 7\text{aq.} - \text{CuSO}_4 + 5\text{aq.}$, für den IV. Typus $\text{ZnSO}_4 + 7\text{aq.} - \text{CuSO}_4 + 5\text{aq.}$ sowie $\text{MgSO}_4 + 7\text{aq.} - \text{CuSO}_4 + 5\text{aq.}$ untersucht worden. Als Endresultat der ganzen Untersuchung der Mischungsverhältnisse ergibt sich, daß isomorphe Mischung und chemische Bindung sich gegenseitig ausschließen. Den Schluss der Veröffentlichung bildet eine Erwiderung auf die Entgegnung Rinne's, auf die hier verwiesen sei.

Op.

H. Traube. Ueber die Isomorphie von Nitraten, Chloraten,

Bromaten (Jodaten) zweiwerthiger Elemente¹⁾. — Retgers hat sich bei der Untersuchung der Beziehungen, die zwischen Nitraten und Chloraten, Bromaten, Jodaten bestehen, auf die Alkali- und Silberalze beschränkt. Verfasser sucht Mischkrystalle zweiwerthiger Elemente darzustellen. Mischkrystalle wurden von salpetersaurem, chloresaurem, bromsaurem Baryum, sowie salpetersaurem und chloresaurem Strontium dargestellt. Neben der Chloresäure wurde die Salpetersäure nur qualitativ festgestellt. Die Analyse der Mischkrystalle wurde in der Weise vorgenommen, daß aus der alkoholischen Lösung der Mischkrystalle zunächst das Baryum resp. Strontium gefällt, das Filtrat mit Eisenvitriol übersättigt, stark mit Kalilauge versetzt und in der vom Eisenhydroxyd abfiltrirten Flüssigkeit Chlor resp. Brom mit Silbernitrat niedergeschlagen wurde. Aus einer Lösung gleicher Gewichtstheile $\text{Ba}(\text{NO}_3)_2$ und $\text{Ba}(\text{ClO}_3)_2$ schieden sich reguläre Krystalle von der Form des Nitrats ab, die die Zusammensetzung: 7 Mol. $\text{Ba}(\text{NO}_3)_2 + 1$ Mol. $\text{Ba}(\text{ClO}_3)_2$ bei einer Dichte von 3.343 besaßen und sich optisch anomal verhielten. Aus einer Lösung, welche auf drei $\text{Ba}(\text{ClO}_3)_2$ ein $\text{Ba}(\text{NO}_3)_2$ enthielt, schieden sich Krystalle von der Form des reinen wasserhaltigen Chlorats mit der Zusammensetzung $10 \text{Ba}(\text{ClO}_3)_2 + \text{H}_2\text{O} + 1 \text{Ba}(\text{NO}_3)_2 + \text{H}_2\text{O}$ ab. Mischkrystalle mit einem größeren Gehalt an Baryumnitrat konnten nicht dargestellt werden. Aus einer Lösung von 3 Thln. $\text{Ba}(\text{NO}_3)_2$ mit 1 Thl. $\text{Ba}(\text{BrO}_3)_2$ schieden sich reguläre Krystalle von der Zusammensetzung $16 \text{Ba}(\text{NO}_3)_2 + 1 \text{Ba}(\text{BrO}_3)_2$ ab. Aus einer Lösung von gleichen Theilen bromsaurem und salpetersaurem Baryum konnten Krystalle von der Zusammensetzung $21 \text{Ba}(\text{BrO}_3)_2 + \text{H}_2\text{O} + \text{Ba}(\text{NO}_3)_2 + \text{H}_2\text{O}$ erhalten werden. Ebenso stellte der Verfasser Mischkrystalle aus salpetersaurem und chloresaurem Strontium dar, und zwar solche von der Zusammensetzung $14 \text{Sr}(\text{NO}_3)_2 + \text{Sr}(\text{ClO}_3)_2$ und solche, die auf 4 Mol. $\text{Sr}(\text{ClO}_3)_2$ 1 Mol. $\text{Sr}(\text{NO}_3)_2$ enthielten. Aus der Arbeit ergibt sich, daß die untersuchten Verbindungen Mischkrystalle bilden können, wenn auch ihre Mischbarkeit eine begrenzte ist. *Op.*

A. E. Tutton. Ueber den Zusammenhang zwischen den kristallographischen Eigenschaften von isomorphen Salzen und dem Atomgewicht der darin enthaltenen Metalle. Eine vergleichende Untersuchung der normalen Sulfate von Kalium, Rubidium und Cäsium²⁾. — Im Anschluß an eine frühere Arbeit³⁾ über die monoklinen Doppelsalze vom Typus $\text{R}_2\text{M}(\text{SO}_4)_2 \cdot 6 \text{H}_2\text{O}$ unter-

¹⁾ *Zeitschr. Kryst.* 23, 131–138. ²⁾ Dasselbst 24, 1–77, *Chem. Soc.* J. 65, 628–703. ³⁾ *JB. f.* 1893, S. 113.

sucht der Verfasser in dieser umfangreichen Arbeit das Verhalten der rhombischen Reihe K_2SO_4 . Die Löslichkeiten der normalen Sulfate von Kalium, Rubidium und Cäsium sind sehr verschieden; schwefelsaures Kalium ist schwer, schwefelsaures Cäsium sehr leicht löslich in Wasser. 100 ccm Wasser lösen bei gewöhnlicher Temperatur 10 g K_2SO_4 , 44 g Rb_2SO_4 und 163 g Cs_2SO_4 auf. Die Löslichkeiten sind bei höheren Temperaturen größer, aber die mittlere Stellung des Rubidiumsulfates wird bewahrt. Im Habitus nähern sich die drei Salze einander mehr, als es bei dem Kalium resp. Rubidium und Cäsium enthaltenden Doppelsalz der Fall war. Die vorherrschenden relativen Beträge der Entwicklung der primären Flächen deuten ein Fortschreiten an von dem Kalium- durch das Rubidium- zu dem Cäsiumsulfat, d. h. entsprechend der Zunahme des Atomgewichtes des im Salz enthaltenen Metalles. Die Werthe aller Winkel des Rubidiumsulfates liegen zwischen den analogen der anderen Sulfate. Die Axenverhältnisse für Rubidiumsulfat liegen zwischen denen für Kalium- und Cäsiumsulfat. Mit steigendem Atomgewicht nimmt das Verhältniß $a:b$ wenig ab, während das Verhältniß $c:b$ stark steigt. Letztere Beziehungen sind unabhängig von der Temperatur. Die Spaltungsrichtungen der drei Sulfate sind identisch. Die Dichten bei zwei Temperaturen und Molekularvolumina ergeben sich aus folgender Tabelle:

	D_4^{20}	D_4^{25}	Kub. Aus- dehnungscoefficient für 100°	Molekular Volumina
K_2SO_4 . . .	2,6643	2,6521	0,0133	65,33
Rb_2SO_4 . . .	3,6119	3,5943	0,0130	73,77
Cs_2SO_4 . . .	4,2434	4,2218	0,0128	85,17

Die größte lineare Ausdehnung erfolgt in der Richtung der Verticalaxe c . Die topischen Axenverhältnisse lassen auf eine Zunahme der Entfernung der Krystallelemente längs jeder Axenrichtung mit dem Wachsen der Molekularvolumina schließen. Diese Formänderung ist am größten in der Richtung der b -Axe, am kleinsten längs der a -Axe. Die Zunahme längs der Axen a und b steht fast genau im Verhältniß zu den Längen dieser Axen, während die Zunahme längs der c -Axe viel größer im Verhältniß zu ihrer Länge ist. Die Brechungsexponenten des Rubidiumsulfates liegen zwischen denen der Sulfate von Kalium und Cäsium und zwar näher denen des Kaliums. Das Brechungsvermögen wächst mit der Zunahme des Atomgewichtes des im

Salz enthaltenen Moleküls. Die Werthe sind für die drei Axen und Natriumlicht die folgenden:

	K	R	Cs
<i>a</i>	1.4947	1.5144	1.5662
<i>b</i>	1.4935	1.5131	1.5644
<i>c</i>	1.4973	1.5133	1.5599

Die ellipsoidale Wellenoberfläche für Strahlen, die von einem gemeinschaftlichen Punkte ausgehen, liegt für Rubidiumsulfat zwischen den Wellenoberflächen von Kaliumsulfat und Cäsiumsulfat, und zwar näher der äusseren, umhüllenden Wellenoberfläche des Kaliumsalzes. Der Betrag der Verminderung der optischen Elasticität beim Uebergang von einem Salz zu einem anderen ist nahezu gleich in den Axenrichtungen *a* und *b*. Die Veränderung der Elasticität längs der *c*-Axe wird kleiner, so dass eine vollständige Umkehrung der Doppelbrechung, von positiv in dem Kaliumsalz zu negativ in dem Cäsiumsalz, hervorgebracht wird. Eine regelmässige Abnahme des Brechungsvermögens, einer Zunahme der optischen Elasticität entsprechend, ist bei Temperatursteigerungen zu beobachten, und zwar die grösste für Strahlen längs der Verticalaxe *c*. Die Molekularrefractionen für die rothe Wasserstofflinie C ergeben sich aus folgender Tabelle:

	<i>a</i>	<i>b</i>	<i>c</i>
K ₂ SO ₄ . .	18.99	18.96	19.08
Rb ₂ SO ₄ . .	22.16	22.12	22.13
Cs ₂ SO ₄ . .	27.71	27.36	27.45

Durch vorliegende Untersuchung ist bewiesen, dass die krystallographischen Eigenschaften der drei Sulfate ein regelmässiges Fortschreiten zeigen, demjenigen des Atomgewichtes der in ihnen enthaltenen Metalle entsprechend. In jeder Eigenschaft, ob morphologische oder physikalische, steht das Rubidiumsulfat zwischen Kalium- und Cäsiumsalzen. Die Ersetzung des Rubidiums durch Cäsium wird gewöhnlich von einer grösseren Modificirung der krystallographischen Eigenschaften begleitet, als wenn Kalium durch Rubidium ersetzt wird. Der Verfasser fasst die gewonnenen Resultate in dem Satze zusammen: „Die gesammten krystallographischen Eigenschaften der streng isomorphen, rhombischen Normalsulfate von Kalium, Rubidium und Cäsium sind Functionen des Atomgewichtes des in ihnen enthaltenen Metalles.“ *Op.*

G. Ciamician. Ueber den Einfluss der chemischen Constitution anorganischer Stoffe auf ihre Fähigkeit, feste Lösungen zu bilden¹⁾. — Die anomalen Gefrierpunktsniedrigungen haben

¹⁾ Zeitschr. physik. Chem. 13. 1—13.

Jahresber. f. Chem. u. s. w. für 1894.

in der von van't Hoff aufgestellten Theorie der festen Lösungen eine befriedigende Erklärung gefunden, nach der beim Erstarrungspunkt nicht das reine Lösungsmittel, sondern ein isomorphes Gemenge auskrystallisirt. Um den Grad chemischer Aehnlichkeit festzustellen, der erforderlich ist, diese Erscheinung herbeizuführen, haben auf Veranlassung des Verfassers Ferratini und Garelli nachfolgendes Versuchsmaterial geliefert. In Benzol geben zu geringe Gefrierpunkterniedrigungen: Thiophen, Pyrrol, Pyridin, Pyrrolin und Piperidin; in Naphtalin: Indol, Inden, Chinolin, Isochinolin und Tetrahydrochinolin; in Phenanthren: Carbazol, Anthracen, Acridin und Hydrocarbazol; in Diphenyl: Dipyridyl und Tetrahydrodiphenyl. In Benzol liefern Indol, Inden und Chinolin normale Werthe; das Gleiche gilt für Carbazol, Anthracen und Acridin, welche auch in Naphtalinlösung normale Gefrierpunkterniedrigungen erzeugen; die Ausscheidung fester Lösung erfolgt für diese Substanzen erst in Phenanthren, und zwar geben die beiden ersteren eine Gefrierpunkterhöhung. Ebenso ist Dipyridyl normal in Benzol- und Naphtalinlösung und tritt die abnorme Depression nur in Diphenyllösung auf. Aus dieser Zusammenstellung geht hervor, daß der additionell aufgenommene Wasserstoff, soweit dadurch die cyclische Structur der ursprünglichen Verbindung nicht aufgehoben wird, sowie der chemische Charakter einer Verbindung ohne Einfluß sind. Verfasser stellt den Satz auf, daß: organische, cyclisch gleichartig gebaute Grundverbindungen ohne substituierende Radicale oder Seitenketten, ohne Unterschied, ob sie additionelle Wasserstoffe enthalten oder nicht, wenn sie im geschmolzenen Zustande vermischte zum Erstarrten gebracht werden, feste Lösungen ausscheiden. Auf die Größe der abnormen Erniedrigungen ist ferner der Schmelzpunktunterschied zwischen Lösungsmittel und gelöster Substanz, sowie die Krystallform von Einfluß. Wie Negri auf Veranlassung des Verfassers feststellte, besitzen Anthracen und Phenanthren, die beide monoklin krystallisiren, nahezu gleiche Constanten, das Gleiche gilt von Naphtalin, α -Naphtol und β -Naphtol. (Op.

F. Garelli und C. Montanari. Kryoskopisches Verhalten von Substanzen mit einer dem Lösungsmittel gleichen Constitution¹⁾. In einer früheren Untersuchung hatte Garelli²⁾ gefunden, daß die Entstehung fester Lösungen besonders durch die Beziehung zwischen der Constitution des gelösten Körpers und der des Lösungsmittels bedingt ist. Er zeigt an einer großen

¹⁾ Gazz. chim. ital. 24, II, 229 — ²⁾ JB. f. 1893. S. 90.

Reihe von Beispielen in Gemeinschaft mit Montanari, daß das anormale kryoskopische Verhalten, das man bei Substanzen mit ringförmiger Bindung, die feste Lösungen bilden können, beobachtet, auch bei ihren entsprechenden Derivaten erhalten bleibt. *Op.*

E. Paternò und C. Montemartini. Das p-Xylol als Lösungsmittel bei kryoskopischen Untersuchungen ¹⁾. — p-Xylol hat den Schmelzpt. 16° und die Schmelzwärme 39,3°, woraus sich als theoretischer Werth der Molekularerniedrigung 42,5 ergibt. Der Mittelwerth der Versuche mit Benzol, Naphthalin, Diphenyl, Oxalsäureäthylester, Thiophen, Anilin und Tribenzylamin ergibt die Molekularerniedrigung 43,34. Abnorm verhalten sich in p-Xylol dieselben Stoffe, die sich auch in Benzol abnorm verhalten. Die Molekularerniedrigung der Alkohole ist zu klein und nimmt mit steigender Concentration ab. Die Depression des Phenols in concentrirteren Lösungen ist zu klein, die des Thymols ist dem theoretischen Werth näher, während Salicylsäuremethylester nahezu die normale Molekularerniedrigung zeigt. Auch die Säuren, Essigsäure, Stearinsäure und Benzoesäure, geben eine zu kleine, bei steigender Concentration sinkende Molekulardepression. Die Alkaloide verhalten sich normal. Pyrrol und Thiophen, die in Benzol sich abnorm verhalten, gehen in p-Xylol die normalen Molekular-depressionen.

Bdl.

Felice Garolli. Ueber den Gefrierpunkt isomorpher Mischungen ²⁾. — Isomorphe Mischungen zeigen nach Küster Schmelzpunkte, die zwischen denen der Componenten liegen. Andererseits erfordert das allgemeine Gesetz, daß der Schmelzpunkt eines Stoffes durch die Gegenwart eines anderen erniedrigt wird. Die Erniedrigung kann nach der von van 't Hoff aufgestellten Theorie der festen Lösungen kleiner sein als die theoretische, wenn der gelöste Körper zugleich mit dem Lösungsmittel erstarrt. Der Verfasser prüfte das Verhalten von isomorphen Mischungen bezüglich der Abhängigkeit vom Schmelzpunkt und Zusammensetzung. Untersucht wurden 25 Mischungen von Anthracen und Phenanthren, 24 Mischungen von Carbazol und Phenanthren und 20 Mischungen von Carbazol und Phenanthren. Immer liegen die Schmelzpunkte der Mischungen höher als die Schmelzpunkte der tiefer schmelzenden Componente. Es folgen aber die Schmelzpunkte der Mischungen nicht der Küster'schen Regel. Sie liegen bei den Mischungen der beiden ersten Paare

¹⁾ Accad. dei Lincei Rend. [5] 3. II, 175—184; Gazz. chim. ital. 24, II, 197—208. — ²⁾ Gazz. chim. ital. 24, II, 263—274.

höher, als der Mischungsregel entspricht, bei Mischungen aus Carbazol und Anthracen tiefer. Betrachtet man nur die Schmelzpunkterniedrigung der höher schmelzenden Componente, so scheint sie in einigen Fällen der Theorie zu entsprechen, d. h. sie ist so groß wie wenn das Lösungsmittel für sich allein krystallisiren würde ohne daß sich feste Lösungen bilden. Immer zeigte sich, daß die isomorphen Mischungen nicht homogen erstarren, sondern daß die höher schmelzende Componente in den zuerst erstarrenden Theilen vorherrscht. Das wurde nicht durch Analyse festgestellt, sondern durch den Gang des Thermometers beim Erstarren. Die Beobachtungen scheinen dem Verfasser weder mit der Regel von Küster noch mit der Theorie der festen Lösungen im Einklang zu stehen. *Bull.*

H. Le Chatelier. Ueber die Schmelzpunkte isomorpher Salzgemische ¹⁾. — Es wurden die Schmelzpunkte von Gemischen solcher Salze bestimmt, „deren Isomorphie dem Verfasser von Wyrouboff angegeben wurde oder auf Grund chemischer Analogie wahrscheinlich war“.

$K_2CO_3 + Na_2CO_3$		$Na_2SO_4 + K_2SO_4$		$K_2CrO_4 + K_2SO_4$		$Na_2SO_4 + Na_2CO_3$	
Zus.	Schmelzp.	Zus.	Schmelzp.	Zus.	Schmelzp.	Zus.	Schmelzp.
0	860	0	860	0	940	0	800
0,20	770	0,11	830	0,15	950	0,33	810
0,38	715	0,14	825	0,33	960	0,50	800
0,55	690	0,20	815	0,50	985	0,67	790
0,65	700	0,33	830	0,66	1000	0,78	785
0,79	740	0,50	855	1	1045	1	820
1	820	0,75	940	—	—	—	—
—	—	1	1045	—	—	—	—

$K_2CO_3 + K_2SO_4$		$NaCl + KCl$		$KCl + KJ$	
Zus.	Schmelzp.	Zus.	Schmelzp.	Zus.	Schmelzp.
0	860	0	780	0	640
0,33	880	0,42	660	0,17	610
0,40	900	0,45	650	0,33	590
0,50	920	0,50	640	0,50	580
0,67	960	0,74	690	0,67	630
0,75	980	1	740	0,80	680
1	1045	—	—	1	740

¹⁾ Compt. rend. 118, 360—362.

Die die Zusammensetzung ausdrückende Zahl ist das Verhältniß der Molekühlzahl des zweiten Salzes zur Gesamtzahl der Moleküle. Für die Kalibrirung des Thermoelementes, welches zur Temperaturmessung diente, wurde der Schmelzpunkt des Goldes zu 1045° angenommen. *Bdl.*

H. Le Chatelier. Ueber die Schmelzpunkte von isomorphen Gemischen gewisser Doppelcarbonate ¹⁾. — Es wurden Mischungen aus den optisch einaxigen Doppelcarbonaten, $\text{Na}_2\text{Ca}(\text{CO}_3)_2$, $\text{K}_2\text{Ca}(\text{CO}_3)_2$, und den analogen Verbindungen des Strontiums und Baryums untersucht. Lithiumcarbonat giebt kein Doppelsalz mit den Erdalkalicarbonaten, wohl aber mit den Alkalicarbonaten. Von den durch Curven wiedergegebenen Resultaten der Schmelzpunktsbestimmungen seien folgende mitgetheilt:

$\text{Na}_2\text{Ca}(\text{CO}_3)_2$ 790	$\text{K}_2\text{Ca}(\text{CO}_3)_2$ 750	$1 \text{ Na}_2\text{Ca}(\text{CO}_3)_2 + 1 \text{ K}_2\text{Ca}(\text{CO}_3)_2$ 760
$\text{Na}_2\text{Sr}(\text{CO}_3)_2$ 730	$1 \text{ Na}_2\text{Ca}(\text{CO}_3)_2 + 1 \text{ Na}_2\text{Sr}(\text{CO}_3)_2$ 720	$\text{Na}_2\text{Ba}(\text{CO}_3)_2$ 740
$\text{K}_2\text{Ba}(\text{CO}_3)_2$ 800	$1 \text{ Na}_2\text{Ba}(\text{CO}_3)_2 + 1 \text{ K}_2\text{Ba}(\text{CO}_3)_2$ 760	
$1 \text{ Na}_2\text{Ca}(\text{CO}_3)_2 + 1 \text{ Na}_2\text{Ba}(\text{CO}_3)_2$ 600	$1 \text{ K}_2\text{Ca}(\text{CO}_3)_2 + 1 \text{ K}_2\text{Ba}(\text{CO}_3)_2$ 755	
$1 \text{ Na}_2\text{Sr}(\text{CO}_3)_2 + 1 \text{ Na}_2\text{Ba}(\text{CO}_3)_2$ 720	$1 \text{ Na}_2\text{Ca}(\text{CO}_3)_2 + 1 \text{ K}_2\text{Ba}(\text{CO}_3)_2$ 690	

Von den in dieser und der vorangehenden Arbeit untersuchten Mischungen giebt nur das Paar $\text{NaCl} + \text{KCl}$ und vielleicht auch $\text{KCl} + \text{KJ}$ einen Schnittpunkt in der Schmelzpunktcurve, während diese bei den eigentlichen isomorphen Mischungen continuirlich verläuft. Homogene Erstarrung der Mischung kann nur an den Stellen eintreten, wo die Curve ein Minimum hat oder wo die Bildungswärme der isomorphen Mischung Null ist. In diesem Falle muß die Schmelzpunktcurve mit der Geraden zusammenfallen, die die Schmelzpunkte der Componenten verbindet. Das scheint bei den Mischungen aus Kaliumsulfat und Kaliumchromat der Fall zu sein. In den übrigen Fällen sinkt beim Erstarren die Temperatur und erreicht bei der Erstarrung des letzten Restes der Schmelze die Temperatur der eutektischen Mischung. Es hat die Schmelze eine andere Zusammensetzung als die Krystalle und nähert sich, je weiter der Krystallisationsproceß vorschreitet, der Zusammensetzung der eutektischen Mischung. *Bdl.*

H. Le Chatelier. Ueber das allgemeine Gesetz der Löslichkeit normaler Körper ²⁾. — Es wird die vom Verfasser schon

¹⁾ Compt. rend. 118, 415—418. — ²⁾ Dasselbst. S. 638—641.

früher entwickelte Gleichung der Löslichkeitscurve auf einem anderen Wege abgeleitet. Ist s die Löslichkeit, d. h. die Anzahl Moleküle des gelösten Stoffes in einem Molekül des Lösungsmittels, L die molekulare Lösungswärme, t die Temperatur, so ergibt sich sowohl für sehr verdünnte, wie für sehr concentrirte Lösungen die Formel:

$$0,002 \frac{ds}{s} + \frac{Ldt}{t^2} = 0.$$

Diese Formel gilt nur für solche Lösungen, die dem Raoult'schen Gesetz der Dampfdruckerniedrigung entsprechen. Da eine für den gelösten Stoff concentrirte Lösung für das Lösungsmittel verdünnt ist und man die Rollen von Lösungsmittel und gelöstem Stoff beliebig vertauschen kann, so gilt die Formel für sehr verdünnte und sehr concentrirte Lösungen genau, für die Lösungen mittlerer Concentration angenähert. Nimmt man an, dass die Lösungswärme von der Concentration und Temperatur unabhängig ist, also mit der Schmelzwärme zusammenfällt und mithin für die Lösungen in beliebigen Lösungsmitteln gleich groß ist, so kann man die Gleichung integrieren und erhält:

$$0,002 ls - \frac{L}{t} + \frac{L}{t_0} = 0,$$

wo t_0 der Schmelzpunkt des gelösten Stoffes ist. Diese Formel würde, wenn die Voraussetzung richtig wäre, die Löslichkeitscurve eines Stoffes in jedem beliebigen Lösungsmittel ausdrücken. *Bdl.*

H. Le Chatelier. Ueber die gegenseitige Löslichkeit der Salze ¹⁾. — Es wurden die Schmelzpunkterniedrigungen von Chlornatrium durch Zusätze von $\text{Na}_4\text{P}_2\text{O}_7$ und BaCl_2 , von Lithiumsulfat durch Zusätze von CaSO_4 , Li_2CO_3 und Na_2SO_4 gemessen. In allen Fällen ist das gelöste Salz dem Lösungsmittel weder isomorph, noch bildet es mit ihm Doppelsalze. Es lassen sich die Schmelzpunkte t der Mischungen aus der Schmelzwärme der Lösungsmittel L , ihrem Schmelzpunkt t_0 und der molekularen Concentration s nach der wie oben entwickelten Formel:

$$0,002ls + \frac{L}{t} = \frac{L}{t_0}$$

berechnen. Nimmt man als molekulare Schmelzwärme des Chlornatriums 12,6 cal., des Lithiumsulfats (für $\frac{1}{2} \text{Li}_2\text{SO}_4$) 3,84 cal. an, so erhält man für die Schmelzpunkte der Mischungen Werthe, die den gefundenen nahe sind. (Zu bemerken ist, dass der Ver-

¹⁾ Compt. rend. 118, 709—713.

fasser die Formeln schreibt: NaCl , NaCO_3 , Na_2PO_4 , BaCl , LiSO_4 , LiCO_3 , NaSO_4 , also wohl auch die molekularen Concentrationen nach diesen Formeln berechnet.) *Ibid.*

H. Le Chatelier. Ueber die Schmelzpunkte von Salzmischungen¹⁾. — Es wird die Schmelzpunktcurve von Salzgemischen untersucht, die mit einander Doppelsalze geben. Experimentell geprüft wurden die Paare $\text{K}_2\text{CO}_3 + \text{Li}_2\text{CO}_3$ und $\text{Na}_2\text{B}_2\text{O}_4 + \text{Na}_4\text{P}_2\text{O}_7$. Die Curve setzt sich aus zwei Arten zusammen, die von den Schmelzpunkten der reinen Componenten geradlinig absteigen. Zwischen ihren Endpunkten befindet sich der Curventheil, der der Ausscheidung des Doppelsalzes entspricht. Er hat sein Maximum in der Mitte; ob dieser Curventheil aus zwei sich im Maximum schneidenden Curven oder aus einer continuirlichen Curve besteht, ist noch ungewiss. Es bedeutet s die molekulare Concentration an Lithiumcarbonat im ersten, an Natriumpyrophosphat im zweiten Beispiel.

Kaliumcarbonat und Lithiumcarbonat:

Bodenkörper K_2CO_3		Bodenkörper Doppelsalz		Bodenkörper Li_2CO_3	
s	t	s	t	s	t
0,0	860°	0,33	492	0,62	492
0,09	777	0,395	500	0,666	525
0,165	726	0,442	505	0,77	600
0,20	682	0,50	515	0,835	638
0,31	590	0,545	505	0,91	673
0,395	515	0,62	492	1,0	710

Natriumborat und Natriumpyrophosphat:

Bodenkörper $\text{Na}_2\text{B}_2\text{O}_4$		Bodenkörper Doppelsalz		Bodenkörper $\text{Na}_4\text{P}_2\text{O}_7$	
s	t	s	t	s	t
0,0	940	0,23	932	0,715	850
0,07	988	0,33	952	0,895	925
0,09	910	0,375	960	1,0	970
—	—	0,41	960	—	—
—	—	0,44	950	—	—
—	—	0,50	930	—	—
—	—	0,715	850	—	—

¹⁾ Compt. rend. 118, 800—804.

In dem ersten Paar konnte die Verlängerung der Schmelzpunkts-curve der Doppelsalze in das labile Gebiet ein Stück verfolgt werden, d. h. in das Gebiet, in welchem die Schmelzpunkte für das Doppelsalz tiefer liegen als bei gleicher Zusammensetzung der angewandten Mischung die Punkte, bei denen sich reines Kaliumcarbonat ausscheidet. *Bdl.*

F. W. Küster. Der Schmelzpunkt von Gemischen isomorpher Salze ¹⁾. — Die von Le Chatelier ²⁾ untersuchten Salzpaare sind, mit Ausnahme des Paares K_2CrO_4 - K_2SO_4 , trotz weitgehender Analogien in der chemischen Zusammensetzung und absoluten Uebereinstimmung in ihren optischen wie sonstigen physikalischen Eigenschaften, nicht isomorph. Die von Le Chatelier benutzte Untersuchungsmethode ist äußerst primitiv und ungenau, indem nach dem Verflüssigen der Bestandtheile der Schmelze in einem kleinen Platintiegel die Temperatur mit Hilfe eines Thermoelementes gemessen wurde, bei welcher während des Abkühlens die ersten Krystalle auftraten. Das von Le Chatelier gesuchte Gesetz über den Schmelzpunkt isomorpher Mischungen ist vom Verfasser ³⁾ bereits lange gefunden und veröffentlicht. *(Op.)*

W. Muthmann und O. Kuntze. Ueber die Löslichkeit der Mischkrystalle einiger isomorpher Salzpaare ⁴⁾. — Aus den Untersuchungen von Roozeboom folgt, daß die Zusammensetzung einer gesättigten Lösung, welche außer dem Lösungsmittel noch zwei Substanzen enthält, so lange constant sein muß, als zwei Arten von Mischkrystallen entstehen. Es ist dann die Zusammensetzung der Lösung von den Mengen der beiden Arten von Mischkrystallen unabhängig. Sie ändert sich aber stetig mit der Zusammensetzung der Krystalle, so lange nur eine Art der letzteren entsteht, die beiden Körper also mischfähig sind. Eingehende experimentelle Untersuchungen über diese Verhältnisse liegen nur wenig vor. Die Verfasser untersuchten drei Salzpaare: 1. In der Kälte gesättigte Lösungen von Monokaliumphosphat und Monokaliumarseniat wurden in verschiedenen Verhältnissen gemischt, die sich um je 10 Proc. von einander unterschieden. In den Mischlösungen wurden Gemische der festen Salze in der Siedehitze gelöst. In der durch Abkühlung auf etwa 7° entstandenen übersättigten Flüssigkeit wurde die Krystallisation durch Einbringen kleiner Krystalle hervorgerufen. Durch heftiges Umschütteln wurde

¹⁾ Zeitschr. physik. Chem. 15, 86-89. — ²⁾ Vorstehende Referate. —

³⁾ JB f. 1890, S. 223; f. 1891, S. 33; f. 1893, S. 92. — ⁴⁾ Zeitschr. Kryst. 23, 368-378.

erreicht, daß die Krystalle sich als feines Pulver ausschieden. Lösung wie Krystallpulver wurden analysirt. Aus den gewonnenen Resultaten, die in zwei Tabellen niedergelegt sind, geht hervor, daß, wenn man eine beide Körper enthaltende Lösung eindampft und dann durch Abkühlung auf 7° Krystalle erzeugt, die mit größerem Phosphatgehalt an Arseniat, die mit größerem Arsengehalt dagegen sich an Phosphat anreichern werden, da bei der Krystallabscheidung die Zusammensetzung der Lösung sich immer nach demjenigen Punkte hinbewegt, der dem Maximum des osmotischen Druckes entspricht. Krystallisirt man ein Gemisch der Salze wiederholt um, indem man eine heiße gesättigte Lösung des Salzgemisches herstellt, diese abkühlt, die gewonnenen Krystalle in derselben Weise behandelt und so fortfährt, so kommt man schließlich zum reinen Kaliumphosphat. Einheitliche, zu gonio-metrischen und optischen Untersuchungen geeignete Mischkrystalle können nicht in der Weise hergestellt werden, daß man eine kalt gesättigte Lösung des Salzgemisches langsam bei gewöhnlicher Temperatur eindunsten läßt, da in diesem Falle nur Schichtkrystalle entstehen, die im Inneren an Phosphat, in den äußeren Schichten an Arseniat reicher sind. 2. Aus der Untersuchung des Salzpaars Kaliumperchlorat und Kaliumpermanganat ergibt sich, daß großen Differenzen in der Zusammensetzung der Lösung nur kleine Unterschiede in der Zusammensetzung der Krystalle entsprechen, welche letzteren sehr viel Perchlorat enthalten. So sind z. B. mit einer 65 Mol.-Proc. KClO_4 enthaltenden Lösung Mischkrystalle mit ca. 97 Mol.-Proc. KClO_4 im Gleichgewicht; verringert sich der Gehalt der Lösung auf 46 Proc. KClO_4 , also um ein Drittel, so vermindert sich der Gehalt in den Krystallen um nur 3 Proc. Hat der Gehalt der Lösung an Permanganat etwa 88 Proc. erreicht, so besitzt die Lösung das Maximum des osmotischen Druckes; jetzt ist die Zusammensetzung der Lösung gleich der der Mischkrystalle geworden. In der großen Ähnlichkeit der Form ihrer Krystallbausteine liegt nach Ansicht des Verfassers der Grund dafür, daß trotz ihrer sehr verschiedenen Löslichkeit die beiden Salze in allen Verhältnissen zu Mischkrystallen zusammentreten können. 3. Die Untersuchung des Salzpaars Kaliumpermanganat, Rubidiumpermanganat giebt das Resultat, daß diese Salze nur in sehr beschränkten Verhältnissen Mischkrystalle liefern, indem Rubidiumpermanganat nicht mehr als höchstens 8 Proc. Kaliumsalz, Kaliumpermanganat sogar nur etwa 1 Proc. Rubidiumsalz aufnehmen kann. Aus einer Lösung, die auf 82 Mol.-Proc. KMnO_4 , 18 Mol.-Proc. RbMnO_4 enthält,

scheiden sich Mischkrystalle der gleichen Zusammensetzung aus. Zum Schluss machen die Verfasser noch darauf aufmerksam, dass mit grosser Wahrscheinlichkeit Körper mit grösserem Aequivalentvolumen eine verhältnissmässig grosse Menge von der anderen Substanz, deren Krystallbausteine einen kleineren Raum einnehmen, in isomorpher Mischung aufnehmen können und umgekehrt.

Op.

A. Fock. Zur Kenntniss der Löslichkeit von Mischkrystallen ¹⁾. — Verfasser hat die Salzpaare: $2\text{KCl} \cdot \text{CuCl}_2 \cdot 2\text{H}_2\text{O} \mid 2\text{NH}_4\text{Cl} \cdot \text{CuCl}_2 \cdot 2\text{H}_2\text{O}$ und $\text{K}_2\text{SO}_4 \mid (\text{NH}_4)_2\text{SO}_4$ in Bezug auf die Bildung von Mischkrystallen beim Verdunsten der Lösung untersucht. In der Reihe $2\text{KCl} \cdot \text{CuCl}_2 \cdot 2\text{H}_2\text{O} \mid 2\text{NH}_4\text{Cl} \cdot \text{CuCl}_2 \cdot 2\text{H}_2\text{O}$ tritt in den Krystallen keine continuirliche Mischbarkeit ein. Bei 27,77 Proc. ($2\text{KCl} \cdot \text{CuCl}_2 \cdot 2\text{H}_2\text{O}$) tritt ein Sprung ein, die nächsten Grenzkristalle enthalten 54,87 Proc. des Salzes, innerhalb dieser Grenzen bleibt dann die Concentration der Lösung in Bezug auf das Ammoniumsulfat constant. Bei dem zweiten Salzpaar war die Concentration des $(\text{NH}_4)_2\text{SO}_4$ im Krystall und in der Lösung ungefähr gleich. Unter Anwendung des Vertheilungssatzes von Nernst glaubt Verfasser schliessen zu dürfen, dass das Molekulargewicht des Ammoniumsulfats in Lösung und im Mischkrystall ein gleiches ist. Verfasser hebt gegen diesen Schluss allerdings selbst hervor, dass man alsdann für den Mischkrystall ebenso wie für die Lösung eine starke Dissociation des Salzes in seine Ionen annehmen müsste.

Mr.

R. Haas. Der specifische Leitungswiderstand und der Temperaturcoefficient der Kupfer-Zinklegirungen ¹⁾. — Da die physikalischen Eigenschaften einer Legirung in einer gesetzmässigen Abhängigkeit vom Procentgehalt stehen müssen, lassen sie auf die Constitution der Legirung zurückschliessen, indem z. B. die Curven, welche jene Abhängigkeiten graphisch darstellen, an Stellen, wo die Bestandtheile im Verhältniss der chemischen Aequivalentgewichte vorhanden sind, besondere Punkte (Maxima etc.) aufweisen, wenn die Legirung eine chemische Verbindung ist. Verfasser bestimmt mittelst der Wheatstone-Kirchhoff'schen Brücke den specifischen Leitungswiderstand und den Temperaturcoefficienten von Kupfer-Zinkdrähten verschiedener Zusammensetzung — bis zu 47 Proc. Zn —, die mit grosser Sorgfalt und gleichmässig hergestellt waren. Der specifische Widerstand des reinen Kupfers wurde zu 0,0158 bis 0,0159 Ohm, der des Zinks

¹⁾ Zeitschr. anorg. Chem. 12, 657—662. — ²⁾ Ann. Phys. 52, 673—690.

zu 0,056 Ohm gefunden. Die gewonnenen Resultate sind graphisch dargestellt. Der spezifische Widerstand steigt bis zu 5 Proc. Zink rasch, dann etwas langsamer, bis bei 34 Proc. etwa ein Maximum erreicht ist; dann fällt er so stark, daß bei 47 Proc. die Legirung den gleichen Widerstand zeigte, wie bei 2 Proc. Die graphische Darstellung des Temperaturcoefficienten, der für reines Kupfer den hohen Werth von 0,00432 erreicht, zeigt, daß diese GröÙe im Anfange ungemein rasch sinkt; bei etwa 5 Proc. beginnt die Curve immer allmählicher abzufallen und wird von 17 bis 34 Proc. nahezu horizontal, um von da bis 47 Proc. wieder steil zu steigen. Bei diesem Procentgehalt hat der Temperaturcoefficient denselben Werth, den er bei 2 Proc. hatte. Daraus, daß das Maximum des spezifischen Widerstandes und das Minimum des Temperaturcoefficienten in der Nähe von 34 Proc. Zn liegt, ein Procentgehalt, der der Verbindung Cu_2Zn entsprechen wurde, schließt der Verfasser, daß Cu und Zn in der Schmelzhitze eine feste Verbindung zu Cu_2Zn eingehen. *Op.*

A. P. Laurie. Die elektromotorische Kraft von Legirungen in einer Volta'schen Zelle ¹⁾. — In Fortsetzung früherer Untersuchungen ²⁾ prüfte der Verfasser die elektromotorische Kraft von Legirungen zweier Metalle gegen das eine von beiden in Lösungen von Salzen. Wenn die beiden Metalle in der Legirung unverbunden neben einander liegen, so muß die kleinste Menge des unedleren Metalls, die dem edleren beigelegt ist, das Potential ebenso groß machen, wie wenn das ganze Stück nur aus dem unedleren Metall bestünde. Ein solches Verhalten zeigen in der That die Legirungen Wismuth-Zinn, Wismuth-Blei, Wismuth-Zink, Wismuth-Gold, Wismuth-Silber, Gold-Silber, Cadmium-Zinn, Antimon-Zinn. In anderen Fällen ändert sich das Potential der Legirung continuirlich mit steigendem Zusatz des einen Metalls. Das trifft zu bei Antimon-Blei, Blei-Gold, Blei-Silber, Cadmium-Blei, Gold-Zinn. Im letzteren Fall steigt die elektromotorische Kraft bei steigendem Zinnzusatz continuirlich und allmählich, bis der Zinngehalt 36 Proc. beträgt, um dann plötzlich stark zu steigen. Es findet nach der Annahme des Verfassers die plötzliche Steigerung statt, wenn alles Zinn unter Bildung der Verbindung AuSn verbraucht ist. Uebrigens steigt nach Ueberschreitung dieses Punktes die elektromotorische Kraft nicht plötzlich auf die des reinen Zinns gegen Gold, sondern sie erreicht sie noch nicht bei 50 Proc. Zinn. Amalgamirt man die

¹⁾ Chem. Soc. J. 85, 1031–1039. — ²⁾ JB. f. 1889, S. 277.

Zinngoldlegirung, so wird durch das Quecksilber die Zinngold-Verbindung zerstört, was daraus hervorgeht, daß die elektromotorische Kraft in der ganzen Reihe der Legirungen continuirlich, nicht sprungweise, steigt. Analog verhält sich Zink gegen die Legirung von 35 Proc. Zinn mit 65 Proc. Kupfer, die sich wie eine Verbindung verhält. Es steigt auf Zusatz von nur wenig Zink die elektromotorische Kraft auf die des reinen Zinns und ist weit tiefer als die des freien Zinks. Es verdrängt also das Zink das Zinn aus seiner Verbindung mit Kupfer. Die Ergebnisse bestätigen im Allgemeinen die Folgerungen, die Matthiessen aus der Untersuchung der Leitfähigkeit von Legirungen gezogen hat.

Bdl.

B. Wiesengrund. Ueber die Vorgänge bei Umschmelzungen von Blei-Zinnlegirungen¹⁾. — Rudberg²⁾ hat beobachtet, daß das Thermometer bei Abkühlung von geschmolzenen, überhitzten Blei-Zinnlegirungen auf zwei verschiedenen Punkten stehen blieb; auf einem, der nach Rudberg stets derselbe war, dem Schmelzpunkt der chemischen Legirung, und auf einem anderen, der sich mit dem Mischungsverhältniß der beiden Metalle änderte, dem Erstarrungspunkte. Rudberg faßte die ganze Schmelze als eine Auflösung des überschüssigen Metalles in der chemischen Legirung $PbSn_3$ auf. Zunächst kann Verfasser die Angaben von Pillichody³⁾ bestätigen, daß die gefundenen specifischen Gewichte bei sämtlichen Legirungen kleiner als die berechneten sind und findet ferner, daß die Differenz zwischen berechnetem mittlerem und wahren chemischem specifischem Gewicht am größten ist bei der chemischen Legirung $PbSn_3$, und um so kleiner wird, je weiter sich die Legirungen nach einer von beiden Seiten von der chemischen Legirung in ihrer Zusammensetzung entfernen. Die Hauptversuche erstrecken sich auf die Bestimmung etwaiger Veränderungen der Lage der Schmelzpunkte bei mehrfachen Umschmelzungen. Das Ergebniss ist, daß bei sämtlichen Blei-Zinnlegirungen, mit Ausnahme der chemischen Legirung von der Zusammensetzung $PbSn_3$, bei häufigem Umschmelzen, wenn die Legirungen sich selbst überlassen bleiben, eine mechanische Umlagerung eintritt, welche eine geringe Erhöhung des Schmelzpunktes und eine Annäherung des Erstarrungspunktes an den Erstarrungspunkt der chemischen Legirung zur Folge hat. Zum Schluß macht Verfasser den Versuch, die

¹⁾ Ann. Phys. 52, 777–792. — ²⁾ Pogg. Ann. 18, 240. — ³⁾ Dingl. pol. J. 1861, S. 231.

beobachteten Erscheinungen auf Grund der Analogie zwischen den Legirungen und Salzlösungen zu erklären, indem er Zinn als Lösungsmittel, Blei als gelösten Bestandtheil betrachtet, eine Annahme, bei der maßgebend war, daß der Schmelzpunkt des Zinns wesentlich niedriger liegt als der des Bleies und Zinn außerdem wesentlich größere specifische Wärme und Schmelzwärme besitzt als Blei.

Op.

C. R. Alder Wright. Die Zusammensetzung und Constitution gewisser Legirungen¹⁾. — In vorliegender Arbeit, in der der Verfasser die Resultate seiner früheren Veröffentlichungen²⁾ zusammenfaßt, werden die Legirungen nach dem Vorschlage von Stokes³⁾ in „reale“ und „ideale“ eingetheilt, d. h. in solche, die sich in flüssigem Zustande in allen, und solche, die sich nicht in allen Verhältnissen mischen. Es wurden folgende neun Metalle untersucht: Pb, Bi, Zn, Al, Sn, Ag, Cu, Cd, Sb.

Anzahl der Bestandtheile in der Legirung	Legirungen		Summe
	in denen die Metalle in jedem Verhältniss mischbar sind	in denen die Metalle nur innerhalb gewisser Grenzen mischbar sind	
2	31	5	36
3	55	29	84
4	55	71	126
5	31	95	126
6	9	75	84
7	1	35	36
8	0	9	9
9	0	1	—
	182	320	501

Von den Legirungen aus zwei Metallen liefern reale Legirungen:

AlSb	SbBi	BiCd	CdCu	CuPb
AlCu	SbCd	BiCu	CdPb	CuAg
AlAg	SbCu	BiPb	CdAg	CuSn
AlSn	SbPb	BiAg	CdSn	CuZn
AlZn	SbAg	BiSn	CdZn	PbAg
	SbSn		SnZn	PbSn
	SbZn			AgSn
				AgZn

¹⁾ Chem. Soc. Ind. J. 13, 1014—1020. — ²⁾ JB. f. 1890, S. 2650; f. 1892, S. 37 u. 2673; Chem. Soc. Ind. J. 12, 449—450; 13, 521. — ³⁾ JB. f. 1891, S. 33.

Nur ideale Legirungen bilden Aluminium-Wismuth, Aluminium-Cadmium, Aluminium-Blei, Wismuth-Zink und Blei-Zink. Je höher die Temperatur steigt, um so mehr nähern sich bei diesen fünf Paaren die Grenzen, innerhalb welcher sich ideale Legirungen bilden. Die 29 idealen Legirungen mit drei Bestandtheilen zerfallen theoretisch in drei Classen, von denen jedoch nur zwei wirklich vorkommen. Bezeichnet man die Bestandtheile mit A, B und C, so hat man Legirungen mit einem, mit zwei und mit drei unmischbaren Paaren. Letztere Legirungen kommen jedoch nicht vor.

Classe	Mischbare Paare	Nicht mischbare Paare
1	AB	AC, BC
2	AB, AC	BC
3	AB, AC, BC	0

Zur ersten Classe gehören 23, zur zweiten 6 Combinationen.

Classe 1			Classe 2		
A	B	C	A	B	C
Pb	Zn	Sn, Ag, Sb, Cu od. Cd (5)	Zn oder Al	Bi	Pb (2)
Bi	Zn	Sn, Ag, Sb, Cu od. Cd (5)	Bi oder Pb	Al	Zn (2)
Pb	Al	Sn, Ag, Sb oder Cu (4)	Al	Bi oder Pb	Cd (2)
Bi	Al	Sn, Ag, Sb oder Cu (4)			
Cd	Al	Sn, Ag, Sb, Cu od. Zn (5)			
			23		

Verfasser beschreibt dann die graphische Darstellungsmethode von Stokes für ternäre Combinationen, aus der sich die realen und idealen Legirungen ergeben. Von den 84 möglichen Combinationen mit sechs Componenten konnten nur sieben, von den 36 mit sieben Componenten nur eine Legirung erhalten werden.

(Op.

F. Förster. Ueber die chemische Natur der Metalllegirungen¹⁾. — Verfasser giebt in diesem umfassenden Bericht ein einheitliches Bild von der chemischen Natur der Legirungen, unter kritischer Berücksichtigung der dieses Gebiet behandelnden Arbeiten. Die Herstellung der Metalllegirungen geschieht meist durch Zusammenschmelzen der betreffenden Metalle. Durch Zusammenwalzen der beiden Metalle werden die vergoldeten Platin-

¹⁾ Naturw. Rundsch. 9, 453—457, 465—467, 495—497, 505—507, 517—519.

bleche erhalten, die in der Technik für die Concentration hochgradiger Säuren benutzt werden. Dafs sich auch unter hohem Druck zwei Metalle zu einer Legierung vereinigen, hat Spring nachgewiesen. Durch Elektrolyse können die Legierungen von Zink mit Platin und Kupfer, sowie Kupfer und Nickel gewonnen werden. Mylius und Fromm erhalten durch Eintauchen eines Metalles in die neutrale verdünnte Lösung eines anderen Metalles Legierungen, die entweder eine constante Zusammensetzung — Cu_3Sn , Cu_2Cd , AuCd_3 — oder wie die durch Zink aus Silber- und Kupferlösungen oder durch Cadmium aus Silberlösungen gefällten Niederschläge eine wechselnde Zusammensetzung zeigen. Diese Darstellungsweise hat Aehnlichkeit mit der Umsetzung von Amalgamen mit Salzlösungen. Mit Matthiessen betrachtet man Legierungen als „erstarrte“ Lösungen, eine Anschauung, die jedoch nicht den „festen“ Lösungen van 't Hoff's unterzuordnen ist, da die festen Lösungen eine Homogenität verlangen, die sich bei den Legierungen meist nicht findet. Die Analogie der geschmolzenen Legierungen mit Lösungen im Allgemeinen geht aus vielen Untersuchungen hervor. Ganz wie beim Mischen von Flüssigkeiten, lassen sich vollkommene Löslichkeit, Löslichkeit bis zu einer gewissen Sättigungsstufe, sowie vollkommene Unlöslichkeit unterscheiden. Obwohl häufig sich gerade solche Metalle in einander lösen, welche sich im periodischen System der Elemente nahe stehen, so lassen sich doch bei den vielen Ausnahmen dieser Regel Gesetzmäßigkeiten über die Lösung der Metalle in einander ebenso wenig wie bei den Flüssigkeiten aufstellen. Nach den Untersuchungen von Thompson sowie Wright gleicht das Verhalten von Legierungen aus drei Metallen, von denen zwei nur wenig in einander, aber vollständig im dritten löslich sind, vollkommen dem von ebensolchen Flüssigkeiten. Ebenso, wie beim Mischen von Flüssigkeiten Wärmetönungen auftreten, so mischen sich auch verflüssigte Metalle bald unter Abkühlung, bald unter Erwärmung, die sich beim Entstehen von chemischen Verbindungen zu Feuererscheinungen steigern können. Der Erstarrungspunkt einer Legierung liegt tiefer als derjenige des in ihnen vorwiegenden Metalles. Dafs das Raoult'sche Gesetz nicht nur für Amalgame, wie Tammann und Ramsay nachgewiesen haben, sondern auch für andere Legierungen gilt, haben die Untersuchungen von Heycock und Neville gezeigt. In den Fällen, wo die Atomdepression nicht gleich ist den aus der Schmelzwärme der Metalle berechneten Depressionsconstanten, ist nach Heycock und Neville die Erklärung im Entstehen einer „festen“ Lösung zu suchen. Nur in

einem der Fülle, in denen ein Steigen des Erstarrungspunktes beobachtet wurde, für die Lösung von Antimon in Zinn, handelt es sich, wie Küster nachweisen konnte, um eine wahre isomorphe Mischung. Besonders bei den ternären Legirungen sind die Verhältnisse insofern complicirt, als oft statt der einzelnen Metalle Verbindungen derselben unter sich im dritten Metalle gelöst sind, oder es finden sich Verbindungen des gelösten Metalles mit dem Lösungsmittel, im Ueberschuß des letzteren gelöst. Das zeigen die Beobachtungen von Marzotto über eine Anzahl nicht zu verdünnter Amalgame. Weitere Beispiele von Legirungen, welche aus Schmelzflüssen auskrystallisiren, liefern verschiedene metallurgische Processe. Ebenso wie aus wässerigen Lösungen sich Krystalle mit oder ohne Krystallwasser ausscheiden können, so krystallisiren z. B. Zinn und Wismuth aus ihren Amalgamen ohne Krystallquecksilber aus, während die Alkalimetalle solches an sich ketten. Ein Analogon zu den Kryohydraten der Lösungen wurde von Rudberg in dem Schmelz- und Erstarrungspunkte geschmolzener Zinn-Bleilegirungen gefunden. Der von Rudberg und Wiedemann ausgesprochenen Ansicht vom Entstehen „chemischer Legirungen“ wurde von Palazzo und Batelli sowie Guthrie widersprochen, welcher letzterer sie als eutektische Mischungen bezeichnete und nachwies, daß sie einheitlich schmelzende Gemenge sind, bei denen das Verhältniß ihrer Bestandtheile nicht ein einfaches stöchiometrisches zu sein braucht. Die theoretische Erklärung dieser Vorgänge hat Ostwald geliefert. Eine geschmolzene, eine einheitliche Lösung bildende Legirung liefert also beim Erstarren fast allgemein ein inhomogenes, mechanisches Gemenge. Zu den homogenen festen Legirungen gehören die eutektischen Mischungen, während zu den inhomogenen, ähnlich, wie dies Ambrohn und Le Blanc für isomorphe Mischkrystalle von Salzen nachgewiesen haben, die isomorphen Metalllegirungen gehören. Zur Entscheidung der Frage nach der Homogenität hat man früher, zumal bei den technisch wichtigen Kupferlegirungen, die Zusammensetzung festzustellen gesucht, bei der keine Sägerungserscheinungen auftreten, d. h. nach dem Erstarren überall gleiche Beschaffenheit und Zusammensetzung vorhanden ist. Ein weit geeigneteres Verfahren ist die zuerst von Martens vorgeschlagene und von Behrens weiter ausgebildete mikroskopische Untersuchung, bei der man durch Anwendung gewisser einfacher chemischer Mittel, wie Anätzen oder Anlassen, die einzelnen Bestandtheile in scharfer Trennung von einander auf Schliffflächen kenntlich machen kann. Die Inhomogenität der

starren Legirungen ist für ihre mechanische Verwendbarkeit von hervorragender Wichtigkeit insofern, als die die anfangs ausgeschiedenen Krystalle umgebende Mutterlauge denselben beim Erstarren durch ihre cementartige Verkittung ihre hohe Festigkeit verleiht, die bei den einheitlich erstarrten Legirungen meist fehlt. Aus dem Krystallisationsvermögen darf man keine Schlüsse auf die chemische Individualität ziehen, da, wie Rammelsberg gezeigt hat, meist isomorphe Mischungen vorliegen und z. B. das Silberamalgam, das leicht in wohl ausgebildeten Krystallen erhalten werden kann, doch eine innerhalb weiter Grenzen schwankende Zusammensetzung besitzt. Die Metalle besitzen eine gewisse Lösungstension auch in Metallen, die sich also von der in Flüssigkeiten dadurch unterscheidet, daß hier positiv elektrisch geladene Ionen und nicht, wie sonst, neutrale elektrische Moleküle in das Lösungsmittel eindringen und dort elektromotorisch wirksam werden. Verfasser geht auf die Arbeiten von Lindeck sowie Meyer näher ein, welcher letzterer aus der elektromotorischen Kraft seiner Amalgamconcentrationsketten das Molekulargewicht der im Quecksilber gelösten Metalle berechnen konnte und fand, daß dieselben aus einatomigen Molekülen bestehen. Von den Amalgamen wesentlich verschieden ist das elektromotorische Verhalten der starren Legirungen. Die theoretischen Anschauungen Ostwald's über die von Legirungen hervorgerufenen elektromotorischen Kräfte sind durch die Experimentaluntersuchungen Laurie's an Kupfer-Zinn-, Kupfer-Zink- und Gold-Zinnlegirungen bestätigt worden: Wird aus einem Gemenge von zwei Metallen zunächst das löslichere an der Oberfläche vom Elektrolyten aufgelöst und es bleibt das weniger lösliche negative Metall als dichte, einheitliche Schicht zurück, so ist das elektromotorische Verhalten der Legirung von dem ihres negativen Bestandtheiles wenig oder gar nicht verschieden, während, wenn nach dem Auflösen des positiveren Metalles das zurückbleibende negativere Metall einen leicht vom Elektrolyten zu durchdringenden Schwamm bildet, immer neue Theile des positiven Metalles zur Auflösung gelangen und die Legirung sich elektromotorisch wie ihr positiver Bestandtheil verhält. Auf einem anderen Wege als mit Hilfe des elektromotorischen Verhaltens sind die chemischen Eigenschaften der Legirungen nur wenig untersucht worden. Es liegen nur die zu technischen Zwecken unternommenen Arbeiten von Weber über die Zulässigkeit eines Bleigehaltes in zinnernen Trinkgefäßen und über den Einfluß kleiner metallischer Verunreinigungen auf die Widerstandsfähigkeit von Blei gegen Schwefelsäure von Lunge und

Schmidt vor. Verfasser bespricht dann die Unlöslichkeit unedler Metalle in verdünnten Säuren, wenn sie mit Platin legirt sind. Es liegen Verbindungen der Metalle vor, deren Vereinigungsbestreben gerade hier sehr groß ist, und die sich ähnlich wie krystallwasserhaltige Verbindungen verhalten. Ebenso wie in diesen das Wasser stets eine geringere Dampftension als im freien Zustande besitzt, so ist in diesen Metallverbindungen die Lösungstension der sonst leicht löslichen Metalle stark heruntergedrückt. Andererseits wird z. B. das durch chemische Agentien kaum angreifbare metallische Rhodium von Königswasser leicht gelöst, wenn es vorher mit Zink zusammengeschmolzen wurde. Unter diesen Umständen gelang es auch, Verbindungen der Platinmetalle mit unedlen Metallen rein darzustellen, indem in schmelzendem Zinn Legirungen von PtZn_4 , RhSn_4 , SrSn_4 , RuSn_4 auskrystallisiren, in denen das Zinn in verdünnter Salzsäure unlöslich ist, während die sie umgebende Zinnschmelze sich leicht darin löst. Unaufgeklärt ist das anormale Verhalten vieler Legirungen gegen den Angriff des Luftsauerstoffs und der Feuchtigkeit. Während Messing und Neusilber diesen besser widerstehen als manche ihrer Bestandtheile, wird das sonst beständige Aluminium nach dem Amalgamiren durch Luft leicht in Thonerde verwandelt. Was die Natur dieser in den Legirungen auftretenden Metallverbindungen betrifft, so vergleicht sie Verfasser mit solchen Verbindungen, die durch Vereinigung gesättigter Moleküle entstanden sind, d. h. solchen Verbindungen, die Krystall-Wasser, -Alkohol, -Benzol enthalten, sowie mit den Metallammoniakverbindungen und Doppelsalzen, die von A. Werner unter einheitlichen Gesichtspunkten zusammengefaßt wurden. Verfasser bespricht an einer großen Anzahl von Beispielen diese Analogie, die besonders dann vollkommen ist, wenn man die Metallverbindungen mit jenen Doppelsalzen vergleicht, die nur in festem Zustande beständig sind, aber in Lösung in ihre Bestandtheile zerfallen. *Op.*

Löslichkeit.

T. E. Thorpe und J. W. Rodger. Die angenommene Beziehung zwischen der Löslichkeit eines Gases und der Viscosität des Lösungsmittels¹⁾. — 1892 hatte L. W. Winkler²⁾ folgende Beziehung zwischen den Absorptionscoefficienten bei den Tempe-

¹⁾ Chem. Soc. J. 65, 782—787. — ²⁾ JB. f. 1892, S. 162.

raturen t und t' (β_t und $\beta_{t'}$) und den Reibungscoefficienten des Lösungsmittels η_t und $\eta_{t'}$ und dem Molekulargewicht des Gases aufgestellt:

$$\frac{\beta_t - \beta_{t'}}{\beta_t} = \frac{\sqrt[3]{m} \eta_t - \eta_{t'}}{\eta_t},$$

wo K eine Constante ist. Steigt man zwischen 0 und 50° um je 10° aufwärts, so stimmt die Gleichung nicht, vielmehr nimmt K mit wachsender Temperatur ab. Winkler hatte t immer gleich 0° gesetzt, so daß die Formel einfacher lauten würde

$$\frac{\beta_0 - \beta_{t'}}{\eta_0 - \eta_{t'}} = K'.$$

In dieser Form ist sie angenähert richtig; nur für den Wasserstoff, wo $\beta_0 - \beta_{t'}$ sehr klein ist, schwanken die Werthe für K stark. Für die anderen untersuchten Gase (N_2 , O_2 , CO , NO) sind die Molekulargewichte so ähnlich, daß man über die Potenz von m , die in die Formel eingeht, nichts Bindendes aussagen kann. In dem einzigen von Winkler betrachteten Intervall erhält man zufällig, auch für Wasserstoff, ziemlich constante Zahlen, wenn man $\sqrt[3]{m}$ in die Gleichung einführt. Die Werthe

$$\frac{\beta_t - \beta_{t+10}}{\beta_t} : \sqrt[3]{m}$$

nehmen mit steigender Temperatur stark ab, für Stickstoff und Sauerstoff etwa im gleichen Mafse. Die Constante K in der ursprünglichen Gleichung sollte gleich der dritten Wurzel aus dem Molekulargewicht des Wassers (zu 3 \times 18 angenommen) sein; diese Annahme ist nach Obigem hinfällig. Es bleibt nur die Beziehung bestehen:

$$\frac{\beta_t - \beta_{t'}}{\eta_t - \eta_{t'}} = \text{Const},$$

die Constante nimmt mit dem Molekulargewicht des Gases zu. Es ist wünschenswerth, diese Beziehung an organischen Lösungsmitteln nachzuprüfen, für welche durch die Untersuchungen der Verfasser die Werthe von η bekannt sind. W. A. R.

Paul Steiner. Ueber die Absorption des Wasserstoffs in Wasser und in wässrigen Lösungen¹⁾. — Es wurde die Löslichkeit der Gase in wässrigen Lösungen und Wasser nach der Methode von Ostwald untersucht. Die Resultate ergeben sich aus der folgenden Tabelle, in der als Absorptionscoefficienten β

¹⁾ Ann. Phys. [2] 52, 275—299.

die von einem Volumen der Flüssigkeit auf 0° und 760 mm reducirten, bei 15° aufgelösten Volume Wasserstoff aufgeführt sind. Für reines Wasser ist der Absorptionscoefficient 0,01883. Die Concentrationen sind in Grammäquivalenten im Liter angegeben, nur für Aluminiumchlorid berechnet der Verfasser $\frac{1}{3}$ AlCl₃, statt $\frac{1}{3}$ AlCl₃.

Concentrationen	1	2	3	4	5	6	7
LiCl	0,01574	0,01325	0,01121	0,00949	—	—	—
KNO ₃	0,01524	0,01276	0,01076	—	—	—	—
$\frac{1}{3}$ AlCl ₃	0,01511	0,01221	0,00993	0,00810	0,00667	0,00550	—
KCl	0,01502	0,01217	0,00996	0,00820	—	—	—
NaNO ₃	0,01496	0,01201	0,00984	0,00808	0,00667	0,00542	—
$\frac{1}{2}$ CaCl ₂	0,01493	0,01196	0,00958	0,00780	0,00635	0,00510	—
NaCl	0,01478	0,01141	0,00880	0,00699	0,00573	—	—
$\frac{1}{2}$ MgSO ₄	0,01461	0,01120	0,00856	0,00659	0,00499	—	—
$\frac{1}{2}$ ZnSO ₄	0,01446	0,01113	0,00852	0,00667	0,00510	—	—
$\frac{1}{2}$ Na ₂ SO ₄	0,01370	0,00991	0,00710	—	—	—	—
$\frac{1}{2}$ K ₂ CO ₃	0,01338	0,00967	0,00700	0,00508	0,00372	0,00273	0,00206
$\frac{1}{2}$ Na ₂ CO ₃	0,01340	0,00967	0,00699	—	—	—	—
Rohrzucker	0,01280	0,00731	—	—	—	—	—

Als Aequivalentdepressionen berechnet der Verfasser die Werthe $0,01883 - \beta$, wo m die Anzahl der gelösten Aequivalente des Salzes bedeutet. Sie betragen auf unendliche Verdünnung extrapoliert für

LiCl	KNO ₃	$\frac{1}{3}$ AlCl ₃	KCl	NaNO ₃	$\frac{1}{2}$ CaCl ₂	NaCl
0,0046	0,0047	0,0044	0,0046	0,0047	0,0046	0,0046
$\frac{1}{2}$ MgSO ₄	$\frac{1}{2}$ ZnSO ₄	$\frac{1}{2}$ Na ₂ SO ₄	$\frac{1}{2}$ K ₂ CO ₃	$\frac{1}{2}$ Na ₂ CO ₃	Rohrzucker	
0,0052	0,0052	0,0082	0,0066	0,0066	0,0063	

Es ergibt sich ein deutlicher Unterschied zwischen Chloriden und Nitraten einerseits, Sulfaten und Carbonaten andererseits. Auffällig ist die Gleichheit der Werthe von MgSO₄ und ZnSO₄, sowie von K₂CO₃ und Na₂CO₃, während KCl und KNO₃ andere Werthe haben als NaCl und NaNO₃. Eine einfache Beziehung der Depressionen zur elektrolytischen Dissociation ist nicht zu erkennen. $\beta:\beta_0$, wo β die Absorption in der Salzlösung, β_0 in Wasser ist, ist für Wasserstoff bei gleicher Concentration fast ebenso groß wie für Kohlensäure. Bdl.

C. Rice. „Lysimeter“, ein Apparat zur Löslichkeitsbestimmung¹⁾. — Der durch eine Zeichnung erläuterte Apparat dient dazu, aus einer bei höherer Temperatur hergestellten Lösung Proben zur Analyse entnehmen zu können, ohne daß der Gehalt der Lösung durch Abkühlung oder Verflüchtigung oder mitgerissene feste Substanz verändert wird. Ein Rohr von 15 cm Länge und 1 cm Durchmesser kann auf der einen Seite durch einen eingeschliffenen Stopfen verschlossen werden. Das untere Ende erweitert sich nach einer tiefen Einschnürung zu dem früheren Durchmesser. In dieses Ende paßt sowohl ein durchlöcherter Napf wie ein Glasstöpsel. In den Napf wird Baumwolle zur Filtration eingefüllt und dieses Ende in die zu untersuchende Flüssigkeit eingetaucht. Die Flüssigkeit steigt beim Saugen durch das Filter in die Röhre. Ist genug Flüssigkeit darin, so setzt man den oberen Stöpsel auf, hebt die Röhre heraus und dreht um. Nach dem Herausnehmen des Napfes wird auch diese Seite durch den Stöpsel verschlossen. *Op.*

M. Etard. Experimentaluntersuchungen über gesättigte Lösungen²⁾. — Verfasser untersucht in vorliegender Arbeit die gesättigten Lösungen in einem weiteren Temperaturintervall, als dies bis jetzt geschehen ist, bei den meisten bis zum Schmelzpunkt. Bis 100° bedient sich Etard zur Erzielung constanter Temperaturen der Wasserbäder, während er für die höheren Temperaturen unter Druck arbeitet. Er verwendet die schon von Faraday gebrauchte, auf beiden Seiten zugeschmolzene und im Winkel von 45° gebogene Glasröhre, die er, anstatt in Oelbädern, in Bädern aus einer molekularen Mischung von Natrium- und Kaliumnitrat erhitzt. Alle gewonnenen Resultate, die er meist graphisch darstellt, hier anzuführen, ist unmöglich. Es seien hier nur die Löslichkeitsverhältnisse der wichtigeren Salze angeführt, für die der Verfasser aus seinen Versuchen eine Interpolationsformel angiebt. Bezeichnet man mit p die Gewichtsmenge Salz, die in π g Lösungsmittel enthalten sind, so bedeutet

$y = \frac{p}{p + \pi}$ die Salzmenge, die in 100 Thln. der gesättigten Lösung enthalten ist. Die Löslichkeit des Silbernitrats stellt sich von — 7° bis 60° als ein unregelmäßiges Segment dar, das bei 60° in eine Gerade übergeht, für welche die Gleichung gilt $y + \frac{190}{60} = 81.5 + 0.1340t$. Für Kaliumnitrat gelten die drei For-

¹⁾ Amer. Chem. Soc. J. 16. 715–717. — ²⁾ Ann. chim. phys. [7] 2, 503–574.

meln: $y_{+20}^{+70} = 24,0 + 0,7100t$; $y_{+70}^{+125} = 59,5 + 0,3727t$; $y_{+125}^{+332} = 80,0 + 0,0938t$. Für Natriumnitrat gelten die Gleichungen $y_{+64}^{+64,00} = 39,0 + 0,2825t$ und $y_{+64}^{+130} = 58,5 + 0,1666t$. Der Gehalt der gesättigten Lösung von Baryumnitrat wird dargestellt durch $y_{+0,4}^{+474} = 4,5 + 0,2025t$; von KClO_3 durch die Gleichungen $y_{+0}^{+500} = 2,5 + 0,2060t$, $y_{+80}^{+150} = 12,7 + 4,230t$, $y_{+160}^{+350} = 55,0 + 0,2163t$; von $\text{Ba}(\text{ClO}_3)_2$ $y_{+0}^{+100} = 19,0 + 0,382t$. Bei vielen Salzen konnte der Verfasser die Löslichkeit bis zu dem Punkte ausdehnen, von dem an die Löslichkeitsformel eine Gerade darstellt, die den Schmelzpunkt schneidet. Bezüglich der Einzelheiten muß auf die Originalarbeit verwiesen werden. Im zweiten Theil der Arbeit untersucht der Verfasser die Löslichkeit von HgCl_2 in Wasser und einer Anzahl organischer Lösungsmittel. Die Resultate sind graphisch dargestellt. Die Curven der Löslichkeit in Wasser, Methylalkohol und Aethylalkohol sind etwas zu einander verschoben, gleichen sich aber sonst vollkommen, indem die nach oben offene Curve bei 138 resp. 38 resp. -10° in eine Gerade übergeht. Die Geraden, die die Löslichkeit in Wasser, Methylalkohol und Propylalkohol darstellen, scheinen sich bei 265° , dem Schmelzpunkt des Salzes, zu schneiden. Kupferchlorür, über dessen Löslichkeit in organischen Lösungsmitteln nur eine geringe Anzahl von Versuchen vorliegt, scheint sich in organischen Lösungsmitteln in der Kälte besser als in der Hitze zu lösen, während seine Löslichkeit in Wasser mit der Temperatur zunimmt. Um die Löslichkeit auch bei tieferen Temperaturen kennen zu lernen, verwendet der Verfasser Schwefelkohlenstoff, Hexan und Chloroform, in denen er die Löslichkeit des Schwefels und einiger organischer Verbindungen untersucht. Die Resultate sind in Tabellen und graphisch dargestellt. Allgemeine Schlüsse lassen sich aus ihnen nicht ziehen. *Op.*

M. Etard. Experimentaluntersuchungen über gesättigte Lösungen. Gleichzeitige Löslichkeit mehrerer Salze¹⁾. — Ueber einen Theil dieser Arbeit wurde in diesen Berichten²⁾ bereits referirt. Verfasser untersucht die gleichzeitige Löslichkeit zweier und mehrerer Salze in einem weiten Temperaturintervall von -20 bis $+200^\circ$. Die Gerade, welche die Löslichkeit der Summe der Salze giebt, schneidet in ihrer Verlängerung den Schmelzpunkt einer der Componenten. Es wird die Zusammensetzung berechnet, die das Salz an dieser Stelle besitzen mußte. Folgende

¹⁾ Ann. chim. phys. [7] 3, 275. — ²⁾ JB. f. 1889. S. 179.

Salzgemische wurden untersucht: $\text{KCl} + \text{NaCl}$; $\text{KBr} + \text{KJ}$; $\text{KCl} + \text{KJ}$; $\text{KCl} + \text{KBr}$; $\text{KCl} + \text{KBr} + \text{KJ}$; $\text{KNO}_3 + \text{NaCl}$; $\text{KNO}_3 + \text{KCl}$; $\text{BaBr}_2 + \text{BaJ}_2$; $\text{Ba(NO}_3)_2 + \text{BaCl}_2$. Die Resultate sind in Tabellen und graphisch dargestellt. Allgemeine Schlüsse lassen sich aus ihnen nicht ableiten.

Op.

A. F. Hollemann und A. C. Antusch. Studien über die Löslichkeit der Nichtelektrolyte in Gemischen zweier Flüssigkeiten¹⁾. — I. *Löslichkeit in Gemischen von Äthylalkohol und Wasser*. Nach einem kurzen Hinweise auf die Arbeiten von H. Schiff²⁾ und A. Gerardin³⁾ besprechen die Verfasser die Arbeiten von Bodländer⁴⁾ und Lobry de Bruyn⁵⁾. Bodländer hatte die Löslichkeit anorganischer Salze in Alkoholwassergemischen verschiedener Concentration untersucht und war zu dem Schlusse gekommen, dass man es hierbei nicht mit Alkoholhydraten zu thun hat, sondern dass der Zusatz des Alkohols der gleichen Wassermenge nur ein größeres Volumen verleiht. Nach Bodländer gilt die Formel

$$\frac{W}{S} = \text{Const},$$

worin W die Menge Wasser ist, die bei einer bestimmten Temperatur in einem gewissen Volumen der Lösung sich befindet und S die Menge der aufgelösten Substanz. De Bruyn war zu dem entgegengesetzten Resultate gekommen und glaubte auf das Vorhandensein von alkoholischen Hydraten schließen zu müssen. Bei einer Temperatur von 25° wurde von den Verfassern die Löslichkeit in Alkoholwassergemischen gemessen, deren Concentration immer um 5 Proc. differirte, und zwar von folgenden Substanzen: p-Acettoluid, α -Acetnaphtalid, Phenylharnstoff, Benzoylphenylhydrazin, Triphenylguanidin, Acetanilid, Benzamid, Trinitrobenzol und Alanin. Alle diese Stoffe sind in Alkohol löslich, in Wasser unlöslich oder wenig löslich, mit Ausnahme des Alanins, bei dem das Umgekehrte der Fall ist. Die erhaltenen Resultate sind in Tabellen und Curven wiedergegeben. Einige der untersuchten Substanzen zeigen in bestimmten Alkoholwassergemischen ein Maximum der Löslichkeit. Am Benzamid, Trinitrobenzol, Alanin wird die von Bodländer aufgestellte Formel geprüft. Eine annähernde Constanz zeigt sich nach Ansicht der Verfasser nur beim Trinitrobenzol.

Op.

¹⁾ Rec. trav. chim. Pays-Bas 13, 277. — ²⁾ Ann. Chem. 118, 362. —

³⁾ Ann. chim. phys. 5, 129. — ⁴⁾ JB. f. 1891, S. 200. — ⁵⁾ JB. f. 1892, S. 194.

Thermochemie.

Berthelot. Das Princip der maximalen Arbeit und der Entropiebegriff¹⁾. — Das von Berthelot aufgestellte Princip, nach welchem stets diejenige Reaction sich abspielt, bei der die größte Wärmemenge frei wird, erfährt eine Einschränkung insofern, als stets nur die chemische, durch das Zusammentreten der Atome entbundene Wärme in Betracht zu ziehen ist. Die physikalischen Vorgänge, wie Verdampfung, Condensation, Schmelzung oder Leistung äußerer Arbeit, entsprechende Tönung ist immer auszuschließen. Viele Widersprüche gegen das Berthelot'sche Princip, besonders die auf der Existenz endothermischer Verbindungen beruhenden, werden so aufgeklärt. Das Acetylen z. B., das bei gewöhnlicher Temperatur aus festem Kohlenstoff und aus Wasserstoff sich unter Wärmeaufnahme bilden müßte, ist exothermisch, wenn man bei der Temperatur der thatsächlichen Synthese (4000°C.) auch den Kohlenstoff als gasförmig in Rechnung setzt. Das Gleiche gilt für die Bildung des Schwefelkohlenstoffs u. s. w. Mit dem Berthelot'schen Principe in den Hauptzügen identisch ist der Entropiesatz, doch wirft Berthelot dem Begriffe der Entropie zu große Unbestimmtheit und die Unmöglichkeit der experimentellen Auswerthung vor. Die beiden Gesetze führen zu denselben Resultaten, wenn man beim absoluten Nullpunkte die Umsetzungen von festen Verbindungen betrachtet, die aber die Eigenschaften der vollkommenen Gase behalten müssen. Will man auf höhere Temperaturen übergehen, so gilt das Berthelot'sche Princip nur unter der Annahme weiter, daß die specifischen Wärmen bei der Reaction nicht geändert werden, das Entropiegesetz dagegen ist von dieser Beschränkung unabhängig. Berthelot führt die Berechnung einiger Umsetzungen zwischen freien Halogenen und Alkalihaloiden aus und zeigt, daß nach dem Princip der maximalen Wärmetönung und nach der streng thermodynamischen Berechnung nur sehr wenig abweichende Resultate erhalten werden, daß also in der Praxis die angenommene Hypothese über die Additivität der specifischen Wärmen innerhalb der Grenzen der Versuchsfehler zutreffend ist. Das Berthelot'sche Princip hat daneben den zweifellosen Vorzug leichter Verwendbarkeit, weil die Wärmetönungen einfach zu messen sind, die Entropien dagegen nicht. Im Nachtheile

¹⁾ Compt. rend. 118. 1378—1392; Ann chim. phys. [7] 4. 79—100.

ist das Princip dagegen, sowie es sich um Processe handelt, bei denen eine Aenderung des Aggregatzustandes eintritt, oder die in einer Dissociation resp. Polymerisation der Moleküle bestehen. Besonders bei Berechnung der Dissociationsgleichgewichte versagt es vollständig, was Berthelot auch unumwunden zugiebt, während das Entropiegesetz vollkommen streng gültig bleibt. *R.*

E. H. Griffiths¹⁾. Anhang zu der Abhandlung über das mechanische Wärmeäquivalent²⁾. — Es wird berichtet über eine nachträgliche Prüfung der bei Bestimmung des mechanischen Wärmeäquivalentes benutzten Thermometer. Die Fehler in den Temperaturangaben derselben dürften 0,003° C. nicht übersteigen, was auf den schließlichen Werth von J die Unsicherheit $\frac{1}{1000}$ bringt. Weiterhin wird mitgetheilt, daß in die Rechnung sich leider ein Additionsfehler eingeschlichen hat, dessen Richtigstellung das Resultat um $\frac{1}{1000}$ beeinflusst. Durch Einführung dieser Correctionen ist das früher gegebene Resultat zu verändern und es ergibt sich für das mechanische Aequivalent einer Calorie bei 15° — 4,1982.10⁷ absolute Einheiten oder (wenn $g = 981,17$) 427,88 Kilogrammometer. Der mögliche Fehler beträgt bei ersterer Zahl $\pm 0,0020$. *R.*

A. Bartoli und E. Stracciati. Ueber Correcturen bei thermochemischen Messungen³⁾. — Die bei thermochemischen Messungen anzubringenden Correcturen beziehen sich auf folgende drei Punkte: 1. spezifische Wärme der Calorimeterflüssigkeit, 2. Thermometerablesung, 3. Wärmestrahlung nach außen. Für die in den meisten Fällen in Frage kommende calorimetrische Flüssigkeit, das Wasser, ist die spezifische Wärme mit der Temperatur veränderlich, mithin bleibt die Anzahl der durch Erwärmung der Calorimeterflüssigkeit angezeigten Calorien Wärmetönung nicht die gleiche, wenn die Ausgangstemperatur wechselt. Auf Grund eigener Untersuchungen über die spezifische Wärme des Wassers geben Bartoli und Stracciati eine Tabelle, welche die für 1° Temperaturerhöhung verbrauchte Wärmemenge zwischen 8° und 28° C. enthält unter Zugrundelegung der spezifischen Wärme des Wassers bei 15°. Die für die Einführung der beiden anderen Correctionen — Thermometerablesung und Wärmestrahlung nach außen — gegebenen Regeln enthalten nichts wesentlich Neues. *R.*

W. Louguinine. Eine Neuerung am Escalorimeter⁴⁾. — Die Bestimmung der spezifischen Wärme nach der Mischungs-

¹⁾ Lond. R. Soc. Proc. 55, 23—26. — ²⁾ Phil. Trans. 184, 361—304. —

³⁾ Gazz. chim. ital. 24, II, 432—437. — ⁴⁾ Ann. chim. phys. [7] 1, 423—432.

methode wurde bisher so ausgeführt, daß der betreffende Körper in einem feststehenden Gefäße erhitzt und dann in ein im letzten Moment darunter geschobenes Wasser- oder Eis-calorimeter fallen gelassen wurde. Hierbei sind zwei wesentliche Uebelstände nicht zu vermeiden: 1. muß die Rührung des Calorimeters während der Bewegung unterbrochen werden; 2. geht bei der heftigen Erschütterung leicht Wasser durch Ausspritzen verloren. Louguenic stellt darum das Calorimeter fest auf und bringt die Heizvorrichtung so auf einem kleinen Wagen an, daß sie ohne Unterbrechung der Heizung über das Calorimeter gebracht werden kann, dessen Rührvorrichtung gleichfalls ununterbrochen arbeitet.

R

F. Fischer. Kohlenuntersuchung ¹⁾. — Wenn Kohleproben mittelst des Fischer'schen Calorimeters auf ihren Heizwerth untersucht werden sollen, so sind dieselben vorher bei etwa 110° zu trocknen. Fischer empfiehlt hierzu einen von ihm construirten Trockenofen, dessen wesentliche Neuierung darin besteht, daß die eintretende Luft beim Passiren durch ein Chlorcalciumrohr vorher getrocknet wird. Die Bestimmung der Temperaturerhöhung des Calorimeters bei der Verbrennung der Kohle kann mit einem sogenannten Beckmann'schen Thermometer bequem und genau genug ausgeführt werden, da Ablesungen bis auf $\frac{1}{100}^{\circ}$ leicht möglich sind. Bei genaueren Untersuchungen müssen die Verbrennungsproducte analysirt werden. Man läßt daher die aus dem Calorimeter entweichenden Gase durch eine Waschflasche gehen, um die Geschwindigkeit und den Druck derselben beobachten zu können. Es folgt dann ein Rohr mit Natronkalk, ein gleiches mit Chlorcalcium, ein Verbrennungsrohr mit einer Schicht Kupferoxyd zwischen zwei grobmaschigen Sieben aus Platin- oder Nickeldraht, schließlich ein zweites Chlorcalciumrohr, Natronkalkrohr u. s. w. Wenn auch für technische Zwecke, besonders bei kleinen Proben, diese Untersuchung der Gase meist fortgelassen werden wird, empfiehlt es sich doch, die Verbrennungsgase mit Palladiumpapier auf Kohlenoxyd zu prüfen, da dessen Vorhandensein auf die Unvollständigkeit der Verbrennung im Calorimeter hinweisen würde.

R.

Carl Brendel. Ueber die Bestimmung des Heizwerthes der Brennmaterialien mit Hülfe des neuen Mahler'schen Calorimeters ²⁾. — Wenn auch durch die Versuche von Bunte und

¹⁾ Zeitschr. angew. Chemie 1891, S. 19—20. — ²⁾ Zeitschr. Ver. Rub.-Ind. 1891, S. 751—768; Ref. Chem. Centr. 65, II, 909—910.

Mahler erwiesen ist, daß der Heizwerth einer Kohle aus deren chemischer Zusammensetzung mit genügender Sicherheit nach der Dulong'schen Formel bestimmt werden kann, so ist die directe calorimetrische Messung doch ohne Zweifel stets vorzuziehen. Die früher construirten Calorimeter von Favre und Silbermann sowie von Berthelot sind wegen ihres hohen Preises für die Verwendung in der Technik wenig geeignet. Das von Mahler angegebene Instrument hat dieselben Vorzüge wie die eben erwähnten und ist erheblich billiger, weil der kostbare innere Platinmantel durch einen ebenso widerstandsfähigen Emailleüberzug ersetzt worden ist. Im Uebrigen ist die Construction des Mahler'schen Calorimeters genau übereinstimmend mit der des Berthelot'schen Apparates. Die Bombe besteht aus zwei verschraubbaren Theilen aus 8 mm dickem Martinstahl. Der Volumeninhalt beträgt 654 cm. Im Deckel befindet sich ein Rohr aus Nickel- oder Eisen für die Zuleitung des zur Verbrennung benutzten comprimierten Sauerstoffs und die isolirte Einführung zweier Platinelektroden. Letztere werden im Inneren durch einen dünnen Eisendraht verbunden, dessen auf elektrischem Wege hervorgerufenes Erglühen als Zündung für den Verbrennungsproceß dient. Die geeignetste Form für den Zünddraht, sowie eingehende Vorschriften für die Messung der entbundenen Wärmemenge werden in der Abhandlung ausführlich besprochen. R.

Ch. M. van Deventer und E. Cohen. Ueber Salzbildung in alkoholischer Lösung¹⁾. — Es wurden die Wärmetönungen gemessen bei der Neutralisation von in wässrigem Alkohol gelöstem Natrium durch verschiedene Säuren. Bei Verwendung von Essigsäure ergab sich, daß die Wärmetönung am geringsten ist, wenn wasserfreier Alkohol benutzt wird (7,3 Cal.) und daß sie mit zunehmendem Wassergehalte stetig ansteigt (13,36 Cal. bei 30 Proc. Alkohol). Bei Verwendung von Chlorwasserstoff und Bromwasserstoff ergibt sich aber das sonderbare Resultat, daß ein Minimum der Wärmetönung bei etwa 90 Proc. Alkohol gelegen ist (z. B. für HBr 8,33 Cal.) und daß diese bei 100 Proc. dagegen 12,4 Cal. und bei 30 Proc. 13,7 Cal. beträgt. Die Ursache dieser Erscheinung suchen die Verfasser darin, daß in wasserarmen Lösungen die Reaction zwischen Natriumäthylat und den Säuren, in wasserhaltigen Gemischen dagegen zwischen Natriumhydroxyd und den Säuren sich abspielt in Folge der bei Gegenwart von Wasser eintretenden Zersetzung des Natriumäthylats, und daß ferner die

¹⁾ Zeitschr. physik. Chem. 14, 124—128.

Dissociation der Säure stark durch den Alkoholzusatz beeinflusst wird. Die Verschiedenheit im Verhalten der Essigsäure einerseits der beiden Halogenwasserstoffe andererseits würde sich leicht dadurch erklären, daß im letzteren Falle die Neutralisationswärme der Moleküle kleiner ist als diejenige der Ionen und auch als die Reaktionswärme der Moleküle mit Natriumäthylat. Bei Essigsäure dagegen ist die letztgenannte GröÙe die geringste. Die Annahme, daß in wasserhaltigen Lösungen schon bei ganz geringem Wassergehalte (12 Gewichtsprocente) das Natriumäthylat nicht mehr euzstenzfähig ist, konnte durch den Versuch direct bewiesen werden. R.

C. Matignon. Ueber die Substitution alkoholischer Radicale, die an Kohlenstoff oder Stickstoff gebunden sind ¹⁾. — Gegenüber einer Prioritätsreclamation von Stohmann und Langbein ²⁾ bemerkt Matignon, daß er in seiner früheren Arbeit ³⁾ bereits mit aller Schärfe das Gesetz ausgesprochen habe: Die Substitution eines Alkoholradicals erhöht die Verbrennungswärme um einen größeren Betrag, wenn es an Stickstoff, als wenn es an Kohlenstoff gebunden ist. Eine ähnliche Beziehung hat er dann auch für an Sauerstoff gebundene Radicale aufgestellt. Berthelot ⁴⁾ bemerkt hierzu, daß er schon gleich zu Beginn seiner Studien über die Bildungswärme organischer Substanzen darauf hingewiesen habe, daß zu unterscheiden sei zwischen den ätherartigen Verbindungen und ihren Isomeren. In den ersteren ist das Acetyl oder allgemeiner gesprochen das Alkoholradical an Sauerstoff oder Stickstoff gebunden, in den anderen direct an Kohlenstoff. Die Verbrennungswärme der erstgenannten Körper ist im Allgemeinen größer als die der entsprechenden Isomeren, die Bildungswärme in Folge dessen kleiner. So fand Petit für die Bildungswärmen des Methylanilins, wo das Methyl an den Stickstoff gebunden ist, — 5,5 Cal. für das isomere Toluidin, in welchem das Methyl am Kohlenstoff des Benzolringes hängt, 7 Cal. (para-Toluidin) resp. 3,5 Cal. (ortho-Toluidin) und 2,9 Cal. (meta-Toluidin). Das Benzylamin gehört gewissermaßen beiden Gruppen an, da in ihm das Methyl sowohl an Stickstoff wie an Kohlenstoff gebunden ist. Seine Bildungswärme (— 0,1 Cal.) liegt daher auch in der Mitte zwischen den obigen Werthen. R.

A. Colson und G. Darzens. Thermochemische Constanten einiger vielatomiger Basen ⁵⁾. — Da die thermochemischen Daten

¹⁾ Compt. rend. 119, 78—79. — ²⁾ JB f. 1893, S. 1015. — ³⁾ JB. f. 1891, S. 249 u. 252; f. 1893, S. 965 ff. — ⁴⁾ Compt. rend. 119, 79—80. — ⁵⁾ Unselbst 118, 250—251.

werthvolle Aufschlüsse geben können über die chemische Constitution zusammengesetzter Basen, besonders auch der Alkaloide, so wurden dieselben für das Aethylendiamin und das Chinin experimentell bestimmt. Für Aethylendiamin, $C_2H_4(NH_2)_2$, wurde gefunden: die specifische Wärme zwischen 12 und $45^\circ = 0,84$; die Lösungswärme für 1 g-Mol. in 4 Litern Wasser — 7,6 Cal. Bei der Neutralisation von 1 g-Mol. Aethylendiamin mit 2 g-Mol. Salzsäure wurden entbunden 23,54 Cal.; die Neutralisation mit 1 g-Mol. Salzsäure (Bildung des basischen Salzes) gab 12,50 Cal., die weitere Neutralisation (Bildung des neutralen Salzes) noch 11,02 Cal. Wärmetönung. Daraus folgt also, daß hier die Stärke der beiden Basicitäten des Moleküls nicht die gleiche ist, was auch schon aus chemischen Gründen vermuthet wurde. Die Lösungswärme des neutralen Salzes ist negativ; sie beträgt (1 g-Mol. in 4 Litern Wasser) — 7,55 Cal. Für krystallisirtes neutrales Chininsulfat wurde aus dem Gehalte an Schwefelsäureanhydrid ein Wassergehalt von 6 Mol. berechnet. Die Lösungswärme desselben in verdünnter Schwefelsäure betrug für 1 g-Mol. — 6,7 Cal. Die Neutralisationswärme des Chinins durch Schwefelsäure wurde berechnet aus der Zersetzung des neutralen Sulfats durch Kaliumcarbonat zu 15,5 Cal. und direct gemessen durch Auflösen frisch gefallten Chinins in verdünnter Säure zu 15,8 Cal. Wird das Chinin vorher bei 100° getrocknet, so erhöht sich die Neutralisationswärme auf 18,7 Cal. pro g-Mol. Die bisher erhaltenen Zahlen für die Wärmetönung bei der völligen Neutralisation des basischen Sulfates schwanken um den Werth von etwa 5 Cal. herum. Man kann also schließen, daß dem Chinin eine starke basische Affinität und eine zweite wesentlich schwächere zukommt. Letztere wurde der Basicität der Chinoline, erstere derjenigen der aliphatischen Amine, Allylamine und Piperidylamine an die Seite zu stellen sein.

R.

F. Stohmann und R. Schmidt. Calorimetrische Untersuchungen. 32. Ueber den Wärmewerth des Glycogens und 33. Ueber den Wärmewerth isomerer Säuren von der Zusammensetzung $C_7H_8O_2$ und $C_7H_8O_2$.¹⁾ — Da eine Wiedergabe der einzelnen Versuchsergebnisse nicht möglich ist, sollen nur die in der zweiten Abhandlung gewonnenen allgemein gültigen Gesichtspunkte hervorgehoben werden. Zunächst ist sehr auffällig, daß die Reihe der Wärmewerthe für die Säuren genau der Reihenfolge der

¹⁾ Ber. Kgl. Sachs. Ges. d. Wiss., Math.-A. 1894, S. 223–251: Ref.: Chem. Centr. 69, II, 916–918.

elektrolytischen Leitfähigkeiten entspricht. Bei den isomeren aromatischen Säuren haben stets die o-Säuren den höchsten, die p-Säuren den geringsten Warmewerth, die m-Säuren stehen zwischen beiden. Aus dem Vergleich der Warmewerthe ähnlicher construirter Säuren zieht Stohmann den allgemeinen Schluss, dass einem C-Atom, das in einfache N-Bindung tritt, eine Energiemenge von 10 bis 12 Cal. mehr zugeführt werden muss, als erforderlich ist, um ein C-Atom mit einem zweiten C-Atom durch einfache Bindung zu vereinen. Ebenso ist eine um 15 bis 20 Cal. größere Energiemenge als im letzteren Falle nöthig, wenn ein C-Atom in einfache Bindung mit einem O-Atom treten soll. *R.*

F. Stohmann. Der Warmewerth der Bestandtheile der Nahrungsmittel¹⁾. — Die Absicht des Verfassers ist weniger, neue Zahlen mitzutheilen, als die schon seit längerer Zeit zerstreut in der Literatur vorliegenden zu sammeln und in einer für den praktischen Gebrauch geeigneten Form wiederzugeben. Besonders Aufmerksamkeit wird den katalytischen Vorgängen zugewandt, die bei dem Verdauungsproceß von Anfang bis zu Ende eine so bedeutsame Rolle spielen. Stohmann faßt dieselben auf als Bewegungen der Atome in den Molekülen, indem durch einen äußeren Anstoß Umlagerungen der Atome in eine stabilere Form des Moleküls erfolgen. Auch beim Wachsthum der Pflanze kommen katalytische Processe sehr wesentlich in Frage. Als erstes Assimilationsproduct ist nach Baeyer das Formaldehyd anzusehen, dieses condensirt sich aber nicht direct zu Stärke, sondern tritt erst in das Protoplasmanmolekül ein, das ein labiles Gefüge darstellt und bei katalytischem Anstoß in Eiweiß, Stärke und Fett zerfällt. An den übrig bleibenden Kern des Protoplasmas lagern sich von neuem Formaldehyd und ammoniakartige Verbindungen an, indem neue Protoplasmanmoleküle entstehen. *R.*

Spectralanalyse. Lichtabsorption.

A. Smithells. Das Leuchten der Gase²⁾. — In Uebereinstimmung mit den Ergebnissen der von Pringsheim angestellten Versuche³⁾ hatte Smithells früher⁴⁾ die Ansicht ausgesprochen, dass Gase niemals durch die hohe Temperatur allein zum Leuchten gebracht werden können, sondern dass stets chemische Processe

¹⁾ Zeitschr. f. Biologie 31, 364—391. Ref. Chem. Centr. 65, II, 833. —

²⁾ Phil. Mag. [5] 37, 245—259. ³⁾ JB. f. 1892, S. 454. f. 1893, S. 146. —

⁴⁾ JB. f. 1892, S. 2871 ff.

die eigentliche Ursache der Lichtemission bilden. Durch einen gelegentlichen Widerspruch von Stokes veranlaßt, unternahm Smithells neue Versuche zur Aufklärung der Frage. Im ersten Abschnitte der Arbeit wird das Leuchten der Flammen ohne feste Verbrennungsproducte behandelt, wie der Wasserstoff- und Kohlenoxydflamme. Von Wedgewood, Siemens und Hittorf ist nachgewiesen, daß Gase, wie Wasserstoff, Stickstoff und Kohlenoxyd, durch Erhitzung auf 1500° und noch höhere Temperaturen in Porcellanrohren nicht zum Leuchten gebracht werden können. Besonders schlagend scheint ein Versuch von Siemens dies zu beweisen. Werden nämlich die Gase in einem Regenerativbrenner vor der Verbrennung vorgewärmt, so wird die Flamme trotz ihrer höheren Temperatur kleiner. Smithells weist aber nach, daß, wenn auch die mittlere Temperatur der Flamme zu 1500 bis 3000° bestimmt wird, doch eine beträchtliche Menge der bei der Verbrennung entstehenden Gasmoleküle weit höher erhitzt sein kann und bei diesen viel höheren Temperaturgraden die Fähigkeit zu leuchten gewinnt. Die theoretisch zu berechnende Temperatur der Wasserstoffflamme beträgt nämlich etwa 6600°, die der Kohlenoxydflamme 7180° (mit Rücksicht auf die theilweise Dissociation des entstandenen Wassers und der Kohlensäure). Daß Gase, wie Wasserstoff, Stickstoff, Kohlenoxyd, Kohlensäure und Wasser bei Temperaturen von 1500° noch nicht leuchtend werden, kann mit ihrer geringen Lichtabsorption und der damit in directer Beziehung stehenden geringen Emission zusammenhängen. Bei stärker absorbirenden Gasen (z. B. Joddampf) war eher eine Fähigkeit zu leuchten vorzuzusehen und Smithells konnte diese in der That experimentell nachweisen, wenn Joddampf in ein noch nicht einmal zur Rothgluth erlitztes Glasrohr eingebracht wurde. Es scheint also nicht erwiesen zu sein, daß chemische Vorgänge allein das Leuchten hervorrufen, vielmehr genügt schon eine hinreichende Erhitzung der Gase dazu. Der zweite Theil der Arbeit behandelt die Vorgänge in der leuchtenden Na-Flamme. Sowie Salze des Metalls in eine sauerstoffhaltige Flamme eingebracht werden, ertheilen sie dieser die bekannte Gelbfärbung, in der Chlorwasserstoffflamme (Wasserstoff in Chlor verbrennend oder umgekehrt) dagegen verschwindet die Färbung vollständig. Dasselbe gilt für die rothe Lithiumflamme. Es scheint also eine Zerlegung der Natriumsalze durch den Luftsauerstoff vorangehen zu müssen, doch ist es sehr schwer, über diese Reaction eine einwandsfreie Vermuthung aufzustellen. Vorzuziehen ist die Annahme von Arrhenius, der eine elektrolitische Dissociation der Na-Salze in der Flamme an-

nimmt, und die Entstehung der D-Linie den Schwingungen der freien Na-Atome zuschreibt. In der Salzsäureflamme würde die Dissociation durch den anwesenden theilweise dissociirten Chlorwasserstoff verhindert werden, das Leuchten der Ionen also aufhören müssen. Das Natriumoxydmolekül scheint ebenfalls Licht in der Flamme auszusenden und zwar ist ihm ein continuirliches Spectrum eigenthümlich, das bei der Verbrennung von metallischem Natrium oder bei der Erhitzung von Natriumdampf beobachtet wird, im Gegensatz zu dem einfachen Linienpectrum der Na-Ionen. Auch hier hat also die Annahme viel Wahrscheinlichkeit für sich, daß nur die Erhitzung des Na-Dampfes und die dadurch bewirkte Spaltung des Moleküls die Lichtemission bedingt, nicht aber eine chemische Umsetzung der Salze mit der Luft oder dem Wasserdampf, wie von Pringsheim besonders behauptet wurde. R.

W. N. Hartley. Ueber die Veränderungen im Spectrum der Kohlelektroden und über den Einfluß einer Substanz auf das Spectrum einer andern ¹⁾. — Von Hartley und Adeney ²⁾ wurden einige Linien als zum Kohlespectrum gehörig aufgeführt, während Eder und Valenta dieselben dem Cyanspectrum zutheten. Hiergegen wendet Hartley nun ein, daß es ihm nicht gelungen ist, diese Linien im Cyanspectrum wieder zu finden, sowohl wenn Lösungen von Kaliumcyanid als auch von dem leicht zerfallenden Quecksilbercyanid auf die Kohlelektroden gebracht wurden. Andererseits wird das Kohlespectrum stark beeinflusst durch die Gegenwart anderer Elemente im Flammenbogen, so z. B. wenn die Elektroden mit Lösungen von Zink- oder Calciumchlorid angefeuchtet werden und zwar um so mehr, je concentrirter diese Lösungen sind. Auch die Atmosphäre, in welcher der Bogen sich bildet, ist von Einfluß. Die Linien des Kohlespectrums treten ganz verschieden stark hervor, je nachdem die umgebende Atmosphäre aus Luft, Kohlensäure oder Sauerstoff besteht. Die Thatsache, daß die Linien eines Elementes durch die Gegenwart benachbarter Linien eines anderen Elementes verstärkt oder geschwächt werden, ist auch in anderen Fällen noch beobachtet. So zeigt das Spectrum der Oxy-hydrogenflamme nur zwei Serien des Wasserdampfspectrums. Dieses tritt jedoch sofort glänzend hervor, wenn eine Spur Schwefel in die Flamme gebracht wird, und zwar ist das nicht eine specifische Wirkung des Schwefels allein, sondern Magnesium und Calcium haben den gleichen Effect. Es ist also

¹⁾ Lond. R. Soc. Proc. 55, 344—349. — ²⁾ Dasselbst 34, 429.

möglich, daß durch die Gegenwart von Stickstoff einige Linien des Kohlespectrums sichtbar gemacht werden, die sonst unsichtbar bleiben und daß umgekehrt einige Stickstofflinien erst bei Gegenwart des Kohlenstoffs hervortreten. Die fraglichen Linien brauchen durchaus nicht Cyanlinien zu sein, weil sie nur bei gleichzeitiger Gegenwart von Kohlenstoff und Stickstoff beobachtet werden. Es ist sogar sehr die Frage, ob es überhaupt ein specifisches Spectrum des Cyans giebt oder ob die bisher dafür angesehenen Linien nur neu hervorgerufene des Kohlenstoff- und Stickstoffspectrums sind.

R.

H. Kayser und C. Runge. Beiträge zur Kenntniß der Linienpectra¹⁾. — Rydberg²⁾ hat durch Zusammenstellung seiner eigenen Beobachtungen mit solchen von Kayser und Runge die von letzteren in der Anordnung der Linien gefundenen Regelmäßigkeiten in mehreren Fällen verbessert und vervollständigt und die Ueberzeugung ausgesprochen, daß diese Gesetzmäßigkeiten eine allgemeinere Gültigkeit haben, als sich auf Grund der bisherigen Beobachtungen nachweisen läßt. Kayser und Runge haben daher ihre photographischen Aufnahmen nochmals durchgeprüft und theilweise durch neue vervollständigt und dabei die Vermuthungen von Rydberg in den meisten Fällen bestätigt gefunden. Die von Rydberg berechnete neue Serie im Magnesiumspectrum glauben die Verfasser nicht annehmen zu sollen, da der Charakter der in Frage kommenden Linien der Zusammengehörigkeit zu derselben Serie zu sehr widerspricht. Auch wäre diese Serie ohne Analogon bei den verwandten Elementen. Die zweite Nebenserie des Strontiums ist von Rydberg mit auffallender Genauigkeit richtig vorausberechnet worden. Sie wurde bisher von den Verfassern übersehen, weil sie in die Cyanbände fällt, deren Auftreten beim Kohlebogen in der Luft nicht zu vermeiden ist. Die Anwendung von Kupferstäben an Stelle der Kohlen erwies sich als ungeeignet, doch konnte durch Ausschließen des Luftstickstoffs in einer Kohlensäureatmosphäre die Cyanbände so geschwächt werden, daß die drei erwarteten Strontiumlinien genau an den berechneten Stellen hervortraten. Auch drei andere Triplets scheinen von Rydberg richtig angegeben zu sein, wenn auch die entsprechenden Linien nicht sehr scharf zu beobachten sind. Die Triplets der ersten Nebenserie bei den zweiwerthigen Metallen (Calcium, Strontium, Zink, Cadmium) wurden nachgeprüft und auch hier erwiesen sich Rydberg's Voraussagen meist

¹⁾ Ann. Phys. [2] 52, 114—118. — ²⁾ Daselbst 50, 625.

als richtig. Ob aber sämtliche Triplets genau nach Rydberg's Angabe zusammengesetzt sind, muß dahingestellt bleiben, da einige der geforderten Linien absolut unsichtbar blieben. R.

J. R. Rydberg. Beiträge zur Kenntniss der Linienspectra. — Die bisher erlangten Ergebnisse der Untersuchungen über den Bau der Linienspectra lassen erkennen, daß die Linien, welche in die diffusen und scharfen Gruppen eingereiht worden sind, nur einen ziemlich unbedeutenden Theil der ganzen Anzahl der beobachteten Linien ausmachen. Zwar giebt es auch andere Linien, welche durch gewisse Beziehungen mit einander verbunden scheinen, doch sind diese bisher weder in Serien geordnet, noch kennt man ihre Beziehung zu den übrigen. Um für die Untersuchung dieser neuen Gruppen einige Grundlagen zu geben, untersucht Rydberg näher den Zusammenhang zweier nahe verwandter Spectra, des Calcium- und des Strontiumspectrum, die in den fraglichen Gebieten viele correspondirende Linien enthalten. Man kennt in diesen Spectren je eine isolirte Linie von bedeutender Stärke, eine Gruppe von Doppellinien und zwei weitere Gruppen von Triplets. Diese Gruppen werden von Rydberg in der Ordnung behandelt, die von der GröÙe der am Anfang jeder Gruppe nach den genauesten Messungen gegebenen Schwingungsdifferenzen bestimmt wird. Es finden sich bei Vergleichung der Gruppen mehrere Regelmäßigkeiten, welche andeuten, daß wir es mit den Theilen eines und desselben Systems von Schwingungen zu thun haben und die Möglichkeit in Aussicht stellen, alle Linien eines Spectrum in eine einzige Formel zusammenzufassen im Gegensatz zur Ansicht von einer Mischung von Spectren, welche Molekülen von verschiedener Temperatur zugehören würden. Es ist demnach sehr wahrscheinlich, daß es bei jedem Grundstoffe nur ein einziges Spectrum giebt, während die Intensitäten der Serien und der speciellen Linien mit der Temperatur und der Dichte des glühenden Gases in ähnlicher Weise wie die Obertöne eines Klanges wechseln können. Eine große Zahl der bisher noch nicht in Serien eingereihten Linien gehören den äußersten Theilen des Spectrum an und es ist Anlaß zu der Vermuthung vorhanden, daß die bisherigen Bestimmungen unvollständig sind, weil die zum vollständigen Hervortreten der Serien geeigneten Versuchsbedingungen noch nicht erreicht wurden. Von einer eingehenden Durchforschung der ultraröthen und ultravioletten Theile der Spectra glaubt Rydberg daher schätz-

bares Material zur Klärung der vorliegenden Frage erwarten zu sollen. Bei den Spectren von Calcium und Strontium im Besonderen dürften eine ganze Anzahl der bisher nicht eingeordneten Linien in Beziehung zu Linien des Magnesiumspectrums stehen und durch Vergleich mit diesem könnte die Erkenntniß ihrer Gesetzmäßigkeiten wohl gefördert werden. *R.*

H. Crew und R. Tatnall. Eine neue Methode zur Wiedergabe von Metallspectren ¹⁾. — Die bisher erhaltenen Metallspectra sind entweder Funkenspectra oder solche von im Kohlenbogen verdampften Metallen. Im letzteren Falle ist die Ueberlagerung des Kohlenstoff- oder Cyanspectrums über die eigentlichen Metalllinien nicht zu vermeiden. Im ersten Falle fällt dieser Uebelstand zwar fort, doch konnte das Auftreten des Luftspectrums nicht immer vermieden werden. So lange nämlich die Metallelektroden frisch sind, leitet der entwickelte Metaldampf besser als die Luft und diese kommt nicht ins Glühen, erzeugt also kein Spectrum. Sobald aber die Elektroden sich mit einer Oxydschicht bedecken, nimmt die Bildung von Metaldämpfen ab und die Leitung der Elektrizität geht mehr und mehr an die glühende Luft über, deren Linien dann im bis dahin reinen Metallspectrum auftreten. Crew und Tatnall versuchten die Elektroden durch eine besondere Anordnung vor der Abnutzung und Oxydation zu bewahren. Die eine Elektrode besteht aus einer schnell rotirenden Scheibe aus Metall, an deren Peripherie Stückchen des zu untersuchenden Metalls angebracht sind. Ihr gegenüber steht eine stiftförmige Elektrode, die durch ein Schraubengewinde gegen die Scheibe bewegt werden kann. Die Drehung der Scheibe wird durch einen kleinen Elektromotor besorgt. Gleichzeitig mit dem untersuchten Spectrum wird neben demselben zum Vergleich ein Eisenspectrum erzeugt, dessen Linien schon gut bekannt sind. Die für Zinn, Kupfer und Zink erhaltenen Linien werden in ausführlichen Tabellen angegeben. *R.*

H. Kayser und C. Runge. Ueber die Spectra von Zinn, Blei, Arsen, Antimon, Wismuth ²⁾. — Es wurden untersucht die Spectren einiger Elemente aus der vierten (Zinn, Blei) und der fünften Colonne (Arsen, Antimon, Wismuth) des periodischen Systems, die im Kohlebogen eine mäßige Anzahl von Linien und charakteristische Gruppen aufweisen und daher geeignet sind, zur Auffindung von Gesetzmäßigkeiten im Bau der Spectra zu dienen. Die Messungen wurden ausgeführt mittelst eines Row-

¹⁾ Phil. Mag. 38, 378–386. — ²⁾ Ann. Phys. [2] 52, 93–113.

land'schen Concavgitters unter Zugrundelegung der Rowland'schen Normalen $D_1 = 5896,16$ und $D_2 = 5890,13$, sowie einiger daraus abgeleiteten Normalen. Die Tabellen der gefundenen Linien geben 1. deren Wellenlänge, 2. die derselben reciproke Schwingungszahl, 3. die mögliche Fehlergrenze, 4. Angaben über Stärke und Charakter der Linien, 5. Angaben über Beobachtung durch andere Forscher. Eine auffallende Thatsache ist auch hier bei allen Spectren hervorzuheben, daß nämlich das Flammenspectrum von dem des Kohlebogens starke Abweichungen aufweist. Linien, die hier fehlen, treten dort stark hervor und umgekehrt. Der Vergleich der Spectra der zu derselben Colonne des periodischen Systems gehörigen Metalle läßt keine solche Regelmäßigkeiten entdecken, wie sie bei den Elementen der ersten drei Columnen nachgewiesen werden konnten. Es weist zwar ein jedes der Spectren auch die Eigenthümlichkeit auf, daß eine größere Gruppe von Linien sich mehrmals wiederholt in der Art, daß man die Schwingungszahlen der einen Gruppe aus denen der anderen durch Hinzufügen einer Constanten findet. Aber die Linien ordnen sich nicht in Serien, wie bei den früher untersuchten Spectren. Auch giebt das Aussehen der Linien keinen Anhalt, wie sie etwa einander entsprechen. Man muß sich deshalb damit begnügen, auf die Beziehungen zwischen den Schwingungszahlen hinzuweisen, die bei der Genauigkeit der Messungen nicht dem Zufall zugeschrieben werden können und durch eine spätere Theorie wohl ihre Erklärung finden werden. R.

W. N. Hartley. Flammenspectra bei hohen Temperaturen. Theil II. Das Spectrum von metallischem Mangan, Manganlegirungen und von manganhaltigen Verbindungen ¹⁾. — (Gelegentlich einer Untersuchung über das Spectrum der Bessemerflamme wurde Hartley dazu geführt, das Spectrum des Mangans und seiner Verbindungen festzustellen, besonders dasjenige des Mangans und das des Manganoxys zu unterscheiden. Das metallische Mangan gewann er durch Elektrolyse von sorgfältig gereinigtem Manganchlorid, das Manganoxys durch Ausfällen aus Kaliumpermanganatlösung mit Alkohol und Schwefelsäure oder mit Wasserstoffsuperoxyd. Von Legirungen und Verbindungen des Mangans wurden in den Bereich der Untersuchung gezogen: Spiegeleisen, Silicospiegel, Ferromangan, Werkzeugstahl, manganhaltiges schweißbares Nickel. Das Ergebnis der spectralen Messungen war, daß die Spectra von reinem Mangan und von Manganoxys im Wesent-

¹⁾ Lond. R. Soc. Proc. 56. 192—193.

lichen übereinstimmen, in den Einzelheiten jedoch Differenzen aufweisen. Besonders charakteristisch ist, daß eine Liniengruppe im violetten Theile des Spectrums beim Mangan aus zwei sehr nahe liegenden Banden, beim Oxyd dagegen aus einer einzigen Bande mit dunklem Centrum zu bestehen scheint. R.

A. de Gramont. Ueber die Funkenspectra einiger Mineralien¹⁾. — Die Eigenschaft einer großen Zahl von Mineralien, den elektrischen Strom, wenn auch schwach, zu leiten, legte den Gedanken nahe, Funkenspectra dieser Mineralien zu erhalten, indem sie selbst als Elektroden benützt wurden. Kleine Stückchen derselben wurden in Platinzangen gefaßt und in den Stromkreis einer Inductionsspule als Funkenstrecke einander gegenüber gestellt. Zur Erhöhung der Funkentemperatur diente eine neben die Funkenstrecke geschaltete Batterie Leydener Flaschen. Bei einigen Substanzen war das Leitvermögen zu gering. Dann erwies sich Befeuchten mit Salzsäure als zweckmäßig, oder man ließ den Funken erst zwischen den Platinzangen überspringen und das Mineral dabei streifen. Die hierdurch erzeugte Erwärmung desselben rief oft die genügende Leitfähigkeit hervor. Die Funken wurden mit Hilfe eines gewöhnlichen Spectrometers analysirt, die Wellenlänge in Milliontel Millimetern nach der Eichungstabelle des Spectrometers bestimmt. Untersucht wurden eine Anzahl von Sulfiden, die sich durch besonders deutliche Spectra auszeichneten, ferner Selenide, reine Elemente und in dem zweiten Theile der Arbeit: Oxyde, Arsenite, Sulfarsenite, Antimonite und Sulfantimonite. Als auffallend hebt de Gramont hervor, daß einige Mineralien von metallischem Aussehen sich als Nichtleiter erwiesen, wie Molybdänit, MoS_2 , Acedit, $\text{Mn}_2\text{O}_3 \cdot \text{H}_2\text{O}$, und Wolfram, $\text{WO}_3 \cdot (\text{Fe}, \text{Mn})$. Vielleicht blieb in diesen Fällen eine sichtbare Funkenerscheinung aber auch in Folge der sehr geringen Flüchtigkeit der Stoffe aus. R.

J. H. Kastle. Die Farbe von Salzen in Lösungen²⁾. — Wenn die Farbe von Salzlösungen nur von der Farbe der Ionen und der undissociirten Salze abhinge, müßten bei gleicher Verdünnung alle Kupfersalze gleichen Farbenton besitzen. Ihre Nüancen sind aber sehr verschieden, blau, blaugrün oder grün. Man könnte das darauf zurückführen, daß die Ionen blau, die undissociirten Salze aber zum Theil grün seien. Dem steht entgegen, daß die Kupfersalze im wasserfreien Zustande farblos sind. Auch die An-

¹⁾ Compt. rend. 118, 591—594, 746—748. — ²⁾ Amer. Chem. J. 16, 326—340.

nahme, daß die Lösungen die undissociirten Moleküle in Form von Hydraten enthalten, genügt nicht zur Aufklärung der Anomalien. Bei den Ferrisalzen müßte die durch dieselbe Menge gelösten Eisens bewirkte Färbung um so intensiver werden, je verdünnter die Lösung ist, wenn nur die Ionen die Farbe der Ferrilösungen bedingen würden, da deren Menge ja mit der Verdünnung zunimmt. Nach Vernon¹⁾ wird aber die Farbe bei steigender Verdünnung heller. Der Verfasser glaubt, daß die Farbe der Metallsalzlösungen sehr wesentlich durch den Grad der hydrolytischen Spaltung bedingt ist. Für eine solche spricht die saure Reaction der meisten Metallsalzlösungen. Die colloidal gelösten Hydroxyde haben verschiedene Färbungen, je nach der Anzahl von Wassermolekülen, die sie unter Bildung von Hydraten bilden. Die Abnahme der Farbe der Ferrisalze auf Zusatz starker Säuren, die Zunahme beim Erwärmen der Lösungen, die stärkere Färbung der Salze schwacher Säuren sind Gründe, die eine Rolle der Hydrolyse bei der Färbung sehr wahrscheinlich machen. *Bdl.*

Gaetano Magnanini. Die Hypothese der Färbung der Ionen²⁾. — In seiner früheren Arbeit³⁾ hat der Verfasser darauf hingewiesen, daß die Resultate von Knoblauch⁴⁾ nicht beweisen, daß nur die Ionen die Farbe der Salzlösungen bedingen. Das Absorptionsvermögen von Lösungen von Kupfersulfat, Nickelsulfat und Kaliumpermanganat ist vom Dissoziationsgrade unabhängig. Das beweist, daß auch die Absorption zu berücksichtigen ist, die von dem undissociirten Theil der Moleküle herrührt. Bei Untersuchung der *Violursäure* und ihrer Salze in wässrigen Lösungen ergibt sich nun, daß zwar, entsprechend der Ostwald'schen Beobachtung, äquivalente Lösungen verschiedener Salze gleiche Intensität der Färbung besitzen, daß aber die Färbung trotzdem nicht von den Ionen herrührt. Die freie *Violursäure* ist in einer $\frac{1}{256}$ -Normal-Lösung zu 8 Proc. dissociirt. Sie zeigt aber bei Anwendung von basenfreiem Wasser als Lösungsmittel nicht den rosa Farbenton der Salzlösungen, die gleich viel *Violurationen* enthalten. Ferner wird die Färbung der *Violurat*-Lösungen nicht geändert, wenn man zu ihnen ein gleichioniges, farbloses Salz setzt, wenn man also z. B. Kaliumviolurat mit Kaliumnitrat versetzt, wiewohl dadurch die Dissociation des *Violurats*, also die Menge der *Violurationen* erheblich(?) herabgesetzt wird. Diese Umstände sind nicht als ein Beweis *gegen* die Dissociationstheorie

¹⁾ JB. f. 1892, S. 407. — ²⁾ Gazz. chim. ital. 24, I, 48—56. — ³⁾ JB. f. 1891, S. 262. — ⁴⁾ JB. f. 1891, S. 351.

anzusehen, sondern nur als Warnung, die Farbe der Lösungen zum Beweis für die Theorie heranzuziehen. *Bdl.*

J. M. Eder u. E. Valenta. Absorptionsspectren von farblosen und gefärbten Gläsern mit Berücksichtigung des Ultraviolett¹⁾. — Die im ersten Theile untersuchten farblosen Gläser waren von Schott in Jena in Platten von 1 cm und von 1 mm Stärke geliefert worden. Als Lichtquelle diente bei den Messungen der zwischen Elektroden aus einer Legirung von Blei, Zink und Cadmium überspringende elektrische Funken. Die durch Einschalten der Gläser erhaltenen Absorptionsspectra wurden auf Bromsilbergelatineplatten photographisch aufgenommen und sind der Arbeit auf einer Lichtdrucktafel beigegeben. Es wurden folgende Glasarten untersucht: gewöhnliches Silicat-Leicht-Flint, gewöhnliches Silicat-Flint, Baryt-Leicht-Flint, gewöhnliches Silicat-Crown, Crown mit hoher Dispersion, Leicht-Phosphat-Crown, gewöhnliches Zink-Silicat-Crown, Baryt-Silicat-Crown, englisches Hard-Crown. Am wenigsten durchlässig für ultraviolette Strahlen erwies sich von diesen Gläsern das gewöhnliche Silicat-Flint, besser waren Crown-glas mit hoher Dispersion, sowie Zink- und Bor-Crown-glas. Weit-
aus am durchlässigsten ist das Leicht-Phosphat-Crown-glas, doch kann es, wie aus einem Vergleichsspectrum ersichtlich ist, dem Quarz noch nicht im Entferntesten an die Seite gestellt werden. Im Allgemeinen steigt die Absorption für ultraviolette Strahlen mit dem Bleigehalt der Gläser erheblich an. Auch die Kittungsmittel wurden in den Bereich der Untersuchung gezogen. Dickes Glycerin absorbiert fast gar kein Licht, jedenfalls läßt es dieselben Strahlen durch wie Quarz. Canadabalsam dagegen hat etwa dieselbe Absorption wie die besten Gläser. Er ist zum Kitten von Glaslinsen daher zulässig, bei Quarzlinsen würde er aber selbst bei $\frac{1}{10}$ mm Schichtdicke erheblich störend wirken. Die Frage, ob eine Quarzlinse in Folge ihrer höheren Transparenz für Ultraviolett einer optisch äquivalenten Glaslinse zu photographischen Zwecken nicht vorzuziehen ist, wurde von Eder und Valenta verneint. In dem bei den Aufnahmen meist in Frage kommenden diffusen Tageslichte ist der ultraviolette Theil der Strahlung nämlich so geschwächt, daß er nicht mehr in Frage kommt, außerdem wäre seine Wirkung nur gering auf die photographische Platte, deren maximale Empfindlichkeit im Hellblau liegt. Für praktische Zwecke sind also Linsen aus Crown-glas durchaus genügend, Schwer-Flint-glaslinsen dagegen können die photographische Wirksamkeit auf

¹⁾ Wien. Akad. Ber. 61. 255—295.

die Hälfte herabsetzen. Baryt-Leicht-Flintglas würde allenfalls noch zu gebrauchen sein. Im zweiten Theile der Arbeit werden die Absorptionsspectra von eigens für die Versuche hergestellten bunten Gläsern bekannter Zusammensetzung beschrieben. Die Aufnahmen geschahen in derselben Weise wie oben, nur wurden statt der gewöhnlichen orthochromatische Erythrosinplatten benutzt. Aus der großen Zahl der Einzelangaben sei hervorgehoben, daß orangegelbes Silberüberfangglas gerade die auf Bromsilberplatten wirksamen Strahlen fortnimmt. Es ist also zu Dunkelkammerseheiben zu empfehlen. Das Gleiche gilt von dem braungelben Holzglas. Am besten ist eine Combination der beiden genannten Glassorten. Für rothe Dunkelkammerfenster ist das Kupferoxydulüberfangglas (Kupfer-Rubinglas) besonders zu empfehlen, dasselbe hat gewisse Vorzüge sogar vor dem Gold-Rubinglas. Die Untersuchung eines durch Versilbern einer Quarzplatte hergestellten undurchsichtigen Silberspiegels ergab das auffallende Resultat, daß er für die gesammte ultraviolette Strahlung zu durchlässig war. Das Absorptionsspectrum zeigte unverkennbare Analogien mit dem des Silberglases. In ganz analoger Weise war die Absorption in einem dünnen, grün durchscheinenden Goldblättchen dieselbe wie in dem Gold-Rubinglas. Es liegt also nahe, die farbigen Gläser aufzufassen als Suspensionen der fein zertheilten Metalle im Glase. Ein Bleigehalt der farbigen Gläser bewirkte ausnahmslos eine Verschiebung des ganzen Absorptionsspectrums nach dem Roth hin. Dies steht im Einklang mit der Kundt'schen Regel, nach welcher die Absorption eines gelösten Stoffes um so mehr nach dem Roth verlegt wird, je größer die Brechbarkeit des Lösungsmittels ist. R.

Optisches Brechungsvermögen.

A. E. Tutton. Ueber eine Vorrichtung zur Erzeugung von monochromatischem Licht beliebiger Wellenlängen und ihre Verwendung bei krystalloptischen Untersuchungen¹⁾. — Das Instrument ist eine Abänderung des von Abney²⁾ beschriebenen. Die hauptsächlichsten Unterschiede liegen in der Anwendung eines festen statt des beweglichen Spaltes, eines drehbaren statt des feststehenden Dispersionsapparates, der eine genaue Einstellung zum Durchgang monochromatischen Lichtes möglich macht, und in der Art und Weise, die linienförmige Lichtquelle am Austritts-

¹⁾ Lond. R. Soc. Proc. 55. 111—113. — ²⁾ Phil. Mag. 20. 172.

spalt zu verwenden. Anstatt dieselbe auf einen undurchsichtigen weissen Schirm zu richten, wird das Licht gleichmässig auf das ganze Gesichtsfeld zerstreut. Der Apparat ist zunächst construirt zur Beleuchtung des Axialwinkel-Polarisationsgoniometers, des Spectrometers, Stauroskopes, Mikroskopes u. s. w., doch dürfte eine ausgedehntere Anwendung leicht möglich sein. *R.*

Féry. Refractometer mit heizbarem Hohlprisma. Anwendung auf die Untersuchung von aliphatischen Verbindungen¹⁾. — Der Einfluss der Temperatur auf das Brechungsvermögen der Flüssigkeiten ist bekanntlich recht bedeutend. Beim Schwefelkohlenstoff beträgt die Aenderung des Brechungsexponenten $\frac{1}{1000}$ für 1° Temperaturzunahme. Bei einigermaßen genauen Messungen ist also eine Regulirung der Temperatur absolut nothwendig, besonders wenn die Bestimmungen des Brechungsvermögens sich auf bestimmte Wärmegrade beziehen sollen. Féry hat einen Apparat construirt, dessen brechendes Prisma in einen planparallelen Trog eingesetzt ist, den entweder gewärmtes Wasser oder gekühlter Alkohol in constantem Strome durchfließt. Die Seitenwände des Hohlprismas sind Segmente von Planconvexlinsen mit großem Krönungsradius. Durch eine Berechnung wird der Nachweis geliefert, daß die Einschaltung des Heiztroges die schließliche Ablenkung der Strahlen nicht beeinflusst. Von Anwendungen auf die Untersuchung aliphatischer Verbindungen ist in der vorliegenden Arbeit nichts zu finden. *R.*

F. H. Littlewood. Methode zur Bestimmung des Brechungsexponenten nicht homogener Flüssigkeiten²⁾. — Die Flüssigkeit wird in einem Glasgefäße — etwa einem Becherglase — aufgestellt. In dieselbe taucht eine vertical gestellte lange Scala mit Centimetertheilung ein. Etwa drei Fuß davon entfernt befindet sich ein Fernrohr mit festem Fadenkreuz, das so montirt ist, daß es bei gleich bleibender Neigung nach unten eine meßbare Horizontalverschiebung gegen das Becherglas zuläßt. Es werden die Horizontalverschiebungen festgestellt, die erforderlich sind, um das Fadenkreuz auf zwei Punkte der Scala außerhalb der Flüssigkeit und auf zwei Punkte innerhalb derselben einzustellen. Aus diesen Daten ist dann das Brechungsvermögen der Flüssigkeit gegen Luft zu berechnen. Das Verfahren ist auch anwendbar, wenn die Flüssigkeit aus mehreren Schichten mit wechselndem Brechungsvermögen besteht. *R.*

J. F. Eykman. Refractometrische Untersuchungen³⁾. — Eyk-

¹⁾ Compt. rend. 119, 332—334. — ²⁾ Phil. Mag. 37, 467—470. — ³⁾ Rec. trav. chim. Pays-Bas 13, 13—33.

man gibt eine ausführliche Beschreibung der Apparate, deren er sich bei einer früheren Untersuchung¹⁾ bedient hat, um die Brechungsexponenten und die Dichte einer grossen Anzahl von Substanzen bei höheren Temperaturen (bis 140°) zu bestimmen, und die besonders auf das Arbeiten mit kleinen Substanzmengen eingerichtet sind. Das Brechungsvermögen wurde mittelst Refractometer gemessen; die gewöhnliche Methode, das Minimum der Ablenkung zu beobachten, wurde aber durch eine andere ersetzt, die weniger Winkelablesungen, dafür aber mehr nachträgliche Rechnung erforderte. Das Fernrohr wurde fest eingestellt und statt dessen das Prisma gedreht, wodurch es möglich war, die sonst im Heizbade anzubringenden breiten Schlitzte stark zu verkleinern. Als Heizflüssigkeiten dienten Aethyläther, Schwefelkohlenstoff, Benzol, Toluol u. s. w., als Wärmequelle eine kleine Spirituslampe. Das erforderliche monochromatische Licht lieferte eine Geißleröhre mit Wasserstoff. Dieselbe war dicht vor dem Spalt festgeklemmt und ihre Rückseite war mit schwarzem Lack überzogen. Das Tageslicht wurde auf diese Weise ausgeschlossen und die Beobachtungen brauchten nicht im Dunkelzimmer gemacht zu werden. Die Dichtebestimmungen wurden in bekannter Weise mit dem Pyknometer ausgeführt, das durch Auswaschen mit Salzsäure, Wasser, Alkohol und Benzol jedesmal sorgfältig gereinigt wurde. Die Temperaturen, bei welchen das Pyknometer gefüllt wurde, mußten die gleichen sein wie bei der Messung des Brechungsvermögens und es wurden daher dieselben Heizbäder benutzt. Trotzdem waren geringe Temperaturdifferenzen (bis zu 2°) nicht zu vermeiden, die eine Correction der Dichtezahlen nothig machten. Die hierzu erforderlichen Ausdehnungskoefficienten berechnete Eykman annäherungsweise aus dem Vergleich mit den Coefficienten chemisch analoger Verbindungen. Einige thatsächliche Bestimmungen zeigten, daß die so gefundenen Werthe genügende Genauigkeit besaßen. Den Einfluß der bei den einzelnen Messungen unvermeidlichen Fehler auf die schliesslich gefundene Molekularrefraction schätzt Eykman wie folgt in Tausendsteln des Werthes:

Einstellung des Fernrohres	0,1
Ausrechnung des Ablenkungswinkels	0,2
Berechnung des brechenden Winkels	0,4
Dichtebestimmung	0,2
Temperaturdifferenz bei Bestimmung der Brechung und der Dichte	0,15

In Summa also 1,05 Tausendstel

¹⁾ JE. + 1893, S. 41 u. 1755.

Größere Fehler kann die Unreinheit der untersuchten Stoffe mit sich bringen, doch wurde zur Reinigung derselben die größtmögliche Sorgfalt aufgewendet. Ein dazu construirter Fractionirungsapparat wird besonders beschrieben. R.

W. F. Edwards. Neue Formel für die spezifische und die Molekularrefraction¹⁾. — In einer Abhandlung, die nur eine vorläufige Mittheilung darstellen soll, schlägt Edwards zum Ersatz der Formeln von Gladstone-Dale und von Lorenz und Lorentz einen neuen Ausdruck für die spezifische Refraction vor:

$$\frac{(n - 1)}{n} \frac{1}{d},$$

wo n den Brechungsindex, d die Dichte der Substanz bedeutet. Die hieraus berechnete Molekularrefraction:

$$\frac{(n - 1)}{n} \frac{M}{d}$$

soll ebenfalls nach dem Gesetze von Landolt additiv aus constanten Atomrefractionen zu berechnen sein. Die spezifische Refraction nach Edwards ist von der Temperatur nicht unabhängig, sie nimmt im Allgemeinen mit derselben zu. Auch beim Uebergang aus einem Aggregatzustand in den anderen bleibt sie nicht constant (wie z. B. die Formel von Lorenz-Lorentz). Die unter Zuhilfenahme der Edwards'schen Formel nach der Mischungsregel berechneten spezifischen Refractionen der Lösungen von Glycerin, Essigsäure, Ammoniak, Salzsäure und Alkohol stimmen mit den experimentell gefundenen Werthen ziemlich überein. Die Brauchbarkeit der Formel für die Berechnung der Molekularrefraction aus der Summe der Atomrefractionen prüft Edwards nur an den Werthen, die für Homologe mit der Differenz CH_2 erhalten werden. Im Allgemeinen ist der einer Zunahme um CH_2 entsprechende Betrag gut constant, er schwankt von 5,11 bis 5,33. Unter Einführung des Mittelwerthes 5,29 ist der Fehler bei Berechnung der Molekularrefraction nur 1,7 Proc., während derselbe bei Anwendung der Formel von Lorenz und Lorentz 2,85 Proc. und bei der Formel von Gladstone und Dale noch mehr beträgt. Eine weitere Prüfung des neuen Ausdruckes wird in Aussicht gestellt. R.

J. Verschaffelt. Anwendung des Refractometers zur Untersuchung chemischer Reactionen²⁾. — Um durch Untersuchung der Brechungsindices zu erkennen, ob beim Zusammengießen

¹⁾ Amer. Chem. J. 16, 625—634. — ²⁾ Belg. Acad. Bull. [3] 27, 49—68.

wässriger Lösungen von zwei Stoffen eine Reaction eintritt, stellte sich der Verfasser durch geeignete Verdünnung zwei Lösungen der zu prüfenden Substanzen her, die gleiche Brechungsindices besitzen. Indem er die Lösungen im Gefaß des Pulfrich'schen Refractometers in verschiedenen Verhältnissen vermischte, stellte er fest, ob dabei eine Aenderung des Brechungsindex eintritt und wie groß sie ist. Eine Erhöhung des Brechungsindex konnte außer durch eine chemische Reaction auch durch die Contraction verursacht sein. Eine Erniedrigung deutet immer auf chemische Reaction. (Daß auch eine Dilatation bei bloßer Mischung eintreten kann, hat der Verfasser nicht berücksichtigt.) Werden zwei Salze vermischt, so muß nach dem Valson'schen Gesetz der Moduln der Brechungsindex unverändert bleiben. Nur bei concentrirten Lösungen beobachtet der Verfasser zuweilen eine Zunahme der Brechung, z. B. bei der Mischung von Lithiumchlorid mit Calciumnitrat. Wenn sich durch die Mischung aus Chlorammonium oder Ammoniumsulfat Ammoniumcarbonat oder Ammoniumnitrat bildet, findet eine Abnahme des Brechungsindex statt, die der Verfasser auch bei dem Nitrat auf die Spaltung in Säure und Base zurückführt. Starke Basen geben bei der Mischung mit Salzen nur dann eine Aenderung der Brechung und zwar eine beträchtliche Abnahme, wenn sich freies Ammoniak bildet. Starke Säuren wirken auf Salze anderer starker Säuren ohne Aenderung des Brechungsindex ein, während bei der Einwirkung starker Säuren auf Salze schwacher Säuren der Brechungsindex erheblich erniedrigt wird. Auch bei der Einwirkung von Natriumsulfat auf Salpetersäure wird die Brechung erniedrigt, was der Verfasser auf die Bildung von saurem Sulfat zurückführt. Bei dem Zusatz von Kalilauge zu Salpetersäure zeigt der Brechungsindex ein Minimum, wenn Neutralisation erreicht ist. Minder scharf ist das Minimum bei der Vermischung von Natronlauge mit Schwefelsäure, da hier die Bildung des sauren Salzes sich bemerklich macht. Noch mehr tritt das bei der Vermischung von Kalilauge mit Phosphorsäure hervor. Die Bildung des sauren Sulfats ist an den Brechungsindices auch beim Vermischen von Natriumsulfat mit Schwefelsäure zu erkennen. Doch tritt das Minimum erst ein, wenn mehr als 1 Mol. Säure mit 1 Mol. Salz vermischt ist. Die Menge des sauren Salzes nimmt zu bei Zunahme der Menge des neutralen Salzes oder der Säure; doch ist, wie schon Bouty fand, ein Ueberschuß des neutralen Salzes der Bildung des sauren Salzes günstiger, als ein Ueberschuß der Säure.

Bdl.

R. Nasini und G. Carrara. Ueber das Brechungsvermögen des Sauerstoffs, des Schwefels und des Stickstoffs in heterocyclischen Kernen¹⁾. — Weil das Thiophen eine auffallend niedrige Molekularrefraction besitzt, wie schon seit längerer Zeit durch Nasini und Skala²⁾ festgestellt wurde, unternehmen es Nasini und Carrara, eine Anzahl ähnlicher ringförmiger Verbindungen darauf hin zu untersuchen, ob ihre Molekularrefraction sich additiv aus den Atomrefractionen der Elemente nach der Brühl'schen Regel berechnen läßt oder nicht. Sie bestimmten das Brechungsvermögen von Furan, Pyrrol, Thiophen, Pyridin, Prolin, Chinolin, Isochinolin, Piperidin, Coniin, Pyrazol und einigen Derivaten derselben. Fast überall zeigten sich die experimentell gefundenen Molekularrefractionen kleiner als die additiv aus den Atomrefractionen berechneten, um so mehr, je einfacher die Verbindungen zusammengesetzt waren. Bei den höheren Homologen der letzteren pflegt die Abweichung geringer zu werden, bei vollständiger Hydrirung der Kerne verschwindet sie ganz. Die phenylsubstituirtten Derivate des Pyrazols zeigen allein das entgegengesetzte Verhalten, indem hier die gefundene Refraction gröfser ist, als die berechnete. Es scheint, dafs der Sauerstoff, Schwefel und Stickstoff hier als höherwerthige Elemente mit ungesättigten Bindungen aufzufassen sind. Beim Eintritt von Seitenketten oder beim gleichzeitigen Vorhandensein mehrerer Stickstoffatome in demselben Ringe tritt eine Sättigung der freien Valenzen und damit eine Herabsetzung des brechungsvermehrnden Einflusses derselben ein. In ähnlicher Weise dürfte auch die von Carrara³⁾ nachgewiesene Erscheinung ihre Erklärung finden, dafs nämlich durch Eintritt von Halogenen in Körper mit offener Kette der brechungsvermehrnde Einfluß der vorhandenen Doppelbindungen geändert wird. R.

J. Zoppellari. Die Atomrefraction des Selen⁴⁾. — Für die Atomrefraction des Selen wird umstehende Tabelle aufgestellt. Die unter n resp. n^2 angeführten Zahlen gelten für die n - resp. n^2 -Formel. Die Procentgehalte beziehen sich auf wässrige Lösungen. Zunächst ist zu bemerken, dafs die Abweichung der einzelnen Werthe eine geringere ist unter Benutzung der n^2 -Formel als bei der n -Formel. Vergleichen wir die analogen Zahlen für die verschiedenen Selenverbindungen, so ergibt sich, dafs, wie überall, so auch hier, die Atomrefraction in den organischen Ver-

¹⁾ Gazz. chim. ital. 24, I, 256—290. — ²⁾ JB. f. 1886, S. 294 ff. — ³⁾ JB. f. 1893, S. 41. — ⁴⁾ Accad. dei Lincei Rend. [5] 3, II, 330—339; Gazz. chim. ital. 24, II, 396—407.

bindungen größer ist als in den Sauerstoffderivaten. Dafs die Refraction im Aethylselenid kleiner ist als im Diselenid, steht im Einklang mit der auch sonst beobachteten Regel, dafs die Anhäufung eines Elementes im Molekül dessen Einflufs auf das Brechungsvermögen erhöht. Die Verschiedenheiten der einzelnen Refractionen sind ganz analog den bei den entsprechenden Schwefelverbindungen beobachteten, nur sind die Differenzen hier nicht so stark ausgeprägt. Dies ist wohl dem höheren Molekulargewicht des Selen und seinem mehr metallischen Charakter zuzuschreiben. Beim Tellur müßte diese Abflachung der Unterschiede noch bemerklicher sein, was der Verfasser in einer weiteren Untersuchung zu prüfen verspricht.

	Linie H α		Linie D	
	n	n^2	n	n^2
Selen, fest	30,36	11,77	—	—
Aethylselenid, $\text{Se}(\text{C}_2\text{H}_5)_2$	19,70	10,93	19,56	10,94
Aethyldiselenid, $\text{Se}_2(\text{C}_2\text{H}_5)_4$	21,45	11,73	21,57	11,82
Selenoxen, SeC_2H_5	18,81	10,94	19,38	11,18
Selensaure, H_2SeO_4 , 41,8112 Proc.	15,85	8,87	16,25	12,22
„ „ „ 27,334 „	15,64	8,74	15,85	10,00
Selenige Säure, H_2SeO_3 , 22,9711 Proc.	15,67	8,92	15,95	12,12
„ „ „ 30,593 „	15,90	8,91	16,09	12,19
Kaliumselenocyanid, SeCNK , 32,7722 Proc.	25,49	15,31	25,79	15,50
„ „ „ 43,6497 „	25,00	14,84	25,30	15,04

R.

F. Zecchini. Ueber das Brechungsvermögen des Phosphors. III. Das Brechungsvermögen einiger organischer Phosphorverbindungen¹⁾. — Es wurde experimentell bestimmt die Dichte einiger organischer Phosphorverbindungen, sowie deren Brechungsvermögen für die α -Wasserstofflinie und die D-Linie. Aus diesen Daten wurde berechnet die Molekularrefraction der Substanzen und die Atomrefraction des darin enthaltenen Phosphors unter Benutzung sowohl der n^2 - wie der n -Formel. Die folgende Tabelle giebt die für die Atomrefraction des Phosphors erhaltenen Werthe wieder, die sich auf die D-Linie und die n -Formel beziehen.

Phosphenylchlorur, $\text{P}(\text{C}_6\text{H}_5)\text{Cl}$	17,47
Triphenylphosphit, $\text{P}(\text{C}_6\text{H}_5)_3$	26,16
Triäthylphosphorigsäureäther, $\text{P}(\text{C}_2\text{H}_5)_3\text{O}$	5,08
Triäthylphosphorsäureäther, $\text{PO}(\text{C}_2\text{H}_5)_3$	7,50
Oxyäthylphosphorigsäurechlorur, $\text{P}(\text{C}_2\text{H}_5)_2\text{OCl}$	14,10
Phosphenylsäure, $\text{P}(\text{C}_6\text{H}_5)_2\text{O}(\text{OH})$	5,07

¹⁾ Gazz. chim. ital. 24, 1, 34—42.

In den Verbindungen, welche die Phenylgruppe enthalten, mit Ausnahme der Phosphenylsäure, ist die Atomrefraction des Phosphors sehr hoch, am höchsten im Triphenylphosphin, in welchem sie von allen bis jetzt bekannten Fällen den größten Betrag besitzt, denn auch im Phosphordijodid erreicht sie nur den Werth 24,12. Diese Thatsache ist analog der früher von Zecchini¹⁾ gemachten Beobachtung, daß der Stickstoff im Anilin die Atomrefraction 6,90, im Triphenylamin dagegen 18,81 besitzt. Auch im Phosphortrichlorid, PCl_3 , wird die Atomrefraction des Phosphors (14,89) durch den Eintritt der Phenylgruppe bis auf 17,47 (Phosphenylchlorür) gesteigert, während der Eintritt der Oxäthylgruppe dieselbe sogar bis auf 14,10 herabsetzt (Oxäthylphosphorigsäurechlorür). Besonders hervorzuheben ist noch, daß die Differenz der Atomrefractionen des Phosphors in den beiden Aethern 7,50 — 5,08 — 2,42 beträgt, in den entsprechenden beiden Säuren aber 5,94 — 4,08 — 1,86 und zwar im umgekehrten Sinne. Der Schluss liegt nahe, daß einer der beiden Aether sich nicht normal verhält und durch Berechnung der Molekularrefractionen und Vergleich derselben mit denjenigen von Salzen beider Säuren kommt Zecchini zu dem Schluss, daß der Triäthylphosphorigsäureäther der anomale ist.

R.

R. Nasini u. E. Anderlini. Ueber das Brechungsvermögen der carbonylhaltigen Verbindungen²⁾. — Nasini und Mond³⁾ fanden, daß dem Nickeltetracarbonyl ein außergewöhnlich hohes Brechungsvermögen zukommt. Wenn man für das Carbonyl dieselbe Atomrefraction einsetzt, die es im Kohlenoxyd besitzt, so muß dem Nickel bei Berechnung der Molekularrefraction eine doppelt so große Atomrefraction zugeschrieben werden, als in seinen salzartigen Verbindungen und als im metallischen Zustande [s. Beobachtungen von Du Bois und Rubens⁴⁾]. Sie glaubten, daß das Nickelatom im Tetracarbonyl achtwerthig auftritt und daß diese Erhöhung der Valenz die Erhöhung des Brechungsvermögens bedinge. Gladstone⁵⁾ fand beim Eisenpentacarbonyl ganz analoge Brechungsverhältnisse vor. Er glaubt jedoch, daß die Anomalie nicht in einer Zehnwerthigkeit des Eisens, sondern in einer besonderen ringförmigen Gruppierung der Carbonylgruppen begründet sei. Perkin⁶⁾ fand weiterhin, daß auch dem Zink im Zinkäthyl das doppelte Refractionsäquivalent zukommt wie in den

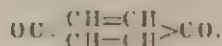
¹⁾ Accad. dei Lincei Rend. [2] 1. I, 491. Gazz. chim. ital. 23. II, 42. —

²⁾ Accad. dei Lincei Rend. [5] 3. I, 49—58; Gazz. chim. ital. 24. I, 157—169.

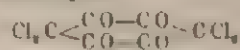
— ³⁾ JB f. 1891, S. 518. — ⁴⁾ JB. f. 1890, S. 384. — ⁵⁾ JB. f. 1893, S. 42. —

⁶⁾ Proc. Chem. Soc. 121, 63.

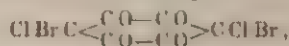
Zinksalzen und sieht den Grund hierfür darin, daß Zinkäthyl im freien Zustande, die Salze dagegen stets in Lösung untersucht wurden. Um zwischen diesen verschiedenen Hypothesen zu unterscheiden, untersuchten Nasini und Anderlini das Brechungsvermögen einer Reihe von Carbonylverbindungen. Beim Diäthyl, $\text{CH}_3 \cdot \text{CO} \cdot \text{CO} \cdot \text{CH}_3$, und Dipropionyl, $\text{CH}_3 \cdot \text{CH}_2 \cdot \text{CO} \cdot \text{CO} \cdot \text{CH}_2 \cdot \text{CH}_3$, sowie auch bei den ringförmig geschlossenen Verbindungen Chinon:



Tetrachlortetraketohexamethylen:



und Dichlordibromtetraketohexamethylen:



war gute Uebereinstimmung zwischen berechneten und gefundenen Werthen sowohl für die n -Formel wie auch für die n_D^{20} -Formel der Molekularrefraction, ohne daß ungewöhnliche Werthe für die CO-Gruppe eingesetzt zu werden brauchten. Für die Leukonsäure, $\text{C}_5\text{O}_5 \cdot 5\text{H}_2\text{O}$, sind zwei Constitutionsformeln möglich, entweder



Das molekulare Brechungsvermögen konnte unter Annahme der Hydroxylformel mit den Beobachtungen übereinstimmend berechnet werden. Die Ketonformel hätte beim Eintritt der $5\text{H}_2\text{O}$ mit der Molekularrefraction des Wassers einen außergewöhnlich niedrigen Werth für die CO-Gruppe erforderlich gemacht. Im krokronsauren Kalium:



ist der beobachtete Werth wieder viel zu hoch, so daß bei normalem Werthe für die CO-Gruppe die Atomrefraction des Kaliums anomal hoch ausfiel. Es hat also den Anschein, als ob nicht die ringförmige Schließung der Ketogruppen, sondern der Zusammentritt derselben mit Metallen stets eine besondere Erhöhung der Molekularrefraction zur Folge hat, da auch an eine Valenzvermehrung des Metalls im Falle des Kaliumkrokronats wohl nicht zu denken ist. Die Perkin'sche Annahme ist gleichfalls unzutreffend, da das Kaliumkrokronat in wässriger Lösung untersucht wurde.

R.

A. Ghira. Atomrefractionen einiger Elemente¹⁾. — Für die Atomrefraction einiger Elemente haben sich theilweise sehr erheblich von einander abweichende Werthe ergeben. Es scheint oft, als wenn die Atomrefraction innig verbunden sei mit der Sättigungscapacität des Elementes und dafs, wenn die Art der Bindung die gleiche bleibt, den übrigen in das Molekül eintretenden Atomen kein Einflufs zukäme. In anderen Fällen macht ein solcher sich unverkennbar geltend. Theoretische Betrachtungen scheinen vorläufig noch verfrüht und darum hat Ghira es unternommen, zunächst das experimentelle Material zu vermehren. I. *Quecksilber*. Von Gladstone²⁾ sind folgende Werthe für die Atomrefraction (*n*-Formel, *A*-Linie) gefunden:

Diechlorid in Wasser	19,8
„ „ Alkohol	14,2
Mercurinitrat	20,8
Mercuricyanid	16,0
Calomel, krystallisirt	22,0
Quecksilbermethyl	22,7

Ghira fand weiter:

Dimethyl, $\text{Hg}(\text{C}_2\text{H}_5)_2$	23,29
Diäthyl, $\text{Hg}(\text{C}_2\text{H}_5)_2$	23,97
Diphenyl, $\text{Hg}(\text{C}_6\text{H}_5)_2$	26,80
Mercuronitrat, HgNO_3	20,72

Die beiden Werthe für Dimethyl und Diäthyl stimmen gut überein, der Werth für Diphenyl ist, wie zu erwarten war, etwas höher. Auffallend niedrig ist der Werth in den Salzlösungen, wo nur geringe Dissociation des Salzes eintritt, nämlich beim HgCl_2 in Alkohol und beim HgCl_2 . Die dissociirten Salze HgCl_2 in Wasser, $\text{Hg}(\text{NO}_3)_2$ und HgNO_3 geben höhere und nahezu gleiche Werthe. Einen Einflufs der Dissociation hier zu vermuthen, liegt nahe, doch mufs bemerkt werden, dafs bei den organischen Verbindungen und beim krystallisirten Calomel, wo von Dissociation keine Rede sein kann, die Werthe noch höhere sind. II. *Antimon* (*n*-Formel, *A*-Linie).

Gladstone ³⁾ fand im Trichlorid	31,8
„ „ Pentachlorid	24,5
Haagen ⁴⁾ „ „ „	25,61

Ghira fand im Trichlorid für verschieden concentrirte wässrige Lösungen 23,69 und 25,27. Die Atomrefraction scheint mit

¹⁾ Accad. dei Lincei Rend. [3] 3, I, 297–300, 332–338; Gazz. chim. ital. 24, I, 309–334. — ²⁾ Phil. Trans. 16, I, 9. — ³⁾ Daselbst. — ⁴⁾ Ann. Phys. [1] 126, 117.

der Concentration anzusteigen. Die von Gladstone für das Trichlorid gefundene Zahl ist offenbar zu hoch. Die Refraction ist also die gleiche für das dreiwerthige wie für das fünfwerthige Antimon, was auch mit den von Zecchini¹⁾ am Phosphor-trichlorid und -pentachlorid gemachten Beobachtungen übereinstimmt. Die Atomrefraction im Triphenylstibin, $\text{Sb}(\text{C}_6\text{H}_5)_3$, ist, wie zu erwarten war, etwas höher, nämlich 31,51. Aehnliches fand Zecchini bei der analogen Phosphorverbindung. In drei verschiedenen concentrirten Lösungen von Triphenylstibinchlorid, $\text{Sb}(\text{C}_6\text{H}_5)_3\text{Cl}_3$, fand Ghira 33,24, 31,61, 29,25 und zwar nimmt der Werth mit steigender Concentration hier ab. Bei kleinen Concentrationen nähert der Werth sich demjenigen im Triphenylstibin, in größeren dem im Chlorid bestimmten. III. *Blei* (*n*-Formel, *A*-Linie). Gladstone²⁾ fand im Bleinitrat und Acetat die Atomrefraction 24,3. Ghira im Bleiacetat 23,04, im Tetraäthyl, $\text{Pb}(\text{C}_2\text{H}_5)_4$, 33,75. IV. *Zinn* (*n*-Formel, *A*-Linie). Die Gladstone'schen Werthe³⁾ aus Zinntetraäthyl und aus Tetrachlorid (18,1) und aus Dichlorür in wässriger Lösung (28,9) weichen stark von einander ab. Ghira fand beim Zinnchlorür 29,98, beim Tetramethyl 35,72, beim Tetraäthyl 26,36. Die Atomrefraction des Zinns ist also, wie gewöhnlich in den organischen Verbindungen, zu hoch. Ghira weist ferner besonders darauf hin, daß die Atomrefraction im Dichlorür so viel höher ist als im Tetrachlorid, was bei anderen Metalloiden (z. B. Phosphor) nicht der Fall ist. Dies Verhalten nähert das Zinn dem Kohlenstoff, der im Perchloräthylen, C_2Cl_4 , eine höhere Refraction besitzt als im Tetrachlorid, CCl_4 . R.

A. Ghira. Brechungsvermögen organometallischer Verbindungen⁴⁾. — Nach Beobachtungen von Bleekrode⁵⁾ berechnet Ghira die Atomrefraction des Zinks (*n*-Formel, *D*-Linie) im Zinkmethyl zu 15,01, im Zinkäthyl 16,87 und nach einer Messung von Gladstone⁶⁾ im Zinkäthyl 15,9. Schon Gladstone weist auf den großen Unterschied dieser Zahl und der in Salzen gültigen (9,8) hin. Ghira hat bei seinen eigenen Untersuchungen (s. vorstehendes Referat) ebenfalls gefunden, daß den Metallen in organischen Verbindungen stets höhere Atomrefractionen zukommen. Der von Perkin⁷⁾ hierfür angenommene Grund, daß nämlich die Salze stets in Lösung, die organometallischen Ver-

¹⁾ Accad. dei Lincei Rend. [5] 1. II, 433; JB. f. 1892, S. 180. ²⁾ Phil. Trans. 16, I, 9. — ³⁾ JB. f. 1891, S. 338 ff. — ⁴⁾ Accad. dei Lincei Rend. [5] 3, I, 391—393; Gazz. chim. ital. 24, I, 324—327. — ⁵⁾ JB. f. 1884, S. 284. — ⁶⁾ JB. f. 1891, S. 338. — ⁷⁾ JB. f. 1892, S. 481.

bindungen aber im freien Zustande untersucht wurden, ist nicht stichhaltig. Erstens ist der Unterschied stets gering, wenn dieselbe Substanz in beiden Zuständen untersucht wird, zweitens bleiben in beiden Zuständen dieselben Differenzen bestehen zwischen den Refractionen in den Chloriden und den organometallischen Verbindungen. Die Thatsache einer Erhöhung der Atomrefraction in den letzteren kann einiges Licht werfen auf die von Nasini und Anderlini¹⁾ beobachteten anomal hohen Werthe in den Carbonylverbindungen der Metalle. R.

W. Hallwachs. Ueber Lichtbrechung und Dichte verdünnter Lösungen²⁾. — Frühere Untersuchungen des Verfassers³⁾ hatten ergeben, daß die molekulare Lichtbrechung von Elektrolyten bei der Verdünnung erheblich zunimmt. Um aus den Brechungscoefficienten das Brechungsvermögen zu berechnen, braucht man die Kenntniß der Dichten der Lösungen. Nachdem diese von Kohlrausch und Hallwachs⁴⁾ bestimmt worden sind, ergibt sich, daß die Brechungsvermögen sich mit der Verdünnung nur wenig ändern und daß die Aenderungen der molekularen Brechungs-differenzen von der Aenderung der Dichten herrühren. Nur in diesen, nicht im Brechungsvermögen zeigt sich also der Einfluß der elektrolytischen Dissociation. Die in Lösungen untersuchten Stoffe waren: Essigsäure, Weinsäure, Rohrzucker, Schwefelsäure, Salzsäure, Chlornatrium, Magnesiumsulfat, Zinksulfat, Natriumcarbonat, Kupfersulfat. Bdl.

J. Verschaffelt. Brechungsindices von Mischungen von Wasser und Alkoholen mit Fettsäuren⁵⁾. — Die Brechungsindices beziehen sich auf Natriumlicht bei 20°. Für Gemische mit Wasser wurde beobachtet:

Buttersäure			Valeriansäure		
Vol.-Proc.	Gew.-Proc.	n	Vol.-Proc.	Gew.-Proc.	n
100	100	1.398 32	100	100	1.403 41
98	97.65	1.398 92	98	97.79	1.403 81
96	95.85	1.399 03	96	95.90	1.403 77
94	93.97	1.398 95	—	—	—

Wie in wässerigen Lösungen der niederen Fettsäuren, mit Ausnahme der Ameisensäure, nach Landolt, tritt auch hier ein

¹⁾ Accad. dei Lincei Rend. [5] 3. I, 49; dieser Jb., S. 159. — ²⁾ Ann. Phys. [2] 53, 1—13. — ³⁾ JB. f. 1892, S. 476. — ⁴⁾ JB. f. 1893, S. 60. — ⁵⁾ Belg. Acad. Bull. [3] 27, 69—84.

Maximum des Brechungsindex ein. Je höher der Alkohol ist, bei um so höherer Säureconcentration liegt das Maximum. Ein Maximum zeigen auch die Mischungen aus *Propionsäure* und *Propylalkohol*, sowie aus *Isobuttersäure* und *Isobutylalkohol*, nicht aber aus *Ameisensäure* und *Äthylalkohol*. — In den Reihen der Fettsäuren und der aliphatischen Alkohole nimmt der Temperaturcoefficient des Brechungsindex mit dem Molekulargewicht zu. — Die von Pulfrich gegebene Formel für die Beziehung zwischen Brechungsindex und Dichte einer Mischung gilt nicht für die wässerigen Lösungen von *Ameisensäure*. *Bdl.*

P. Bary. Refractometrische Bestimmung der Zusammensetzung wässriger Lösungen¹⁾. — Bereits in einer früheren Arbeit²⁾ hat Bary nachgewiesen, daß die Brechungsexponenten sich nicht in allen Fällen einfach aus der Concentration berechnen lassen, indem die bei höheren Concentrationen eintretende Bildung von neuen Hydraten sprungweise Aenderungen des Brechungsvermögens veranlaßt. Beim Natriumnitrat z. B. besteht die Curve, welche den Brechungsindex als Function des Salzgehaltes darstellt, nach neuen Versuchen des Verfassers aus drei scharf gegen einander abgesetzten Stücken. Die beiden Knicke liegen bei 11,59 und 28,2 Proc. Salzgehalt und würden den Hydratformeln $\text{NaNO}_3 + 36\text{H}_2\text{O}$ und $\text{NaNO}_3 + 12\text{H}_2\text{O}$ ziemlich genau entsprechen. Zuerst soll sich demnach bei steigendem Salzgehalt ein Hydrat mit $36\text{H}_2\text{O}$ bilden, bis alles Wasser dazu verbraucht ist, dann würde eine allmähliche Umwandlung eintreten in das Hydrat mit $12\text{H}_2\text{O}$. Ist auch hier wiederum alles Wasser erschöpft, so tritt ein neues, noch wasserärmeres Hydrat in Erscheinung, dessen Zusammensetzung aber nicht bestimmt werden konnte. Eine weitere Frage ist nun die, ob auch die elektrolytische Dissociation in sehr verdünnten Lösungen einen Einfluß auf das Brechungsvermögen derselben geltend macht. Zu diesem Zweck wurden untersucht Natriumnitratlösungen von 0,468 bis 5,000 g pro Liter. Der Dissociationsgrad soll für dieselben nach Arrhenius betragen 96,3 bis 88,8 Proc. Würde die Dissociation von Einfluß sein, so könnte das Brechungsvermögen in Folge des wechselnden Betrages derselben sich nicht einfach als lineare Function des Salzgehaltes darstellen. Dies ist nun aber, wie die Messungen von Bary ergaben, dennoch der Fall. Die erhaltene Curve stellt genau eine gerade Linie dar und ist identisch mit der bei den oben erwähnten Versuchen für Salzgehalte unter 11,59 Proc. ge-

¹⁾ Compt. rend. 118, 71–73. — ²⁾ JB. f. 1892, S. 475.

findenen. Entweder also findet keine elektrolytische Dissociation in der Lösung statt oder dieselbe bleibt ohne Einfluss auf die Lichtbrechung. R.

V. Berghoff. Bestimmung der Brechungsexponenten von Schwefel- und Phosphorlösungen in Schwefelkohlenstoff nach der Prismenmethode mit Fernrohr und Scala¹⁾. — Nach einer von Feufner²⁾ angegebenen Methode zur Bestimmung der Winkel und Brechungsexponenten von Prismen ermittelte Berghoff das Brechungsvermögen verschieden concentrirter Lösungen von Schwefel und Phosphor in Schwefelkohlenstoff. Unter Zuhilfenahme der von Macagno³⁾ veröffentlichten Angaben über die Dichten der betreffenden Lösungen prüfte Berghoff die beiden Formeln für die Molekularrefraction an seinen Versuchsergebnissen. Die Formel von Gladstone und Dale (n -Formel) war mit der Concentration nahezu nicht veränderlich, die Formel von Lorenz dagegen zeigte eine geringe Abnahme mit wachsendem Gehalte der Lösungen. R.

Drehung der Polarisationssebene (natürliche und magnetische).

H. Landolt. Ueber die Bezeichnung des Drehungsvermögens activer Körper¹⁾. — Da in einem speciellen Falle Zweifel darüber entstanden waren, ob in einer Arbeit von Schiff ein angegebener Drehungswinkel als das direct beobachtete oder als das specifische Drehungsvermögen anzusehen sei, weist Landolt darauf hin, dass eine einheitliche und consequent durchgeführte Bezeichnungsweise unumgänglich nothwendig ist. Er schlägt vor, die historische, von Biot schon 1835 eingeführte Bezeichnungsweise allgemein anzunehmen. Hiernach wird der für eine active Flüssigkeitsschicht von gewisser Länge beobachtete Drehungswinkel durch den Buchstaben α ausgedrückt und zwar unter Beifügung eines Zeichens für die benutzte Lichtart, also z. B. α_{p} , wenn gelbes Natriumlicht verwendet wurde. Behufs Vergleichung der Activität verschiedener Körper hat Biot den Begriff des specifischen Drehungsvermögens eingeführt, worunter derjenige Drehungswinkel verstanden wird, welchen die active Flüssigkeit zeigen müsste, wenn in 1 cem derselben 1 g wirksame Substanz enthalten wäre und die Dicke der durch-

¹⁾ Zeitschr. physik. Chem. 15, 422–436. — ²⁾ Sitzungsber. d. Ges. zur Beförderung d. Naturw. Marburg 1888. — ³⁾ JB. f. 1881, S. 1198. — ⁴⁾ Ber. 27, 1362–1364.

strahlten Schicht 1 dm beträgt. Dieser Drehungswinkel, welchem Biot das Zeichen $[\alpha]$ beilegte, berechnet sich bekanntlich bei au und für sich flüssigen Körpern aus $\frac{\alpha}{l \cdot d}$ und bei gelösten aus

$$\frac{\alpha \cdot 100}{l \cdot d \cdot p} \quad \text{oder} \quad \frac{\alpha \cdot 100}{l \cdot c},$$

wo l die Länge der Röhre in Decimetern, d die Dichte der Flüssigkeit und p oder c die Anzahl Gramme activer Substanz in 100 g bzw. 100 cem Lösung bedeuten. Da noch der benutzte Lichtstrahl anzugeben ist, schreibt man $[\alpha]_D$ u. s. w. Die Arbeit enthält weiterhin eine Zusammenstellung mehrerer Angaben über das specifische Drehungsvermögen und die Dichte des Coniins nach Ladenburg¹⁾ und Schiff²⁾, aus denen hervorzugehen scheint, daß dies Alkaloid mit sehr abweichenden physikalischen Eigenschaften natürlich vorkommt. R.

G. Wyruboff. Untersuchung über die Natur des molekularen Drehungsvermögens³⁾. — Die Annahme von van't Hoff und Le Bel, nach welcher das optische Drehungsvermögen durch das Vorhandensein eines oder mehrerer asymmetrischer Kohlenstoffatome im Molekül bedingt sein soll, scheint dem Verfasser nicht haltbar zu sein. Werden die Valenzen des asymmetrischen C-Atoms in der bekannten Gruppierung eines Tetraeders angeordnet, so zeigt das durch Sättigung der Valenzen entstehende Molekül keinerlei krystallographische Symmetrie, selbst wenn alle vier Substituenten gleich sind. Um so weniger natürlich bei Sättigung mit verschiedenen Substituenten. Es müßten demnach alle optisch activen Verbindungen krystallographisch triklin sein, was aber den Thatsachen durchaus widerspricht. Die Erklärung, welche Wyruboff für das Zustandekommen der optischen Activität giebt, schließt sich der Hypothese von Mallard an, die für drehende Krystalle eine regelmäßige Gruppierung von Theilen niederer Symmetrie nach einer Pseudo-Symmetrieaxe in der Weise der Glimmerplattencombination von Rensch annimmt. Daß jedes einzelne Molekül schon Drehungsvermögen besitzen kann, ist danach ausgeschlossen und es wird die Hypothese nöthig, daß die kleinsten selbstständigen Partikeln auch in Lösung und Dampfform aus mehreren — mindestens acht — chemischen Molekülen bestehen. Die zahlreichen zur Unterstützung der theoretischen Betrachtungen ausgeführten Messungen ergaben zu-

¹⁾ Ber. 27, 858. — ²⁾ Ann. Chem. 166, 94. — ³⁾ Ann. chim. phys. [7] 1, 5–90.

nächst, dass das molekulare Drehungsvermögen derselben Substanz stark veränderlich ist mit dem angewandten Lösungsmittel. Den Grund hierfür sieht Wyröuboff in der Bildung von hydratähnlichen Verbindungen. Das Drehungsvermögen des Chinidins z. B. in Methylalkohol und Aethylalkohol ist sehr verschieden, wird aber identisch, wenn man der Berechnung die Verbindungen des Chinidins mit je 1 Mol. Alkohol zu Grunde legt. Von einem specifischen Drehungsvermögen der gelösten Substanz kann also nur die Rede sein, wenn man sicher ist, dass keine Einwirkung des Lösungsmittels vorliegt. Eine sehr bemerkenswerthe Regelmäßigkeit ist es ferner, dass erhebliches Drehungsvermögen nur solchen Stoffen eigen ist, die im krystallinischen Zustande doppelbrechend sind. Es liegt also nahe, das Drehungsvermögen mit dem charakteristischen Ellipsoid der Krystalle in Beziehung zu bringen. Die nothwendige Folge hiervon ist die Annahme, dass die Moleküle auch in Lösung und Dampfform die Krystallstructur beibehalten, also zu größeren Complexen vereinigt sind. Dass die Moleküle in der Lösung nicht wie im Krystall parallel orientirt sind, stellt keine Schwierigkeit dar. Das Drehungsvermögen ergibt sich dann als das Mittel aus den für die verschiedenen optischen Axen gültigen Werthen und wird von dem Drehungsvermögen der festen Krystalle verschieden sein. Beim Strychninsulfat ist dies in der That beobachtet.

R.

A. Le Bel. Der Einfluss der Temperatur auf das optische Drehungsvermögen¹⁾. Im Allgemeinen ist der Einfluss der Temperatur auf das Drehungsvermögen nur sehr gering. Von Pictet wurde indessen darauf hingewiesen, dass beim Methyl- und Aethyltartrat, sowie von Colson, dass beim Amyläther und den gemischten Aethern, die das Amyl neben anderen aliphatischen Radicalen enthalten, erhebliche Variationen des Drehungsvermögens beobachtet werden. Der Amylisobutyläther wechselt bei -40° sogar das Zeichen des Drehungssinnes. Der Gedanke lag nahe, dass bei abnehmender Temperatur eine Polymerisation der betreffenden Stoffe eintritt, die eine Aenderung des Drehungsvermögens bedingt. Ramsay stellte indessen auf Ersuchen von Le Bel durch Untersuchung der Capillarspannungen fest, dass der Amylisobutyläther von -23 bis 125° durchaus das normale Molekulargewicht besitzt. Beim Propylglycol dagegen, dessen Drehungsvermögen sich mit der Temperatur nicht ändert, wurde bei gewöhnlicher Temperatur das Vierfache, bei 100° nur das

¹⁾ Compt. rend. 118, 916—918.

Doppelte der theoretischen Molekulargröße, also eine deutliche Aenderung des Molekularzustandes, gefunden. Die Thatsache, daß die Temperatur das Drehungsvermögen beeinflusst, steht mit der Theorie von G. u. v. in directem Widerspruch, so lange die monovalenten Bindungen als bewegliche angesehen werden. Le Bel glaubt nun, daß bei niederen Temperaturen die bis dahin beweglichen Bindungen fest werden, daß also das Molekül so zu sagen in sich erstarrt. Besonders hervorzuheben ist noch die Thatsache, daß alle Substanzen, deren Drehungsvermögen sich mit der Temperatur ändert, einfache Aether sind, d. h. solche, wo das asymmetrische Kohlenstoffatom nur an ein einziges Radical gebunden ist, das ein mit einem anderen Radical verbundenes Sauerstoffatom enthält. Ist dagegen das asymmetrische Kohlenstoffatom an zwei Radicale von ähnlicher Constitution gebunden, so ist der Temperatureinfluss nur verschwindend. So wird das sehr von der Temperatur abhängige Methyltartrat fast unabhängig, wenn es in Methylvaleryltartrat umgewandelt wird. Die Einflüsse zweier ähnlicher Radicale scheinen sich also gegenseitig aufzuheben. *II.*

A. Colson. Die Umkehrung des Vorzeichens für das optische Drehungsvermögen¹⁾. — Die von Colson²⁾ entdeckte Thatsache, daß das optische Drehungsvermögen einiger Stoffe, z. B. des Isobutylamyläthers, außerordentlich stark mit der Temperatur veränderlich ist, wurde von Le Bel³⁾ so gedeutet, daß die bei höheren Temperaturen beweglichen einfachen Bindungen in niederen Temperaturen so zu sagen erstarren und die Beweglichkeit verlieren. Colson glaubt, daß diese Hypothese nur wenig Wahrscheinlichkeit für sich hat, da eine Beziehung zwischen dem optischen Drehungsvermögen der Stoffe und der Beweglichkeit der Atome im Molekül bisher noch nicht hat aufgestellt werden können. Einige neue experimentelle Thatsachen sprechen außerdem sehr gegen die Le Bel'sche Auffassung. Colson fand nämlich, daß die starke Abhängigkeit des Drehungsvermögens von der Temperatur beim activen Amylacetat sofort aufhört, wenn demselben 1 Proc. Essigsäureanhydrid zugesetzt wird. Die folgende Tabelle giebt die entsprechenden Zahlen:

	— 4°	+ 16°	60°	78°	100°
Amylacetat	0° 53'	1° 2'	1° 20'	1° 24'	1° 20'
Gemisch	1° 6'	1° 4'	1° 20'	1° 8'	1° 20'

Das Amylacetat erleidet also allem Anscheine nach die „innere Erstarrung“ von Le Bel, der Zusatz von 1 Proc. Essigsäureanhydrid

¹⁾ Compt. rend. 119, 65—68. — ²⁾ JB. f. 1893, S. 46. — ³⁾ Vorstehendes Referat

ist aber im Stande, den Gefrierprocess der Moleküle zu verhindern. Ein Grund hierfür ist schwer zu begreifen. Colson glaubt vielmehr, dass beim Amylacetat die theilweise Zersetzung der Ester mit spurenweise vorhandenem Wasser zu Alkohol und Säure in Frage kommt. Diese Verseifung ist in hohem Grade von der Temperatur abhängig und wird durch einen Ueberschuss von Essigsäureanhydrid fast völlig aufgehoben, so dass ihr Einfluss auf das Drehungsvermögen also verschwindet. Zur Stütze für diese Auffassung führt Colson Messungen am Acetylphosphorsäureanhydrid an, das sehr begierig Wasser addirt. Sowie hier durch innere Zersetzung eine Spur Wasser entstände, würde dieselbe sofort aufgezehrt werden; das Gleichgewicht der Zersetzung stellt sich demnach stets so ein, dass die vorhandene Wassermenge nur eine ganz minimale ist. Erstens wird hier also keine erhebliche Variation des Drehungsvermögens mit der Temperatur zu erwarten sein, und zweitens wird der ausgleichende Einfluss des Essigsäureanhydrids hier naturgemäss fortfallen. Diese Erwartungen werden in der That durch den Versuch bestätigt.

	60°	40°	30°	18°
Reiner Aether . . .	— 1° 32'	— 1° 22'	— 1° 18'	— 1° 8'
Gemisch	— 1° 29'	— 1° 51'	— 1° 18'	— 1° 11'

Colson kommt auf Grund dieser Versuche zu der Ueberzeugung, dass die Variationen des Drehungsvermögens mit der Temperatur nicht auf einer physikalischen Veränderung der einzelnen Moleküle, sondern auf einer Verschiebung des chemischen Gleichgewichtes zwischen Aether, Alkohol, Säure und Wasser beruhen.

R.

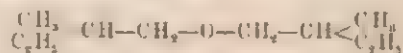
A. Le Bel. Ueber die Veränderung des Drehungsvermögens mit der Temperatur. Antwort an Herrn Colson¹⁾. — (Gegenüber den Bemerkungen von Colson²⁾) betont Le Bel, dass in dem speciellen Falle des Amylacetates und des Isobutylamyläthers die Möglichkeit zugegeben werden muss, dass die Variation des Drehungsvermögens mit der Temperatur von der mehr oder minder grossen Menge freien Amylalkohols abhängt, die so zu sagen als Verunreinigung sich dem Aether beigemengt findet. In anderen Fällen soll aber nach Ansicht von Le Bel eine solche Erklärung durch Veränderung des chemischen Gleichgewichtes völlig ausgeschlossen sein. So z. B. beim Aethyl- und Methyltartrat, denn diese Substanzen siedend so hoch, dass etwa vorhandener freier Alkohol leicht abzukochen ist. Das chemische

¹⁾ Compt. rend. 119, 226—228. — ²⁾ Vorstehendes Referat.

Gleichgewicht kann also hier nicht durch eine Zunahme der Temperatur geändert werden, und dennoch variiert das Drehungsvermögen sehr stark mit letzterer. Die Annahme eines in höheren Temperaturen etwa eintretenden Zerfalls polymerisirter Molekülaggregate ist ebenfalls nicht als Erklärung zu brauchen, seitdem durch Ramsay und neuerdings auch durch Freundler nachgewiesen ist, dass das Aethyltartrat und der Isobutylamyläther bei allen Temperaturen aus einfachen Molekülen bestehen. Es bleibt also nichts übrig, als die von Le Bel aufgestellte Hypothese eines bei niederen Temperaturen eintretenden Erstarrens der bei höheren Temperaturen frei beweglichen monovalenten Bindungen anzunehmen, was übrigens ganz im Einklang steht mit der Theorie der „begünstigten Lage“ von Wislicenus. Besondere Unterstützung seiner Hypothese sieht Le Bel auch in der von Colson selbst beobachteten Thatsache, dass bei höheren Temperaturen die Drehungsvermögen constant werden; sowie nämlich die Bindungen absolut frei beweglich geworden sind, ist eine Aenderung des Drehungsvermögens durch Temperaturzunahme nicht mehr möglich. Le Bel bemerkt zum Schluss, dass es vielleicht zweckmäßiger sein würde, in die GUYE'sche Formel an Stelle der Masse der einzelnen Atome deren Atomrefraction einzusetzen.

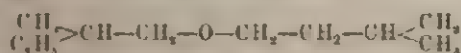
R.

Ph. A. GUYE und M. GAUTIER. Uebereinanderlagerung der optischen Wirksamkeit mehrerer asymmetrischer Kohlenstoffatome in demselben Molekül. — Die Lösung der Frage, ob und wie mehrere asymmetrische Kohlenstoffatome in demselben Molekül sich in ihrer Wirkung auf das optische Drehungsvermögen der Substanz beeinträchtigen, ist von Interesse, sobald man die GUYE'sche Regel auf Moleküle mit mehreren solchen Kohlenstoffatomen ausdehnen will. GUYE und GAUTIER fassen die Resultate ihrer Untersuchungen in folgende zwei Sätze zusammen. 1. In einem Molekül, das mehrere asymmetrische Kohlenstoffatome enthält, wirkt jedes derselben so, als wenn der Rest des Moleküls optisch inactiv wäre, und 2. die optischen Wirkungen der verschiedenen asymmetrischen Kohlenstoffatome addiren sich algebraisch. Eine Bestätigung dieser Sätze lieferte folgender Versuch. Das optisch active Amyloxyd:

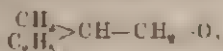


¹⁾ Compt. rend. 119, 740-743, 953-955; Bull. soc. chim. [3] 11, 1170-1178.

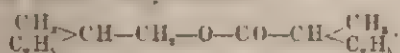
enthält zwei asymmetrische Kohlenstoffatome. Man kann die Wirkung eines derselben für sich untersuchen, wenn man das Drehungsvermögen des isomeren Aethers:



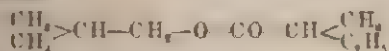
bestimmt. Dieses ergab sich: $\alpha_D = 0,27^\circ$ für $L = 0,5$ dm. Es ist nun nicht zu erwarten, daß das Drehungsvermögen dieses Aethers genau gleich ist demjenigen der Gruppe:



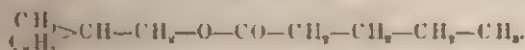
es wird vielmehr etwas größer sein, weil die andere Hälfte das Asymmetrieproduct vergrößert; annähernde Gleichheit beider Werthe läßt sich aber voraussagen. Wird die erhaltene Zahl verdoppelt, so würde man also das Drehungsvermögen des activen Amylæthers erhalten müssen. Thatsächlich stimmt die berechnete Zahl $0,54^\circ$ mit der gefundenen $0,49^\circ$ hinreichend überein. In einer zweiten Mittheilung behandeln Guye und Gautier einen Fall, wo die beiden asymmetrischen Kohlenstoffatome nicht mehr — wie oben — an genau die gleichen Substituenten gebunden sind, nämlich das active Amylvalerat:



Die Wirkung der beiden einzelnen asymmetrischen Kohlenstoffatome konnte festgestellt werden durch Untersuchung des isomeren Amylvalerats:



und andererseits des isomeren Esters:



Für 0,5 dm Rohrlänge wurde gefunden im ersten Falle $\alpha_D = 4,26^\circ$, im zweiten $\alpha_D = 1,08^\circ$, die Summe beider Zahlen $5,34^\circ$, während experimentell für den Ester mit zwei asymmetrischen Kohlenstoffatomen gefunden wurde $5,32^\circ$. Die oben aufgestellte Regel über die Additivität der optischen Wirkungen wird also auch in diesem Falle sehr gut bestätigt. R.

P. Freundler. Ueber die Aenderung des optischen Drehungsvermögens in der Weinsäurereihe und über das Drehungsvermögen gelöster Stoffe¹⁾. — Das Gesetz von Guye, nach welchem das optische Drehungsvermögen eines Stoffes abhängt von dem Gewicht

¹⁾ Ann. chim. phys. [7] 3, 433—524.

der vier verschiedenen am asymmetrischen C-Atom gebundenen Substituenten und deren Entfernung vom Schwerpunkt des Moleküls, ist noch nicht als unbeschränkt gültig anerkannt worden. Vor Allem ist die Frage noch nicht gelöst, ob neben dem Gewicht einer substituierenden Gruppe auch noch deren Constitution von wesentlichem Einfluß ist, ob also z. B. das Drehungsvermögen dasselbe bleibt, wenn statt eines Substituenten eine isomere Gruppe eingeführt wird. Wenn in einer optisch activen Verbindung eine Gruppe nach einander durch ihre höheren Homologen ersetzt wird, so bleiben die chemischen Einflüsse dieselben, nur die Masse des einen Substituenten wird geändert und das Gesetz von Guye muß ganz klar zum Ausdruck kommen, wenn es überhaupt auf Gültigkeit Anspruch machen kann. Werden dagegen zwei Reihen isomerer Substituenten verglichen, so kann bestimmt werden, wie weit Constitutionseinflüsse das Gesetz beeinträchtigen. Freundler versuchte diese Fragen experimentell an den Reihen der disubstituirten und tetrasubstituirten Ester der Weinsäure zu entscheiden. Im ersten Theile seiner Arbeit giebt er die Herstellungsweise und die wichtigsten Eigenschaften der benutzten Substanzen an. Im zweiten Theile verwendet er die erhaltenen Drehungscoefficienten zur Prüfung des Guye'schen Gesetzes. Zunächst war es nöthig, die Guye'sche Formel für den speciellen Fall umzugestalten, da hier zwei asymmetrische Kohlenstoffatome im Molekül vorhanden sind, während Guye selbst bisher nur eins in Rechnung gezogen hatte. Die neue Formel ist der ursprünglichen ganz analog. Sie verlangt ebenso wie die alte, daß das Asymmetrieproduct mit dem Fortschreiten der homologen Reihe kleiner wird und daß es unter Umständen durch Maxima und Minima hindurchgeht. Der Parallelismus im Verlaufe des Drehungsvermögens und des Asymmetrieproductes ist in allen beobachteten Reihen unverkennbar, das Guye'sche Gesetz wird also durch die Versuche annähernd bestätigt. Andererseits wurde der Nachweis geliefert, daß isomere Gruppen verschiedene Drehungsvermögen bedingen, während das Asymmetrieproduct in beiden Fällen das gleiche bleibt. Den unverkennbar vorliegenden constitutionellen Einfluß sucht Freundler mechanisch als Verschiedenheit in der Länge der Hebelarme zu deuten, an welchen die Gruppen auf das Centrum des Moleküls einwirken. Der Versuch gelingt freilich nicht ganz, selbst im einfachsten Falle und unter Zuhilfenahme der Hypothese absolut beweglicher Bindungen. Das Resultat der theoretischen Betrachtung, daß die Isobutylgruppe weniger wirksam sein müßte als die Butylgruppe, steht mit den Versuchs-

ergebnissen in directem Widerspruch. Es scheinen also doch chemische, nicht auf mechanischem Wege zu deutende Einflüsse die Gültigkeit des GUYE'schen Gesetzes zu beeinträchtigen. Die Hypothese der beweglichen Bindungen erleidet dadurch einen bedenklichen Stoß. Die Arbeit schließt mit Angaben über das Drehungsvermögen einiger von der Weinsäure abgeleiteter Säuren und Anhydride. R.

P. Walden. Ueber die optische Drehung der Ionen¹⁾. — Das Gesetz von Oudemans, daß die Drehung der Lösung eines Salzes aus activer Säure und inactiver Base oder umgekehrt nur von der Natur des activen Bestandtheiles abhängt, steht im besten Einklang mit der Dissociationstheorie. Diese fordert aber auch, daß eine starke Säure in verdünnter Lösung dieselbe Drehung besitzt wie ein beliebiges Salz der Säure. Zur Prüfung erwies sich die α -Bromcamphersulfosäure sehr geeignet, die schon in 1/100-Normal-Lösung zu 92,7 Proc. dissociirt ist. Thatsächlich ist ihre Molekulardrehung + 270 ebenso groß wie die der Salze mit ein- oder zweiwerthigen Metallen. Die kleineren Unterschiede des Dissociationsgrades haben keinen wesentlichen Einfluß auf die Drehung. Dagegen zeigt sich, daß die freie Säure in 1/100-Normal-Lösung, in der sie nur zu 68,5 Proc. dissociirt ist, eine wesentlich größere Molekulardrehung besitzt, nämlich + 287°, als bei vollständiger Dissociation. Die Natur des Metalls kann großen Einfluß auch auf die Drehung des undissociirten Antheils der Salze nicht ausüben. Man sollte nach GUYE erwarten, daß bei großem Unterschied der Atomgewichte ein solcher Einfluß hervortreten würde. Zu 1/100-Normal-Lösung, in der die Dissociation der Salze etwa 83 Proc. beträgt, ist die Drehung des Lithiumsalzes aber kaum von der des Thalliumsalzes verschieden. Zusatz von Aceton zu den Lösungen der Säure und ihrer Salze erhöht deren Drehung, aber in verschiedenem Maße. Den Rückgang der Leitfähigkeit faßt der Verfasser als einen Rückgang der Dissociation auf und folgert, daß die undissociirten Salze und die Säure sich in ihrem Drehungsvermögen erheblich unterscheiden. Es wurden ferner die Salze der Säure mit activen Basen und zwar mit Conchinin und Morphin untersucht. Die Drehung ist gleich der Summe der Molekularrotationen von Anion und Kation. Bdl.

G. Carrara u. G. Gennari. Ueber die Beziehung zwischen der elektrolytischen Dissociation und dem optischen Drehungs-

¹⁾ Zeitschr. physik. Chem. 15, 196–208.

vermögen¹⁾. — Von Carrara ist früher nachgewiesen worden, dass analoge Nicotinsalze in äquimolekularen Lösungen das gleiche Rotationsvermögen besitzen. Die wichtige Frage, ob auch die freien activen Basen oder Säuren im Einklange mit der elektrolytischen Dissociationstheorie dasselbe Rotationsvermögen zukommt wie ihren Salzen, mußte leider in diesem wie in allen anderen bisher studirten Fällen unbeantwortet bleiben, weil die Muttersubstanzen viel schwächer dissociirt waren als ihre Salze. Der Verfasser stellte deshalb nach dem Verfahren von Ley²⁾ aus aktivem Amylalkohol die Amylschwefelsäure, sowie deren Natrium-, Kalium- und Ammoniumsalz her. Diese active Säure ist sehr stark elektrolytisch dissociirt und es ergab sich daher das erwartete Resultat, dass nämlich — besonders in verdünnten Lösungen — bei äquimolekularem Gehalte das Drehungsvermögen der Säure und aller Salze das gleiche ist. Weiterhin wurden Derivate des Isoamylamins untersucht und zwar das Sulfat, Acetat und Propionat, die gleich der Muttersubstanz optisch activ sind. Auch hier war das Drehungsvermögen der Salzlösungen bei äquimolekularer Concentration das gleiche. Geringe Abweichungen der Zahlen von einander waren nicht zu vermeiden, da dem activen Isoamylamin noch ein Theil vom inactiven Homologen beigemengt war, der sich nicht entfernen liefs. R.

J. Kanonnikoff. Ueber die Beziehungen zwischen dem Lichtbrechungs- und Drehungsvermögen chemischer Verbindungen und über eine neue Bestimmungsmethode der specifischen Drehung optisch activer Stoffe³⁾. — Es wird der Versuch gemacht, eine Beziehung aufzufinden zwischen dem Winkel der minimalen Ablenkung φ , die ein gelber Lichtstrahl in einem mit der betreffenden Lösung angefüllten prismatischen Trog von 40° Brechungswinkel erfährt, und dem Winkel α , um den die Polarisationsebene beim Durchgang durch eine 200 mm lange Schicht derselben Lösung gedreht wird. Aus den vorliegenden Versuchsdaten ergibt sich, dass die auf zwei sonst identische, aber verschieden concentrirte Lösungen bezogenen Werthenpaare α , φ und $\alpha_1 \varphi_1$ in der Beziehung stehen $(\alpha - \alpha_1) = (\varphi - \varphi_1) \text{ Const. oder } \frac{d\alpha}{d\varphi} = A$ und $\alpha = A\varphi + B$, wo A und B Constanten sind, die unter sonst gleichen Versuchsumständen nur von der Natur der activen Substanz und des Lösungsmittels abhängen. Weiter ist be-

¹⁾ Accad. dei Lincei Rend. [5] 3, II, 325—330. — ²⁾ Ber. 6, 1362. —

³⁾ J. pr. Chem. 49, 137—184.

ber-Kenswerth, daß der Quotient $B:A$ constant für das nämliche Lösungsmittel, d. h. unabhängig ist von der Natur des gelösten Stoffes. Man kann daher schreiben $\alpha = A(\varphi + C)$, wo C constant bleibt für das Lösungsmittel, A für die gelöste active Substanz. Die Constante C ist also charakteristisch für das Lösungsmittel und stellt gerade wie die Siedetemperatur u. s. w. eine physikalische Eigenschaft desselben dar. Kanonnikoff untersucht eingehend die Beziehungen zwischen der GröÙe C und der chemischen Natur des Lösungsmittels. Es ergeben sich zunächst additive Beziehungen; so nimmt in homologen Reihen von Glied zu Glied der Werth von C mit wachsender GröÙe des Moleküls um nahezu denselben Betrag zu. Andererseits treten constitutive Einflüsse stark hervor, so daß die Constanten für Isomere mit verschiedenem chemischem Charakter oft sehr ungleich sind. Die aromatischen Verbindungen weisen große Unterschiede auf gegen die aliphatischen; besonders hervorzuheben ist, daß bei den ersteren mit zunehmender MolekülgröÙe der Werth von C fällt, bei den letzteren dagegen steigt. Im zweiten Theile der Abhandlung werden zwischen dem specifischen Drehungsvermögen $[\alpha]_D$ und den Constanten A und B die Beziehungen aufgestellt $[\alpha]_D$

$- Ax = \frac{B}{y}$, wo x und y Coefficienten sind, die nur vom Lösungsmittel und nicht vom gelösten optisch activen Stoffe abhängen. Werden diese Coefficienten also für irgend eine Lösung bestimmt, so ist man im Stande, das specifische Drehungsvermögen jeder Lösung im Voraus zu berechnen. Die auf diese neue Weise gefundenen Zahlen stimmen mit den von verschiedenen Forschern experimentell gegebenen gut überein. Der Vortheil des neuen Verfahrens ist, daß man α und φ nur für eine beliebige Lösung und eine durch beliebige Verdünnung daraus hergestellte zu ermitteln braucht. Eine Kenntniß der Dichte und Concentration ist nicht erforderlich. Auffallender Weise stellt das nach der Methode von Kanonnikoff berechnete specifische Drehungsvermögen oft nicht das experimentell gefundene, sondern ein ganzzahliges Multiplum desselben dar. Diese an die sogenannte Mutarotation erinnernde Erscheinung wurde an künstlich zusammengesetzten Mischungen von Glucosen eingehend studirt und es ergab sich, daß der Grund für die Multiplicität hier in der Wechselwirkung der Dextrose und Lävulose zu suchen ist. Es hezt dann die Frage nahe, ob Nicotin und andere Substanzen, bei denen die gleiche Erscheinung beobachtet wird, homogene Körper sind oder Gemenge von isomeren Stoffen, ähnlich denen

der Dextrose und Lävulose. Das neue Verfahren könnte also, abgesehen von seinem praktischen Nutzen, auch der chemischen Forschung vielleicht erhebliche Dienste leisten. Einen Versuch, die chemische Natur von Lösungen aufzuklären, macht Kanonikoff an den Salzen der Weinsäure. Das Resultat seiner Betrachtungen ist, daß die Salze organischer Basen mit der Weinsäure dasselbe Drehungsvermögen besitzen wie die Metallsalze, daß sie aber als minder stabile Verbindungen bei der Auflösung in saures Salz resp. freie Säure und Base zerfallen. Diese Zersetzung geschieht um so leichter, je complicirter das der Wasserstoff substituierende Radical ist, und hängt stark vom Lösungsmittel ab. R.

Freundler. Das optische Drehungsvermögen gelöster Stoffe! — Daß das optische Drehungsvermögen gelöster Stoffe stark durch das Lösungsmittel beeinflusst, ja bisweilen sogar in seinem Charakter geändert wird, ist durch zahlreiche Versuche erwiesen. Biot stellte das Gesetz auf, daß im Allgemeinen das spezifische Drehungsvermögen unabhängig sei von der Concentration und vom Lösungsmittel, sofern nicht eine chemische Umsetzung zwischen letzterem und dem gelösten Stoff erfolgt. Er selbst mußte allerdings schon zugeben, daß auch sehr oft in solchen Fällen anomale Drehungsvermögen beobachtet werden, wo an eine chemische Einwirkung des Lösungsmittels durchaus nicht zu denken ist. Besonders Landolt und Oudemans wiesen späterhin die Unhaltbarkeit des Biot'schen Gesetzes nach. Bremer lenkte die Aufmerksamkeit zuerst auf die Möglichkeit einer Polymerisation des gelösten Stoffes im Lösungsmittel und Aignan und Wyruboff stellten eine mögliche Dissociation daneben. Freundler hat nun in einer großen Anzahl von Fällen nachweisen können, daß in den Fällen optischer Anomalie stets auch anomale Molekulargewichte auf kryoskopischen Wege erhalten wurden. War dagegen das Molekulargewicht normal, so hatte ausnahmslos das Lösungsmittel keinen Einfluss auf das Drehungsvermögen. Dasselbe ist für die mittelst der Siedemethode festgestellten Molekulargewichte kürzlich von Sule²⁾ hervorgehoben worden. Weil nun stets die Polymerisation oder Dissociation sich mit der Concentration ändert, so muß der Einfluss des Lösungsmittels auf das spezifische Drehungsvermögen gleichfalls mit letzterer variiren. Das spezifische Drehungsvermögen ist also abhängig von der Concentration in allen anomalen Fällen, sonst bleibt es bei beliebiger Verdünnung

²⁾ Bull. soc. chim. [3] 11, 477—480. — *) Ber. 27, 594.

dasselbe. Nach diesem Gesichtspunkte ist es leicht, in jedem Falle zu entscheiden, ob ein Einfluss des Lösungsmittels vorliegt, oder ob die gefundene Zahl das wahre Drehungsvermögen des gelösten Stoffes darstellt. R.

A. Aignan. Ueber das spezifische Drehungsvermögen der optisch activen Substanzen in Lösungen¹⁾. — Das Gesetz von Biot sagt aus, dass das spezifische Drehungsvermögen einer Substanz in Lösung $[\omega] = \frac{\omega}{l \cdot \delta}$ (ω beobachtete Drehung, l Rohrlänge, δ Concentration, δ Dichte der Lösung) eine constante Gröfse darstellt. Es folgt dies aus der von Biot aufgestellten Hypothese, nach welcher die Drehung nur abhängt von der Zahl der im Wege des Lichtstrahls befindlichen activen Moleküle und folglich nur variiren kann mit Umständen, welche diese Anzahl verändern. Die an wässerigen Weinsäurelösungen ausgeführten Messungen bestätigten jedoch die für $[\omega]$ geforderte Constanz nicht und da noch andere ähnliche Fälle hinzukamen, ging Landolt so weit, die Richtigkeit des Biot'schen Gesetzes überhaupt in Frage zu ziehen und den einen Fall seiner vollen Gültigkeit (Rohrzucker in wässriger Lösung) als Ausnahme anzusehen. Aignan ist nun der Ansicht, dass das Biot'sche Gesetz dennoch unbeschränkte Gültigkeit besitzt und dass alle beobachteten Abweichungen auf secundäre Ursachen zurückzuführen sind, wie Einwirkung des Lösungsmittels auf die Substanz, Dissociation derselben u. s. w. Außerdem können die Unregelmäßigkeiten in vielen Fällen ihren Grund in der Ungenauigkeit der Messungen haben, da es oft schwer ist, die Stoffe rein herzustellen. Am Beispiel des Terpentinöles zeigt Aignan, dass je nach Herkunft und Darstellung desselben das spezifische Drehungsvermögen erheblich verschiedene Werthe annehmen kann. In solchen Fällen, wo eine Combination des activen Stoffes mit einem inactiven in der Lösung vorliegt, ist es möglich, unter der Annahme einer theilweisen Dissociation dieser Verbindung die Aenderung des specifischen Drehungsvermögens mit der Concentration zu berechnen. Die aufgestellte Formel konnte Aignan an Lösungen von Zucker mit variablen Mengen von Kaliumhydroxyd gut bestätigen. Auch die Messungen von Biot über die Drehung der Weinsäure in wässriger Lösung wurden herangezogen. Die bei gewöhnlicher Berechnungsweise sich ergebende Inconstanz von $[\omega]$ wird beseitigt, wenn man annimmt, dass die Weinsäure zum Theil in Doppelmoleküle $(C_4H_6O_6)_2$ poly-

¹⁾ Ann. chim. phys. [7] 1, 433—463.

Jahresber. f. Chem. n. a. w. für 1894.

merisirt ist. Die Annahme von Biot, dass eine theilweise Addition von Wassermolekülen vorliegt, erwies sich als unzutreffend. Die von Biot untersuchten Drehungsvermögen von Weinsäurelösungen bei Gegenwart von Kali oder Natron hiefen sich ebenfalls mit dem Biot'schen Gesetz in Einklang bringen wenn die theilweise erfolgende Anlagerung des Alkalis an die Hydroxylgruppen der Weinsäure berücksichtigt wird. Ebenso wurden die Beobachtungen von Gernez an Lösungen von Weinsäure und Aepfelsäure bei Gegenwart von Phosphormolybdat, Wolframat und Alkalimolybdaten zur Bestätigung der aufgestellten Behauptung herangezogen. Zum Schluss unternimmt Aignan den Versuch, das Massenwirkungsgesetz nach dem Vorgange von Le Chatelier zur Berechnung der Dissociation heranzuziehen in dem von ihm selbst experimentell studirten Falle einer Vereinigung von Zucker mit Alkalien zu Saccharaten. Die von der Theorie geforderten Resultate stimmen mit den experimentell gefundenen Zahlen gut überein. *R.*

D. Gernez. Untersuchung über den Einfluss der sauren Natrium- und Ammoniummolybdate auf das Drehungsvermögen der Rhamnose¹⁾. — In einigen früheren Arbeiten²⁾ hat Gernez darauf hingewiesen, dass die sauren Molybdate des Natriums und des Ammoniums auf wässrige Lösungen der mehrwerthigen Alkohole wie Mannit, Sorbit und Perseit einen eigenthümlichen Einfluss ausüben, indem sie das optische Drehungsvermögen 20- oder 40-, ja in einem Falle 160mal vergrößern. Gernez machte einen gleichen Versuch mit einer Lösung von Dulcitol, bei dem bisher kein Drehungsvermögen beobachtet war, da es nicht ausgeschlossen schien, dass das Drehungsvermögen zwar vorhanden sein, aber sich wegen seiner Kleinheit der Beobachtung entziehen haben könne. Trotzdem aber die Lösungen mit höchstmöglichen Concentrationen hergestellt wurden, zeigte sich auch nach Zusatz der Molybdate keine Drehung der Polarisationssebene. Der Dulcitol scheint also wirklich inactiv zu sein, was auch mit den bisher auf chemischem Wege über seine Constitution gewonnenen Ansichten durchaus übereinstimmt. Das Drehungsvermögen der Zucker mit Aldehydcharakter wird durch die Molybdate nur sehr wenig beeinflusst, nur beim Isodulcitol (Rhamnose), der nach seinen chemischen Eigenschaften als eine Methylpentose anzusehen ist, macht sich eine Vermehrung der Rotation bemerkbar. Die Zunahme des Drehungsvermögens bei variablem Zusatz von Molybdat wurde bei

¹⁾ Compt. rend. 119, 63—65. — ²⁾ JB. f. 1891, S. 361; f. 1892, S. 489.

18° an einer Lösung studirt, die in 12 cem 0,7583 g Rhamnose enthielt. Es ergab sich hierbei, daß geringe Salzzusätze die Drehung verhältnißmäßig stark vergrößern; die gleichen Salzmengen haben weiterhin nur einen geringeren, allmählich abnehmenden Einfluß. Nach Erreichung einer oberen Grenze nimmt der Einfluß des Salzes wieder ab und es ist bemerkenswerth, daß dieses Maximum dasselbe ist wie für die Mannit-, Sorbit- und Perseitolösungen. R.

H. Landolt, Methode zur Bestimmung der Rotationsdispersion mit Hülfe von Strahlenfiltern ¹⁾. — Die Broch'sche Methode zur Untersuchung der Rotationsdispersion, welche auf einer Verbindung des Polarisationsapparates mit dem Spectrometer beruht, ist ziemlich umständlich und daher für die Praxis des chemischen Laboratoriums ungeeignet. Aber auch die Anwendung homogen gefärbter Flammen bietet große Schwierigkeiten, die erstens in der Unmöglichkeit, constante Lichtquellen herzustellen, und zweitens in der mangelhaften Einheitlichkeit des ausgesandten Lichtes begründet sind. Landolt hat daher versucht, homogene Lichtquellen durch Einschaltung von Farbfiltern in die Strahlung eines Auerbrenners zu erhalten. Farbige Gläser kamen wegen der Ungleichmäßigkeit der Fabrikate nicht in Betracht und es mußten ausschließlich Flüssigkeitsschichten verwendet werden, die leicht von jedermann genau reproducirt werden können. Eine einzige Schicht genügte in keinem Falle, es war stets erforderlich, mehrere Schichten hinter einander zu schalten.

Farbe	Dicke der Schicht in mm	Wässrige Lösung von	Substanz in 10 cem Lösung g	Wellen- länge in mμ
Roth	20	Krystallviolett 5 BO	0,005	665,9
	20	Kaliummonochromat	10	
Gelb	20	Nickelsulfat, NiSO ₄ + 7 aq.	30	591,9
	15	Kaliummonochromat	10	
Grün	15	Kaliumpermanganat	0,025	533,0
	—	Kupferchlorid, CuCl ₂ + 2 aq.	60	
	—	Kaliummonochromat	10	
Hellblau	—	Doppelgrün SF	0,2	488,5
	—	Kupfersulfat, CuSO ₄ + 5 aq.	15	
Dunkel- blau	—	Krystallviolett 5 BO	0,005	448,2
	—	Kupfersulfat, CuSO ₄ + 5 aq.	15	

¹⁾ Ber. 27, 2872—2887; Berl. Akad. Ber. 37 u. 38, 923—935.

Die zur Erzeugung einer genügenden Homogenität jeder Lichtart notwendige Dicke der einzelnen Schichten ist in der vorstehenden Tabelle mit angegeben; dieselbe muß bis auf $\pm 0,2$ mm genau eingehalten werden. Ebenso ist es nöthig, die Concentrationen der Lösungen möglichst genau zu reproduciren. Das Krystallviolett BO ist das Chlorhydrat des Hexamethylparosanilins, und zwar sind die wasserfreien, cantharidengrünen Krystalle desselben zu verwenden. Das Doppelgrün SF ist die Verbindung von Chlormethylhexamethylparosanilinchlorhydrat (Methylgrün) mit Chlorzink, welche ein bronzeglänzendes, krystallinisches Pulver darstellt. Die sämtlichen Lösungen sind gut haltbar, nur die von KMnO_4 muß öfters erneuert werden, da sie ihr Absorptionsvermögen mit der Zeit ändert. Als Polarimeter ist nur der Halbschattenapparat mit dem Lippich'schen Polarisator verwendbar, der Apparat von Laurent ist nicht brauchbar, da er nur für Na-Licht eingerichtet ist. Landolt theilt eine Reihe von Beobachtungen mit, die nach seiner Methode an Quarzplatten angestellt wurden. Die folgende Tabelle giebt die erhaltenen Resultate (α) und zugleich einige nach dem Verfahren von Broch für verschiedene Fraunhofer'sche Linien erhaltene Zahlen (α_λ).

Filter	α		α_λ	α_λ
				"
Roth	16,78	C	17,31	1,0316
Gelb	21,49	D	21,71	1,0102
Grün	26,85	E	27,54	1,0257
Hellblau	32,39	F	32,76	1,0114
Dunkelblau	39,05	G	42,59	1,0397

Mit Hülfe der in der letzten Colonne angegebenen Factoren ist es möglich, die mittelst der Strahlenfilter gefundenen Drehungswinkel auf diejenigen umzurechnen, welche den genannten Fraunhofer'schen Linien entsprechen, in allen Fällen, wo die Dispersion ebenso groß ist wie beim Quarz oder wenn es sich nur um kleine Drehungswinkel handelt. Die spezifische Drehung des Rohrzuckers wurde nach der Landolt'schen Methode für verschiedene Strahlenarten berechnet und in guter Uebereinstimmung mit den Zahlen anderer Beobachter gefunden. Die Dispersion ist nahezu die gleiche wie für Quarz, so daß hier die oben gegebenen Umrechnungsfactoren zu benutzen sind. Um das Verfahren auch bei einer Substanz mit abweichender Dispersion zu prüfen, wurden

Santoninlösungen untersucht. Die berechneten Zahlen fallen auch hier mit den von Nasini erhaltenen gut zusammen. In einem Nachtrage theilt Landolt mit, daß Zirkonlicht bei Einschaltung folgender Schichten: 40 mm Nickelsulfatlösung mit 22 g Salz in 100 ccm, 15 mm Kaliummonochromatlösung mit 10 g Salz in 100 ccm, 15 mm Kaliumpermanganatlösung mit 0,025 g Salz in 100 ccm mit Sicherheit an Stelle von Natriumlicht zu verwenden ist. R.

G. Moreau. Beziehungen zwischen der natürlichen und der elektromagnetischen Drehung der Polarisationsenebene¹⁾. — Der Verfasser zeigt zunächst, daß die bisher aufgestellten Formeln für das natürliche Drehungsvermögen des Quarzes die Versuchsergebnisse nur sehr mangelhaft wiedergeben. Er versucht, von den Beobachtungsdaten ausgehend, eine neue Formel abzuleiten und nachträglich deren Zusammenhang mit der mechanischen Theorie des Lichtes zu erweisen. Das zu Grunde liegende Versuchsmaterial sind die Beobachtungen von Soret und Sarrazin im sichtbaren und ultravioletten und die eigenen Messungen im ultrarothem Spectrum (dieser JB., S. 184). Bei diesen Betrachtungen wird Moreau dazu geführt, in die bisherigen Gleichungen für die Bewegung des Aethers zwei neue Glieder einzuführen, die eine Wechselwirkung zwischen dem Lichtäther und den materiellen Molekülen darstellen und die hier wirksamen Kräfte mit dem Gesetz von Erhaltung der Energie in Einklang bringen. Die von van Schaik und dem Verf. selbst auf Grund Maxwell'scher Betrachtungen aufgestellten Formeln für die magnetische Rotationsdispersion genügen den experimentellen Ergebnissen nicht, eine von Joubin angegebene Formel erwies sich dagegen als brauchbar. R.

W. H. Perkin. Ueber das magnetische Drehungsvermögen von Chlorwasserstoff in verschiedenen Lösungsmitteln, sowie von Natriumchlorid, Lithiumchlorid und Chlor²⁾. — Es ist früher von Perkin³⁾ nachgewiesen worden, daß das magnetische Drehungsvermögen der Salzsäure in wässrigen Lösungen stark von der Concentration abhängt, und zwar größer wird mit zunehmender Verdünnung. Um ein anderes Lösungsmittel als Wasser zu haben, wählte er Isoamyloxyd an, in dem die Drehung nur etwa die Hälfte von der in verdünnten wässrigen Lösungen beobachteten betrug. Jahn⁴⁾ und Schönrock⁵⁾ zogen seine Resultate aber in Zweifel durch die Vermuthung, daß eine chemische

¹⁾ Ann. chim. phys. [7] 1. 289–346. — ²⁾ Chem. Soc. J. 65, 20–28. —

³⁾ Dasselbst 53, 702. — ⁴⁾ JB. f. 1891, S. 363. — ⁵⁾ JB. f. 1893, S. 66.

Umsetzung zwischen der Salzsäure und dem Isoamyloxyd stattgefunden haben könne. Perkin weist zunächst das Unzutreffende dieser Annahme nach. Der Gehalt von Lösungen gasförmiger Salzsäure in Isoamyloxyd wurde einmal bestimmt aus der Gewichtszunahme und dann durch Titration der beim Ausschütteln mit Wasser in letzteres übergegangenen Salzsäure. Die zweiten Zahlen müßten kleiner ausfallen, wenn ein Theil der Salzsäure chemisch an das Isoamyloxyd gebunden worden wäre, sie waren aber thatsächlich stets eher größer als die ersten. Beim Bromwasserstoff hingegen konnte eine Umsetzung mit dem Lösungsmittel so constatirt werden. Außerdem verhielt das Isoamyloxyd sich der gasförmigen Salzsäure gegenüber wie ein echtes Lösungsmittel, indem die Aufnahmefähigkeit mit sinkender Temperatur anstieg. Die Molekularrotation der HCl fand er zu 2,261 n. Uebereinstimmung mit seinen früheren Zahlen 2,211 und 2,265. Auch in Aethyl- und Isoamylalkohol fand keine erhebliche chemische Reaction bei gewöhnlicher Temperatur statt. Die Drehungsvermögen der HCl war in Isoamylalkohol 3,286, in Aethylalkohol 3,365. Dafs der letztere Werth höher ist, schreibt Perkin einem geringen Wassergehalte des Alkohols zu. Chlornatrium wurde untersucht im festen Zustande als Steinsalz. Molekulare Drehung: 4,080. In wässriger Lösung: 5,068. Chlorkalium zeigte in drei verschieden concentrirten, wässrigen Lösungen ein mit der Verdünnung stark ansteigendes Drehungsvermögen (4,166 bis 4,680). Das elementare Chlor wurde am zweckmäfsigsten im flüssigen Zustande untersucht werden, doch sind die experimentellen Schwierigkeiten hierbei sehr grofs. Als ein geeignetes Lösungsmittel erwies sich Kohlenstofftetrachlorid, das bis zu 10 Proc. Chlor aufnimmt. Das molekulare Drehungsvermögen in dieser Lösung betrug 4,344, die Atomrotation beträgt demnach die Hälfte, also 2,172. Dieser Werth ist höher als der in organischen Chloriden gefundene (im Propylchlorid 1,733) und niedriger als der in verdünnten Salzsäurelösungen (4,154).

R.

W. H. Perkin. Das magnetische Drehungsvermögen einiger Halogenderivate der Fettsäuren, sowie der Essigsäure, Propionsäure, des Phosgens und des Aethylcarbonats¹⁾. — Die Essigsäure ist bei niederen Temperaturen zum Theil polymerisirt, die Propionsäure aber nicht. Wenn also die Zusammenlagerung der Moleküle zu polymeren Complexen das Drehungsvermögen beeinflusst, so

¹⁾ Chem. Soc. J. 65, 402–432.

ist eine wesentliche Differenz zwischen den beiden so nahe verwandten Säuren zu erwarten, die mit steigender Temperatur verschwinden muß. Der Versuch ergab jedoch eine weitgehende Uebereinstimmung der molekularen Drehungsvermögen, so daß ein Einfluß der Polymerisation also nicht vorliegt. Daß die Einführung von Halogenen das magnetische Drehungsvermögen aliphatischer Verbindungen vergrößert, ist schon länger bekannt, ebenso ist schon festgestellt, daß bei Einführung eines zweiten oder dritten Halogenatoms die Zunahmen andere sind als bei der ersten Substitution. Die vorliegende Arbeit bezweckt, experimentelles Material zur Klärung dieser Verhältnisse beizubringen. Zunächst wurde beim Phosgen, Aethylchloroformat und Aethylcarbonat festgestellt, daß die Einführung eines zweiten Chloratoms hier einen größeren Einfluß ausübt als das erste. Bei den Halogenderivaten der Essigsäure und deren Estern fand sich dagegen, daß bei der fortschreitenden Chlorirung der Einfluß des Halogens abnimmt, bei fortschreitender Bromirung dagegen ansteigt. Die Resultate des sehr ausgedehnten Versuchsmaterials sind in einer Tabelle der Erhöhungsziffern der Halogenatome niedergelegt. Der Einfluß eines ersten substituirten Chloratoms schwankt für die verschiedenen Muttersubstanzen außerordentlich (1,450 im Aethylchloroformat bis 1,724 im Aethylchlorpropionat). Das dritte Chloratom hat stets geringeren Einfluß (1,419 in der Trichloressigsäure), beim Brom dagegen ist der Erhöhungsfactor des ersten 3,330 (Bromessigsäure), des dritten aber 3,842 (Aethyltribromacetat). Betrefts der zahlreichen interessanten Einzelheiten muß auf die Arbeit selbst verwiesen werden. R.

W. H. Perkin. Ueber das magnetische Drehungsvermögen von Verbindungen, die vermuthlich Acetylgruppen enthalten oder aus Ketonen entstanden sind. Theil II¹⁾. — In einer früheren Arbeit²⁾ hatte Perkin festgestellt, daß Monoketone normales Drehungsvermögen besitzen, daß Diketone und Triketone dagegen anomale Werthe aufweisen, die vermuthen lassen, daß eine theilweise Umwandlung der Ketone in isomere ungesättigte Hydroxylverbindungen stattgefunden hat. Die vorliegende Abhandlung enthält eine Reihe von Versuchen zur näheren Prüfung dieser Verhältnisse an neuen Substanzen. Besonders hervorzuheben ist der Einfluß, den eine Methylierung auf die tautomere Umlagerung der Ketone ausübt. Das Acetylaceton existirt bei gewöhnlicher Temperatur hauptsächlich in der Form $\text{CH}_3 \cdot \text{C}(\text{OH})=\text{CH} \cdot \text{CO} \cdot \text{CH}_3$.

¹⁾ Chem. Soc. J. 65, 815—828. — ²⁾ Daselbst 61, 800.

Dies wird dadurch bewiesen, daß die Molekularrotation des von Claisen dargestellten Hydracetylacetons, $\text{CH}_3 \cdot \text{CH} \cdot (\text{OH}) \text{CH}_2 \cdot \text{CO} \cdot \text{CH}_3$, sich von der des Acetylacetons nur um den Betrag unterscheidet, welcher der gewöhnlichen Differenz zwischen gesättigter und ungesättigter Verbindung der gleichen Constitution zukommt. Das Methylacetylaceton ist bereits als Gemisch beider tautomeren Formen anzusehen und das Dimethylacetylaceton hat reinen Ketoncharakter. Der Eintritt von Methylgruppen begünstigt also die Ketonform zum Nachtheil des hydroxylhaltigen Tautomeren. Ebenso wirkt eine Erhöhung der Temperatur, wie Perkin in mehreren Fällen, besonders beim Allylacetylaceton und beim Aethyläther der Monocarboxyläthylacetessigsäure, nachweisen konnte. Durch einen Zusatz von Essigsäure wird der in Ketonform vorhandene Antheil des Acetylacetons etwas vermehrt, doch ist dieser Betrag kleiner, als in Folge der gänzlichen Inactivität der Essigsäure gegenüber dem hydroxylhaltigen Tautomeren zu erwarten stand. *R.*

G. Moreau. Die Dispersion des magnetischen Drehungsvermögens im ultrarothem Spectrum beim Schwefelkohlenstoff ¹⁾. — Um die Versuchsergebnisse mit den Ergebnissen der theoretischen Berechnung vergleichen zu können, mußte Moreau zunächst die optische Dispersion des Schwefelkohlenstoffs im ultrarothem Spectrum feststellen. Besondere Rücksicht war darauf zu nehmen, daß die Refraktionsindices von der Temperatur abhängig sind. Aus diesem Grunde war es nöthig, auch die Temperaturcoefficienten zu ermitteln. Diese sind für das ganze Gebiet nahe gleich und ändern sich in regelmäßiger Weise mit der Wellenlänge. Folgende Tabelle giebt die erhaltenen Zahlen.

Wellenlänge μ	Temperatur- coefficient	Brechungsindex bei 23°
0,842	0,00079	1,60126
0,944	0,00078	1,59624
1,076	0,00077	1,59171
1,126	0,00077	1,59023
1,244	0,00075	1,58702
1,419	0,00075	1,58318
1,543	0,00075	1,58017
1,715	0,00073	1,57666

Im zweiten Abschnitte der Arbeit untersucht Moreau die Abhängigkeit des elektromagnetischen Drehungsvermögens für eine

¹⁾ Ann. chim. phys. [7] 1, 227–258.

bestimmte Strahlenart (*D*-Linie) von der Stärke des magnetischen Feldes. Er fand, daß für diese Strahlenart die Drehung der Feldstärke genau proportional ist und konnte daher bei den Messungen im ultrarothem Strahlengebiete die gleichzeitige Drehung des gelben Lichtes als Vergleichsgröße benutzen. Die im dritten Abschnitte bestimmten magnetischen Drehungsvermögen des Schwefelkohlenstoffs für ultraroth Strahlen wurden auf die bei gleicher Temperatur beobachteten Indices für gelbes Licht als Einheit bezogen. Auch hier ergab sich übrigens für alle Strahlenarten die Proportionalität zwischen Drehung und Feldstärke. Die beobachteten Verhältnisse des Drehungsvermögens (auf *D*-Linie = 1 bezogen) sind:

λ	Verhältniß	λ	Verhältniß	R.
0,792	0,52	1,126	0,87	
0,944	0,48	1,170	0,33	
1,076	0,44	1,419	0,32	

Luminescenz.

Edgar Buckingham. Ueber einige Fluorescenzerscheinungen¹⁾. — Daß die Moleküle elektrolytisch nicht dissociirter Substanzen Fluorescenzerscheinungen zeigen können (z. B. Petroleum), ist schon lange bekannt. Buckingham versuchte auf Anregung von W. Ostwald die Frage zu beantworten, ob auch Ionen zu fluoresciren vermögen, und in der That gelang es ihm, dies bei einigen Substanzen nachzuweisen. Das Eosin (Tetrabromfluorescein) ist eine schwache, zweibasische Säure, deren Dissociation mit der Verdünnung in wässriger Lösung stark zunimmt. Da hierbei gleichzeitig das Fluorescenzvermögen der Lösungen größer wird, so liegt der Schluss nahe, daß die Ionen und nicht die Moleküle Träger der Fluorescenz sind, und zwar die Eosinionen, nicht die Wasserstoffionen, weil bei den letzteren Fluorescenz sonst nicht beobachtet wird. Eine Verminderung der Anzahl der Eosinionen durch Zusatz von Säuren setzt, wie zu erwarten war, das Fluorescenzvermögen herab. Starke Säuren sind wirksamer als schwache, ganz wie die Dissociationstheorie dies verlangt. Auch der Einfluß von zugesetzten Natronsalzen und Basen bestätigte durchweg

¹⁾ Zeitschr. physik. Chem. 14, 123—148.

die Annahme, daß die Stärke der Fluorescenz von der Menge der vorhandenen Eosinionen abhängt. Aehnliche Resultate ergaben die Beobachtungen an Chininsalzen. Da alle Chininsalze Fluorescenz zeigen, scheint der allen ihren Lösungen gemeinsame Bestandtheil, d. h. das Chininion, die Erscheinung zu veranlassen. Eine Verminderung der Zahl der Chininionen durch geeignete Zusätze bewirkt auch ganz im Einklange hiermit eine starke Abnahme der Fluorescenz. Das Chininion kann (wie auch z. B. manche Metallionen) mit einer oder mit zwei elektrischen Ladungen behaftet sein, wodurch natürlich eine Veränderung auch der anderen Eigenschaften bedingt ist. Buckingham fand, daß das zweiwerthige Ion ein größeres Fluorescenzvermögen besitzt, als das einwerthige. Eine eigenthümliche Herabsetzung der Fluorescenz bei Chininsalzen wurde beobachtet, wenn Halogenionen in der Lösung zugegen waren. Ein Grund für diese Erscheinung konnte jedoch nicht angegeben werden. R.

H. Jackson. Beobachtungen über die Natur der Phosphorescenz¹⁾. — Die zwei Hauptaufgaben einer Untersuchung über die Phosphorescenz sind festzustellen: 1. inwiefern die Eigenschaft zu phosphoresciren abhängt von der chemischen und physikalischen Beschaffenheit der Substanz; 2. welchen Einfluß die Versuchsumstände auf die Erscheinungen haben. Zur Klärung der ersten Frage konnte Jackson zunächst den Nachweis liefern, daß nicht, wie oft angenommen wird, das Vorhandensein von Verunreinigungen eine unerläßliche Bedingung ist. Calciumoxyd, Calciumcarbonat, Baryumsulfat, Baryumcarbonat, Magnesiumoxyd, Zinkoxyd, Aluminiumoxyd und Strontiumcarbonat leuchteten im Kathodenlicht sehr stark, obgleich sie nach Möglichkeit rein dargestellt waren. Sehr von Einfluß ist dagegen die Art und Weise, in welcher ein und dasselbe Präparat gewonnen wird. Calciumoxyd aus krystallisirtem Calciumcarbonat phosphorescirt stark, solches aus amorphem Carbonat dagegen fast gar nicht. Für gewöhnlich ist die Phosphorescenzfärb des Calciumoxyds orange, wenn es im Sauerstoff-Wasserstoffgebläse geglüht wurde, aber blau. Von wie erheblichem Einfluß die Versuchsbedingungen sind, zeigte ein Versuch mit Aluminiumoxyd. Dieses leuchtet bei mäßig hoher Luftverdünnung carmoisinroth. Bei weiterem Evacuiren glüht es plötzlich hell auf und verliert dann die Fähigkeit zu phosphoresciren. Erst im noch höheren Vacuum tritt diese wieder ein, dann aber ist das ausgesandte Licht blau. Wenn solche

¹⁾ Chem. Soc. J. 85, 734—744.

Farbwechsel eintreten, so sind sie in allen Fällen derartig, daß die Farbe mit steigender Verdünnung sich nach Violett hin verschiebt. Die erforderliche Verdünnung, um die Phosphorescenz auszulösen, ist für die einzelnen Stoffe sehr verschieden. Jackson nimmt an, daß ganz analog der nach Beleuchtung erfolgenden Phosphorescenz, die von der Kathode ausgehenden kurzwelligen Strahlen anregend wirken. Die Luft ist für diese Strahlen undurchlässig und erst bei höherem Vacuum vermögen die betreffenden Wellen bis zu dem in der Röhre liegenden untersuchten festen Körper vorzudringen. Die Luft selbst wird oft durch die Strahlen zum Phosphoresciren gebracht (Kathodenlicht), wird sie sehr verdünnt, so hört dieses Leuchten naturgemäß auf. Der elektrische Funken in Gasen dürfte ähnlicher Natur sein, die von Herz beobachtete Auslösung desselben durch ultraviolett Licht spricht sehr für diese Annahme. Auch die blaue Farbe des Himmels konnte möglicher Weise der Phosphorescenz der oberen Luftschicht unter dem Einfluß kurzwelliger Sonnenstrahlen seine Entstehung verdanken. Jackson führt im Anschluß an diese originelle Hypothese aus, wie die Sonnenflecken dann mit den gleichzeitig stets auftretenden Störungen des Erdmagnetismus in Beziehung zu setzen sein würden. Manche Substanzen, die keine sichtbare Phosphorescenz zeigen, senden möglicher Weise Strahlen aus, die zu kurzwellig sind, um dem Auge sichtbar zu werden. Die Photographie könnte hier gute Dienste leisten, doch werden die Versuche nicht leicht auszuführen sein wegen der Undurchlässigkeit der Luft und des Glases für derartige Strahlengattungen.

R.

H. Goldstein. Ueber die Einwirkung von Kathodenstrahlen auf einige Salze¹⁾. — Wird Chlorlithium in einer evacuirten Röhre der Einwirkung der Kathodenstrahlen ausgesetzt, so phosphorescirt es mit hellblauem Lichte. Allmählich nimmt das früher weißse Salz dabei eine heliotrop- bis dunkelviolette Färbung an und in gleichem Maße läßt die Intensität des ausgestrahlten Phosphorescenzlichtes nach. Die Phosphorescenz und die Färbung treten im Allgemeinen um so leichter ein, je geringer die Gasdichte im Rohre ist. Die violette Färbung bleibt dem Salze, auch wenn die Bestrahlung aufhört, noch geraume Zeit nach dem Versuche. Goldstein bezeichnet sie daher als „Nachfarbe“. Der Eintritt trockener Luft in das Vacuum beeinträchtigt die Haltbarkeit der Salzfärbung nur wenig, die geringste Spur von Luft-

¹⁾ Berl. Akad. Ber. 1894, S. 937—945.

feuchtigkeit läßt sie dagegen verschwinden. Wird die Feuchtigkeit dann wieder durch Erhitzen ausgetrieben, so kehrt die Nachfarbe nicht zurück, hierzu ist vielmehr eine erneute Bestrahlung erforderlich. Wird das violette Chlorlithium erhitzt, so nimmt es zuerst eine fleischfarbene bis braunrothe Färbung an („Erhitzungsfarbe“ nach Goldstein) und bei fortgesetztem Erhitzen kehrt die ursprüngliche weiße Färbung zurück. Chlornatrium zeigt bei nicht sehr trockenem Salze blauweiße Phosphorescenz, bei trockenem Salz hellblaue, die allmählich in Violett übergeht. Die Nachfarbe ist gelb bis braungelb, die Erhitzungsfarbe dunkelblau bis blauviolett. Die für einige andere Salze beobachteten Färbungen sind folgende:

	Phosphorescenz	Nachfarbe	Erhitzungsfarbe
Chlorkalium . .	blau	heliotrop	blau
Bromkalium . .	grünblau	blau	—
Jodkalium . .	hellgrün	hellgrün	—
Fluorkalium . .	grün	weiß	—
Kaliumcarbonat	gelbgrün	dunkelblau	—
Bromnatrium . .	blauweiß	rosa	—
Bromlithium . .	hellblau	dunkelgrau	—
Jodlithium . .	—	braungelb	—
Jodrubidium . .	gelbgrün	gelblich	—

Außer bei den erwähnten Alkalisalzen wurden Nachfarben sonst nicht beobachtet, auch nicht bei den Salzen der alkalischen Erden, trotzdem diese so glänzende Phosphorescenzen zeigen. Die Beständigkeit der Nachfarben ist an freier Luft keine sehr große, vor Allem nicht bei den zertiefslichen Lithiumsalzen. Im abgeschmolzenen Vacuumrohr halten einige Färbungen sich gut, andere nehmen auch hier ziemlich schnell ab. Ueber die eigentliche Ursache der Nachfarben will Goldstein keine definitive Hypothese aufstellen. Er liefert nur den Nachweis, daß nicht etwa Verunreinigungen der Salze der Grund für die Veränderungen im Kathodenlichte sind, weil die gleichen Erscheinungen bei Proben verschiedener Herkunft eintreten. Auch die Zerstäubung des Kathodenmaterials ist ohne Belang, denn die Färbung wurde nicht beeinflusst, wenn die Aluminiumelektrode durch solche aus Stahl oder Nickel ersetzt wurde. Die Möglichkeit, daß eine Reaction der Salze mit dem Quecksilberdampf vorlag, wurde durch den Nachweis ausgeschlossen, daß die veränderten Salze kein analytisch erkennbares Quecksilber enthielten. Die Annahme

einer chemischen Veränderung der Salze, z. B. die Bildung von Natriumsubchlorid, hat sehr wenig Wahrscheinlichkeit für sich. Allerdings hat das bei der Elektrolyse des Chlornatriums oder bei Erhitzung desselben mit metallischem Natrium entstehende Subchlorid die gleiche blaue Farbe wie das im Kathodenlicht gefärbte und dann erhitzte Salz. Aber — wenn das blaue Salz aus dem weissen durch Abgabe von Chlor entstände und dieses beim weiteren Evacuiren der Röhre abgesaugt würde, wie könnte ohne Einleiten von neuem Chlor, nur durch Erhitzen, die Umsetzung zurückgehen? Dafs das beim Erhitzen entstehende weisse Salz kein Chlorid, sondern vielleicht das Oxyd des Natriums sein könne, hält Goldstein für ausgeschlossen, da es bei neuer Bestrahlung genau die dem Chlorid charakteristischen Erscheinungen zeigt. Ausserdem bemerkt Goldstein, dafs das auf chemischem Wege erhaltene Subchlorid sich in Wasser unter Entwicklung von Wasserstoff löst, die gefärbten Salze lösen sich aber genau so wie die ursprünglichen weissen. Der Zusammenhang mit den Phosphoreszenzerscheinungen legt vielmehr den Gedanken nahe, dafs es sich nur um eine Umlagerung der Moleküle in eine labile Gleichgewichtslage handelt, die allmählich, besonders beim Erhitzen, wieder in die alte stabilere — oder erst in eine Zwischenform — umgewandelt wird. R.

Raoul Pictet. Experimentaluntersuchung über den Einflufs der Temperaturerniedrigung auf die Phosphoreszenzerscheinungen¹⁾. — Glasröhren mit Füllung von pulverförmigem Schwefelcalcium, Schwefelbaryum und Schwefelstrontium wurden dem Sonnenlichte ausgesetzt und zeigten darauf im Dunkeln die bekannten Phosphoreszenzerscheinungen. Wurden die Röhren aber nach der Belichtung in ein Kältebad gebracht (Stickstoffoxydul — 140° oder gekühlter Alkohol — 75°), so liefs die Phosphoreszenz nach in dem Mafse, wie die Substanzen sich abkühlten, und zwar so schnell, dafs nur eine Abkühlung der obersten Schicht der Pulverkörner erfolgt sein konnte. Bemerkenswerth ist, dafs die verschiedenartigen Phosphoreszenzen (blau, grün, orange) beim Erlöschen ausnahmslos zuletzt einen ockerartigen Ton annahmen. Wenn die Röhren dann langsam wieder auf gewöhnliche Temperatur gebracht wurden, so stellte sich die Phosphoreszenz genau in der ursprünglichen Stärke wieder ein. Es scheint also hieraus hervorzugehen, dafs die Phosphoreszenzerscheinungen durch einen Bewegungszustand der Moleküle bedingt sind. R.

¹⁾ Compt. rend. 119, 527—529.

Raoul Pictet und Michael Altschul. Ueber das Verhalten der Phosphorescenzerscheinungen bei sehr tiefen Temperaturen¹⁾. — Eine Anzahl von Glasröhrchen, in denen Solide von Calcium, Strontium und Barium eingeschmolzen waren, wurden eine Minute lang dem Sonnenlichte bei gewöhnlicher Temperatur ausgesetzt und sodann in einen doppelwandigen, mit Stickstoffoxydul gefüllten Cylinder eingesetzt. Nach vier bis fünf Minuten hatten sie dann die Temperatur von -100° erreicht. Wurden die Röhrchen darauf in einen Dunkelraum gebracht, so zeigten sie erst keine Phosphorescenz. Mit fortschreitender Erwärmung stellte sich dieselbe jedoch ein, ohne dafs eine nochmalige Belichtung erforderlich gewesen wäre. Es ist also anzunehmen, dafs die Erscheinung der Phosphorescenz auf gewissen Molekularerscheinungen der Körper beruht. Durch Abkühlung verringert man nach und nach die Wärmeschwingungen und im gleichen Mafse ist eine Abnahme der Lichtwellen bemerkbar, bis zum gänzlichen Verlöschen der Phosphorescenz. R.

J. Dewar. Phosphorescenz und Lichtwirkung bei niederen Temperaturen²⁾. — Die Phosphorescenz und Fluorescenz beruhen beide darauf, dafs Lichtwellen absorbirt, in dem betreffenden Körper in solche von gröfserer Wellenlänge umgewandelt und dann wieder emittirt werden. Der Unterschied zwischen beiden Erscheinungen besteht darin, dafs bei der Fluorescenz die Absorption und Emission sich augenblicklich folgen, während bei der Phosphorescenz die Lichtenergie so zu sagen einige Zeit lang latent bleibt. Die Bedingungen für dieses Latenthleiben sind günstiger bei tiefen Temperaturen als bei hohen, vermuthlich wegen der gröfseren Unbeweglichkeit der Moleküle. Dewar beobachtete, dafs die Lichtemission ausnahmslos durch Erwärmen gesteigert wird, dafs aber die Fähigkeit, Licht einzusaugen, in der Kälte zunimmt. Bei Abkühlung auf -80° oder noch besser auf -200° wurden fast alle Substanzen phosphorescirend, auch solche, die bei gewöhnlicher Temperatur keine Spur von Phosphorescenz zeigen, wie z. B. Gelatine, Celluloid, Horn, Elfenbein, Paraffin, Eierschalen, Federn, Papier, Blumen, Milch u. s. w. — Besonders hervorzuheben ist die Phosphorescenz der Platinocyanide und der Ketone (Acetophenon, Aethylphenylaceton, Benzophenon u. s. w.), ferner von Asparagin, Hippursäure, Harnstoff, Creatin, Urethan, Succinimid, Triphenylmethan, Salzeylsäure u. s. w. — Auch Wasser phosphorescirt, besonders im nicht ganz reinen

¹⁾ Zeitschr. physik. Chem. 15, 386—388. — ²⁾ Chem. News 70, 252—253.

Zustände, ebenso Kohlenwasserstoffe, Alkohole und Säuren. — Bemerkenswerth ist die Thatsache, dafs von den Salzen nur die farblosen, nicht die gefärbten phosphoresciren. Ebenso verlieren Glas und Papier diese Eigenschaft durch Färbung, desgleichen Alkohole durch Zusatz von Jod. Die Vermehrung der Phosphoreszenz dürfte wohl auf eine Vergröfserung des Absorptionsvermögens in tiefen Temperaturen zurückzuführen sein. Dafs eine Aenderung der Absorptionsverhältnisse in gewissen Fällen eintreten kann, beweist die Entfärbung von Quecksilberoxyd, Jodid und Sulfid bei -80° . R.

Ernst Bandrowski. Ueber Lichterscheinungen während der Krystallisation¹⁾. — Die schon mehrfach beobachteten Lichterscheinungen bei Krystallisationsvorgängen glaubt Bandrowski nicht den bisherigen Anschauungen zufolge aus dem Zusammenstoß der Moleküle erklären zu sollen. Er nimmt vielmehr an, dafs die elektrischen Ladungen der sich bei der Krystallisation zu Molekülen vereinigenden Ionen in Form elektrischer Funken ausgeglichen werden. Es müssen demnach solche Lichteffekte überall da auftreten, wo die elektrolytische Dissociation in einer Lösung plötzlich und in hohem Mafse herabgesetzt wird. In einigen Fällen will er in der That solche Lichterscheinungen „in wahrhaft glänzender Art“ beobachtet haben. Wenn z. B. eine bei gewöhnlicher Temperatur gesättigte Lösung von Natriumchlorid mit der gleichen Menge Salzsäure vom spec. Gew. 1,12 versetzt wird, so soll man beim Umschütteln ein Aufleuchten der Lösung in blaugrünem Lichte bemerken, ja es sollen sogar stark blitzende, den elektrischen ähnliche Funken auftreten. Der Versuch soll sich sogar zum Vorlesungsexperiment eignen, vorausgesetzt, „dafs der Experimentator die richtige Concentration und Menge der Salzsäure durch Vorversuche ermittelt“. [Dem Ref. sind die Versuche niemals auch nur im Geringsten gelungen.] Beim Zurückdrängen der Dissociation durch Zusatz von Alkohol ist der Lichteffect geringer, aber dafür andauernder (einige Minuten lang!). Beim Kaliumchlorid und beim Kaliumbromid wurden ähnliche Beobachtungen gemacht. Weitere Forschungen auf diesem Gebiete verspricht der Verfasser in nächster Zeit zu veröffentlichen. R.

¹⁾ Zentr. physik. Chem. 15, 323—326.

Photochemie.

G. Lemoine. Experimentaluntersuchung über den der chemischen Lichtwirkung entsprechenden Energieaufwand ¹⁾. — Die Lichtabsorption in einem unter Einfluß der Bestrahlung reagierenden Gemisch setzt sich zusammen aus der „physikalischen“ Absorption, die statthaben würde, auch wenn keine Umsetzung sich abspielte, und einer „chemischen“ Absorption, die eine Umwandlung der Lichtenergie in chemische Energie darstellt. An einem Gemisch von Oxalsäure und Eisenchlorid in wässrigen Lösungen versuchte Lemoine die relative Größe dieser beiden Theile der Absorption experimentell festzustellen. Die physikalische Absorption wurde zunächst bestimmt als die Summe der Absorptionen in den beiden noch getrennten Lösungen oder richtiger als die Absorption in der Eisenchloridlösung allein, denn die Oxalsäurelösung erwies sich als nahezu vollkommen transparent. Wurden dann die Lösungen zusammengegossen, so trat die photochemische Umsetzung ein und zu der physikalischen Absorption kam die chemische hinzu. Eine Messung der Summe beider Absorptionen ergab indessen das Resultat, daß die chemische Absorption höchstens den Betrag von einigen Zehntausendsteln der physikalischen erreichen kann. Lemoine schließt daraus, daß keinesfalls etwa die zur Umsetzung von Oxalsäure und Eisenchlorid nöthige Energie durch das Licht geliefert wird. Diese Reaction verläuft exothermisch und es ist wahrscheinlich, daß der Ansicht von Berthelot entsprechend, die Wirkung der Bestrahlung nur eine auslösende, so zu sagen katalytische ist. R.

Joly. Temperatur und photochemische Wirkung ²⁾. — Die eine Hälfte einer orthochromatischen Platte wurde durch ein Gemisch aus fester Kohlensäure und Aether abgekühlt, die andere Hälfte wurde durch heißes Wasser erwärmt. Die Platte wurde so einige Secunden der Belichtung durch ein Spectrum exponirt. Es zeigte sich, daß die Empfindlichkeit gegen den rothen Theil des Spectrums bis zur Linie E durch die Abkühlung erheblich herabgesetzt war, jenseits dieser Linie, bis weit ins Ultraviolett hinein, dagegen war kein Einfluß des Temperaturunterschiedes zu bemerken. Eine gewöhnliche, nicht orthochromatische Platte zeigte dieselbe Erscheinung, jedoch in schwächerem Mafse. R.

¹⁾ Compt. rend. 118, 525–528. — ²⁾ Phot. Arch. 35, 279–280; Ref. Chem. Centr. 65, II, 274–275.

H. Luggin. Ueber eine lichtempfindliche Elektrode¹⁾. — Wie schon früher Becquerel, benutzte Luggin als lichtempfindliche Elektroden Platinplatten, die im Cyansilberbade galvanisch versilbert und darauf in normaler Bromkaliumlösung galvanisch bromirt wurden. Um Polarisationen durch Stromentnahme zu vermeiden, wurden die durch Belichtung erzeugten elektromotorischen Kräfte nicht mittelst Galvanometers, sondern mit einem Quadrantelektrometer gemessen. Als Elektrolyt diente in den meisten Fällen $\frac{1}{10}$ -normale Lösung von Bromkalium. Ein wesentlicher Kunstgriff zur Steigerung der Lichtempfindlichkeit besteht darin, daß die Elektroden vor dem Gebrauch im Dunkeln mit einer Kraft von etwa 1 Volt polarisirt werden. Die so behandelten Elektroden verändern ihr Potential bei andauernder schwacher Belichtung nahezu proportional zur Belichtungsdauer, bis ein für die Lichtstärke charakteristisches Maximum erreicht ist. Darauf nimmt das Potential ziemlich schnell wieder ab. Es lag der Gedanke nahe, daß die Aenderung des Potentials der Lichtstärke proportional sein würde, doch bestätigten die Versuche diese Vermuthung nicht, vielmehr ergab sich, daß für kleinere Lichtstärken die Empfindlichkeit der Elektroden eine relativ größere ist. Nicht minder auffallend, doch mit dem eben Erwähnten im Einklange stehend, ist der Umstand, daß die Empfindlichkeit sogar für dieselbe Lichtquelle eine andere wird, wenn zwischendurch kurze Zeit mit einer stärkeren Lichtquelle belichtet wurde. Ein continuirlich wirkender Lichtstrahl scheint jedoch denselben Effect hervorzubringen, wie ein langsam intermittirender von gleicher durchschnittlicher Helligkeit. Es ergibt sich also aus diesen Beobachtungen, daß die Empfindlichkeit einer Elektrode für dieselbe Lichtstärke je nach den Umständen eine recht verschiedene sein kann. Die Brauchbarkeit der Elektroden zu photometrischen Zwecken wird dadurch natürlich stark beeinträchtigt. R.

Max Roloff. Beiträge zur Kenntniss der photochemischen Wirkung in Lösungen²⁾. — Die Arbeit stellt einen Versuch dar, auf Grund der bisherigen Ergebnisse der Theorie der Lösungen solche chemische Umsetzungen in wässerigen Lösungen zu untersuchen, bei denen die Lichtwirkung eine entscheidende Rolle spielt. Der erste der behandelten Fälle ist eine bereits von Eder³⁾ als lichtempfindlich erkannte Mischung der wässerigen Lösungen von Quecksilberchlorid und Ammoniumoxalat. Die nur unter der Ein-

¹⁾ Zeitschr. physik. Chem. 14, 385—393. — ²⁾ Daselbst 13, 327—365. —

³⁾ Wien. Akad. Ber. [2] 1879.

Jahresber. f. Chem. u. n. w. für 1894.

wirkung des Lichtes verlaufende Reaction wurde von Eder durch folgendes Schema dargestellt: $2\text{HgCl}_2 + \text{C}_2\text{O}_4(\text{NH}_4)_2 = \text{Hg}_2\text{Cl}_2 + 2\text{CO}_2 + 2\text{NH}_4\text{Cl}$. Durch die Untersuchungen von Roloff ergab sich nun zunächst, daß hier nicht die undissociirten Moleküle in Wirkung treten, sondern daß eine Umsetzung zwischen den Ionengattungen vorliegt. Die nächste Frage, welche Ionen sich an der Reaction betheiligen, konnte durch eine Reihe von Versuchen dahin entschieden werden, daß die Wirkung des Lichtes sich als ein Austausch der elektrischen Ladungen zwischen den Mercurionen und den Oxalsäureionen darstellt, also dem

Schema: $2\text{Hg}^{++} + \text{C}_2\text{O}_4^{--} = 2\text{Hg} + 2\text{CO}_2$ gemäß verläuft. Auf Grund dieser Erkenntniß unternahm Roloff sodann den Versuch, durch Vermehrung der reagirenden Ionenmengen eine erhöhte Lichtempfindlichkeit des Gemisches zu erzielen. In der That konnte dieselbe auf den 3¹/₂-fachen Werth gesteigert werden, wenn an Stelle des Quecksilberchlorids das entsprechende Nitrat verwendet wurde. Die zweite von Roloff behandelte Lichtreaction ist die Einwirkung von Brom auf Oxalsäurelösungen, die sich zwar auch schon im Dunkeln abspielt, jedoch im Lichte erheblich beschleunigt wird. Die Untersuchung des Reactionsverlaufes bei Ausschluß der Lichtwirkung ergab auch hier als eigentlichen Grund der Umsetzung einen Austausch elektrischer Ladungen.

Das Oxalsäureion $\text{C}_2\text{O}_4^{--}$ giebt seine beiden negativen Elektricitäts-quanten an das Br_2 -Molekül ab, indem also Bromwasserstoffionen und freie CO_2 -Moleküle entstehen. Die Fähigkeit des Bromwasserstoffs, das noch vorhandene freie Brom anzulagern und dadurch an der Reaction zu verhindern, bedingt eine wesentliche Complication des Verlaufes. Die Anlagerung des Broms an den Bromwasserstoff und die verwandten Reactionen wurden von Roloff auf Grund des Massenwirkungsgesetzes in einem besonderen Abschnitte eingehend behandelt und qualitativ und quantitativ klar-gestellt. Nachdem so der Mechanismus der im Dunkeln verlaufenden Reaction in erforderlicher Weise aufgeklärt war, konnte die Frage in Angriff genommen werden, in welcher Weise der beschleunigende Einfluß des Lichtes sich darstellt. Die zu diesem Zwecke unternommenen Versuche machen es sehr wahrscheinlich, daß die Inactivirung der Brommoleküle durch Anlagerung an die allmählich entstehenden Bromionen im Lichte nicht denselben Betrag erreicht wie im Dunkeln, vermuthlich, weil durch die Belichtung auch die im Dunkeln inactiven Br_2 -Gruppen befähigt werden, mit den Oxalsäureionen zu reagiren. In zweiter Linie

bewirkt die Bestrahlung auch eine Beschleunigung des Elektricitätsaustausches zwischen den reagirenden Ionen selbst, so daß die Umsetzung im hellen Sonnenlichte etwa fünfmal so schnell verläuft wie im Dunkeln. *R.*

S. Rideal. Ueber den Jodkaliumzersetzungswerth des Sonnenlichtes in den Hochalpen ¹⁾. — Angesäuerte Jodkaliumlösungen wurden der Belichtung durch die Sonne ausgesetzt. Das ausgeschiedene Jod wurde mit Natriumbisulfit titirt. Die Verschiedenheit der Temperatur, sogar das theilweise Einfrieren der Lösung, wurde nicht in Rechnung gezogen. Die angeführte Zahlen-tabelle hat höchstens Interesse für die Meteorologie, ihre Zuverlässigkeit scheint vom chemisch-physikalischen Standpunkte aus sehr zweifelhaft. *R.*

A. Richardson. Ueber die Zersetzung der Oxalsäure unter Einwirkung des Sonnenlichtes ²⁾. — Von Downes und Blunt und von Duclaux ist bereits früher beobachtet worden, daß die Oxalsäure sich bei Belichtung in wässriger Lösung in Kohlensäure und Wasser spaltet. Daß als Nebenprodukt dabei Wasserstoffsuperoxyd auftritt, war ihnen aber entgangen. Richardson exponirte eine 5 proc. Lösung reiner Oxalsäure in Wasser fünf Tage lang dem Sonnenlicht und konnte nach dieser Zeit deutliche Spuren von Wasserstoffsuperoxyd darin nachweisen mit Titansäurelösung, Jodkalium und durch die Aether-Chromsäure-reaction, die freilich im vorliegenden Falle nur unter besonderen Vorsichtsmaßregeln brauchbar ist. Als nothwendige Bedingung für die Superoxydbildung erwies sich die Anwesenheit einer genügenden Menge Sauerstoff; in luftdicht verschlossenen Gefäßen zerfällt die Oxalsäure in Kohlensäure und Wasser. Um Klarheit über den Mechanismus der sich im einen und im anderen Falle abspielenden Reaction zu gewinnen, untersuchte Richardson zunächst das Verhalten von Oxalsäurelösungen im Dunkeln. Er fand in Uebereinstimmung mit früheren Beobachtern, daß verdünnte Lösungen sich allmählich zersetzen, concentrirte dagegen unzer-setzt haltbar sind. Ein zerstörender Einfluß der sich bei ungenügender Sterilisation bildenden Pilzvegetation war nicht zu bemerken. Bei höheren Temperaturen (100°) bleiben die Lösungen mittlerer Concentration unverändert, eine kalt gesättigte Lösung dagegen entwickelt reichlich Kohlensäure und Ameisensäure. Die Lichtstrahlen, und zwar die blauen, nicht aber die rothen, be-

¹⁾ Chem. News 70, 90–91. — ²⁾ Chem. Soc. J. 65, 450–470.

fördern die Reaction außerordentlich. Bei genügender Expositionsdauer wird die gesammte vorhandene Oxalsäure in Kohlensäure zerlegt, was durch besondere Versuche quantitativ festgestellt wurde. Ein Zusatz von Schwefelsäure, der im Dunkeln gänzlich wirkungslos bleibt, beschleunigt die Umsetzung im Lichte erheblich, um so mehr, je concentrirter die Schwefelsäure ist. Besondere Aufmerksamkeit wurde auf die Bildung des Wasserstoffsuperoxyds verwandt. Bei völligem Ablauf der Oxalsäurespaltung verschwand das Superoxyd am Schlusse der Umsetzung wieder, auch wenn die genügende Menge von Sauerstoff vorhanden war. Sehr beeinflusst wird die Bildung des Superoxyds durch die Gegenwart von Schwefelsäure. Während die entstandene Menge sonst eine lange Zeit hindurch stetig ansteigt, erreicht sie in schwefelsaurer Lösung sehr bald ein Maximum und nimmt von da an bis zu Ende der Reaction ab. Da Sauerstoff zur Bildung des Superoxyds erforderlich ist, wird dessen Entstehung befördert durch einen die Lösung durchstreichenden Sauerstoffstrom, behindert durch einen Kohlensäurestrom. Von der Concentration der Oxalsäure ist die Menge des Superoxyds ebenfalls abhängig. Die concentrirten Oxalsäurelösungen zersetzen sich relativ weniger als die verdünnten und die dabei entstehende Menge Superoxyd ist ein kleinerer Bruchtheil ($\frac{1}{10}$) der nach der Gleichung: $\text{H}_2\text{C}_2\text{O}_4 + \text{O}_2 = 2\text{CO}_2 + \text{H}_2\text{O}_2$ geforderten, als bei verdünnten Lösungen ($\frac{7}{10}$). Wird der Oxalsäurelösung von vorn herein Superoxyd zugesetzt, so findet im Dunkeln auch bei Gegenwart von Schwefelsäure für gewöhnlich keine Umsetzung statt, nur bei 100° wird reichlich Kohlensäure entwickelt. Im Lichte wird das Superoxyd durch die Oxalsäure reducirt, wenn nicht genügend freier Sauerstoff für die Reaction: $\text{H}_2\text{C}_2\text{O}_4 + \text{O} = 2\text{CO}_2 + \text{H}_2\text{O}$ vorhanden ist. Wird letzterer aber zugeführt, so bleibt die Superoxydmenge nahezu unangegriffen dieselbe. Bei der Zersetzung der reinen Oxalsäurelösung wird man also annehmen müssen, dass, so lange im Wasser genügender Luftsauerstoff gelöst ist, die Reaction nach dem Schema erfolgt: $\text{H}_2\text{C}_2\text{O}_4 + \text{O}_2 = 2\text{CO}_2 + \text{H}_2\text{O}_2$. Sowie aber ein Mangel an solchem eintritt — besonders bei der durch Schwefelsäurezusatz stark beschleunigten Reaction — wird das Superoxyd zerlegt: $\text{H}_2\text{O}_2 = \text{H}_2\text{O} + \text{O}$, und nunmehr zersetzt sich die Oxalsäure in Kohlensäure und Wasser: $\text{H}_2\text{C}_2\text{O}_4 + \text{O} = 2\text{CO}_2 + \text{H}_2\text{O}$. Das Auftreten eines Maximums der Superoxydmenge nach kurzer Zeit wird dadurch erklärlich. Zum Schlusse der Arbeit giebt Richardson eine neue Vorrichtung an zur Absorption von Kohlensäure durch Barytwasser.

R.

R. Ed. Liesegang. Lichtempfindliche Nickelsalze¹⁾. — Das unlösliche Nickeloxalat kann durch Zusatz von Kaliumoxalat zur Lösung gebracht werden. Diese Lösung wird lichtempfindlich, wenn organische Säuren (Citronensäure, Milchsäure) zugegen sind. Bei Gegenwart von Quecksilbernitrat wird das Kaliumnickeloxalat im Lichte schnell unter Schwärzung zersetzt. Oxalsäure, Ameisensäure und andere organische Säuren heben die Lichtempfindlichkeit des Kaliumnickeloxalat-Quecksilbernitratgemisches aber auf. Nickelacetat und Rhodanmonium färben gebleimtes Papier grün. Bei Belichtung nimmt die Färbung einen dunkleren Ton an. Eine reine Nickelacetatlösung zeigt die interessante Erscheinung der Krystallisationsbeförderung durch das Licht. R.

J. Wiesner. Einfluß der sogenannten chemischen Lichtintensität auf den Gestaltungsproceß der Pflanzenorgane²⁾. — Nach dem von Bunsen angegebenen photometrischen Verfahren mit lichtempfindlichem Papier wurde festgestellt, daß in unbelaubten Waldbeständen die Lichtintensität bereits stark geschwächt wird, und daß sie in belaubten Beständen auf einen schwachen Bruchtheil des ursprünglichen Werthes herabsinkt. Die immergrünen Gewächse scheinen die zur Entwicklung das Licht gebrauchenden Knospen deshalb bis an die Peripherie des alten Laubbestandes vor, bei den im Winter entlaubten Bäumen können dagegen die Knospen auch an tiefer gelegenen Stellen zur Ausbildung gelangen, da der entlaubte Baum das zum Wachsthum erforderliche Licht durchläßt. Von Sträuchern und Kräutern können im Laubwalde nur solche gedeihen, die entweder ihre Knospen oder Blätter vor den Bäumen entfalten oder die zur Entwicklung nur einer geringen Lichtmenge bedürfen (*Cornus sanguinea*). R.

J. J. Hummel. Lichtwirkung auf technische Farbstoffe³⁾. — Das zur Untersuchung dieser Frage eingesetzte Comité (Secrétaire J. J. Hummel) hat seine Versuche fortgesetzt und diesmal die gelben und orangefarbenen Farbstoffe in Betracht gezogen. Gefärbte Woll- und Seideproben wurden dem Sonnenlichte mehrere Monate hindurch ausgesetzt und je nach der Stärke des Ausbleichens wurden die entsprechenden Farbstoffe eingetheilt in fünf Classen: sehr flüchtig, flüchtig, mäßig beständig, beständig, sehr beständig. Unter der ersten Classe sind eine ganze Reihe von Farbstoffen, die im Laufe eines Monats schon vollständig

¹⁾ Phot. Arch. 35, 83–84; Ref.: Chem. Centr. 65, I, 884. — ²⁾ Wien. Akad. Ber. 102, I, 201; Naturw. Rundsch. 1894, S. 160–162. — ³⁾ Chem. News 70, 154–155, 160–170, 183–184.

verschwunden waren. Da eine Wiedergabe der Tabellen in Kürze nicht möglich ist, sei dieserhalb auf die Originalarbeit verwiesen. Als allgemeine Ergebnisse werden die folgenden angeführt. Unter den mehr oder weniger lichtunechten Farbstoffen befinden sich alle basischen Farbstoffe, alle Nitrophenole, ausgenommen Palatinorange (Ammoniumsalz des Tetranitro- γ -diphenols) und alle hellen Gelbtöne, die sich aus den natürlichen Farbstoffen ableiten mit Hilfe von Aluminium- oder Zinnbeizen, ausgenommen die Wau-farben. Auch verhältnißmäßig viel Azofarbstoffe finden sich in dieser Gruppe. Der deutliche Uebergang des Pikrinsäuregelbs in Orange ist schon länger bekannt und wird auf eine Reduction durch das Sonnenlicht zurückgeführt. Der ähnliche Uebergang des Aurantiaorange in Braun scheint noch nicht früher beobachtet zu sein. Unter den ziemlich beständigen bis sehr beständigen gelben Farbstoffen gehören die bei Weitem meisten der Gruppe der Azofarbstoffe an. Besonders wichtig sind diejenigen, welche die Salicylsäure als integrierenden Bestandtheil enthalten. Dieselben besitzen nicht allein die Fähigkeit, mit Chrom- und Aluminiumbeizen sehr beständige Lacke zu bilden, sondern häufig sind die Farben auch in hohem Grade lichtecht bei Abwesenheit von Beizen. Von Wichtigkeit ist die Bemerkung, daß die mit Aluminium gebeizten Farben praktisch ebenso echt sind als die mit Chrombeizen fixirten, da die ersteren gewöhnlich leuchtender und reiner gelb sind. Die Zinnbeize scheint in Verbindung mit den meisten Azofarbstoffen unvorthellhaft zu sein, so schätzenswerth sie auch bei den natürlichen Farbstoffen zur Hervorbringung von brillanten gelben und orangefarbenen Tönen ist, wahrscheinlich weil die ersteren für die reducirende Wirkung der Beize (Stannochlorid) zugänglich sind. Die Azooxyfarben sind sehr lichtecht. Obwohl sie auf Wolle fleckige Färbung erzeugen, eignen sie sich sehr gut für Seide und Baumwolle. Ebenfalls interessant ist die kleine Gruppe der Tartrazin enthaltenden Farbstoffe, die sich durch Lichtehtheit und brillante und reine Töne auszeichnen. Alizarinorange ist ebenfalls als sehr haltbar hervorzuheben, im Gegensatz zu den sonstigen Alizarin-farben. Von den natürlichen gelben Farbstoffen sind außer dem Wau auffallend wenige lichtecht, und zwar nur die mit Chrombeizen erhaltenen olivengelben Töne. Die allgemein verbreitete Meinung, daß die aus dem Kohlen-theer gewonnenen Farbstoffe nicht so haltbar seien als die natürlichen, wird durch die vorliegenden Versuche also durchaus widerlegt. Mit viel größerem Rechte kann man gerade das Gegentheil behaupten, besonders für die gelben und rothen Farbstoffe. R.

R. Ed. Liesegang. Nascirendes Silber¹⁾. — Nach Annahme des Verfassers soll in der mit einem Entwickler versetzten Silberlösung das Silbersalz momentan reducirt werden, dagegen soll längere Zeit verstreichen, ehe das suspendirte Silber aus der Lösung abgeschieden wird. Das Vorhandensein von Krystallisationscentren befördert diesen letzteren Proceß natürlich erheblich, indem sich die Silbermoleküle an ihnen zusammenballen. Bei der Entwicklung einer photographischen Platte würden die behandelten Stellen als solche Krystallisationscentren anzusehen sein.

R.

R. Ed. Liesegang. Das latente Bild²⁾. — Von Kogelmann ist berechnet worden, daß ein isolirtes Bromsilberkorn einer Trockenplatte den mittleren Durchmesser 0,001 mm besitzt. Da nun der Durchmesser eines Bromsilbermoleküls auf 0,000001 mm geschätzt werden kann, so würde ein solches Korn 1000 Millionen Einzelmoleküle enthalten. Wenn nach Kogelmann nur $\frac{1}{1000}$ des in der Trockenplatte vorhandenen Bromsilbers durch das Licht verändert wird, so besagt dies also, daß nur die Oberfläche eines Kornes eine chemische Umwandlung erleiden kann. Hierfür spricht auch der Umstand, daß die Einwirkung von Ferribromid das latente Bild zerstört, denn die Lösung desselben kann nur an die Oberfläche, nicht aber ins Innere des Kornes gelangen. Liesegang glaubt nun, daß aus diesem Grunde eine chemische Theorie nicht allein im Stande ist, den Uebergang des latenten in das sichtbare Bild zu erklären, sondern daß noch eine fermentartige Wirkung der an der Oberfläche des Kornes liegenden Moleküle auf die inneren bei dem Reduktionsvorgang hinzukommen muß.

R.

G. Bredig. Die elektromotorische Reihe der photographischen Entwicklungslösungen³⁾. — Der nach dem Schema $2\text{HgBr} + \text{R} + \text{H}_2\text{O} = 2\text{Ag} + 2\text{HBr} + \text{RO}$ verlaufende Proceß der Entwicklung einer photographischen Platte läßt sich als ein galvanischer Vorgang auffassen. Das AgBr wirkt als Oxydationsmittel, indem es negative Br-Ionen in die Lösung entsendet und seine positiven Ag-Ionen zu entladen sucht. In der Spannungsreihe der Oxydationsmittel würde es zwischen Kaliumferrooxalat und Natriumsulfit zu stehen kommen. Ein Zusatz von Bromkalium setzt die elektrolitische Dissociation des Bromsilbers herab,

¹⁾ Phot. Arch. 35, 129—133; Ref.: Chem. Centr. 65, I, 1074. — ²⁾ Daselbst, S. 305—308; Ref.: Chem. Centr. 65, II, 907—908. — ³⁾ Maudsl. f. Naturw. 19, 56—59; Ref.: Chem. Centr. 66, I, 307.

vermindert also die Ionenzahl und verlangsamt damit den Proceß der Entwicklung, was in der photographischen Technik schon seit längerer Zeit bekannt ist und benutzt wird. Die Wirksamkeit einer Entwicklungslösung auf das Bromsilber ist durch den Potentialunterschied zwischen Bromsilber und dem Entwickler bedingt. Je größer dieser Unterschied ist, desto energischer wirkt der Entwickler, und die Brauchbarkeit eines solchen läßt sich also sehr einfach durch eine Messung seines Potentials gegen die Lösung zahlenmäßig ausdrücken. Ist das Potential des Entwicklers kleiner als dasjenige des Bromsilbers, so findet naturgemäß keine Entwicklung statt, es kann im Gegentheil das Bromsilber dann regeneriert werden. Dafs die Concentration, mit der ein Entwickler angewendet wird, von erheblichem Einflufs sein kann, ist nach dem Vorhergehenden selbstverständlich. R.

R. Ed. Liesegang. Zur Theorie der chemischen Entwicklung¹⁾. — Unbelichtetes Bromsilber schwärzt sich im Entwickler, wenn es mit metallischem Silber in Berührung gebracht wird. Hieraus ist nach Ansicht des Verfassers zu erklären, dafs bei zu langer Entwicklung einer belichteten Platte Verschleierung eintritt. Das an den belichteten Stellen durch die Entwicklung gebildete metallische Silber wirkt auf die benachbarten unbelichteten und daher für gewöhnlich vom Entwickler nicht angegriffenen Bromsilbermoleküle reducierend unter Bildung von Silberbromür, das nunmehr vom Entwickler weiter zu Silber umgewandelt wird. Das neue Silberatom wirkt auf die nächsten Bromsilbermoleküle ein und so findet eine allmähliche Vermischung der Grenzen zwischen den belichteten und unbelichteten Theilen statt. Liesegang glaubt, dafs diese Theorie einer Erklärung durch galvanische Vorgänge vorzuziehen sei. R.

R. Ed. Liesegang. Entwickler für Eisenoxalathilder²⁾. — Auf Papier belichtetes Ferrioxalat und Kaliumferrioxalat werden gleichmäßig zu Ferrosalzen reducirt. Ein wesentlicher Unterschied zeigt sich aber bei Behandlung mit p-Amidophenol. Die Ferrioxalathilder werden hierdurch an den unbelichteten, die Kaliumferrioxalathilder an den belichteten Stellen kräftig bla gefärbt. Die Ferrioxalathilder sind dabei viel intensiver als die anderen. Ferrocyankalium ist für Kaliumferrioxalathilder ein brauchbarer Entwickler, die belichteten Stellen werden hierdurch intensiv blau gefärbt, die unbelichteten sollen weifs

¹⁾ Phot. Arch. 35. 81—88; Ref.: Chem. Centr. 65, I, 884. — ²⁾ Phot. Arch. 35. 113—115; Ref.: Chem. Centr. 65, I, 952.

bleiben. Für Ferrioxalatbilder ist Ferrocyankalium weniger geeignet, die unbelichteten Stellen werden zwar tiefblau, doch erscheinen auch die belichteten schwach blau verändert. Kaliumdichromat färbt das Ferrioxalatpapier an den belichteten Stellen grün, die nicht belichteten bleiben farblos. Werden die Ferrioxalatbilder im unentwickelten Zustande einige Tage im Dunkeln aufbewahrt, so verlieren die belichteten Stellen die Fähigkeit, Silbersalze zu reduciren. Das Ferrioxalat scheint durch den Luftsaauerstoff wieder in Ferrioxalat überzugehen.

R.

R. Ed. Liesegang. Zur Chemie der Entwickler¹⁾. — Die von Liesegang aufgestellte Hypothese, daß die aromatischen Entwickler zerfallen unter Abspaltung von Wasserstoffsuperoxyd und Hydrazin oder Hydroxylamin, ist von Lumière und Seyewetz dadurch widerlegt worden, daß keines dieser Zerfallproducte in der Entwicklungsflüssigkeit nachgewiesen werden konnte und dadurch, daß auch die Art der Entwicklung eines Gemisches von Benzol und Hydroxylamin verschieden ist von der des p-Amidophenols. Liesegang bemerkt dem gegenüber, daß er seine Hypothese nur als „Arbeitshypothese“ benutzt habe und daß er sich den Zerfall vielmehr nach Art der elektrolytischen Dissociation denkt.

R.

R. Ed. Liesegang. Entwickler für Bromsilbergelatine²⁾. — Als Entwickler für Trockenplatten sind brauchbar: Mischungen aus Ferrosulfat und o-Amidophenol, aus Ferrosulfat und Natriumcarbonat, aus aromatischen Entwicklern und Natriumcarbonat, aus Ferrosulfat und Natriumsulfat. Nicht brauchbar sind: Die Sulfoderivate des Dihydroxylamins und des Hydroxylamins, das phenylhydrazinsulfosaure Kali und Stannosalze. Es ist vorthellhaft, Bromsilberplatten durch Behandeln mit zwei getrennten Lösungen zu entwickeln. Erstens sind die Entwickler dann haltbarer und zweitens kann man auch unlösliche Stoffe als Entwickler benutzen. Wird ein Bromsilberbild erst in Natriumcarbonat, dann in Ferrosulfat gebracht, so entsteht auf der Platte ein Niederschlag von Ferrocyanat, das noch kräftiger wirkt als Kaliumferrioxalat. Ein etwa in der Schicht gebildeter Niederschlag kann durch Auswaschen mit Säuren leicht wieder entfernt werden.

R.

Gebr. Lumière und Seyewetz. Ueber eine neue Classe von Entwicklern³⁾. — Als Entwickler werden empfohlen: Phenyl-

¹⁾ Phot. Arch. 35, 369—371, 385—387, Ref.: Chem. Centr. 66, I, 307. —

²⁾ Phot. Arch. 35, 115—117; Ref.: Chem. Centr. 65, I, 983. ³⁾ Phot. Arch. 35, 291—293; Ref.: Chem. Centr. 65, II, 907.

hydroxylamin sowie p- und o-Tolyhydroxylamin, die aus dem Hydroxylamin entstehen, indem ein Wasserstoffatom durch aromatische Radicale ersetzt wird. Vor den isomeren Amidophenolen haben diese Entwickler den Vorzug, daß sie nicht nur wie jene in alkalischer, sondern auch in rein wässriger Lösung Verwendung finden können.

R.

G. A. Le Roy. Ueber die Entwicklung des latenten photographischen Bildes durch die Alkalisuperoxyde¹⁾. — Die reduzierenden Eigenschaften der Superoxyde in wässriger Lösung können zur Entwicklung photographischer Platten benutzt werden. Doch ist zu bemerken, daß die Wirkung der Alkalisuperoxyde derjenigen der anderen in der Photographie gewöhnlich benutzten Entwickler bedeutend nachsteht. Die Expositionszeit der Platten muß verlängert werden und überdies wird das entwickelte Bild, das aus einem Gemisch von metallischem Silber und Silberoxyd besteht, beim Fixiren in Hyposulfit- oder Sulfocyanalkaliumlösungen wieder geschwächt.

R.

R. Ed. Liesegang. Neue Entwickler für Eisenchloridbilder²⁾. — Eisenchloridpapier wird durch Belichtung entfärbt in Folge der Reduction des Chlorids zu Chlorür. Die Entwicklungsmethoden beruhen auf dem verschiedenen Verhalten der beiden Salze gegen die Entwickler. Durch salzsaures Paraamidophenol und Hydrochinon wird das unbelichtete Ferrisalz blauschwarz gefärbt, während das Ferrosalz an den belichteten Stellen unverändert bleibt. Durch Behandlung mit Wasser wird letzteres herausgelöst, die durch den Entwickler geschwärzten Stellen werden nicht verändert. Diamidophenol und Rhodansalze färben die unbelichteten Stellen purpurroth, doch wird die Farbe durch Wasser wieder ausgewaschen, die Reaction ist also praktisch nicht zu verwenden. Ammoniummolybdat giebt mit dem Eisenchlorür eine tiefbraune Färbung, mit dem Eisenchlorid einen weißen Niederschlag. Beim Auswaschen mit Wasser wird der braune Farbstoff aufgelöst und an den nicht belichteten Stellen niedergeschlagen, so daß sich das Bild umkehrt. Das Umgekehrte findet bei Verwendung von Fluorescein statt. Dieses giebt mit Eisenchlorid einen rothschwarzen Niederschlag, der beim Auswaschen auf die belichteten Stellen übergeht, so daß ein umgekehrtes Bild entsteht. Methylviolett färbt sowohl die belichteten wie die unbelichteten Stellen violett, allerdings mit verschiedener Intensität, doch sind die Tonunter-

¹⁾ Compt. rend. 119, 557. — ²⁾ Phot. Arch. 35, 33—34; Ref.: Chem. Centr. 65, I. 555—556.

schiede für eine praktische Verwendung zu gering. Ammoniumvanadat färbt die belichteten Stellen olivengrün. *R.*

*R. Ed. Liesegang. Lichtgerbung*¹⁾. — Die beim Lichtdruckverfahren, Kohledruck u. s. w. als lichtempfindliche Substanz verwendete Chromgelatine hat den Nachtheil, daß sie stets frisch dargestellt werden muß, da sie bei längerem Liegen auch im Dunkeln ihre Quellungsfähigkeit verliert. Die Versuche des Verfassers, eine von diesem Nachtheile freie Substanz als Ersatz zu finden, sind bisher erfolglos geblieben. Nur das Bromsilber könnte in einigen Fällen verwendbar sein. *R.*

*Izarn. Neue Verwendung der Chromgelatine*²⁾. — Der Verfasser hat die Bemerkung gemacht, daß ein Chromgelatineüberzug Silber Spiegel gegen die Einwirkung der atmosphärischen Gase, besonders gegen den Schwefelwasserstoff schützt. Er hat deshalb Versuche angestellt, die Spiegel der Teleskope zu gelatiniren und dadurch haltbarer zu machen. Nach den Beobachtungen der Sternwarte zu Toulouse hat sich dieses Verfahren in hervorragendem Maße bewährt. *R.*

*R. Ed. Liesegang. Neue Fixirsalze*³⁾. — Liesegang theilt Beobachtungen mit über eine Anzahl von Stoffen, die in der Photographie zum Fixiren, d. h. Herauslösen des unzersetzten Silberhalogens aus der Platte, zu verwenden sind. Methylamin bietet keine wesentlichen Vorzüge vor dem Ammoniak. Thiosinamin löst Chlorsilber nach Valenta im gleichen Maße wie Fixirnatronlösung. In concentrirten Rhodanaluminiumlösungen ist Chlorsilber sehr leicht löslich, beim Zusatz von Wasser fällt es wieder aus. Bei Zusatz von Salzlösungen wird Rhodansilber abgeschieden. Rhodanammonium und der isomere Sulfocarnstoff lösen Chlorsilber gleich gut, wenn ihre Lösungen concentrirt sind. Durch Wasserzusatz fällt das Chlorsilber aus der Rhodanammoniumlösung wieder heraus, aus der Sulfocarnstofflösung dagegen nicht. Cyanamid und sulfocyan-saures Guanidin lösen Chlorsilber nicht. Natriumxanthogenat löst Chlorsilber und Bromsilber, sulfocarbonsaures Natron dagegen löst die beiden Haloide nicht. *R.*

*R. Ed. Liesegang. Rhodanammon, Sulfocarbamid und Thiosinamin*⁴⁾. — Wie bereits mitgetheilt wurde (s. vorst. Ref.), ist das Rhodanammonium als Fixirmittel nicht zu gebrauchen, weil es beim Verdünnen mit Wasser das Chlorsilber wieder ausfallen

¹⁾ Phot. Arch. 35, 65—67; Ref. Chem. Centr. 65, I, 798. — ²⁾ Compt. rend. 118, 1314—1315. — ³⁾ Phot. Arch. 35, 17—20; Ref. Chem. Centr. 65, I, 447. — ⁴⁾ Phot. Arch. 35, 97—98; Ref. Chem. Centr. 65, I, 896.

läßt. Sulfoharnstoff hat diesen Nachtheil zwar nicht, bei Gegenwart von Silbernitrat entsteht jedoch ein voluminöser weißer Niederschlag, was beim Auscopirproceß störend wirkt. Thiosinamin verhält sich wie Sulfoharnstoff, die entstehende Fällung ist jedoch im Ueberschuß von Thiosinamin, Silbernitrat und auch von Wasser leicht löslich. Der Verwendung des Thiosinamins als Fixirmittel steht also nichts entgegen. R.

J. M. Eder. Kallitypie, Similiplatinproceß¹⁾. — Die chemische Umsetzung bei Belichtung des mit Silberoxalat und Ferrioxalat präparirten „Kallitypiepapier II“ von Nicol soll nach den Gleichungen verlaufen: $\text{Fe}_2(\text{C}_2\text{O}_4)_3 = 2\text{FeC}_2\text{O}_4 + 2\text{CO}_2$, $2\text{FeC}_2\text{O}_4 + \text{Ag}_2\text{C}_2\text{O}_4 = \text{Fe}_2(\text{C}_2\text{O}_4)_3 + 2\text{Ag}$, so daß also schließlich Silber ausgeschieden wird. Die Entwicklung erfolgt durch Kaliumoxalat, welches das belichtete Silberoxalat kräftig reducirt. Das Similiplatinpapier von E. Boidin wird in ähnlicher Weise hergestellt durch Präpariren mit Silberoxalat und Natriumferrioxalat. Die Lichtreaction verläuft hier in ganz analoger Weise, die Entwicklung erfolgt durch heiße Wasserdämpfe. Beide Processe sind dem der Platinotypie ganz analog und ebenso wie dort befördern die Alkalioxalate die secundäre Reaction des Metalles. R.

E. Valenta. Versuche über den praktischen Werth des Similiplatinpapiers und Nicol's Kallitypiepapier²⁾. — Das Similiplatinpapier von Boidin wurde unter einem Negativ so lange belichtet, bis die tiefsten Schatten rothviolett erschienen, und dann mit heißem Wasserdampf behandelt. Fixirt wurde mit einer Lösung aus 1000 g Wasser, 80 g Fixirnatron und 20 bis 40 cem 1 proc. Goldchloridlösung. Die blauschwarzen Bilder stehen hinter den Platinotypen weit zurück in Wärme des Tons und Wiedergabe der Halbtöne. Das Kallitypiepapier Nr. 2 von Nicol liefert je nach Behandlung beim Entwickeln blauschwarze oder purpurrothe Töne. Auch hier ließen die erhaltenen Copien vieles zu wünschen übrig. R.

R. Ed. Liesegang. Platintonung³⁾. — Der Proceß der Platintonung besteht darin, daß alles Silber der Copie durch Platin ersetzt wird nach der Gleichung: $4\text{Ag} + \text{PtCl}_4 = 4\text{AgCl} + \text{Pt}$. Die Deckkraft der 194,4 Thle. Platin ist nun aber nicht so groß wie die von $4 \cdot 108 = 432$ Thln. Silber. Man muß also, um nicht zu schwache Bilder zu erhalten, eine sehr kräftige

¹⁾ Phot. Corr. 1892; Dingl. pol. J. 291, 95—96. — ²⁾ Phot. Corr. 1892; Dingl. pol. J. 291, 96. — ³⁾ Phot. Arch. 35, 241—242; Ref.: Chem. Centr. 65, II, 541.

Silbercopie verwenden. Ist die fragliche Silbercopie nicht stark genug, so kann man dieselbe verstärken durch Eintauchen in eine Lösung mit Silbersalz mit einem Entwickler, aus der nascirendes Silber ausgeschieden wird. Das letztere schlägt sich auf den mit Silber bedeckten Stellen der Copie nieder, weil diese bei der Ausscheidung so zu sagen als Krystallisationscentren wirken. R.

R. Namias. Ueber das Tönen von photographischen Silberbildern mit den Ferrocyaniden der Metalle ¹⁾. — Dieser Tonungsproceß spielt sich in zwei Phasen ab. Die erste besteht darin, daß das metallische Silber des Silberbildes beim Eintauchen in eine Lösung von Ferricyankalium dieses Salz zu Ferrocyanidum reducirt unter gleichzeitiger Bildung von Silberferrocyanid nach der Gleichung: $2\text{Ag} + 2\text{K}_3\text{Fe}_2\text{Cy}_{12} = 3\text{K}_4\text{FeCy}_6 + \text{Ag}_2\text{FeCy}_6$. In der zweiten Phase des Processes wirkt das Kaliumferrocyanid auf ein vorhandenes Salz eines anderen Metalles ein unter Bildung eines färbenden Metallferrocyanides. Das Silberferrocyanid bleibt hierbei unverändert. Je nach der gewünschten Färbung kann man in der zweiten Phase der Tonung verwenden: Uran-, Ferri-, Kupfer- und Molybdänsalze. Nähere Vorschriften für die einzelnen Fälle werden in der Originalarbeit angegeben. R.

F. E. Ives. Die Lumière - Lippmann'sche Farbenphotographie ²⁾. — Ives hat ein Photochromoskop erfunden, das farbige Bilder in der Weise reproducirt, daß je eine bei grüner, gelber und rother Beleuchtung des Objectes aufgenommene und mit entsprechender Färbung gedruckte Platte dem Auge durch Spiegelung gleichzeitig sichtbar gemacht werden. Er hebt hervor, daß sein Verfahren der farbigen Reproduction den Aufnahmen von Lippmann und Lumière überlegen ist. Dieselben benutzen bekanntlich nur eine einzige Platte, auf der stehende Lichtwellen erzeugt werden und so die Farben dünner Blättchen hervorrufen. Für reine Spectralfarben sind beide Verfahren ausreichend, doch versagen sie bei der Wiedergabe von Mischfarben, indem sie leicht einzelne Töne derselben auslassen. Ives glaubt ihnen daher keine so günstige Zukunft voraussagen zu sollen wie seinem eigenen Verfahren, das nebenbei noch den Vorzug größerer Einfachheit in der technischen Herstellung besitzt. R.

¹⁾ Bayer. Ind.- u. Gew.-Bl. 26, 529—530; Ref.: Chem. Centr. 65. II. 792.

— ²⁾ J. Frankl. Inst. 147, 16.

Elektrochemie.

Allgemeines.

G. Johnstone Stoney. Ueber das Elektron oder Atom der Elektricität¹⁾. — Stoney beansprucht die Priorität für den Gedanken an eine atomistische Theilung der Elektricität gegenüber Helmholtz. Dem Referenten scheint es jedoch so, als ob der Verfasser nicht die Untheilbarkeit einer solchen Ioneineinzelladung ausgesprochen hat, sondern es nur für praktisch hält, die sie immer gleiche Elektricitätsmenge als Mengeneinheit anzunehmen. Wir haben hier also eher einen Vorläufer für die elektrochemische Einheit der Elektricitätsmenge, lediglich mit dem Unterschiede, daß Stoney die Ladung eines Einzelions meint, während man in der Elektrochemie aus einfachen Gründen die Ladung eines Grammions nimmt ($1 F = 96540$ Coulomb). B.

W. Nernst. Methode zur Bestimmung von Dielektritätsconstanten²⁾. — Die Dielektritätsconstante einer Substanz ist neben der elektrischen Leitfähigkeit die wichtigste Constante für das elektrische Verhalten einer Substanz und daher besonders gut zur Charakterisirung von Substanzen geeignet. Als Dielektritätsconstante definiren wir am einfachsten das Verhältniß der Capacitäten zweier gleicher Condensatoren, von denen der erste mit der dielektrischen Substanz, der zweite mit der Normalsubstanz (Luft) gefüllt ist. Da die Dielektritätsconstante sich im Verhältniß von beinahe 1:100 ändern kann, so dürfte sie auch für die analytische Untersuchung von Flüssigkeitsgemischen häufig von größerem Vortheil sein können, als etwa die Aenderungen von Brechungsindex und Dichte. Die Methode beruht auf der Anwendung der Wheatstone'schen Brücke für Wechselströme, bei welcher nicht nur die Widerstandsproportion zum Schwingen des Telephons erforderlich ist, sondern auch bezüglich Selbstinduction und Capacität gleichzeitig noch entsprechende Proportionen erfüllt sein müssen. Es ist auch möglich, zwei Zweige der Brücke etwa durch reine Condensatoren zu ersetzen. Während nun bei leitenden Flüssigkeiten die Condensatormethode zur Bestimmung von Dielektritätsconstanten bisher versagte, kann man in der Condensatorbrücke einem durch Leitfähigkeit leer gewordenen Condensator im anderen Brückenarme ebenfalls einen leeren Condensator gegenüberstellen, dem man die Leitfähigkeit

¹⁾ Phil. Mag. 38, 418—420. — ²⁾ Zeitschr. physik. Chem. 14, 622—663.

durch einen künstlichen Nebenschluss erteilt. Es ist dann außer der Capacitätsabgleichung noch eine Widerstandsabgleichung vorzunehmen, um ein vorzügliches Telephonminimum zu erhalten. Man kann also bei einer Messung gleichzeitig Leitfähigkeit und Dielektricitätsconstante erhalten. Was die Herstellung der Apparate betrifft, so muß hier auf das Original verwiesen werden und seien nur die Hauptpunkte hier erwähnt. Die Wechselströme für die Brücke werden mit Hülfe eines kleinen Inductoriums erzeugt, das eine ziemlich hohe Unterbrechungszahl, 1000 bis 1500 Schwingungen, besitzt und ziemlich hohe Spannung giebt; als Unterbrecher dient eine lose gespannte Saite, die keinen Ton von bestimmter Höhe, sondern ein Rasseln giebt. Als Verzweigungs- und Einstellvorrichtungen dienen zwei Glasröhren mit Magnaninlösung (einem Elektrolyten von sehr kleinem Temperaturefficienten) gefüllt. In den beiden anderen Zweigen der Wheatstone'schen Brücke wird je ein Meßcondensator mit veränderlichem Nebenschluss angewandt. Die Meßcondensatoren bestehen jeder aus zwei parallelen Messingplatten, zwischen welche Glasplatten geschoben werden können, die die Capacität auf das Drei- bis Vierfache zu vergrößern gestatten. Als variable Nebenschlüsse dienen ebenfalls Glasröhren mit Magnaninlösung, und zwar ist auf jeder Seite eine enge Röhre mit verschleißbarem Draht für schlecht leitende und eine etwas weitere Röhre mit verstellbarer Plattenelektrode für besser leitende Lösungen vorgesehen. Als dielektrischer Trog dienen kleine Nickelcondensatoren mit Ebonitdeckel, die nur wenige Cubikcentimeter Flüssigkeit fassen. Dieser Trog wird abwechselnd dem einen und dem anderen Meßcondensator zugeschaltet; die Versuchsanordnung ist sonst völlig symmetrisch. In weiteren Abschnitten werden eingehend behandelt: Einige Abänderungen der Versuchsanordnung, Verwendbarkeit des Apparates zur Bestimmung der elektrischen Leitfähigkeit, Besprechung der Fehlerquellen, Einfluß der galvanischen Polarisation, absolute Bestimmung von Dielektricitätsconstanten, Messungen, Vergleich mit der elektrometrischen Methode.

Bs.

Charles Thwing. Eine Beziehung zwischen Dielektricitätsconstante und chemischer Constitution des Dielektricum¹⁾. — Zur Messung der Dielektricitätsconstante folgt Verfasser einer Idee von Hertz, welche auf der Resonanz elektrischer Schwingungen beruht. Haben zwei Systeme dieselben Selbstinductionen, so werden auch ihre Capacitäten gleich sein, so lange die beiden

¹⁾ Zeitschr. physik. Chem. 14, 286—300.

Systeme mit einem dritten in Resonanz stehen. Die Methode verwendet einen primären Kreis mit variablem Luftcondensator und Inductorium und einen secundären, dessen variabler Condensator durch den Mefsecondensator ersetzt werden kann. Die Resultate der zahlreichen Messungen werden tabellarisch wiedergegeben. Da die vom Verfasser für Mischungen von Wasser mit einigen Alkoholen u. s. w. singuläre Punkte aufweisen, glaubt Verfasser an die Existenz bestimmter Hydrate, die diesen Punkten entsprechen würden. Verfasser versucht ferner die Dielektricitätsconstante als additive GröÙe zu erweisen und berechnet sie nach der Formel:

$$K = \frac{D}{M} (\alpha_1 K_1 + \alpha_2 K_2 + \dots).$$

Hier bedeutet D die Dichte, M das Molekulargewicht, α_1 und α_2 die Anzahl von Atomgruppierungen derselben Art, K_1 und K_2 die Dielektricitätsconstanten derselben. Die letzteren werden an einfachen Verbindungen bestimmt. Es ist dann:

$$\begin{array}{ll} K_C = 31,2 & K_O = 41,2 \\ K_H = 2,6 & K_{OH} = 1356,0 \end{array}$$

Bei festen Körpern glaubt Verfasser gefunden zu haben, daß bei ihnen K gleich dem Product von K_H und dem Molekulargewicht sei.

Schwefel verlangt aber den Werth: $K_S = \frac{M \cdot K_H}{2}$. Für Wasser

ergibt sich $K_{\text{ber}} = 75,50$, $K_{\text{gef}} = 75,50$ bis 78,00. Der Ameisensäure wird die Formel $\text{OH}-\text{C}-\text{OH}$ gegeben¹⁾, womit Berechnung und Beobachtung allerdings übereinstimmen. Schwefelkohlenstoff hat die Constante 2,61 bis 2,30 (ber. 2,47), Schwefel 2,69 (ber. 2,58). Wasser, Eisessig, Zucker verhalten sich in festem Zustande so, als ob die Hydroxylgruppen, denen sie im flüssigen Zustande ihre großen Dielektricitätsconstanten verdanken, nicht vorhanden wären. *Mr.*

A. Pérot. Dielektricitätsconstante des Eises²⁾. — Pérot hat durch Messung der Wellenlängen elektrischer Schwingungen in Luft und Eis den Brechungsquotienten für elektrische Wellen und das Quadrat desselben, die Dielektricitätsconstante des Eises bestimmt. Bei früheren Versuchen ist ihm dabei ein Fehler untergelaufen, den er jetzt corrigirt und findet nunmehr:

$$\begin{array}{ll} n = \sqrt{K} = 1,43 & \\ K = 2,04 & \text{Bs.} \end{array}$$

¹⁾ Vgl. dazu auch die Studien von Nef, der eine ähnliche Formel der Ameisensäure zu vertheidigen sucht. — ²⁾ Compt. rend. 119, 601.

T. Beaulard. Dielektricitätsconstante des Glases¹⁾. — Die Dielektricitätsconstante eines Glases wird durch Ladung und Entladung desselben Condensators ohne und mit Glas bestimmt und besonders der Einfluss der Ladungszeit mit Hilfe einer an der Atwood'schen Fallmaschine angebrachten Vorrichtung studirt. *Bs.*

Leo Arons. Ueber die Dielektricitätsconstanten fester und optische Brechungsexponenten geschmolzener Salze²⁾. — Arons kritisiert zunächst die Arbeit Bouty's (J.R. f. 1892, S. 436) über Dielektricitätsconstanten geschmolzener Salze, indem er nachweist, dass auch bei wesentlich besseren Mitteln die Methode wegen der zeitlichen Aenderungen der Dielektricitätsconstante große Schwierigkeiten bietet. Sodann wird eine Methode zur Bestimmung optischer Brechungsindices an geschmolzenen Salzen beschrieben, deren Resultate an solchen und einigen anderen Substanzen die folgenden sind:

KNO ₃	$n = 1.404$	KClO ₄	$n = 1.397$
NaNO ₃	1.455	NaClO ₄	1.439
LiNO ₃	1.498	S	1.962
AgNO ₃	1.691	Paraffin	1.499
TiNO ₃	1.746	Kolophonium	1.53

Bs.

B. W. Stankewitsch. Experimentelle Beiträge zur Kenntniss der dielektrischen Polarisation von Flüssigkeiten³⁾. — Der Verfasser hat eine neue Modification der bekannten „Capacitätsmethode“ zur Bestimmung von Dielektricitätsconstanten ausgearbeitet, die gewisse Vortheile bietet: Sie nimmt nur kleine Substanzmengen in Anspruch und gestattet auch Vergleichsversuche zwischen zwei verschiedenen Flüssigkeiten. Da aber der Inhalt der Abhandlung sonst eigentlich nur physikalisch Interessantes bietet, möge dieser Hinweis genügen. *Bs.*

Reginald A. Fessenden. Ueber die Messung der Dielektricitätsconstanten von Wasser, Alkohol etc.⁴⁾. — Fessenden glaubt, dass die hohen von Cohn u. Arons gefundenen Werthe der Dielektricitätsconstanten des Wassers, die mit dem Quadrate des Brechungsindex nicht stimmen, durch elektrolytische Capacität hervorgerufen und daher falsch sind. *Bs.*

W. C. Röntgen. Ueber den Einfluss des Druckes auf die Dielektricitätsconstante des Wassers und des Aethylalkohols⁵⁾. — Durch Röntgen und Zehnder⁶⁾ ist der Nachweis erbracht, dass

¹⁾ Compt. rend. 119, 268—271. — ²⁾ Ann. Phys. 53, 95—108. — ³⁾ Dasselbe 52, 700—727. — ⁴⁾ Phil. Mag. 38, 567—568. — ⁵⁾ Ann. Phys. [2] 52, 593—603. — ⁶⁾ JB. f. 1891, S. 330.

bei 11 Flüssigkeiten die Aenderung des Brechungsvermögens bei Druckzunahme durchaus nicht der aus der Lorentz'schen Formel berechneten entspricht, sondern stets kleiner ist. Ebenso sind die bei Körpern mit hoher Dielektricitätsconstante nach der Lorentz'schen Formel $\frac{K-1}{K} \cdot \frac{1}{d} = \text{Const.}$ zu erwartenden erheblichen

Aenderungen der Dielektricitätsconstante bisher nicht beobachtet worden. Beim Wasser z. B., wo $K = 80$, $d = 1$ und die Compressibilität $= 50 \cdot 10^{-6}$ ist, müßte die Dielektricitätsconstante bei 800 Atm. Druck unendlich groß werden. Röntgen führte eine Anzahl von Messungen der Dielektricitätsconstante des Wassers nach dem von Overbeck¹⁾ angegebenen Verfahren aus, indem der Druck bis auf 500 Atm. gesteigert wurde. Es schien bei Druckzunahme eine kleine Vermehrung der Capacität einzutreten, doch betrug diese sicher nicht mehr als 1 Proc. des Anfangswerthes. Der elektrolytische Widerstand des Wassers nahm dabei ab. Es schien möglich, daß beim Wasser ein Ausnahmefall vorlag, weil dasselbe nach einer früher von Röntgen geäußerten Ansicht durch Druckzunahme eine molekulare Veränderung erleidet, indem das Verhältniß der Eismoleküle und der Wassermoleküle gegen einander verschoben wird. Diese Veränderung könnte die Dielektricitätsconstante möglicher Weise so beeinflussen, daß die sonst zu erwartende Erhöhung derselben gerade compensirt wird. Daß bei einer anderen Substanz indessen genau dieselbe Compensation eintreten sollte, ist sehr unwahrscheinlich und deshalb bestimmte Röntgen auch die Dielektricitätsconstante des Aethylalkohols (99,8 Proc.) unter denselben Umständen. Hier nahm der elektrolytische Widerstand mit steigendem Drucke zu, die Aenderung der Dielektricitätsconstante bestand gerade wie beim Wasser aus einer kleinen Vergrößerung (weniger als 1 Proc.). Man kann also wohl mit Sicherheit behaupten: 1. daß die Lorentz'sche Formel nicht geeignet ist, die Variation der Dielektricitätsconstante mit einer Dichteänderung des Mediums darzustellen, und 2. daß die Aenderung der Dielektricitätsconstante mit der Temperatur nicht auf eine Aenderung in der Dichte der betr. Flüssigkeit zurückgeführt werden kann. R.

A. Heydweiller. Ueber Villari's kritischen Punkt beim Nickel²⁾. — In Bezug auf die Wechselbeziehungen zwischen elastischen und magnetischen Eigenschaften haben die bisherigen Untersuchungen ergeben, daß beim Eisen bei nicht zu starker

¹⁾ Ann. Phys. 17. 827. — ²⁾ Daselbst [2] 52, 462—472.

Magnetisirung durch kleine Zugkräfte eine Vermehrung, durch kleine Druckkräfte eine Verminderung des magnetischen Momentes in der Richtung der elastischen Kraft hervorgerufen wird. Bei größeren Zug- oder Druckkräften kehrt sich die Wirkung um, während eine gewisse, von der Stärke der Magnetisirung abhängige Kraft keine Aenderung des magnetischen Momentes ergiebt. Die Curve, welche die Abhängigkeit der Magnetisirungsstärke des Eisens von einer in Richtung der Magnetisirung wirkenden Zugkraft darstellt, steigt also zunächst bis zu einem Maximum, um dann bis unter den Anfangsworth zu sinken. Der Punkt, in welchem sie diesen erreicht, nennt man mit Villari¹⁾ den kritischen Punkt. Diese Erscheinung ist in guter Uebereinstimmung mit der Wilhelm Weber'schen Theorie der Molekularmagnete. Hiernach ist der jeweilige Gleichgewichtszustand der gruppenweise angeordneten Molekularmagnete lediglich durch ihre gegenseitigen magnetischen Wirkungen bedingt, dagegen unbeeinflusst durch Reib- oder Reibungskräfte nicht magnetischer Natur. Innerhalb jeder Gruppe sind mehrere Gleichgewichtszustände möglich und unter Einwirkung einer äusseren magnetischen Kraft von gewisser Grösse findet ein Umkippen einzelner Gruppen aus der einen Gleichgewichtslage in eine andere statt, in der sie ein bedeutend größeres magnetisches Moment besitzen. So erklärt sich das starke Ansteigen der Magnetisierungscurve bei einer bestimmten Grösse der magnetisirenden Kraft. Die Wirkung einer Zugkraft ist nun vielleicht so zu denken, dass sie das Umkippen der Gruppen befördert, dagegen in Folge der mechanischen Deformation das magnetische Moment jeder Gruppe in der zweiten Lage vermindert. So lange also noch eine Anzahl von Gruppen in der ersten Lage vorhanden ist, wird eine Zugkraft das magnetische Moment vermehren können, während bei größerer magnetischer Kraft das verkleinernde Moment überwiegt. Mit dieser Theorie im Widerspruch stand nun die bisher gemachte Beobachtung, dass beim Nickel kein Villari'scher Punkt existirt, sondern dass stets durch Zugkräfte eine Abnahme der Magnetisirung erfolgt, gerade wie bei sehr stark magnetisirtem Eisen. Heydweiller wies nun durch eine Reihe sorgfältiger Versuche nach, dass ein solcher qualitativer Unterschied zwischen Nickel und Eisen nicht besteht, dass vielmehr das Nickel sich dem Eisen ganz analog verhält und dass die Verschiedenheit lediglich eine quantitative ist, insofern das Verschwinden der Verstärkung durch Zug (im

¹⁾ Ann. Phys. [1] 126, 87 (1865).

Villari'schen Punkt) bereits bei viel geringerer Magnetisirungsstärke eintritt als beim Eisen. H.

P. Drude und W. Nernst. Ueber Elektrostriction durch freie Ionen¹⁾. — Die Verfasser beschäftigen sich mit dem theoretischen Problem der Beeinflussung eines Dielektricum, wenn in seinem Inneren zahlreiche punktförmige positive und negative Ladungen vorhanden sind. Als ein solches System haben wir uns eine elektrolytisch dissociirte Lösung zu denken. Aus der Clausius-Mossotti'schen Formel folgt, daß die Dielektricitätsconstante eines Mediums durch Compression desselben zunimmt; es muß daher das Dielektricum sich auch unter dem Einflusse einer Elektrisirung comprimiren. Es zeigt sich nun, daß aus vorliegenden Beobachtungen sich für die Elektrostriction Werthe ableiten lassen, die pro Grammmolekül eines binären aus zwei einwerthigen Ionen bestehenden Elektrolyten in einer Anzahl Fälle 8 bis 11 cem betragen und etwa bis auf die Beobachtungsfehler gleich sind. Aus der Theorie folgt nun auch, daß die Elektrostriction nicht durch die Größe der Ionen, sondern allein durch die absolute Größe ihrer Ladung gegeben ist. Als unterer Grenzwert folgt aus einem Versuche, daß in einer 1₁₀₀-normalen Lösung das elektrostatische Feld mindestens 20000 Volt pro Centimeter betragen muß. Hs.

S. Tanatar. Zur Theorie der elektrolytischen Dissociation²⁾. — Tanatar versucht auf thermochemischem Wege eine Entscheidung darüber zu erlangen, ob die Dissociation eines Elektrolyten beim Uebergange von einer wässrigen Lösung zu einer alkoholisch-wässrigen Lösung zurückgeht oder nicht. Die Versuche werden auf Salzsäure, Kaliumhydroxyd und Chlorkalium ausgedehnt und die Resultate scheinen bei diesen doch schon in wässriger Lösung fast völlig dissociirten Elektrolyten noch auf eine erhebliche Dissociationserhöhung zu deuten. Es dürfte demnach wohl den Versuchen eine wesentlich andere Bedeutung zu Grunde liegen, als der Verfasser denselben zuspricht. Hs.

Leitfähigkeit.

Ferdinand Braun. Ueber die continuirliche Elektricitätsleitung durch Gase³⁾. — Im Anschluß an die Arbeit von de Hemptinne „über die elektrische Leitfähigkeit der Flamme und

¹⁾ Zeitschr. physik. Chem. 15, 79—85. — ²⁾ Dasselbst, S. 117—124. —

³⁾ Dasselbst 13, 155

der Gase“ (JB. f. 1893, S. 177) veröffentlicht Braun seine früheren Beobachtungen über die Leitung in Gasen. Er ist zunächst der Frage näher getreten, ob Gase im Moment ihrer Entstehung (Verbindung) die Elektrizität zu leiten im Stande seien. Bei der Mischung von Stickoxyd mit Luft sowohl, wie bei schwacher Beleuchtung von reinem elektrolytischem Chlorknallgas war keinerlei merkliche Leitung nachweisbar. Dagegen ergab sich eine Leitung im Momente der Explosion von Gemengen aus Kohlenoxyd und Sauerstoff. Ebenfalls wurde eine schwache, aber deutliche Leitfähigkeit nachgewiesen, wenn Gase und Dämpfe auf 1000 bis 1200° erhitzt waren. Sehr erheblich war dieselbe bei Chlorammonium- und bei Jodkaliumdampf, deutlich auch bei Jod, Chlorwasserstoff und Ammoniak; nicht nachweisbar bei Wasserdampf, Kohlensäure und Untersalpetersäure. Auch über die Leitung der Gase einer Bunsenflamme werden einige Versuche angestellt. *Bs.*

Jules Garnier. Anwendung der Elektrizität, um die Phasen gewisser chemischer Reactionen zu verfolgen ¹⁾. — In eine Röhre aus unschmelzbarer Erde brachte Verfasser zwischen zwei cylindrische Blöcke aus weichem Stahl ein Gemenge von Holzkohle mit pulverisirtem Nickeloxyd. Die Röhre wurde darauf in einem Koksfeuer erhitzt, während an die Stahlklötze 50 Volt Spannung angelegt wurden. Das Ampèremeter zeigte keinen Strom an. Erst nachdem 15 Minuten lang erhitzt worden war, stieg die Stromstärke allmählich, während die Spannung sank, bis bei ca. 50 Amp. eine Zeit lang Gleichgewicht existirte und scheinbar kein Widerstand mehr im Stromkreise vorhanden war. Nach einiger Zeit kehrte sich die Erscheinung um, der Strom sank wieder, die Spannung nahm zu, um bei ca. 45 Volts und 1 bis 2 Amp. Halt zu machen. Diese Veränderungen im elektrischen Strom entsprechen den chemischen Reactionen in dem Rohre. Das Nickeloxyd leitet sehr schlecht, daher ist die Spannung hoch und der Strom gering. In dem Maße, wie das Oxyd reducirt wird und sich gut leitendes Metall bildet, steigt der Strom, und die Spannung sinkt. Mit zunehmender Nickelcarbidebildung, welches schmilzt, nimmt auch der Widerstand der Masse wieder zu und das Ampèremeter fällt, während die Spannung steigen muß. Ebenso konnte Verfasser bei einem Gemenge der Oxyde von Kupfer, Nickel und Eisen die einzelnen Phasen der Reduction der Metalle mit Hilfe des elektrischen Stromes genau verfolgen.

¹⁾ Compt. rend. 118. 588—589.

Verfasser glaubt hiernach, eine Anzahl von metallurgischen Operationen, besonders die Raffinirungen, auf Grund der sich bei diesen Operationen vollziehenden Veränderungen der Composition, die eine Veränderung der Leitfähigkeit mit sich bringen, auch im Großen verfolgen zu können. *Bs.*

F. Kohlrausch. Einige Formen von Tauchelektroden für Widerstandsbestimmung in Elektrolyten¹⁾. — Es werden drei Typen von Tauchelektroden beschrieben, welche es ermöglichen, Leitfähigkeiten von Flüssigkeiten zu messen, ohne dieselben aus ihren Gefäßen oder Flaschen auszugießen. Die Resultate mit diesen Tauchelektroden sind unabhängig von der Form des Gefäßes, da die Stromlinien fast völlig innerhalb der Elektrodenhülle verlaufen. Die Zuleitung geschieht mittelst Glasdoppelcapillaren, die mit Quecksilber gefüllt werden. Mittelst der drei Typen von Tauchelektroden umfaßt man ein außerordentlich großes Gebiet von verschiedenen Leitfähigkeiten. *Bs.*

Meyer Wildermann. Die Methode von Kohlrausch in ihrer Anwendung zur Untersuchung der elektrischen Leitfähigkeit schwach dissociirter Stoffe²⁾. — Der Inhalt der Arbeit umfaßt folgende Capitel: I. Einleitung. Zweck der Untersuchung ist, die Kohlrausch'sche Methode der Untersuchung schlecht leitender Lösungen anzupassen. II. Herstellung von reinem wasserfreiem Alkohol. Derselbe wurde mit einer Leitfähigkeit von 0.4 bis 0.5 10^{-10} bei 18° benutzt. III. Aufbewahrungsgefäß und Verdünnungseinrichtungen, zur Erzielung von Lösungen mit diesem reinen Alkohol. IV. Widerstandsgefäß. V. Widerstände. Zur Verbesserung des Minimums werden als Vergleichswiderstände solche aus Graphit benutzt, die sich in der gewählten Ausführungsform als recht beständig erwiesen. VI. Versuchsanordnung. VII. Ausführung der Versuche. VIII u. IX. Resultate, die sich im Auszug nicht gut wiedergeben lassen. *Bs.*

Meyer Wildermann. Ueber eine weitere Methode zur Bestimmung der elektrischen Leitfähigkeit schwach dissociirter Stoffe³⁾. — Diese zweite Methode Wildermann's ist von W. Ostwald angegeben worden und beruht darauf, daß man den Einfluß, welcher durch Polarisation auf Widerstandsmessungen von Leitern zweiter Classe ausgeübt wird, auch auf die Weise vermeiden kann, daß man die Messungen mit einer hohen elektromotorischen Kraft ausführt, gegen welche die Gegenkraft der

¹⁾ Ann. Phys. 51. 346—350. ²⁾ Zeitschr. physik. Chem. 14. 231—246.

— ³⁾ Dasselbst. S. 247—271.

schwachen Polarisation nicht mehr in Betracht kommt. Dann kann man Leiter zweiter Classe wie Drahtwiderstände messen. Um nun trotz hoher Spannung nur eine sehr kleine Polarisation zu erhalten, ist es erforderlich, mit hohen Widerständen zu arbeiten, d. h. die Methode eignet sich besonders für schlecht leitende Lösungen, anderenfalls hat man geeignete Widerstandsgefäße mit engen Capillaren anzuwenden. Wildermann benutzte eine Batterie von 100 Clarkelementen als Mefsbatterie und ein sehr empfindliches Wiedemann'sches Galvanometer als Strommesser. Bei Mefsgefäßen mit Capillaren ist größte Sorgfalt auf gründliches Auslaugen der Gefäße, sowie auf die jedesmalige Reinigung der Capillaren zu verwenden. Will man eine große Anzahl von Verdünnungen im selben Gefäße untersuchen, so ist eine bequeme Veränderlichkeit der Galvanometerempfindlichkeit unerlässlich. Vortheilhafter ist aber das Arbeiten mit verschiedenen Mefsgefäßen. Wildermann hat sowohl wässrige Lösungen von Bernsteinsäure und Essigsäure untersucht, wobei sich gute Uebereinstimmung mit der Kohlrausch'schen Methode ergab, als auch alkoholische Lösungen von Di- und Trichloressigsäure. Bei der Trichloressigsäure gelang es ihm, das Verdünnungsgesetz auch für eine alkoholische Lösung nachzuweisen. Im Allgemeinen hält Wildermann wenigstens vorläufig doch die Kohlrausch'sche Methode auch für schlecht leitende Lösungen für die sicherste. *Bs.*

F. Kohlrausch. Ueber Widerstandsbestimmung von Elektrolyten mit constanten oder mit Wechselströmen¹⁾. — Der Verfasser wendet sich gegen die Arbeiten von Wildermann über Leitfähigkeitsmessungen schlecht leitender Substanzen, speciell soweit dieselben nach der Kohlrausch'schen Methode unvortheilhaft auszuführen sein sollen und zeigt, daß die von Wildermann beobachteten Störungen auf Capacitätserscheinungen zurückzuführen sind und sich leicht durch Nebenschalten eines kleinen Condensators vermeiden lassen, der das Minimum wieder zu einem völlig scharfen gestaltet. Auch für die zweite Wildermann'sche Methode mit Gleichstrom bringt Kohlrausch vortheilhafte Verbesserungen in Vorschlag. *Bs.*

C. Déguisne. Ueber die Frage nach einer Anomalie des Leitvermögens wässriger Lösungen bei 4°²⁾. — Déguisne prüft auf Veranlassung von Kohlrausch eine Untersuchung von Lussana nach, zufolge welcher der Temperaturefficient des elektrischen Leitvermögens verdünnter wässriger Salzlösungen in

¹⁾ Zeitschr. physik. Chem. 15, 126—130. — ²⁾ Ann. Phys. 52, 604—606.

der Nähe von 4° ein Maximum haben sollte. Die Resultate Lussana's finden sich nicht bestätigt; Déguisne hält es für möglich, daß locale Temperaturunterschiede u. dgl. Ursache der auffallenden Beobachtungen Lussana's sind. *Bs.*

G. Bredig. Beiträge zur Stöchiometrie der Ionenbeweglichkeit ¹⁾. — Der Inhalt dieser außerordentlich umfangreichen Abhandlung umfaßt eine solche Fülle von Zahlen- und Beobachtungsmaterial, daß in dieser Beziehung nur auf die Abhandlung selbst verwiesen werden kann und es genügen muß, eine Inhaltsangabe sowie die Hauptresultate zu bringen. Die Arbeit umfaßt: Ueberführungszahlen, elektrische Leitfähigkeit wässriger Lösungen, Gesetz von Kohlrausch, Dissociationsgrad, Ostwald'sche Valenzregel, Berechnung des Grenzwertes, Abweichungen davon, Daten für die Grenzwerte und die Wanderungsgeschwindigkeiten, Vergleich mit den Ueberführungszahlen; Stöchiometrie der Ionenbeweglichkeit: elementare Ionen, complexe Ionen, Isomerie, Metamerie, constitutive Beschleunigung, Vergleich mit anderen stöchiometrischen Eigenschaften, Addition und Substitution in homologen Reihen, Beziehungen zu den Atomgewichten, Polymerie und elektrische Isomerie. — Die wichtigsten Resultate der großen Arbeit sind die folgenden: I. Der Grenzwert μ_∞ beliebiger Elektrolyte von beliebiger Werthigkeit läßt sich nach Ostwald's Valenzregel aus der bei beliebiger, nicht zu geringer Verdünnung v gemessenen äquivalenten Leitfähigkeit μ_v dann berechnen, wenn diese Elektrolyte die sehr stark positiven oder negativen Ionen K , Na , Cl , NO_3 u. s. w. enthalten. Es wurden so für circa 300 Salze die äquivalenten Grenzwerte μ_∞ bei 25° bestimmt. Im Anschluß daran wurden die Abweichungen von der Ostwald'schen Valenzregel und dem Kohlrausch'schen Gesetze discutirt. II. Aus den gefundenen Grenzwerten μ_∞ von circa 300 Salzen wurden nach dem Gesetze von Kohlrausch mit Hilfe der von Nernst und Loeb bei sehr großer Verdünnung bestimmten Ueberführungszahl des Silbers die Werthe a der äquivalenten Wanderungsgeschwindigkeit (Beweglichkeit) für circa 300 ein- und mehrwerthige Ionen bei 25° berechnet. III. Der stöchiometrische Vergleich der Wanderungsgeschwindigkeit a ergab folgende Resultate: Die Wanderungsgeschwindigkeit elementarer Ionen ist eine deutlich periodische Function des Atomgewichtes und steigt in jeder Reihe verwandter Elemente mit demselben. Namhafte Unterschiede sind aber nur bei den ersten zwei oder drei Gliedern vorhanden. Ver-

¹⁾ Zeitschr. physik. Chem. 13, 191.

Die Elemente von höherem Atomgewicht als etwa 35 wandern annähernd gleich schnell. Hier bestätigt sich der Parallelismus der inneren Reibung. Bei zusammengesetzten Ionen zeigte sich, daß die *Wanderungsgeschwindigkeit eine deutlich additive Eigenschaft ist*. Isomere Ionen wandern gleich schnell. Gleiche Aenderung in der Zusammensetzung analoger Ionen ruft stets eine Aenderung im selben Sinne hervor, diese Aenderung wird mit abnehmender Wanderungsgeschwindigkeit kleiner (convergente Additivität). Substituiert man ein Element der Reihe nach durch verschiedene analoge Elemente, so haben die Geschwindigkeiten der neuen Ionen die umgekehrte Reihenfolge wie die zugehörigen Äquivalentgewichte. Im Allgemeinen wandern zusammengesetzte Ionen langsamer als einfache, ebenso das polymere Ion langsamer als das einfache. Ueber das additive Schema überlagern sich häufig recht erhebliche *constitutive Einflüsse*. Metamere Ionen wandern häufig nicht gleich schnell in Folge constitutiver Verschiedenheiten. Die Wanderungsgeschwindigkeit wächst im Allgemeinen mit zunehmender Symmetrie. Constitutive Einflüsse können oft den Sinn additiver Aenderungen übercompensiren. In einem Nachtrage discutirt Bredig schließlich die Uebereinstimmung seiner Resultate mit den von Kohlrausch (Ann. Phys. 50, 385) erhaltenen und findet ausreichende, zum Theil recht befriedigende Uebereinstimmung. Bs.

Alfred J. Wakeman. Ueber die Beeinflussung der Molekularleitfähigkeit der Essigsäure durch kleine Mengen anderer elektrolytischer Substanzen. Anwendung der Theorie der isohydrischen Lösungen¹⁾. — Wakeman studirt die gegenseitige Beeinflussung der Dissociation zweier Säuren auf Grund der Forderungen des Massenwirkungsgesetzes mit Hilfe von Leitfähigkeitsmessungen. Da die Beeinflussung der Leitfähigkeit bei Anwendung einer schwach dissociirten Säure besonders deutlich werden mußte, so ist als eine der beiden Säuren stets die schwache Essigsäure genommen worden. Die stärkeren Säuren ergeben dabei, daß sie die Dissociation auch dann noch beeinflussen, wenn sie in äußerst geringer Menge zugegen sind. Die Molekularleitfähigkeit der Essigsäure wird beispielsweise durch Salzsäure noch beeinflusst, wenn das Mengenverhältniß 1000:1 ist. Die schwächeren Säuren, wie Propionsäure, zeigen einen nur sehr geringen Einfluß, auch wenn sie in beträchtlichen Mengen zugesetzt werden. Die Resultate stehen im schönsten Einklang mit dem Massenwirkungsgesetz. Bs.

¹⁾ Zeitschr. physik. Chem. 15, 159—182.

Nils Strindberg. Ueber die Aenderung der Leitfähigkeit einer Lösung durch Zusatz von kleinen Mengen eines Nichtleiters. — Arrhenius hat für die Beeinflussung der Leitfähigkeit durch Zusatz eines Nichtleiters folgende Formel gefunden:

$$l = l_0 \left(1 - \frac{\alpha x}{2} \right)^2.$$

l bezeichnet die Leitfähigkeit nach Zusatz von x Volumenprocent des Nichtleiters, l_0 die Leitfähigkeit ohne Zusatz. Aus den Versuchen geht hervor, daß die von Strindberg für Alkohol u. Aceton gefundenen Werthe für α gut mit den von Arrhenius gefundenen übereinstimmen; ein gleiches findet mit Werthen statt, die sich aus Versuchen von Lenz über Leitungsvermögen alkoholischer Lösungen ergeben. Bs

C. Schall. Ueber die Abnahme der molekularen Leitfähigkeit einiger starken organischen Säuren bei Ersatz des Lösungswassers durch Alkohol²⁾. — Schall hat die Leitfähigkeiten gemessen von Salzsäuregas in Methylalkohol, Pikrinsäure, Oxalsäure und Dichloressigsäure ebenfalls in Methylalkohol, ferner in Aethylalkohol und wässerigem Alkohol. Die Leitfähigkeit der Pikrinsäure ist auch in Isobutylalkohol gemessen worden. Es ergibt sich, daß der Ersatz des Lösungswassers durch primäre Alkohole die vorher gleiche Leitfähigkeit starker Säuren in ganz verschiedenem Grade herabdrücken kann. Daher kann auch in Alkoholen der elektrolytische Dissoziationsgrad solcher Säuren bei dem gleichen Concentrationsverhältnis ein verschiedener sein, bei welchem er in wässriger Lösung als nahezu gleich anzunehmen ist. Ein überraschend hohes Leitvermögen weist Pikrinsäure in Methylalkohol auf. Bs

B. Völlmer. Die elektrische Leitfähigkeit von einigen Salzen in Aethyl- und Methylalkohol³⁾. — Die Hauptresultate der Abhandlung lassen sich folgendermaßen zusammenfassen: 1. Die molekularen Leitfähigkeiten der in Aethyl- und Methylalkohol untersuchten Elektrolyte wachsen mit abnehmendem Lösungsgehalt; in äußerster Verdünnung nähern sie sich einem Grenzwerte, ausgenommen sind hier Chlorkalcium und Calciumnitrat in Aethylalkohol. 2. Die Endwerthe der molekularen Leitfähigkeit für Aethyl- und Methylalkohol ergeben sich aus den entsprechenden Werthen für Wasser durch Multiplication mit einem

¹⁾ Zeitschr. physik. Chem. 14, 161—162. — ²⁾ Dasselbst, S. 701—708. —

³⁾ Ann. Phys. 52, 328—356.

Factor, der für den ersteren in der Nähe von 0,34, für den letzteren in der Nähe von 0,73 liegt. Die elektrische Leitfähigkeit nimmt mit wachsendem Molekulargewicht des Lösungsmittels ab. 3. Die Temperaturcoefficienten der äthylalkoholischen Lösungen wachsen mit zunehmender Verdünnung. 4. Bei dem Aethyl- und Methylalkohol ist, ebenso wie bei dem Wasser, für die höheren Verdünnungen der Temperaturcoefficient der elektrischen Leitfähigkeit nicht wesentlich von dem der inneren Reibung verschieden. 5. Die untersuchten äthyl- und methylalkoholischen Lösungen fügen sich nicht dem Verdünnungsgesetze von Ostwald. 6. Die Siedepunkterhöhungen bei den äthylalkoholischen Lösungen auf Grund einer gleich einfachen Anschauung, wie bei den wässrigen Lösungen aus der elektrischen Leitfähigkeit zu berechnen, erscheint nicht zulässig. Die Untersuchung erstreckt sich auf Chlorlithium, Jodkalium, Jodnatrium, Kalium- und Natriumacetat, Chlornatrium, Silbernitrat, Chlorcalcium und Calciumnitrat in Aethylalkohol, die ersten fünf dieser Salze auch in Methylalkohol.

Bs.

Ignaz Fanjung. Ueber den Einfluss des Druckes auf die Leitfähigkeit von Elektrolyten¹⁾. — Der Verfasser führt Leitfähigkeitsmessungen innerhalb eines dickwandigen Eisencylinders aus, in welchen das kleine Leitfähigkeitsgefäß mit seinem Inhalt unter hohen Druck gebracht werden konnte. Auf Vorschlag von Arrhenius wurde der Einfluss des Druckes auf das Leitvermögen einiger organischer Säuren untersucht. Untersucht wurden Ameisensäure, Essigsäure, Propionsäure, Butter- und Isobuttersäure, Milchsäure, Bernsteinsäure, Apfelsäure, Benzoesäure, Salzsäure, sowie deren Natriumsalze. Bei sämtlichen untersuchten Lösungen nimmt der Leitungswiderstand mit der Druckerhöhung nahe proportional ab. Der Einfluss der Verdünnung ist bei den organischen Säuren wenig charakteristisch. Die Folgerungen der Dissociationstheorie erscheinen aufs Beste bewahrt.

Bs.

Bruno Piesch. Aenderungen des elektrischen Widerstandes wässriger Lösungen und der galvanischen Polarisation mit dem Drucke²⁾. — Die Versuche wurden bei Drucken von 250 und 500 Atm. ausgeführt. Da die unter Verwendung des Telephons erhaltene Genauigkeit dem Verfasser nicht genügte, maß er die Leitfähigkeit mit Gleichstrom. Um den Einfluss der Polarisation zu eliminieren und gleichzeitig diese zu messen, verfuhr er so,

¹⁾ Zeitschr. physik. Chem. 14, 673–700. — ²⁾ Wien. Akad. Ber. 103, IIa, 784–808.

dafs er, nachdem er in der üblichen Brückencombination auf Stromlosigkeit im Galvanometer eingestellt hatte, zu dem elektrolitischen Widerstande und dem Vergleichswiderstande je einen bekannten und in beiden Fällen gleichen Zusatzwiderstand schaltete und von Neuem einstellte. Der Zusatzwiderstand war klein gegen den elektrolitischen Widerstand, wodurch der Verfasser die Aenderung der Polarisation mit dem Strome in Folge der Aenderung des Gesamtwiderstandes klein zu machen suchte. Die angewandten Platinelektroden scheinen nicht platinirt gewesen zu sein. Der Strom ging immer in derselben Richtung durch die elektrolitische Zelle. Untersucht wurde eine große Zahl von Sulfaten, Nitraten und Chloriden einschliesslich der Säuren bei verschiedenen Concentrationen. Durch den Druck wurde in allen Fällen der Widerstand verringert, und zwar durch die Drucksteigerung von 0 bis 250 Atm. stärker als durch die von 250 bis 500. Für das erste Intervall variirte die Abnahme des Widerstandes zwischen 5 und 20 Proc. und überschritt nur selten diese Grenzen. Bei der Salpetersäure betrug sie 38.35 Proc. zwischen 0 und 250 und 51.59 Proc. zwischen 0 und 500 Atm. Wurden verschieden concentrirte Lösungen desselben Stoffes untersucht, so wies in der Mehrzahl der untersuchten Fälle die weniger concentrirte Lösung bei einer Drucksteigerung eine stärkere Abnahme des Widerstandes auf. Häufig war aber das Verhalten auch umgekehrt oder es drehte sich für dieselbe Substanz bei höherem Drucke um. Die *Polarisation* steigt fast in allen Fällen mit dem Drucke an. Eine regelmässige Beziehung zwischen der Stärke und dem Charakter der Aenderung von Widerstand und Polarisation einerseits und der Zusammensetzung andererseits wurde nicht aufgefunden.

Bdl.

Rud. Lohnstein. Ueber anomales Verhalten von Flüssigkeitswiderständen gegen Wechselströme ¹⁾. — Schaltet man eine Zinksulfatlösung mit Zinkelektroden in den secundären Stromkreis eines gewöhnlichen Inductionsapparates, so beobachtet man mit einem Schwingungsgalvanometer einen continuirlichen, in einer bestimmten Richtung verlaufenden Strom. Dessen Stärke ist meist der Stromstärke im primären Stromkreise annähernd proportional, sie ändert sich bei constanter Stromstärke mit der Wechselzahl und kehrt wohl auch ihr Vorzeichen um. Eine ähnliche Erscheinung wurde, wenn auch schwächer, bei Kupfersulfatlösungen mit Kupferelektroden beobachtet, nicht aber in anderen Fällen. *Bdl.*

¹⁾ Ann. Phys. 51. 219—222.

J. Hopkinson, E. Wilson und F. Lydall. Elektrolyse mit Wechselstrom¹⁾. — Aus den Versuchen ergibt sich, daß 1_{10} Coulomb genügt, um in verdünnter Schwefelsäure 150 qcm Platin-oberfläche (nicht platinirt) bis zum Maximalwerth zu polarisiren. Es genügen also 0,00000007 g Wasserstoff, um 1 qcm Platin zu polarisiren. Das entspricht etwa einer gegenseitigen Entfernung der an der Oberfläche befindlichen Wasserstoffmoleküle, wie sie die Moleküle im flüssigen Wasserstoff hätten. *Bdl.*

P. Janet. Elektrochemische Methode der Beobachtung von Wechselströmen²⁾. — Auf einem metallischen Registrircylinder läuft ein Papierstreifen ab, der mit einer Lösung von Ferrocyan-kalium und Ammoniumnitrat getränkt ist und auf dem als Schreibfeder ein Eisenstift schleift. Leitet man den Strom durch diese Anordnung, während der Streifen schnell abläuft und auf ihm durch eine andere Vorrichtung die Zeiten vermerkt werden, so kann man nachher bequem die Wechselzahl vom Streifen ablesen, da bei jeder halben Periode ein Strich auf dem Papier erzeugt wird, der an der Stelle maximaler Stromstärke selbst ein Maximum aufweist. Hat man zwei Schleiffedern, so können, wie Janet zeigt, leicht Phasenverschiedenheiten nachgewiesen werden. *Bs.*

P. Janet. Bestimmung der Form periodischer Ströme als Zeitfunction mittelst der elektrochemischen Registrirmethode³⁾. — Der Verfasser beschreibt hier eine Anwendung seiner elektrochemischen Registrirmethode für Wechselströme, welche speciell in einfacher Weise eine Bestimmung der Curvenform des Wechselstromes liefert. *Bs.*

O. Lehmann. Eine neue Erscheinung beim Durchgang der Elektrizität durch schlecht leitende Flüssigkeiten⁴⁾. — Der Aufsatz enthält die Beschreibung interessanter Ausbreitungserscheinungen in schlecht leitenden Flüssigkeiten, zumeist wässrigen Lösungen organischer Farbstoffe. Der Inhalt läßt sich in Kurze nicht wiedergeben. *Bs.*

Elektromotorische Kräfte.

J. Schurz. Mittel zur Compensation der elektromotorischen Kraft⁵⁾. — Es wird ein kleiner Compensationsapparat beschrieben, dessen Grundidee trotz der zweifellosen Unbrauchbarkeit des Apparates für genauere Arbeiten ganz interessant ist. Ein kreis-

¹⁾ Lond. R. Soc. Proc. 54, 407—417. — ²⁾ Compt. rend. 118, 862—864.
— ³⁾ Dasselbst 119, 58—61. — ⁴⁾ Ann. Phys. 52, 455—461. — ⁵⁾ Compt. rend. 118, 463—467.

förmiges Glasgefäß trägt an seiner inneren Wandung zwei diametral gegenüberliegende Kupferelektroden, die zum Abnehmen der compensirenden Spannung dienen; geliefert wird diese durch ein kurz geschlossenes Element, dessen Elektroden etwa Zink und Kohle, ebenfalls nahe an den Enden eines Durchmessers in das Glasgefäß tauchen, das mit einem schlecht leitenden Elektrolyt gefüllt ist. Wegen des Kurzschlusses dieses Elementes vollzieht sich der Spannungsabfall nur im Inneren der Flüssigkeit und diesem Spannungsabfall lassen sich durch die Kupferelektroden verschiedene Bruchtheile abzuweigen. Das Gefäß mitsamt den Kupferelektroden ist auf einer Gradtheilung drehbar, während die Elementelektroden ihre Stellung nicht verändern können. Sobald die Verbindungslinien der beiden Elemente senkrecht zu einander so liegt, an den Abnehmelektroden die Spannung Null. Liegen die vier Elektroden in gerader Linie, so ist das Maxima der zunehmenden Spannung erreicht. Schurr wendet den Apparat zusammen mit dem Capillarelektrometer als Nullinstrument an.

C. Limb. Methode der directen Messung elektromotorischer Kräfte¹⁾. — Der Verfasser beschreibt eine Methode, nach welcher eine elektromotorische Kraft direct verglichen wird mit einer direct berechenbaren inducirten elektromotorischen Kraft. *B.*

K. Noll. Thermoelektricität chemisch reiner Metalle²⁾. Die Arbeit beschäftigt sich mit der Bestimmung von Thermokräften in absolutem Maße zwischen 0 und 100° und dann mit der Abhängigkeit der Thermokräfte von der Temperatur der Elektrodenstellen. Die wichtigsten Resultate sind in folgender Tabelle zusammengestellt und zeigen im Allgemeinen mit vertrauenswürdig älteren Bestimmungen gute Uebereinstimmung.

Thermoelektrische Kräfte in Mikrovolt bei 50°
auf Blei bezogen.

Metall	Thermokraft	
Cadmium . . .	+ 4,71	
Zink	3,318	
Silber	2,68	
Gold	3,10	
Kupfer	{ 3,22 1,376	reinstes Cu ziemlich unreines Handelskupfer
Zinn	0,067	
Aluminium . .	0,41	

¹⁾ Compt. rend. 118, 1198—1201. — ²⁾ Ann. Phys. 53, 874—911.

Metall	Thermokraft	
Platin	+ 1,90	Drahte unbekannter Herkunft reinstes Pt von Heraeus
	— 3,25	
	— 4,09	
Magnesium . .	— 0,113	
Eisen	+ 11,895	
Neusilber . . .	— 14,68	
Nickel	— 20,58	
Quecksilber . .	— 4,03	

Bs.

K. Schreiber. Zur Theorie des Capillarelektrometers¹⁾. — Der Verfasser befaßt sich eingehend mit dem Studium der Lippmann'schen Curve, die den Verlauf der Oberflächenspannung des Quecksilbers bei wechselnder Potentialdifferenz darstellt. Es wird zunächst an Beobachtungen sowohl von Lippmann selbst, als von Arthur König und von Paschen nachgewiesen, daß der Verlauf der Curve keineswegs symmetrisch ist; ein gleiches ergibt sich aus den Beobachtungen des Verfassers. Für die Lage des Maximums der Curve ergeben sich daher ganz falsche Werthe, sobald man die Beobachtungen durch eine Gleichung zweiten Grades darstellt und deren Maximum berechnet. Diese Gleichung wird daher durch eine andere, auf Grund theoretischer Vorstellungen abgeleitete ersetzt, welche sich dem Verlauf der Curve besser anschließt. In der Arbeit finden sich auch Beobachtungen über Restströme an Quecksilberelektroden sowie Beobachtungen, betreffend Zersetzungspunkte an solchen.

Bs.

G. Meyer. Capillarelektrometer und Tropfelektroden²⁾. — Der Verfasser gelangt im Laufe der Untersuchung zu folgenden Schlüssen: 1. Die Oberflächenspannung von Quecksilber und einigen Amalgamen gegen Salzlösungen wird durch Zusatz von Quecksilbersalz, bzw. Salz des im Amalgam enthaltenen Metalles vermindert, während bei anderen Amalgamen wieder der Zusatz von Metallsalz keinen Einfluß auf die Oberflächenspannung hat. 2. Die Elektrometereurve besitzt einen aufsteigenden Ast bei kathodischer Polarisation von Amalgamen, deren Capillareconstante durch Metallzusatz vermindert wird. Der aufsteigende Ast fehlt in allen Fällen, wo auch der Metallsalzzusatz wirkungslos ist. 3. Der absteigende Ast der Elektrometereurve entsteht durch Amalgambildung bei kathodischer Polarisation einer Lösung, wo bei Abscheidung des Metalls ein Amalgam von geringerer Oberflächen-

¹⁾ Ann. Phys. 53, 109—134. — ²⁾ Dasselbst, S. 845—873.

spannung sich bildet. In Schwefelsäure und Salzsäure scheint hier ein chemischer Vorgang sich abzuspielen, der jedoch nicht ermittelt worden ist. 4. Die Verminderung der Oberflächenspannung bei anodischer Polarisation rührt von der Neubildung von Quecksilber- oder Metallsalz in der Grenzfläche her, bei den auf Metallsalzzusatz aber nicht reagirenden Amalgamen davon, dass in der Grenzfläche das Metall gelöst wird und das zurückbleibende Quecksilber eine kleinere Capillarconstante besitzt. 5. Die Potentialdifferenz zwischen zwei Tropfenelektroden ändert sich mit der chemischen Beschaffenheit des Elektrolyten, während die bei Messung von Contactpotentialdifferenzen als maßgebend betrachteten Anschauungen eine solche Abhängigkeit nicht erwarten lassen. *Bs.*

E. Bouty. Ueber die elektrische Capacität des Quecksilbers und die Polarisationscapacitäten im Allgemeinen ¹⁾. — Schon Lippmann hatte gefunden, dass die Polarisationscapacität des Quecksilbers bei Ausschluss irreversibler Vorgänge von der polarisirenden Kraft weitgehend unabhängig ist. Der Lippmann'sche Werth betrug für Quecksilber in angesäuertem Wasser 28,55 Mikrofara pro Quadratcentimeter, während Bouty 27,8 findet. Weiterhin giebt Bouty eine Tabelle über die Initialcapacität des Platins in verschiedenen concentrirten Natriumnitratlösungen. Zwischen 21 und 25° wurden folgende Werthe erhalten:

Gramm-Äquivalente im Liter	Capacität in M. F. pro Quadratcentimeter
2	17,72
0,2	18,25
0,02	17,53
0,002	13,62
0,0004	9,48
0,0001	9,32
Destillirtes Wasser	8,27

Bs.

E. Bouty. Ueber die Capacität des Capillarelektrometers und die Initialcapacität des Quecksilbers ²⁾. — Größtentheils theoretische Ueberlegungen im Anschluss an Lippmann's Theorie der capillarelektischen Erscheinungen. *Bs.*

E. Bouty. Ueber die Polarisationscapacitäten ³⁾. — Die Arbeit enthält die genauere Ausführung der beiden vorhergehenden

¹⁾ Compt. rend. 118, 918—919. — ²⁾ Dasselbst, S. 1196—1198. — ³⁾ Ann. chim. phys. [7] 3, 145—209.

Mittheilungen in den *Comptes rendus*. Nach einer historischen Einleitung wird eingehend der Ladungs- und Entladungsstrom einer elektrolytischen Capacität untersucht. Die weiteren Capitel sind dann dem genaueren Studium der Capacitäten des Quecksilbers und Platins in den verschiedensten Elektrolyten gewidmet.

Bs.

W. Nernst. Ueber Flüssigkeitsketten¹⁾. — Es wird an einfachen Beispielen gezeigt, wie man mit Hilfe der osmotischen Theorie der galvanischen Stromerzeugung zu einem einfachen und der quantitativen Auswerthung fähigen Einblick in den Mechanismus gelangt, nach welchem sich eine Potentialdifferenz zwischen zwei verschiedenen Flüssigkeiten ausbildet, und dafs es möglich ist, die Gesamtkraft einer geeignet aufgebauten Flüssigkeitskette als Summe der einzelnen Potentialdifferenzen in guter Uebereinstimmung mit dem Versuch zu berechnen.

Bs.

W. Nernst. Ueber die Auflösung von Metallen im galvanischen Elemente²⁾. — Im Anschlufs an den im gleichen Bande S. 153 behandelten Fall wird jetzt der Vorgang an den Elektroden eines galvanischen Elementes behandelt und gezeigt, wie die Kenntnifs der Lösungstensionen zur Berechnung der elektromotorischen Kraft von Elementen dienen kann. An der Hand des Daniellelementes wird der Fall genauer erörtert. Den Abschluß bildet der Hinweis auf den Zusammenhang zwischen elektrolytischen Lösungstensionen und metallischer Leitung.

Bs.

Harry C. Jones. Ueber die Lösungstension von Metallen³⁾. — Der Verfasser hat Ketten gemessen, welche als Elektroden dasselbe Metall in Lösungen seiner Salze, aber in verschiedenen Lösungsmitteln an den beiden Elektroden enthielten. So wurden Silberelektroden in Silbernitratlösungen in Wasser, Aethylalkohol, Methylalkohol und Aceton verglichen. Sowohl die alkoholischen Lösungen als auch die Acetonlösungen waren stets positiv gegen die wässrigen Lösungen. Auch mit Zink wurden Versuche angestellt, doch scheinen hier Complicationen aufzutreten. Als Moment von besonderem Interesse hat sich im Zusammenhange der vorliegenden Untersuchung ergeben, dafs die Lösungstension des Silbers keine Constante für alle Lösungsmittel seiner Salze ist, sondern von der Natur des Lösungsmittels abhängt, in dem die Salze gelöst sind. Das Gleiche wird sich wahrscheinlich auch bei den übrigen Metallen bestätigt finden.

Bs.

¹⁾ Zeitschr. Elektrochem. 1, 153—155. — ²⁾ Dasselbat, S. 243—247. —

³⁾ Zeitschr. physik. Chem. 14, 346—360.

Jahresber. f. Chem. u. s. w. für 1904.

George J. Burch und J. W. Dodgson. Die Einwirkung concentrirter Säuren auf gewisse im Contact mit einander befindliche Metalle ¹⁾. — In einem Gemisch aus 5 Thln. Schwefelsäure vom spec. Gew. 1,84 mit 1 Thl. Salpetersäure vom spec. Gew. 1,436 wird *Kupfer*, das in *Contact mit Silber* eingetaucht ist, kaum angegriffen, während sich Silber reichlich löst. Setzt man Wasser zu, so steigt die Menge des in Lösung gehenden Kupfers, während die des Silbers abnimmt. Wenn aber die Lösung auf jedes Molekül Schwefelsäure 5 Mol. Wasser enthält, nimmt bei weiterem Wasserzusatz sowohl die Menge des gelösten Kupfers als die des Silbers zu. In einem Gemisch aus 10 Thln. concentrirter Schwefelsäure und 1 Thl. Salpetersäure vom spec. Gew. 1,436 löst sich beim Eintauchen eines Paares aus *Magnesium* und *Silber* das Silber reichlich, während das Magnesium seine glänzende Farbe behält. Eine Gasentwicklung findet an keinem von beiden Metallen statt. Es lösen sich in gleicher Zeit auf 1 Thl. Magnesium 61,5 Thle. Silber. Ueber die Potentialdifferenz zwischen den Metallen will der Verfasser später berichten. *Natrium*, welches durch einen Glasstab beschwert, in concentrirte Schwefelsäure eingetaucht wird, wird dadurch bei 16° weniger angegriffen als durch Wasser. Das Metall löste sich unter ruhiger gleichmäßiger Gasentwicklung und geringer Erwärmung. Berührt man das Natrium mit einem anderen Metall, so wird der Angriff des Natriums meist schwächer. Bei einem Contact mit Kohle, Platin oder Eisen findet die Gasentwicklung nur an diesen Metallen statt, während das Natrium völlig blank bleibt. In Berührung mit Kohle wird ein Platinwürfel von 0,125 ccm auch nach acht Stunden nicht völlig gelöst. Blei und Zinn verzögern die Auflösung des Natriums sehr stark, Zink sehr wenig. Natriumaluminiumpaare und Natriummagnesiumpaare werden von der concentrirten Säure so lebhaft angegriffen, daß sie unter derselben in Brand gerathen. Cadmiumnatriumpare werden sehr langsam angegriffen. Ein Natriumnickelpaar zeigt fast gar keine Gasentwicklung, das Natrium bedeckt sich aber mit einer braunen Haut. Den stärksten Schutz üben Antimon und Wismuth, so daß Natrium in Berührung mit ihnen Tage lang ungelöst bleibt, während die Metalle selbst an der Berührungsstelle mit dem Natrium matt anlaufen. Silber wird in Berührung mit Natrium unter Schwefelsäure schwarz (offenbar durch Schwefelsilber). Es entwickeln sich wenig Gasblasen und das Natrium löst sich langsam auf.

¹⁾ Chem. News 69, 225—226.

Magnesium wird durch concentrirte Schwefelsäure, ebenso wie Natrium, nur sehr langsam angegriffen. Mit dieser Indifferenz der beiden Metalle für sich und in Contact mit Silber contrastirt es, daß ein Magnesiumnatriumpaar unter Fenererscheinung schnell gelöst wird. Kupfer bedeckt sich in Berührung mit Natrium mit Gasblasen. Das Natrium behält eine glänzende Oberfläche und entwickelt ein geruchloses, reducirendes Gas, das ein Kaliumjodatstärkepapier bläut. Die Lösung bleicht weder Lackmus noch Indigo, entwickelt aber bei der Erhitzung Schwefeldioxyd. *Bell.*

Victor Rothmund. Die Potentialdifferenzen zwischen Metallen und Elektrolyten¹⁾. — Rothmund hat zur Bestimmung möglichst vieler Einzelpotentiale Capillarelektrometer mit flüssigen Amalgamen construiert und den Verlauf der Oberflächenspannung bei veränderlicher Polarisirung verfolgt. Das Capillarelektrometer hatte im Wesentlichen die Form des ursprünglichen Lippmann'schen, d. h. es wurden die Drucke gemessen, die erforderlich waren, den Meniscus zur selben Stelle der Capillaren zurückzuführen. In dieser Weise werden außer Quecksilber die flüssigen Amalgame des Bleies, Wismuths, Zinns, Kupfers, Cadmiums, Zinks und Thalliums untersucht. Es zeigt sich, daß sich im Wesentlichen die elektromotorische Kraft von Elementen aus diesen Einzelpotentialdifferenzen zwischen Metall und Elektrolyt zusammensetzt, daß also sowohl die Potentialdifferenzen zwischen zwei Metallen als auch zwischen zwei Flüssigkeiten in der Regel sehr klein sein müssen, und also für die Entstehung des Stromes in der galvanischen Kette nicht in Frage kommen. Abweichungen von diesem Verhalten wurden beobachtet: 1. Bei den Amalgamen des Zinns, Cadmiums und Thalliums. Dieselben erklären sich aber durch oberflächliche Konzentrationsänderung des Amalgams in Folge des Angriffs durch die Säure. 2. Bei Quecksilber in Lösungen seiner complexen Salze. Hier hat die Discrepanz möglicher Weise in dem Uebergang der Quecksilberionen vom zweiwerthigen in den einwerthigen Zustand seinen Grund. Parallel mit diesem abnormen Verhalten geht der Umstand, daß hier beim Maximum die Oberflächenspannung einen bedeutend niedrigeren Werth hat als sonst. Der Eintritt des Maximums erscheint also nur dann zur Bestimmung der Potentialdifferenz verwertbar, wenn die Oberflächenspannung den als „normal“ bezeichneten Werth erreicht, wie in Salzsäure und den meisten anderen Elektrolyten. *Bs.*

Aug. Hagenbach. Ueber Thermoelemente aus Metallen und

¹⁾ Zeitschr. physik. Chem. 15, 1–32.

Salzlösungen ¹⁾. — Hagenbach hat eine große Reihe von thermoelektrischen, galvanischen Combinationen untersucht. Die Thermoelemente mit Lösungen von Metallsalzen und Elektroden aus den entsprechenden Metallen (umkehrbare Elektroden erster Art) ergaben: 1. Die Unterschiede der Thermokräfte in Folge der Concentrationsänderungen sind für die verschiedenen Salze ungleich groß; ferner hat sich bestätigt, daß die Maxima der Thermokräfte für gleiche Säuren an der gleichen Stelle liegen. 2. Die von Ebeling gefundenen Maxima bei 5 Proc. ergaben sich aus diesen Versuchen nicht, vielmehr nimmt die Thermokraft mit größerer Verdünnung noch zu und scheint einem Grenzwerthe zuzustreben, wie es mit der Nernst'schen Theorie übereinstimmt. 3. Die Thermokräfte steigen stärker als der Temperaturdifferenz proportional und zwar sind die Abweichungen von der Proportionalität bei den verdünnten Lösungen größer. — Die Thermoelemente mit Platinelektroden ergaben folgende Satze: 4. Die Thermokräfte verhalten sich bei gleichen Säuren (wenigstens bei Sulfaten und Chloriden) sehr ähnlich, sowohl in Bezug auf die Größenordnung als auf die Abhängigkeit von der Concentration. 5. Die Unterschiede der Thermokräfte in Folge von Concentrationsverschiedenheiten sind im Allgemeinen bedeutend größer als bei den Elementen mit umkehrbaren Elektroden. 6. Der Verlauf der Thermokraft mit steigender Temperatur ist nur von der Temperatur selbst abhängig, nicht aber von der Temperaturdifferenz. Vermuthlich ist dieser Satz auch auf die anderen Thermoelemente auszudehnen. 7. Die beiden Modificationen des Chromalauns verhalten sich verschieden; der Uebergang von der violetten in die grüne Modification zeigt sich in einer bedeutenden Zunahme der Thermokraft im positiven Sinne. Bs.

George Frederick Emery. Thermoelektrische Eigenschaften von Salzlösungen ²⁾. — Wenn man zwei Elektroden aus demselben Metall in eine Lösung eines Salzes dieses Metalls taucht und die beiden Berührungsstellen von Metall und Flüssigkeit auf verschiedene Temperaturen bringt, so erhält man einen Thermostrom, der im Vergleich zu den Thermostömen zwischen Metallen sehr beträchtlich ist und dessen elektromotorische Kraft dem Temperaturunterschied nahezu proportional ist. Messungen des Verfassers ergaben, daß die elektromotorische Kraft sehr stark von der Natur des Salzes und seiner Concentration abhängt. Sie ist z. B. bei Kupfer in Kupferacetat viel größer als im Nitrat und Sulfat.

¹⁾ Ann. Phys. 53, 447—480. — ²⁾ Lond. R. Soc. Proc. 55, 356—373.

(Zweifellos wegen der starken Zunahme der Hydrolyse des Acetats in der Wärme.) Die elektromotorische Kraft des Thermoströmes steigt in einzelnen Fällen bei zunehmender Concentration von einem Anfangswerthe, der dem reinen Wasser zuzukommen scheint, bis zu einem Maximalwerth und nimmt bei weiterer Concentrationssteigerung wieder ab. Es wurde auch der Einfluss von Alkoholzusätzen zu den Lösungen untersucht. — Die thermoelektrischen Erscheinungen scheinen umkehrbar zu sein. *Bdl.*

Henri Bagard. Ueber die thermoelektrischen elektromotorischen Kräfte zwischen zwei Elektrolyten und den elektrischen Transport der Wärme in den Elektrolyten ¹⁾. — Nach einer Einleitung, in welcher die bisherigen Untersuchungen von Wild, Becquerel, Doule, sowie von Naccari und Battelli einer eingehenden Besprechung unterzogen werden, werden im ersten Capitel die Thermokräfte zwischen zwei Elektrolytlösungen, sowohl verschiedener Elektrolyte als auch verschieden concentrirter Lösungen desselben Elektrolyten, namentlich in Bezug auf die Abhängigkeit von der Temperatur untersucht. Die Abhängigkeit von der Temperatur erweist sich nie als geradlinig, sondern ist merklich von zweiten Grade und häufig konnte der Verfasser den neutralen Punkt innerhalb des von ihm durchforschten Intervalls von 0 bis 75° constatiren. Das zweite Capitel zeigt, dass der Peltiereffect in Elektrolyten im neutralen Punkte eines Thermoelements sein Vorzeichen wechselt. Das dritte Capitel ist der Untersuchung des Thomseneffects in Elektrolyten gewidmet. Dass die Theorie der Thermoelektricität schon von Nernst entwickelt war, scheint dem Verfasser entgangen zu sein, sonst würde er doch wohl seine Versuche zur Prüfung der Theorie verwandt oder diese doch wenigstens citirt haben. *Bs.*

Franz Exner. Elektrochemische Untersuchungen. IV. Mittheilung ²⁾. — Aus seinen Messungen glaubt der Verfasser den Schluss ziehen zu können, dass die elektromotorische Kraft der Concentrationsketten nicht einmal einen qualitativen Schluss auf die Potentialdifferenz der beiden Flüssigkeiten zu ziehen gestattet. Indem der Verfasser annimmt, dass die elektromotorische Kraft einer Kette dem Wärmewerth des in ihm verlaufenden Processes genau entspricht und dass alle Bildungswärmen mit steigender Temperatur abnehmen, ergiebt sich ihm, dass die Temperaturcoefficienten der elektromotorischen Kraft an jeder Elektrode, an

¹⁾ Ann. chim. phys. [7] 3, 89—138. — ²⁾ Wien. Akad. Ber. 103, II a, 245—272; vgl. JB. f. 1891. S. 295.

welcher die Bildung einer Verbindung erfolgt, negativ sein muß. Wenn der Temperaturcoefficient des Danielllementes bei gewissen Concentrationen der Lösung null ist, so liegt das daran, daß die Bildungswärme des Zinksulfats bei steigender Temperatur um denselben Betrag abnimmt, wie die des Kupfersulfats. Es werden die Aenderungen von Einzelpotentialen bei Temperaturänderung gemessen. Die Verbindungswärme läßt sich unter der Annahme berechnen, daß sie das Aequivalent der Arbeit ist, die von den elektrischen Ladungen der Ionen bei Annäherung derselben auf Molekulardistanz geleistet wird. Es beträgt die Elektricitätsmenge, die auf 0,01 mg haftet, nach dem Faraday'schen Gesetz 1 Coulomb $= 3 \cdot 10^9$ E. E. Es sind in 0,01 mg H₂ $2 \cdot 10^{17}$ Mol. vorhanden. Ihr Radius ist $5 \cdot 10^{-8}$ cm. Es ergiebt sich die Arbeit bei der Annäherung aus unendlicher Entfernung bis auf Molekulardistanz $2 \cdot 10^{17}$ Erg für 0,01 mg, also $2 \cdot 10^7$ Erg für 1 g. Diese entsprechen 47 Cal., welcher Werth mit der Verbrennungswärme von 34 Cal. für 1 g Wasserstoff in Anbetracht der Ungenauigkeit der Berechnung genügend übereinstimmt. *Boll.*

H. M. Goodwin. Studien zur Volta'schen Kette¹⁾. — Ihr experimenteller Theil der umfangreichen Arbeit besteht aus drei Theilen. Theil I enthält: Versuche mit ziemlich löslichen Depolarisatoren. Versuche mit Chlorthallium, Leitfähigkeitsversuch bezüglich der Gültigkeit des zweiten Löslichkeitsprinzips. Versuche mit Chlorzink und Chloreadmium als Elektrolyten. Versuche mit Silberbromat als Depolarisator. Es wird experimentell bestätigt, daß principiell zwischen Elektroden erster und zweiter Art keinerlei Unterschied besteht, nur erfolgt die Berechnung der in die Formel für die Potentialdifferenz eingehenden Ionenconcentration im einen Falle aus Concentration mal Dissoziationsgrad, das andere Mal aus dem Nernst'schen zweiten Löslichkeitsprinzip. Trotzdem das Massenwirkungsgesetz für starke Elektrolyte fraglos ungültig ist, bleibt das zweite Löslichkeitsprinzip auch hier wahrscheinlich streng gültig, was durch Leitfähigkeitsmessungen von Chlorkalium- und Chlornatriumlösungen mit und ohne Zusatz von Thalliumchlorür bestätigt wurde. Auch das erste Löslichkeitsprinzip wird durch Messung elektromotorischer Kräfte bestätigt. In Theil II der Arbeit sind hauptsächlich Ketten mit sehr schwer löslichem Depolarisator gemessen worden. Außer einer vollständigen Bestätigung der Nernst'schen Theorie wird die Gültigkeit des zweiten Löslichkeitsprinzips auch für sehr kleine Löslichkeiten

¹⁾ Zeitschr. physik. Chem. 13, 577.

bestätigt. Eingehende theoretische Betrachtungen schloß sich hieran. Theil III behandelt die Verwerthbarkeit von Messungen der elektromotorischen Kraft zu Löslichkeitsbestimmungen äußerst schwer löslicher Salze. Die Methode fand sich gut bestätigt durch die Uebereinstimmung mit der aus Leitfähigkeitsmessungen gefundenen Löslichkeit bis zu einer unteren Grenze von 1×10^{-5} normal.

Bs.

A. Ditte und R. Metzner. Ueber die Krystallisation einiger Metalle, wenn man sie auf Lösungen ihrer Chloride in Salzsäure einwirken läßt¹⁾. — Es ist zu dem nach anderer Quelle gegebenen früheren Bericht²⁾ über diese Untersuchungen noch nachzutragen, daß Nickel, Zink, Antimon und Wismuth die bei Zinn und Cadmium beobachtete Krystallisation in Folge der Bildung einer Concentrationskette nicht geben.

Bull.

J. B. Senderens. Ein eigenthümlicher Fall von Metallabscheidung¹⁾. — Ein blanker, gegossener Stab aus reinstem Blei wird, wenn man ihn in eine neutrale Lösung von Silbernitrat bringt, matt, bedeckt sich mit einer schwarzen Schicht und schließlich mit Metallblättchen, die aus reinem Blei bestehen. Es findet also eine Ausscheidung von Blei durch Blei statt. Der nächstliegende Gedanke an eine Verunreinigung des Bleies durch ein unedleres Metall trifft nicht zu. Dagegen spricht auch, daß dasselbe Blei in Bleiacetat keine Abscheidung von Blei hervorruft. (Dadurch wird auch die im Jahrbuch der Chemie für 1894, S. 100 gegebene Erklärung durch Energieunterschiede zwischen der Oberfläche und dem Inneren einer gegossenen Bleistange widerlegt, ganz abgesehen davon, daß die Oberfläche ja polirt war, also die etwa im Spannungszustande befindliche Oberflächenschicht nicht mehr besaß. Der Ref.) Während die Bleiblättchen sich absetzen, wird die Flüssigkeit immer mehr gelb. Es bildet sich Bleinitrit, das zum Theil gelöst bleibt, zum Theil basisches Salz fällt. (In der Bildung des Nitrils dürfte die Erklärung der Erscheinung zu suchen sein. Durch den von den NO_2 -Ionen leicht unter Bildung von NO_2 -Ionen abspaltbaren Sauerstoff wird die Bildung von Bleihydroxyd begünstigt. Es erfolgt an einer durch zufällige Oberflächenbeschaffenheit besonders geeigneten Stelle die Reaction $3 \text{Pb} + 2 \text{NO}_2 = \text{Pb}(\text{NO}_2)_2 + 2 \text{PbO} + 2(-)$. An einer anderen Stelle erfolgt die Abscheidung von Blei aus den Bleionen $2(-) + \text{Pb}^{++} = 2 \text{Pb}$. Dadurch, daß sich die wenig löslichen Ver-

¹⁾ Ann. chim. phys. [7] 1, 547–558. — ²⁾ JB. f. 1893, S. 172. — ³⁾ Bull. soc. chim. [3] 11, 424–426.

bindungen PbO resp. Pb(OH)_2 und $\text{Pb(NO}_3)_2$ in unmittelbarer Berührung mit der Metalloberfläche bilden können, wird dort die Concentration der Bleiionen erniedrigt, so daß das Ganze wie eine Concentrationskette zwischen verdünnter und concentrirter Bleilösung wirkt. Der ganze Bleistab besteht aus einer Reihe abwechselnder Stellen mit Bildung der basischen Nitrite und Abscheidung des Bleies. Der Ref.) *Bd.*

F. Mylius und O. Fromm. Ueber die Abscheidung der Metalle aus verdünnten Lösungen¹⁾. — Ueber die Natur der lockeren, tief schwarzen Niederschläge, welche durch Einwirkung von Zink oder ähnliche positive Metalle auf Lösungen der Schwermetalle entstehen, stimmen die verschiedenen Angaben nicht überein. Verfasser haben daher Versuche sowohl über die Zusammensetzung solcher Niederschläge als über die elektrolytischen Niederschläge der Metalle aus verdünnten Lösungen angestellt. Zuerst wird die *Bildung von Metalllegirungen auf nassem Wege* beschrieben. Durch Eintauchen eines Zinkstabes in eine sehr verdünnte, mit äußerst wenig Schwefelsäure versetzte Silberlösung bildet sich ein flockiger, schwarzer Ueberzug, welcher aus einer innigen Mischung von Silber mit Zink besteht und beim Drücken mit einem Achatstempel weissen Metallglanz zeigt; die Substanz hört offenbar in die Classe der Legirungen; mit concentrirter Silbernitratlösung übergossen, geht sie in krystallisirtes Silber über, indem Zinknitrat gebildet wird; auch durch die Einwirkung von stärkeren Säuren entsteht krystallisirtes Silber unter Wasserstoffentwicklung. Eine verdünnte Kupferlösung verhält sich dem Zink gegenüber wie eine Silberlösung; der Niederschlag nimmt unter dem Druck des Polirstempels gelben Metallglanz an. Verdünnte Goldchloridlösungen liefern mit Zink schwarze, lockere Flocken von *Goldzink*. Verdünnte Lösungen von Platin, Iridium, Palladium und anderen Metallen, denen man eine große Verwandtschaft zum Zink zuschreibt, liefern stets mit Zink schwarze, stark zinkhaltige Niederschläge. Dagegen geben verdünnte Bleilösungen mit Zink einen grauen Niederschlag, welcher wesentlich aus Blei besteht, übereinstimmend mit der geringen Verwandtschaft dieser Metalle zu einander. — Zinn- und Cadmiumlösungen verhalten sich dem Blei ähnlich. — Wie das Zink, besitzt auch das Cadmium zu den elektronegativen Metallen eine starke Verwandtschaft; durch Einwirkung auf verdünnte Silberlösungen in geeigneter Weise liefert es einen lockeren, schwarzen Niederschlag von Silber-

¹⁾ Ber. 27, 630—651.

Cadmium, dessen Reactionen denjenigen des Silberzinks analog sind, **aber** träger verlaufen. Mit einer 1 proc. Kupfersulfatlösung liefert **Cadmium** einen grauschwarzen, krystallinischen Niederschlag von **Kupfercadmium**, welcher beinahe die Zusammensetzung Cu_2Cd besitzt. — Mit keinem anderen Metall scheint sich das Cadmium so leicht zu vereinigen wie mit dem Golde; eine verdünnte Goldlösung ($1\text{ g H AuCl}_4, 4\text{ H}_2\text{O}$ in 1 Liter) liefert mit einem Cadmiumstab in Berührung bleigraue Kryställchen von **Goldtriacadmium**, Au_3Cd_3 ; diese Verbindung löst sich ohne Veränderung an der Luft aufbewahren, zersetzt Lösungen der edlen Metalle, ist ziemlich beständig gegen verdünnte Säure, tritt aber mit concentrirter Salzsäure leicht in Reaction, indem Cadmium beinahe vollständig in Lösung geht. — Die Platinmetalle werden durch metallisches Cadmium in lockerer Form mit einem starken Cadmiumgehalt gefällt. Verdünnte Bleilösungen geben mit Cadmium reines krystallisirtes Blei. — Zinn liefert mit verdünnten Kupferlösungen, neben einer reichlichen Trübung durch die Bildung basischer Zinnsalze, einen krystallinischen Niederschlag von **Trikupferzinn**, Cu_3Sn ; diese Verbindung ist den Säuren gegenüber ziemlich beständig, wird aber von concentrirter, warmer Salzsäure unter Wasserstoffentwicklung zersetzt. — **Silberzinn** ist auf nassem Wege schwierig herstellbar. **Goldzinn** wird durch Zersetzen einer verdünnten Goldchloridlösung durch einen Zinnstab als dunkler Niederschlag erhalten. — Das aus verdünnten Kupferlösungen durch Blei ausgeschiedene Kupfer ist stark bleihaltig und entwickelt mit Salzsäure oder Essigsäure sogleich Wasserstoff. — **Silberblei** ist schwer zu isoliren; dagegen entsteht **Goldblei** leicht als tief schwarzer Niederschlag, welcher mit Säuren kräftig Wasserstoff entwickelt. **Platinblei** bildet sich in verdünnter Platinchloridlösung an Bleiplatten als ein krystallinischer Niederschlag von hohem Bleigehalt; auch **Iridiumblei** wird in ähnlicher Weise erhalten. — Durch Kupferblech läßt sich aus verdünnten Silberlösungen keine Legierung beider Metalle isoliren; dagegen erhält man in Goldlösungen eine schwarze, lockere Fällung von kupferhaltigem Gold, welches mit salzsaurer Wasserstoff entwickelt. — Quecksilber giebt in Silberlösung krystallinisches Silberamalgame. — Eisen giebt in Kupfer-, Silber- und Goldlösungen keine Legierungen; aus Platinlösungen wird dagegen ein stark eisenhaltiger Niederschlag erhalten. Die erwähnten Beobachtungen lassen sich auf Grund elektrolytischer Vorstellungen ziemlich ungezwungen erklären und die Verfasser geben in einem theoretischen Abschnitte darüber nähere Erklärungen. Die auf nassem Wege gebildeten Legierungen

unterscheiden sich in ihrem Wesen nicht sonderlich von anderen chemischen Verbindungen; ihre Bildung läßt sich durch bestimmte Gleichungen ausdrücken und ihre Umwandlungen entsprechen den gewöhnlichen Doppeldecompositionen der chemischen Verbindungen. Weiter besprechen die Verfasser die elektrolytischen Niederschläge der Metalle aus verdünnten Lösungen. Die mit Zink aus verdünnter Lösung gefällten schwarzen Niederschläge der Metalle sind nicht mit den an der Kathode einer elektrolytischen Zelle erhaltenen Substanzen identisch. — Die Schwermetalle können aus verdünnten Lösungen ihrer Salze durch den Strom mehr oder weniger leicht im schwarzen, porösen, anscheinend amorphen Zustande gefällt werden; die Silber- und Kupferniederschläge können während des Stromdurchganges Wasserstoff occludirt enthalten, welcher nach der Stromöffnung zum größten Theil entweicht; ein freiwilliger Uebergang in die krystallinische Form ist bei den genannten Metallniederschlägen wahrnehmbar und oft von Wasserstoffabgabe begleitet. Der Uebergang von der schwarzen in die krystallinische Modification wird durch die Wirkung von Metallsalzen, Säuren und Oxydationsmitteln beschleunigt; die schwarzen Metalle sind darin den Legirungen vergleichbar. — Das schwarze wasserstoffhaltige Kupfer ist wesentlich verschieden von dem Wurtz'schen Kupferwasserstoff; eine elektrolytische Bildung dieser Verbindung existirt ebenso wenig wie eine solche mit Hülfe von Zink. — Die in Daniell'schen Elementen häufig am Zinkpol beobachteten schwarzen Niederschläge bestehen aus Kupferzink; wenn das Element erschöpft ist, wird der gleiche Niederschlag auch bisweilen am Kupferpol abgeschieden. (r.

Bernhard Neumann. Ueber das Potential des Wasserstoffs und einiger Metalle¹⁾. — Der erste Theil der Arbeit behandelt die Reduction von Metallsalzlösungen durch Wasserstoff. Viele Salzlösungen, die bei bloßer Anwesenheit von Wasserstoff unzersetzt bleiben, werden bei Gegenwart von Platin als Wasserstoffüberträger unter Metallabscheidung zersetzt. Es zeigt sich durch einfache Versuche, daß Wasserstoff im Stande ist, Gold, Palladium, Silber, Quecksilber, Kupfer, Antimon, Wismuth und Arsen aus ihren Salzlösungen zu verdrängen, während Lösungen von Blei, Nickel, Kobalt, Eisen, Thallium, Cadmium, Zinn, Zink, Aluminium, Magnesium, Mangan durch denselben nicht zersetzt werden konnten. Der zweite Theil der Arbeit umfaßt Potentialmessungen zwischen Wasserstoff und Säuren, also Messungen von Wasserstoffelektroden

¹⁾ Zeitschr. physik. Chem. 14, 193-230.

in verschiedenen Säuren gegen eine Ostwald'sche Normalelektrode. Hierbei werden allerdings die Flüssigkeitspotentialdifferenzen zwischen den Säuren und der Chlorkaliumlösung der Normalelektrode vernachlässigt. Der dritte Theil der Arbeit beschäftigt sich mit dem Potential zwischen Metallen und ihren Salzlösungen und liefert eine Reihenfolge der Metalle nach ihrer verschiedenen Ionisirungstendenz. Im vierten Theile wird der Nachweis geliefert, daß bei gleicher Dissociation des Elektrolyten das Anion ganz ohne Einfluss auf das Potential des Metalls ist. Schließlich werden noch die absoluten Potentiale von Oxydations- und Reductionsmitteln gemessen, zwischen denen sich gerade in elektrischer Beziehung eine schärfere Grenze ziehen läßt, als nach der gewöhnlichen Auffassung.

Bs.

K. Kahle. Vergleichende Untersuchungen über die elektromotorische Kraft des Clark'schen Normalelementes. [Mittheilung aus der physikalisch-technischen Reichsanstalt ¹⁾.] — Die meisten früheren Untersuchungen des Clarkelementes sowohl von Latimer Clark selbst, als von Lord Rayleigh, Alder Wright, Swinburne, sowie Glazebrook und Skinner sind an unzuweckmäßig geformten Elementen vorgenommen worden. Einwurfsfreie Ergebnisse können nur an Elementen gewonnen werden, bei denen die gesammte wirksame Oberfläche der Elektroden für alle Temperaturen, welche das Element annehmen soll, von der concentrirten Lösung des Elektrolyten umgeben ist. Diese Forderung erfüllt das Element in der von Lord Rayleigh angegebenen H-Form, weshalb Kahle sämtliche Versuche mit dieser Normalform des Elementes angestellt hat. Zunächst wird die Constanz und Reproducirbarkeit der H-Form-Elemente geprüft; es zeigte sich, daß, obwohl die Elemente zu verschiedenen Zeiten und mit verschiedenen Materialien hergestellt wurden, die elektromotorische Kraft keines derselben eine Abweichung vom Normalwerthe zeigt, die mehr als 0,0001 Volt überschreitet, die mittlere Abweichung beträgt 0,000004 Volt. Auch nach anderthalb Jahren sind keine Aenderungen von mehr als 0,0001 Volt eingetreten. Die das Quecksilber bedeckende Paste von Mercurosulfat, Quecksilber und Zinksulfat darf das Zinkamalgam nicht berühren, da sonst oft sprungweise auftretende und verschwindende, nicht unerhebliche Aenderungen der elektromotorischen Kraft auftreten. Trotzdem ist auch an der Zinkamalgamelektrode Sättigung mit Mercurosulfat erforderlich. Kurz nach dem Zusammensetzen zeigen die

¹⁾ Ann. Phys. 51, 174 202.

Elemente stets zu hohe Werthe der elektromotorischen Kraft, so daß eine verbürgte Genauigkeit auf 0,0001 Volt nicht vor Ablauf eines Monats nach der Herstellung zu garantiren ist. Im Weiteren studirt Kahle den Einfluß von Verunreinigungen auf die elektromotorische Kraft. Es zeigte sich Folgendes: Das käufliche Zink enthält keine positiven Metalle, die störend auf die elektromotorische Kraft des Elementes wirken könnten. Vermeidet man die Unregelmäßigkeiten, welche eine nur oberflächliche Amalgamirung mit sich bringt, durch Verwendung eines festen Amalgams, so dürfte bei Verwendung des käuflichen, chemisch reinen Zinks die negative Elektrode des Elementes weiter keine Fehlerquellen in sich bergen. Verunreinigungen des Zinks durch negativere Metalle gehen oft zu schwachen Localströmen Anlaß, die bisweilen Gasentwicklung zur Folge haben, dies ist besonders bei Elementen mit arsenhaltigem Zink der Fall. Man thut daher gut, auf die Reinheit des Zinks großen Werth zu legen. Gutes käufliches Zinksulfat enthält nie so starke Beimengung anderer Salze, daß durch diese die elektromotorische Kraft des Elementes beeinflusst werden könnte; dagegen erniedrigt die Anwesenheit freier Säure die elektromotorische Kraft um einige Zehntausendstel Volt und ruft Gasentwicklung hervor, ist also unter allen Umständen zu vermeiden. Es folgt hieraus, daß sich bei der Zusammensetzung des H-förmigen Clark'schen Elementes ohne größere Schwierigkeiten die störenden Einflüsse ausschließen lassen, welche Abweichungen seiner elektromotorischen Kraft vom normalen Werthe um mehr als 0,0001 Volt bedingen könnten. Es wird dann eingehend die Feufsnier'sche Form und die alte englische Form discutirt. Das Studium des Temperatureinflusses zeigt, daß diese letzteren Formen, die auch sonst den Anforderungen nicht vollständig genügen, speciell bei Temperaturänderungen Abweichungen zeigen während sich der Werth der H-förmigen Elemente, wenn sie vor größeren Temperaturänderungen geschützt sind, auf 0,0001 Volt und selbst bei plötzlichen Temperatureinflüssen auf 0,001 Volt angeben läßt.

Rs.

K. Kahle. Vorschriften zur Herstellung von Clark'schen Normalelementen. [Mittheilung aus der physikalisch-technischen Reichsanstalt¹⁾.] — Auf Grund der eingehenden Untersuchungen über Clark'sche Normalelemente sind hier die Vorschriften zur Herstellung möglichst genauer Reproductionen derselben angegeben. Das von Kahle empfohlene Gefäß für das Element schließt sich

¹⁾ Ann. Phys. 51. 203—211.

in seiner Form wesentlich an die von Lord Rayleigh angegebene H-Form an, hat aber nur eine Einfüllöffnung, welche durch einen als Thermometer ausgebildeten eingeschliffenen Glasstöpsel verschlosbar ist. In den einen Schenkel wird reines Quecksilber, in den anderen ein heissflüssiges, nach dem Erkalten erstarrendes Amalgam geschüttet, das etwa 90 Thle. Quecksilber und 10 Thle. Zink enthält. Die in den Boden der Schenkel eingeschmolzenen Platindrahte müssen vom Quecksilber bzw. Amalgam völlig bedeckt sein. Auf das Quecksilber wird eine 1 cm hohe Paste gebracht, die durch Zusammenreiben von Quecksilberoxydulsulfat und Quecksilber mit einem aus Zinksulfatkrystallen und concentrirter Zinksulfatlösung gebildeten Brei gewonnen ist. Sowohl die Paste als auch das Zinkamalgam werden darauf mit einer 1 cm hohen Schicht von Zinksulfatkrystallen überdeckt und dann das ganze Gefäß soweit mit concentrirter Zinksulfatlösung gefüllt, daß beim Einsetzen des Glasstöpsels noch eine kleine Luftblase bleibt, die bei starker Temperaturänderung das Gefäß vor dem Zerspringen schützt. Beim endgültigen Verschluss des Gefäßes wird vor dem Einfügen des Glasstöpsels derselbe an seinem oberen Rande mit einer alkoholischen Schellacklösung bestrichen und dann fest eingedreht. Bei versandfähigen Elementen wird am Quecksilberpol statt des Quecksilbers ein kreisförmiges Platinblech als Elektrode verwandt, welches elektrolytisch amalgamirt wird. Was die Zubereitung der Materialien betrifft, so soll das *Quecksilber* von allen gröberen Verunreinigungen nach bekanntem Verfahren gereinigt und im Vacuum destillirt sein. Das *Zink*, welches im Handel als chemisch rein bezeichnet wird, kann ohne Weiteres benutzt werden. Zur Herstellung des Amalgams füge man zu 9 Gew.-Thln. Quecksilber 1 Gew.-Thl. Zink hinzu und erwärme beides in einer Porcellanschale so lange unter mäßigem Umrühren auf wenigstens 100°, bis sich alles Zink gelöst hat. Das käufliche Zinksulfat wird mit Congoroth auf Säure, mit Rhodankalium auf Eisen geprüft. Durch Kochen mit Zinkspänen werden merkliche Mengen Säure neutralisirt und durch Elektrolyse nach einem von der Reichsanstalt ausgearbeiteten Verfahren die Reinigung von Eisen erzielt. Die näheren Einzelheiten, betreffend die Herstellung der beiden Salze, wolle man im Original nachlesen. *Rs.*

S. Skinner. Das Clarkelement während der Stromabgabe ¹⁾. — Der Verfasser untersucht Clarkelemente während der Stromabgabe. Die Resultate der Arbeit lassen sich in die beiden Sätze

¹⁾ Phil. Mag. 38, 271—279.

zusammenfassen: Die elektromotorische Kraft der Polarisation steht in einer bestimmten Zelle in directem Zusammenhang mit der Stromdichte. Bleibt die der Zelle entzogene Stromstärke gleich, so steigt die elektromotorische Kraft der Polarisation langsam an. Im Allgemeinen erweist sich eine Stromentnahme mit der Stromdichte $N.D_{100} = 0,01$ Amp. noch als durchaus schädlich für die Elemente. Rs

Franz Streintz. Ueber die thermochemischen Vorgänge im Secundärelement¹⁾. — Nimmt man als Vorgang im Bleiaccumulator die Bildung von Bleisulfat und Wasser aus Schwefelsäure, Blei und Bleisuperoxyd an, so ergibt sich die thermochemische Energie des Secundärelementes durch die Gleichung: $Pb + 2H_2SO_4aq + Pb = 2PbSO_4aq + 87000 \text{ cal.}$ Daraus berechnet sich die elektromotorische Kraft des Elementes, soweit sie der Wärmewirkung (Aenderung der Gesamtenergie) zuzuschreiben ist, zu 1,885 Volt. Berechnet man die Aenderung der Gesamtenergie aus der an einem Accumulator mit möglichst verdünnter Schwefelsäure gemessenen elektromotorischen Kraft und ihren Temperaturefficienten, so ergibt sich 1,860 Volt. Die Uebereinstimmung beider Werthe lässt nichts zu wünschen übrig und macht den obigen stromliefernden Vorgang sehr wahrscheinlich. A

Paul Schoop. Die Theorie der Bleiaccumulatoren nach M. G. Darriens und Beitrag zur Frage der Lebensdauer des Bleisammlers²⁾. — Der Verfasser giebt einen von eigenen Bemerkungen begleiteten Auszug aus einer Abhandlung von Darriens. Dieser nimmt an, dass bei der Ladung an der Anode Ueberschwefelsäure entsteht, welche das Bleioxyd des entladenen Accumulators in Bleisuperoxyd verwandelt. Taucht man eine bis zur Sauerstoffentwicklung geladene Bleisuperoxydplatte in reines Wasser, so sinkt entlang der Plattenoberfläche eine syrupartige Flüssigkeit herab, die unter Sauerstoffentwicklung sich im Wasser löst. Diese Flüssigkeit giebt mit Chromsäure nicht die Wasserstoffsuperoxydreaction, oxydirt nicht arsenige Säure, wohl aber Jodwasserstoff. Darriens hält sie für Ueberschwefelsäure. Bei der Entladung der aus Bleisuperoxyd bestehenden Platte entsteht nicht Bleisulfat, sondern Bleioxyd. Eine positive Accumulatorplatte wurde nach der Entladung des Accumulators bis auf 1,50 Volt herausgenommen und untersucht, wobei das Bleisulfat nach Am

¹⁾ Ann. Phys. 53, 698—706, dasselbe im Monatsh. Chem. 15, 285—293.

— ²⁾ Zeitschr. Elektrotechn. u. Elektrochem. 1, 293—298. — ³⁾ Bull. de Soc. intern. des Electriciens 1892.

waschen der freien Schwefelsäure mit kaltem und dann mit heißem Wasser durch Kochen mit Soda zersetzt wurde. In der Sodaauslösung wurde die Schwefelsäure bestimmt und daraus das Bleisulfat berechnet. Die Platten enthielten 1,16 bis 4,41 Proc. Bleisulfat. Nach Abzug des von der Entladung in der Platte vorhandenen Bleisulfats (0,19 bis 3,60 Proc.) enthielt die Platte an frisch gebildetem Bleisulfat 0,81 bis 4,74 Proc., während der Stromentnahme 18,66 bis 29,47 Proc. Bleisulfat entsprachen. Letzteres kann also nicht primäres Product der Entladung sein. Vielmehr ist es erst secundär durch Einwirkung der Schwefelsäure auf das Bleioxyd entstanden. (Es wäre möglich, daß in der Platte bei der Entladung der Anode zunächst ein colloidales Bleisulfat entsteht, das durch das heiße Wasser hydrolytisch gespalten wird und so dem Nachweis entgeht.) An der Kathode entspricht die gebildete Menge Bleisulfat der theoretischen. Indessen glaubt Darriens, daß auch an der Kathode die Sulfatbildung secundär erfolgt, weil bei der Entladung eines mit Natriumsulfat statt mit Schwefelsäure gefüllten Accumulators (mit 1,89 Volt) die negative Platte kein Bleisulfat enthielt. Das in Natriumsulfat entladene Material besteht wahrscheinlich aus einem Gemenge von Blei und Bleisuboxyd. Darriens nimmt an, daß das Bleisuboxyd auch im Schwefelsäureaccumulator das normale Product an dem negativen Pol ist. Es reagiert aber sofort mit der Schwefelsäure unter Bildung von Bleisulfat und metallischem Blei. Dadurch, daß letzteres dem Bleisulfat, welches für sich nicht leitet, innig beigemengt ist, wird die Möglichkeit der schnellen Reduction des Sulfats bei der Ladung gegeben.

Bdl.

Paul Schoop. Ueber das Messen der elektromotorischen Größen an Accumulatoren¹⁾. — Es kommt für die Beurtheilung der Accumulatoren außer auf Capacität und Nutzeffect auf die Lebensdauer an. Durch Untersuchung des Accumulators läßt sich die Aenderung der einzelnen Platten, die schließlich zu einer Abnahme der Capacität und der Widerstandsfähigkeit führt, lange bevor das Element unbrauchbar geworden ist, erkennen und es lassen sich Vorsichtsmaßregeln treffen. Der Verfasser beschreibt Methoden zur Messung der Spannung, des Widerstandes sowohl des Elementes als der einzelnen Platten und der Aenderung des Potentials der einzelnen Platten während der Ruhe und der Stromentnahme. Zur besseren Erhaltung der Platten empfiehlt der Verfasser die Circulation der Säure. Es wird an Beispielen die

¹⁾ Zeitschr. Elektrotechn. u. Elektrochem. 1, 234–243.

Verwendung der Versuchsergebnisse zur Charakteristik einzelner Plattentypen gezeigt. *Bill.*

J. Z. Ueber Reactionen an der Superoxydelektrode ¹⁾. — An einer Accumulatorzelle, die in völlig geladenem Zustande einige Jahre unberührt gestanden hatte, war die active Masse am Rande, wo sie das Bleigerüst berührte, stark zerstört und mit Sulfat bedeckt. Die Sulfatbildung und die Zerstörung auf der positiven Platte sind durch einen elektrolytischen Proceß zu erklären, der zwischen Bleigerüst und activer Masse sich abspielt. Platten, welche hauptsächlich aus activer Masse und einem schwachen, schmalen Bleigerüst bestehen, zeigen eine geringere Sulfatbildung als Gitterplatten. *Op.*

F. Grünwald. Herstellung der wirksamen Masse für Sammelbatterien ²⁾. — Die wirksame Masse wird durch Mischen von fein zertheiltem Blei (oder Bleiverbindungen) mit Leinöl oder borsäurem Manganoxydul hergestellt. Das Gemenge wird in die Rahmen der Platten eingebracht und an der Luft oder in einem mäßig erwärmten Ofen getrocknet. Bei der Formirung wird die Borsäure des borsäuren Manganoxyduls in Bor und Sauerstoff zersetzt. Letzterer unterstützt den durch die Elektrolyse der Flüssigkeit freigewordenen Sauerstoff bei der Umwandlung des Bleipulvers und des Manganoxyduls in Superoxyde; das Bor schlägt sich am negativen Pol der Bleiplatte nieder, während das Leinöl durch den Sauerstoff vollends verharzt wird und so als Bindemittel dient. *Op.*

C. Payen. Die Chlorid-Accumulatoren-Batterie ³⁾. — Aus einem Gemenge von Bleichlorid und Zinkchlorid werden in geeigneten Formen kleine Platten von weißer Farbe gegossen, die sehr spröde sind. Für negative Platten haben dieselben eine Größe von ca. $\frac{3}{4}$ Zoll und eine Dicke von $\frac{1}{16}$ Zoll und sind in Gruppen von vier Stück durch Leisten mit einander verbunden. Für positive Platten ist die Masse in einzelne Rauten mit abgeschrägtem V-förmigem Umfang gegossen. Diese Rauten werden in eine Form gelegt und unter hohem Druck mit einer Legirung aus Blei und Antimon in geeigneten Mengenverhältnissen umgossen, wodurch die Platten in den Bleirahmen fest eingelagert werden. Die Gufsstücke mit den Chloridplatten werden dann mit Zinkplatten in eine verdünnte Zinkchloridlösung

¹⁾ Zeitschr. Elektrotechn. u. Elektrochem. 1, 203—204. — ²⁾ D. R.-P. Nr. 73042. — ³⁾ J. Frankl. Inst. 138, 241—247.

gebracht und abwechselnd mit einander durch eine metallische Leitung verbunden. Diese Anordnung ist einer kurz geschlossenen Primärbatterie entsprechend. Die chemische Reaction besteht in der Zersetzung der Chloride und es hinterbleibt schliesslich ein dichter Rahmen mit Tafeln aus Schwammblei, die dann auf gewöhnliche Weise formirt werden. Das Schwammblei ergibt sich so als aus Krystallen bestehend, deren Längsaxen senkrecht zur Oberfläche der Platten stehen, wodurch eine Ausdehnung der Masse bei der Elektrolyse ohne Formveränderung der Platte ermöglicht wird. Durch die molekulare Aneinanderlagerung der Krystalle ist die Bindung und die elektrische Leitung der Platten die denkbar beste. Auch die Oberfläche der Masse gewinnt durch diese krystallinische Beschaffenheit an Grösse. Die interkrystallinen Zwischenräume bewirken die nöthige Porosität der Platte. Alle diese Vortheile bewirken die hohe Capacität einer derartigen Batterie. Zwischen die Platten ist eine dünne Asbestscheibe eingeschoben, die den inneren Widerstand nicht wesentlich erhöht, aber Kurzschlüsse innerhalb der Platten verhindert. Der durch mangelnden Contact zwischen activer Masse und Gitter verursachte Widerstand ist durch die Art der Fabrikation auf ein Minimum reducirt. Die Batterien haben sich in Paris für Beleuchtungszwecke sehr gut bewährt, ebenso in einigen Betrieben in Philadelphia.

B.

A. Wilke. Batterieschalter für Accumulatorenbatterien in elektrochemischen Laboratorien ¹⁾. — Verfasser beschreibt an der Hand verschiedener Skizzen eine Schaltung für Accumulatorenbatterien, die in einfacher Weise die Schaltung der Zellen zu Gruppen variiren lässt.

Op.

A. Schmidt. Ueber eine zweckmässige Anordnung von Accumulatoren für chemische Laboratorien ²⁾. — In einem Holzkasten befinden sich vier aus Bleigefässen bestehende Accumulatoren von je 5 Amp.-St.-Capacität, die vollständig geschlossen und nur oben mit einer Oeffnung zum Einfüllen der Säure versehen sind. Die positiven und negativen Pole jeder Zelle sind durch Drahte mit einem Schaltbrett verbunden, das auf der Vorderseite des Holzkastens aufgeschraubt ist und zwar führen die Drähte der positiven Pole zur oberen, die der negativen Pole zur unteren Hälfte des Schaltbrettes. Beide Hälften des Schaltbrettes bestehen aus vier vier-eckigen Messingplatten, die durch geeignete Stöpselung die Elemente in der verschiedensten Weise zu schalten gestatten. Die Kästen

¹⁾ Zeitschr. Elektrochem., 1894, S. 317—321. — ²⁾ Chemikerzeit. 18, 468.

werden von der Firma E. Leybold's Nachfolger, Köln a. Rh., in den Handel gebracht.

Op.

P. Schoop. Hat der alkalische Zink-Kupfer-Accumulator Aussicht auf baldige praktische Verwerthung im Trambetrieb¹⁾. — Fast alle Versuche, den Bleiaccumulator als Betriebsmittel für Trambahnen zu verwenden, sind gescheitert, hauptsächlich aus finanziellen Gründen, da er eine Amortisation von 50 bis 100 Proc. des Werthes verlangt und weil ferner die eigentlich elektrochemische Seite der Bleizelle noch wenig studirt ist. An Stelle des Bleiaccumulators hat man Versuche mit dem Zinksammler gemacht, bei dem eine Zinkplatte als Anode, Kupferoxyd, in einem eisernen Becher enthalten, als Kathode und als Elektrolyt eine wässrige Lösung von Kalihydrat dient. Beim Schließen des Stromkreises löst sich Zink auf und das Oxyd wird zunächst in Oxydul und dann in metallisches Kupfer verwandelt. Wiewohl dieser Sammler bezüglich der Capacität wie Kraftabgabe dem Bleiaccumulator überlegen ist, scheitert seine Verwendung an der geringen Zuverlässigkeit und Dauerhaftigkeit, sowie an der umständlichen Behandlung, die dieser Accumulator erfordert, indem er bei 50° geladen werden und zur Bildung eines regelmäßigen Zinküberzuges der Elektrolyt in steter Bewegung gehalten werden muß. Ferner muß der Elektrolyt sorgfältig gegen Luft geschützt werden, da sich sonst Kaliumcarbonat bildet.

Op.

H. N. Warren. Das Magnesiumelement²⁾. — An Stelle der Danielllemente mit hohem innerem Widerstand und der Bunsen- und Groveelemente mit stark ätzenden Reagentien empfiehlt Verfasser eine Zelle, in welcher Zink durch einen Magnesiumstab ersetzt ist, welcher sich innerhalb einer Thonzelle in Ammoniumchlorid befindet. Umgeben ist die Thonzelle von einer Kupferelektrode in stark mit Salzsäure angesauerter Kupferchlorürlösung. Die Combination soll die Spannung einer Salpetersäure- oder Chromsaurezelle liefern.

B.

Queen u. Co. Kleines Trockenelement³⁾. — Auf dem Boden eines zugeschmolzenen Glasrohres sitzt eine Kohleelektrode, in die zur Ableitung ein Platindraht eingesetzt ist. Der untere Raum ist bis an die obere Fläche der Kohle mit einer depolarisirenden Paste gefüllt, die entweder aus einem Brei von Jodschwefel oder einem Gemisch von Quecksilberoxyd und Jod besteht; letzterer Depolarisator giebt eine etwas höhere elektromotorische Kraft.

¹⁾ Zeitschr. Elektrochem. 1894, S. 131–134. — ²⁾ Chem. News 70, 179.
— ³⁾ Zeitschr. Elektrochem., 1894, S. 93.

Die Röhre ist dann weiter mit einer Paste von $2\text{AlCl}_3 + 3\text{ZnO} + 6\text{H}_2\text{O}$ gefüllt, in die ein Zinkstab taucht. Das Ganze wird dann zunächst mit einer zähflüssigen Masse — Chatterton-Compound — vergossen und dann mit Gyps verschlossen. Die elektromotorische Kraft dieser Elemente soll bei 25 bis 30 Ohm innerem Widerstand 1.35 bis 1.40 Volt betragen. *Op.*

W. Walker und R. F. Wilkins. Verbesserungen in primären Volta'schen Batterien¹⁾. — Zwischen ein Drahtnetz und ein Diaphragma, das die Zinkelektrode enthält, sind Stücke von Retortenkohle gepackt, über welche continuirlich der Elektrolyt fließt; der Ueberschuss sammelt sich in einem darunter befindlichen Gefäß. Die große Oberfläche, welche die Kohle der Luft bietet, bewirkt, daß der bei der Stromerregung entstandene Wasserstoff durch den Luftsauerstoff oxydirt wird. *Op.*

Alfred Ditte. Beitrag zum Studium der Vorgänge im Leclanchéelement und in einigen analogen Elementen²⁾. — Es wird ein ausführlicherer Bericht über die Untersuchungen gegeben, welche nach anderer Quelle schon früher³⁾ besprochen worden sind. *Bdt.*

P. L. Aslanoglou. Seewasser als chemischer und mechanischer Depolarisator für Primärbatterien⁴⁾. — Verfasser ersetzt das Chlorammonium der Leclanchéelemente durch Seewasser. Die Batterien sind so angebracht und eingerichtet, daß das Meerwasser direct in die Zellen eindringen kann und durch seine Bewegung die Platten mechanisch depolarisirt. Die Batterie liefert eine kleine elektromotorische Kraft, stellt sich aber im Preise viel billiger als die gewöhnlichen Leclanchéelemente. *B.*

Frederick J. Smale. Studien über Gasketten⁵⁾. — Smale hat die Prüfung der von Ostwald auf Grund der Nernst'schen osmotischen Theorie der galvanischen Stromerzeugung aufgestellten Theorie der Gasketten unternommen. Nach einer historischen Uebersicht wird die Theorie der Gaskette entwickelt; ein weiterer Abschnitt ist dann der Beschreibung und Anordnung des Apparates gewidmet. Der erste Theil der Untersuchung umfaßt nun zunächst Versuche mit Wasserstoff und Sauerstoff, sowie die Prüfung des Einflusses, den Beschaffenheit und Größe der Elektroden auf die elektromotorische Kraft der Gaskette ausüben. Es zeigt sich, daß das Elektrodenmetall irrelevant ist, Gold, Platin und Palladium

¹⁾ Engl. Pat. Nr. 10942; Chem. Soc. Ind. J. 13, 529. — ²⁾ Ann. chim. phys. [7] 1, 115—144. — ³⁾ JB. L. 1893, S. 171, 172. — ⁴⁾ Chem. News 69, 210—211. — ⁵⁾ Zeitschr. physik. Chem. 14, 577—621.

ergeben sehr nahe gleiche Werthe. Mit Kohlenelektroden ließen sich dagegen keine constanten Resultate erreichen. Die Elektroden dürfen für die Messungen nicht zu klein gewählt werden; dies gilt weitaus am meisten für die Sauerstoffelektrode. Weiterhin wird der Einfluß der Natur und Concentration des Elektrolyten auf die elektromotorische Kraft der Gaskette untersucht. Es zeigt sich, daß für Elektrolyte, bei denen keine Einwirkung der Gase auf den Elektrolyten stattfindet, sich annähernde Unabhängigkeit der elektromotorischen Kraft vom Elektrolyten ergibt. Bei den Salzlösungen zumal waren constante Resultate überhaupt nicht zu erwarten, weil die geringsten durchgegangenen Strommengen Säure-Alkali-Polarisation zur Folge haben, die sogleich beträchtliche Aenderung der Spannung bedingen kann. Weiterhin werden Messungen an Wasserstoff-Chlor-Gasketten, sowie solche mit Wasserstoff an der einen, Brom oder Jod an der anderen Elektrode ausgeführt, auch Wasserstoff-Luft-Ketten werden gemessen. Im zweiten Theile der Arbeit werden zunächst Flüssigkeits-Concentrations-Ketten mit Wasserstoffelektroden gemessen, bei denen sich stets eine befriedigende Uebereinstimmung mit der Theorie ergibt. Es werden dann weiterhin die elektromotorischen Kräfte der Einzelgaselektroden bestimmt. Theil III bringt zunächst die Bestimmung des Temperaturcoefficienten der Wasserstoff-Sauerstoff-Kette, wobei diese sich als reversibel ergibt. Weiterhin wird der Temperaturcoefficient der Wasserstoffelektrode allein zu bestimmen versucht und daraus eine Abnahme der Lösungstension mit der Temperatur zu folgern versucht; leider ohne Berücksichtigung der Thermoketten zwischen den Elektrolyten. Bs.

L. Cailletet und E. Collardeau. Bemerkungen über die Condensation der Gase der Elektrolyse durch poröse Körper und besonders durch die Metalle der Platingruppe. Anwendungen auf das Gaselement. Elektrische Accumulatoren unter Druck¹⁾. — Die Verfasser haben Elektroden hergestellt aus Platinmohr, der in kleine Säckchen aus Seidenstoff gepreßt war und einen Platindraht als Zuleitung hineingesteckt erhielt. Zwischen zwei solchen Elektroden wurde Wasser elektrolytisch zerlegt und ein großer Theil der Gase von den Schwammelektroden aufgenommen. Bei der Depolarisation laßt sich ein Theil der hineingesteckten elektrischen Energie wiedergewinnen. Es zeigte sich nun, daß die Capacität eines solchen kleinen Gasaccumulators sich durch Druck-erhöhung ganz erheblich steigern ließe. Der Nutzeffect betrug für

¹⁾ Compt. rend. 119, 830—834.

Strom 95 bis 96 Proc. und die Capacität für 1 kg Platinmohr 56 Amperestunden. Bei Palladium wurde sogar unter 600 Atm. eine Capacität von 176 Amperestunden erreicht. Berthelot¹⁾ kommt im Anschluß an diese interessanten Resultate in einer kurzen Bemerkung auf seine Platinwasserstoffverbindungen zurück. *Bs.*

K. R. Koch u. A. Wüllner. Ueber Ausbreitungswiderstand und Polarisation an Elektroden von kleiner Oberfläche²⁾. — Die Verfasser haben sich früher (JB. f. 1892, S. 414) mit der galvanischen Polarisation an kleinen Elektroden beschäftigt und sind nun durch Bemerkungen von Richarz zu dieser Arbeit zur Untersuchung darüber veranlaßt worden, in wie weit sich bei den kleinen der Ausbreitungswiderstand an den hohen beobachteten Polarisationen theilnimmt. Die vorliegenden Beobachtungen scheinen den Verfassern dafür zu sprechen, daß der auftretende Uebergangswiderstand nicht durch einen jedem Elektrolyten speciell eigenthümlichen Körper hervorgerufen wird, sondern daß die Ursache mehr in allgemein bei der Polarisation auftretenden Umständen zu suchen sein wird. Es liegt demgemäß nahe, hierbei an eine Gas- oder Dampfschicht als Ursache des Widerstandes zu denken, doch scheint den Verfassern dies nicht mit dem allmählichen Wachsthum der Polarisation in Einklang zu bringen zu sein. *Bs.*

P. Springmann. Ueber die Polarisation an festen Niederschlägen zwischen Elektrolyten³⁾. — Springmann hat zwei Salzlösungen, die mit einander unlösliche Niederschläge geben, in die Elektrodenräume eines elektrolytischen Troges gebracht und Strom durchgeleitet, derart, daß der Niederschlag im Diaphragma, das aus Pergamentpapier, Gyps oder Thonzellen bestand, entstehen mußte. Es sind nicht nur Salzpaare gewählt, deren Niederschläge die Eigenschaften halbdurchlässiger Membranen haben, sondern auch zahlreiche andere, um einen Vergleich zu ermöglichen. Es wird besonders der Einfluß der Stromstärke, der Concentration unter Berücksichtigung des Einflusses der Stromstärke, der Einfluß der Temperatur und der Wandbeschaffenheit untersucht. In einzelnen Fällen tritt sehr erhebliche Polarisation ein in Folge Bildung eines metallischen Zwischenleiters, so beim Blei, wo sich auch der Polarisationswerth nahe 2 Volt findet. In anderen Fällen wiederum tritt große Widerstandsvermehrung in Folge Bildung sehr schlecht leitender Niederschlagsschichten auf. Das einzelne

¹⁾ Compt. rend. 119. 834. — ²⁾ Ann. Phys. 52. 691—699. — ³⁾ Dissellot 34. 141—155.

Beobachtungsmaterial ist zu mannigfaltig, um hier eingehender angeführt zu werden.

Bs.

Th. Des Coudres. Der zeitliche Verlauf der Selbstpolarisation in geschlossenen Amalgam-Concentrationselementen ¹⁾. — Studirt man das thermoelektrische Verhalten verdünnter Amalgame, so steht wegen der auch für solche vorhandenen Gültigkeit der Gesetze des osmotischen Druckes zu erwarten, daß Erscheinungen analog dem Ludwig'schen Phänomen innerhalb des verschieden temperirten Amalgams auftreten werden, so daß also der Diffusionscoefficient des Metalls im Quecksilber bei thermoelektrischen Versuchen mit verdünnten Amalgamen vielleicht eine Rolle spielen kann. Um nun auf experimentellem Wege solche Diffusionsconstanten zu ermitteln, lassen sich Methoden ableiten, welche in mehrfacher Hinsicht der von H. F. Weber zur Bestimmung von Diffusionsconstanten von Elektrolyten analog sind. Auf den rein mathematisch-physikalischen Inhalt der Arbeit kann nicht eingegangen werden, nur sei erwähnt, daß sich Resultate ergeben, welche zum Theil in guter Uebereinstimmung mit der Erfahrung stehen.

Bs.

Jan Roszkowski. Studien über die kathodische Polarisation. I. Verlauf und GröÙe der galvanischen Polarisation bei festen Kathoden ²⁾. — Der Zweck der Untersuchungen ist in erster Linie das Studium des ganzen Verlaufs und der Stärke der kathodischen Polarisation, sowie die Wirkung der Oberflächenbeschaffenheit der Kathode auf den Verlauf und die GröÙe der Wasserstoffpolarisation. Daher sind die Untersuchungen entsprechend den in Betracht kommenden Stoffzuständen in solche mit festen und solche mit flüssigen Kathoden eingetheilt. Die Messungen werden gegen eine Normalelektrode ausgeführt unter besonderer Berücksichtigung des Schutzes gegen die Stromlinien des polarisirenden Stromes. In den Vorversuchen wurde untersucht die Abhängigkeit der Polarisation von der Zeit bei constanter polarisirender Kraft, die Beziehungen zwischen der Wasserstoffpolarisation und der Stromintensität der elektrolysirenden Kette, die Abhängigkeit von der polarisirenden Stromquelle, und namentlich von der GröÙe der Elektroden. Weiterhin wird an Platinelektroden der Einfluß der Oberflächenbeschaffenheit studirt und zwar werden 1. sorgfältig polirte, spiegelglatte Platinkathoden, 2. platinirte Platinplatten, 3. zerkratzte, und 4. mit Platingrau bedeckte Platten untersucht. Die niedrigsten Werthe gehen die platinirten Elektroden, dann

¹⁾ Ann. Phys. 52, 191—206. — ²⁾ Zeitschr. physik. Chem. 15, 267—304.

folgen die mit Platingrau bedeckten und schließlich die polirten, zu allerletzt die polirten und zerkratzten Elektroden. Bei keiner Elektrodenart konnte ein Polarisationsmaximum constatirt werden. Der Verlauf der Wasserstoffpolarisation gestaltet sich am regelmässigsten bei den platinirten Platinkathoden, wo dieselbe proportional der elektromotorischen Kraft des primären Stromes ansteigt. Die GröÙe der kathodischen Polarisation ist von der Occlusionsfähigkeit der Elektroden für Wasserstoff abhängig. Die mit Silberelektroden angestellten Versuche ergeben ganz ähnliche Resultate; vor allen Dingen konnte auch hier bis zu einer polarisirenden elektromotorischen Kraft von 4,8 Volt kein Maximum der Polarisation erreicht werden.

Bs.

Jan Roszkowski. Studien über die kathodische Polarisation. II. Verlauf und GröÙe der galvanischen Polarisation bei flüssigen Elektroden¹⁾. — Die Untersuchungen mit flüssigen Kathoden, die in ganz ähnlicher Weise wie die Versuche in Theil I dieser Arbeit angestellt werden, erstrecken sich auf Elektroden aus Quecksilber, ferner Zink-, Blei- und Kupferamalgame und schließlich auf Elektroden aus Wood'schem Metall. Auch hier gelang es nicht, einen bei steigender primärer elektromotorischer Kraft unveränderlich bleibenden Werth des Potentialunterschiedes an der Kathode, das sogenannte „Polarisationsmaximum“, zu constatiren, trotzdem die früheren Angaben entsprechende Höhe der polarisirenden Kraft in allen Fällen überschritten wurde. Bei den Kathoden aus Wood'schem Metall wurde constatirt, daß die Polarisationswerthe im Momente des Schmelzens oder Erstarrens ungeändert blieben. Bei höheren Polarisationswerthen haben flüssige Elektroden unabhängig von ihrer Natur dieselbe Polarisation.

Bs.

M. L. Houllevigue. Elektrolyse und Polarisation von Salzgemischen²⁾. — Die Resultate der ziemlich umfangreichen Experimentaluntersuchung lassen sich folgendermaßen zusammenfassen: Der von Buff aufgestellte Satz, daß das Verhältniß, in welchem zwei Metalle aus der Lösung des Salzgemisches abgeschieden werden, von der Stromdichte unabhängig sein soll, darf nur als Grenzgesetz für genügend hohe Stromdichten betrachtet werden. Dagegen besteht zwischen den Konzentrationsänderungen des Gemisches und der Zusammensetzung der Zersetzungsproducte ein einfacher Zusammenhang. Die Polarisation hängt von allen Componenten des Salzgemisches ab, auch wenn nur ein Salz wirklich zerlegt wird. Der von Lippmann formulierte Satz, daß die

¹⁾ Zeitschr. physik. Chem. 15, 305—322. — ²⁾ Ann. chim. phys. [7] 2, 351.

Polarisation einer Elektrode Null bleibt, so lange in dem Salzgemisch ein Salz des Elektrodenmetalls vorhanden ist, gilt nur für geringe Stromdichte, namentlich je geringer die Quantität des gelösten Salzes ist. Zwischen der Natur der Niederschläge und der vorhandenen Polarisation besteht ein theoretischer Zusammenhang. Bei der Untersuchung kamen lediglich Lösungen in Frage, aus denen gut bestimmbare Metalle abgeschieden wurden, für constante treibende elektromotorische Kraft, constanten Strom und gleichmäßige Stromdichte an der Elektrode wurde Sorge getragen. Bs.

O. Wiedeburg. Ueber die Gesetze der galvanischen Polarisation und Elektrolyse ¹⁾. — Der Verfasser beabsichtigt, in Form mathematischer Analyse eine möglichst umfassende Darstellung der Polarisationsercheinungen zu geben und hofft damit eine bessere „Erklärung“ derselben im Sinne Kirchhoff's zu erzielen, als bisher gegeben worden ist. Die wesentlichste Annahme Wiedeburg's ist diejenige, dafs „nicht alle herangeführten Ionen an den Elektroden elektromotorisch wirksam sind, sondern unter allen Umständen nur ein Bruchtheil derselben, während der Rest „neutralsirt“ wird, seine Ionnatur verliert und zum Potentialsprung nichts beiträgt“. Eine Ableitung oder Erklärung für diese Annahme giebt der Verfasser nicht, ebenso wenig bringt derselbe eigene Versuche zur Verwerthung. Ostwald sagt daher mit vollem Recht in einer Besprechung dieser Arbeit: „Das Interesse an der Abhandlung beschränkt sich auf den formalen Nachweis, dafs in der That die „Beschreibung“ einer Anzahl von Polarisationsercheinungen auf dem angegebenen Wege gelingt.“ Bs.

C. Nourrisson. Ueber die Zersetzungsspannung der Alkalisalze ²⁾. — Verfasser hat versucht, aus den vorhandenen Daten über die Wärmetönungen der Alkalisalze die Zersetzungsspannungen dieser Salze zu berechnen und die erhaltenen Resultate durch Versuche zu bestätigen. Für die Elektrolyse von NaCl kommen folgende Daten in Betracht:

$\text{NaCl} = \text{Na} + \text{Cl}$	— 96.4 Cal.
$\text{H}_2\text{O} = \text{H}_2 + \text{O}$	— 68.4 „
$\text{Na} + \text{O} + \text{H} = \text{aq} + \text{NaOH}$	+ 111.8 „
Theilweise Oxydation von Cl	+ 6 „
	<hr/> 47 Cal

47 Cal. müssen demnach bei der Spaltung aufgewandt werden, diese entsprechen einer Spannung von 2.02 Volt. Für NaBr

¹⁾ Ann. Phys. 51, 302—345. — ²⁾ Compt. rend. 118, 189—192; Arch. ph. nat. 32, 181—190.

berechnen sich die Zersetzungsspannungen zu 1,75 Volt, für JNa zu 1,16 Volt. 1 Aeq. Natriumsulfat braucht 49,9 Cal. zur Spaltung, was einer Zersetzungsspannung von 2,15 Volt entspricht. Für die Nitrate beträgt die so berechnete Minimalspannung 2,07 (gef. 2,3 bis 2,4), derselbe Werth berechnet sich für die Chlorate (gef. 2,4). Natrium kann hier in diesen Fällen ohne Aenderung der Spannung durch andere Alkalimetalle ersetzt werden, woraus sich nach dem Verfasser das Gesetz ergibt, daß die Zersetzungsspannung eines gelösten Alkalisalzes für jede Säure einen constanten Werth besitzt.

Mr.

Max Le Blanc. Ueber die kleinste zur Elektrolyse von Elektrolyten notwendige elektromotorische Kraft ¹⁾.

Berthelot. Bemerkungen zur vorstehenden Notiz: Ueber die Grenzen der Elektrolyse ²⁾.

Max Le Blanc. Ueber die kleinste zur Elektrolyse von Elektrolyten nöthige elektromotorische Kraft ³⁾.

Berthelot. Bemerkungen zur vorstehenden Abhandlung ⁴⁾.

Berthelot. Bemerkungen über die Grenzen der Elektrolyse ⁵⁾.

— Diese zusammengehörige Folge von Artikeln spitzt sich, ursprünglich von Prioritätsreclamationen Le Blanc's gegenüber Nourrisson ausgehend, zu einer Debatte über die Werthschätzung der Thomson'schen Regel, resp. des Berthelot'schen Principis zu, dessen strenge Gültigkeit als „Gesetz“ Berthelot annimmt. Zur Zeit, wo wir wissen, daß das Berthelot'sche Princip nicht streng gültig, daß aber die Wärmetönung eines Processes, in vielen Fällen wenigstens, ein annäherndes Maß für die freie Energie (und damit die elektromotorische Kraft) desselben liefert, dürfte sich ein näheres Eingehen auf die Artikel erübrigen. In dem letzten derselben bringt Berthelot nochmals eine Wiederholung des vorher Gesagten, ohne etwas Neues zu bieten. Rs.

Max Le Blanc. Primäre oder secundäre Wasserzersetzung ⁶⁾.

— Nachdem Le Blanc durch seine Arbeiten den Nachweis geliefert hatte, daß die elektrolytischen Erscheinungen bei der Wasserzersetzung weit mehr für eine primäre Abscheidung der Componenten des Wassers sprechen, als für eine intermediäre Abscheidung der Anionen und Kationen des betreffenden Elektrolyten, hat Arrhenius für die alte Ansicht der secundären Wasserzersetzung verschiedene Gründe ins Feld geführt, deren Wider-

¹⁾ Compt. rend. 118, 411—412. — ²⁾ Dasselbst, S. 412—415. — ³⁾ Dasselbst, S. 702—707. — ⁴⁾ Dasselbst, S. 707—709. — ⁵⁾ Ann. chim. phys. [7] 3, 138—144. — ⁶⁾ Zeitschr. physik. Chem. 13, 163.

legung der Hauptgegenstand dieser Abhandlung ist. Arrhenius hielt als Folge der Le Blanc'schen Ansicht die Annahme notwendig, daß der Dissociationsgrad des Wassers durch Zusatz von Elektrolyten erhöht werde. Da nun der Beweis geführt ist, daß eine solche nicht eintritt, zeigt Le Blanc, daß für die primäre Wasserzersetzung eine solche Annahme nicht notwendig ist, vielmehr die erhöhte Ionenbildungsgeschwindigkeit die primäre Elektrolyse völlig zu erklären vermag. Auch die übrigen Einwände von Arrhenius werden widerlegt und an einem Beispiel die größere Einfachheit der neuen Le Blanc'schen Auffassung veranschaulicht. B.

O. Wiedeburg. Zur Frage nach dem Grundgesetz der Elektrolyse ¹⁾. — Der Verfasser sucht seine Anschauungen über die Gesetze der Polarisation (Dieser JB., S. 248) gegen Le Blanc zu vertheidigen, indem er der Ansicht ist, daß die Angabe endlicher Grenzwerte für die wahrnehmbare Zersetzung eines Elektrolyten, der sogenannten „Zersetzungsspannungen“, keinen Sinn habe. Eine Entscheidung zwischen primärer und secundärer Wasserzersetzung bei der Elektrolyse scheint dem Verfasser nicht möglich. B.

Elektrolyse.

W. Ostwald. Die wissenschaftliche Elektrochemie der Gegenwart und die technische der Zukunft ²⁾. — Die hohe Stufe der Vervollkommenung, auf der die technische Chemie in Deutschland steht, hat ihren Grund in der wissenschaftlichen Ausbildung der Techniker, die sich erst nach einem gründlichen Allgemeinstudium zu specialisiren beginnen, sowie in der engen befruchtenden Beziehung, die zwischen Wissenschaft und Technik besteht. An der Hand von Beispielen wird der Begriff der elektrolytischen Dissociation und des osmotischen Druckes, und auf Grund beider die Theorie der galvanischen Stromerzeugung aus einander gesetzt. Zum Schluss verweist Verfasser als aussichtsreiche Arbeitsfelder auf das Problem des Kohleelementes, auf die Schaffung eines rationelleren Accumulators und das weite Gebiet der Elektrolyse. Op.

Arthur Wilke. Elektricitätswerke und Elektrochemie ³⁾. — Da die Elektricitätswerke ihren Bedarf mit etwa sechs Stunden voller Leistung voll befriedigen können, so will Verfasser die an-

¹⁾ Zeitschr. physik. Chem. 14, 174—180. — ²⁾ Zeitschr. Elektrochem. 1894, S. 81—84, 122—125. — ³⁾ Dasselbst, S. 134—135.

benutzte Leistung zu elektrochemischen Zwecken verwenden. Die Elektrizitätswerke, die mit einem Viertel ihrer möglichen Leistung den größten Theil ihrer Ausgaben so decken können, daß ihnen nach Abzug der Betriebskosten noch ein mäßiger Ueberschuß zur Verzinsung übrig bleibt, haben dann bei Erzeugung weiterer Stromleistungen nur die vermehrten Betriebskosten, nicht aber Amortisation und Verzinsung in Rechnung zu ziehen. *Op.*

K. Elbs. Der Einfluß der Elektrochemie auf die chemische Industrie¹⁾. — In dieser übersichtlichen Zusammenstellung giebt Verfasser ein Bild von der Rolle, die die Elektrizität in der Galvanotechnik und in der Elektrometallurgie zur Metallreinigung und Metallgewinnung spielt und bespricht dann die elektrischen Oefen und die technische Darstellung von Chemikalien durch Elektrolyse, sowie die Verwendung der Elektrizität in der Bleicherei, Gerberei und Zuckerfabrikation. *Op.*

M. Philip. Technische Anwendungen der Elektrizität in der organischen Chemie²⁾. — Die Arbeit enthält eine historische Uebersicht über die Anwendung der Elektrizität auf dem Gebiete der organischen Chemie. *Op.*

J. W. Langley. Die Verwendung der Elektrolyse in technisch-chemischen Processen³⁾. — Verfasser bespricht die Verwendung des elektrischen Stromes zur Raffination von Kupfer und zur Herstellung von Aluminium. Silber kann man in Salpetersäure als Elektrolyt reinigen, wenn die Spannung so genau reguliert wird, daß die Verunreinigungen in der Anode zurückbleiben. Für die elektrolytische Darstellung von Aetznatron fehlt eine geeignete unangreifbare Elektrode. Zur Desinfection von Abwässern kann mit Vortheil elektrolysirtes Seewasser benutzt werden. *Op.*

Arthur Wilke. Eine wirtschaftliche Frage der Elektrochemie⁴⁾. — Verfasser bespricht die der deutschen chemischen Industrie drohende Concurrenz, die ihr dadurch erwachsen wird, daß Deutschland arm an billigen Wasserkraften ist. An dem Beispiel der Aluminium- und Chloratindustrie weist Verfasser auf die Verschiebung der Erzeugungstätten für diese Producte in die Berglande hin. *Op.*

Neue Apparate⁵⁾. 1. *Thermoclement*. — Auf Grund der Arbeiten von Holborn und Wien⁶⁾ sind von W. C. Heräus aus

¹⁾ Chemikerzeit. 18, 1563–1565, 1585–1588, 1615–1617, 1637–1639.

²⁾ Zeitschr. Elektrochem. 1, 11–12; Ref.: Chem. Centr. 65, 1. 880. — ³⁾ Amer. Chem. Soc. J. 16, 41–56. — ⁴⁾ Zeitschr. Elektrochem. 1891, S. 95–96.

⁵⁾ Chemikerzeit 18, 1897. — ⁶⁾ JB. 1, 1892, S. 267.

Platin und reinem Platinrhodium Drähte hergestellt worden ¹⁾ von der physikalisch-technischen Reichsanstalt geacht werden. Die hieraus verfertigten, durch Porcellanapillaren geschützten Elemente zeigen Temperaturen bis zu 1400° an, die durch 50 Mikrovolt zeigende Meßinstrumente gemessen werden können. Kaiser und Schmidt construiren jetzt Meßinstrumente, an denen statt der Spannung direct die Temperaturgrade angezeigt werden. H.

W. Spilker. Anode zur Elektrolyse von Salzlösungen ¹⁾. — Zur Beseitigung des Uebelstandes, daß bei der Elektrolyse von Lösungen unter Anwendung von unlöslichen Anoden, wie z. B. von Kohle, nach längerem Betriebe stets eine Gaspolarisation auftritt und so selbst die härtesten Retortengraphitanoden nach kurzer Zeit zerstört werden, verwendet der Erfinder Anoden von Kohle und Blei. Stäbe beider Stoffe sind derart nahe an einander gerückt, daß beide an der Elektrolyse theilnehmen. Die Blei-Kohleanode erleidet während der Elektrolyse von Kochsalz folgende Veränderungen: Das Blei bedeckt sich im Anfang mit einem weissen Belag von Bleichlorid, der aber allmählich in einen nicht sehr festen braunen Ueberzug von Bleisuperoxyd übergeht. In dem Maße, wie die Bildung des Superoxydes fortschreitet, erhöht sich die Spannung, d. h. die Gaspolarisation nimmt ab und wird auf Kosten des allmählich zerstörten Blei aufgehoben. In der combinirten Anode kann die Kohle auch durch Blei ersetzt werden. Op.

F. M. Lyte. Kohleelektrode mit Metallkern ²⁾. — Die Kohleelektrode, welche bei der feuerflüssigen Elektrolyse Verwendung finden soll, besteht aus einem ausgehöhlten Kohlenstift, welcher zum Theil mit einem leicht schmelzbaren Metall (Zinn, Blei oder geeigneter Legirung) angefüllt wird. In die Höhlung der Kohle wird, nachdem das leicht schmelzbare Metall flüssig gemacht ist, ein aus schwerer schmelzbarem Metall bestehender, mit der Stromleitung in Verbindung stehender Stift eingesetzt, so daß er zum Theil in das flüssige Metall eintaucht und stets ein guter Contact gesichert ist. Op.

E. H. Liveing. Verbesserungen in der Construction von Kohleelektroden ³⁾. — Für die Elektrolyse von Chlorkalium oder Chlornatrium werden als Anode Stücke von Retortenkohle angewandt, die auf einem Sieb oder Rost von nicht leitendem Material

¹⁾ D. R.-P. Nr. 73 221. — ²⁾ D. R.-P. Nr. 73 364. — ³⁾ Engl. Pat. Nr. 37 447. Chem. Soc. Ind. J. 13. 161.

ruhen und durch einen Kohlenstab mit dem positiven Pole verbunden werden. Der Kohlenstab, welcher der Abnutzung unterliegt, wird durch eine Feder oder Gewichte nachgeschoben. Der Anodenraum wird durch eine Kohlenplatte verschlossen. *Op.*

E. H. Liveing. Verbesserungen in der Herstellung von Kohlelektroden für elektrolytische Operationen¹⁾. — Die unzersetzten Kohlenwasserstoffe werden aus der Retortenkohle durch Erhitzung im Chlorstrome vor der Verwendung als Elektrode entfernt. *Op.*

C. Hoepfner. Ferrosiliciumanode²⁾. — Die Anoden bestehen nur an ihrer wirksamen Oberfläche, nicht aber, wie nach Patent Nr. 68748³⁾, in ihrer ganzen Masse aus Ferrosilicium, wobei als Unterlage ein leitendes Material (Kohle oder Eisen) benutzt wird. Man kann eine solche Anode in der Weise herstellen, dass man eine Kieselsäureschmelze bei einer dem Schmelzpunkt des Eisens nahegelegenden Temperatur der Wirkung des elektrischen Stromes aussetzt, wobei ein Kohlenstab als Anode und ein Eisenstab als Kathode dient. Der Eisenstab erhält alsdann einen siliciumhaltigen Ueberzug, welcher den elektrischen Strom gut leitet. *Op.*

P. Schoop. Ueber die Circulationsvorrichtungen an elektrolytischen Apparaten⁴⁾. — Verfasser beschreibt an der Hand vieler erläuternder Zeichnungen die Vorrichtungen, die bei verschiedenen elektrolytischen Verfahren die durch Zersetzung und Ueberführung hervorgerufene Entmischung verhindern und den Elektrolyten in steter Circulation erhalten sollen. *Op.*

Farbwerke vorm. Meister, Lucius u. Brüning in Höchst a. M. Elektrolyse von Flüssigkeiten⁵⁾. — Die Elektrolyse ist dadurch gekennzeichnet, dass die zu elektrolysirende Flüssigkeit zwischen den Elektroden zugeführt wird, und zwar so, dass dieselbe sich in einer Ebene, welche mindestens so groß ist wie die Elektrodenflächen, in zwei divergirende, nach der Anode bezw. Kathode gerichtete Ströme theilt, welche je auf der entgegengesetzten Seite der Elektroden getrennt abgeführt werden. Die Flüssigkeit kann durch ein Rohrsystem entweder so geleitet werden, dass die Theilung in die zwei Ströme erst beim Austritt aus dem gemeinsamen Rohr in den Raum zwischen den Elektroden erfolgt, oder es wird gleich von vornherein durch zwei geschiedene Rohrsysteme für jede Elektrode die Flüssigkeit besonders zugeführt. *Op.*

¹⁾ Engl. Pat. Nr. 3743; Chem. Soc. Ind. J. 13, 161. — ²⁾ D. R.-P. Nr. 77881. — ³⁾ JB. f. 1893, S. 191. — ⁴⁾ Zeitschr. Elektrochem. 1894, S. 349–353. — ⁵⁾ D. R.-P. Nr. 73651.

C. Häufsermann und E. Fein. Vergleichen des elektrischen Verhaltens einer gewöhnlichen und einer Pukall'schen Thonzelle ¹⁾. — Es wurde das Verhalten einer Pukall'schen Zelle und einer gewöhnlichen Thonzelle bei der Elektrolyse einer 20 proc. Kochsalzlösung untersucht und die Stromstärke, Spannungen und Widerstände werden tabellarisch und graphisch angeordnet. Beim Vergleich der Zahlen ergibt sich, daß der Widerstand der Pukall'schen Zelle mit steigender Temperatur geringer wird, und daß namentlich bei Anwendung von Retortenkohle dieselbe der gewöhnlichen Zelle weit überlegen ist. Auch die Haltbarkeit ist eine weit größere. B.

E. T. Parker. Verbesserungen in Materialien für Diaphragmen für elektrolytische Prozesse und als Filtermaterial ²⁾. — Ein widerstandsfähiges Material wird aus Fluorcalcium, Fluoraluminium und Kryolith in ähnlicher Weise bereitet, wie Schlackenwolle. Op.

J. Hargreaves und T. Bird. Verbesserung in elektrolytischen Apparaten ³⁾. — Um die im Engl. Pat. Nr. 18871 von 1892 beschriebene Kathode, die gleichzeitig als Diaphragma dient, herzustellen, wird auf das Drahtnetz ein Gemisch von Kalk mit einer faserigen Substanz, z. B. Asbest, gebracht und dann getrocknet. Man taucht das Ganze darauf in eine Lösung von Wasserglas, wodurch der Kalk in Calciumsilicat verwandelt wird, der als Bindemittel dient. Op.

A. Coehn. Elektrolytische Darstellung von Sauerstoff und den Halogenen ⁴⁾. — Bei der elektrolytischen Darstellung von Sauerstoff und den Halogenen ist die an der Kathode geleistete Zersetzungsarbeit für den Endzweck ohne Werth. Man macht diese Arbeit nutzbar, indem man die mit Wasserstoff beladene Elektrode, z. B. die negative Platte eines Accumulators, zum Aufbau eines Elementes benutzt, das zur elektrolytischen Erzeugung von Sauerstoff etc. dient. Die hierbei gebrauchte, Wasserstoff occludirende Kathode wird wieder in eben beschriebener Weise benutzt u. s. w. Op.

A. Coehn. Zur technischen Elektrolyse ⁵⁾. — Die elektrolytische Metallausscheidung aus Erzen hat keinen dauernden Erfolg, weil man, um die Auflösung der Anode zu verhindern, un- Säuren unlösliche Anoden, wie Blei oder Kohle, verwenden muß.

¹⁾ Zeitschr. angew. Chem. 1894, S. 9—11. — ²⁾ Engl. Pat. Nr. 14465; Chem. Soc. Ind. J. 13, 256. — ³⁾ Engl. Pat. Nr. 5198; Chem. Soc. Ind. J. 13, 528. — ⁴⁾ D. R. P. Nr. 75930. — ⁵⁾ Zeitschr. Elektrochem. 1, 2—3.

Diese verlangen aber eine Erhöhung der Badspannung, wodurch die Kosten für den elektrischen Strom durch das erhaltene Product nicht gedeckt werden. Um zur Herabsetzung der Kosten die an der Anode aufgewandte Stromarbeit zu verwerthen, verwendet Verfasser statt gewöhnlicher Bleiplatten Accumulatorplatten, mit Hilfe deren sich Elemente von genügender Stärke zusammensetzen lassen, um selbst als Stromquelle für die Metallabscheidung zu dienen. Die neuen Anoden werden dann wieder durch diese Elemente so weit aufgeladen, um ihrerseits wieder Elemente zu bilden. Mit der Zeit werden die Ladungen der Platten immer schwächer und müssen dann durch eine besondere Stromquelle — Dynamo etc. — wieder aufgeladen werden. *Op.*

Georg Nahnsen. Das Ohm'sche Gesetz und elektrochemische Vorgänge in ihren Beziehungen zur Badspannung ¹⁾. — Die Badspannung bei elektrochemischen Processen wird nach den verschiedenen Ursachen in ihre Componenten zerlegt. Die einfachen, an Versuchen erläuterten Vorgänge lassen sich nicht in Kürze wiedergeben. *Bs.*

F. Oettel. Einige Versuche über den Einfluss von Stromdichte und Concentration auf den Verlauf elektrochemischer Reactionen ²⁾. — Kann sich die Stromwirkung in zwei verschiedenen Reactionen äußern, so geht die vor sich, bei welcher die größte Energiemenge frei wird. Diese Regel hat nur dann Geltung, wenn genügende Mengen des betreffenden Körpers die Elektroden umspülen. Diese Bedingung lässt sich durch geringe Stromdichte, große Concentration oder durch gute Bewegung des Elektrolyten erreichen. Am Beispiel der Elektrolyse von Oxalsäure und einer Lösung von gleichen Theilen von Ferro- und Ferrisulfat wird der Einfluss der Stromdichte und der Concentration auf einander gesetzt. Im ersteren Falle wird durch Zunahme der anfangs geringen Stromdichte und Verdünnung der Lösung keine Oxalsäure mehr oxydirt, sondern es bildet sich nur Knallgas. Im zweiten Falle wurde durch eine geringe Stromdichte an der Anode eine Oxydationswirkung, durch eine solche an der Kathode eine Reductions-
wirkung erzielt, während bei gleich großen Stromdichten an Anode und Kathode weder Oxydation noch Reduction stattfand. *Op.*

Friedrich Vogel. Wissenschaftliche Aufgaben der Elektrochemie ³⁾. — Ohne Heranziehung irgend welchen experimentellen Materials werden mathematische Formeln entwickelt, die die Ab-

¹⁾ Zeitschr. Elektrochem. 1, 198—203. — ²⁾ Dasselbst, S. 90—91. — ³⁾ Dasselbst, S. 89—90, 125—127, 155—157.

hängigkeit der zulässigen höchsten Stromdichte bei der elektrolytischen Kupferabscheidung von der Krystallisationsgeschwindigkeit des Kupfers und die Abhängigkeit der Stromausbeuten von der Reaktionsgeschwindigkeit an der Kathode und Anode zu berechnen gestatten würden, wenn wir einige bisher unbekannte Größen kennen würden.

Ball.

F. Mylius und O. Fromm. Ueber die Bildung schwimmender Metallblätter durch Elektrolyse. [Mittheilung aus der physikalisch-technischen Reichsanstalt ¹⁾.] — Die Verfasser verfolgen die Beobachtung, daß die elektrolytische Abscheidung gewisser Metalle unter Umständen in Gestalt dünner Blättchen stattfindet, die sich von der Kathode aus an der Oberfläche der Flüssigkeit ausbreiten. Die Resultate der Abhandlung werden wie folgt zusammengefaßt: 1. Oxydirbare Metalle, wie Zink, Eisen, Kobalt, Cadmium, Kupfer, Silber, Antimon, haben die Fähigkeit, bei der elektrolytischen Abscheidung sich an der Oberfläche ihrer Salzlösungen zu schwimmenden, zusammenhängenden Blättchen auszubreiten. 2. Die Ausbreitung wird durch zwei Factoren bedingt, erstens durch das Vorhandensein einer mit Wasser nicht mischbaren Verunreinigung und zweitens durch die chemische Wirkung anwesenden Sauerstoffs. Für den letzteren können auch Schwefel und Halogene eintreten. 3. Für die Ausbreitung der Metalle an der Grenzfläche der beiden Medien ist die Dicke der öligen Schicht ohne wesentliche Bedeutung. 4. Die Richtung der Grenzfläche übt auf die Erscheinung keinen merklichen Einfluß aus; die Ausbreitung erfolgt daher auch, wenn das Medium in der Form von Tropfen vorliegt. 5. Stromleitende Oxyde und Sulfide besitzen die Fähigkeit, sich an der Grenzfläche auszubreiten, so z. B. die niedrigen Oxydationsstufen des Silbers und des Cadmiums, das Bleisuperoxyd, das Kupfersulfür. 6. Das Wachsthum der schwimmenden Blättchen wird durch die capillaren Anziehungen beeinflusst, welche die Theile der Flüssigkeit erfahren, aus der sich der Niederschlag absetzt. 7. An den schwimmenden Blättern beobachtet man während des Stromdurchganges häufig eine Spannung, welche bei der Stromunterbrechung aufhört und anscheinend von der Potentialdifferenz abhängig ist, wie die Oberflächenspannung des Quecksilbers bei der Polarisation.

Bs.

Paul Schoop. Ueber die elektrochemische Bereitung von Zinkoxydkalilösung ²⁾. — Für den Zinkkupfersammler muß der

¹⁾ Ann. Phys. 51, 593—621. — ²⁾ Zeitschr. Elektrotechn. u. Elektrochem. 1, 205—208, 247—249.

alkalische Elektrolyt möglichst reich an Zink und klar sein, um bei der Ladung eine gute Zinkabscheidung zu ermöglichen. Die directe, rein chemische Auflösung von Zink in Kali- oder Natronlauge erfolgt sehr langsam und giebt keine genügend hohe Concentration. Bei der elektrochemischen Auflösung erfolgt an der Kathode, wenn sich an ihr Wasserstoff entwickelt, eine schwerer zu beseitigende Trübung und Gelatinirung durch ausgeschiedenes Zinkhydroxyd. Um das zu vermeiden, muß man die Kathode depolarisiren. Technisch thut man das am besten, indem man als Kathode Kupfer anwendet, das oberflächlich in Kupferoxydul verwandelt ist. Diese Oxydation erfolgt in der Zelle selbst, mit 50 Proc. Kalilauge als Elektrolyt bei 50 bis 60° unter Verwendung des Kupfers als Anode und des Zinks als Kathode mit 2 Volt Spannung. Noch ehe die Oxydation des Kupferoxyduls zu Kupferoxyd — dessen Bildung zu vermeiden ist, weil es sich in Kalilauge etwas löst — erfolgt ist, unterbricht man und kehrt den Strom um. Die Auflösung des Zinks erfolgt mit 5 Amp. und mehr auf den Quadratcentimeter wirksamer Zinkfläche. Die Capacität der Kupferoxydulplatte muß natürlich der Menge des aufzulösenden Zinks entsprechen. *Bdl.*

A. Voigt. Ueber einige elektrochemische Versuche¹⁾. — Verfasser unterwarf α -Nitronaphtalinsulfosaure in schwefelsaurer Lösung der Einwirkung des Stromes von sechs Bunsenelementen. Als Kathode diente eine Quecksilberschicht von 19,6 qcm Oberfläche, als Anode ein Platinblech. Nach zwölfstündiger Einwirkung hatten sich 2 Proc. Naphtylamin gebildet, daneben Hydrazonaphtalinsulfosaure; der größte Theil war unzersetzt geblieben. Ein Versuch, aus Anilin und Glycerin durch elektrolytische Oxydation zu Chinolin zu gelangen, ergab nur Zersetzungsproducte der Ausgangsmaterialien, z. B. Anilinschwarz, verheiß im Uebrigen aber vollständig negativ. Ein besseres Resultat wurde bei der Herstellung von Rosanilin und ähnlichen Basen erzielt. Da die Ausbeuten sehr mit der Reactionstemperatur schwanken, so scheint es Verfasser vorthellhaft, die Temperatur von 50° nicht zu überschreiten. Bei der Elektrolyse einer Glycerinlösung von 1:4 mit einem Strom von 2 bis 3 Amp. bei 100 Volt Klemmenspannung erhitze sich der Elektrolyt in 20 Minuten auf 75°. Als Reactionsproducte ließen sich nachweisen: Acrolein, Acrylsäure, Ameisensäure und Propionsäure. Es waren etwa 10 Proc. der angewandten Substanz zersetzt. Durch einen Zusatz von

¹⁾ Zeitschr. angew. Chem. 1894, S. 106—108.

Aceton wird die Leitfähigkeit vermindert und ebenso die Ausbeute. Ein Zusatz von Antimonchlorür befördert die Reaction. Es konnten nach ca. 10 Minuten an 30 Proc. eines Destillates erhalten werden, das Ameisensäure, Acrylsäure, Acrolein, Oxyisobuttersäure, Propionsäure, Dichlorpropionsäurealdehyd enthielt. Als Destillationsrückstand ergab sich ein harziger, in Wasser unlöslicher, in Alkohol leicht löslicher Körper, der ammoniakalische Silberlösung reducirte. α -Nitronaphtalin ergab, unter denselben Bedingungen elektrolysiert, nach 15 Minuten Nitrosostyrol neben wenig Naphtylamin. *p*-Chloranilin wird von demselben Strom nicht angegriffen. Bringt man α -Nitronaphtalin und *p*-Chloranilin in Acetonlösung zwischen die Elektroden, so resultirt eine in Alkohol leicht lösliche, aus diesem durch Wasser in feinen, gelbbraunen Nadeln sich abscheidende Substanz, welche keine einfache Doppelverbindung dieser beiden Körper zu sein scheint. Eine Gasentwicklung findet hier an den Elektroden erst oberhalb 55° statt. *B.*

J. B. Weems. Elektrosynthesen durch directe Vereinigung der Anionen schwacher organischer Säuren¹⁾. — Bei der Elektrolyse schwacher organischer Säuren treten die Anionen derselben paarweise zusammen, was entweder der directen Wirkung des elektrischen Stromes zuzuschreiben ist, indem die Reaction nach dem Schema $2RH = R_2 + H_2$ verläuft, oder aber auf eine secundäre Reaction des anodisch entwickelten Sauerstoffs zurückzuführen ist, wobei man das Schema $2RH + O = R_2 + H_2O$ zu Grunde legen kann. Versuche, welche Verfasser mit Malonester, Methintricarbonsäureester und Acetylaceton ausführte, indem er dieselben der Einwirkung von Wasserstoffsuperoxyd, Mononatriumcarbonat, Kaliumpermanganat oder von Chromsäure in Essigsäure gelöst, aussetzte, ergaben ganz andere Resultate, als die Elektrolyse, bei welcher entsprechend Aethantetracarbonsäureester, Aethanhexacarbonsäureester und Tetraacetylathan entstanden. Es ist also die Bildung dieser Verbindungen lediglich der Stromwirkung zuzuschreiben. Auch beim Acetessigester fielen die Resultate der Oxydation negativ aus, bei der Elektrolyse ergab sich Diacetylbernsteinsäureester. Dem Aethanhexacarbonsäureester kommt nach Mulliken²⁾ die Formel $(COOC, H_3)_2C \cdot C(COOC, H_3)_2$ zu; er liefert bei der Verseifung Aethantetracarbonsäure. Methyl- und Aethylmalonsäureester ergaben in geringen Mengen Dimethyl- und Diäthyläthantetracarbonsäureester, die Hauptmenge der angewandten Substanz wurde wieder erhalten.

¹⁾ Amer. Chem. J. 16, 569—588. — ²⁾ JB. f. 1903, S. 193.

Benzyl- und Acetylmalonsäureester wurden durch Elektrolyse nicht verändert. Auch bei der Elektrolyse von Acetondicarbonsäure und Acetylbenzoylmethan wurde kein Zusammentritt der Anionen erreicht. Die Bildung von Bismethylphenylpyrazolon bei der Elektrolyse von Phenylmethylpyrazolon kann sowohl nur der Wirkung des Stromes als auch der oxydirenden Wirkung des anodischen Sauerstoffs zugeschrieben werden. Säureamide wie Acetamid, Benzamid, Succinimid und Phthalimid oder deren Natrium- oder Quecksilbersalze ergaben, der Elektrolyse unterworfen, keinen Zusammentritt der Anionen. *R.*

W. Borchers. Apparate für den Hörsaal und das Versuchslaboratorium ¹⁾. — Verfasser beschreibt einen elektrischen Ofen zur Darstellung von Magnesium, Lithium und Beryllium aus geschmolzenen Haloidsalzen. In den als Kathode dienenden eisernen Tiegel ragt ein von einem Porcellanrohr umhüllter Kohlenstab als Anode. Der Tiegel ruht vermittelst eines Flansches auf dem aus Chamotteplatten gebildeten Deckel einer Perrotfeuerung. Weitere Einzelheiten über die Construction sind aus den Figuren des Originals zu ersehen. *Op.*

Henry Moissan. Neue Erscheinungen bei der Schmelzung und Verflüchtigung durch den elektrischen Ofen ²⁾. — Ueber den Inhalt dieser Mittheilung ist nach anderer Quelle schon JB. f. 1893, S. 202 berichtet worden. *Bull.*

Alex. Classen. Quantitative Analyse durch Elektrolyse ³⁾. — Es wird gezeigt, wie wichtig es ist, daß bei Angabe der Stromstärke, die für eine Elektroanalyse nöthig ist, diejenige Stromstärke angegeben wird, die sich herausstellt, wenn sowohl Meßinstrument wie Elektroanalyse im Stromkreise sind. Es werden Schaltvorrichtungen angegeben und durch Zeichnungen erläutert, mittelst derer man die Stromstärke in mehreren Zellen mit einem einzigen Amperemeter oder die Spannung an mehreren Zellen mit einem einzigen Voltmeter messen kann. Es werden die Stromdichten mitgetheilt, die für die quantitative Abscheidung von Metallen oder deren Trennungen nach den vom Verfasser angegebenen Methoden anzuwenden sind. Die zu bestimmenden Metalle sind Kupfer, Cadmium, Zink, Eisen, Nickel, Kobalt, Quecksilber, Silber, Zinn, Antimon, Blei und Mangan. Die beschriebenen Trennungen sind: Blei von Kupfer, Antimon von Arsen,

¹⁾ Zeitschr. Elektrochem. 1, 361–362. ²⁾ Bull. soc. chim. [3] 11, 222–223. — ³⁾ Ber. 27, 2060–2081, Zeitschr. Elektrochem. 1, 229–234, 267–273.

Antimon von Zinn, Kupfer von Eisen, Kupfer von Nickel, Kupfer von Kobalt, Eisen von Aluminium, Eisen von Chrom, Eisen von Kobalt und Eisen von Nickel. *Bdl.*

H. Thomälen. Ueber die von Rüdorff empfohlenen Methoden der quantitativen Analyse durch Elektrolyse¹⁾. — Den von Rüdorff empfohlenen Meidinger-Elementen zieht Verfasser Accumulatoren vor, die wegen ihres geringen inneren Widerstandes stets die gleiche Spannung besitzen. Die Art, wie Rüdorff die Stromstärken angiebt, wird einer abfälligen Kritik unterzogen, da entweder nur die Zahl der verwandten Meidinger-Elemente angegeben oder die Stromstärke mit einem Galvanometer von derartig hohem Widerstande gemessen ist, daß sie keinen Werth besitzt. Es werden dann Versuche mitgetheilt, in denen der Verfasser die von Rüdorff vorgeschlagenen Methoden und Stromstärken für die Analyse verschiedener Metalle einer Prüfung unterzieht. Wie Verfasser selbst hervorhebt, geben die Versuche kein sicheres Resultat, da die von Rüdorff angegebenen Stromangaben so ungenau sind, daß sich über den Werth der Methoden nichts sagen läßt. *Op.*

E. F. Smith. Elektrochemische Notizen²⁾. — Verfasser erwähnt einige Stellen in Classen: Lehrbuch der „Elektrolyse“, in denen Classen „seinem persönlichen Wissen widersprechende Behauptungen“ aufgestellt habe, einen Vorwurf, den Classen in einer darauf folgenden „Bemerkung zu obiger Notiz“ zurückweist. *Op.*

Fr. Rüdorff. Quantitative Analyse durch Elektrolyse³⁾. — Die Versuche des Verfassers beziehen sich auf die quantitative Bestimmung des Quecksilbers neben anderen Metallen. Es ist hierbei zweckmässig, eine etwas größere Säureconcentration zu wählen, da leicht Amalgambildung eintritt und das beigemengte Metall nur schwer und unvollständig wieder aufgelöst wird. Auch empfiehlt es sich, nicht mehr als 0,2 g Quecksilber zu nehmen, damit keine Ausscheidung des Metalles in Tröpfchen erfolgt, die beim Ausspülen fortgeführt werden. Bei der Bestimmung von Quecksilber neben Cadmium fügt man zur Lösung der Metalle 2 ccm Salpetersäure 1,2 und verdünnt auf 120 ccm. Bei Anwendung von zwei Meidinger-Elementen ist in acht Stunden alles Quecksilber ausgeschieden. Für die Trennung von Quecksilber von Zink fügt man zur säurefreien Lösung der Chloride oder

¹⁾ Chemikerzeit. 18. 1121—1122. 1353—1355. -- ²⁾ Zeitschr. anorg. Chem. 6. 43. 44. ³⁾ Zeitschr. angew. Chem. 1894. S. 388—389.

Nitrate 1 ccm Salpetersäure oder 10 Tropfen Schwefelsäure, verdünnt auf 120 ccm und zerlegt mit höchstens drei Elementen. In acht Stunden ist die Ausscheidung beendet, der Niederschlag haftet sehr gut an der Schale. Zur Trennung des Quecksilbers von Eisen fügt man zur Lösung vier bis fünf Tropfen concentrirte Schwefelsäure, verdünnt wieder auf 120 ccm und zerlegt mit zwei bis drei Elementen. Man erhält Quecksilber neben Nickel durch Zusatz von sechs Tropfen concentrirter Schwefelsäure zur Lösung und Zerlegung über Nacht durch zwei bis drei Meißinger-Elemente. Zur Nickelbestimmung führt man nach Entfernung der übrigen Metalle, besonders Kupfer, das Nitrat in Sulfat über, setzt 25 bis 30 ccm Ammoniak zu und etwas Natriumsulfat; man erhält dann über Nacht durch sechs Elemente Nickel und Kobalt. Quecksilber und Mangan lassen sich aus derselben Lösung bestimmen, besser ist aber die Anwendung einer besonderen Lösung für jedes. Man elektrolysirt mit zwei Elementen und einer dichten Platinspirale als Anode, auf welcher sich $\text{MnO}_2 + \text{H}_2\text{O}$ niederschlägt. Oder man verwendet eine Platinschale als Anode, an welcher das Mangan fester haftet. *B.*

O. Piloty. Quantitative Analysen durch Elektrolyse¹⁾. — Die von Classen ausgearbeiteten Methoden der quantitativen Bestimmung von Metallen auf elektrolytischem Wege haben mannigfaltige Anfeindungen über sich ergehen lassen müssen; erst Nissenson und Rust und Freudenberg²⁾ sind für dieselben eingetreten. Verfasser hat daher im Laboratorium von Classen die Methoden durchgearbeitet und Resultate erhalten, die sich in folgender Tabelle zusammenfassen lassen:

Bestimmung oder Trennung	Substanz	Resultat durch Elektrolyse	Auf andere Weise erhaltenes Resultat	Dauer der Analyse
Cu	Kupfersulfat	25,31—25,41	25,39	1 ¹ / ₄ bis 1 ³ / ₄ Stunden
Fe	Eisenoxydkalium- oxalat	11,30—11,39	11,39	ca. 2 Stunden
Ni	Nickelammonsulfat . .	15,11—15,19	15,15	ca. 2 Stunden
Pb	Bleinitrat	72,26—72,39	72,24	3 bis 4 Stunden oder über Nacht
Hg	Quecksilberchlorid . .	73,75—74,61	73,86	—
Ag	Silbernitrat	63,32	63,53	über Nacht

¹⁾ Ber. 27, 280—282. — ²⁾ JB. f. 1893, S. 176.

Bestimmung oder Trennung	Substanz	Resultat durch Elektrolyse	Auf andere Weise erhaltenes Resultat	Dauer der Analyse
Cd	Cadmiumoxalat . . .	44,59—44,69	—	50 bis 60 Minuten
Zn	Zinkammoniumsulfat	16,5—16,86	16,59	—
Sn	Zinnammoniumchlorid	32,54—32,67	32,54	während der Nacht oder 4 bis 5 Stund.
Sb	Antimontrisulfid . . .	72,45—72,85	72,58	über Nacht oder ca. 3 Stunden
Sb	Antimontrioxyd . . .	83,61	83,54	—
Cu von Fe	Kupfersulfat neben Eisensalz	25,33	25,39	ca. 2 $\frac{1}{2}$ Stunden
Cu von Fe, Ni, Co	Kupfersulfat neben Eisen-, Nickel- und Kobaltsalz	25,63—25,77	25,39	ca. 3 Stunden
Fe von Cr	Eisenammonsulfat neben Chromalaun . . .	14,27	14,28	ca. 4 Stunden
Fe von Al	Eisenammonsulfat neben Alaun	14,53	14,28	
Ni von Cr	Nickelammonsulfat neben Chromalaun . . .	15,44	15,15	
Pb von Cu	Bleinitrat neben Kupfersulfat	72,42—72,7	72,24	ca. 5 Stunden
Sb von Sn	Antimontrisulfid neben Zinnsalz	72,6—72,83	—	über Nacht
Sb von As	Antimontrisulfid neben arsensaurem Natrium	72,69—72,86	—	über Nacht <i>B.</i>

E. F. Smith. Elektrolytische Trennungen¹⁾. — Verfasser bemerkt, daß in der Arbeit Freudenberg's²⁾: „Ueber die Bedeutung der elektromotorischen Kraft zu Metalltrennungen“ einige Thatsachen als neu mitgetheilt sind, die im Wesentlichen eine Bestätigung der vom Verfasser und seinen Schülern veröffentlichten Beobachtungen sind. *Op.*

Robert Behrend. Berichtigung³⁾. — Der Verfasser stellt ein Versehen richtig, das ihm in seiner Abhandlung über elektrometrische Analyse (JB. f. 1893, S. 173) untergelaufen war. Es hatte sich ein Fehler in die Bestimmungen eingeschlichen, durch den alle Potentialdifferenzen in einem Theil der Versuche im

¹⁾ Zeitschr. anorg. Chem. 6, 40—42. — ²⁾ JB. f. 1893, S. 176. —

³⁾ Zeitschr. physik. Chem. 15, 498.

Verhältniß 1092:1 zu niedrig gefunden worden waren. Dadurch verschwindet die Diskrepanz zwischen Messungen des Verfassers und solchen von Goodwin. *Rs.*

Chemisches Gleichgewicht.

W. Ostwald. Das Chemometer. [Vortrag, gehalten in der vereinigten Sitzung der Abtheilungen für Physik und Chemie auf der Versammlung deutscher Naturforscher und Aerzte zu Nürnberg am 13. September 1893 ¹⁾.] — Unter „Chemometer“ versteht der Vortragende ein Instrument, durch dessen Anwendung auf zwei Stoffe oder Stoffe komplexe wir erfahren würden, ob zwischen ihnen chemisches Gleichgewicht besteht oder eine Reaction eintreten wird, wenn man sie in Berührung bringt. Das „Chemometer“ tritt also in Analogie zum Thermometer, Manometer, Elektrometer, die zu entscheiden gestatten, ob zwei Gebiete bei ihrer Berührung im thermischen, mechanischen oder elektrischen Gleichgewicht sein werden. Es wird nun gezeigt, daß als Chemometer in sehr vielen Fällen das Elektrometer dienen kann, denn einerseits ist die chemische Energieänderung der elektrischen gleich, andererseits sind die beiderseitigen Capacitätsfactoren, die Stoffmengen und die Elektrizitätsmengen, nach dem Faraday'schen Gesetze einander proportional, folglich müssen auch die Intensitätsfactoren, das chemische Potential und die elektromotorische Kraft, einander proportional sein. *Rs.*

W. Nernst. Dielektricitätsconstante und chemisches Gleichgewicht ²⁾. — Je größer die Dielektricitätsconstante eines Mediums ist, um so größer muß unter sonst gleichen Umständen die elektrolytische Dissociation der in ihm gelösten Stoffe sein. Diesen den Hauptinhalt seiner vorliegenden Arbeit bildenden Satz beweist Nernst erstens auf thermodynamischem Wege, indem er einen binären Elektrolyten betrachtet, der sich zwischen zwei Lösungsmitteln vertheilt. Alsdann muß die äußere Arbeit, die geleistet wird, wenn eine kleine Quantität elektrisch neutraler Moleküle vom ersten Lösungsmittel in das zweite hineintransportirt wird, gerade compensirt werden durch den Transport der äquivalenten Menge freier Ionen aus dem zweiten in das erste Lösungsmittel — vorausgesetzt, daß beide Vorgänge reversibel geleitet werden. Die ziemlich complicirte, aber vom Verfasser

¹⁾ Zeitschr. physik. Chem. 15, 399—408. — ²⁾ Dasselbat 13, 531—536.

genau aufgestellte Gleichung, welche diese Bedingung zum Ausdruck bringt, läßt das obige qualitative Resultat erkennen. Zweitens wird das gleiche Ergebniss durch die folgende Ueberlegung sehr plausibel gemacht: Die gegenseitige Anziehung der positiv und negativ geladenen Ionen wirkt auf eine Vereinigung derselben zum elektrisch neutralen Molekül, d. h. auf eine Verminderung der ursprünglich vorhandenen Dissociation hin. Diese elektrostatischen Anziehungen werden aber durch Vergrößerung der Dielektricitätsconstante des Lösungsmittels geschwächt, sind nämlich umgekehrt proportional der letzteren. Je größer also die Dielektricitätsconstante, um so kleiner ist also jenes Vereinigungsbestreben, um so größer dagegen die Dissociation. Folgende Tabelle enthält eine experimentelle Bestätigung dieser Beziehung zwischen Dielektricitätsconstante und Dissociationsgrad:

Medium	Dielektr.-const.	Elektrolytische Dissociation
Gasraum . .	1.0	Nicht nachweisbar bei gewöhnlicher Temperatur
Benzol . . .	2.3	Außerst geringes Leitungsvermögen gelöster Elektrolyte
Aether . . .	4.1	Merkliches Leitungsvermögen gelöster Elektrolyte
Alkohol . . .	25	Starke Dissociation
Wasser . . .	80	Sehr starke Dissociation

Sf.

W. C. Dampier Whetham. Ueber die Geschwindigkeit der Ionen und das relative Ionisationsvermögen der Lösungsmittel¹⁾. — Der Verfasser glaubt aus nichts weniger als einwandfreien Versuchen einen Zusammenhang zwischen Leitfähigkeit, Dielektricitätsconstante und ionisirender Kraft eines Lösungsmittels gefunden zu haben. Ein Eingehen auf die Versuche, bei denen etwas ganz anderes gemessen wird, als beabsichtigt und angenommen ist, glaubt sich Ref. ersparen zu dürfen. Bs.

J. E. Trevor und F. L. Kortright. Das chemische Gleichgewicht in seiner Abhängigkeit von der Temperatur²⁾. — Ist K die Gleichgewichtconstante, T die absolute Temperatur, R die Gasconstante, Q_T die Reactionswärme, so pflegt man bei der Integration der van 't Hoff'schen Gleichung der Isochore:

$$\frac{c \ln K}{c T} = \frac{Q_T}{R T^2}$$

¹⁾ Phil. Mag. 38. 392—396. — ²⁾ Amer. Chem. J. 16. 611—624.

bekanntlich von der Abhängigkeit der Reactionswärme von der Temperatur abzusehen. Für viele Fälle ist dieses Verfahren zu ungenau, der Verfasser führt die Integration ohne diese Vernachlässigung durch, indem er:

$$Q_T = Q_0 + (c_{II} - c_I) (T - T_0)$$

setzt, wo Q_0 die Reactionswärme bei einer willkürlich festzusetzenden Normaltemperatur T_0 , c_I und c_{II} die Molekularwärmen des zu betrachtenden Systems vor und nach der zu untersuchenden Umsetzung bedeuten. Dann ergibt sich:

$$\int_{K_1}^{K_2} c \ln K = Q_0 - \frac{T_0}{R} (c_{II} - c_I) \int_{T_1}^{T_2} \frac{c}{T^2} + (c_{II} - c_I) \int_{T_1}^{T_2} \frac{c}{T}$$

oder wenn man integriert und erstens nach Q_0 , zweitens nach $c_{II} - c_I$ auflöst:

$$Q_0 = \frac{T_1 T_2}{T_2 - T_1} \left(R \ln \frac{K_2}{K_1} - (c_{II} - c_I) \ln \frac{T_2}{T_1} \right) + T_0 (c_{II} - c_I)$$

$$c_{II} - c_I = \frac{T_1 T_2 R \ln \frac{K_2}{K_1} - Q_0 (T_2 - T_1)}{T_1 T_2 \ln \frac{T_2}{T_1} - T_0 (T_2 - T_1)}$$

Im Anschluß hieran rechnen die Verfasser die von Le Chatelier über die Dissociation der Kohlensäure gemachten Beobachtungen um. Sf.

M. Carey Lea. Ueber endothermische Reactionen, verursacht durch mechanische Kraft. II. Abhandlung: Umwandlungen von Energie durch gleitenden Druck¹⁾. — Ostwald giebt in seinem Lehrbuche an, daß über die directe Umwandlung von mechanischer in chemische Energie nichts bekannt sei und Horstmann erklärt es rundweg für unmöglich, daß durch einen mechanischen Eingriff selbst chemische Veränderungen zu Stande kommen. Die Fälle bleiben natürlich hier außer Betracht, in denen ein mechanischer Anstoß exothermisch verlaufende Prozesse (z. B. Explosionen) auslöst, da hier von einer äquivalenten Umwandlung der mechanischen in chemische Energie nicht die Rede ist. Carey Lea²⁾ hat nun bereits früher der Nachweis gelungen, daß in gewissen Fällen Verbindungen, die sich exothermisch bilden, durch äußeren Druck zersetzt werden können. Die zur Zersetzung nöthige Energie-

¹⁾ Zetschr. anorg. Chem. 6, 2—10; Phil. Mag. [5], 37, 31—38. — ²⁾ JB. f. 1880, S. 209.

zufuhr wird also durch mechanischen Arbeitsaufwand geleistet (Temperaturerhöhung? D. Ref.) In der vorliegenden Arbeit zeigt er, daß der gleitende Druck zwischen Pistill und Reibschale noch weit geeigneter ist als einfache statische Compression. Besonders Goldsalze (Natriumgoldchlorid) werden bei mäßigem Zerreiben leicht unter Abscheidung von metallischem Gold zersetzt, das sich als purpurfarbendes Pulver abscheidet. Eine ganze Reihe von Salzen des Silbers, Quecksilbers und Platins zeigen dasselbe Verhalten. Den Einwand, daß intermediäre Umwandlung in Wärme vorliegen könnte, sucht Carey Lea durch die Thatsache zu widerlegen, daß Quecksilberchlorid im Mörtel zu Calomel reducirt wird, in der Hitze jedoch ganz unzersetzt sublimirt. Dasselbe gilt für die drei Silberhalogenverbindungen und für das Calomel, die unter Metallabscheidung zerfallen. Eine andere Methode, die Umwandlung von gleitendem Druck in chemische Energie nachzuweisen, besteht darin, daß Papier mit der betreffenden Substanz in wässriger Lösung überzogen wird. Nach dem Trocknen wird mit einem Glasstabe auf dem Papier ein Strich gezogen, der sich gleich oder bei Anwendung geeigneter Entwicklungsfüssigkeiten gegen die benachbarten Theile abhebt, weil durch den Druck eben eine Reduction eingeleitet war. Mit Goldchlorid getränktes Papier zeigt purpurrothe Druckstellen, mit Silbercarbonat getränktes Papier braune. Die Striche auf Papier mit Ferricyankalium wurden beim Eintauchen in Eisenammoniakalanilösung tiefblau u. s. w. Der Beweis, daß endothermische Vorgänge durch mechanischen Arbeitsaufwand hervorgerufen und in Folge directer Umsetzung der mechanischen Energie in chemische unterhalten werden können, soll also durch die mitgetheilten Versuche geliefert sein. R.

M. Carey Lea. Umwandlungen von mechanischer in chemische Energie. III. Abhandlung: Die Einwirkung andauernden gleitenden Druckes¹⁾. — Die in den beiden vorhergehenden Abhandlungen²⁾ bereits experimentell begründete Thatsache der directen und äquivalenten Umwandlung von mechanischer Energie in chemische wird in dem dritten Theile noch weiter durch Versuche bewiesen. Besonders wird auch durch quantitative Bestimmung der zersetzten Menge aus den bekannten thermochemischen Daten in mehreren Fällen die beim Reiben geleistete mechanische Arbeit zahlenmäßig berechnet. Schon im zweiten Theile war für einen Fall (Zersetzung von Natriumgoldchlorid) die durch halbstündiges Reiben

¹⁾ Zeitschr. anorg. Chem. 6, 349–354; Sill. Am. J. 47, 377. Phil. Mag. [5] 37, 470–475. — ²⁾ JB. I, 1893, S. 209 u. vorstehendes Referat

geleistete Arbeit zu 518 Gramm-Meter bestimmt worden. Beim Zerreiben von 0.5 g Quecksilberchlorid wurden ferner in 20 Minuten 0.0329 g Quecksilberoxydul reducirt, was der Leistung von 322 Gramm-Meter entspricht. Die Arbeitsmengen sind also recht erheblich. Zum Schluss führt Carey Lea noch zwei Fälle an (Goldoxyd und Kaliumpermanganat), wo exothermisch verlaufende Reactionen durch das Zerreiben befördert werden, die von selbst nicht verlaufen. Das Goldoxyd wird zu Gold, das Kaliumpermanganat zu Mangansuperoxyd reducirt, beides unter Freiwerden von Wärme. Hier kommt natürlich nur die beim Reiben erfolgende Erschütterung, nicht aber die gleichzeitig geleistete Arbeit in Betracht.

R.

W. Spring. Eine Prioritätseinwendung gegen M. Carey Lea¹⁾. — Gegenüber der Aeußerung von Carey Lea²⁾, daß die Umwandlung von mechanischer in chemische Energie bisher noch unbekannt gewesen sei, wendet Spring ein, daß er bereits im Jahre 1883³⁾ ausdrücklich darauf hingewiesen habe, daß chemische Reactionen durch die Ausübung eines Druckes auf die ursprünglichen Systeme eingeleitet werden können. Auch die besonders günstige Wirkung des gleitenden Druckes gegenüber dem einfachen hat Spring schon früher hervorgehoben. Schließlich erwähnt Spring noch, daß er die in Frage kommenden Erscheinungen auf eine Diffusion der festen Substanzen zurückgeführt und auch nachgewiesen habe, daß das chemische Gleichgewicht sich hier wie sonst geltend macht.

R.

M. Carey Lea. Ueber den Prioritätsanspruch von Prof. Spring⁴⁾. — Carey Lea erwidert auf die Prioritätsreclamation von Spring¹⁾, daß die Thatsache einer Einleitung chemischer Reactionen durch äußeren Druck nicht erst durch Spring festgestellt, sondern wohl schon so lange bekannt ist, als Explosivstoffe durch Schlag oder Reibung entzündet werden. Eine wesentliche Differenz zwischen den Resultaten von Carey Lea und Spring besteht ferner darin, daß Spring nicht zwischen endothermischen und exothermischen Vorgängen unterscheidet. Zur Durchführung endothermischer Reactionen muß die zugeführte Energie nicht lediglich beim Beginne der Reaction, sondern während der ganzen Reaktionsdauer wirken und für den Fall, daß eine derartige Reaction durch mechanische Kraft bewerkstelligt wird, muß eine beständige Um-

¹⁾ Zeitschr. anorg. Chem. 6, 176. — ²⁾ Dieser JB., S. 266; Zeitschr. anorg. Chem. 6, 2. — ³⁾ JB. f. 1883, S. 28 ff. — ⁴⁾ Zeitschr. anorg. Chem. 7, 50—51. ⁵⁾ Siehe vorstehendes Referat.

wandlung mechanischer in chemische Energie stattfinden. Derartige Versuche sind bis auf Carey Lea noch nicht ausgeführt worden, sondern sogar für unausführbar gehalten. *R.*

W. Spring. Erwiderung auf die Bemerkung von M. Carey Lea¹⁾. — Spring erklärt, daß seine Prioritätsansprüche sich nicht speciell auf die eine oder die andere Thatsache des in Frankreich kommenden Themas gründen, wohl aber auf das Thema selbst.

Arthur A. Noyes und Arthur A. Clement. Löslichkeit des sauren Kaliumtartrats bei Gegenwart anderer Salze²⁾. — Die Verfasser bestimmten die Löslichkeitsbeeinflussung des sauren Kaliumtartrats durch Zusatz von Fremdkörpern, indem sie zunächst verschiedensten Kaliumsalze als Fremdkörper wählten. Dabei zeigte sich, daß die drei Kaliumhaloide die Löslichkeit des Tartrats gleich stark herabdrücken, also wohl auch gleich stark dissociiren, daß Kaliumnitrat weniger stark, Kaliumchlorat noch weniger erniedrigend auf die Löslichkeit einwirkt. Kaliumsulfat übt eine äußerst schwach erniedrigende, Kaliumacetat eine stark erhöhende Wirkung aus. Letzteres entspricht dem Umstande, daß die negativen Ionen des dissociirten Kaliumacetats mit den freien Wasserstoffionen des Tartrats undissociirte Essigsäure bilden. In ähnlicher Weise erklärt sich die schwache Erhöhung der Löslichkeit des Tartrats, welche durch Zusatz von Schwefelsäure oder Salzsäure erfolgt. *Sf.*

Theodor Paul. Untersuchungen über fractionirte Fällung I. — Befindet sich das Natriumsalz einer schwer löslichen organischen Säure in Lösung und fügt man Wasserstoffionen z. B. in der Form von Salzsäure hinzu, so wird dem Massenwirkungsgesetz zufolge ein Theil der Säure in den undissociirten Zustand übergehen und wegen der geringen Löslichkeit der Säure ausfallen. Der Verfasser hat zunächst die Löslichkeit einer großen Zahl von organischen Säuren in reinem Wasser bestimmt und mit Hilfe der bekannten Affinitätsconstanten derselben die Menge der dissociirten und nicht dissociirten Antheile berechnet. Bei Ausführung der Löslichkeitsbestimmungen stellte es sich heraus, daß bei vielen dieser Lösungen eine einmal vorhandene Übersättigung sich nur äußerst schwer wieder aufheben läßt. Die theoretische Behandlung der Fällungserscheinungen gestaltet sich verschieden, je nachdem eine oder mehrere organische Säuren in Lösung sind; in letzterem Falle sind noch die beiden Unterabtheilungen mög-

¹⁾ Zeitschr. anorg. Chem. 6, 50, 51. — ²⁾ Zeitschr. physik. Chem. 13, 412—416. — ³⁾ Dasselbst 14, 105—123.

lich, daß nur eine einzige Säure aus dem gelösten Gemisch ausfällt oder mehrere. Paul berechnet die Quantität der auskristallisirenden Säure in diesen Fällen, und zwar bei dem letzten der selben unter Zuhilfenahme des Nernst'schen Vertheilungssatzes. Die Berechnungen werden durch zahlreiche, mit der Theorie gut übereinstimmende Versuche controlirt, die sich auf o-Jodbenzoesäure, Zinnober, o- und p-Toluylsäure, m-Brombenzoesäure und Anissäure erstrecken. *Sf.*

Robert Behrend. Ueber die Löslichkeit von Doppelverbindungen. III [Forts. von JB. f. 1892, S. 213)]. — Die Arbeit bildet eine Prüfung des Massenwirkungsgesetzes in seiner Anwendung auf Dissociationsvorgänge. Setzt man zu Anthracenpikrat Alkohol hinzu, so wirkt letzterer bekanntlich derart dissoeirend, daß die Pikrinsäure gelöst wird, während Anthracen zurückbleibt. Die Lösung enthält indessen, wie Behrend beiläufig feststellt, auch zum Theil unzersetztes Pikrat. Zur Bestimmung der Löslichkeit werden die fein gepulverten Substanzen mit 99,5 proc. Alkohol bei 25° acht Tage hindurch im Thermostaten geschüttelt. Alsdann werden von jeder Lösung zwei Proben entnommen und analysirt. Verfasser hat 12 verschiedene Lösungen in dieser Weise untersucht, und zwar 5 mit Anthracen, 4 mit dem Pikrat, 1 mit Pikrinsäure als Bodenkörper, während die beiden letzten 2 Conglomerate von Bodenkörpern enthielten, nämlich einmal Anthracen + Pikrat, zweitens Pikrinsäure + Pikrat. Das Massenwirkungsgesetz fand sich in allen diesen Fällen bestätigt, indem die Gleichgewichtsconstante nur unbedeutend um den Mittelwerth 5,1 schwankte. Zum Schluss wird ein Versuch, welcher für die Frage nach der Farbe der Ionen nicht ohne Interesse ist, kurz angeführt. *Sf.*

Richard Löwenherz. Ueber gesättigte Lösungen von Magnesiumchlorid und Kaliumsulfat oder von Magnesiumsulfat und Kaliumchlorid¹⁾. — Die Abhandlung enthält eine vom Standpunkte der Phasenregel ausgehende systematische Untersuchung des aus den fünf Bestandtheilen $MgCl_2$, $MgSO_4$, K_2Cl_2 , K_2SO_4 , H_2O bestehenden Systems, die gemäß der Reaktionsgleichung $K_2Cl_2 + MgSO_4 = K_2SO_4 + MgCl_2$ mit einander verbunden sind, also nur vier unabhängige Bestandtheile im Sinne der Phasenregel repräsentiren. Sieht man von den äußeren Variablen ab, so genügen zur Darstellung der thermodynamischen Verhältnisse drei Concentrationen, folglich lassen sich Modelle zur Veranschaulichung herbeiziehen. Verfasser wendet nun zu seinen räumlichen Dar-

¹⁾ Zeitschr. physik. Chem. 15, 182-195. ²⁾ Daselbst 13, 459-491.

stellungen nicht etwa ein dreiaxiges Coordinatensystem an, sondern ein vieraxiges, das durch vier in einem Punkte zusammenlaufende Octaederflächen und deren Schnittkanten gebildet wird; auf letzteren trägt er die Concentrationen der wässrigen Lösungen in Bezug auf jedes der vier Salze auf und beweist, daß seine Darstellungsmethode mit der obigen Bedingungsgleichung, welcher die Coordinaten unterliegen müssen, verträglich ist. Unter steter Anwendung dieser graphischen Veranschaulichungen werden die Existenzgebiete der in diesem Systeme möglichen Doppelsalze Schönit $[\text{MgK}_2(\text{SO}_4)_2 \cdot 6\text{H}_2\text{O}]$ und Carnallit $(\text{MgK}(\text{Cl} \cdot 6\text{H}_2\text{O}))$, sowie der Hydrate $\text{MgSO}_4 \cdot 7\text{H}_2\text{O}$ und $\text{MgSO}_4 \cdot 6\text{H}_2\text{O}$ discutirt und mit Hilfe von Löslichkeitsbestimmungen festgelegt, welche in einer ähnlichen Form, wie Meyerhoffer (JB. f. 1890, S. 233) sie beschrieben hat, ausgeführt wurden. Mit Hilfe dieser graphischen Darstellungen ist es nun möglich, vorauszusagen, welches Salz bei einem bekannten, aber willkürlich gewählten Gehalte der Lösung an K, Mg, Cl und SO_4 zuerst auskrystallisirt. Der Verfasser führt folgende Krystallisationsversuche aus, die durchweg im Einklang stehen mit den aus den graphischen Darstellungen sich ergebenden Resultaten:

Salze, gelöst in 1000 Mol. Wasser				Erstes krystallisationsproduct
53 Mol. MgSO_4	+	3 Mol. K_2Cl_2		$\text{MgSO}_4 \cdot 7\text{H}_2\text{O}$
38 "	"	12 "	"	$\text{MgK}_2(\text{SO}_4)_2 \cdot 6\text{H}_2\text{O}$
20 "	"	25 "	"	K_2SO_4
20 "	K_2SO_4	+	25 Mol. Mg_2Cl_2	K_2SO_4
20 "	"	31 "	"	$\text{MgK}_2(\text{SO}_4)_2 \cdot 6\text{H}_2\text{O}$
15 "	"	55 "	"	$\text{MgK}_2(\text{SO}_4)_2 \cdot 6\text{H}_2\text{O}$

Dilatometrisch bestimmte Löwenherz den Umwandlungspunkt des Magnesiaheptahydrats in Hexahydrat, derselbe liegt bei $29,6^\circ\text{C}$. Unterhalb muß das Heptahydrat eine kleinere, oberhalb dagegen eine größere Dampfspannung besitzen, als die an Magnesiumsulfat, Schönit und Chlorkalium gesättigte Lösung. Es gelang durch Messungen mittelst des Frowein'schen Differentialtensimeters, diese Thatsache, die sich theoretisch voraussagen liefs, zu bestätigen. *St.*

H. W. Bakhuys Roozeboom. Graphische Darstellung der heterogenen Systeme aus ein bis vier Stoffen, mit Einschluss der chemischen Umsetzung¹⁾. — Für Systeme, die aus einem einzigen Stoffe bestehen, genügt eine Ebene zur graphischen Darstellung der Gleichgewichte mehrerer Phasen; der Verfasser bevorzugt die Drucktemperatur der (p, t)-Ebene; die Schnittpunkte je zweier der

¹⁾ Zeitschr. physik. Chem. 15, 145—158.

Druckcurven ergeben die Tripelpunkte. Bei Systemen aus *zwei Stoffen* kann man die Richtung senkrecht zur (p, t) -Ebene dem Concentrationsverhältniß der beiden Stoffe entsprechen lassen, derart, daß diejenige (p, t) -Ebene, welche dem Gehalte 0 Proc. in Bezug auf die eine (resp. 100 Proc. in Bezug auf die andere) Componente entspricht, durch den Nullpunkt des dreiaxigen Coordinatensystems geht und die den Concentrationen 1, 2, 3 Proc. u. s. w. (resp. 99, 98, 97 Proc. bezogen auf die zweite Componente) entsprechenden (p, t) -Ebenen eine aquidistante, ihr parallele Schaar von Ebenen bilden, deren letzte die (p, t) -Ebene für den Gehalt 100 Proc. in Bezug auf die erste (resp. 0 Proc. in Bezug auf die zweite) Componente ist. Bei Systemen aus *drei Stoffen* bilden die drei Concentrationen a, b, c zwei unabhängige Variablen, da es nur auf ihr Verhältniß ankommt, um eine der äußeren Variablen (p oder t) mit zu berücksichtigen, ist also eine räumliche Darstellung notwendig; verzichtet man hierauf, so genügt eine Ebene. Statt zwei Concentrationsverhältnisse willkürlich zu bevorzugen, hatte bereits Gibbs alle drei gleichmäÙig dargestellt, indem er sie als homogene Dreieckscoordinaten in der Ebene interpretirte, Verfasser modificirt die Darstellungsweise von Gibbs ein wenig, indem er nicht, wie jener, ein gleichseitiges, sondern ein gleichschenkelig rechtwinkliges Fundamentaldreieck empfiehlt. Bei Systemen aus *vier Stoffen* muß man auf die Darstellung der äußeren Variablen verzichten, da die Concentrationen bereits drei unabhängige Veränderliche bilden. Eine in Bezug auf alle vier Stoffe symmetrische räumliche Darstellung erhält man, wenn die aus ihnen gebildeten Phasen durch Punkte innerhalb eines Tetraeders dargestellt werden. Bei Systemen aus *fünf oder mehr Stoffen* muß man auf graphische Darstellungen verzichten. Bei Systemen mit chemischen Umsetzungen ist die Zahl der als unabhängige Variablen zu betrachtenden Stoffe entsprechend der Art der vor sich gehenden Reaction zu wählen. Handelt es sich z. B. um das Gleichgewicht $KJ + Cl = KCl + J$, so liegen vier Bestandtheile, aber nur drei als *unabhängige* Veränderliche zu berücksichtigende Stoffe vor, indem die Menge des vierten durch eben jene Reaktionsgleichung aus den drei anderen sich ergibt. Handelt es sich um Systeme mit scheinbar fünf Componenten, so unterscheidet Verfasser die drei Fälle, daß entweder alle fünf Körper sich an der Umsetzung betheiligen, oder zwischen vier Körpern eine doppelte Umsetzung stattfindet, während der fünfte durch die Reaction nicht beeinflusst wird, oder endlich, daß die vier ersten Stoffe durch einfache Substitution aus einander hervor-

gehen. Die graphische Darstellung wird für diese Fälle im Einzelnen besprochen und bezüglich des zweiten auf die Arbeit von Löwenherz (vgl. das vor. Ref.) verwiesen. *Sf.*

H. W. Bakhuis Roozeboom u. F. A. H. Schreinemakers. Gleichgewichte zwischen flüssigen und festen Phasen im System. Wasser, Chlorwasserstoff, Eisenchlorid¹⁾. — Die Verfasser untersuchten systematisch vom Standpunkte der Phasenlehre aus im Intervall von -30 bis $+60^\circ$ die Gleichgewichte mit einer oder mehreren festen Phasen, die im System Wasser, Chlorwasserstoff, Eisenchlorid möglich sind. Dabei gelang es, zwei neue ternäre Phasen, nämlich die Verbindungen $\text{Fe}_2\text{Cl}_6 \cdot \text{HCl} \cdot 8\text{H}_2\text{O}$ und $\text{Fe}_2\text{Cl}_6 \cdot 2\text{HCl} \cdot 12\text{H}_2\text{O}$, aufzufinden. Die untersuchten Gleichgewichte lassen sich folgendermaßen gruppieren: 1. Lösungen im Gleichgewicht mit binären festen Phasen; 2. Lösungen im Gleichgewicht mit zwei binären Phasen oder einer binären und einer Componente; 3. Lösungen im Gleichgewicht mit ternären, festen Phasen; 4. Lösungen im Gleichgewicht mit einer ternären und einer anderen festen Phase; 5. Lösungen im Gleichgewicht mit drei festen Phasen. Mit Hilfe von äußerst zahlreichen graphischen Darstellungen, auf die hier nur hingewiesen werden kann, discutiren die Verfasser die verschiedenen speciellen Fälle von Gleichgewichten, die sich in diesen Abtheilungen noch ergeben können, insbesondere mehrfache Punkte, extreme Werthe der Löslichkeitscurven und dergl. Auch die Abhängigkeit der Gleichgewichte dieses Systems vom Druck wird besprochen. *Sf.*

J. Verschaffelt. Die Lösungstension als Hilfsmittel für die Bestimmung von Umwandlungstemperaturen²⁾. — Während bisher zur Ermittlung von Umwandlungstemperaturen nach der Löslichkeitsmethode ein einziges Lösungsmittel verwandt zu werden pflegte, benutzt Verschaffelt zwei begrenzt mischbare Lösungsmittel, nämlich Wasser und Amylalkohol, um die Umwandlungstemperatur des Glaubersalzes zu ermitteln. Die Beobachtung dieser Temperatur ist alsdann auf zweierlei Weise möglich: 1. Indem man solche Lösung von Natriumsulfat in einem Gemische von Amylalkohol und Wasser herstellt, die bei höherer Temperatur eine einzige homogene Phase bildet, während der Abkühlung aber bei einer gewissen zu beobachtenden Temperatur sich trübt und in zwei flüssige Phasen zerfällt; 2. indem man zu wasserfreiem Amylalkohol Glaubersalz (Dekahydrat) im Ueberschuß hinzugebt; derselbe führt alsdann durch Entziehung eines

¹⁾ Zeitschr. physik. Chem. 15. 588—637. — ²⁾ Dasselbst. S. 437—456.

Theiles des Krystallwassers theilweise Verwitterung herbei und sättigt sich mit Wasser. In beiden Fällen muß sich der Umwandlungspunkt durch einen Knick in der Löslichkeitscurve bemerkbar machen. Bei Fall 2 kann man statt in der angegebenen Weise auch so verfahren, daß man Anhydrid zu solchem Amylalkohol, der mit Wasser gesättigt ist, zugeibt. Der Verfasser ermittelte den Umwandlungspunkt aus der „Lösungstensioncurve“ (Fall 1) zu 33,74° C., aus der „Dissociationstensioncurve“ (Fall 2) zu 32,75° C. Erstere hat für Dekahydrat die Gleichung $c = 16,01 - 0,30t$, für Anhydrid $c = 4,88 + 0,04t$, letztere für Dekahydrat wiederum $c = 16,01 - 0,30t$, für Anhydrid $c = 1,60 + 0,14t$. Außerdem hat der Verfasser nach derselben Beobachtungsmethode wie im Fall 1 die Löslichkeit reinen Wassers in Amylalkohol bestimmt. Die erhaltenen Zahlen werden nun dazu verworther, um die Molekulargröße des im Amylalkohol gelösten Wassers zu berechnen, und zwar geschieht das nach zwei ganz verschiedenen Methoden. Nämlich erstens unter Anwendung der bekannten van't Hoff'schen Gleichung:

$$\frac{d \ln C}{dT} = \frac{iq}{2T^2},$$

indem C als Concentration des Wassers im Amylalkohol, i als die zu berechnende Molekulargröße des im Amylalkohol gelösten Wassers, iq als die Wärmetönung gedeutet wird, die mit dem Uebergange eines Mols Wasser aus der alkoholischen Lösung in die Sulfatlösung mit der Tension c verbunden ist, während T die absolute Temperatur bedeutet. Unter Benutzung der Angaben von Cohen über die Sättigungswärme des Natriumsulfats findet der Verfasser hieraus $i = 3,32$. Das Wasser, in Amylalkohol gelöst, muß also aus sehr complexen Molekulan bestehen. Das gleiche Resultat ergibt sich aus der zweiten von den erwähnten Berechnungsmethoden; dieselbe besteht nämlich aus einer Combination der Raoult'schen Formel für die Dampfdruckerniedrigung mit den ermittelten Dissociationsspannungen. Der Polymerisationsgrad muß, wie diese Berechnungsweise außerdem zeigt, mit der Concentration abnehmen. *Sf.*

Ernst Cohen u. Georg Bredig. Das Umwandlungselement und eine neue Art seiner Anwendung¹⁾. — Cohen hat gezeigt, daß bei der Umwandlungstemperatur die Potentialdifferenz zwischen den in Umwandlung begriffenen Systemen Null ist, und daß sich somit Umwandlungstemperaturen auf elektrischem Wege

¹⁾ Zeitschr. physik. Chem. 14, 535—547.

bestimmen lassen. Nun ist es aber häufig sehr schwierig, die metastabile Phase in einiger Entfernung von der Umwandlungstemperatur noch zu erhalten. Es wird nun gezeigt, daß man die metastabile Phase fortlassen kann und lediglich mit der jeweils stabilen festen Phase arbeiten. Die metastabile wird einfach durch eine immer gleiche, aber nicht völlig gesättigte Lösung ersetzt. Es zeigt sich, daß unabhängig von der Concentration der Vergleichslösung dieselben Umwandlungstemperaturen gefunden werden. Für die Temperaturcoefficienten der beiden Arten des Umwandlungselementes gilt der Satz: Der negative Temperaturcoefficient des Umwandlungselementes mit stabiler und metastabiler Phase ist bei der Umwandlungstemperatur gleich der Differenz der beiden Temperaturcoefficienten des Umwandlungselementes ohne metastabile Phase. B.

A. Schlamp. Zur Dissociationstheorie der Lösungen¹⁾. — Die Abhandlung bezweckt die Frage zu prüfen, ob die verschiedenen Methoden, nach denen man bei Elektrolyten die Größe i (Quotient aus Formelgewicht des Elektrolyten und seines Molekulargewicht in einer Lösung) bestimmt, zu gleichem Resultat führen. Es werden sowohl wässrige als auch propylalkoholische Lösungen untersucht; bei ersteren wurden die Siedepunkterhöhungen für Lösungen von Chlorlithium, Jodnatrium, Lithiumsalicylat, Bronznatrium, Natriumsalicylat, Chlorealcium, Jodkalium und Natriumacetat bestimmt. Die hieraus sich ergebenden Werthe von i zeigen im Allgemeinen gute Uebereinstimmung mit den von anderen Autoren nach der Gefriermethode, der Leitfähigkeitsmethode, sowie endlich nach der Methode der Siedepunkterhöhung berechneten Daten; nur für Chlorealcium ergeben sich abweichende Werthe — nämlich aus der Leitfähigkeit kleinere als aus der Siedepunkterhöhung. Die vom Verfasser angeführten Siedepunktsbestimmungen zeigen außerdem, daß bei der Mehrzahl der untersuchten Salze die Dissociation bei Zunahme der Concentration sinkt, nur bei Chlorealcium, Jodkalium und Lithiumsalicylat ist das nicht der Fall. Den Molekulargewichtsbestimmungen in Propylalkohol gingen orientirende Löslichkeitsbestimmungen voraus, welche ergaben:

100 g Propylalkohol lösen Gramme Substanz:

KCl	0	NaCl	Spur
KBr	0,055	NaBr	2,05
KJ	0,455	NaJ	24,74

¹⁾ Zeitschr. physik. Chem. 14. 272—285.

100 g Propylalkohol lösen Gramme Substanz:			
LiCl	15,86	LiC ₇ H ₅ O ₃	15,07
CaCl ₂	10,75	NaC ₇ H ₅ O ₃	1,16
KNO ₃	0	NaC ₇ H ₅ O ₄	0,97

Die molekulare Siedepunkterhöhung $\left(0,02 \frac{T^2}{W}\right)$ wurde erstens direct durch Bestimmung des Siedepunktes (T) und der Verdampfungswärme (W) ermittelt; zweitens durch Auflösung eines Stoffes von bekanntem Molekulargewicht — nämlich der Salicylsäure — in dem Alkohol und Beobachtung der Siedepunkterhöhung. Salicylsäure und Jodnatrium erwiesen sich als nicht dissociirt, Chlorlithium als nur wenig dissociirt in Propylalkohol; Lithiumsalicylat, in Propylalkohol gelöst, bildet Doppelmoleküle. Für die molekulare Leitfähigkeit dieser Stoffe ermittelte der Verfasser die Grenzwerte ($\mu_{\infty} \cdot 10^9$) bei LiCl 135, CaCl₂ 166, LiC₇H₅O₃ 105, NaJ 193; diese Werthe sind etwa halb so groß wie die entsprechenden in Aethyl und ein Sechstel so groß, wie in Wasser als Lösungsmittel. Der Verfasser hält die Annahme einer Verschiedenheit der Dissociation in den verschiedenen Lösungsmitteln zur Erklärung dieser Diskrepanz für mindestens ebenso berechtigt, wie die Annahme einer Verschiedenheit der Ionenreibung in Wasser, Aethyl- und Propylalkohol. Die aus der Leitfähigkeit in propylalkoholischen Lösungen sich ergebenden Werthe von i stimmen nur annähernd mit denjenigen überein, welche sich aus den Siedepunktbeobachtungen ergeben. *Sf.*

G. Carrara. Die elektrolytische Dissociation und das Verdünnungsgesetz in organischen Lösungsmitteln¹⁾. — Veranlaßt durch die Beobachtungen von Menschutkin (JB. f. 1891, S. 82), welcher festgestellt hatte, daß die Geschwindigkeit einer chemischen Reaction unter dem Einflusse des Lösungsmittels sich in weiten Grenzen ändern kann, bestimmte Carrara die Geschwindigkeit der Einwirkung von Schwefeläthyl auf Jodäthyl in verschiedenen Lösungsmitteln. Da diese beiden Stoffe Nichtleiter sind und nur das Reactionsproduct Triäthylsulfinjodid den Strom leitet, sind Leitfähigkeitsmessungen zur Prüfung der Frage bequem verwertbar, ob diese Reaktionsgeschwindigkeiten in Beziehung zu der Verschiedenheit des Dissociationsgrades in den einzelnen Lösungsmitteln stehen. In der That weisen die Versuchsergebnisse auf ein Correspondiren beider Größen hin. Außerdem bestätigen diese Messungen die Gültigkeit des Ostwald'schen Verdünnungs-

¹⁾ Accad. dei Lincei Rend. [5] 3, II, 393—390.

gesetzes für Triäthylsulfonjodid bei Anwendung von Propyl-, Isopropyl-, Allylkohol und Aceton als Lösungsmittel. Ferner glaubt Carrara eine große Analogie zwischen den Grenzwerten für die molekulare Leitfähigkeit des Triäthylsulfonjodids, den Reibungscoefficienten und den Dielektricitätsconstanten der Lösungsmittel constataren zu können.

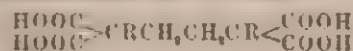
Sf.

M. Carey Lea. Neue Methode zur Bestimmung der relativen Affinitäten einiger Säuren¹⁾. — Die Methode beruht auf dem Grundsatz, daß die Affinität jeder Säure der Menge Basis proportional ist, welche sie bei Gegenwart einer starken Säure, die man als Vergleichungsnorm für alle Säuren auswählt, festzuhalten vermag. Als Normalsäure wählt Lea die Schwefelsäure und weist ihre An- und Abwesenheit in freiem Zustande mittelst der Hera-pathitreaction nach (vgl. JB. f. 1893, S. 50). Mit Hilfe der Hera-pathitprobe ist es möglich, den Moment genau zu erkennen, in welchem alle Schwefelsäure mit der Basis des betreffenden Salzes sich sättigt, wenn man nämlich die freie Schwefelsäure jenem Salze allmählich hinzusetzt. Eine so gewonnene Reihe von Gleichgewichtszuständen mit verschiedenen Salzen gestattet relative Werthe für die Affinitäten der in den Salzen enthaltenen Säuren zu berechnen. Lea's Methode ermöglicht es, durch eine charakteristische Reaction die Thatsache dem Auge sichtbar zu machen, daß selbst geringe Mengen schwacher Säuren nach dem Zusatze zu Sulfaten eine gewisse Schwefelsäuremenge in Freiheit setzen. Sf.

Bevan Lean. Bemerkung über die Affinität der mehrbasischen Säuren²⁾. — Die Wasserstoffatome einer mehrbasischen Säure beeinflussen sich gegenseitig in Bezug auf ihre Haftintensität innerhalb der Molekel. In Folge dessen ist z. B. für eine zweibasische Säure die Neutralisationswärme bei Bildung eines sauren Salzes nicht gerade halb so groß, wie bei Bildung des Neutralsalzes mit gleicher Base. In Folge dessen erhöht auch der Ersatz mehrerer Wasserstoffatome einer organischen Molekel nach einander durch Carboxylgruppen nicht die Affinitätsconstante der Molekel um gleiche Beträge, sondern in recht complicirter Weise. Ebenso wenig bestehen zwischen den Affinitätsconstanten von Säuren, die zu gleichen homologen Reihen gehören, einfache quantitative Verhältnisse. Lean führt als Beweis hierfür Zusammenstellungen aus den Versuchsergebnissen von Ostwald,

¹⁾ Zeitschr. anorg. Chem. 6, 369—376. Sill. Am. J. 47, 445—451. Phil. Mag. [5] 37, 567—564. Chem. News 70, 55—57. — ²⁾ Chem. Soc. J. 65, 1024—1026.

Bethmann, Walden und Walker an. Wenn mehrere Carboxylgruppen in eine Molekel so eingeführt werden, daß sie einander benachbart sind, so wird dadurch die Stärke der Säure ganz besonders erhöht; als Beispiele führt der Verfasser die Tetracarbonsäuren an. Dieselben sind wegen der Häufung der Carboxylgruppen als sehr starke Säuren zu betrachten. Sind aber zwei Carboxylgruppen neutralisirt, ist z. B. aus:



geworden



so sind nicht mehr zwei unmittelbar benachbarte Carboxylgruppen vorhanden, und in Folge dessen muß die Affinitätsconstante der Säure durch die Einführung der beiden Kaliumatome außerordentlich sinken. Hieraus erklärt der Verfasser seine Beobachtung, daß die Kalisalze der Dimethyl-, Diäthyl- und Diacetylbutantetracarbonsäure alkalisch reagiren und die zugehörigen Säuren sich nicht mit Lackmus titriren lassen, indem schon lange vor der theoretischen Menge alkalische Reaction und ein sehr unscharfer Farbumschlag eintritt.

Sy.

J. M. Lovén. Ueber die Affinitätsgrößen einiger schwefelhaltiger Substitutionsderivate der Essigsäure und der Propionsäure¹⁾. — Lovén hat für 25° die Affinitätsconstanten einiger schwefelhaltiger Säuren bestimmt, die hier folgen mögen:

Name der Säure	μ_{25}	K
Thiodiglycolsäure	358	0,049
α -Thiodilactylsäure (monosymmetrisch)	356	0,049
α -Thiodilactylsäure (wahrscheinlich asymmetrisch)	356	0,044
β -Thiodilactylsäure	356	0,0078
α -Thiolactylglycolsäure	357	0,048
β -Thiolactylglycolsäure	357	0,025
$\alpha\beta$ -Thiodilactylsäure	356	0,021
α -Dithiodilactylsäure	356	0,000
β -Dithiodilactylsäure	356	0,0000
α -Trithiodilactylsäure	356	0,080
Sulfoessigsäure	358	1,30
α -Sulfopropionensäure	357	1,03
β -Sulfopropionensäure	355	0,024
α -Sulfopropionessigsäure	356	1,24
β -Sulfopropionessigsäure	356	0,51

Bs.

¹⁾ Zeitschr. physik. Chem. 13, 350.

G. Bredig. Ueber die Affinitätsgrößen der Basen ¹⁾. — Um aus den verschiedenen Methoden zur Bestimmung der Affinitätsconstanten, die man zweckmäßig als dynamische, statische und elektrische Methoden unterscheidet, sucht der Verfasser die letztere als die genaueste nachzuweisen: er bedient sich ihrer, um in der bekannten Form mittelst Telephon und Wechselstrom die Leitfähigkeit der in der folgenden Tabelle zusammengestellten Basen zu messen, woraus er mit Hülfe der Grenzwerte μ_∞ der molekulare Leitfähigkeit bei 25° C., bezogen auf reciproke Siemenseinlagen, für die Affinitätsconstante K ($= 100 k$, d. h. die mit 100 multiplizierte Dissociationsconstante $k = \frac{(\mu \mu_\infty)^2}{v(1 - \mu \mu_\infty)}$) die im Folgenden angegebenen Werthe berechnet:

	μ_∞	K		μ_∞	K
Ammoniak	237	0,0023	Diisobutylamin . . .	194	0,044
Methylamin	225	0,050	Diisoamylamin . . .	191	0,053
Aethylamin	214	0,056	Trimethylamin . . .	214	0,0074
N-Propylamin	207	0,047	Triäthylamin	200	0,064
Isopropylamin	207	0,053	Tripropylamin . . .	193	0,055
Isobutylamin	201	0,031	Triisobutylamin . . .	180	0,026
Sec. Butylamin	201	0,041	Methyldiäthylamin . .	203	0,027
Trimethylcarbammin . .	204	0,054	Allylamin	209	0,0057
Isoamylamin	201	0,050	Benzylamin	207	0,0024
Dimethylamin	217	0,074	Piperidin	203	0,158
Diäthylamin	203	0,126	Conin	195	0,132
Dipropylamin	197	0,102	Hydrazin	224	0,0027

Auch an quaternären Ammoniumbasen, Diaminen und einigen wenigen anderen, minder wichtigen Basen wurden diese Größen bestimmt, worauf hier nur verwiesen werden kann. Da nach Arrhenius und Walker die Hydrolyse eines Chlorhydrats als reciprokes Maß für die Stärke seiner Basis ansehen kann, ist es bei sehr schwachen Basen (wie Anilin, Pyridin u. dgl., die so schlecht leiten, daß eine directe Leitfähigkeitsbestimmung unausführbar ist) möglich, aus der Größe der hydrolytischen Dissociation ihrer Chlorhydrate, die ihrerseits wiederum durch Leitfähigkeitsmessungen bestimmt werden kann, indirect die Affinitätsgrößen der Basen zu berechnen. Die allgemeinen Resultate der Arbeit sind etwa die folgenden: 1. Auch die Basen

¹⁾ Zeitschr. physik. Chem. 13. 289—326.

folgen der Ostwald'schen Verdünnungsformel. 2. Bei den aliphatischen Aminen sind im Allgemeinen die quaternären Basen (mit Ausnahme des Betains) bereits nahezu im Maximum der Dissociation. Mittelstark sind die secundären, schwächer als diese die primären und tertiären aliphatischen Amine. 3. Phosphonium-, Arsonium-, Stibonium-, Sullinium-, Telluriumbasen sind äußerst stark, äußerst schwach dagegen Zinn- und Quecksilberbasen. 4. Die untersuchten aliphatischen Diamine sind auffallender Weise um so schwächer, je „näher“ sich die beiden Amidogruppen stehen. Dieser Umstand wurde als Beweis für die Existenz auch der (negativrenden) zweiten Ammoniumhydroxydgruppe NH_4OH betrachtet. 5. Bei Isomeren und Metameren wurden oft enorme Einflüsse der Constitution festgestellt. Sf.

Eugen Lellmann u. Albert Liebmann. Ueber die Affinitätsgrößen der Basen¹⁾. — Die Verfasser stellen beim Anilin sehr beachtliche Schwankungen der colorimetrisch bestimmten Affinitätsconstante gegenüber äußeren physikalischen Einwirkungen fest, nachdem bereits Lellmann und Grofs (JB. f. 1891, S. 73), sowie Lellmann und Görtz (JB. f. 1893, S. 160) ähnliche Erscheinungen, jedoch weniger eingehend, beschrieben hatten. Z. B. stieg nach zweifachem Schütteln der Lösung der Affinitätswert des Anilins von 60 auf über 80. Die Schwankungen sind unabhängig davon, ob das Tageslicht ausgeschlossen wird oder nicht, können also als Lichtwirkungen nicht aufgefaßt werden. Dagegen sind die Effecte sehr verschieden, je nachdem man in einer Glas- oder Platinflasche schüttelt; verwendet man einen Glaskolben, in welchen Stücke von Platinblech hingeworfen werden, zum Schütteln, so zeigt sich anfangs der Effect des Platins, bei längerem Schütteln verschwindet derselbe indessen wiederum, so daß die Lösung schließlich wieder denselben Affinitätswert aufweist, der sich vor Einwurf des Platins beobachten ließ. Auch bei Gold zeigt sich ein solches zeitliches Maximum der Einwirkung. Der Affinitätswert ändert sich auch beträchtlich, wenn man die Lösung in das Feld eines Elektromagneten oder starken Stahlmagneten bringt oder die Röhre, welche die Lösung enthält, mit einer Drahtspirale umgibt, durch welche ein elektrischer Strom fließt. Ein Wechsel- und Gleichstrom bringen hierbei genau gleiche Effecte hervor. Besonders beachtenswerth erscheint es den Verfassern, daß die erschütternden Einflüsse die Affinitätsgröße des Anilins erhöhen, während die „richtende und beruhigende Wirkung“ des Magnetismus den Affinitätswert kleiner

¹⁾ Ann. Chem. 278. 141–152.

werden läßt. Diesen entgegengesetzten Einwirkungen sollen auch entgegengesetzte Veränderungen der Anilinmoleküle entsprechen, die sich nur langsam wieder ausgleichen und dadurch die Schwankungen der Basicität bedingen. In welcher Weise die Verfasser sich diese Veränderungen der Anilinmoleküle denken, ist von denselben in früheren Publicationen (l. c.) bereits hervorgehoben. Auf die zahlreichen Versuchsreihen, welche die Verfasser als Beleg für ihre Behauptungen beibringen, kann hier nur verwiesen werden, da dieselben einen mehr qualitativen Charakter besitzen und durch exactere ersetzt werden sollen. Sf.

Eugen Lellmann u. Albert Liebmann. Ueber die Affinitätsgrößen der Säuren¹⁾. — Bei Affinitätsbestimmungen sind nach der Ansicht der Verfasser als Lösungsmittel Gemische gleicher Theile Wasser und Alkohol oder auch gleicher Theile Wasser und Aceton besonders gut verwendbar. Nur in diesen Gemischen nämlich erweisen sich die Affinitätsconstanten als unabhängig von der Verdünnung; in den einzelnen Lösungsmitteln für sich ist das nicht der Fall, wie die Verfasser aus Versuchen mit α -Hy-isobuttersäure, sowie mit Benzoesäure, Zimmtsäure und Phenyl-essigsäure schlossen. Außerdem stellen die Verfasser fest, daß in den Lösungen, mittelst welcher die Affinitätsbestimmungen ausgeführt werden, das sich bildende Salz einen Einfluß auf die Natur des Lösungsmittels ausüben und dadurch eine Veränderung der Affinitätsgröße bewirken könne; Sulfonsäure und Salicylsäure sind hierfür Beispiele. Im zweiten Theile ihrer Schrift beschreiben die Verfasser ein ähnliches Oscilliren der Affinitätsgröße bei einigen Säuren, wie sie es bereits bei Basen (besonders Anilin, vgl. das vor. Ref.) beobachtet hatten. Es sind diese Versuche im Wesentlichen Bestätigungen der von Lellmann und Schliemann²⁾ gemeinsam ausgeführten Beobachtungen, doch erweisen sich die Schwankungen jetzt als noch größer und unregelmäßiger als damals, die Verfasser glauben, daß die Witterungsverhältnisse dieses verursachen. Sf.

Zd. H. Skraup. Ueber die Affinität einiger Basen in alkoholischer Lösung³⁾. — Skraup bestimmte die relative Stärke folgender Basen: Cinchonidin = 1, Trimethylamin = 1,4, Benzylamin = 3, Ammoniak = 5, Methylamin = 21. Zur Ausführung der Messungen benutzte Verfasser die manchen optisch activen Basen zukommende Eigenschaft, ein anderes Drehungsvermögen

¹⁾ Ann. Chem. 278, 152–173. — ²⁾ JB. f. 1893, S. 160. — ³⁾ Monatsh. Chem. 15, 775–786.

in alkoholischer Lösung als in freiem Zustande aufzuweisen. Wenn eine inactive Basis zugesetzt und die Aenderung des Drehungsvermögens bestimmt wird, läßt sich bei Versuchen mit mehreren Basen deren relative Affinität in der alkoholischen Lösung berechnen, eine Methode, die bekanntlich Jellet bereits in ähnlicher Weise verwandt hatte. In alkoholischer Lösung kommt also den Basen nicht die gleiche relative Affinität zu, wie in wässriger, was bei Trimethylamin besonders stark auffällt. *Sf.*

John Shields. Ueber die relative Stärke oder Avidität schwacher Säuren¹⁾. — Aus Versuchen über die Hydrolyse der Salze schwacher Säuren berechnet Shields folgende relative Werthe für die Affinitäten in Lösungen von 10 Litern (diejenige der Salzsäure = 100 gesetzt):

Chlorwasserstoff	100	Essigsäure	0.35
Trichloressigsäure	68	Biborsäure	0.0057
Dichloressigsäure	23	Cyanwasserstoffsäure . .	0.0026
Monochloressigsäure . . .	4.3	Carbolsäure	0.00094
		Kohlensäure	0.00091 <i>Sf.</i>

R. W. Wood. Die Affinitätsconstanten schwacher Säuren und die Hydrolyse der Salze²⁾. — Da die verzuckernde Wirkung der Diastase durch kleine Mengen freier Säuren und Basen verzögert wird, ist es möglich, auf diese Erscheinung eine Methode zur Bestimmung der Affinitätsconstanten zu begründen. Der vom Verfasser empfohlene Apparat ermöglicht unter stetem Rühren bei einhoher Temperatur den Fortschritt des Verzuckerungsprocesses bequem zu beobachten. Am stärksten wirkte die Diastase bei der Temperatur 55°; in sauren Lösungen liegt das Maximum der verzuckernden Wirkung bei einer merklich niedrigeren Temperatur als in alkalischen. Diese Thatsache wurde durch Vergleichung der bei 45, 49, 51, 55, 57° einerseits mit Essigsäure, andererseits mit Aetznatron angestellten Versuche constatirt. Bei der also besonders günstigen Temperatur 55° wurden alsdann die Affinitätsconstanten der Ameisensäure, Propionsäure, Buttersäure, Isobuttersäure gemessen, sie entsprachen im Wesentlichen den aus den Leitfähigkeitsbestimmungen bekannten Werthen. Die neutralen Natriumsalze schwacher Säuren üben einen stark hemmenden Einfluß auf die verzuckernde Wirkung der Diastase aus, die Salze starker Säuren dagegen einen kaum mehr merklichen; dieses Verhalten erklärt sich aus der Hydrolyse der betreffenden Salze. Wood fand für Natriumacetat 0.72 Proc. Hydrolyse für 40 Liter, dagegen nur 0.16 Proc. für 10 Liter. Borax in 800 Litern lieferte

¹⁾ Phil. Mag. [5] 37, 159—162. — ²⁾ Amer. Chem. J. 16, 313—325.

12.4 Proc. Hydrolyse. Werden Neutralsalze der betreffenden schwachen Säuren diesen zugesetzt, so wird dadurch die verzögernde Wirkung auf den Verzuckerungsproceß stark herabgedrückt, der Verfasser liefert für diese Verhältnisse specielle graphische Darstellungen und erklärt sie im Anschluß an die Theorie der isohydrischen Lösungen von Arrhenius. Die so modifizierte Methode, daß statt der freien Säure resp. Basis allein ihr Gemisch mit einem ihrer Neutralsalze verwandt wird, empfiehlt Wood ganz besonders für alle die Fälle, in denen die gewöhnlichen Methoden zur Bestimmung der Affinitätsconstante nur schwer anwendbar sind, so z. B. für schwache organische Basen. *Sf.*

Svante Arrhenius. Ueber die Hydrolyse von Salzen schwacher Säuren und schwacher Basen ¹⁾. — Arrhenius berechnet vom Standpunkte der Dissociationstheorie aus Versuche, die Lellmann und Schliemann (JB. f. 1893, S. 160) auf spectrometrischem Wege über das chemische Gleichgewicht in verdünnten Lösungen von Helianthinsalzen der Propionsäure, Essigsäure, Oxyisobuttersäure und Monochloressigsäure angestellt hatten, und zeigt, daß innerhalb der zu erwartenden Genauigkeitsgrenze die Beobachtung und Berechnung übereinstimmen. Die von Lellmann und Schliemann selbst bezweifelte Möglichkeit, auf ihre Versuche über Hydrolyse die genannte Theorie anzuwenden, ist vom Verfasser damit erwiesen. *Sf.*

J. J. A. Wijs. Die elektrolytische Dissociation des Wassers ²⁾. — Durch die Untersuchungen von Kohlrausch war die Frage nahegelegt, ob absolut reines Wasser überhaupt den elektrischen Strom leitet; Wijs bestimmt zur Entscheidung derselben die Verseifungsgeschwindigkeit von Methylacetat durch reines Wasser und schließt hieraus direct auf die Menge der freien OH-Ionen im Wasser. Diese Verseifung geht nämlich unter Verbrauch von Hydroxylionen vor sich, da sie entsprechend der Gleichung: $\text{CH}_3\text{CO}_2\text{CH}_3 + \text{OH} = \text{CH}_3\text{COO} + \text{CH}_3\text{OH}$ erfolgt, der Abnahme der Hydroxylionen aber muß eine Verlangsamung der Verseifung correspondiren. Gleichzeitig bedingt dieser Vorgang jedoch eine Vermehrung der Wasserstoffionen, die absdann ihrerseits eine verseifende Wirkung — wenngleich nur in etwa 1400mal schwächerem Maße als die Hydroxylionen — ausüben. Hieraus folgt, daß anfangs die relativ große Menge von OH-Ionen allein verseifend wirkt, daß entsprechend der Abnahme der letzteren die Ver-

¹⁾ Zeitschr. physik. Chem. 13, 407—411. — ²⁾ Akad. Proefschr. Amsterdam; Ref.: Chem. Centr. 65, I, 313. Vgl. JB. f. 1893, S. 222.

seifungsgeschwindigkeit bis zu einem Minimum abnimmt, um dann wieder anzusteigen, weil die katalytische Wirkung der Wasserstoffionen, nachdem viel Essigsäure sich gebildet hat, einen grossen Betrag erreicht. Es gelang nun Wijs, experimentell dieses Ab- und Zunehmen der Verseifungsgeschwindigkeit durch Bestimmung des elektrischen Leitvermögens festzustellen. Aus der Lage des Minimums der Verseifungsgeschwindigkeit läßt die Anfangsgeschwindigkeit derselben sich berechnen, welche direct nur ungenau bestimmbar ist, und daraus ergibt sich die Concentration der OH-Ionen. Den der Gleichung $C_{OH} \cdot C_H = k$ (unter C_{OH} die Concentration der freien OH-Ionen, unter C_H diejenige der H-Ionen im reinen Wasser verstanden) entsprechenden Werth von $\frac{1}{k}$ bestimmte der Verfasser zu $0,12 \cdot 10^{-9}$, d. h. in reinem Wasser sind vorhanden $1,8000000$ Proc. H-Ionen und $17,8000000$ Proc. OH-Ionen. Das zu diesen Versuchen verwandte Wasser wurde durch Destillation mit Kaliumpermanganat und Kalilauge, darauf mit saurem schwefelsaurem Kali und zum Schluss durch Destillation im Vacuum gereinigt. Alle Destillationen führte der Verfasser in einem kupfernen, innen vergoldeten Kessel und mittelst eines Zinkkühlers aus. Das sorgfältig fractionirte Methylacetat wurde, um es vollkommen säurefrei zu erhalten, drei Monate über Kalkstaub aufbewahrt.

Sf.

W. Nernst. Zur Dissociation des Wassers¹⁾. — Die elektrolitische Dissociation des Wassers läßt sich durch Betrachtung der Kette: Pt beladen mit H_2 | Saure | Basis | Pt beladen mit H_2 berechnen, wobei man jedoch nicht, wie Ostwald, lediglich die Vorgänge an den Elektroden, sondern auch diejenigen an der Grenzfläche zwischen Basis und Säure berücksichtigen muß. Betrachtet die Concentration der Wasserstoffionen in der Säure c_1 , in der Basis c_2 , so ergibt sich für die an jeder der Elektroden selbst wirkende elektromotorische Kraft bei 18° der Werth $0,0576 \log c_1 c_2$. Für die Potentialdifferenzen an der Grenzfläche, wo das aus der betreffenden Säure (HCl) und Basis (NaOH) gebildete Salz (NaCl) anzunehmen ist, berechnet Nernst unter Anwendung seiner bekannten Gleichungen in der von Plank integrierten Form: HCl | $NaCl$ = 0,0392 und $NaCl$ | $NaOH$ = 0,0262 Volt. Bezeichnet E die Gesamtkraft der Kette, so ist $0,0576 \log c_1 c_2 = E + 0,0392 - 0,0262$ Volt. Setzt man für E den Mittelwerth aus den Messungen Ostwald's und Le Blanc's ein, so folgt $c_1 c_2 = 10^{14}$, woraus sich für die Dissociation $0,8 \cdot 10^{-7}$ ergibt, eine Zahl, die

¹⁾ Zeitschr. physik. Chem. 14, 155—156.

dem von Wijs erhaltenen Werthe (vgl. das vor. Ref.) genügend nahe kommt, besonders wenn man beide Messungen auf gleiche Temperatur corrigirt.

Sf.

Reactionsgeschwindigkeit.

Max v. Recklinghausen. Methoden und Apparate zur Verfolgung von Gasreactionen bei gewöhnlicher Temperatur durch Beobachtung von Volumenänderungen¹⁾. — Es kam dem Verfasser zunächst darauf an, den Verlauf der Reaction zwischen Chlor und Wasserstoff und Chlor und Kohlenoxyd im Lichte messend zu verfolgen. Die Anwendung von mit Chlorgas gesättigten Sperrflüssigkeiten bot viele Schwierigkeiten. Zudem gestattete sie nicht genügend schnell und genau den Volumenänderungen zu folgen. Der Verfasser ersann eine selbst registrirende Vorrichtung. Ein mit zwei Hähnen verschlossenes Kugelrohr wurde im Dunkeln mit dem zu prüfenden Gasgemisch gefüllt. Es wurde mit einer langspiralig gebogenen Capillare verbunden, die mit Luft gefüllt war und deren anderes Ende in einen Luftraum führte, der durch Wasser abgesperrt war. Wenn in Folge der Reaction eine nur kleine Ausdehnung oder Contraction des Gasgemisches im Kugelrohr erfolgte, übertrug sich diese durch die Capillare auf den durch Wasser abgesperrten Luftraum, ohne daß Chlor oder Chlorwasserstoff in diesen treten konnte. Die Gasschwankungen setzten das Sperrwasser, das mit Wasser in einem zweiten offenen Gefäße communicirte, in auf- und abgehende Bewegung, die durch einen Kork, der auf dem Wasser im zweiten Gefäße schwam, einem leichten Zeiger mittheilte. Der Zeiger spielte vor einer sich um eine verticale Axe drehenden Trommel, die mit durch Ruß geschwärztem Papier bekleidet war, und zeichnete auf ihr die Schwankungen des Wasserspiegels ab. — Es ergab sich bei Versuchen mit Chlorknallgas, daß sich das Gas im Augenblicke der Belichtung stark ausdehnt, was schon Pringsheim gefunden hatte. Die Ausdehnung nimmt im Anfang schnell, dann allmählich langsamer ab. Die Reaction ist beendet, wenn das alte Volumen wieder erreicht ist; die Kugel enthält dann nur Chlorwasserstoffgas. Wenn vor Beendigung der Reaction die Kugel verdunkelt wird, verschwindet die Ausdehnung ebenfalls. Belichtet man sie wieder, so dehnt sich das Gasgemenge wieder aus, aber nicht so weit, wie vor der Verdunkelung; es scheint, daß im Dunkeln eine

¹⁾ Zeitschr. physik. Chem. 14. 491-505.

Nachwirkung des Lichtes stattfindet. Das Gemenge von Kohlenoxyd mit Chlorgas reagirt in gleicher Weise wie das vorige; nur findet hier durch die Reaction selbst eine Contraction statt, da ja aus zwei Volumen eines entsteht. Nicht lichtempfindliche Gemenge, wie Chlor und Aethylen, treten bei plötzlicher intensiver Mischung ohne Ausdehnung in Reaction. — Eine Behinderung der Reaction in Chlorknallgas in der ersten Zeit nach der Belichtung, wie sie Bunsen und Roscoe beobachteten, hat der Verfasser nur einmal, und nicht ganz sicher, wahrgenommen. *Bdl.*

J. E. Trevor und F. L. Kortright. Reactionsgeschwindigkeit und Siedepunkt ¹⁾. — Die Inversion des Rohrzuckers läßt sich auch durch die Aenderung des Siedepunktes der Lösung verfolgen, da bei der Reaction die Zahl der gelösten Moleküle und damit der Siedepunkt zunimmt. Ein mit Bernsteinsäurezusatz durchgeführter Versuch ergab eine gute Constanz des bekannten logarithmischen Ausdrucks. *Bdl.*

Louis Kahlenberg. Ueber die Geschwindigkeit der Reduction des Eisenchlorids durch Zinnchlorür ²⁾. — Der Verfasser nahm an, daß die Reaction eine solche zweiter Art sein müsse. Er prüfte ihre Geschwindigkeit, indem er zur Unterbrechung nach bestimmten Zeiten das Zinnchlorür durch Mercurichlorid in Zinnchlorid verwandelte und das Eisenchlorür mit Pyrochromat titrirte.

Der Ausdruck für eine Constante zweiter Ordnung $ac - \frac{1}{t} \cdot \frac{x}{a-x}$ ist nicht constant, sondern nimmt mit zunehmender Zeit regelmäßig, z. B. von 0,00921 auf 0,00421 ab. Zusatz von Salzsäure beschleunigt die Reaction erheblich. *Bdl.*

Alexandre de Hemptinne. Ueber die Verseifungsgeschwindigkeit einiger Ester ³⁾. — Während Reicher ⁴⁾ den Einfluß der Hydroxylionen in alkalischer Lösung auf die Verseifungsgeschwindigkeit untersuchte, wollte der Verfasser den Einfluß der Wasserstoffionen prüfen. Da Ester von höherem Molekulargewicht untersucht werden sollten, durften nur solche Mengen der Ester angewendet werden, die sich vollständig lösten. Die in 1 Liter der bei 25° gesättigten wässrigen Lösung enthaltenen Mengen Ester sind in Gramm:

Amylacetat	Amylpropionat	Amylbutyrat	Isobutylacetat
1,622	0,908	0,505	0,332
Propylpropionat	Methylbutyrat	Aethylbutyrat	Aethylvalerat
5,623	10,726	6,862	2,366

¹⁾ Zeitschr. physik. Chem. 14, 149—150. — ²⁾ Amer. Chem. Soc. J. 16, 314—323. — ³⁾ Zeitschr. physik. Chem. 13, 561—569. — ⁴⁾ JB. f. 1885, 8, 1312; f. 1886, S. 1289.

Die Verseifung in saurer Lösung ist eine Reaction erster Ordnung. Die Constanten der Verseifungsgeschwindigkeit, die nach der

Gleichung $K = \frac{1}{t} \ln \frac{A}{A-x}$ berechnet wurden, sind:

	K		K
Methylacetat	0,001432	Methylbutyrat	0,00095
Aethylacetat	0,001481	Aethylbutyrat	0,00099
Propylacetat	0,001458	Propylbutyrat	0,00098
Methylpropionat	0,001538	Aethylclobutyrt	0,00098
Aethylpropionat	0,00158	Aethylvalerat	0,00094
Propylpropionat	0,001578		

Man erkennt, dass die Aenderung des Alkoholradicals nur einen geringen Einfluss auf die Verseifungsgeschwindigkeit ausübt, während die Aenderung der Säure von grossem Einfluss ist. Die Lösungen waren für Salzsäure 0,1-normal. Dagegen war die durch die Verseifung entbundene Säure ohne Einfluss auf die Reactionsgeschwindigkeit, so dass die Autokatalyse keine Rolle spielte. Die katalytische Wirkung der Hydroxylionen ist, wie die Versuche von Reicher ergeben, weitaus grösser. Es hat daher die Natur des Alkoholradicals einen grösseren Einfluss auf die Verseifungsgeschwindigkeit als die des Säurerestes. — Es wurde auch geprüft, ob die Verseifung der Ester im Gaszustande durch Säuren katalytisch beschleunigt werde. Wegen des starken Angriffs des Glases durch Chlorwasserstoff und Jodwasserstoff konnte zunächst nur qualitativ festgestellt werden, dass die Säuren die Verseifung beschleunigen.

Idl

Richard Löwenherz. Ueber die Verseifungsgeschwindigkeit einiger Ester¹⁾. — In Fortführung der oben besprochenen Versuche von Hemptinne wurde die Verseifung der folgenden Ester in $\frac{1}{10}$ -normaler Salzsäure bei 40° untersucht: Triacetin, Phenylacetat, Methylmonochloracetat, Aethylmonochloracetat, Aethyl-dichloracetat, Aethyltrichloracetat, Aethylformiat, Methylbenzoat, Jodäthyl. Ein Theil der Ester wurde in stets gesättigter Lösung untersucht. Die verseifte Menge ist dann der Zeit proportional. Die Constante lässt sich leicht auf die Constante der übrigen Versuche reduciren. Die Temperatur war 40°. Um die Versuche mit denen bei 25° vergleichbar zu machen, wurde am Triacetin und Phenylacetat festgestellt, dass das Verhältniss der Constanten bei 40 und 25° 3,83 ist. Den geringen Einfluss der Aenderung des Alkohols und den grossen der Aenderung der Säure zeigen

¹⁾ Zeitschr. physik. Chem. 15, 389—398.

enden Tabellen, für die auch die Versuche von Hemptinne ungerechnet wurden:

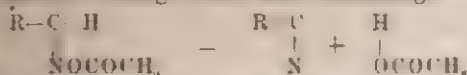
Verseifungsgeschwindigkeiten.

acetat	0,0055	Aethylmonochloracetat	0,0033
acetat	0,0057	Aethylformiat	0,11
acetat	0,0056	Aethylacetat	0,0057
acetat	0,0043	Aethylmonochloracetat	0,0033
acetat	0,0026	Aethyldichloracetat	0,0058
propionat	0,0059	Aethyltrichloracetat	(0,1—0,2)?
propionat	0,0061	Aethylpropionat	0,0061
propionat	0,0060	Aethylbutyrat	0,0035
butyrat	0,0033	Aethylisobutyrat	0,0034
butyrat	0,0035	Aethylvalerat	0,0012
butyrat	0,0044	Aethylbenzoat	0,00003
monochloracetat	0,0036	Jodäthyl	0,0004

Der Verfasser bei Berechnung der Constanten auch die bei Essigsäureester und Jodäthyl jedenfalls beträchtliche katalytische Wirkung der entbundenen starken Säure, also die Autokatalyse berücksichtigt hat, wird nicht angegeben.) *Bdl.*

J. van Laar. Die Verseifungsgeschwindigkeit des Methylacetats durch Wasser und deren Minimalwerth¹⁾. — Eine einfache mathematische Behandlung des von Wijs²⁾ gelieferten experimentellen Materials ergibt für die Dissociation des Wassers einen anderen Werth als die Zahl $1,2 \times 10^{-7}$, die Wijs selbst erhalten hatte. Unaufgeklärt bleibt die Differenz gegen die von Reding und Ostwald berechnete Zahl 6×10^{-7} . *Bdl.*

Hantzsch. Die Geschwindigkeit des Ueberganges von Aldoximen in Säurenitrile³⁾. — Nur die Acetate der Synaldoxime, die der Antialdoxime zerfallen unter der Einwirkung von Carbonaten oder den Dicarbonaten in Essigsäure und Säurenitril. Die Reaction erfolgt nach der Gleichung:



Die Geschwindigkeit des Zerfalls und ihre Abhängigkeit von der Natur des Radicals R untersucht werden. Es sind nur solche Aldoxime dieser Untersuchung zugänglich, da die anderen keine Acetate bilden. Läßt man die Reaction in Gegenwart von Carbonaten oder Dicarbonaten erfolgen, so ist ein bestimmter Gang nicht zu erkennen, weil Nebenreactionen störend

¹⁾ Zeitschr. physik. Chem. 13, 736—756. — ²⁾ JB. f. 1893, S. 222. B. S. 282. — ³⁾ Zeitschr. physik. Chem. 13, 509—530.

eingreifen. Es wurde daher als katalytische Substanz nur Wasser in Form von wässrigem Alkohol benutzt. Damit nicht durch die Esterificirung der entstandenen Essigsäure der Process selbst gestört und die Untersuchung des Fortganges der Reaction erschwert werde, wurde von vornherein der Lösung Natriumacetat zugesetzt. Dieses verhindert die Esterification völlig, weil es die Dissoziation der freien Essigsäure herabdrückt. Die Reaction, die bei 20 untersucht wurde, erfolgt sehr langsam; sie erwies sich als eine solche erster Ordnung. In nachstehender Tabelle sind die Aldoxime nach zunehmender Grösse der Constanten der Geschwindigkeit der Zersetzung der Acetate geordnet. Es zersetzt sich also das *p*-Nitroderivat am schnellsten:

	Constante
<i>m</i> -Nitrosynbenzaldoximacetat	0,000128
<i>p</i> -Chlorsynbenzaldoximacetat	0,000371
Thiophensynaldoximacetat	0,000408
Anissynaldoximacetat	0,000410
Piperonsynaldoximacetat	0,000474
<i>p</i> -Tolylsynaldoximacetat	0,000475
Benzsynaldoximacetat	0,000552
<i>p</i> -Aethoxysynaldoximacetat	0,000564
<i>p</i> -Brombensynaldoximacetat	0,000619
<i>p</i> -Jodbensynaldoximacetat	0,000696
<i>p</i> -Cyanbensynaldoximacetat	0,0008
<i>p</i> -Nitrobensynaldoximacetat	< 0,0008

Es tritt also kein grosser Unterschied in den Geschwindigkeiten der Zersetzung hervor. Auch ergibt sich keine Beziehung zwischen dem Einfluß der Substituenten auf diese Grösse und auf die Dissoziationsconstante der aromatischen Säuren. Wahrscheinlich spielt neben dem elektrochemischen Charakter der Substituenten auch deren Grösse und Raumerfüllung eine wesentliche Rolle bei der Zersetzungsgeschwindigkeit der Aldoximacetate. *Ill.*

Carrara und Zoppellari. Reaktionsgeschwindigkeit in nicht homogenen Systemen ¹⁾. — Es sollte die Geschwindigkeit der Reaction zwischen Sulfurylchlorid und Wasser untersucht werden: $\text{SO}_2\text{Cl}_2 + 2\text{H}_2\text{O} = \text{H}_2\text{SO}_4 + 2\text{HCl}$. Da das Sulfurylchlorid in Wasser nicht löslich ist, wurde ein Apparat construirt, in welchem das Sulfurylchlorid unter Wasser durch einen Luftstrom bei gleich gehaltener Oberfläche verflüchtigt wurde. Die Bestimmung der Reaktionsgeschwindigkeit erfolgte durch Titration des Wassers.

¹⁾ Gazz. chim. ital. 24, I, 364—370; Accad. dei Lincei Rend. [5] 3, I, 190—195.

Die Verfasser nehmen an, daß die Reaction eine solche erster Ordnung sei und sich durch die logarithmische Inversionsformel ausdrücken lasse. Sie finden eine „Constante“, die regelmässig von 0,0015 auf 0,0011 fällt. Zusatz von Alkali zum Wasser erhöht die Constante nicht. (Da das flüssige Sulfurylchlorid immer zugegen ist, sollte seine active Masse constant und die Reaktionsgeschwindigkeit von der Menge des schon zersetzten Productes unabhängig sein, also die zersetzte Menge der Zeit direct proportional. Der Quotient der zersetzten Menge durch die Zeit nimmt thatsächlich von 0,00031 auf 0,000244 ab, ist also nicht weniger „constant“ als der logarithmische Ausdruck. Die Abweichung liegt wahrscheinlich nicht daran, daß die entstandenen Säuren die Reaktionsgeschwindigkeit negativ katalytisch beeinflussen, oder daß die Reaction erkennbar umkehrbar ist, sondern daran, daß die Oberfläche des Sulfurylchlorids sich immer weiter von der Mündung des Glasrohrs entfernt, durch welches der verflüchtigende Luftstrom zugeleitet wird. Der Referent.)

Bdl.

Thomas Ewan. Ueber die Geschwindigkeit der Oxydation von Phosphor, Schwefel und Aldehyd¹⁾. — Die Geschwindigkeit der Oxydation des Phosphors durch feuchten Sauerstoff bei gewöhnlicher Temperatur nimmt bei steigendem Sauerstoffdruck erst zu und von etwa 350 mm Quecksilber an ab, bis bei etwa 700 mm die langsame Oxydation des Phosphors, wie bekanntlich auch sein Leuchten, aufhört. Die Geschwindigkeit der Oxydation wird aber auch durch die Geschwindigkeit der Verdampfung des Phosphors bedingt, da die Reaction hauptsächlich in der Gasphase erfolgt. Nach Stefan ist die Geschwindigkeit der Verdampfung gegen einen mit einem Gase gefüllten Raum von dem Gasdruck abhängig und zwar ist sie proportional dem Ausdruck $\log P/P - p'$, wo P den Druck des Gases, p' den des Dampfes bedeutet. Bei den Versuchen nimmt der Druck des Sauerstoffs immer ab in Folge der Absorption durch den Phosphor. Man kann die Versuche auf immer gleiche Verdampfungsgeschwindigkeit des Phosphors reduciren. Dann steigt bis zu einem Druck von 525 mm die reine Oxydationsgeschwindigkeit des Phosphors dem Sauerstoffdruck proportional. Von diesem Druck an nimmt bei weiterer Zunahme die Oxydationsgeschwindigkeit sehr schnell ab. — Wenn die Feuchtigkeit vollständig ausgeschlossen wird, hört jede Oxydation des Phosphors schon auf, wenn der Sauerstoffdruck höher als 202 mm ist. Die nicht reducirte Oxydationsgeschwindigkeit

¹⁾ Phil. Mag. 38. 505—536.

nimmt bei fallendem Sauerstoffdruck zu, ohne daß ein Gebiet hervortritt, in welchem die Oxydationsgeschwindigkeit mit dem Druck zunimmt. Reducirt man wieder auf gleiche Verdampfungs-
geschwindigkeit des Phosphors, so steigt die reine Oxydations-
geschwindigkeit bei 20° bis zu einem Druck von 60 mm mit dem
Sauerstoffdruck; aber sie steigt nicht diesem selbst, sondern der
Quadratwurzel aus dem Sauerstoffdruck proportional. Bei höheren
Drucken als 60 mm nimmt die reine Oxydationsgeschwindigkeit
langsam und unregelmäßig ab, wenn der Sauerstoffdruck steigt,
bis sie bei 200 mm Null wird. - Die *langsame Oxydation des*
Schwefels erfolgt insofern zur Untersuchung geeigneter, als das
Oxydationsproduct nicht wie beim Phosphor als fester Körper die
Oberfläche des der Oxydation unterworfenen Stoffes bedeckt. Bis zu
Sauerstoffdrucken von 800 mm wurde die Oxydationsgeschwindigkeit
bei 160° untersucht; hierbei zeigte sich eine beständige Zunahme
der Oxydationsgeschwindigkeit bei steigendem Sauerstoffdruck.
Reducirt man auch hier auf immer gleiche Verdampfungs-
geschwindigkeit des Schwefels, so ist die reine Oxydationsgeschwindigkeit
des Schwefeldampfes angenähert der *Quadratwurzel* aus dem
Sauerstoffdruck proportional. - Am besten geeignet zur Unter-
suchung der Oxydationsgeschwindigkeit erwies sich der *Aldehyd*,
weil dieser als Dampf angewandt werden konnte, so daß die
immerhin zweifelhafte Correction für die Verdampfungs-
geschwindigkeit wegfällt. Die Versuche erfolgten bei 20° und, da das
Licht von Einfluß schien, im Dunkeln. Die entstandene Essig-
säure blieb als Dampf oder Flüssigkeit im Reactionsraum. Es
ergab sich, daß bis zu einem Sauerstoffdruck von 450 mm Queck-
silber die Oxydationsgeschwindigkeit proportional ist dem Partial-
druck des Aldehyddampfes und proportional der *Quadratwurzel*
aus dem Sauerstoffdruck. Von 450 mm an nimmt bei weiter
steigendem Sauerstoffdruck die Oxydationsgeschwindigkeit wieder
ab; es scheint, als wenn oberhalb 530 mm Sauerstoffdruck bei 20°
eine Oxydation des Aldehyds im Dunkeln nicht erfolgt. - Daß
die Oxydationsgeschwindigkeit der Quadratwurzel aus dem Sauer-
stoffdruck proportional ist, deutet der Verfasser dahin, daß die
Oxydation durch *Sauerstoffatome* erfolgt, die neben den *Sauer-*
stoffmolekülen in kleiner Zahl wahrscheinlich im Sauerstoffgas vor-
handen sind. Es muß dann in jedem Moment die Zahl der
Atome der Wurzel aus der Zahl der Moleküle proportional sein
und damit der Wurzel aus dem Sauerstoffdruck. Voraussetzung
ist dabei, daß der Zerfall der Moleküle Sauerstoff in die Atome
momentan erfolgt, und daß die Oxydation des Aldehyds durch

die Atome Zeit erfordert. Bei Phosphor und Schwefel ist ein gleiches Verhalten wahrscheinlich, aber nicht sicher bewiesen. (Der räthselhafte Einfluss, der die Oxydation des Phosphors und Aldehyds bei höheren Sauerstoffdrucken verhindert, muß bei mehreren Drucken auch schon eine mit dem Druck zunehmende Rolle spielen und bewirken, daß die Oxydationsgeschwindigkeit langsamer zunimmt als der Sauerstoffdruck. Es ist also nicht nothig, den Sauerstoffatomen eine Rolle bei dieser Oxydation zuzuspielen, zumal andere Gründe — das Auftreten von Holoxyden — gerade hier dafür sprechen, daß bei der Reaction die ungespaltenen Sauerstoffmoleküle theilhaftig sind. Der Referent.) Der Verfasser führt zur Stütze seiner Ansicht, daß die Sauerstoffatome an Oxydationen einen Antheil haben, auch an, daß das Gleichgewicht zwischen Sauerstoff, Salzsäure, Chlor und Wasser nach Le Chatelier durch die Gleichung ausgedrückt werde:

$$\log \frac{p_{\text{O}_2} \times p_{\text{HCl}}^4}{p_{\text{Cl}_2}^2 \times p_{\text{H}_2\text{O}}^2} = \text{const.}$$

Dafür könne man auch schreiben:

$$\log \frac{p_{\text{O}_2}^{\frac{1}{2}} \times p_{\text{HCl}}^2}{p_{\text{Cl}_2} \times p_{\text{H}_2\text{O}}} = \frac{\text{const.}}{2},$$

was der Gleichung entspreche: $2\text{HCl} + \text{O} = \text{H}_2\text{O} + \text{Cl}_2$. (Mit demselben Grunde könnte man auch die Gleichgewichtsbedingung schreiben:

$$\log \frac{p_{\text{O}_2}^{\frac{1}{2}} \times p_{\text{HCl}}}{p_{\text{Cl}_2} \times p_{\text{H}_2\text{O}}} = \frac{\text{const.}}{4}$$

und daraus schließen, daß halbe Sauerstoffatome und halbe Wassermoleküle existiren. Der Referent.) Bdl.

Richard Kieseling. Ein eigenartiger Fall von Selbstentzündung¹⁾. — Selbstentzündung wurde im Inneren eines Destillationskessels einer Mineralölraffinerie beobachtet, als nach beendeter Destillation Luft in das Innere des Kessels trat. Die selbstentzündliche Masse hing an dem Dom des Kessels. Sie enthielt etwa 60 bis 80 Proc. Mineralöl und Paraffin. Der davon durch Extraction mit Petroläther befreite Rückstand enthielt 77 Proc. Kohle, 24 Proc. Eisen, 9 Proc. Schwefel. Versuche mit der Masse ergaben, daß nur nach Entfernung des Mineralöls durch Petroläther Selbstentzündung eintrat. Extraction mit Salzsäure verminderte die Selbstentzündlichkeit nicht merklich. In-

¹⁾ Zeitschr. angew. Chem. 1894, S. 197—199.

dessen war es nicht möglich, die Schwefelverbindung, wahrscheinlich Schwefeleisen, durch Salzsäure völlig zu beseitigen, so daß es nicht ausgeschlossen ist, daß die Schwefelverbindung die Ursache der Selbstentzündung ist. *Bdl.*

William Med. Mackey. Selbstentzündung von Oelen auf Baumwolle¹⁾. — Es wurde, hauptsächlich im versicherungstechnischen Interesse, die Frage geprüft, ob die Neutralfette mehr zur Selbstentzündung neigen als die freien Fettsäuren. Die Versuche wurden ausgeführt, indem die mit den Fetten oder Fettsäuren getränkte Baumwolle in einem Trockenschrank mit Wassermantel bei Luftzutritt auf 100° erwärmt und die Temperaturerhöhung, die sie dabei erfuhr, durch ein Thermometer bestimmt wurde. Es ergab sich, daß neutrales Baumwollsamöl und Olivenöl weit langsamer eine Temperaturerhöhung bewirken als die freien Fettsäuren oder Oele, welche an freien Fettsäuren reich sind. So war bei Anwendung von reinem Olivenöl die Temperatur nach 3 Stunden 100°, nach 3½ Stunden 103°, nach 6½ Stunden 202°, während ein Öl mit 50 Proc. freien Fettsäuren nach 3 Stunden eine Temperatur von 169°, nach 3½ Stunden von 187° und die reinen Fettsäuren schon nach 3 Stunden die Temperatur von 192° erzeugten. Da die Jodzahl der freien Fettsäuren niedriger ist als die der Neutralfette, kann nicht die größere Sauerstoffaufnahme durch jene die Ursache der stärkeren Temperaturerhöhung sein. Vielmehr scheint die letztere durch eine directe Einwirkung der Säuren auf die Baumwolle bedingt zu sein. Dafür spricht auch, daß auf Schlackenwolle die freien Fettsäuren keine stärkere Temperaturerhöhung herbeiführen als die Neutralfette. — Mineralöle neigen weniger zur Selbstentzündung als Fette. *Bdl.*

Berthelot. Bemerkungen über die Erhitzung und Selbstentzündung des Heues²⁾. — Die Erhitzung des Heues wird in erster Linie nicht durch rein chemische Oxydationsprocesse, sondern durch Gährungsprocesse herbeigeführt. Diese können für sich aber nur eine Temperatursteigerung bis etwa 70° bewirken, weil bei höherer Temperatur die Gährungsorganismen absterben. Nachdem aber die Temperatur über die gewöhnliche gebracht ist, setzen die rein chemischen Oxydationsprocesse durch den Luftsauerstoff ein, die um so schneller erfolgen, je höher die Temperatur ist, also progressiv die Temperatur erhöhen. Es tritt dann leicht der

¹⁾ Chem. Soc. Ind. J. 13, 1164—1166. — ²⁾ J. Pharm. Chim. 29, 97—98; Ann. chim. phys. [7] 2, 430—432.

brenzliche Geruch, schliesslich, bei Temperaturen unter Rothgluth, die Entflammung ein. *Bdl.*

P. Vieille. Art der Verbrennung der gebräuchlichen Schiefspulversorten¹⁾. — Aus der Zunahme des Druckes mit der Zeit bei der Explosion in einem geschlossenen constanten Raume kann man schliessen, ob die der Theorie meist zu Grunde gelegte Annahme, dass das Abbrennen des Explosivmittels nach parallelen Flächen erfolgt, richtig ist. Es ergibt sich, dass diese Annahme bei den alten schwarzen oder braunen inhomogenen Pulversorten nicht zutrifft, sondern dass bei ihnen, auch wenn sie zu bestimmten geometrischen Gebilden geformt sind, die Verbrennung unregelmässig fortschreitet. Dagegen erfolgt bei den colloidalen Sprengmitteln, deren Basis gelatinirte Schiefsbaumwolle ist, die Explosion nach parallelen Flächen. *Bdl.*

William Macnab und E. Ristori. Untersuchungen über moderne Explosivstoffe. Vorläufige Mittheilung²⁾. — Es wurden die Verbrennungswärmen und Verbrennungsproducte von Nitroglycerin, Nitrocellulose, einiger von den Verfassern hergestellter Mischungen aus diesen und einiger rauchloser Pulversorten untersucht. Bei der Verbrennung in der luftleeren Bombe ergaben sich folgende Zahlen:

	Verbrennungswärme für 1 g	Verbrennungsproducte		Zusammensetzung der permanenten Gase					
		Permanente Gase auf 0° u. 760 mm. reduziert	Wasserdampf	CO ₂	CO	CH ₄	O	H	N
Nitroglycerin . .	1652	464	257	63,0	—	—	4,0	—	38,0
Nitrocellulose 13,8 Proc. N . .	1061	673	203	22,3	45,4	0,5	—	14,9	16,9
80 Proc. Nitrocellulose mit 12,24 Proc. N	1062	675	226	21,7	45,4	0,1	—	15,7	17,1
20 Proc. Nitroglycerin . . .									
80 Proc. Nitrocellulose mit 13,30 Proc. N	1159	687	227	26,6	40,8	0,1	—	12,0	20,5
20 Proc. Nitroglycerin . . .									

¹⁾ Compt. rend. 118, 458—461; vgl. auch daselbst, S. 346—347. —

²⁾ Lond. R. Soc. Proc. 56, 8—19.

Wenn wenig Sprengstoff in einer mit Luft gefüllten Bombe verbrannt wird, so nimmt bei einem Sauerstoffdeficit des Explosivstoffs auch der Sauerstoff der Luft an der Reaction theil, so ändert sich die Verbrennungswärme und die Zusammensetzung der *gase* Bd. erheblich ändern.

J. Gaedcke. Der Einfluss der Gelatine auf die doppelte Zersetzung der Salze¹⁾. — Wenn man wässrige gelatinehaltige Lösungen von Silbernitrat und Bromkalium bei 37° mit einander mischt, so entsteht kein Niederschlag. Man könnte annehmen, dass dies darauf beruht, dass das entstandene Bromsilber in colloidalen Form in der Gelatine vorhanden ist. Der Verfasser glaubt aber, dass die Reaction in der Gelatine sehr stark verzögert ist. Bringt man die erstarrte Gelatine in kaltes Wasser, so diffundiren aus ihr Silbernitrat und Bromkalium heraus und trüben das Wasser, indem sie erst in ihm zur Reaction kommen. Die Trübung rührt nach Annahme des Verfassers nicht davon her, dass das in der Gelatine colloidale Bromsilber in das Wasser wandert und sich dort in die gewöhnliche Modification verwandelt. Das sei unmöglich, weil das colloidale Bromsilber nicht in Wasser diffundire. Bd.

G. Carrara. Ueber die Geschwindigkeit der Reaction zwischen Jodäthyl und Äthylsulfid für sich oder in Gegenwart von Wasser²⁾. — Die Reactionsgeschwindigkeit bei Ausschluss von Wasser oder anderen Lösungsmitteln wurde bei verschiedenen Temperaturen bestimmt. Immer ergab sich, dass die Reaction eine bimolekulare ist. Es wurden äquivalente Mengen der beiden Componenten angewandt. Ist A die Menge jedes der beiden Bestandtheile der anfänglichen Mischung, x die nach t Minuten umgewandelte Menge, so gilt die Beziehung: $\frac{1}{t} \frac{x}{A-x} = AC$, wo C eine Constante ist. Der Werth dieser Constanten ist bei 41° 0,00013, bei 66° 0,00034, bei 80° 0,00014. Bei 100° ergibt sich keine Constante; die Werthe liegen zwischen 0,000001 und 0,000003. Statt beständig mit der Temperatur zu steigen, nehmen die Werthe also von einem Maximum an ab. Der Grund liegt wahrscheinlich darin, dass die Reaction sich umkehrt, dass das Triäthylsulfidjodid sich bei höherer Temperatur zersetzt. Die Grenze der Reaction konnte nicht genau ermittelt werden, weil daneben auch noch andere Zersetzungsproducte auftreten. (Unberücksichtigt hat der Verfasser gelassen, dass das Medium, in dem die Reaction erfolgt,

¹⁾ Photogr. Arch. 35, 259–261. — ²⁾ Gazz. chim. ital. 24, I, 170–179.

sich ändert, da z. B. bei 68° am Schluss der Reihe sich über 40 Proc. der angewandten Mischung in das Triäthylsulfinjodid verwandelt hatten. Wahrscheinlich erklärt sich hierdurch, dass der theoretische Ausdruck nicht ganz constant ist, sondern gegen Schluss der Reihe den Werth 0,00044 statt des Mittelwerthes 0,00034 hat. Referent.) Um die Begrenzung der Reaction durch den Zerfall des Triäthylsulfinjodids zu eliminiren, untersuchte der Verfasser die Reaction auch in Gegenwart von Wasser. In diesem sind Jodäthyl und Schwefeläthyl unlöslich; Triäthylsulfinjodid ist leicht löslich. Da das System nicht homogen ist, glaubte der Verfasser, die üblichen Reaktionsgleichungen nicht anwenden zu können. Es ergab sich, dass die umgewandelte Menge des Gemisches bei Gegenwart von Wasser gröfser ist als in seiner Abwesenheit, und dass bei höheren Temperaturen das Wasser den stärksten Einfluss auf die Bildung des Triäthylsulfinjodids ausübt. Dies entspricht der oben gemachten Annahme. *Bdl.*

G. Carrara. Einwirkung neutraler Lösungsmittel auf die Geschwindigkeit der Bildung von Triäthylsulfinjodid¹⁾. — Die Bildung des Triäthylsulfinjodids aus Aethylsulfid und Jodäthyl wird, wie der Verfasser früher fand²⁾, durch eine Spur Wasser erheblich beschleunigt. Der Verfasser untersuchte jetzt die Geschwindigkeit der Reaction in verschiedenen Lösungsmitteln. Geprüft wurden Methyl-, Aethyl-, Isopropyl-, Propyl-, Allyl- und Benzylalkohol, sowie Aceton. Es nimmt die beschleunigende Wirkung der Lösungsmittel, die in allen Fällen constatirt wurde, bei den aliphatischen gesättigten Alkoholen mit steigendem Molekulargewicht ab. Die beschleunigende Wirkung des Allyl- und Benzylalkohols ist gröfser als die des Aethylalkohols, die des Acetons ist verhältnifsmäfsig klein. In Uebereinstimmung mit Menschutkin glaubt auch der Verfasser, dass nicht die physikalischen, sondern die chemischen Eigenschaften der Lösungsmittel die Beschleunigung der Reaction bedingen. *Bdl.*

G. Carrara. Ueber den Affinitätscoefficienten zwischen Alkylsulfiden und den Alkyljodiden³⁾. — Verfasser suchte die Bildungsgeschwindigkeiten von Sulfinjodiden zu bestimmen, um dadurch die Frage nach der Ungleichwerthigkeit der vier Valenzen des Alkylschwefels zu entscheiden. Die Bildung verläuft ungleich schnell, wenn an Stelle von Aethyljodid Methyljodid einwirkt.

¹⁾ Accad. dei Lincei Rend. [5] 3, I, 115—123; Gazz. chim. ital. 24, I, 180—189. — ²⁾ Vorstehendes Referat. — ³⁾ Accad. dei Lincei Rend. [5] 3, I, 504—509.

Für die directe Einwirkung der Componenten ergab sich aus folgenden vier Systemen, daß die Reaction der Gleichung:

$$\frac{1}{t} \cdot \frac{A}{A - r} = AC$$

gemäß verlief:

	AC
I. $J \cdot C_2H_6 + S(CH_3)_2 = J \cdot S \begin{smallmatrix} CH_3 \\ (CH_3)_2 \end{smallmatrix}$	0,000226
II. $J \cdot CH_4 + S \begin{smallmatrix} CH_3 \\ C_2H_5 \end{smallmatrix} = JS \begin{smallmatrix} CH_3 \\ C_2H_5 \end{smallmatrix}$	0,01223
III. $J \cdot C_2H_6 + S \begin{smallmatrix} CH_3 \\ C_2H_5 \end{smallmatrix} = J \begin{smallmatrix} C_2H_5 \\ CH_3 \end{smallmatrix}$	0,00014
IV. $J \cdot CH_4 + S(C_2H_5)_2 = JS \begin{smallmatrix} CH_3 \\ (C_2H_5)_2 \end{smallmatrix}$	0,00697

Ähnliche Verhältnisse sind übrigens schon von Menschutkin bei der Bildung der Ammoniumjodide beobachtet worden. Eine Entscheidung über die Ungleichwerthigkeit der vier Valenzen des Schwefels geben die Versuche nicht. *Abb.*

G. Carrara. Elektrolytische Dissociation und Verdünnungsgesetz in organischen Lösungsmitteln¹⁾. — Die Arbeit, auf die auch an dieser Stelle hingewiesen werden soll, ist schon oben S. 275, besprochen worden. *Abb.*

V. H. Veley. Phasen und Bedingungen beim chemischen Austausch²⁾. — Eine chemische Reaction zeigt nach dem Verfasser in verschiedenen Zeitabschnitten ihres Verlaufes verschiedene Geschwindigkeit. Der Periode des Anfangs folgt zunächst eine Zeit der Ruhe, auf die dann ein beschleunigter Austausch erfolgt, bis endlich der Proceß mit constanter Geschwindigkeit einige Zeit fortläuft, um schließlich verzögert zu Ende zu gehen. Verfasser polemisiert dann ausführlich gegen Arrhenius und Ostwald, ohne jedoch außer den bekannten Einwänden gegen die Existenz von Ionen neue Argumente hervorzubringen. Zum Schluß beschäftigt sich Verfasser noch mit dem Lösungsmechanismus der Metalle in verdünnten und concentrirten Säuren. Dabei wird der Wirksamkeit von Wasserstoff im Entstehungszustande keine Bedeutung beigelegt, sondern es wird angenommen, daß die Salpetersäure, die in reinem Zustande Silber, Kupfer, Quecksilber und Wismuth nicht lost, in Sauerstoff und salpetrige Säure zerfällt. Hieran knüpft Verfasser die Bemerkung, daß schon das Rütteln

¹⁾ Accad. dei Lincei Rend. [5] 3, II, 323—390. — ²⁾ Phil. Mag. 37, 165—184.

der Eisenbahnwagen reine Salpetersäure unter Entwicklung von Stickoxyden zersetzt, selbst in 30 proc. Lösungen. Aehnlich werden die Lösungserscheinungen bei der Schwefelsäure besprochen. Die Erscheinung, daß reines Zink sich nicht in gewöhnlicher Schwefelsäure löst, wohl aber, wenn durch dieselbe Schwefelsäure ein elektrischer Strom gelassen war, wird ebenfalls auf Zwischenproducte zurückgeführt. Bei der Einwirkung von concentrirter H_2SO_4 auf Kupfer nimmt Verfasser Zerfall in H_2O und SO_3 an. Das Trioxyd wird dann vom Kupfer zum Dioxyd reducirt. *Mr.*

V. H. Veley. Die Inactivität des gebrannten Kalkes. II. ¹⁾. — Ueber diese Versuche ist schon früher berichtet worden ²⁾. Hypochlorit oder Chlorat bilden sich nur in sehr kleinen Mengen. Unter 300° erfolgt so gut wie keine Einwirkung, oberhalb dieser Temperatur eine Verdrängung des Sauerstoffs durch Chlor. *Bell.*

H. Brereton Baker. Der Einfluss von Feuchtigkeit auf den Eintritt chemischer Reactionen ³⁾. — In Fortführung seiner Versuche ⁴⁾ fand der Verfasser, daß bei vollkommenem Ausschluss von Feuchtigkeit die folgenden Reactionen unterbleiben, die sonst mit großer Lebhaftigkeit erfolgen: 1. Die Reaction von Kalk mit Schwefeltrioxyd. 2. Die Einwirkung von Kupferoxyd auf Schwefeltrioxyd. 3. Die Zersetzung von Chlorammonium durch Kalk. 4. Die Reaction von Stickoxyd mit Sauerstoff. 5. Die explosive Reaction von Chlor mit Wasserstoff. Man kann das trockene reine Gemisch vier Tage dem Sonnenlicht aussetzen, ohne daß sich mehr als drei Viertel der Gase vereinigen. Eine langsame Vereinigung findet also auch bei Ausschluss der Feuchtigkeit statt. 6. Die Dissociation des Chlorammoniums. Erhitzt man Chlorammonium in einem Rohr aus weichem Glase und kühlt ab, so findet eine Bindung von Chlorwasserstoff durch die Alkalien des Glases statt und es bleibt im Gasraum die äquivalente Menge Ammoniak. Wenn man aber die Erhitzung in einem Rohre aus hartem Glase vornimmt, so findet keine Zersetzung statt. Besonders bemerkenswerth ist, daß der trockene Chlorammoniumdampf die normale Dampfdichte 28,7 besitzt, bezogen auf Wasserstoff = 1, daß also die Dissociation des Chlorammoniums ebenso ausbleibt, wie seine Bildung aus trockenem Ammoniak und trockenem Chlorwasserstoff. (Es ist dies ein wichtiges Beispiel für den Satz, daß eine Substanz, die katalytisch eine unkehrbare Reaction in der einen Richtung beschleunigt, in demselben Ver-

¹⁾ Chem. Soc. J. 65, 1—8. — ²⁾ JB. f. 1893, S. 235. — ³⁾ Chem. News 69, 270; Chem. Soc. J. 65, 611—624. — ⁴⁾ JB. f. 1893, S. 235.

hältniß auch die entgegengesetzte Reaction beschleunigen muß, resp. daß beim Fehlen des Katalysators beide Reactionen ausbleiben müssen. Wichtig ist ferner, daß hier zuerst der Nachweis geführt ist, daß Verbindungen des fünfwerthigen Stickstoffs auch im Gaszustande beständig sein können, daß also der Versuch, diese Abweichung von der angeblichen Constanz der Dreiwertigkeit des Stickstoffs durch die Annahme von Molekülverbindungen zu erklären, gescheitert ist. (Der Referent.) Der Verfasser glaubt, daß die Einwirkung des Wassers auf die Reactionen mit elektrischen Erscheinungen zusammenhänge. Führt man in ein Gemisch von trockenem Ammoniak und Chlorwasserstoff Platten mit starken entgegengesetzten Ladungen ein, so erfolgt eine Sonderung der beiden Gase, ohne daß eine Entladung stattfindet. Das Ammoniak geht an den negativen, der Chlorwasserstoff an den positiven Pol. Eine ähnliche Entmischung erleiden Gemenge von Wasserstoff und Sauerstoff, von Sauerstoff und Stickstoff. Gase trockene Gase isoliren besser als feuchte. Bei sehr hohen Spannungen erfolgen aber Entladungen und wenn erst eine solche eingetreten ist, finden auch bei schwächerer Spannung weitere Entladungen statt.

Bdl.

R. E. Hughes und Fredk. Soddy. Die Wirkung von trockenem Ammoniak auf trockenes Kohlendioxyd ¹⁾. — Die Gase reagiren mit einander nicht, wenn sie über Kalk resp. Phosphor-pentoxyd sorgfältig getrocknet sind. Eine Spur von Feuchtigkeit bewirkt die Bildung eines weißen Niederschlages.

Bdl.

G. Stillingfleet Johnson. Das Verhalten der flüssigen Kalium-Natriumlegirung gegen trockenen Sauerstoff ²⁾. — Trockener Sauerstoff wird weder bei Atmosphärendruck noch bei behebzig kleinem Druck von der flüssigen Legirung absorbirt. Beim Erhitzen der Legirung in trockenem Sauerstoff tritt bei Rothgluth heftige Reaction ein.

Bdl.

¹⁾ Chem. News 69, 138—139. — ²⁾ Dasselbst, S. 20.

Anorganische Chemie.

Apparate und Methoden.

Gasapparate.

Georg W. A. Kahlbaum. Selbstthätige, stetig wirkende Quecksilberluftpumpe für chemische Zwecke¹⁾. — Seitdem die Wasserstrahlluftpumpe von Sprengel für Saugzwecke in die Laboratoriumspraxis eingeführt ist, hat man sich bei Arbeiten im luftverdünnten Raume damit begnügt, die Verdünnung so weit zu treiben, wie es mit Hilfe dieser Apparate möglich ist, ohne daran zu denken, die Evacuation noch über diese Grenze hinaus auszudehnen. Der vom Verfasser construirte Apparat soll nun dazu dienen, schnell und mühelos ein Vacuum bis zu 0,1 mm beim Durchleiten von Luft, wie es bei Vacuumdestillationen üblich ist, zu erreichen. Der Apparat besteht aus der eigentlichen Pumpe und einer Vorrichtung, die das Quecksilber wieder auf die zum Saugen nöthige Fallhöhe hebt. Die nach Sprengel'schem Princip ausgeführte Pumpe besteht aus einem langen Fallrohr, das oben etwas erweitert ist. In diese Erweiterung ragt das Ende des Quecksilberzulußrohres mit einer Oeffnung, die etwas enger ist als die des Fallrohres, und ein doppelt rechtwinkelig gebogenes Rohr, das ein Manometer trägt und mit dem Destillationsapparat verbunden wird. Das Fallrohr mündet in eine unten tubulirte Vorlegetflasche unter Quecksilber. Das Quecksilberzulußrohr ist nach unten umgebogen und hat eine als Luftfang dienende Erweiterung, die durch einen starkwandigen Gummischlauch mit einem großen Quecksilberreservoir verbunden ist. Um nun das Quecksilber wieder auf die Fallhöhe zu heben, dient folgende Einrichtung. Der Tubus der Vorlegetflasche ist durch einen kurzen, starkwandigen Gummischlauch mit einem auf

¹⁾ Ber. 27, 1336—1394.

gleicher Höhe stehenden Sammelgefäße verbunden, aus welchem ein Heberrohr zu dem oberen erweiterten Theile des auf dem Reservoir sitzenden Barometerrohres führt, welcher noch einen zweiten Ansatz mit kugelförmiger Erweiterung trägt, der zu einem Dreiweghahn führt. Der wagerechte Arm dieses Hahnes führt durch eine mit Phosphorpentoxyd gefüllte Waschflasche zur Wasserpumpe. Der senkrechte Arm dieses Hahnes ist durch einen einfachen Hahn mit dem Destillationsrohr verbunden. Da es wichtig ist für die zu erreichende Wirkung, daß der Apparat und das Quecksilber in allen Theilen möglichst trocken sind, so sind an geeigneten Stellen noch Röhren oder Gefäße mit trocknenden Substanzen angebracht. Soll der Apparat, nachdem er durch mehrfaches Evacuiren und Eintreten trockener Luft gut getrocknet ist, in Betrieb gesetzt werden, so werden das Reservoir und die Vorlegeflasche mit Quecksilber gefüllt, durch eine Klemme das Gummrohr zwischen dem Reservoir und der Erweiterung des Zufuhrrohres abgesperrt und nun durch den oben erwähnten Dreiweghahn der Destillationsapparat mit der Wasserpumpe ausgepumpt. Ist dies geschehen, so wird durch Umschaltung der Hähne und Öffnen der Klemme die Wasserpumpe mit dem Barometerrohr und Heberrohr in Verbindung gebracht, es wird dann das Quecksilber aus dem Reservoir in dem Zufuhrrohr bis in die Erweiterung des Fallrohres steigen und in letzteren fallend eine Menge Luft mitreißen. Aus der Vorlegeflasche fließt das Quecksilber wieder in Sammelgefäße, um von Neuem in Wirksamkeit zu treten. Damit nun das Quecksilber wieder in das Reservoir steigt, ist in dem Heberrohr unten eine seitliche Öffnung, durch die atmosphärische Luft eintritt und durch die von der Wasserpumpe erzeugte Verdünnung sich ausdehnend, das Quecksilber zum Ueberfließen in das Reservoir hebt; es sind also in dem Heberrohr abwechselnd Säulen von Quecksilber und verdünnter Luft, welche letztere durch die Wasserpumpe immer wieder aus dem Apparat entfernt werden. Die Regulirung ist selbstthätig. Schwankungen im Wasserdruck folgt die Quecksilberpumpe sofort, und hört derselbe ganz auf, so hört auch die Pumpe auf zu arbeiten, ohne daß ein Zurücktreten zu befürchten ist, da durch die Öffnung des Heberrohres stets Luft nachströmt. Der Apparat ist in seiner Behandlung absolut nicht subtil, auch braucht das Quecksilber nicht besonders rein zu sein. In einigen Tabellen führt sodann der Verfasser die Erniedrigung der Siedepunkte an, die er mit Hülfe seines Apparates erreicht hat, aus welchen hervorgeht, daß gerade die Fortschaffung der letzten

Millimeter Druck eine wesentliche Erniedrigung der Siedepunkte zur Folge hat. Den Verkauf für Deutschland hat K. Kramer in Freiburg i. B., für Oesterreich Lenoir und Förster in Wien übernommen.

B.

Georg W. A. Kahlbaum. Selbstthätige, stetig wirkende Quecksilberpumpe nach dem Sprengel'schen System¹⁾. — Die Pumpe dient zu physikalischen Zwecken und unterscheidet sich von der für chemische Arbeiten beschriebenen²⁾ nur dadurch, daß vor dem Quecksilberfallrohr zwei Luftfänge angebracht sind, welche verhindern sollen, daß in das Quecksilberfallrohr mitgerissene größere Luftsäulen, dieses ausfüllend, das Arbeiten der Pumpe zeitweilig unterbrechen.

B.

F. Krafft. Ueber eine einfache Regulirungsvorrichtung zur Herstellung beliebiger Minderdrucke³⁾. — Der Verfasser begünstet der Behauptung Kahlbaum's⁴⁾, Verfasser habe die Einschaltung einer bei Vacuumdestillationen als Vacuumreservoir dienenden Flasche als Neuerung in Anspruch genommen. Die Einschaltung der Flasche ist Vorbedingung für die Regulirungsvorrichtung und soll nur dazu dienen, ein beliebiges, jedoch völlig constantes Vacuum zu erhalten; von einer Neuerung ist dabei nicht die Rede. Die Regulirungsvorrichtung selbst besteht in einer Röhre mit zwei Glashähnen, deren Einstellung man so bewerkstelligen kann, daß dadurch jeder beliebige Minderdruck im Apparat hergestellt werden kann.

B.

Edward W. Morley. Eine selbstthätige Quecksilberluftpumpe⁵⁾. — Ist der Wasserdruck zum directen Betriebe einer Toepler'schen Luftpumpe zu schwach, so kann man mit Hilfe des vom Verfasser vorgeschlagenen Apparates dieselbe im Betriebe erhalten, auch wenn derselbe beliebig weit von der Pumpe aufgestellt ist; er gestattet auch, mehrere Pumpen gleichzeitig von derselben Leitung aus in Gang zu halten. Da eine Beschreibung des ziemlich complicirten Apparates ohne Figuren zu schwer verständlich werden würde, so muß diesbezüglich auf die Originalarbeit verwiesen werden.

B.

A. Stavenhagen. „Zur Gasentwicklung“⁶⁾. — Die Condensation des Wasserdampfes zu Tropfen in den an Entwicklungsapparaten brennbarer Gase befindlichen Leitungsröhren bewirkt ein Zucken oder Verlöschen der Flamme, das man dadurch zu

¹⁾ Ann. Phys. 53, 199—208. — ²⁾ Vorstehendes Referat. — ³⁾ Ber. 27, 1823. — ⁴⁾ Siehe oben. — ⁵⁾ Sill. Am. J. 47, 439—444. — ⁶⁾ Zeitschr. angew. Chem. 1894, S. 165.

verhindern versucht hat, daß man die Gasleitungsröhre schräg abgeschnitten hat. Der Verfasser empfiehlt statt dessen an dem Rohre oberhalb des unteren Endes eine Oeffnung zu blasen, aus der das Gas ausströmt, während das Condenswasser aus dem Ende des Rohres abfließt.

B.

N. Teclu. Zur Frage der continuirlich wirkenden Gasentwickler¹⁾. — Nach einer Besprechung der bekannten continuirlich wirkenden Gasentwickler beschreibt Verfasser einen von ihm construirten Apparat, der die Vorzüge aller übrigen in sich vereinigt, indem er zugleich gestattet, Gasentwicklung und Säurezufluß zu reguliren, eine zeitweilige, dann dauernde Trennung der Säure zu bewirken, während der Gasentnahme die Salzlösung zu entleeren, neue Säure und Entwicklungsmaterial in den Apparat zu bringen und leicht transportabel zu sein. In den oberen Boden eines kräftigen Holzgestelles ist ein oben mit einem Tubulus versehenes kugelförmiges Gefäß eingehängt, das unten in einer Röhre endigt. Diese Röhre ragt durch den oberen Tubus eines zweiten, doppelt tubulirten, kugelförmigen Gefäßes bis nahe auf den Verschluss des unten befindlichen zweiten Tubulus. Dieser Verschluss besteht aus einem doppelt durchbohrten Kautschukstopfen, durch dessen Bohrungen zwei mit Hähnen versehene Glasröhren geführt sind, welche die Communication mit einem dritten größeren Gefäß herstellen, das, nach unten spitz zulaufend, in einer Röhre endigt. Die eine der Hahnröhren erhebt sich nur wenig über dem Boden des zweiten Gefäßes und ist unten zu einer Spitze ausgezogen. Die zweite Hahnröhre hat die Gestalt eines T mit einem dreifach durchbohrten Hahn und ragt durch das ganze zweite Gefäß hindurch. Der untere Ansatz des dritten Gefäßes endigt in einem flachen vierten Gefäß, das am Boden einen Abflusshahn hat. Die beiden ersten Gefäße dienen zur Aufnahme und Regulirung der Säure. Die erste Hahnröhre führt die Säure in das zur Aufnahme des Entwicklungsmaterials dienende dritte Gefäß, das noch einen seitlichen Tubus trägt, um das Material einführen zu können. Die Gasentnahme geschieht durch die zweite Dreiwegehahnröhre. Die verbrauchte Säure fließt durch den Rohransatz des dritten Gefäßes ab und sammelt sich im vierten, aus dem sie nach Bedarf abgelassen werden kann. In welcher Weise der Apparat functionirt, ist aus der Beschreibung ohne Weiteres ersichtlich; derselbe wird von W. J. Rohrbach's Nachfolger in Wien geliefert.

B.

¹⁾ Zeitschr. anal. Chem. 33, 441—446.

C. Mirus. Ein neuer Gasentwicklungsapparat¹⁾. — Der Apparat besteht aus drei durch geeignete Röhren verbundenen Glasflaschen, die auf einander gesetzt sind. Die mittlere dient als Entwicklungsgefäß; aus dieser gelangt das Gas in die untere Flasche, wo es gewaschen, dann in die oberste Flasche, wo es getrocknet wird, bevor es den Apparat verläßt. Der Apparat kann zum Entwickeln von Chlor, Schwefelwasserstoff, Wasserstoff und Kohlensäure benutzt werden. Er wird von der Thüringischen Glasinstrumentenfabrik von Alt, Eberhardt und Jäger, Ilmenau in Thür., fabricirt. *B.*

Hans Wolf. Ueber eine Modification des Kipp'schen Apparates²⁾. — Um den Uebelstand der Kipp'schen Apparate, daß sich am Boden der untersten Kugel eine concentrirte Salzlösung ansammelt, welche die unverbrauchte Säure von dem Entwicklungsmaterial abschleift, zu beseitigen, wird der Kipp'sche Apparat nach dem Finkner'schen Princip umgeändert, indem das Trichterrohr etwas oberhalb der Einschnürung, zwischen der unteren und mittleren Kugel abgesprengt und beide letzteren Kugeln mit Säure gefüllt werden, so daß das Trichterrohr einige Centimeter eintaucht. Durch Verdichtung des Gases in der mittleren Kugel wird die Säure durch die Röhre in die obere Kugel zu dem Entwicklungsmaterial gedrückt. Die Gasableitungsrohre sitzt auf dem oberen Tubulus. Ist die Ableitungsrohre durch einen Hahn geschlossen, so drückt das entwickelte Gas bald die Flüssigkeit in die unteren Kugeln zurück und die Entwicklung hört auf. Beim Oeffnen des Ableitungsrohres drückt das comprimirte Gas in der mittleren Kugel die Säure wieder nach oben. *B.*

André Bidet. Laboratoriumsapparat³⁾. — Sicherheitsrohr. Dasselbe besteht aus einem Glaszylinder, der nach oben und unten zugeschmolzen ist und oben ein seitliches Ansatzrohr besitzt, um Gasen den Austritt zu gestatten. Von oben ist in diesen Cylinder eine Trichterrohre bis nahezu auf den Boden eingeschmolzen, von unten bis zur halben Höhe des Cylinders eine schrag abgeschnittene Glasrohre, die auf den Kolben aufgesetzt wird. Die Trichterrohre endigt oben in einem cylindrischen Reservoir und hat am Boden desselben eine kleine Oeffnung, durch welche bei Aufhören des inneren Druckes die in dem Reservoir vorhandene Flüssigkeit in die Trichterrohre zurückfließt. *B.*

F. Anderlini. Laboratoriumsapparate⁴⁾. — Sicherheitsrohr.

¹⁾ Chemikerzeit. 18, 314. — ²⁾ Daselbst, S. 486—487. — ³⁾ Compt. rend. 118, 478—481. — ⁴⁾ Gazz. chim. ital. 24, I, 150 ff.

Ein Ω förmiges Glasrohr, dessen einer Schenkel erweitert ist und in der Mitte eine Einschnürung hat, ist in ein weiteres längliches Glasgefäß eingeschmolzen, welches oben einen kugelförmigen Trichter hat. Der andere Schenkel, welcher auf den betreffenden Apparat aufgesetzt wird, ist mit einem Glashahn versehen. *B.*

L. de Koninck. Ein neuer Schwefelwasserstoffapparat für den Laboratoriumsgebrauch ¹⁾. — Der Apparat besteht aus einer weithalsigen Flasche, die am Boden zwei Tubuli hat, zur Aufnahme des Schwefeleisens. Die beiden Bodentubuli stehen durch Glasröhren mit einer dreihalsigen Woulf'schen Flasche in Verbindung. Die eine Glasröhre reicht bis auf den Boden letzter Gefäßes, die andere ist ein \perp -Rohr und endigt dicht unter dem Verschluss der Flasche. Außerdem ist an dieses Rohr mit einem langen Kautschukschlauch der Bodentubulus eines Säurereservoirs angeschlossen. Der obere Tubulus des Vorrathsgefäßes trägt eine Glasröhre zur Entnahme des Gases. Durch Heben und Senken des Säuregefäßes erreicht man die gewünschte Stärke des Gasstromes. Die verbrauchte Säure fließt vermöge ihrer Schwere in die tiefer stehende Woulf'sche Flasche ab. Als Vorzüge dieses Apparates werden angeführt: die Constanz und leichte Regulirbarkeit des Gasstromes, Sparsamkeit im Materialverbrauch, vollständige Ausnutzung des Materials, Einfachheit in der Construction und Handhabung. Der Apparat kann auch zur Entwicklung von Kohlensäure- oder Wasserstoffgas benutzt werden. Den Vertrieb haben Max Kaehler und Martini in Berlin übernommen. *h.*

J. F. Liverseege. Ein neuer Schwefelwasserstoffentwickler ²⁾. — Die kleineren Schwefelwasserstoffentwickler leiden nach Verfasser an den Uebelständen, dass die Einfüllöffnung für das Schwefeleisen zu eng ist, so dass fast pulveriges Material in den Apparat gelangt, welches beständig Gas entwickelt, und dass die Verbindung zwischen Säurebehälter und Entwickler zu eng und deswegen immer verstopft ist. Dagegen empfiehlt Verfasser einen Apparat, bestehend aus einem weithalsigen Pulverglas, in dem auf Glasscherben das Schwefeleisen in groben Stücken liegt. Die Flasche verschließt ein Kork ganz dicht, durch den ein weites Trichterrohr für den Säurezufluss bis auf den Boden des Glases reicht und ein zweimal rechtwinkelig gebogenes Glasrohr mit Hahn das Gas in eine Woulf'sche Flasche leitet, wo es gewaschen wird. Der Ueberschuss der Säure wird bei geschlossenem Glashahn durch den Gasdruck in das Trichterrohr getrieben und

¹⁾ Amer. Chem. Soc. J. 16. 63—64. — ²⁾ Chem. News 70, 95.

riefst durch ein in diesem eingesetztes T-Stück, das während der Entwicklung durch einen Quetschlahn verschlossen war, in eine Flasche ab und kann wieder gebraucht werden. *B.*

H. A. Bishop. Schwefelwasserstoffentwickler¹⁾. — Der Apparat besteht aus einem großen Glasgefäß mit einem Bleieinsatz zur Aufnahme des Schwefeleisens. Ein Deckel mit Gummidichtung wird durch Schrauben aufgepreßt. Durch den Deckel ragen verschiedene Röhren zur Entnahme des Gases, Zu- und Abfluß der Säure, die mit Quetschlähnen abgesperrt werden können. Besondere Vorzüge vor anderen Apparaten sind absolut nicht zu erkennen. *B.*

H. G. Schanche. Schwefelwasserstoffentwickler²⁾. — Der Apparat besteht im Wesentlichen aus einem Thurm, wie sie für Trockenapparate gebraucht werden, der mit Schwefeleisen besetzt ist. Die obere Oeffnung führt in einem Kautschukstopfen das mit einem Hahn versehene Zuleitungsrohr von einem darüber angebrachten Säurebehälter und das ebenfalls mit einem Hahn versehene Gasleitungsrohr, welches das Gas durch eine kleine Waschlflasche zu der Verbrauchsstelle führt. Der untere Tubulus des Thurmes ist ebenfalls mit einem Hahnrohr versehen, welches als Abfluß der verbrauchten Säure dient. *B.*

Werner Bolton. Nitrogenerator³⁾. — Zur Erzeugung von reinem Stickstoff zu Vorlesungszwecken benutzt Verfasser die Eigenschaft des Aluminiums, in fein vertheiltem Zustande den Sauerstoff aus der Luft unter Hinterlassung der übrigen Bestandtheile derselben vollständig zu absorbiren. Um mit Aluminium einen continuirlichen Stickstoffstrom zu erhalten, verwendet Verfasser folgende Einrichtung: Drei ca. 40 cm lange Glasröhren von 1 cm lichter Weite, die sich unten verjüngen und in bauchigen Spitzen endigen, sind in einen hohlen Glasfuß eingeschmolzen. Die oberen Enden sind durch eingeschliffene hohle Stöpsel verschlossen und die erste und zweite davon durch einen Kautschukschlauch mit einander verbunden. Die zweite und dritte sind unten durch eine Glasröhre verbunden. In den hohlen Fuß kann durch eine seitliche verschließbare Oeffnung Quecksilberchloridlösung eingefüllt werden. Beschickt man nun die drei Röhren mit Aluminiumwürfelchen und kehrt den Apparat um, so amalgamiren sich diese und in dem Amalgam ist das Aluminium in feiner Vertheilung. Stellt man dann den Apparat aufrecht und

¹⁾ Amer. Chem. Soc. J. 16, 48. — ²⁾ Döselbst, S. 868. — ³⁾ Chemikerzeit. 18 1908—1909.

öffnet den Stöpsel des dritten Rohres, so kann man mit einem Aspirator durch die drei Röhren einen Luftstrom saugen und an dem unteren seitlichen Tubus des ersten Rohres hat man reinen Stickstoff, wenn man die durchgesaugte Luft vorher von Kohlensäure und Wasserdampf befreit hat. Bei richtiger Stärke des Luftstromes kosten bei den jetzigen Aluminiumpreisen 10 Liter Stickstoff ca. 1,5 Pfg. Wird der Apparat nicht gebraucht, so sind die Oeffnungen gut zu verschließen. Der Apparat ist bei Paul Altmann in Berlin zu beziehen. *B.*

Ch. M. van Deventer. Der hydrostatische Gasometer von van Marum¹⁾. — Der von Lavoisier construirte, sehr complicirte und theure Gasometer zum Auffangen, Messen und Ausströmenlassen von Gasen wurde von van Marum, der dessen Arbeiten fortsetzte, dadurch wesentlich vereinfacht, daß er eine große, eingetheilte Flasche durch einen Heber mit einem Standcylinder verband und die durch eine Niveaudifferenz in den beiden Gefäßen bedingte Wirksamkeit des Hebers durch einen Hahn am Boden des Cylinders und den Zutluß des Wassers zu dem Cylinder regulirte. Steht die Flüssigkeit im Cylinder höher, so strömt ein in der Flasche enthaltenes Gas aus einer oberen Oeffnung der Flasche unter einem dieser Niveaudifferenz entsprechenden, constanten Druck aus. Die Menge des Gases wird an der Einleitung der Flasche abgelesen. Soll die Flasche mit Gas gefüllt werden, so saugt der Heber das Wasser aus der Flasche in den Cylinder und das Gas tritt durch die obere Oeffnung der Flasche ein. *B.*

C. Maull. Ueber einige neue Laboratoriumsapparate²⁾. — *Waschvorrichtung.* Dieselbe besteht aus einer unten kugelförmig erweiterten Röhre nach Art der Schwefelsäurebehälter für Apparate zur Bestimmung des Schmelzpunktes. In dieselbe ragt bis auf den Boden eine unten erweiterte Gasleitungsrohre und oben eine Ableitungsrohre. Das Gas ist so gezwungen, bei verhältnißmäßig geringer Menge der Waschflüssigkeit eine hohe Säule derselben zu passiren. Der Apparat kann auch, wenn man stark erwärmen oder abkühlen will, mit Vortheil verwandt werden. *B.*

P. N. Raikow. Ueber einige Laboratoriumsapparate³⁾. — *Verbesserte Wasch- und Absorptionsflasche.* Dieselbe ist entsprechend einer gewöhnlichen Waschflasche, die derart modificirt ist, daß das Einleitungsrohr unten nicht abgeschnitten, sondern nach oben gebogen und spiralförmig umgewunden ist. Die Spirale

¹⁾ Chemikerzeit. 17, 896. — ²⁾ Zeitschr. angew. Chem. 1894, S. 395–396; Chemikerzeit. 18, 1043. — ³⁾ Chemikerzeit. 18, 1296.

trägt einige kleinere Rohrstücke, welche die Communication der in der Spirale stehenden Flüssigkeit mit der äußeren bewirken. Dadurch, daß diese Rohrstücke nach unten geneigt sind, wird verhindert, daß das Gas durch dieselben austritt, es kann nur nach oben aus der Spirale entweichen. Die Spirale kann auch von dem Leitungsrohr getrennt sein, doch zwar so, daß letzteres unter einer unteren glockenförmigen Erweiterung der Spirale mündet. B.

Hugo Schiff. Reinigungsapparat für Elementaranalyse¹⁾. — Der vom Verfasser vorgeschlagene Reinigungsapparat für die zur Elementaranalyse verwendeten Gase unterscheidet sich von den gewöhnlichen Apparaten durch eine viel kleinere Form bei gleicher Wirksamkeit. Derselbe besteht aus einer Flasche, auf deren eingeschweiften Stoppel ein Dreiweghahn aufgeschmolzen ist. Eine Rohre, die mit der einen Bohrung des Hahnes communicirt, reicht bis auf den Boden der Flasche. Auf der zweiten Bohrung ist eine 18 mm weite Rohre mit Aetzkalkstücken aufgesetzt, welche von einem 9 mm weiten, mit Chlorcalciumstücken gefüllten Mantel umgeben ist. Das eintretende Gas passiert die erste Bohrung, die angesetzte Rohre, dann die Flasche, die zur Hälfte mit 50 proc. Kalilauge gefüllt ist, und gelangt durch die zweite Bohrung in dem Kalirohr aufwärts, in dem Chlorcalciumrohr abwärts steigend, zu einer am Fusse des letzteren angebrachten Öffnung, von wo es zum Verbrennungsrohr geleitet wird. Durch eine Drehung des Hahnes wird die untere Flasche ausgeschaltet, und das Gas tritt sofort in das Kalirohr ein. Der Apparat wird von Greiner und Friedrichs in Stützerbach geliefert. B.

P. N. Raikow. Absorptionsapparat für die Elementaranalyse mit einem Hahn²⁾. — Der nach dem Geißler'schen Princip gebaute Apparat enthält die Ausführungs- und Einführungsöffnung für die Gase in einem hohlen Glashahn, der entsprechend zwei getrennte Gaswege enthält. Durch geeignete Drehung des Hahnes ist das Innere des Apparates von der äußeren Luft abgeschlossen. Der Liebig-Dittmar'sche Apparat kann nach demselben Princip abgeändert werden. B.

Th. Kyll. Absorptionsapparat³⁾. — Der Apparat ist eine Modification des Winkler'schen Schlangenrohres, das behufs Aufnahme einer größeren Menge von Absorptionsflüssigkeit und größerer Stabilität mit einem kleinen Erlemeyer'schen Kölbchen versehen ist. Das Schlangenrohr ist dicht am Boden des-

¹⁾ Chemikerzeit. 18, 1904. — ²⁾ Dasselbst, S. 1997. — ³⁾ Dasselbst, S. 1006.

selben angesetzt und um dasselbe herumgelegt. Der Apparat ist bei F. Leybold's Nachfolger in Köln zu beziehen. *B.*

Th. Kyll. Kalkapparat¹⁾. — Der Apparat ist ein Liebig'scher, der aufgestellt werden kann, indem die mittlere Kugel die Form eines oben geschlossenen Erlenmeyer'schen Kölbchens erhalten hat; die Zuführungsröhre sitzt etwas tiefer als das Ableitungsrohr. Der Apparat wird von F. Leybold's Nachfolger in Köln in den Handel gebracht. *B.*

F. Anderlini. Laboratoriumsapparate²⁾. — Kaliapparate. Dieselben bestehen aus drei ungleich großen Glaskugeln, die über einander stehend in entsprechender Weise durch Glasröhren mit einander verbunden und in einer gemeinsamen Glasbirne mit Fuß eingeschlossen sind. Das Gas tritt in die obere größte der inneren Kugeln ein, passiert die kleineren darunter befindlichen Kugeln, welche mit der Absorptionsflüssigkeit zum Theil gefüllt sind und tritt aus einer Ableitungsrohre des gemeinsamen Mantels aus. Die Ableitungsrohre kann noch mit einem angeschliffenen Aetzkaliröhrchen versehen werden, oder sie trägt zur Aufnahme des Aetzkalis ein kleineres, birnenförmiges Gefäß mit eingeschliffenem Glasstopfel und Ableitungsrohr. Durch Drehung des Glasstopfels schließt man den Apparat von der äußeren Luft ab. *B.*

F. Anderlini. Laboratoriumsapparate³⁾. — Trockenapparate für Gase. Ein Chlorkalciumrohr für Elementaranalyse besteht aus zwei concentrischen Röhren, die durch einen gemeinsamen eingeschliffenen Glasstopfen verschlossen sind. Letzterer enthält zwei Gaswege. Durch einen derselben tritt das Gas in die innere Röhre ein, steigt in dieser abwärts, in der äußeren aufwärts und tritt durch den zweiten Gasweg des Stopfens aus. Durch eine Drehung des Stopfels sind beide Wege von der äußeren Luft abgesperrt. Auf demselben Princip beruhen die in größerem Maßstabe ausgeführten Trockenthürme. Dieselben können auch zweitheilig ausgeführt werden. Die beiden Theile sind mittelst eines Glasschliffes auf einander gesetzt. Das Gas tritt durch eine seitliche Oefnung des Schliffes durch eine Glasröhre im Inneren auf den Boden des unteren Gefäßes, passiert eine Reinigungsflüssigkeit und gelangt in den oberen Theil, wo es getrocknet wird. *B.*

P. N. Raikow. Chlorkalciumröhre mit einem Hahn⁴⁾. — Eine Uförmige Chlorkalciumröhre enthält die Eintritts- und Aus-

¹⁾ Chemikerzeit. 18, 1006. — ²⁾ Gazz. chim. ital. 24, I, 150. — ³⁾ Dasselbst, S. 150 ff. — ⁴⁾ Chemikerzeit. 18, 1997.

trittsöffnung der Gase in einem hohlen, mit zwei von einander getrennten Gaswegen versehenen Glashahn, durch dessen Drehung um 90° man die äussere Luft von dem Apparat absperrern kann. *B.*

A. Gawalowski. Aerodekterkölbchen¹⁾. — Dieselben bestehen aus einem kugelförmigen Glasgefäss, an welches nach unten eine Gasmessröhre angesetzt ist, die halbe $\frac{1}{2}$ cm abzulesen gestattet. Ausserdem ist die Kugel oben mit einem Handgriff aus dickem Glase versehen. Der Nullpunkt der Messröhre schneidet genau mit dem unteren Rande derselben ab. Für Mineralwasserfabriken empfiehlt Verfasser Kolbchen von umgekehrter Form. Es ist hier die Messröhre auf die Kugel aufgesetzt. Der Niveausgleich erfolgt bei diesem Kölbchen durch Eintauchen in ein grösseres Gefäss mit Wasser. Die Vorzüge des Apparates sind, dass ohne Fehler in der Genauigkeit der Ablesung 100 oder 250, event. mehr Cubikcentimeter Saturations- oder Ranchgas abgemessen werden kann, dass die Wärme der anfassenden Hand das Volumen des Gases nicht verändert und dass mehrere derartige Kolbchen gleichzeitig in Gebrauch genommen werden können. Der Apparat nebst einem Stativ für mehrere Kolben ist bei Franz Hegershoff in Leipzig zu beziehen. *B.*

F. Meyer und H. Biltz. Apparat zum Bestimmen des specifischen Gewichtes von Gasen²⁾. — Der Apparat besteht aus zwei gleich langen, aufrecht stehenden Röhren, die mit einem fast wagerecht gelagerten Manometer aus Glas verbunden sind. Das Manometer ist mit einer leicht beweglichen und das Glas gleichmässig netzenden Flüssigkeit gefüllt. Wird das eine Rohr mit dem Gase oder Gasgemisch, dessen specifisches Gewicht bestimmt werden soll, gefüllt, das andere Rohr mit Luft oder einem Gase, so wird die Flüssigkeit in dem Manometer verschoben. Die diese Verschiebung anzeigende Scala kann so eingerichtet sein, dass sie direct das specifische Gewicht des Gases oder auch die Procente des einen Bestandtheiles eines Gasgemisches anzeigt. *Op.*

B. Rudolph. Um das Auskochen von Barometerröhren³⁾ zu vermeiden, empfiehlt Verfasser, in das Rohr einige Cubikcentimeter mit Natronlauge geschüttelten Aether, dann das Quecksilber einzufüllen; alsdann das Rohr erst einem Ströme warmen, später siedenden Wassers anzusetzen, bis keine Blasen von Aetherdampf mehr aufsteigen. Das Rohr ist alsdann vollständig frei von Luft und Aether. *B.*

¹⁾ Oesterr.-ungar. Zeitschr. Zuckerind. u. Landw. 23, 754; Ref.: Chem. Centr. 65, II, 1026. — ²⁾ D. R.-P. Nr. 77853. — ³⁾ Chemikerzeit. 18, 1193.

B. Maquenne. Ein neues Laboratoriumsbarometer¹⁾. — Das Instrument soll die Correcturen, die an anderen Barometern nothwendig sind, vermeiden oder sehr vereinfachen. Zu diesem Zwecke ist die Eintheilung der Röhre so berechnet, daß sie den Niveauänderungen in dem Gefäße Rechnung trägt, wodurch die Reduction dieses Niveaus auf einen festen Punkt vermieden wird. Dem Barometer ist ein Thermometer beigelegt, welches den corrigirten Werth für einen mittleren Werth von 750 mm anzeigt. Die Genauigkeit beträgt $\frac{1}{10}$ mm, was für die gewöhnlichen Rechnungen genug ist. Der Apparat ist kräftig gebaut und leicht transportabel. B.

Extraction und Destillation.

A. Wroblewski. Zur Dialyse²⁾. — Der von Drechsel zur Dialyse angewandte Apparat erlaubt keinen continuirlichen Wasserstrom und der von Kühne angegebene Apparat schützt bei Anwendung des continuirlichen Wasserstromes die Substanzen nicht vor der Infection der in der Luft vorhandenen Mikroorganismen. Der vom Verfasser vorgeschlagene Apparat gewährt beide Vortheile. Der zur Dialyse dienende Apparat ist durch einen aufgeschliffenen Glasdeckel verschlossen, durch welchen mit einem Korken die das Waschwasser zuführende Glasröhre hindurchragt. Der Ab- und Zufluß des Wassers wird durch einen am Boden des Gefäßes befindlichen Glashahn geregelt. Die Dialyse geschieht durch einen im Inneren des Gefäßes an Glasstäben aufgehängten Pergamentschlauch. Vor dem Gebrauch werden das Reservoir mit der Waschflüssigkeit und das Gefäß mit dem Pergamentschlauch sterilisirt. Auch hat dieser Apparat vor dem Kühne'schen den Vorzug, daß er viel schneller arbeitet, weil die schwere Salzlösung unten abfließt und das leichtere reine Wasser nur langsam nach unten sinkt, während es beim Kühne'schen Apparat umgekehrt ist. B.

Max Lehmann. Extractionsmühle³⁾. — Zur Zerkleinerung von Samen, von welchen eine Oelbestimmung ausgeführt werden soll, benutzt Verfasser eine Mühle, welche vor anderen Zerkleinerungsapparaten den Vorzug hat, daß nicht, wie bei diesen, ein Theil des Oeles in der Mühle hängen bleibt und sich der Bestimmung entzieht, sondern daß hier nach der Zerkleinerung die

¹⁾ Bull. soc. chim. [3] 11, 447. — ²⁾ Zeitschr. angew. Chem. 1894, S. 692.
— ³⁾ Chemikerzeit. 18, 412.

ganze Vorrichtung in einen Soxhlet-Apparat gebracht werden kann und die ganze Probe, die nur gering zu sein braucht, aus-gezogen wird. Die Mühle besteht aus einem Cylinder von Weisblech, in welchen ein nach unten conischer Siebboden eingesetzt wird; in diesen paßt eine entsprechend geriffelte Walze, die an einer durch den Deckel gehenden Axe mit Kurbel sitzt und durch eine Spiralfeder in den Siebconus hineingedrückt wird. Durch Drehen der Walze wird die eingeführte Frucht zerquetscht und fällt in den Raum unter dem Siebconus auf einen Siebboden, dessen Löcher durch geringe Drehung eines zweiten, direct darunter befindlichen geöffnet oder geschlossen werden können. Ist die Zerkleinerung beendet, so wird Kurbel und oberer Deckel abgenommen, der Siebboden geöffnet und das Ganze in einen passenden Extractionsapparat gebracht. Der Apparat ist bei Kachler und Martini zu beziehen.

B.

E. Parker. Ein Extractionsapparat ¹⁾. — Der zur Extraction von Substanzen mit Chloroform dienende Apparat besteht aus einem hohen, oben und am Boden mit einem Tubus versehenen Glasgefäß, in welches die zu extrahirende Substanz mit etwas Chloroform hineingebracht wird. In einem Kochkolben bringt man Chloroform zum Sieden, dessen Dämpfe in einem aufgesetzten Kühler verdichtet werden und so durch eine an den Kühler ange-setzte U förmige Röhre durch den oberen Tubus in das Extractionsgefäß gelangen können. Der untere Tubus ist so mit dem Siedegefäß verbunden, daß, wenn das Chloroform in dem Extractionsgefäß eine gewisse Höhe überstiegen hat, ein Theil desselben in das Siedegefäß zurückfließt, um von Neuem den Kreislauf zu beginnen.

B.

L. Etaix. Ueber einen neuen Extractionsapparat ²⁾. — Der Apparat besteht aus einem Vorstofs, in dessen Abflußrohr eine weite Glasröhre eingeschliffen ist, die oben eine seitliche Oeffnung hat. Die Röhre enthält in ihrem Inneren eine dünnere Röhre, die nach Art eines Hebbers gebogen ist. Der kürzere Arm derselben ist etwas oberhalb des Schliffes angeschmolzen und communicirt mit dem Inneren des Vorstofses, der längere Arm reicht bis zum Ende der Abflußröhre des Vorstofses. Bei Extraktionen umgibt man die eingeschliffene Röhre unten mit etwas Glaswolle, bringt hierauf die zu extrahirende Substanz und setzt das Ganze auf einen Kochkolben mit der Extractionssäure. Die Dämpfe

¹⁾ Chem. Ind. Soc. J. 13, 1177—1178. — ²⁾ Bull. soc. chim. [3] 11, 259—260.

derselben, die aus der oberen Oeffnung des eingeschlifenen Rohr-
 austreten, werden in einem auf den Vorstofs aufgesetzten Knie
 verdichtet und tropfen auf die Substanz, diese ausziehend. Be-
 sieht in dem Vorstofs genügend Flüssigkeit angesammelt, so tritt
 der Heber in Wirksamkeit und führt die Flüssigkeit in den
 Kochkolben zurück. B.

Oma Carr. Modification von Knorr's Extractionsapparat¹⁾
 — Der Apparat besteht aus einem unten mit engerem Ansatz-
 stück versehenen Glasrohr, das mit Hilfe eines Dreiecks auf einen
 Kochkolben gesetzt ist. Ueber dem Glasrohr ist ein zweites
 größeres von derselben Form umgekehrt angebracht und mit
 einem Kork auf dem Hals des Kochkolbens befestigt, darauf ist
 ein Kühler aufgesetzt. Der Kochkolben kann beliebig groß sein
 und ist zweckmäßig ein Maßkolben mit glattem Rand. B.

M. Landsberg. Ueber Benzinextraction und Extractions-
 apparate²⁾. — Verfasser berichtet über die Explosion eines
 Benzinextractionsapparates, der mit 0,5 Atm. Ueberdruck arbeitete,
 wodurch die Deckelschrauben, die bei der Schwierigkeit des Ab-
 dichtens des Apparates besonders stark in Anspruch genommen
 werden müssen, abgerissen wurden, der Deckel gehoben und der
 Inhalt des Apparates, drei schwere, schmiedeeiserne Einsätze von
 2,4 m Durchmesser mit 1200 kg Extractionsgut, herausgeschleudert
 wurden, obwohl fast kein Benzin mehr im Kessel vorhanden war.
 Verfasser warnt daher vor der Anwendung von derartigen Druck-
 apparaten, wenn das Verfahren sich auch ohne Anwendung der-
 selben durchführen läßt. B.

V. Gernhardt. Ueber neue Siedegefäße³⁾. — Die Fehler
 und Störungen bei fractionirten Destillationen, welche durch Siede-
 verzögerungen verursacht werden, lassen sich leicht durch An-
 wendung von Siedegefäßen verhindern, welche den Beckmann-
 schen Apparaten zur Molekulargewichtsbestimmung nachgebildet
 sind, insofern, als in den Boden des Gefäßes ein Stift ein-
 geschmolzen ist, der ein anderes Wärmeleitungsvermögen besitzt
 als das Gefäß selbst. Beckmann nimmt hierzu einen Platinstift.
 Der Verfasser nimmt einen solchen von rothem Einsmelzglas,
 der dieselben Dienste thut und den Vorzug größerer Billigkeit
 hat, so daß auch gewöhnliche Laboratoriumsapparate damit ver-
 sehen werden können. Die Apparate sind unter Nr. 23719 geschützt
 und bei Max Kaehler und Martini in Berlin zu beziehen. B.

¹⁾ Amer. Chem. Soc. J. 16, 868—869. — ²⁾ Chemikerzeit. 18. 1447

³⁾ Zeitschr. anal. Chem. 33, 344—345.

F. Anderlini. Apparat für Vacuumdestillation¹⁾. — Der selbe besteht aus einer Glasglocke, welche auf eine in einer Unterlage drehbare Scheibe aufgesetzt ist. Die Glocke ist durch einen hohlen Stopfen verschlossen, durch welchen ein Vorstoß führt, an welchen das Abflußrohr des Siedekolbens gelegt wird. Der Stopfen wird durch eine Klammer gehalten, so daß sich nur die Glocke mit der drehbaren Scheibe, welche noch in einem kleinen Gestell eine Anzahl Vorlagen trägt, drehen läßt. Der Stopfen trägt noch einen kleinen Hahnfortsatz, an den die Luftpumpe angelegt wird. Als Siedekolben benutzt Verfasser solche, deren Hals zu einer Kugel erweitert ist und deren Abflußrohr eine Länge von 50 bis 60 cm hat, wodurch bei hoch siedenden Substanzen die Anwendung einer besonderen Kühlung überflüssig wird.

B.

E. Barillot. Ein neuer Fractionirapparat²⁾. — Verfasser empfiehlt für fractionirte Destillationen einen Apparat, der dem Le Bel-Henninger'schen nachgebildet ist und nur einige horizontale Condensationskugeln mit Ablufs mehr enthält als dieser. Der Apparat wird in Glas und Metall ausgeführt. Eine nähere Beschreibung des Apparates behält sich Verfasser bis zur Veröffentlichung seiner analytischen Untersuchungen über die Alkohole vor.

B.

Eugène Varenne. Neuer Apparat für fractionirte Destillation³⁾. — Der Apparat unterscheidet sich von den anderen, dem gleichen Zwecke dienenden Apparaten dadurch, daß er eine Colonne bildet, die aus einzelnen Elementen besteht, die nur durch zwei Röhren zusammenhängen, von denen die eine den Dampf führt, die andere zum Ableiten der condensirten Flüssigkeit dient. Vor jedem Element sind in dem Hauptdampfweg zwei Dreiweghähne eingeschaltet, welche gestatten, jedes Element nach Belieben ein- und auszuschalten. Der Apparat wird für Laboratoriumszwecke und für technische in Glas oder Metall ausgeführt. Aus einer Reihe von tabellarisch zusammengestellten Versuchsergebnissen geht hervor, daß die Resultate mit dem vom Verfasser angegebenen Apparat, bei geringeren Dimensionen des letzteren, den theoretischen Werthen viel näher kommen als die mit dem Le Bel-Henninger'schen erlangten.

B.

Marius Otto. Apparat für fractionirte Destillation⁴⁾. — Eine Reihe von senkrecht stehenden eiförmigen Glaskugeln sind

¹⁾ Gazz. chim. ital. 24. I. 190. — ²⁾ Bull. soc. chim. [3] 11. 929—931.
— ³⁾ Dasselbst, S. 289—292. — ⁴⁾ Dasselbst, S. 197—200.

durch verschieden weite Glasröhren verbunden und etagenförmig in einem Winkel von ca. 20° gegen die Horizontale angeordnet. Die Fractionirung geschieht durch theilweise Condensation der Dämpfe an den Wandungen des Apparates und durch methodische Waschung der Dämpfe durch die condensirte Flüssigkeit. Aus dem Entwicklungskolben gelangen die Dämpfe durch weite Röhren in die Glaskugeln und werden hier zum Theil condensirt. Die condensirte Flüssigkeit fließt, wenn sie eine gewisse Höhe in der Kugel erreicht hat, durch die unteren engen Röhren in den Entwicklungskolben zurück; ein anderer Theil der Flüssigkeit bleibt im unteren Theile der Kugeln zurück und muß von den aus dem Entwicklungsgefäße nachströmenden Dämpfen durchstrichen werden, wodurch letztere gewaschen werden. Derselbe Vorgang wiederholt sich nach einander in sämtlichen Kugeln, die Condensationen in den einzelnen Kugeln werden nach oben zu immer reicher an dem leichter siedenden Bestandtheil und in den Kühler tritt schließlich nur dieser ein. Es können natürlich beliebig viele derartiger Kugeln zu einem Apparate vereinigt werden, auch kann man aus mehreren kleineren Apparaten einen großen zusammensetzen. Es folgen einige Tabellen, in welchen die Resultate der Fractionirung mit obigem Apparat und dem von Le Bel und Henninger verglichen werden, wonach ersterer schneller und sicherer arbeitet, welcher Umstand allein auf die methodische Waschung, die bei anderen Apparaten fehlt, zurückgeführt wird.

B.

C. W. Volney. Apparat für fractionirte Destillation¹⁾. — Der Apparat ist im Wesentlichen nicht sehr verschieden von dem Le Bel-Henninger'schen Destilliraufsatz und zeigt vor diesem keine Vorzüge.

B.

W. C. Ferguson. Eine Einrichtung, beliebig viele Dampfdestillationen nach Bedarf ausführen zu können²⁾. — Dieselbe besteht aus einem etwas geneigten Metallrohr, das an eine Dampfleitung angeschlossen ist. Dasselbe ist mit verschiedenen Ansatzstücken versehen, die durch Hähne verschlossen werden können, an welche man Destillationsgefäße mit Hülfe von Kautschukschläuchen anschließen kann. Die Stärke des Dampfstromes läßt sich durch die vorhandenen Hähne reguliren. Das Ende des Metallrohres hat ein Abflußrohr für das Condenswasser. Es ist mit dieser Einrichtung die Ueberwachung von fünf oder sechs Destillationen durch eine Person gleichzeitig möglich.

B.

¹⁾ Amer. Chem. Soc. J. 16, 160. — ²⁾ Dasselbet. S. 150—151.

J. Walter. Kühler für Laboratorien¹⁾. — An Stelle der Liebig'schen Kühler, die für manche Zwecke nicht bequem genug sind, wird eine Kühlröhre²⁾ benutzt, in die ein Glasrohr mit Wassercirculation hineingehängt wird. Viel intensiver als diese und besonders bei Substanzen, denen eine Berührung mit Metallen nichts schadet, wirkt ein solcher, dessen Kühlrohr einen sternförmigen Querschnitt hat. Die Condensation, selbst bei kleinen Abmessungen, ist sehr gut, aber die Herstellung ziemlich umständlich, und eine ziemliche Anzahl von Löthstellen machen die Anwendung in manchen Fällen bedenklich. Vermieden werden diese Uebelstände bei einer anderen Form, bei welcher das Wassercirculationsrohr aus einer dünnen Metallröhre spiralförmig gebogen ist, entsprechend der Weite des Gefäßes, in welches der Kühler hineingehangen werden soll. Durch Aufrollen um eine Glasröhre von der für den Kühler gewünschten Weite kann man aus einem Kupferrohr von 2 mm lichter Weite sehr leicht einen solchen Kühler mit beliebig großer oder kleiner Kühlfläche herstellen. Der Apparat eignet sich sehr gut als Rückflusskühler bei Extractionsapparaten, aber ebenso gut auch für Destillationen. Bei der fractionirten Destillation kann er als Dephlegmator benutzt werden, indem man, entsprechend den verschiedenen für die Fractionirung gewünschten Temperaturen, entweder Luft, oder kaltes oder erwärmtes Wasser oder Wasserdampf im Gegenstrom zu den aufsteigenden Dämpfen durch den Apparat streichen läßt. Für weitere Gefäße kann man auch Doppelspiralen herstellen, die in einander liegen. Als Material können, außer Kupfer, besser verzinntes oder vernickeltes Kupfer, Platin oder Silber oder mit diesen Metallen plattirte Kupferrohren verwendet werden. B.

Elwyn Waller. Laboratoriumsapparate³⁾. — *Kühler*. Das Abflußrohr eines mit eingeschliffenem Glasstopfen versehenen Destillirkolbens ist mit einem Schlangenkühler verbunden, dessen Zinnröhre behufs besseren Ausfließens des Destillates im Zickzack gebogen ist. — Dazu drehbarer Reagensglashalter. Unter das untere Ende der Kühlerröhre kann mit Hilfe einer Drehscheibe, auf welcher acht bis zehn Proberöhren kreisförmig aufgesetzt sind, jede einzelne dieser Röhren untergeschoben werden, so daß man entsprechend viel Fractionen auffangen kann. B.

André Bidet. Laboratoriumsapparate⁴⁾. — Kühler mit innerer Wassercirculation. Zum Unterschied von den gewöhnlichen Kühlern,

¹⁾ J. pr. Chem. 49, 44—48. — ²⁾ Dingl. pol. J. 251, 369. — ³⁾ Amer. Chem. Soc. J. 16, 869—873. — ⁴⁾ Compt. rend. 118, 478—481.

bei denen die Dämpfe in einem dünnen, von Wasser umspülten Rohre condensirt werden, besteht der hier empfohlene aus einer einseitig geschlossenen Glasröhre, die von einer in geeigneter Weise doppelt tubulirten weiteren Glasröhre umgeben ist. Das Kühlwasser circulirt in dem inneren Rohr, während das äußere weitere von den zu condensirenden Dämpfen erfüllt ist. *B.*

André Bidet. Laboratoriumsapparate¹⁾. — Umkehrbarer Vorstoß für Kühler. Für gewisse Operationen, die mit aufsteigendem und gleich darauf mit absteigendem Kühler ausgeführt werden müssen, empfiehlt Verfasser folgende Einrichtung. Eine Glasröhre, die auf einen Kochkolben aufgesetzt werden kann, ist mit zwei Tubulaturen versehen, die eine aufwärts gerichtet als Vorstoß für einen Rückflußkühler, die andere abwärts gerichtet nach Art der Abflußröhre eines Destillirkolbens. Die beiden Tubulaturen sind in derselben Höhe. In dieser Röhre läßt sich eine zweite mit geringer Reibung drehen; dieselbe hat in der Höhe der beiden Ansätze eine seitliche Oeffnung, so daß durch Drehung der inneren Röhre bald der absteigende, bald der aufsteigende Ansatz mit dem inneren Gefäß in Verbindung gebracht werden kann. Die innere Röhre ist durch einen Kautschukstopfen verschlossen, durch welchen nach Bedarf ein Tropftrichter oder Thermometer eingeführt werden kann. *B.*

C. J. Brooks. Ein Reagentglaskühler²⁾. — Eine Glaskugel ist an der oberen Seite nach innen gewölbt, so daß dadurch eine Höhlung entsteht, welche eine Kühlflüssigkeit aufnehmen kann. Gegenüber der Höhlung ist ein Glasrohr an die Kugel angesetzt, in welchem die an der Höhlung condensirten Flüssigkeitstropfen abfließen können. Ein zweites Glasrohr ist schräg seitwärts an die Kugel angeblasen, als Zuleitung der zu condensirenden Dämpfe. Der Apparat kann bei der Destillation sehr geringer Flüssigkeitsmengen Verwendung finden. *B.*

Carl Lehmann. Zerlegbare thönerne Kühlschlangen mit genau eben abgeschliffenen Stosflächen³⁾. — Die aus einem Stück bestehenden Kühlschlangen, die in der chemischen Industrie die mannigfachste Anwendung finden, leiden an dem Uebelstand, daß sie nicht reparaturfähig sind, weil andere Rohrstücke nicht in die Schlange eingedichtet werden können. Die zerlegbare Kühlschlange des Verfassers zeigt diesen Uebelstand nicht, indem die einzelnen Rohrstücke, aus welchen die Schlange in beliebiger

¹⁾ Compt. rend. 118, 478—481. — ²⁾ Chem. News 76, 239. — ³⁾ Chemikerzeitung 18, 533—534.

Größe zusammengesetzt werden kann, mit eben abgeschliffenen Stoßflächen versehen sind, welche, auf einander gepreßt, vollständig dicht halten. Derartige Apparate sind von der Firma Carl Lehmann in Muskau O. L. zu beziehen. B.

F. Anderlini. Laboratoriumsapparate ¹⁾. — Dephlegmator. Derselbe besteht aus einer Kühlschlange, deren Verlängerung ein Kugelrohr bildet. Beide sind durch verticale Glasröhren zur Vergrößerung der Kühlfläche und besseren Abflufs der Condensflüssigkeit mit einander verbunden.

Brenner. Thermometer. Oefen.

P. N. Raikow. Vorrichtung zum automatischen Anzünden oder Auslösen der Gasflammen in einer bestimmten Zeit ²⁾. — An einem verticalen Stativ ist eine horizontale eiserne Gasleitungsrohre befestigt, die zu einem Brenner führt und durch einen Hahn regulirt werden kann. Der Griff des Hahnes ist ein eiserner Hebel, der am Ende verdickt ist und in einer Spitze endigt. An dem Stativ ist ferner ein Wagebalken angebracht, der an dem einen Ende eine eingetheilte Mariotte'sche Flasche trägt und an dem anderen Ende die Spitze des Hahnhebels. Der Hebel ist um ein Geringes schwerer als die leere Flasche und wird, wenn diese mit Wasser gefüllt ist, in horizontaler Lage festgehalten. Will man die Flamme nach einer bestimmten Zeit auslösen, so beschickt man die Flasche mit der Menge Wasser, welche in dieser Zeit aus derselben ausfließen würde; ist das Wasser abgetropft, so giebt der Wagebalken dem Gewicht des Hebels nach, derselbe reißt sich los, gelangt in eine zur ersten senkrechte Lage und verschließt den Hahn. Will man den Brenner nach einer bestimmten Zeit anzünden, so entzündet man im Brenner ein regulirbares Stichtlammchen, legt bei geschlossenem Hahn den Hahnhebel auf den Wagebalken, belastet die Flasche mit der der gewünschten Zeit entsprechenden Menge Wasser und laßt abtropfen. Hat sich die Flasche entleert, so öfnet der fallende Hebel den Gashahn und die Stichtlamme entzündet den Brenner. B.

Bunsenbrenner mit Sicherheitskorb der „Gasmesser- und Gasapparaten-Fabrik der Actiengesellschaft für Wasserleitungen, Beleuchtungs- und Heizungsanlagen in Wien“ ³⁾. — Um feuergefähr-

¹⁾ Gazz. chim. ital. 24, I, 150 ff. — ²⁾ Chemikerzeit. 18, 1448. — ³⁾ Dasselbst, S. 1072.

liche Flüssigkeiten auf der Flamme erhitzen zu können, ist die Flamme des Bunsenbrenners nach dem Davy'schen Princip mit einem Cylinder aus Drahtnetz umgeben, der oben und unten durch Eisenblechplatten geschlossen ist. Die untere Platte hat eine verschließbare Oeffnung zum Anzünden des Brenners; auch die Luftzuführung ist mit Drahtnetz überzogen, um bei zurückgeschlagener Flamme ebenfalls die nöthige Sicherheit zu gewähren. Beim Erhitzen von Alkohol, Aether, Benzol, Toluol, Petroläther etc. gewährt das Drahtnetz genügenden Schutz, nicht aber bei Schwefelkohlenstoff, wegen seiner sehr niedrigen Entzündungstemperatur.

B.

G. Barthel. Benzinkocher „Mignon“¹⁾. — Derselbe soll eine Verbesserung der früher²⁾ beschriebenen Benzinbrenner sein. Er besteht aus einem mit Füllschraube versehenen Behälter und dem regulirbaren Brenner, der durch ein bis auf den Boden des Behälters ragendes Metallrohr getragen wird. Durch Erwärmen des Brenners mittelst einer geringen Menge Spiritus oder Benzin in einer kleinen Rinne des Behälters wird das Brennmaterial in den Brenner gedrückt, hier vergast und mit Luft gemischt, so daß es aus den feinen Oeffnungen des Brenners mit blauer, ringförmiger Flamme verbrannt werden kann. Als besondere Vortheile werden das ruhige, fast geräuschlose Brennen, die bedeutende Heizwirkung und die leichte Regulirbarkeit der Flamme angeführt.

B.

Dochtloser Benzinkocher von G. Barthel in Dresden³⁾. — Derselbe hat vor den früheren⁴⁾ Constructionen den Vortheil, daß durch Auswechselung der Brenneraufsätze eine ein- bis vierfache Bunsenflamme, eine Gebläseflamme und Kochflamme auf demselben gebrannt werden kann. Durch Drehung der Luftregulierungshülse wird die Bunsenflamme in eine brausende heisse Gebläseflamme verwandelt. Es sind dreierlei Brennerrohre und zweierlei Kochbrenneraufsätze für verschieden starke Flammen beigegeben, auch kann die Ausströmungsdüse des Gases leicht ersetzt werden. Die Kochbrenner gestatten, 1 Liter Wasser in sechs bis sieben Minuten zum Sieden zu erhitzen.

B.

R. Irvine. Neue Form der Lampe zum Brennen von Paraffinölen mit rauchloser Flamme für den Laboratoriumsgebrauch⁵⁾. — Die vom Verfasser construirte Lampe gestattet, Paraffinbrennöl

¹⁾ Chemikerzeit. 18. 884. — ²⁾ JB. f. 1893, S. 254. — ³⁾ Chemikerzeit. 18. 1101. — ⁴⁾ JB. f. 1893, S. 254; vorstehendes Referat. — ⁵⁾ Chem. Soc. Ind. J. 13. 1167.

zur Erzeugung einer Bunsenflamme zu verwenden und ist der von B. A. Hjorth u. Co. nachgebildet. Ein luftdichtes Reservoir trägt einen Brenneraufsatz, zu welchem auf halber Höhe eine Rinne angebracht ist zur Aufnahme einer geringen Menge Weingeist, mit Hilfe dessen man ein Röhrchen glühend machen kann. Durch eine kleine Luftpumpe, die sich an dem Reservoir befindet, wird das Öl in das glühende Röhrchen gepresst und hier verdampft. Die Dämpfe treten durch eine enge Öffnung des Röhrchens aus und können am oberen Rande des Brenners in einer nicht leuchtenden Flamme verbrannt werden. Durch eine Schraube des Reservoirs kann der Druck aus diesem herausgelassen werden, und die Flamme verlöscht. Der Ölverbrauch ist ein sehr geringer und Gefahr des Zurückschlagens der Flamme ausgeschlossen, so lange das Reservoir unter Druck steht. *B.*

Herbert-Lembeck. Selbstthätige Spiritusgebläselampe ¹⁾. — Dieselbe besteht aus einem Kessel mit Füllschraube, durch welche ca. 180 ccm Alkohol eingefüllt werden können. Außerdem ist eine Regulierungsschraube angebracht, mit Hilfe deren das Ausströmungsventil auf eine beliebige Flammenstärke gestellt werden kann. Mit Hilfe eines besonderen Brenners wird der Spiritus in dem Kessel zum Sieden erhitzt, und nach Wegnahme der Flamme werden die Gase an der Ausströmungsöffnung in der Kesseldecke entzündet. Man kann der Flamme durch Brenneraufsätze eine beliebige Form geben. Durch Schließen des Ventils bringt man die Flamme zum Verlöschen. Die Flamme brennt nur mit höchstgrädigem Spiritus gut und dann unökonomisch; daher reicht die geringe Füllung nur für sehr kurze Zeit. *B.*

H. N. Warren. Ein elektrisches Gebläse ²⁾. — Um die Schwierigkeit, welche beim Leuchtgassauerstoffgebläse darin besteht, daß die Temperaturen der einzelnen Theile der Flamme zu unregelmäßig sind, zu vermeiden, wird ein Gebläse empfohlen, das durch elektrolytisch entwickelten Wasserstoff und Sauerstoff gespeist wird. Der Apparat besteht aus einem U-Rohr auf starkem Fuß, in dessen beide Schenkel Platinelektroden eingeschmolzen sind, mit Hilfe deren angesäuertes Wasser zerlegt wird. Auf das U-Rohr ist das Gebläse aufgesetzt, in welchem die Gase auf dem gewöhnlichen Wege gemischt und verbrannt werden. Die Regulirung der Flamme geschieht durch die des elektrolysirenden Stromes. In ähnlicher Weise kann auch ein Schmelzofen eingerichtet werden. *B.*

¹⁾ Zeitschr. Ver. Rüb.-Ind. 1894, S. 104–106; Ref.: Chem. Centr. 65, I, 709. — ²⁾ Chem. News 69, 27.

H. Brearly. Spiralförmiges Gebläse ¹⁾. — Ein Rundkolben ist durch einen Kork verschlossen, durch dessen Bohrung ein zweimal nach derselben Seite rechtwinkelig gebogenes Glas führt. An dem äußeren Ende desselben ist mit einem beweglichen Kautschukschlauch ein kleiner Fractionirkolben befestigt, dessen Abflußrohr zu einer Spitze ausgezogen ist. Bringt man in dem Kolben Methylalkohol zum Sieden, so tritt der Dampf an der Spitze des Rohres vom Fractionirkolben aus und kann hier entzündet werden. Man kann nun die Flamme so drehen, daß der Alkohol durch dieselbe im Sieden erhalten wird und hat damit auch eine Regulirung für die Flamme selbst. H

F. Salomon. Einige Anwendungen des Barothermoskops und der absoluten Millesimalscala in Theorie und Praxis ²⁾. — Der Verfasser giebt für die Verwendung des Barothermoskops, unter Einführung der von ihm ²⁾ vorgeschlagenen Aenderung der Temperatur- und Barometerscala, einige Beispiele, aus denen die Zweckmäßigkeit und Einfachheit des Verfahrens besonders erkannt werden soll. Bezeichnet V_0 das Volumen bei 0°C, V das Volumen bei der Beobachtungstemperatur, T die Grade Salomon, so ist das auf die Normaltemperatur 0°C. bei Anwendung der Millesimalscala reducirte Volumen eines Gases $V_0 = \frac{V \cdot 100}{T}$. Für die Reduction eines Gases auf Normaldruck ergibt sich bei Anwendung der Milliatmosphäre $V_0 = \frac{V \cdot P}{P'}$ als Normalvolumen eines trockenen Gases. Für die Reduction feuchter Gase ergibt sich unter denselben Bedingungen $V_0 = \frac{V \cdot P}{P' - f}$, wenn f die Tension des Wasserdampfes in Milliatmosphären. Die drei vorstehenden Reductionen in eine Formel zusammengefaßt, ergibt $V = \frac{V_0 \cdot T}{P - f}$. Die Umrechnung des Thermometer- und Barometerstandes erfolgt nach einer auf graphischem Wege erhaltenen Tabelle oder aus den Tabellen von Landolt und Börnstein. Der Verfasser geht dann dazu über, durch einige Beispiele die Anwendbarkeit seines Barothermoskops für gasanalytische Untersuchungen darzuthun. Man kann es als Luftthermometer benutzen und erhält $T = \frac{V^b \cdot P}{1000}$, wenn V^b das am Instrument

¹⁾ Chem. News 69, 288. — ²⁾ Zeitschr. angew. Chem. 1894, S. 667—672.
— ³⁾ JB. f. 1892, S. 272.

gelesene Volumen und P den Druck in Milliatmosphären bedeutet. T ist in absoluten Graden der Millesimalscala angegeben. Es

ergibt sich ferner $P = \frac{T \cdot 1000}{V^0}$, wenn man die Temperatur in

absoluten Graden kennt, und hat so eine Anwendung des Instrumentes als Barometer, bei welchem die Temperaturecorrection, wie sie bei Quecksilberbarometern nothwendig, ausfällt. Da das im Barothermoskop vorhandene Luftvolumen unter genau denselben Bedingungen steht, wie ein anderes zu beobachtendes Gasvolumen, so erhält man sofort den Volumenstand des letzteren bei Normaldruck und -temperatur, wenn man das abgelesene Gasvolumen mit dem reciproken Werth der Barothermoskopgrade multiplicirt. Handelt es sich um ein ganz oder theilweise feuchtes Gas, so berechnet man zunächst aus dem abgelesenen Volumen V^0 des trockenen Gases das des feuchten V^{0f} nach der Formel $V^{0f} =$

$\frac{V^0 \cdot 1000}{1000 - f}$ und erhält dann V^0 des zu bestimmenden Gases

aus der Gleichung $V^0 = \frac{V^{0f} \cdot 1000}{V^{0f} - f}$. Bei theilweiser Sättigung des

Gases mit Feuchtigkeit bedeutet in denselben Formeln f den hygrometrisch gemessenen Feuchtigkeitsgrad. Die Gewichte der Gase bei verschiedenen Temperaturen und Drucken erhält man, das Gewicht derselben bei 0° und 760 mm Druck $= 1$ gesetzt, durch Division mit den entsprechend gefundenen Barothermoskopgraden. Der Verfasser giebt dann eine Tabelle, nach welcher für jeden Druck und jede Temperatur aus den Molekulargewichten, nach Bestimmung des Volumenzustandes mit Hilfe des Barothermoskops, das Gewicht sofort abgelesen werden kann, was für technische Gasanalyse und für Vorlesungsversuche ausreichend genau ist. Auch die Reduction einer Wägung auf den luftleeren Raum laßt sich mit Hilfe des Barothermoskops sehr leicht ausführen. Bei meteorologischen Untersuchungen benutzt der Verfasser seine Instrumente zur Bestimmung der Schwere der Luft, was noch dadurch vereinfacht wird, daß, abgesehen vom Feuchtigkeitsgehalt der Luft unter Berücksichtigung der Temperatur und des Druckes, man die Luftgewichte an der Scala der eigens zu diesem Zwecke nach Art der Aneroidbarometer eingerichteten Instrumente neben der Volumenthailung ablesen kann. Da die Höhenmessung nichts weiter ist als eine Bestimmung des Gewichtes der Luftsäule in Millimetern Quecksilber, die wir durchsteigen, so kann das Barothermoskop oder der Luftschweremesser auch hierzu mit Vortheil angewandt werden und die Anwendung der complicirten Babinet-

sehen Formel wird hierdurch ganz überflüssig. Eine weitere Vereinfachung mancher Rechnungen würde noch dadurch erzielt, das man auch die Einheit für den Normaldruck dem absoluten Maßsystem entnehme, wie schon Ostwald den Druck von einer Milieu Dyn als Einheit in Vorschlag bringt. Die dadurch bedingte Umrechnung der Schmelz- und Siedepunkte, Molekularvolumina o. s. w. würden dann bei gleichzeitiger Anwendung der vom Verfasser vorgeschlagenen absoluten Temperaturscala sicher weitere einfache Beziehungen der Naturkräfte ergeben. *B.*

C. Mirus. Der Werth der Toluolthermometer ¹⁾. — Verfasser wendet sich gegen die wissenschaftlich falschen Begründungen, welche für den Werth des Toluols als Thermometerflüssigkeit angegeben werden. Gegen die Anwendung des Toluols sprechen seine 60 Mal geringere Wärmecapacität als die des Quecksilbers, d. h., daß ein Volumen Quecksilber 60 Mal so schnell die Temperatur annimmt, als dasselbe Volumen Toluol; ferner sprechen dagegen die Schwierigkeiten, unter denen das Toluol vollkommen wasserfrei zu erhalten ist, indem Spuren von Wasser beim Messen tiefer Temperaturen zu Eiskristallen erstarren und die Beweglichkeit des Index im Minimumthermometer hemmen. *B.*

W. Niehs. Ein verbessertes Quecksilberthermometer für hohe Temperaturen ²⁾. — Ein Thermometer für Temperaturen von 100 oder 180 bis 550° stellt Verfasser aus Jenaer Borosilicatglas her mit direct eingebrannter schwarzer Scala. Das Thermometer wird gefüllt mit Quecksilber und Kohlensäure unter einem Druck von 20 Atm. Nach der Füllung wird das Thermometer erhitzt und von 5 bis 5° graduirt. Nach Entfernung der Füllung wird die Scala mit schwarzer Emaille gefärbt und letztere in einer Muffel eingebrannt. Die Behandlung in der Muffel soll verhindern, daß das Thermometer zu hohe Ablesungen giebt. Außerdem soll ein Emaillestrich auf der Rückseite des Thermometers die Ablesung erleichtern, an Stelle des Emailleglasstreifens, der, auf der Rückseite eingeschmolzen, bei den hohen Temperaturen wegen der Verschiedenheit der Ausdehnungscoefficienten der beiden Gläser ausgeschlossen ist. Die eingebrannten Emailen sind äußerst widerstandsfähig gegen starke Säuren und andere Agentien. *B.*

Barillé. Thermometer mit elektrischer Temperaturankündigung für Laboratoriumstrockenschränke ³⁾. — Das Thermometer besteht aus einer länglichen Kugel nebst Rohr, das eine Scala

¹⁾ Chemikerzeit. 18, 331. — ²⁾ Amer. Chem. Soc. J. 16, 396—398. —

³⁾ J. Pharm. Chim. 29, 367—369; Compt. rend. 118, 246—248.

eingesetzt enthält. Der obere Theil des Rohres ist erweitert. In die Kugel ist ein Platindraht eingeschmolzen, der in das Quecksilber ragt. Ein zweiter Platindraht ist von oben in die Erweiterung der Röhre eingeführt und reicht ungefähr bis zur eigentlichen Röhre. Um letzteren Draht ist mit wenigen Windungen ein anderer Draht herumgelegt, dessen oberes Ende an ein Stahlstäbchen angelöthet ist, welches letzteres durch einen außerhalb der Röhre befestigten kleinen Hufeisenmagneten gehalten wird und bewegt werden kann, so daß das untere Ende des Drahtes auf jeden Punkt der Scala eingestellt werden kann. Der Raum über dem Quecksilber ist mit einer geeigneten Flüssigkeit gefüllt, durch welche alle Luft aus dem Apparat verdrängt wird und die Beweglichkeit der Fäden vermehrt wird, z. B. Orthotoluidin oder Aethylorthotoluidin. Das ganze Thermometer steckt in einer Messinghülse mit Fenstern zum Ablesen der Scala. Die beiden eingeschmolzenen Drähte endigen aufsen in zwei Klemmen, welche gestatten, den Apparat in eine elektrische Klingelleitung einzuschalten, wodurch ein Ueberschreiten der durch die Einstellung des Drahtes gewünschten Temperatur sofort angezeigt wird. Das Instrument kann für hohe und tiefe Temperaturen mit gleicher Sicherheit angewandt werden, auch lassen sich solche herstellen, die nur ein bestimmtes Temperaturintervall, z. B. 50°, umfassen, wobei die Eintheilung der Scala natürlich verfeinert werden kann. Auch für medicinische Zwecke kann das Instrument Verwendung finden. B.

E. C. C. Baly und J. C. Chorley. Ein neues Thermometer für höhere Temperaturen ¹⁾. — Das Thermometer, äußerlich den gewöhnlichen Thermometern ähnlich, enthält eine flüssige Natrium-Kaliumlegirung vom Siedep. 700° und Gefrierp. — 8°. Die Eintheilung ist erst von 200° an durchgeführt. Damit das Instrument die gebräuchliche GröÙe nicht überschreitet, trägt die Röhre etwa 12 cm über dem GefäÙ eine Erweiterung. Der Raum oberhalb der Legirung ist mit reinem Stickstoff gefüllt, der unter einem Drucke steht, der bei Rothgluth 1 Atm. beträgt, wodurch beim Weichwerden des Glases eine Deformation vermieden wird. Da bei höherer Temperatur zwischen dem Glas und der Legirung eine Reaction eintritt, die das GefäÙ dunkelbraun färbt, so werden die Thermometer, bevor sie eingetheilt werden, längere Zeit auf diese Temperatur erhitzt, wodurch der Zustand des Instrumentes permanent wird. Es darf nur das GefäÙ und nicht

¹⁾ Ber. 27, 470—471.

mehr als 9 cm der Röhre erhitzt werden, nicht aber die erwähnte Erweiterung. Es wird hierdurch der Fehler, der dadurch steht, daß die Legirung bei verschiedenen Temperaturen eine verschiedene Ausdehnung hat, compensirt. Das Instrument ist bei B. & T. Tatlock, Cross Street Hatton Garden, London, zu haben.

Dürr'sches Luftpyrometer¹⁾. — Dasselbe besteht aus einem Porcellankolben, in welchem eine Menge Luft eingeschlossen und der zu messenden Temperatur ausgesetzt wird. Der Kolben steht durch eine kupferne Capillarröhre mit einer Glasröhre in Verbindung, welche in einem größeren Gefäße auf Petroleum schwimmt, das bei einer Veränderung des Luftdruckes in dem Porcellanrohr und der Glocke das dadurch bewirkte Heben und Senken der Glocke auf einen Zeiger überträgt. Dessen Stellung an einer Scala abgelesen werden kann. Vor dem Gebrauch wird das Pyrometer auf eine bestimmte Temperatur eingestellt. Während des Versuches hat man den Einfluß der Barometerschwankungen und der Außentemperatur auf das Pyrometer zu reguliren, was mit Hilfe eines Compensators geschieht. Derselbe besteht aus einem U-förmig gebogenen, an einer Seite kugelförmig erweiterten und geschlossenen Glasrohre, in welchem ein Luftvolumen (Paraffinöl) abgesperrt und auf eine bestimmte Marke am äußeren Schenkel eingestellt ist. Die Ursachen, welche eine Niveauschiebung im Compensator bewirken, wirken auch auf die Stellung der Glocke im Pyrometer, und man hat es durch Verändern am Apparat angebrachte Hähne in der Hand, durch Einblasen oder Absaugen von Luft den gewünschten Stand des Zeigers des Compensators herzustellen.

Hannus v. Juptner. Ein neues Luftpyrometer²⁾. — Der von Meyerson und Karlander construirte Apparat besteht aus einer aus bestem Porcellan angefertigten Pyrometerröhre, die der zu messenden Temperatur ausgesetzt wird und durch ein Capillarrohr mit einer Manometerfeder verbunden ist, welche sich dem Druck der im Pyrometergefäße abgeschlossenen und sich beim Erwärmen ausdehnenden Luft entsprechend spannt und den Zeiger über eine Scala führt, an welcher die Temperaturen abgelesen werden können. Damit das Instrument bei hohen Temperaturen keinem zu großen Druck ausgesetzt ist, kann die Füllung auch verdünnte Luft oder ein anderes durch hohen Temperaturen nicht zersetzliches verdünntes Gas verwendet werden.

¹⁾ Berg- u. Hüttenw. Zeitg. 53, 443—444. — ²⁾ Oesterr. Zeitsch. u. Hüttenw. 34, 309—410.

Um Beeinflussungen des Instrumentes durch äusseren Luftdruck und Temperatur auszuschliessen, ist der Mefsapparat in einen luftdicht schliessenden Behälter eingesetzt. Das Instrument kann von Otto Meyerson in Stockholm zum Preise von 230 Mk. bezogen werden.

B.

Roberts-Austen. Neuere Fortschritte in der Pyrometrie). — Der Verfasser giebt eine Uebersicht über die Methoden, nach denen höhere Temperaturen, als das Quecksilberthermometer anzeigt, gemessen werden können. Von den älteren werden erwähnt: die Methode von César Becquerel aus dem Jahre 1826 mit Hilfe eines aus Platin und Palladium zusammengesetzten Thermoelementes; von Priasep mit einem Luftthermometer mit metallischem Kolben, von Pouillet 1836 durch ein Luftthermometer mit einem Platinkolben, von Joule 1859 durch ein Thermoelement aus Kupfer und Eisen u. s. w. Eine neue Phase in der Entwicklung der Hochtemperaturmessungen begann mit den Arbeiten von William Siemens, der die Veränderung der Leitfähigkeit eines Metalles für den elektrischen Strom zur Grundlage seiner Beobachtungen machte. Seit 1880 sind hauptsächlich zwei Methoden der Pyrometrie in Anwendung, entweder unter Anwendung des Luftthermometers oder der Thermoelemente. Besonders wichtig wurde das von Le Chatelier 1889 hergestellte Thermoelement aus Platin und einer Legirung von Platin mit 10 Proc. Rhodium, welches sehr schnell die Temperaturen annimmt, einen äusserst kleinen Raum verlangt und sehr genaue Messungen gestattet, ausserdem aber die Temperaturen aufzuzeichnen vermag, wodurch sehr wichtige Curven erhalten wurden. Es lassen sich auch mehrere an verschiedenen Punkten aufgestellte Elemente mit demselben Mefs- und Registrirapparat verbinden. Folgende Methoden sind für die Industrie von Wichtigkeit: 1. calorimetrische Methode, 2. optische Methode, 3. pyrometrische Legirungen, 4. Barns' Verfahren, auf der Zähflüssigkeit der Gase beruhend. — Von den calorimetrischen Methoden ist die von Violle²⁾ zu nennen, welche sehr genaue Resultate liefert. Optische Verfahren sind von Crova unter Anwendung seines Spectropyrometers, von Le Chatelier mit dem Photometer in der Technik angewandt worden; ebenso das optische Pyrometer von Nouel und Mesuré, für welches in einigen Tabellen Temperaturmessungen von Metallen und Legirungen zusammengestellt sind. Das Verfahren von Barns

¹⁾ Berg- u. Hüttenm. Zeitg. 53, 150—154. — ²⁾ Compt. rend. 65, 89, 92; Phil. Mag. 8, 501; 13, 147.

beruht darauf, daß die Menge eines Gases, welche durch eine Capillare bei bestimmtem Druck in der Zeiteinheit ausströmt, von der Temperatur abhängig ist. Die von den verschiedenen Pyrometern erhaltenen Angaben haben sich auf Grund einer Reihe von Versuchen als mit denen eines gewöhnlichen Thermometers vergleichbar herausgestellt. Auch sind nach den Untersuchungen von Barus die Angaben der verschiedenen Pyrometer unter sich in sehr guter Uebereinstimmung. Das von Wiborgh angegebene Luftthermometer mißt den Druck, der durch Erwärmung eines constanten Luftvolumens erzielt wird, und das von Callendar patentirte Instrument ist ein Differentialluftthermometer, welches die Temperaturgrade sofort abzulesen gestattet. Bezüglich der Anwendung der einen oder anderen Methode sind die besonderen Bedingungen der Untersuchung entscheidend. Als ein für die Praxis wichtiger Apparat, weil die Messungen in sehr kurzer Zeit durchgeführt werden können, wird das Calorimeter von Junker beschrieben, welches zur Messung der Verbrennungstemperaturen von Gasen und der damit zu erzielenden Wärmeleistung dient. Der Apparat ist ein Calorimeter, unter welchem die durch eine Experimentirgasuhr und Druckregulator gemessenen Gase in einem Bunsenbrenner zur vollständigen Verbrennung gebracht werden. Aus der Temperatur der abfließenden Verbrennungsgase, der Gase im Gasmesser, aus der Temperatur des aus dem Calorimeter fließenden Wassers und der Menge desselben in der Zeiteinheit und der Menge des verbrannten Gases ergibt sich der Heizwerth desselben.

B.

André Bidet. Laboratoriumsapparate¹⁾. — Dampfüberhitzer. Derselbe besteht aus einem senkrechten kupfernen Schlangenrohr, das in einen cylindrischen Blechmantel mit Schornstein eingesetzt ist. Der innere Raum der Schlange ist durch horizontale Drahtnetze ausgefüllt. Mit einem einzigen Bunsenbrenner kann die Schlange auf Rothgluth erhitzt werden. Mit einem Dreibrenner kann die Temperatur noch gesteigert werden. Der Dampf tritt von oben in die Schlange ein und bestreicht vor dem Austritt einen Tubus, in welchen ein Thermometer eingeführt wird. B.

Émile Aubain. Neue Muffelöfen²⁾. Um bei Muffelöfen eine bessere Ausnutzung des Heizmaterials zu erreichen und verschiedene Temperaturstufen in einem Apparat zu haben, hat Verfasser zwei über einander liegende Muffeln zu einem Ofen vereinigt. In der oberen herrscht eine mäfsige Temperatur, wie sie

¹⁾ Compt. rend. 118, 478—481. — ²⁾ Bull. soc. chim. [3] 11, 596—597.

zur Verkohlung organischer Substanzen wie Filter nothwendig ist, während die untere auf Rothgluth erhitzt ist und zur vollständigen Veraschung der Substanzen dient. Die Apparate werden in zwei verschiedenen Größen angefertigt und können mit Vortheil zu den verschiedensten wissenschaftlichen und technischen Zwecken benutzt werden.

B.

H. Schweitzer und E. Lungwitz. Eine neue Muffel für die Veraschung von Zucker¹⁾. — An Stelle der Platin- oder Eisenmuffeln für Aschenbestimmungen im Zucker, welche verschiedene Uebelstände aufweisen, empfiehlt Verfasser französische Thonmuffeln, deren Boden offen ist. Die Wände derselben sind durchbohrt und dazwischen Platindrähte ausgespannt, die ein gebogenes Platinblech oder Eisenblech tragen zur Aufnahme der Platinschalen mit der Analyse. In der Mitte der Oberfläche der Muffel ist ein rundes Loch ausgeschnitten. Die Muffel wird auf einem Dreifuß mit starkem Brenner erhitzt, und bei dem kräftigen Luftzug, der in dem Apparat herrscht, erfolgt die Veraschung in kürzester Zeit.

B.

C. Ullmann. Ein Explosionsofen zur Verhütung des Springens von Einschmelzröhren²⁾. — Das Zerspringen gläserner Einschmelzröhren sucht Verfasser dadurch zu verhindern, daß er beim Erhitzen das Glasrohr einem äußeren Druck aussetzt. Ist dieser größer als der innere, so wird das Glasrohr nicht zerspringen, ist der äußere gleich oder kleiner, so wird das Glasrohr keinen oder nur die Differenz der beiden auszuhalten haben. Zu seinen Versuchen benutzte der Verfasser Mannesmann'sche Stahlröhren, die auf 600 Atm. geprüft sind. In diese Röhre kommen 40 bis 70 ccm Aether, Benzin oder eine andere passende Flüssigkeit, dann das Glasrohr mit dem Reactionsmaterial. Auf die Röhre wird eine Kappe aufgeschraubt, die durch Blei sehr gut abgedichtet ist. Um auf Temperaturen über 300° erhitzen zu können, ist der Verschlusskopf mit einem Mantel umgeben, der die Kühlung der Bleidichtung gestattet. Die Versuche ergaben, daß die Röhren aus demselben Material ohne Druckmantel ohne Unterschied explodierten, während sie im Druckmantel, auf höhere Temperatur erhitzt, ganz blieben. Der durch D. R.-P. Nr. 68536 geschützte Apparat ist bei Dr. Robert Muencke in Berlin zu beziehen.

E. v. Wülcknitz. Trockenschrank³⁾. — Derselbe besteht aus einem Kasten aus Eisenblech mit kupfernem Boden und einem

¹⁾ Amer. Chem. Soc. J. 16, 151—152. — ²⁾ Ber. 27, 370—382 — ³⁾ Zeitschrift angew. Chem. 1894, S. 461.

Schornstein mit Ventilationsklappe. Dieser Kasten ist in einem Abstände von 2 cm mit einer Hülle aus demselben Material umgeben. Die Thür ist doppelt, die äussere Wandung trägt oben Oeffnungen, die innere unten, so dass die in das Innere des Schrankes gelangende Luft sehr vorgewärmt ist. Auch kann man den Zwischenraum mit Chlorcalcium anfüllen. Die Heizung erfolgt mit Hülfe eines durch die Temperatur des Schrankes selbstthätig regulirten Gasstromes in einem Brenner nach Art der für Bombenöfen gebräuchlichen, mit Luftregulirung. Die innere Einrichtung entspricht der der gewöhnlichen Trockenschränke. *B.*

G. Nafs. Einfache Vorrichtung zum Reguliren der Temperatur in Trockenkästen¹⁾. — Zur genaueren Regulirung eines Gasstromes mittelst eines Quetschhahnes benutzt der Verfasser die einfache Vorrichtung, dass er auf dem oberen Bügel eines gewöhnlichen Hofmann'schen Quetschhahnes eine kreisrunde Scheibe aus Cartonpapier anbringt, die eine beliebig grosse, kreisförmige Scala trägt. Ein auf den Schraubenkopf aufgelötheter Zeiger erlaubt nun eine ziemlich genaue Einstellung der Gaszufuhr. *B.*

L. Meyer. Ein Trockenschränkchen aus Aluminium²⁾. — Der Verfasser construirt wegen der ausgezeichneten Wärmeleitung und Luftbeständigkeit die Luftbäder aus Aluminiumblech an Stelle der früher gebräuchlichen kupfernen oder eisernen. Aluminium hat vor dem Kupfer noch den Vorzug, dass die oberflächliche Oxydschicht nicht abblättert. Das Schränkchen selbst ist würfelförmig mit seitlicher Thür. Die Heizung geschieht durch Messingrohren, aus welchen kleine Flammchen brennen. Die Wände und der Boden, auch die Thür sind dreifach und gestatten somit eine ziemlich intensive und gleichmässige Heizung von 70 bis 330°. Der Gasdruck muss durch einen Regulator constant erhalten bleiben. Der Apparat ist bei Edmund Bühler in Tübingen zu beziehen. *B.*

W. Hoffmeister. Ein verbesserter Trockenkasten³⁾. — Um in einem gewöhnlichen kupfernen Trockenkasten in einem beliebigen Gasstrom, z. B. Leuchtgas, oder auch in luftverdünntem Raume trocknen zu können, führt Verfasser ein spiralgewundenes, mit feinen Oeffnungen versehenes kupfernes Gasleitungsrohr über den Boden des Trockenkastens, das mit einer Gasleitung oder Luftpumpe in Verbindung gesetzt werden kann. Der Schrank

¹⁾ Zeitschr. angew. Chem. 1884, S. 517. — ²⁾ Ber. 27, 2769—2770. —

³⁾ Zeitschr. anal. Chem. 33, 437—438.

selbst ist luftdicht und auch die Thür läßt sich luftdicht verschließen. Der obere Boden des Kästens hat eine Oeffnung für das Thermometer und eine andere zur Ableitung des Gases, das zur Heizung benutzt werden kann. Der Apparat hat vor ähnlichen den Vorzug, daß in einem Luftstrom das Trocknen von Substanzen schneller von Statten geht als in ruhender Luft. Der Trockenkasten ist bei Max Kähler und Martini in Berlin zu kaufen. *B.*

Karl Zulkowski und Enrico Poda. Ueber ein neues Princip der Entwässerung hygroskopischer Substanzen ¹⁾. — Die Trocknung besteht in der Verdrängung des Wassers durch flüchtigere Substanzen, sowie in der Aufblähung des zu trocknenden Körpers beim Erhitzen oder Evacuiren zu einem feinen Schaum, die das Pulverisiren ersparen soll, besonders bei der Darstellung stark hygroskopischer Substanzen und der quantitativen Bestimmung derselben. Als Substanz, durch welche das Wasser verdrängt wird, diente zuerst absoluter Alkohol, später Methylalkohol, dessen Gemisch mit Wasser sehr schnell verdampft werden kann. Der Apparat, in dem das Trocknen der Substanz vorgenommen wird, ist ein dünner Glaskolben, der möglichst vollständig in ein siedendes Wasserbad eingehängt werden kann und durch eine Glasröhre mit einer gekühlten Saugflasche und der Luftpumpe in Verbindung steht. Die Ausführung der Operation geschieht, indem die zu trocknende Substanz mit dem Methylalkohol in den Kolben gebracht wird und indem ohne Anwendung der Luftpumpe zunächst unter mehrfacher Erneuerung des Methylalkohols letzterer abdestillirt wird. Alsdann saugt man bei 65 cm Vacuum einen gut getrockneten und gereinigten Luftstrom durch den schaumig gewordenen Rückstand hindurch. Nach zwei bis zweieinhalb Stunden ist die Bestimmung beendet. Das Verfahren ist bei Melasse, Pilé-Füllmasse, Stärkesyrup, Darstellung von trockenem Invertzucker, Kartoffelmehl, Malz-, Bier-, Milchextract erprobt. *B.*

E. Sauer. Eine neue Form des Luftbades ²⁾. — Nach Verfasser zeigen die gebräuchlichen Luftbäder den Uebelstand, daß sie einerseits keine constante Temperatur halten, andererseits ungenügende Ventilation haben und die Wasserdämpfe nicht schnell genug fortgeführt werden. Zur Vermeidung dieser Uebelstände construirt Verfasser ein Luftbad, äußerlich den gebräuchlichen vollständig ähnlich, mit doppeltem Boden. Die beiden Boden-

¹⁾ Ber. österr. Ges. Forder. chem. Ind. 16, 92—98; Ref.: Chem. Centr. 65, II, 532—533. — ²⁾ Amer. Chem. Soc. J. 16, 31—33.

platten sind vorn und hinten mit einander verbunden, an den Seiten offen, außerdem ragen durch beide offene Röhren. Ein gewöhnlicher Brenner heizt direct die obere der beiden Platten, die den Schrank nach unten abschließt. Der heiße Luftstrom, der auf diese Weise zwischen den Platten und durch die Röhre circulirt, bewirkt, daß im Inneren des Schrankes eine constanter Temperatur herrscht und schneller Luftwechsel vorhanden ist. Daß diese Anordnung die beiden gewünschten Vortheile gewährleistet, sucht Verfasser durch eine Reihe von Versuchen darzuthun. Der Apparat ist bei Max Kachler und Martin in Berlin zu beziehen. B.

A. Gawalowski. Neuer Trockenschrank und Luftmantel für Zucker-, Säfte-, Milch- und landwirthschaftliche Productenanalyse¹⁾. — Ein Gestell mit mehreren Etagen zur Aufnahme von Substanzen, mit Handgriff und Thermometer hängt in einem doppelten Luftmantel, durch welchen die Luft auf- und abwärts steigen muß und dann, genügend vorgewärmt, in den inneren Trockenraum gelangt. Dreiweghähne am Anfang und Ende des Luftweges ermöglichen die Circulation der Luft in dem Apparate in einer bestimmten Richtung und schnelle Abkühlung am Schluß. Der äußere Mantel kann noch mit einer Asbesthülle umgeben werden. Das Trockengestell wird zum Erkaltenlassen unter einem hohen Glaseylinder gestellt. Als Vorzüge des Apparates werden möglichst gleichmäßige Erhitzung der zu trocknenden Substanzen in einem selbstregulirenden Luftstrom, rasches Verdampfen der flüssigen Bestandtheile von eingesetzten Substanzen und schnelle Beseitigung des Wasserdampfes angeführt. B.

P. N. Raikow. Ueber einige Laboratoriumsapparate²⁾. — *Einrichtung von Trockenschränken.* Die beweglichen, durchlochten Mittelböden von Trockenschränken, in welche Trichter hineingesteckt werden, sind dadurch handlicher gemacht worden, daß man dieselben zum Einsetzen der Trichter nicht aus dem Ofen heraus zu ziehen braucht. Dasselbe ist dadurch erreicht, daß zwischen den in einer Richtung liegenden Löchern schmale Blechstreifen herausgeschnitten sind; durch die hierdurch entstandenen schmalen Lücken können die Trichter in die betreffenden Löcher hineingeschoben werden. Die Einbucse an Stabilität, die der Boden durch diese Ausschnitte erleidet, wird durch schmale, untergenietete Eisenblechstreifen ersetzt. B.

¹⁾ Oesterr.-ung. Zeitschr. Zuckerind. u. Landw. 23, 752; Ref.: Chem. Centr. 65, II, 1026-1027. ²⁾ Chemikerzeit. 18, 1997.

J. Baumann und W. Horn. Vacuumwasserbad für Temperaturen von 100° C. und höher¹⁾. — Bei gewissen Substanzen, die trocken zur Wägung gebracht werden sollen und Feuchtigkeit lange festhalten, liegt, wenn sie längere Zeit zu diesem Zwecke erhitzt werden müssen, die Gefahr vor, daß sie im Laufe dieser Zeit eine Zersetzung erleiden, die das Resultat schädigt. Um die Zeit des Austrocknens zu verkürzen, hat Herzfeld einen Toluol-vacuumtrockenapparat angegeben, dessen Anwendung wegen der leichten Brennbarkeit des Toluols immerhin gefährlich ist. Der von den Verfassern vorgeschlagene Apparat zeigt diesen Uebelstand nicht, da er Wasser als Heizflüssigkeit enthält. Der Apparat selbst besteht aus einem cylindrischen Gefäß mit doppeltem Mantel, dessen Zwischenraum die Heizflüssigkeit enthält. Temperaturen über 100° erzielt man dadurch, daß der Siedepunkt durch Druckvermehrung erhöht wird, was durch ein belastetes Ventil des Siedegefäßes erreicht wird. Der innere Raum, der zum Trocknen von Substanzen dienen soll, ist durch einen Deckel mit zwei Öffnungen für Thermometer und Ansatzrohr der Luftpumpe verschlossen. Er enthält außerdem noch einen mittleren, durchbrochenen Boden zur Aufnahme der Nickelsapseln mit der zu trocknenden Substanz.

B.

Neue Laboratoriumsapparate²⁾. — *Laboratoriums-Vacuumapparat mit Porcellanschale*. Auf den abgeschliffenen Rand einer Porcellanschale wird mit einem Dichtungsring eine ebenfalls mit abgeschliffenem Rand versehene Glasglocke gesetzt, die durch einen Tubus mit einem Kühler und der Luftpumpe in Verbindung steht und in einem zweiten Tubus ein Thermometer trägt. Der Apparat ist aus der Apparatenbauanstalt von Gustav Christ in Berlin zu beziehen.

B.

Soxhlet. Vacuumverdampfapparat für Laboratoriumszwecke³⁾. — Um große Mengen von Flüssigkeit schnell und bei niedriger Temperatur verdampfen zu können, empfiehlt Verfasser einen Apparat, der aus einem großen, mit einem Uebersteiger versehenen Glasballon besteht, der von einem entsprechend großen Wasserbade getragen wird. Der Uebersteiger ist durch einen Schlauch mit Spiraleinlage mit zwei über einander stehenden Kugelnkühlern verbunden, die ihrerseits durch ein Hahnrohr mit einer zweihalsigen, eingetheilten Woulff'schen Flasche communiciren. Der zweite Tubus der letzteren trägt ein L-Rohr und

¹⁾ Chem. News 69, 245. — ²⁾ Chemikerzeit. 18, 1868. — ³⁾ Dasselbst, S. 721—722.

dieses führt zu einem Manometer und zur Wasserluftpumpe. Der Uebersteiger hat einen Tubus, durch welchen eine Glasröhre mit Quetschhahn ragt, die inmitten des Glasballons endigt und aufsteht in einem Standcylinder. Ist der Apparat ausgepumpt, so wird durch den äusseren Luftdruck die abzudampfende Flüssigkeit in den Standcylinder in den Ballon gedrückt, und entsprechend der an der Wouff'schen Flasche abgelesenen verdampften Flüssigkeitsmenge kann man unter geeigneter Stellung des Quetschhahnes die Flüssigkeit nachfliessen lassen. Bei richtiger Kühlung kann man bei 32 bis 35° pro Stunde 4 Liter Wasser zur Verdampfung bringen, und wenn man die Wouff'sche Flasche noch mit Eis kühlt, bei 24 bis 26° verdampfen, was bei Ferment- oder Zuckerlösungen, die längeres Erhitzen auf höhere Temperatur nicht aushalten, von grosser Wichtigkeit ist. Stark schaumende Flüssigkeiten, wie Malzauszüge, Milch, Molken, Leimlösungen, werden durch Evacuiren ohne Wärmezuführung vorher luftfrei gemacht. Ist die Wouff'sche Flasche gefüllt, so sperrt man dieselbe von dem übrigen Apparat durch den dazwischen liegenden Glashahn ab, entleert dieselbe und kann ohne Unterbrechung weiter destilliren. Ist das Flüssigkeitsquantum zum Schluss ziemlich klein geworden, so füllt man es in einen kleineren Kolben und führt unter sonst gleichen Bedingungen die Destillation zu Ende. Der Apparat ist nebst Kolben von verschiedener Grösse von Joh. Greiner in München zu beziehen. H

Charles S. S. Webster. Ein automatischer Meldeapparat für Wasseröfen und Wasserbäder¹⁾. — Ein cylindrisches Metallrohr ist oben durch eine Kappe verschlossen, in deren Boden eine runde Ebonitscheibe eingesetzt ist, welche in der Mitte eine feine Bohrung für einen dünnen Metalldraht hat. Dieser Metalldraht hat an seinem unteren Ende einen Kork von sternförmigem Querschnitt, der als Schwimmer dient und, wenn der Apparat in ein Wasserbad eingesetzt ist, durch seinen Auftrieb den Draht durch die Ebonitplatte schiebt. An das obere Ende der Metallhülse ist nun ein Platindraht angesetzt, der so gebogen ist, dass er einen Contact auf der Ebonitplatte berühren kann, so lange aber, wie der Auftrieb des Schwimmers stark genug ist, durch dessen Draht hochgehoben wird. Erst wenn die Flüssigkeit in dem Wasserbade so weit verkocht ist, dass der Schwimmer keinen Auftrieb mehr erleidet, senkt sich der Draht, der Platimbügel berührt den Contact auf der Ebonitplatte, schliesst dadurch

¹⁾ Chem. Soc. Ind. J. 13, 205—206.

einen elektrischen Strom, wodurch eine Klingel erregt wird, oder die Gaszufuhr zum Brenner abgeschlossen oder Wasserzufuhr zum Bade bewirkt wird.

B.

A. Eiloart. Kleine Laboratoriumsapparate¹⁾. — *Ein Heber, um einen constanten Flüssigkeitsstand zu erhalten.* Die Vorrichtung besteht aus einem gewöhnlichen constanten Heber, welcher sich selbstthätig in einen stark saugenden Heber verwandelt durch einen zweiten, mit dem ersten communicirenden Heber, der meist nur bis auf die Oberfläche der abzusaugenden Flüssigkeit reicht und Luft saugt, während das Saugende des ersten Hebers bis unter die Flüssigkeitsoberfläche reicht und dort nach oben umgebogen ist, so daß nur wenig Flüssigkeit über demselben steht. Die Verbindungsstelle der beiden Heber liegt so, daß bei normalem Gang das Niveau der abzusaugenden Flüssigkeit nur wenig höher liegt als diese. Die Kraft, mit welcher das Wasser für gewöhnlich abfließt, entspricht dem Höhenunterschied dieser beiden Punkte. Wird die Mündung des luftsaugenden Rohres bei einem höheren Wasserstande abgeschlossen, so füllt sich der ganze Heber mit Wasser und wirkt um so stärker, bis der richtige Wasserstand wieder erreicht ist. Bei zu niedrigem Wasserstand bleibt der umgebogene Saugheber mit Wasser gefüllt und beginnt erst wieder zu saugen, wenn der richtige Stand wieder erreicht ist.

B.

C. Robinson. Ein Apparat für constantes Niveau²⁾. — Um in Wasserbädern, Abdampfschalen, Filtrirvorrichtungen ein constantes Niveau herzustellen, benutzt Verfasser folgende Einrichtung. Der halb lange und enge Schenkel eines V-Rohres ist durch einen Kautschukschlauch mit einem horizontalen Glasrohr verbunden, das am Ende nach unten rechtwinkelig umgebogen und zu einer Kugel ausgeblasen ist. Die Kugel ist gegen das horizontale Rohr durch einen dichten Verschluss gesichert und dient als Schwimmer auf dem Gefäß, in dem das Niveau constant erhalten werden soll. An dem horizontalen Rohr ist nahe der Kugel ein anderes Rohr angesetzt, welches nach Bedarf Flüssigkeit zuführt. An den weiteren Schenkel des V-Rohres ist ebenfalls ein Rohr angesetzt, das zur Ableitung des überflüssigen Wassers dient und in der Höhe des horizontalen Rohres steht. Läßt man nun in den weiteren Schenkel des V-Rohres beständig Wasser einfließen, so erfüllt dasselbe das horizontale Rohr und

¹⁾ Zeitschr. anal. Chem. 33, 207–208. — ²⁾ Amer. Chem. Soc. J. 16, 405–406.

fließt durch den Stutzen in das Wasserbad. In dem Maße, wie das Niveau in demselben steigt, steigt auch die Schwimmerkugel, die das horizontale Rohr mit hebt, bis ein Punkt desselben über dem Abflußrohr des weiteren Schenkels liegt, es tritt dann das zufließende Wasser aus, bis durch Verdampfen der Flüssigkeit in dem Wasserbade die sinkende Schwimmerkugel den Zufluß wieder herstellt. Bei Abdampfschalen und Filtrirvorrichtungen ist das horizontale Rohr dasselbe wie oben, das V-Rohr ist durch eine Mariotte'sche Flasche ersetzt, an deren unteren Tubulus das horizontale Rohr angesetzt ist. Das untere Ende des Luftleitungsrohres steht in demselben Niveau wie das horizontale Rohr.

B.

André Bidet. Laboratoriumsapparate¹⁾. — Heber zur Constantenhaltung des Niveaus. Derselbe besteht aus einem ∞ -förmigen Rohre, an dessen linken Schenkel unten ein kurzes, gebogenes Rohr angesetzt ist. Der rechte Schenkel ist etwas verlängert und taucht in das Gefäß, dessen Niveau constant erhalten werden soll. Das Wasser läuft beständig in den linken Schenkel und fließt entweder durch das an diesen angesetzte Glasrohr ab oder dringt durch den Heber in das auf constantem Niveau zu erhaltende Gefäß. Die untere Biegung des Hebers bildet gleichsam eine Art Schale, die stets mit Wasser gefüllt ist. Sinkt das Niveau des Reservoirs unter das dieser Schale, so wird das Wasser aus dieser in das Reservoir gehoben; steigt letzteres Niveau über das der Schale, so erfolgt der Vorgang in umgekehrter Richtung. Der rechte Schenkel hat an seinem unteren Ende eine seitliche Oeffnung, damit keine Gasblasen in demselben aufsteigen können. Ebenso hat das an den linken Schenkel angesetzte Glasrohr in der Biegung nach oben eine Oeffnung, damit das Rohr nicht als Heber wirken kann.

B.

H. N. Warren. Eine kräftige und einfach construirte Kältemaschine²⁾. — Als einfache Vorrichtung, um Kälte zu erzeugen, die auch für Demonstrationszwecke verwendet werden kann, dient ein Fractionirkolben, durch dessen Hals eine unten ausgezogene Glasröhre reicht bis auf die Oberfläche einer geringen Menge von Aether und Schwefelkohlenstoff. Bläst man nun mit einem constanten Gebläse Luft durch den Apparat, so wird durch die lebhaftete Verdunstung des Aether-Schwefelkohlenstoffgemisches sehr viel Kälte erzeugt und Wasser, in das man den Fractionirkolben hineintaucht, gefriert sehr rasch.

B.

¹⁾ Compt. rend. 118, 478. — ²⁾ Chem. News 69, 247.

Wägen und Messen.

Elwyn Waller. Laboratoriumsapparate¹⁾. — Colorimetrischer Apparat. Derselbe ist ein Reagensglasgestell mit einem Boden aus Mädelglas, über welchem sich ein zweiter aus weißem Glas befindet; beide sind durch Kork in ihrer Lage festgehalten. Er soll die Anwendung von weißem Papier beim Vergleich von Flüssigkeitsproben überflüssig machen. *B.*

E. Rimbach. Ueber das Verhältniß der Saccharimetergrade zu Kreisgraden für Natriumlicht²⁾. — Für das Verhältniß der Saccharimetergrade zu Kreisgraden ergibt sich, wenn man die Drehung einer Rohrzuckerlösung von der Concentration des Normalgewichtes (26,048 g) zu Grunde legt, nach Schmitz³⁾ das Verhältniß 1° Ventzke = 0,3455 Kreisgrade (*D*), nach Tollens⁴⁾ 0,3465. Directe Versuche zur Bestimmung dieser Zahl von Landolt und Rathgen⁵⁾ ergaben 0,3465. Die Bedingungen, unter welchen die Versuche des Verfassers angestellt wurden, sind die folgenden. Das benutzte Instrument war zugleich Polaristrobometer und Saccharimeter, so daß die Unsicherheit, die durch etwaige Constructionsfehler der optischen Theile der Apparate verursacht wurde, beseitigt war. Die Kreistheilung war durch Natriumlicht beleuchtet, die Saccharimetertheilung durch Gas- oder Petroleum- oder Auerlicht, letzteres mit oder ohne Hinzufügung eines Absorptionstrokes von 1,5 cm Launen, der mit einer gesättigten Lösung von Kaliumbichromat beschickt war. Es ergab sich, wenn *K* die Kreisgrade für Natriumlicht, *S* die Saccharimetergrade für gewöhnliches Gaslicht oder gereinigtes Auerlicht,

$$\frac{K}{S} = 0,34394.$$

Reinigt man das Auerlicht nicht durch die Chromatlösung, so ergeben sich Abweichungen bis zu + 0,3 Scalentheilen. Noch stärker sind diese Abweichungen und steigen bis zu 0,9 Scalentheilen, wenn zur Verschiedenheit der Lichtquelle eine vom Quarz abweichende Rotationsdispersion der untersuchten activen Körper hinzukommt. Bei Rohr- und Traubenzucker genügt für nicht allzu genaue Berechnungen der Werth 1° Ventzke = 0,344 Kreisgrade unter den oben angegebenen Bedingungen der Scalenbeleuchtung. *B.*

¹⁾ Amer. Chem. Soc. J. 16, 869—873. — ²⁾ Ber. 27, 2282—2285. — ³⁾ Ber. 10, 1420. — ⁴⁾ Dasselbat, S. 1411, 17, 1727. — ⁵⁾ JB. f. 1868, S. 446.

Julius Peters. Neuerungen an Polarisationsvorrichtungen¹⁾. — Der Metallcylinder der Hinks'schen Lampe für Polarisationszwecke ist wegen der Explosionsgefahr, die die starke Erhitzung des Metallcylinders mit sich bringt, durch einen Hartglasecylinder ersetzt, der mit einer dunkel gefärbten Asbestumbüllung versehen ist, welche letztere ebenso gut verdunkelt als die Metallhülse, vor derselben aber noch den Vorzug hat, daß sie die Wärmestrahlung bedeutend abschwächt. Eine weitere Neuerung besteht darin, daß die Fassungen der Polarisationsröhren nicht mehr aus Metall, sondern aus Hartgummi gearbeitet sind, welche vor dem Metall den Vorzug größerer Widerstandsfähigkeit gegen chemische Agentien zeigen. B.

Paul Drofsbach. Einfaches Spiegelphotometer²⁾. — Das nach Lummer-Brodhun'schem Princip construierte Instrument besteht an Stelle der bei diesem angewendeten Prismencombination aus zwei Spiegeln, die einen Winkel mit einander bilden und das von zwei denselben gegenüberstehenden parallelen transparenten Flächen ausgesandte Licht in einer zu den Flächen senkrechten Richtung vereinigen. Dadurch, daß der eine Spiegel in der Mitte eine Oeffnung hat und das vom anderen ausgesandte Licht durchläßt, entstehen zwei concentrische Lichterscheinungen, die durch Verschieben des Instruments gegen die eine oder andere Lichtquelle hin auf dieselbe Stärke gebracht werden können, so daß sie als von derselben Lichtquelle stammend erscheinen. Das ganze Instrument ist in einem T-förmigen Gehäuse angebracht. Es hat vor dem Bunsen'schen den Vorzug, daß nur transparentes Licht mit einander verglichen wird, und vor dem Lummer-Brodhun'schen den größeren Billigkeit, und daß die zu vergleichenden Lichtquellen nicht mit dem Instrument im rechten Winkel stehen müssen. B.

Frank T. Green. Ein Mittel zur Justirung einer Wage³⁾. — Um für Wagen, denen Justirungsschrauben an einem oder beiden Enden des Wagebalkens fehlen, ein Mittel zum genauen Ausgleich des Wagebalkens zu haben, empfiehlt Verfasser einen kleinen schmalen Blechstreifen, der in der Mitte einen Schlitz hat. Mit einer Schraube wird dieser Streifen in der Mitte des Wagebalkens festgehalten und so lange verschoben, bis der Ausgleich erreicht ist, dann mit der Schraube angeklemt. Statt des Blechstreifens kann man auch einen kleinen Pfeil benutzen,

¹⁾ Zeitschr. Ver. Ruh.-Ind. 1894, S. 103—104, Chem. Centr. 65, I. 706.

— ²⁾ Chemikerzeit. 18, 1094. — ³⁾ Amer. Chem. Soc. J. 16, 699.

der an einem Ende durch die Schraube befestigt ist. Durch Drehung des Theils um den Befestigungspunkt erreicht man den Ausgleich. *B.*

Chas. E. Parker. Eine Sicherheitsvorrichtung für Reiter¹⁾. — Die Vorrichtung besteht aus einer kleinen, aus Blech gebogenen Zange, deren untere Backe durch ein Stückchen Uhrfeder gegen die obere geklemmt wird und so den Reiter festhält. Diese Zange wird an Stelle des Hakens an der Reiterführung der Wage angebracht. Hat man nun die Zange so weit nach unten gedreht, daß der Reiter ungefähr auf dem Wagebalken aufsitzt, so drückt eine Verlängerung der unteren Backe der Zange gegen einen dünnen Glasstab, die Zange öffnet sich und der Reiter wird frei. Dreht man die Zange wieder aufwärts, so schließt sie sich durch die Ausspannung der Uhrfeder von selbst wieder. *B.*

L. L. de Koninck. Verbesserungen an analytischen Wagen²⁾. — Verfasser empfiehlt eine gleichartige Theilung in Graden des Kreisbogens, auf welchem der Zeiger der Analysenwage schwingt, damit diese Theilungen mit einander vergleichbar werden, was bis jetzt nicht der Fall ist. Es ist $1^\circ = R \cdot 0,0174533$, wo R die Länge des Zeigers bedeutet. Da bei einer derartigen Theilung die Grade für Präcisionswagen zu groß würden, so könnten auch $\frac{1}{2}$, oder $\frac{1}{4}$, oder $\frac{1}{8}$ dieser Grade verzeichnet werden. *B.*

Wilh. H. F. Kuhlmann. Verbesserungen an analytischen Wagen³⁾. — Verfasser wendet sich gegen die Behauptung von L. L. de Koninck⁴⁾, daß die Eintheilung des Kreisbogens, vor welchem der Zeiger schwingt, eine willkürliche sei. Die von ihm angewandte Theilung wird nach der Formel $b = R \tan \alpha$ ausgeführt, wo R die Länge des Zeigers, b die Länge der dem Ausschlagwinkel von 1° gegenüber liegenden Tangente bedeutet. Die Theilung wird in $\frac{1}{10}$ Kreisgrade ausgeführt, welche den durch Belastung von $\frac{1}{10}$ mg herbeigeführten Ausschlag bedeuten. Eine Vergrößerung des Ausschlages ist zu vermeiden, weil dadurch eine Verlängerung der Schwingungsdauer bewirkt wird. Zur Verkürzung derselben ist eine möglichst feine Eintheilung, die event. optisch vergrößert wird, zu wählen, was durch eine Lupe oder Mikroskop oder durch einen vom Verfasser patentirten, von der Beleuchtung unabhängigen Cylinderspiegel erreicht wird. *B.*

G. Guglielmo. Ueber eine Modification der Mohr'schen Wage und einen einfachen Apparat zur Messung des Volumens

¹⁾ Amer. Chem. Soc. J. 16, 764—765. — ²⁾ Chemikerzeit. 18, 1867. —

³⁾ Dasselbst, S. 1906. — ⁴⁾ Vorstehendes Referat.

fester Körper¹⁾. — Man kann mit Hülfe der Mohr'schen Wage das spezifische Gewicht von Flüssigkeiten bestimmen, von denen man nur 5 bis 10 ccm zur Verfügung hat, wenn man ein Glasfläschchen benutzt, das so kalibriert ist, daß es mit Wasser gefüllt gerade um das Einheitsgewicht des Aräometers — meist 5 g — schwerer ist als leer. Man stellt sich ein Reitergewicht her, welches gerade dem Gewicht des leeren Fläschchens gleich ist, benutzt dieses immer als Tara, und bestimmt das spezifische Gewicht der in das Fläschchen gefüllten Flüssigkeit, indem man auf den Wagebalken die passenden Reitergewichte auflegt. Man erhält dann das spezifische Gewicht durch eine einzige Wägung ohne Umrechnung. — Der Verfasser beschreibt außerdem eine besondere Form des Pyknometers zur Bestimmung des spezifischen Gewichtes fester Stoffe, durch die gewisse Fehlerquellen der üblichen Pyknometer vermieden werden sollen. Man mißt dabei das durch den festen Körper verdrängte Wasservolumen direct in einer Bürette, die mit dem Pyknometer verbunden ist und mittelst welcher vor der Einführung des festen Stoffes mehr Flüssigkeit als durch diesen verdrängt wird, die aus dem Pyknometer herausieht und nach der Einführung bis zum ursprünglichen Stande wieder füllt. Man vermeidet es dadurch, daß das Wasser zeitweilig höher zu stehen kommt als die Marke und daß dann Wasser an den Wänden hängen bleibt. Zugleich werden Mittel angegeben, um die Ablesung des Flüssigkeitsniveaus in der Bürette und dem Pyknometer möglichst genau zu machen. *BdI.*

J. F. Liverseege. Die Westphal'sche Wage für Wachs und Harze²⁾. — Um die Westphal'sche Wage auch für Bestimmung des spezifischen Gewichtes von Wachs und Harzen zu verwenden, ersetzt Verfasser den Thermometerkörper durch eine kleine Wagschale, unter welcher ein unten spitzer Metallkörper an einem dünnen Platindraht in Wasser hängt. Nachdem die Wage ins Gleichgewicht gebracht ist, was mit dem Einheitsgewicht und einem Stückchen Blei leicht erreicht wird, legt man das Stückchen Wachs, von nicht mehr als 6¹/₂ g Gewicht, nachdem es gut geglättet ist, auf die Wagschale und wiegt aus; dann hängt man dasselbe Stückchen Wachs an der Spitze des Senkkörperchens in das Wasser und wiegt wieder aus, woraus sich das spezifische Gewicht ergibt. Das Wachs muß natürlich frei von Luftblasen sein. *B.*

¹⁾ Acad. dei Lincei Rend. [5] 3, II, 299—303. — ²⁾ Chem. News 70, 103.

Th. Lohnstein. Ein neues Gewichtsariometer¹⁾. — Das vom Verfasser vorgeschlagene Instrument ist so eingerichtet, daß die bei verschiedenen Flüssigkeiten wechselnden Capillaritätsconstanten ohne Einfluß auf die Messung sind. Es gestattet die specifischen Gewichte von Flüssigkeiten von 0,7000 bis 2,0000 genau festzustellen. Das Instrument besteht aus einem cylindrischen Senkkörper, dessen oberer Rand scharfkantig abgeschliffen ist. Der Senkkörper trägt an seinem oberen Ende einen Bügel, an dem eine Wagschale symmetrisch befestigt ist. Der Einfluß der Capillarität wird nun dadurch aufgehoben, daß die Wagschale mit so viel Gewichten belastet wird, bis der convexe Meniscus verschwindet und ein concaver noch nicht vorhanden ist. Es ist dadurch eine Anordnung erreicht, welche dem Archimedischen Princip vollkommen entspricht. Die Gewichte geben sofort die Dichte der Substanz an. Es ist nothwendig, daß die Gewichte vorsichtig aufgelegt werden, damit die Flüssigkeit nicht über dem Körper zusammenschlägt. Die Wagschale ist mit einer Arretirungsschraube versehen, welche beim Auflegen der Gewichte angezogen wird. Durch geeignete Handhabung dieser Schraube kann der erwähnte Uebelstand vermieden und eine Ueberlastung des Schwimmers sofort erkannt werden. Der Apparat ist patentirt und wird von B. Reimann, Berlin SO, Schmidstr. 32 ausgeführt.

B.

Henry Louis. Notiz über ein verbessertes Pyknometer²⁾. — Es wird ein Pyknometer beschrieben, das von den gebräuchlichen keinen wesentlichen Unterschied aufweist. Fehler, die durch Verdunstung entstehen können, werden dadurch vermieden, daß während der Wägung das Glaschen durch eine Kappe verschlossen wird.

B.

H. Schweitzer u. E. Lungwitz. Apparat zum Abwägen von Flüssigkeiten³⁾. — Um Flüssigkeiten abzuwägen, benutzen Verfasser einen Apparat, der die Gestalt einer Kugelpipette hat. Die Saugeröhre ist zu einer Capillare ausgezogen, die in das Innere der Kugel mündet und die gegen den oberen Theil der Wandung und möglichst nahe der Ansatzstelle des Saugerohres gebogen ist, so daß die ganze Kugel gefüllt werden kann. Der Capillaren gegenüber ist die Kugelwand so abgeplattet, daß bei gefüllter Pipette im Liegen die Capillare aus der Flüssigkeit herausragt. Abflußröhre und Saugeröhre können wie bei anderen

¹⁾ Zeitschr. Instrumentenk. 14. 164—170; Chem. Centr. 66, I, 73—74.
— ²⁾ Chem. Soc. Ind. J. 13, 322—323. — ³⁾ Chemikerzeit. 18, 529.

Pipetten entsprechend den zu verarbeitenden Flüssigkeiten capillar oder weit sein. B.

M. Bedout. Ueber einen neuen Mefsapparat für Flüssigkeiten¹⁾. — Verfasser empfiehlt für Messungen von Flüssigkeiten, wie sie für Zwecke der Industrie, z. B. für die Fractionirung von Alkohol oder Petroleum etc., nothwendig sind, einen Apparat, der nach Art einer Wage eingerichtet ist. Das Füllen geschieht automatisch durch ein geeignetes Ventil. Mit dem Apparat ist eine Vorrichtung verbunden, welche die in bestimmten Zeitintervallen gemessenen Flüssigkeiten selbstthätig registirt. Der Apparat kann für Volumen oder Gewichtsbestimmung eingerichtet werden. Bezüglich der besonderen Einrichtung des Apparates und der Zeichnungen siehe das Original. B.

H. V. Morse u. T. L. Blalock. Instrumente zur Graduierung und Kalibrirung von Mefsgefäßen²⁾. — Zur Kalibrirung von Mefsgefäßen verwenden Verfasser eine Pipette, deren Abflußrohr in Millimeter getheilt ist. Um dieselbe zu aichen, wurde das Gewicht des Wassers in der Kugel und das des Wassers im Abflußrohr innerhalb der Eintheilung gewogen und hieraus das Volumen für verschiedene Temperaturen berechnet. Da für das Volumen des Abflußrohres die Temperatur und Ungleichheiten in der Rohrweite keinen merklichen Einfluß ausüben, kann hierfür von einer Berechnung dieser Factoren abgesehen werden und wurde 0,03081 cem für je 1 mm der Theilung bei jeder Temperatur zwischen 0 und 30° angenommen. Um die Höhe der Flüssigkeit in dem graduirten Abflußrohr für die Ausmessung einer $\frac{1}{2}$ Liter-Flasche für jede Temperatur zu erhalten, wurde die Differenz zwischen 500 und den oben erhaltenen Volumen durch 0,03081 dividirt und man erhielt so die Zahl in Millimetern, der die gesuchte Höhe entspricht. Um das Instrument auch zur Eintheilung nach Mohr zu gebrauchen, werden die oben für die verschiedenen Temperaturen erhaltenen Volume durch das Volumen von 1 g Wasser bei den betreffenden Temperaturen dividirt, wodurch man den Inhalt der Kugel in Mohreinheiten erhält. Durch Division des Gewichtes des Wassers in dem Abflußrohr durch die Mohreinheit bei 17,5° = 1,00233 erhält man die Zahl für die Capacität des Abflußrohres und jedes einzelnen Millimeters derselben. Durch diese wird die Differenz zwischen 500 und dem Gehalt der Kugel nach Mohr dividirt und man erhält

¹⁾ Bull. soc. chim. [3] 11, 977—985, Compt. rend. 118, 641—644. —

²⁾ Amer. Chem. J. 16, 479—488.

den Stand des Wassers im Abflußrohr bei der Graduirung eines Mefsgefäßes nach Mohreinheiten. Aus einer Tabelle, welche neben einander die Temperaturen, die diesen entsprechenden Inhalte der Kugel, die der letzteren hinzuzufügenden Theile des Abflußrohres, ferner die beiden letzten Zahlen nach Mohreinheiten enthält, kann man bequem die für die Ausmessung eines Gefäßes bei einer bestimmten Temperatur nöthige Wassermenge ersehen. Die Ausführung der Aichung ist sehr einfach. Man läßt aus einem höher stehenden Reservoir unter Beobachtung der nöthigen Vorsichtsmaßregeln mittelst eines unten an die Pipette angesetzten Greiner und Friedrich'schen Doppelhahns Wasser bis zur oberen Marke eintreten und nach entsprechender Drehung des Hahns dasselbe bis zu der der betreffenden Temperatur entsprechenden Zahl der Millimetertheilung in das auszumessende Gefäß abfließen. Auch zur Ausmessung von größeren Gasmefßapparaten kann das Instrument benutzt werden. Für kleinere Mefsgefäße wird eine Pipette empfohlen aus zwei verschieden großen Kugeln, bei denen das obere und untere Abflußrohr in Millimeter getheilt ist. Die Aichung und Anwendung des Apparates geschieht in derselben Weise, wie oben angegeben. Die von Ostwald ¹⁾ vorgeschlagene Kalibrpipette wird durch Ersatz des Quetschhahns durch einen Greiner und Friedrich'schen Doppelhahn verbessert. Es kann dann auch Quicksilber als Kalibrflüssigkeit verwendet werden. Eine noch vortheilhaftere Form erhält die Pipette dadurch, daß mehrere Kugeln von verschiedener Größe durch Rohrstücke getrennt sind. Diese und das obere und untere Abflußrohr sind wie oben in Millimeter eingetheilt. Aichung und Benutzung geschieht genau wie im ersten Falle. Zur Veränderung der Eintheilung eines Mefsgefäßes von einer bestimmten Temperatur nach einer anderen oder nach Mohreinheiten wird eine Tabelle gegeben, aus welcher man die den Temperaturdifferenzen entsprechenden Volumendifferenzen ersehen kann.

B.

J. C. Boot. Apparat zum schnellen Aichen von Kolben, Pipetten und Büretten ²⁾. — Derselbe besteht aus einer in 1,0 cem getheilten, 10 cem fassenden Bürette, die durch ein horizontales Glasrohr mit Dreiweghahn mit einer zweiten Röhre von derselben Weite verbunden ist, welche zu zehn über einander stehenden Kugeln von je genau 10 cem Inhalt aufgeblasen ist. Der Dreiweghahn gestattet, die Röhren unter einander zu verbinden und

¹⁾ JB. f. 1882, S. 1350. — ²⁾ Rec. trav. chim. Pays-Bas 13, 417—420.

jede für sich zu entleeren. Außerdem ist noch ein Glashahn am Boden der Gefäße zum Füllen derselben vorhanden. Um ein 100 ccm-Kolbchen zu kalibriren, verfährt man so, daß zunächst die zehu Kugeln und die Bürette mit Schwefelsäure vom spec. Gew. 1,2 gefüllt werden, weil diese kaum an den Gefäßswänden haftet, nicht verdunstet und auch nicht hygroskopisch ist. Entleert man das Kolbchen weniger als 100 ccm, so bleibt in der untersten Kugel Flüssigkeit zurück, deren Menge man dadurch bestimmt, daß man die fehlende Menge bis zur 100 ccm-Marke unter geeigneter Stellung des Dreiweghahns aus der Bürette ergänzt. Die Menge Flüssigkeit, die in der Bürette zurückbleibt, giebt dann an, um wie viel das Kolbchen zu klein ist. Die übrigen Kalibrirungen werden in ähnlicher Weise ausgeführt. Der Apparat ist bei Christ Kob in Stutzerbach zu beziehen. *B.*

A. Gawalowski. Einfaches Geräth für erleichtertes Einstellen schäumender Flüssigkeiten auf die Marke¹⁾. — An dem Aetherdampffläschchen des Verfassers ist, um die Verdampfung des Aethers zu beschleunigen, an dem oberen seitlichen Tubus eine Glasröhre eingesetzt, die im Inneren in eine unter die Oberfläche des Aethers reichende kleine Luftbrause endet, nach außen mit einem Kautschukdruckballon versehen ist. Durch einen Druck auf den Ballon wird die Luft aus der Brause ausgetrieben und bewirkt schnelle Abführung des Aetherdampfes. Die Luft in dem Ballon ersetzt sich beim Nachlassen des Druckes von außen, so daß kein Aetherdampf in denselben gelangen kann. Der Apparat ist bei Franz Hugershoff in Leipzig zu beziehen. *B.*

Wm. B. Giles. Eine Modification von Literflaschen²⁾. — Für Substanzen, wie concentrirte Schwefelsäure und Rhodan ammonium oder Urannitrat, bei denen es schwierig oder unmöglich ist, durch directe Wägung die zur Herstellung einer titrimetrischen Flüssigkeit nothwendige Substanzmenge zu erhalten, und von denen man zunächst eine stärkere Lösung als die gewünschte herstellen muß, um sie nachher auf das richtige Maß zu verdünnen, empfiehlt der Verfasser Maßflaschen, welche über der Marke eine kugelförmige Erweiterung besitzen, deren Inhalt ein Zehntel der eigentlichen Flasche, bei 1 Liter also 100 ccm enthält. Hat man nun diese 1100 ccm zu starker Lösung hergestellt, so gießt man 100 ccm zur Bestimmung des Inhaltes ab und behält genau 1000 über, wodurch die nachherige Umrechnung

¹⁾ Oesterr.-ung. Zeitschr. Zuckerind. u. Landw. 23, 755; Ref.: Chem. Centr. 65, II, 1025. — ²⁾ Chem. News 69, 99–100.

und Erweiterung auf den richtigen Gehalt sehr vereinfacht wird.

B.

J. F. Liverseege. Das Kalibrieren von Pipetten¹⁾. — Nach einigen Vorschriften über die Handhabung von Pipetten zur Erhaltung übereinstimmender Resultate giebt Verfasser eine Methode zur Aichung von Pipetten. Die Wägungen beziehen sich alle auf Wasser von 15,5° und ist zur Reduction anderer Temperaturen auf diese Normaltemperatur eine Tabelle ausgeführt. Das Volumen von 1 g Wasser von 15,5° ist als Normalvolumen angenommen. Daraus betragen die Abweichungen des angegebenen Gehalts von dem ausgewogenen weniger als 0,5 Proc. Für grössere Fehler

kann man eine Correctur anbringen nach der Formel $h = \frac{C}{r^2 \pi}$,

worin h den Abstand der Correcturmarke in Centimetern von der gegebenen Marke bedeutet, C den Fehler in Cubikcentimetern, r den Radius des Abflussrohres und π die Zahl 3,1416. Eine Tabelle, in der diese Correcturen durchgeführt sind, zeigt, dass dann die Abweichungen unter 0,05 Proc. heruntergehen.

B.

H. Greiner. Eine neue automatische Pipette²⁾. — Zur Erleichterung der oftmaligen Probenahme desselben Volumens derselben Flüssigkeit ersetzt Verfasser das Aufsaugen mit dem Munde durch Aussaugen der Flüssigkeit mittelst eines Kautschukballons nach Art der Tropfgläser. Die Pipetten sind mit dem oberen Stiel, der am Ende etwas umgebogen ist, in ein weiteres pipettenähnliches Gefäss hineingesetzt. Auf letzterem sitzt dann auch der Druckballon.

B.

John Sebelien. Eine selbsteinstellende Messpipette³⁾. — Eine Messpipette von 10, 25 etc. Cubikcentimeter Inhalt ist durch einen Dreiweghahn mit einem grösseren Reservoir in eins verbunden, so dass es, wenn man stets dieselbe Menge einer Flüssigkeit in vielen Portionen braucht, nicht nöthig ist, jedesmal von Neuem auszusaugen oder eine Ablesung zu machen. Durch die weitere gerade Bohrung des Dreiweghahns füllt man die Messpipette aus dem grösseren Reservoir und dreht dann den Hahn so, dass durch die andere Bohrung die Pipette mit der Luft communicirt. Beim Öffnen des unteren Verschlusses der Pipette fliesst dann der Inhalt derselben aus.

B.

E. Waller. Laboratoriumsapparate⁴⁾. — Buretttenfüller. An einer mehrere Liter fassenden Vorrathstasche für Malfüssigkeiten

¹⁾ Pharm. J. 54, II, 245–246. — ²⁾ Amer. Chem. Soc. J. 16, 643. —

³⁾ Chemikerzeit. 18. 1953. — ⁴⁾ Amer. Chem. Soc. J. 16, 869–873.

ist mit Hilfe einer doppelten Klammer, die durch eine Schraube um den Hals der Flasche befestigt ist, die Bürette angebracht. Die Flasche ist durch einen dreifach durchbohrten Kork verschlossen, dessen eine Bohrung an einem Glasrohr einen Kautschukdruckballon trägt, mit Hilfe dessen die Maßflüssigkeit darin in der zweiten Bohrung gehaltenes Glasrohr, das beim Nullpunkt der Bürette endigt, in diese gedrückt wird. Die dritte Bohrung führt ein kurzes Glasrohr, mit Hilfe dessen man den Druck aus der Flasche herausläßt und die Einstellung der Flüssigkeit auf den Nullpunkt der Bürette bewirkt. *B.*

K. Eriksson. Bürette für Titirzwecke¹⁾. — Die obere Mündung einer Bürette ist durch einen durchbohrten Kork mit zweimal rechtwinklig umgebogenem Glasrohr und Kautschukschlauch verschlossen. Der letztere führt zu dem einen Ende eines L-Stückes, das zweite Ende des letzteren trägt einen kurzen Kautschukschlauch mit Quetschbahn, das dritte steht in Verbindung mit einem Glasrohr, das nach oben sehr kurz umgebogen ist und hier eine sehr feine Öffnung hat. Gegen diese feine Öffnung wird durch eine Feder mit Stellschraube und Führungsstift ein Kork gedrückt. Saugt man die Bürette behufs Füllung vermittelst des kurzen Schlauches an, so ist die feine Öffnung ganz verschlossen. Beim Titrieren stellt man die Schraube so ein, daß etwas Luft durch die feine Öffnung eintreten kann, wodurch die Bürette zum Tropfen oder Fließen gebracht wird, während man beide Hände frei hat. *B.*

P. Guichard. Automatische Universalbürette²⁾. — Die Bürette besteht aus einem Reservoir für die Maßflüssigkeit mit breitem Boden, welches durch einen Kork mit drei Bohrungen verschlossen ist. Durch eine derselben führt ein Rohr mit einem Kautschukdruckballon, um die Maßflüssigkeit durch eine die zweite Bohrung ausfüllende Glasröhre von oben in die Bürette zu drücken. Diese Glasröhre endigt beim Nullpunkt der Bürette. Durch die dritte Bohrung reicht eine Glasröhre, die in derselben drehbar ist und unter das untere Ende der Bürette gedreht die nicht gebrauchte Maßflüssigkeit in das Reservoir zurückführt. Die Bürette selbst hat eine Einteilung nach Boudet und in Cubikcentimeter, so daß sie für alle volumetrischen Analysen gebraucht werden kann. *B.*

¹⁾ Teknik Tidskrift; Zeitschr. angew. Chem. 1894, S. 653, Ref. Chem. Centr. 65, II, 1061. — ²⁾ J. Pharm. Chim. 29, 156–157; Bull. soc. chim. [3] 11, 4–5.

Edward R. Squibb. Bürette mit automatischer Nulleinstellung¹⁾. — Die von St. Krawczynski²⁾ angegebene Bürette, welche dadurch gefüllt wird, dafs mit Hülfe eines Kautschukdruckballons die Flüssigkeit durch eine im Inneren der Bürette befindliche Glasröhre in die Höhe geprefst wird und überfließend die Bürette füllt, sucht Verfasser dadurch zu verbessern, dafs er das Steigerrohr ausserhalb der Bürette legt und von oben bis zum Nullpunkte einschmilzt, wodurch er die Ungleichheit des Meniscus und damit verbundene Ablesungsfehler zu vermeiden sucht. Die Füllung geschieht auch hier durch einen Druckballon. Eine weitere Veränderung besteht darin, dafs die Bürette durch Ansaugen gefüllt wird. Handelt es sich um Lösungen, die vor Kohlensäure der Luft abgeschlossen werden müssen, oder leicht Konzentrationsänderungen erleiden, so kann man die Bürette abschliessen und die Luft, die beim Ansaugen in das Reservoir nachströmt, durch Flaschen mit entsprechender Waschlösung streichen lassen. Die Apparate werden von E. Greiner, New-York, hergestellt.

B.

A. Eiloart. Kleine Laboratoriumsapparate³⁾. — *Eine hängende Bürette.* An das obere Ende einer gewöhnlichen Bürette werden aus dem Glase zwei Haken angebogen, durch welche eine Schlinge aus Aluminiumdraht gezogen wird, an welcher man die Bürette frei beweglich an einem Haken, den man aus einem Glasstab leicht biegt, aufhängen kann. Behufs Ablesung der Bürette nimmt man dieselbe mit Daumen und Zeigefinger von dem Haken und hält sie vor das Auge. Die Reinigung der Bürette mit Bichromat und Schwefelsäure mufs hier unterbleiben, weil sonst der Aluminiumdraht zerstört wird. Verfasser wickelt Filtrirpapier um einen Holzstab, befeuchtet dieses mit Natronlauge und reinigt hiermit. Man kann den Aluminiumdraht auch durch Platindraht ersetzen.

B.

D. Šidersky. Neuer Apparat für die Mafsanalyse⁴⁾. — Bei gleichzeitiger Benutzung zweier titrirter Flüssigkeiten, wie es bei der alkalimetrischen Bestimmung von Carbonaten z. B. vorkommt, läfst sich der vom Verfasser vorgeschlagene Apparat mit Vortheil verwenden. Derselbe ist folgendermafsen eingerichtet. An einem kleinen viereckigen Tischchen, das mit einer Galerie versehen ist zur Aufnahme der Vorrathflaschen für die Lösungen, ist ein verticales Brettchen angebracht mit zwei oben kugelförmig auf-

¹⁾ Amer. Chem. Soc. J. 16, 145–148. — ²⁾ JB. f. 1882, S. 2640.

³⁾ Zeitschr. anal. Chem. 33, 205–207. — ⁴⁾ Dasselbst, S. 438–440.

geblasenen Büretten. Die obere Mündung der Büretten ist in einem doppelt durchbohrten Stopfen verschlossen, deren eine Bohrung ein Glasröhrchen führt, das zur Verbindung mit der Vorrathsfflasche dient, während die andere der Luft Zutritt gestattet und eventuell mit einer Natronkalkröhre versehen sein kann. Die Vorrathsfflaschen sind doppelt tubulirt; der eine Theil enthält das Verbindungsrohr mit der Bürette, der andere einen Kautschukdruckballon, um die Flüssigkeit in die Bürette zu drücken. Die Handhabung des Apparates ist ohne Weiteres verständlich. Für den speciellen Gebrauch in Zuckerfabriken zur Bestimmung der Alkalinität und des Gesamtkalkgehaltes des Saftes sind die Büretten so eingetheilt, daß sie die directe Ablesung der in einem Hektoliter Saft enthaltenen Gramme Kalk gestatten, wenn die Bestimmungen in den üblichen Mengenhältnissen ausgeführt werden.

B

F. Vanderpoel. Tropfflasche für Mafsflüssigkeiten¹⁾. — Verfasser empfiehlt Mafsflüssigkeiten nicht mit Bürette oder Pipette abzumessen, sondern zu wägen und giebt hierfür ein Gefäß an, das aus einem kugelförmigen Glaskolben besteht, der zwei obere Öffnungen trägt und eine untere Tropfröhre, welche durch einen eingeschliffenen Glasstab verschlossen ist. Der Glasstab ist durch einen Kork in der mittleren oberen Öffnung in seiner Lage festgehalten. Durch die zweite obere Öffnung erfolgt die Füllung des Apparates.

B

M. Wendriner. Ein einfaches Viscosimeter²⁾. — Dasselbe besteht aus einer 50 ccm-Vollpipette, in die man die zu untersuchende Flüssigkeit bis zu einer bestimmten Marke einsaugt und die Zeit beobachtet, in welcher die Flüssigkeit bis zu einer zweiten Marke abtropft. Auch stellt man die in einer Minute fallende Tropfenzahl fest. Eine geeignete Versuchstemperatur erzielt man dadurch, daß man aus einem höher stehenden Reservoir auf die gewünschte Temperatur gebrachtes Wasser in einen die Pipette umgebenden Mantel einfließen läßt. Die Reinigung erfolgt dadurch, daß man in derselben Weise ein geeignetes Lösungsmittel in die Pipette einsaugt und abfließen läßt und dann durch einen Luftstrom trocknet. Ist die zu untersuchende Flüssigkeit dickflüssig oder salbenartig, so dreht man den Apparat um und läßt aus dem Mundstück abtropfen oder man bringt die Flüssigkeit auf eine Temperatur, bei welcher sie dünnflüssig ist.

¹⁾ Amer. Chem. Soc. J. 16, 156—157. — ²⁾ Zeitschr. angew. Chem. 1894, S. 545—547.

Auch die Bestimmung des specifischen Gewichtes läßt sich mit der der Viscosität leicht verbinden, indem man die zwischen den Marken abgetropfte Flüssigkeitsmenge zur Wägung bringt. Aus dem so erhaltenen absoluten Gewicht der 50ccm-Flüssigkeit ergibt sich ohne Weiteres das specifische Gewicht derselben. *B.*

R. Kiffling. Ein einfaches Viscosimeter¹⁾. — Der Verfasser wendet sich gegen das von Wendriner²⁾ in Vorschlag gebrachte einfache Viscosimeter, an welchem er nichts Neues finden kann, wohl aber den Uebelstand, den auch andere Viscosimeter zeigen, nämlich daß die Ausflussspitze sich außerhalb des Wasserbades befindet und deshalb nicht die Versuchstemperatur hat, wie schon F. Fischer gezeigt hat. Auch ist die Handhabung und Reinigung des Apparates nichts weniger als einfach. Dagegen empfiehlt Verfasser den Engler'schen Apparat und die folgende bequeme Handhabung desselben. Für flüssige Maschinenöle wird eine Temperatur von 25° gewählt, die man so erreicht, daß man nach Einfüllung des Oeles das Wasser des äußeren Behälters auf 30 bis 35° bringt und nachdem das Öl eine Temperatur von 25° angenommen hat, das Wasser durch anderes von 25° ersetzt, wodurch beide dieselbe Temperatur erhalten, die auch während des eigentlichen Versuches genügend erhalten bleibt. Cylinderöle werden zunächst im Wasserbade auf ungefähr 75° erwärmt in den Apparat gebracht, und sobald die Temperatur auf 70° gefallen ist, Wasser von 75° in den äußeren Behälter. Auf diese Weise erhält man einen Zeitpunkt, wo Öl und Wasser dieselbe Temperatur von 75° haben und setzt dann unverzüglich den Versuch an, bei welchem man noch die Endtemperatur feststellt, um den Einfluß der Luftwärme zu ermitteln. Auch die Reinigung des Engler'schen Apparates ist mindestens so einfach wie die des von Wendriner angegebenen. *B.*

D. B. Dott. Notizen über ein Viscosimeter³⁾. — Die Idee, die dem Apparat zu Grunde liegt, ist, daß aus einem Gefäß mit zwei verschiedenen weiten Oeffnungen die relativen Flüssigkeitsmengen, die aus den beiden Oeffnungen abfließen, mit der Viscosität der Flüssigkeit variiren. Der Apparat selbst kann aus einem Y-Rohr hergestellt werden mit verschiedenen weiten Oeffnungen oder aus zwei kleinen Glasröhren mit verschiedenen weiten Oeffnungen, die mit einem Kork in einem umgekehrten weithalsigen Glase stecken, dessen Boden eine Oeffnung hat. Geachtet

¹⁾ Zeitschr. angew. Chem. 1894, S. 642. — ²⁾ Vorstehendes Referat.

³⁾ Pharm. J. 53, 1, 848.

wird das Instrument dadurch, daß man feststellt, wie viel Wasser in einer bestimmten Zeit durch beide Oeffnungen abfließt. Die Flüssigkeitsmengen werden gemessen und die kleinere Zahl durch die größere dividirt, wodurch man einen Coëfficienten erhält, der in Beziehung zur Viscosität steht. Die Differenzen zwischen den einzelnen Bestimmungen sind hier viel kleiner als bei den anderen Methoden. *B.*

Richard Kilsling. Die Consistenzprüfung der Maschinenfette¹⁾. — Das vom Verfasser früher²⁾ beschriebene Verfahren zur Consistenzprüfung, welches man³⁾ zur Werthbestimmung von Maschinenfetten angewandt hat, soll zu letzterem Zwecke nur in Verbindung mit der Viscositätsprüfung und der chemischen Untersuchung dienen. Für sich allein soll es nur ein Mittel sein, um die Consistenz von Waaren verschiedener Sendung mit einander zu vergleichen. *B.*

Rühren und Filtriren.

C. Maull. Ueber einige neue Laboratoriumsapparate⁴⁾. — 1. Schüttelwerk. Dasselbe besteht aus zwei V-förmig gebogenen und parallel zu einander umgekehrt auf einer Unterlage mit beliebigem Abstand montirten Metallbügeln, die an ihrer höchsten Stelle durch eine abgedrehte Stange verbunden sind, über welche eine Hülse leicht hin und her gleitet. Die Hülse trägt einen unteren Fortsatz mit einer Befestigungsvorrichtung für Flaschen in horizontaler Lage und einen oberen Ansatz mit einer Uebertragungsstange nach einem Excenter. Der Antrieb des Excenters erfolgt durch eine Rabe'sche Turbine. Der Apparat wird auch in größeren Dimensionen für die Technik ausgeführt. 2. Verschlussvorrichtung für Flaschen. An Stelle von Druckflaschen nimmt der Verfasser gewöhnliche Flaschen, die durch drei Schraubklemmen in einem Ring festgehalten werden. An diesem Ringe ist senkrecht zur Ebene desselben ein Bügel angebracht mit einer vierten Schraube, um auf den Stopfen der Flasche einen beliebigen Druck ausüben zu können. *B.*

Elektrisch betriebene Centrifuge der Firma Schorch u. Co. in Rheylt⁵⁾. — Der hauptsächlich für Färberei, Wäscherei, Bleicherei, Wasch- und Trockenstuben bestimmte Apparat bietet große Bequemlichkeit in der Anlage und Handhabung, indem die

¹⁾ Chemikerzeit. 18, 1867. — ²⁾ JB. 1, 1891, S. 2801. — ³⁾ Allg. Oesterr. Chem.- u. Technik-Zeit. 1891; Chem. Ind. 17, 457. — ⁴⁾ Zeitschr. angew. Chem. 1894, S. 393; Chemikerzeit. 18, 1043. — ⁵⁾ Chemikerzeit. 18, 566—567.

maschine unter der Trommel auf die Axe derselben aufsteht und keiner weiteren Uebertragung bedarf, so daß der Motor von allen Seiten zugänglich ist. Die Lager sind nicht abnehmbar, sondern vermögen bei ungleicher Belastung des Apparates zu weichen, wodurch Erschütterungen vermieden und der Verschleiß an Maschine und Motor möglichst verringert wird. Durch einen Gleichgewichtsregulator wird die Maschine zu ruhigem Lauf gebracht. Schmierungen sind unterhalb der Maschine angebracht, so daß der Motor bei dieser Anordnung nicht durch heisse Luft etc. beschädigt werden. Der Motor leistet eine Pferdekraft Proc. Nutzleistung, kann rechts und links herumlaufen und gleichzeitig als Dynamomaschine geschaltet als Bremse. *B.* Der Koch-, Misch- und Schmelzapparat der Maschinenfabrik G. Zensch in Wiesbaden ¹⁾. — Der Apparat besteht aus einander sitzenden Kesseln aus Gußeisen, die einen mit beheizbaren Mantel bilden. In dem inneren Kessel befindet sich ein Ruhrwerk an verticaler Antriebsaxe, das aus sieben Rührern besteht, welche die ganze Oberfläche des Kessels berühren und rein halten. Die Stellung der Schaufeln ist derartig, daß durch eine Bewegung des Kesselinhalts von oben nach unten bewirkt wird. Man erhält so eine mischende Bewegung in horizontaler und verticaler Richtung, welche sich gegenseitig verstärken. Der Apparat wird besonders empfohlen für Betriebe, wo Flüssigkeiten mit Pulvern, Fette mit Säuren mischen, besonders auch für Anilin-, Sprengstoff- und ähnliche Fabriken. Der Apparat ruht mit seiner Axe in Lagern auf eisernen Füßen und kann zum Entleeren leicht umgekippt werden. Der Apparat ist für Kraft- und Handbetrieb angelegt. *B.* F. v. Rost. Neue Laboratoriumsapparate ²⁾. — 1. *Schüttelmaschine*. Verfasser haben eine Schüttelmaschine construirt, welche eine drehende und eine seitliche Bewegung der zu schüttelnden Flaschen erzielt wird, und welche sehr wenig Kraft verbraucht. Die Flaschen werden an den beiden Enden der Schüttelmaschine rechtwinklig zu einander angebracht und dadurch der todte Punkt vermieden.

B.

F. v. Rost. Neue Laboratoriumsapparate ³⁾. — *Laboratoriumsturbine*. Um eine Stauung des Wassers in der Turbine zu verhindern und die Kraft besser auszunutzen, haben Verfasser das Triebrad mit einem Löffelchen versehen, gegen die das einströmende

Wasser prallt, um dann gleich abzufließen. Zur Regulirung des Zuflusses sind auswechselbare Düsen mit verschiedenen weiten Bohrungen beigegeben. Die Turbine kann horizontal und vertical gestellt werden und ist in drei Größen bei Peters und Rost in Charlottenburg zu beziehen. *B.*

*Neue Laboratoriumsapparate*¹⁾. — Kleine Heißluftmotoren für Laboratorien. Für Laboratorien, wo zum Betrieb von Turbinen nicht genügend Wasserdruck vorhanden ist, werden zum Antrieb von Schüttelvorrichtungen, Siebmaschinen, Rührwerken, Luftpumpen etc. kleine Heißluftmotoren empfohlen, die mit Spiritus, Gas oder Petroleum geheizt werden und maximal $\frac{1}{10}$ c leisten können. Dieselben sind bei der Apparaten-Bau-Anstalt von Gustav Christ in Berlin zu beziehen. *B.*

*A. Liversidge. Eine combinirte Laboratoriumslampe, Retorten- und Filtrirstativ*²⁾. — An einem Stativ befinden sich Retortenklemmen und Filtrirringe, die beliebig verstellbar sind, außerdem befindet sich in dem Bleifusse eine Gaszuführung. Auf diese kann je nach Bedarf ein Argandbrenner mit Blechcylinder, der oben Oeffnungen hat, so daß Tiegel oder Schalen darauf erwärmt werden können, oder ein Glascylinder zu Beleuchtungszwecken, oder ein Bunsenbrenner mit Luftregulirung und Schornstein ebenfalls zum Erhitzen von Tiegeln und Schalen oder ein Schnittbrenner zum Biegen von Glasröhren oder zu Beleuchtungszwecken, oder ein Löthrohrbrenner aufgesetzt werden. Wird ein Brenner nicht gebraucht, so hat er seinen Platz auf einem Dorn, der sich ebenfalls auf dem Stativ befindet. *B.*

*E. Cramer. Nitrocellulosehaltiges Filtrirpapier*³⁾. — Den Uebelstand, daß die Veraschung der Filter bei analytischen Arbeiten zu langsam erfolgt, sucht der Verfasser dadurch zu heben, daß er Filter aus ganz oder theilweise nitrirter Cellulose herstellt. Diese Filter sollen den Vorzug schneller Verbrennlichkeit, eine geringere Vertilzungsfähigkeit und Hygroskopicität besitzen. *B.*

*Max Kachler. Eine verbesserte Filterscheibe*⁴⁾. — Da die gebräuchlichen Porcellan-Filterplatten meist nicht dicht an den Trichter anschließen, versieht Verfasser dieselben mit einer Rinne, die rund um die Scheibe herumläuft und durch einen dicken Gummiring ausgefüllt ist, wodurch ein vollständiger Anschluß an die Trichterwände erzielt wird. Um stets eine horizontale Lage der Filterplatte zu erreichen, trägt die Scheibe nach unten einen

¹⁾ Chemikerzeit. 18, 1868. ²⁾ Chem. News 69, 219. — ³⁾ Zeitschr. angew. Chem. 1894, S. 269. — ⁴⁾ Amer. Chem. Soc. J. 16, 58—59.

Glasstab, der in das Trichterrohr hineinragt. Für weite Trichter-
röhren kann man den Glasstab durch einen Kork verstärken.
Die Platten sind von Kaehler und Martini zu beziehen. B.

W. C. Ferguson. Eine Waschflasche mit Druckluft ¹⁾. —
Zum Anwaschen von Niederschlägen in sehr feiner Vertheilung,
oder die sehr fest an den Gefäßwänden haften, benutzt Verfasser
eine Vorrichtung, welche gestattet, das Waschwasser unter einem
beliebig höheren Druck anzuwenden. Die Vorrichtung besteht
in starkwandigen Waschflaschen, die an eine Druckluftleitung an-
geschlossen werden, mit einem Hahn zur Regulirung des Druckes.
Durch geeignete Wahl des Ausflußrohres des Waschwassers kann
man entweder einen sehr dünnen scharfen Strahl oder einen
starken Strom des Wassers erhalten. Wenn es sich darum handelt,
eine große Menge von Niederschlägen anzuwaschen, so bietet die
Vorrichtung eine große Erleichterung. B.

Falsbender und Engels. Filtrir- und Fällungsapparat ²⁾.

— Um sehr feinkörnige und leicht oxydirbare Niederschläge schnell
grobkörnig oder flockig zu erhalten und leicht filtriren zu können,
benutzen Verfasser an beiden Enden conisch eingeengte Glas-
gefäße, an die unten zwei ungleich lange Hahnröhren eingeschmolzen
sind, und deren obere Oeffnung durch einen Gummistopfen mit
Doppelkugel-Trichter verschlossen ist, um beim Schütteln das
Verspritzen von Flüssigkeit zu vermeiden. Man bringt in ein
solches Glasgefäß die Substanzen, die ausgefüllt werden sollen,
bezw. leitet das zur Fällung dienende Gas ein und schüttelt bei
aufgesetztem Kugeltrichter fünf bis zehn Minuten lang. Soll in
der Hitze gefällt werden, so bringt man die Substanzen heiß in
den Apparat oder heizt durch eine eingeführte Dampfschlange.
Nach dem Ausfällen bringt man den Apparat so über den Trichter,
daß die kürzere Hahnröhre innerhalb des Trichters, und die
längere in der Mitte zu stehen kommt. Nach Oeffnung der Hähne
fließt die Flüssigkeit aus dem längeren Rohr langsam aus, wäh-
rend entsprechend aus dem kürzeren Luft nachsteigt. Es gelang
so in fünf Minuten eine Fällung von oxalsaurem Kalk, von Baryum-
sulfat, von Ammoniummagnesiumphosphat und Schwefelkupfer zur
vollständigen Filtration zu bringen. Besonders bei der Bestim-
mung von Schwefelzink und Schwefelmangan hat sich der Apparat
bewährt. Als besondere Vortheile werden erwähnt, daß Nieder-
schläge, die zur quantitativen Abscheidung sonst 12 bis 24 Stunden
bedurften, in 5 bis 10 Minuten filtrirt werden können, daß das

¹⁾ Amer. Chem. Soc. J. 16, 148 -149. — ²⁾ Chemikerzeit. 18, 1616 -1617.

Filtern, automatisch und selbst regulirbar, nur einmal nothwendig ist, der Niederschlag auf dem Filter durch das Hinzutreten von Flüssigkeit aufgewirbelt wird und Oxydation des Niederschlages vermieden wird, da er sich stets in der Atmosphäre des Fällungsmittels befindet. Der Apparat ist bei Warmbrunn, Quialitz u. Co. in Berlin zu beziehen. *B.*

*Analysentrichter*¹⁾. — Da bei den gewöhnlichen Trichtern das ganze Filter an der Trichterwand anliegt und nur die sehr kleine Spitze zum Abfließen der Flüssigkeit frei ist, so erfolgt die Filtration meist sehr langsam. Die neuen Trichter haben auf ein Drittel der Höhe einen Absatz, so daß das Filter nur zu zwei Dritteln an der Trichterwand anliegt, während das letzte Drittel des Filters frei in den Absatz hineinragt und so eine größere Oberfläche zum Abfließen der Flüssigkeit darbietet. Die Trichter sind bei Dr. Rob. Muencke in Berlin zu beziehen. *B.*

P. Der Gooch'sche oder Filtrirtiegel²⁾. — Der Verfasser giebt eine Beschreibung des Gooch'schen Tiegels und eine Anleitung zur Herstellung des zu den Filtrationen dienenden Aebests, sowie zur Benutzung des Tiegels zu Filtrationen, die genauer ausfallen als auf gewöhnlichem Wege und sich in viel kürzerer Zeit bewerkstelligen lassen. Er wird empfohlen für Bestimmungen des Baryumsulfats, des Chlorsilbers, der arsensauren Ammoniakmagnesia, von Chromoxyd u. s. w. Auch als Rose'scher Tiegel läßt sich der Apparat verwenden. Nicht besonders gut gelingen damit die Bestimmungen von Sulfiden, da der Schwefel sehr leicht mit durchläuft und die Entscheidung, ob mit diesem auch Sulfid verloren gegangen, sehr schwierig ist. *B.*

Biegsame Metallschläuche der Firma Wilh. Hermann Schmidt, Fabrik biegsamer Metallschläuche in Magdeburg³⁾. — Dieselben sollen als Ersatz der dickwandigen Gummischläuche für Dampf- und Hochdruck dienen. Sie bestehen aus Vollgummischläuchen ohne Einlage, die mit einem patentirten Geflecht aus weichen Metallen umgeben sind. Der reine Gummischlauch dient als Dichtung, während das Geflecht den Druck aufnimmt. Als besondere Vortheile dieser Metallschläuche werden das leichte Gewicht, die große Elasticität und die Unmöglichkeit des Knickens, Brechens oder Platzens angeführt. Die Schläuche können auch mit innerer Metallauskleidung hergestellt werden. *B.*

*Neue Apparate*⁴⁾. Apparate aus Silber. W. C. Heräus

¹⁾ Chemikerzeit. 18. 2018

²⁾ Pharm. Centr.-H. 35. 273—274. —

³⁾ Chemikerzeit. 18. 840. — ⁴⁾ Dasselbst, S. 1997.

hat eine Methode ausgearbeitet, nach welcher Silber ohne Loth dicht verbunden werden kann. Es werden so Silberkessel von 1 ehm Inhalt, Druckbirnen von 250 Liter Inhalt, Heizschlangen, die bei 40 m Länge mit 6 bis 7 Atm. seit Monaten im Betrieb sind, hergestellt.

B.

C. Bohn. Ein bequemer Heberansauger und eine Vorrichtung zur sicheren Uebertragung selbst der kleinsten Tröpfchen¹⁾. — Um das Ansaugen der Heber mit dem Munde zu vermeiden, verbindet Verfasser das Saugende des Hebers mittelst eines kegelförmigen Kautschukrohres, um die Anwendung des Apparates für alle Rohrweiten zu ermöglichen, mit einem Kälbchen, dessen seitliches Ansatzrohr einen Kautschukdruckballon trägt. Durch Zusammendrücken des Ballons preßt man Luft aus dem Heber und beim Nachlassen des Druckes wird der Heber angesaugt. Man entfernt jetzt Kälbchen mit Ballon und Verbindungsschlauch und der Heber fließt mit seiner vollen Stärke. Man kann das Kälbchen auch durch ein T-Rohr ersetzen, dessen wagerechter Arm den Ballon trägt, man verschließt die untere Oeffnung beim Ansaugen mit dem Finger, hat aber um so mehr zu beobachten, daß keine Flüssigkeit in den Ballon gelangt. Um kleine Mengen Flüssigkeit, wie zersprengte Quecksilbertropfen u. s. w., zu übertragen, verbindet man den Druckballon mit einer Kugelröhre, deren Ende zu einer feinen Spitze ausgezogen und rechtwinklig umgebogen ist. Preßt man Luft aus dem Apparat, so wird, wenn man den Druck aufhebt und die Spitze dem aufzuhebenden Tropfen nähert, letzterer mit großer Kraft in die Spitze und somit in die Röhre hineingezogen.

B.

Peters und Rost. Korkpresse²⁾. — Da bei den gewöhnlichen Korkpressen der Kork nur gepreßt wird, wodurch er leicht zerdrückt wird, construirt Verfasser einen Apparat, mit dem der Kork gepreßt und gleichzeitig gerollt wird. Es wird dies erreicht dadurch, daß um ein feststehendes Rad ein anderes nur halb ausgeführtes mit einer Handhabe excentrisch herumgeführt wird. Die Räder haben Riefen und der zwischen die Räder gebrachte Kork wird durch die Bewegung des Halbrades gerollt und gleichzeitig gepreßt.

B.

A. Winkelmann und O. Schott. Einige Beobachtungen mit einem neuen Gerätheglas³⁾. — Ein von den Verfassern hergestelltes neues Gerätheglas ist so widerstandsfähig gegen Temperatur-

¹⁾ Chemikerzeit. 18. 1278. — ²⁾ Dasselbst. S. 2042. — ³⁾ Zeitschr. Instrumentenk. 1894; Ref. Chem. Centr. 65. I, 881—882.

wechsel, daß Kolben oder Bechergläser etc. hieraus ohne Drahtnetz in einem starken Bunsenbrenner oder Fletchergebläsebrenner erhitzt werden können. Durch Anwendung dieser Gefäße wird 1 Liter Wasser in dreieinhalb bis vier Minuten zum Sieden gebracht, was eine Zeitersparnis von 60 Proc. und einen Minderverbrauch von Gas um 58 Proc. bedeutet. Es wird von chemischen Reagentien bedeutend weniger angegriffen als das böhmische Apparatenglas. Gegen Wasser von gewöhnlicher Temperatur ist es vier- bis fünfmal, bei 80° elf- bis zwölfmal, gegen Alkalicarbonat dreimal widerstandsfähiger. Der Preis ist ca. doppelt so hoch wie der des böhmischen Kaliglasses. Die Gläser sind bei Max Kaehler und Martini in Berlin zu beziehen. *B.*

Alexander v. Kallecsinszky. Ueber die Aufbewahrung reiner alkalischer Lösungen¹⁾. — Für alkalische Lösungen, welche das Glas und Porcellan angreifen, schlägt Verfasser zur Aufbewahrung einen Metallbecher vor, der aus sehr dünnem Platin- bzw. Silberblech gefertigt ist und in eine cylindrische Glasflasche, deren Boden sich abschrauben läßt, eingepaßt ist. Die Mündung der Flasche ist wie bei jeder Spritzflasche mit einem doppelt durchbohrten Kork verschlossen, durch dessen eine Bohrung eine Platin- bzw. Silberöhre eingesetzt ist. Der Gebrauch der Flasche ist wie der jeder gewöhnlichen Spritzflasche. *Tr.*

(Glasätzflüssigkeit²⁾). — 36 g Fluornatrium werden in 500 ccm Wasser gelöst und 7 g Kaliumsulfat hinzugefügt; außerdem 14 g Chlorzink in 500 ccm Wasser und 65 g concentrirte Salzsäure. Diese beiden Flüssigkeiten werden nach Bedarf zu gleichen Theilen in einem ausgehöhlten Paraffinwürfel unter Zusatz von etwas chinesischer Tusche, um die Schriftzüge sichtbar zu machen, zusammen gemischt. Diese Glasätzfarbe besitzt den Vorzug, daß sie nicht anläuft, und selbst die feinsten Striche in ihrer Stärke bestehen bleiben. *B.*

Vorlesungsversuche.

H. N. Warren. Ein elektrischer Ofen für den Vorlesungstisch³⁾. — Die Reduction der schwer schmelzbaren Erden und die Darstellung kleiner Mengen ihrer Legirungen nimmt Verfasser in einem elektrischen Ofen vor, der aus einem Mantel von feuerfestem Material besteht, in dessen Boden ein Hohlcylinder aus Graphit eingesetzt ist, während durch den Deckel ein Stab aus

¹⁾ Zeitschr. anorg. Chem. 7, 384—385. — ²⁾ Centr.-Ztg. Optik u. Mech. 15, 57. Zeitschr. physik. u. chem. Unterr. 7, 304. — ³⁾ Chem. News 70, 235.

Graphit eingeführt ist, der so gestellt werden kann, daß der Lichtbogen die in der Höhlung befindliche Substanz trifft. Mit dem Ofen ist eine kleine Pfanne verbunden, in der ebenfalls ein Lichtbogen erzeugt werden kann zur Reduction von Mineralien, welche sehr fein gepulvert, mit Pyroxylin zu dünnen Stäbchen geformt und so zwischen die Kohlenspitzen gebracht werden. *B.*

Max Rosenfeld. Vorlesungsversuche¹⁾. — 1. Temperaturveränderung beim Auflösen. Um die Temperaturveränderung zu demonstrieren, die beim Auflösen einer Substanz in einem Lösungsmittel auftritt, benutzt Verfasser einen Apparat, der aus einem weithalsigen Pulverglas besteht, in welchem sich ein kleines Präparatenglas befindet. Das Pulverglas ist durch einen Kork mit zwei Glasröhren verschlossen, von denen die eine durch ein Stückchen Kautschukschlauch mit Quetschhahn verschlossen ist, die andere durch einen längeren Schlauch mit dem zweiten Theile des Apparates verbunden ist. Letzterer ist ein Pulverglas, durch dessen Korkverschluss zwei 70 bis 80 cm lange Glasröhren bis ungefähr auf den Boden des Glases ragen, welche letzteres mit einer deutlich sichtbaren gefärbten Flüssigkeit gefüllt ist. Der Kautschukschlauch steht mit einer dieser Röhren in Verbindung. Bringt man in das erste Pulverglas das Lösungsmittel, in das Präparatenglaschen die zu lösende Substanz, verschließt den Apparat, stellt durch den Quetschhahn den Druck im Innern ins Gleichgewicht und bringt die Substanz mit dem Lösungsmittel in Berührung. So zeigt sich die Erwärmung oder Abkühlung durch Steigen der gefärbten Flüssigkeit in der einen oder anderen Röhre sofort an.

2. Ueber das Brennen von Luft in Leuchtgas. Die Versuche werden mit dem von J. Habermann²⁾ angegebenen Apparate ausgeführt. Derselbe besteht aus einem Bunsenbrenner mit guter Luftregulirung, auf den mit einem Kork ein Lampencylinder aufgesetzt ist. Durch den Kork führt noch ein kleines Metallrohrchen. Man zündet bei abgeschlossener Luftregulirung den Gasstrom an der oberen Mündung des Lampencylinders an, dreht den Gasstrom ein, bis die Flamme unter Explosion in den Cylinder hineinschlägt und öffnet dann schnell den Gashahn wieder. Es erscheint sofort die farblose Luftflamme an der inneren Mündung des Metallrohrchens. Öffnet man die Luftregulirung des Brenners, so wandert die Luftflamme auf den Brenner über, und es erscheint nach kurzer Zeit über dem Lampencylinder freischwebend eine

¹⁾ Zeitschr. physik u. chem. Unterr. 7, 126—128. Ref.: Chem. Centr. 63, 1, 760. — ²⁾ JB. f. 1892, S. 493.

zweite farblose Flamme. Die Regulirung derselben hat man in der des Gashahnes vollständig in der Gewalt. Durch Abschluss der Luftregulirung des Brenners geht die Luftflamme wieder auf das Metallröhrchen über. Man kann das Zurückschlagen der Flamme in den Glaseylinder auch dadurch bewirken, dass man durch das Metallröhrchen mit Hilfe eines Glasröhrchens einen kurzen heftigen Luftstrom genau vertical durch den Cylindcr hindurchbläst. Die weiteren Erscheinungen verlaufen genau wie oben. B.

Lothar Meyer. Elektrolyse der Salzsäure als Vorlesungsversuch¹⁾. — Den bei der Elektrolyse der Salzsäure bestehenden Uebelstand, dass die Volume Chlor und Wasserstoff nicht gleich sind, sucht Verfasser dadurch zu verhindern, dass die Gase, bevor sie aufgefangen werden, nicht durch eine hohe Flüssigkeitssäule hindurchtreten müssen, wie es in folgendem Apparat vorgesehen ist. In die unteren Oeffnungen eines H-Rohres sind mit Kautschukschläuchen und Glasröhren Kohleelektroden eingesetzt, über welchen sich nur wenig concentrirte Salzsäure befindet. In die oberen Oeffnungen des H-Rohres sind rechtwinklig gebogene Glasröhren eingesetzt, welche in der Mitte des horizontalen Theiles Dreiweghähne enthalten, durch welche die beiden Arme des Entwicklungsgefäßes entweder mit der Atmosphäre oder mit den unter den Hähnen angeschmolzenen verticalen Eudiometerrohren verbunden werden können. Die beiden Eudiometerrohren sind unten offen und stehen in Glasschalen, die einerseits mit Chlorwasser, andererseits mit reinem Wasser gefüllt sind. Durch Ansaugen werden die Eudiometerrohren mit den betreffenden Flüssigkeiten gefüllt, der Strom angestellt, wobei man die Gase bis zur Sättigung der Salzsäure mit Chlor in die Luft leitet; dann werden die Hähne so gestellt, dass die Entwicklungsgefäße mit den Eudiometerrohren communiciren. Nach Füllung der Röhren mit Gas werden die Hähne wieder verstellt und man hat dann in beiden Schenkeln gleiche Volume. Der Apparat ist bei Gustav Heerlein in Tübingen zu beziehen. B.

Alexander Gunn. Eine neue Reaction zur Illustration der Dissociationserscheinung²⁾. — Fügt man zu einer verdünnten wässrigen Zinksulfatlösung tropfenweise Ammoniak bis zur Wiederauflösung des Niederschlages, dann zwei Tropfen im Ueberschuß, so erhält man eine Flüssigkeit, die bei geringer Erwärmung sich sehr stark trübt, beim Abkühlen aber sofort wieder klar wird.

¹⁾ Ber. 27, 860—863. — ²⁾ Chem. News 70, 223.

Diese Erscheinung ist nur auf eine Dissociation der Zinksulfat-ammoniakverbindung zurückzuführen, da der Niederschlag beim Erwärmen momentan entsteht, beim Abkühlen vollständig wieder verschwindet. Bläst man durch die ammoniakalische Lösung Luft bis zur Vertreibung des freien Ammoniaks, so fällt ein körniger ammoniakhaltiger Niederschlag aus. Ein ammoniakfreier Niederschlag fällt nach starkem Kochen der Lösung aus. Kühlt man die Flüssigkeit mit dem Niederschlage ab, so kehrt sie in ihren ursprünglichen Zustand zurück.

B.

Robert Lüpke. Versuche zur Veranschaulichung der neueren Theorie der Elektrolyse ¹⁾. — Die Entstehung des galvanischen Stromes bei der Combination von Leitern erster und zweiter Classe wird durch die Contacttheorie und chemische Theorie nur ungenügend erklärt. Erst durch die osmotische Theorie von Nernst vom Jahre 1889, die sich auf den Theorien der Stromleitung von Helmholtz, der elektrolytischen Dissociation von Arrhenius und der Lösungen von van't Hoff aufbaut, ist dies in befriedigender Weise gelungen. Um diese Theorien zu demonstrieren, werden folgende Versuche ausgeführt. I. Einige elektrolytische Versuche. Elektrolyse des Magnesiumchlorids. Als Elektrolyt verwendet man das Kaliummagnesiumchlorid, das man durch Eindampfen von Lösungen von 20 g Magnesiumchlorid, von 75 g Kaliumchlorid unter Zusatz von 3 g Chlorammonium und Schmelzen des Rückstandes erhält. Die geschmolzene Masse wird in den Kopf einer vorher erwärmten Thonpfeife gegossen, durch dessen Stiel eine Stricknadel als Kathode eingeführt ist, während ein Kohlestab als Anode dient. Man elektrolysiert mit dem Strom von fünf Accumulatoren, wobei der Pfeifenkopf mit einer Flamme gerade weiter erhitzt wird. Das Chlor läßt sich in der Nähe der Anode durch feuchtes Lackmuspapier leicht nachweisen. Das Magnesium verbrennt zum Theil an der Oberfläche, man kann es aber durch eine Schicht feinen Holzkohlenpulvers gegen die Luft schützen. Nach einem Stromdurchgang von 20 Minuten läßt man erkalten und erhält beim Zerschlagen der Masse das Metall in Gestalt von glänzenden, silberweißen Kügelchen, die, in einer Kupferdrahtschlinge erhitzt, mit blendendem Licht verbrennen. Die Elektrolyse von Aluminiumchlorid verläuft in derselben Weise. Den Elektrolyten erhält man nach V. Meyer's Methode durch Erhitzen von Aluminiumspänen in einem Strom von trockenem Salzsäuregas. Das sublimirte Aluminiumchlorid wird in geschmolzenes

¹⁾ Zeitschr. physik. u. chem. Unterr. 8, 10—22.

Chlorkalium eingetragen, und die Masse auf einem Porcellanschalen ausgegossen. Das Doppelsalz hält sich sehr gut. Der Versuch entspricht dem technischen Verfahren der Aluminiumgewinnung mit dem Unterschiede, daß Kryolith der Elektrolyse unterworfen wird. Analog verläuft die Elektrolyse von geschmolzenem Bleichlorid. Schon nach einem Stromdurchgange von zehn Minuten erhält man genügende Mengen metallischen Bleies. Zur Elektrolyse von geschmolzenem Aetzkali bringt man in eine Platinschale Quecksilber und schmilzt über diesem das Aetzkali. Man macht die Schale zur Kathode und ein Platinblech zur Anode und elektrolysiert mit dem Strome von fünf Accumulatoren. Nach einer halben Stunde hat man festes Amalgam. Wie aus geschmolzenem Bleichlorid, so erhält man aus einer concentrirten wässerigen Zinkchloridlösung ebenfalls direct Metall und Chlor. Die Elektrolyse wird in einem U-Rohr ausgeführt, das unten zu einer Kugel erweitert ist. Die Platinelektroden sind in die Schenkel eingeschmolzen. Nach dem Durchgang des Stromes von zehn Accumulatoren während 20 Minuten ist die Kugel mit langen Zinkkrystallen erfüllt. Bei verdünnten Metallsalzlösungen und Anwendung einer Anode aus dem in Lösung befindlichen Metall wird diese durch das Chlor aufgelöst. Eine besonders schöne Ausscheidung erhält man bei folgender Versuchsanordnung. In einen Glascylinder von ca. 2 Liter Inhalt führt man von unten einen Kupferdraht ein mit angelegener 7 cm breiter Zinnanode. Von oben einen eben solchen Draht mit angelötheter Kupferschale. Den Elektrolyten erhält man durch Auflösen von 65 g Stanniol in Salzsäure, Verdampfen der überschüssigen Säure und Verdünnen der Flüssigkeit auf ca. 1,5 Liter. Der elektrische Strom, der zur Zerlegung verwandt wird, darf keinen Wasserstoff zur Abscheidung bringen. Das Zinn scheidet sich sofort in baumartig verzweigten, glänzenden Streifen aus, die bald von der Kathode abfallen, um anderen Platz zu machen. Bei der Elektrolyse der Salzsäure sind beide Ionen direct und deutlich erkennbar zu machen. In einem Hofmann'schen Apparat mit Kohlelektroden zerlegt man ein Gemisch von 10 Thln. Salzsäure von der Dichte 1,125 und 150 Thln. einer Chlorcalciumlösung von der Dichte 1,36 durch einen Strom von fünf Accumulatoren während 50 Minuten bei offenen Hähnen. Schließt man nun, so erhält man in den Schenkeln gleiche Raumtheile von Chlor und Wasserstoff. Bei den bisherigen Versuchen gelangten die Bestandtheile der Elektrolyte unmittelbar zur Abscheidung. Bei anderen treten an den Elektroden noch secundäre Reactionen zwischen den Ionen

und den Elektroden, oder zwischen den Ionen und dem Elektrolyten oder dem Wasser, oder zwischen den Ionen selbst auf, und es gelangen erst die Producte dieser zur freien Abscheidung. Läßt man zum Beispiel in einer concentrirten Kupfersulfatlösung den Strom zwischen einer Silberkathode und Kupferanode übergehen, so überzieht sich die Kathode mit einer rothen Kupferschicht, während die Anode an Gewicht abnimmt. Bei Anwendung einer Platinanode scheidet sich an dieser Sauerstoff ab, indem das primär entstandene SO_4 -Ion sich mit dem Wasserstoff des Wassers zu Schwefelsäure vereinigt und Sauerstoff in Freiheit gesetzt wird, während vorher das SO_4 -Ion sich mit dem Kupfer der Anode zu löslichem Kupfersulfat vereinigte. Diese Reactionen eignen sich zur Darstellung von Sauerstoff und Wasserstoff in getrennten Apparaten, in denen einmal Kupfersulfat, das andere Mal verdünnte Schwefelsäure mit je einer Kupfer- und Platinelektrode zerlegt wird. Nicht anders verhalten sich die Sauerstoffsalze der Alkalimetalle bei der Elektrolyse, bei welcher ebenfalls primär das Metall und der Säurerest entsteht. Nun wirkt das Alkalimetall und der Säurerest secundär auf das Wasser ein und es resultirt Wasserstoff und Sauerstoff. Dafs thatsächlich primär Metall gebildet wird, läßt sich leicht dadurch nachweisen, dafs sich bei Anwendung einer Kathode aus Quecksilber ein Amalgam bildet, welches erst später bei Berührung mit Wasser Wasserstoff entwickelt. Das Wasser selbst wird durch den Strom niemals primär zerlegt, da es in vollkommenster Reinheit Nichtelektrolyt ist; eine Zerlegung findet nur statt auf Zusatz von Schwefelsäure, deren Ionen in secundärer Reaction Wasserstoff und Sauerstoff liefern. Bei Anwendung von 1 Vol. Schwefelsäure auf 5 Vol. Wasser und hoher Stromdichte entsteht Ozon nach den Gleichungen $6\text{H} - \text{HSO}_4 = 6\text{H} + 6\text{HSO}_4$, $6\text{HSO}_4 + 3\text{H}_2\text{O} = 3\text{H}_2\text{SO}_4 + \text{O}$. Man erhält einen ozonreichen Sauerstoffstrom bei Anwendung folgender Apparate: In einen Standcylinder ist ein zweiter engerer, unten offener Cylinder luftdicht eingesetzt und selbst gasdicht verschlossen. In jeden Cylinder ragt eine drahtformige Platinelektrode und ein Gasentbindungsrohr. Elektrolysiert man in diesem Apparate obige Schwefelsäure mit dem Strome von fünf Accumulatoren, so entweicht aus dem Entbindungsrohr des inneren Cylinders Wasserstoff, aus dem des äußeren stark ozonhaltiger Sauerstoff, mit dem man die für Ozon charakteristischen Reactionen ausführen kann. Die Darstellung des Chlorstickstoffs durch Elektrolyse einer concentrirten Salmiaklösung beruht ebenfalls auf einer secundären Reaction nach der Gleichung $\text{Cl}_2 + \text{NH}_4\text{Cl} = \text{NCl}_3 + 4\text{HCl}$.

Nicht anders erklärt sich die Bildung von Bleisuperoxyd bei der Elektrolyse einer alkalischen Bleilösung in einer unten mit einem Tubus versehenen Glasschale, in welche man eine Platinscheibe als Anode einhängt. Als Kathode dient ein durch den Tubus eingeführter Eisendraht, als Elektrolyt eine 5 proc. Bleinitratlösung, die mit dem gleichen Volumen Normalnatronlauge versetzt ist. Bei Anwendung von einem Accumulator erhält man schon nach 15 Sekunden farbige Ringe von Bleisuperoxyd. Noch besser ist die Erscheinung bei Anwendung von Mangansulfat. Die bei der galvanischen Versilberung stattfindende Reaction läßt sich nach Hittorf durch folgende Gleichungen darstellen: $K_2Ag_2O_2$ zerfällt in $K + AgCy_2$, $K + KAgCy_2 = 2KCy + Ag$, $Ag(O_2) + Ag(Anode) + 2KCy = 2KAgCy_2$. Die secundäre Auscheidung des Silbers an der Kathode bewirkt die Gleichförmigkeit des Niederschlages, da primär ausgeschiedenes Silber sich in nadelförmigen Krystallen ansetzt. Bei der Elektrolyse von Ferricyankalium entsteht im Anodenraum Berlinerblau, an der Kathode Wasserstoff, was Hittorf durch folgende Reactionsgleichungen erklärt: K_4FeCy_6 zerfällt in $K_4 + FeCy_6$; $K_4 + 4H_2O = 4KOH + 4H$, $FeCy_6 + 2H_2O = H_4FeCy_6 + O_2$, und $7H_4FeCy_6 + O_2 = 24HCy + (Fe_2)_3(FeCy_6)_3 + 2H_2O$. Ein weiteres Beispiel der secundären Reaction ist die Bildung von Aethan und Wasserstoff bei der Elektrolyse einer concentrirten Lösung von Natriumacetat. Das Salz zerfällt primär in $Na + CH_3COO$. Dann erfolgt secundär $Na + H_2O = NaOH + H$ und $2CH_3COO = C_2H_6 + 2CO_2$. Als Apparat dient ein Standcylinder mit Thondiaphragma, die beide gasdicht verschlossen sind. Beide sind mit Gasentbindungsröhren versehen, außerdem sind im Thoncylinder eine Platinelektrode und im Glascylinder ein Kupferblech als Kathode vorhanden. Die Gase werden, nachdem sie durch Wasser resp. Barytwasser gewaschen sind, über der pneumatischen Wanne aufgefangen. Als Polsucher wird ein kleiner Apparat empfohlen, dessen Wirkung ebenfalls auf einer secundären Reaction beruht. In einer kleinen Zersetzungszelle mit getrennten Elektrodenräumen wird zwischen ringförmigen Platinelektroden Kochsalzlösung, die mit einer geringen Menge von Phenolphthalein in Alkohol versetzt ist, durch den Strom zerlegt. Die Rothfärbung des Indicators in einem der Elektrodenräume zeigt die Anwesenheit von freiem Alkali und somit den negativen Pol an.

2. Das Faraday'sche Gesetz. Zur Demonstration des Faraday'schen Gesetzes, daß derselbe Strom in den verschiedenen Elektrolyten gleich viel Valenzen frei macht oder

sie in andere Combinationen überführt, verfährt Verfasser wie folgt: Derselbe Strom von fünf Zellen wird durch einen Hofmann'schen Wasserzersetzungsgapparat und vier Tröge mit Silberlösung, Kupferchlorürlösung, Kupfersulfatlosung und Zinnchloridlosung sämmtlich von bestimmter Concentration hindurchgeschickt, und die auf den gewogenen Platinkathoden niedergeschlagenen Metalle gewogen. Es werden äquivalente Mengen erhalten. Auf diese Versuche baute Helmholtz seine elektrochemische Theorie auf, nach welcher jeder Valenzwerth eines elementaren oder zusammengesetzten Ions mit der nämlichen positiven oder negativen Elektricitätsmenge, die gleichsam wie ein elektrisches Atom sich nicht weiter theilen läßt, geladen ist. Durch diese Annahme erklärt sich dann leicht die Elektricitätsleitung in Leitern zweiter Classe und die qualitativen und quantitativen Verhältnisse bei derselben. B.

L. Bleekrode. Einige Experimente mit fester Kohlensäure¹⁾. — Verfasser erhielt die feste Kohlensäure nach dem von Bianchi vorgeschlagenen Verfahren mit Hilfe eines Tuchbentels und preßte das lockere Pulver, um eine längere Haltbarkeit zu erzielen, durch starken Druck zusammen; er erhielt so durchscheinende Stücke der Substanz, für welche er das spec. Gew. 1,3 bis 1,6 ermittelte. Die schon von Riess und Joly beobachteten elektrischen Erscheinungen wurden auch hier erhalten und konnten bei dem ausströmenden Gase und bei der festen Substanz mit einem Goldblattelektroskop nachgewiesen werden. Verfasser glaubt das Entstehen von Elektricität auf Partikelehen der festen Kohlensäure in dem Gase in Berührung mit den Ausströmungsöffnungen zurückführen zu müssen. Die dem Verdichtungsbeutel entnommene feste Substanz, mit einem Elektroskop in Berührung gebracht, giebt eine starke negative Ladung ab, welche unter dem Recipienten der Luftpumpe durch Evacuiren verringert, bei Zufuhr von Luft wieder verstärkt wird. Ein Stück der stark zusammengepreßten Substanz, mit der Hand oder einem Fuchsschwanz gerieben, nimmt sofort eine starke negative Ladung an. Ebenso wird beim Reiben mit einem Metallstabe das Metall positiv, die Kohlensäure negativ. Die von einem frisch bereiteten Stück fester Kohlensäure angezeigte Ladung beträgt wenigstens 200 Volts. Wenn die Substanz einige Zeit an der Luft gelegen hat, zeigt das Elektroskop zunächst keine Ladung an, bleibt dieselbe aber einige Zeit in Berührung mit dem Instrument und wird dann entfernt, so ist das Instrument geladen, was Verfasser dem Strom gasförmiger Kohlen-

¹⁾ Phil. Mag. 38, 81—89.

säure zuschreibt, die an der Berührungsfläche entwickelt wird und beim Entweichen die entgegengesetzte Ladung des Instruments mit fortführt. Dafs die Erscheinung nach einiger Zeit anfhört, erklärt sich durch den Einflufs der Luftfeuchtigkeit oder dadurch, dafs die Elektroskopplatte zu kalt wird, um Gas zu entwickeln. Durch eine starke Gasentwicklung an der Berührungsstelle von Metall und stark zusammengeprefster fester Kohlensäure entsteht auch, wenn das Metall in einer glatten dünnen Scheibe angewandt wird, ein lauter Ton, indem das Gas nur an den besten Berührungsstellen entwickelt wird, hier schlecht entweichen kann und so in Vibration versetzt wird und den Ton erzeugt. Wird eine sehr dünne runde Kupferplatte auf ein solches Stück Kohlensäure gelegt, so geräth das Metall mit in Schwingungen und der Ton wird verstärkt. Es ist jedoch nothwendig, dafs die feste Kohlensäure sehr stark zusammengeprefst ist, weil sonst das Gas durch die Poren derselben entweicht. Wie Kupfer verhält sich auch Silber, Eisen, Aluminium und Blei, ferner Quarz und Steinsalz. Keinen Ton geben Wismuth, Kohle und Holz. Dieselben Versuche lassen sich bei höherer Temperatur auch mit anderen Substanzen anstellen, welche starke Verdunstung zeigen, wie Quecksilberchlorid, Campher und besonders Salmiak. Um Quecksilber, das durch feste Kohlensäure und Aether sehr schnell zu einer compacten Masse erstarrt, krystallisirt zu erhalten, wählte Verfasser folgenden Weg. In eine kleine, aus fester Kohlensäure geprefste Schale wurde Quecksilber gegeben, wobei zunächst durch die verdampfende Kohlensäure ein lauter Ton entsteht, das Quecksilber jedoch nicht sofort erstarrt, weil die Gashülle die Wärme des Metalls nur langsam ableitet. Nachdem die Vibrationen aufgehört haben, giefst man den flüssigen Inhalt aus und hat nun ein sehr dünnes Gefafs aus erstarrtem Quecksilber, in dessen Hohlraum mehrere centimeterlange, farnblattähnliche Krystalle von Quecksilber hineinragen. Einige Versuche, die Dewar mit flüssiger Luft ausführt, gestalten sich für Kohlendioxyd wie folgt. Von drei Glasgefäfsen von gleicher Gestalt und Gröfse ist das erste mit einem Luftmantel, das zweite mit einem evacuirten Mantel, das dritte mit einem doppelten derartigen Mantel umgeben. Bringt man in alle drei ein Gemisch aus fester Kohlensäure und Aether, so überzieht sich das erste mit Reif, das zweite mit einem leichten Feuchtigkeitshauch, das dritte bleibt klar. Ersetzt man die Luft im Mantel des ersten Gefäfses durch Wasserstoff oder Kohlendioxyd, so ergibt sich, dafs Wasserstoff ein bedeutend viel gröfseres Leitungs- und Strahlungsvermögen besitzt als Kohlendioxyd und

letzteres ein etwas grösseres als Luft. Zu demselben Schluss gelangt Verfasser dadurch, daß er verschiedene Glühlampen, die von demselben Strom gespeist werden, mit verschiedenen Gasen füllt und auswendig an denselben kleine Phosphorstückchen anbringt. Zuerst brennt der Phosphor an der Kohlendioxydlampe, welche nur schwach glüht, dann bei der mit Leuchtgas gefüllten, deren Faden dunkel, dann bei der mit Wasserstoff gefüllten, bei welcher der Faden ebenfalls dunkel. Die Vacuumlampe leuchtet hell, der Phosphor entzündet sich nicht, da die dunkeln Wärmestrahlen im Vacuum nicht geleitet werden und der ganze Strom in Licht verwandelt wird. Verfasser glaubt, daß durch starke Abkühlung, durch welche die Leitfähigkeit der auch in der Vacuumlampe noch vorhandenen Luftpartikel noch vermindert wird, die Leuchtkraft einer solchen Lampe noch erhöht oder dieselbe Leuchtkraft mit weniger elektrischer Energie erreicht wird.

B.

Lothar Meyer. Ueber Acetylen, eine Warnung¹⁾. — Im Gegensatz zu anderen brennbaren Gasen, welche mit Sauerstoff gemischt in Gefäßen mit weitem Hals ohne Gefahr zur Explosion gebracht werden können, darf dieses Experiment mit Acetylgemischen nicht ausgeführt werden, da nach den Erfahrungen des Verfassers regelmäßig die, wenn auch noch so starken, Cylinder zertrümmert werden. Schon bei einem Drucke von 32 mm Quecksilber erfolgt Entzündung²⁾, während bei Wasserstoffknallgas mindestens 100, bei Kohlenoxyd mindestens 200 mm notwendig sind. Die Geschwindigkeit, mit welcher sich die Explosion in Acetylenknallgas fortpflanzt, ist nach Berthelot und Dixon³⁾ kleiner als im Wasserstoffknallgas. Dagegen ist die theoretische Verbrennungstemperatur viel höher als bei Aethylen und es wurde, da auf 2 Vol. Kohlensäure beim Aethylen 2, beim Acetylen 1 Vol. Wasserdampf kommt, und die Kohlensäure erst bei höherer Temperatur dissociirt wird als Wasserdampf, die Verbrennung des Acetylens erst bei höherer Temperatur zum Stillstand kommen als die des Aethylens, wodurch sich vielleicht die größere Explosivität des Acetylens erklären läßt.

B.

Friedrich Brandstätter. Versuche mit Aether⁴⁾. — I. Schwere des Aetherdampfes. Um das hohe specifische Gewicht des Aetherdampfes zu zeigen, füllt Verfasser ein ca. 30 cm fassendes Pulverglas zur Hälfte mit Aether und verschließt das-

¹⁾ Ber. 27, 2764–2765. — ²⁾ Ann. Chem. 226, 95. — ³⁾ Phil. Trans. 184, 110. — ⁴⁾ Zeitschr. physik. u. chem. Unterr. 7, 183–185.

selbe durch einen Kork, der ein kurzes, dicht unter demselben mündendes Glasrohr trägt und ein längeres S-förmig gebogenes dessen Ende im Inneren dicht über dem Niveau des Aethers anführt, während das andere Ende außerhalb der Flasche 6 bis 5 cm unterhalb demselben zu stehen kommt. Das S-förmige Rohr wirkt so gleichsam als Heber für den Aetherdampf, welcher zu dem tieferen Ende der Rohre abfließt und hier ohne Gefahr entzündet werden kann. Der Zutritt der Luft zu der Flasche erhöht die Gefahr nicht, bewirkt nur lebhaftere Verdunstung des Aethers und Vergrößerung des Flämmchens. Noch deutlicher wird die Erscheinung, wenn man zwei solcher Gläser, jedes mit einem kurzen geraden und einem längeren, rechtwinklig umgebogenen, dicht über dem Niveau des Aethers mündenden Glasrohr, durch einen längeren Kautschukschlauch verbindet. Bringt man die Flaschen in ein verschiedenes Niveau, so fließt der Aetherdampf von der höheren zur niedrigeren und kann an dem kurzen Röhrchen derselben entzündet werden. Beim Heben des tieferen Gefäßes wird das Flämmchen kleiner und erlischt, wenn beide Flaschen im gleichen Niveau stehen. Bei weiterem Heben kann das Flämmchen an der kurzen Röhre der anderen Flasche entzündet werden. 2. Verdunstungskälte des Aethers. Zur Demonstration derselben überschichtet Verfasser in einem starkwandigen Reagensglase 5 cm Wasser mit 7 cm Aether und verschließt dasselbe mit einem dreifach durchbohrten Kork, welcher ein 10 cm auf den Boden des Reagensglases reichendes Glasrohr, ein Thermometer und ein dicht unter dem Kork endigendes, nach oben zweimal rechtwinklig umgebogenes Glasrohr mit Specksteinbrenner trägt. Leitet man aus einem Gasometer oder Gebläse einen lebhaften Luftstrom durch das Wasser und den Aether, so verdunstet der Aether schnell und der Dampf kann an dem Brenner ohne Gefahr angezündet werden. Das Thermometer zeigt hierbei bald Temperaturen unter 0° an, bei -7 bis -8° erstarrt plötzlich das ganze Wasser und die Flamme, die im Laufe der Zeit immer kleiner wurde, erlischt. B.

W. A. Noyes. Quantitative Arbeiten für das Anfangsstadium der Chemie¹⁾. — Bezüglich der Arbeiten, die in chemischen Lehrinstituten von den jungen Chemikern ausgeführt werden, schlägt Verfasser vor, die Ausführung von qualitativen Analysen nicht allzusehr in den Vordergrund zu rücken, sondern es mit der genauen Ausführung einiger typischen Arbeitsmethoden bewenden

¹⁾ Amer. Chem. Soc. J. 16, 59—62.

und specielle Methoden nach Lehrbüchern studiren zu lassen, viel größeren Werth dagegen auf quantitative Arbeiten zu legen, weil diese hauptsächlich für wissenschaftliche und technische Laboratorien, sowie für die Darstellung chemischer Präparate in Betracht kommen. Als besonders instructive Beispiele werden angeführt: Die Bestimmung des Gewichtes von 1 Liter Wasserstoff nach Regnault's Methode, von 1 Liter Sauerstoff, die Bestimmung der Menge Sauerstoff im chlorsauren Kali, der Nachweis des Gesetzes der constanten Proportionen, die Berechnung der Menge chlorsauren Kalis, welche ein gegebenes Volumen Sauerstoff liefert und die Ausführung des Experiments, die Trennung des Perchlorats von Chlorat und Reinigung des ersteren, das Studium der charakteristischen Eigenschaften des Perchlorats, Chlorats und Chlorids und Prüfung ihrer Reinheit, die Bestimmung des relativen Atomgewichts von Wasserstoff, Chlor und Silber. Durch derartige Aufgaben sollen die Arbeiten des Lernenden wirkliche chemische Arbeiten und keine Spielerei mit Apparaten werden, und die Resultate für den Lehrenden ein Kriterium für die Sorgfalt, mit welcher der Schüler seine Aufgaben auffaßt.

B.

Metalloide.

Wasserstoff, Sauerstoff.

J. Thomsen. Experimentelle Untersuchung zur Feststellung des Verhältnisses zwischen den Atomgewichten des Wasserstoffs und Sauerstoffs¹⁾. — Der Verfasser bestimmt das Atomgewicht des Wasserstoffs indirect aus dem Verhältniß der Molekulargewichte von Chlorwasserstoff und Ammoniak nach folgenden Gleichungen:

$$\frac{\text{NH}_3}{\text{HCl}} = r; \quad \text{H} = \frac{r\text{Cl} - \text{N}}{3 - r},$$

wora r das besagte Verhältniß bedeutet, während die übrigen Buchstaben die Symbole der Elemente sind. In ein kleines Absorptionsgefäß voll Wasser, durch Lackmus gefärbt, wurde trockener Chlorwasserstoff geschickt und dessen Gewicht bestimmt. Dann wurde mit trockenem Ammoniakgas neutralisirt und das Gewicht des Ammoniaks ermittelt. Das Absorptionsgefäß war eine Kochflasche mit einem verjüngten Gaszuleitungsrohr und einem Chlor-

¹⁾ Zeitschr. physik. Chem. 13, 393–406.

calciumrohr. Der Chlorwasserstoff wurde aus Kochsalz und concentrirter Schwefelsäure gewonnen. Das Ammoniak wurde in der von Stas beschriebenen Weise aus Ammonsulfat gewonnen. Die Schärfe des Neutralisirens mit Lackmus als Indicator wurde durch eine aus neutralem Salmiak dargestellte Vergleichslösung geprüft und als sehr empfindlich befunden. Die erhaltenen Werthe sind:

$$\frac{\text{NH}_3}{\text{HCl}} = 0,467433 \pm 0,0000019 \text{ und } \frac{\text{HCl}}{\text{NH}_3} = 2,13934 \pm 0,00009.$$

Da für Chlor und Stickstoff folgende Zahlen vorliegen:

	Stas	Ostwald	van der Plaats
Cl . . .	35,457	35,4529	35,4565
N . . .	14,044	14,0410	14,0519
so ist: H . . .	0,9989	0,99946	0,9959

Das Verhältniß $\text{H}:\text{O}$ ist in den Grenzen der Genauigkeit der übrigen Atomgewichtsbestimmungen nach Thomsen also 1_{16} v. *lb.*

L. Meyer und K. Senbert. Ueber das Verhältniß der Atomgewichte des Wasserstoffs und des Sauerstoffs¹⁾. — Bei der sehr guten Uebereinstimmung der verschiedenen von Thomsen ausgeführten Versuche, in denen er das Verhältniß der Aequivalentgewichte von Ammoniak und Chlorwasserstoff bestimmte, muß, vorausgesetzt, daß sie keinen constanten, allen gemeinsamen Fehler enthalten, gefolgert werden, daß bislang das Aequivalentgewicht des Ammoniaks ein wenig zu groß oder das der Salzsäure zu klein angenommen wurde. Die von ihm ermittelten neuen Aequivalentgewichte benutzt Thomsen²⁾ zur Berechnung des Verhältnisses der Atomgewichte von Wasserstoff und Sauerstoff und findet es innerhalb der unvermeidlichen Fehlergrenzen zu $1:16$, während zahlreiche neuere Bestimmungen Werthe ergeben haben, die zwischen $15,88$ bis $15,96$ liegen. Gegen diese Verwerthung der Versuche erheben Verfasser principielle Bedenken. Um das Verhältniß $\text{O}:\text{H}$ nämlich bis auf eine Einheit der zweiten Decimale (d. i. der vierten Ziffer) festzustellen, darf der mögliche Fehler ein halbes Tausendstel des zu bestimmenden Werthes nicht überschreiten. Bei der von Thomsen gewählten indirecten Methode liegt die Unsicherheit, das ermittelte Verhältniß r als fehlerfrei angenommen, in den bei der Ausrechnung benutzten Zahlenwerthen der Atomgewichte von Chlor und Stickstoff, deren möglichen Einfluß Thomsen zuvor selbst erörtert, aber doch zu unterschätzen

¹⁾ Ber. 27, 2770—2773. — ²⁾ Vorstehendes Referat.

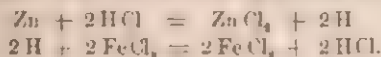
scheint. Thomsen berechnet das Atomgewicht des Wasserstoffs aus der Gleichung:

$$H = \frac{3Cl - N}{3 - r}$$

Die Zahlenwerthe der Atomgewichte Cl und N sind aber schon in der zweiten Decimale (vierten Ziffer) unsicher, folglich ist auch im Zähler des Bruches die zweite Decimale, d. h. die dritte Ziffer, unsicher und macht bei der Kleinheit der Differenz ein Fehler von einer Einheit in dieser Ziffer schon $\frac{1}{2}$ Proc. aus. Wie Verfasser zeigen, giebt ein Unterschied von einer halben Einheit der zweiten Decimale im Atomgewichte des Chlors und Stickstoffs Werthe, die um 0,6 Proc. verschieden sind. Die Schwierigkeiten einer sicheren experimentellen Entscheidung liegen darin, daß zur Erzielung einer die vierte Ziffer einschließenden Genauigkeit 110 bis 120 Liter Wasserstoff gewogen werden müssen. (Op.)

L. de Saint-Martin. Vorkommen von Wasserstoff und Methan in dem rückständigen Stickstoff des Blutes¹⁾. — Der Verfasser hat die Versuche von Tacke, welcher in der Ausathmung der Pflanzenfresser Wasserstoff und Methan gefunden hat, wiederholt und bestätigt gefunden. Weitergehend hat er, indem er Rinderblut dem Vacuum einer Quecksilberluftpumpe aussetzte, diese beiden Gase, als im Blute gelöst, nachgewiesen, nachdem aus dem Gasgemische Kohlensäure durch Kalihydrat und Sauerstoff durch Natriumhydrosulfit beseitigt waren. Auf ein Liter Ochsenblut hat er Wasserstoff 0,41 cm³ und 0,64 cm³, und Methan 0,69 cm³ und 0,68 cm³ in zwei Parallelversuchen gefunden. c. Ib.

Launcelot Andrews. Ueber die Existenz eines besonderen „Status nascens“²⁾. — Bei vielen Reactionen wird angenommen, daß Elemente, die aus ihren Verbindungen in Freiheit gesetzt werden, im Augenblicke des Entstehens andere, meist energische Wirkungen auszuüben vermögen. Dies Verhalten wird gemeinhin als status nascendi bezeichnet. Dieser status nascendi gilt besonders bei Reductionsvorgängen als eine beliebte Erklärung, indem angenommen wird, daß zu Beginn der Reaction Wasserstoff in leicht oxydirbarer Form entsteht und so energisch reducierend wirkt. Nach dieser Anschauung zerlegt sich der Proceß der Reduction von FeCl₃ in salzsaurer Lösung durch Zink in die Phasen:



¹⁾ Compt. rend. 119, 83—85. — ²⁾ Chem. News 70, 162—163.

Ebenso wurde früher die Abscheidung von Cu an der negativen Elektrode im Sinne der Gleichungen erklärt:



Die Bildung des SO_2 bei Einwirkung von Kupfer auf conc. H_2SO_4 erscheint dann als eine secundäre Wirkung des nascirenden Wasserstoffs auf die Schwefelsäure. Durch die Anschauungen von Arrhenius und Ostwald wird aber gezeigt, dass die electrolytische Cu-Fällung ein primärer Process gemäß der Gleichung $\text{CuSO}_4 \rightarrow \text{Cu} + \text{SO}_4$ ist. Die Einwirkung von Kupfer auf conc. H_2SO_4 ist keine Folge von nascirendem Wasserstoff, sondern beruht auf der Bildung von CuO nach der Gleichung $\text{Cu} + \text{H}_2\text{SO}_4 = \text{CuO} + \text{H}_2\text{SO}_3$. Die Bildung von CuO konnte durch besondere Versuche festgestellt werden. Dagegen fiel ein Versuch, Wasserstoff unter den Reactionsgasen nachzuweisen, negativ aus, während bei Einwirkung von Zink unter denselben Bedingungen Wasserstoff nachgewiesen werden konnte. Die Bildung von SO_2 durch Einwirkung von Kohlenstoff auf H_2SO_4 kann noch weniger durch die Reduction mit nascirendem Wasserstoff erklärt werden, da sich der Kohlenstoff unmittelbar auf Kosten der Schwefelsäure oxydirt. Auch die Einwirkung von Metallen auf Salpetersäure lässt sich nur ungenügend durch den status nascendi erklären, da nicht einzusehen ist, warum bei Bildung gleicher Mengen Wasserstoff die Reaction je nach Natur des Metalls einen anderen Verlauf nimmt.

Mr.

Joshua A. Gregory. Der status nascendi¹⁾. — Gegenüber einer Bemerkung von L. Andrews betont Gregory, dass der Begriff des status nascendi für die Erklärung vieler Vorgänge unentbehrlich und nur so zu definiren sei, dass man die erlebte Reactionsfähigkeit eines nascirenden Stoffes der noch nicht erfolgten Vereinigung der Atome zu Molekülen zuschreibe. Die Oxydationsfähigkeit des Ozons scheint dem Verfasser hiermit zusammenzuhängen. Auch gegen einige andere Betrachtungen Andrews' werden beiläufig Einwände erhoben.

Sf.

J. Janssen. Bemerkungen zu einer Notiz von M. Dunér betitelt: „Giebt es Sauerstoff in der Sonnenatmosphäre?“²⁾ — Der Verfasser wendet sich gegen die Schlüsse, welche Dunér in Upsala aus seinen Spectraluntersuchungen in Bezug auf die Anwesenheit von Sauerstoff in der Sonnenatmosphäre gezogen hat, da seiner Ansicht nach die Methode der Verschiebung der Linien

¹⁾ Chem. News 70, 188—189. — ²⁾ Compt. rend. 118, 54—56.

nur sichere Resultate giebt, wenn es gilt, zu entscheiden, ob eine Absorptionslinie von der Sonnenatmosphäre oder Erdatmosphäre herrührt, während, wenn es sich darum handelt, beide Einflüsse neben einander zu constatiren, die Methode versagt. *v. Lb.*

Arthur Schuster. Giebt es Sauerstoff in der Sonnenatmosphäre?¹⁾ — Der Verfasser entwickelt an einigen Citaten über Spectralmessungen, daß die Frage darüber, ob in der Sonnenatmosphäre Sauerstoff existirt oder nicht, zur Zeit noch nicht spruchreif sei. *v. Lb.*

Th. W. Engelmann. Die Erscheinungsweise der Sauerstoffausscheidung chromophyllhaltiger Zellen im Licht bei Anwendung der Bacterienmethode²⁾. — Bildliche Darstellung der Sauerstoffausscheidung mikroskopisch beobachteter Algenzellen und ihrer Wirkung auf bewegliche, aërophile Bacterien, welche erkennen lassen, wie ausschließlich lebendes Chlorophyll unter Einwirkung chemisch wirksamen Lichtes die Bewegung der Bacterien anregt. Die Einzelheiten sind in den schönen Abbildungen des Originals zu ersehen. Ein Literaturverzeichniss von 61 Nummern weist die zugehörigen Einzeluntersuchungen des Verfassers nach. *Kur.*

J. Reinke. Die Abhängigkeit des Ergrünens von der Wellenlänge des Lichtes³⁾. — Pringsheim hat die Beziehungen zwischen der kohlensäurezerlegenden und der oxydirenden Wirkung des Lichtes in Pflanzenzellen studirt. Verfasser wollte diese Arbeiten durch Berücksichtigung auch der dritten thermochemischen Lichtwirkung, der Chlorophyllbildung, ergänzen. Er liefs ein Sonnen-Gitterspectrum auf eine eng gesäete Reihe von etiolirten Kressekeimlingen vier bis fünf Tage nach der Aussaat einwirken und stellte ein Maximum des Ergrünens zwischen den Spectrallinien B und D, in der Regel unmittelbar bei C, fest. Es war darauf Bedacht genommen, daß das Sonnenlicht keinerlei Glasschicht durchdringen mußte und lediglich durch versilberte Spiegel seine Richtung empfing. Die ultrarothten und ultravioletten Theile des Spectrums vermochten bei den angewandten, nicht bedeutenden Lichtstärken keinerlei Ergrünen hervorzurufen. Die Curve der Wirksamkeit der Strahlen verschiedener Wellenlänge auf das Ergrünen fällt nicht mit der Curve der Lichtabsorption des Etiolins zusammen. Da Verfasser das Etiolin als Muttersubstanz des Chlorophylls auffaßt, so kann er eine direct chlorophyllbildende Wirkung des Lichtes nicht annehmen. Letztere müßte dem Ab-

¹⁾ Compt. rend. 118, 137–138. — ²⁾ Pflüger's Arch. Physiol. 57, 375–386, mit 1 Taf. — ³⁾ Berl. Akad. Ber. 1893, S. 527–540.

sorptionsvermögen des Etiolius parallel verlaufen. Verfasser nimmt daher an, daß in den Zellen der Angiospermen eine Substanz durch das Licht zerstört wird, welche die Umbildung des Etiolins zu Chlorophyll im Dunkeln verhindert. Diese Substanz war in den Gymnospermen und Kryptogamen nicht vorhanden, daher vermögen diese älteren Vertreter des Pflanzenreiches auch im Dunkeln Chlorophyll zu bilden. Verfasser vermuthet, daß die vorausgesetzte Substanz ein etwas gesteigertes Absorptionsvermögen für die Strahlen zwischen *B* und *D* besitzt, welches durch die relativ große Wärmewirkung der Strahlen dieser Spectralregion unterstützt würde. Klare Beziehungen zwischen der Chlorophyllbildung und der Kohlensäurezersetzung lassen sich vor der Hand nicht aufstellen. Hc

F. Fanta. Darstellung einer Manganatmasse zur Sauerstoffgewinnung aus atmosphärischer Luft¹⁾. — Um zu verhindern, wie die Manganatmasse bei dem bekannten Verfahren der Sauerstoffgewinnung durch Einwirkung des Wasserdampfes schmelze, setzt man der Masse überschüssiges Aetzkali zu, das sich des überhitzten Wasserdampfes beigemengten Wassers bemächtigt. Die Manganatmasse wird hergestellt, indem man das käufliche Natriummanganat mit Wasser, dem vorher 5 bis 8 Proc. kaustische Soda zugesetzt war, zu einem dicken Brei umrührt. Letzteren bringt man hierauf in eine mit Siebboden versehene Retorte, die erwärmt und evacuirt wird. Nach Abstellung der Vacuumpumpe wird die Retorte stärker erhitzt und Luft unter den Siebboden gelassen. Die Masse bekommt hierdurch die erforderliche Porosität. Hc

Herbert MacLeod. Entwicklung von Chlor bei der Erhitzung eines Gemisches von Kaliumchlorat und Mangansuperoxyd²⁾. — Da gegen die vom Verfasser aufgestellte Ansicht über die katalytische Wirkung des Braunsteins bei der Sauerstoffdarstellung aus Kaliumchlorat Brunck³⁾ eingewendet hatte, daß das dem Sauerstoff beigemengte Gas Ozon und nicht Chlor sei, hat der Verfasser es zur Befreiung von mit übergerissenem Chlorkalium durch U-Röhren mit Glasperlen gefüllt geleitet, und ammoniakalischer Silbernitratlösung dennoch Chlor auffangen können, dessen Quantität so ziemlich der Alkalität des Retortenvückstandes entsprach. Die Anwesenheit des Ozons hat er durch das Ausbleiben der Jodkaliumstärkereaction bewiesen, obwohl doch Chlor diese auch geben sollte. v. Lb.

¹⁾ D. R. P. Nr. 71087. — ²⁾ Chem. Soc. J. 65, 202—205. — ³⁾ JB. 1889, S. 358. — ⁴⁾ JB. 1899, S. 288.

Max Eisig. Das Linienspectrum des Sauerstoffs¹⁾. — Der Verfasser hat das Linienspectrum vom Sauerstoff, den er durch Elektrolyse von mit Phosphorsäure angesäuertem, chemisch ganz reinem Wasser dargestellt hatte, mit einem Rowland'schen Gitter auf farbenempfindliche Platten mit dem Eisenspectrum zusammen photographirt und mit einer Theilmaschine, welche statt des Reisserwerkes ein Mikroskop trug, auf der Platte ausgewerthet. Um die ultravioletten Strahlen mit zu photographiren, hat er die Geissler'sche Rohre in der Form nach van Monckhoven mit einem auf dem dem Apparate zugekehrten Ende aufgekitteten Fenster aus Quarz verwendet.

v. Lb.

B. Hasselberg. Ueber das Linienspectrum des Sauerstoffs²⁾. — Der Verfasser ist der Ansicht, daß die Arbeit von Eisig keinen Fortschritt gegen die von Trowbridge und Hutchins darstellt, berner zeigt er an dem Vergleich der Resultate von Eisig mit denen von Neovius, welche dieser in dem Stockholmer Laboratorium mit viel einfacheren Mitteln erreicht hat, daß die Anwendung von Gittern bei lichtarmen Spectren, wie den Gasspectren, keinen Zweck hat.

v. Lb.

J. Janssen. Sauerstoffspectrum bei höherer Temperatur; Erhitzen von Gasen auf elektrischem Wege³⁾. — Der Verfasser hat, um ein Vergleichsmaterial für die heißen Theile der Sonnenatmosphäre zu haben, Sauerstoff in einem Stahlrohre von 2,20 m Länge, 6 cm äußerem und 3 cm innerem Durchmesser, welches mit Glas beziehentlich Quarzplatten verschlossen war, bis zur Weißgluth erhitzt, indem er den elektrischen Strom durch eine im Inneren der Rohre befindliche Platinspirale schickte. Der Sauerstoff war auch comprimirt, da die Spectraluntersuchungen der Sonnenatmosphäre eine größere Dichte des dort vorhandenen Sauerstoffs erwarten lassen.

v. Lb.

J. Janssen. Sauerstoffspectrum bei höherer Temperatur⁴⁾. — Der Verfasser hat das Sauerstoffspectrum untersucht, welches er nach Passiren des Lichtes durch eine 10 m lange, mit Kupfer gefüllte und mit Sauerstoff gefüllte Stahlrohre, die durch 100 Flammen geheizt wurde, erhielt. Dasselbe war im Roth viel leuchtender und klarer als sonst. Mit dem in voriger Abhandlung beschriebenen elektrisch heizbaren Apparate erhielt er ein von dem gewöhnlichen Sauerstoffspectrum nicht abweichendes Spectrum. Da hier nur Temperaturen bis zu 900° erreicht wurden, will der

¹⁾ Ann. Phys. 51, 747—760. — ²⁾ Dasselbst 52, 758—761. — ³⁾ Compt. rend. 118, 757—760. — ⁴⁾ Dasselbst, S. 1007—1009.

Verfasser durch geeignete Abänderung der Spirale höhere Temperaturen zu erreichen suchen. c. *Lk.*

H. N. Warren. Eine verbesserte Form von Ozonapparaten. — Der Apparat besteht aus einer Anzahl 3 Fuß langer Glasröhren von 1½ Zoll Durchmesser, welche durch engere Röhren mit Korken vereinigt sind, so daß man einen Gasstrom durchgehen lassen kann. Die Innenseite der Röhren ist schachbrettartig mit Stanniol belegt und die Quadrate der einen Röhre sind immer durch Stanniolstreifen mit denen der nächsten verbunden. Die Außenseite ist mit den Polen eines Inductoriums — wie es nicht angegeben — verbunden. Läßt man, während das Inductorium arbeitet, trockene Luft oder Sauerstoff durchströmen, so soll das Ozonisierungsergebnis ausgezeichnet sein, z. B. soll in zweiten Falle ein Achtel Volumenabnahme eintreten. c. *Lk.*

E. Wiedemann und G. C. Schmidt. Ueber Bildung von Ozon¹⁾. — Die Verfasser haben sich durch Anwendung eines Lecher'schen Drahtsystems davon überzeugt, daß Ozon sich bei regelmäßigen Schwingungen leichter bildet, als bei unregelmäßigen. c. *Lk.*

Em. Schöne. Ueber das atmosphärische Ozon²⁾. — Die N. 22 enthält nur eine Druckfehlerberichtigung eines Referates. c. *Lk.*

Mailfort. Löslichkeit von Ozon³⁾. — Von der Löslichkeit des Ozons in Wasser hat sich der Verfasser beim Auffangen dieses Gases über Wasser überzeugt. Er weist nach, daß solches nach Ozon riechendes Wasser alle Reactionen des Ozons zeigt, z. B. Silber und Quecksilber oxydirt, aus den entsprechenden Sauerlösungen Mangan- und Kobaltsuperoxyd niederschlägt, mit Aether Wasserstoffsuperoxyd giebt, alles unter der Voraussetzung, daß genügend Ozon gelöst ist. Aus den Löslichkeitsbestimmungen ergibt sich, daß Wasser aus dem Gasgemisch bei 760 mm Druck und 0° zwei Drittel, bei 12° die Hälfte des Volumens Ozon lost. Die Löslichkeit ist daher ungefähr 15mal so groß als die des Sauerstoffs. Daher, meint der Verfasser, sei solches Wasser wohl zur Desinfection brauchbar. c. *Lk.*

J. Peyrou. Zur Kenntniß des atmosphärischen Ozons⁴⁾. — Die widersprechenden Resultate der zahlreichen Versuche verschiedener Forscher über den Einfluß der Vegetation auf die Ozonbildung in der Luft haben den Verfasser veranlaßt, vom

¹⁾ Chem. News 70, 41. — ²⁾ Ann. Phys. 53, 924—927. — ³⁾ Zeitschr. anorg. Chem. 7, 49. — ⁴⁾ Compt. rend. 119, 951—953. — ⁵⁾ Dasselbe S. 1206—1208.

Juli bis zum October 700 Versuche mit Jodkaliumstärkepapiere anzustellen, woraus er schließt, daß die Vegetation die Blünung von Jodstärkepapiere fördert, während er dahingestellt sein läßt, ob dies eine Wirkung ausschließlich des Ozons ist. *v. Lb.*

F. Kohlrausch u. Ad. Heydweiller. Ueber reines Wasser¹⁾. — Die Verfasser haben die Leitfähigkeit von Wasser, welches im Vacuum direct in das Bestimmungsgefäß destillirt wurde, bestimmt. Das Gefäß hatte vorher lange mit Wasser gestanden, so daß die Löslichkeit des Glases fast unmerklich geworden war. Die Schwefelsäure im Vacuumgefäß war durch mehrtagiges Evacuiren von Gas befreit. Die Verbindungen des Apparates waren Kahlbaum'sche Quecksilberverschlüsse. Das Wasser ist neben sonstiger sorgfältiger Reinigung auch noch durch Ausfrieren gereinigt. Es wurde gefunden in diesem reinsten Wasser:

für t	—	0°	18°	25°	34°	50°
für $k \cdot 10^6$	=	0,014	0,040	0,058	0,039	0,176

v. Lb.

A. Bartoli und E. Stracciati. Die Veränderungen in der specifischen Wärme des Wassers zwischen 0 und 22°²⁾. — Die Verfasser haben 1. durch Eintauchen von auf 100° erwärmten Metallkugeln, 2. durch Zufügen von Wasser von 0° oder 100° zum Calorimeterwasser, und 3. durch Zubringen von Wasser von Zimmertemperatur in wärmeres oder kälteres Calorimeterwasser die specifische Wärme des Wassers zwischen 0 und + 32° bestimmt. Die Mittelwerthe zeigen für den Werth 1,005630 für 0° ein Minimum von 0,999439 bei 20°. *v. Lb.*

A. Bartoli und E. Stracciati. Specifische Wärme des Wassers unter constantem Volumen³⁾. — Zwischen 0 und 35° ist die Abnahme der specifischen Wärme bei constantem Volumen im Gegensatze zu der bei constantem Druck bis 35° noch nicht zu einem Minimum gediehen. *v. Lb.*

Desmond Fitzgerald und William E. Fofs. Die Farbe des Wassers⁴⁾. — Der wesentliche Inhalt der Arbeit ist die Beschreibung eines neuen Colorimeters, welcher bei den Wasserwerken von Boston verwendet wird, um den Grad der Färbung des Wassers durch Verunreinigungen zu bestimmen. *v. Lb.*

Karl Großmann und Joseph Lomas. Ueber hohle pyramidale Eiskrystalle⁵⁾. — Es werden mehrere natürliche Vor-

¹⁾ Zeitschr. physik. Chem. 14. 317—330; Ann. Phys. 53, 210—253. —

²⁾ Gazz. chim. ital. 24. II, 145—152. — ³⁾ Daselbst, S. 152—155. —

⁴⁾ J. Frankl. Inst. 148. 402—412. — ⁵⁾ Proc. Roy. Soc. 55, 113.

kommissionse der Krystallisation von Wasser in hohlen hexagonalen Pyramiden angeführt.

c. Lb.

A. C. Christomanos. Künstliches Eis¹⁾. — Der Verfasser hat Eis der Athener Wasserleitung rasch gefrieren lassen und dann noch auf -12° gekühlt. Dieses Eis bestand dann aus einer klaren Hülle und einem trüben Kern. Die klare Hülle enthielt ungemein wenig Salze und fast gar keine organische Substanz. Dies hatte sich alles in dem trüben Kerne angereichert. In hygienischer Beziehung ist daher die klare Schicht werthvoll und sie sollte nach der Meinung des Verfassers ausschließlich zu Speisezwecken benutzt werden. Ferner schlägt er vor, daß man in geringer Menge vorhandene Bacterien durch mehrfaches Aefrieren in dem trüben Kerne anreichern sollte.

c. Lb.

A. Goldberg. Chemische Untersuchung von schleimigen Wassern, welche aus destillirtem Wasser entstanden sind²⁾. Der Verfasser hat ein destillirtes Wasser, welches beim Aufbewahren in verspundeten Fässern schleimig geworden war, trotzdem es noch wasserklar aussah, und welches durch Jahre lang Stehen unter Bildung von Buttersäure und Essigsäure und gleichzeitiger Trübung wieder dünnflüssiger wurde, untersucht, um für die Erscheinung eine befriedigende Erklärung zu finden. O. E. R. Zimmermann fand in diesem Wasser bei der bacteriologischen Untersuchung nur eine Bacillenart, *Bacillus mucosus*.

c. Lb.

Konrad Natterer. Chemische Untersuchungen im östlichen Mittelmeer. IV. Reise S. M. Schiff „Pola“ im Jahre 1893 [Sonderbericht³⁾]. — Die Oberflächenbewegungen im Mittelmeere haben ihre Ursache in Tiefenbewegungen, welche, wie der Verfasser früher gezeigt hat, aus der Vertheilung der salpetrigen Säure, des Broms und Jods hervorgehen. Carpenter hat gezeigt, daß nicht, wie Wollaston meint, eine Anreicherung von Salz in den Tiefen des Mittelmeeres stattfindet. Der Verfasser wendet sich gegen die Ansicht Carpenter's, daß die Zusammensetzung des Wassers constant sei und erklärt sie durch falsche Schöpfmethoden bei der Untersuchung. Das Thierleben in den Tiefen soll im Gegentheil schon ein Beweis für solche Strömungen sein. Der Kohlensäuregehalt in den Tiefen ist kein besonders hoher. Der Sauerstoffgehalt ist in allen Tiefen der gleiche. Im Aegäischen Meere fehlt die salpetrige Säure, was auf die geringe Tiefe und

¹⁾ Ber. 27, 3431—3437. — ²⁾ Chem. Centr. 65, I. 380. — ³⁾ Monatsber. Chem. 15, 530—604.

die Bodengestalt des Grundes, welche eine Durchmischung verhindert, geschoben wird. Jedoch in der Enge zwischen Rhodos und Asien enthält das Oberflächenwasser so viel salpetrige Säure, wie sonst nur Tiefenwasser. Dies zeigt ein Emporsteigen von Tiefenwasser an dieser Stelle an. An einzelnen Stellen des Meeresbodens finden sich Schlammsschichten oder auch Steinkrusten, welche Füllungen anorganischer Stoffe durch die Zersetzungsproducte organischer Stoffe, d. h. Ammoniak und Kohlensäure, darstellen. Wenn an einer Stelle eine Verarmung an den Fällungsmitteln eintritt, so lösen sich diese Krusten theilweise wieder auf, wie die Reste solcher Steinkrusten, welche der Verfasser gefunden hat, beweisen. Da die Zersetzung der organischen Substanz meist auf dem Meeresboden stattfindet, so sollte man freie Kohlensäure im Tiefenwasser erwarten. Das Nichtvorhandensein derselben wird von dem Verfasser durch die gleichzeitige Ammoniakentwicklung und die Bildung von Bicarbonaten des Calciums und Magnesiums erklärt. Dann entwickelt der Verfasser eine Hypothese, welche etwa besagt, daß ein Theil des Wassers von dem Meeresboden aufgesaugt wird und vermöge der Capillarität in den Continenten wieder aufsteigt, wodurch eine Ablagerung der am Meeresboden gelosten Stoffe auf dem Festlande möglich sein soll. Diese Ansicht stützt er durch die Analysen zweier Quellwässer der Insel Cerigo.

v. Lb.

A. Delebecque. Veränderlichkeit in der Zusammensetzung von Seewässern mit der Tiefe und der Jahreszeit¹⁾. — Von den Wassern sechs verschiedener Alpenseen hat der Verfasser Rückstandsbestimmungen ausgeführt, und zwar von Wasser aus verschiedener Tiefe und zu verschiedenen Jahreszeiten geschöpft, die ihn zu folgenden Schlüssen bestimmen: 1. Die Entkalkung durch die Organismen bewirkt, daß im Sommer in den Seen der Voralpen und des Jura der Verdampfungsrückstand des Wassers geringer ist an der Oberfläche als in der Tiefe; 2. da sich das Oberflächenwasser mit dem der Tiefe nicht mischt, hat das Wasser des Ausflusses die Zusammensetzung von Oberflächenwasser; 3. im Herbst wird durch die Abkühlung der Oberfläche eine Durchmischung erzielt; 4. der Magnesiumgehalt ist stets in allen Tiefen derselbe.

v. Lb.

P. L. Aslanoglu. Die Bedeutung der Nitrite in Trinkwassern²⁾. — Die Abhandlung ist nur eine Zusammenstellung und bringt nichts Neues.

v. Lb.

¹⁾ Compt. rend. 118, 612—615. — ²⁾ Chem. News 70, 236—238.

Melchior Kubli. Ueber Trinkwasser und seine Verunreinigungen¹⁾. — Die Abhandlung bringt ein Beispiel, wie in den Casernement des 47. Ukrainischen Infanterieregiments das ursprünglich sehr gute Brunnenwasser durch unzweckmäßige Anlage der Senkgruben völlig unbrauchbar wurde. Es wurde ferner ein Fall der Verunreinigung von Trinkwasser in tiefen Brunnen durch eine in der Nähe befindliche Zuckerfabrik klargelegt. Als Beweis dafür, daß obigen Verunreinigungen auch Toxine beigemengt sein können, wird eine Massenerkrankung von Soldaten an Cholera, welche jedesmal in der Garnison in der Nähe der Zuckerfabrik nach starkem Regen auftrat, angeführt. Es werden ferner die Gründe aufgeführt, weshalb das Wasser des Dniepr ungenießbar ist. Das Dnieprwasser und das Seewasser beim Dorfe Bjegorodka wird besprochen. Der Verfasser hält alles Oberflächwasser für unbrauchbar als Trinkwasser. c. D.

R. Hefelmann. Ueber Aetzkalk enthaltendes Brunnenwasser²⁾. — Ein Brunnen, der mit Cementsteinen ausgemauert war, lieferte Wasser, das zu verschiedenen Zeiten bis 707 mg freien Aetzkalk im Liter enthielt. Noch nach Monaten gaben 10 g dieser Steine an 1 Liter Wasser 56 mg CaO ab. Ein acht Tage alter Monocement gab dagegen pro 10 g nur 20 mg CaO ab. Schlecht verbundene Cementsteine, welche dauernd oder doch lange Zeit freien Aetzkalk an Wasser abgeben, sind von der Verwendung zum Ausmauern von Brunnenschächten auszuschließen, da ätzkalkhaltiges Wasser für alle praktischen Zwecke unbrauchbar ist. Op.

H. Beckurts. Ueber die Veränderungen, welche das Wasser der Oker und Aller durch die Abwässer der Chlorkalkfabrik der Gewerkschaft Thiederhall erleidet³⁾. — Aus einer großen Reihe von Analysen ergibt sich, daß im Okerwasser dadurch, daß die Gewerkschaft Thiederhall die Endlaugen ihrer Kalkfabrik in die Oker leitet, eine Zunahme der Mineralsubstanzen, namentlich des Gehaltes an Chloriden, Magnesiumsalzen und demgemäß auch an Härte statthat. Diese Zunahme ist jedoch bereits nach 6 km Entfernung von der Einlaufstelle schon wesentlich geringer, als sie rechnungsmäßig sein müßte, und nach etwa 20 km hat eine derartige Abnahme der Mineralsubstanz stattgefunden, daß die normale Zusammensetzung nahezu wieder erreicht war. Hiermit in Uebereinstimmung konnte eine Veränderung des Allerswassers überhaupt nicht nachgewiesen werden. Die der Oker zugeführte

¹⁾ Russ. Zeitschr. Pharm. 33. 545—548, 561—564, 577—580, 593—598.
— ²⁾ Pharm. Centr.-H. 35, 313—314. — ³⁾ Arch. Pharm. 232, 387—408.

Salze der Endlaugen werden durch die in denselben gelösten und suspendirten Substanzen unter Bildung unlöslicher Verbindungen niedergeschlagen.

Op.

W. C. Young. Die natürliche Verminderung der gelösten organischen Substanz im Flußwasser¹⁾. — Die Thatsache, daß Flüsse, welche durch Abwässer stark mit organischer Substanz und Schwefeleisen verunreinigt sind, zuerst nach Schwefelwasserstoff riechen, diesen Geruch aber bald verlieren, veranlaßt den Verfasser, anzunehmen, daß der Schwefelwasserstoff im fließenden Wasser sich oxydirt, und zu untersuchen, ob der Zutritt der Luft gleichfalls eine Oxydation der organischen Materie bewirkt. Er findet, daß der Einfluß der Luft ohne Wirkung ist, daß aber die Bildung von Algen die Menge der im Wasser gelösten Substanz stark vermindert.

v. Lb.

Th. Bokorny. Chemisch-physiologische Beiträge zur Frage der Selbstreinigung der Flüsse²⁾. — Der Verfasser hat zur Untersuchung, inwieweit die grünen Pflanzen an der Beseitigung gelöster organischer Substanzen aus den Flußwässern theilhaftig sind, die Ernährung von Algen studirt, welche zuvor stärkefrei gemacht waren, und zwar durch Stoffe, welche bei der Fäulniß auftreten. Dabei wurde die Verminderung der organischen Substanz in Lösung, die Stärkebildung in den Algen und die Zunahme der Trockensubstanz als Erkennungsmerkmale benutzt. Kohlensäure wurde ausgeschlossen und die vermittelnde Wirkung der Bakterien wurde durch niedere Temperatur, 5 bis 8°, verhindert. Im Gegensatz zu Paraaldehyd geben ein positives Resultat: Essigsäure, Propionsäure, Buttersäure, Baldriansäure, Milchsäure, Bernsteinsäure, Asparaginsäure. Die Alkohole dagegen nährten nicht. Freie Weinsäure³⁾ tödtete die Algen ab, dagegen nährte Calciumbitartrat. Ebenso verliefen die Versuche mit malonsaurem Kalk, Aepfelsäure und äpfelsaurem Kalk. Auch Zucker, Harnstoff, Glycocoll, Lencin, Kreatin, Hydantoin, Urethan u. s. w. nährten durch ihren Kohlenstoff unter Stärkebildung in den Algen, Trimethylamin jedoch nicht. Tyrosin wird aufgenommen. Phenyl-essigsäure, Hydrozimmtsäure, Indol, Skatol tödteten die Algen. Pepton ist ein sehr guter Nährstoff. Carbonsäure, Chinasäure, Methyloxychinizin, Anilin, Pyridin und Antipyrin sind Gifte für die Algen. Für diese Ernährungsversuche erwies sich die Anwesenheit von Kalium und Belichtung als unerläßlich. Bei Diatomeen⁴⁾ erwiesen

¹⁾ Chem. Soc. Ind. J. 13, 318—322. — ²⁾ Chemikerzeit. 18, 21—22. —

³⁾ Dasselbst 18, 1, 34—36. — ⁴⁾ Dasselbst. S. 53.

sich Glycocoll, Milchsäure, Buttersäure, Asparaginsäure, Citronensäure, Bernsteinsäure, Essigsäure und Harnstoff als Nahrungsmittel. Ferner werden die Versuche verschiedener Autoren über die Stoffe, welche den Phanerogamen als Nahrung dienen können, angeführt. Zum Schluss werden noch einige Versuche verschiedener Autoren mit höheren Pflanzen angeführt. Alles dies führt den Verfasser schliesslich zu der Ansicht, dass es kein besseres Reinigungsmittel für die Flüsse giebt als Wasserpflanzen. *v. Lb.*

Duciaux. Die Selbstreinigung der Flüsse. Eine kritische Uebersicht ¹⁾. — Nach dem Verfasser kommen für die Selbstreinigung der Flüsse in Betracht Sedimentirung, Verdünnung und Oxydation und besonders die Thätigkeit der Mikroorganismen. Der Verfasser bezeichnet als gereinigtes Flusswasser ein solches, welches durch die Thätigkeit der Mikroorganismen so arm an löslicher organischer Substanz geworden ist, dass nur noch Diatomeen und Algen darin fortkommen. *v. Lb.*

Duciaux. Ueber die Selbstreinigung der Flüsse. Kritische Revue ²⁾. — Der Verfasser tadelt P. Frankland und Marsden Ward ³⁾, dass sie ihre an der Themse gewonnenen Resultate ohne Weiteres verallgemeinern wollen, und bespricht dann die Arbeiten von Buchner ⁴⁾ und Richardson ⁵⁾. *v. Lb.*

Th. Köhn. Ueber die Untersuchungsmethoden zur Feststellung der Selbstreinigung der Flüsse ⁶⁾. — Der Verfasser hält auf Grund seiner Erfahrungen bei der Untersuchung des Spreewassers in Charlottenburg für Untersuchung über die Selbstreinigung der Flüsse für nothwendig anzugeben: 1. Datum, Witterungsangabe des Tages und der vorhergehenden Tage, Wassertemperatur, Lufttemperatur, Stromgeschwindigkeit, Wassermenge pro Querschnitt, Strombreite und Tiefe; 2. bezüglich der Untersuchung Trockenrückstand, organische Substanz, Chlor, Salpetersäure, Ammoniak und Keime, einheitliche Darstellung, kein Wechsel des Untersuchenden; 3. es sollen mehrere Proben in gleicher Seichtenhöhe in einem Profil entnommen werden; 4. alle besonderen Nebenumstände müssen angeführt werden. *v. Lb.*

Moritz Traube. Einfaches Verfahren, Wasser in großen Mengen keimfrei zu machen ⁷⁾. — Der Verfasser will bacterienhaltiges Wasser durch Zusatz von Chlorkalk, 4,3 mg auf den Liter,

¹⁾ Chemikerzeit. 18. 70. — ²⁾ Ann. Inst. Pasteur 8, 117—127, Rev. Chem. Centr. 65, 1, 783—784. — ³⁾ Ann. Inst. Pasteur 8, 178—186, Chem. Centr. 65, 1, 1007. — ⁴⁾ Proc. Roy. Soc. 33. — ⁵⁾ JB. f. 1892, S. 2286. — ⁶⁾ JB. f. 1893, S. 1994. — ⁷⁾ Hyg. Rundsch. 4, 25—28, Ref. Chem. Centr. 65, 1, 913. — ⁸⁾ Zeitschr. Hyg. 16, 149—150; Ref.: Chem. Centr. 65, 1, 688.

und Unschädlichmachung des Ueberschusses durch Natriumsulfit, dessen Ueberschufs wiederum durch den in Wasser vorhandenen Sauerstoff in Sulfat verwandelt werden soll, genießbar machen. *v. Lb.*

C. Piefke. Ueber die Betriebsführung von Sandfiltern auf Grundlage der zur Zeit gültigen sanitätspolizeilichen Vorschriften¹⁾. — Der Verfasser bespricht die Stralauer Filterwerke und hebt hervor, daß neben der Verlangsamung der Filtrirgeschwindigkeit das Ablaulassen vor Beginn einer neuen Periode und das Bedecken der Sandschichten mit retentionsfähigen Schlammdecken oder Sedimenten, wie Lehm, von größter Wichtigkeit ist. *v. Lb.*

H. von der Linde und Ch. Hefs. Verfahren, Wasser mittelst Zinnoxid zu reinigen²⁾. — Sofern das Wasser mit leicht oxydirbaren Substanzen verunreinigt ist, läßt es sich von ihnen dadurch vollständig befreien, daß man es durch Filtermaterialien filtrirt, die mit Zinnoxid imprägnirt sind. *Op.*

R. Jones. Die Reinigung des Dampfkesselspeisewassers³⁾.

Der Verfasser, welcher seine Versuche am Altonaer Elbwasser gemacht hat, will im Folgenden nur für diesen Specialfall Gültiges behaupten. Aetzkalk und Aetznatron sind nur bei ständiger Controle durch einen Chemiker brauchbar. Häufiges Abblasen ist wegen der Verminderung der Gefahr sehr zu empfehlen. Von dem jeweiligen Concentrationsgrade kann man sich durch die Chlorbestimmung ein Bild machen, da das Chlor erfahrungsgemäß 30 bis 40 Proc. der gelösten Salze ausmacht. Das Verfahren, die Bicarbonate durch Kalk und Baryt zu entfernen, will der Verfasser für das Elbwasser so abgeändert wissen, daß der Baryt durch Natronhydrat ersetzt werden soll. *v. Lb.*

H. Schreib. Abwasserreinigung⁴⁾. — Der Verfasser hat sich künstliche Mischungen hergestellt, welche Abwasser von bestimmtem Gehalt an verunreinigenden organischen Substanzen darstellten. Diese hat er mit Kalk gereinigt und festgestellt, daß die Behauptung, durch dieses Reinigungsverfahren werde der Gehalt an löslicher organischer Substanz erhöht, unrichtig ist. Die von anderer Seite erhaltenen gegentheiligen Resultate rühren von falscher Probenahme und unzweckmäßiger Ausführung der Analyse her. Jedenfalls ist der Verfasser der Ansicht, daß der Nutzen einer der Reinigung mit Kalk vorangehenden Filtration nicht den aufzuwendenden Kosten entspricht. *v. Lb.*

¹⁾ Zeitschr. Hyg. 16, 151—188. Ref.: Chem. Centr. 65, I, 782—783. —

²⁾ D. R.-P. Nr. 73078. — ³⁾ Zeitschr. angew. Chem. 1894, S. 75—79. —

⁴⁾ Dasselbst, S. 233—236.

W. Naylor. Vergleich der Resultate einiger moderner Systeme der Abwasserbehandlung¹⁾. — Der Verfasser hält die Unschädlichmachung von Abwässern diejenigen Prozesse für geeignet, welche ohne Verminderung der organischen Substanz die Tödtung der Bacterien bezwecken, da eine Neuinfection an einen günstigen Nährboden findet. Der Aminprocess, welcher durch Einwirkung von Kalk auf Härringslake ein als Aminol bezeichnetes desinficirendes Amingemisch erzeugt, der Bacillitoxin bei dem Dämpfe von Phenol, Cresylsäure und Harzöl eingeleitet werden, der Hermiteprocess, in welchem elektrolysirtes Seewasser beige mischt wird, sind solche Prozesse. Besser ist das Elektrolysiren mit hoher Spannung, da es die organische Substanz vermindert. Es ist aber zu kostspielig. Die Oxydation mit Fällungsmitteln, wie Ferrisalz, ist noch nicht sehr wirksam. Von den Filtrationsmethoden wurde nur die Polaritmethode geprüft und gut befunden, während es bei der Filtration mit poröser Kohle und mit Bell's Magnetton der Umstände halber nicht ausgetestet werden konnte. Die starke Oxydation bei diesem Prozesse wird den äußerst feinen, Sauerstoff enthaltenden Poren zugeschrieben. Bei der Filtration durch natürliche Filtermaterialien kommt es auf die örtliche Beschaffenheit an. Verrieseln von Koks oder Müllverbrennungsrückständen ist ganz zwecklos. Es folgt die Discussion über Naylor's Vortrag; sie läßt sich gekürzt mitwiedergeben.

A. Bach. Ueber die Herkunft des Wasserstoffsuperoxyds der atmosphärischen Luft und der atmosphärischen Niederschläge²⁾. — Der Verfasser beruft sich auf frühere Arbeiten von ihm selbst³⁾ und von Schöne⁴⁾, indem er die Behauptung aufstellt, daß Wasser und Luft im Sonnenlicht Ueberkohlen säure und Formaldehyd bilde, die Ueberkohlen säure zerfalle dann wieder in Wasserstoffsuperoxyd und Kohlensäure, so daß schließlich Formaldehyd und Wasserstoffsuperoxyd gebildet wird. Namentlich aus dem Umstande, daß eine mit Kohlensäure gesättigte Lösung von Diäthylanilin mit Uranacetat im Sonnenlicht Hexaäthyltriamidotritylphenylcarbinol bildet, schließt der Verfasser, daß dabei Formaldehyd und ein Oxydationsmittel, also Wasserstoffsuperoxyd gebildet worden sei. Die Reaction tritt auch nicht im Dunkeln ein. Um Ueberkohlen säure darzustellen, wird durch Wasser mit Baryumsuperoxyd Kohlensäure geleitet, nach einer bis zwei Stunden wird

¹⁾ Chem. Soc. Ind. J. 13. 340—345, 608—610. — ²⁾ Ber. 27, 340—344; Monit. scientif. 43, 241. — ³⁾ JB. f. 1893, S. 395. — ⁴⁾ Dasselbst, S. 296.

mit Aether ausgeschüttelt, Sodalösung zu dem Aetherauszug gesetzt, worauf sich perlmutterglänzende, Sauerstoff entwickelnde Blättchen abscheiden. Bei allen Operationen wird gekühlt. Ob diese Blättchen nicht vielleicht ein Gemisch von Carbonat und Natrium-superoxyd sind, soll noch geprüft werden. *v. Lb.*

Em. Schöne. Ueber den Nachweis des Wasserstoffsuperoxyds in der atmosphärischen Luft und den atmosphärischen Niederschlägen ¹⁾. — Der Verfasser wendet sich gegen die Ansicht von L. Hlosva de N. Hlosva, welcher das Vorkommen von Wasserstoffsuperoxyd und Ozon in der Luft leugnet und die Reactionen durch salpetrige Säure erklären will. Im Gegensatz zu diesem findet zunächst der Verfasser die Empfindlichkeitsgrenze der Griess'schen Reaction auf salpetriger Säure zwischen $1 \cdot 10^4$ und $1 \cdot 10^2$, anstatt bei $1 \cdot 10^{12}$. Der Verfasser bestreitet dann, daß Thallumpapier ein charakteristisches Reagens auf Ozon sei. Ebenso ist Jodkaliumstärke ohne Eisenvitriol nicht ohne Weiteres zum Nachweis von Ozon zu brauchen, sondern nur bei Abwesenheit von Ozon und salpetriger Säure. Der Einwand gegen die Reaction unter Zusatz von Eisenvitriol ist experimentell von Hlosva nicht begründet. Von der Guajakdiastaseaction hat nach dem Verfasser sein Gegner eine vollkommen ungenügende Kenntniss. Die Reagentien, Titansäure in concentrirter Schwefelsäure gelöst oder Chromsäureäther, sind nicht empfindlich genug für die Versuche von Hlosva. Das Argument, daß man keine natürlichen Bildungsprocesse für Ozon oder Wasserstoffsuperoxyd kenne, wird auch zurückgewiesen. Hlosva's Versuche mit der Luft von Budapest sind ganz unzureichend. Deshalb hält der Verfasser seine Behauptung, daß Wasserstoffsuperoxyd in der Atmosphäre existirt, aufrecht. *v. Lb.*

L. Hlosva de Nagy Hlosva. Das in der Luft und den atmosphärischen Niederschlägen vorkommende Wasserstoffsuperoxyd ²⁾. — Der Verfasser wendet sich gegen eine Kritik seiner Arbeiten durch Schöne, welche das Vorkommen von Wasserstoffsuperoxyd in der Luft für unbestreitbar hält. Der Verfasser hält es dagegen für möglich, daß die Reactionen durch Stickoxyde herbeigeführt werden. *v. Lb.*

Em. Schöne. Zur Frage über das atmosphärische Wasserstoffsuperoxyd ³⁾. — Der Verfasser behauptet im Gegensatz zu de Nagy Hlosva, daß N_2O_4 nicht die Reactionen des Wasserstoff-

¹⁾ Zeitschr. anal. Chem. 33, 137—184. — ²⁾ Ber. 27, 920—925. —

³⁾ Ber. 27, 1233—1235; Monit. scientif. 44, 753.

superoxyds hervorbringt, erklärt sich aber zu dem Zugeständnis bereit, daß neben dem Superoxyd des Wasserstoffs solche organische Radicale in der Luft vorhanden sein können. *v. Lb.*

A. Bach. Ueber die Gegenwart des Wasserstoffsuperoxyds in den grünen Pflanzen ¹⁾. — Der Verfasser hat früher angegeben, daß sich in den grünen Pflanzentheilen im Sonnenlicht neben Formaldehyd eine oxydirende Substanz findet, die er für Wasserstoffsuperoxyd ansah. Er hat nun geprüft, ob der Nachweis des Wasserstoffsuperoxyds in den Pflanzen sich mit Sicherheit führen lasse. Das ist nicht der Fall. Das Wurster'sche Reagens (Dimethyl-p-phenylendiamin) und Guajakinctur in Gegenwart von Diastase sind zu empfindlich und werden unter Umständen auch durch atmosphärischen Sauerstoff gefärbt. Die Reaction mit Titansäure-Schwefelsäure giebt außer dem Wasserstoffsuperoxyd auch das in den Pflanzenauszügen nie fehlende Tannin. Dasselbe gilt vom Uranylacetat in Gegenwart von freier Essigsäure; es reagirt auch noch auf Albumin. Die Reactionen mit Lackblau in Gegenwart von etwas Ferrosulfat und mit Chloranil in Gegenwart von Aether bleiben aus. Da aber die organischen Stoffe der Blattauszüge auch bei Zusatz von Wasserstoffsuperoxyd diese Reactionen hemmen, ist es ebenso wenig möglich, das Vorkommen von Wasserstoffsuperoxyd in den Pflanzen zu bestreiten wie es zu behaupten. *Lb.*

A. Bach. Neues Reagens zum Nachweis von Wasserstoffsuperoxyd in grünen Pflanzen ²⁾. — Wenn man eine Lösung von 0,03 g Kaliumbichromat im Liter Wasser mit fünf Tropfen Ammoniak und verdünnter freier Säure, am besten Oxalsäure, versetzt, so tritt an sich Oxydation erst nach Stunden bemerkbar ein, während mit Wasserstoffsuperoxyd schon nach 10 bis 30 Minuten Violettfärbung eintritt. Die Empfindlichkeit soll bis zu 0,00072 g Wasserstoffsuperoxyd pro Liter gehen. Die Anwesenheit von Tannin schadet der Empfindlichkeit. Andere oxydirende Mittel sind ohne Einfluß auf das Reagens. Zum Zwecke der Prüfung bringt man 5 ccm der Lösung mit 5 ccm der zu untersuchenden Lösung und einem Tropfen 5 proc. Oxalsäurelösung zusammen. Von 25 untersuchten Pflanzen zeigten 18 Wasserstoffsuperoxyd, bei 2 war es zweifelhaft und bei 5 war kein Wasserstoffsuperoxyd vorhanden. *v. Lb.*

H. Nördlinger. Zersetzung von Jodkaliumlösung ³⁾. — Werden

¹⁾ Compt. rend. 119, 286—288; Monit. scientif. 44, 572—576. JB. 2, 1898, S. 395. — ²⁾ Compt. rend. 119, 1215—1221. — ³⁾ Pharm. Centr.-Bl. 35, 730; Ref.: Chem. Centr. 66, I, 258.

Leinölmürnsgetränkte oder gestrichene Flächen (z. B. Papier etc.) nach dem Trocknen mit wässriger Jodkaliumlösung benetzt, so entstehen in Folge Jodabscheidung zuerst helle, dann immer dunkler werdende Flecke. Diese Reaction rührt von Wasserstoff-superoxyd her, das sich bei der langsamen Oxydation des Firnisses bildet, und das nicht nur temporär, sondern noch nach Jahren in der angegebenen Weise aufzufinden ist. H₂.

Halogene.

Bohuslav Brauner. Fluoplumbate und freies Fluor¹⁾. — Verfasser ist es gelungen, ein Salz in reinem Zustande darzustellen, welches als das erste Glied der Reihe der Fluoplumbate, d. h. der Derivate einer Ortho-Fluorbleisäure, H_4PbF_6 , anzusehen ist. Es ist dies das Trikalium-Monohydro-orthoplumbat: $3KF.HF.PbF_4$. Verfasser giebt zur Darstellung des reinen Salzes drei Methoden an: 1. Behandeln des frisch gefällten Oxydes $PbO, 3H_2O$ mit einem Gemisch von saurem Kaliumfluorid und wässriger Flußsäure und Trennen des entstandenen Fluoplumbats von dem gleichzeitig gebildeten Bleidiäfluorid durch Auflösen in Flußsäure. 2. Langsames Eintragen eines im Silbertiegel geschmolzenen, mit Wasser durchgewaschenen Gemisches von 1 Thl. PbO und 3 Thln. KOH in einen großen Ueberschuß von reiner, starker Flußsäure. Das gegen Ende der Reaction sich abscheidende Bleioxyd wird abfiltrirt und die Lösung durch freiwilliges Verdampfen in einem guten Luftstrom zur Krystallisation gebracht. 3. Lösen von 3 Mol. $KF.HF$ in überschüssiger Flußsäure und Zufügen von 1 Mol. Bleitetraacetat. Die Krystallisation des Salzes geschieht wie bei 2. Die Analyse des Salzes, welche sehr ausführlich im Original behandelt ist, ergab obige Zusammensetzung. Es ist mit dem von Marignac dargestellten entsprechenden Salz des vierwerthigen Zinns $3KF.HF.SnF_4$ ²⁾ isomorph. Es ist beständig in trockener Luft, wird aber durch Wasser zersetzt nach der Gleichung: $3KF.HF.PbF_4 + nH_2O = PbO_2.H_2 + 3KF.HF + 3HF + (n - 3)H_2O$. Ein Ueberschuß von Wasser scheint zur Zersetzung nöthig zu sein. Beim Erhitzen des Salzes im Platinrohr wird, noch bevor das Platin glühend wird, Fluor entwickelt, welches durch Jodkaliumstärkepapier oder nach dem

¹⁾ Zeitschr. anorg. Chem. 7, 1–12; Chem. Soc. J. 65, 393–402

²⁾ Verfasser hat dieses Hydrat 1881 dargestellt und 1885 ausführlich beschrieben: Sitzungsber. königl. böhm. Ges. d. Wiss. 1885, S. 295–299. —

³⁾ Gmelin-Kraut's Handbuch.

Moissan'schen Verfahren nachgewiesen wurde, nach welchem Silicium in einer Fluoratmosphäre unter Zischen, oft unter explosionsartiger Verpuffung verbrennt. Behandelt man das Plumbat mit kalter concentrirter Schwefelsäure, so entsteht nach Verfasser neben Flußsäure und saurem Kaliumsulfat Bleisulfid, PbF_2 . Verfasser kommt zum Schluss auf die Bestimmungen des Fluors von Moissan und glaubt aus denselben schließen zu können, daß die freien Fluormoleküle F_2 theilweis in F_2 dissociirt sind, und daß bei höherer Temperatur die Dissociation eine noch weiter gehende ist, da Fluor dann selbst Plumbat angreift.

F7

R. Metzner. Verbindung von Fluorwasserstoff mit Wasser. — Läßt man in wasserfreie Flußsäure langsam Wasser re-
fließen, so erhält man, wenn man zu einer Concentration von 52 Proc. gelangt, bei einer Temperatur von -45° eine krystallinische Ausscheidung. Die Analyse der Krystalle ergab 52,3 Proc. Flußsäure und 47,7 Proc. Wasser. Es entspricht diese Zusammensetzung dem Hydrat $\text{HF} \cdot \text{H}_2\text{O}$. Versuche, andere Hydrate durch Abkühlen verschieden concentrirter wässriger Flußsäurelösungen zu erhalten, schlugen fehl und Verfasser kommt zu dem Resultat, daß nur dieses eine Hydrat mit 1 Mol. Wasser existirt.

F7

C. Poulenc. Untersuchung der wasserfreien krystallinischen Fluoride²⁾. — In der ausführlichen Arbeit werden die Darstellungsmethoden und Eigenschaften von Metallfluoriden beschrieben. Von bisher unbekannten Salzen seien erwähnt: LiF , SrF_2 , ZnF_2 , CdF_2 , NiF_2 , CoF_2 , FeF_2 , Fe_2F_7 , CrF_2 , Cr_2F_7 , Cu_2F_9 , CuF_2 , $\text{NiF}_2 \cdot 2\text{KF}$, $\text{CoF}_2 \cdot 2\text{KF}$, $\text{ZnF}_2 \cdot 2\text{KF}$, $\text{CdF}_2 \cdot 2\text{KF}$, $\text{NiF}_2 \cdot 2\text{NH}_4\text{F}$, $\text{CoF}_2 \cdot 2\text{NH}_4\text{F}$, $\text{ZnF}_2 \cdot 2\text{NH}_4\text{F}$, $\text{CdF}_2 \cdot 2\text{NH}_4\text{F}$, $\text{FeF}_2 \cdot 4\text{H}_2\text{O}$, $\text{Cr}_2\text{F}_6 \cdot 7\text{H}_2\text{O}$.

H2

S. Gabriel. Zur Frage über den Fluorgehalt der Knochen und Zähne³⁾. — Der Verfasser führt bezüglich eines Angriffes von Wrampelmeyer⁴⁾ auf seine vorläufige Mittheilung⁵⁾ seine alle Streitfragen erschöpfende ausführliche Arbeit in der Zeitschrift für physiologische Chemie⁶⁾ an.

H2

C. Binz. Zur pharmakologischen Kenntniß der Halogene⁷⁾. — Jodide werden durch Kohlensäure so gelockert, daß schon

¹⁾ Compt. rend. 119, 682—684. — ²⁾ Ann. chim. phys. [7] 2, 5—77. — ³⁾ Zeitschr. anal. Chem. 33, 53—54. — ⁴⁾ Dasselbst 32, 559. — ⁵⁾ JB. f. 1892, S. 2624. — ⁶⁾ JB. f. 1893, S. 355. — ⁷⁾ Arch. exp. Pathol. u. Pharmac. 34, 185—207, Ref.: Chem. Centr. 65, II, 924.

Luftsauerstoff Jod entbindet. In alkalischen Lösungen — besonders in einem Ueberschuß von Alkali — kann Jod tagelang ungebunden bleiben. In einer Lösung von Natriumbicarbonat und Hühnereiweiß wird Chlor nur allmählich gebunden. Natriumhypochlorit lähmt das Großhirn und das Athmungscentrum; gleich den Chloraten greift es Blut und Nieren an. Die Lähmung der Nervencentren ist hiervon unabhängig. Hexachlorkohlenstoff und Tetrabromkohlenstoff sind chloroformartige Narcotica. *Hlz.*

F. A. Gooch und D. Albert Kreider. Darstellung von Chlor für Laboratoriumszwecke¹⁾. — Die Entstehung von Chlor bei der Einwirkung von Salzsäure auf Kaliumchlorat ist zuerst von Pebal²⁾ nachgewiesen worden. Schacherl hat später³⁾ gefunden, daß die größte Ausbeute an Chlor erzielt werden könne bei allmählichem Zutlufs einer Chloratlösung zu heifser, starker Salzsäure. Bei Anwendung geringerer Concentrationen und tieferen Temperaturen ist das entstehende Gas durch mehr oder weniger grofse Mengen Chlordioxyd verunreinigt. Verfasser haben nun nochmals die günstigsten Versuchsbedingungen untersucht und construiren auf Grund ihrer Resultate einen einfachen, gut arbeitenden, leicht herstellbaren Entwicklungsapparat. In ein in der Mitte verjüngtes Reagensrohr, in dessen oberem Theile sich das Chlorat befindet, reicht bis auf den Boden durch einen durchbohrten Kork eine Trichterröhre zum Einbringen der Salzsäure. Das entwickelte Gas entweicht durch einen seitlichen Rohransatz mit Glashahn. Das ganze Reagensrohr steht in einem passenden Erlenmeyer, der mit heifsem Wasser gefüllt ist. Da bei Anwendung von halbeconcentrirter Säure und einer Temperatur von 80 bis 81° die Ausbeute an Chlor nur 81,6 bis 84 Proc. beträgt, leiten Verfasser zur Zersetzung des mitgebildeten Chlordioxyds das Gasgemisch durch heifsgesättigte, concentrirte, salzsaure Manganchlorürlösung und erreichen so bei langsamem Gasstrom eine Ausbeute von 97 Proc. Chlor. Zur Gewinnung von absolut chlordioxydfreiem Chlor empfehlen Verfasser das Durchleiten des Gasgemisches durch ein mit Asbest gefülltes und mit einem Bunsenbrenner erhitztes Glasrohr, wodurch die Zersetzung des Chlordioxyds in Chlor und Sauerstoff leicht erreicht wird. Der Apparat, auf diese Weise gehandhabt, liefert aus 1 g Chlorat ca. $\frac{1}{2}$ Liter Chlor. *Fg.*

J. Wiernik. Ueber die Rolle des Chlorcalciums, die Bildung und die Beschaffenheit der „steifen Chargen“ bei der Weldon'-

¹⁾ Zeitschr. anorg. Chem. 7, 17—21. — ²⁾ Ann. Chem. 177, 1. — ³⁾ Dasselbst 182, 179.

sehen Braunstein-Regenerirung¹⁾. — Man nimmt an, daß der Oxydationsproceß nur dann günstig verläuft, wenn in den Manganlaugen auf jedes Molekül $MnCl_2$ mindestens 2, besser aber 2,5 Mol. Chlorkalcium vorhanden sind. Die im Betriebe große Störung verursachenden „steifen“ oder „dicken“ Chargen sollen leicht bei Mangel an Chlorkalcium entstehen. Verfasser hat sich nun damit befaßt, festzustellen: 1. welche Rolle dem Chlorkalcium bei dessen Menge hinsichtlich des Endresultates der Oxydation zuzuschreiben ist, und 2. welchen Einfluß das Chlorkalcium bei dessen in den Manganlaugen vorhandene Menge auf die Beschaffenheit des Inhaltes des Oxydationsthurmes und auf den allgemeinen Verlauf des Oxydationsprocesses ausübt. Aus zahlreichen Versuchen, die Verfasser angestellt hat, ergibt sich, daß die Oxydirbarkeit des Manganhydroxyduls im Großen bei der Mannigfaltigkeit der anderen mitwirkenden Factoren nicht von der Menge des vorhandenen Chlorkalciums als solchem abhängt. Von den anderen Factoren ist vor allem die richtige Wahl der Kalkmenge, sowie die eingeblasene Luft von Wichtigkeit für die Oxydation. Es ergibt sich weiter aus den Versuchen, daß man für die Gegenwart von 2,5 bis 3 Mol. $CaCl_2$ in den Manganlaugen Sorge tragen muß, sobald man sich die Oxydation so sehr fördernde Wirkung eines Zusatzes von mehr als 1,5 Mol. Kalk zu Nutze machen will, ohne der Gefahr einer so häufigen Betriebsstörung, wie dies die „steifen Chargen“ sind, ausgesetzt zu sein. Das Chlorkalcium wirkt an sich nicht fördernd, sondern ermöglicht nur die Anwendung von mehr Kalk, wodurch eine bedeutend höhere Oxydationsstufe ohne übermäßiges Blasen, sowie die Vortheile eines gut absetzenden Schlammes erzielt werden. Abgesehen von einer zu hohen Temperatur der Laugen ist eine Gefahr für die Bildung einer „steifen Charge“ erst dann vorhanden, wenn die Menge des Chlorkalciums weniger als 2,4 bis 2,5 Mol. beträgt. Bei Ueberschuß von Kalk und Mangel an Chlorkalcium beginnt die Bildung der steifen Charge erst dann, sobald das Gemenge im Oxydationsthurme einen gewissen Gehalt an MnO_2 erreicht hat, und zwar die Oxydationsstufe von ca. 40 bis 55 Proc. Steife Chargen entstehen nicht mehr, wenn die Oxydationsstufe von ca. 60 Proc. erreicht ist. Vielleicht entspricht die verkittende Substanz der „steifen Chargen“ einer Molekularzusammensetzung $2 MnO, 1 MnO_2, 2 CaO$. Tr.

H. W. Wallis. Darstellung von Chlor aus Salzsäure in

¹⁾ Zeitschr. angew. Chem. 1894, S. 257—263.

wässriger Lösung mittelst Salpetersäure und Schwefelsäure¹⁾. — Beim Mischen von Salzsäure in wässriger Lösung mit Schwefel- und Salpetersäure entstehen Chlor und Nitrosylchlorid, die durch einen Absorptionsapparat mit Schwefelsäure geschickt werden, wodurch das Chlor nicht verändert, das Nitrosylchlorid aber in salpetrige Säure und Salzsäure zerlegt wird. Die letztere wird durch eine neue Menge Salpetersäure zersetzt. Das gewonnene Chlorgas wird durch verdünnte Salzsäure und Wasser gewaschen und schließlich über ein Metallechlorid geleitet, um von Spuren salpetriger Säure befreit zu werden. *H₂*.

A. Rofs Scott. Darstellung von Chlor²⁾. — Zur Herstellung von Chlor aus Salzsäure mittelst Salpeter- und Schwefelsäure läßt man die drei Säuren in ununterbrochenem Strome und in einer Richtung durch ein auf 105 bis 125° erhitztes Canalsystem fließen. Die Salpetersäure wird derart eingelassen, daß sie auf der Oberfläche der Schwefelsäure entlang fließt, ohne sich mit dieser in erheblichem Maße zu mischen, sie kann auch in Dampf- form zugelassen werden. Ebenso kann die Salzsäure in getrocknetem gasförmigem oder flüssigem Zustande zur Anwendung kommen; im letzteren Falle muß die Menge Schwefelsäure entsprechend erhöht werden. In den Canälen, die von Säuren durchflossen werden, sind nicht ganz bis zum Boden reichende, derartig ausgebildete verticale Querwände angeordnet, daß die Gase abwechselnd über bzw. unter diesen Wänden durch die Flüssigkeit hindurch ihren Weg nehmen müssen. Die aus den Canälen abfließende Säure kann eventuell zur Trocknung der zur Verwendung kommenden Salzsäure benutzt werden. *Op.*

A. Brand. Verbesserungen in der Darstellung von Chlor³⁾. — Chlorwasserstoffgas, das durch Einwirkung von Schwefelsäure auf wässrige Salzsäure hergestellt wird, wird durch Leiten in Königswasser zersetzt. Das entweichende Chlorgas wird mit Schwefelsäure und Wasser gewaschen. *H₂*.

F. Bale. Die technische Gewinnung von Chlor beim Ammoniaksodaproceß⁴⁾. — Es wird zunächst Chlormagnesium gebildet, das durch Dampf zersetzt wird: $MgCl_2 + H_2O = MgO + 2HCl$. Das entweichende Gas wird durch concentrirte Schwefelsäure getrocknet und im Cowper-Ofen auf 550° erhitzt. Der Chlorwasserstoff wird durch Mangansuperoxyd in Chlor verwandelt. *H₂*.

¹⁾ Patentbl. 14, 1040; Ref. Chem. Centr. 65, I, 61. — ²⁾ D. R.-P. Nr. 73962. — ³⁾ Engl. Pat. Nr. 11040; Chem. Soc. Ind. J. 13, 635. — ⁴⁾ Chem. Soc. Ind. J. 13, 200—203.

Deutsche Solvaywerke. Gewinnung von Ammoniak, Chlor und Salzsäure aus Chlorammonium¹⁾. — Im Hauptpatent²⁾ ist ein Verfahren patentirt, darin bestehend, daß man das Chlorammonium verflüchtigt, die so erhaltenen Dämpfe bei geeigneter Temperatur durch ein mit den Oxyden des Nickels, Kobalts, Eisens, Mangans, Aluminiums, Kupfers oder Magnesiums gefülltes Gefäß leitet, wobei das Chlor gebunden wird, das Ammoniak aber überweicht. Nach dem Zusatzpatent wird das erhaltene Ammoniak behufs Reinigung von mitgerissenen Chlorammoniumdämpfen durch heisse Kalkmilch oder eine ungesättigte Chlorammoniumlösung gewaschen. Die Gase, welche zum Erhitzen der gechlorten Oxyde oder Salze gedient haben, werden mit einer heissen Kalkmilch oder einer heissen, nicht concentrirten, ammoniakhaltigen Chlorammoniumlauge gewaschen behufs Wiedergewinnung der im angetretenden Gase enthaltenen Chlorammoniumdämpfe und Salzsäure. Weiter wird das Gas mit kaltem Wasser gewaschen und durch Watte oder einen anderen geeigneten Faserstoff filtrirt, um die letzten Chlorammoniumspuren zu entfernen. Das so gereinigte indifferente Gas soll immer wieder benutzt werden. Das nach dem Verfahren des Hauptpatentes gewonnene Chlorgas wird mit einer concentrirten Chloralciumlösung behufs Reinigung von Salzsäure und Wiederbenutzung des letzteren gewaschen. Op.

L. Mond. Verfahren zur Gewinnung von Ammoniak, Chlor und Chlorwasserstoff aus Ammoniumchlorid³⁾. — Das Verfahren ist mit dem oben beschriebenen identisch. Op.

Georg Lasche. Der Lunge-Rohrmann'sche Plattenthurm in seiner Verwendung zur Salzsäurecondensation und die dabei erhaltenen Betriebsergebnisse⁴⁾. — Der Lunge-Rohrmann'sche Plattenthurm⁵⁾ liefert für Salzsäurecondensationen im Großbetriebe vorzügliche Resultate. Hs.

G. Lunge. Die Condensation von Salzsäure durch Lunge-Rohrmann'sche Plattenthürme⁶⁾. — Im Anschluß an die Arbeit von Lasche⁷⁾ werden einige Einzelheiten des Plattenthurmvorgangs angegeben und die mit dieser Methode erhaltenen guten Resultate hervorgehoben. Hs.

Siemens und Halske und O. Keferstein sen. und jun. Bleichverfahren mittelst künstlicher Ozonebel und schwacher Chlorbleichsalzlösungen⁸⁾. — Der Bleichseffect des Ozons in Ver-

¹⁾ D. R.-P. Nr. 73716. — ²⁾ D. R.-P. Nr. 40685. — ³⁾ Engl. Pat. Nr. 19812; Chem. Soc. Ind. J. 12, 925. — ⁴⁾ Zeitschr. angew. Chem. 1896, S. 610—614. — ⁵⁾ D. R.-P. Nr. 35126, 40625, 50336. — ⁶⁾ Zeitschr. angew. Chem. 1894, S. 615—617. — ⁷⁾ Vorsteh. Referat. — ⁸⁾ D. R.-P. Nr. 77117.

bindung mit Chlorbleichsalzlösungen wird dadurch erhöht, daß man die zu bleichenden Waaren vorher mit schwachen Lösungen von Ammoniak, Ammoniak-Terpentinölemulsionen, Terpentinöl, Ammoniakharzseifen oder ammoniakalischem Indigo tränkt oder Garne mit den Ozonnebeln behandelt, welche bei Berührung des Ozons mit den Dämpfen von Ammoniak, Ammoniak-Terpentinölemulsionen oder Terpentinöl entstehen. Es scheinen bei dieser combinirten Ozonbleiche größere Mengen Salze, wie salpetrigsaures und salpetersaures Ammonium, sowie Oxydationsproducte von Terpentinöl zu entstehen, von welchen eine günstige Beeinflussung des Bleicheffectes vermuthet wird. *Op.*

C. Kellner. Elektrodensystem zur Zerlegung von Salzlösungen für Bleichflüssigkeiten ¹⁾. — Dieses Elektrodensystem „Bleichblock“ genannt, besteht aus Platten von leitendem Material (Kupfer, Tombak, Phosphorbronze), welche auf einer Seite mit einer dünnen Platinfolie plattirt und auf der anderen Seite mit Quecksilber amalgamirt sind und durch Stangen aus Hartgummi und auf eine geschobene Glasröhren in gewisser Entfernung von einander gehalten werden, so daß die Flüssigkeit frei zwischen den einzelnen Platten circuliren kann. Beim Bleichen von Papierstoff werden zwei derartige Bleichblöcke in die eine Seite eines Papierholländers gelegt und mit einer gewöhnlichen Lichtmaschine (zur elektrischen Beleuchtung dienenden Dynamomaschine) in Wirksamkeit gesetzt. Beim Bleichen von Geweben wird die Vorrichtung in eine mit Salzlösung gefüllte Kufe eingehängt und das Bleichgut über Walzen zwischen den einzelnen Platten hindurch geführt. *Op.*

A. A. Lambert. Desinfection durch Elektricität ²⁾. — Verfasser hat das von Hermite angegebene Verfahren vom chemischen, bacteriologischen und elektrischen Gesichtspunkte aus des Näheren untersucht. Das Verfahren beruht auf der Herstellung von Lösungen, ähnlich dem Eau de Javelle oder Calciumhypochlorit, durch Elektrolyse von Meerwasser oder ähnlich zusammengesetzten Lösungen, wobei ein Magnesiumhypochlorit erhalten wird, welches starker desinficirende Wirkungen zeigen soll, als die anderen Hypochlorite. Verfasser stellte zunächst Magnesiumhypochlorit dar, indem er das Chlor auf das Hydrat einwirken liefs. Er erhielt so eine Lösung mit 40 g Magnesium pro Liter, die elf chlorometrische Grade zeigte. Dieser Gehalt ging jedoch sehr bald zurück, theils durch Verlust von Chlor, theils durch Uebergang des Hypochlorits in Chlorat. Das Präparat ist also

¹⁾ D. R.-P. Nr. 77128. — ²⁾ Bull. soc. chim. [3], 11 959—967

äußerst unbeständig. Wenn ferner die hypochlorithaltige Lösung eine Leitung passiren müßte, so würde dieselbe in kürzester Zeit zerstört sein, es sei denn, daß dieselbe aus Thonröhren zusammengesetzt wäre, und dann würde sie um so zerbrechlicher. Gegenwart von Seesalz verhindert die Zersetzung des Hypochlorits; nach den Versuchen des Verfassers tritt bei Zusatz von Seesalz in Mengen von 2 bis 5 Proc. zum Magnesiumhypochlorit der Rückgang des Chlorgehaltes und damit das Unwirksamwerden der Substanz gerade so schnell ein, wie ohne Salzzusatz. Die Hypochlorite von Natrium und Calcium sind nicht so leicht zersetzbar, auch der Einfluß der Temperatur auf die Zersetzung ist bei diesen nicht so bedeutend wie bei Magnesiumhypochlorit. Bezüglich des Desinfectionswerthes der Flüssigkeiten von Hermite stützt sich Verfasser auf Untersuchungen von Kelly, Chef des Sanitätsdienstes von West-Sussex. Aus denselben geht hervor, daß elektrolysirtes Meerwasser weder entfärbt noch zersetzt, höchstens den Geruch etwas abschwächt und die Verwesung verzögert. Reines Meerwasser hat bereits diese Wirkung. Auch ein großer Ueberschuß der Hermiteflüssigkeit zeigt keine entfärbenden Wirkungen. Ein Vergleich von Magnesiumhypochlorit mit anderen Hypochloriten bezüglich der desinfectoriellen Wirkung ergab, daß ein Unterschied zwischen den einzelnen Reagentien diesbezüglich nicht existirt, und daß die Wirkung direct proportional dem Gehalte an activem Chlor ist. Ein vorherige Behandlung der Abwässer nach dem Verfahren von Bunsen erlaubt die Anwendung einer bedeutend geringeren Menge Hypochlorits zur Herbeiführung vollständiger Geruchlosigkeit. Aus allen diesen Untersuchungen schließt Verfasser, daß die Flüssigkeit von Hermite nicht einmal den Geruch der Fäcalmasse genügend beseitigt, die Wirkung der Hypochlorite einzig und allein direct dem Gehalt an wirksamem Chlor proportional ist und deswegen kein Hypochlorit vor dem anderen einen Vorzug hat. Was die bacteriologischen Untersuchungen betrifft, so berichtet Verfasser nicht über eigene Arbeiten. Nach den Versuchen von Alain Picton, Marinearzt erster Classe, der dieselben im Auftrage des Stadtrathes von Brest ausführte, ist das elektrolysirte Meerwasser ein ausgezeichnetes Desodorierungsmittel und Antisepticum, welches in kürzester Zeit auch die widerstandsfähigsten Mikroorganismen vernichtet. Ganz anders lautet der Bericht des kaiserlich deutschen Gesundheitsamtes, dessen Commission in Havre das Verfahren von Hermite an Ort und Stelle prüfte; nach diesem wird durch das elektrolysirte Meerwasser

keine genügend schnelle Sterilisation erreicht und demgemäß keine genügende Garantie für eine schnelle und wirksame Desinfection geboten. Diesem Urtheile schließt sich Klein in London, der ebenfalls sehr ausgedehnte Versuche gemacht hat, vollständig an. Ebenso Kelly, wie oben ausgeführt. Es müssen also wohl die Versuche von Picton unter Bedingungen ausgeführt sein, die sonst nicht vorhanden sind, sei es, daß die Lösungen nicht denen von Hermite entsprachen, oder die behandelten Substanzen nicht besonders gefährlich waren. Nach Berechnung der Rentabilität des Verfahrens von Hermite kommt Verfasser zu dem Schluss, daß eine Stadt, die ihre Abwässer desodoriren und sterilisiren will, sich viel vortheilhafter eines gewöhnlichen Hypochlorits, z. B. des Eau de Javelle, bedient, das in großen Fabriken hergestellt wird, wodurch die Stadt selbst der Fabrikation überhoben ist, und das bei genügender Concentration sicher und schnell sterilisirt.

B.

H. Arctowski. Mittheilungen über Löslichkeiten. II. Ueber die Löslichkeit des Jods in Schwefelkohlenstoff und über die Natur dieses Lösungsvorganges¹⁾. — Der Verfasser bespricht die verschiedenen Lösungstheorien. An experimentellem Material liegen Löslichkeitsbestimmungen von Jod in Schwefelkohlenstoff bei verschiedenen Temperaturen vor; die Resultate werden hauptsächlich im Sinne der Hydrattheorie verwerthet.

Hz.

H. Arctowski. Ueber die Löslichkeit von Jod in Schwefelkohlenstoff und die Natur dieser Auflösung²⁾. — Verfasser giebt zunächst eine Zusammenfassung der chemischen Lösungstheorien von Mendelejeff, Berthelot und Pickering und der physikalischen Lösungstheorien von Dossios und Nernst. Er kommt im Verlaufe seiner Untersuchung zu dem Resultat, daß er weder der chemischen noch der physikalischen Theorie für sich allein zustimmen kann, sondern, daß sowohl chemische wie physikalische Verhältnisse beim Vorgange der Lösung mitspielen. Er untersucht die Löslichkeit von Jod in Schwefelkohlenstoff in den Temperaturgrenzen von $+42$ bis -100° . Die gefundene Löslichkeitscurve stellt eine gerade Linie dar, die an verschiedenen Stellen auffallende Knicke aufweist, und dadurch im Ganzen die Aehnlichkeit mit einer Hyperbel zeigt. Abgesehen von den geraden Stücken zeigt der Charakter der Curve, daß der Vorgang der Auflösung des Jods sich an Intensität bei Temperaturveränderung

¹⁾ Bull. Acad. Roy. Sc. [3] 27, 905—933. — ²⁾ Zeitschr. anorg. Chem. 6, 392—410.

gerade so ändert, wie der rein physikalische Vorgang seiner Verdampfung. Da aber die Dampftension durch Steigerung der Temperatur regelmässig wächst, vermuthet Verfasser durch Betrachtung der gebrochenen Stellen der Curve noch einen Vorgang chemischer Art, in der Weise, dass eine Vereinigung der Moleküle der Substanz mit denen des Lösungsmittels stattfindet. Auch der Umstand, dass ein Körper sich gewissermassen sein Lösungsmittel auswählt, lässt einen Vorgang chemischer Natur vermuthen. Verfasser stellt sich vor, dass bei geringer Analogie des Lösungsmittels und der in Lösung gehenden Substanz zunächst die Moleküle, bevor sie in Auflösung gehen, sich an ein oder mehrere Moleküle des Lösungsmittels binden, hierdurch die Aehnlichkeit in der Zusammensetzung und Constitution bewerkstelligen und dass dann erst der rein physikalische Vorgang der Vertheilung oder Diffusion erfolgen kann, nachdem ihm dieser Vorgang wesentlich chemischer Natur vorangegangen ist.

Ly.

Gerhard Krüfs und Edmund Thiele. Ueber den Lösungszustand des Jods und die wahrscheinliche Ursache der Färbungsunterschiede seiner Lösungen¹⁾. — Als Ursache für die Färbungsunterschiede von Jodlösungen bei Anwendung verschiedener Lösungsmittel stellen Verfasser folgende drei Möglichkeiten auf. 1. Bildung verschieden grosser Molekularcomplexe des gelösten Jods. 2. Bildung von Molekularverbindungen zwischen Lösungsmittel und gelöster Substanz. 3. Einfluss des Brechungs- und Dispersionsvermögens des Lösungsmittels auf die Verschiebung des Absorptionsstreifens der gelösten Substanz. Diese drei Möglichkeiten werden der Reihe nach geprüft. Die Untersuchungen von Paternò und Nasini²⁾, Loeb³⁾ und Gautier und Charpy⁴⁾ führten zu dem Resultat, dass in den verschiedenen Jodlösungen Jod in den Molekulargrößen J_2 , J_3 und J_4 enthalten sei, während Beckmann⁵⁾, Hertz⁶⁾ und Nernst⁷⁾ als Molekulargröße des Jods in verschieden gefärbten Lösungen immer nur J_2 fanden. Die von den Verfassern nach der Gefrierpunktniedrigung und Siedepunkterhöhung ausgeführten Untersuchungen von Lösungen des Jods in Aethyläther, Benzol, Chloroform, Schwefelkohlenstoff und Eisessig zeigen durchweg die Molekulargröße J_2 . Es scheint also die erste Möglichkeit ausgeschlossen zu sein. Auch die zweite Möglichkeit, die Bildung von Molekularverbindungen zwischen

¹⁾ Zeitschr. anorg. Chem. 7, 52—81. — ²⁾ Ber. 20, 2153. — ³⁾ JB f. 1888, S. 74, 127. — ⁴⁾ JB f. 1890, S. 449, 450. — ⁵⁾ Dasselbst, S. 187. — ⁶⁾ Dasselbst, S. 191. — ⁷⁾ Dasselbst, S. 214.

Lösungsmittel und gelöster Substanz, fällt bei Betrachtung der bei 1. gefundenen Resultate fort; denn, da die Bildung von Molekularverbindungen einen Theil des Lösungsmittels verbraucht, wird die Concentration geändert. In der Rechnung müßte diese dann kleiner angesetzt werden und die erhaltenen Werthe müssen also zu klein ausfallen, und zwar mit wachsender Concentration abnehmend. Für alle Jodlösungen ist aber der Molekularwerth J_2 gefunden worden, jedenfalls niemals kleiner. Zur Prüfung des dritten Punktes, ob nach der Kundt'schen Regel¹⁾ bei den Jodlösungen der Uebergang von Braun zu Violett mit einer regelmäßigen Zunahme der brechenden Kraft des Lösungsmittels in Zusammenhang gebracht werden könne, haben Verfasser eine Reihe von Spectraluntersuchungen bei 34 verschiedenen Lösungsmitteln gemacht. Es zeigen sich in ihren Resultaten so viel Ausnahmen der Kundt'schen Regel, daß auch eine Annahme der dritten Möglichkeit hinfällig wird. Nach diesen resultatlosen Versuchen kommen Verfasser wieder auf den ersten Punkt zurück. Geführt durch Untersuchungen von Anschütz²⁾, Behrend³⁾ und Hittorf⁴⁾ stellen sie den Satz auf, daß die Molekularverbindungen so auf die Gefrierpunkterniedrigung resp. Siedepunkterhöhung einwirken, als ob sie in der Lösung in ihre Componenten zerfallen wären, während doch andererseits Farbe und Löslichkeitsverhältnisse im Allgemeinen einen so weit gehenden Zerfall nicht wahrscheinlich machen. Verfasser konnte selbst an einigen Beispielen dies bestätigen. Da nun deswegen der aus Gefrier- oder Siedepunktbeobachtungen berechnete Molekularwerth für Molekularverbindungen sich als arithmetisches Mittel beider Componenten ergibt, so wird derselbe vom Gewicht der Molekularverbindung stark abweichen, wenn die Componenten verschieden groß sind. Sind aber die Componenten gleich, wie in dem zu untersuchenden Falle, so wird sich als arithmetisches Mittel immer ein Molekularwerth ergeben, der dem einfachen Molekül entspricht, auch wenn der Molekularcomplex aus mehr als zwei gleichartigen Molekülen zusammengesetzt ist. Es würden also die zu 1. gemachten Gefrier- und Siedepunktbestimmungen nicht beweisend sein für die nothwendig alleinige Anwesenheit des Molekularcomplexes J_2 , so daß doch die Farbenunterschiede der Jodlösungen in der Bildung größerer oder kleinerer Molekularcomplexe ihre Begründung finden könnten.

Fg.

¹⁾ Pogg. Ann., Jubelband 1874, S. 616. — ²⁾ JB. f. 1889, S. 135. — ³⁾ JB. f. 1892, S. 213. — ⁴⁾ Pogg. Ann. 100, 547.

Alexander A. Jakovkin. Ueber die Dissociation von Kaliumtrijodid in wässriger Lösung¹⁾. — In einer wässrigen Jodjodkaliumlösung ist ein Gleichgewichtszustand $\text{KJ}_3 \rightleftharpoons \text{KJ} + \text{mJ}$ vorhanden. Nehmen wir an, daß im Volumen v der Lösung 1 Mol. titrirten Jods sich befinde, wobei x den dissociirten und $1 - x$ den mit Jodkalium vereinigten Theil darstellt, und daß a die Zahl der Kaliumjodidmoleküle auf ein Jodmolekül bedeute, so wird $a - 1 + x$ die vorhandene freie Jodkaliummenge ergeben. Für das Gleichgewichtssystem finden wir $(a - 1 + x)x^m = Kc(1 - x)$. Für m wird 1 gesetzt in der Vermuthung, daß die Verbindung in der Lösung KJ_2 ist; x kann man bestimmen, wenn man die Lösung mit Schwefelkohlenstoff schüttelt: das Theilungsverhältniß zwischen Schwefelkohlenstoff und Wasser beträgt für Jod 410 zu 1. Der Dissociationsgrad wird also durch Division der Concentrationsgröße von Jod in Schwefelkohlenstoff durch die um 410mal vergrößerte Concentrationsgröße von Jod in Kaliumjodidlösung erhalten. Rechnet man die Constante der obigen Gleichung aus, so ergibt sich eine genügende Uebereinstimmung.

Hc.

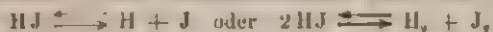
Max Bodenstein. Ueber die Zersetzung des Jodwasserstoffgases in der Hitze²⁾. — Die Arbeit stellt eine ausführliche Untersuchung über die Zersetzung des Jodwasserstoffs und über die Bildung desselben aus den Componenten durch Wärme dar. Bezüglich vieler Einzelheiten der eingehenden und überaus genauen Arbeit muß auf das Original verwiesen werden. Als Hauptergebnis lassen sich wohl folgende Punkte anführen: Eine untere Grenze für die zur Reaction nöthige Temperatur ist nicht vorhanden; die Reactionsgeschwindigkeit ist aber in hohem Grade von der Temperatur abhängig. Die Gleichgewichtszustände für verschiedene Temperaturen sind folgende:

Temperaturgrad	Zersetzter HJ
518	0,2463
448	0,2143
394	0,1957
350	0,1763
340	0,1706
320	0,1601
310	0,1669
290	0,1637

Es schlossen Versuche an über die zeitliche Verfolgung des Reactionsverlaufes der Zersetzung und Bildung des Jodwasserstoffs

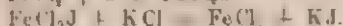
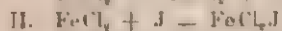
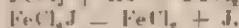
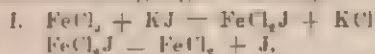
¹⁾ Zeitschr. physik. Chem. 13, 539–542. — ²⁾ Daselbst, S. 56–127.

bei verschiedenen Temperaturen. Hierbei konnte aber nicht unterschieden werden, ob der Reactionsverlauf nach der Gleichung:



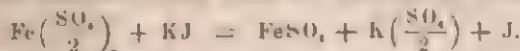
vor sich geht. Ähnliche Versuche bei wechselnden Drucken ergeben aber, daß durch gesteigerten Druck die Constante der Zersetzungsgeschwindigkeit zunimmt, was nur bei Geltung der ersteren Gleichung möglich ist. Im Gleichgewichtszustande wächst die Zersetzung mit dem Druck, entgegen den Gesetzen der Thermodynamik; dieser Widerspruch konnte nicht eindeutig gelöst werden. *H₂*.

Karl Seubert und A. Dorrer. Ueber die Einwirkung von Eisenchlorid auf Jodkalium und Jodwasserstoff ¹⁾. — Als wichtigste Ergebnisse der Arbeit beschreiben die Verfasser: Die Einwirkung von Eisenchlorid auf Jodkalium oder Jodwasserstoff hängt von der Zeitdauer, den Massen der reagirenden Stoffe, der Verdünnung und der Temperatur ab. Die Curven, welche die Ergebnisse hinsichtlich der Menge des freigewordenen Jods graphisch darstellen, steigen sämmtlich zuerst steil an und verlaufen dann nach ziemlich scharfer Biegung fast horizontal. Die Umkehrbarkeit des Processes sowie die Wahrscheinlichkeit der Bildung von $FeCl_2J$ wird erwiesen. Das Ergebniss der Einwirkung wird durch zwei entgegengesetzte Reactionen begrenzt, deren jeinaliger Verlauf von den Versuchsbedingungen abhängt:



H₂.

Karl Seubert und R. Rohrer. Ueber die Einwirkung von Ferrisulfat auf Jodkalium und Jodwasserstoff ²⁾. — Für die Einwirkung von Ferrichlorid auf Jodkalium und Jodwasserstoffsäure hatten Seubert und Dorrer ³⁾ die Abhängigkeit von der Zeit, der Masse der wirkenden Stoffe, von Verdünnung und Temperatur gezeigt. Da Ferrisulfatlösungen bei der jodometrischen Eisenbestimmung ebenfalls neben dem Chlorid häufig in Frage kommen, sehen eine ähnliche Untersuchung auch hier wünschenswerth. Die normale Reaction sollte nach der Gleichung verlaufen:



Von den Reagentien kamen $\frac{1}{10}$ -normale Lösungen zur Verwendung. Bei der Berechnung der Resultate wurde die theoretisch nach obiger Gleichung mögliche maximale Jodmenge (1 J) gleich

¹⁾ Zeitschr. anorg. Chem. 5, 339—353, 411—436. — ²⁾ Dasselbst 7, 136—153. — ³⁾ S. vorstehendes Referat.

100 gesetzt, so daß sich die Versuchszahlen als Procente dieses Maximalwerthes darstellen. In Bezug auf den zeitlichen Verlauf der Reaction liefs sich zunächst feststellen, daß sie wesentlich langsamer als beim Eisenchlorid verläuft, und daß die beim Endzustande ausgeschiedene Jodmenge geringer ist als beim Ferrichlorid. Bei Verwendung von 1 KJ auf 1 $\text{Fe}\left(\frac{\text{SO}_4}{2}\right)_x$ waren nach

18 Stunden ausgeschieden 36,4 Proc. der theoretischen Jodmenge (bei FeCl_3 57,5). Bei Zusatz von 6 Mol. KJ wird der Unterschied zwischen dem Ferrisulfat (93,4) und dem Chlorid (95,3) kleiner und er liegt von 10 Mol. KJ an innerhalb der Fehlergrenzen. Selbst bei sehr grossem Ueberschufs an Jodkalium (50 Mol.) ist die theoretische Jodmenge nicht erreicht, sie beträgt dann beim Ferrisulfat 97,9 Proc., beim Chlorid 96,6 Proc. War Ferrisulfat im Ueberschufs, so mußte das Jod mit CS_2 ausgeschüttelt werden, daß es sich theilweise in fester Form ausschied und der Proceß bei der Titration weiterging. Hier verläuft die Einwirkung ebenfalls langsamer und unvollständiger als beim Ferrichlorid. Während schon 20 Mol. FeCl_3 während 18 Stunden die theoretische Menge J in Freiheit setzten, war bei 20 Mol. $\text{Fe}\left(\frac{\text{SO}_4}{2}\right)_x$

im gleichen Zeitraume erst 78,9 Proc. Jod ausgeschieden. Die Umsetzung war erst bei Zusatz von 40 Mol. Ferrisulfat vollständig. Aus JH wird durch Ferrisulfat Jod schneller abgeschieden, die Reaction verläuft aber doch wesentlich langsamer als beim Chlorid. Im Endzustand, der nach 48 Stunden eintrat, betrug bei Zusatz von 1 Mol. Ferrisulfat die Jodausscheidung 45,6 Proc. Ferrichlorid (1 Mol.) scheidet in 24 Stunden 64,6 Proc. aus. Bei steigendem Zusatz von JH nimmt die Jodausscheidung erst langsamer zu, um aber dann schneller als beim Chlorid zu wachsen. Bei Gegenwart von 15 Mol. JH war die Ausscheidung vollständig. Umgekehrt sind bei einer Dauer von 18 Stunden 40 Mol. Ferrisulfat und bei Dauer von 48 Stunden 30 Mol. nöthig, um alles Jod in Freiheit zu setzen. Es gelang den Verfassern, von beiden Wegen ausgehend, die Reaction zu dem der Umkehrbarkeit



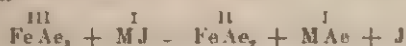
entsprechenden Gleichgewichtszustande zu bringen.

Mr.

Karl Seubert und Rudolf Rohrer. Ueber die Einwirkung von Ferriacetat auf Kaliumjodid und Jodwasserstoff ¹⁾. — Aus den

¹⁾ Zeitschr. anorg. Chem. 7, 393—405.

Versuchen, die Verfasser über diesen Gegenstand ausgeführt haben, ergibt sich Folgendes: Ferriacetat und Jodkalium wirken weder in neutraler noch in essigsaurer Lösung unter Freiwerden von Jod auf einander ein. Giebt man jedoch Salzsäure oder Schwefelsäure zu, so werden bei einem Verhältniss von 3 Aeq. der genannten Säuren auf 1 Mol. Ferriacetat mit der Zeit annähernd die gleichen Mengen Jod frei gemacht, wie bei Anwendung der äquivalenten Menge Eisenchlorid bezw. Ferrisulfat. Lässt man Ferriacetat auf Jodwasserstoff reagiren, so wird zwar Jod frei gemacht, aber bei Anwendung von nur 1 Mol. Jodwasserstoff auf 1 Aeq. Ferrisalz in bedeutend geringerer Menge als bei Anwendung von Eisenchlorid und Ferrisulfat. Bei zunehmendem Ueberschuss an Jodwasserstoff verschwindet jedoch dieser Unterschied mehr und mehr und bei 10 Mol. HJ auf 1 Aeq. Eisensalz erhält man in allen drei Fällen fast den gleichen Werth (ca. 99 Proc.). Ein Zusatz von Salzsäure oder Schwefelsäure führt auch bei dem Verhältniss $\text{Fe}(\text{C}_2\text{H}_3\text{O}_2)_3:\text{HJ}$ zu Werthen für das freigewordene Jod, die sich den mit Eisenchlorid bezw. Ferrisulfat erhaltenen nähern. Da die Acidität für Äquivalente der drei Säuren, bezogen auf Salpetersäure = 100, für Salzsäure 98, Schwefelsäure 49, Essigsäure 1,23 beträgt, so scheint es, als ob die Menge des bei der Reaction



im Endzustande wirklich in Freiheit gesetzten Jods mit der Acidität der im Ferrisalz vorhandenen Säure zunimmt. *Tr.*

Charlotte E. Roberts. Die Einwirkung von Reductionsmitteln auf Jodsäure¹⁾. — Der erste Theil der Arbeit betrifft die Einwirkung von Stickoxydgas auf Jodsäurelösungen und hat das Ergebniss, dass Stickoxyd durch salzsaure Lösungen von Jodsäure bei den verschiedensten Concentrationen — wenn auch nur langsam — absorbirt wird. — Andere reducirende Substanzen wirken bei Gegenwart von Salzsäure auf Jodsäure nicht unter Abscheidung von Jod, sondern unter Bildung von Jodmonochlorid: $\text{HJO}_3 + 2\text{KJ} + 5\text{HCl} = 3\text{H}_2\text{O} + 2\text{KCl} + 3\text{JCl}$. Letzteres zersetzt sich mit mehr Jodkalium in Jod und Chlorkalium. Ebenso verhält sich Jod bei der Einwirkung auf Jodsäure: $2\text{HJO}_3 + 4\text{J}_2 + 10\text{HCl} = 10\text{JCl} + 6\text{H}_2\text{O}$. Kaliumhydroxyd oder -carbonat setzt sich mit Chlorjod folgendermassen um: $6\text{KOH} + 5\text{JCl} = 5\text{KCl} + \text{KJO}_3 + 3\text{H}_2\text{O} + 2\text{J}_2$. *Hlz.*

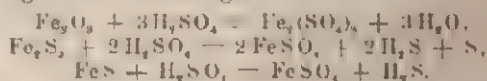
¹⁾ Sill. Am. J. 48, 151–158.

Ernest H. Cook. Wirkung von Hitze auf Jodate und Bromate. I. Kaliumjodat und -bromat¹⁾. — Die Arbeit enthält Angaben über die Reindarstellung von Kaliumjodat, -bromat und -jodid. Beim Erhitzen des Kaliumjodats und -bromats entsteht kein Perjodat oder Perbromat. Das Jodat liefert dabei außer Sauerstoff 0,308 Proc. Jod, das Bromat 0,08 Proc. Brom, das Chlorat 0,03 Proc. Chlor. H.

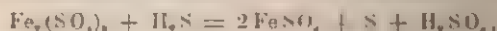
Schwefel. Selen.

R. Helmhacker. Vorkommen von Schwefel in Rußland: — In kalkigen Mergeln der Permformation bei Sjukjejevo (Kasza) in tertiärem Mergel in Čarkovo (Polen), im Kaukasus und auf den zahlreichen aus Schlammvulkanen entstandenen Hügeln im transkaspischen Gebiete finden sich abbauwürdige Schwefelvorkommen. Es wird jedoch nur sehr wenig gefordert, so daß die jährliche Einfuhr einen Werth von 1 Million Goldrubel repräsentirt. Mr.

A. Buisine. Darstellung von Schwefel aus Schwefelkieser, unter gleichzeitiger Gewinnung von schwefelsaurem Eisenoxydul: — Die an der Luft nur unvollkommen gerösteten Pyrite (FeS_2) werden mit concentrirter heißer Schwefelsäure (60° B.) behandelt. Bei der Erhitzung auf etwa 100° tritt eine ziemlich heftige Reaction ein unter Entweichen von Wasserdampf mit Spuren von Schwefel, schwelliger Säure und Schwefelwasserstoff, welche in einem Waschapparat zurückgehalten werden. Durch Auslaugen des Reactionsproductes mit heißem Wasser erhält man eine Lösung von schwefelsaurem Eisenoxydul und im Rückstande verbleibt fast der gesammte Schwefel im ungebundenen Zustande, der entweder durch Schmelzen oder durch Auswaschen mit Schwefelkohlenstoff abgeschieden wird. Die Einwirkung der Schwefelsäure auf den unvollkommen gerösteten aus Eisenoxyd, Eineinhalbfach-Schwefeleisen und Einfach-Schwefeleisen bestehenden Pyrit verläuft nach folgenden Gleichungen:

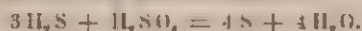


Der Schwefelwasserstoff reducirt das schwefelsaure Eisen:



¹⁾ Chem. Soc. J. 65, 802—814. Chem. News 69, 272—273. — ²⁾ Berg- u. Hüttenm. Zeitg. 53, 289—290. — ³⁾ D. R.-P. Nr. 73 222.

ist dabei Ueberschuß an Schwefelwasserstoff vorhanden, so zersetzt sich derselbe durch die Schwefelsäure:



Es sind also die Producte des Processes allein Schwefel und schwefelsaures Eisenoxydul. *Op.*

L. Bémelmans. Darstellung von Schwefel aus Schwefelwasserstoff und schwelliger Säure¹⁾. — Schwefelwasserstoff, welcher durch Reduction von schwelliger Säure gewonnen sein kann, und schwellige Säure werden in trockenem bezw. getrocknetem Zustande gemischt und erhitzt, worauf erst durch Zuleitung von Wasserdampf die bekannte Umsetzung eingeleitet wird. *Op.*

M. M. Rotten. Condensation des bei der unvollkommenen Verbrennung von Schwefelwasserstoff erzeugten gasförmigen Schwefels²⁾. — Um den bei der unvollkommenen Verbrennung von Schwefelwasserstoff durch atmosphärische Luft erzeugten gasförmigen Schwefel aus den beigemengten Gasen wasserfrei und im flüssigen Zustande abzuscheiden, wird den letzteren Wasser oder Wasserdampf allein oder mit Luft gemischt beigemengt, so daß die Temperatur des flüssigen Schwefels erreicht wird, also eine Abkühlung der Gase bis auf etwa 120 bis 150° eintritt. Die Gase läßt man dann zweckmäÙig durch ein mit Vertheilungskörpern (Röhrchen, Chamotte- oder Steinstückchen u. dergl.) gefülltes und auf einer geeigneten Temperatur gehaltenes Gefäß streichen, um den Schwefelmolekülen Gelegenheit zu geben, sich zu Tropfen zu vereinigen. *Op.*

A. de Gramont. Ueber die Linienspectren des Schwefels und dessen Nachweis in Metallverbindungen³⁾. — In den Funkspectren der Metallsulfide befinden sich in dem grünen Theil des Spectrums Linien, deren Wellenlängen mit denen des secundären Spectrums des Schwefels zusammenfallen. Dieses secundäre Spectrum kann nicht nur erhalten werden bei Benutzung einer Pücker'schen Röhre, in der sich Schwefeldampf unter geringem Druck befindet, sondern auch bei gewöhnlichem Druck und bei gewöhnlicher Temperatur, wenn man den Funken zwischen zwei mit reinem Schwefel überzogenen Platindrähten oder Kohlen spitzen überspringen läßt. Es empfiehlt sich, einen Condensator zwischenzuschalten, da sonst der Schwefel sich entzündet und wenig leuchtet. Verfasser giebt dann eine Tabelle über die Wellenlängen der beobachteten Linien des Schwefels und eine

¹⁾ D. R.-P. Nr. 77335. — ²⁾ D. R.-P. Nr. 74625. — ³⁾ Compt. rend. 119, 68—71.

Darstellung des Spectrums des elementaren und des Sulfid-schwefels. Schwefel konnte Verfasser auf spectroscopischen Wege im Bleiglanz, im Boulangerit, Bournonit, Spiessglanz, Chalkosin, Enargit, Pyrit, Milleret, Zinnober und anderen Sulfiden nachweisen. Selbst der geringe Schwefelgehalt des Handelsschwefels läßt sich so erkennen.

Richard Threlfall, J. H. D. Brearley u. J. B. Allen. Untersuchungen über die elektrischen Eigenschaften reiner Körper. Nr. 1. Die elektrischen Eigenschaften des reinen Schwefels. (Anzug)¹⁾. — Der erste Theil der Arbeit beschäftigt sich mit der Darstellung des reinen Schwefels. Es wurde Chance-Schwefel der bereits außerordentlich rein (0,01 Proc. Verunreinigung) geschmolzen, durch Glaswolle und Platingaze filtrirt und zur Entfernung von Staub zweimal, eventuell im Vacuum, destillirt. S. dargestellter Schwefel war geruchlos, ohne Rückstand beim Verdampfen, hellgelb bei plotzlicher Abkühlung der hoch erhitzten Schmelze und die vollkommen krystallinischen Producte ohne Rückstand löslich in Schwefelkohlenstoff. Der Schwefel war frei von Selen und Arsen. Verfasser berichten dann weiter ausführlich über ihre Methode zur Messung hoher Widerstände und die Construction empfindlicher Galvanometer für diesen Zweck. Die Empfindlichkeitsgrenze lag bei $3 \cdot 10^{-14}$ Amp. Krystallisirter monokliner Schwefel oder „alter“ monokliner Schwefel, der als besondere Modification angesehen wird, da sich trotz des gleichen Schmelzpunktes die krystallographischen Eigenschaften geändert haben, zeigen mindestens einen specifischen Widerstand von 10^{28} C.-G.-S.-Einheiten. Luftfeuchtigkeit vermindert den Widerstand jedoch in geringerem Maße als bei Glas. Das elektrische Residuum beträgt bei sorgsamer Trocknung etwa 1 Proc. von dem bei unvollkommener Trocknung beobachteten. Die elektrische Stärke des krystallisirten Schwefels beträgt mindestens 33000 Volt pro Centimeter. Die specifische Inductionscapacität steigt langsam mit der Temperatur, bei 75° beträgt der specifische Widerstand bei 285 Volt für den Quadratmillimeter ungefähr $6,5 \cdot 10^{25}$ C.-G.-S.-Einheiten. Bei dem Schmelzpunkt steigt die Leitfähigkeit enorm. Ein Gehalt von 5 Proc. unlöslichem Schwefel drückt den Widerstand herab, so daß dieser bei gewöhnlicher Temperatur 10^{25} — 10^{26} C.-G.-S.-Einheiten beträgt, doch wird die Leitfähigkeit erst nach einiger Zeit constant. Der Temperaturcoefficient der specifischen Inductionscapacität beträgt $+ 2 \cdot 10^{-6}$ pro Grad. Erwärmt

¹⁾ Lond. R. Soc. Proc. 56, 32—40.

man das Gemenge auf ungefähr 50°, so steigt die Leitfähigkeit in Folge der Umwandlung von unlöslichem Schwefel bedeutend. Verfasser haben dann auch die interessante Beobachtung gemacht, daß durch Druck unlöslicher Schwefel in löslichen übergeht. Die Contactkraft zwischen löslichem und unlöslichem Schwefel beträgt etwa 1 bis 2 Volt und zwar hält der unlösliche Schwefel die positive Ladung fest. Den von Monkmann behaupteten Einfluß des Lichtes auf die Leitfähigkeit von Schwefel fanden Verfasser nicht bestätigt. Bei 14° wurden für die specifischen inductiven Capacitäten folgende Werthe erhalten:

„Alter“ monokliner Schwefel	K = 3,162.
„ „ „ mit 1,43 Proc. unlöslichem Schwefel	K = 3,510.
„ „ „ „ 3,75 „ „ „	K = 3,75.

Die Verfasser glauben, daß löslicher und unlöslicher Schwefel nicht leiten, daß vielmehr die Leitung elektrolytisch ist und von einer Verbindung der einen Modification mit der anderen herührt.

Mr.

J. Brunhes u. J. Dussy. Ueber die Zähigkeitsänderung bei geschmolzenem Schwefel¹⁾. — Verfasser haben die Ausflusgeschwindigkeit von Schwefel aus Capillaren bei verschiedenen Temperaturen gemessen. Die Geschwindigkeit nimmt vom Schmelzpunkte des Schwefels zu, bis die Temperatur von 156 bis 157° erreicht ist, dann sinkt sie sehr rasch. Schon bei 162° ist die Viscosität so beträchtlich, daß der Schwefel bei einem Quecksilberdruck von 700 mm nicht mehr durch Röhren von 1 mm Durchmesser fließt. Der Schwefel unterliegt hier offenbar einer Zustandsänderung, die dann von einer im umgekehrten Sinne gefolgt ist. War die Geschwindigkeit bei 115,5° gleich 1000, so betrug sie bei 156° als Maximum 1796. Olivenöl von 25,5° passirte die benutzte Capillare 10,66mal langsamer als Schwefel von 115,5°. Da die Ausflusgeschwindigkeit des Wassers in Bezug auf Olivenöl 205,43 beträgt, berechnet sich das Verhältniß der Ausflusgeschwindigkeit von Wasser von 25,5° und von Schwefel von 115,5° zu 1:0,0518. Bei 156° ist das Verhältniß 1:0,093. Mr.

Emil Tittinger. Ueber die Löslichkeit von Sulfur präcipitatum in Schwefelkohlenstoff²⁾. — Nach der österreichischen Pharmacopöe soll der präcipitirte Schwefel leicht und vollkommen mit CS₂ in Lösung gehen. Dieser Forderung leisten Sulfur depuratum und Sulfur sublimatum, wie bekannt, nicht Genüge. Bereitet man jedoch nach der Vorschrift oben genannten Werkes sich ein Calciumpolysulfid und setzt nur so viel Salzsäure hinzu,

¹⁾ Compt. rend. 118, 1045—1046. — ²⁾ Pharm. Post 27, 297.

dafs noch schwach alkalische Reaction eintritt, so ist der nach dem Auswaschen mit destillirtem Wasser getrocknete Schwefel leicht und vollkommen löslich, wird dagegen so viel HCl zugesetzt, dafs deutlich saure Reaction eintritt, so ist vollkommene Löslichkeit nicht zu erreichen. Ein Theil des aus der alkalischen Lösung abgeschiedenen Schwefels lost sich glatt in 5 Thl. Schwefelkohlenstoff. Mr.

Thos. Ewan. Ueber die Oxydation von Phosphor, Schwefel und Aldehyd¹⁾. — Sauerstoff wirkt bisweilen im verdünnten Zustande energischer als im concentrirten. Verfasser hat dies Verhalten bei der langsamen Verbrennung von Phosphor, Schwefel und Aldehyd geprüft. Steigt der Druck des mit Wasserdampf gesättigten Sauerstoffs über 700 mm, so findet keine Einwirkung statt. Bei fallendem Druck steigt zunächst die Reaktionsgeschwindigkeit erheblich, bleibt dann annähernd constant und sinkt schliesslich bei weiterer Druckverminderung. Offenbar reagirt hier der Phosphordampf mit dem Sauerstoff und die Verdampfung des Phosphors wird bei sinkendem Druck schnell zunehmen. Trockener Sauerstoff wirkt erst bei Drucken unter 200 mm ein. Die Oxydationsgeschwindigkeit steigt bei fallendem Druck bis zu einem Maximum und nimmt dann proportional der Quadratwurzel des Sauerstoffdruckes ab. Beim Schwefel tritt die Reaction mit genügender Schnelligkeit erst bei 160° ein. Auch hier war die Geschwindigkeit der Oxydation proportional der Quadratwurzel des Sauerstoffdruckes. Beim Aldehyd war die Reaktionsgeschwindigkeit genauer zu messen und ergab sich als proportional dem Product aus Aldehyddruck und der Quadratwurzel des Sauerstoffdruckes. Mr.

E. Pollacci. Oxydirende Wirkung der Luft auf Schwefel. — Setzt man reinen gepulverten Schwefel mit Wasser zu einem Brei verrührt, der Luft aus, so findet langsame Oxydation zu Schwefelsäure statt. Steigerung der Temperatur, Belichtung und die Anwesenheit von Humus, Kalk befördern diese Oxydation. Als nun Verfasser reinen Sauerstoff auch unter Einfluss des Sonnenlichtes auf Schwefelbrei einwirken liess, wurde keine Schwefelsäure beobachtet. Dagegen wirkte von Ozon nicht befreite Luft und noch weit stärker nach Berthelot erzeugter ozonisirter Sauerstoff sehr bald unter Bildung von Schwefelsäure ein. Verfasser schreibt daher die natürliche Oxydation des Schwefels dem Ozongehalt der Luft zu. Mr.

¹⁾ Chem. News 70, 90-91. — ²⁾ Chemikerzeit. 18, Rep. 125.

Keep. Wirkung des Schwefels bei Gufseisen¹⁾. — Für Gießereizwecke findet meistens graues Gufseisen, das den größeren Theil des Kohlenstoffs in Form von Graphit und außerdem noch beträchtliche Mengen Silicium enthält, Anwendung. Entweder gießt man direct vom Hochofen aus, oder die Eisenbarren werden einer zweiten Schmelzung unterworfen, wobei das Eisen direct mit dem Brennstoff, gewöhnlich Koks, in Berührung kommt. Ist der Koks schwefelhaltig, so verwandelt dieser den grauen Gufs in weißen. Verfasser erklärt diese schädliche Erscheinung dadurch, daß er annimmt, daß der Schwefel dem Eisen Kohlenstoff und Silicium entzieht und gleichzeitig damit die Widerstandsfähigkeit vermindert, während das Schwinden vermehrt wird. Schwefel wird bei diesem Process nur wenig aufgenommen. Diese Annahmen hat Verfasser durch eine Reihe von Versuchen gestützt, bei Zusatz von Schwefel geht regelmäßiger Kohlenstoff- und Siliciumgehalt zurück. *Mr.*

J. R. Willson. Die Wirkung von Kohlensäure, Kohlenoxyd, Schwefelwasserstoff und Wasser- und Leuchtgas auf den thierischen Organismus²⁾. — Ueber die Giftwirkung der Gase gehen die herrschenden Ansichten weit aus einander. Verfasser hat die Frage neu experimentell geprüft und brachte zu dem Zwecke das Versuchsthier in eine Glasglocke, die mit Gemischen aus Luft und dem giftigen Gase gefüllt war. Ein Kaninchen vertrug während einer Stunde den Aufenthalt in einer Atmosphäre von 10 Proc. CO_2 und 90 Proc. Luft scheinbar ohne Einwirkung, ausgenommen einer größeren Aufregtheit. Ebenso wurde bei derselben Versuchsdauer 25 Proc. CO_2 + 75 Proc. Luft gut ertragen. 50 Proc. CO_2 + 50 Proc. Luft verursacht nach 17 Minuten den Tod. Bei 75 Proc. CO_2 trat der Tod in 10 Minuten ein. Kohlenoxyd führte zum Tode, sobald die vorhandene Menge 4 Proc. betrug. Viel gefährlicher als CO ist noch H_2S . Schon $\frac{1}{10}$ Proc. vermag nach 37 Minuten zu tödten, bei Gegenwart von 1 Proc. H_2S trat unter heftigen Krämpfen der Tod nach 1 Minute ein. Leuchtgas kann tödtlich wirken, wenn es in einer Concentration von 5 Proc. in der Atmosphäre vorhanden ist. Versuche an Mäusen zeigen, daß hier das Erlöschen der Lebensthätigkeit schneller erfolgt, die Giftwirkung ist also abhängig von der Größe des Objects. *Mr.*

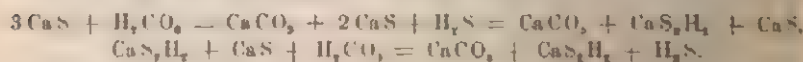
G. Lunge. Hermann Frasch's mechanischer Röstofen für Schwefelmetalle und andere Zwecke³⁾. — Der Röstofen von Frasch

¹⁾ Bull. soc. chim. 11. 27—29. — ²⁾ Chem. News 79. 159—162. — ³⁾ Zeitschrift angew. Chem. 1894, S. 15—18.

ist nichts weiter als eine glückliche Abänderung des vom Verfasser früher ausführlich beschriebenen Röstofens von Gebrüder Mac Dongall. Die Hauptschwierigkeit hatte bei dem Verfahren der letzteren in der Construction der Rührer gelegen. Dieser Uebelstand vermeidet die Anordnung von Fräsen. In Bezug auf die interessanten technischen Einzelheiten muß jedoch, da sie ohne Figur sich nicht anschaulich wiedergeben lassen, auf das Original verwiesen werden. Erwähnt sei noch, daß der Erfinder diesen Ofen zunächst für ein Entschwefelungsverfahren von amerikanischen Rohölen ausarbeitete. Da die Entschwefelung durch Metalloxyde geschieht, entstand die Frage nach Verarbeitbarkeit der erhaltenen Sulfide. Der Ofen ist jedoch zu allen Röstzwecken gut zu verwenden. Der Erfinder will ihn auch benutzen, um Blei in Bleioxyd zu verwandeln, und zu sonstigen Oxydationen, ferner zu Reductionen oder Carburirungen. Mr.

E. Mathias. Ueber die spezifische Wärme der flüssigen schwefligen Säure¹⁾. — Im Allgemeinen wächst die spezifische Wärme der Flüssigkeiten mit der Temperatur. Bei der kritischen Temperatur sagt die Theorie voraus, daß hier die spezifische Wärme der Flüssigkeit $+ \alpha$ wird, umgekehrt wird der gesättigte Dampf die spezifische Wärme $- \alpha$ haben. Verfasser hat diese Voraussage an dem flüssigen Schwefeldioxyd geprüft, indem er bestimmte Mengen der flüssigen SO_2 in einen Recipienten einschloß, während mehrerer Stunden erhitze und dann in ein Calorimeter tauchte. Die daraus berechneten spezifischen Wärmen zwischen -20 bis $+130$ ließen sich annähernd durch die Formel wiedergeben: $m = 0,31712 + 0,0003507 t + 0,000006762 t^2$. Die Theorie hat auch hier Bestätigung gefunden. Mr.

B. Kosmann. Die Entsäuerung der Röstgase durch Schwefelcalciumlauge²⁾. — Der Neutralisation der schwefligen Säure durch Calciumsulfid stand die geringe Löslichkeit des Calciumsulfids in Wasser entgegen, bis Opl-Kruschau nachwies, daß Calciumsulfid in Schwefelwasserstoffwasser unter Bildung von Hydrosulfid erheblich leichter löslich ist. Eine solche Lösung kann man durch Einleiten von Kohlensäure in eine Calciumsulfidsuspension erhalten. Es findet hier die Reaction statt:



¹⁾ Compt. rend. 119, 404–407. — ²⁾ Berg- u. Hüttenm. Zeitg. 48, 192–194.

Doch ist die Reaction nach dieser Gleichung nie vollständig und wird technisch nur so weit geführt, bis Geruch nach Schwefelwasserstoff auftritt. Das Verfahren hat gegenüber der Kalkmilchberieselung wesentliche Vortheile. Während dieser Proceß einfach eine Neutralisation nach der Gleichung: $\text{Ca(OH)}_2 + \text{H}_2\text{SO}_3 = \text{CaSO}_3 + 2\text{H}_2\text{O}$ ist, wobei 29040 cal. entwickelt werden, berechnet Verfasser für den Proceß: $\text{CaS}_2\text{H}_2 + 2\text{H}_2\text{SO}_3 = \text{CaSO}_3 + 3\text{S} + 3\text{H}_2\text{O}$ eine Wärmetönung von 96500 cal. Diese starke Wärmetönung bewirkt aber eine erhebliche Expansion des Gases und damit einen guten Luftzug des Ofens. Beim Kalkmilchverfahren wird dagegen der Luftzug verzögert. Ein weiterer Vortheil des Hydrosulfitverfahrens ist der, daß werthvolle Bestandtheile des Flugstaubes, die mit dem Niederschlag ausfallen, gewonnen werden können. Durch Anskochen des Niederschlages mit Kalkmilch wird Calciumpolysulfit wiedergewonnen. Die Kosten des Verfahrens sind nicht wesentlich höher als bei dem Kalkmilchberieselungsverfahren, der Effect dabei aber ein vollständiger.

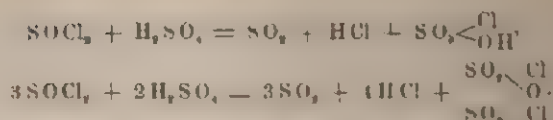
Mr.

G. Halphen. Ueber die Elektrolyse ammoniakalischer Sulfitlösungen¹⁾. — Elektrolysiert man Nickelnitrit bei Gegenwart von ammoniakalischem Sulfit, so bildet sich ein Thiosulfat, das von den bisher beschriebenen Nickelthiosulfaten durch seinen Reichthum an NH₃ abweicht. Diese Entstehung ist nicht an die Gegenwart von salpetriger Säure gebunden, sondern jede elektrolysierte ammoniakalische Alkalisulfitlösung giebt mit ammoniakalischer Nickellösung einen violetten Niederschlag.

Mr.

Ch. Moureu. Einwirkung von Thionylchlorid auf Mineralsäuren²⁾. — Aus der organischen Chemie weiß man, daß das Thionylchlorid, SOCl_2 , entweder wie die Phosphorchloride auf Säuren unter Bildung der Säurechloride oder wasserentziehend wirkt. Läßt man auf reine wasserfreie Schwefelsäure das Säurechlorid einwirken, so bemerkt man zunächst, daß beide Flüssigkeiten sich kaum mischen. Nach einigen Augenblicken tritt jedoch Entbindung von Gasen, die aus HCl und SO_2 bestehen, ein und die Flüssigkeit wird allmählich vollkommen klar. Beim Destilliren und Rectificiren ging der Hauptantheil zwischen 138 bis 157° über. Er besteht nach der Analyse aus einem Gemisch von Monochlorhydrin und dem Pyrochlorhydrin der Schwefelsäure. Es haben sich also die Reactionen vollzogen:

¹⁾ J. Pharm. Chim. [5] 29, 371—372. — ²⁾ Bull. soc. chim. 11, 767—770; Compt. rend. 119, 337—340.



Das Dichlorhydrin, $\text{Cl}-\text{SO}_2-\text{Cl}$, wurde nicht aufgefunden. Salpetersäure und SOCl_2 reagieren stürmisch mit einander. Die Reaction wird dahin gedeutet, daß zuerst NO_2Cl gebildet wird und darauf Oxydation eintritt, wobei die schweflige Säure in Schwefelsäure übergeht. Von den Phosphorsäuren wird die Metasäure nur wenig angegriffen, die Orthosäure, sowie ferner auch die Borsäure reagieren lebhaft damit. Bei den Phosphorsäuren entsteht dabei ein flüchtiges Product, das, mit Ammoniummolybdat behandelt, die Phosphorsäurereaction giebt. — In der Abhandlung der Comptes rendus werden noch einige weitere Reactionen beschrieben. Wie Auger festgestellt hat, wirkt SOCl_2 auf Oxalsäure nicht ein. Bei Einwirkung auf die Oxalate des Natriums des Bleies, des Quecksilbers und des Silbers wurde stets das Chlormetall neben CO , CO_2 und SO_2 erhalten. Auf die beiden letzten Oxalate wirkt SOCl_2 so heftig ein, daß man das Reagens mit absolutem Aether oder Benzol verdünnen muß. Oxalylchlorid, $\text{COCl}-\text{COCl}$, konnte in keinem Falle beobachtet werden. Ameisensäure und Thionylchlorid setzen sich nach der Gleichung um:



Auf Aldoxime wirkt Thionylchlorid sehr heftig ein, so daß man auch hier Benzol als Verdünnungsmittel nehmen muß. Aus dem Benzaloxim, $\text{C}_6\text{H}_5\cdot\text{CH}=\text{NOH}$, wurde in einer Ausbeute von 70 Proc. Benzonitril, $\text{C}_6\text{H}_5\cdot\text{CN}$, erhalten. Isovalerylaloxim, $\text{C}_4\text{H}_9\cdot\text{CH}=\text{NOH}$, gab 48 Proc. des Isovalerylnitrils, eine ätherisch riechende Flüssigkeit, die zwischen 126 bis 128° siedet. Oenanthylaloxim verwandelte sich zu 62 Proc. in Oenanthylnitril, eine Flüssigkeit vom Siedep. 178 bis 180°.

Mr.

P. S. Gilchrist. Verbesserungen in der Schwefelsäurefabrikation¹⁾. — Die Größenverhältnisse der Bleikammern stehen, wie lange bekannt ist, in einer engen Beziehung mit den Ausbeuten und rein empirisch hat man es zweckmäßiger gefunden, an Stelle einer großen Kammer mehrere kleinere zu setzen. Untersucht man die Gase beim Uebergang von einer Kammer zur zweiten, so findet man, daß bei diesem Uebergang eine erhebliche Reaction zwischen den Gasen stattgefunden hat. Verfasser führt dies darauf zurück, daß die Gaspartikelchen sich

¹⁾ Amer. Chem. Soc. J. 16, 498—500.

auf die Wände häufiger aufstoßen, und so häufiger auch zum Zusammenstoß kommen, der dann die Vereinigung bewirkt. Das Verbindungsstück zweier Kammern bewirkt ferner eine bessere Mischung und eine vermehrte Abkühlung des Gases. Einen noch vollkommeneren Effect erzielte Verfasser, als er an Stelle der kurzen Verbindungsstücke Colonnen einschaltete, die, um die Gase in möglichst innige Berührung zu bringen, mit gerippten Thonröhren gefüllt werden. Auf diese Weise wurde eine Verminderung des Kammerraumes von 21,84 Proc. erreicht, während gleichzeitig die Ausbeute an Schwefelsäure um 28,18 Proc. stieg.

Mr.

P. de Boissieu. Fortschritte in der Schwefelsäureindustrie¹⁾. — Verfasser bespricht ein von Barbier ausgearbeitetes Verfahren zur Darstellung von Schwefelsäure, welches erlaubt, geringere Mengen H_2SO_4 für den Eigenbedarf zu produciren. Es werden hier besonders die kostspieligen Bleikammern vermieden, indem die Röstgase ein System von drei Thürmen durchstreichen, deren erste die kleinste, deren letztere die größte Höhe hat. Diese Thürme sind aus widerstandsfähigem Material, mit Bleiplatten bekleidet und mit säurefesten Thoncyllindern gefüllt, die eine große Oberfläche herbeiführen sollen. Am Fufse dieser Thürme befinden sich die treppenförmig angeordneten Concentrationspfannen, die vom Pyritofen geheizt werden. Die Gase treten vorerst in eine besondere Anlage ein, werden hier mit starker H_2SO_4 berieselt und von Staub befreit, dann durchstreichen sie die Thürme. Der erste Thurm wird mit Wasser und Salpetersäure berieselt, die beiden anderen mit dem bei der Concentration entwickelten Wasser gespeist. Bei diesem Eindampfen erfolgt auch die Dinitrifcation, soweit sie nicht im Gay-Lussac erfolgt ist. Die Temperatur der Gase schwankt zwischen 40 bis 90°. Die Concentration erreicht 58 bis 60° Bé.

Mr.

F. J. Falding. Concentriren von Schwefelsäure²⁾. — Die dem Gloverthurm entnommene Säure wird in einem zweiten, ebenfalls zwischen dem Kieselofen (Schwefelbrenner) und der Bleikammer eingeschalteten Thurm (Concentrationsturm) den heißen Röstgasen, welche entweder beide Thürme zugleich oder zuerst den Concentrations- und dann den Gloverthurm vor ihrem Eintritt in die Bleikammer durchziehen, entgegengeführt. Durch dieses Verfahren ist es möglich, ohne Weiteres Schwefelsäure von 60° Bé. aus dem Concentrationsturm zu erhalten.

Op.

¹⁾ Bull. soc. chim. 11, 726—729. — ²⁾ D. R.-P. Nr. 76691.

W. Wolters. Concentration von Schwefelsäure in bleiernen Gefäßen¹⁾. — Beim Concentriren von Schwefelsäure in bleiernen Gefäßen wird schwefelsaures Blei zugesetzt und durch geeignete Rührvorrichtung in der Flüssigkeit schwebend erhalten, um durch den hierdurch erzeugten Zustand der immerwährenden Sättigung der Säure mit Bleisulfat die Gefäße gegen den Angriff der Säure zu schützen. Das in der Hitze gelöste Bleisulfat scheidet sich beim Erkalten bis auf einen unbedeutenden Rest wieder aus. (p.)

Frank Tate. Methoden der Concentrirung von Schwefelsäure²⁾. — Den ursprünglich in England allgemein üblichen Glasretorten zur Concentration hochprocentiger Schwefelsäure war zunächst in dem Platin ein bedeutender Concurrent entstanden. Der Nachtheil der Glasgefäße ist das häufige Zerspringen, während das Platin sehr kostspielig ist. Die Verbesserungsvorschläge gehen nun für die Platinconcentrationsgefäße dahin, diese zu verbilligen oder dauerhafter zu machen. Prentice bringt zur Vergrößerung der Heizfläche Platin in Form von Wellblech an. Delplace arbeitet mit terrassenförmig aufgestellten Pfannen. Ähnliche Principe sind bei dem System von Desmoutis angewandt. Faure und Kefsler nehmen Platinpfannen, die mit gekühlten Bleihauben überdacht sind. In Bezug auf Dauerhaftigkeit sind die von Heräus in den Handel gebrachten goldplattirten Platinretorten allen anderen weit überlegen. Mr.

C. Häufsermann u. Fr. Niethammer. Ueber die Anwendbarkeit elektrischer Wärme zur Concentration der Schwefelsäure. — Versuche der Verfasser. H_2SO_4 mit Gleichstrom zu concentriren, ergaben, dafs eine Concentration damit ausgeschlossen erscheint, da gleichzeitig eine mehr oder minder grofse Zersetzung der Schwefelsäure erfolgt, die sich durch Abscheidung von Schwefel und von Schwefelwasserstoff bemerkbar macht. Bei Anwendung von Wechselströmen tritt eine solche Zersetzung nicht ein und die entweichenden Dampfblasen sind arm an mitgerissener H_2SO_4 , aber die Rentabilität des Verfahrens scheitert an der Kostspieligkeit der verwendeten Energieart. Wurden die Stromein- und -austrittsstelle sehr genähert, so trat auch bei Wechselstrom Gasentwicklung auf, ein Zeichen, dafs auch hier geringe Zersetzung stattfindet. Mr.

G. Lunge u. Abenius. Ueber die Zerstörung der Salpetersäure bei der Concentration der Schwefelsäure durch Ammon-

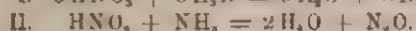
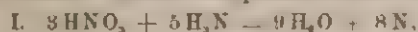
¹⁾ D. R.-P. Nr. 73698. — ²⁾ Chem. Soc. Ind. J. 13. 306—211. —

²⁾ Chemikerzeit. 17, 1907—1908.

sulfat¹⁾. — Der Stickstoff ist in der concentrirten H_2SO_4 entweder als salpetrige Säure resp. Nitrosylschwefelsäure oder als Salpetersäure vorhanden. Die salpetrige Säure reagirt glatt mit dem Ammoniak nach der Gleichung:



Bei der Salpetersäure kann dagegen die Reaction in drei Phasen verlaufen. Die ersten Phasen entsprechen den Gleichungen:



Der dritte Fall wäre der, daß die Salpetersäure beim Kochen mit concentrirter H_2SO_4 Sauerstoff abgibt und dann die salpetrige Säure reducirt wird. Während die salpetrige Säure schon nach fünf Minuten langem Kochen mit Zusatz der berechneten Menge $(\text{NH}_4)_2\text{SO}_4$ vollkommen frei von salpetriger Säure war, reagirt die Salpetersäure viel langsamer. Doch konnten bei Zusatz von 1 At. N des NH_3 auf 1 At. N der Säuren diese nach halbstündigem Kochen vollkommen zerstört werden. Dieses bezieht sich auf Verwendung einer Säure von 66° Bè., wie sie in den Platinpfannen erhalten wird. Aus einer 60grädigen Säure konnte die salpetrige Säure ebenfalls schnell, die Salpetersäure dagegen erst nach vielständigem Kochen mit einem großen Ueberschuß von $(\text{NH}_4)_2\text{SO}_4$ entfernt werden.

Mr.

G. Lunge. Notizen über die Schwefelsäurefabrikation in Amerika²⁾. — Verfasser bespricht die Eindrücke, die er beim Besuche einer großen Anzahl amerikanischer Schwefelsäurefabriken empfangen hat. Diese hier anfangs nur von Empirikern eingeführte Fabrikation macht so wesentliche Fortschritte, daß sie drauf und dran ist, das Mutterland zu überflügeln. Vor Allem machen sich überall die Bemühungen geltend, einen passenden Ersatz für das theure Platin zu finden. In einer Reihe von Fabriken wird die Concentration bei 93,5 Proc. in Platin, darüber hinaus in gußeisernen Kesseln ausgeführt, ohne daß dabei für technische Zwecke zu viel Eisen in die Säure ginge. Sehr praktisch sind die Heizvorrichtungen für die Concentrationsapparate; die Heizung geschieht durch mittelst eines Dampfstrahls eingeblasenes Erdöl, wobei eine äußerst reinliche und constante Feuerung erzielt wird.

Mr.

R. Lespieau. Die Kryoskopie des Hydrates $\text{SO}_4\text{H}_2.\text{H}_2\text{O}$ ³⁾.

— Verfasser hat Versuche darüber angestellt, ob und in wie

¹⁾ Zeitschr. angew. Chem. 1894, S. 608—610. — ²⁾ Daselbst, S. 133—137.
— ³⁾ Bull. soc. chim. 11, 71—76.

weit das erste Hydrat der Schwefelsäure, das durch Ausfrieren leicht zu erhalten ist, in der Kryoskopie Verwendung finden kann. Concentrirte Schwefelsäure ist für viele Substanzen ein gutes Lösungsmittel, für manche das einzige. Es war dabei noch die Frage zu berücksichtigen, ob sich das Hydrat, das als Molekularverbindung aufgefaßt wird, überhaupt als kryoskopisches Mittel verwandt werden kann, oder ob partielle Dissociation, zumal in Gegenwart einer fremden Substanz in der Lösung, eintritt. Der Schmelzpunkt der reinen Säure betrug 8,53°. Bei selbst 24stündigem Stehen war die Säure wenig verändert, dagegen neigt die Säure etwas zur Ueberschmelzung. Die Bestimmungen für Essigsäure und Weinsäure, sowie für Harnsäure ergaben Werte, wonach annähernd die Beziehung gilt:

$$\frac{Mx}{P} = \alpha x + K.$$

M bedeutet hier das Molekulargewicht des gelösten Körpers, x die Gefrierpunktniedrigung, P das Gewicht des gelösten Körpers, α eine Constante des gelösten Körpers und K eine Constante des Lösungsmittels. Letztere beträgt annähernd 48. Aus der van't Hoff'schen Gleichung:

$$K = \frac{0,198 \cdot i T^2}{L}$$

berechnet sich K , je nachdem man die latente Schmelzwärme mit Berthelot zu 31,7 oder mit Pickering zu 39,9 annimmt, K zu 49,5 bezw. 39,3. Das Hydrat ist ein Körper, welcher in seinem Krystallwasser schmilzt und als Lösungsmittel den Gesetzen von van't Hoff folgt. Die Methode ist auch noch geeignet, wenn sie zur Bestimmung von Substanzen dienen soll, die mit Schwefelsäure Salze bilden. Chininsulfat, $(\text{Chin})^2\text{SO}_4 \cdot \text{H}_2\text{O}$, verhält sich im Monohydrat wie eine Lösung von Chininsulfat, $(\text{Chin})^2\text{SO}_4 \cdot \text{H}_2\text{O}$, in der Säure. Mx .

R. Pictet. Untersuchungen über die Gefrierpunkte von Schwefelsäure verschiedener Concentration¹⁾. — Verfasser hat genaue Gefrierpunktsbestimmungen von Schwefelsäure-Wassergemischen gemacht und die Resultate graphisch dargestellt. Die Curve weist beträchtliche Knicke auf. Bei den absteigenden Curvenstücken entsprechenden Versuchen ergab sich, daß die Lösung mehr Säure enthielt als die Krystalle, das Umgekehrte war bei den aufsteigenden Curvenstücken der Fall. An den

¹⁾ Compt. rend. 119, 642—645.

Gipfelpunkten war Lösung und Krystall in Bezug auf die Säure gleich concentrirt. Trotz der plötzlichen Aenderung des Curvenzuges ließen sich keine Beziehungen zwischen chemischen Formeln und diesen Maxima feststellen. Am ehesten würden noch die Hydrate $\text{H}_2\text{SO}_4 \cdot \text{H}_2\text{O}$, $\text{H}_2\text{SO}_4 \cdot 2\text{H}_2\text{O}$ und $\text{H}_2\text{SO}_4 \cdot 10\text{H}_2\text{O}$ zu erkennen sein.

Mr.

Harry C. Jones. Ueber die Verbindung von Schwefelsäure mit Wasser in Gegenwart von Essigsäure¹⁾. — Mit genügender Sicherheit sind nur zwei Hydrate der Schwefelsäure, nämlich $\text{H}_2\text{SO}_4 \cdot \text{H}_2\text{O}$ und $\text{H}_2\text{SO}_4 \cdot 2\text{H}_2\text{O}$, bekannt. Ueber die Beständigkeit und die Bildungsneigung dieser Hydrate gehen die Messungen von Thomsen Aufschluß, der nachwies, daß beim Vermischen von 1 Mol. H_2O und 1 Mol. H_2SO_4 ein Drittel, beim Vermischen von 2 Mol. H_2O und 1 Mol. H_2SO_4 die Hälfte der durch Wasserezusatz zu Schwefelsäure möglichen Gesamtwärme frei wird. Mendelejeff hat dann aus seinen Untersuchungen über die Lösungswärme die Existenz von $\text{S}(\text{OH})_6$ wahrscheinlich gemacht. Pickering hat geglaubt, aus seinen Dichtebestimmungen noch weitere Schwefelsäurehydrate herleiten zu können. Verfasser hat die Hydratfrage in der Weise studirt, daß er zu chemisch reiner Essigsäure²⁾ wechselnde Mengen von Wasser, von Schwefelsäure und von Gemischen beider setzte und die Gefrierpunkte bestimmte. Zur Verwendung kamen auf je 25 cem $\text{C}_2\text{H}_3\text{O}_2 = 26,335$ g. Wassermengen von 0,062 bis 0,753 g. Zu den so erhaltenen Lösungen wurden dann wechselnde Mengen Schwefelsäure gesetzt, worauf der Gefrierpunkt wiederum bestimmt wurde. Sobald die Schwefelsäuremenge $\frac{1}{2}$ Aeq. übersteigt, bildet sich, wie aus den Gefrierpunktsdifferenzen hervorgeht, mehr und mehr von dem Hydrat $\text{SO}_4\text{H}_2 \cdot \text{H}_2\text{O}$. Vollständig scheint die Bildung bei Verwendung von 1 Mol. H_2SO_4 auf 1 Mol. H_2O zu sein. Ist weniger als $\frac{1}{2}$ Aeq. H_2SO_4 in der Lösung, so besteht zum Theil das Hydrat $\text{H}_2\text{SO}_4 \cdot 2\text{H}_2\text{O}$, zum Theil sind Wasser und Schwefelsäure unverbunden. Für die Existenz höherer Hydrate konnten keine Anzeichen gefunden werden. Das Hydrat $\text{H}_2\text{SO}_4 \cdot 2\text{H}_2\text{O}$ wird theilweise durch die Essigsäure in seine Componenten dissociirt. Wird die Verdünnung der Schwefelsäure noch weiter gesteigert, so sinkt die Menge des Hydrats $\text{H}_2\text{SO}_4 \cdot 2\text{H}_2\text{O}$ immer mehr, und eine Lösung von 1 Aeq. H_2SO_4 auf 7 H_2O , wo die

¹⁾ Zeitschr. physik. Chem. 13, 419—437; Amer. Chem. J. 16, 1—19.

²⁾ Durch 35maliges fractionirtes Umkrystallisiren erhalten. Schmelzp. $16,5^\circ$, spec. Gew. 1,0534.

Gesamtmenge des Wassers aber klein war, gab eine Differenz kleiner, als die dem Hydrat $\text{H}_2\text{SO}_4 \cdot \text{H}_2\text{O}$ entspricht, also auch in dieser Lösung ist freie Schwefelsäure vorhanden. Ebenso vermag 1 Mol. H_2SO_4 , wenn es mit 1 Mol. H_2O versetzt wird, nur die Hälfte des Wassers zu binden. Erst wenn die Schwefelsäuremenge 2 Mol. überschreitet, wird das Molekül H_2O vollkommen gebunden. — Es wurden ferner noch die Leitfähigkeiten der reinen Essigsäure ($\mu = 0,00001$) bei Zusatz von wenig Wasser und bei Zusatz von H_2O und H_2SO_4 gemessen. Die Leitfähigkeiten waren gering und nahmen mit der Verdünnung ab. Die von Mendelejeff für Alkohol angenommenen Hydrate $3\text{C}_2\text{H}_5\text{O} \cdot \text{H}_2\text{O}$, $\text{C}_2\text{H}_5\text{O} + 3\text{H}_2\text{O}$ und $\text{C}_2\text{H}_5\text{O} \cdot 12\text{H}_2\text{O}$ konnten nicht aufgefunden werden, als die Gefrierpunkterniedrigungen von kleinen Zusätzen von Alkohol und Wasser zu Essigsäure für sich und a. Mischung untersucht wurden. — Als die Gefrierpunkterniedrigung von in Essigsäure gelöstem Natriumacetat ohne und mit Zusatz von Wasser bestimmt wurde, ergaben sich allerdings gewisse Differenzen, aber die Menge des gebundenen Wassers erreichte nicht den Werth von 1 Mol., obwohl Natriumacetate bekannt sind, die Essigsäure und Wasser im festen Zustande enthalten. M.

E. Tutton. Krystallographie der normalen Kalium-, Rubidium- und Cäsiumsulfate¹⁾. — Eine genaue Untersuchung über die geometrischen und physikalischen Eigenschaften der normalen Kalium-, Rubidium- und Cäsiumsulfate ergab für eine große Anzahl dieser Eigenschaften, daß sie ausgesprochen additiv sind und sich constant mit steigendem Atomgewicht des substituierenden Metalls ändern. In allen diesen Fällen stand das Rubidiumsulfat zwischen den beiden anderen. M.

G. Carrara u. Zoppellari. Reactionsgeschwindigkeiten in inhomogenen Systemen: Zersetzung des Sulfurylchlorids²⁾. — Während im Allgemeinen die Bestimmung der Reactionsgeschwindigkeit in homogenen Systemen gute Resultate gegeben hat, treten bei inhomogenen Systemen erhebliche Schwierigkeiten auf, da leicht Unreinigkeiten und ferner durch Diffusion ein Theil der Reaction products die Grenzschicht der Flüssigkeiten bedeckt und so verändern. Verfasser vermeiden diese Schwierigkeiten durch Construction eines besonderen Apparates, bei dem die Begrenzungsfläche leicht constant gehalten werden kann. In Berührung mit einander wurden je 3 bis 4 cem Sulfurylchlorid mit

¹⁾ Chem. News 69, 305—307. — ²⁾ Accad. dei Lincei Rend. [5] 8, 190—195.

250 cem Wasser gebracht. Ein gröfserer Wasserzusatz rief keine Aenderung in der Zersetzungsgeschwindigkeit hervor. Der zeitliche Verlauf wurde durch Titration der freien Säuren, die nach der Gleichung $\text{SO}_2\text{Cl}_2 + 2\text{H}_2\text{O} = \text{SO}_4\text{H}_2 + 2\text{HCl}$ entstehen, gemessen. Innerhalb des Intervalls von 30 bis 450 Minuten war bei gleicher Temperatur die Zersetzung nach der Gleichung:

$$\frac{1}{t} \lg \frac{A}{A-x} = AC$$

verlaufen. Mit steigender Temperatur steigt die Geschwindigkeit stark an. Ersetzt man das Wasser durch $\frac{1}{10}$ -Normal-Kalilauge, so ist ein Unterschied in der Geschwindigkeit nicht zu bemerken. Der Werth AC ist nicht von Anfang an constant, sondern er ist zuerst etwas gröfser (0,00014) und sinkt dann und bleibt darauf constant (0,00011). Die Zersetzung des SO_2Cl_2 erfolgt also bei constanter Berührungsfläche wie eine monomolekulare Reaction. *Mr.*

K. Elbs. Einige zu Vorlesungsversuchen geeignete Reactionen überschwefelsaurer Salze¹⁾. — Beim Erwärmen einer verdünnten Wasserlösung von Ammonpersulfat entweicht stark ozonisirter Sauerstoff. Baryum fällt die Lösung in der Kälte nicht, wohl aber in Siedehitze. Mit concentrirter Kaliumcarbonatlösung fällt schwer lösliches $\text{H}_2\text{S}_2\text{O}_8$ aus. Aus Salzsäure und Persulfat wird in der Wärme lebhaft Chlor entwickelt. Beim Kochen mit MnSO_4 fällt Mangansuperoxydhydrat aus. In saurer Lösung und in der Wärme wird Anilin zu Anilinschwarz oxydirt. Es gelingt, mit Persulfat in alkalischer Lösung o-Nitrophenol in Nitrohydrochinon überzuführen. *Mr.*

Maumené. Studium der Säure S_4O_{10} ²⁾. — Villiers hatte eine Säure dieser Formel beschrieben, aber später seine Angaben als unrichtig zurückgezogen. Maumené hält jedoch die Existenz für bewiesen. „Im Stich gelassen und verleugnet von Villiers, gehört sie Maumené, welcher ihr den Namen *acide tetrasulfurique* (g siebenter Buchstabe des Alphabets) giebt.“ *Mr.*

Ed. Schär. Bemerkungen über die unterschweiflige Säure³⁾. — Verfasser weist darauf hin, dafs schon dem Entdecker der hydroschwefligen Säure, Schönbein, das merkwürdige Verhalten dieser Substanz gegenüber Indigo aufgefallen ist. Schönbein hatte bereits gefunden, dafs der Vorgang der Entfärbung von

¹⁾ Verhandl. d. Vers. deutsch. Naturf. u. Aerzte 93, II, 104—105. —

²⁾ Bull. soc. chim. 11, 196. — ³⁾ Ber. 27, 2714—2722.

Indigolösung keine Desoxydation sein konnte, da alle Mittel, die geeignet sind, die Säure zu zerstören, auch die blaue Farbe wieder herstellen. Der Entdecker nahm daher mit Recht an, daß beide Substanzen eine wenn auch lockere Verbindung mit einander eingehen. Die Rückkehr der blauen Farbe kann durch oxydirende und reducirende Mittel hervorgerufen werden. Verfasser giebt auch weitere Auszüge aus den Arbeiten von Schönbein, die beweisen, daß dieser mit den Haupteigenschaften der von ihm entdeckten Säure bereits vollkommen vertraut war. *Mr*

H. Pélabon. Die Vereinigung von Selen mit Wasserstoff in ungleich erwärmten Räumen ¹⁾. — Verfasser erhitzt in geschlossenen Röhren überschüssiges Selen mit Wasserstoff ungleichmäßig und bestimmt nach dem Abkühlen das Verhältniß φ des Partialdruckes des Selenwasserstoffs zum Gesamtdruck in der Röhre. Wird die Röhre ungleichmäßig erwärmt, doch so, daß an jedem Punkte der Schmelzpunkt des Selens (ca. 270°) überschritten wird, so besitzt das Gas eine Zusammensetzung, wie sie der niedrigsten Temperatur der Röhre entsprechen würde. In diesem Falle wurde das eine Ende der Röhre auf 530, das andere auf 680° erwärmt. φ war dann gleich 0,3608, eine Zahl, die der für 530° und ungleichmäßiger Erwärmung erhaltenen ($\varphi = 0,3597$) sehr nahe kommt. Wurde die Röhre gleichmäßig auf 680° gehalten, so war $\varphi = 0,3920$. Bei einem Versuche mit dem Temperaturgefälle 640 zu 540° war $\varphi = 0,3628$, bei einem anderen Versuche mit constanter Temperatur von 540° war $\varphi = 0,3626$. In allen diesen Fällen wandert das Selen nach der kältesten Stelle der Röhre. War ein Theil der Röhre unter den Schmelzpunkt des Selens abgekühlt, so erwies sich φ als unabhängig von dem Temperaturgefälle. Für die Maximaltemperaturen 592, 680, 700° und denselben Minimaltemperaturen unter 270° hatte φ die Werthe 0,1986, 0,2002 und 0,1977. In diesen Versuchen erstarrte das Selen in den horizontalen Röhren krystallinisch an dem Punkte, wo die Temperatur gerade unter den Schmelzpunkt sank. Für den Transport von Selen aus den heißesten Stellen nach den kälteren sind zwei Factoren zu berücksichtigen, erstens die Flüchtigkeit des Selens und dann die Abscheidung durch Zersetzung von Selenwasserstoff bei niedrigerer Temperatur. Uebrigens verläuft die Bildung des Selenwasserstoffs schneller als seine Spaltung und man kann durch sehr schnelle Abkühlung, so lange noch Selen an den heißen Stellen ist, es erreichen, daß man ein der höchsten

¹⁾ Compt rend. 118, 142—144.

Temperatur entsprechendes q bekommt. Denselben Effect erreicht man, wenn man die Röhre senkrecht stellt, so dass das niedertropfende Selen jeden Augenblick das Gleichgewicht stört. Ist auch die wärmste Stelle unter dem Schmelzpunkt des Selens, so ist ein Druck dieser Maximaltemperatur entsprechend vorhanden.

Mr.

H. Pélabon. Einfluss des Druckes auf die Bildung von Selenwasserstoff¹⁾. — Wirkt ein Gas auf einen festen oder flüssigen Körper in einem geschlossenen Gefäße unter Bildung einer gasförmigen Verbindung ein, so hängen die Partialdrucke der gasförmigen Verbindung und des Gases im Allgemeinen von dem Totaldruck des Systems ab. Nimmt jedoch die gebildete gasförmige Verbindung dasselbe Volumen ein wie das Gas, so hört der Einfluss des Gesamtdruckes auf. Ditte hat dies bereits für den Selenwasserstoff bei 350 und 440° und Wasserstoffdrucken von 520 und 940 mm Quecksilber gezeigt. Die Menge des gebildeten SeH_2 nimmt mit dem Druck wenig zu. Als Verfasser in geschlossenen Röhren Selen und Wasserstoff zunächst auf 620° erhitzte, betrugen bei Wasserstoffdrucken von 520, 1270, 1520 und 30106 mm Quecksilber die erhaltenen Mengen 0,405, 0,4112, 0,42 und 0,423. Bei 575° und 678 und 1380 mm Druck wurden 0,39 und 0,403 Thle. SH_2 erhalten. Bei 310° und Drucken von 580 und 1520 mm wurden die Zahlen 0,214 und 0,23 erhalten. Die Einflüsse der Temperatur machen sich demnach bei Weitem mehr geltend als die Steigerung des Druckes.

Mr.

Stickstoff.

Lord Rayleigh. Ueber eine bei der Bestimmung der Dichte des Stickstoffs sich zeigende Anomalie²⁾. — In einer früheren Mittheilung hat Verfasser schon nachgewiesen, dass der aus Ammoniak durch Verbrennen mit Luft erhaltene Stickstoff eine niedrigere Dichte besitzt als Stickstoff, der durch Sauerstoffentziehung aus der Luft erhalten wird. Der nach dem ersten Verfahren gewonnene Stickstoff war ca. $\frac{1}{1000}$ Thl. leichter als der nach der zweiten Methode hergestellte. Neuere Versuche bestätigten auch die schon früher gemachte Beobachtung. Für Stickstoff, der aus Luft gewonnen war, indem 1. heisses Kupfer, 2. heisses reducirtes Eisen und 3. Eisenoxydulhydrat in der Kälte

¹⁾ Compt. rend. 119, 73—75.
Roy. Soc. 55, 340—344.

²⁾ Chem. News 69, 231—232. Proc.

zur Entziehung des Sauerstoffs Verwendung fanden, wurden als Mittel von verschiedenen Bestimmungen nach der ersten Methode 2,31026, nach der zweiten 2,31003 und nach der dritten 2,31020 für das Gewicht des Kolbeninhaltes gefunden. Dafs in dem Stickstoff, der aus atmosphärischer Luft gewonnen ist, Sauerstoff, der nicht völlig beseitigt wäre, das Gewicht erhöhen könnte, ist nach der Versuchsanordnung ausgeschlossen, da auch andererseits mindestens ein Sechstel von allem ursprünglich in der Luft enthaltenen Sauerstoff zurückgeblieben sein müfste, um das höhere Gewicht zu erklären. Ebenso wenig ruhrte das niedrigere Gewicht des aus Ammoniak erhaltenen Stickstoffs von beigemengtem Wasserstoff, Wasserdampf etc. her, da auch hier das vom Verfasser eingeschlagene Arbeitsverfahren dies ausschlofs. Verfasser fand nun ferner, dafs auch Stickstoff, der aus Stickoxyd durch erhitztes Eisen, sowie aus Stickoxydul bezw. aus salpetrigsaurem Ammon durch erhitztes Eisen dargestellt war, dieselben niederen Werthe ergab wie der aus Ammoniak gewonnene Stickstoff. Während der aus der atmosphärischen Luft bereitete Stickstoff im Mittel für das Gewicht des Kolbeninhaltes 2,31026 ergab, stellte sich dieser Werth bei Stickstoff, der aus Stickoxyd erhalten wurde, auf 2,30008, bei solchem aus Stickoxydul auf 2,29904 und bei aus salpetrigsaurem Ammon bereitetem Stickstoff auf 2,29869. Der nach den letzten Methoden gewonnene Stickstoff ist um ca. $\frac{1}{200}$ Thl. leichter als der aus atmosphärischer Luft hergestellte. Stille elektrische Entladungen hatten auf die Dichte sowohl des aus Luft als auch des aus Stickoxyden gewonnenen Stickstoffs keinen Einflufs. Tr.

James Dewar. Das Verhalten des auf chemischem Wege erhaltenen und des atmosphärischen Stickstoffs im flüssigen Zustande ¹⁾. — In einem besonders construirten Apparate, auf dessen Einzelheiten hier nicht näher eingegangen werden kann, hat Verfasser die Verflüssigung des auf verschiedene Weise bereiteten Stickstoffs verglichen. Stickstoff aus der Atmosphäre und aus Stickoxyd dargestellter Stickstoff zeigten keine Unterschiede. Hingegen machte sich ein Unterschied bemerkbar, als der aus der Atmosphäre stammende Stickstoff, der über erhitztes Magnesium geleitet war, mit gewöhnlichem atmosphärischem Stickstoff verglichen wurde. Stickstoff, der Magnesium passirt hat, verflüssigt sich ein wenig früher, als gewöhnlicher Stickstoff und die Flüssigkeit verdampft viel langsamer bei dem mit Magnesium behandelten

¹⁾ Chem. News 70, 300—301.

Stickstoff. Als aus Stickoxyd bereiteter Stickstoff, der mit Magnesium behandelt war, in gleicher Weise mit Stickstoff, der aus Stickoxyd erhalten war, verglichen wurde, zeigte der erstere eine höhere Verdichtungssteperatur als der letztere. Es zeigt sich also in diesem Verhalten kein wesentlicher Unterschied zwischen atmosphärischem und aus Stickoxyd dargestelltem Stickstoff. Geringer Gehalt von Verunreinigungen bedingte eine geringere Ausbeute an flüssigem Producte. Schliesslich hat Verfasser geprüft, ob Sauerstoff und Stickstoff in Luft sich gleichzeitig verflüssigen. Diese Frage liess sich nicht entscheiden, indem Luft unter Druck verflüssigt wurde. Es wurden zu diesem Zwecke zwei Flaschen, eine mit Stickstoff bei 0,79 atmosphärischem Druck, die andere mit Sauerstoff bei 0,21 atmosphärischem Druck abgekühlt. Hierbei zeigte sich, dass Sauerstoff sich immer einige Secunden vor dem Stickstoff condensirt und auch so noch verbleibt, nachdem der letztere schon wieder vergast ist. Die Siedepunkte von Stickstoff und Sauerstoff liegen sehr nahe unter dem Drucke, bei dem sie in der Atmosphäre existiren.

Tr.

L. Phipson. Natur des Stickstoffs ¹⁾. — In dieser Abhandlung bringt Verfasser die allgemein bekannten Eigenschaften des Stickstoffs zur Sprache, besonders aber die inerte Natur dieses Elementes.

Tr.

T. L. Phipson. Chemische Constitution der Atmosphäre ²⁾. — Nach Ansicht des Verfassers waren es vorzugsweise die niedrigsten Pflanzen, die unter dem Einfluss der Belichtung ihren Sauerstoff in die terrestrische Atmosphäre abgaben. Versuche des Verfassers zeigten, dass solch niedere Pflanzen wie *Protococcus*, *Microcystis* etc. in kohlensäurehaltigem Wasser die grösste Menge Sauerstoff in einer bestimmten Zeit abgeben. Verfasser glaubt ferner auf Grund seiner langjährigen Versuche, dass der von den Pflanzen assimilirte Stickstoff von Nitraten stammt und dass die Nitrification sich besonders an der Erdoberfläche in Folge langsamer Oxydation des Ammoniaks vollzieht. Der Ammoniak ist der Ursprung der Salpetersäure in der Natur und ist wie die Kohlensäure ein vulcanisches Product.

Tr.

T. L. Phipson. Freier Sauerstoff in der Atmosphäre ³⁾. — Der Verfasser sucht seine Ansicht, dass die Atmosphäre ursprünglich nur aus Stickstoff und Kohlensäure bestanden habe, dadurch zu beweisen, dass er anführt, dass gerade die niedrigsten Pflanzen

¹⁾ Chem. News 69, 207. — ²⁾ Compt. rend. 119, 444—445. — ³⁾ Chem. News 70, 223.

am energischsten Sauerstoff entwickeln, z. B. ein Gemenge von *Protococcus* und *Chlamidomonas* 50 mal so viel als ein gleiches Gewicht *Polygonum aviculare*, 0,05 g grüne einzellige Algen erzeugten in einem Monat 14 cem Sauerstoff. Ein englisches Pfund würde also in 100 Jahren etwa 42000 Gallonen Sauerstoff aus Kohlensäure frei machen.

c. Lb.

Brown-Séguard und D'Arsonval. Neue Untersuchungen, welche erweisen, daß die Giftigkeit der Ausathmungsluft auf einem aus den Lungen herrührenden Giftstoff und nicht auf Kohlensäurewirkung beruht¹⁾. — Die Verfasser haben einerseits aus der Ausathmungsluft von warmblütigen Thieren und von Menschen in geeigneten Vorlagen Flüssigkeiten condensirt, welche später Versuchsthieren in die Blutbahn oder unter die Haut eingespritzt wurden, andererseits Kaninchen in einer Luft athmen lassen, welche die von einer wechselnden Anzahl anderer Kaninchen ausgeathmete Luft beigemengt enthielt. Die Thiere wurden unter Bedingungen gehalten, welche anderweitig schädigende Einflüsse — Luftverderbnis durch die Excremente, übermäßigen Kohlensäuregehalt — thunlichst ausschlossen. Trotzdem gingen die Versuchsthiere nach Verlauf von zwei Tagen bis einem Monat zu Grunde, je nachdem sie die Expirationsluft von zwei bis sieben Kaninchen einzuathmen gezwungen waren, während sie gesund blieben, wenn durch concentrirte Schwefelsäure die Ausathmungsluft von einem giftigen Bestandtheil befreit wurde, ohne daß der Kohlensäuregehalt von etwa 2 bis 3 Proc. eine Aenderung erfuhr. Verfasser kritisiren ähnliche Versuche anderer Autoren, welche zum Theil zu abweichenden Ergebnissen gelangt sind, und glauben durch ihre Versuche die Gegenwart eines besonderen Lungengiftes in der Ausathmungsluft erwiesen zu haben.

Kw.

A. Lübbert und R. Peters. Ueber die Giftigkeit der Ausathmungsluft²⁾. — Um möglichst endgültig festzustellen, ob die bekannte Giftigkeit der von Thieren ausgeathmeten Luft auf ihrem erhöhten Kohlensäuregehalt, vermindertem Sauerstoffgehalt oder einem besonderen Giftstoffe - Anthroptoxin - beruht, haben Verfasser Reiken von vier bis sechs Meerschweinchen oder Mäusen in der Weise athmen lassen, daß die durch eine Luftpumpe angesaugte und durch eine Gasuhr gemessene Luft, und zwar 5 bis 9 Liter (bei Mäusen) und 10 bis 12 Liter (bei Meerschweinchen) pro Stunde, die im Uebrigen luftdicht geschlossenen Käfige

¹⁾ Arch. de Physiolog. [5] 6, 113—124. — ²⁾ Pharm. Centr.-H. 35, 541—548.

der einzelnen Versuchsthiere nach einander durchstrich. Die Thiere starben mit Ausnahme der beiden ersten, blieben aber gesund, wenn Kohlensäure aufnehmende Substanzen in den Luftstrom eingeschaltet wurden; die Einschaltung von erhitztem Kupferoxyd nebst der nöthigen Kühlvorrichtung für die von organischen Stoffen befreite Luft hatte weder günstigen noch ungünstigen Einfluss auf das Befinden der Thiere. Weitere Versuche, bei denen durch Vermehrung der Thiere in der Reihe der Sauerstoffgehalt der Athmungsluft für den letzten Käfig auf weniger als 11 Proc. vermindert, die Kohlensäure aber durch Natronkalk entfernt wurde, führten die Verfasser zu der Ueberzeugung, dass ausschliesslich der auf etwa 12 Proc. gesteigerte Kohlensäuregehalt der Athmungsluft den Tod der Versuchsthiere verschuldete, dass aber weder Sauerstoffmangel dabei eine Rolle spiele, noch auch die Wirkung irgend eines flüchtigen organischen Stoffes zu erkennen sei.

Kw.

Dewar. Flüssige atmosphärische Luft¹⁾. - Die Nothwendigkeit, zu optischen Untersuchungen die flüssige Luft und den flüssigen Sauerstoff in einem solchen Zustande zu haben, dass durch Sieden keine Wirbel in der Flüssigkeit auftreten, sowie der Wunsch, größere Mengen dieser Flüssigkeiten aufbewahren zu können, haben den Verfasser zur Construction von Gefäßen veranlasst, welche der Flüssigkeit einen genügenden Schutz gegen die Wärme der Umgebung gewähren. Die großen Kosten dieser Versuche sind theilweise von der Goldsmith's Company gedeckt worden. Die Beobachtung von Dulong und Petit, dass die Wärmeleitfähigkeit der Gase mit ihrer Dichte abnimmt, wurde den Versuchen zu Grunde gelegt. Eine doppelwandige Glaskugel, deren innere Kugel ein Gasableitungsrohr trug, wurde mit flüssigem Aethylen gefüllt, nachdem der Zwischenraum der äusseren und inneren Kugel möglichst stark evacuirt war, und das unter diesen Bedingungen in der Zeiteinheit verdampfte Aethylen wurde mit der Menge verglichen, welche unter sonst genau denselben Bedingungen verdampfte, wenn aber der Zwischenraum der Kugeln Luft von Atmosphärendruck enthielt. Das Verhältniss war etwa 1:5; bei Verwendung von flüssigem Sauerstoff anstatt Aethylen ebenso. Dabei fand in dem Vacuumgefäss das Sieden völlig ruhig an der Oberfläche statt, ohne Blasenentwicklung im Inneren. Damit war erwiesen, dass die Wärmeleitung in viel höherem Masse durch Convection als durch Strahlung in einer Gasschicht erfolgt.

¹⁾ Chem. News 69, 29-33

Taucht man ein Gefäß, wie oben benutzt, in Bäder von verschiedener Temperatur, so hat man in der pro Minute verdunstete Flüssigkeit gemessen in Cubikeentimeter Gas ein Maß für die Zunahme der Strahlung mit der Temperatur mit Einschluss der geringen Wärmeleitung. Sie ist annähernd proportional dem Cubus der absoluten Temperatur. Zur Erzielung des nothigen hohen Vacuums in dem Zwischenraum der Gefäße wurde folgender Weg eingeschlagen. Während des Auspumpens mit der Quecksilberluftpumpe wurde die Luft noch durch siedendes Quecksilber verdrängt. Nachdem der größte Theil des Quecksilbers verdampft ist, wird zugeschmolzen und dann ein kugelförmiger Ansatz der äußeren Kugel stark durch Eintauchen in feste Kohlensäure gekühlt, so daß sich aller Quecksilberdampf darin niederschlägt, und dann wird auch dieser Ansatz abgeschmolzen, so daß man aus der Abnahme des Druckes des gesättigten Quecksilberdampfes mit der Temperatur das erzeugte Vacuum auf $0,0001000000003 \text{ mm}$ Druck berechnen muß. Davon, daß der Zwischenraum noch mit gesättigtem Quecksilberdampf gefüllt ist, kann man sich durch Betupfen des Gefäßes mit einem mit flüssiger Luft getränkten Wattepfropf überzeugen, da dies einen Quecksilberspiegel an dieser Stelle erzeugt. Läßt man etwas flüssiges Quecksilber in dem Zwischenraum, so kann man durch Kühlen der inneren Kugel dieselbe mit einem Quecksilberspiegel überziehen, welcher den Einfluß der Strahlung durch Reflexion vermindert. Solche Gefäße kann man für Calorimetrie und als Manometer, da sie gegen plötzlichen Temperaturwechsel geschützt sind, mit Vortheil verwenden. Das Quecksilber durch Schwefel oder Phosphor zu ersetzen, erwies sich nicht als Vortheil. Beide destillirten aber ebenso wie Quecksilber bei gewöhnlicher Temperatur und setzten sich ab Spiegel an, wenn man eine Stelle des Gefäßes stark kühlte. Die elektrische Leitfähigkeit der reinen Metalle wächst sehr stark gegen den absoluten Nullpunkt hin, die Legirungen zeigen jedoch nur geringe Veränderungen, Kohle verhält sich wie ein Metall in dieser Beziehung.

c. 1b.

Dewar. Flüssige atmosphärische Luft ¹⁾. — In Gemeinschaft mit Liveing hat der Verfasser die Berechnungsexponenten von flüssigem Sauerstoff bei -182° , dem Siedepunkt, zu 1,2236 bestimmt, ebenso von flüssigem Aethylen zu 1,3632 und von Stickoxyd zu 1,3305. Die Bestimmung für Sauerstoff gilt für die D-Linie. Sie stimmt mit Gladstone's Gesetz und das Refractions-

¹⁾ Chem. News 69, 39—40.

äquivalent stimmt gut mit dem von Landolt aus organischen Verbindungen berechneten überein. Ebenfalls weicht die molekulare Refraction nur wenig von der gasförmigen ab, so daß der Schluss, man habe es in beiden Aggregatzuständen mit den gleichen Molekülen zu thun, berechtigt erscheint. Die großen experimentellen Schwierigkeiten ließen bis jetzt nur Messungen für die eine Linie zu. Wenn man in ein Vacuumgefäß ein Rohr mit flüssigem Sauerstoff steckt und denselben unter einem Druck von $\frac{1}{2}$ Zoll Quecksilber verdampfen läßt, so kann man ein Gas wie Stickstoff, Kohlensäure oder Luft in demselben bei Atmosphärendruck verflüssigen und ansammeln. Bei Luft ist ein besonderes Reservoir unnötig. Der Dampf und die Kohlensäure in demselben schlagen sich in festem Zustande nieder. Die flüssige Luft siedet bei 190° , wobei Stickstoff wegsiedet, dessen Siedepunkt 10° tiefer als der des Sauerstoffs liegt, zuletzt ist nur noch Sauerstoff übrig. Dabei geht die Farbe von einem schwachen Blau zu einem tieferen über. Taucht man ein Gefäß mit flüssiger Luft in flüssigen Sauerstoff, der durch Evacuiren in lebhaftes Sieden gebracht wird, so scheidet sich Stickstoff in weißen Krystallen ab. Sauerstoff konnte so nicht fest erhalten werden. Wie erwartet, zeigte, analog dem Gase, der flüssige Sauerstoff eine große Wärmedurchlässigkeit, so daß das Strahlenbündel einer Bogenlampe, welches ein kugelförmiges Vacuumgefäß mit filtrirtem Sauerstoff passirt hatte, in einem Focus gesammelt, Papier entzünden konnte. Die niedere Temperatur von -200° hemmt alle Reactionen, ein glimmender Span kommt in einem Vacuumgefäß über dem flüssigen Sauerstoff nicht zum Brennen. Der Umstand, daß Schwefel in flüssigem Sauerstoff weiter brennt, zeigt, daß für diese Reaction die Anwesenheit eines Mittels, wie Wasser, nicht nothig ist. Alkohol, auf flüssigen Sauerstoff geschüttet, wird fest und ist in solchem Zustande nicht entzündbar.

v. Lb.

Living und Dewar. Vorläufige Notiz über das Spectrum der elektrischen Entladung in flüssigem Sauerstoff, Luft und Stickstoff ¹⁾. — Die Verfasser haben zwischen zwei Platinelektroden, von denen die eine convexe Platte mit der convexen Seite der anderen einem 2 mm starken Platindraht zugekehrt war, deren Dimensionen so gewählt waren, daß die Erwärmung nicht zu rasch eintrat, einen Lichtbogen in flüssigem Sauerstoff, Luft und Stickstoff übergehen lassen. Die Spectren waren continuirlich mit Absorptionslinien. Der Widerstand der Flüssigkeiten war sehr groß. v. Lb.

¹⁾ Phil. Mag. 38, 235—240.

Berthelot. Neue Untersuchungen über die Fixirung des atmosphärischen Stickstoffs durch die Mikroorganismen¹⁾. — Ueber den Mechanismus, nach dem die Bindung des atmosphärischen Stickstoffs durch Mikroorganismen sich vollzieht, aufzuklären, hat Verfasser Versuche mit natürlichen und künstlichen Humussäuren ausgeführt. In gut verschlossenen Flaschen wurden diese aus Wasser und einer Suspension von grünen niederen Vegetabilien bei Anwesenheit von Luft sich selbst überlassen. Es zeigte sich, dass außer einer Stickstoffvermehrung eine bemerkenswerthe Menge von Kohlensäure sich constatiren liefs, die theils von einer Einwirkung des Sauerstoffs auf die Humussäuren durch einen organischen Einflufs, theils aber auch von dem Einflufs der Mikroben herrührte. Tr.

Berthelot. Neue Untersuchungen über die den Stickstoff fixirenden Mikroorganismen des Ackerbodens²⁾. — Verfasser verwendete bei seinen Versuchen Bacterien und Mikroben, die aus vegetabilischem Boden extrahirt waren, Bacterien von den Wurzeln von Leguminosen (Lupinen), Reinculturen von *Aspergillus niger* und *Alternaria tenuis*, sowie *Gymnoascus*. Als Nahrungsmittel dienten Humussäure, natürlicher Kaolin, Weinsäure, Zucker, verdünnte Cohn'sche Flüssigkeit, sowie eine von Guignard vorgeschlagene Flüssigkeit, die analog wie die vorige dargestellt ist, aber keine freie Säure enthält. Aus diesen Versuchen ergibt sich, dass gewisse Mikroorganismen, speciell Bodenbacterien, im Stande sind, Stickstoff zu binden. Zu gleicher Zeit, wo die Mikroben Stickstoff binden, müssen sie in dem Nahrungsmittel, in dem sie leben, geeignete Stoffe zur Ernährung finden. Der vegetabilische Boden, oder vielmehr die Kohlenwasserstoffverbindungen, die er enthält, wurden sich mehr oder weniger rasch erschöpfen, wenn die nothwendigen organischen Stoffe nicht durch die Vegetation von mit Chlorophyll versehenen Pflanzen regenerirt würden. Tr.

S. Winogradsky. Assimilation des gasförmigen Stickstoffs der Atmosphäre durch die Mikroben³⁾. — Verfasser hat im Anschluss an seine früheren Versuche den *Bacillus* erkannt, der im Stande ist, in einem stickstoffarmen Mittel gasförmigen Stickstoff zu assimiliren. Um diesen *Bacillus* zu isoliren, bedient sich Verfasser eines Verfahrens von anaërober Cultur. Wird der reine *Bacillus* in zuckerhaltige Flüssigkeit eingesät und in dünner Schicht der Luft ausgesetzt, so vermag er nicht zu wachsen.

¹⁾ Bull. soc. chim. [3] 11, 781—784. ²⁾ Daselbst, S. 784—793. —

³⁾ Compt. rend. 118, 353—355.

Bringt man jedoch die anderen, ihn begleitenden Bacillen oder irgend einen gewöhnlichen Pilz hinzu, so beginnt sehr bald die Entwicklung dieses spezifischen Bacillus. Um die Fixirung von gasförmigem Stickstoff durch diese Mikrobe in reinem Zustande zu erzeugen, sind folgende Bedingungen einzubalten: „Eine stickstofffreie zuckerhaltige Flüssigkeit, eine dünne Schicht und Berührung mit reinem Stickstoff. Die aus der Glucose entstehenden Gährungsproducte sind Buttersäure, Essigsäure, Kohlensäure und Wasserstoff. Auf Bouillon und Gelatine gedeiht der Bacillus nicht. Von den gasförmigen Gährungsproducten macht Wasserstoff 70 Proc. aus.“ Verfasser glaubt, daß der Stickstoff mit dem nasirenden Wasserstoff Ammoniak erzeugt. *Tr.*

F. Nobbe u. L. Höltner. Vermögen auch Nichtleguminosen freien Stickstoff aufzunehmen¹⁾? — Nicht bloß die Leguminosen vermögen Stickstoff der Luft zu assimiliren, wenn sie durch natürliche oder künstliche Impfung mit gewissen Bacterien Wurzelknöllchen gebildet haben, sondern unter gleichen Voraussetzungen verwerthen auch der Oelstrauch (*Elaeagnus*), sowie die Weiß- und Schwarzerle den Luftstickstoff; ein Gleiches gilt auch von *Podocarpus*, einer eibenartigen Conifere. Verfasser haben ferner die mehrfach aufgestellte Behauptung, daß auch Nichtleguminosen, Pflanzen ohne Wurzelknöllchen, die Fähigkeit besitzen, Luftstickstoff aufzunehmen, vorausgesetzt, daß sie in einem guten, an Nitrat reichen Boden wachsen, experimentell geprüft, indem sie Erbse, Senf, Buchweizen und Hafer in Topfculturen zogen. Bei allen vier Gattungen zeigte sich eine Zunahme des ursprünglich vorhandenen Stickstoffs, beim Hafer ist sie sogar höher als bei der Erbse. Letztere hat sich jedoch allein als Pflanze bewährt, die für sich den Stickstoff der Luft sammelt, da die drei anderen Versuchsgattungen trotz Stickstoffzunahme des Bodens aus Stickstoffmangel verkümmerten. *Tr.*

J. Dumont und J. Crochetelle. Einfluß der Kaliumsalze auf die Nitrification²⁾. — Verfasser haben in einer früheren Mittheilung gezeigt, welche günstige Wirkung kalihaltige Dünger auf die Nitrification von urbar gemachtem Boden, der Humussubstanz und Kalk enthält, ausüben. Im Anschluß an diese Versuche wurde Heideboden, der Humussubstanz und wenig Kalk enthielt, geprüft. Auch an solchem Boden ist die Wirkung von Kaliumcarbonat für die Nitrification günstig. Die Maximaldosis von Kaliumcarbonat ist verschieden und richtet sich sowohl nach dem

¹⁾ Landw. Vers.-Stat. 45, 155–159. — ²⁾ Compt. rend. 118, 604–606

Reichthum der Humussubstanz, sowie wahrscheinlich auch nach dem Kalkgehalt des Bodens. Für Heideerde ist ein Zusatz von 4 bis 5 Proc. Kaliumcarbonat am günstigsten. Auffallend ist die Unwirksamkeit von Kaliumsulfat. Während man dieses bei kalk- und humushaltigem Boden in gröfserer Menge als das Kaliumcarbonat mit gutem Erfolg verwenden kann, giebt es bei Heideboden schwankende Resultate. Wendet man jedoch eine Mischung von Kaliumsulfat und Kalkcarbonat an, so ist die Nitrification eine günstige.

Tr.

J. Crochetelle und J. Dumont. Einfluss der Chloride auf die Nitrification¹⁾. — Während die früheren Versuche gezeigt haben, dass Kaliumcarbonat bzw. Sulfat einen günstigen Einfluss auf die Nitrification ausüben, beweisen die neuen Versuche, dass es beim Chlorkalium nicht der Fall ist. Ist ein Boden kalkhaltig so wird sich zwar, wenn man Chlorkalium zugebt, Kaliumcarbonat bilden, aber das gleichzeitig gebildete Chlorkalium wirkt schädlich. Wird das Chlorkalium durch Waschung beseitigt, so beobachtet man wieder den günstigen Einfluss des Kaliumcarbonats auf die Nitrification. Chlornatrium erzeugt in einer Menge von $\frac{1}{10}$ Proc. eine ähnliche Nitrification, wie man sie mit Chlorkalium erzielt. Der Grund davon ist, dass das Chlornatrium sich nicht blofs im Boden in Chlorkalium und Natriumcarbonat umwandelt, sondern es vermag auch in kalireichen Erden Chlorkalium zu bilden. Im Boden, der von Kalkcarbonat frei ist, hat Chlorkalium keine Wirkung.

Tr.

H. Tolomei. Ueber die Nitrification an Mauern²⁾. — Aus den Untersuchungen des Verfassers ergibt sich, dass die Nitrification auf Mauern und Steinen, die sich in der Nähe von Ställen oder Latrinen befinden, von einem Mikroorganismus hervorgerufen wird; Verfasser glaubt, dass es wahrscheinlich derselbe ist, der die Nitrification im Erdboden bewirkt. Die Feuchtigkeit ist ein wichtiger Factor bei der Nitrification und begünstigt eine schwach alkalische Reaction die Entwicklung dieses Nitrificationfermentes. Die Sonnenstrahlen üben einen nachtheiligen Einfluss auf die Entwicklung des Fermentes aus. Auf porösem Mauerwerk geht die Nitrification viel rascher von statten als auf compactem. Ozon in geringer Menge ist vorthellhaft für die Nitrification, während Temperaturschwankungen merkwürdiger Weise die Entwicklung des Fermentes hindern.

Tr.

¹⁾ Compt. rend. 119. 93—96. ²⁾ Accad. dei Lincei Rend. [5] 3. 356—361.

Louis Ilosvay de Nagy Ilosva. Bestimmung der secundären stickstoffhaltigen Producte, die sich bei der Verbrennung an der Luft bilden¹⁾. — Es ist bekannt, daß bei der Verbrennung in Luft als secundäre Producte salpetrige Säure, Salpetersäure und selbst Ammoniak entstehen, wenn der verbrennende Körper Wasserstoff ist oder solchen enthält. Verfasser sucht die Frage zu beantworten: Welche Beziehung besteht zwischen dem Gewicht der secundären Verbrennungsproducte, d. h. Ammoniak, salpetriger und Salpetersäure, und dem Gewicht derselben Producte in der Luft. Diese Producte bestimmte Verfasser mikrochemisch, d. h. mit Hilfe des Colorimeters. Er verbrannte Leuchtgas, Wasserstoff, Kohlenoxyd, Holzkohle und Koks. Die Verbrennung der Gase geschah in einem geeignet vorgerichteten Rohre, die Oxydationsproducte passirten neun Winkler'sche Röhren, von denen acht Aetzkalk in concentrirter Lösung, die neunte Griess'sches Reagens enthielten. Mit Ausnahme von Kohlenoxyd bildete sich bei der Verbrennung der genannten Gase Ammoniak, das in Winkler'schen Röhren, die fünffach Normal-Schwefelsäure enthielten, absorbirt wurde. Die Verbrennung von 8 bis 9 Liter Gas dauerte ein bis zwei Stunden. Holzkohle und Koks wurden verbrannt, indem sie vorher auf 120, 600 und 900° erhitzt wurden. Die zur Verbrennung bestimmte Luft passirte Röhren von Pettenkofer von 1,1 m Länge, die mit Kaliumhydroxyd von 30 Proc. und mit Schwefelsäure beschickt waren, schließlich einen Glaserschen Trockenapparat. In einem Theile der Kalilauge wurde die salpetrige Säure, in einem anderen die Salpetersäure ermittelt. Die salpetrige Säure wurde in folgender Weise bestimmt. Es wurde zunächst aus einer bestimmten Menge Kalilauge das Ammoniak, das sich bei der Verbrennung gebildet hatte und theilweise von der Kalilauge absorbirt war, abdestillirt, hierauf wurde die Reduction nach der Methode von Ulsch ausgeführt und alles Ammoniak ermittelt. Aus der Differenz kann man dann das aus der salpetrigen Säure gebildete Ammoniak erhalten. Da bei Holzkohle und Koks die Verbrennung acht bis zehn Stunden dauert, und während dieser Zeit der das rothglühende Rohr passirende Stickstoff der Luft unter Umständen sich mit Sauerstoff vereinigen kann, so hat Verfasser durch den Versuch festgestellt, wieviel Stickstoff sich oxydirt und hat dementsprechend seine gefundenen Werthe corrigirt. Nachstehend folgen die Versuchsergebnisse: Verbrennt man in Luft ein gleiches Volumen Leucht-

¹⁾ Bull. soc. chim. [3] 11, 272—280.

gas oder Wasserstoff, so wird ein gleiches Gewicht Stickstoff in Ammoniak ungewandelt, auch ist das Gewicht des in beiden Fällen in salpetrige Säure verwandelten Stickstoffs nahezu gleich. Verbrennt man Kohlenoxyd, so findet man ca. die 2¹/₂-fache Menge Stickstoff in salpetrige Säure verwandelt als im vorhergehenden Falle. Verbrennt man 1 kg dieser Gase, so findet man bei der Verbrennung des Wasserstoffs das meiste Ammoniak, die meiste salpetrige Säure und Salpetersäure, nur ein Viertel dieser Menge erhält man, wenn man Leuchtgas verbrennt und circa ein Zwanzigstel davon bei Kohlenoxyd. Verbrennt man in Luft Holzkohle, die vorher getrocknet und zur Rothgluth erhitzt war, so ist die Menge Stickstoff, die in der gesammelten salpetrigen und Salpetersäure enthalten ist, ungefähr derjenigen gleich, die in diesen Producten enthalten war. Aehnlich ist es bei dem Koks. An diese, durch Analysen belegten Versuchsreihen fügt Verfasser noch eine ausführliche Schlussbetrachtung, bezüglich deren Einzelheiten besser auf die Originalabhandlung verwiesen wird. *Tr.*

Ludwig Hosvay von Nagy Hosva. Von den bei der Aufeinanderwirkung von Ozon und Ammoniak sich bildenden Nebenproducten ¹⁾. — Da aus den Versuchen von Carius es nicht mit Bestimmtheit zu erschen ist, ob bei Aufeinanderwirkung von Ozon und Ammoniak neben Ammoniumnitrat und Ammoniumnitrit auch wirklich Wasserstoffsuperoxyd entsteht, so hat Verfasser die Versuche von Carius wiederholt und kommt hierbei auf Grund seiner Versuche zu folgenden Resultaten: Wasserstoffsuperoxyd konnte in keinem einzigen Falle, selbst nicht in Spuren, nachgewiesen werden. Die Versuche wurden nun so ausgeführt, dass in mit ozonhaltigem Sauerstoff gefüllte Flaschen Ammoniaklösung eingegossen wurde. Verfasser nahm dabei an, dass Ozon das Ammoniak zu Salpetersäure oxydirt gemäß der Gleichung $\text{NH}_3 + 4\text{O}_3 = \text{HNO}_3 + \text{H}_2\text{O} + 4\text{O}_2$. War in den Flaschen im Verhältniss zum Ozon nur soviel Ammoniak vorhanden, als nach der vorstehenden Gleichung das Ozon zu Salpetersäure hätte oxydiren können, oder dessen fünfter Theil, die Hälfte oder das Doppelte, so erfolgte die Einwirkung sehr langsam; in diesen Lösungen war für gewöhnlich wenig salpetrige und viel Salpetersäure vorhanden. Zwischen Ozon und Ammoniak ist die Wirkung um so rascher, je concentrirter die Ammoniaklösung ist. Wenn der ozonisirte Sauerstoff, wie es Carius am vorthellhaftesten hält, durch eine 0,06 proc. Ammoniaklösung dringt, so ist anfangs die Salpetrigsäurereaction

¹⁾ Ber. 27, 3500—3503.

lebhaft genug; ist die Lösung kaum alkalisch, so ist wenig salpetrige und viel Salpetersäure nachzuweisen. Trocken Ammoniak und Ozon wirken bei Zimmertemperatur nicht auf einander ein.

Tr.

P. Rogation V. de Lambilly. Synthetische Darstellung von Ammoniak ¹⁾. — Die Vereinigung von Stickstoff und Wasserstoff soll in Gegenwart von Contactsubstanzen (Bimsstein, Knochenkohle, Platinschwamm etc.) dadurch erleichtert werden, daß den genannten Gasen außer Wasserdampf noch Kohlensäure oder Kohlenoxyd beigemengt wird, behufs Bildung von Ammoniumbicarbonat bezw. -formiat:



Die Bildung dieser Salze erfolgt am reichlichsten bei 40 bis 60° C. für das Bicarbonat und bei 80 bis 130° C. für das Formiat. Die Gase erhält man am zweckmäßigsten, indem man Luft und Wasserdampf abwechselnd über glühenden Koks leitet und aus dem so erhältlichen Gasmisch je nach dem gewünschten Salz das Kohlenoxyd oder -dioxid entfernt. Die Lösung der im Wasser aufgefangenen Salze wird behufs Abscheidung des Ammoniaks über Kalk destillirt.

Op.

G. R. Blochmann. Gewinnung rhodanfreier Ammoniaksalze ²⁾. — Das behufs Anreicherung der Ammoniaksalze wiederholt zum Reinigen des Rohgases benutzte und vor dem jedesmaligen Einbringen in die Waschapparate durch Zusatz einer Eisensalzlösung (Eisensulfat oder Eisenchlorid) und einer Säure (Schwefelsäure oder Salzsäure) entschwefelte bezw. neutralisirte Gaswasser wird mit Chlor, Chlorwasser, Chlorkalk oder einem anderen unterchlorigsauren Salz behandelt, um die Rhodanverbindungen zu zerstören, hierauf neutralisirt und eingedampft.

Op.

Gustave Michaud. Einfluß gewisser Metalle auf die Stabilität des Ammoniumamalgams ³⁾. — Verfasser bereitete eine Reihe von Amalgamen, die außer Quecksilber und Ammonium auch noch ein anderes Metall enthielten. Aus Natriumamalgam und Metallsalzen wurden die Amalgame von Ag, Al, Au, Br, Cd, Co, Cu, Fe, Mg, Mn, Pb, Pt, Sb, Sn, Zn dargestellt. Diese Amalgame (5 ccm) und 5 ccm Natriumamalgam wurden mit 100 ccm einer bei 25° gesättigten Lösung von Chlorammon zusammengebracht.

¹⁾ D. R.-P. Nr. 74275 ²⁾ D. R.-P. Nr. 73560 — ³⁾ Amer. Chem. J. 16, 488—490.

Das bei allen Versuchen angewandte Natriumamalgam enthielt 0,85 Proc. Na. Die Versuche selbst wurden gleichzeitig in graduirten Cylindern ausgeführt und die Volumenvermehrung nach dem Zufügen der 100 ccm Chlorammonium zu der Mischung der Amalgame gemessen. Aus seinen Versuchen schließt Verfasser Folgendes: Zwischen dem elektrischen Verhalten der Metalle und dem Einfluß, welchen diese auf die Stabilität des Ammoniumamalgams haben, besteht eine gewisse Beziehung. Wenn das Radical Ammonium in Freiheit gesetzt ist in Gegenwart einer Quecksilberverbindung und eines der vorgenannten Metalle, so ist seine Beständigkeit geringer, als wenn es mit Quecksilber allein verbunden wäre. Eine sehr geringe Menge Platin im Ammoniumamalgam verhindert die Volumenvermehrung. Die Kraft, welche die Stabilität des Ammoniumamalgams vermindert, ist größer bei den elektronegativen Metallen, aber sie ist nicht proportional ihrer Polarität. Ammoniumamalgam enthält Ammonium, denn, wenn eine einfache Mischung von Wasserstoff und Ammoniak vorläge, so würde die charakteristische Erscheinung des Ammoniumamalgams nicht auftreten können. Tr.

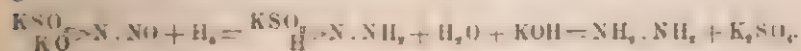
A. Joannis. Einfluß des Stickstoffs, des Stickoxyduls und des Stickoxyds auf Alkaliammonium¹⁾. — Im Anschluß an seine früheren Arbeiten, bei denen Verfasser Sauerstoff und Kohlenoxyd auf in flüssigem Ammoniak gelöste Alkaliammoniumverbindungen hat einwirken lassen, hat Verfasser unter analogen Bedingungen die Einwirkung von Stickstoff, Stickoxydul und Stickoxyd studirt. Hierbei erwies sich Stickstoff ohne jede Einwirkung auf die Alkaliammoniumverbindungen. Leitet man Stickoxydul in die erwähnte Lösung von Natrium- bzw. Kaliumammonium bis zur Entfärbung ein, so gestaltet sich der Proceß im Sinne der Gleichung: $N_2O + N_2H_5K = NH_2K + NH_3 + KOH + N_2$. Führt man mit dem Einleiten von Stickoxydul fort, so wird Stickstoff nicht mehr frei gemacht, es findet dann nachstehende Umsetzung statt: $2NH_2K + N_2O = N_2K + KOH + NH_3$. Reagirt schließlich überschüssiges Stickoxydul auf Kaliumammonium, so verläuft der Proceß wie folgt: $3N_2O + 2N_2H_5K = N_2K + 3KOH + 3NH_3 + 2N_2$. Ziemlich analog verläuft der Proceß bei Anwendung von Natriumammonium. Läßt man Stickoxyd auf Kalium- bzw. Natriumammonium (in flüssigem Ammoniak gelöst) einwirken, so verschwindet die Färbung von Alkaliammonium und es bildet sich ein weißer, schwach rosa gefärbter gelatinöser

¹⁾ Compt. rend. 118, 713—716.

Körper, der nach dem Verdunsten des Ammoniaks amorph erscheint. Es sind in diesem Falle N NaO bzw. N KO entstanden. Tr.

C. A. Lobry de Bruyn. Ueber das freie Hydrazin (Diamid)¹⁾. — Es herrscht allgemein die Ansicht, daß das freie Hydrazin ein unbeständiger Körper sei, während doch sein Hydrat $\text{NH}_2 \cdot \text{NH}_2 \cdot \text{OH}$ bei gewöhnlichem Druck destillirt werden kann. Verfasser theilt nun in dieser vorläufigen Mittheilung seine Versuche mit, welche die Darstellung des freien Hydrazins bezweckten. Er ließ zu diesem Zwecke auf das Chlorhydrat, $\text{NH}_2 \cdot \text{NH}_2 \cdot \text{HCl}$, Natrium-methylat in absolut alkoholischer Lösung einwirken. Die Umsetzung sollte dann gemäß der nachstehenden Gleichung erfolgen: $\text{NH}_2 \cdot \text{NH}_2 \cdot \text{HCl} + \text{NaOCH}_3 = \text{NH}_2 \cdot \text{NH}_2 + \text{NaCl} + \text{CH}_3\text{OH}$. Nachdem die Umsetzung durch Erhitzen bewerkstelligt war, wurde das Chlornatrium abfiltrirt und das Filtrat unter vermindertem Drucke destillirt. Es gelang auf diese Weise, Fractionen mit einem Gehalt von 82,6 Proc. N_2H_4 zu erhalten. Als Fractionen, die bei 110 bis 111 mm Druck zwischen 63 und 64° übergegangen waren, mit einer Kältemischung abgekühlt wurden, erstarrten sie zu Krystallen, die bei -4° schmolzen und an der Luft dichte Dämpfe ausstießen. Die festen Krystalle ergaben bei der Analyse, nachdem sie rasch abgepresst waren, einen Gehalt von 92 Proc. N_2H_4 und schmolzen bei 1 bis 2° . Beim Erhitzen tritt keine Detonation ein; die Base ist schwerer als Wasser, trockener Sauerstoff greift die Base langsam an. Schwefel löst sich mit beträchtlicher Wärmeentwicklung, die Halogene reagieren heftig mit der Base, z. B. $\text{N}_2\text{H}_4 + 2\text{J}_2 = \text{N}_2 + 4\text{HJ}$. Permanganat und Kaliumbichromat verursachen eine heftige Reaction ohne Entflammung oder Detonation. Die Base löst verschiedene Salze, z. B. KCl , NO_3K , KBr etc. Tr.

P. Duden. Ueber eine Bildungsweise von Hydrazin auf anorganischem Wege²⁾. — Die meisten Darstellungsmethoden für Hydrazin benutzen als Ausgangsmaterialien organische Stickstoffverbindungen. Verfasser beschreibt nun ein Verfahren, bei dem er Stickoxydkaliumsulfid mit Natriumamalgam bzw. Zinkstaub und Ammoniak in der Kälte reducirt. Der Proceß verläuft dann gemäß den nachstehenden Gleichungen:



Das nach Raschig's Methode dargestellte Stickoxydkaliumsulfid wird zu diesem Zwecke in Eiswasser suspendirt und mit über-

¹⁾ Rec. trav. chim. Pays-Bas 13, 433–440. — ²⁾ Ber. 27, 3498–3499.

schüssigem Amalgam versetzt, bis eine Probe der Flüssigkeit Fehling'sche Lösung stark reducirt und nach dem Ansäuern im Erwärmen auf Zusatz von Benzaldehyd Benzalazin abscheidet. Das Benzalazin, $C_{14}H_{12}N_2$, schmilzt bei 93°. Mit Schwefelsäure liefert es Hydrazinsulfat vom Schmelzp. 256°. Tr.

Th. Curtius und F. Schrader. Metalldoppelsalze des Diammoniums und Diamids¹⁾. — Im Gegensatz zum Ammoniak ist freies Diamid höchst unbeständig, dagegen sein Hydrat beständiger als Ammoniumhydroxyd. Die Salze des Hydrazins sind zum Theil Derivate des zweiwerthigen Radicals $(NH_2, NH_2)''$, und das Hydrazin schließt sich in dieser Beziehung vollkommen den zweiwerthigen Erdalkalimetallen an. In anderer Beziehung ähnelt das Diammonium den Alkalimetallen und das Hydrat $N_2H_4 \cdot H_2O$ bildet meist Salze, wie sie einer einsäurigen Base vom Typus des Ammoniaks entsprechen. Diese Salze sind wesentlich beständiger als die Salze der zweisäurigen Base. Ammoniak bildet mit Metallsulfaten Doppelsulfate, die dem Typus der Alaune und dem Typus $(NH_4)_2SO_4 R''SO_4 \cdot 6H_2O$ entsprechen und dann Verbindungen von Ammoniak selbst mit den Metallsulfaten. Hydroxylamin-alaune mit Aluminium, Chrom und Eisen sind ebenfalls bekannt. Diammonium dagegen ist der Alaunbildung nicht fähig; dagegen giebt es Verbindungen der Formel $(N_2H_5)_2SO_4 R''SO_4$, die sich einerseits durch ihre Schwerlöslichkeit und dann durch den Mangel an Krystallwasser auszeichnen und die sehr beständig sind. Die beiden Sulfate des Diammoniums unterscheiden sich erheblich durch ihre Löslichkeit. Das Salz $N_2H_5SO_4$ ist in Wasser ziemlich schwer löslich, wogegen das Salz $(N_2H_5)_2SO_4$ an der Luft zerflüchtig ist; und doch bildet nur das letzte Salz Doppelsalze und zwar wasserfreie. Den Salzen vom Typus $R''SO_4 \cdot 4NH_3$ und $R''SO_4 \cdot 6NH_3$ entsprechen die Diamidverbindungen $R''SO_4 \cdot 2N_2H_4$ und $R''SO_4 \cdot 3N_2H_4$, die sehr schwer löslich sind. Die Doppelchloride entsprechen den Typen: $N_2H_4ClR''Cl$ und $(N_2H_4Cl)_2R''Cl_2$. Ferner sind Verbindungen bekannt vom Typus $R''Cl \cdot 2N_2H_4$. Versuche, aus diesen letztgenannten Verbindungen das freie Diamid abzuspalten, waren erfolglos. — Hydrazin neben Hydroxylamin läßt sich durch die Benzalazinprobe nachweisen, auch wird auf Zusatz von $CuSO_4$ -Lösung das blaue, schwer lösliche Diammoniumkupfersulfat gefällt. Ferner unterscheidet sich Hydrazin von Hydroxylamin dadurch, daß nur Hydrazin saure Goldchloridlösung zu reduciren vermag. Neutralisirt

¹⁾ J. pr. Chem. 50, 311—346.

man nach der Beendigung dieser Reduction vorsichtig mit Ammoniak und ist Hydroxylamin ebenfalls zugegen, so tritt dann weitere Reduction ein. Zur weiteren Identificirung von Hydroxylamin muß dann die Isolirung als Diphenylketoxim dienen. Um Ammoniak neben Hydrazin nachzuweisen, wird dieses in Benzalazin übergeführt und durch Aether entfernt. Im Rückstand kann dann bei Abwesenheit von Hydroxylamin Ammoniak leicht nachgewiesen werden. Ist Hydroxylamin zugegen, so sind beide durch die Ueberführung in die Platindoppelsalze zu trennen. — Die Reductionswirkung des Hydrazins, dessen verdünnte, wässrige Lösungen der Zersetzung unter Bildung von Ammoniak unterliegen, auf Metalloxyde ist sehr stark. Dabei wird der meiste Hydrazinstickstoff als solcher frei, daneben entsteht etwas Ammoniak. Hydrazin und CrO_3 oder HgO reagiren explosionsartig mit einander. Auch die Einwirkung von $\text{N}_2\text{H}_4\text{OH}$ auf Molybdäntrioxyd verläuft sehr heftig unter Bildung von Dioxyd. Wird eine angesäuerte Lösung eines Molybdats mit $\text{N}_2\text{H}_4\text{O}$ versetzt, so färbt sie sich blau. Daneben erscheint in alkalischer Lösung das braune, flockige Sesquioxyd. WO_3 wird intensiv indigblau, verliert aber nicht sehr viel Sauerstoff. Chromate werden reducirt, ein Ueberschuß fällt aus den gebildeten Chromsalzen Chromhydroxyd aus. Ferriverbindungen werden schnell reducirt. Ein Ueberschuß an Hydrazin fällt Oxydulhydrat und andere Eisenoxydulhydrate aus. Manganosalze werden als Hydroxydul gefällt, Permanganat zu Manganosalzen reducirt. Magnesiumsalze werden als Hydroxyd gefällt, das nicht in überschüssigem $\text{N}_2\text{H}_4\text{O}$ löslich ist. N_2H_4 kann durch Entfärbung von AuCl_3 noch in einer Menge von $\frac{1}{40000}$ g nachgewiesen werden. — Doppelsulfate: *Diammoniumkupfersulfat*, $\text{N}_2\text{H}_4\text{O} \cdot \text{SO}_4\text{O} \cdot \text{Cu} \cdot \text{O} \cdot \text{SO}_4\text{ON}_2\text{H}_4$, entsteht aus nicht zu verdünnten Lösungen der Componenten und bildet sehr kleine schiefe Prismen oder Tafeln. Das Salz wird durch concentrirte HNO_3 und concentrirte warme H_2SO_4 unter Gasentwicklung zerstört. Ammoniak zersetzt die Lösung unter stürmischer Gasentwicklung, ähnlich wirkt Natronlauge. Ammoniakalische Lösungen geben in der Siedehitze auf Zusatz von etwas NaOH einen Kupferspiegel. 1 Thl. Sulfat löst sich in 1148 Thln. Wasser. Die Schwerlöslichkeit des Kupferhydrazinsulfats eignet sich zur Gewinnung des Hydrazins aus Mutterlauge. *Diammoniumnickelsulfat* ist ein apfelgrüner Niederschlag, der aus mikroskopischen Prismen besteht. Ammoniak löst ihn mit blauer Farbe, beim Erhitzen fällt das rothe Nickelsulfatdiamid, $\text{NiSO}_4 \cdot 3\text{N}_2\text{H}_4$, aus. 1 Thl. Doppelsulfat löst sich in 275,5 Thln. Wasser. *Di-*

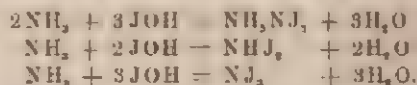
ammoniumkobaltsulfat ist rosenroth, seine erwärmte ammoniakalische Lösung scheidet wahrscheinlich Kobaltsulfatdiamid aus, $\text{CoSO}_4 \cdot 3\text{N}_2\text{H}_4$. Das Doppelsulfat löst sich in 305,16 Thln. Wasser. *Diammoniumferrosulfat* ist auffallend beständig, fast weiß und krystallinisch. Ammoniak löst es nicht, sondern zersetzt es. Löst sich in 324,9 Thln. Wasser. *Diammoniummanganosulfat* gleicht dem Eisensalze, ist aber viel löslicher. 1 Thl. Doppelsulfat löst sich in 60,0 Thln. Wasser. *Diammoniumzinksulfat* ist leicht löslich in Ammoniak, beim Erwärmen dieser Lösung fällt ein weißer Niederschlag. Durch starke Verdünnung tritt Hydrolyse ein. Löst sich in 184,8 Thln. H_2O . Ihm gleicht vollkommen das *Diammoniumcadmiumsulfat*, das sich in 202,5 Thln. Wasser löst. Doppelsulfate wurden nicht erhalten mit Ag, Mg, Al und den Alkalien. — Doppelchloride. Die Chloride sind nicht so einfach zu erhalten und viel löslicher. *Zweifachdiammoniummercurichlorid*, aus den sehr concentrirten Lösungen beider Componenten erhalten, wird aus heißem Alkohol umkrystallisirt und bildet Blättchen. HN O_3 , NaOH , NH_3 zersetzen es unter Gasentwicklung, wobei die alkalischen Reagentien Reduction zu Hg bewirken. Andere Zwischenproducte mit HgCl_2 existiren, konnten aber nicht isolirt werden. Das Salz $\text{CdCl}_2 \cdot \text{N}_2\text{H}_4 \cdot \text{Cl}$ bildet dünne, glashelle Nadeln. In Ammoniak löst es sich unzersetzt auf und wird daraus beim Neutralisiren mit HCl als Diamidverbindung abgeschieden. Neben diesem Doppelchlorid entsteht in wechselnder Menge das zweite Doppelchlorid $\text{CdCl}_2 \cdot 2\text{N}_2\text{H}_4 \cdot \text{Cl} \cdot 4\text{H}_2\text{O}$; in Berührung mit der Mutterlauge geht das einfache Salz ebenfalls in das zweite über. Das Zweifachdoppelchlorid bildet schiefe Prismen und verwittert leicht. Von den *Diammoniumzinkchloriden* sind zwei bekannt: $\text{ZnCl}_2 \cdot 2\text{N}_2\text{H}_4 \cdot \text{Cl}$ und $\text{ZnCl}_2 \cdot \text{N}_2\text{H}_4 \cdot \text{Cl}$. Das erste ist äußerst löslich in Wasser und wird aus wenig Alkohol in flachen Nadeln erhalten. Schmelzp. 135° . Es verliert an der Luft Salzsäure und bildet basisches Salz. Das zweite Doppelchlorid wurde in sechsseitigen Prismen vom Schmelzp. 180 bis 185° erhalten. *Diammoniumzinnchloride*. Das Chlorid $\text{SnCl}_4 \cdot \text{N}_2\text{H}_4 \cdot \text{Cl}$ krystallisirt aus Alkohol in großen perlmutterglänzenden Blättern vom Schmelzp. 105° und geht beim Umkrystallisiren zum Theil in die Verbindung $\text{SnCl}_2 \cdot 2\text{N}_2\text{H}_4 \cdot \text{Cl}$ über. Mit FeCl_2 und MnCl_2 konnten Producte constanter Zusammensetzung nicht erhalten werden. — Diamiddoppelsalze. Aus den Lösungen einiger Doppelsalze in Ammoniak entstehen durch partielle Reduction die Diamide. Es wurden so erhalten: $\text{NiSO}_4 \cdot 3\text{N}_2\text{H}_4$ (rosa Pulver), $\text{ZnSO}_4 \cdot 2\text{N}_2\text{H}_4$ (weiß, krystallinisch), $\text{CoSO}_4 \cdot 3\text{N}_2\text{H}_4$ (?), $\text{ZnCl}_2 \cdot 2\text{N}_2\text{H}_4$, $\text{CdCl}_2 \cdot 2\text{N}_2\text{H}_4$. Mr.

Berthelot und Vieille. Untersuchungen über einige Salze der Stickstoffwasserstoffsäure ¹⁾. — Das Stickstoffammonium, N_3H , NH_3 , wurde nach der Methode von Curtius dargestellt; die explosiven Eigenschaften dieser Verbindung decken sich ziemlich mit denjenigen, welche das französische Gewehrpulver BF. Modell 1886. aufweist. Verfasser haben die bei der Zersetzung auftretenden Gase analysirt und führen für den Zerfall der Verbindung folgende Gleichung an: $2N_3H_4 = 3N_2 + H_2 + 2NH_3$. Die Verbrennungstemperatur bei der Explosion läßt sich auf 1350 bis 1400° berechnen. Es ist somit das Ammoniumstickstoffsalz ein in doppelter Hinsicht bemerkenswerthes Explosivmittel, erstens wegen seiner Kraft und zweitens wegen der niederen Verbrennungstemperatur. 1 kg entspricht 1148 Liter Gasvolumen bei 0° und 760 mm, es ist diese Zahl höher, als man sie für die bekannten Explosivstoffe erhält. *Mercurisalz der Stickstoffwasserstoffsäure*, N_3Hg (?). Man sättigt eine Lösung von Stickstoffwasserstoffsäure mit gelbem Quecksilberoxyd. Aus Wasser krystallisirt es in schönen, langen, weißen Nadeln. Ist sehr explosiv und scheint sehr analog dem Knallquecksilber sich zu verhalten. Das *Mercurisalz der Stickstoffwasserstoffsäure* erhält man durch Fällen einer verdünnten wässrigen Lösung von Stickstoffammonium mit Mercuronitrat. Es entspricht entweder der Formel N_3Hg oder N_2Hg_2 und gleicht in seinen explosiven Eigenschaften gleichfalls dem Knallquecksilber. Der Druck, den es bei der Explosion ausübt, ist ungefähr gleich dem beim gewöhnlichen schwarzen Pulver, die Temperatur bei der Verbrennung 2700°. Bei der Zersetzung entstehen Stickstoff und Quecksilber neben geringen Mengen von Wasserstoff, Kohlenoxyd und Kohlensäure. Die Zersetzungswärme für das Grammgewicht der Verbindung $N_3Hg_2 = 484$ g ist - 1446 Cal. Tr.

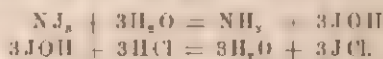
Th. Seliwanow. Beitrag zur Kenntniss der gemischten Anhydride der unterchlorigen Säure und analoger Säuren. V. Anorganische Halogenstickstoffe ²⁾. — Verfasser weist zunächst darauf hin, daß entgegen der Annahme von Szuhay (JB. f. 1893, S. 344) bei der Einwirkung von Jod auf Ammoniak Jodstickstoff und Jodammonium nicht die einzigen Reactionsproducte sind, sondern daß in der ersten Phase der Reaction, wie Schönbein schon vermuthete, Jodammonium und unterjodigsaures Ammon entstehen. Die unterjodige Säure weist Verfasser mit Jodkaliumlösung nach.

¹⁾ Ann. chim. phys. [7] 2, 339—351; Bull. soc. chim. [3] 11, 744—748. — ²⁾ Ber. 27, 1012—1019.

Letztere ist ein treffliches Reagens auf die genannte Säure, indem selbst bei Anwesenheit von Alkali freies Jod ausgeschieden wird. $KJ + JOH = KOH + J_2$. Verfasser hat nun diese Reaction benutzt, um den Bildungsvorgang beim Jodstickstoff näher zu untersuchen. Starke Jodlösung und Ammoniak geben momentan Jodstickstoff. Fügt man aber eine verdünnte Jodlösung zu Ammoniak, so resultirt anfangs eine durchsichtige Lösung, die Jodammon und unterjodige Säure enthält, deren Bildung nach folgender Gleichung stattfindet: $NH_3 + H_2O + J_2 = NH_4J + JOH$. Wird der Jodzusatz vergrößert, so trübt sich die ursprünglich klare Lösung unter Abscheidung von Jodstickstoff. Wenn Jodstickstoff sich abscheidet, so nimmt die Menge der unterjodigen Säure ab, ein Beweis dafür, daß der Jodstickstoff sich auf Kosten der letzteren bildet. Die Bildung der verschiedenen Jodstickstoffe läßt sich durch nachstehende Gleichungen zum Ausdruck bringen:

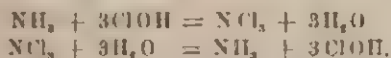


Auf die Bildung des Jodstickstoffs ist nicht die Menge des Jods allein, sondern auch die Concentration der Lösung, sowie die Temperatur von Einfluss. Jodstickstoff löst sich ferner allmählich in einem großen Ueberschuß von Ammoniak und die klare Flüssigkeit enthält unterjodige Säure. Für den Zerfall der Jodstickstoffe unter dem Einflusse des Wassers in Ammoniak und unterjodige Säure sprechen einige längst bekannte Thatsachen, die man entschieden nicht dem Jodstickstoff, sondern der unterjodigen Säure zuschreiben muß, so z. B. die Bildung von Monochlorjod bei der Einwirkung von Salzsäure, das Ausscheiden von Sauerstoff bei der Einwirkung von Wasserstoffsuperoxyd etc. Aus den folgenden Gleichungen werden derartige Prozesse verständlich:

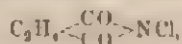


Wird beim Zersetzen des Jodstickstoffs durch Wasser neben Ammoniak unterjodige Säure gebildet, so muß die bei Einwirkung der Jodstickstoffe auf eine neutrale Jodkaliumlösung beim Zerfall gebildete unterjodige Säure mit Jodkalium Jod und Aetzkalk geben, es müssen also dann Ammoniak, Jod und Aetzkali entstehen, eine Annahme, die sich als richtig erwiesen hat. Wie Verfasser schon früher nachgewiesen hat, ist die unterjodige Säure nicht sehr beständig und zerfällt in Jod und Jodsäure: $5JOH = 2J_2 + JO_3OH + 2H_2O$. Erfolgt nun der Zerfall der Jod-

stickstoffe in saurer Lösung, so wird das Ammoniak neutralisirt und auf 1 Mol. Jodsäure müssen 4 At. Jod erhalten werden. Unter Einhaltung besonderer Versuchsbedingungen gelang es Verfasser, hierfür den analytischen Beweis zu erbringen. Die Jodstickstoffe werden daher aus Ammoniak und unterjodiger Säure gebildet und zerfallen bei der Zersetzung wieder in diese Körper. Verfasser hält die Jodstickstoffe für Amide der unterjodigen Säure und schlägt folgende Nomenclatur vor: *Sesquijodylamid*, $(\text{NH}_2, \text{N} \cdot \text{J})$, *Dijodylamid*, (NHJ_2) , und *Trijodylamid*, $(\text{N} \cdot \text{J}_3)$. *Chlorstickstoff*. Wie Gattermann nachgewiesen hat, giebt es Chlorstickstoffe, die einen geringeren Gehalt an Chlor als NCl_3 besitzen. Wenn analog den Jodstickstoffen die Chlorstickstoffe als Amide der unterchlorigen Säure dann anzusehen sein müssen, so erklären sich gewisse Reactionen des Chlorstickstoffs hieraus, z. B. die leichte Reducirbarkeit desselben durch schwache Reductionsmittel und die Bildung von Ammoniak und Chlor bei Einwirkung von Chlorwasserstoff. Wie bekannt, kann man auch Chlorstickstoff aus unterchloriger Säure und Ammonsalzen darstellen, doch tritt eine Grenze bei diesem Processe ein, da die Reaction der Chlorstickstoffbildung umkehrbar ist, d. h. zwei Reactionen Hand in Hand gehen:



Bei der Einwirkung von Salzsäure auf Chlorstickstoff entwickelt sich Chlor, nimmt man anstatt Salzsäure Schwefelsäure, so geht der Chlorstickstoff nur in geringer Menge in Lösung. Versetzt man schließlich den unter, mit Schwefelsäure angesäuerten, Wasser befindlichen Chlorstickstoff mit einer concentrirten Succinimidlösung, so löst sich der Chlorstickstoff vollkommen auf. Nimmt man diese Reaction unter Abkühlung vor, so verbindet sich die unterchlorige Säure mit Succinimid zu *Chlorylsuccinimid*,



dem gemischten Anhydrid der unterchlorigen Säure. Dafs in dem Chlorstickstoff ein Amid der unterchlorigen Säure vorliegt, bestätigt die Einwirkung von Jod bezw. Jodkalium auf Chlorstickstoff.

Tr.

C. A. Lobry de Bruyn. Beständigkeit und Darstellung des freien Hydroxylamins¹⁾. — Hinsichtlich der Beständigkeit des vom

¹⁾ Ber. 27. 967—970.

Verfasser dargestellten freien Hydroxylamins enthält die Arbeit folgende Angaben: Bei niedriger Temperatur bis zu $+15^{\circ}$ ist das freie Hydroxylamin ziemlich beständig, bei Temperaturen von 20 bis 30° nimmt die Beständigkeit mehr und mehr ab. Eine langsam fortschreitende Selbstzersetzung unter Entwicklung von Stickstoff und Stickoxydul tritt sowohl bei festem als auch geschmolzenem Hydroxylamin ein. Auch Aufbewahren des Präparates im Dunkeln verhindert die Zersetzung nicht, da auch die Alkalinität des Glases Einfluss auf die Beständigkeit des Hydroxylamins hat. Bezüglich der Ausbeute bei der Darstellung des freien Hydroxylamins betont Verfasser, indem er auf die Abhandlung von Brühl (JB. f. 1893, S. 335, 918) Bezug nimmt, dass beim Arbeiten im Kleinen bessere Ausbeuten erzielt werden. Ferner sei eine Speisung des Kühlers mit Eiswasser nicht rathsam, da bei Darstellung des Präparates in größeren Quantitäten sonst leicht eine Verstopfung des Kühlrohres eintritt. Um bei Versuchen mit freiem Hydroxylamin sich vor Explosionen, die zuweilen vorkommen können, zu schützen, operirte Verfasser zwischen zwei dicken Fensterscheiben und benutzte zu jedem Versuche immer nur einige Tropfen des geschmolzenen Körpers.

Tr.

J. W. Brühl. Notiz, betreffend Darstellung von freiem Hydroxylamin¹⁾. — Um über die Darstellung des freien Hydroxylamins in größeren Mengen nicht falsche Ansichten aufkommen zu lassen, betont Verfasser, Bezug nehmend auf die vorstehende Arbeit von Lohry de Bruyn, dass einer Bereitung von Hunderten von Grammen von Hydroxylamin in einer Operation nach dem vom Verfasser beschriebenen Verfahren (JB. f. 1893, S. 335, 918) nichts im Wege steht.

Tr.

Woldemar Feldt. Ueber Verbindungen des Hydroxylamins mit einigen Metallsalzen²⁾. — Verfasser verwendete zu seinen Versuchen freies Hydroxylamin in wässriger sowohl wie alkoholischer Lösung. Die erstere wurde aus Hydroxylaminsulfat und Barytlauge, die letztere durch Umsetzen einer ganz concentrirten wässrigen Lösung von Hydroxylaminchlorhydrat mit einer alkoholischen Lösung von Natriumalkoholat bereitet. Bringt man zu einer erhitzten weingeistigen Lösung von 1 Mol. Kobaltchlorür, die sich in einem mit Wasserstoff gefüllten Kolben befindet, 4 Mol. Hydroxylaminchlorhydrat unter Hindurchleiten von Wasserstoff einige Cubikcentimeter alkoholisches Hydroxylamin, so scheidet sich nach einiger Zeit ein Körper von der Formel $\text{CoCl}_2 \cdot 2\text{NH}_2\text{O}$

¹⁾ Ber. 27, 1347. — ²⁾ Dasselbst, S. 401—406.

in rosa Krystallnadeln ab. Durch weiteren Zusatz von Hydroxylamin ist es möglich, alles Kobalt in die erwähnte Verbindung überzuführen. An der Luft, besonders bei directem Sonnenlicht, wird die Verbindung dunkel gefärbt, unter Entwicklung von salpetriger Säure. In analoger Weise bildet sich die Verbindung $\text{CoSO}_4 \cdot \text{NH}_3\text{O} + 2 \text{H}_2\text{O}$, die im Aussehen der oben erwähnten Verbindung gleicht, nur muß man die Componenten in wässriger Lösung auf einander reagiren lassen. Dieses Salz ist etwas beständiger als das Chlorid. In wässriger oder alkoholischer Lösung setzen sich Kobaltchlorür und freies Hydroxylamin zu einem rosafarbenen Körper um, der in Folge von Sauerstoffaufnahme dunkelbraun wird und in die Verbindung $\text{CoOCl} \cdot 2 \text{NH}_3\text{O}$ übergeht. Wird genanntes Product in stark abgekühltem Alkohol suspendirt und hierzu tropfenweise gekühlte alkoholische Salzsäure gefügt, so erhält man eine dunkelgrüne Lösung, die beim mehrstündigen Verweilen in der Kältemischung gelbe Krystalle ausscheidet. Aus salzsäurehaltigem Wasser gewinnt man diesen Körper in wohl ausgebildeten gelben bis bronzefarbenen Krystallen von der Zusammensetzung $\text{CoCl}_2 \cdot 6 \text{NH}_3\text{O}$, die sich mit Ammoniumoxalat zu der Verbindung $\text{Co}_2(\text{C}_2\text{O}_4)_3 \cdot 12 \text{NH}_3\text{O}$ umsetzen. Eine Verbindung von der Formel $\text{MnCl}_2 \cdot 2 \text{NH}_3\text{O}$ resultirt, wenn eine erhitzte wässrige Lösung von 4 Mol. Manganchlorür und 1 Mol. Hydroxylaminchlorhydrat nach und nach mit etwas weniger als der berechneten Menge alkoholischen Hydroxylamins versetzt wird und zu der erkalteten Flüssigkeit etwas Alkohol gefügt wird. In analoger Weise entsteht der Körper $\text{MnSO}_4 \cdot \text{NH}_3\text{O} + 2 \text{H}_2\text{O}$, der ein weißes wasserunlösliches Pulver darstellt. Mit Kupfer- und Quecksilbersalzen lieferte Hydroxylamin keine färbbaren Producte. Das Hydroxylamin wurde in den angeführten Verbindungen mittelst Fehling'scher Lösung bestimmt. Tr.

S. Tanatar. Ueber die Reaction zwischen salzsaurem Hydroxylamin und Natriumnitrit¹⁾. Als Berichtigung zu seiner über diesen Gegenstand im J. russ. phys.-chem. Ges. (vergl. Ber. 26, R. 764) erschienenen vorläufigen Mittheilung theilt Verfasser mit, daß, wenn man die sauer reagirende Lösung von salzsaurem Hydroxylamin erst neutralisirt, sie nicht mit Natriumnitritlösung reagirt. Auch bleibt die starke Reaction zwischen festem Hydroxylaminchlorhydrat und Natriumnitrit aus, wenn eines von diesen Salzen mit Kalk, Magnesia oder Zinkoxyd gemischt ist. Tr.

¹⁾ Ber. 27. 187.

Johannes Thiele und Arthur Lachmann. Ueber das Nitramid¹⁾. — Wird eine wässerige concentrirte Lösung von Nitrourethan oder einem seiner Salze mit stark überschüssiger, concentrirter, methylalkoholischer Kalilösung versetzt, so erhält man nach kurzem Stehen in Eis *nitrocarbaminsaures Kalium*, $\text{NO}_2\text{NK} \cdot \text{COOK}$, in schönen Blättern, die beim Lösen in Wasser in Kaliumcarbonat und Stickoxydul zerfallen. Bringt man jedoch das Kaliumsalz in ein Gemisch von Eis und überschüssiger Schwefelsäure, so zerfällt die freigemachte Nitrocarbaminsäure in *Nitramid*, $\text{N}_2\text{O}_2\text{H}_2 = \text{NH}_2 \cdot \text{NO}_2$, und Kohlensäure. Der mit Ammoniumsulfat gesättigten Lösung entzieht man das Nitramid durch anhaltendes Ausäthern. Nach dem Abdunsten des Aethers hinterbleibt das Nitramid in wasserhellen Prismen. Durch Lösen in Aether und Ausfällen mit Ligroin gewinnt man den Körper in Blättern, die bei 72° unter Zersetzung schmelzen. Die wässerige Lösung reagirt stark sauer. Das Nitramid ist äußerst zersetzlich, bei Zimmertemperatur auch schon etwas flüchtig. Festes Nitramid verpufft mit Aetzlauge unter Feuererscheinung. *Tr.*

Watson Smith und W. Elmore. Verfahren zur Darstellung von Stickstoffoxydul²⁾. — Das Patent besteht darin, daß man ca. 17 Thle. Natronsalpeter oder ca. 20 Thle. Kalisalpeter mit 13 bis 14 Thln. schwefelsaurem Ammon in trockenem Zustande mischt und diese Mischung erhitzt und zwar anfänglich bis zu einer Temperatur von 230 bis 240° , bei welcher die Gasentwicklung beginnt, keinesfalls sollte aber in der ersten Zeit die Temperatur 250° überschreiten. Gegen Ende des Erhitzungsprocesses kann man schließlich die Temperatur bis 300° steigern. Sowohl das Erhitzungsgefäß als auch die Leitung, durch welche das Gas abgeführt wird, müssen so eingerichtet sein, daß zufällig aus dem Gase niedergeschlagene Feuchtigkeit nicht wieder mit den erhitzten Salzen in Berührung kommt. Das Gas wird zweckmäßig abgekühlt und durch Leiten durch schwache Säuren und verdünnte alkalische Lösungen von mit übergegangenen alkalischen oder sauren Bestandtheilen befreit. *Tr.*

Julius Thilo. Die Fabrikation und Compression des Stickoxyduls³⁾. — Zur Darstellung des Stickoxyduls erhitzt man 16 bis 18 kg Ammoniumnitrat in 30 Liter fassenden Retorten. Große Mengen auf einmal anzuwenden beim Großbetrieb, ist nicht rathsam. Um das Gas von etwaigem Chlor, Salzsäure und höheren

¹⁾ Ber. 27, 1909–1910.
18. 532.

²⁾ D. R.-P. Nr. 71279. — ³⁾ Chemikerzeit.

Stickoxyden zu reinigen, läßt man es drei Waschflaschen passiren, von denen die eine mit Wasser, die zweite mit Eisenvitriollösung und die dritte mit Natronlauge beschickt ist. Zur Bereitung des Stickoxyduls eignet sich nur ein ganz reines Nitrat, wie es sich im Handel nur selten findet. Die meisten Handelssalze geben ein Gas, das so stark durch Dämpfe von Ammoniaksalzen verunreinigt ist, daß die Verflüssigung unmöglich gemacht wird. Nach dem Passiren der Waschflaschen tritt das Gas in einen mit Eis gekühlten Behälter, wird somit von mitgerissenem Wasserdampf befreit und schließlich im Gasometer gesammelt. Aus dem Gasometer wird das Gas mittelst zweier Compressionspumpen, die bis höchstens 16 Atm. arbeiten, in ein ca. 6 Liter haltendes, auf 250 Atm. geprüftes Rohr gedrückt. Das Rohr ist mit einem Kupfermantel umgeben und in diesen tritt die aus schwefliger Säure mit etwas Kohlensäure zusammengesetzte Kühlflüssigkeit (Flüssigkeit Pictet). Auch zwischen dem Gasometer und dem Saugcylinder der ersten Maschine ist ein ähnlicher Refrigerator eingeschaltet, um bei einer Abkühlung von -20° die letzten Spuren seines Feuchtigkeitsgehaltes dem Gase zu entziehen. Da die Kälteflüssigkeit eine Temperatur von mindestens -60 bis -70° constant hält, so genügt zur Verflüssigung des Gases ein Druck von 12 bis 14 Atm. Tr.

P. Villard. Physikalische Eigenschaften des reinen Stickoxyduls¹⁾. — Um reines Gas zu gewinnen, entwickelt es Verfasser entweder aus seinem bei 0° beständigen Hydrat oder man rectificirt das in einem eisernen Recipienten verflüssigte Gas. Von dem Dampf und der Flüssigkeit hat Verfasser die Dichten von 0 bis $36,3^{\circ}$ bestimmt. Die kritische Temperatur wurde bei $38,8^{\circ}$ ermittelt, der kritische Druck zu 77,5 Atm. Tr.

P. Villard. Zusammensetzung und Bildungswärme des Hydrats des Stickoxyduls²⁾. — Diese schon früher beschriebene Verbindung stellt Verfasser dar, indem er flüssiges Stickoxydul mit einer bekannten Menge Wasser bei Gegenwart von Quecksilber im zugeschmolzenen Rohre längere Zeit in Eis stehen läßt, dann bei 0° das Rohr öffnet. Das nicht gebundene Gas entweicht dann, während das Hydrat keine merkbare Zersetzung erfährt. Man erwärmt schließlich und mißt das erhaltene Gas. Der Versuch zeigte, daß Wasser mehr als das 200 fache seines Volumens an Stickoxydul abgibt. Es scheint das Hydrat der Formel $N_2O, 6H_2O$ zu entsprechen. Die thermochemische Untersuchung dieser

¹⁾ Compt. rend. 118, 1096—1099. — ²⁾ Dasselbat. S. 646—649.

Verbindung wurde in dem Calorimeter von Bunsen ausgeführt. Die Bestimmungen ergaben 77,84 und 77,76 kleine Calorien, bezogen auf 1g Wasser. Die Lösungswärme ergab 57,5 Cal. und die Bildungswärme 139 Cal. Die letzte Zahl ist annähernd gleich der Summe der beiden vorhergehenden. Die Krystalle sind ohne Einfluss auf das polarisirte Licht und scheinen dem regulären System anzugehören. *Tr.*

F. Emich. Ueber die Einwirkung des Stickoxydes auf einige Metalle bei höherer Temperatur¹⁾. — Da aufser Verfasser sich auch Sabatier und Senderens gleichzeitig mit diesem Gegenstande befaßt hatten, so bringt er in dieser Arbeit nur diejenigen Versuche, welche von genannten Autoren nicht oder mit anderem Erfolge ausgeführt worden sind. Die Einwirkung des Stickoxydes geschah auf die möglichst fein vertheilten Metalle bei oder unter der beginnenden Glühhitze. Kupfer reducirt das Stickoxyd quantitativ zu Oxydul. Leitet man Stickoxyd bei Rothgluth über reinsten Zinkstaub, so giebt das aus dem Rohr austretende Gas mit Luft keine braunen Dämpfe mehr, das graue Product (ZnO) enthielt eine Spur Stickstoff als Nitrid. Bei Cadmium entstehen die beiden Modificationen von Cadmiumoxyd. Chrom scheint nur sehr schwer von Stickoxyd verändert zu werden, bei wiederholten Erhitzen bildet sich offenbar Chromoxyd. Molybdän liefert beim Erhitzen im Stickoxydstrome, je nach der Dauer des Erhitzens, Dioxyd, Sesquioxyd, $MoO_{1,2}$, und schliesslich Trioxyd. Wolfram bildet gelbes Wolframtrioxyd, Uran verbrennt in Stickoxydgas beim Erhitzen mit blendender Lichterscheinung zu Uranuranat, U_2O_7 . Eisen in fein zertheiltem Zustande entzündet sich sehr leicht im Stickoxydgas unter Bildung von Eisenoxyd, Fe_2O_3 , während das oxydirte Eisen stets geringe Mengen von Stickstoff enthält. Kobaltmetall wird im Stickoxydstrome schon bei mässiger Temperatur entzündet und liefert Oxyduloxyd, Co_2O_3 . *Tr.*

G. Lunge und G. Porschnew. Zur Kenntniss des Stickstofftrioxyds [Salpetrigsäureanhydrids]²⁾. — Diese Arbeit ist auf Veranlassung von Lunge von Porschnew selbstständig ausgeführt und sollte die Frage zur Entscheidung bringen, ob die Verbindung N_2O_3 im Gaszustande existire. Die vorliegende Arbeit stellt nun endgültig fest, dafs das Stickstofftrioxyd allerdings ein chemisches Individuum ist, das aber nur unter -21° beständig ist. Oberhalb dieser Temperatur fängt es noch im flüssigen Zu-

¹⁾ Monatsh. Chem. 15. 375—390. — ²⁾ Zeitschr. anorg. Chem. 7. 200—249.

stande an, sich zu dissociiren und beim Uebergange aus dem flüssigen in den dampfförmigen Zustand tritt diese Dissociation (in NO , NO_2 bezw. N_2O_4) so gut wie vollständig ein. Lunge giebt dann auch eine Erklärung für den Bleikammerproceß, bei dem ein Gemenge von 1 Mol. NO_2 und 1 Mol. NO in chemischer Beziehung genau so wirkt wie die Verbindung N_2O_3 . In dem zweiten Theile der Arbeit berichtet Porschnew nach einer historischen Einleitung zunächst über die Bereitung der Ausgangsmaterialien (O , NO , CO_2 , N_2O_3 , N_2O_4), sowie über analytische Methoden. Der nächste Theil der Arbeit behandelt die Einwirkung von Sauerstoffgas auf überschüssiges Stickoxydgas. Dann folgt das Verhalten des Gemisches von Stickoxyd und Peroxyd zur Schwefelsäure, sowie Reduction einer salpetersäurehaltigen Nitrose durch NO -Gas und hierauf Versuche mit verdampfender N_2O_4 und überschüssigem Sauerstoff. Im Anschluß an diese Theile der Arbeit folgen die sogenannten Hasenbach'schen Versuche, deren Kern in den abweichenden Eigenschaften eines Gemenges von Peroxyd und Oxyd vor und nach dem Erhitzen liegt. Der zweite Theil der Hasenbach'schen Versuche befaßt sich mit der Löslichkeit des Stickoxydes in flüssigem Peroxyd (N_2O_4). Den Schluss der Arbeit bildet die Dampfdichtebestimmung des N_2O_4 . Die Ergebnisse dieser sehr umfangreichen Arbeit sind kurz zusammengefaßt folgende: 1. NO_2 und NO verbinden sich gar nicht, oder nur in einem sehr geringen Maße zwischen den Temperaturen $+27.3$ und 100° . 2. NO und N_2O_4 verbinden sich bei -21° so gut wie quantitativ (98,3 Proc.) zu einem chemischen Individuum, dem Salpetrigsäureanhydrid. Dasselbe ist beständig unter dieser Temperatur bei gewöhnlichem Drucke, die Zersetzung fängt dagegen schon in flüssigem Zustande über der Temperatur von -21° an. 3. Producte der Einwirkung von Sauerstoff auf überschüssiges NO -Gas (wobei sich gasförmiges N_2O_3 bilden sollte) verhalten sich gegen Schwefelsäure identisch mit einem Gemisch von NO und Peroxyd. 4. Dämpfe des flüssigen N_2O_4 sind der Einwirkung von überschüssigem Sauerstoff gegenüber nicht stabil, sie verwandeln sich vielmehr vollständig zu Peroxyd. 5. Der Dampf von flüssigem N_2O_4 nimmt dasselbe Volumen ein wie das Gemisch von NO und Peroxyd, aus dem es entstanden. Tr.

W. Ramsay. Die Nichtexistenz des gasförmigen Salpetrigsäureanhydrids ¹⁾. — Im Anschluß an eine Arbeit von Lunge und Porschnew (vorstehendes Referat) betont Verfasser, daß

¹⁾ Chem. News 70, 187

genannte Forscher jetzt gleichfalls seiner schon früher ausgesprochenen Anschauung beitreten, daß Salpetrigsäureanhydrid in gasförmigem Zustande nicht existenzfähig ist, sondern daß es nur bei niedriger Temperatur beständig ist. Bei Temperaturen über -21° tritt Zersetzung ein. Hiermit ist die seiner Zeit von Lunge früher gemachte Angabe von ihm selbst widerlegt und die Streitfrage erledigt. Tr.

B. Liljensztern und L. Marchlewski. Zur Kenntniss der salpetrigen Säure in Lösungen von Salpetersäure¹⁾. — Nach früheren Versuchen ist bewiesen, daß rothbraune Salpetersäure von hoher Concentration nur N_2O_4 enthält, und daß die grünen und blauen Säuren nur Gemische von Salpetersäure, Wasser, N_2O_4 , und salpetriger Säure bzw. Salpetersäure, Wasser und salpetriger Säure sein können. Von Montemartini ist nun die Grenze für die Existenzfähigkeit des Stickstoffperoxydes in verdünnter Salpetersäure zu 30 Proc. HNO_3 ermittelt worden. Danach müßte eine Säure mit 70 Proc. Wasser auf Stickstoffperoxyd nicht zersetzend im Sinne der Bildung von salpetriger Säure wirken können und salpetrige Säure in Säuren mit über 30 Proc. HNO_3 im Sinne der Gleichung $HNO_2 + HNO_3 = 2NO_2 + H_2O$ zersetzt werden. Verfasser zeigen nun, daß, entgegen der Annahme von Montemartini, sogar Säuren, die über 60 Proc. HNO_3 enthalten, salpetrige Säure neben Untersalpetersäure enthalten können. Verfasser brauchten zu diesen Versuchen eine Säure, die sie durch Vermischen von HNO_3 (1,3973) mit flüssigem Stickstoffperoxyd herstellten. Dieselbe war grün gefärbt, hatte das spec. Gew. 1,40594, enthielt 61,85 Proc. HNO_3 und 4,07 Proc. als N_2O_4 berechneter niedriger Oxydationsstufen des Stickstoffs. Die mutmaßliche Zusammensetzung müßte Salpetersäure + Wasser + N_2O_3 + N_2O_4 sein. Durch diese Säure wurde nun ein absolut reiner Kohlensäurestrom geleitet: dieser trat, mit den Stickoxyden belastet, in eine mit Bimssteinstücken ausgefüllte $\frac{1}{2}$ m lange Röhre, sodann in drei mit concentrirter Schwefelsäure gefüllte Waschflaschen und schließlich in eine mit angesäuertem $\frac{1}{2}$ -Normal-Kaliumpermanganat gefüllte Zehnkugelabsorptionsröhre. 1. NO_2 wird absorbirt unter Bildung von Nitrosylschwefelsäure und Salpetersäure. 2. NO bei Anwesenheit von NO_2 muß Nitrosylschwefelsäure liefern. 3. N_2O_3 wird gleichfalls Nitrosylschwefelsäure bilden. Ist ein Ueberschuß von NO vorhanden, so muß bei der Analyse der erhaltenen Nitrose das Verhältniß des Ge-

¹⁾ Zeitschr. anorg. Chem. 5, 288—292.

sammstickstoffs zum N_2O_5 -Stickstoff gleich 1 sich ergeben und das vorgelegte Kaliumpermanganat muß theilweise reducirt werden. Ist NO nicht in solcher Menge vorhanden, daß es sämtliche NO_2 in Nitrosylschwefelsäure überführen kann, so muß das erwähnte Verhältniß größer als 1 sein. Der Versuch ergab 1,324. Enthielte die Säure nur N_2O_5 neben Wasser, so müßte das Verhältniß 2 sein. Es geht also hieraus hervor, daß salpetrige Säure zugegen war.

Tr.

H. N. Warren. Neue Methode der Darstellung von Nitriten¹⁾. — Ammoniumnitrit bildet sich, wenn man Ammoniak und Luft über erwärmten platinirten Asbest leitet. Um einen sehr wirksamen Asbest zu erhalten, verfuhr Verfasser wie folgt: Die Lösung von Platin in Königswasser wird eingedunstet und das resultirende Platinchlorid auf ca. 200° erhitzt. Alsdann kocht man den Rückstand mit Natriumcarbonat in geringem Ueberschuß und löst das gebildete Platinhydrat in Oxalsäure. Die Lösung wird schließlich concentrirt, der Asbest damit getränkt, dann getrocknet und geblüht. Der so zubereitete Asbest enthielt dann 12 Proc. Platin. Bringt man solchen Asbest in ein Verbrennungsrohr und leitet gleichzeitig Ammoniakgas und Luft durch, während man zur Einleitung der Reaction mittelst eines Bunsenbrenners das äußerste Ende des Rohres erhitzt, so bilden sich dicke Nebel von Ammoniumnitrit und zuweilen kann der Asbest der ganzen Länge nach sich intensiv erhitzen. Leitet man das Ammoniumnitrit in eine Aetznatronlösung, so wird eine äquivalente Menge von Natriumnitrit sich bilden.

Tr.

S. P. L. Sørensen. Kritische Präparatenstudien. Darstellung von Ammoniumnitrit²⁾. — Verfasser giebt zunächst eine Uebersicht über die verschiedenen, in der Literatur beschriebenen Methoden zur Darstellung von Ammoniumnitrit und schließt hieran das Verfahren, dessen er sich zur Gewinnung dieses Salzes bediente. Zu diesem Zwecke leitete er Stickstofftrioxyd, das er aus Arsenigsäureanhydrid und Salpetersäure entwickelte, erst durch einen Rückflusskühler, dann durch eine Woulff'sche Flasche und schließlich durch einen hohen Cylinder, der mit kohlensaurem Ammon beschickt ist. Flasche und Cylinder werden mit Eiswasser gekühlt und überzeugt man sich an einer hinter dem Cylinder eingeschalteten Flasche, daß Stickoxyd immer im Ueberschuß vorhanden ist. Das kohlensaure Ammon zerfließt allmählich durch das bei dem Prozesse gebildete Wasser, jedoch reicht das letztere

¹⁾ Pharm. J. Transact. 53, 798. — ²⁾ Zeitschr. anorg. Chem. 7, 33–40.

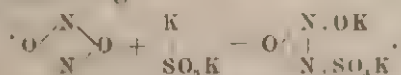
nicht aus, alles Ammoniumnitrit bei dieser Temperatur aufzulösen. Zu der halbflüssigen Masse giebt man absoluten Alkohol, filtrirt nach einstündigem Stehen und scheidet aus der mit Eiswasser gekühlten Lösung durch Zusatz von Aether in Antheilen das Ammoniumnitrit ab. Das abgesaugte und abgepresste Salz wird durch kurzes Verweilen über concentrirter Schwefelsäure von der letzten Spur Aether befreit. Auch aus dem Rückstande, der bei Abfiltriren der mit Alkohol versetzten halbflüssigen Masse zurückbleibt und der vorwiegend aus Ammoniumcarbonat besteht, läßt sich durch Behandlung mit Weingeist von 96 Proc. und Fällung der Lösung mit Aether noch weiteres Salz gewinnen. Zum Vergleich mit dieser Fällungsmethode hat Verfasser auch Ammoniumnitritlösungen unter verschiedenen Bedingungen verdunstet. Ganz abgesehen von dem Zeitaufwand liefert diese Art der Abscheidung des festen Salzes keine besseren Resultate. Das feste Ammoniumnitrit bildet eine undeutliche, krystallinische Masse, bei langsamer Abscheidung federförmige Krystalle oder schöne Nadeln. Das Salz ist in Wasser unter Wärmeabsorption leicht löslich, an gewöhnlicher Luft zerfließt es. Am besten läßt es sich im Vacuum über gebranntem Kalk aufbewahren. *Tr.*

M. Mendelsohn. Ueber die Zerlegbarkeit der Nitrite durch Hydroxylamin ¹⁾. — Nach Emmerich soll das Wesen der Choleraerkrankung in einer Nitritvergiftung, einer Intoxication des Organismus mit salpetriger Säure bestehen. Er nimmt an, daß die Kommabacillen bei ihrem ausgesprochenen Reactionsvermögen innerhalb des Darmes aus den Nitraten, welche mit der Nahrung und in erster Linie mit dem Wasser eingeführt werden, die salpetrige Säure bilden. Sollte diese Ansicht von Emmerich sich bestätigen, so dürfte für die Therapie in dem Hydroxylamin vielleicht nach Ansicht des Verfassers ein Stoff vorliegen, um die salpetrige Säure zu zerlegen: $\text{NH}_4\text{OH} + \text{NOOH} = 2\text{H}_2\text{O} + \text{N}_2\text{O}$. Es wäre nicht unmöglich, daß sich die gegenseitige Bindung dieser Stoffe auch im Blute ermöglichen läßt. Versuche, die an Thieren angestellt sind, lehren, daß, wenn man beide Stoffe per anum einführt in Dosen, von denen jede für sich tödtlich wirken müßte, das Thier am Leben bleibt. *Tr.*

A. Hantzsch. Ueber die Salze der stickoxydschwefligen Säure ²⁾. — Verfasser sucht mit dieser Arbeit zwei Fragen zu entscheiden: erstens die Frage nach der Constitution der stickoxydschwefligen Säure im Allgemeinen und dann die Frage nach

¹⁾ Deutsche med. Wochenschr. 19, 995—996. — ²⁾ Ber. 27, 3264—3272.

der Existenz und der Natur der isomeren Salze dieser Säure. Für die Bildung des stickoxydschwefligsauren Kaliums nimmt Verfasser folgende Gleichung an:



Mit dieser Formel lassen sich weiterhin alle Eigenschaften und Umsetzungen der stickoxydschwefligsauren Salze besser in Einklang bringen als mit irgend einer anderen Formel, wie sie z. B. von Michaelis und auch von Raschig aufgestellt sind. Die Frage nach den beiden isomeren Kaliumsalzen konnte Verfasser nicht entscheiden, da es wohl gelang, das von Raschig beschriebene, nicht aber das von Pelouze entdeckte Salz darzustellen. In dem experimentellen Theile der Arbeit beschreibt Verfasser die Einzelheiten der Darstellung des stickoxydschwefligsauren Kaliums, das er durch Einwirkung von Stickoxyd auf eine alkalische Lösung von Kaliumsulfat darstellte und das dem von Raschig beschriebenen entspricht. Das stickoxydschwefligsaure Kalium, $\text{K}_2\text{N}_2\text{SO}_6$, bildet schön glänzende Krystalle, die sehr zersetzlich sind. Ausser dem erwähnten, bereits bekannten Salze wurden noch dargestellt: *Baryum-Kaliumsalz*, $\text{K} \cdot \text{Ba} \cdot \text{SN}_2\text{O}_6$, feines Pulver. *Silber-Kaliumsalz*, KAgSN_2O_6 , bildet sich, wenn man die berechnete Menge Silbernitratlösung zu einer unter 0° abgekühlten Lösung des Kaliumsalzes giebt, als weißer Niederschlag. In wässriger Lösung wird es leicht zerlegt gemäß der Gleichung $\text{KAgSN}_2\text{O}_6 + \text{H}_2\text{O} = \text{KAgSO}_3 + \text{N}_2\text{O}$, bei Ausschluss von Wasser zerfällt es in Stickoxyd und Sulfit, $\text{KAgSN}_2\text{O}_6 = \text{KAgSO}_3 + 2\text{NO}$. Dieser Zerfall tritt beispielsweise ein, wenn man das Salz mit einem warmen Glasstabe berührt oder auf 85° erwärmt. Tr.

A. Gurcman. Zur Kenntniss der Elektrolyse der Nitrosylschwefelsäure in schwefelsaurer Lösung¹⁾. — Verfasser hat in einem besonderen Apparate zwei verschiedene Lösungen von Nitrosylschwefelsäure, von denen die eine durch Behandlung einer Schwefelsäure vom spec. Gew. 1,837 mit N_2O -Gasen, die andere einer solchen vom spec. Gew. 1,65 hergestellt war, der Elektrolyse unterworfen. Der Strom hatte eine Spannung von 4 Volt und eine Stärke von 0,1 Amp. Bei der Elektrolyse der Nitrosylschwefelsäure, die aus der Schwefelsäure 1,837 gewonnen war, entstanden am negativen Pole Stickoxyd, Wasserstoff, Stickstoff

¹⁾ Zeitschr. anorg. Chem. 7. 161—165.

und Stickoxydul, am positiven Pole Sauerstoff. Anfangs scheidet sich das Gas am positiven Pole schneller ab, als am negativen; später wird es umgekehrt. Die Flüssigkeit färbt sich hierbei violett, es bildet sich wahrscheinlich die Verbindung von Stickoxyd und Nitrosylschwefelsäure resp. Salpetrigsäure; nach 40-stündiger Einwirkung nimmt die Gasabscheidung am negativen Pole ab und die Flüssigkeit wird milchig trübe. Mit der Dauer der Elektrolyse nimmt die Menge des Stickoxydes ab, während die Menge des Wasserstoffs resp. Stickstoffs und Stickoxyduls zunimmt. Als am negativen Pole die Menge des Stickoxydes nur noch minimal war, ergab die Analyse der rückständigen Säure, dass in der Lösung noch fast reine Nitrosylschwefelsäure enthalten war. Diese auffallende Thatsache erklärt Verfasser wie folgt: Die positiven Ionen der Nitrosylschwefelsäure, die Gruppe NO und H , werden durch den Strom an den negativen Pole geführt und entweichen hier gasförmig; SO_3 wandert zum positiven Pol, spaltet sich hier in (O) und (SO_3) , die Schwefelsäure regeneriert. Der Sauerstoff oxydirt dabei einen Theil der Nitrosylschwefelsäure zu Salpetersäure und in Folge dessen wirkt nun ein Theil des NO reducierend auf diese und salpetrige Säure regeneriert wieder Nitrosylschwefelsäure. Erwähnt sei noch, dass in der rückständigen Nitrose weder Ammoniak noch Hydroxylamin enthalten war. Bei der Elektrolyse der Nitrosylschwefelsäure, die aus der Schwefelsäure (1,65) erhalten war, wird auch mit der Dauer der Elektrolyse die Menge des (NO) stets geringer, während am positiven Pole fast reiner Sauerstoff entsteht. Die rückständige Säure enthielt keine salpetrige Säure mehr; das abgeschiedene NO bei dieser Nitrose war also nicht im Stande, in seiner reducirenden Wirkung mit dem oxydirenden Einfluss des Sauerstoffs Schritt zu halten.

Tr.

Edward Divers und Tamemasa Haga. Oximid-sulfonate oder Sulfazotate¹⁾. — Im Anschluss an die Arbeiten von Fremy und vor allem von Raschig haben sich die Verfasser mit der Darstellung und Untersuchung der Oximid-sulfonate oder Sulfazotate befasst. *Neutrales Kaliumoximid-sulfonat* bildet sich neben Nitrilsulfonat, wenn man auf 2 Mol. Kaliumnitrit etwas mehr als 3 Mol. Kaliummetasulfit unter Eiskühlung reagiren lässt. Die Ausbeute beträgt ca. 60 Proc. In analoger Weise erhält man durch Vermischen eiskalter Lösungen von Natriumnitrit mit Natriummetasulfit das *neutrale Natriumoximid-sulfonat*, $\text{HON}(\text{SO}_3\text{Na})_2$.

¹⁾ Chem. Soc. J. 65. 523 - 572.

Besser erhält man das letztgenannte Salz, wenn 50 g Natriumnitrit (96 Proc.), 110 g Natriumcarbonat und 150 ccm Wasser (bezw. 30,8 NaOH und 200 ccm Wasser) bei Eiskühlung mit einem kräftigen Strom von schwefliger Säure so lange behandelt werden, bis ein in dieser Flüssigkeit befindliches Reagenzpapier saure Reaction anzeigt. Durch Hydrolyse wird das als Nebenproduct gebildete Nitrilsulfonat vernichtet, während das Oximidosulfonat der hydrolysirenden Wirkung einer kleinen Menge Schwefelsäure für 15 Minuten zu widerstehen vermag. Die schweflige Säure vertreibt man durch einen Luftstrom und fügt zu der von Nitrilsulfonat und SO_2 befreiten Lösung eine concentrirte Lösung von Natriumcarbonat, bis alkalische Reaction erreicht ist. Eine solche Lösung, die jetzt Oximidosulfonat und Natriumsulfat enthält, engt man am besten über Schwefelsäure im Vacuum ein, beseitigt von Zeit zu Zeit das beim Köhlen mit Eis sich ausscheidende Sulfat und erhält schliesslich beim weiteren Einengen das Natriumoximidosulfonat. Das so gewonnene Salz ist nahezu rein, wasserfrei und bildet harte, kleine, dicke Prismen, die sich aus heissem Wasser, dem man etwas Alkali oder Ammoniak zugebt, umkrystallisiren lassen. Um neutrales Kaliumoximidosulfonat nach der eben beschriebenen Methode zu gewinnen, übergießt man molekulare Mengen von Kaliumnitrit und Kaliumcarbonat bezw. Kaliumhydroxyd mit Wasser, dessen Menge achtmal so groß als die Menge des Nitrits und leitet bei 2° schweflige Säure ein. Ein *basisch Natriumoximidosulfonat* von der Formel $\text{Na}_3\text{NS}_2\text{O}_7$ erhält man, wenn man zu der Lösung des neutralen Salzes die berechnete Menge Natronhydrat zugebt und bis zur Krystallisation im Vacuum einengt. Wenn man etwas weniger Natronhydrat als zur Bildung des eben beschriebenen Salzes nöthig ist, anwendet, erhält man ein basisches Salz von der Formel $\text{Na}_2\text{H}(\text{NS}_2\text{O}_7)_2$. Das *basische Kaliumoximidosulfonat*, $\text{K}_3\text{NS}_2\text{O}_7$, ist schon von Raschig entdeckt worden, während Fremy ein solches von der Formel $\text{K}_2\text{H}(\text{NS}_2\text{O}_7)_2$ beschrieben hat. Die Rückverwandlung der Oximidosulfonate in Nitrite und Sulfite erfolgt, wenn man sie mit Alkalien wenige Minuten erhitzt: $\text{KON}(\text{SO}_3\text{K})_2 + 2\text{KOH} = \text{H}_2\text{O} + \text{KNO}_2 + 2\text{K}_2\text{SO}_3$. Dargestellt, beschrieben und analysirt haben Verfasser folgende Salze: $\text{Na}_3\text{NS}_2\text{O}_7 + 3\text{H}_2\text{O}$, normales Natriumsalz; $\text{Na}_2\text{HNS}_2\text{O}_7$, Dinatriumsalz; $\text{Na}_2\text{HNS}_2\text{O}_7 \cdot 2\text{Na}_3\text{NS}_2\text{O}_7 + 3\text{H}_2\text{O}$, $\frac{1}{3}$ -normales Natriumsalz; $\text{K}_3\text{NS}_2\text{O}_7 + \text{H}_2\text{O}$ bezw. $2\text{H}_2\text{O}$, normales Kaliumsalz; $\text{K}_2\text{HNS}_2\text{O}_7 + 2\text{H}_2\text{O}$, Dikaliumsalz; $\text{K}_2\text{HNS}_2\text{O}_7 \cdot \text{K}_3\text{NS}_2\text{O}_7 + \text{H}_2\text{O}$, $\frac{2}{3}$ -normales Kaliumsalz. Dikaliumoximidosulfonat vereinigt sich mit Kaliumnitrat und Natriumchlorid und

liefert die Verbindungen $K_2HNS_2O_7 \cdot KNO_3 + H_2O$ und $5K_2HNS_2O_7 \cdot 8NaCl + 3H_2O$. Auch Kaliumnatriumoximidosulfonate haben Verfasser dargestellt, z. B.: $2Na_2NS_2O_7 \cdot 3K_2NS_2O_7 + 2H_2O$, 2-normales gemischtes normales Salz; $K_1Na_1H_3(NS_2O_7)_2 + 20H_2O$, 1-normales Kaliumnatriumsalz; $K_2Na_{16}H_3(NS_2O_7)_2 + 5H_2O$, 2-normales Kaliumnatriumsalz; $K_1Na_8H_1(NS_2O_7)_2 + 9H_2O$, 1-normales Kaliumnatriumsalz; $KNa_4H(NS_2O_7)_2 + H_2O$, 1-normales Monokaliumnatriumsalz. Ammonium-, Baryum-, Strontium-, Calcium- und Bleioximidosulfonate, sowie Baryumkalium- und Strontiumkaliumoximidosulfonate sind in dieser sehr umfangreichen Arbeit noch beschrieben. *Tr.*

T. L. Phipson. Ursprung der Salpetersäure ¹⁾. — Verfasser bringt unter diesem Titel nichts wesentlich Neues. Salpetersäure stammt von der Oxydation des Ammoniaks und erklärt Verfasser die Nitrification als solch einen Oxydationsproceß. Das Ammoniak sei aber nicht bloß ein vom thierischen und vegetabilischen Leben erzeugtes Product, sondern auch mit der Kohlensäure so es vulcanischen Ursprungs. *Tr.*

Valentiner und Schwarz. Chemisch reine Salpetersäure ²⁾. — Verfasser stellen eine Salpetersäure von höchster Concentration und absoluter Reinheit dar nach einem in allen Ländern patentirten Verfahren. Diese Säure besitzt ein wasserhelles Aussehen, ist frei von Chlor und N_2O_4 und verdampft ohne Hinterlassung des geringsten Rückstandes. Diese reine Handelssäure wird von den Genannten (Leipzig-Plagwitz) das Kilogramm pro 15 Mark geliefert. *Tr.*

E. Armstrong und A. Lapworth. Reaction zwischen Säurechloriden und Nitraten ³⁾. — Die Verfasser haben im Anschluß an die früheren Versuche des Einen über diesen Gegenstand die Einwirkung von Säurechloriden auf Silbernitrat anstatt im Luftstrom im Kohlensäurestrom ausgeführt. Bei Acetylchlorid und Silbernitrat entweicht die Hälfte des Chlors als Gas, während die andere Hälfte an das Metall gebunden wird. Säurechloride und Nitratscheinen nach den diesbezüglichen Versuchen der Verfasser nur so zu reagiren, daß das Chlor des Chlorids durch Sauerstoff aus dem Nitrat ersetzt wird und Stickstoffperoxyd entsteht. Verfasser schließen hieraus, daß das Chlor in den Säurechloriden nicht die spezielle Activität besitzt, die man ihm gewöhnlich zuschreibt. *Tr.*

¹⁾ Chem. News 70, 283—284. — ²⁾ Chem. Centr. 65, II, 74—75. — ³⁾ Chem. News 69, 36.

Phosphor.

A. Rossel und L. Frank. Darstellung von Phosphor aus den Phosphaten der Alkalien und alkalischen Erden mittelst Aluminium als Reductionsmittel und Einwirkung des Aluminiums auf Sulfate und Chloride¹⁾. — Wird gewöhnliches Phosphorsalz, $\text{NH}_4\text{NaHPO}_4$, im Porcellantiegel bis zur Bildung von NaPO_3 geschmolzen, so bewirkt das Hineinwerfen von Aluminiumblättchen in das geschmolzene Salz kleine Flämmchen, die an die spontane Zersetzung des Phosphorwasserstoffs erinnern. Geschieht diese Reaction in einer Glasröhre im Wasserstoffstrome, so destillirt Phosphor über. Es bildet sich in beiden Fällen durch Reduction des Salzes Phosphor. Die Reaction ist eine complexe, es entsteht als Rückstand Aluminiumoxyd, Thonerdenatron und ein Phosphoraluminium. Um über die Beschaffenheit des *Phosphoraluminiums* Aufschluss zu erhalten, leiteten Verfasser Phosphordämpfe bei höherer Temperatur über Aluminium und glühten die entstandene Verbindung, bis kein Phosphor mehr entwich. Es wurde so ein graues krystallinisches Pulver von der Zusammensetzung Al_3P_5 erhalten. Es ist anzunehmen, dass diese Verbindung bei der Zersetzung der Phosphate entsteht und dass 28 bis 31 Proc. des Phosphors des Natriummetaphosphates überdestilliren. Aber auch andere Phosphate, z. B. Knochenmehl, Phosphoritpulver, Pulver aus fossilen Knochen, Magnesiumpyrophosphat, Calciummetaphosphat, gehen, mit Aluminium geschmolzen, mehr oder weniger Phosphor. Wird Calcium- oder Natriummetaphosphat mit Aluminium und Kieselsäure geglüht, so enthält der Rückstand nur noch Spuren von Phosphor, da in diesem Falle die Bildung des Phosphors regelmässig und nahezu quantitativ erfolgt, wenn man gemäß den nachstehenden Gleichungen die Mengenverhältnisse wählt.



Als Verfasser Superphosphat mit obigen Zusätzen reduciren wollten, trat eine nicht unbedeutende Explosion ein. Der Grund lag darin, wie Verfasser durch Controlversuche feststellten, dass Calcium- und auch Baryumsulfat durch das Aluminiumkieselsäuregemisch in Folge plötzlicher Reduction und Bildung von Schwefel zur Explosion gebracht werden. Auch Chloride, sogar Kochsalz, werden bei hoher Temperatur durch Aluminium zerlegt. Verfasser

¹⁾ Ber. 27, 52—55.

schlagen noch vor, als Vorlesungsversuch eine Mischung von 1 bis 2,5 Gewthln. Aluminium, 6 Gewthln. Natriummetaphosphat u. 2 Gewthln. Kieselguhr in einem mit einem Wasserstoffapparat verbundenen Glasrohr (1 m) durch Erhitzen zu Phosphor zu reduciren.

A. Rossel. I. Darstellung von Phosphor mit Hilfe der reducirenden Wirkung des Aluminiums auf Phosphate und Einwirkung des Aluminiums auf die Chloride und Sulfate der alkalischen Erden. II. Oxydation und Entzündung des Aluminiums mit Natriumsuperoxyd¹⁾. — Der erste Theil dieser Arbeit enthält inhaltlich genau dasselbe wie die von A. Rossel und L. Fratz (vorstehend. Referat) publicirte Arbeit, nur mit dem Unterschiede, dass hier erwähnte Phosphoraluminium mit der Formel Al_3P_5 bezeichnet ist, während sich in der anderen Arbeit die Formel Al_3P_3 angegeben findet. Im zweiten Theile bespricht Verfasser die Einwirkung von Aluminium auf Natriumsuperoxyd. Bei der Analyse der Rückstände von Phosphor und Aluminium bediente sich Verfasser einer Lösung von Natriumsuperoxyd, in der sich die Rückstände unter Aufbrausen lösen. Mischt man jedoch Natriumsuperoxyd mit Aluminiumpulver, so zieht die Mischung rasch Feuchtigkeit an, entzündet plötzlich und liefert eine hohe Reactionstemperatur. Ein auf die Mischung gebrachter Wassertropfen genügt, um die Verbrennung zu bewirken. Es erheischt daher das Arbeiten mit diesen beiden Körpern grosse Vorsicht.

A. Rossel. Darstellung von Phosphor²⁾. — Man erhitzt Metaphosphorsäure oder metaphosphorsaure Alkalien mit Zinn oder Aluminium. Die Reaction tritt bei beginnender Rothgluth ein, das Metall löst sich auf und Phosphordämpfe destilliren über.

J. W. Retgers. Ueber eine einfache Darstellung des Phosphorwasserstoffs³⁾. — Fourcroy und Vauquelin haben in einer älteren Abhandlung darauf hingewiesen, dass man beim Schmelzen von gelbem Phosphor in Wasserstoffgas keine chemische Verbindung von Phosphor und Wasserstoff erhält. Verfasser zeigt nach, dass, wenn man rothen Phosphor in einem Glasrohre in einer Wasserstoffatmosphäre erhitzt, sich sowohl gasförmiger, als auch flüssiger und fester Phosphorwasserstoff bilden, und empfiehlt dieses einfache Verfahren als Demonstrationsversuch 1. weil die Methode einfach und elegant, 2. einen Beweis für die directe Vereinigung

¹⁾ Bull. soc. chim. [3] 11, 200—204. — ²⁾ Patentbl. 14, 1064, D. R. P. Nr. 71259. — ³⁾ Zetschr. anorg. Chem., 7, 265—266.

zweier Elemente bietet, und 3. weil man damit leicht die Bildung aller drei Phosphorwasserstoffe zeigen kann. *Tr.*

A. Joannis. Einwirkung von Phosphorwasserstoff auf Kaliumammonium und Natriumammonium¹⁾. — Leitet man Phosphorwasserstoff in Kaliumammonium, das in flüssigem Ammoniak gelöst ist, so verschwindet der Phosphorwasserstoff, während gleichzeitig Wasserstoff entwickelt wird. Es entsteht bald darauf eine Flüssigkeit, die allmählich feine, weisse Nadeln von *Kaliumphosphid*, PH_2K , abscheidet. Die analoge Verbindung, d. h. *Natriumphosphid*, PH_2Na , erhält man, wenn man an Stelle von Kaliumammonium Natriumammonium anwendet. Dieses Natriumphosphid löst sich doch nicht so in festem Zustande gewinnen, man erhält nur eine Flüssigkeit, die ausser Natriumphosphid noch Ammoniak enthält, der allmählich entweicht. Erhitzt man schliesslich auf 65° , so wird die Substanz krystallinisch, enthält aber ausser PH_2Na noch PNa_3 . Wärme zersetzt diese Verbindungen gemäß der Gleichung $3\text{PH}_2\text{K} = 2\text{PH}_3 + \text{PK}_3$. Wasser zerstört sie unter Phosphorwasserstoffentwicklung. *Tr.*

J. C. Cain. Einwirkung von Chlor auf Phosphoniumjodid²⁾. — Chlor und Phosphoniumjodid wirken auf einander sehr heftig ein, Salzsäure wird entwickelt, Jod wird frei und neben Jodmonochlorid entsteht eine rothe Substanz, die vom Ueberschuss des Phosphoniumjodids durch Wasser getrennt wird. Derselbe rothe Körper entsteht auch, wenn man Phosphorpentachlorid anstatt Chlor verwendet. Die rothe, in Wasser unlösliche Substanz ist eine Mischung von festem Phosphorwasserstoff und amorphem Phosphor. *Tr.*

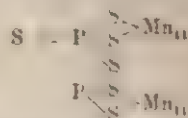
L. Ouvrard. Verbindungen der Sulfide des Phosphors, Arsens und Antimons mit den Halogenen³⁾. — Verfasser hat zunächst ein *Schwefeljodür* von der Formel S_2J_2 beschrieben, das er erhielt, indem er in frisch destillirten Halbchlorschwefel (S_2Cl_2), der mit reinem Benzol verdünnt war, ganz reinen und trockenen Jodwasserstoff einleitete, und zwar unter dem Schutze vor directem Licht. Das Jodür ist krystallinisch, aber leicht zersetzbar. Im Anschluss hieran werden Verbindungen angeführt, welche der Schwefel mit den Chloriden, Bromiden und Jodiden des Phosphors, Arsens und Antimons zu bilden vermag. Drei verschiedene *Phosphorsulfajodide*, $\text{P}_4\text{S}_3\text{J}_2$, PSJ und P_2SJ_4 , erhielt Verfasser, und zwar die ersten beiden durch Einwirkung von Schwefelwasserstoff auf

¹⁾ Compt. rend. 110, 557—559. — ²⁾ Chem. News 70, 80—81. — ³⁾ Ann. chim. phys. [7] 2, 212—251.

Phosphorjodide. Die erste Verbindung entsteht ferner durch Einwirkung von Jod auf P_4S_4 ; die zweite Verbindung erhält man bei Behandlung von P_2S_5 mit Jod und die dritte durch Reaction von 2 Mol. PJ_3 auf 1 Mol. P_2S_5 . Die Verbindung $P_4S_4J_4$ besteht aus glänzenden Prismen von goldgelber Farbe. Schmelzpt. ca. 100°. Die Verbindung PSJ rothe Prismen und die Verbindung $P_2S_5J_4$ dunkelrothe Krystalle. Sie sind alle drei in Schwefelkohlenstoff löslich, krystallisiren leicht und sind mit Ausnahme der letzten Verbindung selbst in Lösung beständig. Von den *Arsensulfochloriden* sind dargestellt $As_4S_4Cl_4$ und $AsSCl$, deren Bereitung und Eigenschaften schon früher (Compt. rend. 116, 1516—1518; vgl. diese JB. f. 1893, S. 376) beschrieben sind. In derselben Arbeit finden sich auch die beiden *Antimonsulfochloride*, $Sb_4S_4Cl_4$ und $SbSCl$, näher beschrieben. Von den *Arsensulfobromiden* hat Verfasser neuerdings die beiden Verbindungen $AsSBr$ und $As_2S_2Br_2$ dargestellt. Diese entstehen, wenn man Arsenbromür mit trockenem Schwefelwasserstoff bei 150° behandelt. Nach vollendeter Einwirkung wird der Rückstand mit Schwefelkohlenstoff behandelt und liefert dann die beiden Körper. Bei Behandlung von Antimonbromür mit Schwefelwasserstoff konnte nur die Verbindung $SbSBr$ gewonnen werden. Dieses *Antimonsulfobromid* bildet kleine Krystalle. Von den *Arsensulfojodiden* sind beschrieben $As_4S_4J_4$, $AsSJ$ und $As_2S_2J_4$, von den *Antimonsulfojodiden* die Verbindungen $Sb_4S_4J_4$ und $SbSJ$. Diese Verbindungen sind schon in einer früheren Abhandlung (Compt. rend. 117, 107—109, sowie dieser JB. f. 1892, S. 378) ausführlich besprochen und mag daher auf diese früheren Citate verwiesen sein.

Tr.

C. Friedel. Metallsulfophosphide¹⁾. — Verfasser stellte solche dar, indem er Schwefel und Phosphor in eingeschmolzenen Röhren auf das Metall einwirken liefs. Er verwandte als Metalle Quecksilber, Zinn und Eisen. Verfasser betrachtet diese Verbindungen als Sulfophosphosphate von der Formel:



Tr.

C. Friedel. Ueber eine neue Reihe von Sulfophosphiden, die Thiohypophosphate²⁾. — Verfasser erhält diese Verbindungen, er

¹⁾ Bull. soc. chim. [3] 11, 115. — ²⁾ Compt. rend. 119, 260—264, 865. soc. chim. [3] 11, 1057—1065.

dem er in einem Rohre aus schwer schmelzbarem Glase, das sich in einer besonderen Heizvorrichtung befindet, Schwefelphosphor, bezw. Schwefel und Phosphor, sowie das Metall bis nahezu zum Weichwerden des Glases erhitze. Wendet man rothen, amorphen, vorher mit Wasser und Alkohol gewaschenen Phosphor und Schwefel anstatt Schwefelphosphor an, so erhält man das Sulfophosphür reiner und krystallisirt, was zu beachten ist, da eine Reinigung der Reactionsproducte nicht immer sehr leicht ist. Das Sulfophosphür des Eisens, das zuweilen mit überschüssigem Schwefelphosphor gemischt ist, kann man entweder mit verdünnter Natronlauge behandeln, wodurch der Schwefelphosphor leichter angegriffen wird als die Eisenverbindung oder man kann durch Erhitzen bis zur Rothgluth in einem geschlossenen Rohre den Schwefelphosphor abdestilliren, während das Sulfophosphür des Eisens bei Abschlufs von Luft widersteht. Erhitzt man die Eisenverbindung an der Luft, so brennt sie mit Flamme, während sie bei gewöhnlicher Temperatur sich nicht verändert, was nicht bei allen Thiohypophosphaten der Fall ist. *Eisenthiohypophosphat*, $P_2S_4Fe_2$: dasselbe bildet, in obiger Weise dargestellt, schöne, hexagonale, grauschwarz glänzende Blättchen, im durchscheinenden Lichte braun und ohne Einfluß auf das polarisirte Licht. Salpetersäure, noch leichter nach Zusatz von Kaliumchlorat, greift die Verbindung an. *Aluminiumthiohypophosphat* bildet eine weisse Masse, aus durchscheinenden Krystalllamellen bestehend, die auf das polarisirte Licht Einfluß haben und mit Wasser unter Schwefelwasserstoffentwicklung sich zersetzen. *Zinkthiohypophosphat*: dasselbe bildet eine blafgelbe, krystallinische Masse. *Kupferthiohypophosphat*, $P_2S_4Cu_2$: braungelbe, aus kleinen Nadeln bestehende Masse. *Bleithiohypophosphat*, $P_2S_4Pb_2$: orange gefärbte, krystallinische Masse. *Silberthiohypophosphat*, $P_2S_4Ag_4$: schwefelgelbe, krystallinische Verbindung. *Quecksilberthiohypophosphat*, $P_2S_4Hg_2$: schwefelgelbe, krystallinische Masse, die auf das polarisirte Licht wirkt und von Wasser langsam zersetzt wird; mit Vorsicht kann man die Verbindung auch im Vacuum sublimiren. *Zinnthiohypophosphat*, $P_2S_4Sn_2$ und P_2S_4Sn . Je nach der angewendeten Menge Zinn erhält man die eine oder die andere Verbindung; die eine ist eine orangegelbe, die andere eine braungelbliche, krystallinische Masse. Tr.

II. Biltz. Ueber Phosphorpentoxyd ¹⁾. – Verfasser ließ trockenes Ammoniakgas auf Phosphorpentoxyd einwirken, indem

¹⁾ Ber. 27, 1257–1264.

er das Gas in ein weites Glasrohr einleitete, in dem sich das Phosphorpentoxyl in wechselnden Mengen — bis zu 40 g — befand. Es tritt starke Erwärmung ein, der Rohrinhalt sintert zusammen und färbt sich tief dunkel rothbraun. Nimmt man nach dem Erkalten die Reaktionsmasse heraus und behandelt sie mit Wasser, so erhält man eine trübe Lösung, die sich nach einigem Stehen klärt, gleichzeitig aber intensiv den Geruch nach Phosphor zeigt und beim Schütteln im Dunkeln prachtig leuchtet. Auch Phosphorwasserstoff tritt hierbei auf. Die Menge des freien Phosphors läßt sich am besten nach der Lipowitz'schen Methode bestimmen und ergab 5 mg gelben Phosphor aus 10 g Phosphorpentoxyl, während die Menge einer rothen, flockigen Masse ca. 1 bis 2 cg Phosphor entsprach. Während Schiff die rothbraune Ausscheidung für rothen Phosphor hielt, beweist Verfasser, daß solcher hier nicht vorliegen kann, sondern daß es sich bei diesem Körper höchst wahrscheinlich um ein Suboxyd des Phosphors handelt, P_4O_3 , das mit dem Leverrier'schen *Phosphorsuboxyd* identisch ist. Die beim Lösen der Phosphaminsäure frei werdende Wärme bedingt eine theilweise Zersetzung des als Nebenproduct entstandenen Phosphorsuboxydes und hat neben Phosphorsäure die Bildung von freiem Phosphor und Phosphorwasserstoff zur Folge. Wie weitere Versuche zeigen, ist das rothe Suboxyd nicht ein Umsetzungsproduct von Ammoniak und Phosphorpentoxyl, sondern entsteht schon, wenn man Phosphorpentoxyl bei 250° sublimirt; allerdings ist die Ausbeute bei Gegenwart von Ammoniak besser. Viel energischer vollzieht sich die Reaction beim Ueberleiten von Wasserdampf über Phosphorpentoxyl: es entstanden in diesem Falle 6 mg Phosphorsuboxyd aus 10 g Phosphorsäureanhydrid. Im Allgemeinen scheint die Bildung des Suboxydes aus Phosphorpentoxyl durch Erwärmung veranlaßt zu werden. Verfasser nimmt nun ferner an, daß das Phosphorpentoxyl des Handels geringe Mengen niedrigerer Oxyde des Phosphors, vielleicht P_4O_6 , enthält und diese Veranlassung zur Bildung des Suboxydes geben, denn ein über glühendem Platinschwamm im Sauerstoffströme sublimirtes Pentoxyl giebt mit Ammoniak nicht mehr die obige Reaction. Zv.

Th. Salzer. Ueber eine eigenthümliche Phosphorsäure des Handels¹⁾. — Das vom Verfasser als Phosphorsäure bezogene Präparat zeigte ganz abweichende Eigenschaften. Mit Silbernitrat und Natriumbicarbonat entstand eine schneeweiße Fällung. Meta-

¹⁾ Pharm. Zeitg. 39, 262.

wie Pyrophosphorsäure waren ausgeschlossen, wie aus dem Verhalten gegen Eiweißlösung und Magnesiamixtur hervorging. Ebenso konnte keine der bekannten ungesättigten Säuren des Phosphors nachgewiesen werden. Aus dem Verhalten der einzelnen Fractionen des Natriumsalzes der fraglichen Säure schließt Verfasser, daß die ursprüngliche Säure etwa zwei Drittel Orthophosphorsäure und ein Drittel einer unbekannten Säure enthält. Da die fragliche Säure beim Sieden mit Kaliumpermanganat und Schwefelsäure entfärbend wirkt, so schlägt Verfasser noch zur Prüfung der Phosphorsäure für das Arzneibuch vor, daß 5 g Phosphorsäure mit 5 ccm verdünnter Schwefelsäure und fünf Tropfen Kaliumpermanganatlösung nach fünf Minuten langem Sieden eine deutlich rothe Mischung geben sollen.

Tr.

Th. Salzer. Zur Prüfung von Acid. phosphoric.¹⁾ — Bezugnehmend auf seine vorstehende Arbeit modificirt Verfasser die Prüfung mit Kaliumpermanganat insofern, als er die Schwefelsäure wegläßt und einfach die Phosphorsäure nach dem Verdünnen mit der fünffachen Menge Wasser mit 0,5 ccm Kaliumpermanganatlösung zum Sieden erwärmt.

Tr.

E. Mylius²⁾. Verfasser ist der Ansicht, daß die von Salzer untersuchte *eigenthümliche Phosphorsäure* ein Nebenproduct von der Herstellung irgend eines Halogenalkyls (z. B. Bromäthyl) ist. Das Verhalten dieser Säure entspräche etwa einer Aethylphosphorsäure mit etwas Aethylphosphorsäure.

Tr.

Theodor Salzer. Zu Acidum phosphoricum³⁾. — Bezugnehmend auf die Arbeit von Mylius (vorstehendes Referat), wonach die vom Verfasser untersuchte *eigenthümliche Phosphorsäure* mit Aethylphosphin- oder Aethylphosphorsäure vermengt sei, hat Verfasser das Verhalten der Säure in der Kälte gegen Permanganat geprüft und konnte in dem Destillat Essigsäure nachweisen, was die Annahme von Mylius sehr wahrscheinlich macht. Verfasser setzt seine Versuche fort, um über die An- oder Abwesenheit der Aethylphosphorsäure sich zu vergewissern.

Tr.

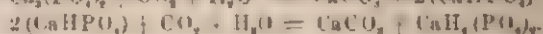
Theodor Salzer. Ueber die eigenthümlich verunreinigte Phosphorsäure⁴⁾. — Verfasser hält seine früher ausgesprochene Vermuthung, daß die fremde Säure (siehe oben) keine der bis jetzt bekannten alkylirten Säuren des Phosphors sei, aufrecht, indem er allerdings unter dem Begriffe „bekannt“ nur diejenigen Säuren verstanden wissen will, die in Beilstein's Handbuche

¹⁾ Pharm. Zeitg. 39, 310—311. — ²⁾ Dasselbst, S. 319. — ³⁾ Dasselbst, S. 343. — ⁴⁾ Dasselbst, S. 460.

der organischen Chemie sich verzeichnet finden. Verfasser hat die Menge des Phosphats in dem Natronsalze der Säure bestimmt, so daß die Formel dieses Salzes etwa auf $P_2O_5.HNa_2(C_2H_3O) + 6H_2O$ geschützt werden kann. Tr.

Ludwig Schucht. Die Fabrikation des Superphosphat- und Thomasphosphatmehls. Ein Hülfsbuch für den Düngerchemiker im Betriebe und Laboratorium. (Mit fünf eingedruckten Abbildungen. 80. 190 S. Braunschweig 1894. Friedr. Vieweg u. Sohn. Preis 7 M. 50 Pf.) — Der Verfasser, der mitten in der Praxis der Superphosphatfabrikation steht, giebt ein deutliches Bild von der Fabrikation und der für sie nöthigen Analysen. Die Zeichnungen der Maschinen und übrigen Fabrikeinrichtungen zeigen die bei diesem Verlage übliche Vollkommenheit und Deutlichkeit. Der Referent hätte gewünscht, daß auch der theoretische Theil etwas ausführlicher gewesen wäre. Indessen mag das ein Mangel sein, der nicht dem Buche zur Last zu legen ist, sondern dem Umstande, daß die Vorgänge des Aufschließens der Phosphate, des Zurückgehens der Wirksamkeit des Thomasmehls u. s. w. noch nicht genügend aufgeklärt sind. Für die Praxis der Phosphatindustrie wird das aus ihr herausgeschriebene Buch von großem Nutzen sein. Edl.

C. Seybold und F. Heeder. Verfahren zur Aufschließung von natürlichen oder künstlichen Phosphaten¹⁾. — Das Verfahren besteht darin, daß man über die mit Wasser nur angefeuchteten Rohphosphate Kohlensäure eventuell noch Wasserdampf bei mehr oder weniger erhöhter Temperatur leitet; je nach der Dauer der Einwirkung erhält man entweder Präcipitat oder Superphosphat:



Nach diesem Verfahren lassen sich auch Alkalicalciumphosphate, z. B. $(PO_4)_2Ca_2HK$ und $(PO_4)_2CaH_2K_2$, erhalten, indem dann nur den angefeuchteten Phosphaten eine entsprechende Menge von kohlensaurem Kali oder Natron oder ein Alkali-Magnesium oder -Calciumcarbonat zugesetzt zu werden braucht. Werden die aufzuschließenden Phosphate, anstatt mit Wasser, mit den Flüssigkeiten, welche beim Behandeln von stickstoffhaltigen thierischen Abfällen mit Alkalien resultiren, befeuchtet, so erhält man direct einen stickstoffhaltigen Dünger. Op.

C. Raspe. Darstellung von löslichen Phosphorsäure-Doppelverbindungen der Alkalien mit Zinn, Kupfer, Zink, Wismuth und

¹⁾ D. R.-P. Nr. 72171.

Antimon¹⁾. — Die in der Färberei, Galvanoplastik und Medicin zu verwendenden Doppelsalze der genannten Metalle sollen in Wasser leicht löslich sein und sich bei nahezu neutraler Reaction durch Wasser nur äußerst langsam oder gar nicht zersetzen. Die Herstellung dieser Salze erfolgt auf feurig-flüssigem Wege durch Zusammenschmelzen der Bestandtheile oder geeigneter Verbindung derselben und ist charakterisirt durch die Innehaltung gewisser Grenzen des Mengenverhältnisses zwischen Metalloxyd und Alkali einerseits und Phosphorsaure andererseits. Man nimmt auf 1 Atom Phosphor weniger als drei, zweckmäßig nicht mehr als zwei einwerthig gedachte Atome von Metall plus Alkalimetall, jedoch mehr als ein Atom von letzterem, z. B. 2 Mol. Zinnoxidul, 1 Mol. Phosphorpentoxyd und 2 Mol. Natriumphosphat oder 2 Mol. Kupferoxyd, 2 Mol. Phosphorpentoxyd und 3 Mol. Natriumphosphat u. s. w.

Op.

P. Schottländer. Ueber Triammoniumorthophosphat und den qualitativen Nachweis des Magnesiums²⁾. — Wenn man mittelst Ammoniumphosphats auf Magnesium prüfen will, so kommt es zuweilen vor, dafs auch bei Abwesenheit von Magnesia in Folge der Anwesenheit von viel Salmiak und starker Ammoniakflüssigkeit ein feinkrystallinischer Niederschlag entsteht, der zu Irrthümern Veranlassung geben kann. Dieser Niederschlag ist *Triammoniumphosphat*. Da die Angaben über den Wassergehalt dieses Salzes nicht übereinstimmen, so hat Verfasser das Salz dargestellt, indem er 3 Vol. Ammoniumphosphatlösung (1 : 10) mit 3 Vol. Salmiaklösung (1 : 8) vermischte und zu der auf ca. 60° erwärmten Mischung 2 Vol. NH_3 (1,900 bis 1,905), die vorher mit 1 Vol. Wasser verdünnt waren, hinzufügte. Im verschlossenen Gefäfse schieden sich dann beim langsamen Erkalten derbe vierflächige, lange Prismen ab von der Zusammensetzung $(\text{NH}_4)_3\text{PO}_4 + 3\text{H}_2\text{O}$. An der Luft verlieren die Krystalle langsam Ammoniak.

Tr.

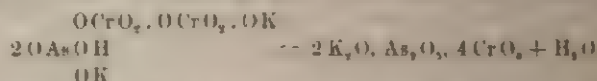
K. Kraut. Gesättigt orthophosphorsaures Ammoniumoxyd³⁾. — Im Anschlufs an die Mittheilung von P. Schottländer über diesen Gegenstand theilt Verfasser mit, dafs er dieses Salz bereits im Jahre 1855 analysirt habe und die Analyse, welche zu der Formel $\text{PO}_4(\text{NH}_4)_3 \cdot 3\text{H}_2\text{O}$ führte, in Knop's Chem. Centr. 1855, S. 894, sowie später in Gmelin's Handbuch (6. Aufl. I, 2, 527) mitgetheilt habe. Das Salz ist übrigens seit Jahren von der Firma E. de Haën zu beziehen.

Tr.

¹⁾ D. R. P. Nr. 78324. — ²⁾ Zeitschr. anorg. Chem. 7, 343—344. —

³⁾ Dasselbst. S. 392.

Carl Friedheim. Beiträge zur Kenntniss der complexen Säuren. Ueber Condensationsproducte von Alkaliphosphaten und Arsenaten mit Chromaten und Sulfaten und über solche von Nitraten mit Sulfaten¹⁾. — Löst man $2\text{KH}_2\text{AsO}_4$ und 2CrO_3 oder $\text{K}_2\text{Cr}_2\text{O}_7$ und $2\text{H}_4\text{AsO}_4$ auf einander einwirken, so krystallisirt stets zunächst $\text{K}_2\text{Cr}_2\text{O}_7$, sodann die Verbindung $2\text{K}_2\text{O} \cdot \text{As}_2\text{O}_5 \cdot 4\text{CrO}_3$ (mit wechselndem Wassergehalte) aus. Als Constitution-
formel für diese Verbindung giebt Verfasser die Formel an



Wirkt 1 Mol. As_2O_5 auf 1 Mol. $(\text{NH}_4)_2\text{Cr}_2\text{O}_7$ ein, so bildet sich nach starker Concentration der Lösung erst Ammoniumbichromat, dann erhält man tiefroth glänzende prismatische Krystalle der Verbindung $2(\text{NH}_4)_2\text{O} \cdot \text{As}_2\text{O}_5 \cdot 4 \text{CrO}_3 + \text{H}_2\text{O}$ (oder wasserfrei). Nimmt man jedoch auf 1 Mol. CrO_3 1 Mol. $\text{NH}_4\text{H}_2\text{AsO}_4$, so scheiden sich aus der stark eingeeengten Lösung erst prismatische Krystalle von der Formel $3(\text{NH}_4)_2\text{O} \cdot \text{As}_2\text{O}_5 \cdot 8 \text{CrO}_3$ und dann solche der Verbindung $2(\text{NH}_4)_2\text{O} \cdot \text{As}_2\text{O}_5 \cdot 4 \text{CrO}_3 + \text{aq. ab.}$ Natronhaltige Verbindungen konnten nicht isolirt werden, da die Chromate des Natriums sehr löslich sind. Von Verbindungen, die Phosphorsäure und Chromsäure enthalten, wurde dargestellt aus $\text{K}_2\text{Cr}_2\text{O}_7$ und P_2O_5 , die dunkelrothen, glänzenden, lichtbrechenden Krystallen isolirte Verbindung $2\text{K}_2\text{O} \cdot \text{P}_2\text{O}_5 \cdot 4 \text{CrO}_3 \cdot \text{H}_2\text{O}$ und aus $(\text{NH}_4)_2\text{Cr}_2\text{O}_7$ und P_2O_5 bzw. aus $\text{NH}_4\text{H}_2\text{PO}_4$ und CrO_3 die Verbindung $3(\text{NH}_4)_2\text{O} \cdot \text{P}_2\text{O}_5 \cdot 8 \text{CrO}_3 \cdot \text{H}_2\text{O}$, die dunkelrothe, rosettenförmige Krystallaggregat bildet. Verbindungen, die Arsensäure und Schwefelsäure enthalten, erhielt Verfasser in folgender Weise. Werden die siedend heiss gemischten Lösungen von 1 Mol. H_2SO_4 und 2 Mol. KH_2AsO_4 hinreichend concentrirt, so scheidet sich in der Kälte erst KH_2SO_4 , hierauf die Verbindung $2\text{K}_2\text{O} \cdot \text{As}_2\text{O}_5 \cdot 2 \text{SO}_3 \cdot 3 \text{H}_2\text{O}$ in harten, glänzenden Nadeln aus. Löst man auf 2 Mol. $\text{NH}_4\text{H}_2\text{AsO}_4$ 1 Mol. H_2SO_4 reagiren, so erhält man $2(\text{NH}_4)_2\text{O} \cdot \text{As}_2\text{O}_5 \cdot 2 \text{SO}_3 \cdot 3 \text{H}_2\text{O}$ neben NH_4HSO_4 , bei Einwirkung von NaH_2AsO_4 auf H_2SO_4 entsteht $2\text{Na}_2\text{O} \cdot \text{As}_2\text{O}_5 \cdot 2 \text{SO}_3 \cdot 3 \text{H}_2\text{O}$. Von den Verbindungen, die Phosphorsäure und Schwefelsäure enthalten, ist die Verbindung $2\text{K}_2\text{O} \cdot \text{P}_2\text{O}_5 \cdot 2 \text{SO}_3 \cdot 3 \text{H}_2\text{O}$ bereits von Jacquelin beschrieben. Aus $\text{NH}_4\text{H}_2\text{PO}_4$ und H_2SO_4 stellte Verfasser die analoge Verbindung $2(\text{NH}_4)_2\text{O} \cdot \text{P}_2\text{O}_5 \cdot 2 \text{SO}_3 \cdot 3 \text{H}_2\text{O}$ dar. Schliesslich hat Verfasser noch die dem Jacquelin'schen Salz $2\text{K}_2\text{O} \cdot \text{N}_2\text{O}_5 \cdot 2 \text{SO}_3 \cdot \text{H}_2\text{O}$

¹⁾ Zeitschr. anorg. Chem. 6, 273—302.

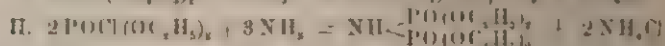
entsprechende Ammoniumverbindung $2(\text{NH}_4)_2\text{O} \cdot \text{N}_2\text{O}_5 \cdot 2\text{SO}_3 \cdot \text{H}_2\text{O}$ als zerfließlichen krystallinischen Körper erhalten aus H_2SO_4 und NH_4NO_3 . Bezüglich der Constitutionsformeln und Eigenschaften dieser complexen Verbindungen sei auf die sehr ausführliche Originalabhandlung verwiesen. Tr.

H. N. Stokes. Ueber Diamidophosphorsäure und Diamidotrihydroxylphosphorsäure¹⁾. — Nachdem Verfasser das erste einfache Amid der Phosphorsäure, die Monamidooorthophosphorsäure, bereits dargestellt hat, ist es ihm auch jetzt gelungen, auf ähnliche Weise zu der *Diamidoorthophosphorsäure*, $\text{PO}(\text{NH}_2)_2\text{OH}$ [oder vielleicht $\text{P}(\text{NH})(\text{NH}_2)(\text{OH})_2$] zu gelangen, indem er das Dichlorid der Phenylphosphorsäure mit wässrigem Ammoniak behandelte und dann den resultirenden Diamidoäther mit kaustischem Alkali versetzte. Diese Säure vermag nicht bloß die gewöhnlichen Salze zu bilden, sondern sie liefert auch auf dem Wege der Addition von Basen Salze des Diamids der pentabasischen Phosphorsäure, $\text{P}(\text{NH}_2)_2(\text{OH})_3$, die man mit dem Namen *Diamidotrihydroxylphosphorsäure* bezeichnen kann. Diese Säure ist gleichfalls fünfbasisch, es sind von ihr Salze mit 3 bis 5 Atomen Silber dargestellt worden. Das Salz mit 4 Atomen Silber ist beim Reiben explosiv, die anderen Salze mehr oder weniger beim Erhitzen. In freiem Zustande ist die Säure wahrscheinlich nicht existenzfähig, da man statt ihrer *Diamidoorthophosphorsäure* erhält. Letztere ist krystallinisch, in trockenem Zustande beständig, die Salze mit den Alkalien und Erdalkalien sind sehr leicht löslich und nicht krystallinisch. Salpetrige Säure führt die Säure in der Kälte in Monamidophosphorsäure, schliesslich in Orthophosphorsäure über. Das Silbersalz $\text{PO}(\text{NH}_2)_2\text{OAg}$ ist ausgezeichnet krystallinisch, das Silbersalz $\text{P}(\text{NH})(\text{NH}_2)(\text{OAg})_2$ amorph und wird beim Kochen mit Wasser in ein prächtig dunkelrothes Salz, das wahrscheinlich der Formel $\text{P}(\text{NAg})(\text{NHAg})(\text{OAg})_2$ entspricht, verwandelt. Wird das Salz $\text{PO}(\text{NH}_2)_2\text{OAg}$ mit überschüssiger starker Kalilauge überschichtet, so entsteht eine farblose, steife Gallerte, wahrscheinlich das Doppelsalz $\text{P}(\text{NH}_2)_2(\text{OK})_2\text{OAg}$. Nach Verlauf einiger Stunden scheiden sich aus der Gallerte farblose Nadeln der Verbindung $\text{PO}(\text{NH}_2)_2(\text{OK})(\text{OAg})_2$ ab. Wird das letztgenannte Doppelsalz mit kaltem Wasser gewaschen, so findet Zersetzung in Kaliumdiamidophosphat und eine gelb gefärbte Verbindung $\text{P}(\text{NH}_2)_2(\text{OAg})_2$ statt. Letztere Verbindung giebt schliesslich mit heissem Wasser freie Säure und eine rothbraune Verbindung $\text{P}(\text{NHAg})_2(\text{OAg})_2(\text{OH})$.

¹⁾ Amer. Chem. J. 16, 123—154; Ber. 27, 565—567.

Wird oben erwähnte Gallerte so weit verdünnt, daß sie nur noch 2 bis 3 Proc. Aetzkali enthält, und dann gekocht, so setzt sie ein braunes, amorphes Salz von der Formel $P(NHAg)_2(OAg)_2$ ab, das in trockenem Zustande beim Reiben heftig explodirt. Tr.

H. N. Stokes. Ueber Monamidophosphorsäure¹⁾. — Verfasser versuchte, im Anschluß an die Untersuchungen von Gladstone und Mente, die Monamidophosphorsäure durch Einwirkung von trockenem Ammoniak auf $POCl(OC_2H_5)_2$ und nachherige Verseifung darzustellen:



Der ersten Gleichung würde dann eine Gewichtszunahme von 19,8 Proc., der zweiten eine solche von 14,8 Proc. entsprechen, während Verfasser beim Einwirken von trockenem Ammoniak auf $POCl(OC_2H_5)_2$ bei 0° eine Gewichtszunahme von 17,2 Proc. feststellte. Wurde das halbflüssige Reactionsproduct mit überschüssigem Aetznatron verseift und dann mit Essigsäure angesäuert, so resultirte ein primäres Natriumamidophosphat in ca. 20 Proc. der Theorie. Es scheint somit, daß die Reaction hauptsächlich im Sinne der ersten Gleichung verläuft. Leitet man Ammoniak bei 100° über $POCl(OC_2H_5)_2$, so tritt eine Gewichtsabnahme von 15,8 Proc. ein; es entweicht Aethylchlorid, indem die Reaction im Sinne der Gleichung verläuft: $POCl(OC_2H_5)_2 + 2NH_3 = PO(NH_2)(OC_2H_5)_2 + C_2H_5Cl$. Aus genannter Gleichung würde sich ein Gewichtsverlust von 17,7 Proc. berechnen. Tr.

Conrad Bansa. Ueber Kaliumdoppelsalze der Unterphosphorsäure²⁾. — Nach einer Literaturübersicht bespricht Verfasser zunächst die Gewinnung des Ausgangsmaterials, des Di- und Tetra-kaliumsubphosphats. Der Salzer-Draue'sche Apparat zur Darstellung der Unterphosphorsäure ist vom Verfasser modificirt, so daß dieselbe in viel kürzerer Zeit sich darstellen läßt, als nach dem genannten Verfahren. Um zu dem Kaliumsalz zu gelangen, wird das durch Umkrystallisiren gereinigte Dinatriumsubphosphat $Na_2H_2P_2O_6 + 6aq.$ in das saure Baryumsalz der Unterphosphorsäure $BaH_2P_2O_6 + 2aq.$ übergeführt und dieses dann durch Umsetzung mittelst Kaliumsulfat in das Kaliumsalz verwandelt. In der letztgenannten Umsetzung führt zu dem leicht löslichen unterphosphorsäuren Kalium und Baryumsulfat und dauerte bei Digeriren bei 50° zwei bis vier Tage. Dampft man dann

¹⁾ Amer. Chem. J. 16, 154—155. — ²⁾ Zeitschr. anorg. Chem. 6, 128—143—160.

Kaliumsalzlösung ein, so erhält man aus der eingeeengten Flüssigkeit beim Erkalten gut ausgebildete Krystalle von Dikaliumsubphosphat mit 3 bzw. 2 Mol. Wasser. Die Bereitung des Tetra-
kaliumsubphosphats macht Schwierigkeiten. In Lösung erhält man es, wenn man eine abgewogene Menge bei 100° entwässerten Dikaliumsubphosphats in Wasser löst und mit der berechneten Menge kaliumcarbonatfreier Kalilauge von bekanntem Gehalt zersetzt. Verfasser hat nun das Verhalten von Dikalium- und Tetra-
kaliumsubphosphat gegen Salze von Schwermetallen geprüft. Mit einem Ueberschufs von Schwermetallsalz bei Dikaliumsubphosphat entstehen Niederschläge, die amorph oder krystallinisch sind und normale Subphosphate von der Formel $Me''P_2O_6 + xaq.$ darstellen. Andere Niederschläge sind Doppelsalze von saurem Kaliumsubphosphat mit den für sich nicht bekannten sauren Subphosphaten der Schwermetalle, entsprechend der allgemeinen Formel $Me''H_2P_2O_6 + xK_2H_2P_2O_6 + y.aq.$, wobei x gleich 1 oder 3 ist. Tetra-
kaliumsubphosphat verhält sich gegen Kobalt- und Nickellösungen analog dem Tetranatriumsubphosphat. Ueberschufs des Schwermetalls liefert normale Subphosphate, Ueberschufs von Subphosphat Doppelsalze von der Formel $Me''K_2P_2O_6 + xaq.$ Die vom Ver-
fasser dargestellten sauren unterphosphorsauren Doppelsalze des Kaliums mit den Schwermetallen zersetzen sich sämtlich leicht mit Wasser, wobei das neutrale Schwermetallsubphosphat entsteht. Das saure *Nickelkaliumsubphosphat*, $NiH_2P_2O_6 + 3K_2H_2P_2O_6 + 15aq.$, bildet einen grünen krystallinischen Niederschlag; das saure *Kobaltkaliumsubphosphat*, $CoH_2P_2O_6 + 3K_2H_2P_2O_6 + 15aq.$, eine hellrosa gefärbte krystallinische Fällung; das saure *Cadmiumkaliumsubphosphat*, $CdH_2P_2O_6 + K_2H_2P_2O_6 + 2\frac{1}{2}aq.$, eine weiße, krystallinisch werdende Fällung; saures *Zinkkaliumsubphosphat*, $ZnH_2P_2O_6 + 3K_2H_2P_2O_6 + 15aq.$, Krystalle; saures *Mangankaliumsubphosphat*, $MnH_2P_2O_6 + K_2H_2P_2O_6 + 3aq.$, krystallinischer, weißer Niederschlag; saures *Kupferkaliumsubphosphat*, $CuH_2P_2O_6 + 3K_2H_2P_2O_6 + 15aq.$, bläuliches, krystallinisches Pulver. Bezüglich der krystallographischen Untersuchungen der genannten Salze sei auf die Originalabhandlung verwiesen. Von den neutralen Doppelsalzen beschreibt Verfasser das *neutrale Nickelkaliumsubphosphat*, $NiK_2P_2O_6 + 6aq.$, als grünen, krystallinischen Niederschlag und das *neutrale Kobaltkaliumsubphosphat*, $CoK_2P_2O_6 + 5aq.$, als rosa krystallinische Substanz. Auch ein Kaliumnatriumdoppelsalz, d. h. *Dinatriumdikaliumsubphosphat*, $Na_2K_2P_2O_6 + 9aq.$, hat Verfasser dargestellt, indem er das saure Natriumsalz mit Pottasche neutralisirte. Dasselbe bildet schöne, farblose Krystalle.

Tr.

Arsen.

Herbert Mc. Leod. Ueber Schuller's gelbe Modification des Arsens¹⁾. — Verfasser beschreibt eine gelbe Modification von gelbem Arsen, auf dessen Vorkommen schon Schuller im Jahre 1882 aufmerksam gemacht hat. Er erhielt dieselbe, als er reines Arsen im Vacuum sublimirte, in geringer Menge als gelbes Sublimat, das sehr bald in die schwarze Modification sich umwandelte. Da Verfasser den gelben Anflug anfangs für Schwefelarsen hielt, so mischte er das Arsen mit Cyankalium und erhielt auch in diesem Falle, als er das sublimirte Arsen im Vacuum erhitzte, denselben gelben, wenig beständigen Anflug. Absolut schwefelfreies Arsen führte zu demselben Resultate. Die gelbe Substanz ist außerordentlich unbeständig und geht in einer Minute schon in die gewöhnliche Modification über. Es bildet sich auch, wenn man Arsen in einer Kohlensäureatmosphäre im Rohre bei gewöhnlichem Druck erhitzt.

Jc.

J. W. Retgers. Ueber das gelbe Arsen²⁾. — Verfasser weist auf die von Schuller im Jahre 1883 gemachte Beobachtung hin, daß Arsen beim Sublimiren im Vacuum einen gelben Körper liefert, den Schuller für eine besondere Modification des Arsens ansieht. Retgers beschreibt nun die Eigenschaften dieser Arsenmodification. Dieselbe ist im Vacuum bei mäßiger Hitze flüchtig und sehr unbeständig, indem sie von selbst braun, dann schwarz wird. Mit dem von Bettendorff beobachteten gelben Körper, den Retgers für festen Arsenwasserstoff AsH hält, ist der Schuller'sche Körper nicht identisch. Retgers hält den von Schuller beobachteten Körper für eine besondere Modification, doch ist der Aggregatzustand derselben, ob fest oder flüssig, noch unsicher, doch ist es nach Schuller nicht unwahrscheinlich, daß sie flüssig ist. Versuche Retgers', das Arsen in dicken, schwer schmelzbaren Röhren geschmolzen zu erhalten, führten nicht zum Ziele.

Tr.

L. C. W. Cox. Löslichkeit von arseniger Säure³⁾. — Verfasser hat, veranlaßt durch eine mit einer Lösung von Arsenik in warmem Thee entstandene Vergiftung, festgestellt, daß, wenn arsenige Säure genügend lange und unter Erwärmen mit Wasser in Berührung kommt, diese löslicher ist, als man im Allgemeinen

¹⁾ Chem. News 70, 139. — ²⁾ Zeitschr. anorg. Chem. 6, 317—320. —

³⁾ Nederl. Tijdschr. Pharm. 6, 325—334; Ref. Chem. Centr. 66, I, 142.

glaubt, nämlich zu 0,93 Proc. Diejenigen, welche von dem stark arsenhaltigen Thee genossen hatten, kamen mit dem Leben davon, da in Folge der Einnahme des Thees in nüchternem Magen auf den leeren Magen ein so heftiger Reiz ausgeübt wurde, daß der größte Theil des Giftes sogleich wieder ausgebrochen wurde. Tr.

C. Reichard. Ueber die Einwirkung des sauren arsenigsauren Kaliums auf Metallsalze¹⁾. — Verfasser hat die bei der Einwirkung des sauren arsenigsauren Kaliums auf Metallsalze stattfindenden Zersetzungserscheinungen genauer verfolgt und die Zusammensetzung der entstehenden Arsenite festgestellt. Um saures arsenigsaures Kalium zu erhalten, wird in eine siedend heiße concentrirte Lösung von Kaliumcarbonat Arsenigsäureanhydrid nach und nach eingetragen bis zum Aufhören der Kohlensäureentwicklung. Nachdem der Ueberschuß der arsenigen Säure beim Erkalten auskrystallisirt ist, überschichtet man das Filtrat mit absolutem Alkohol und erhält so nach einigen Tagen das krystallisirte saure arsenigsaure Kalium. Benutzt wurden nur verdünnte Lösungen dieses Salzes. Kupfersulfat giebt mit saurem arsenigsaurem Kalium ein Gemenge von *Kupferarsenit* und arseniger Säure. Zur Reinigung wird das Salz in Salzsäure gelöst, die Lösung stark verdünnt und dann mit Kalihydrat gefüllt. Das Salz $2\text{CuO}, \text{As}_2\text{O}_3$ bildet ein hellgrünes, amorphes Pulver. Die intensiv blau gefärbte Lösung des Salzes in Kalihydrat scheidet beim Erwärmen momentan quantitativ Kupferoxydul ab, während das Filtrat Arsensäure enthält. Die intensiv blau gefärbte Lösung des Salzes in Ammoniak ist sehr beständig. Die Einwirkung des sauren arsenigsauren Kaliums auf Kupfersulfat entspricht der nachstehenden Gleichung: $\text{K}_2\text{O} \cdot 2\text{AsO}_3 + 2\text{CuSO}_4 + \text{H}_2\text{O} = 2\text{CuO} \cdot \text{As}_2\text{O}_3 + \text{As}_2\text{O}_3 + \text{K}_2\text{SO}_4 + \text{H}_2\text{SO}_4$. Ebenso verläuft die Reaction zwischen Quecksilberoxydsalzen und saurem arsenigsaurem Kalium. Das reine *Mercuriarsenit*, $2\text{HgO} \cdot \text{As}_2\text{O}_3$, bildet eine gelblich weiße Substanz, die durch Licht eine partielle Reduction erfährt. Kalilauge, Ammoniak und kohlensaures Ammon zerlegen es. Quecksilberarsenit liefert mit überschüssiger Kaliumarsenitlösung einen ziegelrothen Niederschlag. *Mercurarsenit*, $\text{Hg}_2\text{O} \cdot \text{As}_2\text{O}_3$, bildet einen gelblichen Niederschlag mit ähnlichen Eigenschaften wie die Mercurverbindung. Silbernitrat giebt mit saurem arsenigsaurem Kalium einen Körper von der Zusammensetzung: $3\text{Ag}_2\text{O} \cdot \text{As}_2\text{O}_3$. Das *Silberarsenit* bildet kleine Nadelchen von hellgelber Farbe, die im Sonnenlicht grün, später schwarz werden. Mit Kali-

¹⁾ Ber. 27, 1019—1036.

lauge zersetzt sich das Salz im Sinne der Gleichung: $3 \text{Ag}_2\text{O} \cdot \text{As}_2\text{O}_3 + 6 \text{KOH} = 4 \text{Ag} + \text{Ag}_2\text{O} + 2 \text{AsO}_4\text{K}_2 + 3 \text{H}_2\text{O}$. Neutrales essigsaures Blei liefert mit saurem arsenigsaurem Kalium einen weissen Niederschlag, dem arsenige Säure beigemengt ist. Durch Lösen in Essigsäure und Ausfällen mit Ammoniak wird die Verbindung gereinigt. Das *Bleiarsenit* entspricht der Formel $2 \text{PbO} \cdot \text{As}_2\text{O}_3$. Mit dreibasischem Bleiacetat giebt saures arsenigsaures Kalium eine weisse Verbindung $3 \text{PbO} \cdot \text{As}_2\text{O}_3$. Zinnchlorid und saures arsenigsaures Kalium liefern einen weissen, voluminösen Niederschlag von Zinnoxydarsenit, $5 \text{SnO}_2 \cdot 2 \text{As}_2\text{O}_3$. *Zinnoxydarsenit*, $3 \text{SnO} \cdot 2 \text{As}_2\text{O}_3$, bildet einen weissen, käsigen Niederschlag. Beim Glühen zerfällt es gemäß der Gleichung $3 \text{SnO} \cdot 2 \text{As}_2\text{O}_3 = 3 \text{SnO}_2 + 2 \text{As} + \text{As}_2\text{O}_3$. Ein *Titanylarsenit*, $5 \text{TiO}_2 \cdot 2 \text{As}_2\text{O}_3$ (sandiges krystallinisches Pulver), entsteht, wenn man zu einer möglichst neutralen Lösung von Titanylsulfat saures arsenigsaures Kalium im Ueberschuss zufügt. *Goldarsenit*, $3 \text{Au}_2\text{O}_3 \cdot \text{As}_2\text{O}_3$, bildet einen roth gefärbten Körper, der beim Trocknen schwarz wird. *Platinarsenit*, $\text{PtO}_2 \cdot \text{As}_2\text{O}_3$, fällt als hellgelber Körper aus. *Palladiumarsenit*, $\text{PdO} \cdot \text{As}_2\text{O}_3$, ist ein hellgelber, flockiger Niederschlag. *Chromarsenit*, $\text{Cr}_2\text{O}_3 \cdot \text{As}_2\text{O}_3$, fällt aus concentrirter Lösung mit arseniger Säure gemengt aus und löst sich durch Lösen in Salzsäure und Ausfällen mit Ammoniak reinigen. *Uranarsenit*, $\text{UO}_2 \cdot \text{As}_2\text{O}_3$, bildet einen hellgelben Körper, *Aluminiumarsenit*, $\text{Al}_2\text{O}_3 \cdot \text{As}_2\text{O}_3$, eine gallertartige Fällung, *Ferroarsenit*, $\text{FeO} \cdot \text{As}_2\text{O}_3$, einen grünlich weissen Niederschlag und *Ferriarsenit*, $\text{Fe}_2\text{O}_3 \cdot \text{As}_2\text{O}_3$, eine gelbe Verbindung. Saures arsenigsaures Kalium liefert mit verdünnter Nickellösung einen hellgrünen Niederschlag von basischem *Nickelarsenit*, $3 \text{NiO} \cdot 2 \text{As}_2\text{O}_3$, Kobaltsalz bildet ein entsprechendes *Kobaltarsenit*, $3 \text{CoO} \cdot 2 \text{As}_2\text{O}_3$. Einen schneeweissen Körper erhält man mit Mangansulfat. Das Manganarsenit, $3 \text{MnO} \cdot 2 \text{As}_2\text{O}_3$, wird an der Luft schnell rosenroth. *Magnesiumarsenit*, $3 \text{MgO} \cdot \text{As}_2\text{O}_3$, *Zinkarsenit*, $3 \text{ZnO} \cdot \text{As}_2\text{O}_3$, krystallinischer Niederschlag, *Cadmiumarsenit*, $2 \text{CdO} \cdot \text{As}_2\text{O}_3$, weisser, schleimiger Körper, *Baryumarsenit*, $\text{BaO} \cdot 2 \text{As}_2\text{O}_3$, weisser, flockiger Niederschlag, *Strontiumarsenit*, $3 \text{SrO} \cdot 2 \text{As}_2\text{O}_3$, bildet einen flockigen Körper und *Calciumarsenit*, $3 \text{CaO} \cdot 2 \text{As}_2\text{O}_3$, ein weisses Pulver. Tr.

Raoul Bouilliac. Einfluss der arsenigen Säure auf die Vegetation der Algen¹⁾. — Durch seine Untersuchungen zeigt Verfasser, dass gewisse Algen in Nährlösungen vegetiren können, die Arsensäure enthalten. Solche Algen sind fähig, Arsensäure zu

¹⁾ Compt. rend. 119, 929—931

assimiliren. Fügt man Arsensäure zu einer phosphorsäurefreien Nährflüssigkeit, so können Culturen solcher Algen gedeihen; in diesem besonderen Falle ersetzen die Arseniate die Phosphate. *Tr.*

A. Stavenhagen. Ueber ein Kaliumdoppelsalz der Arsenigsäure und Schwefelsäure¹⁾. — Beim Eindampfen von 21,8 g K_2SO_4 und 3 g reinem K_3AsO_3 bis zur beginnenden Krystallisation schieden sich bei sehr langsamer Abkühlung kleine, stark glänzende Prismen ab, die hexagonalen Typus zeigten und der Formel $K_3AsO_3 \cdot 10 K_2SO_4$ entsprachen. *Mr.*

Antimon.

J. B. Alzugaray. Verbesserungen in der Reduction von Antimonerzen, Legirungen und Salzen und Reinigung des dabei erhaltenen Metalls²⁾. — Man schmilzt die antimonhaltigen Substanzen in einem Tiegel aus Thon, Graphit, emaillirtem Eisen oder anderem geeigneten Material, während ein Strom von Wasserstoff, Leuchtgas, Oelgas oder einem anderen reducirenden Gase durch die geschmolzene Masse geht. Das reducirte Antimon wird in eisernen Gefäßen gesammelt und zum Zwecke der Reinigung und Abscheidung edler Metalle als Anode in einem elektrolytischen Bade benutzt, während Blei oder ein anderer guter Leiter Kathode ist. Als Elektrolyt dient eine Lösung, die eines oder mehrere Chloride von Antimon oder andere Antimonsalze nebst einem Chlorid der Alkalien oder alkalischen Erden oder eines Metalls oder ein Acetat oder Tartrat enthält und, wenn nöthig, angesäuert ist. Das an der Kathode ausgeschiedene reine Antimon wird geschmolzen und in Mulden gegossen. Die Unreinheiten sammeln sich an der Anode. *Op.*

Th. Mayer. Darstellung von Antimonfluorür-Alkalisulfat-Doppelsalzen³⁾. — Die Antimonfluorür-Alkalisulfat-Doppelsalze der allgemeinen Formel $2 SbF_3 \cdot M_2SO_4$ werden erhalten, wenn man Alkalisulfat auf mindestens die doppelte molekulare Menge von Antimonfluorür in Gegenwart von Säure, am besten Salzsäure, einwirken läßt. Auf diese Weise entstehen das Kalium-, Ammonium-, Natriumsulfat-Doppelantimonfluorür, von denen die beiden ersten gut krystallisiren. Die Salze enthalten etwa 13 Proc. Antimonoxyd mehr als die bisher bekannten, sie sind beständig, leicht löslich und wirken milde beim medicinischen Gebrauch. *Op.*

¹⁾ Zeitschr. angew. Chem. 1894. S. 165–166. — ²⁾ Engl. Pat. Nr. 15713; Chem. Soc. Ind. J. 12, 931. — ³⁾ D. R.-P. Nr. 76468.

Charles H. Herty. Gemischte Doppelhaloide von Antimon und Kalium¹⁾. — R. W. Atkinson²⁾ erhielt, als er 1 Aeq. Antimontrichlorid mit 3 Aeq. Bromkalium oder 1 Aeq. Antimontribromid mit 3 Aeq. Chlorkalium zusammenbrachte, nicht zwei verschiedene isomere Salze, sondern nur denselben Körper in beiden Fällen. Verfasser hat nun Verbindungen, die Atkinson beschrieben und denen er die Formeln $\text{Sb}_2\text{Cl}_6 \cdot \text{Br}_3\text{K}_3 + 2\text{H}_2\text{O}$ und $\text{SbCl}_3 \cdot \text{BrK} \cdot \text{H}_2\text{O}$ zugetheilt hat, sorgfältiger geprüft, um zu entscheiden, ob diese Körper wahre chemische Verbindungen oder isomorphe Mischungen sind. Zu diesem Zwecke benutzte Verfasser Lösungen, die dasselbe Gewicht an Antimon und Kalium enthielten, deren Gehalt an Brom und Chlor aber verschieden gewählt wurde. Zunächst gemäß der Formel $\text{SbCl}_3 \cdot 3\text{KBr}$ wurde eine Versuchsreihe angesetzt, bei der dieselbe Menge Antimonchlorid angewendet wurde und für verschiedene Mengen Bromkalium eine äquivalente Menge Chlorkalium zur Anwendung kam. Bei anderen Versuchsreihen wurde in jedem Falle dieselbe Menge Bromkalium, der obigen Formel entsprechend, verwendet und verschiedene Mengen Antimonchlorid durch äquivalente Mengen von Antimonbromid ersetzt. Die Lösungen wurden dann bei 35° über Schwefelsäure zur Krystallisation aufgestellt. Erst scheiden sich Chlorkalium und Bromkalium ab, dann kommen Krystalle, deren Farbe zwischen citronengelb und farblos schwankt, je nach dem Gehalte an Brom und Chlor. Die Zusammensetzung der einzelnen Krystalle war verschieden und hing von der Zusammensetzung der Lösungen ab. Es schien daher, als ob diese Verbindungen Mischungen von einfachen Halogenantimoniten seien. Nach Poggiale soll aus einer Lösung von SbCl_3 und 3 KCl in Wasser das Salz $\text{SbCl}_3 \cdot 3\text{KCl}$ krystallisiren. Verfasser hat nun Antimon- und Kaliumsalze, entsprechend den Formeln $\text{SbCl}_3 \cdot 3\text{KCl}$ und $\text{SbBr}_3 \cdot 3\text{KBr}$, in wässriger Lösung durch Stehen bei 35° krystallisiren lassen. Er erhielt jedoch in dem einen Falle ein in sechsseitigen farblosen Krystallen ausgebildetes Salz von der Formel $10\text{SbCl}_3 \cdot 23\text{KCl}$, im anderen Falle gelbe, orthorhombische Krystalle von der Formel $10\text{SbBr}_3 \cdot 23\text{KBr}$. Nach Atkinson soll beim Erhitzen der Verbindung $\text{SbCl}_3 \cdot 3\text{KBr} + 1\frac{1}{2}\text{H}_2\text{O}$ auf 300° alles Antimon als Halogenverbindung sich verflüchtigen. Entsprechende Versuche des Verfassers zeigen, daß dieser Proceß nicht quantitativ verläuft. Tr.

C. Sereno. Ueber das Pyroantimonigsaurehydrat³⁾. — Nach

¹⁾ Amer. Chem. J. 16, 490—499. — ²⁾ JB. f. 1883, S. 410. — ³⁾ Gazz. chim. ital. 24, 271—276.

den Angaben von Fresenius und Schaffner soll ein Pyroantimonigsäurehydrat von der Formel $\text{Sb}_2\text{O}_3 \cdot 2\text{H}_2\text{O}$ entstehen, wenn man Antimontrisulfid mit Kalilauge kocht und zu der vom Kermesniederschlag abgegossenen Flüssigkeit so lange eine concentrirte Kupfersulfatlösung zuzugt, bis Essigsäure in einer Probe der filtrirten Flüssigkeit keinen gelben, sondern einen weissen Niederschlag erzeugt, alsdann filtrirt und mit Essigsäure fällt. Als Verfasser diesen Versuch wiederholte, ergab sich, dafs die resultirende Verbindung nicht das Hydrat der antimonigen Säure, sondern das Hydrat der Orthoantimonsäure ist, H_3SbO_4 . Die Bildung dieser Verbindung kann nur durch eine Oxydation erklärt werden. Sauerstoff der Luft wirkt hierbei nicht, da man auch die genannte Verbindung in einer Wasserstoffatmosphäre erhält, die Oxydation wird vielmehr durch das Kupfersulfat bedingt. Es läfst sich demgemäfs auch Kupferoxydul nachweisen. *Tr.*

H. Baubigny. Der Antimonzinnob. ist kein Oxysulfid ¹⁾. — Strohl hat behauptet, dafs der durch Einwirkung von Natriumhyposulfid auf Antimontrichlorid gewonnene Antimonzinnob. ein Oxysulfür von der Formel $\text{Sb}_2\text{O}_3, \text{Sb}_2\text{S}_3$ sei. Wagner hat dann später dafür die Formel Sb_2OS_2 aufgestellt. Verfasser zeigt nun durch diesbezügliche Versuche, dafs in der oben beschriebenen Verbindung einfach nur Sb_2S_3 vorliegt, dessen specielle Farbe von den Bildungsbedingungen abhängig ist. Oxysulfür wird bei dieser Reaction nicht gebildet. Enthält der aus Trichlorid dargestellte Zinnob. Sauerstoff, so ist dies ein Zeichen, dafs er mit Oxychlorid vermischt ist. *Tr.*

H. Baubigny. Ueber den Kermesit ²⁾. — In einer früheren Abhandlung hat Baubigny gezeigt, dafs der Antimonzinnob. nicht ein Oxysulfuret, sondern ein gewöhnliches Sulfid darstellt, also demnach nicht dem natürlichen *Kermesit* entsprechen würde. Da über die Zusammensetzung des letzteren nur eine einzige Analyse vorliegt, so hat Verfasser natürlichen Kermesit nochmals analysirt, kommt aber zu demselben Resultat, wie es Rose schon angegeben hatte. Der Kermesit ist ein Oxysulfuret von der Formel Sb_2OS_2 . *Tr.*

Wismuth, Vanadin, Niob, Tantal.

Arved Blomquist. Eine Methode zur Wiedergewinnung des Wismuths aus Fällungs- und Waschflüssigkeiten bei der Bereitung

¹⁾ Compt. rend. 119, 687—690. — ²⁾ Dasselbst, S. 737—740.

von Bismut. subnitric. ¹⁾. — Zu diesem Zwecke werden Mutterlaugen und die sechs bis acht zuerst ablaufenden Waschwässer in Demijohns gesammelt und mit ca. 150 bis 200 cem rauchender rother Salzsäure versetzt. Das ausgeschiedene Oxychlorid wird gesammelt, ausgewaschen und nach Zugabe von Salzsäure mit Eisen oder Zink reducirt. Das reducirte Wismuthmetall wird durch Auswaschen möglichst von Chlor befreit und nach dem Trocknen an pulverisirtem Harz (ein Viertel) gemischt und in einer eisernen Pfanne geschmolzen. Durch das Harz werden die letzten Reste des Oxychlorides reducirt. Die letzten Spuren von Chlor beseitigt man dadurch, daß man das Metall nochmals mit wenig Kaliumhydrat schmilzt. Man erhält so chemisch reines Wismuth, falls die Arbeit genommene Metall frei von Silber war. Aus den Mutterlaugen, die sich nach der Verarbeitung von 10 kg Wismuth ergaben, gelang es Verfasser, etwas mehr als 1000 g zurück zu gewinnen. It.

R. Schneider. Ueber das Atomgewicht des Wismuths. — Schon vor 43 Jahren hat Verfasser das Atomgewicht des Wismuths ermittelt und bei seinen Versuchen die Zahl 208 erhalten. 1829 hat Dumas aus einer aufanalytischen Bestimmung des Chlors im Chlorwismuth das Atomgewicht des Wismuths 210 berechnet. Marignac ermittelte dasselbe 1883 zu 208,16, während in neuerer Zeit A. Classen die Zahl 208,90 (für 0 — 16) aufgestellt hat. Verfasser hat nun seine früheren Bestimmungen einer Revision unterworfen, indem er bei seinen Versuchen die Ueberführung des Wismuths in sein Oxyd zu Grunde legte. Auch eine Umwandlung des Dreifachjodwismuths in Oxyd durch Einwirkung von Quecksilberoxyd hat Verfasser geprüft, doch sind diese Versuche noch nicht als abgeschlossen zu betrachten. Behufs Reindarstellung von Wismuth ging Verfasser von Wismuthsubnitrat aus, das aus Wismuth von 99,745 Proc. bereitet war. Dasselbe wurde in Schwefelwismuth verwandelt und letzteres zur Beseitigung eventueller Spuren von Eisen längere Zeit mit verdünnter Salzsäure digerirt. Das so gereinigte Schwefelwismuth setzt man alsdann in Wismuthoxyd um mittelst Salpetersäure, entfernt durch Digestion mit Natronlauge die Schwefelsäure, löst dann das sorgfältig gewaschene Oxyd in Salpetersäure und verwandelt von Neuem das durch Krystallisation gereinigte Nitrat in das basische Salz. Schließlich führt man letzteres durch Glühen in Oxyd über und reducirt dieses mittelst reinem Wasserstoffgas zu Wismuthmetall.

¹⁾ Pharm. Zeitg. 39, 107. — ²⁾ J. pr. Chem. [2] 50, 461—471.

Zur Umwandlung des Metalls, das in etwa linsengroßen Stücken angewandt wurde, diente eine dreimal destillierte, völlig chlorfreie Salpetersäure (1,15), von der 100 ccm beim Verdampfen keinen wägbaren Rückstand hinterließen. Das Wismuth wurde unter Anwendung der größten Vorsichtsmaßregeln gelöst, die Lösung auf dem Wasserbade abgedunstet, indem von Zeit zu Zeit zu dem Rückstande etwas Wasser zugefügt wurde und schließlich im Luftbade erhitzt. Letzteres geschah mittelst eines besonderen Apparates, der das Hindurchsaugen eines Luftstromes ermöglichte. Um etwa fortgerissene Wismuthpartikelchen zurückzuhalten, waren bei diesem Apparate Vorlagen eingeschaltet, mittelst deren die flüchtigen Bestandtheile zurückgehalten werden konnten. Die Menge derselben nach der Umwandlung in Wismuthoxyd betrug bei den einzelnen Versuchen 0,001 bis 0,0035 g. Der Hauptrückstand des Wismuthoxydes wird schließlich über freier Flamme bis zum constanten Gewichte erhitzt. Das Mittel von sechs Versuchen ergab unter Zugrundelegung von $O = 16$ für das Atomgewicht des Wismuths die Zahl 208,05. *Zr.*

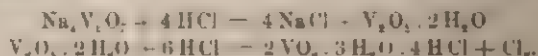
J. B. Henderson. Einfluß der Magnetisirung und der Temperatur auf die elektrische Leitfähigkeit des Wismuths¹⁾. — Verfasser hat durch diese Untersuchung festgestellt, welche Beziehung zwischen Widerstand und Magnetisirung beim Wismuth besteht, indem er im Anschluß an die Arbeit von Tomlinson, der eine Zunahme des Widerstandes bei der Längsmagnetisirung von Wismuthdrähten beobachtete, weit intensivere Felder benutzte und den Einfluß, den die Temperatur auf dieses Phänomen ausübt, berücksichtigte. Diese Beziehungen zwischen Widerstand, Feldintensität und Temperatur sind durch entsprechende Curven veranschaulicht. Auf die Einzelheiten dieser Arbeit, die Versuchsanordnung, sowie die einzelnen Versuchsergebnisse kann nicht näher eingegangen werden, es sei deshalb auf die Originalabhandlung verwiesen. *Zr.*

B. Fischer und B. Grützner. Zur Kenntniss der Wismuthsalze²⁾. — Verfasser haben untersucht, ob die einfache Methode zur Darstellung von basischem Wismuthsalicylat und Wismuthgallat, d. h. die Einwirkung berechneter Mengen Säure auf frisch gefälltes Wismuthhydroxyd sich auch zur Darstellung anderer Wismuthsalze verwenden läßt. Es zeigte sich hierbei, daß die genannte Methode sich zur Darstellung des para- bzw. meta-kretosinsäuren Wismuthoxydes verwerthen läßt und wohlcharakterisirte

¹⁾ Ann. Phys. 53, 912—923; Phil. Mag. 38, 488—495. — ²⁾ Arch. Pharm. 232, 460—466.

Wismuthsalze liefert von der Formel $C_6H_3.CH_3.OH.COOBi$, während man bei der o-Kresotinsäure ein Gemisch des Wismuthsalzes mit Wismuthoxyd erhält. Bei Anissäure, Benzoesäure und Zimmtsäure ist das Verfahren nicht anwendbar. Weinsäure liefert ein neutrales weinsaures Wismuthoxyd, $C_6H_4O_6 \cdot 2Bi(OH)_3$, ein saures Salz von einheitlichem Habitus konnte nicht erhalten werden. Ein basisch salpetersaures Wismuthsalz nach der erwähnten Methode läßt sich wohl insofern bereiten, daß es den Anforderungen des Deutschen Arzneibuches entspricht, doch ist der Proceß selbst bei Innehaltung gleicher Bedingungen nicht immer regelmäßig, so daß von einer derartigen Bereitungsweise abgesehen werden muß. Tr.

Edgar F. Smith und Jos. G. Hibbs. Ueber die Einwirkung von Salzsäuregas auf vanadinsaures Natrium¹⁾. — Verfasser haben pyrovanadinsaures Natrium der Einwirkung von Salzsäuregas zwischen Zimmertemperatur und 440° ausgesetzt und fanden, daß es möglich ist, auf diese Weise Vanadinsäure aus ihren Salzen zu eliminiren. In der Kälte nahm das Salz eine rothbraune Farbe an, bei gelinder Hitze condensirten sich rothbraune Dämpfe an dem kälteren Ende des erhitzten Rohres zu einer rothlich braunen öligen Flüssigkeit. Dieses flüchtige Product hat das Ansehen der Verbindung $2VO_2 \cdot 3H_2O \cdot 4HCl$, die Berzelius durch Einwirkung von concentrirter Salzsäure auf Vanadinsäure erhalten hat. Sollte dies der Fall sein, was durch eine Analyse erst noch bestätigt werden muß, so könnte die Umsetzung zwischen Vanadinsäure und Salzsäure durch folgende Gleichungen sich zum Ausdruck bringen lassen:



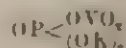
Verfasser wollen ferner noch feststellen, ob es mittelst dieser Reaction möglich sein wird, Vanadinsäure von gewissen Bismuthmischungen, von denen sie sich nur schwierig befreien läßt, zu trennen. Tr.

Carl Friedheim. Beiträge zur Kenntniss der complexen Säuren²⁾. — Natriumpyrophosphat und Natriumhalbvanadat $Na_4V_2O_7$ geben kein Vanadinphosphat. Löst man Natriummetaphosphat auf normales Vanadat einwirken, so werden saure Vanadate und neutrale oder basische Orthophosphate gebildet. Ganz analog dem Natriummetaphosphat verhält sich zweifelsaures

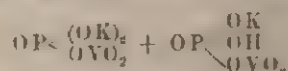
¹⁾ Zeitschr. anorg. Chem. 7, 41—42; Amer. Chem. Soc. J. 16, 578—58.
²⁾ Zeitschr. anorg. Chem. 5, 437—465.

phosphorsaures Natrium gegenüber dem normalen Natriumvanadat. Bei der Einwirkung von zweifachsaurem Kaliumphosphat auf normales Kaliumvanadat tritt intensive Gelbfärbung ein, es krystallisiert aber nicht nur, wie es bei den Natriumsalzen geschah, saures Vanadat aus, sondern es entstehen auch Luteo- und Purpureoverbindungen. Mischt man eine kaltgesättigte Lösung von KVO_3 mit einer ebensolchen von KH_2PO_4 , so fällt ein dunkelrothes krystallinisches Pulver aus, das im Aeußeren dem früher beschriebenen Purpureosalz, $7 \text{K}_2\text{O} \cdot 12 \text{V}_2\text{O}_5 \cdot \text{P}_2\text{O}_5 + 26 \text{aq.}$, entsprach, jedoch nicht als homogen sich erwies. Werden die erwähnten Lösungen, um das sofortige Auskrystallisiren des Purpureosalzes zu vermeiden, stark verdünnt gemischt und erwärmt, so scheiden sich nach dem Erkalten tief rothbraune, beinahe schwarz gefärbte, rechteckige Täfelchen aus, die der Formel $13 \text{K}_2\text{O} \cdot 22 \text{V}_2\text{O}_5 \cdot 2 \text{P}_2\text{O}_5 + 58 \text{aq.}$ entsprechen, dann Krystalle von der Zusammensetzung $15 \text{K}_2\text{O} \cdot 25 \text{V}_2\text{O}_5 \cdot 2 \text{P}_2\text{O}_5 + 76 \text{aq.}$ Hierauf scheidet sich Purpureosalz mit Vanadat und Luteosalz gemengt aus und schliesslich ein rein gelbes Product, $3 \text{K}_2\text{O} \cdot 2 \text{V}_2\text{O}_5 \cdot 2 \text{P}_2\text{O}_5 + 5 \text{aq.}$ Lässt man 1 Mol. KH_2PO_4 auf 1 Mol. KVO_3 in der Kälte reagiren, so scheidet sich beim Stehen der hell rothgelb gefärbten Lösung über Schwefelsäure das rothe, saure Vanadat, $3 \text{K}_2\text{O} \cdot 5 \text{V}_2\text{O}_5 + 10 \text{aq.}$, dann ein Gemenge von Purpureo- und Luteosalz und weiterhin das Luteosalz in seidenglänzenden, gelben Krusten von der Formel $9 \text{K}_2\text{O} \cdot 5 \text{V}_2\text{O}_5 \cdot 5 \text{P}_2\text{O}_5 + 17 \text{aq.}$ ab. Dampft man die Lösung von 1 Mol. KH_2PO_4 und 1 Mol. KVO_3 ein bis zur Ausscheidung eines gelben Productes, so erhält man die Verbindung $2 \text{K}_2\text{O} \cdot \text{P}_2\text{O}_5 \cdot \text{V}_2\text{O}_5$. Wirkt 1 Mol. KH_2PO_4 auf 2 Mol. KVO_3 in der Kälte ein, so entsteht fast nur saures Vanadat. Spuren von Purpureosalz, jedoch kein Luteosalz. Bezüglich der Constitution der Purpureoverbindungen glaubt Verfasser, dass in ihnen lediglich saure Vanadate vorliegen, in denen ein Theil der Vanadinsäure isomorph durch Phosphorsäure vertreten ist. Verfasser stellte Purpureosalz durch Einwirkung von Kaliumphosphat auf fünf Drittel vanadinsaures Kalium dar, indem er die Operation auf dem Wasserbade vornahm und soweit eindampfte, bis ein herausgenommener Tropfen krystallinisch erstarrte. Er erhielt hierbei die beiden Fractionen $6 \text{K}_2\text{O} \cdot 11 \text{V}_2\text{O}_5 \cdot \text{P}_2\text{O}_5 + 33 \text{aq.}$ und $7 \text{K}_2\text{O} \cdot 13 \text{V}_2\text{O}_5 \cdot \text{P}_2\text{O}_5 + 38 \text{aq.}$ Die erste Fraction stellt dann dar $11 (\text{K}_2\text{O} \cdot 2 \text{V}_2\text{O}_5) + \text{K}_2\text{O} \cdot 2 \text{P}_2\text{O}_5$, die zweite Fraction $13 (\text{K}_2\text{O} \cdot 2 \text{V}_2\text{O}_5) + \text{K}_2\text{O} \cdot 2 \text{P}_2\text{O}_5$, d. h. beide Fractionen sind das bekannte Divanadat des Kaliums, in dem ein Theil der Vanadinsäure isomorph durch Phosphorsäure vertreten ist. Beim Zusammenbringen von 1 Mol. KH_2PO_4 und 1 Mol. KVO_3

bilden sich neben anderen Producten weisse, krystallinische Verbindungen, die als Gemenge oder isomorphe Mischungen von KVO_3 und KH_2PO_4 , durch K_2HPO_4 verunreinigt, zu betrachten sind. Wird KVO_3 und KH_2PO_4 bei Gegenwart von überschüssigem Kali eingedampft, so können überhaupt nur weisse Verbindungen entstehen. Was nun die gelben Verbindungen schliesslich betrifft, so ist der Körper $2K_2O.V_2O_5.P_2O_5$, als:



zu betrachten; die ferner erhaltene Verbindung $3K_2O.2P_2O_5.2V_2O_5 + 5aq.$ könnte als Doppelsalz der bekannten Componenten



betrachtet werden, während der Körper $9K_2O.5V_2O_5.3P_2O_5$ ein Gemenge des beschriebenen Dikaliumvanadiumphosphats mit Vanadiumphosphat darstellt. Fe

Edgar F. Smith und Philip Maas. Versuche mit den Oxyden von Columbium und Tantal¹⁾. — Die Oxyde des Niob (Columbium) und Tantals wurden aus Columbit gewonnen. Erhitze man Nioboxyd in einem Salzsäurestrom, so bildet sich ein weisses Sublimat von der Formel $3H_2O.Nb_2O_5.HCl$; bei analoger Behandlung mit gasförmigem Bromwasserstoff entstand ein gelblich rothes Sublimat, ein Hydroxybromid. Tantaloxyd zeigte bei gleicher Behandlung mit Chlor- bzw. Bromwasserstoff keine Veränderung. Erhitzt man 1 Thl. Nioboxyd mit 5 Thln. Magnesiummetall, so resultirt ein bläulich schwarz gefärbtes Product, das nach der Behandlung mit verdünnter Salzsäure bei der Analyse Werthe ergab, die es wahrscheinlich machen, dass in dieser Verbindung das bisher noch nicht nachgewiesene Nb_2O_5 vorliegt. Tantaloxyd (1 Thl.) und Magnesium (5 Thle.) wurden in einem Rohre von böhmischem Glase verhältnissmässig hoch erhitzt, wo durch eine heftige Reaction eintrat. Als das erkaltete Reactionproduct mit Salzsäure behandelt wurde, hinterblieb ein braunschwarzes Product von der Formel Ta_2O_5 . Wird Tantaloxyd mit Aluminiumpulver im geschlossenen Rohre erhitzt, so bildet sich ein schwarzes Product, das ein aluminiumhaltiges Gemisch bildet. Ebenso entstanden keine einheitlichen Körper bei Einwirkung von Zink bzw. Magnesium auf Tantaloxyd. Tr

¹⁾ Zeitschr. anorg. Chem. 7, 96—99.

Kohlenstoff.

E. d. Donath. Ueber neuere Ergebnisse der chemischen Forschung in ihrer Beziehung zur Metallurgie. I. Zur Chemie des Kohlenstoffs¹⁾. Der Verfasser giebt eine Uebersicht über eine grössere Reihe neuerer Publicationen, die sich mit verschiedenen Seiten der Chemie des Kohlenstoffs beschäftigen. Nach einer eingehenden Schilderung der Entdeckung des Nickelcarbonyls, seiner Darstellung und Eigenschaften, sowie seiner Verwendung zur Extraction des Nickels aus seinen Erzen und zum Vernickeln geht der Verfasser über zu den Versuchen zur Darstellung des Eisencarbonyls und der Carbonyle anderer Metalle. Es folgen sodann die Untersuchungen über die Einwirkung von Kohlenoxyd auf fein vertheiltes Eisen und Mangan, sowie über das Verhalten des Kohlenoxydes bei höheren Temperaturen. Hieran schließt sich die umfangreiche Besprechung einiger Arbeiten über die verschiedenen Modificationen des Kohlenstoffs, wobei der Verfasser Gelegenheit findet, seine Auffassung über die verschiedenen Formen des Kohlenstoffs und ihre Verhältnisse zu einander aus einander zu setzen. Ein weiterer Theil der Arbeit ist den Thatsachen gewidmet, die neuerdings für die Beurtheilung der Kohlenstoffmodifikationen im Eisen in Betracht kommen. Zum Schlusse werden noch die Geschichte, die Darstellung und die Eigenschaften des Carborundums einer Besprechung unterzogen. Diese kurze Inhaltsangabe der Donath'schen Arbeit mag hier genügen, weil es nicht möglich erscheint, die vom Verfasser gegebene Uebersicht in noch kürzerer Form als dort wiederzugeben. Das Original bringt die Arbeiten verschiedener Autoren in Zusammenhang und giebt ein klares Bild über das behandelte Gebiet; für Interessenten sei deswegen auf dasselbe verwiesen. *Kpl.*

Henri Moissan. Ueber die Verdampfung des Kohlenstoffs²⁾. — Bisher war die Verdampfung des Kohlenstoffs nur im elektrischen Lichtbogen bekannt; sie läßt sich aber noch auf anderem Wege bewirken. Wenn man ein Kohlerohr von etwa 1 cm innerem Durchmesser in einen elektrischen Ofen bringt, der durch einen starken Strom (2000 Amp. und 80 Volts) erhitzt wird, so sieht man das Innere des Rohres sich schnell mit einem sehr lockeren, schwarzen Filz anfüllen, der von verdichtetem *Kohlenstoffdampf* herrührt. Man kann den Kohlenstoffdampf auch sichtbar machen,

¹⁾ Oesterr. Zeitschr. Berg- u. Huttenw. 42, 333–338 u. 348–353. —

²⁾ Compt. rend. 119, 776–781.

wenn man in das stark erhitzte Kohlerohr ein Schiffehen ¹ krystallisirtem Silicium bringt. Man sieht das Silicium schmelzen und ins Sieden gerathen, sein Dampf trifft mit demjenigen des Kohlenstoffs zusammen, und es bildet sich zwischen Schiffehen und Rohrwandung ein Netzwerk feiner Nadeln von Siliciumcarbid. Der Kohlenstoff geht unmittelbar aus dem festen in den dampfförmigen Zustand über, ohne sich vorher zu verflüssigen. Ein kleiner, mit einem fest schließenden Deckel versehener Kohletiegel, der zehn Minuten lang im elektrischen Ofen einer intensiven Hitze ausgesetzt worden war, ebenso das Kohleschiffehen, welches im Kohlerohr erhitzt wurde, zeigten niemals eine Spur von Schmelzung, viel weniger noch waren die einzelnen Gegenstände an einander geschmolzen. Jedoch war die ganze Masse in Graphit umgewandelt worden. Ebenso findet man nach dem Erhitzen von Zuckerkohle, Holzkohle, Retortenkohle nur Graphit vor, aber jede Art der Kohle hat ihre Form behalten, und man entleckt nirgends eine geschmolzene Stelle. Auch die für den elektrischen Ofen verwendeten Kohleelektroden gehen an ihren vorderen Enden in Graphit über; bei einem Strom von 2200 Amp und 70 Volts erstreckte sich diese Umwandlung bei einem Durchmesser der Elektroden von 5 cm auf eine Länge von 15 cm, sind jedoch in den Kohlen Verunreinigungen enthalten, wie Metalloxyde, Kiesel- oder Borsäure, so beobachtet man häufig geschmolzene Stellen, welche indeß auf die Bildung der entsprechenden Carbide zurückgeführt werden müssen. — Der verdichtete Kohlenstoffdampf besteht gleichfalls aus Graphit, auf welche Weise auch die Verdichtung herbeigeführt wird. Im Besonderen hat Verfasser das Condensat untersucht, welches in dem oben erwähnten Kohlerohr erhalten wurde, ebenso den Niederschlag, welcher sich auf der positiven Elektrode abgesetzt hatte, und schließlich ein Präparat, welches auf einem in den elektrischen Ofen eingeführten und von Wasser durchströmten Kupferrohr niedergeschlagen worden war. In allen Fällen wurde reines Graphit gefunden, welches kaum Spuren von Asche hinterließ und die Dichte 2,10 besaß. Bei der Untersuchung des Beschlages, welcher sich nach längerer Brenndauer an den Wandungen der Birnen von elektrischen Glühlampen absetzt und von einer Verflüchtigung des Kohlenstoffs des Kohlefadens herrührt, stellte es sich heraus, daß dieser Beschlag, abgesehen von einigen Krystallen von Siliciumcarbid und von Kieselsäure, im Wesentlichen aus Graphit bestand, wie unter anderem durch seine Ueberführbarkeit in Graphitoxyd bewiesen wurde. Betrachtet man die Bruchstellen

eines solchen Fadens, der zerrissen ist, unter dem Mikroskop, so findet man die beiden Enden nicht geschmolzen, sondern ausgefasert und mit kleinen Graphitkrystallen bedeckt. Somit verflüssigt sich der Kohlenstoff weder im Vacuum noch unter gewöhnlichem Druck, sondern geht unmittelbar aus dem festen in den dampfförmigen Zustand über, und der gasförmige Kohlenstoff liefert bei der Umwandlung in die feste Form stets Graphit. Trotzdem ist Verfasser der Ansicht, daß der Kohlenstoff auch in den flüssigen Zustand überführbar sei und zwar unter hohem Druck. Er verweist darauf, daß am Cap und in Brasilien Diamanten gefunden werden, welche, ohne eine Spur von Krystallisation, die Form von länglichen, erstarrten Tropfen haben. Diamanten von ähnlichem Aussehen hat auch er erhalten, als er die Lösung von Kohlenstoff in Eisen durch Einstellen in Blei abkühlte. Kp.

Henri Moissan. Untersuchung der verschiedenen Graphitvarietäten¹⁾. — *Graphit* ist unter gewöhnlichem Druck bei hoher Temperatur die beständige Modification des Kohlenstoffs; sie ist vornehmlich durch ihre Oxydierbarkeit zu Graphitoxyl vermittelt Kaliumchlorat und Salpetersäure charakterisirt. Die untersuchten Graphitvarietäten wurden auf zwei verschiedenen Wegen hergestellt, einerseits durch Einwirkung hoher Temperaturen auf Kohlenstoff, andererseits durch Krystallisation von Kohlenstoff aus metallischen Lösungsmitteln. Der aus Diamant durch Erhitzen erhaltene Graphit ist krystallisirt und geht leicht in Graphitoxyl über; schwieriger gelingt diese Umwandlung bei dem auf der positiven Elektrode sublimirten Graphit (vergl. das voranstehende Referat). Der auf dem gekühlten Kupferrohr niedergeschlagene Graphit ist schön krystallisirt und leicht oxydirbar. Die Graphite aus Zuckerkohle und aus Holzkohle zeigen die Form des ursprünglichen Materials und sind nicht krystallisirt; der erste wird leicht, der andere schwer durch das Oxydationsgemisch angegriffen. — Die Krystallisation des Kohlenstoffs aus metallischen Lösungsmitteln gelingt nach zwei verschiedenen Methoden, entweder indem man den mit dem geschmolzenen Metall verbundenen Kohlenstoff durch einen anderen einfachen Stoff verdrängt, oder indem man sich den Unterschied der Löslichkeit des Kohlenstoffs in geschmolzenen Metallen bei hoher und niedriger Temperatur zu Nutze macht. Verfasser hat zunächst die zweite Methode befolgt. Zur Darstellung der Graphite aus den Metallen wurde zunächst das Carbid des betreffenden Metalles dargestellt und dieses im

¹⁾ Compt. rend. 119, 976—980.

elektrischen Ofen mit Kohlenstoff gesättigt. Darauf wurde der Tiegelinhalt mit einem trockenen Chlorstrom bei Rothgluth behandelt und der verbliebene Rückstand, ein Gemenge von amorpher Kohle und von Graphit, mit rauchender Salpetersäure digerirt, welche nur den amorphen Kohlenstoff zerstört. Der zurückbleibende Graphit wird dann noch mit siedender Fluorwasserstoffsäure, danach mit warmer Schwefelsäure behandelt, schliesslich gewaschen und getrocknet. Die Graphite aus Aluminium, Mangan, Nickel, Wolfram, Molybdän und Uran sind schön, derjenige aus Chrom weniger gut krystallin; die aus Zirkonium und Vanadium erhaltenen Proben hatten kein krystallinisches Aussehen. Die Angreifbarkeit der Graphite durch das Oxydationsgemisch nimmt mit steigendem Schmelzpunkte des Metalles ab, aus welchem sie entstanden. So werden die Graphite aus Aluminium, Mangan und Nickel leicht oxydirt; dagegen erweisen sich die aus den übrigen, oben genannten Metallen erhaltenen Präparate um so beständiger, je höher das zugehörige Metall schmilzt. Der Graphit aus Vanadium, dem am schwersten zu verflüssigenden Metall, unterliegt auch am schwierigsten der Oxydation. Es giebt somit mehrere Varietäten von Graphit, gleichwie es mehrere Varietäten amorphe Kohle und Diamant giebt. Die Dichte schwankt zwischen 2,10 und 2,25; die Verbrennungstemperatur im Sauerstoff liegt bei ungefähr 660°. Durch Erhöhung der Temperatur kann man einen leicht oxydirbaren Graphit in einen weit beständigeren umwandeln.

Kp.

Henri Moissan. Ueber die Darstellung einer aufquebbaren Graphitvarietät¹⁾. — Die Abhandlung stimmt in ihrem Inhalte mit einer gleichbetitelten Abhandlung überein, welche Verfasser im vorigen Jahre in den Comptes rendus veröffentlicht hat²⁾. Kp.

Henri Moissan. Untersuchung der Graphite des Eisens³⁾. — Verfasser hat die verschiedenen Graphitvarietäten studiren wollen, welche sich aus ein und demselben Metall unter den verschiedenen Bedingungen der Temperatur und des Druckes bilden, und hat dazu das Eisen, als das Wichtigste unter den Metallen, ausgewählt. Der Graphit aus grauem Roheisen, welcher bei einer Temperatur von etwa 1150° entsteht, besitzt eine Dichte von 2,17, verbrennt im Sauerstoff bei 670° und bildet kleine hexagonale Krystalle, sowie regellose, glänzende Massen mit lebhaftem Bruch von grauschwarzer Farbe. Er wird sehr leicht zu Graphitoxyd

¹⁾ Bull. soc. chim. [3] 11, 837—840. — ²⁾ Vgl. JB. f. 1893, S. 389—390.
— ³⁾ Compt. rend. 119, 1245—1250.

oxydirt. Unter Umständen wurden Graphitpräparate erhalten, welche nur 80 bis 85 Proc. Kohlenstoff, 1,30 Proc. Asche, dagegen 0,15 bis 0,80 Proc. Wasserstoff und manchmal noch Stickstoff enthielten. Verfasser ist der Ansicht, daß bei der Herausarbeitung des Graphits aus dem Metall, in welchem er sich gebildet hat, durch Einwirkung der Säuren auf gleichfalls noch vorhandenen amorphen Kohlenstoff eine complexe Verbindung aus Kohlenstoff, Wasserstoff, Sauerstoff und selbst Stickstoff entsteht, welche bei einer Temperatur von 400° noch beständig ist. — Zur Darstellung des Graphits aus weichem Eisen wurde dies in einem Kohletiegel mit Zuckerkohle mittelst eines Bogens von 2000 Amp. und 60 Volts während zehn Minuten erhitzt. Bei dieser starken Erhitzung löst das Eisen große Mengen Kohlenstoff auf, es verliert seine Flüssigkeit und geht in einen zähen Zustand über, so daß der Tiegel mit seinem Inhalte umgedreht werden kann, ohne daß etwas ausfließt. Der so erhaltene Graphit bildet sehr voluminöse, glänzende, schön schwarze, oft sehr regelmäßige Krystalle von der Dichte 2,18. Er verbrennt im Sauerstoff bei ungefähr 650°, besteht zu 99,15 Proc. aus Kohlenstoff und enthält nur 0,17 Proc. Asche und 0,28 Proc. Wasserstoff. Er ist somit viel reiner, als der Graphit aus Roheisen. Entsprechend der hohen Temperatur, bei welcher dieser Graphit entstanden ist, erweist er sich bei der Oxydation sehr beständig. — Um den Einfluß des Druckes zu untersuchen, wurde das mit Kohlenstoff gesättigte, flüssige Eisen sammt dem glühenden Tiegel unmittelbar durch Eintauchen in kaltes Wasser abgekühlt. Der entstandene Graphit war glänzend und von schön schwarzer Farbe, besaß jedoch eine ganz andere Form, wie die bisher beobachteten Graphite. Theils bildete er gedrungene Krystalle mit stumpfen Winkeln, theils regellose Massen, deren abgerundete Formen auf eine beginnende Schmelzung hindeuteten. Die Dichte betrug 2,16, die Verbrennungstemperatur in Sauerstoff lag bei ungefähr 660°. Der Graphit enthielt 1,29 Proc. Asche und 0,64 Proc. Wasserstoff und war schwer oxydirbar. Der Graphit, welcher durch Verdrängung des Kohlenstoffs aus Eisencarbid mittelst Silicium gewonnen wird, hat die Dichte 2,20, bildet schöne, regelmäßige Krystalle, enthält 98,82 Proc. Kohlenstoff, 0,85 Proc. Asche, 0,20 Proc. Wasserstoff und wird leicht oxydirt. In allen bisher untersuchten Graphiten wurde Wasserstoff gefunden. Um nachzuweisen, daß dieser nicht ursprünglich in dem Graphit enthalten ist, wurde eine Probe, welche durch Krystallisation aus Eisen gewonnen und einer weiteren Reinigung nicht unterworfen worden war,

zehn Stunden lang im Vacuum auf 500° erhitzt und dann verbrannt. Hierbei entstand kein Wasser. Der Graphit ist somit um so reiner und beständiger, je höher die Temperatur war, bei der er sich bildete. Kp.

H. N. Warren. Die physikalischen Eigenschaften einiger aus verschiedenen Metallen durch Zersetzung mit verdünnten Säuren abgeschiedenen Graphite¹⁾. — Beim Auflösen eines durch Kohle aus dem Oxyd reducirten Mangans in Säuren verbleibt Graphit von brauner Farbe in ziemlich großen Blättern, welche bisweilen durchscheinend sind und sich nur schwer oxydiren lassen. Auch Graphit aus Ferromangan ist braun und schwer verbrennlich. Graphit aus gegossenem Chrom ähnelt sehr dem Silicium, und ist nur beim Erhitzen in reinem Sauerstoff verbrennlich. Die verschiedenen Graphitmodifikationen sind in einander verwandelbar. Kpl.

Henri Moissan. Untersuchungen über das Eisen von Oxyfak²⁾. — Eine inhaltlich gleiche Abhandlung hat Verfasser unter derselben Ueberschrift im vorigen Jahre in den Comptes rendus veröffentlicht³⁾. Kp.

Henri Moissan. Ueber die Darstellung von Kohlenstoff unter starkem Druck⁴⁾. — Die Abhandlung stimmt in ihrem Inhalte mit einer gleichbetitelten Abhandlung überein, welche Verfasser im vorigen Jahre in den Comptes rendus veröffentlicht hat⁵⁾. Kp.

H. Mehner in Charlottenburg. Künstlicher Kohlenkörper und Verfahren zu seiner Herstellung. D. R.-P. Nr. 77017⁶⁾. — Der Kohlenkörper besteht aus Grude und einem Bindemittel und besitzt außerdem eine aus Holzkohle und Salpeter oder einem anderen sauerstoffreichen Körper zusammengesetzte Anzuudemasse. Sch.

A. Schneller und W. J. Wifse. Gewinnung von Ruß aus Kohlenstoffverbindungen⁷⁾. — Durch Anwendung elektrischer Ströme von sehr hoher Spannung (10000 bis 40000 Volt) gelingt es, gasförmige, flüssige und feste Kohlenwasserstoffe zu zersetzen und die Kohle in feinster Vertheilung auszuscheiden. Man bringt die zu zersetzenden Kohlenwasserstoffe oder die Verbindungen, aus denen die Kohle auszuscheiden ist, in einem Behälter, der mit Elektroden ausgerüstet ist, derartig unter, daß die Entladung

¹⁾ Chem. News 69, 291. — ²⁾ Bull. soc. chim. [3] 11, 865–867. —

³⁾ Vgl. JB. f. 1893, S. 383. — ⁴⁾ Bull. soc. chim. [3] 11, 6–11. — ⁵⁾ Vgl. JB. f. 1893, S. 379–381. — ⁶⁾ Patentbl. 15, 858. — ⁷⁾ D. R.-P. Nr. 74250.

quer durch die Masse geht. Der Apparat, in welchem der Process vor sich geht, besitzt an seinem Boden eine Ableitung nach einem Sammelgefäß, das mit einer Pumpe in Verbindung steht, welche die mit Zersetzungsproducten gemischte Flüssigkeit beständig absaugt und nach einer Dampfpresse drückt. Am Ausgang der Dampfpresse befindet sich zur Abkühlung der Flüssigkeit wieder ein Sammelgefäß, welche nun von Neuem in den oberen Theil des Zersetzungsapparates eingeführt wird. Hierdurch kann ein beständiger Kreislauf für eine bestimmte Menge von Rohmaterial erzielt werden, in der Weise, daß aller zersetzbarer Kohlenstoff ausgeschieden wird, wodurch z. B. aus Rohpetroleum als Zersetzungsproduct Kienrufs gewonnen wird. *Op.*

Dosmond. Ueber die gasförmigen Zersetzungsproducte, welche sich beim Erhitzen der Holzkohle auf hohe Temperatur und bei Luftabschluß bilden¹⁾. — Verfasser wollte durch Ueberleiten von Kohlensäure über Holzkohlen, welche in eisernen Retorten zur Rothgluth erhitzt wurden, Kohlenoxyd gewinnen. Er fand jedoch, daß es unmöglich war, die Kohlensäure von einem Gasometer aus über die Kohlen zu leiten wegen des Druckes, der sich in den Retorten entwickelte, und daß die Kohlen ihrerseits beim Erhitzen ein Gasgemisch lieferten, welches aus 9,14 Proc. Kohlensäure, 0,26 Proc. Sauerstoff, 18,08 Proc. Kohlenoxyd, 49,11 Proc. Wasserstoff, 16,04 Proc. Methan und 7,37 Proc. Stickstoff bestand. Die Menge des entwickelten Gasgemisches schwankte zwischen 170 bis 250 Liter auf 1 kg angewandter Kohle. Die beim Erhitzen zurückgebliebene Kohle sah gewöhnlicher Kohle zum Verwechseln ähnlich. Die gasförmigen Producte entstehen durch Zersetzung organischer Körper, die in der Kohle enthalten sind. *Kp.*

A. Verneuil. Einwirkung von Schwefelsäure auf Holzkohle²⁾. — Verfasser hat in dem schwarzen, bei der Behandlung von Holzkohle mit Schwefelsäure verbleibenden Rückstande zwei organische Säuren, *Mellithsäure* und *Benzolpentacarbonsäure*, aufgefunden. Auf 100 g Holzkohle wurden 1400 g Schwefelsäure in Anwendung gebracht und dafür Sorge getragen, daß die Temperatur nicht über 300° stieg. Die Reaction ist nach etwa sechs Stunden beendet. Der Rückstand löste sich theilweise in Wasser zu einer tiefbraunen Flüssigkeit. Diese wurde von noch vorhandener Schwefelsäure befreit, dann zur Trockne gedampft, der stark sauer reagirende Rückstand wiederum in Wasser auf-

¹⁾ Compt. rend. 119, 733—735. — ²⁾ Dasselbat 118, 195—198; Bull. soc. chim. [3] 11, 120—121.

genommen, die Lösung mit Ammoniak versetzt, von den ausfallenden Metalloxydhydraten abfiltrirt und das Filtrat eingeeignet. Es krystallisirt dann das Ammoniumsalz der Mellithsäure, welches durch mehrmaliges Umkrystallisiren rein erhalten wird. Die Ausbeute beträgt 4 g auf 100 g angewandter Kohle. Die Mutterlauge von dem mellithsauren Ammonium enthält die Benzolpentacarbonsäure. Zu ihrer Gewinnung werden die in der Lösung verbliebenen Ammoniumsalze in die Baryumsalze verwandelt, dieselben Salzsäure gelöst und die Lösung fractionirt mit Aetzbaryt gefallt. Die ersten beiden Fällungen waren krystallisirt und wurden allein weiter untersucht. Sie wurden durch mehrmaliges Umkrystallisiren aus Salzsäure von braunen Beimengungen befreit und dann durch Schwefelsäure zerlegt. Die so erhaltene Säure erwies sich in allen Eigenschaften mit der Benzolpentacarbonsäure als identisch. Die Ausbeute erreichte 3 g auf 100 g angewandter Kohle. Der Verfasser läßt es schließlicb unentschieden, ob die aufgefundenen Säuren sich wirklich aus der Kohle gebildet haben, oder ob sie nicht ihren Ursprung der Oxydation von wasserstoffhaltigen Körpern verdanken, welche in Folge einer unvollständigen Verkohlung in der Holzkohle immer vorhanden sind. Kp.

Giraud. Ueber die Einwirkung der Schwefelsäure auf Kohle¹⁾. Bei der Darstellung der schwethigen Säure aus Schwefelsäure und Holzkohle wird manchmal die Bildung weißer Krystalle im Kolbenhalse beobachtet. Wenn man einen Ueberschuß an Kohle anwendet und die Operation bis zur völligen Beendigung der Gasentwicklung durchführt, so erhält man ein reichliches Sublimat, welches die ganze Oberfläche des Kolbens überzieht und unter Umständen die Gasentbindungsröhren verstopft. Zur Reinigung wird das Product in wenig kochendem Wasser gelöst, die schwethige Säure durch Kochen verjagt, die Schwefelsäure mit Chlorbaryum gefällt, filtrirt und das Filtrat zur Trockne verdampft. Beim Erkalten liefert die in der Hitze bereitete alkoholische Lösung des Rückstandes kleine farblose, leicht in Wasser und Alkohol und ohne Zersetzung in kochender Schwefelsäure und Salpetersäure lösliche Krystalle, welche an der Luft verwittern und sich als *Pyromellithsäure* erweisen. Beim Erhitzen wandelt sich die Säure in das Anhydrid um, welches in langen Nadeln sublimirt und gegen 280° schmilzt. Beim Erhitzen mit Phenol und Schwefelsäure entsteht ein Phtalein. Eine bis zur Weißgluth erhitze Holzkohle sowie Koks geben beim Erhitzen

¹⁾ Bull. soc. chim. [3] 11, 389—391.

mit Schwefelsäure keine Pyromellithsäure; dieselbe entsteht daher wahrscheinlich aus einem Wasserstoff und Sauerstoff enthaltenden Körper, welcher in der gewöhnlichen Holzkohle vorhanden ist. Aus Substanzen, welche reicher an Wasserstoff und Sauerstoff als die Holzkohle sind, wie z. B. Zucker und Cellulose, entstand gleichfalls Pyromellithsäure, jedoch in sehr geringer Ausbeute; Steinkohle dagegen gab etwa 5 Proc. ihres Gewichtes an Pyromellithsäure. Kp.

G. Arth. Einige Versuche über die Veränderung von Steinkohlen unter Wasser¹⁾. — Fayol hatte früher mitgetheilt, daß die Steinkohle von Commentry von Wasser kaum verändert wird. Bei Gelegenheit eines Processes in Nancy wurde Verfasser veranlaßt, sich mit dieser Frage zu beschäftigen. Es wurden drei Proben Steinkohle verschiedener Herkunft untersucht; dieselben wurden in kleine Stücke gestossen, die steinigen Antheile ausgelesen, die zurückbleibenden Stücke nochmals zerstoßen und schließlich durch Sieben vom Staube befreit. Das so erhaltene Material enthielt nach den Analysen nur eine sehr geringe Menge mineralischer Bestandtheile. Einzelne Proben davon wurden zwölf Monate lang theils unter fließendem, theils unter stehendem Wasser, theils an der Luft aufbewahrt und danach von Neuem der Analyse unterworfen; zugleich wurde der Heizwerth in der calorimetrischen Bombe von Mahler bestimmt. Die beobachteten Aenderungen sowohl in der Zusammensetzung der organischen Materie, als auch im Heizwerth sind indessen nur gering, so daß sie in der Praxis bei einer Dauer von zwölf Monaten vernachlässigt werden können; gleichwohl treten sie nicht gänzlich zurück. Die Einwirkung der Luft auf die Kohle ist gröfser, als die des Wassers; sie bleibt aber auch gering, wenn dafür gesorgt ist, daß eine Erwärmung nicht eintreten kann. Kp.

W. McConnell. Ueber den Gasgehalt der Kohle²⁾. — Bei der Untersuchung über den Gasgehalt der Kohle wurde unterschieden zwischen Stückkohle und Kohlenstaub. — Die Versuche wurden in der Weise ausgeführt, daß man das Material zunächst in ein Gefäß brachte, welches sodann evacuirt wurde. Hierauf erhitzte man das Gefäß auf bestimmte Temperaturen, ließ das sich entwickelnde Gas auf, bestimmte das Volumen und analysirte es in der üblichen Weise. Fünf Proben Stückkohle von der Grube Ryhope wurden bei Temperaturen von 40 bis 100° zwischen 5

¹⁾ Bull. soc. chim. [3] 11, 619—622. — ²⁾ Eng. 57, 144; Ref.: Oesterr. Zeitschr. Berg- u. Hüttenw. 42, 260—262.

und 44 Stunden erhitzt. Für 100 g Kohle wurden 81,8 ccm Gas von der folgenden Zusammensetzung (I) erhalten:

I.	Vol.	II.	Vol.
Kohlensäure	= 0,72	Kohlensäure	= 0,8
Sauerstoff	= 9,41	Sauerstoff	= 8,1
Gase der Methanreihe . .	= 16,91	Kohlenoxyd	= 7,1
Andere Kohlenwasserstoffe	= 0,00	Gase der Methanreihe . .	= 1,4
Stickstoff	= 72,95	Andere Kohlenwasserstoffe	= 1,1
	<hr/>	Stickstoff	= 72,2
	99,99		<hr/>
			100,0

Als dieselbe Kohle zu feinem Pulver zerkleinert und 26 Stunden auf 100° erhitzt wurde, resultirten aus 208 g 109 ccm Gas, welches die oben stehende Zusammensetzung (II) hatte. Bei 100° entweicht das Gas aus der Kohle noch nicht vollständig. Als aus 100 g Ryhopekohle durch längeres Erhitzen auf 100° bereits 122,2 ccm Gas ausgetrieben waren, erhitze man dieselbe nochmals 14 Stunden lang auf 130° und sodann auf 184°. Hierbei wurden noch 20 resp. 7 ccm Gas gewonnen. Nach dem Pulvern wurde dieselbe Kohle auf 100° erhitzt, wobei sich wieder 34 ccm Gas entwickelten. Es kamen noch zur Untersuchung Dampfesskohle von der Grube Seaton Delaval, sowie Kohlenstaub der Roorworth-Grube in Northumberland. Die Gase aus diesen Proben hatten natürlich wesentlich andere Zusammensetzung als die aus der Ryhopekohle. Kjd.

P. Dvorkowitz. Die Destillation von Torf¹⁾. — Der Verfasser führt zunächst Ansichten über die Bildung des Torfes an, welche dahin gehen, daß Torf durch einen Fermentationsproceß von Wasserpflanzen und nicht aus untergegangenen Wäldern entstanden sei, da die Stämme gewöhnlich einige Fuß über den Torfboden liegen. Eine künstliche Nachahmung dieses Processes an Wasserpflanzen beweist sogar diese Annahme. Gebrauchts war Torf als Heizmaterial in einer ganzen Reihe von Betrieben, namentlich in Deutschland in der Eisen- und der Glasindustrie. In Luzern werden sogar die Locomotiven mit Torf geheizt. Ebenso ist Torf in Rußland bei den verschiedensten Industriezweigen im Gebrauche. Dann wird er als Desinfectionsmittel und als Conservierungsmittel für Fleisch und Eier, endlich in Folge seiner faserigen Beschaffenheit zur Herstellung billiger Gewebe benutzt. Als Heizmaterial ist Torf wegen seines hohen Wasser- und Aschengehaltes im Vergleich zur Kohle nur unvorthellhaft zu verwenden.

¹⁾ Chem. Soc. Ind. J. 13. 596—607.

Es ist deshalb wichtig, das Wasser zu entfernen und eine theilweise Verkokung des Torfes herbeizuführen. Diese Verkokung wurde zunächst im Anfange des 18. Jahrhunderts in Haufen (Meilern) erzielt; später von der Mitte dieses Jahrhunderts an in Oefen, die, nachdem der Torf zu heller Flamme entzündet worden war, geschlossen wurden, so daß unter Luftabschluß trockene Destillation eintrat. Der älteste Ofen war von Lange construirt, eine verbesserte Construction fand Hahneemann, bei der in einem runden Schacht der Torf von oben angezündet wurde und, nach luftdichtem Abschluß des Ofens, die Gase von unten abgezogen wurden, um in Condensatoren geleitet zu werden. Auf einem ähnlichen Principe beruhte ein von Moreau, père et fils, erfundener Ofen. Dann hat man Oefen construirt, in welchen der Torf mit überhitztem Wasserdampf behandelt wurde. Der Verfasser beschreibt dann eingehend einen von ihm erfundenen Ofen, welcher gestattet, bei niedriger Temperatur mit Hülfe eines indifferenten Gases alle flüchtigen Nebenproducte aus dem Torf ohne Zersetzung auszubringen, während reiner Koks zurückbleibt. Dieser Ofen enthält mehrere Retorten, welche außen mit Generatorgas, im Inneren, wo sich der Torf befindet, mit Wassergas geheizt werden. Das Wassergas bringt alle flüchtigen Substanzen aus, welche in Condensatoren verdichtet werden. Es sind dies Paraffinöl, Essigsäure, Ammoniak und Gas. Um diese Verkokung praktisch durchführen zu können, ist es aber vor Allem nöthig, das Wasser, welches der Torf zu 85 bis 90 Proc. enthält, möglichst auszupressen, um auch die in ihm gelösten Salze zur Verminderung des Aschengehaltes des gewonnenen Koks zu entfernen. Um diesen Proceß nicht allzusehr zu vertheuern, müssen die Moore einer guten Drainage unterzogen werden. *Ltm.*

A. Vivien. Studien über Brennmateriellen¹⁾. — 1 kg Kohle gebraucht — unter Berücksichtigung aller Umstände — zur vollständigen Verbrennung 12,80 cbm Luft, während 1 kg Wasserstoff 38,37 cbm erfordert. Jeder Luftüberschuß erniedrigt die erzielte Temperatur erheblich; ebenso werden durch Feuchtigkeit der Kohle Verluste herbeigeführt. Wenn man also genaue Analysen der Kohle besitzt und ihren Heizwerth kennt, so kann man auch berechnen, welche ausnutzbare Wärme man erzielen kann. Da alle diese Angaben aber nur schwierig und mühevoll zu erlangen sind, so schlägt der Verfasser eine andere Methode zur Ermittlung dieses Werthes vor. — Berücksichtigt man die durch-

¹⁾ Zeitschr. Ver. Rub.-Ind. [N. F.] 31, 907–921.

schnittliche Zusammensetzung der aus den üblichen Kohlenarten entstehenden flüchtigen Kohlenwasserstoffe, so findet man, daß der absolute Heizwerth derselben pro Kilogramm 11213 cal. beträgt, während er für Kohle 8080 cal. ist. Wenn man also den Gehalt einer Kohle an Kohlenwasserstoffen (*a*) und an aschefreier Kohle (*b*) ermittelt, so ergibt sich als Heizwerth derselben $11213 \cdot a + 8080 \cdot b$. — Die so berechneten Werthe sind meistens etwas höher als die direct calorimetrisch mit der Mahler'schen Bombe bestimmten. Da aber für technische Zwecke absolute Genauigkeit nicht erforderlich ist, so kann man sich auf die einfache Ermittlung der Kohlenwasserstoffe und der aschefreien Kohle beschränken, um den Heizwerth zu finden. Die nach der obigen Formel berechnete Heizwärme ist bezogen auf Verbrennung des Wasserstoffs zu Wasser von 0°, was für die Praxis nicht zutrifft, weil der Wasserdampf nicht condensirt wird, es muß also die Verdampfungswärme abgezogen werden. Um diese Fehlerquelle zu corrigiren, wird vorgeschlagen, anstatt der Zahl 11213 rund 10000 zu benutzen. Für die Praxis ist es noch zweckmäßiger, den Werth der Kohle auszudrücken durch die Angabe der durch 1 kg derselben verdampfbarcn Wassermenge. Für den Fall, daß man aus Wasser von 93° Dampf von 5 Atm. Spannung erzeugt, erhält man diese letztere Zahl, wenn man die „übertragbare Wärme“ durch 560 dividirt. — Die „übertragbare Wärme“ erhält man aus dem oben berechneten Heizwerth, wenn man alle einzelnen Wärmeverluste abzieht. Ist nun der Procentgehalt des Brennmateriales an Kohlenstoff — C, an Kohlenwasserstoffen — $C_n H_m$, an Feuchtigkeit — W, an Asche — G, so ist der Heizwerth — $8080 \cdot \frac{C}{100} + 10000 \cdot \frac{C_n H_m}{100} - \frac{637 W}{100}$. Wenn man nun voraussetzt, daß die in die Feuerung eintretende Luft eine Temperatur von 20° und die austretenden Gase eine solche von 320° haben, so sind noch von dem „Heizwerth“ die folgenden Größen abzuziehen: 1. Die Wärmeverluste, die dadurch entstehen, daß die aus fester Kohle gebildete Kohlensäure und der Stickstoff beim Austritt aus der Feuerung 300° wärmer sind als die Luft beim Eintritt. Dies sind für 1 kg Kohlenstoff 887,25 cal. 2. Die Wärmeverluste für die Verbrennungsgase der Kohlenwasserstoffe, welche pro Kilogramm 1095,5 cal. betragen. 3. Die Verluste, die herbeigeführt werden durch die bereits in der Luft vorhandene Kohlensäure und den Wasserdampf, und welche sich pro Kilogramm Brennmateriel etwa auf 150 cal. belaufen. 4. Die für die Ueberhitzung (von 100 auf 320°) der im Brennmateriel

enthaltenen Feuchtigkeit nothwendige Wärme, etwa 96 cal. pro Kilogramm Wasser. 5. Die durch die heisse Asche nutzlos abgeführte Wärme, welche bei 500° Aschentemperatur beträgt:

$$\frac{G}{100} \cdot 0,20 \cdot 500 = 100 \text{ cal.}$$

pro Kilogramm Asche. 6. Den durch den Luftüberschufs verursachten Wärmeverlust. Beträgt der Luftüberschufs gerade das Doppelte des erforderlichen Luftquantums, so wird dadurch verloren pro 1 kg Kohlenstoff 882,52 cal. und pro 1 kg Kohlenwasserstoffe 934,63 cal. Außerdem sind von der so berechneten „übertragbaren Wärme“ noch 10 Proc. für die verschiedenartigen sonst vorkommenden Verluste in Abzug zu bringen. Als der Verfasser nach diesem Schema für verschiedene Kohlenarten die durch 1 kg Brennmaterial verdampfbare Wassermenge berechnete, erhielt er Werthe von 8,3 bis 10,0 kg, wobei die oben angegebenen Bedingungen voransgesetzt sind. — Aus diesen Zahlen läßt sich der Werth einer Kohle besser beurtheilen als nach den „Heizwerthen“. — Um genau den Einfluß zu bestimmen, der auf die Wärmeausnutzung durch überschüssig zugeführte Luft ausgeübt wird, berechnet der Verfasser unter sonst völlig gleichbleibenden Bedingungen die Wassermengen, die — bei verschiedener Luftzufuhr — durch 1 kg einer bestimmten Kohle verdampfbar sind. Er findet, 1 kg Kohle verdampft:

8,22 kg Wasser, wenn 2 Vol. überschüssige Luft vorhanden sind	
9,47 " " " 1 " " " " " ist	
10,00 " " " 1/2 " " " " "	

Man soll demnach mit möglichst wenig Luft verbrennen, nicht so, daß farblose Schornsteingase entstehen. Um in einfacher Weise zu erfahren, welche Luftquantität — also welcher Luftüberschufs — in die Feuerung eintritt, genügt es, eine Kohlensäurebestimmung in den Rauchgasen einzuführen. Der Verfasser giebt eine Tabelle, aus der man etwa bei normaler Kohle den Luftüberschufs aus der Kohlensäurebestimmung direct ablesen kann. In dieser Tabelle sind auch die enormen durch Luftüberschufs verursachten Wärmeverluste ersichtlich. Die Controle der Rauchgase erfolgt am besten durch den Apparat von Meslans und Frère, der aus zwei absolut identischen, an einem Wagebalken aufgehängten Ballous besteht, die im Gleichgewicht sind, wenn beide in Luft eintauchen. Im Betriebe wird der eine in Luft, der andere in Rauchgas gleicher Temperatur eingetaucht und man liest dann den Kohlensäuregehalt direct an einem Zeiger ab.

Kpl.

W. A. Dixon. Notiz über den Wärmeverlust bei unvollkommener Verbrennung ¹⁾. — Der in Kesselfeuerungen bei unvollkommener Verbrennung entstehende Rauch bewirkt dadurch Wärmeverluste, daß er sich als schlecht leitende Schicht auf den Wandungen absetzt, und daß er andererseits eine Schirmwirkung ausübt auf die von den Kohlen ausstrahlende Wärme. *Kpl.*

F. Krupp in Essen a. d. Ruhr. Verfahren zur continuirlichen Erzeugung bezw. Regenerirung von Kohlenoxyd-Wasserstoffgas bei der continuirlichen Wasserstoffherzeugung. D. R.-P. Nr. 73978 ²⁾. — Bei dem bekannten Verfahren der Wasserstoffdarstellung durch abwechselnde Oxydation und Reduction von Eisen unter Benutzung von Wasserdampf als Oxydations- und von Kohlenoxyd-Wasserstoffgasen als Reductionsmittel werden die Reductionsgase durch Ueberleiten von Wasserdampf über glühende, mit Alkalien oder Erdalkalien getränkte Kohle bei einer Temperatur von 800 bis 900° hergestellt, wodurch ein nur aus Kohlenoxyd und Wasserstoff bestehendes Gas erzielt wird. Um dann diese bei der Reduction zu Kohlensäure und Wasserdampf umgesetzten Gase sofort für den Reductionsprocess wieder tauglich zu machen, leitet man sie wieder über die imprägnirte glühende Kohle. *Sd.*

H. Strache in Wien. Entfernung der im Wassergas befindlichen gasförmigen Eisenverbindung (Eisenkohlenoxyd). D. R.-P. Nr. 72816 ³⁾. — Man entfernt das *Eisenkohlenoxyd* aus dem *Wassergas*, indem man dieses entweder durch glühende Röhren oder durch Säuren leitet. *Sd.*

W. Lönholtz in Berlin. Verfahren zur Gewinnung von Halbwassergas. D. R.-P. Nr. 74753 ⁴⁾. — Die Generatorgase werden unmittelbar nach dem Entweichen aus dem Generator mit Wasserdampf gemischt und unter Vermeidung von Wärmeverlust in einen mit Koks beschickten Wassergasofen geleitet. *Sd.*

Hundeshagen und Philip. Zur Kenntniss des Dowson-Gases ⁵⁾. — Die Verfasser theilen die Analysen von Abwässern einer mit englischem Anthracit betriebenen Generatorgasanlage mit: es wurden untersucht das Wasser aus dem Ueberlauf der Vorlage, des Scrubbers und des Washers. Ferner wurden analysirt die theerigen Ausscheidungen aus Generatorgasleitungen. — Versuche an Fischen zeigten, daß die fraglichen Abwässer bei Verdünnung mit drei bis vier Theilen Wasser kaum noch schädlich sind. *Kpl.*

¹⁾ Chem. News 70, 246. — ²⁾ Patentbl. 15, 367. — ³⁾ Dasselbst, S. 109. — ⁴⁾ Dasselbst, S. 513. — ⁵⁾ Zeitschr. angew. Chem. 1894, S. 80—81.

II. Bunte. Zur Carburationsfrage¹⁾. — Aufbesserungsmittel für Leuchtgas werden zur Zeit in Deutschland nur in geringem Umfange angewendet, und zwar dort, wo an die Leuchtkraft des Gases ganz besondere Anforderungen gestellt werden. Anders ist es in Amerika, wo etwa zwei Drittel des Gesamtgasconsums auf das Wassergas entfällt, während Kohlengas nur ein Drittel des Consums ausmacht. Die Anwendung von Kohlengas ist dort überhaupt im Rückgang begriffen. Dies liegt im Wesentlichen daran, daß die für carburirtes Gas gut verwendbaren Materialien (Anthracit und Petroleumproducte) reichlich vorhanden und billig sind. Auch in England steht die Frage nach umfangreicher Einführung der Wassergasproduction im Vordergrund des Interesses und zwar hauptsächlich aus wirtschaftlichen Gründen, während die natürlichen Verhältnisse dort mehr für Kohlengas sprechen würden. Es ist bemerkenswerth, daß der Wassergasproceß sich hinsichtlich seiner ökonomischen Leistung seit seiner Entstehung kaum verbessert hat. Etwa die Hälfte des Heizwerthes der Kohle geht auch jetzt noch verloren. Um diese Verluste zu vermeiden, ist es besonders wichtig, daß der ganze dem Generator zugeführte Wasserdampf auch zersetzt wird. Um diese Verhältnisse näher kennen zu lernen, wurde auf Veranlassung des Verfassers von Harris die Zersetzung des Wasserdampfes durch glühende Kohlen bei verschiedenen Temperaturen studirt und zwar zwischen 674 und 1125°. Durch diese Versuche wurde bestätigt, daß die Menge der bei dem Proceß gebildeten Kohlensäure mit steigender Temperatur abnimmt. Bei 600 bis 700° verläuft die Reaction hauptsächlich nach der Gleichung: $C + 2H_2O = CO_2 + 2H_2$ und es werden nur etwa 5 bis 10 Proc. Kohlenoxyd gebildet. Bei steigender Temperatur tritt immer mehr der Proceß: $C + H_2O = CO + H_2$ in den Vordergrund. Auch die der Zersetzung unterliegende Menge des Wasserdampfes nimmt mit der Temperatur zu; bei 700° werden fast 92 Proc. des eingeleiteten Wasserdampfes gar nicht angegriffen, während bei 1200° die Zersetzung eine fast vollständige ist; dabei ist das bei dieser hohen Temperatur erzeugte Gas, wie bereits erwähnt, fast frei von Kohlensäure. Für einen rationellen Betrieb ist demnach für eine möglichst hohe Temperatur im Generator zu sorgen. Wenn der Proceß nach dieser Richtung hin verbessert und verbilligt ist, so wird voraussichtlich auch die Verbreitung des Wassergases beträchtlich wachsen. Trotzdem glaubt Bunte, daß das Wassergas

¹⁾ J. f. Gasbeleuchtung 37, 81—87.

in Deutschland, wegen der anders gearteten Verhältnisse, in der nächsten Zeit nicht die Wichtigkeit erlangen wird wie in Amerika oder England. In Deutschland hat sich in den letzten Jahren die Destillationskokerei entwickelt, die zur Zeit bereits ebenso viel Kohlen verbraucht, wie die sämtlichen Gasanstalten Deutschlands. Diese Kokereien arbeiten hauptsächlich auf die Erzeugung von Koks, Theer und Ammoniak; außerdem aber wird in neuerer Zeit aus den Gasen, die sonst nur zu Heizzwecken dienen, das darin enthaltene Benzol ausgewaschen und gewonnen. Nach der Berechnung des Verfassers können die sämtlichen Kokereien zusammen etwa 6000000 kg Rohbenzol pro Jahr liefern. Nun ist der wirksamste leuchtende Bestandtheil des Gases das Benzol und dieses ist demnach das natürliche Carburationsmittel. Eine reiche Quelle für dieses Aufbesserungsmittel ist vorhanden in dem aus den Kokereigasen ausgewaschenen Benzol. Quantität und Leuchtfähigkeit des Gases hängen nicht nur von der Beschaffenheit der Kohle ab, sondern auch von der Destillationstemperatur. Nach Versuchen, die Mayer auf Veranlassung des Verfassers aufstellte, ergibt sich, daß schon bei Temperaturen von 1100 bis 1200° aus dem Leuchtgase durch Zersetzung der Kohlenwasserstoffe ein blaubrennendes Gemenge entsteht, dessen Volumen gegen das angewendete Gasvolumen im Verhältniß 1:1.4 zugenommen hat. Deshalb ist man auch bei der Leuchtgasfabrikation auf die Verwendung relativ geringer Kohlenmengen für jede Destillation beschränkt, weil beim Destilliren größerer Mengen Kohle leicht eine zu hohe Temperatur und damit ein nur wenig leuchtendes Gas erhalten würde. Aus diesem Grunde schlägt Bunte vor, den Leuchtgasproceß in zwei Theile zu zerlegen, so daß man zuerst — mit hoher Temperatur und dem entsprechend guter Ausbeute — ein Rohgas geringer Leuchtfähigkeit erzeugt, und dieses dann je nach den Erfordernissen carburirt. Ein Bedenken gegen dies Verfahren läge noch darin, daß bei tiefen Temperaturen in dem carburirten Gase Condensationen eintreten könnten, die natürlich unangenehme Folgen hätten. Um über diesen Punkt Aufklärung zu erhalten, wurden Versuche über die „Kaltbeständigkeit“ carburirter Gase bei Temperaturen von $+10$ bis -10° angestellt, auf deren Einzelheiten hier nicht eingegangen werden kann. Es ergab sich, daß zur Carburirung geeignet sind Benzol und leichte Petroleumkohlenwasserstoffe, von denen man dem Gase eine hinreichende Menge einverleiben kann, um den gewünschten Leuchteffect zu erzielen, ohne doch befürchten zu müssen, daß bei starker Kälte Condensationen eintreten. Für die

vorgeschlagene „synthetische“ Gasbereitung wären zunächst aus den Kokereien hinreichende Benzolmengen vorhanden und auch für die Zukunft würde ein Versiegen dieser Benzolquellen nicht zu erwarten sein. Mit der Benzolcarburation wäre dann auch die Anwendung beliebiger Kohle für die Gasbereitung ermöglicht, wodurch große Ersparnisse erzielt werden können. *Kpl.*

W. A. Bone und J. C. Cain. Die unvollständige Verbrennung einiger gasförmiger Kohlenstoffverbindungen¹⁾. — Im Anschluß an eine frühere Untersuchung von Lean und Bone (JB. f. 1892, S. 2730) über die unvollständige Verbrennung von Aethylen wurden neuerdings Versuche über die Explosion von *Acetylen*, *Cyan* und *Wasserstoff* sowie von *Normal-Pentan* mit Sauerstoff angestellt, und zwar mit Sauerstoffmengen, die nicht zureichend waren zur vollständigen Ueberführung des vorhandenen Kohlenstoffs in Kohlenoxyd. — Bei der Verbrennung von Acetylen waren als Endproducte vorhanden: Acetylen, ein Grenzkohlenwasserstoff (Methan), Wasserstoff, Kohlenoxyd, Kohlendioxyd und Stickstoff (? d. Ref.). Man kann für diesen Vorgang die folgende Gleichung annehmen: $2C_2H_2 + O_2 = 2CO + 2C + H_2$. Bei der Explosion eines Cyan-Wasserstoffgemisches mit Sauerstoff wird kein Wasserstoff oxydirt; der Sauerstoff bildet aus dem Cyan Kohlenoxyd und wenig (1½ bis 2 Proc.) Kohlensäure; das nicht oxydirte Cyan spaltet sich in Kohlenstoff und Stickstoff. Außerdem aber bilden sich in geringer Menge Acetylen und Methan, wahrscheinlich durch directe Vereinigung von Kohlenstoff und Wasserstoff; denn die Verfasser fanden auch, daß bei der Einwirkung von Wasserstoff auf weißglühende Kohle etwas Methan entsteht. — Beim Verbrennen von 1 Vol. Pentan mit 2½ Vol. Sauerstoff bilden sich CO, CO₂, C₂H₂ und Wasserstoff. — Für die Verbrennung eines Kohlenwasserstoffs von *n* Atomen C mit *n* Atomen Sauerstoff gilt die Gleichung: $C_nH_x + O_n = nCO + \frac{x}{2}H_2O$; eine ähnliche

Form findet man für ein Gemisch von Cyan und Wasserstoff. *Kpl.*

N. Gréhan. Vergleichende Untersuchungen über die Verbrennungsproducte von Leuchtgas bei Benutzung eines Argand- und eines Auerbrenners²⁾. — Während in den Verbrennungsproducten des Leuchtgases, welche bei Benutzung eines Argandbrenners erhalten wurden, kaum Spuren von Kohlenoxydgas nachzuweisen waren, wurden in denjenigen, welche bei Verwendung eines Auerbrenners entstanden, nicht unbeträchtliche Mengen

¹⁾ Chem. News 70, 265. — ²⁾ Compt. rend. 119, 146 - 148.

des giftigen Gases aufgefunden. Verfasser hält es daher aus hygienischen Standpunkte aus für wünschenswerth, wenn die Verbrennungsproducte des Leuchtgases, besonders diejenigen von Auerbrennern, nach außen entweichen könnten. Kp.

Clowes und M. E. Feilmann. Ueber die Minimalmenge von Kohlendioxyd und Stickstoff in der Luft, welche verschiedene Flammen zum Erlöschen bringen¹⁾. — Clowes stellte zusammen mit Feilmann fest, bei welchem Gehalt der atmosphärischen Luft an Kohlendioxyd resp. an Stickstoff eine Reihe von Docht- resp. Gasflammen nicht mehr fortbrennen konnten. Kohlensäure wirkt stets schon bei geringerer Menge erstickend als Stickstoff. Sämmtliche Dochtflammen erlöschen bei annähernd gleichem Zersatz der inertten Gase (ca. 13 bis 16 Proc. CO₂ oder 18 bis 23 Proc. N) zur atmosphärischen Luft. Dagegen ist die Quantität Kohlensäure resp. Stickstoff, die zum Ersticken von verschiedenen Gasflammen erforderlich ist, außerordentlich variabel; am beträchtlichsten ist sie für Wasserstoff. — Auf Grund dieser Beobachtung wurde eine Sicherheitslampe für Bergwerke construirt in der ein Wasserstoffflämmchen zur Entzündung der eventuell erloschenen Dochtflamme verwendet wird. Kpl.

Arthur Smithells und Frankland Dent. Structur und Chemie der Cyan gasflamme²⁾. — Eine gewöhnliche, aus runder Oeffnung brennende Cyan gasflamme besteht aus zwei Theilen, einem inneren pflirschblüthfarbenen Kegel und einem äußeren Kegel, dessen Farbe von tiefem Blau in ein grünliches Grün übergeht. Verbrennt man Cyan gas im „Flammenconusseparator“ unter allmählicher Verstärkung des Luftzutrittes, so senkt sich der innere Conus auf das innere Rohr des Separators hinab, behält dabei aber einen röthlichen Hof, der erst bei weiterer starker Luftzufuhr verschwindet und sodann fast unmittelbar einem blauen Hofe Platz macht; der obere Conus erleidet inzwischen keinerlei Aenderung. Die Trennung der beiden Flammenkegel im Separator tritt ein, wenn das Volumenverhältniß Luft : Cyan = 3,3 : 1 ist. Die beiden getrennten Kegel bleiben bei weiterer Verstärkung der Luftzufuhr intact, bis etwa das oben angegebene Verhältniß auf das Doppelte gestiegen ist; sodann erlischt der obere Kegel wegen allzu großer Verdünnung der brennbaren Gase. — Die Analyse der zwischen den beiden Flammenkegeln im Separator

¹⁾ Chem. Soc. Ind. J. 13, 1155—1156; Proc. Roy. Soc. 56, 2—6. —

²⁾ Chem. Soc. J. 65, 603—610. — ³⁾ Vgl. Smithells und Ingle, J. Soc. 1892, S. 2871.

befindlichen Gase zeigte, daß dort vorhanden sein können: Kohlensäure, Kohlenoxyd, Cyan, Stickstoff und Stickoxyde. Eine geringe Quantität Kohlensäure entsteht stets; sie kann bei verstärktem Luftzutritt auf das halbe Volumen des Kohlenoxydes ansteigen. Im Wesentlichen aber verläuft im unteren Kegel die Verbrennung nach der Formel: $(\text{CN})_2 + \text{O}_2 = 2\text{CO} + \text{N}_2$. Wenn das Gas mit der Minimalmenge Luft verbrannt wird, so bleiben ca. $7\frac{1}{2}\%$ $(\text{CN})_2$ im unteren Kegel unverbrannt. Diese Menge verringert sich bei verstärktem Luftzutritt immer mehr. Auch geringe Mengen von Stickoxyden kommen in den zwischen den beiden Kegeln befindlichen Gasen vor, die sich aber nicht im unteren Kegel selbst, sondern an dessen Aufsenseite bilden, wenn dort Luft vorhanden ist. Sie verursachen die grünliche Färbung des oberen Kegels. Unerklärbar bleibt noch die Thatsache, daß sich neben unverbranntem Cyan Kohlensäure bildet. Auch für das Auftreten des „Hofes“ um den unteren Kegel ist noch keine Erklärung möglich. Er verschwindet nur, wenn der Luftzutritt so geregelt ist, daß gerade oberhalb des unteren Kegels kein unverbranntes Cyan mehr vorhanden ist. Vielleicht ist er in seinen verschiedenen Farben auf das Vorhandensein verschiedener stark erhitzter Gase zurückzuführen. Im Lichte dieser Versuche ergibt sich, daß sich in den beiden Flammenkegeln der — ohne Luftzutritt brennenden — Cyangasflamme getrennt die folgenden Reactionen abspielen: 1. $(\text{CN})_2 + \text{O}_2 = 2\text{CO} + \text{N}_2$; 2. $2\text{CO} + \text{O}_2 = 2\text{CO}_2$. Um dies zu prüfen, wurde Cyan in ganz trockener Luft verbrannt, wobei nur der innere Kegel bestehen bleiben durfte, weil nach Dixon's Versuchen Kohlenoxyd nur in feuchter Luft brennt. Es zeigte sich aber, daß die Kegel beider in der gewöhnlichen Flamme bestehen bleiben; bei der Verbrennung im Separator jedoch brannte bei hinreichender Entfernung der Kegel der obere in trockener Luft nicht. Der Grund für das Bestehenbleiben des Aufsenkegels der gewöhnlichen Flamme auch in trockener Luft liegt offenbar in der sehr hohen Temperatur der Flamme.

Kpl.

N. Gréhant. Einfluß der Zeit auf die Absorption des Kohlenoxyds durch das Blut¹⁾. — Verfasser ließ einen kleinen Hund während $2\frac{1}{2}$ Stunden ein Luftgemisch einathmen, welches auf 100 Liter Luft 100 ccm Kohlenoxydgas enthielt, und bestimmte nach kurzen Pausen den Kohlenoxydgehalt des Blutes. Es wurden in 100 ccm Blut gefunden nach $\frac{1}{2}$ Stunde 6,0 ccm,

¹⁾ Compt. rend. 118, 594—595.

nach 1 Stunde 9,2 ccm, nach 2 Stunden 10,0 ccm, nach 2½ Stunden 9,3 ccm Kohlenoxydgas. Die Menge des absorbirten Gases ist also nach 1 Stunde größer, als nach ½ Stunde, bleibt aber dann constant. Enthielt dagegen das Luftgemisch auf 100 Liter Luft nur 10 ccm Kohlenoxydgas, so wurden folgende Zahlen erhalten. In 100 ccm Blut wurden gefunden nach ½ Stunde 1,42 ccm, nach 1 Stunde 2,05 ccm, nach 1½ Stunden 2,9 ccm, nach 2 Stunden 3,15 ccm, nach 2½ Stunden 3,6 ccm Kohlenoxydgas. Der Gehalt an Kohlenoxyd im Blute nimmt demgemäß unter diesen Bedingungen mit der Zeit stetig zu, und es besteht ein vollkommener und nicht voraussehender Unterschied in dem Gange der Absorption dieses giftigen Gases je nach der Menge, in welcher es in der eingeathmeten Luft enthalten ist. Kp.

Gibson Dyson und A. Harden. Ueber die Vereinigung von Chlor mit Kohlenoxyd unter dem Einflusse des Lichtes¹⁾. — Ein Gemisch von Kohlenoxyd mit Chlor wurde belichtet durch Verbrennen eines abgemessenen Stückes Magnesiumband. Die am Manometer abgelesene Contraction ergab ein Maass für die Menge der sich vereinigenden Gase. Bei wiederholter Belichtung zeigte sich eine deutlich ausgesprochene Periode *photochemischer Induction*, wie aus der folgenden Tabelle hervorgeht, in der die erste Reihe die Ordnungszahl der gleichwerthigen Belichtungen, die zweite Reihe die Anzahl der Theilstriche angiebt, um welche die Manometertlüssigkeit gestiegen ist:

	Theilstriche
1	1
2	8,5
3	18
4	20
5	24
	Constant

Kpl.

J. H. K. Behnke und Chemische Fabrik vorm. Hell & Sthamer A.-G. Gewinnung reiner Kohlensäure aus Feuerungs- und Ofengasen²⁾. — Zur Aufnahme der Kohlensäure aus den Ofengasen und zur Abgabe derselben beim Erhitzen dient eine Lösung von Natriumcarbonat. Dies an sich bekannte Verfahren wird auf wirksamer Weise dadurch ausgeführt, dass die Absorption der Kohlensäure in einem Thurne vorgenommen wird, der mit horizontalen, unter einander angeordneten Siebplatten ausgerüstet ist, auf denen die Lauge auf bestimmter Höhe durch die entgegen-

¹⁾ Chem. News 70, 58—59. — ²⁾ D. R.-P. Nr. 76190.

strömenden Gase gehalten wird. In der untersten Kammer des Thurmes treffen somit Lauge und Gase unter dem höchsten Druck zusammen, der in den nach oben zu gelegenen Kammern stufenweise abnimmt. In einem zweiten ähnlich eingerichteten Thurme wird die Abgabe der Kohlensäure durch Erhitzen der erhaltenen Bicarbonatlauge bewirkt, wobei die ausgetriebene Kohlensäure und der gebildete Wasserdampf unter gleichen Bedingungen wie die Feuernase im ersten Thurme emporsteigen. Nach Abscheidung des Wassers in einem Condensator wird die übrig bleibende Kohlensäure der weiteren Verwendung oder einem Aufnahmebehälter zugeführt.

Op.

Berthelot und G. André. Untersuchung über die Bildung der Kohlensäure und über die Absorption des Sauerstoffs durch von den Pflanzen abgetrennte Blätter; die chemischen Vorgänge¹⁾. — Die von den Pflanzen losgelösten Blätter erfahren mannigfaltige Veränderungen, welche theils auf dem rein chemischen Einfluß des Sauerstoffs und der Feuchtigkeit, theils auf biologischen Umwandlungen beruhen, die ihrerseits durch innere Vorgänge oder durch äußere bacterielle Einwirkungen hervorgerufen werden. Da diese Vorgänge noch wenig erforscht sind, so haben Verfasser sich dem Studium derselben unterzogen. Die Untersuchungen wurden an frischen Blättern ausgeführt, einerseits von Getreidearten, die leicht austrocknen und daher schnell absterben, andererseits an Blättern von *Sedum maximum*, die, mit Wasser überladen, dieses und damit ihre Lebensfähigkeit bei gewöhnlicher Temperatur nur langsam und schwierig verlieren, und schließlich an Blättern des Haselstrauches (*Corylus avellana*), welche einen ganz anderen Bau als die vorigen besitzen, sich jedoch schnell trocknen lassen. I. Versuche bei 100 bis 110°; unmittelbare Vernichtung der Lebensfähigkeit; rein chemische Ergebnisse. 1. Beim Trocknen im Wasserstoffstrome verlieren die Blätter Wasser und Kohlensäure. Die Kohlensäure wird nicht auf einmal, sondern allmählich entwickelt und verdankt ihre Entstehung offenbar einer durch Wasseraufnahme bewirkten Spaltung nach Art der Esterspaltung. 2. Beim Trocknen im Luftstrome entstehen bei weitem größere Mengen Kohlensäure, wie vorher, was auf eintretende Oxydation hinweist. 3. Wurden die Blätter in Wasser getaucht und das Ganze unter gleichzeitigem Durchleiten eines langsamen Luftstromes auf 100° erhitzt, so wurde bei den Getreideblättern mehr Kohlensäure erhalten, als beim Erhitzen im

¹⁾ Compt. rend. 118, 45-54; Ann. chim. phys. [7] 2, 293-326.

Wasserstoffströme, aber weniger, als bei der gleichen Operation im Luftströme. Bei den Blättern des Haselstrauchs war das Ergebniss annähernd das gleiche, wie beim Austrocknen im Wasserstoffströme. Dagegen war bei den Blättern von *Sedum maximum* die Oxydation noch stärker, als beim Erhitzen im Luftströme allein. 4. Die Blätter wurden feucht in einem mit Sauerstoff gefüllten, geschlossenen Behälter auf 100° erhitzt und der absorbirte Sauerstoff sowie die entwickelte Kohlensäure gemessen. Unter diesen Umständen sind die für die Kohlensäure erhaltenen Zahlen doppelt und dreifach so groß, als unter den Bedingungen der ersten Versuchsreihe. Es wird ferner mehr Sauerstoff aufgenommen, als derjenigen Menge Kohlensäure entspricht, welche beim Erhitzen in der Sauerstoffatmosphäre mehr entsteht, als im Wasserstoffströme. Die Blätter des Haselstrauchs, die wasserärmer als der drei untersuchten Blattarten, enthalten die am leichtesten oxydirbaren Stoffe, während die Blätter von *Sedum maximum*, denen das meiste Wasser vorhanden ist, sich gegen die Oxydation am widerstandsfähigsten erwiesen. Als bedeutsamstes Ergebniss stellt sich somit die Thatsache heraus, dass bei den Pflanzen die Absorption des Sauerstoffs und die Entwicklung der Kohlensäure nicht in der nothwendigen Beziehung zu einander stehen, wie das bei den höheren Thieren der Fall ist. Ap.

Berthelot und G. André. Untersuchung über die Bildung der Kohlensäure und über die Absorption des Sauerstoffs durch von den Pflanzen abgetrennte Blätter; Beobachtungen bei gewöhnlicher Temperatur; Mitwirkung biologischer Vorgänge¹⁾. In Fortführung ihrer Untersuchung (s. das voranstehende Referat) stellen Verfasser ihre Versuche nunmehr in der Kälte an, wobei die Mitwirkung der Zell- und der Mikrobenthätigkeit zum Ausdruck gelangt. Die Blätter wurden 5. einer allmählichen Austrocknung in einer Glocke über Schwefelsäure unterworfen. Daraus hatte die Menge der Kohlensäure in ganz bestimmter Weise eine Zunahme erfahren; die Zahlen sind mehr als dreimal so hoch, wie diejenigen beim Erhitzen im Luftströme. Besonders große Mengen Kohlensäure entwickeln die Blätter von *Sedum maximum* (bis 23 Proc. der trockenen Blätter), da dieselben bis zum völligen Austrocknen drei Monate gebrauchen, und in dieser Zeit sich in den biologischen Vorgängen im Inneren der Pflanze noch die äusseren Wirkungen durch Pilze gesellen. Nach den Ergebnissen der Elementaranalyse haben die Blätter einen Gesamtverlust

¹⁾ Compt. rend. 118. 104—112; Ann. chim. phys. [7] 2. 326—339.

von 25.1 Proc. erlitten, von welchem nicht ganz die Hälfte auf den Kohlenstoff entfällt. Von diesem ist etwa die Hälfte als Kohlensäure, die andere Hälfte in Form unbestimmter, flüchtiger Verbindungen entwichen, welche in Schwefelsäure löslich waren. Der Stickstoff- und Aschengehalt erwies sich vor und nach dem Trocknen als unverändert. Das Verhältniß vom ausgetretenen Wasserstoff zum Sauerstoff zeigte, daß beide Elemente als Wasser entwichen sind, ferner, daß der zur Bildung der Kohlensäure verwendete Sauerstoff fast ganz der Luft entstammt, und somit die Kohlensäure nicht durch anaerobe Fermente, wie bei der alkoholischen Gährung, erzeugt worden ist. Werden die für Kohlenstoff, Stickstoff, Wasserstoff und Sauerstoff bei der Analyse erhaltenen Zahlen auf aschefreie Substanz umgerechnet, so ergibt sich, daß sowohl die ursprüngliche Blattsubstanz, auf wasserfreie Substanz berechnet, als auch die Trockensubstanz einem Kohlehydrat von der angenäherten Formel $C_6H_{10}O_5$ entsprechen. Wird der Stickstoff als Ammoniak in Rechnung gestellt, so würden in der ursprünglichen Blattsubstanz auf $12C_6H_{10}O_5$, $3NH_3$ kommen. Ferner würden beim Trocknen der Blätter $3C_6H_{10}O_5$ zerstört, so daß die Trockensubstanz der Zusammensetzung $9C_6H_{10}O_5 + 3NH_3$ entspräche. 6. *Versuchsreihe.* Die Blätter des Haselstrauches worden in einer mit Feuchtigkeit gesättigten Atmosphäre aufbewahrt, und dreieinhalb Monate hindurch alle zwei bis drei Tage der absorbierte Sauerstoff und die Kohlensäure bestimmt. Bei diesen Versuchen tritt der Einfluß der Zellthätigkeit und der Pilzwirkungen hervor. In der ersten Woche blieb das Volumenverhältniß zwischen absorbiertem Sauerstoff und entwickelter Kohlensäure annähernd gleich 1. Später wurde Sauerstoff ohne Entwicklung von Kohlensäure aufgenommen, ein Stadium, in welchem die Reactionen im Blattinnern ihr Ende erreicht zu haben scheinen. Dann wiederholen sich beide Erscheinungen unter dem Einfluß von Schimmelbildung, wobei die Sauerstoffabsorption die Kohlensäurebildung überwiegt. Nach dreieinhalb Monaten war eine Abschwächung der Reactionen noch nicht bemerkbar; gleichwohl wurde der Versuch abgebrochen und das Versuchsmaterial erst im Vacuum, dann bei 110° getrocknet, darauf gewogen und der Elementaranalyse unterworfen. Das Gewicht der abgegebenen Kohlensäure betrug 41 Proc. der Blattsubstanz und 23.5 Proc. des darin enthaltenen Kohlenstoffs; die absorbierte Sauerstoffmenge machte 70.3 Proc. der ursprünglichen Substanz aus. Im Uebrigen wurden ähnliche Ergebnisse, wie bei dem vorigen Versuche, beobachtet, namentlich was die Constanz

des Stickstoffgehaltes anlangt. Die Beständigkeit der stickstoffhaltigen Verbindungen der Blätter unter den Versuchsbedingungen ist bemerkenswerth. Werden wiederum die Analyseergebnisse auf aschenfreie Substanz umgerechnet und der Stickstoff als Ammoniak in Ansatz gebracht, so lassen sich die atomistischen Beziehungen der Ausgangs- wie der Endsubstanz durch folgende summarische Formulierung ausdrücken: $C_{4.3}(H_2O)_{2.5}H_{1.6} + (NH_3)_{0.19}$, $C_{4.4}(H_2O)_{2.5}H_{0.2} + (NH_3)_{0.27}$. Wenn auch die elementare Zusammensetzung des Haselstrauch- und des Sedumblattes nicht dieselbe ist, so geht doch aus der Untersuchung die gleiche fundamentale Thatsache hervor, daß unter den Versuchsbedingungen die Oxydation sich durch den vollständigen Zerfall einer Anzahl von Glycosemolekülen äußert, welche zu Wasser und Kohlensäure verbrannt werden. Zum Schluss wird eine Berechnung der bei den letzten Versuche durch die Oxydation entwickelten Wärmemenge angestellt, wonach dieselbe hinreichend gewesen wäre, das Versuchsmaterial täglich um 8° zu erwärmen, wenn diese Wärme nicht durch Strahlung, Leitung u. s. f. zerstreut worden wäre. Kj.

P. Villard. Ueber Kohlensäurehydrat und die Zusammensetzung der Hydrate von Gasen¹⁾. — Das Kohlensäurehydrat zeigt mit dem Hydrate des Stickoxyduls hinsichtlich der Bildung, der Eigenschaften und der Zersetzung große Aehnlichkeit. Die Bildung beider Hydrate ist von Erscheinungen begleitet, welche an die Ueberschmelzung erinnern und dieser Körperklasse eigenthümlich zu sein scheinen. Die Ueberschmelzung gelingt leicht in sehr sauberen Röhren und mit staubfreiem Wasser bis zu -9° . Durch Zufügen eines Krystalles oder durch Schütteln mit festen Körpern z. B. einigen Stückchen Platin, wird der Zustand aufgehoben. Beide Gase verbinden sich nicht mit Eis. Beide Hydrate haben dieselbe Krystallform, dieselbe Zusammensetzung $(CO_2 \cdot 6H_2O)$ und $(N_2O \cdot 6H_2O)$, dieselben Bildungswärmen, $15,0$ cal., und wirken nicht auf das polarisirte Licht ein. Diese Uebereinstimmung der Zusammensetzung ist nach Verfasser nicht vereinzelt, sondern der Ausdruck einer allgemeinen Gesetzmäßigkeit der Gashydrate, mit Ausnahme derjenigen der Halogenwasserstoffe, welche mit Wasser mehrere Verbindungen bilden können. Er hat daher die Hydrate der schwefligen Säure und des Chlormethyls genau analysirt und gefunden, daß sie gleichfalls der allgemeinen Formel $M \cdot 6H_2O$ entsprechen und somit die Zusammensetzung $SO_2 \cdot 6H_2O$ und $CH_3Cl \cdot 6H_2O$ besitzen. Wenn von früheren Forschern für den

¹⁾ Compt. rend. 119, 368—371.

Wassergehalt der Hydrate höhere Zahlen gefunden wurden, so lag dies nach Verfasser daran, daß die analysirten Krystalle nicht vollkommen genug getrocknet waren. Auch das *Hydrat des Chlors* hat Verfasser im Gegensatz zu den Angaben von Roozeboom ohne Wirkung auf das polarisirte Licht gefunden.

Kp.

H. Arctowsky. Ueber einige Eigenschaften des Schwefelkohlenstoffs¹⁾. — Verfasser hat festgestellt, daß die Mercurihalogenide sich in Schwefelkohlenstoff bis zu einem gewissen Betrage zu lösen vermögen. Bei 8° waren in 100 Thln. der gesättigten Lösung 0,031 g HgCl_2 , 0,122 g HgBr_2 und 0,247 g HgJ_2 gelöst. Verfasser hat ferner festgestellt, daß die größte Mehrzahl der Salze in CS_2 unlöslich ist. Etwas löslich ist FeCl_3 , $\text{Hg}(\text{NO}_3)_2$ in der Wärme in beträchtlichen Mengen, $\text{Pb}(\text{NO}_3)_2$ auch bei Temperatursteigerung sehr wenig. Die Reinigung des Schwefelkohlenstoffs geschah durch Schütteln des käuflichen Productes mit Quecksilber mit nachfolgender langsamer Destillation. Ein so dargestelltes Präparat zeigte den von Regnault gefundenen Siedepunkt von 46,27°. Die Flüssigkeit besitzt nach der Destillation einen ätherischen, keineswegs unangenehmen Geruch. Der reine Schwefelkohlenstoff zersetzt sich leicht, so durch Sonnenlicht, durch feuchte Luft und durch Temperaturerhöhung, wobei der widerliche Geruch zurückkehrt.

Mr.

K. B. Lehmann. Experimentelle Studien über den Einfluß technisch und hygienisch wichtiger Gase und Dämpfe auf den Organismus. VII. Schwefelkohlenstoff und Chlorschwefel²⁾. — Versuche bei Menschen und Thieren ergaben, daß der Organismus 0,5 bis 0,7 mg Schwefelkohlenstoff pro Liter in der Atmosphäre noch gut verträgt. Es werden dann die Störungen beschrieben, die größere Mengen im Organismus hervorrufen. Schon ein- bis anderthalbstündiger Aufenthalt in einer Luft, die 6 bis 10 mg pro Liter enthält, verursacht ernste Erscheinungen, die auch eine schwere und längere Nachwirkung hervorrufen. Die Handelsorten von Schwefelkohlenstoff erwiesen sich bis auf eine frei von Schwefelwasserstoff. Letzterer ist nicht annähernd so giftig, wie Sapellier sich denkt, auch sind die Vergiftungserscheinungen bei beiden Körpern sehr verschieden von einander. Der Zusatz von Chlorschwefel zu Schwefelkohlenstoff drückt die Giftigkeit keineswegs herab.

Mr.

¹⁾ Zeitschr. anorg. Chem. 6, 256—259. — ²⁾ Arch. Hyg. 20, 26—77. Chem. Zeit. 65, 1. 7—4.

Silicium, Titan.

Henri Moissan. Ueber die Einwirkung des elektrischen Bogens auf Diamant, amorphes Bor und krystallisirtes Silicium¹⁾. — Die Abhandlung stimmt in ihrem Inhalte mit einer gleichbetitelten Abhandlung überein, welche Verfasser im vorigen Jahre in den *Compt. rend.* veröffentlicht hat²⁾. Kp.

Henri Moissan. Darstellung und Eigenschaften des krystallisirten Siliciumcarbids³⁾. — Unter derselben Ueberschrift hat Verfasser im vorigen Jahre eine inhaltlich gleiche Abhandlung in den *Compt. rend.* veröffentlicht⁴⁾. Kp.

E. C. Acheson. Darstellung einer krystallinischen Kohlenstoffsiliciumverbindung⁵⁾. — Kohlenstoffhaltiges Material (Koks) wird mit Kieselsäure oder einem Silicat (von Thonerde, Kalk) vermischt und, zweckmäßig unter Zusatz eines Flufsmittels, in einem elektrischen Ofen auf hohe Temperatur durch den elektrischen Strom erhitzt. Zur Erleichterung der Reaction empfiehlt es sich, zwischen den in das Gemisch eingebetteten Polspaten einen Graphitkern zu bringen, so dafs der Widerstand verringert wird. Das vom Erfinder Carborund genannte Product zeichnet sich durch seine Härte aus; anscheinend entspricht es der Formel SiC . Op.

R. Volkmann. Carborundum⁶⁾. — Die erste Anregung zu den Versuchen, die zur Auffindung des Carborundums führten, gingen von Edison aus; dieser wollte Kohlenstoff zum Krystallisiren bringen. Die hierauf bezüglichen Versuche wurden von E. C. Acheson ausgeführt, der über dieselben in einem Vortrag im Philadelphiaer Franklin-Institut etwa das Folgende berichtete. Es sollte versucht werden, Kohlenstoff in kieselsaurer Thonerde zu lösen, die mittelst des elektrischen Stromes geschmolzen war, und dann sollte die Krystallisation desselben durch Abkühlen der Masse bis zum Erstarren bewirkt werden. Zuerst wurden Mischungen von Kohle und Thonerde elektrisch geschmolzen, wobei kleine, sehr harte Kryställchen resultirten, die nicht untersucht wurden, für die man aber eine Zusammensetzung aus Kohle und Thonerde annahm und ihnen deshalb den Namen Carborundum ertheilte. Es stellte sich dann heraus, dafs bei der Bildung dieser

¹⁾ Bull. soc. chim. [3] 11, 993—995. — ²⁾ Vgl. JB. f. 1893, S. 296—297. — ³⁾ Bull. soc. chim. [3] 11, 995—998. — ⁴⁾ Vgl. JB. f. 1893, S. 397—398. — ⁵⁾ D. R.-P. Nr. 76629. — ⁶⁾ Oesterr. Zeitschr. Berg- u. Hüttenw. 42, 115—118.

Krystalle die Kieselsäure eine wichtige Rolle spielt und dem entsprechend arbeitete man zunächst mit einer Mischung von 40 Proc. Kohle, 40 Proc. Kieselsäure und 20 Proc. Natriumchlorid; später verwendete man 20 Thle. Kohle, 25 Thle. Sand und 10 Thle. Salz. Das Material wurde in einen parallelepipedischen Ofen aus feuerfestem Material eingestampft; an zwei Seiten waren an dem Ofen die Kohleelektroden angebracht, die durch einen aus grobkörniger Kohle bestehenden Kern verbunden waren, der zur dauernden Sicherung des Stromdurchganges diente. — Sobald in diesem Ofen der elektrische Strom auf das Material eine Zeit lang eingewirkt hatte, schlug aus der oberen Decke Kohlenoxydgas heraus, welches angezündet wurde; später traten Dämpfe von Natriumchlorid aus. — Nach Beendigung des Versuches hatten sich in der Materialschicht um den Kohlenkern verschiedene concentrische Schichten gebildet, die verschiedene Zusammensetzung zeigten. Zunächst dem Kern liegt eine schwarzglänzende Masse, eine Mischung von Kohle und Carborund; die Analyse ergab: $\text{Si} = 68,26 \text{ Proc.}$; $\text{C} = 30,49 \text{ Proc.}$; $\text{Fe}_2\text{O}_3 = 0,77 \text{ Proc.}$; $\text{CaO} = 0,48 \text{ Proc.}$. — Um diese Schicht lagert sich — als Hauptproduct — das eigentliche Carborundum in hellgrünen Krystallen von der Zusammensetzung: $\text{Si} = 62,70 \text{ Proc.}$; $\text{C} = 36,26 \text{ Proc.}$; $\text{Al}_2\text{O}_3 + \text{Fe}_2\text{O}_3 = 0,93 \text{ Proc.}$; $\text{MgO} = 0,11 \text{ Proc.}$. Nach der Behandlung mit Salzsäure und Natronlauge und nach dem Glühen im Sauerstoffstrome ergab die Analyse dieses Productes folgende Werthe: $\text{Si} = 69,0 \text{ Proc.}$; $\text{C} = 30,20 \text{ Proc.}$; $\text{Al}_2\text{O}_3 + \text{Fe}_2\text{O}_3 = 0,49 \text{ Proc.}$; $\text{CaO} = 0,15 \text{ Proc.}$. Concentrisch um die Carborundumschicht findet sich noch eine weisse oder graugrünliche, weiche, amorphe Masse, die nach der gleichen Behandlung, wie sie die Carborundumkrystalle erfahren hatten, folgende Zusammensetzung zeigte: $\text{Si} = 65,42 \text{ Proc.}$; $\text{C} = 27,93 \text{ Proc.}$; $\text{Fe}_2\text{O}_3 + \text{Al}_2\text{O}_3 = 5,09 \text{ Proc.}$; $\text{CaO} = 0,33 \text{ Proc.}$; $\text{MgO} = 0,21 \text{ Proc.}$. Das Carborundum wird von keiner Säure angegriffen; dagegen wird es beim Schmelzen mit Natriumcarbonat zersetzt. — Bei der Fabrikation des Carborundums werden Öfen angewendet, die den beschriebenen Versuchsofen ähnlich sind. Jeder derselben — fünf waren zur Zeit in Betrieb — producirt pro Tag 100 Pfund Carborundum. Der Ofen wird nach jeder Benutzung abgebrochen. — Die gewonnene Carborundummasse wird unter Wasserzuführung von einem Kollergang zerkleinert, um sie verkaufsfähig zu machen; zur Extraction des noch vorhandenen Eisens wird sie sieben Tage lang mit verdünnter Schwefelsäure behandelt. — An diese Ausführungen von R. Volkmann schließt die Redaction der Oesterr.

Zeitschr. Berg- u. Hüttenw. einige Bemerkungen. Zunächst wird auf die Arbeit von O. Mühlhäuser¹⁾ über die Carbide des Siliciums verwiesen, besonders auf die Analyse dieser Körper. — Sodann wird ein Bericht von Fray abgedruckt, der Versuche ausgeführt hat über die Verwendbarkeit des Carborunds als Schleifmittel. Nach diesem Bericht übertrifft das Material an Härte und Schneidekraft bei Weitem den besten Naxoscorundschmirgel; es zeigt eine außerordentlich geringe Abnutzung und auch sonst sind seine Eigenschaften vorzüglich. Um es allgemein in die Technik einzuführen, müßte sein Preis aber so niedrig sein, daß es mit dem Schmirgel concurriren könnte. Kp.

L. Gattermann und K. Weinlig. Zur Kenntniss der Siliciumverbindungen²⁾. — Bei der Darstellung von Siliciumtetrachlorid und Siliciumchloroform hängt die Ausbeute an diesen beiden Substanzen, wie der eine der Verfasser in seiner ersten Mittheilung³⁾ schon angegeben hat, wesentlich von der Temperatur ab. Um diese möglichst genau zu bestimmen und inne zu halten, bedienen sich Verfasser zur Darstellung der genannten Verbindungen jetzt eines sogenannten Bombenofens. An diesen haben sie eine Verbesserung angebracht, dergestalt, daß die — in drei mit einander verbundenen und mit zahlreichen, kleinen Oeffnungen zum Austritt des Heizgases versehenen, eisernen Röhren angeordnete — Heizvorrichtung vermittelst eines Triebes hoch und niedrig verstellbar ist. Der Vortheil dieser Verbesserung liegt in dem bedeutend geringeren Gasverbrauch dieser Oefen gegenüber den alten Modellen, sowie in der Möglichkeit einer genaueren Regulirung der Temperatur. — Zur Darstellung von Siliciumtetrachlorid wurde wie früher verfahren; nur wurde die Glasröhre, welche das Reaktionsgemisch enthielt, in einem beiderseitig offenen, eisernen Rohre in dem soeben beschriebenen Bombenofen erhitzt. Die beste Ausbeute wird bei einer Temperatur von 300 bis 310° erzielt; sie beträgt bis zu 3 Thln. rohes Chlorsilicium auf 1 Thl. Magnesium. An Siliciumchloroform war die Ausbeute bei einer Temperatur von 450 bis 500° am besten. — Siliciumhexachlorid. Bei der fractionirten Destillation des rohen Chlorsiliciums hinterbleibt, nachdem das bei 57° siedende Tetrachlorid übergegangen ist, ein Rückstand, aus welchem durch weitere Destillation eine bei 145 bis 146° siedende Fraction gewonnen wird. Diese stellt das Siliciumhexachlorid, Si_2Cl_6 , dar.

¹⁾ JB. f. 1893, S. 398. — ²⁾ Ber. 27, 1943–1948. — ³⁾ Ber. 22, 180. JB. f. 1889, S. 432 ff.

welches bereits von Troost und Hautefeuille durch Einwirkung von Siliciumtetrachlorid auf geschmolzenes Silicium, von Friedel durch Einwirkung von Quecksilberchlorid auf Siliciumhexajodid, Si_6J_6 , erhalten worden ist. Die Ausbeute beträgt 10g aus 50g rohem Chlorsilicium, so daß nunmehr der Körper zu einem verhältnißmäßig leicht zugänglichen geworden ist. Die Substanz erstarrt in einer Kältemischung zu großen Krystallblättern, welche den Angaben Friedel's entsprechend bei -1° schmelzen. Durch verdünntes Ammoniak wird sie unter Wasserstoffentwicklung und Bildung von gallertiger Kieselsäure zersetzt. Mit Chlorbenzol und Natrium entsteht nicht Siliciumhexaphenyl, sondern das bei 231° schmelzende Siliciumtetraphenyl. Da sich dieses auch aus Siliciumchloroform bildet, so scheint hinsichtlich der Leichtigkeit und der Neigung zur Bildung eine gewisse Analogie zwischen Siliciumtetraphenyl und Triphenylmethan zu bestehen. — *Silicooxalsäure*. Diese Säure ist bereits von Friedel und Ladenburg durch Zersetzung des Hexajodids mit Wasser in nicht völlig reinem Zustande erhalten worden. Verfasser stellten ein Präparat dar, welches 97 Proc. der Säure enthielt, indem sie das Hexachlorid in einer mit Eis gekühlten Platinschale der Luftfeuchtigkeit aussetzten und die entstandene feste, weiße Masse entweder durch Stehen über Kalk oder durch Waschen mit Wasser und Trocknen im Vacuum von Salzsäure befreiten. Die Zusammensetzung der Substanz $(\text{HOOSi} \cdot \text{SiOOH})_x$ wurde durch Bestimmung des beim Erwärmen mit Kali frei werdenden Wasserstoffs erschlossen. Die Säure ist ziemlich explosiv; beim Erhitzen auf einem Platinblech oder im Reagenzrohr, ebenso beim Kratzen mit einem eisernen Gegenstande verpufft sie unter lebhafter Feuererscheinung. — *Siliciumoctochlorid*. Dieses Chlorid ist gleichfalls in dem rohen Chlorsilicium enthalten und siedet bei 210 bis 215° . Analyse und Dampfdichtebestimmung nach Victor Meyer in einer Wasserstoffatmosphäre führten zur Formel Si_7Cl_8 . Das Octochlorid ist bei -12° noch flüssig; durch Wasser wird es in eine in Wasser unlösliche, durch bedeutendes Reduktionsvermögen ausgezeichnete Säure verwandelt, welche Verfasser für die *Silicomesoxalsäure*, $(\text{HOOSi} \cdot \text{SiO} \cdot \text{SiOOH})_x$, halten. Dieselbe explodirt in trockenem Zustande noch energischer als die Silicooxalsäure und zersetzt sich beim Reiben mit einem harten Gegenstande schon in feuchtem Zustande. Für die Siliciumchloride wurden folgende Brechungsindices für rothes Licht gefunden $\text{SiCl}_4 = 1,404$, $\text{Si}_2\text{Cl}_6 = 1,45$, $\text{Si}_3\text{Cl}_8 = 1,52$. Kp.

F. J. Wiik. Ueber eine krystallochemische Theorie der

Silicate¹⁾. — Der Inhalt der vorliegenden, sehr umfangreichen Arbeit — besonders der chemische Theil — ist vielfach so speculativer Natur, daß er sich einer referirenden Wiedergabe durchaus entzieht. Es handelt sich um einen Versuch, den Zusammenhang zu finden zwischen den Eigenschaften der Silicate und der sie aufbauenden chemischen Elemente; für die letzteren stellt der Verfasser ein besonderes „trialistisches“ Schema auf. Bezüglich der zahlreichen Details muß auf das Original verwiesen werden. Kpl.

S. L. Penfield und J. C. Minor jun. Ueber die Zusammensetzung des Topas und deren Beziehung zu seinen physikalischen Eigenschaften²⁾. — Um den starken Wechsel im Gehalte der Topase an Fluor zu erklären, nehmen die Verfasser an, daß eine Ersetzung des Fluors durch Hydroxyl möglich sei. Die generelle Constitution der Topase wäre demnach durch die Formel $[\text{AlF}(\text{OH})]_2\text{SiO}_4$ ausgedrückt. Zur Prüfung dieser Annahme wurde eine Reihe von Topasen analysirt, und zwar von Stoneham in Maine; Pike's Peak, Colorado; Nathrop, Colorado; Utah; San Luis Potosi, Mexico; Schneckenstein, Sachsen; Zacatecas, Mexico; Aduntschilon, Sibirien; Tenagari, Mino, Japan und Minas Geraes, Brasilien. Besonderes Gewicht wurde naturgemäß auf die Bestimmung des Fluors (nach Berzelius) und des Wassers (Schmelzen mit trockenem Natriumcarbonat) gelegt. Aus den Analysen ergab sich thatsächlich, daß in den Topasen das Atomverhältnis $\text{SiO}_2:\text{Al}_2\text{O}_3:(\text{F} + \text{OH}) = 1:1:2$ ist, wie es der angegebenen Formel entspricht.

	Wasser- gehalt Proc.	Fluor- gehalt Proc.	Spec. Gewicht	2 F gelb
Zacatecas, Mexico . . .	0,18	—	3,574	126° 24'
Thomas Range, Utah . .	0,19	20,37	3,565	125° 53'
Nathrop, Colorado . . .	0,29	20,42	3,567	125° 51'
Pike's Peak, Colorado . .	0,48	—	3,567	122° 42'
Tenagari, Japan	0,57	19,50	3,565	120° 59'
Aduntschilon, Sibirien .	0,58	19,24	3,562	118° 46'
San Luis, Mexico	0,80	19,53	3,575	118° 17'
Schneckenstein, Sachsen .	0,93	18,50	3,555	114° 28'
Stoneham, Maine	0,98	18,56	3,560	113° 50'
Minas Geraes, Mexico .	2,45	15,48	3,532	84° 28'

¹⁾ Zeitschr. Kryst. 23, 379—450. — ²⁾ Daselbst, S. 321—329.

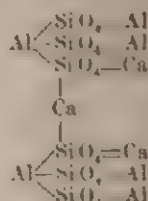
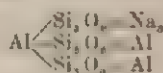
Mit dem Ersatz des Fluors durch Hydroxyl ändern sich auch die physikalischen Eigenschaften des Minerals, und zwar nimmt das spezifische Gewicht ab mit zunehmendem Hydroxylgehalt und ebenso die Gröfse des scheinbaren Winkels der optischen Axen (2 E), wie die nebenstehende Tabelle zeigt. — Die Brechungsindices nehmen mit steigendem Hydroxylgehalte zu, während die Stärke der Doppelbrechung abnimmt; ebenfalls die krystallographischen Axenverhältnisse werden durch die chemische Zusammensetzung beeinflusst. — Zum Schluss wird noch über einige optische Anomalien an Topasen berichtet und ein Vergleich dieses Minerals mit dem Herderit gezogen. *Kpl.*

C. Friedel. Ueber die Zusammensetzung des Apophyllits¹⁾. — Verfasser hat eine Anzahl Proben von *Apophyllit* auf ihren Gehalt an Fluor geprüft und gefunden, dafs das Wasser, welches beim Erhitzen des Minerals entsteht, auf Lackmus nicht sauer, wie zu erwarten gewesen wäre, sondern alkalisch reagirte und bei näherer Prüfung einen Gehalt an Ammoniak aufwies. Dieses konnte in der Folge in Apophylliten von den verschiedensten Fundorten, so von Bou Serdoun (Algier), Andreasberg, Guanajuato (Mexico), Grönland, Neu-Schottland, Utö (Schweden) nachgewiesen werden: nur der schöne Apophyllit von Poona in Indien reagirte nach dem Erhitzen nur äufserst schwach alkalisch. Beim Erhitzen der Apophyllite für sich wird nicht die ganze Menge des Ammoniaks entbunden; der Rückstand liefert vielmehr beim Schmelzen mit Soda neue Mengen des Gases. Am besten wird das fein gepulverte Mineral mit verdünnter Schwefelsäure aufgeschlossen. In den einzelnen Proben wurden so 0,3 bis 0,5 Proc. Ammoniak gefunden. Bei weiteren Versuchen, das Fluor in den Apophylliten als Fluorsilicium nachzuweisen, kam Verfasser eben so wenig zu positiven Ergebnissen; so vermochte er das Element weder in dem Mineral von Bou Serdoun, noch in dem von den Faroer Inseln, von Utö und von Andreasberg nachzuweisen, im Gegensatz zu den Befunden von Berzelius und Rammelsberg, nach denen in den Apophylliten von Utö und Andreasberg Fluor enthalten ist. Verfasser ist jedoch der Ansicht, dafs durch keine der von diesen Forschern angewandten Untersuchungsmethoden mit unbedingter Sicherheit die Gegenwart des Fluors habe nachgewiesen werden können. Was die Formel des Apophyllits anlangt, so führten die Analysen zwar hinsichtlich der Kieselsäure, des Calciums und des Kaliums zu übereinstimmenden

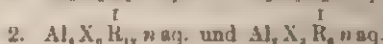
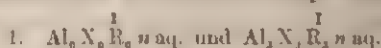
¹⁾ Compt. rend. 118, 1232—1237.

Werthen, diese selbst jedoch nicht zu einer annehmbaren einfachen Formel. Kp

F. W. Clarke. Die Constitution der Zeolithe ¹⁾. — Versuch einer Systematik der Zeolithe auf Grund ihrer Verwandtschaft mit den Feldspathen, jedoch mit der Einschränkung, dass nicht alle Zeolithe aus Feldspath entstanden, und bestimmte Glieder dieser Gruppe Verbindungen von ganz anderem Typus sind. Die complicirt zusammengesetzten Aluminiumsilicate werden als Substitutionsproducte der normalen Salze $Al_2(SiO_4)_n$, $Al_2(Si_2O_7)_n$ etc. betrachtet, in denen die Säureradicalc SiO_4 und Si_2O_7 einander vertreten können. So entstehen für Albit und Anorthit die Constitutionsformeln:



Unter der oben gemachten Annahme der gegenseitigen Vertretbarkeit von SiO_4 und Si_2O_7 können aus diesen beiden Ausdrücken die Formeln einer Reihe von Zeolithen abgeleitet werden, und man gelangt, wenn vorübergehend das in den Zeolithen enthaltene Wasser lediglich als Krystallisationswasser betrachtet wird, zu folgenden zwei allgemeinen Formeln, denen zwei größere Gruppen der betrachteten Mineralien entsprechen.



In diesen ist $X = SiO_4$ oder Si_2O_7 , und $R = Ca$; jedoch kann Ca durch Ba , Sr , K , und besonders häufig durch Na , vertreten sein. Zu der ersten Gruppe der Zeolithe, welche durch das Verhältniss $Al:X = 6:6$ oder $3:3$ charakterisirt ist, gehören *Thomsonit*, $Al_6(SiO_4)_6 Ca_6 \cdot 7 H_2O$. Wird berücksichtigt, dass vier Siebentel des Wassers als Constitutionswasser vorhanden ist, was dargestellt wird durch Ersetzen von Al durch $Al-(OH)_2 H_2$, so ergibt sich die Formel $Al_4(SiO_4)_6 Ca_2 (AlO_2 H_2)_2 H_4 \cdot 3 H_2O$. *Gismondit*, wahrscheinlich $Al_6(SiO_4)_6 Ca_3 \cdot 12 H_2O = Al_2(SiO_4)_6 Ca_4 (AlO_2 H_2)_4 H_4 \cdot 4 H_2O$. *Edingtonit*, wahrscheinlich $Al_6 X_6 Ba_3 \cdot 12 H_2O$; $X = \frac{3}{4} SiO_4$ und $\frac{1}{4} Si_2O_7$. *Philipsit*, $Al_6 X_6 Ca R_6 \cdot 15 H_2O$; $R = Na$ oder K . *Har-*

¹⁾ Zeitschr. anorg. Chem. 7. 267—274; Sill. Amer. J. [3] 48, 187—193.

notom, $\text{Al}_2\text{X}_6\text{Ba}_2 \cdot 15\text{H}_2\text{O}$; $\text{Si}_3\text{O}_8:\text{SiO}_4 = 1:1$. *Lewynit*, $\text{Al}_2\text{X}_6\text{Ca}_2 \cdot 15\text{H}_2\text{O}$; $\text{SiO}_4:\text{Si}_3\text{O}_8 = 3:2$. *Chabasit*. Derselbe steht zwischen $\text{Al}_2\text{X}_6\text{Ca}_2 \cdot 18\text{H}_2\text{O}$ und $\text{Al}_2\text{X}_6\text{Na}_2 \cdot 9\text{H}_2\text{O}$; $\text{SiO}_4:\text{Si}_3\text{O}_8 = 1:1$. Unter Berücksichtigung des Constitutionswassers ergeben sich die Formeln: $\text{Al}_2\text{X}_6\text{Ca}_2\text{H}_4(\text{AlO}_2\text{H}_2)_2 \cdot 14\text{H}_2\text{O}$ und $\text{Al}_2\text{X}_6\text{Na}_2\text{H}_2(\text{AlO}_2\text{H}_2) \cdot 7\text{H}_2\text{O}$. *Gmelinit*, $\text{Al}_2\text{X}_6\text{Na}_2 \cdot 9\text{H}_2\text{O}$; $\text{SiO}_4:\text{Si}_3\text{O}_8 = 1:2$. *Hydro-nephrit*, $\text{Al}_3(\text{SiO}_4)_3\text{Na}_2\text{H} \cdot 3\text{H}_2\text{O}$, und *Offretit*, $2\text{Al}_3(\text{Si}_3\text{O}_8)_1\text{K}_2 \cdot 8\text{H}_2\text{O} + \text{Al}_3(\text{SiO}_4)_2\text{CaH} \cdot 8\text{H}_2\text{O}$. Zu der zweiten Gruppe der Zeolithe, welche durch das Verhältniß $\text{Al}:\text{X} = 4:6$ oder $2:3$ definiert ist, gehören: *Foresit*, $\text{Al}_4(\text{SiO}_4)_6\text{CaH}_{10} \cdot \text{H}_2\text{O}$. *Skolezit*, $\text{Al}_4(\text{SiO}_4)_6\text{Ca}_2\text{H}_4 \cdot 2\text{H}_2\text{O}$. *Laumontit*, $\text{Al}_4\text{X}_6\text{Ca}_2\text{H}_4 \cdot 4\text{H}_2\text{O}$; $\text{SiO}_4:\text{Si}_3\text{O}_8 = 5:1$. *Heulandit*, $\text{Al}_4\text{X}_6\text{Ca}_2\text{H}_4 \cdot 6\text{H}_2\text{O}$; $\text{SiO}_4:\text{Si}_3\text{O}_8 = 1:1$. *Breusterit*, wie Heulandit, jedoch Calcium durch Baryum und Strontium ersetzt. *Epistilbit*, isomer mit Heulandit, jedoch ist ein Theil des Wassers wahrscheinlich Constitutionswasser. *Stilbit*, $\text{Al}_4\text{X}_6\text{Ca}_2\text{H}_4 \cdot 8\text{H}_2\text{O}$; $\text{SiO}_4:\text{Si}_3\text{O}_8 = 1:1$. *Faujasit*, wahrscheinlich $\text{Al}_4\text{X}_6\text{Na}_2\text{CaH}_4 \cdot 15\text{H}_2\text{O}$; $\text{SiO}_4:\text{Si}_3\text{O}_8 = 2:1$. *Natrolith*, $\text{Al}_2(\text{SiO}_4)_4\text{Na}_2\text{H}_4$. Die aufgeführten Zeolithvarietäten unterscheiden sich hauptsächlich durch ihren Wassergehalt; wird das Wasser theilweise als Constitutionswasser betrachtet, so müssen mehrere Glieder der ersten Reihe in die zweite versetzt werden. Mehrere Arten, wie der Thomsonit, Chabasit, Skolezit, Laumontit, und unter Umständen auch Stilbit, liefern beim Schmelzen Anorthit, woraus der Zusammenhang mit den Feldspathen hervorgeht. Im Gegensatz zu diesen Zeolithen, welche als die normalen bezeichnet werden können, leiten sich die folgenden Arten von einem anderen Typus ab. *Ptilolith*, $\text{Al}_2(\text{Si}_2\text{O}_5)_2\text{CaH}_2 \cdot 6\text{H}_2\text{O}$, *Mordenit*, $\text{Al}_2(\text{Si}_2\text{O}_5)_2\text{R}_2\text{H}_2 \cdot 6\text{H}_2\text{O}$ und *Laubanit*, $\text{Al}_2(\text{SiO}_3)_6\text{Ca}_2 \cdot 6\text{H}_2\text{O}$, erweisen sich unter einander verwandt. Die Formel des *Analcims* steht noch nicht hinlänglich fest. Da sich *Leucit* und *Analcim* durch Einwirkung von Alkalilösungen in einander umwandeln lassen, so gehören sie anscheinend dem gleichen Typus an. Die Formel des Leucits ist demgemäfs $\text{Al}(\text{SiO}_3)_3\text{K}$ und die des Analcims $\text{Al}(\text{SiO}_3)_3\text{Na} + \text{H}_2\text{O}$. Wahrscheinlich sind diese Formeln jedoch zu vervielfachen wegen des Ueberganges beider Mineralien in Feldspathe. Schließlich werden zuweilen noch zu den Zeolithen gerechnet, obwohl sie kein Aluminium enthalten, *Okenit*, $\text{Ca}_2(\text{Si}_2\text{O}_7)_2\text{CaH}_2(\text{H}_2)_2$, *Gyrolith*, $\text{Ca}_2(\text{Si}_2\text{O}_7)_2(\text{CaH}_2)_2\text{H}_2$, und *Apophyllit*, $\text{Ca}_2(\text{Si}_2\text{O}_7)_2(\text{CaOH})_2(\text{H}_2)_2$. Diese drei Mineralien sind ohne Zweifel verwandt, da sie in einander umgewandelt werden können. Vielleicht gehört auch der Plombierit in diese Gruppe. *Kp.*

F. Knapp. Der feurige Fluss und die Silicate ¹⁾. — Feine flüssige Silicate sind ausgezeichnete Lösungsmittel nicht nur für Silicate selbst, woraus sich die homogene Mischung der verschiedenen entstehenden Silicate herleitet, sondern auch für *Salze, Metallorgane, Metalle* und *Säuren*. Bei der Abkühlung erstarrt die Lösungen entweder als homogene Massen von gleicher Beschaffenheit, oder ein Theil des Gelösten scheidet sich ab, bald nur als Trübung, bald als ausgebildete Krystallisation. *Spongi-glas* enthält 2 bis 3 Proc. *Natriumsulfat*, welches mit Wasser nicht ausgezogen werden kann. Im Uebrigen gehört dieses Glas zu den in schmelzenden Silicaten schwerer löslichen Stoffen; ein Ueberschuss wird vom Schmelzfluss abgeschieden und bildet die „Glasgalle“ genannte Schlacke. *Calciumphosphat* spielt bei der Herstellung von Milchglas eine wesentliche Rolle. Satze von 12 bis 20 Proc. Beinasche liefern ein bei rascher Abkühlung blank erstarrendes Glas, welches sich aber beim Wiedererwärmen milchig trübt, „anläuft“. Wird das Erkalten sehr verzögert, so erhält man neben der Trübung Krystalle von secundärem Calciumphosphat. Ein geschmolzener Glassatz, welcher an sich schon 50 Proc. Kieselsäure enthielt, nahm noch 100 Proc. Kieselerde auf, wodurch die Schmelze zunehmend streng- und zähflüssiger, sowie fadenziehend wurde. Beim Abkühlen scheidet sich die überschüssig gelöste *Kieselsäure* wieder ab, theils milchglasartig fein vertheilt, theils strahlig krystallinisch, theils auch in regelmässigen, dem Tridymit ähnlichen Sechsecken. Bestand der ursprünglichen Glassatz aus Sand und alkalischen Carbonaten, so lässt sich die ausgeschiedene, krystallisirte Kieselsäure durch Aufschliessen mit Salzsäure isoliren. Auch *Zinnoxid* löst sich reichlich im Glasfluss auf; ein solcher mit 20 Proc. Zinnoxid giebt bei raschem Erkalten noch ein klares Glas, bei langsamem Abkühlen dagegen reichlich krystallinische Ausscheidungen in Gestalt langgestreckter, dünner Nadeln von reinem Zinnoxid, SnO_2 . Dieselben können durch Aufschliessen der Schmelze mit Flusssäure isolirt werden. *Thonerde* giebt erst Ausscheidungen, wenn ihr Gewicht das des ursprünglichen Satzes erreicht. Das erkaltete Glas erscheint als eine durchscheinende, wachsähnliche Masse. Unter dem Mikroskop gewahrt man zahlreiche, wohlausgebildete Krystalle. Dieselben sind von hohem Glanze, widerstehen der Flusssäure und verdünnten Mineralsäuren und erweisen sich als reine Thonerde. Die Schmelze enthielt 37,2 Proc. chemisch gebundene und 23 Proc.

¹⁾ Naturw. Rundsch. 9, 413—416.

als freie Krystalle abgeschiedene Thonerde. *Eisenoxyd* beginnt sich erst auszuschcheiden, wenn der Gehalt des Glasflusses 40 Proc. übersteigt. Die Schmelze ist von grauschwarzer Farbe und besitzt kein glasartiges, sondern mehr ein steiniges Aussehen von krystallinischem Bruch. In Dünnschliffen lassen sich zahllose undurchsichtige, gestreckte Krystalle von lebhaftem Glanz erkennen. Dieselben stellen, mittelst Flusssäure von der glasigen Grundmasse befreit, ein glimmerndes, stark vom Magneten angezogenes Pulver von *Eisenoxyduloxyd* dar. Wie das Eisen, so verhält sich auch das *Mangan*. Die undurchsichtigen, durch Aufschmelzen des Flusses mit Soda und nachherige Behandlung mit Schwefelsäure isolirten, braunrothen Krystalle sind *Manganoxyduloxyd*. Der zur Herstellung des Glases verwendete Pyrolusit geht nach Abgabe seines überschüssigen Sauerstoffs als Oxydul in das Glas ein. Satz zu weißem Glase, mit 2,5 Proc. *Bichromat* geschmolzen, giebt lediglich ein homogenes, grasgrünes Glas. Bei einem etwa 3 Proc. *Chromoxyd* entsprechenden Zusatze entsteht *Chromaventurin*. Die glänzenden, ungemein scharf ausgebildeten grasgrünen Krystalle lassen sich vermittelst Flusssäure rein gewinnen und bilden dann ein grünes Krystallmehl von *Chromoxyd*. Dieses Oxyd ist demnach in geringerem Grade löslich, als die Oxyde von Eisen und Mangan. Der Kalk übertrifft jedoch an Löslichkeit alle bisher angeführten Verbindungen. Selbst bei dem doppelten Gewichte Kalk bleibt die Schmelze bei rascher Abkühlung noch klar; bei langsamem Erkalten nimmt sie dagegen ein steiniges Aussehen an. Die nadelartigen Ausscheidungen lassen sich indessen nicht isoliren. Beim Zusammenschmelzen von weißem Glase mit *Kalium-* oder *Natriumpolysulfuret* entsteht ein homogenes Glas von tiefrother Farbe, welches unter Umständen beim Erkalten Krystalle abscheidet. Dasselbe Glas von braunrother Farbe wird beim Verschmelzen alkalireicher Gläser mit Schwefel erhalten, wenn der Gehalt an Kieselsäure nicht höher ist, als dem Verhältniß $2\text{SiO}_2 : 5\text{MO}$ entspricht. Geht der Gehalt der Kieselsäure über diesen Betrag hinaus, so bleiben die Gläser farblos. Die Reaction ist sehr empfindlich und die Grenze sehr scharf. Diese Beobachtungen deuten darauf hin, daß im Glase freie Alkalien gelöst enthalten sein können. Das Gold ist einer der in geschmolzenem Glase schwer löslichsten Körper und bedarf zu seiner Aufnahme in dem für die Glasfabrikation erforderlichen Maße der Weißgluth. Auch hierbei wird es von bleifreien Gläsern nur im Betrage von Zehntausendsteln, von bleihaltigen Gläsern zu Tausendsteln aufgenommen, ein Betrag,

welcher durch die außerordentliche Färbekraft des Metalls wieder ausgeglichen wird. Bei langsamer Kühlung scheidet sich das Gold aus gesättigter Lösung schwarz, aus schwachen Lösungen gelbroth („leberig, durchgegangen“) aus. Rasch abgekühlt bleibt das Glas, auch bei reichstem Goldgehalt, stets farblos durchsichtig, entwickelt aber dann beim Wiedererhitzen bis zur Erweichung die feurige Rubinfarbe (das „Anlaufen“). Beide Ausscheidungen, die schwarze wie die rothe, sind Niederschläge von metallischem Gold. Kp.

F. Knapp. Der feurige Fluß und die Silicate ¹⁾. — Beim Schmelzen von Glas mit *Kupferoxyd* und einem Reductionsmittel z. B. Eisenhammerschlag, geht das Kupfer bedeutend reichlicher in das Glas, als das Gold. Bei raschem Erkalten entsteht ein farbloses Glas, welches, wie das Goldglas, beim Wiedererwärmen blutroth anlauft („*Kupferrubin*“). Bei langsamer Abkühlung bilden sich, schon bei einem Gehalte von etwa 1 Proc. Kupfer im Glase, Ausscheidungen, welche bei höheren Kupfergehalten als mit bloßem Auge erkennbare, scharf ausgeprägte und meßbare octaedrische Krystalle erscheinen („*venetianischer Aventurin*“). Sind diese Krystalle mikroskopisch klein, so gewinnt das Glas das Aussehen eines opaken Körpers von hochrother Farbe und wird als *Hannatinnon* bezeichnet. Die mikroskopischen wie die makroskopischen Krystalle sind nach Farbe, Glanz, Form und Einwirkung auf Silbernitrat metallisches Kupfer. Bei der Einwirkung auf Silbernitrat geht Kupfer unter Abscheidung von Silber in Lösung. Ungemein energisch ist die Aufnahme des Silbers durch das Glas. Schon bei beginnender Rothgluth färbt sich dasselbe, wenn es mit Chlorsilber oder auch mit metallischem Silber bestrichen wird, gelb und bei wiederholter Behandlung, orange („*Lasur*“). Die zur satten gelben Farbe erforderlichen Mengen Silber sind sehr gering, entsprechend etwa 0,12 bis 0,18 Proc. des Glases. Da die Färbung durch Lasur jedoch nur eine oberflächliche ist und sich bei sechs Lasuren erst auf 0,55 mm erstreckt, so kommen auf die wirklich gefärbte Glasschicht etwa 2,5 Proc. Silber. Unter Umständen lassen sich in der Lasur mittelst des Mikroskops Krystalle entdecken. Ein Glassatz aus Sand mit Potasche und 40 bis 50 Proc. *Mennige*, mit entsprechenden Reductionsmitteln geschmolzen, giebt bei schnellem Abkühlen ein farbloses, bei nachträglichem Erhitzen stark schwarz anlaufendes Glas. Langsam erkaltet, giebt es eine schwarze Masse, welche mikroskopisch kleine, metallglänzende

¹⁾ Naturw. Rendsch. 9, 431—432.

Kürner einschließt. Die aufgeführten Beobachtungen lassen sich am besten auf physikalische Lösungsvorgänge zurückführen, welche in den Glasflüssen stattfinden. Dagegen erscheint die Erklärung der mitgetheilten Thatsachen durch rein chemische Vorgänge gezwungen und die Aufstellung von chemischen Formeln als Ausdruck der Constitution jener Schmelzproducte misslich. Als Ursache des Farbenwechsels beim Anwärmen der Gold- und Kupfergläser nimmt Verfasser an, daß die Metalle in den farblosen Gläsern als Atome, in den rothen Gläsern als Moleküle gelöst enthalten sind.

Kp.

T. W. Hogg. Das Vorkommen von Cyan-Stickstoff-Titan im Ferromangan¹⁾. — Zur Darstellung von Cyan-Stickstoff-Titan, welches neben Stickstofftitan und Kohlenstofftitan in den meisten Ferromanganen vorkommt, empfiehlt Verfasser größere Mengen des Metalls mit verdünnter kalter Salpetersäure zu behandeln, nach 24 stündiger Einwirkung den Rückstand abzufiltriren, zu waschen und zu trocknen. Das pulverisirte Product wird so lange vorsichtig geschlämmt, bis die kupferfarbigen Krystalle übrig bleiben. Es wurden so 0,032 Proc. der Substanz erhalten, welche stark metallisch glänzende, spiegelnde, das ganze Ferromangan durchsetzende Kryställchen bildet, von denen 50 000 auf 1 ccm kommen. Ihre Größe beträgt 0,003 bis 0,03 mm, das spec. Gew. 4,2 bis 5,1, der Titangehalt 60 bis 80 Proc.

B.

Zirkon, Thor, Zinn, Germanium.

Henri Moissan. Ueber die Verflüchtigung von Kieselsäure und Zirkonerde und über die Reduction dieser Verbindungen durch Kohlenstoff²⁾. — Eine inhaltlich gleiche Abhandlung hat Verfasser unter derselben Ueberschrift im vorigen Jahre in den Compt. rend. veröffentlicht³⁾.

Kp.

F. P. Venable. Studie über die Chloride des Zirkons⁴⁾. — Die Darstellung von reinem wasser- und salzsäurefreiem Zirkonchlorid bietet außerordentliche Schwierigkeiten, wie aus dem kritischen Bericht hervorgeht, der im ersten Theile der vorliegenden Arbeit über die zahlreichen, zum Theil ganz erfolglosen, zum Theil wenig befriedigenden Untersuchungen über das Zirkonchlorid gegeben wird. Da nun dieser Körper voraussichtlich ein geeignetes Material für die Atomgewichtsbestimmung des Zirkons ist, so

¹⁾ Stahl und Eisen 14, 1029. — ²⁾ Bull. soc. chim. [3] 11, 863–865.

³⁾ Vgl. JB. f. 1893, S. 201. — ⁴⁾ Amer. Chem. Soc. J. 16, 469–475.

nahm der Verfasser die Versuche zur Reindarstellung desselben wieder auf. Zur Verwendung gelangte ein aus Salzsäure krystallisirtes wasserhaltiges Zirkonchlorid. Ueber Chlorcalcium kann dieses nicht bis zur Gewichtsconstanz getrocknet werden, ebenso wenig über Natriumhydroxyd. Auch im trockenen Luftström giebt es dauernd Salzsäure ab und man erhält nur Oxychloride. Dagegen gelangt man zu dem wasserfreien Salz, wenn man das aus Salzsäure auskrystallisirte Product einmal mit Wasser abspült und dann über Schwefelsäure in einen Exsiccator stellt, der von Zeit zu Zeit evacuirt wird. Der erhaltene Körper löst sich vollkommen klar in Wasser. — Nachdem auf diese Weise die Möglichkeit dargethan war, zu wasserfreiem Zirkonchlorid zu gelangen, verfuhr der Verfasser zur Trocknung und völligen Entferrnung der Salzsäure aus dem Zirkonchloridhydrat in der Weise, daß er dieses in einem trockenen Chlorwasserstoffström bei 100 bis 110 erhitzte, wobei es zuerst schmilzt, nach dem Abgeben des Wassers und der überschüssigen Salzsäure aber wieder fest wird. Bei langsamem Trocknen wurden auf diese Weise schöne Kryställchen erhalten, die durchaus gewichtseconstant sind. Zum Schlusse der Arbeit wird noch angegeben, daß es bei der Trennung der Kieselsäure vom Zirkon nicht zweckmäßig ist, so stark zu erhitzen, bis alle Kieselsäure unlöslich geworden ist; vielmehr kommt man besser zum Ziel, wenn man durch Erhitzen zunächst nur einen Theil der Kieselsäure abscheidet und dann den beim Zirkon verbleibenden Rest später durch Zusatz von Fluorwasserstoffsäure entfernt.

Kpl

James Locke. Ueber Thoriummetaoxyd und dessen Hydrate¹⁾. — Ueber das *Thoriummetaoxyd*, welches durch nicht zu starkes Glühen des Thoriumoxalats entsteht, haben zuerst Cleve und Bahr berichtet, welche es als eine Modification der gewöhnlichen Thorerde betrachteten. Nach den Versuchen des Verfassers ist das *Thoriummetaoxyd* ein dem Thorium eigenthümliches Oxyd und besitzt die Zusammensetzung Th_2O_5 . Die Bildung desselben beim Glühen des Oxalats erklärt sich durch die reducirenden Eigenschaften der Oxalsäure. Denn wenn gewöhnliche Thorerde im Wasserstoffström kräftig erhitzt wird, so entsteht so viel Wasser, als dem Uebergange von ThO_2 in Th_2O_3 entspricht. Der Rückstand zeigte die charakteristischen Eigenschaften des Metaoxyds, sich nach dem Abdampfen der Säuren in Wasser zu einer schon opalescirenden Flüssigkeit zu lösen. Zur Darstellung des *Thorium-*

¹⁾ Zeitschr. anorg. Chem. 7, 345—350.

metahydroxyds wurde das Metaoxyd mit Salzsäure 1:1 zur Trockne eingedampft, durch Waschen mit der gleichen Säure von geringen Mengen Tetrachlorid befreit, darauf in heissem Wasser gelöst und die heisse, röthlich opalescirende Lösung mit Ammoniak gefällt. Der entstehende Niederschlag wurde durch Decantiren ausgewaschen, auf dem Wasserbade zur Trockne gedampft und im Vacuumexsiccator vollkommen getrocknet. Er entsprach dann genau der Formel $\text{Th}_2\text{O}_5 \cdot \text{H}_2\text{O}$. Eine andere Probe, welche bei 40° gefällt und nur im Vacuum getrocknet wurde, hatte die Zusammensetzung $\text{Th}_3\text{O}_6 \cdot 2 \text{H}_2\text{O}$. Die Wasserbestimmung wurde durch Glühen der Substanz im Kugelrohr ausgeführt; der hierbei verbliebene Rückstand erwies sich als rückgebildetes Metaoxyd. Zur Bestimmung des Thoriums wurde derselbe durch Schmelzen mit Natriumbisulfat aufgeschlossen und die Schmelze in bekannter Weise verarbeitet. — Wenn man den Rückstand untersucht, den eine wässrige Lösung des Thoriummetaoxyds beim Eintrocknen im Vacuum hinterläßt, so enthält derselbe Chlor, welches von der Behandlung des Metaoxyds mit Salzsäure stammt, um es löslich zu machen. Ebenso enthält der aus der wässrigen Lösung des Metaoxyds auf Zusatz von Salzsäure fallende Niederschlag geringe Mengen Chlor; im Uebrigen ist er aber mit dem vorigen Präparat identisch und stellt nichts anderes dar, als ein mit Tetrachlorid verunreinigtes Thoriummetahydroxyd, $\text{Th}_2\text{O}_5 \cdot 2 \text{H}_2\text{O}$. Wird dieses Hydroxyd mit Säuren behandelt, so löst es sich nicht, wie schon Cleve beobachtet hat, aber es geht aus dem flockigen in einen feinen schleimigen Zustand über. Dieses Präparat, mit Salzsäure und Alkohol ausgewaschen und im Vacuum getrocknet, enthielt noch etwa 2 Proc. Chlor, stellte im Uebrigen aber wieder das Hydroxyd $\text{Th}_2\text{O}_5 \cdot \text{H}_2\text{O}$ dar. Danach erweist sich die Einwirkung der Säuren auf das Oxyd Th_3O_6 , um es löslich zu machen, als eine Art Hydratation, und das Thoriummetahydroxyd, $\text{Th}_2\text{O}_5 \cdot \text{H}_2\text{O}$, existirt in zwei äußerlich unterschiedlichen Modificationen, je nachdem es durch Säuren oder Alkalien ausgefällt ist.

Kp.

C. Böttger. Zur Reinigung des Thoroxys¹⁾. — Nach den Erfahrungen von Heinrich Orth kann die Beobachtung, daß sich Thoriumoxalat in warmer Ammoniumoxalatlösung zu einer durch Säuren fällbaren Flüssigkeit löst, zur Darstellung der Thorerde benutzt werden. Das so erhaltene Oxyd ist nach dem Glühen rein weis, während das aus dem nach der gewöhn-

¹⁾ Zeitschr. anorg. Chem. 6. 1.

lichen Methode hergestellten Oxalat bereitete Oxyd nach dem Glühen bräunlich gefärbt erscheint. Lösungen zur Herstellung von Auer'schen Glühstrümpfen lassen sich auf folgende Weise bereiten. Thoriumoxalat und Magnesiumsulfat werden im molkularen Verhältniss gemischt und geglüht. Der Rückstand wird mit concentrirter Schwefelsäure übergossen und die überschüssige Säure abgeraucht. Auf Zusatz von Wasser entsteht eine theilweise Lösung, in welcher das Ungelöste suspendirt bleibt. In dieser Suspension wird dann noch Cersulfat zugefügt. Oder es wird der geglühte Rückstand mit Zirkonsulfat und Schwefelsäure versetzt und die überschüssige Säure abgeraucht. Die zurückgebliebenen Sulfate lösen sich in Wasser vollkommen; die Lösung löst Cersulfat.

Kp.

P. Jannasch. Berichtigung¹⁾. — Verfasser weist darauf hin, dass die von C. Böttinger²⁾ beschriebene Methode zur Darstellung reiner *Thorerde* bereits früher³⁾ von ihm angewendet worden ist.

Kp.

Conrad Volck. Ueber die Verbindungen der Thorerde mit Phosphorsäure und Vanadinsäure¹⁾. — Cleve hat sowohl ein neutrales tertiäres Thoriumphosphat, entstanden durch Fällung von Thoriumnitrat mit Dinatriumphosphat, als auch ein secundäres Salz beschrieben, welches er durch Umsetzung von Thoriumchlorid mit Orthophosphorsäure erhalten hat. Während Verfasser das secundäre Phosphat leicht rein darstellen konnte, vermochte er die Angaben von Cleve bezüglich des tertiären Salzes nicht zu bestätigen. Zur Darstellung des *secundären Thoriumphosphats*, $\text{Th}(\text{HPO}_4)_2 \cdot \text{H}_2\text{O}$, wurde nach Cleve's Vorschrift eine verdünnte Thoriumchloridlösung mit einer verdünnten Lösung von reiner Orthophosphorsäure gefällt. Es entstand sofort ein weißer, voluminöser Niederschlag, welchem durch Waschen mit Wasser von 60° leicht die überschüssige Phosphorsäure entzogen werden konnte. Beim Trocknen bei 100° erhärtet das Phosphat zu einer hartartigen Masse. Zur Gewinnung des tertiären Thoriumphosphats wurde Thoriumchloridlösung sowohl nach den Angaben von Cleve mit Dinatriumphosphat, als auch mit anderen Alkaliphosphaten in der Kälte und in der Wärme gefällt. Es bildeten sich voluminöse weiße Niederschläge von wechselnder Zusammensetzung, welche noch Natriumphosphat enthielten und hiervon nicht zu befreien waren. Auch unter anderen Bedingungen gelang es

¹⁾ Zeitschr. anorg. Chem. 6, 175. — ²⁾ Vgl. vorstehendes Referat —

³⁾ JB. f. 1893, S. 404. — ⁴⁾ Zeitschr. anorg. Chem. 6, 161—167.

Verfasser nicht, das tertiäre Salz zu erhalten, so daß er, da auch die von Cleve mitgetheilten Analysenresultate wenig befriedigend sind, daran zweifelt, daß ein neutrales Thoriumphosphat jemals dargestellt worden ist. — Von Cleve ist ein complicirt zusammengesetztes Thoriumvanadat als braunrothes Pulver beschrieben worden. Verfasser gelangte durch Fällung einer verdünnten Thoriumchloridlösung mit einer etwa 8proc. Lösung von Ammoniummetavanadat in der Kälte zu einem *secundären Thoriumvanadat*, $\text{Th}(\text{HVO}_4)_2 \cdot 5 \text{H}_2\text{O}$, welches somit dem oben beschriebenen Phosphat entspricht. Es ist grünlichgelb gefärbt, im trockenen Zustande etwas dunkler als im feuchten und ist auch in verdünnten Säuren verhältnißmäßig leicht und mit gelber Farbe löslich. Beide Salze sind für Thorium charakteristisch; die Abscheidung desselben aus seinen Lösungen in Form beider Verbindungen ist eine vollkommene.

Kp.

Gerhard Krüfs. Zur Kenntniss der Schwefelverbindungen des Thoriums. Zweite Mittheilung¹⁾. — Bereits früher²⁾ hatte Verfasser in Gemeinschaft mit C. Volck nachgewiesen, daß die vermeintlichen Verbindungen ThS_2 und $\text{Th}_2\text{O}_3\text{S}_2$ von Berzelius und Chydenius nicht existiren; jedoch war es nicht gelungen, ihre wirkliche Zusammensetzung einwandfrei festzustellen. Die jetzigen Versuche machen es wahrscheinlich, daß in ihnen ein *Thoriumoxysulfid*, ThOS , vorliegt. Das sogenannte *schwarze Thoriumsulfid* wurde nach Chydenius' Vorschrift durch Ueberleiten von Schwefelkohlenstoffdämpfen über Thorerde bei heller Rothgluth und möglichst sorgfältigem Luftabschluß dargestellt. Die schwarze Farbe ist dem Präparat nicht eigenthümlich, sondern rührt von abgeschiedenem Kohlenstoff her. Die Analysenergebnisse stimmen am besten mit der Bildung von ThOS überein, das, abgesehen von dem beigemengten Kohlenstoff, je nach geringen Aenderungen bei der Darstellung noch etwas unangegriffene Thorerde oder vielleicht geringe Mengen Thoriumsulfür, ThS , enthält. Das *Thoriumoxysulfid* zieht bei höherer Temperatur mit großer Begierde Sauerstoff an, wodurch seine Darstellung erschwert wird. Zur Analyse wurden die Präparate entweder in Königswasser gelöst und aus der verdünnten Lösung Thorerde und darauf Baryumsulfat gefällt, oder sie wurden durch Glühen im Sauerstoffstrome in Thorerde und schweflige Säure zerlegt. Diese wurde in Kalilauge und Bromwasser aufgefangen. — *Einwirkung von Schwefelwasserstoff auf Thoriumhalogenverbindungen*

¹⁾ Zeitschr. anorg. Chem. 6, 49–56. — ²⁾ JB. f. 1893, S. 404.

auf trockenem Wege. Es wurde die Einwirkung von trockenem Schwefelwasserstoff bei Rothgluth auf Ammoniumthoriumchlorid und Kaliumthoriumchlorid untersucht, welche durch Eindampfen der salzsauren Lösungen von Thorerde mit überschüssigem Chlorammonium oder Chlorkalium erhalten worden waren und sich nachträglich als Oxychloride erwiesen. Aus Ammoniumthoriumoxychlorid hinterbleibt ein braunes Thoriumoxysulfid, ThOS , welches nur Spuren Chlor enthält, während Chlorammonium sublimirt. Das so erhaltene Präparat wurde ohne Weiteres der Analyse unterworfen. Die Reactionsproducte von Schwefelwasserstoff auf Kaliumthoriumoxychlorid mußten dagegen zunächst durch Behandlung mit Wasser, Alkohol und Schwefelkohlenstoff oder Chlorkalium und Schwefel befreit werden. So wurden hellbraun gefärbte Substanzen gewonnen, welche weder Chlor noch Kalium enthielten, jedoch von wechselnder Zusammensetzung waren. Gleichwohl ist Verfasser geneigt, auch in ihnen die Anwesenheit von Thoriumoxysulfid anzunehmen. Der zur Darstellung gebrauchte Schwefelwasserstoff wurde in allen Fällen durch eine saure Chromchloridlösung geleitet und so von Sauerstoff möglichst befreit. Durch Behandlung von Thoriumoxychlorid ThOCl_2 , welches durch Verdampfen einer salzsauren Lösung von Thoriumchlorid erhalten wird, mit trockenem und luftfreiem Schwefelwasserstoff bei Rothgluth entstehen gleichfalls hellbraun gefärbte, nicht ganz einheitliche Präparate, deren Zusammensetzung derjenigen des Thoriumoxysulfids, ThOS , nahe kommt.

Kp.

G. Vortmann und H. Spitzer. Gewinnung von Zinn¹⁾. — Das Zinn (Weißblechabfälle, Erze etc.) wird durch Erhitzen mit Schwefel und Soda oder durch Kochen in einer Lösung von Schwefelnatrium in Natriumsulfostannat übergeführt, worauf nach dessen Lösung nach Zusatz von Ammoniak und Ammoniumsulfid elektrolysirt.

Uq.

Stockmeier. Ueber eine merkwürdige Bildung der grauen Modification des Zinns²⁾. — Die etwa 10 Jahre alten gegossenen Zinnplatten auf dem Postthurm zu Rothenburg a. T. zeigten plötzlich im Jahre 1893 eine bedeutende Corrosion und Zerfall, die weder durch fehlerhaftes Material noch durch äußere mechanische oder chemische Einflüsse erklärbar waren. Vielmehr hatte die Folge der abnorm strengen Kälte des Winters 1892/93 eine Umwandlung des Zinns aus der weißen in die graue Modification

¹⁾ D. R.-P. Nr. 79826. — ²⁾ Verhandl. d. Ges. Deutsch. Naturf. und Aerzte, 1893, II, 97—99; Ref.: Chem. Centr. 65, II, 409.

stattgefunden, wie dies auch früher bereits vielfach beobachtet worden war. Das graue Zinn stellt eine körnige, pulverige Substanz dar, und mit solchen Massen waren auch einzelne Zinnplatten des Turmes bedeckt. Das specifische Gewicht des grauen Zinns vom Rothenburger Postthurm war bei $15^{\circ} = 0,8466$; nach kurzem Erwärmen im Dampfschrank zeigte das Zinn wieder die weisse Farbe des elektrolytisch gefällten Metalles und sein specifisches Gewicht war 7,144, während das unveränderte Zinn das spec. Gew. 7,2984 hatte. (Die Differenz rührt von einem geringen Gehalt des umgewandelten Zinns an Oxydul her.) Sehr interessant ist es, dass die sehr alten, ausgewalzten Zinnplatten, die die Bedachung des Rathhausthurnes in Rothenburg bilden, keinerlei Umwandlung erlitten hatten, was gleichfalls mit früheren Beobachtungen übereinstimmt, dass nur gegossenes Zinn der Umwandlung ausgesetzt ist.

Kpl.

Georg Buchner. Ueber das verschiedene Verhalten und die Structur des aus verschiedenen Lösungen gefällten metallischen Zinns und die Herstellung reinen Zinnpulvers¹⁾. — Je nachdem man metallisches Zinn durch Zink oder Aluminium aus saurer, neutraler oder alkalischer Lösung fällt, erhält man Körper von wesentlich verschiedenen physikalischen Eigenschaften, die sich auch besonders in ihrer Structur unterscheiden. Auch im chemischen Verhalten sind Differenzen vorhanden, so ist z. B. das aus saurer Lösung gefällte feine Zinnpulver an der Luft sehr leicht oxydirbar, während das aus alkalischer Lösung gefällte Zinn sich kaum oxydirt. — Der Verfasser beschreibt die Eigenschaften der unter sehr verschiedenen Versuchsbedingungen ausgefallten Zinnpulver und giebt zum Schluss eine Vorschrift zur Darstellung eines solchen oxydfreien Präparates. Eine Reihe von Zeichnungen geben ein Bild von den verschiedenen Structuren des Zinns.

Kpl.

R. Kayser. Ueber zinnhaltige Conserven²⁾. — Bereits früher war von verschiedenen Seiten darauf aufmerksam gemacht worden, dass Conserven aus den zu ihrer Verpackung benutzten Weissblechbüchsen Zinn aufnehmen. Der Verfasser untersuchte deswegen die Einwirkung einer Reihe von Flüssigkeiten, wie sie in Conserven vorkommen, auf verzinnnte Blechbüchsen, indem er diese längere Zeit mit den betreffenden Flüssigkeiten stehen liess. Die folgende Tabelle lässt die Ergebnisse klar erkennen.

¹⁾ Chemikerzeit. 18, 1904. ²⁾ Forschungsber. über Lebensm. etc. 1, 63: Ref. Chem. Centr. 65, I, 517.

100 ccm Flüssigkeit enthielten Milligramm gelöstes Zinn.

Gehalt der Flüssigkeit	Nach					einem Jahr
	30 Tagen	60 Tagen	90 Tagen	150 Tagen	270 Tagen	
Essigsäure, 0,5 proc. . . .	1,4	2,0	2,5	2,8	3,1	31
„ „ 2,0 proc. . . .	3,2	3,4	4,0	4,2	4,7	51
Weinsäure, 0,2 proc. . . .	4,9	5,8	7,2	7,9	8,2	100
„ „ 0,5 proc. . . .	12,0	18,7	21,0	22,4	36,8	42
Apfelsäure, 0,2 proc. . . .	5,1	5,4	6,4	6,8	7,2	72
„ „ 0,5 proc. . . .	10,6	16,1	17,5	18,2	20,6	229
Chlornatrium, 0,2 proc. . .	—	—	Spur	Spur	1,4	23
„ „ 0,5 proc. . . .	—	Spur	1,2	2,2	3,3	78

Kpl

F. W. Schmidt. Ueber ein weißes, in Ammoniumcarbonat lösliches Zinnsulfid¹⁾. — Zur Darstellung von völlig arsenfreien Zinn wurde eine mit Salpetersäure oxydirte Auflösung von reinstem Handelszinn in Salzsäure mit Schwefelwasserstoff gefällt und das abgeschiedene Schwefelzinn nach dem Auswaschen, um es vollkommen arsenfrei zu erhalten, mit einer Lösung von Ammoniumcarbonat (1:10) ausgekocht. Beim Uebersättigen dieser Auskochen mit Schwefelsäure fiel ein weißer, voluminöser Niederschlag, welcher in Ammoniak und Schwefelammonium löslich war, nach dem Auswaschen auch von Wasser allmählich gelöst wurde und sich als eine Schwefelverbindung des Zinn erwies. Von dem ursprünglichen Zinnsulfid werden durch Ammoniumcarbonatlösung etwa 10 Proc. gelöst, eine Beobachtung, welche sehr gegen die Brauchbarkeit der bei qualitativen Arbeiten benutzten Trennungsmethode des Zinn vom Arsen vermittelt Ammoniumcarbonat spricht und einen Hinweis giebt, weshalb bei analytischen Übungen im Laboratorium häufig das Zinn übersehen wird, wenn die gedachte Trennungsmethode angewandt wird. Zur Darstellung der weißen Schwefelzinnverbindung wurde das wie gewöhnlich erhaltene gelbe Zinnsulfid aus etwa 30 g Zinn durch Auflösen in Salzsäure von Arsen befreit, danach aus der verdünnten salzsauren Lösung mit Schwefelwasserstoff wieder gefällt, bis zum Eintreten neutraler Reaction mit Wasser gewaschen, sodann mit etwa 1 Liter Ammoniakflüssigkeit übergossen und die Mischung bei gewöhnlicher Temperatur sich selbst überlassen. Nach einigen Tagen wird von einem nur sehr geringen Rückstand abfiltrirt, das Filtrat mit Wasser verdünnt und mit Schwefelsäure

¹⁾ Ber. 27, 2739—2743.

übersättigt. Der ausfallende, voluminöse, beinahe weisse Niederschlag löste sich, frisch gefällt, fast vollkommen in Ammoniumcarbonat auf. Nach dem Auswaschen war er noch zu zwei Dritteln, nach dem Trocknen noch zur Hälfte löslich. Beim Trocknen des Präparates wurde ein Geruch nach frisch gefälltem Schwefel wahrgenommen; trocken war die Substanz grünlichgelb, löste sich in Ammonium- und Natriumcarbonat theilweise unter Hinterlassung eines braunen Rückstandes und war vollkommen und leicht in Ammoniak löslich. Beim Trocknen an der Luft wird die Substanz schliesslich bernsteingelb und unlöslich in Ammoniumcarbonat, behält aber selbst nach jahrelanger Aufbewahrung ihre Leichtlöslichkeit in Ammoniak. Aus dieser Lösung wird durch Ansäuern wieder das ursprüngliche weisse, in Ammoniumcarbonat lösliche Zinnsulfid gefällt. Dieses verliert beim Trocknen Wasser, und der Wasserverlust bedingt die abnehmende Löslichkeit in Ammoniumcarbonat. Nach ein- bzw. drei- bzw. sechsmonatlicher Aufbewahrung besaßen die entsprechenden Präparate die Zusammensetzung $\text{Sn}_2\text{S}_3\text{O} \cdot 11\text{H}_2\text{O}$, $\text{Sn}_2\text{S}_3\text{O} \cdot 10\frac{1}{2}\text{H}_2\text{O}$, $\text{Sn}_2\text{S}_3\text{O} \cdot 5\text{H}_2\text{O}$. Eine Atomgewichtsbestimmung des Zinns aus diesen Präparaten ergab $\text{Sn} = 118.5$. Auf welche Einheit sich diese Zahl bezieht, ist nicht angegeben. *Kp.*

S. L. Penfield. Ueber Argyrodit und ein neues Sulfostannat des Silbers aus Bolivia ¹⁾. — Ein reichhaltiges Silbermineral aus Bolivia erwies sich als *Argyrodit*. Krystallsystem regulär; Bruch unregelmässig bis schwach muschelig, ausserordentlich spröde. Härte ca. 2,5; spec. Gew. = ca. 6,2662 bei 24°C. — Der Verfasser beschreibt das Verhalten des Minerals vor dem Löthrohre und sein Verfahren zur quantitativen Analyse. Die letztere führte für den Argyrodit zu der Formel Ag_4GeS_4 , während Winkler ²⁾ die Zusammensetzung früher zu Ag_6GeS_4 angegeben hatte. Wie die folgende Analysentabelle zeigt, bei der alle nothwendigen Correctionen für Verunreinigungen etc. angebracht sind, stimmt auch die Winkler'sche Analyse gut zu der Penfield'schen Formel, welche demnach vorzuziehen wäre.

Analysen verschiedener Argyrodite.

	Bolivia Penfield	Freiberg Winkler	Freiberg Penfield	Berechnet für Ag_4GeS_4
S . . .	17.10	16.56	16.83	17.06
Ge . . .	6.57	7.05	6.69	6.42
Ag . . .	76.33	76.39	76.48	76.52
	100.00	100.00	100.00	100.00

¹⁾ Zeitschr. Kryst. 23, 240–248. — ²⁾ JB. t. 1886. S. 374–381.

Ein anderes Mineral aus Bolivia, welches zuerst für Argyrodit gehalten wurde, erwies sich als Silbersalz eines Sulfostannates, in dem das Zinn zum Theil durch Germanium vertreten war. Für dieses Mineral wird der Name „Canfieldit“ vorgeschlagen. Die Zusammensetzung ergibt sich aus der folgenden Tabelle:

	Gefunden	Verhältnisse		Berechnet für Ag, (Sn, Ge)S, mit Sn : Ge = 1 : 1
S	16.22	0.507	5.92	16.56
Sn	6.94	0.0559	0.0642	7.18
Ge	1.82	0.0253		1.83
Ag	74.10	0.686	8.00	74.43
Zn + Fe . . .	0.21	—	—	—
	99.29			100.00

In seinen physikalischen Eigenschaften ist Canfieldit dem Argyrodit sehr ähnlich, besonders in der Farbe und im Bruch. Härte 2,5 bis 3, spec. Gew. = 6,276. Auch im Verhalten vor dem Löthrohr ähnelt es letzterem.

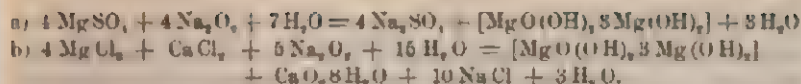
Kfd.

Metalle.

Natrium.

H. J. Castner. Bleichpulver¹⁾. — Das Bleichpulver (genannt „Bleichnatron“ oder „Bleichsoda“) besteht aus Natriumsuperoxyd und einem oder mehreren neutralen Salzen der Erdalkalimetalle, z. B. Magnesiumsulfat oder -chlorid oder einem Gemisch von Magnesium- und Calciumchlorid. Diese Mischung braucht man nur in Wasser zu lösen, um eine Lösung von Wasserstoffsuperoxyd für den sofortigen Gebrauch herzustellen, wobei als Nebenproducte hauptsächlich Natriumsulfat oder Chlornatrium und Magnesiahydrat entstehen, sowie auch eine geringe Menge Erdalkalisuperoxydhydrat. Letzteres ist beim Erhitzen des Bleichbades viel beständiger als Wasserstoffsuperoxyd, was für die Bleichung von Stoffen, welche nur schwierig zu bleichen sind, von Bedeutung ist. Beim Auflösen des Bleichpulvers in Wasser sollen je nach den angewandten Erdalkalisalzen folgende Umsetzungen stattfinden:

¹⁾ D. R.-P. Nr. 74113.



Das trockene Bleichpulver enthält wenigstens 7,5 Proc. nutzbaren Sauerstoff und verliert von demselben beim Lagern nichts. *Op.*

A. Rossel und L. Frank. Zersetzung von Natriumbioxyd durch Aluminium¹⁾. — Natriumbioxyd ist ein ausgezeichnetes Oxydationsmittel, dessen Handhabung jedoch, wie auch V. Meyer schon mitgetheilt hat, Vorsicht erfordert. Eine Mischung von Aluminiumpulver und Natriumbioxyd, welche einige Zeit an der Luft gestanden hat, entzündet sich in Folge der von dem Oxyd angezogenen Feuchtigkeit von selbst und verbrennt unter bedeutender Temperaturentwicklung. Dieselbe Erscheinung wird durch einige Wassertropfen sofort hervorgerufen. Die gefährliche Mischung darf daher nur mit der größten Vorsicht verwendet werden. *Kp.*

Julius Tafel. Ueber das Verhalten des Natriumsuperoxyds gegen Säuren²⁾. — Wird pulverförmiges *Natriumsuperoxyd* mit einem eiskalten Gemisch von Alkohol und überschüssiger concentrirter Salzsäure geschüttelt, so geht es ohne eine bemerkbare Gasentwicklung in ein weißes Krystallpulver über, welches, mit Alkohol und Aether gewaschen und über Schwefelsäure getrocknet, beim Erwärmen schon unter 100° lebhaft Sauerstoff entwickelt. An der Luft zieht es Kohlensäure an und giebt langsam Sauerstoff ab. Beim Erwärmen verliert die Substanz unter vorübergehender Gelbfärbung Sauerstoff und geringe Mengen Wasser und sintert zu einer weißen, erst bei hoher Temperatur schmelzenden Masse zusammen. Verfasser nimmt an, daß in dem Reactionsproduct von alkoholischer Salzsäure auf Natriumsuperoxyd ein Gemenge oder eine Verbindung von Chlornatrium mit einem Körper der Zusammensetzung NaO_2H vorliegt. Letzterer wird als ein Hydrat der Formel $\text{NaO}(\text{OH})$ aufgefaßt. Die Analysen scheinen darauf hinzudeuten, daß auf 1 Mol. des Hydrats 2 Mol. Chlornatrium kommen. Für die Entstehung des Hydrats $\text{NaO}(\text{OH})$ sprechen folgende Reactionen. In eiskaltem Wasser löst sich die ursprüngliche Substanz ohne Gasentwicklung zu einer stark alkalisch reagirenden Lösung, welche sich wie eine Wasserstoffsuperoxydlösung bei Gegenwart von Actinatron und Chlornatrium verhält. Die mit Schwefelsäure angesäuerte Lösung reducirt Kaliumpermanganat in der Kälte unter Entbindung von

¹⁾ Ber. 27, 55. — ²⁾ Dasselbst, S. 816—824.

Sauerstoff; mit Salzsäure angesäuert, scheidet die Lösung aus einer Jodkaliumlösung allmählich Jod aus; beim Kochen der Lösung entweicht Chlor. Die ursprüngliche oder auch die mit Schwefelsäure angesäuerte Lösung entwickelt beim Erwärmen nur langsam Sauerstoff und hat selbst nach kurzem Aufkochen die Fähigkeit, Permanganat zu reduciren, nicht völlig verloren. Beim Auflösen in Wasser wird daher nach dem Verfasser das Hydrat $\text{NaO}(\text{OH})$ nach der Gleichung $\text{NaO}(\text{OH}) + \text{H}_2\text{O} = \text{NaOH} + \text{H}_2\text{O}_2$ in Natriumhydroxyd und in Wasserstoffsuperoxyd umgewandelt. Ueberschüssige alkoholische Schwefelsäure und Salpetersäure wirken wie alkoholische Salzsäure auf Natriumsuperoxyd ein. Die entstehenden Producte entwickeln unter 100° Sauerstoff, liefern beim Lösen in Wasser Aetznatron und Wasserstoffsuperoxyd und enthalten somit das Hydrat $\text{NaO}(\text{OH})$. Diesem scheint demnach die Fähigkeit abzugehen, mit den genannten Säuren Salze zu bilden. Dagegen soll mit Essigsäure ein Acetat entstehen. Natriumsuperoxyd lost sich beim Schütteln in einer eiskalten alkoholischen Lösung von Eisessig auf; aus der filtrirten Lösung scheidet sich ein farbloses Salz in Krystallblättern ab. Dasselbe entwickelt bei gelindem Erwärmen Sauerstoff; bei stärkerem Erhitzen entweicht daneben auch Wasser, und der Rückstand besteht schliesslich aus Natriumacetat. Die wässrige Lösung der Substanz verhält sich in vieler Beziehung wie eine Wasserstoffsuperoxydlösung: sie reagirt jedoch im Gegensatz zu derjenigen des mittelst Salzsäure hergestellten Productes neutral. Verfasser ist daher geneigt, Bildung und Zusammensetzung des mittelst Essigsäure entstehenden Präparats durch die Gleichung $\text{Na}_2\text{O}_2 + 2\text{C}_2\text{H}_4\text{O}_2 = \text{C}_2\text{H}_3\text{O}_2\text{Na} + \text{NaO}(\text{OCH}_3\text{CO}) + \text{H}_2\text{O}$ auszudrücken. Auch aus dem Acetat entstanden bei der Einwirkung von alkoholischer Salzsäure oder Schwefelsäure nicht das entsprechende Chlorid oder Sulfat. Dem Hydrat und seinem Acetat werden die Formeln $\text{O}=\text{Na}-\text{OH}$ und $\text{O}=\text{Na}-\text{O}(\text{CH}_3\text{CO})$ zugeschrieben. Schon beim Uebergiessen mit Alkohol allein erleidet Natriumsuperoxyd eine Veränderung; ein Theil geht in Lösung, der Rückstand, eine weisse, schaumige Masse, giebt nach dem Waschen und Trocknen beim Erwärmen stürmisch Sauerstoff ab. Mit alkoholischer Salzsäure liefert er ein Salz, welches auf 1 Mol. des Hydrats $\text{NaO}(\text{OH})$ 1 Mol. Chlornatrium zu enthalten scheint.

Kp.

Julius Tafel. Ueber das Verhalten des Natriumsuperoxyds gegen Alkohol¹⁾. — Beim Uebergiessen von Natriumsuperoxyd

¹⁾ Ber. 27, 2297—2306.

mit gut gekühltem Alkohol geht etwa die Hälfte der Substanz in Lösung. Diese reagirt stark alkalisch und enthält nur Spuren wirksamen Sauerstoffs. Der in Alkohol unlösliche Theil bildet ein weißes, sandiges Pulver, welches bei ganz gelindem Erwärmen schon reichliche Mengen Sauerstoff abgibt. Bei schnellem Erhitzen wird der Sauerstoff explosionsartig und unter Feuererscheinung frei. Wird die Substanz an einer Stelle durch Berühren mit einem warmen Glasstabe schwach erwärmt, so beginnt sofort Sauerstoff zu entweichen, welcher das Pulver emporwirbelt und in Bewegung bringt. Die Masse erwärmt sich stark und häufig sind kleine Feuererscheinungen zu beobachten. Die Erscheinung pflanzt sich in kurzer Zeit durch die ganze Masse fort, indem diese sich vorübergehend orangegegelb färbt und Ströme von Sauerstoff entwickelt. Bei stärkerem Erhitzen schmilzt die Substanz unter Abgabe von geringen Mengen Wasser neben Sauerstoff; der Rückstand besteht wesentlich aus Aetznatron. Der neue Körper verliert schon in der Kälte langsam Sauerstoff, an der Luft zieht er Wasser und Kohlensäure an. Seine Darstellung muß also schnell und unter entsprechenden Vorsichtsmaßregeln geschehen. Die Analysen müssen an möglichst frisch dargestellten, mit Alkohol und viel Aether gewaschenen und im Vacuum über Schwefelsäure und Natronkalk getrockneten Proben ausgeführt werden, da ältere Präparate schon mehr oder weniger zersetzt sind. Verfasser glaubt in vorliegendem Körper das Hydrat $\text{NaO}(\text{OH})$ isolirt zu haben, dessen Existenz er in den Einwirkungsproducten alkoholischer Mineralsäuren auf Natriumsuperoxyd bereits früher (vgl. das vorst. Ref.) angenommen hatte. Die verdoppelte Formel $\text{Na}_2\text{H}_2\text{O}_4$ oder $\text{Na}_2\text{O}_2 \cdot \text{H}_2\text{O}_2$ will Verfasser zunächst nicht weiter in Betracht ziehen, da sie ihm mit der Entstehung der Substanz nicht in Einklang zu stehen scheint und die einfache zur Erklärung der Thatsachen ausreicht. Das Hydrat wird als *Natrylhydroxyd* bezeichnet und es zunächst unentschieden gelassen, ob seine Zusammensetzung durch die Formel $\text{NaO} \cdot \text{OH}$ oder $\text{O}:\text{Na} \cdot \text{OH}$ auszudrücken ist. Nach der letzteren Auffassung muß auch das Natriumsuperoxyd als ein gemischtes Oxyd von drei- und einwerthigem Natrium von der Form $\text{O}:\text{Na} \cdot \text{O} \cdot \text{Na}$ betrachtet werden. Das Natrylhydroxyd löst sich in eiskaltem Wasser ohne Gasentwicklung, aber schon bei wenig höherer Temperatur entweicht Sauerstoff. Wird bei der Darstellung des Körpers verdünnter Alkohol angewandt, so ist das Reactionsproduct reicher an Wasser und ärmer an wirksamem Sauerstoff. Dementsprechend tritt beim Versetzen der wässrigen Lösung

des Natriylhydroxyds mit Alkohol eine stärkere Gasentwicklung ein, und bei richtig gewählter Concentration scheiden sich farblose Krystalle ab, die mit dem von Vernon Harcourt dargestellten Hydrat $\text{Na}_2\text{O}_2 \cdot 8\text{H}_2\text{O}$ identisch zu sein scheinen. Alkoholische Salzsäure wandelt das Natriylhydroxyd allmählich unter schwacher Gasentwicklung in Chlornatrium und Wasserstoffsuperoxyd um. Bei -5° wurde ein Zwischenproduct gefaßt, welches ziemlich genau auf 1 Mol. Chlornatrium 1 Mol. Natriylhydroxyd enthält. Alkoholische Essigsäure führt, gleichfalls unter Gasentwicklung, in das in der früheren Abhandlung beschriebene Acetat über. Mit Benzoylchlorid in ätherischer Lösung entsteht bei 0° sehr langsam, bei gewöhnlicher Temperatur etwas rascher unter steter Sauerstoffentwicklung neben Chlornatrium Benzoylsuperoxyd vom Schmelzp. 105° . Das Natriylhydroxyd zeigt in seinen Eigenschaften große Aehnlichkeit mit einem von Em. Schoene¹⁾ aus Natronlauge und überschüssigem Wasserstoffsuperoxyd durch Abdunsten erhaltenen Körper $\text{Na}_2\text{H}_4\text{O}_6$ oder $\text{Na}_2\text{O}_2 \cdot 2\text{H}_2\text{O}$. Ueber die analytischen Einzelheiten ist das Original nachzusehen.

Kp.

M. Hoehncl. Ueber das Verhalten des Natriumsuperoxyds gegen Jod und Bleioxyd²⁾. — Jod (4 Thle.) wird durch Natriumsuperoxyd (10 Thle.) leicht in das in Wasser schwer lösliche saure Natriumperjodat, $\text{Na}_2\text{H}_3\text{JO}_6$, übergeführt. Die durch Glühen an einer Stelle des Gemisches eingeleitete Reaction setzt sich von selbst ohne Entwicklung von Joddämpfen fort. Von gleichzeitig entstandenem Jodid und Jodat wird durch Auswaschen mit Wasser getrennt. Verdünnte Schwefelsäure löst das Salz ohne Jodabscheidung, dieselbe tritt auf Zusatz eines Reductionsmittels sofort ein. Die Identität des Salzes wurde ferner erwiesen durch Ueberführung in die entsprechenden Blei-, Baryum- und Silberverbindungen. Durch Zersetzen des normalen Silberperjodats mit Brom wurde die freie Ueberjodsäure $\text{HJO}_4 + 2\text{H}_2\text{O}$ in schönen Krystallen vom Schmelzp. 132° erhalten. Auch Jodnatrium liefert beim Erhitzen mit Natriumsuperoxyd Natriumperjodat. Bei Einwirkung von Natriumsuperoxyd auf mit Wasser zu einem Brei angerührtes Bleioxyd entsteht Natriummetaplumbat, Na_2PbO , $+ 4\text{H}_2\text{O}$, als weisse, krystallinische Masse, welche durch Decantiren mit 50 proc., schliesslich 95 proc. Alkohol ausgewaschen wird. Beim Uebergiessen mit Wasser färbt die Verbindung sich zunächst safrangelb unter Bildung von saurem Natriummetaplumbat,

¹⁾ Ann. Chem. 193, 259, 264. — ²⁾ Arch. Pharm. 232, 222—225.

$\text{NaHPbO}_3 + 3\text{H}_2\text{O}$, geht dann in eine roth gefärbte Natriumverbindung über, um schliesslich Bleisuperoxyd abzuscheiden. Dieses entsteht beim Kochen mit Wasser, sowie durch Zersetzung mit Säuren sofort. — Zur Aufschliessung von Pyriten mischt Verfasser das Erz mit der sechsfachen Menge Natriumsuperoxyd und der gleichen Menge trockener Soda und erhitzt eine Viertelstunde. Ein Uebelstand der Methode ist die gleichzeitige starke Abnutzung der verwendeten Tiegel.

Kp.

A. Dupré. Notiz über eine interessante, durch Natriumsuperoxyd verursachte Explosion¹⁾. — Auf einer englischen Eisenbahn fand während des Verladens einer Kiste, welche Natriumsuperoxyd in Zinnbüchsen enthielt, eine heftige Explosion statt. Dieselbe ist wahrscheinlich dadurch verursacht worden, dass dieselbe Kiste neben dem Natriumsuperoxyd noch irgend eine Schwefelverbindung, vielleicht in Form einer concentrirten Lösung, enthielt. Beim Kippen der Kiste kam diese Lösung auf irgend eine Weise mit dem nur in dünnen Büchsen verpackten Natriumsuperoxyd in Berührung, und die Explosion wurde hervorgerufen. Wenigstens enthielt der rings umher verstreute weisse Staub viel Natriumsulfit und -sulfat. Verfasser hat eine Anzahl von Versuchen angestellt, aus welchen hervorgeht, dass Natriumsuperoxyd an sich weder durch Stoss oder Schlag, noch durch Erhitzen selbst mit dem Löthrohre zur Explosion zu bringen ist. Diese Ergebnisse entsprechen völlig der Erwartung, da die Bildung von Natriumsuperoxyd keine endotherme Reaction ist, und diese Substanz somit zu freiwilliger Zersetzung nicht geneigt sein kann. Mit Wasser giebt das Superoxyd zwar eine heftige Reaction, dieselbe breitet sich indessen nicht auf die ganze Masse aus, sondern bleibt auf den befeuchteten Antheil beschränkt. Ganz anders aber gestalten sich die Dinge, wenn Natriumsuperoxyd mit irgend einer brennbaren Substanz, wie Sägespäne, Heu, Baumwolle, Wolle, Schwefel und sogar Natriumbisulfit gemischt oder nur in Berührung ist. Beim Befeuchten mit Wasser fängt die Masse mit Leichtigkeit Feuer, und es erfolgt eine mehr oder weniger heftige Explosion. Die Wirkung wird noch dadurch gesteigert, dass das Superoxyd schmilzt und alles Breunbare entzündet, wohin es fließt. Unter solchen Umständen ist die Substanz doppelt gefährlich, da ihre Reactionsfähigkeit sowohl durch Wasser, als auch durch Feuer ausgelöst werden kann. Es ist daher zu verlangen, dass das Natriumsuperoxyd in starke Be-

¹⁾ Chem. Soc. Ind. J. 13, 196—200.

hälter aus Metall, welche während des Transportes unter gewöhnlichen Umständen nicht Schaden nehmen können, verpackt, und daß es sorgfältig von jeder Art brennbarer Substanz ferngehalten werde.

Kf.

Sigmund Waldbott. Ueber die Flüchtigkeit von Fluornatrium¹⁾. — Die Methode von A. Reischle der indirecten Borsäurebestimmung, welche darauf beruht, durch Erhitzen der Borate mit Fluorammonium die Borsäure als Ammoniumbortfluorid zu verflüchtigen, giebt gute Resultate. Jedoch ist darauf zu achten, daß das verwendete Fluorammonium beim Verdampfen keinen Rückstand hinterläßt; anderen Falles ist die Menge desselben zu bestimmen und eine entsprechende Correction anzubringen. Eine weitere Fehlerquelle des Verfahrens ist darin zu suchen, daß das Fluornatrium schon bei verhältnißmäßig niedriger Temperatur merklich flüchtig ist. Nach den Versuchen des Verfassers beträgt beim Erhitzen von 0,549 g des Salzes mittelst eines Bunsenbrenners der Verlust nach sechs Minuten bereits 0,4 Proc., bei einem geringeren Gewicht des erhitzten Salzes ist der Verlust entsprechend größer. Wird die Flamme dagegen so reducirt, daß gerade der Boden des Platintiegels rothglühend wird, so ist der Verlust auch bei 15 Minuten langem Erhitzen nicht merklich. Wenn man daher bei Ausführung der Methode von Reischle genügend große Mengen an Substanz der Analyse unterwirft, so daß man wenigstens 0,6 g Fluornatrium erhält, und auf nicht zu hohe Temperatur erhitzt, so fallen die Resultate sehr genau aus.

Kp.

C. Kellner. Darstellung von Bleichflüssigkeit durch Elektrolyse von Alkalichloriden²⁾. — An zwei gegenüberliegenden Seitenwandungen eines geschlossenen Troges sind mit Nuten versehene Leisten angeordnet, in welche die vortheilhaft aus Kohle oder einseitig platinirten Metallplatten bestehenden Elektrodenplatten derartig eingesetzt sind, daß ihre freien Enden in den zwischen zwei gegenüberstehenden Leisten liegenden Raum hineinreichen. Die Elektrodenplatten, von denen nur die erste und letzte mit der Stromquelle verbunden sind, werden deshalb in Leisten und nicht direct in die Trogwandung eingesetzt, um zu verhindern, daß ein Theil des elektrischen Stromes an dem freistehenden Ende der Elektrode vorbei durch den Elektrolyten direct zur zweitnächsten Elektrode geht und dadurch ein Stromverlust entsteht. Die zu zersetzende Alkalichloridlösung wird durch eine

¹⁾ Amer. Chem. Soc. J. 16, 418—420. — ²⁾ D. R.-P. Nr. 76115.

geeignete Fördervorrichtung im Zickzackweg durch den Apparat hindurch geführt.

(Op.)

J. W. Retgers. Ueber die Dimorphie des Natriumchlorats¹⁾. — Von Wyruboff war behauptet worden, daß die Dimorphie des Natriumchlorats nicht existire, daß das Salz vielmehr, wenn es rein sei, nur in der gewöhnlichen, stabilen, regulären Form krystallisire, und daß das Auftreten einer labilen, doppeltbrechenden Modification auf einen geringen Gehalt (etwa 1 Proc.) des Natriumchlorats an Kaliumchlorat zurückzuführen sei. Verfasser hat daraufhin Natriumchlorat, von dessen Reinheit er sich besonders überzeugt hatte, unter dem Mikroskop untersucht und gefunden, daß auch das völlig reine Präparat die Erscheinungen der Dimorphie zeigt. Jedoch wird die labile, doppeltbrechende Modification, welche aus einer übersättigten Lösung zuerst entsteht, äußerst rasch in die stabile, isotrope Form umgewandelt. Die Bildung der labilen Form ist bedeutend unsicherer, wie beim Kalisalpeter; im Uebrigen aber ist sie der Entstehung der rhomboëdrischen Modification dieses Salzes ganz analog. Daß „Lösungsgenossen“, wie Kaliumchlorat, Salpeter u. s. f., die Uebersättigung der Natriumchloratlösung und damit die Bildung der labilen Modification dieses Salzes begünstigen können, erscheint dem Verfasser nicht unmöglich. Darin würde die Beobachtung von Wyruboff ihre Erklärung finden. Schließlich spricht Verfasser Zweifel nicht nur bezüglich der Isomorphie, sondern auch bezüglich der Isodimorphie von Kalium- und Natriumchlorat aus. Eine echte Isomorphie sei zwischen einfachen Kalium- und Natriumsalzen trotz äußerer Formenähnlichkeit noch niemals nachgewiesen. Weder die Chlorate, noch die Nitrate und Chloride von Kalium und Natrium zeigen eine Neigung sich zu mischen, wenn man sie aus einer gemeinschaftlichen, wässerigen Lösung krystallisiren läßt. Verfasser will die Formübereinstimmung z. B. zwischen dem labilen Kalisalpeter und dem stabilen Natronsalpeter weniger auf die Erscheinungen der Morphotropie zurückgeführt wissen, als dieselbe vielmehr durch den Begriff einer „allgemein bevorzugten Krystallform“ erklären. Solche Formen sind z. B. das Rhomboëder mit einem Endkantenwinkel von ungefähr 74° oder das Rhomboëder von ungefähr 90° Polkantenwinkel.

Kp.

Chemische Fabrik Rhenania. Vorbereitung des Salzes für den Hargeavesproceß²⁾. — Um die Salzkuchen bei der Sulfatfabrikation nach Hargreaves porös und für die Zersetzung durch

¹⁾ Zeitschr. Kryst. 23, 266–268. — ²⁾ D. R.-P. Nr. 73611.

die Gase tauglicher zu machen, werden denselben fein vertheilt brennbare Stoffe, wie Stein-, Braun-, Holzkohle, Torf, Stroh oder Sägespäne, beigemengt. Op.

R. E. Chatfield. Methode zur Verwerthung von saurem Natriumsulfat¹⁾. — Die der Fabrikation von Salpetersäure entfallenden Rückstände von saurem Natriumsulfat löst man in Wasser und benutzt die Lösung zur Neutralisation von Ammoniak aus Gaswasser oder anderen Quellen. Die Lösung der Salpate von Natrium und Ammonium wird entweder auf 76° Tw. eingedampft, und das wasserfreie Natriumsulfat wird ausgezogen, oder die Lösung wird nur auf 55 bis 60° Tw. eingedampft und zur Auscheidung von Glaubersalz abgekühlt. Im ersteren Falle erhält man ein Salzgemisch von 65%, im letzteren ein Gemisch mit 77 Proc. Ammonsulfat. Man löst dieses Salzgemisch bis zur Sättigung in Wasser und dampft die Lösung ein, wobei ein ziemlich reines Ammonsulfat krystallisirt. Op.

R. Loewenherz. Herstellung von festem überschwefelsaurem Natron²⁾. — Gemäfs vorliegender Erfindung bildet sich überschwefelsaures Natron trotz seiner großen Löslichkeit, wenn man in eine concentrirte Natronlauge festes Ammonpersulfat einträgt, welches sich in der Natronlauge auflöst und unter Entwicklung von Ammoniak in Natriumpersulfat umsetzt. Aus der so entstehenden concentrirten Lösung kann das Persulfat mit Leichtigkeit durch Behandeln im Vacuum oder durch theilweises Verdunsten des Wassers bei nicht zu hoher Temperatur oder durch Zusatz von Alkohol auskrystallisiren. An Stelle der concentrirten Natronlauge kann auch eine concentrirte Lösung von Natriumcarbonat verwendet werden. Das Persulfat kann auch erhalten werden, wenn man krystallisirte Soda in fester Form mit festem Ammonpersulfat zusammenreibt, wobei sofort ein Brei entsteht und die genannte Umsetzung eintritt. Das Natriumpersulfat ist im Gegensatz zu dem Kaliumsalz in Wasser so leicht löslich wie das Ammonsalz, im trockenen Zustande sehr beständig und zersetzt sich beim Glühen unter Zurücklassen von Natriumsulfat. Es oxydirt sehr stark und kann mit Vortheil für die Bleicherei, für Titrozwecke und speciell medicinische Zwecke verwendet werden. Op.

L. Zehender. Ueber Natriumstickstoff³⁾. — Gelegentlich seiner Versuche mit Strahlen elektrischer Kraft⁴⁾ beobachtete Verfasser bei der Herstellung von Entladungsröhren, welche zu

¹⁾ Engl. Pat. Nr. 19530; Chem. Soc. Ind. J. 13, 735. — ²⁾ D. R. P. Nr. 77340. — ³⁾ Ann. Phys. [N. F.] 52, 56—66. — ⁴⁾ Dasselbst, S. 34—35.

objectiven Darstellung der Hertz'schen Spiegelversuche bestimmt waren, an dem elektrolytisch in die Röhre eingeführten Natrium auffallende Veränderungen. Es bildeten sich nicht in allen Röhren silberglänzende Natriumspiegel, vielmehr zeigten sich in einzelnen derselben rothe, dunkelrothbraune und dunkelblaue Beschläge. Der rothe und wahrscheinlich auch der blaue Beschlag scheinen Natriumoxydulverbindungen zu enthalten, welche sich in Wasser zu Natriumhydroxyd auflösen. Auch der dunkelrothbraune Beschlag wird durch Wasser, wenn auch langsamer, gelöst, jedoch unter Gasentwicklung; das entweichende Gas ist Stickstoff. Derselbe Beschlag wird auch durch Erhitzen zersetzt, wobei Stickstoff frei wird und metallisches Natrium überdestillirt. Bei den Versuchen, durch welche Verfasser die Bedingungen zu ermitteln suchte, unter welchen Stickstoff von Natrium absorbiert wird, zeigte es sich zunächst, daß eine solche Absorption beim bloßen Erwärmen des Natriums in einer Stickstoffatmosphäre nicht eintritt. Dagegen ging aus denselben unzweifelhaft hervor, daß bei der Glühmentladung in Stickstoff solcher vom Natrium aufgenommen werden kann, vermuthlich unter Bildung einer chemischen Verbindung (NNa_3 ?), sobald metallisches Natrium auf die Kathode gelangt. Diese Verbindung selbst schlägt sich aber nicht auf der Kathode, sondern vielmehr in der Nähe der Anode auf die Glaswandungen nieder und bildet dort einen mehr oder weniger dunklen rothbraunen Beschlag. Ob Spuren von Verunreinigungen des Gasinhaltes der Versuchsröhren auf die Stickstoffaufnahme durch das Natrium einen wesentlichen Einfluß haben, konnte nicht endgültig entschieden werden. Im Uebrigen scheinen es wesentlich die Vorgänge an den Kathoden zu sein, welche die in evacuirten Räumen unter dem Einfluß des elektrischen Stromes beobachteten chemischen Wirkungen hervorrufen. Kp.

W. Cossar Mackenzie. Natriumnitrat in Aegypten¹⁾. — Die Eingeborenen in Oberägypten verwenden einen natürlichen Dünger, welchen sie von den Hügeln an beiden Seiten des Flusses gewinnen. Derselbe besteht aus einem Thon, welcher 2,5 bis 18,5 Proc. Natriumnitrat enthält und sich namentlich in der Gegend um Luxor am Fuße von Kalksteinfelsen in umfangreichen Ablagerungen findet. Verfasser hat das Vorkommen aus eigener Anschauung kennen gelernt und beschreibt dasselbe eingehend. Die Lager sind durch beträchtliche Entfernungen von einander getrennt und liegen in der Wüste. Die Schwierigkeiten

¹⁾ Chem. Soc. Ind. J. 13. 611–613.

und die Kosten des Transportes lassen es trotz der Mächtigkeit der Lager als aussichtslos erscheinen, daß der ägyptische Salpeter auf dem europäischen Markte concurrenzfähig ist. Der jährliche Verbrauch im Ursprungslande wurde von anderer Seite auf 500 000 Tonnen, vom Verfasser etwa auf die Hälfte geschätzt. Außer Salpeter enthält der Thon etwa 3 Proc. Wasser, bis zu 1.72 Proc. Phosphorsäure, ferner Gyps, Calcium- und Magnesiumcarbonat, schließlich Kochsalz und andere in Wasser lösliche Substanzen. An den rissigen und geborstenen Stellen war der Felsen mit Salzausblühungen bedeckt, welche aus 65 Proc. Salpeter und 35 Proc. Kochsalz bestanden, während frische Bruchstellen derartige Krystalle nicht erkennen ließen. Verfasser hält es nicht für wahrscheinlich, daß der Salpeter aus den Abfällen von alten Niederlassungen stammt und von dem Thon absorbiert wurde, vielmehr ist er der Meinung, daß Klüfte und Hohlräume in den Kalksteinklippen dazu dienten, Thon und organische Substanz, welche vom Flusse bei Hochwasser angeschwemmt wurden, aufzunehmen. Nachdem das Wasser dann wieder zurückgetreten war, vollzog sich die Umwandlung der organischen Substanz unter Bildung von Salpeter, wesentlich unter dem Einfluß des warmen Klimas und der Gegenwart von Calciumcarbonat, so daß der Salpeter dort entstand, wo er jetzt gefunden wird. *Ap.*

Angelo Angeli. Ueber ein neues explosives Gemisch¹⁾. — Eine Mischung von Salpeter, Potasche und Schwefel schmilzt zunächst beim Erwärmen, um sich sodann mit lebhafter Verpuffung zu zersetzen; man nimmt an, daß ein in erster Linie gebildetes Schwefelkalium dabei durch das Nitrat oxydiert wird, während Stickstoff und Kohlensäure entweichen. Ähnlich wirken Kaliumnitrat und Natriumhypophosphit auf einander. Verfasser hat beobachtet, daß die Nitate auch durch Nitrite ersetzt werden können, ja daß letztere in einigen Fällen eine stärkere Wirkung zeigen. Beispielsweise giebt Natriumsulfoeyanat mit Kaliumnitrat Explosion, mit Nitrat dagegen nur eine rasche Verbrennung. Da sich nachweisen läßt, daß bei der Schmelzung, welche den Explosionen vorausgeht, stets Nitrit aus dem Nitrat gebildet wird, während eine solche Reduction bei Gegenwart schwächer reducirender Körper, wie es das Natriumsulfoeyanat ist, nicht eintritt, so nimmt Verfasser an, daß die Gegenwart von Nitrit Bedingung der explosiven Zersetzung der beschriebenen Gemische ist. Da

¹⁾ Gazz. chim. ital. 24. II. 52—58.; Accad. dei Lincei Rend. [5] 3. I. 510—514.

aber die Wärmeentwicklung der Nitritmischungen kleiner als die der Nitratmischungen ist (521 cal. gegen 582 cal.), so ist die größere Wirkung bei ersteren auf den rascheren Verlauf der Zersetzung zu schieben. In dieser Hinsicht ist bemerkenswerth, daß sich die Explosion der Nitritgemische auch durch die von Knallquecksilber erzeugte Explosionswelle erzielen läßt und daß sie in diesem Falle viermal stärker wird, als die durch Erwärmen hervorgerufene. Verfasser ist nicht überzeugt, daß die durch Knallpräparate erzeugte Zersetzung chemisch identisch ist mit der Verpuffung auf heißen Metallscheiben und verspricht sich weitere Aufschlüsse von vergleichenden Studien mit Explosionswellen an Nitrat- und Nitritmischungen.

Ku.

Theodor Salzer. Ueber Natriumpyrophosphate¹⁾. — Zur Darstellung von *Trinatriumpyrophosphat*, $\text{Na}_3\text{HP}_2\text{O}_7$, werden 10 g krystallisirtes saures und 13,5 g neutrales Natriumpyrophosphat in 50 ccm Wasser gelöst und die Lösung auf dem Wasserbade eingedampft. Von dem sich in Krystallkrusten abscheidenden Salze wird die Mutterlauge noch warm abgegossen. Das so erhaltene Trinatriumpyrophosphat, $\text{Na}_3\text{HP}_2\text{O}_7 + \text{H}_2\text{O}$, ist klein krystallinisch, in Wasser leicht löslich, von neutraler Reaction gegen Lackmus, verliert beim Erhitzen auf 170 bis 190° sein Krystallwasser und bei weiterem Erhitzen auf etwa 300° nochmals 3,4 Proc. seines Gewichtes. Durch Silbernitrat wird aus der Lösung des ursprünglichen Salzes neutrales *Silberpyrophosphat*, $\text{Ag}_4\text{P}_2\text{O}_7$, gefällt. Das von dem Krystallwasser befreite Trinatriumpyrophosphat nimmt dieses beim Liegen an der Luft wieder auf. Wird bei der Darstellung dieses Salzes ein kleiner Ueberschuß des sauren Pyrophosphats angewandt und die Lösung bei gelinder Wärme verdunstet, so entsteht ein wasserreicheres Salz, $\text{Na}_3\text{HP}_2\text{O}_7 + 7\text{H}_2\text{O}$ (?), leicht verwitternde Prismen von neutraler Reaction. Dieselben konnten nicht in hinreichender Menge rein erhalten werden: es ist daher möglich, daß der Wassergehalt ein noch höherer ist. Nach den Versuchen des Verfassers ist es wahrscheinlich, daß auch ein Mononatriumpyrophosphat, $\text{NaH}_2\text{P}_2\text{O}_7$, besteht; dasselbe konnte jedoch bisher noch nicht isolirt werden. In dem Erhitzungsproducte des Trinatriumpyrophosphats hoffte Verfasser das tetraphosphorsaure Natrium von Fleitmann und Henneberg²⁾ wiederzufinden, das nach der Gleichung $2\text{Na}_3\text{HP}_2\text{O}_7 + \text{H}_2\text{O} + \text{Na}_6\text{P}_4\text{O}_{13}$ entstanden sein konnte. Die Versuche ergaben

¹⁾ Arch. Pharm. 232, 365–375.
Kraut's Handb., 6. Aufl., 1 [2], 121.

Jahresber. f. Chem. u. s. w. für 1894.

²⁾ Ann. Chem. 65, 304; Gmelin.

indeß, daß sich je nach der Art des Erhitzens verschiedene Producte, unter diesen Natriummetaphosphat, bilden. Das Gleiche ist der Fall, wenn das Trinatriumphosphat geschmolzen wird, es entsteht ein complicirtes Salzgemenge, aus welchem einzelne Bestandtheile noch nicht gewonnen werden konnten. Diese Versuche sprechen gegen die Existenz des tetraphosphorsauren Natrium von Fleitmann und Henneberg. Auch die Angaben jener Forscher über das von ihnen dargestellte Salz, welche Verlusser eingehend bespricht, machen es wahrscheinlich, daß sie keine einheitliche Verbindung unter Händen hatten. Dagegen scheint die von Uelsmann¹⁾ nach der Gleichung $\text{Na}_4\text{P}_2\text{O}_7 + 2\text{NaPO}_3 = \text{Na}_6\text{P}_4\text{O}_{13}$ gewonnene Verbindung ein einheitliches Salz darzustellen. Kp.

Georg Lunge. Handbuch der Sodaindustrie und ihrer Nebenzweige. Zweite vollkommen ungearbeitete Auflage. Zweiter Band: Sulfat, Salzsäure, Leblancverfahren. (Zugleich achte Lieferung der neuen Folge des Handbuches der chemischen Technologie, von P. A. Rolley und K. Birnbaum, jetzt herausgegeben von C. Engler.) Mit 300 eingedruckten Holztischen. XII u. 804 S. Braunschweig, Friedr. Vieweg u. Sohn, 1894. Preis 30 M. — Die schnelle Entwicklung und hohe Blüthe der deutschen chemischen Industrie wird mit Recht darauf zurückgeführt, daß sich die technischen Chemiker in ihren Untersuchungen nicht auf das beschränkten, was unmittelbaren praktischen Nutzen verspricht, sondern alle in das Gebiet fallenden Fragen nicht nur mit rein wissenschaftlichen Methoden, sondern auch mit rein wissenschaftlichem Interesse prüften. Das gilt nicht nur für die organische, es gilt auch für die anorganische chemische Industrie. Ein Muster dieser wissenschaftlichen und eben deshalb auch höchst praktischen Art der Behandlung technischer Processus ist das vorliegende Buch, das auch in dem eigentlichen Heimathslande der Sodaindustrie selbst, in England, längst ein standard work geworden ist. Es könnte scheinen, als ob gerade von dem Inhalt dieses Bandes Manches in einer nicht sehr fernen Zeit an praktischem Interesse verlieren wird, weil das Leblancverfahren durch das Ammoniaksodaverfahren und die Elektrolyse hart bedrängt wird. Noch aber ist dieses Verfahren technisch sehr wichtig und die Fabrikation des Sulfats und der Salzsäure wird noch von keinem anderen Verfahren bedroht. Auch wenn das Leblancverfahren ganz verschwinden sollte, werden die in ihm aus-

¹⁾ Ann. Chem. 118, 99.

gebildeten Operationen, z. B. die Auslaugung nach Shanks, typisch bleiben und hohe Bedeutung in anderen Zweigen der chemischen Industrie behalten. Bis sich einschneidendere Aenderungen in der Sodaindustrie vollzogen haben werden, wird das Werk längst eine neue Auflage erfahren haben, da es für jeden, der sich lehrend oder ausübend mit technischer Chemie beschäftigt, unentbehrlich ist. *Bdl.*

H. Schreib. Betriebsführung und Materialverbrauch der Ammoniaksodafabrikation¹⁾. — Verfasser hat früher²⁾ die technische Ausführung des Ammoniaksodaprozesses und die hierzu verwendeten Apparate ausführlich beschrieben. In der vorliegenden Arbeit geht er auf die Betriebsergebnisse der einzelnen Prozesse der Ammoniaksodafabrikation näher ein und vergleicht den tatsächlichen Verbrauch an Materialien mit den sich theoretisch berechnenden Mengen, um hiernach festzustellen, inwieweit eine Vervollkommnung des Prozesses theoretisch noch möglich erscheint. Beim *Kalkbrennen* berechnet sich der Verbrauch an Brennstoff für 100 kg Kalk mit etwa 92 bis 96 Proc. CaO auf 12 bis 13 kg Koks, während in der Praxis ungefähr 15 kg verbraucht werden, so daß hierin an eine Vervollkommnung kaum noch gedacht werden kann. Eine Ersparnis an Brennmaterial beim Kalkbrennen ist überdies nur von mittelbarer Bedeutung, insofern der Gehalt der Kalkofengase an Kohlensäure steigt, je weniger Brennmaterial gebraucht wird, da das aus dem Kalkstein entweichende Kohlensäureanhydrid durch die Heizgase entsprechend weniger verdünnt wird. Bei dem folgenden Prozesse, dem Einleiten der Kohlensäure in die ammoniakalischen Chlornatriumlauge, dem sogenannten *Carbonsiren*, beschreibt Verfasser die dazu gebräuchlichen Apparate, die Kolonnenapparate und die „Gefäße“, und hält eine Combination beider Apparate derart, daß in der Colonne die zutiefstende, ammoniakalische Soole bis zur völligen Ueberführung des Ammoniaks in Carbonat mit Kohlensäure gesättigt wird, in den Gefäßen dagegen die Umwandlung in Ammoniumbicarbonat und damit die Fällung des Natriumbicarbonats vor sich geht, für die rationellste. Bei der *Destillation des Ammoniaks* kommt es wesentlich darauf an, daß bei der Fällung des Bicarbonats möglichst wenig Mutterlauge entsteht. Um so weniger Wärme wird bei der Destillation verbraucht, und um so kleiner können die Destillationsapparate sein. Ersparnisse gegenüber dem jetzigen Verfahren lassen sich erzielen

¹⁾ Chemikerzeit. 18, 1947—1952. — ²⁾ Vgl. JB. f. 1890, S. 2653.

durch Einführung von trockenem Kalk in die Destillirapparate und durch die Benutzung des Vacuums beim Destilliren. Beim *Calciniren* kommt es darauf an, daß das Bicarbonat möglichst trocken ist. Die folgende Zusammenstellung erlaubt einen Vergleich zwischen den für die einzelnen Prozesse theoretisch errechneten und den in der Praxis erreichten Zahlen:

	Berechnet	Praxis
kg Koks für 100 kg Kalkstein	6,5	"
" Kalkstein für 100 kg Soda	120	170
" Kalk " " "	60	85
" Salz " " "	170	180
" Kohlen " " "	50	90
" Ammoniumsulfat " " "	0,75	0,75
cbm Kalkofengas " " "	90	140
" ammoniakalische Soole " " "	0,62	0,82
" ablaufende Endlaugen aus der Destillation	1,20	1,70
Pferdestarken	0,7	1,1

Verfasser ist der Meinung, daß sich bei guter Einrichtung und sorgfältiger Führung des Betriebes die zum Theil bedeutenden Differenzen zwischen den berechneten und den praktisch erreichten Zahlen noch werden vermindern lassen. Ueber die übrigen technischen Einzelheiten, sowie über die *Verarbeitung der Rückstände* und die *Lage der Ammoniaksodaindustrie* ist das Original nachzusehen.

Kp

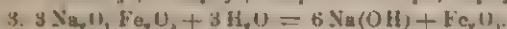
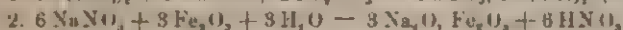
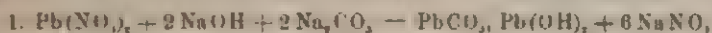
G. Lunge und Farnham Maxwell Lyte. Darstellung von Aetzkalki, Salpetersäure und Eisenoxyd¹⁾. — Ueber ein erhaltztes inniges Gemisch aus Alkalinitrat und überschüssigem Eisenoxyd (z. B. in Gestalt von Purple Ore) wird ein Gemisch von erhaltzter Luft und Dampf geleitet. Das Eisenoxyd wird in einer solchen Menge angewendet, daß die sich ergebende Masse bei der Reactionstemperatur nicht schmilzt, sondern fest und porös bleibt und somit leicht vom Gasgemisch durchdrungen werden kann. Es bildet sich Alkaliferit, das durch Erhitzen mit Wasser in kaustisches Alkali und fein vertheiltes, als Farbe oder für Polierzwecke verwendbares Eisenoxyd zerlegt wird, ferner salpetrige Dämpfe, die in irgend einer geeigneten Vorrichtung in Salpetersäure umgewandelt werden können.

Op.

G. Lunge und Cecil Henry Maxwell Lyte. Darstellung von Aetzkalken und basischen Bleisalzen²⁾. — Bleinitrat, durch Oxidation von rohem Blei und Lösen in Salpetersäure gewonnen.

¹⁾ D. R.-P. Nr. 74487. — ²⁾ D. R.-P. Nr. 74534.

wird mit einem Alkalisalz (z. B. Na_2CO_3 oder NaCl) in Gegenwart freien Alkalis gefällt und das neben dem basischen Bleisalz (z. B. basischem Bleicarbonat) gebildete Alkalinitrat dadurch in Aetzalkali und Salpetersäure zerlegt, daß es nach Maßgabe des Patentes Nr. 74487¹⁾ mit überschüssigem Eisenoxyd vermischet der Einwirkung eines erhitzten Gemisches von Luft und Dampf ausgesetzt und darauf mit heißem Wasser behandelt wird.



Das Eisenoxyd wird zur Zerlegung einer neuen Menge Alkalinitrat verwendet, ebenso die Salpetersäure zum Auflösen einer neuen Menge Bleioxyd. *Op.*

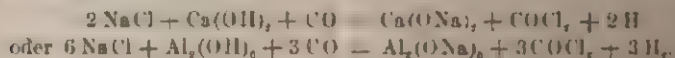
C. F. Claus. Verfahren zur Herstellung von Sulfaten, Aluminaten und Carbonaten des Kaliums und Natriums und zur Gewinnung von Salzsäure und Schwefel²⁾. — Das Alkalichlorid wird mit Thonerdehydrat gemischt und zu Kugeln, Ziegeln etc. geformt in ringofenähnlich arbeitenden Oefen der Einwirkung eines aus Luft, schwefliger Säure und Wasserdampf bestehendem Gasgemische ausgesetzt. Es bildet sich Sulfat, während Salzsäuregas entweicht. Die Temperatur muß so regulirt werden, daß sie zur Bildung von Thonerdesulfat zu hoch, dagegen zur Austreibung des Hydratwassers aus dem Thonerdehydrat zu niedrig ist. Die Ueberführung des so erhaltenen, aus Sulfat und Thonerdehydrat bestehenden Gemisches in Alkalialuminat geschieht in einer zweiten Ofenreihe unter der Einwirkung heißer reducirender Gase (Kohlenoxyd, Wasserstoff, Generatorgas etc.); es entweicht Schwefelwasserstoffgas, das auf Schwefel verarbeitet werden kann. Wird durch die Reduction des Sulfats mehr die Bildung von Sulfid, als diejenige von Aluminat beabsichtigt, so ist die zu Anfang des Processes dem Chlorid zuzumischende Thonerdehydratmenge so gering zu bemessen, daß sie gerade ausreicht, das Erweichen oder Schmelzen der Reactionsmasse zu verhindern. Das erhaltene Alkalialuminat oder Gemisch von Alkalialuminat und Alkalisulfid wird mit kochend heißem Wasser ausgelaugt und die heiße concentrirte Lösung in bekannter Weise durch Kohlensäure zersetzt. *Op.*

F. v. Hardtmuth und L. Benze. Darstellung von Alkalicarbonaten³⁾. — Die Halogenalkalien sollen mittelst Kohlenoxyd bei Anwesenheit von Kohlensäure behufs Gewinnung von Alkali-

¹⁾ Vorstehendes Referat. — ²⁾ D. R.-P. Nr. 72642. — ³⁾ D. R.-P. Nr. 74937.

carbonaten in folgender Weise zersetzt werden. In einem mit Holzkohle oder Anthracit beschickten Generator, in welchen zwecks Verbrennung Sauerstoff eingeleitet wird, wird das mit diesen Brennstoffen gemischte Halogenalkali nachgefüllt. Dasselbe gelangt nach und nach in die Reduktionszone des Generators, in welcher Kohlensäure und Kohlenoxyd gleichzeitig vorhanden sind und soll sich hier gemäß folgender Gleichung zersetzen: $2\text{NaCl} + \text{CO}_2 + 2\text{CO} = \text{Na}_2\text{CO}_3 + \text{COCl}_2 + \text{C}$. Durch Auslaugen des Aschenrückstandes wird das Alkalicarbonat gewonnen. (Op.)

F. v. Hardtmuth und L. Benze. Darstellung von Aetzkalken¹⁾. — Das Alkali soll aus Halogenalkali durch Einwirkung von Kohlenoxyd in der Hitze gebildet werden. Um das Alkali in dem Maße seines Entstehens zu binden, damit keine Neubildung der Halogenverbindung stattfindet, wird gemäß vorliegender Erfindung dem zu zersetzenden Halogenalkali ein reines Hydratwasser in der Hitze schwer abgebendes Metalloxydhydrat wie Thonerde oder Kalkhydrat zugemischt. Das Kohlenoxyd reißt das Halogen an sich und das Alkali verbleibt an das Metalloxyd gebunden im Glührückstande:



Der Glührückstand wird in bekannter Weise (Behandeln mit Wasser eventuell unter Einleiten von Kohlensäure) weiter verarbeitet. (Op.)

F. v. Hardtmuth und L. Benze. Darstellung von Aetzkalken [Zusatzpatent zu Nr. 74976]²⁾. — An Stelle der im Hauptpatente genannten Zuschläge bei der Zersetzung von Halogenalkalien vermittelst Kohlenoxydgases können dem Halogenalkalimetall auch Metalle (z. B. Kupfer) zugeschlagen werden. Oder es kann ein Gemisch von Halogenalkalimetall, Metalloxyd und Kohle direct erhitzt werden. Im letzteren Falle braucht man nicht besonders Kohlenoxydgas einzuleiten, da dieses im Verlaufe der Operation gebildet wird. Durch Auslaugen des Glührückstandes, der eine Natriumlegirung enthalten soll, erhält man Alkali und wieder zu verwendendes Metall. Eine weitere Ausführungsform des Hauptverfahrens besteht in der Verwendung von Generator- oder Wassergas an Stelle des Kohlenoxydgases. (Op.)

Felix Oettel. Zur Elektrolyse der Alkalichloride³⁾. — Neutrisson hat für die Zersetzungsspannung von Chlornatrium 2,02 Volt

¹⁾ D. R. P. Nr. 74976. — ²⁾ D. R. P. Nr. 75272. — ³⁾ Chemikerzeit 13 69 70.

berechnet und experimentell 2,00 Volt gefunden. Verfasser weist nach, daß die Rechnung von Nourrisson nicht richtig ist, und daß sich für die Zersetzungsspannung auf Grund der thermochemischen Vorgänge bei der Elektrolyse einer wässrigen Chlornatriumlösung der Werth 2,30 Volt ergibt. Bei wiederholten Messungen bei Kochsalzelektrolysen unter Benutzung von Schwarzblech und Retortenkohle als Elektroden und einer Thonzelle als Membran mittelst eines Siemens'schen Torsionsgalvanometers hat Verfasser die Zersetzungsspannung zu 2,25 bis 2,28 Volt gefunden. Vermuthlich hat Nourrisson zur Messung ein Instrument mit verhältnißmäßig geringem Widerstande benutzt, womit bekanntlich leicht zu niedrige Spannungswerthe erhalten werden. Im Uebrigen wurde die Angabe von Nourrisson bestätigt, daß die Zersetzungsspannungen von Chlorkalium und Chlornatrium gleich sind. Die Bildung von unterchlorig- und chlorsaurem Salz bei der Elektrolyse der Alkalichloride ist keine primäre Wirkung des Stromes, sondern kommt erst durch Einwirkung des Chlors auf das Aetzkali zu Stande. Das entstehende unterchlorigsaure Salz wird im Kathodenraume wieder zu Alkalichlorid reducirt, während es im Anodenraume theils zu chlorsaurem Salz oxydirt wird, theils der elektrolytischen Zersetzung anheimfällt, in Folge deren an der Anode noch unterchlorige Säure und Sauerstoff auftreten. Aus der gleichen Zersetzung des Alkalichlorats folgt überdies noch die Bildung von Chlorsäure und Sauerstoff an der Anode. Die Menge der entstehenden Sauerstoffverbindungen des Chlors hängt von der Geschwindigkeit ab, mit welcher Anoden- und Kathodenflüssigkeit durch die trennende Membran diffundiren. Aus diesem Grunde nimmt die Menge an Hypochlorit mit steigender Alkalität der Kathodenflüssigkeit und mit steigender Durchlässigkeit der Membran zu. Das Auftreten von Sauerstoff an der Anode erklärt sich nicht nur durch die Elektrolyse von entstandenem Hypochlorit und Chlorat. Vielmehr wird auch das primär entstandene Aetzkali durch den Strom wieder zerlegt in Alkalimetall, Wasserstoff und Sauerstoff. Das Metall bildet mit Wasser wieder sofort Aetzkali zurück, so daß diese Wirkung des Stromes auf eine Wasserzersetzung hinausläuft. Diese Zersetzung des Aetzkalis wird begünstigt durch die beiden Umstände, daß bei gleicher Concentration das Leitungsvermögen der Alkalihydroxyde größer als das der -chloride ist, und daß ihre Zersetzungsspannung um 0,8 Volt niedriger liegt. Der auf die Wasserzersetzung entfallende Antheil des Stromes geht für den eigentlichen Zweck verloren; daher sinkt die Stromausbeute in

gleichem Masse, als der Gehalt des Chlors an Sauerstoff zunimmt. Bei der Elektrolyse von Chlorcalcium und Chlormagnesium ist das Chlor sauerstofffrei, da die an der Kathode abgeschiedenen schwer- oder unlöslichen Hydroxyde sich an der Stromleitung nicht betheiligen. Kp.

Cl. Th. Vautin. Herstellung von kaustischem Alkali¹⁾.

Ein Alkalisalz wird in geschmolzenem Zustande über einem als Kathode dienenden, von einem Flammenofenherd aufgenommenen Blei- oder Zinnbad der Elektrolyse unterworfen. Die hierdurch gebildete und nach einem mit dem Flammenofenherd communicirenden Hilfskessel überfließende Legirung des Alkalimetalls mit dem Blei bezw. Zinn wird mit Wasserdampf behandelt betriebs Abscheidung des Alkalimetalls als Hydrat. Die Alkalimetalllegirung kann in abgeänderter Weise auch von Zeit zu Zeit mit dem Flammenofenherd in ein Wasserbad abgelassen werden, indem zugleich das verbrauchte Blei bezw. Zinn aus einem besonderen, mit dem Herde in Verbindung stehenden Kessel wieder ersetzt wird. Die als Anoden dienenden Kohlenstäbe sind zum Schutze gegen die Einwirkung der oberhalb der Salzschicht mitziehenden Rostflamme und behufs Ableitung der entwickelten Gase von Behältern aus feuerfestem Thon umgeben. Op.

Cl. Vautin. Die Elektrolyse von geschmolzenen Salzen²⁾ — Verfasser, der sich früher die Anwendung drehbarer, von nicht leitenden Netzen eingeschlossenen Quecksilberkathoden für die Elektrolyse von Kochsalzlösungen hat patentiren lassen, hat diesen Proceß jetzt für wenig vorthellhaft zur Darstellung der Soda. Als Hauptschwierigkeiten hebt Verfasser die Größe der nöthigen Anlage, die geringe Leitfähigkeit der Lösungen, sowie die rasche Zerstörung der als Anode verwandten Kohle hervor. Die Elektrolyse des geschmolzenen Kochsalzes dagegen ist wohl geeigneter zur Darstellung von Soda, da unter Anderem die Leitfähigkeit der Schmelze größer ist. Als Anode verwendet Verfasser besonders hergestellte Kohlenstäbe und als Kathode empfiehlt er die Anwendung von geschmolzenem Blei, das bis zu 20 Proc. Natrium aufzunehmen vermag. Hierfür giebt Verfasser an der Hand vieler erläuternder Figuren ausführliche Vorschriften. Zur Gewinnung von Natronlauge behandelt man die Natriumblegirung mit Wasserdampf. Schmilzt man die Legirung unter einer Schicht von Actznatron, so erhält man nach dem Verfasser gemäß der Gleichung $\text{NaOH} + \text{Na} = \text{Na}_2\text{O} + \text{H}$ Natriumoxyd.

¹⁾ D. R.-P. Nr. 75001. — ²⁾ Chem. Soc. Ind. J. 13, 448—453.

durch dessen Oxydation Natriumsuperoxyd gewonnen werden kann. Aus der Schmelze kann ferner durch geeignete Vorrichtungen auch metallisches Natrium herausdestilliert werden. *Op.*

H. Y. Castner. Verbesserte Methode und Apparate für elektrische Zersetzung von Alkalisalzen¹⁾. — Zwischen Anoden- und Kathodenraum bringt man eine mechanisch bewegte Schicht von Quecksilber oder einem anderen verflüssigten Metall oder einer Legierung, so daß die Flüssigkeiten vollkommen von einander getrennt sind. Der Strom geht von der Anode zur Kathode durch das flüssige Metall, an dessen der Anode zugekehrten Seite wird das Kation (Natrium) ausgeschieden, an der anderen durch den Strom in Lösung gebracht und an der Kathode wieder ausgeschieden resp. in das Hydroxyd verwandelt. Hierdurch wird die Polarisation verringert und die Möglichkeit gegeben, starke Stromdichten anzuwenden. Verwendet man im Kathodenraume zu Anfang nur Wasser, so bildet sich dort eine beliebig starke Lösung von reinem Aetznatron. Es ist zweckmäßig, in dem Quecksilber zu Beginn etwas Natrium aufzulösen. *Op.*

C. Kellner. Verfahren zur Verminderung der bei gewissen elektrolytischen Processen erforderlichen Energie²⁾. — Das den Gegenstand der Erfindung bildende Verfahren bezweckt die rationelle Ausnutzung der bei gewissen elektrolytischen Verfahren secundär auftretenden Energie bzw. der hierbei frei werdenden Bildungswärme, und zwar für das elektrolytische Verfahren selbst, so daß hierdurch die sonst zur Durchführung desselben notwendige elektrische Energie, welche von irgend einer Stromquelle geliefert werden muß, wesentlich verringert wird. Dies wird erreicht durch Anordnung einer Kathode aus Quecksilber in der Zersetzungszelle in der Weise, daß dieses Quecksilber zugleich als Anode in einer besonderen, an die Zersetzungszelle angrenzenden Kammer (Bildungszelle), in welcher das Quecksilber behufs Abgabe des aufgenommenen Kations (z. B. Natrium) mit Wasser oder einer anderen Flüssigkeit in Berührung kommt, mit einer dritten Elektrode geschaltet wird. Der gesamte Apparat besitzt somit drei Elektroden, von denen die durch das Quecksilber gebildete eine doppelte Rolle spielt, nämlich als Kathode für den Zersetzungsraum und als Anode für den Bildungsraum. Die durch den Uebergang des Kations in die Löseflüssigkeit frei werdende Wärme setzt sich in Elektrizität um und wird für den elektrolytischen Hauptproceß selbst nutzbar gemacht. *Op.*

¹⁾ Engl. Pat. Nr. 16 046; Chem. Soc. Ind. J. 12, 768. — ²⁾ D. R.-P. Nr. 73 224.

J. Hargreaves und T. Bird. Verbesserungen in der Darstellung von Alkali¹⁾. — Eine Kochsalzlösung befindet sich in dem von einem Diaphragma umgebenen Anodenraume, während die aus Eisendrahtnetz oder gelochtem Eisenblech bereitete Kathode dem Diaphragma eng anliegt, ohne von dem Elektrolyten umgeben zu sein. Das an der Kathode entstehende Aetznatron wird durch einen Wasserstrahl beständig abgespritzt und sammelt sich in einem von dem Diaphragma entfernten Raume; diese Lösung enthält nur so viel Chlornatrium, als durch Dialyse aus dem Anodenraume nach außen gedrungen ist. *Op.*

J. Hargreaves und T. Bird. Verbesserungen in der Darstellung von Alkali und in Apparaten dafür, die auch allgemein für die Elektrolyse verwendbar sind²⁾. — Während der Elektrolyse einer Lösung von Natriumchlorid wird an die äußere Seite der als Diaphragma dienenden, aus Eisendrahtnetz bestehenden Kathode (Engl. Pat. Nr. 18871) ein Gemisch von Luft und Wasserdampf oder ein Gemisch von Kohlensäure und Wasserdampf geleitet. Zur Verhütung der Polarisation werden Metalloxyde oder katalytische Substanzen, wie Platin, mit Sauerstoff oder einer oxydirenden Substanz an die Kathode gebracht. *Op.*

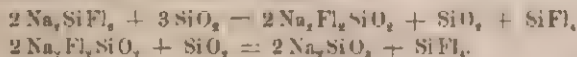
T. Parker und A. E. Robinson. Verwendung der Chloride von Natrium und Kalium zur Gewinnung nützlicher Producte. — Das bei der Elektrolyse von Chlornatrium (oder Chlorkalium) entstehende Aetznatron (Aetzkali) soll dadurch der weiteren Einwirkung der Elektrolyse entzogen werden, daß man in den Kathodenraum Fettsäuren bringt, welche das Alkali aufnehmen und als Seife an die Oberfläche der Flüssigkeit führen, von wo es leicht entfernt werden kann. Die Seife wird entweder für sich verwendet oder sie wird durch Behandlung mit Kohlensäure in Carbonat und Fettsäure zerlegt, welche letztere in den Proceß zurückgeht. *Op.*

F. H. Gossage und J. Williamson. Verbesserung in der Darstellung von Natriumdicarbonat und von Soda³⁾. — Man stellt durch Erhitzen von Natriumsulfat mit Sodarückständen und Kohle Natriumsulfid her und leitet in eine Lösung desselben von 1,15 bis 1,20 Dichte Kohlensäure. Zuerst scheiden sich Kieselsäure, Thonerde und Eisenhydroxyd aus; sobald Natriumdicarbonat sich auszuscheiden anfängt, unterbricht man die Einleitung der Kohlen-

¹⁾ Engl. Pat. Nr. 18871; Chem. Soc. Ind. J. 13, 250. — ²⁾ Engl. Pat. Nr. 5197; Chem. Soc. Ind. J. 13, 528. — ³⁾ Engl. Pat. Nr. 4920; Chem. Soc. Ind. J. 13, 250. — ⁴⁾ Engl. Pat. Nr. 22523; Chem. Soc. Ind. J. 12, 1030.

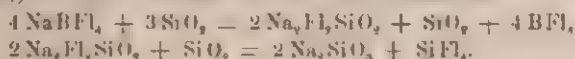
säure, entfernt den Niederschlag durch Filtration und leitet in das Filtrat von Neuem Kohlensäure, wobei sich Schwefelwasserstoff entwickelt und Natriumdicarbonat von krystalliner Structur ausscheidet. Sobald nur noch 3 bis 4 Proc. Natron in der Lösung vorhanden sind, ist die Grenze der Reaction erreicht; man unterbricht die Einleitung und benutzt die vom Dicarbonat getrennte Flüssigkeit zur Auflösung frischen Sulfides. Der Process wird am besten bei 80 bis 90° F. ausgeführt. Das Dicarbonat wird mit Wasser gewaschen und durch Calcinirung in Soda übergeführt. Aus dem Schwefelwasserstoff wird Schwefel gewonnen. *Op.*

J. A. Reich. Herstellung von Alkalisilicat¹⁾. — Kieselfluoralkali, aus einem Alkalisalz mittelst Kieselfluorwasserstoff hergestellt, wird mit Kieselsäure (vorthellhaft mit geglühtem Quarzsand) in einer Retorte von feuerfestem Thon heftig geglüht. Die Einwirkung vollzieht sich in zwei Phasen:

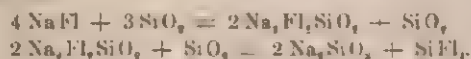


Das entweichende Fluorsilicium kann durch Einleiten in Wasser in Kieselfluorwasserstoffsäure und Kieselsäure umgewandelt werden. Das Alkalisilicat dient eventuell zur Herstellung von kohlen-saurem Alkali. *Op.*

J. A. Reich. Herstellung von Alkalisilicat [Zusatzpatent]²⁾. — An Stelle von Kieselfluoralkali im Hauptpatente wird nach vorliegendem Verfahren Fluoralkali oder Borfluoralkali mit Kieselsäure geglüht. Analog wie im Hauptverfahren verläuft auch die Umsetzung in zwei Phasen: 1. Für Borfluoralkali:



2. Für Fluoralkali:



Die entweichenden Gase, Siliciumfluorid und Borfluorid, werden in Wasser geleitet. *Op.*

G. Geisenheimer. Ueber eine Verwendung des Natriumsilicats³⁾. — Verfasser bespricht die Vorzüge und Nachtheile, welche die einzelnen im Gebrauch befindlichen chemischen Präparate beim Waschen und Bleichen von Leinwand mit sich bringen, ebenso den Einfluss des Kalk- und Magnesiumgehaltes des Wassers auf die Wäsche. Zur Vermeidung der erwähnten Uebelstände

¹⁾ D. R.-P. Nr. 73641. — ²⁾ D. R.-P. Nr. 73949. — ³⁾ Compt. rend. 118, 192--194.

empfiehlt er, dem Wasser ein lösliches Silicat zuzufügen, welches durch Zusatz von 10 bis 20 Proc. wasserfreier Soda zu einer gesättigten Lösung des Silicats $\text{Na}_2\text{O} \cdot 2\text{SiO}_2$ leicht herzustellen ist

Kp.

Kalium.

Wilmot Holt und W. Edgar Sims. Oxydation der Alkalimetalle ¹⁾. — *Oxydationsproducte des Kaliums.* Das zu den Versuchen verwendete Kalium war bis auf einen geringen Gehalt an Kieselsäure rein. Der Schmelzpunkt wird von Regnault bei 55° und von Bunsen bei 62° angegeben. Verfasser fanden, daß das Metall bei 54,5° weich, bei 60,5° brüchig und bei 62,5° vollig geschmolzen ist. Eine besondere, bisher nicht beschriebene Eigenthümlichkeit des Metalls besteht darin, daß es sich bei gehobtem Druck an der dem Druck ausgesetzten Stelle bei gewöhnlicher Temperatur verflüssigt und entzündet. Von anhaftendem Stenol und Oxyd wurde es in der Art gereinigt, daß es in einer an zwei Stellen ausgezogenen Glasröhre zunächst in einem Stickstoffstrom erhitzt wurde, bis alle Kohlenwasserstoffe entwichen waren. Die mittlere ausgezogene Stelle der Röhre war mit einem Ptopfen aus Glaswolle versehen; die obere Stelle wurde nach dem ersten Erhitzen verschlossen, nun das Rohr geneigt, das Metall zum Schmelzen gebracht und durch Erhitzen des oberen Raumes durch den Ptopfen aus Glaswolle hindurch in den unteren Raum getrieben. Bei den Versuchen, in welchen die Oxydation in einem Kolben vorgenommen wurde, wurde das Metall in einem Stickstoffstrom nach dem Verjagen der Kohlenwasserstoffe sofort in den Kolben hineindestillirt. Eine Einwirkung von trockener Luft oder trockenem Sauerstoff auf Kalium findet nicht statt, und das Metall bleibt unverändert. Der Versuch wurde so angestellt, daß eine Röhre, welche an einer Stelle ausgezogen wurde, so daß ein kleinerer und ein größerer Raum entstand, in dem größerer Raum mit Phosphorpentoxyd, in dem anderen mit Kalium beschickt wurde, welches sich in einem Glasröhrchen befand. Die Röhre wurde mit trockenem Sauerstoff gefüllt, verschlossen und das Röhrchen, welches das Kalium enthielt, durch Schütteln zertrümmert. Selbst nach einigen Wochen zeigte das Kalium keine Veränderung; ebenso wenig, als es bis zum Schmelzen, ja bis zum Sieden erhitzt wurde. In trockenem Sauerstoff kann Kalium daher destillirt werden, ohne daß es sich oxydirt. Auf folgende Weise laßt sich dies als Vorlesungsversuch zeigen. Ein mit

¹⁾ Chem. Soc. J. 65, 432—444.

Phosphorpentoxyd beschickter Cylinder wird einige Tage über Quecksilber belassen, bis alle Feuchtigkeit entfernt ist. Wird dann ein brennendes Stück Kalium in das trockene Gas eingeführt, so wird die Flamme sofort ausgelöscht und wieder entzündet, sobald das Metall wieder an die Luft zurückgebracht wird. — Läßt man ein Gemisch von Sauerstoff und Stickstoff, welches mit Schwefelsäure und Chlorecalcium getrocknet wurde, auf Kalium einwirken, welches in einem Kolben mittelst eines Bades erhitzt wird, so läuft das Metall unter 50° violett oder tiefblau an. Wird die Temperatur gesteigert, so schmilzt das Metall und zerfällt schließlich zu einem orangegelben Pulver, nachdem es sich vorher grau, dann hellgelb gefärbt hatte. Es war jedoch unmöglich, in den verschieden gefärbten Substanzen bestimmte Oxydationsstufen des Kaliums aufzufinden. Das Endproduct der Oxydation war in allen Fällen das *Kaliumperoxyd* oder *Kaliumtetroxyd*, K_2O_4 . Um dasselbe rein zu erhalten, ist es nöthig, schließlich mehrere Stunden im Sauerstoffstrome bis auf 280° zu erhitzen. Das Tetroxyd ist ein glänzend orangegelbes Pulver, welches an der Luft begierig Feuchtigkeit anzieht und dabei unter Sauerstoffentwicklung in Kaliumsuperoxyd übergeht. $K_2O_4 = K_2O_2 + O_2$. Wird das Tetroxyd hoch genug erhitzt, so schmilzt es zu einer schwarzen Flüssigkeit, wird aber beim Abkühlen wieder gelb; bei höherem Erhitzen bleibt es auch nach dem Abkühlen schwarz. Bei Rothgluth verliert es allmählich Sauerstoff und hinterläßt ein Product von der angenäherten Zusammensetzung K_2O . Was die Bildung dieses *Kaliummonoxyds*, K_2O , anlangt, so haben die Verfasser weder durch Einwirkung von Kalium auf Kaliumhydroxyd, noch durch eine solche von Stickoxyden auf Kalium eine einheitliche Verbindung gewinnen können. Dem auf die erste Weise erhaltenen grauen Product konnte durch Behandlung mit Quecksilber Kalium entzogen werden. Beim Erhitzen mit einem bestimmten Volumen Stickoxydul in einem besonders hierfür construirten Apparate entstand eine röthlichgelbe Substanz, welche sich an der Luft so heftig zum Tetroxyd oxydirte, daß die Masse unter Glüherscheinung flüssig wurde. Dieses orangegelbe Oxyd war einheitlich und besaß die Zusammensetzung K_2O_2 ; sein leichter Uebergang in das Tetroxyd zeigt, weshalb es bei der Oxydation des Kaliums im Sauerstoffstrome nicht zu erhalten ist. Ließ man eine geringere Menge Stickoxydul auf Kalium einwirken, so entstand eine schwefelgelb gefärbte Verbindung, welche an der Luft ohne weitere Oxydation zerfiel und in ihrer Zusammensetzung annähernd der Formel K_2O_2 ent-

sprach. — Durch Erhitzen in einer Atmosphäre von Stickoxyd oder der rothen Stickoxyde wird Kalium lediglich in ein Gemisch von Nitrit und Nitrat umgewandelt, ohne das Anzeichen einer Bildung des Monoxyds K_2O , wie dies von früheren Beobachtern behauptet wurde, aufgefunden werden konnten. Unter den Oxyden des Kaliums ist somit das Tetroxyd als das am besten dehnbar und beständigste Oxyd zu betrachten. — Bei der Oxydation des Natriums werden im Allgemeinen dieselben Erscheinungen wie beim Kalium beobachtet. Der Schmelzpunkt wurde bei 92° gefunden. Für die Versuche wurde das Metall der gleichen Reinigung, wie vorher das Kalium, unterworfen. Ebenso wenig wie dieses, entzündet sich das Natrium in völlig trockenem Sauerstoff, selbst wenn es bis zum Sieden erhitzt wird. Wird der Sauerstoff bei 235° in das geschmolzene Metall eingeleitet, so findet an der Oberfläche eine geringe Oxydation statt. In keinem Falle aber entstand das Suboxyd Na_2O , sondern stets eine grau gefärbte Masse eines Gemisches von Natriumoxyd mit Natrium. Wurde granulirtes Natrium mit einer beschränkten Menge mäßig trockenem Sauerstoffs nicht über 180° erhitzt, so bildete sich das *Natriummonoxyd*, Na_2O , eine grauweiß gefärbte Masse. Wird diese mit einem Ueberschuss von Sauerstoff, oder besser noch wird Natrium in einem raschen Strome des Gases unter schneller Temperatursteigerung erhitzt, so entsteht ein gelbes Oxyd, welches beim Abkühlen gelblichweiß wird und *Natriumsuperoxyd*, Na_2O_2 , ist. Dasselbe wird bei weiterem und höherem Erhitzen in Sauerstoff nicht in eine höhere Oxydationsstufe übergeführt. Stickoxyd wirkt auf Natrium unter Bildung des Monoxyds ein; mit den höheren Stickoxyden entsteht lediglich ein Gemisch von Nitrit und Nitrat. — Lithium verbrennt in mäßig trockenem Sauerstoff etwa um 250° mit glänzend weißer Flamme zu einem schwammigen, gelben Oxyd, welches beim Erkalten weiß wird und aus reinem *Lithiummonoxyd*, Li_2O , besteht. Selbst bei einem großen Ueberschuss von Sauerstoff und bei langem Erhitzen konnten niemals mehr als Spuren des Peroxyds erhalten werden. Ap.

Arthur W. Titherley. Die Amide von Natrium, Kalium und Lithium¹⁾. — Zur Darstellung von *Natriumamid* wird ein Strom von sorgfältig getrocknetem Ammoniak über Natrium geleitet, welches in einer Retorte aus Silber oder aus polirtem Eisen mittelst eines Bunsenbrenners auf 300 bis 400° erhitzt wird. Die Einwirkung geht zunächst sehr schnell, schließlich langsamer vor.

¹⁾ Chem. Soc. J. 65. 504—522.

Statten, so daß ein großer Ueberschuß an Ammoniak zur Umwandlung der letzten Antheile nothwendig ist. Danach läßt man im Ammoniakstrome erkalten und hebt die in Stücke gebrochene Masse unter trockenem Aether oder Benzol auf. Das so in beinahe theoretischer Ausbeute erhaltene Präparat ist eine weiße, durchscheinende Masse von krystallinischer Structur. Wenn frühere Beobachter die Substanz von olivbrauner, grüner oder gelber Farbe erhalten haben, so rührt dies von Verunreinigungen her. Die Schmelzpunktsbestimmung des Natriumamids muß unter besonderen Vorsichtsmaßregeln ausgeführt werden, da die Substanz durch die Luftfeuchtigkeit zersetzt wird. Die Masse erweicht bei 149° und ist bei 155° vollständig geschmolzen. Bei 400° sublimirt das Amid als ein weißes Pulver; wird dieses gelinde erhitzt, so schmilzt es und krystallisirt beim Abkühlen in schönen, durchsichtigen Nadeln. Die Zusammensetzung des Natriumamids wurde auf synthetischem Wege erschlossen, indem einmal das Gewicht des Amids bestimmt wurde, welches aus einem bekannten Gewicht Natrium entstanden war, und das andere Mal das Verhältniß zwischen dieser Gewichtszunahme und der Menge des in Freiheit gesetzten Wasserstoffs ermittelt wurde. Beide Methoden führten zur Bestätigung der allgemein angenommenen Formel NaNH_2 . Nach früheren Autoren sollen beim Erhitzen von Natriumamid Dinatriumamid und Stickstoffnatrium entstehen; Verfasser vermochte diese Angaben nicht zu bestätigen. Wird Natriumamid in Gefäßen erlitzt, die es nicht, wie Glas, angreifen, so färbt es sich beim Erhitzen über seinen Schmelzpunkt bis zu 400° schließlich dunkelgrün, wird beim Erkalten aber wieder farblos. Ueber 400° beginnt es sich unter schwacher Zersetzung zu verflüchtigen und condensirt sich beim Abkühlen zu einer grünen Flüssigkeit, welche zu einer weißen Masse erstarrt. Bei Rothgluth zersetzt es sich in seine Elemente Natrium, Wasserstoff und Stickstoff und nicht in Stickstoffnatrium und Ammoniak. Wird Natriumamid bei Dunkelrothgluth in einem Strome von Ammoniak erhitzt, so wird dieses continuirlich in Wasserstoff und Stickstoff zerlegt; offenbar, weil bei dieser Temperatur das Natriumamid primär in Wasserstoff, Stickstoff und Natrium zerfällt und aus letzterem und Ammoniak wieder zurückgebildet wird. Beim Erhitzen von Natrium und Natriumamid auf 300 bis 400° entsteht schließlich eine dunkelblaue, beinahe schwarze Masse, welche beim Abkühlen grau und trübe, beim Erhitzen aber wieder schön blau wird. Jedoch liegt auch in dieser Substanz nicht Dinatriumamid vor. Denn weder entweicht bei ihrer Bildung aus Natrium und

Natriumamid Wasserstoff, noch auch wird Natrium in der zur Iridbildung erforderlichen Menge gelöst. Beim Erhitzen im Vacuum auf etwa 300° destillirt die Masse unzersetzt als eine prachtvoll blaue Flüssigkeit, welche beim Erkalten zu einem grauen Product erstarrt. Vielleicht ist dasselbe analog dem Natriumammonium $(\text{NaNH}_2)_2$ von Joannis ¹⁾, welches sich als tiefblaue Flüssigkeit beim Auflösen von Natrium in flüssigem Ammoniak bildet. Ammoniakgas wirkt auf Natriumoxyd beim Erhitzen unter heftiger Reaction und Entzündung ein: es entsteht jedoch auch hier nicht Dinatriumamid, sondern lediglich ein Gemisch von Natriumamid und Natriumhydroxyd. — *Kaliumamid.* Das Präparat wurde in derselben Weise wie das Natriumamid dargestellt und analysirt und die von den früheren Autoren aufgestellte Formel KNH_2 bestätigt gefunden. Wenn es in einer silbernen Retorte dargestellt ist, so ist es nicht dunkelolivgrün oder braun, sondern weiß und von wachsähnlichem Ansehen; beim Erhitzen schmilzt es zu einer beinahe farblosen, schwach grünstichigen Flüssigkeit, welche bei höherem Erhitzen, wie beim Natriumamid, dunkler wird. Ueberhaupt sind die Amide des Kaliums und Natriums einander sehr ähnlich. Kaliumamid schmilzt bei 270 bis 272° , nachdem es einige Grade vorher erweicht ist. Es wird in verschiedenen Formen, als Krystalle, Stücke, als febrartiges Sublimat oder als feines, weißes Pulver erhalten. In feuchter Luft zersetzt es sich schnell unter Bildung von Kaliumhydroxyd und Ammoniak; ebenso wird es von Kohlendioxyd zersetzt. Die Versuche über die Existenz des *Kaliumnitrids* führten zu gleich negativen Ergebnissen, wie beim Natrium. Die entgegengesetzten Angaben von Gay Lussac und Thénard, sowie von Davy, welche in die Lehrbücher Eingang gefunden haben, finden darin ihre Erklärung, daß die genannten Forscher ihre Versuche über die Zersetzung des Kaliumamids durch Hitze in Gefäßen aus Glas oder Porcellan ausführten. Wie Verfasser zeigt, wirkt Kaliumamid auf diese schon bei etwa 350° heftig ein unter Bildung von Silicaten und Aluminaten, während Ammoniak in Mengen entweicht; bei höherer Temperatur sind der Ammoniak auch Wasserstoff und Stickstoff beigemengt. Wenn das Kaliumamid dagegen in einem silbernen Gefäß erhitzt, durch welches es nicht zersetzt wird, so erweist es sich selbst bei Dunkelrothgluth als eine verhältnißmäßig bestandige Substanz; es schmilzt bei etwa 350° ohne jede Gasentwicklung zu einer

¹⁾ JB. f. 1892. S. 139—140.

grünlichblauen, durchsichtigen Flüssigkeit, welche bei 400° zu sieden beginnt. In einem Wasserstoffstrom kann das Amid bei einer Temperatur zwischen 400 bis 500° ohne Zersetzung destillirt werden; es condensirt sich zu einer blaugrünen Flüssigkeit, welche beim Abkühlen zu einer weissen Masse erstarrt. Bei voller Rothgluth siedet das Amid heftig unter theilweisem Zerfall in seine Elemente. Der Rückstand erstarrt beim Erkalten zu einer farblosen, glasigen Masse, welche indessen nur aus Kaliumamid besteht. In keinem Falle wurde eine unschmelzbare schwarze Masse erhalten, wie dies die früheren Beobachter angeben. Die Bildung dieser schwarzen Masse dürfte auf eine nicht genügende Reinigung des Kaliums von organischen Verunreinigungen zurückzuführen sein. — Kaliumamid wirkt auf Kaliumoxyd nicht ein, vielmehr kann es von diesem wieder unverändert abdestillirt werden. Da auch durch Einwirkung von Stickstoff auf Kalium bei hoher Temperatur Kaliumnitrid nicht gebildet wird, so darf angenommen werden, daß diese Verbindung nicht existirt. Beim Erhitzen von Kalium mit Kaliumamid bildet sich ein prachtvoll tiefblau gefärbtes Product, welches jedoch aus gleichen Gründen wie beim Natrium nicht als Dikaliumamid zu betrachten ist. *Lithiumamid.* Lithium wird schon bei schwachem Erhitzen von Ammoniakgas lebhaft angegriffen, indem es unter Glüherscheinung mächtig aufschwillt und fast nur reiner Wasserstoff entweicht; zur völligen Umwandlung in das Amid ist es indessen nöthig, schliesslich auf 400° zu erhitzen, wobei das Amid geschmolzen erhalten wird. Lithiumamid bildet lange, durchscheinende, farblose Nadeln, welche geschmolzen einen leichten, grünlichen Schimmer haben, beim Abkühlen jedoch wieder zu einer weissen Masse erstarren. Ausser durch seine ausgezeichnete Krystallisationsfähigkeit unterscheidet sich das Lithiumamid von den beiden vorhergehenden auch durch den höheren Schmelzpunkt, welcher zwischen 380 bis 400° liegt, sowie durch die geringere Reactionsfähigkeit gegen Wasser, Salzsäure und Alkohol. Während die Amide des Natriums und des Kaliums von diesen heftig zersetzt werden, vollzieht sich ihre Einwirkung auf Lithiumamid nur allmählich unter Entwicklung von Ammoniak. Beim Erhitzen in einem silbernen Gefäß selbst auf volle Rothgluth erleidet es nur geringe Zersetzung, während ein Theil sich unzersetzt verflüchtigt. — Bei allen vorhergehenden Versuchen war beobachtet worden, daß, wie bereits erwähnt, Glas sehr heftig von den Amidn angegriffen wird. Zur Vervollständigung hat Verfasser nach dieser Richtung noch einige Experimente angestellt. Kalk kann mit den Amidn des Kaliums und

Natrium selbst auf 450° erhitzt werden, ohne einzuwirken. Beim Erhitzen mit Kieselsäure dagegen tritt Reaction ein unter Abspaltung von Ammoniak: über 400° treten noch Wasserstoff und Stickstoff auf. Der Rückstand besteht aus einem Gemisch von Silicat und Siliciumnitrid. Das Nitrid ist ein amorphes, braunes Pulver, welches erst beim Schmelzen mit Kali in Silicat und Ammoniak umgewandelt wird. In gleicher Weise wird unter Bildung von Wasser, Ammoniak, sowie von kleinen Mengen Stickstoff und Wasserstoff aus Borsäureanhydrid und Natriumamid Natriumborat und Borstickstoff erhalten. Mit Kohlendioxyd entsteht im Wesentlichen das Natriumsalz des Cyanamids, mit Kohlenoxyd Cyannatrium, wie dies bereits von Beilstein und Günther angegeben worden ist. Bei schwachem Erwärmen mit Nitrosylchlorid wird Kaliumamid unter heftiger Reaction in Chlorkalium, Stickstoff und Wasser zersetzt; in der Kälte wirkt das Gas nicht ein. Versuche, aus den Amiden und Halogenalkylen zu organischen Basen zu gelangen, ergaben, trotzdem die Bedingungen vielfach geändert wurden, stets nur sehr geringe Mengen der gesuchten Verbindungen. Mit Nitrobenzol entsteht beim Erwärmen unter complicirter Reaction Phenylisocyanid. Im Allgemeinen wirken organische Verbindungen heftig ein; aber die Reaction verläuft meist nicht einfach; tritt hierbei Verkohlung ein, so ist unter den Reactionenproducten Cyankalium oder Cyannatrium enthalten. *Kp.*

A. Joannis. Einwirkung von Phosphorwasserstoff auf Kalium- und Natriumammonium¹⁾. — Phosphorwasserstoff wird von Kaliumammonium, welches in flüssigem Ammoniak gelöst ist, allmählich absorbirt, indem sich gleichzeitig Wasserstoff entwickelt. Schliesslich entsteht eine das Licht, wie Schwefelkohlenstoff, stark brechende Flüssigkeit. Beim Entweichen des Ammoniaks scheiden sich feine, weisse Nadeln von der Zusammensetzung PH_2K ab, welche dem *Kaliumamid* NH_2K analog sind und als *Kaliumphosphid* bezeichnet werden. Die Lösung von Natriumammonium in flüssigem Ammoniak verhält sich dem Phosphorwasserstoff gegenüber ganz ähnlich; auch hier entsteht eine das Licht stark brechende Flüssigkeit. Jedoch erhält man beim Entweichen des Ammoniaks bei 0° keine Krystalle, dagegen gesteht die ursprüngliche Lösung bei starker Abkühlung zu einer festen Masse. Erwärmt man den nach dem Entweichen des Ammoniaks verbliebenen flüssigen Rückstand schliesslich auf 65 bis 69°, so erhält man eine feste, weisse Masse von *Natriumphosphid*. Durch Einwirkung von Wasser

¹⁾ Compt. rend. 119, 557—559.

sowohl, wie durch Erhitzen werden diese Verbindungen unter Entwicklung von Phosphorwasserstoff zersetzt. Kp.

Spencer Umfreville Pickering. Die Dichten von Kalium- und Natriumhydroxydlösungen ¹⁾. — Es ist bemerkenswerth, daß es keine neueren und exacten Dichtebestimmungen der Lösungen von Kalium- und Natriumhydroxyd giebt. Die Tabellen, welche in den gebräuchlichen Handbüchern wiedergegeben werden, beruhen auf Bestimmungen von Tünnermann aus dem Jahre 1827 und weisen Fehler bis zu einer Einheit in der zweiten Decimale auf. Auch die Bestimmungen von Berthelot, Dalton und Richter machen auf Genauigkeit keinen Anspruch. — Das bei den zahlreichen Bestimmungen des Verfassers angewandte Aetznatron wurde aus Natrium hergestellt, das Aetzkali durch Umkrystallisiren aus Alkohol gereinigt. Die Lösungen wurden 12 bis 24 Stunden vor der Bestimmung bereitet, der Gehalt der concentrirten Lösungen durch Titration ermittelt und daraus die minder concentrirten Lösungen durch Verdünnen erhalten. Dieselbe Lösung wurde niemals zweimal benutzt. Die Temperatur war in allen Fällen $15^{\circ} \pm 0,01$. Verfasser berechnete den mittleren Fehler bei den Natriumhydroxydbestimmungen auf Grund der graphischen Methode ²⁾ zu 0,00000631 und ermittelte nach derselben Methode die Knickpunkte der Dichtecurven von Natronlauge. Er findet solche bei Gehalten 42,6, 38,77, 35,0, 29,4, 24,05, 20,0, 12,1 und 3 bis 4 Proc. NaOH, welche den Hydraten NaOH.3 $\frac{1}{2}$ oder 3 H₂O, NaOH.3,5 H₂O, NaOH.4 H₂O, NaOH.5 H₂O, NaOH.7 H₂O, NaOH.9 H₂O, NaOH.16 H₂O und NaOH.53 H₂O entsprechen würden. Die Hydrate mit 3 $\frac{1}{2}$ bis 7 H₂O hat Verfasser früher ³⁾ isolirt und sowohl diese, als auch die anderen durch Knickpunkte in der Gefrierpunktscurve nachgewiesen. Die Ergebnisse der Kaliumhydroxydbestimmungen waren dem Verfasser weniger interessant als die vorigen. Es wurden vier Knickpunkte in der Dichtecurve aufgefunden, welche jedoch nur wenig hervortreten. Sie liegen bei Gehalten 43,2, 35,4, 19,0, 8,0 Proc. KOH und entsprechen den Hydraten KOH.4,05 H₂O, KOH.5,68 H₂O, KOH.13 H₂O und KOH.36 H₂O. Das Hydrat mit 4 Mol. Wasser stimmt mit dem vom Verfasser kürzlich ⁴⁾ aufgefundenen Tetrahydrat überein. Die Ergebnisse der Arbeit sind in zahlreichen Tabellen zusammengestellt worden; von diesen seien nur die beiden folgenden hier mitgetheilt.

¹⁾ Phil. Mag. 37, 359–375. — ²⁾ JB. f. 1891, S. 194; f. 1892, S. 223. — ³⁾ JB. f. 1893, S. 84. — ⁴⁾ Daselbst.

Specifisches Gewicht von Natronlauge bei 15°.

Procent NaOH	Spec. Gewicht	Procent NaOH	Spec. Gewicht	Procent NaOH	Spec. Gewicht
0	0,999188	17	1,188707	34	1,378453
1	1,010611	18	1,199783	35	1,383815
2	1,021920	19	1,210861	36	1,394092
3	1,033109	20	1,221933	37	1,404279
4	1,044317	21	1,233062	38	1,414363
5	1,055463	22	1,244119	39	1,424353
6	1,066602	23	1,255134	40	1,434299
7	1,077733	24	1,266092	41	1,444161
8	1,088856	25	1,277063	42	1,453929
9	1,099969	26	1,287990	43	1,463623
10	1,111069	27	1,298877	44	1,473249
11	1,122165	28	1,309708	45	1,482850
12	1,133250	29	1,320496	46	1,492406
13	1,144333	30	1,331213	47	1,501927
14	1,155450	31	1,341879	48	1,511412
15	1,166538	32	1,352472	49	1,520868
16	1,177619	33	1,362991	50	1,530282

Specifisches Gewicht von Kalilauge bei 15°.

Procente KOH	Spec. Gewicht	Procente KOH	Spec. Gewicht	Procente KOH	Spec. Gewicht
0	0,99918	18	1,16875	36	1,35435
1	1,00834	19	1,17855	37	1,36536
2	1,01752	20	1,18839	38	1,37686
3	1,02671	21	1,19837	39	1,38793
4	1,03593	22	1,20834	40	1,39906
5	1,04517	23	1,21838	41	1,41025
6	1,05443	24	1,22849	42	1,42150
7	1,06371	25	1,23866	43	1,43289
8	1,07302	26	1,24888	44	1,44429
9	1,08240	27	1,25918	45	1,45577
10	1,09183	28	1,26954	46	1,46733
11	1,10127	29	1,27997	47	1,47896
12	1,11076	30	1,29046	48	1,49067
13	1,12031	31	1,30102	49	1,50245
14	1,12991	32	1,31166	50	1,51430
15	1,13955	33	1,32236	51	1,52622
16	1,14925	34	1,33313	52	1,53822
17	1,15898	35	1,34396		Kp.

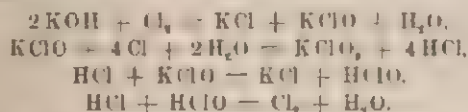
Felix Oettel Studien über die elektrolytische Bildung von unterchlorigsauren und chlorsauren Salzen¹⁾. — Die Versuche wurden angestellt, um die Wirkung der Stromdichte auf die Stromausbeute kennen zu lernen. Da zur Bildung von Hypochlorit sowohl, wie von Chlorat jedesmal ebenso viele Moleküle Alkali, wie Chlor in Reaction treten, dasselbe Verhältniss aber auch bei der Elektrolyse wässriger Chlorkaliumlösungen entsteht, so wurde, um die günstigsten Bedingungen für die Bildung der genannten Salze zu treffen, ohne Benutzung einer Membran gearbeitet. Häufsermann und Naschold²⁾ haben bei ihren analogen Versuchen eine solche angewendet; ihre Arbeit ergänzt mithin die vorliegende nach dieser Richtung. Verfasser weist zunächst auf die Vortheile hin, welche bei diesen und ähnlichen elektrolytischen Untersuchungen die Gasanalyse bietet. Er schaltet in den Hauptstrom ein Knallgasvoltameter ein und vergleicht die Volumina der Gase, welche sich zu gleicher Zeit aus dem Voltmeter und der Versuchszelle entwickeln. Auf diese Weise gelingt es, den Verlauf der Vorgänge kennen zu lernen, welche sich an jeder der beiden Elektroden abspielen. In der gleichen Zeit sollten sich sowohl aus dem Voltameter, wie bei der Elektrolyse von Chlorkaliumlösung gleiche Volumina Wasserstoff entwickeln; wird im letzteren Falle weniger Wasserstoff abgeschieden, so ist an der Kathode ein Reductionsproceß vor sich gegangen, dessen Betrag aus der Wasserstoffdifferenz zu berechnen ist. Andererseits stellen die Mengen Chlor, welche zu Beginn der Elektrolyse auftreten, einen Stromverlust dar, welchen Verfasser mit „unbenutzt“ bezeichnet. Ein zweiter Stromverlust entsteht im Verlauf der Elektrolyse durch den an der Anode entweichenden Sauerstoff, welcher der elektrolytischen Zersetzung von bereits gebildetem Hypochlorit entstammt und mit „Wasserzersetzung“ bezeichnet wird, da gleichzeitig Wasserstoff auftritt. Um die verschiedenen Stromwirkungen kennen zu lernen, ist es nur nöthig, das aus der Versuchszelle entwickelte Gas zu analysiren und das gleichzeitig im Voltameter gebildete Knallgas zu messen. An einem Beispiel werden die auf die verschiedenen Reactionen entfallenden Stromanteile berechnet. Werden die zu verschiedenen Zeiten erhaltenen Stromausbeuten in ein Coordinatensystem eingetragen, so ergibt sich vermittelst der erhaltenen Curve in einfacher Weise die mittlere Stromausbeute während der ganzen Versuchsdauer. Die-

¹⁾ Zeitschr. Elektrotechn. u. Elektrochem., 1894, S. 354—361. — ²⁾ Vgl. das folgende Referat.

selbe erhält man auch, wenn man in den Stromkreis noch ein Kupfervoltameter einfügt und das Gewicht des abgeschiedenen Kupfers, sowie die Gesamtmenge des wirksamen Chlors durch Titration ermittelt. Der Gehalt der Versuchslösung an entstandenem Hypochlorit und Chlorat wurde am Ende des Versuchs festgestellt; die unterchlorige Säure wurde jodometrisch, das gesamte wirksame Chlor durch Eisenvitriol und Bichromat bestimmt. Die Chlorsäure ergab sich aus der Differenz dieser beiden Werte. Die Versuchsanordnung war so getroffen, daß in einen Stromkreis hinter einander ein Kupfervoltameter, ein Knallgasvoltameter und die Versuchszelle nebst Ampèremeter und Widerstand geschaltet waren. Das Knallgasvoltameter war mit Natronlauge 1:7 gefüllt, besaß als Elektroden zwei concentrische Cylinder aus Nickelblech und hat sich ausgezeichnet bewährt. Die Versuchszelle bestand aus einem Standcylinder, welcher durch eine mit Flanschen und Bolzen aufgepresste Gummiplatte verschlossen wurde. Durch die Platte waren die Elektroden, Platinbleche oder -drähte, ferner ein capillar endendes Gasableitungsrohr, sowie ein auf den Boden des Cylinders ragendes Glasrohr eingeführt. Letzteres, für gewöhnlich geschlossen, diente zum Füllen und Entleeren des Apparates. Die Stromstärke betrug 1 bis 1,2 Amp., die Versuchsdauer zwei Stunden.

1. *Bildung von Hypochloriten.* Da bei der Elektrolyse wässriger Chlorkaliumlösungen wesentlich in der Kalte Hypochlorit entstehen soll, so wurde bei Zimmertemperatur gearbeitet. Es entstand jedoch in allen Fällen neben dem Hypochlorit auch chlorsaures Salz; auch erscheint es dem Verfasser nach den bei einigen Versuchen beobachteten Differenzen zwischen der tatsächlichen und der berechneten Stromausbeute nicht unmöglich, daß in geringer Menge auch noch überchlorsaures Salz entsteht. Bei der Elektrolyse einer neutralen 20 proc. Chlorkaliumlösung entwich freies Chlor nur in den ersten Minuten des Versuchs, die mittlere Stromausbeute betrug 43,7 Proc.; jedoch fällt die Ausbeute ziemlich rasch, um einem constanten Werth von etwa 20 Proc. zuzustreben. Bei Zusatz von Salzsäure entwich so lange Chlor, bis die Säure zersetzt war; bei Gegenwart von freiem Alkali wurde ein bedeutender Stromverlust durch Reduction des bereits gebildeten Hypochlorits an der Kathode herbeigeführt. Wird die Stromdichte an der Kathode erhöht, so steigt die Stromausbeute, jedoch verursacht die niedrige Stromdichte an der Anode lebhaft Sauerstoffentwicklung in Folge der Elektrolyse des Hypochlorits. Um beide Uebelstände zu vermeiden, müssen demnach die *Stromdichten an beiden Elektroden möglichst hoch* genommen werden.

Auf diese Weise wurde eine mittlere Stromausbeute von 54,9 Proc. erzielt; auch hier fiel jedoch die Ausbeute ziemlich rasch auf einen constanten Werth von etwa 30 Proc. Da somit auch unter diesen günstigsten Bedingungen namhafte Mengen des gebildeten Hypochlorits vom Strome wieder reducirt werden, so folgt, daß man hochhaltige Hypochloritlaugen elektrolytisch nicht erzeugen kann. Verfasser erhielt als höchst erreichbare Concentration 12,7 g bleichendes Chlor in 1 Liter Lauge. II. *Bildung von Chloraten.* Durch einen besonderen Versuch wurde festgestellt, daß sich bereits entstandenes Kaliumchlorat an den elektrolytischen Vorgängen nicht theilhaftig und daß der anodisch auftretende Sauerstoff einzig und allein der Elektrolyse des Hypochlorits entstammt. Verfasser erwartete von einem Arbeiten in der Wärme eine wesentliche Steigerung der Stromausbeute in der Annahme, daß Kaliumhypochlorit in der Wärme in Kaliumchlorat und Chlorkalium übergeht. Die Versuche bestätigten indessen die Erwartung nicht, sie lieferten im Allgemeinen dieselben Ergebnisse, wie die Versuche bei Zimmertemperatur. Die Ursache konnte darin liegen, daß Kaliumchlorat vom Strome in der Wärme reducirt wird. Im Gegensatz hierzu konnte festgestellt werden, daß Kaliumchlorat gegen die Reductionswirkungen des Stromes, sowie überhaupt gegen Reductionsmittel in alkalischer Lösung sehr beständig ist. Es wird nur leicht in saurer Lösung, z. B. in essigsaurer durch Zink oder Magnesium, reducirt. Ferner ergaben Versuche, daß Kaliumchlorat durch Umwandlung von Hypochlorit unter gleichzeitiger Bildung von Chlorkalium nur in verschwindend geringem Maße gebildet wird, daß vielmehr das Kaliumchlorat durch Einwirkung von Chlor auf das Hypochlorit entsteht. Verfasser nimmt bei der elektrolytischen Bildung von Chloraten aus neutralen Chloridlösungen die durch die folgenden Gleichungen ausgedrückten Reactionen an:



Die Bildung des Chlorats erfolgt also nur bei Gegenwart von überschüssigem Chlor; dieses wird zum Theil durch den Proceß regenerirt. Um eine möglichst hohe Ausbeute an Chlorat zu erzielen, ist demnach dafür zu sorgen, daß einerseits das entstandene Hypochlorit an der Kathode durch Reduction nicht wieder zerstört werde, und daß andererseits an die Anode nicht eher neues Aetzkali trete, bis das vorhandene Hypochlorit in Chlorat übergeführt

ist. Obgleich es zunächst den Anschein hat, als ob diesen Bedingungen nur durch Anwendung einer Membran genügt werden könne, ist Verfasser dennoch in der Lage, einige Zahlen aus einer noch unfertigen Versuchsreihe mitzuthellen, welche erkennen lassen, daß es auch ohne Anwendung einer Membran gelingt, die Stromausbeuten ganz erheblich zu steigern. Für die Technik ist die Anwendung einer Membran mit gleichzeitigem geregelterm Transport des an der Kathode erzeugten Aetzkalis in die Anodenkammer am einfachsten. Als Anodenmaterial dürfte wohl nur Platin zur Anwendung kommen. Den Schluß der Abhandlung bilden Betrachtungen über die Aussichten des elektrolytischen Kaliumchloratverfahrens im Großbetriebe.

Kp.

C. Häufsermann und Wilh. Naschold. Ueber die Herstellung von Kaliumchlorat auf elektrolytischem Wege ¹⁾. — Das bei der Elektrolyse wässriger Chlorkaliumlösungen auftretende Hypochlorit und Chlorat verdankt seine Entstehung einer secundären Reaction, der Einwirkung des elektrolytisch gebildeten Chlors auf das aus dem Kathoden- in den Anodenraum diffundirte Aetzkali. Verfasser theilen die Ergebnisse ihrer Versuche mit, welche sie zur Ermittlung der für die Chloratbildung günstigsten Bedingungen angestellt haben. Der benutzte Apparat bestand aus einem Kasten aus Eisenblech, welcher zugleich als Kathode diente, während der Anodenraum durch eine Pottasche-Zelle mit einer Anode aus Retortengraphit oder Platin gebildet wurde. Die Stromstärke betrug 5 Amp. und die Dauer der einzelnen Versuche drei Stunden. Durch Einsetzen des Apparates in ein Wasserbad konnte die Temperatur regulirt und bis auf 85° gesteigert werden. Nach beendeten Versuch wurde in der Kathodenflüssigkeit der Gehalt an Alkali und Gesamtchlor, in der Anodenflüssigkeit der Gehalt an diesem und an Chlorat, letzterer durch Reduction der gekochten und verdünnten Flüssigkeit mit Ferrosulfat und Titration des überschüssigen Eisensalzes bestimmt. Durch die erste Versuchsreihe, bei welcher bei gewöhnlicher Temperatur, sowie mit einer Stromdichte von 0,024 bis 0,033 Amp. pro Quadracentimeter und einer Badspannung von 4 bis 5 Volt unter wechselnden Bedingungen gearbeitet wurde, ergab sich, daß die beste Ausbeute an Chlorat erzielt wird, wenn die Anodenflüssigkeit immer schwach alkalisch gehalten wird. Die weiteren Versuche zeigten dann, daß die Erhöhung der Concentration des Elektrolyten, sowie der Temperatur eine beträchtliche

¹⁾ Chemikerzeit. 18. 867—858.

Verminderung der Badspannung und damit eine Steigerung der Stromausbeute herbeiführt. Bei der Herstellung von Kaliumchlorat im Grossen wird man daher eine concentrirte Chlorkaliumlösung bei etwa 80° der Elektrolyse unterwerfen müssen. Als Anode eignet sich Platin am besten; doch wird man auch an eine Verwendung von Blei oder Bleisuperoxyd denken können, da die Anodenflüssigkeit immer alkalisch gehalten werden muß. Die Abscheidung des Chlorats aus der Anodenflüssigkeit gelingt leicht durch Eindampfen derselben und Waschen des auskrystallisirten Salzes zur Entfernung des Chlorkaliums. Abgesehen von Erwägungen finanzieller Natur hängt die Frage nach der fabrikmässigen Gewinnung von Chlorat auf elektrolytischem Wege ganz wesentlich von der Möglichkeit ab, ob ein chlor- und alkali-beständiges Diaphragma von geringem Widerstande zu beschaffen sein wird. Die Darstellung von Natriumchlorat gelingt unter den nämlichen Bedingungen, wie die des Kaliumchlorats. *Kp.*

Désiré Korda. Die Fabrikation von Kaliumchlorat¹⁾. — Nach einleitenden allgemeinen Bemerkungen über die Bedeutung des elektrischen Stromes für die chemische Industrie namentlich dann, wenn genügende und gelegene Wasserkräfte zur billigen Erzeugung der elektrischen Kraft zur Verfügung stehen, beschreibt Verfasser eine Fabrik zur Darstellung von Kaliumchlorat, welche von der Société d'Electrochimie de Paris et de Lausanne in Vallorbes in der Schweiz in der Nähe von Pontarlier an den Fäden der Orbe erbaut wurde. Dieselbe ist seit 1890 im Betriebe und verfügt über eine Wasserkraft von 3000 Pferdestärken. Ein besonderer Vortheil bei der Anwendung des elektrischen Stromes zur Darstellung von Kaliumchlorat besteht darin, dafs man ausser Chlorkalium keiner anderen Materialien bedarf, während deren bei dem gewöhnlichen chemischen Verfahren eine ganze Anzahl — Kochsalz, Schwefelsäure, Braunstein, Kalk, Chlorkalium — erforderlich sind, und die Nothwendigkeit, die Zwischenproducte zu verwerthen, noch hinzukommt. Gearbeitet wird nach dem Verfahren von Gall und Montlaur, welches sich auf die alten Versuche von Kolbe stützt. Die Zersetzung der concentrirten Chlorkaliumlösung wird in einer Zelle mit Diaphragma vorgenommen. Letzteres ist nothig wegen der Bildung von Wasserstoff, welcher sonst die an der Anode entstehende Chlorsäure reduciren würde. Während der Elektrolyse circulirt die Flüssigkeit in der Richtung von der negativen zur positiven Elektrode; die elektrolysirte Lösung

¹⁾ Monit. scientif. 42, II, 502—503.

wird auf 45 bis 55° erwärmt, um etwa gebildetes Hypochlorit in Chlorat umzuwandeln. Die Kathode besteht aus Eisen oder Nickel, die Anode aus Platin oder aus einer Legirung von Platin mit 10 Proc. Iridium; die Stromstärke beträgt 50 Amp. pro Quadratdecimeter Elektrodenfläche. Das entstandene Kaliumchlorat krystallisiert, da es sehr schwer löslich ist, aus der Lösung aus und setzt sich ab, so dass es leicht entfernt werden kann. Die Fabrik arbeitete ursprünglich mit 10 Dynamomaschinen, welche mit den Turbinen zu je 160 Pferdekraften direct gekuppelt sind. Später kamen noch zwei Turbinen von je 700 Pferdekraften hinzu, welche ebenfalls die Dynamomaschinen von entsprechender Stärke unmittelbar antreiben.

Kp

J. W. Retgers. Ueber Kaliumnatriumchlorat ¹⁾. — Der zwischen Kalium- und Natriumsalzen bestehende chemische Contrast macht einerseits eine Isomorphie zwischen beiden unmöglich und giebt andererseits oft, wie bei den Sulfaten, den Carbonaten, den Tartraten u. s. f., Veranlassung zur Bildung von Doppelsalzen. Nach Verfassers Ansicht bilden *Kalium-* und *Natriumchlorat* ein ebensolches Doppelsalz. Kaliumchlorat schmilzt bei 359°, Natriumchlorat bei 248°, ein molekulares Gemisch beider bei 231°. Während ferner das geschmolzene Natriumchlorat als eine glasige, mit Sprüngen durchzogene isotrope Masse und das Kaliumchlorat in *schuppigen*, doppeltbrechenden Aggregaten erstarrt, bildet das molekulare Gemisch lamelläre Aggregate von schmalen, länglichen Tafeln oder dachen Nadeln, welche Doppelbrechung zeigen und wahrscheinlich dem monoklinen System angehören. Hiernach nimmt Verfasser in dem molekularen Gemisch ein Doppelsalz von *Kaliumnatriumchlorat*, $KNa(Cl_2O_6)$, an. Dasselbe wird durch Wasser zersetzt, indem sich beim Befeuchten mit einem Tropfen Wasser die klare Schmelze sofort trübt. Aus der wässrigen Lösung der Schmelze krystallisiren die einfachen Chlorate aus. Die Schmelzen dieser bleiben nach dem Benetzen mit Wasser dagegen vollkommen klar.

Kp.

Ronde. Kalium jodatum ²⁾. — Verfasser beklagt es, dass nur noch so wenige Präparate in den Laboratorien der Apotheken dargestellt werden; auch *Jodkalium* werde nur noch fabrikmässig gewonnen, obwohl sich seine Darstellung lohne, wenn das Rohjod aus erster Hand bezogen werde. Zur Herstellung des *Jodkaliums* wird die Eisenmethode empfohlen, welche mit allen Einzelheiten beschrieben wird. Gründlich gereinigte Eisenspane werden mit

¹⁾ Zeitschr. Kryst. 24, 127—129. — ²⁾ Pharm. Zeitzg. 39, 413—414.

Wasser übergossen und durch allmähliches Eintragen von Jod in Eisenjodür übergeführt. Nach vollendeter Operation wird die entstandene Lösung in eine solche von Kaliumbicarbonat eingetragen und für eine möglichst genaue Neutralisation gesorgt. Sodann wird von dem gebildeten Eisenschlamm durch Spitzbeutel abfiltrirt und gut nachgewaschen. In dem Filtrat werden durch Einleiten von Schwefelwasserstoff etwa anwesende fremde Metalle gefällt, jodsaures Kalium reducirt und meist vorhandener Farbstoff zerstört. Danach wird das Filtrat vom Schwefelwasserstoffniederschlag eingedampft, erforderlichen Falles mit Kaliumcarbonat oder Jodwasserstoffsäure neutralisirt und nunmehr bis zur Bildung einer Krystallhaut abgedampft. Das auskrystallisirte Salz wird gesammelt, mit Wasser abgespült und darauf sorgfältig getrocknet, da schon ein geringer Gehalt an Feuchtigkeit die Haltbarkeit des Salzes beeinträchtigt. Es empfiehlt sich daher, das Trocknen bei 120 bis 150° vorzunehmen. Schliesslich bringt Verfasser eine Aenderung derjenigen Vorschriften der Pharm. Germ. III in Anregung, welche sich auf die Prüfung der Alkalität des Jodkaliums und den Nachweis der Anwesenheit von Kaliumjodat beziehen.

Kp.

Charles O. Curtman. Ueber die Beschaffenheit des Kaliumjodids Marke U. S. P.¹⁾. — Verfasser fand bei der Untersuchung der genannten Proben von Kaliumjodid nach den Vorschriften der Pharmakopöe der Vereinigten Staaten (U. S. P.) verschiedene Mängel des Präparates, wie einen Gehalt an Jodat, an Natrium, Schwefelsäure, Salpetersäure, Chlor u. s. f. Den Jodgehalt ermittelte Verfasser durch Titration mit einer $\frac{1}{100}$ -Normallösung von Thalliumchlorür, welche der Jodkaliumlösung so lange zugesetzt wurde, bis auf weiteres Zufügen ein neuer Niederschlag nicht mehr entstand. Alsdann wurde durch Tüpfeln mit Natriumpalladiumchlorür zu Ende titirt. Zu diesem Zwecke wurde auf einer Milchglasplatte mit einer 10 proc. Lösung von Natriumpalladiumchlorür ein Strich gezogen und dieser nach dem Trocknen an dem einen Ende mit einer gesättigten Lösung von Thalliumjodür, an dem anderen Ende mit der zu prüfenden Lösung befeuchtet. Trat an beiden Enden die Schwarzung in gleicher Stärke auf, so wurde die Titration als beendet betrachtet. Die Werthe, welche Verfasser und Andere erhielten, wichen nur um ein Geringes von denen nach dem Mohr'schen Titrirverfahren ab.

Kp.

Société Wac'hé, Locoge u. Cie. Raffinirverfahren für Rüben-

¹⁾ Amer. Chem. Soc. J. 16, 678—682.

potasche¹⁾. — Das Raffinirverfahren besteht darin, daß man das Rohmaterial mit einer gesättigten Lösung von Kaliumsulfat (bei 25 bis 30°) oder Chlorkalium (in der Wärme) auslaugt, je nachdem unter den im Rohmaterial enthaltenen Salzen entweder die eine oder andere dieser Salze vorherrscht, wodurch man im Wesentlichen eine Lösung der Alkalicarbonate und -chloride, anderentheils einen festen, aus dem Unlöslichen und den Sulfaten gebildeten Rückstand erhält. Die so erhaltene Lösung wird dann entweder auf reine Potasche oder kaustisches Kali weiter verarbeitet, während der kaliumsulfathaltige Rückstand durch Auslaugen für die Herstellung der für den Hauptproceß benötigten Kaliumsulfatlösung Verwendung finden kann. *Op*

Rubidium, Cäsium, Thallium.

Hugo Erdmann. Die Salze des Rubidiums und ihre Bedeutung für die Pharmacie²⁾. — Nach ausführlichen allgemeinen Darlegungen über das Vorkommen, die Reindarstellung und die Analyse der Rubidiumverbindungen namentlich auch mit Hülfe des Spectralapparates, wobei Verfasser den Ausführungen von Mutamann³⁾ entgegentritt, wird eine Anzahl von Salzen des Rubidiums beschrieben. *Rubidiumdisulfat*, RbHSO_4 , entsteht durch Abrauchen eines von einer flüchtigen Säure sich ableitenden Salzes des Rubidiums mit überschüssiger Schwefelsäure als eine beim Abkühlen strahlig erstarrende Krystallmasse. Bei höherer Temperatur bildet sich *Rubidiumpyrosulfat*, $\text{Rb}_2\text{S}_2\text{O}_7$, eine glasartige Substanz, welche erst bei anhaltendem, starkem Erhitzen unter Entweichen von Schwefelsäureanhydrid in poröses, weißes, neutrales *Rubidiumsulfat* übergeht. Zur Darstellung dieses Salzes wird die heisse Lösung des Rubidiumeisensulfats mit Kalkmilch zerlegt. Die in Lösung gebliebene Menge Kalk wird mit Rubidiumcarbonat gefällt, das Filtrat schliesslich mit Schwefelsäure neutralisirt und zur Krystallisation eingedampft. Aus dem technischen Rubidiumthonerdealum entsteht so ein mit Kalium verunreinigtes Sulfat, welches sich durch Umkrystallisiren vom Kalium nicht befreien läßt. Rubidiumsulfat ist bei weitem löslicher, als Kaliumsulfat; bei Zimmertemperatur sind in 100 ccm 34.4 g Rubidiumsulfat löslich; bei 10° hatte die gesättigte Lösung das spec. Gew. 1,2978. *Rubidiumthonerdealum*, $\text{RbAl}(\text{SO}_4)_2 \cdot 12 \text{H}_2\text{O}$,

¹⁾ D. R.-P. Nr. 77182. — ²⁾ Arch. Pharm. 232, 3—36. — ³⁾ JB. I 1893, S. 455.

schmilzt bei 105° zu einer zähen Flüssigkeit, die bei weiterem Erhitzen unter Aufblähen in den wasserfreien Alaun übergeht. Das Brechungsvermögen wurde von Le Blanc zu 1,45648 bei 20 bis 23° bestimmt. *Rubidiumeisenalaun*, $\text{RbFe}(\text{SO}_4)_2 \cdot 12\text{H}_2\text{O}$, ist eine der am schönsten krystallisirenden Rubidiumverbindungen und wird in großen, schwach amethystfarbenen Octaëdern beim Krystallisiren einer mit der berechneten Menge Ferrisulfatlösung versetzten Rubidiumsulfatlösung erhalten. Da der Rubidiumeisenalaun ein bei weitem beständigerer Körper, als die entsprechende Kaliumverbindung ist, zudem auch durch Umkrystallisiren aus heissem Wasser gewonnen werden kann, so eignet er sich ganz besonders zur Reinigung des Rubidiums und Trennung desselben vom Kalium. Der Eisenalaun ist in heissem Wasser viel leichter löslich, als in kaltem; die heisse Lösung ist gelbroth, die kalte hellgelb gefärbt, ein Beweis für die fortschreitende hydrolytische Dissociation des gelösten Salzes bei steigender Temperatur. Brechungsexponent des Alauns $n = 1,48225$ bei 21 bis 22° , $d = 1,9520$, die Molekularrefraction somit $-135,63$; der Alaun schmilzt unter bestimmten Bedingungen bei 60° , der entsprechende Kaliumeisenalaun schon bei 33° . *Rubidiumchromalaun*, $\text{RbCr}(\text{SO}_4)_2 \cdot 12\text{H}_2\text{O}$, krystallisirt aus den vermischten concentrirten Lösungen von Rubidiumsulfat und violetter Chromsulfat in violetten Octaëdern, welche in kaltem Wasser schwer, in heissem leichter löslich sind. Beim Aufkochen färbt sich die Lösung dieses Alauns grün und krystallisirt beim Erkalten nicht mehr. *Rubidiumborfluorid*, RbBF_4 , entsteht als schwer löslicher, charakteristischer Niederschlag, wenn man eine Rubidiumsulfatlösung mit einer Lösung von Borfluorwasserstoffsäure versetzt und aufkocht. In 100 Thln. Wasser sind bei 20° $0,55$ Thle. des Salzes löslich. Das schwerlöslichste Rubidiumsalz ist das *Rubidiumkobaltnitrit*, $\text{Rb}_2\text{Co}(\text{NO}_2)_6 \cdot 11\text{H}_2\text{O}$. Zur Darstellung desselben bereitet Verfasser folgendes Reagens: 30 g Kobaltnitrat in 60 ccm Wasser werden mit 50 g Natriumnitrit in 100 ccm Wasser und mit 10 ccm Essig gemischt. Bald beginnt eine lebhafte Stickoxydentwicklung und es scheidet sich etwas Kaliumkobaltnitrit ab, von welchem abfiltrirt wird. Mit Hilfe dieses Reagens gelingt es, Rubidium aus ganz verdünnten Lösungen abzuscheiden. Bei 17° bedarf 1 Thl. Rubidiumkobaltnitrit 19800 Thle. Wasser zur Lösung. *Rubidiumcarnallit*, $\text{RbMgCl}_2 \cdot 6\text{H}_2\text{O}$, scheidet sich als Krystallbrei beim Vermischen einer Lösung von Chlorrubidium mit Chlormagnesium unter Erwärmen ab. Bei Zusatz von Wasser und beim Erwärmen löst sich das Salz auf und krystallisirt beim Er-

kalten in großen, glänzenden, rhombischen Säulen. Das Salz ist nicht zerfließlich und wird im Gegensatze zum Kaliumcarnallit durch Wasser nicht zersetzt, sondern löst sich ohne Veränderung aus heissem Wasser umkrystallisiren. Die Salze der Halogensauerstoffsäuren zeichnen sich sämmtlich durch Schwerlöslichkeit aus. In einer wässerigen Lösung von Ueberschlorsäure, die so verdünnt ist, daß Chlorkalium keinen Niederschlag mehr hervorruft, erzeugt Chlorrubidium noch einen reichlichen, weissen, krystallinischen Niederschlag. *Rubidiumperchlorat* krystallisirt aus heissem Wasser in stumpfen Rhomben. Durch Erhitzen von Rubidiumeisenalaun (274 g) mit gebranntem Marmor (100 g) und Salmiak (27 g), so lange noch Ammoniak entweicht, schliesslich auf Rothgluth, erhält man Chlorrubidium, welches man durch Auslaugen, Befreien der Lösung von Schwefelsäure und Kalk durch Barytwasser und Kohlensäure und Eindampfen zur Krystallisation gewinnt. In gleicher Weise entsteht Bromrubidium. Zur Darstellung von *Jodrubidium* empfiehlt Verfasser das ihm und seinem Bruder patentirte Verfahren¹⁾. Nach dreimaligem Umkrystallisiren des technischen Salzes ist dasselbe kaliumfrei. Analysirt wurde das Salz entweder durch Umsetzung mit Eisenammoniakalaun und Titration des abgeschiedenen Jods oder durch Ueberführung in Chlorrubidium. Specifisches Gewicht der kalt gesättigten Lösung = 1,726, der heiss gesättigten Lösung = 1,9629, specifisches Gewicht des festen Salzes = 3,447; Brechungsexponent $n = 1,6262$; Molekularrefraction gefunden 38,45, berechnet 39,16. Die Leitfähigkeit des Jodrubidiums ist von Wagner bestimmt worden; für $r = 32, 128, 512, 1024$ ist $\mu = 130,6, 137,0, 140,7, 144,3$. Für die Prüfung des Jodrubidiums auf Reinheit werden ausführliche Anweisungen gegeben. *Jodrubidiumquecksilberjodid* entsteht durch Auflösen von Quecksilberjodid in einer warmen Jodrubidiumlösung als glänzende, schwefelgelbe Prismen. Beim Uebergiessen mit Wasser zersetzt sich das Salz, aus heissem Alkohol ist es leicht umzukrystallisiren. Durch Einleiten von Chlor in die wässerige Lösung von Jodrubidium wird *Jodrubidiumtetrachlorid*, Rb_4Cl_4 , in dunkelgelben Tafeln erhalten, welche im Geruch an Jodtrichlorid erinnern und sich beim Erhitzen in dieses und Chlorrubidium zersetzen. Im Uebrigen zeichnet sich das Jodrubidiumtetrachlorid durch Schwerlöslichkeit, Beständigkeit und Krystallisationsfähigkeit vor dem entsprechenden Kaliumsalz aus und ist ein energisches Oxydationsmittel. Die Molekular-

¹⁾ D. R.-P. Nr. 66286 vom 13. Mai 1892.

refraction ist = 86,04. Ueber die Wirkung und pharmaceutische Verwendung von Jodrubidium ist das Original einzusehen. Kp.

N. Békétoff und Scherbatscheff. Neue Darstellungsmethode der Alkalimetalle¹⁾. — Die von Békétoff früher vorgeschlagene und befolgte Methode zur Darstellung der Alkalimetalle beruhte auf der Reduction der Hydroxyde durch metallisches Aluminium. Die Reaction geht leicht und bei mäßiger Temperatur von Statten, erlaubt auch größere Mengen der Metalle darzustellen, leidet aber an dem Uebelstande, daß man gemäß der Gleichung $4 M.OH + Al_2 = Al_2O_3 + M_2O + M_2 + 2 H_2$ nur die Hälfte des Metalls gewinnt, und daß die Hydrate so überaus hygroskopisch sind. Verfasser haben daher nunmehr eine Methode ausgearbeitet, die Alkalimetalle aus ihren Aluminaten nach dem Vorgange von Cl. Winkler mittelst metallischen Magnesiums abzuscheiden. Der Vorgang vollzieht sich z. B. nach der Gleichung: $Al_2O_3.K_2O + Mg = Al_2O_3.MgO + K_2$. Zur Darstellung des Cäsiums geht man vom Cäsiumalaun aus, dessen Lösung man mittelst Barythydrat zersetzt. Das Filtrat dampft man in einer Silberschale ein, fügt zu der concentrirten Lösung noch ein halbes Molekül Aluminiumhydrat oder auch metallisches Aluminium, dampft zur Trockne und glüht das Gemenge in einer Eisen- oder Nickelschale. Dasselbe ist sehr wenig hygroskopisch. Man mischt es mit einer dem vorhandenen Sauerstoff entsprechenden Menge Magnesium und destillirt es aus einem eisernen Rohre, wobei man das übergehende Cäsium in einer gläsernen Vorlage auffängt. Die geringe Menge Wasser, welche dem Gemenge anhäuft, wird durch das Magnesium zersetzt, wodurch sich - zum Vortheil der Operation - die Destillation in einer Wasserstoffatmosphäre vollzieht. Ebenso wird der ursprünglich im Apparate vorhandene Sauerstoff durch das Magnesium gebunden. Es gelingt nach dieser Methode, das Cäsium in fast quantitativer Ausbeute und in einer Operation mehr als 30 g zu gewinnen. Das specifische Gewicht des Cäsiums wurde zu 2,366 gefunden, während es nach Setteler nur 1,88 betragen soll. Setteler hat jedoch mit sehr kleinen Mengen Substanz gearbeitet. Das nach dem neu gefundenen Werthe berechnete Atomvolumen des Cäsiums ist 56, eine Zahl, welche viel wahrscheinlicher ist, als der Werth 75, welcher sich nach Setteler ergibt, weil dieselbe sich an die Werthe der Atomvolumina von Kalium und Rubidium anschließt.

Kp.

¹⁾ Bull. acad. imp. Pétersb. [5] 1, 61—63.

N. Békétoff. Thermochemische Bestimmung der Einwirkung des metallischen Cäsiums und seines wasserfreien Oxyds auf Wasser¹⁾. — Das Cäsium ist unter den Alkalimetallen das am schwierigsten zu handhabende. Es zersetzt sich heftig mit Wasser und die Reaction verläuft explosionsartig. Am besten gelangen die thermochemischen Bestimmungen, wenn man das Metall in umgebogene Röhren von etwa 3 mm lichter Weite einführt. Die Reaction verläuft dann regelmässig und schnell genug, so dass sich das Metall nicht mit einer schützenden Oxydschicht bedecken kann, welche die Reaction verlangsamen würde. Die Wärmeentwicklung bei der Reaction $\text{Cs} + \text{H}_2\text{O} + \text{aq} = \text{CsOH} + \text{aq} + \text{H}$ beträgt im Mittel 51563 Cal. und somit die Bildungswärme eines Moleküls *Cäsiumhydroxyd* 86063 Cal. Diese Wärmemenge ist die höchste von allen, welche bei Alkalimetallen beobachtet wurde. Zur Bestimmung der Bildungswärme des *Cäsiumoxyds* hat Verfasser das Oxyd in einem Apparate dargestellt, welcher einerseits die Bildung von Superoxyd, andererseits die Entstehung von Hydrat verhüten sollte. In einen Kupfertiegel war ein Tiegel aus Silber eingepalst, welcher mit einem silbernen Deckel verschlossen werden konnte. Ueber diesen schloß sich ein Kupferdeckel, welcher mittelst einer Schraube an den Silberdeckel fest angepresst wurde. Der Apparat konnte auf Rothgluth erhitzt werden, ohne dass Verbrennungsgase in das Innere gelangten. Zur Oxydation des Cäsiums wurde der Silbertiegel mit dem Metall beschickt und in einen eigens zu diesem Zwecke hergerichteten Exsiccator gebracht, durch dessen Deckel mittelst zweier Oeffnungen einerseits ein Silberstäbchen zum Umrühren des flüssigen Metalls, andererseits ein Rohr zur Zuleitung des Sauerstoffs eingeführt waren. Der sorgfältig getrocknete Sauerstoff wurde aus einem graduirten Gasometer mittelst concentrirter Schwefelsäure verdrängt und das Einleiten unterbrochen, sobald die zur Bildung des Oxyds genau nothwendige Menge verbraucht war. Während des Einleitens wurde der Exsiccator auf einem Sandbade auf 60 bis 90° erwärmt, nach beendeter Oxydation der Silbertiegel schnell mit seinem Deckel versehen, in den Kupfertiegel gebracht und nachdem auch dieser mit dem Deckel verschlossen war, das Ganze eine halbe Stunde auf 300° und darauf auf Rothgluth erhitzt, wobei man den Deckel etwas löfete, um den Dampf etwa überschüssigen Metalls entweichen zu lassen. Das erhaltene Oxyd war von dunkler Farbe und hinterließ beim Auflösen in Wasser

¹⁾ Bull. acad. imp. Petersb. 3, 541—544.

einen Rückstand von metallischem Silber und Silberoxyd. Das Cäsiumoxyd hatte den Silbertiegel angegriffen und die Verbindung CsOAg gebildet. Aus dieser wurde das Silber durch Erhitzen mit geringen Mengen Cäsium auf Rothgluth verdrängt und so ein Oxyd erhalten, welches beim Auflösen in Wasser nur Spuren von Silberoxyd neben metallischem Silber hinterließ. Die calorimetrischen Bestimmungen ergaben unter Berücksichtigung des Silbergehaltes des Präparates für die Lösungswärme des Cäsiumoxyds in Wasser $\text{Cs}_2\text{O} + \text{H}_2\text{O} + \text{aq} = 2\text{CsOH} + \text{aq} + 72150 \text{ Cal.}$ Hieraus und aus der Bildungswärme von einem Molekül Cäsiumhydroxyd berechnet sich die Bildungswärme von einem Molekül Cäsiumoxyd zu 99976 Cal. Dieser Werth ist niedriger, als die Bildungswärme von Natrium und Lithium, aber höher als die von Kalium und Rubidium. Die Hydratationswärme steigt in der Reihe der Alkalimetalle mit dem Atomgewicht; sie beträgt für Lithiumoxyd rund 26000, für Natriumoxyd 55000, für Kaliumoxyd 67000, für Rubidiumoxyd 70000 und für Cäsiumoxyd 72000 Cal.

Kp.

N. Békétóff. Ueber die Einwirkung von Wasserstoff auf wasserfreies Cäsiumoxyd¹⁾. — Durch Einwirkung von Wasserstoff auf die wasserfreien Oxyde der Alkalimetalle werden diese, wie Verfasser früher gefunden hat, reducirt, indem die Hälfte des Metalls frei und ein Molekül Hydroxyd gebildet wird. Verfasser bringt diese Reaction in Beziehung zu dem Verhältniß der Atomgewichte dieser Metalle zu dem Aequivalentgewicht des Sauerstoffs. Mit steigendem Atomgewicht des Metalls muß sich die Reaction leichter vollziehen. Dies ist in der That der Fall. Von allen Alkalioxyden ist Lithiumoxyd, bei dem das obige Verhältniß nahezu = 1 ist, das einzige, welches durch Wasserstoff nicht reducirt wird. Für das Lithiumoxyd würde die Reaction endotherm sein, während sie für die anderen Oxyde mehr oder minder exotherm ist. Daher vollzieht sie sich vom Natrium bis zum Rubidium bei immer weniger hohen Temperaturen und erfolgt beim Cäsium schon bei gewöhnlicher Temperatur. Wirft man etwas Oxyd in eine mit Wasserstoff gefüllte Röhre, so erfolgt eine schwache Explosion, und die Wände der Röhre bedecken sich mit einem Beschlag von metallischem Cäsium. Die Explosionen werden durch die geringe Menge Luft verursacht, welche beim Einbringen des Oxyds mit in die Röhre gelangt. Sorgt man für völligen Luftabschluß, so vollzieht sich die Reaction ohne

¹⁾ Bull. acad. imp. Petersb. 4, 247—249.

Explosion. Der Wasserstoff wird anfangs ziemlich rasch, später langsamer absorbirt, und die Reaction verläuft nach der Gleichung:
 $2\text{Cs}_2\text{O} + \text{H}_2 = 2\text{CsOH} + \text{Cs}_2.$ Kp.

N. Bekétoff. Ueber einige physiko-chemische Eigenschaften der Haloidsalze des Cäsiums¹⁾. — Verfasser theilt im Wesentlichen die Ergebnisse seiner thermochemischen Untersuchungen über das Jodeäcium mit. Für die Bildung dieses Salzes aus den Elementen berechnen sich: $\text{Cs} + \text{J} + \text{aq} = \text{Cs.J} \text{ gelöst} + 78400 \text{ cal.}$ Zur Bestimmung der Lösungswärme des Salzes wurde dasselbe durch doppelte Umsetzung von Cäsiumsulfat mit Jodbaryum dargestellt. In trockenem Zustande ist das Salz nicht hygroskopisch und selbst in geschmolzenem Zustande gegen den Sauerstoff der Luft beständig. Geschmolzen nimmt es eine braune Farbe an, wird aber nach dem Erkalten wieder weifs. Seine Lösungswärme beträgt -8164 cal. und demgemäfs die Bildungswärme des festen Jodeäciums aus den Elementen $+86564 \text{ cal.}$, eine Zahl, welche höher ist als die des Jodkaliums $+80130 \text{ cal.}$ nach Thomsen. In 100 Thln. Wasser sind bei 0° 44, bei $14,5^\circ$ 66,3 und bei 61° 150 Thle. Jodeäcium löslich; das specifische Gewicht der bei 14° gesättigten Lösung ist 1,393, das des trockenen Salzes 4,5227 und demgemäfs das Molekularvolumen $= 57,5$. Die Atomvolumina von Cäsium und festem Jod sind 70,7 und 25,6 und ihre Summe $= 96,3$. Daraus ergibt sich eine Volumencontraction während der Verbindung von Cäsium mit Jod von 40,3 Proc., während diejenige bei der Vereinigung von Kalium und Jod 22 Proc. beträgt. Nach Ansicht des Verfassers drückt sich dieser Unterschied der Volumcontraction nicht nur in dem Unterschiede der Bildungswärmen von Jodeäcium und Jodkalium, sondern auch in dem Verhältnifs der Atomgewichte der Componenten dieser beiden Salze aus. Dieses ist bei Jodeäcium $= 133,127$, also etwa $= 1$, während es sich beim Jodkalium $= 39,127$ weit davon entfernt. Verfasser erblickt darin eine neue Bestätigung seiner Regel über den Einflufs der Atomgewichte auf die chemische Verbindungsenergie, welcher sich durch die Bildungswärme und die Volumencontraction offenbart. Die Bildungswärme des festen Bromcäsiums aus den Elementen beträgt 99800 cal. , diejenige des gelosten Salzes 93500 cal. und die Lösungswärme für ein Molekül -6300 cal. Diese Werthe sind höher, wie die entsprechenden beim Kalium, welche nach Thomsen für das geloste Salz 90230 cal. und für das feste Salz 95300 cal. sind. Kp.

¹⁾ Bull. acad. imp. Pétersb. 4, 197—199.

Charles Lepierre. Ueber das Atomgewicht des Thalliums¹⁾. — Verfasser wendet sich gegen eine Kritik, welche F. W. Clarke an einer früheren Arbeit²⁾ des Verfassers über den gleichen Gegenstand geübt hatte. Für das Atomgewicht des Thalliums hält Verfasser an dem von ihm gefundenen Werth 203,62 fest. (Jedoch ist wiederum nicht angegeben, auf welche Einheit sich das Atomgewicht bezieht. Referent.) Kp.

G. Giorgis. Ueber das saure Thalliumcarbonat³⁾. — In Ergänzung früherer Versuche von Lamy und Des Cloiseaux erhielt Verfasser ein *Thalliumbicarbonat*, THCO_2 , in nadelförmigen Krystallen, indem er eine nicht gesättigte Lösung von Thalliumhydroxydul in einer Kohlensäureatmosphäre bei niedriger Temperatur langsam (in zwei Monaten) verdunsten liess. Bei höherer Aufsentemperatur und rascherer Verdunstung (in 14 Tagen) wurde ein thalliumreicheres Gemisch von Salzen abgeschieden. Die Thalliumhydroxydullösung erhielt Verfasser, indem er 20 g eines Gemisches von Oxydul und Oxyd mit Wasser auskochte, den Rückstand im Eisentiegel zur Rothgluth erhitzte, und die Masse abermals mit Wasser auszog. Die auf diese Weise nach einander gewonnenen Filtrate wurden vereinigt, mälsig eingedampft und unter völligem Ausschluss der Luft in einem Strome von Kohlensäure der Verdunstung überlassen. Kie.

H. L. Wells und S. L. Penfield. Ueber Thalliumtrijodid und seine Beziehung zu den Trijodiden der Alkalimetalle⁴⁾. — Die bekannte Aehnlichkeit zwischen den Thallosalzen und manchen der entsprechenden Alkalisalze bestimmte Verfasser, Thalliumtrijodid darzustellen und dasselbe mit den von ihnen früher⁵⁾ erhaltenen Alkalitrijodiden zu vergleichen. Sie fanden, dass es isomorph ist mit Rubidium- und Cäsiumtrijodid, und folgern daraus, dass auch dem Thalliumtrijodid dieselbe Structur eines Doppelsalzes $\text{TlJ} \cdot \text{J}_2$ zugeschrieben werden müsse, die sie für die Alkalitrijodide $\text{RbJ} \cdot \text{J}_2$, $\text{CsJ} \cdot \text{J}_2$ annehmen. Danach würde das Thalliumtrijodid sich nicht von dreiwertbigem Thallium ableiten und eine ganz andere Constitution besitzen, wie Thallsulfat, -nitrat etc. *Thalliumtrijodid* wurde unter Anlehnung an die Methode von Nickles dargestellt durch langes Digeriren der alkoholischen Lösungen von Thallojodid und Jod in geringem Ueberschuss und Einengen der Lösung über Schwefelsäure bis

¹⁾ Bull. soc. chim. [3] 11, 423—424. — ²⁾ JB. f. 1893, S. 12. — ³⁾ Accad. dei Lincei Rend. [5] 3, II, 104—109; Gazz. chim. ital. 24, II, 474—479. —

⁴⁾ Zeitschr. anorg. Chem. 6, 312—316; Sill. Am. J. 47, 468—466. — ⁵⁾ JB. f. 1892, S. 668 u. 671.

zur Krystallisation. Die erhaltenen Krystalle waren rhombisch, häufig von bedeutendem Umfange, vollkommen schwarz und von prächtigem Glanze, der sich an der Luft langsam verlor. Die Krystalle sind genau gemessen worden. Die nahe Uebereinstimmung zwischen den Formen der Trijodide des Rubidiums, Cäsium- und Thalliums ergibt sich aus den folgenden Axenverhältnissen

$$\text{RbJ}_3. \tilde{a} : \tilde{b} : \tilde{c} = 0,6858 : 1 : 1,1234$$

$$\text{CsJ}_3. \tilde{a} : \tilde{b} : \tilde{c} = 0,6824 : 1 : 1,1051$$

$$\text{TlJ}_3. \tilde{a} : \tilde{b} : \tilde{c} = 0,6828 : 1 : 1,1217$$

Ein Thallumpentajodid darzustellen, gelang nicht. Die Aehnlichkeit des Thalliums mit den Alkalimetallen, welche einerseits bei den Thalloverbindungen, andererseits bei dem Thalliumtrijodid zum Ausdruck kommt, veranlafste Verfasser zu der vorübergehenden Annahme, es möchte das Thallium zu den Alkalimetallen gehören und aus zwei elementaren Alkalimetallen bestehen, welche den beiden Lücken in der Gruppe dieser Elemente im periodischen System entsprechen würden. Zur experimentellen Prüfung dieser Frage wurde Thalliumnitrat fractionirt krystallisirt und die beiden am weitesten aus einander liegenden Fractionen, eine jede für sich, in das Sulfat umgewandelt. Diese wurde durch Behandlung mit Schwefelwasserstoff von Verunreinigungen befreit und in Thallochlorid übergeführt. Die Chlorbestimmung in beiden Präparaten führte jedoch übereinstimmend zu dem Atomgewicht 204,5 für Thallium ($O = 16$), so dafs hiernach kein Grund vorliegt, an der Einheitlichkeit des Thalliums zu zweifeln. Ap.

A. Joly. Ueber die Hypophosphate des Thalliums¹⁾. — *Dithalliumhypophosphat*, $\text{Tl}_2\text{H}_2\text{P}_2\text{O}_6$, entsteht durch genaues Neutralisiren von Unterphosphorsäure mit Thalliumcarbonat oder durch doppelte Umsetzung von Thalliumsulfat mit Monobaryumhypophosphat. Das Salz ist in heifsem Wasser löslicher, als in kaltem und krystallisirt beim Abkühlen seiner heifsen Lösung in farblosen, durchsichtigen, triklinen Prismen. Etwas unter 200° schmilzt das Salz ohne Gasentwicklung; die in Wasser gelöste Schmelze reducirt Silbernitrat, enthält also ein Phosphit. Wird die Temperatur über 200° gesteigert, so entwickelt sich Phosphorwasserstoff. *Tetrathalliumhypophosphat*, $\text{Tl}_4\text{P}_2\text{O}_6$, entsteht durch Umsetzung der berechneten Mengen von Thalliumsulfat und Dinatriumhypophosphat in zum Kochen erhitzten Lösungen. Das Salz ist in kaltem Wasser kaum löslich und krystallisirt beim

¹⁾ Compt. rend. 118, 649–650.

Erkalten der Lösung in kleinen, feinen, glänzenden, farblosen Nadeln. Auf 250° erhitzt, schmilzt das Salz unter Wärmeentwicklung und ohne einen Gewichtsverlust zu erliden. Die Schmelze ist schwarz und enthält Kügelchen von geschmolzenem, metallischem Thallium eingebettet in einem Metaphosphat: $\text{Ti, P}_2\text{O}_5 = 2\text{Ti} + 2\text{TiPO}_3$. Im directen Sonnenlicht färbt sich das Salz oberflächlich indigoblan; ob in Folge einer ähnlichen Zersetzung, wie in der Hitze, steht dahin.

Kp.

Beryllium, Magnesium.

Alph. Combes. Ueber die Werthigkeit des Berylliums und die Formel der Beryllerde¹⁾. — Zur Bestimmung der Werthigkeit des Berylliums dient seine Verbindung mit Acetylaceton. Dieselbe wird durch Vermischen einer essig-sauren Lösung von Beryllerde mit der äquivalenten Menge Acetylaceton in wässriger Lösung als weißer, krystallinischer Niederschlag erhalten, welcher in kaltem Wasser sehr wenig, mehr in heißem Wasser und in Alkohol sehr leicht löslich ist. Das *Acetylacetonat des Berylliums* krystallisirt aus Alkohol in orthorhombischen Prismen, schmilzt bei 108° , sublimirt theilweise schon bei 100° , ist sehr flüchtig und siedet unter 760 mm Druck unzersetzt bei 270° . Nach der Analyse und der Dampfdichtebestimmung kommt der Verbindung die Formel $(\text{C}_5\text{H}_7\text{O}_2)_2\text{Be}$ zu; demgemäß ist das Beryllium, wie gegenwärtig auch allgemein angenommen wird, ein zweiwerthiges Element und die Formel der Beryllerde BeO . Das entsprechende *Acetylacetonat des Aluminiums* ist in Wasser vollkommen unlöslich, krystallisirt in hexagonalen Tafeln, schmilzt bei 193 bis 194° und siedet bei 314° .

Kp.

H. F. Keller. Neuere Beiträge zu unserer Kenntniss der metallischen Reduktionsmittel²⁾. — Recapitulation der Versuche von Clemens Winkler, Seubert und Schmidt über die reducirende Wirkung des Magnesiums.

Bdl.

J. Panfiloff. Ueber die Dekahydrate des Brom- und Jodmagnesiums³⁾. — Verfasser ging von dem *Hexahydrat des Brommagnesiums*, $\text{MgBr}_2 \cdot 6\text{H}_2\text{O}$, aus, welches er durch Sättigen von frisch gefälltem Magnesiumhydroxyd mit wässriger Bromwasserstoffsäure, Einengen der schwach sauren Lösung auf dem Wasser-

¹⁾ Compt. rend. 119, 1221—1223. — ²⁾ J. Frankl. Inst. 138, 306—317. —

³⁾ J. russ. phys.-chem. Ges. [5] 26, 234—239; Ref.: Chem. Centr. 65, II, 610, Ber. 27, IV, 617—618.

bad, sowie schliesslich durch Stehenlassen der concentrirten Lösung über Schwefelsäure in Form von Nadeln und ziemlich grossen hexagonalen Prismen vom Schmelzp. 152° erhielt. Lösungen dieses Salzes, welche 45 bis 47,8 Proc. des wasserfreien Salzes enthielten, wurden durch Kältemischungen langsam abgekühlt. Bei $-18,5^{\circ}$ und in einem anderen Falle bei -16° begannen sich Aggregate feiner, weisser Schuppen oder undurchsichtiger, sehr dünner Tafeln abzuscheiden, deren Menge sich beim Umrühren mit dem Thermometer beträchtlich vergrösserte. Dieselben wurden unter 0° zwischen Fließpapier abgepresst und erwies sich bei der Analyse als das *Dekahydrat des Brommagnesiums*, $\text{MgBr}_2 \cdot 10\text{H}_2\text{O}$. Dieses schmilzt bei $11,5$ bis $12,5^{\circ}$ und zerfällt hierbei, indem sich im Capillarrohr zwei Schichten bilden, in das ursprüngliche Hexahydrat und in Wasser. Durch Sättigen von wässriger Jodwasserstoffsäure mit frisch gefälltem Magnesiumhydroxyd und Verdunsten der entstandenen Lösung über Schwefelsäure bei gewöhnlicher Temperatur, wobei sich die Lösung stark braun färbt, gewann Verfasser lange, breite, prismatische Nadeln eines wasserhaltigen Salzes, welches bei 11° schmolz. Wurde die Lösung dieses Salzes, welche 58 Proc. des wasserfreien Jodmagnesiums enthielt, wiederum langsam abgekühlt, so schieden sich bei $+8^{\circ}$, nachdem einige Krystalle des Dekahydrates des Brommagnesiums eingetragen waren, reichlich kleine, farblose, sechsseitige Tafeln aus. Diese, bei -4 bis 5° zwischen Fließpapier abgepresst, stellen nach dem Ausfall der Analyse das *Dekahydrat des Jodmagnesiums*, $\text{MgJ}_2 \cdot 10\text{H}_2\text{O}$, dar, zerfielen an der Luft, schmelzen bei 23° und zerfallen hierbei in Wasser und das *Octahydrat*, $\text{MgJ}_2 \cdot 8\text{H}_2\text{O}$, welches seinerseits bei 42° schmilzt. *Kp.*

Henri Moissan. Bestimmung der Dichte der geschmolzenen Magnesia¹⁾. — Nach Ditté steigt die Dichte der Magnesia mit der Erhöhung der Temperatur; dieser Forscher giebt folgende Werthe an: d_0 bei $350 = 3,1932$, bei Dunkelrothgluth $= 3,2482$, bei Hellrothgluth $= 3,5699$. Verfasser hat bei seinen Experimenten am elektrischen Ofen stets beobachtet, dass die Magnesia durch Kohle nicht reducirt wird, ein Umstand, welchen er benutzt hat, das Innere seines Ofens mit abwechselnden Platten von Magnesia und Kohle auszukleiden und die Magnesia zur Herstellung von Tiegeln zu verwenden. Es wurde die Dichte von folgenden drei Proben bestimmt. Die erste Probe war zehn Stunden im Windofen erhitzt worden; die zweite stammte von

¹⁾ Compt. rend. 118. 506—507; Bull. soc. chim. [3] 11, 1020—1021.

theilweise krystallinisch gewordenen Magnesiaplatten, welche der Einwirkung des elektrischen Bogens zwei Stunden lang ausgesetzt gewesen waren; die dritte Probe bestand aus im elektrischen Ofen geschmolzener Magnesia. Die bezüglichen Dichten sind: $d_{20^\circ} = 3,577$, resp. $= 3,589$, resp. $= 3,654$. Kp.

E. A. Schneider. Einwirkung des Phosphortrichlorids auf Magnesiumnitrid¹⁾. — Verfasser leitete Phosphortrichlorid mit Hilfe eines Stickstoffstromes über Magnesiumnitrid. Bei Rothgluth fand eine heftige Reaction statt; die Reaktionsmasse wurde fast weißglühend und gleichzeitig destillirte Phosphor ab. In dem Rückstande, welcher größtentheils aus Chlormagnesium und Phosphor bestand, konnten keine Anzeichen für die Bildung eines Phosphornitrids aufgefunden werden, wie der Verfasser es gehofft hatte. Kp.

L. Spiegel. Ueber Magnesiumnitrit²⁾. — Da die Angaben in der Literatur über dieses Salz einander widersprechend lauten, hat Verfasser dasselbe durch Umsetzung äquivalenter Mengen Silbernitrit und Magnesiumchlorid neu dargestellt. Das Gemisch wurde öfter durchgerührt, längere Zeit bei 50 bis 60° stehen gelassen und dann filtrirt, das Filtrat durch Schwefelwasserstoff von gelöstem Silber befreit und die nunmehr erhaltene, schwach gelbliche Lösung zunächst auf dem Wasserbade bis zur schwachen Syrupconsistenz, darauf zur Vermeidung einer Zersetzung im Vacuumexsiccator eingedunstet. Die hinterbleibende, rein weiße Salzmasse konnte nicht bis zur völligen Gewichtconstanz getrocknet werden, da hierbei schon eine geringe Zersetzung eintrat. Die Analysen führten zu der Formel $Mg(NO_2)_2 \cdot 3H_2O$. Die verdünnte, wässrige Lösung des Magnesiumnitrits kann ohne Zersetzung längere Zeit im Sieden erhalten werden, während das trockene Salz durch Erwärmen auf 97 bis 100° stark zersetzt wird und beim Auflösen in Wasser nach dem Erhitzen einen starken Rückstand von Magnesia hinterläßt. Kp.

K. Kippenberger. Ueber ein krystallisirtes, neutrales Magnesiumcarbonat³⁾. — Die Lösungen der Alkalibicarbonate vermögen frisch gefälltes Magnesiumcarbonat aufzulösen. Aus den erhaltenen Lösungen scheiden sich bei ruhigem Stehen schon nach wenigen Stunden Krystalle von Magnesiumcarbonat aus. Dieselben sind frei von Alkali und stellen kleine, harte, in Wasser wenig und in verdünnten Säuren langsam lösliche Körnchen dar von der

¹⁾ Zeitschr. anorg. Chem. 7, 358. — ²⁾ Chemikerzeit. 18, 1423. —

³⁾ Zeitschr. anorg. Chem. 6, 177—194.

Zusammensetzung $4\text{MgCO}_3 \cdot 15\text{H}_2\text{O}$. Calciumcarbonat und Eisenhydroxyd dagegen sind in Alkalibicarbonatlösungen unlöslich. Verfasser will diese Beobachtungen zur technischen Herstellung von reinem, neutralem Magnesiumcarbonat aus magnesiumhaltigen Mineralien, wie Magnesit, Dolomit, Bitterspath, sowie aus Kainit- und Carnallitlaugen verwerthen. Das Ausgangsmaterial wird gegebenen Falles in Salzsäure gelöst, das vorhandene Eisen mit Salpetersäure oxydirt, die Lösung mit Soda gefällt, der Niederschlag abgepreßt und mit Lösungen von Alkalibicarbonat geschüttelt. Aus den vom Niederschlag getrennten Lösungen krystallisirt dann das Magnesiumcarbonat aus. Bezüglich der Ansichten, welche Verfasser über die Vorgänge bei der Bildung des Magnesiumcarbonats aus Alkalibicarbonatlösungen mittheilt, muß auf das Original verwiesen werden. Beim Liegen an der Luft, wie bei der Aufbewahrung über Schwefelsäure giebt das Magnesiumcarbonat, $4\text{MgCO}_3 \cdot 15\text{H}_2\text{O}$, allmählich Wasser ab. Verfasser nimmt hierbei die Entstehung eines Salzes $2\text{MgCO}_3 \cdot 5\frac{1}{2}\text{H}_2\text{O}$ oder $\text{MgCO}_3 \cdot 3\text{H}_2\text{O}$ an. Bei höherem Erhitzen verliert das Salz das Wasser bis auf geringe Mengen, welche selbst bei längerem Erhitzen auf 170° hartnäckig festgehalten werden. Eine hydrolytische Spaltung und eine Abgabe von Kohlensäure hat Verfasser hierbei nicht beobachtet.

Kp.

Calcium.

Albert C. Mac Gregory. Die elektrische Leitfähigkeit einiger Lösungen von Salzen, besonders des Calciums, Strontiums und Baryums¹⁾. — Verfasser hat die Leitfähigkeiten von *Calciumsulfat*, *Calciumchlorid*, *Calciumnitrat*, *Calciumacetat*, *Strontiumchlorid*, *Strontiumnitrat*, *Strontiumacetat*, *Baryumacetat*, *Silberacetat* und *Kaliumoxalat* bei 18° bestimmt. In den meisten Fällen wurde der Verlauf der Curve, welche die molekulare Leitfähigkeit wiedergiebt, regelmäßig gefunden und besonders bei den großen Verdünnungen keine Neigung zur Abweichung von der geradlinigen Richtung beobachtet. Nur beim Silberacetat ergab sich bei den schwächsten Lösungen zu Beginn ein Ansteigen der Curve anstatt eines sofortigen Abfalls. Dieser Richtungswechsel der Curve bei den Lösungen äußerster Verdünnung ist für freie Säuren und Basen charakteristisch, sonst aber bei einem Salze noch nicht festgestellt worden. Die Ursache für dies eigenthümliche Ver-

¹⁾ Ann. Phys. [N. F.] 51, 126—139.

halten des Silberacetats bleibt noch zu ermitteln. Die Curve für Calciumsulfat stimmt in ihrem Verlaufe mit demjenigen der Curven für Magnesium-, Zink- und Kupfersulfat, welche Kohlrausch früher bestimmt hat, überein. Desgleichen fallen die Curven von Strontium- und Calciumsulfat merklich zusammen. Bei Gelegenheit seiner Versuche hat Verfasser auch das akustische mit dem von M. Wien für Widerstandsmessungen empfohlenen sogenannten optischen Telephon verglichen und eine gute Uebereinstimmung zwischen beiden gefunden. Schließlich wurde noch festgestellt, dass man zur Bereitung von Leitfähigkeitswasser bei der Destillation sehr wohl gläserne Kühler verwenden kann, wenn nur das Glas des Kühlers von guter Beschaffenheit ist, und der Kühler selbst erst eine Zeit lang durch die Destillation ausgewässert wird. So wurde z. B. durch fractionirte Destillation eines Wassers, dessen Leitvermögen ursprünglich gleich 2 war, unter Verwendung eines gläsernen Kühlers ein Wasser erhalten, bei welchem die Leitfähigkeit den Werth $k \cdot 10^{10} = 0,65$ zeigte. *Kp.*

Charles O. Curtman. Ueber die Hydrate von Calciumbromid und -jodid¹⁾. — Beim Entwässern von wasserhaltigem Calciumbromid scheint ein Salz zu entstehen von der annähernden Zusammensetzung $\text{CaBr}_2 + 3\text{H}_2\text{O}$, welches bei etwa 80 bis 81° schmilzt. Wird die Temperatur auf 180 bis 181° gesteigert, so wird wiederum Wasser abgegeben, und beim Abkühlen bleibt eine Masse zurück, welche der Formel $2\text{CaBr}_2 + 5\text{H}_2\text{O}$ entspricht. In derselben Weise wird beim Jodcalcium ein Salz erhalten, welches unter 100° schmilzt und vielleicht nach $\text{CaJ}_2 + 3\text{H}_2\text{O}$ zusammengesetzt ist. Bei höherem Erhitzen geht es allmählich in das wasserfreie Salz über. Versuche, Krystalle dieser Hydrate aus wässriger oder alkoholischer Lösung zu bekommen, führten nicht zu deutlichen Ergebnissen, da die Krystalle von der Mutterlange nicht zu befreien waren. Vielleicht entsprechen sie den Formeln $\text{CaBr}_2 + 6\text{H}_2\text{O}$ und $\text{CaJ}_2 + 6\text{H}_2\text{O}$. *Kp.*

Tassilly. Ueber basische Calciumsalze²⁾. Dem von Ditté untersuchten *Calciumoxychlorid*, $\text{CaCl}_2 \cdot 3\text{CaO} \cdot 16\text{H}_2\text{O}$, ist das vom Verfasser vor Jahresfrist beschriebene *Calciumoxyjodid*³⁾, $\text{CaJ}_2 \cdot 3\text{CaO} \cdot 16\text{H}_2\text{O}$, analog zusammengesetzt. Ebenso führte die Analyse des *Calciumoxybromids*, welches der Verfasser nunmehr dargestellt hat, und welches bereits früher von Löwig erhalten worden ist, zu der Formel $\text{CaBr}_2 \cdot 3\text{CaO} \cdot 16\text{H}_2\text{O}$. Zur Darstellung des Salzes

¹⁾ Amer. Chem. Soc. J. 16, 621—624. — ²⁾ Compt. rend. 119, 371—373; Bull. soc. chim. [3] 41, 931—933. — ³⁾ JB. f. 1893, S. 463.

werden zu einer heißen Lösung von 100 g Calciumbromid in 75 cem Wasser 3 g Kalk in kleinen Portionen und unter Umrühren gefügt. Aus der filtrirten und vor dem Zutritt von Kohlensäure geschützten Lösung krystallisiren dann schöne Nadeln, welche sich zusammenballen und das Aussehen von perlmutterglänzenden Plättchen annehmen. Das Oxybromid, wie das Oxyjodid des Calciums werden durch Wasser, Alkohol, Kohlensäure und die stärkeren Säuren zersetzt. Sie lösen sich leicht in den Halogenwasserstoffsäuren und in stark verdünnter Salpetersäure. Nicht genügend verdünnte Salpetersäure löst das Oxyjodid unter Abscheidung von Jod. Schwefelsäure führt in Sulfate über. Die Lösungswärme der drei Salze ist annähernd gleich. Sie beträgt für das Oxychlorid 63,4, für das Oxybromid 63,55 und für das Oxyjodid 63,3 cal. Die Bildungswärme wurde gefunden, berechnet auf flüssiges Wasser, zu 92,0 bezw. 98,85 und 102,3 cal. und berechnet auf festes Wasser, zu 69,12 bezw. 76,45 und 79,3 cal. Kp.

F. M. Lyte und C. H. M. Lyte. Aufarbeitung von Chlorcalcium- und Chlormagnesiumlaugen¹⁾. Die Chlorcalcium- und Magnesiumlaugen (z. B. aus dem Ammoniaksodaproceß) werden vorzugsweise in warmem Zustande, mit Bleinitrat in unlösliches Bleichlorid und eine Lösung von Calcium- bezw. Magnesiumnitrat umgesetzt. Nachdem aus letzterer das noch in Lösung gebliebene Bleichlorid als Oxychlorid (durch Zusatz von Kalk) oder als Bleisulfid (z. B. Zusatz von Schwefelcalcium) entfernt worden ist, wird dieselbe zur Trockne eingedampft und auf schwache Rothgluth erhitzt, um einerseits einen Rückstand von Calcium- bezw. Magnesiumoxyd, der für die Gewinnung neuer Mengen von zu verarbeitender Laugen aus den Abwässern des Ammoniaksodaverfahrens dienen kann, und andererseits aus den entweichenden Dämpfen verdünnte Salpetersäure zu gewinnen. Vermittelst dieser wird aus zinkfreiem, aber beliebig silberhaltigem Blei nach dessen Umwandlung in Oxyd das für den obigen Proceß benötigte Bleinitrat hergestellt, aus welchem eventuell das Silber durch Bleischwamm metallisch ausgefällt wird, um so aus dem späterhin gewonnenen Bleichlorid durch elektrolytische Zersetzung desselben in geschmolzenem Zustande reines metallisches Blei neben Chlor zu erhalten. Op.

A. Lemoine. Ueber freie alkalische Erden in carbonathaltigem Gestein²⁾. — Früher schon ist von A. Raspail die Gegenwart von freiem Calciumoxyd in carbonathaltigem Gestein behauptet

¹⁾ D. R.-P. Nr. 75 781. — ²⁾ Biederm. Centr. 23. 726—728.

und dieser Basis ein grosser zerstörender Einfluss auf die in den Gesteinsschichten eingeschlossenen thierischen und pflanzlichen Ueberreste zugeschrieben worden. Diese Alkalinität der Gesteine, welche für manche geologischen Erscheinungen von Wichtigkeit wäre, ist durch die üblichen chemischen Indicatoren nicht sicher nachweisbar, da auch die Carbonate der alkalischen Erden beim Kochen mit Wasser so merklich in Lösung gehen, dass das Wasser auf jene Indicatoren deutlich alkalisch reagirt. Durch die quantitative Analyse eines russischen Kalksteins von kreideähnlicher Textur, sowie eines belgischen Dolomits betrachtet Verfasser dagegen nunmehr die Gegenwart von freiem Kalk und freier Magnesia in diesen Mineralien als nachgewiesen, und zwar hat er in dem Kalkstein 0,37 Proc. freien Kalk und 0,37 Proc. freie Magnesia, in dem Dolomit dagegen 11,38 Proc. an letzterem Oxyd gefunden. Der Kalkstein ertheilte schon kaltem Wasser eine alkalische Reaction. Ein Kalkspath ergab 0,53 Proc. freien Kalk. Verfasser erklärt die Anwesenheit dieser Basen durch die Annahme, dass Kalk- und Magnesiawässer beim Zusammentreffen mit organischer Substanz einen Niederschlag von dieser mit jenen Basen absetzen. Der Niederschlag wurde allmählich unter Zerstörung der organischen Substanz bis zur Bildung von Kohlensäure in Carbonat umgewandelt. Waren Kalk und Magnesia im Ueberschuss vorhanden, so blieb der Ueberschuss in den sehr dichten Schichten als solcher erhalten, da nachträglich kohlen-säurehaltige Wasser in diese Schichten nicht einzudringen vermochten. Vielleicht ist die Zerklüftung der Kalksteinfelsen zum Theil auch auf eine Hydratation dieses freien Kalks zurückzuführen.

Kp.

Rudolf Hefelmann. Ueber Aetzkalk enthaltendes Brunnenvasser ¹⁾. — Ein mit grobkörnigen Cementziegeln bekleideter Brunnenschacht lieferte ein Wasser mit 161 bis 707 mg Aetzkalk im Liter. Nachdem einer der Steine sieben Monate an der Luft gelegen hatte, gaben 10 g desselben in Pulverform binnen einer Stunde noch 58,8 mg Aetzkalk an 1 Liter destillirtes Wasser ab; 10 g eines frischen Monier-Cementes gaben unter gleichen Umständen nur 29,9 mg Kalkhydrat ab. Schlecht verbundene Cementsteine sind also zum Ausmauern von Brunnen nicht geeignet. Kic.

Wm. P. Mason. Das Härten des Mortels ²⁾. — Da bei Bau-leuten der Glaube herrscht, dass es praktischer ist, Kalkmörtel zu mischen und ihn vor dem Gebrauch einige Tage liegen zu

¹⁾ Pharm. Centr.-H. 35, 313—314. — ²⁾ Amer. Chem. Soc. J. 16, 733—735.

lassen, als ihn direct zu verwenden, so hat Verfasser, um diese Ansicht zu prüfen, folgende Versuche gemacht. Er formte aus Mörtel, der drei bis sieben Tage gelegen hatte, Ziegel, ließ diese 45 bis 50 Tage an der Luft liegen und bestimmte dann die Zugfestigkeit. Bei Ziegeln aus Mörtel, der drei Tage gelegen hatte, betrug pro Quadrat Zoll die Bruchfestigkeit 34,6 Pfund, bei solchen, die aus sieben Tage gelagertem Mörtel gefertigt waren, 39,3 Pfund. Den Einfluß, den Zuckerwasser ($\frac{1}{2}$ Pfund auf eine Gallone Wasser) auf das Härten des hydraulischen Mörtels ausübt, hat Verfasser gleichfalls geprüft. Die Zugfestigkeit von Ziegeln, die mit Zuckerwasser bereitet und 38 Tage unter Wasser gestanden, betrug 62,75 Pfund, dieselbe Zeit der Luft ausgesetzt 65,4 Pfund. Als derselbe hydraulische Mörtel statt mit Zuckerwasser mit Ochsenblut angerührt war, ein Gebrauch, der in Südamerika anzutreffen ist, betrug die Zugfestigkeit nach 37 Tagen 63,8 Pfund, als sie Wasser, und 69,8 Pfund, als sie der Luft ausgesetzt waren. Das Ochsenblut war mit $\frac{1}{3}$ Vol. Wasser verdünnt. 7r.

A. Manceau. Organische Stoffe bei Gegenwart von Calciumsulfat¹⁾. — Verfasser beschreibt einen eigenthümlichen Fall der Reduction von Gyps zu Schwefelcalcium. Die aus Gyps hergestellte Decke eines Zimmers entwickelte einen so starken Geruch nach Fäulniß und Schwefelwasserstoff, daß ein längerer Aufenthalt in dem Zimmer nicht ohne heftige Beschwerden blieb. Näherer Untersuchung erwies sich die Decke als aus drei Lagen bestehend, von denen zwei aus grauem und die dritte aus feinem, weißem Gyps hergestellt waren. Sie war mit dunkelbraunen glänzenden Körnchen eines eisenhaltigen Silicats durchsetzt und zeigte gelbe Pünktchen um einen schwarzen Kern, Stellen, an welchen die Reduction des Gypses besonders stark eingesetzt hatte. Schließlich waren noch mit einer schwarzen Substanz ausgefüllte Risse vorhanden. Diese schwarze Substanz erwies sich als ein Conglomerat von kleinen wurmförmigen Infusorien, deren Aussehen genau beschrieben wird, und welche, in Wasser gebracht, sofort an die Oberfläche kamen, offenbar um Sauerstoff zu absorbiren, ohne den sie nicht existiren können. Es unterlag somit keinem Zweifel, daß zum Anrühren des Gypses ein faules Wasser verwendet worden war, und daß die Infusorien die Reduction des Calciumsulfates zu Schwefelcalcium bewirkten, in der gleichen Weise, wie es in den natürlichen Schwefelwässern durch die Schwefelbakterien geschieht. Der Schwefelwasserstoff seinerseits

¹⁾ J. Pharm. Chim. [5] 29, 98—101.

entstand durch Einwirkung der Kohlensäure auf das Schwefelcalcium; denn in den anliegenden und unbewohnten Zimmern konnte Schwefelwasserstoff nicht nachgewiesen werden. Nach Entfernung der Decke konnte das Zimmer ohne fernere Behelligung in Benutzung genommen werden. Kp.

A. L. Potilitzin. Ueber die Löslichkeit des wasserfreien Gypses ¹⁾. — Die Bestimmungen wurden so ausgeführt, daß eine abgewogene und fein gepulverte Menge Gyps, welcher bei einer bestimmten Temperatur entwässert war, mit 100 ccm Wasser von 17,5° eine bestimmte Zeit geschüttelt wurde. Danach wurde die Lösung in eine Platinschale filtrirt, zur Trockne gedampft und der aus dem Hydrat $\text{CaSO}_4 \cdot 2\text{H}_2\text{O}$ bestehende Rückstand getrocknet und gewogen. Für Gyps, welcher zwischen 95 bis 200° getrocknet war, wurde annähernd die gleiche Löslichkeit gefunden. War die Temperatur beim Entwässern jedoch über 200° gesteigert worden, so nahm die Löslichkeit des Gypses um so mehr ab, je höher die Temperatur gewesen war. Auch die Dauer des Entwässerns ist für die Löslichkeit des Gypses von gleichem Einfluß, wie die Steigerung der Temperatur, jedoch in geringerem Grade. Die durch Schütteln des Gypses mit Wasser erhaltenen Lösungen setzen beim Stehen wasserhaltige Gypskrystalle ab, deren Menge von der Concentration der Lösung abhängt. Verfasser unterscheidet zwei Modificationen des wasserfreien Calciumsulfats. Die erste, welche er α -Calciumsulfat nennt, entsteht beim Entwässern des Gypses bei Temperaturen zwischen 120 bis 200° und besitzt die Fähigkeit, Wasser aufzunehmen und unter Bildung des Dihydrats zu erhärten. Die β -Modification entsteht bei Temperaturen über 200°, verbindet sich nur schwer mit Wasser, erhärtet nicht und entspricht dem todtgebrannten Gyps und dem Anhydrid. Beim Entwässern des Gypses entstehen bei allen Temperaturen — zwischen 95 bis 350° — beide Modificationen neben einander; und zwar ist die Menge des β -Calciumsulfats um so geringer, je niedriger die Temperatur beim Entwässern und je kürzer die Dauer des Erhitzens war. Kp.

A. L. Potilitzin. Ueber die Ursache und die Bedingungen des Erhärtens von Gyps ²⁾. — Beim Erhärten des gebrannten Gypses nimmt das α -Calciumsulfat ³⁾ Wasser auf und geht zunächst in das Semihydrat ⁴⁾, dann in das Dihydrat über. Dagegen

¹⁾ Russ. Zeitschr. Pharm. 33, 725—726; J. russ. phys.-chem. Ges. [5] 26. 170. — ²⁾ Russ. Zeitschr. Pharm. 33, 726; J. russ. phys.-chem. Ges. [5] 26. 221—229. — ³⁾ Vgl. vorstehendes Referat. — ⁴⁾ Vgl. JB. f. 1893, S. 466.

verbindet sich das β -Calciumsulfat nur sehr langsam mit Wasser. Die Löslichkeit des Semihydrats ist beträchtlich größer, als die des Dihydrats. Bei fortgesetzter Einwirkung von Wasser geht das Halbhidrat daher in Lösung, geht dort in Dihidrat über und scheidet sich als solches in feinen, verfilzten Krystallen wieder aus. Hierbei wird Wärme frei. Der Proceß wiederholt sich bis zum völligen Verbrauch der α -Modification; Wasser und die β -Modification bleiben zurück. Die sich ausscheidenden Krystalle des Dihydrats füllen die Zwischenräume aus und umhüllen die einzelnen Theilchen des β -Sulfats, welches dann zum Theil selbst in das Dihidrat übergeht. Hierbei nimmt das Volumen zu, die entstandenen Krystalle unterliegen somit einem gegenseitigen Druck, die Masse wird fest, sie erhärtet. Für das richtige Erhärten des Gypses ist ein bestimmtes Mengenverhältniß zwischen der α - und β -Modification nothwendig. Dieses wird erhalten, wenn der Gyps, wie dies auch üblich ist, bei Temperaturen zwischen 100 bis 250° gebrannt wird. Ap.

G. Giorgis. Ueber das Abbinden von Scott's Cement¹⁾. — Die früheren Mittheilungen über Scott's Cement enthalten nichts über diese Frage. Verfasser hat einen durch Glühen von 1 Mol. Kalk mit 1 Mol. Calciumsulfat bis zu theilweis erreichter Schmelzung hergestellten Cement theils unmittelbar, theils nach einmonatigem Verweilen eines Formstückes unter Wasser mikroskopisch untersucht und seine noch unvollständigen Beobachtungen beschrieben. In beiden Fällen scheint u. A. Anhydrit vorhanden zu sein. Ferner wurde das Filtrat einer Aufschwemmung von 2 Mol. Calciumsulfat und 3 Mol. Kalk über Schwefelsäure und Aetzkalk verdunstet; die abgeschiedenen Krystalle enthielten mehr Kalk und weniger Schwefelsäure, als der Formel $\text{CaSO}_4 + 2\text{H}_2\text{O}$ entspricht, also vielleicht etwas basisches Salz; aus den Mutterlaugen wurden kalkreichere Krystalle nicht erhalten. Die Löslichkeit der beiden Verbindungen im Gemisch bei 13° wurde zu 1,628 pro Mille für das Sulfat und zu 1,633 pro Mille für das Hydroxyd bestimmt, gegen 2 pro Mille und 1,315 pro Mille für die getrennt gelösten Stoffe. Kic.

A. Joly und E. Sorel. Einwirkung von Wasser auf Dicalciumphosphat²⁾. — Bringt man Krystalle von Dicalciumphosphat in siedendes Wasser, so erweist sich die Flüssigkeit Lackmus gegenüber sauer und gegenüber Methylorange neutral, sie enthält Monocalciumphosphat. Isolirt man den in der Flüssigkeit ent-

¹⁾ Gazz. chim. ital. 24, 1, 23—28. — ²⁾ Compt. rend. 118, 738—741.

haltenen Niederschlag, nachdem jede Spur von Krystallisation verschwunden ist, so erweist sich derselbe bei der Analyse als nahezu reines Tricalciumphosphat. Ein amorphes Product von der Zusammensetzung des Tricalciumphosphats erhält man, wenn man die Behandlung mit siedendem Wasser zwei- bis dreimal wiederholt. Setzt man das Kochen fort, wenn die Umwandlung des Biphosphates in die amorphe Substanz erreicht ist, so tritt zwischen der Flüssigkeit und dem Niederschlag eine secundäre Reaction ein, es bilden sich kleine Krystalle. Ist die Menge des Bicalciumphosphates größer als 10 g auf 1 Liter Wasser, so ist nach vollendeter Umsetzung ein intermediäres Phosphat von der Formel $(\text{PO}_4)_2\text{Ca}_1 - 4(\text{PO}_4)_2\text{H}_2\text{Ca}_2 + 2\text{H}_2\text{O}$ gebildet, während bei Mengen unter 10 g pro Liter ein Gemisch entsteht. Tr.

Henri Moissan. Darstellung eines krystallisierten Calciumcarbids im elektrischen Ofen; Eigenschaften dieses neuen Körpers¹⁾. — Eine innige Mischung von 120 g gebranntem Marmor und 70 g Zuckerkohle wird im elektrischen Ofen während 15 bis 20 Minuten mit einem Strom von 350 Amp. und 70 Volt erhitzt. Die Verwendung von Calciumcarbonat ist auch angängig, empfiehlt sich aber nicht wegen des größeren Volumens des Carbonats. Das in beiden Fällen nach den Gleichungen $\text{CaO} + \text{C} = \text{C}_2\text{Ca} + \text{CO}$ und $\text{CaCO}_3 + 4\text{C} = \text{C}_2\text{Ca} + 3\text{CO}$ entstehende Calciumcarbid, C_2Ca , stellt eine schwarze, homogene, geschmolzene Masse von krystalinischem Bruche dar. Die losgelosten Krystalle sind braunroth, undurchsichtig, glanzend und besitzen bei 18° die Dichte $d = 2.22$. Das Carbid ist in allen Lösungsmitteln unlöslich; Wasserstoff ist ohne Einwirkung. Chlor wandelt es bei 245° unter Feuererscheinung in Chlorealcium und Kohle um, Brom wirkt bei 350° und Jod bei 305°, beide unter Feuererscheinung, ein. Im Sauerstoff verbrennt das Carbid bei Rothgluth zu Calciumcarbonat, Schwefel führt es unter Feuererscheinung in Schwefelcalcium und Schwefelkohlenstoff über. Stickstoff, Bor und Silicium greifen es selbst bei Rothgluth nicht an, Phosphor wandelt es ohne Erglühen in Phosphorealcium, Arsendampf unter großer Wärmeentwicklung in Arsencalcium um. Die meisten Metalle reagiren mit dem Carbid nicht, Natrium und Magnesium vermögen es bei der Erweichungstemperatur des Glases nicht zu zersetzen. Mit Eisen und Antimon entstehen dagegen bei hoher Temperatur krystalinische Verbindungen. Mit Wasser vollzieht sich eine heftige und vollständige Zersetzung unter Bildung von ganz reinem

¹⁾ Compt. rend. 118, 501—506; Bull. soc. chim. [3] 11, 1002—1007.

Acetylen und Kalk. Wasserdampf bei Rothgluth wirkt weit weniger heftig ein; das Carbid bedeckt sich mit einer Schicht von Kohle und Calciumcarbonat, während ein Gemisch von Wasserstoff und Acetylen entweicht. Säuren reagieren mit der Substanz besonders wenn sie verdünnt sind; rauchende Schwefelsäure giebt eine geringe Gasentwicklung, gewöhnliche Säure zersetzt lebhafter und erzeugt einen deutlichen Aldehydgeruch. Rauchende Salpetersäure ist ohne merkliche Einwirkung, verdünnte Salpeter-, Sal- und Jodwasserstoffsäure liefern Acetylen. Trockener Chlorwasserstoff liefert bei Rothgluth unter Erglügen ein an Wasserstoff sehr reiches Gasgemisch. Geschmolzene Chromsäure erglült mit dem Carbid unter Bildung von Kohlendioxyd. Kaliumchlorat und Kaliumnitrat erzeugen erst bei Rothgluth Calciumcarbonat. Bleisuperoxyd wirkt bei Rothgluth und Fluorblei schon bei gewöhnlicher Temperatur ein. Mit Alkohol entstehen beim Erhitzen auf 180° reines Acetylen und Calciumäthylat. Um die heftige Einwirkung von Chlor auf Acetylen zu zeigen, läßt man in eine mit gesättigtem Chlorwasser gefüllte Flasche Stückchen von Calciumcarbid fallen. Alsbald entwickeln sich Blasen von Acetylen, welche sich mit dem Chlor entzünden, während ein Geruch nach Chlorkohlenstoffen bemerkbar wird. Die Bildung des Calciumcarbids hat vielleicht einiges Interesse für die Geologie. Wahrscheinlich ist in den frühesten geologischen Zeiten der Kohlenstoff des Pflanzen- und Thierreiches als Carbid vorhanden gewesen. Andererseits lassen die Verbreitung des Calciums an der Erdoberfläche, sowie die Zersetzlichkeit seines Carbids durch Wasser annehmen, daß dieses eine Rolle bei der Festlegung des Kohlenstoffs gespielt hat.

Kp.

L. M. Bullier. Darstellung von Kohlenstoffverbindungen der Erdalkalimetalle ¹⁾. — Oxyde oder Carbonate der Erdalkalien werden, mit Kohle gemischt, der Wirkung des elektrischen Stromes in einem elektrischen Ofen, z. B. dem von Moissan, ausgesetzt. Hierbei entstehen Metallcarbide von der Formel C_2Ca , C_2Ba u. s. w. mit bemerkenswerthen Eigenschaften, die eine technische Verwerthung ermöglichen. Sie liefern z. B. mit Wasser Acetylen, das sich leicht zu Benzol polymerisiren läßt; ferner können sie zur Herstellung von Dijodoform, Cyanwasserstoffsäure und Cyanverbindungen dienen.

Op.

Vivian B. Lewes. Kesselsteinbildung ²⁾. — Die Ursachen der Kesselsteinbildung sind sowohl auf die mechanischen, wie die

¹⁾ D. R.-P. Nr. 77168. ²⁾ Oesterr. Zeitschr. Berg- u. Hüttenw. 42, 106.

chemischen Verunreinigungen des Wassers zurückzuführen. Der chemische Process, durch welchen die gelösten Salze aus dem Wasser abgeschieden werden, ist in jedem besonderen Falle verschieden; die Ausscheidungen bestehen aus *Calciumcarbonat*, *Calciumsulfat*, *Magnesiumhydrat* und *Kieselsäure*. *Calciumcarbonat* scheidet sich wesentlich aus Quell- oder Süßwasser aus und kann durch Umwandlung in Bicarbonat beseitigt werden; es bildet einen leicht entfernbaren Staub im Kessel. *Calciumsulfat* dagegen bildet eine außerordentlich feste Ablagerung, welche nur mit dem Hammer beseitigt werden kann. Es ist daher einer der gefährlichsten Bestandtheile des Kesselsteins und bildet sich um so leichter, je höher die Temperatur des Wassers, die Pressung oder die Zunahme des Salzgehaltes der Lösung ist. Die härtende Kraft des *Calciumsulfats* ist auf die krystallinische Art seiner Abscheidung zurückzuführen; beim Erhitzen wandeln sich diese Krystalle unter Abgabe von Wasser in feine nadelige Krystalle um, welche sich mit dem Schlamm des *Calciumcarbonats* fest zusammenbinden. Das *Magnesiumhydrat* ist nicht als ein Zersetzungsproduct des Chlormagnesiums bei hoher Temperatur zu betrachten, sondern kommt durch Einwirkung von Chlormagnesium auf *Calciumcarbonat* zu Stande. Bei Speisung mit Seewasser besteht der Kesselstein hauptsächlich aus *Calciumsulfat*, während er bei Verwendung von Brackwasser neben dem Sulfat auch *Calciumcarbonat* enthält. Als bestes Mittel zur Verhütung des Kesselsteins empfiehlt Verfasser, harte Wasser vor dem Einleiten in den Kessel weich zu machen.

Ap.

W. Niehls. Eine Härtescala für Glas¹⁾. — Da die Härte die für die verschiedenen Zwecke des Handels, der Industrie und Wissenschaft wichtigste Eigenschaft des Glases für die Beurtheilung seiner Güte ist, hat Verfasser hierfür eine Scala aufgestellt, welche folgende acht Stufen unterscheidet. 1. Das weichste Glas wie Französisches Krystallglas. 2. Weiches Thüringer Glas für künstliche Blumen etc., Englisches Krystallglas. 3. Hartes Thüringer Glas für Thermometer, bessere Apparate etc. 4. Jenaer Normalglas von Schott u. Co. 5. Französisches Hartkrystallglas für Normalthermometer. 6. Jenaer Borosilicatthermometerglas 59^{mm} von Schott u. Co. 7. Jenaer alkalfreies Thermometerglas 112^{mm} von Schott u. Co. 8. Cavalier's Böhmisches Krystallglas für Verbrennungsröhren. Diese normale Härtescala für Glas wird hergestellt und ist in Glashandlungen zu beziehen.

B.

¹⁾ Amer. Chem. Soc. J. 16. 406—408.

Mayan. Glasvergoldung ¹⁾. — Verfasser giebt Vorschriften zur Glasvergoldung. Er benutzt dazu eine Goldchloridlösung, welche in 1 Liter 6 bis 7 g Chlorgold enthält, sowie eine Lösung von 50 g Aetznatron in 1 Liter Wasser. Man mischt $\frac{1}{2}$ Vol. Goldlösung mit $\frac{1}{2}$ Vol. Natronlauge und setzt auf 1 Liter der Mischung je nach Umständen eines der folgenden Reductionsmittel. Wasserfreies Glycerin (3 cem) wirkt am stärksten. Durch Zusatz von je 5 cem 90 proc. Alkohol und 40 proc. Glycoselösung erhält die Vergoldung einen röthlichen Ton. Einen besonderen Glanz verleihen Propyl-, Butyl- oder Amylalkohol (je 40 cem). Schliesslich ist auch noch eine Mischung zu gleichen Theilen (je 30 cem) von 90 proc. Alkohol und einer Zuckerlösung in Anwendung, welche durch Auflösen von 12 g Zucker in 100 cem Wasser, Zusatz von 2 g Salpetersäure (1,34 spec. Gew.) und ein viertelstündiges Kochen des Ganzen bereitet wird. Die Vergoldung ist nur dann brauchbar, wenn sie von unten nach oben stattfindet. Die Einrichtung muss daher so getroffen sein, dass der zu vergoldende Gegenstand, z. B. eine Glasplatte, auf dem Bade schwimmt. Die fertige Vergoldung wird mit Wasser gespült, dann getrocknet und gefirnist. *Kp.*

F. Foerster. Ueber die Einwirkung von Säuren auf Glas ²⁾. — Ueber die vorliegende Untersuchung hat Verfasser bereits im Vorjahre an anderer Stelle ³⁾ berichtet; es ist daher hier nur auf das entsprechende Referat im Jahresbericht ⁴⁾ zu verweisen. *Kp.*

F. Foerster. Vergleichende Prüfung einiger Glassorten hinsichtlich ihres chemischen Verhaltens ⁵⁾. — Von den angewandten Prüfungsverfahren zur Untersuchung der verschiedenen Glassorten bestand auf Grund der vom Verfasser bei seinen früheren Arbeiten ⁶⁾ gesammelten Erfahrungen das erste darin, dass die zu untersuchenden Gläser in Gestalt von Kolben oder Flaschen einer dreitägigen Vorbehandlung mit Wasser von 20° unterworfen wurden. Hierdurch werden alle durch die Verwitterung etwa bewirkten Oberflächenveränderungen beseitigt. Danach werden die Gläser sorgfältig gespült und wiederum eine Woche lang in einem Wasserbade bei einer constanten Temperatur von 20° mit Wasser behandelt. Nachdem das in Lösung gegangene Alkali durch Titration mit Hülfe von ätherischer Jodeisinsäure bestimmt worden ist, werden die Gläser drei Stunden lang mit Wasser unter häufigem Umrühren auf 50°

¹⁾ Techniker, Bayer. Ind. Gew.-Bl. 26, 587; Ref. Chem. Centr. 65, II. 905. — ²⁾ Zeitschr. anal. Chem. 33, 299—322. — ³⁾ Ber. 26, 2915—2922. — ⁴⁾ JB. f. 1893, S. 468—469. — ⁵⁾ Zeitschr. anal. Chem. 33, 381—396. — ⁶⁾ Vgl. JB. f. 1893, S. 468—469.

erhitzt und wieder die Menge des gelösten Alkalis ermittelt. Auf diese Weise wird, da das in Lösung gehende Alkali ein unmittelbares Maß für die Menge der angegriffenen Glasmasse bildet, die *relative Angreifbarkeit* der Gläser durch Wasser, nicht aber ihre Löslichkeit bestimmt, da die gleichzeitig in Lösung gehende Kieselsäure vernachlässigt wird. Jedoch genügt nach den früheren Erfahrungen des Verfassers für eine vergleichende Beurtheilung der Gläser die Ermittlung der relativen Angreifbarkeit vollkommen. Um die *Angreifbarkeit der Gläser durch kaustische und kohlen-saure Alkalien* festzustellen, werden die Kolben drei Stunden mit zweifach normaler, kieselensäurefreier Natronlauge und zweifach normaler Sodalösung in einem Paraffinbade auf 100° erhitzt und danach die Gewichtsabnahme der Kolben festgestellt. Da es unter Umständen von Interesse ist, auch das Verhalten des Glases gegen *überhitzten Wasserdampf* kennen zu lernen, so hat Verfasser die Gläser noch einer dritten Prüfung unterworfen, indem er dieselben in Form von cylindrischen Röhrenstücken mit Wasser in gut schließenden eisernen Röhren vier Stunden auf 190° erhitzte und danach einerseits die Menge des in Lösung gegangenen Alkalis, andererseits den Gewichtsverlust der von locker anhaftenden Zersetzungsproducten befreiten Röhrenstücke nach dem Trocknen bei 500 bis 550° bestimmte. Da die Menge dieser abwaschbaren Zersetzungsproducte bei ein und demselben Glase häufig verschieden gefunden wurde, so kann dieses Verfahren nur auf eine angenäherte Genauigkeit Anspruch machen. Die für das in Lösung gegangene Alkali erhaltenen Werthe stimmten dagegen unter einander gut überein. Nach den geschilderten Verfahren ist vom Verfasser eine Anzahl von Glassorten untersucht worden, welche sich theils bei früheren Untersuchungen schon als gut bewährt hatten, theils als Wasserstandsgläser oder sonst gebräuchliche Sorten dem Handel entnommen wurden. Es ergab sich, daß das untersuchte Borosilicatglas und ein natronarmes Glas die größte Widerstandsfähigkeit gegen kaltes und heißes Wasser besaßen. Bei den Kalkalkaligläsern zeigte es sich, daß die absolut vorhandene Menge des Alkalis für die Widerstandsfähigkeit wichtig ist, und daß das Verhältniß von Alkali zum Kalk und zur Kieselsäure erst dann von Bedeutung wird, wenn es sich um weniger gute Gläser handelt. Im Uebrigen ist es hinsichtlich der Angreifbarkeit besserer Gläser bedeutungslos, ob sie Kali- oder Natrongläser sind. Wird der Kalk eines Glases durch Bleioxyd ersetzt, so wächst die Angreifbarkeit bedeutend. Charakteristisch ist für ein Glas das Verhältniß der durch kaltes und durch heißes Wasser

dem Glase entzogenen Alkalimengen. Dasselbe liegt für kalkreiche Gläser zwischen 2,6 bis 3,2, für kalkärmere Gläser zwischen 3 bis 4 und nimmt für die schlechteren Kalkgläser noch weit höhere Werthe an. Die Löslichkeit der Gläser in kaustischen Alkali nimmt im Allgemeinen mit der Angreifbarkeit durch Wasser zu; indessen zeigen sich auch deutliche Ausnahmen. So werden die borsäurehaltigen Gläser, welche gegen Wasser sehr widerstandsfähig sind, von freiem Alkali stark angegriffen. Noch weit weniger können zwischen der Einwirkung von Wasser und von Soda Vergleiche von allgemeiner Bedeutung gezogen werden. Gegen Wasser bei 190° erweisen sich die kalkreichen und zinnreichen Gläser widerstandsfähiger, als die kalkarmen und die kieselssäurereichen. Die bei 190° in Lösung gehenden Mengen Kieselsäure sind so beträchtlich, daß sie zur Beurtheilung, besonders wenn es sich um Wasserstandsgläser handelt, mit herangezogen werden müssen. Jedoch ist darauf hinzuweisen, daß zur Beurtheilung, ob eine Glassorte sich zur Verwendung als Wasserstandsglas eignet, nicht nur das chemische, sondern auch das Verhalten am Dampfkessel selbst maßgebend sein muß. Es werden Gläser der verschiedensten chemischen Zusammensetzung für diesen Zweck empfohlen. Es giebt bisher keine Glassorte, welche in jeder Beziehung brauchbar ist; vielmehr besitzen die einzelnen Glassorten ihre Vorzüge und ihre Mängel, so daß man zu bestimmten Zwecken ein bestimmtes Glas wählen muß. Unter den für den chemischen Gebrauch in Betracht kommenden Kalkgläsern ist dasjenige, welches sich Stas zu seinen Atomgewichtsbestimmungen herstellen liefs, das widerstandsfähigste und daher von der Physikalisch-Technischen Reichsanstalt wiederholt empfohlen worden.

Kp.

F. Foerster. Ueber die Erscheinungen bei der Verwitterung der Gläser und bei der Zersetzung derselben durch Wasser¹⁾. — Das Wesentliche dieser Arbeit ist vom Verfasser bereits früher²⁾ mitgetheilt und im vorigen Jahrgange des Jahresberichtes³⁾ referirt worden.

Kp.

Strontium. Baryum.

H. Weiske. Zur Frage über den Ersatz des Kalkes durch Strontium im thierischen Organismus¹⁾. — Verfasser wendet sich gegen eine Arbeit von E. Haselhoff²⁾, in welcher auf Grund

¹⁾ Zeitschr. anal. Chem. 33, 322–335. — ²⁾ Ber. 26 2915–2922. — ³⁾ JB. f. 1893, S. 469. — ⁴⁾ Landw. Jahrb. 23, 119–123. — ⁵⁾ Dasselbat 22, 351.

von Versuchen von J. König angenommen wird, daß das Calcium im thierischen Organismus durch Strontium ersetzt werden könne. Dem gegenüber weist Verfasser auf ältere Versuche von ihm selbst und Anderen hin, nach welchen Strontium zwar in die Organe (Fleisch, Knochen u. s. f.) übergehen, nach denen aber ein Ersatz, d. h. eine physiologische Vertretung des Calciums durch Strontium, nicht angenommen werden kann. Trotzdem die Strontiumsalze an sich nicht giftig sind, gehen dennoch solche Thiere, welche an Stelle der Calciumsalze im Futter Strontiumsalze erhalten, schliesslich an Kalkarmuth zu Grunde. Die Beigabe von Strontium an Stelle von Calcium ist daher physiologisch bedeutungslos.

Kp.

J. König. Zusammensetzung von Steinkohlen-Grubenwassern¹⁾. — Die schwefelsäurefreien Steinkohlen-Grubenwässer enthalten unter Umständen nicht unwesentliche Mengen Chlorbaryum und Chlorstrontium, deren Anwesenheit sich dadurch erklärt, daß die unmittelbar unter und über der Kohlschicht lagernden Gebirgsschichten der Devon-, Dyas- und Triasformation vielfach baryum- und strontiumhaltig sind. Aus demselben Grunde finden sich beide Elemente, besonders aber Strontium, auch in vielen Sool- und Mineralwässern, sowie im Meerwasser theils in Spuren, theils auch in wägbaren Mengen. Verfasser hat einige solcher Grubenwässer mit dem folgenden Ergebniss analysirt. In 1 Liter sind enthalten:

Freie Kohlensäure	0.2036 g	0.0549 g	0.1394 g
Calciumbicarbonat	0	0.2540	0
Natriumbicarbonat	0.0702	0.0501	0.0189
Chlorbaryum	1.4504	0.0265	1.0490
Chlorstrontium	0.9111	0.2948	0.7535
Chlorcalcium	12.9804	2.2569	10.9183
Chlormagnesium	1.5806	0.9845	2.9823
Chlorkalium	1.7977	0.8289	1.6851
Chlornatrium	53.4418	28.234	84.0006
Summe der Salze in 1 Liter	72.2322 g	32.9351 g	101.4077 g

Diese Wässer sind wegen ihres hohen Salzgehaltes als Trinkwässer nicht verwendbar; werden sie soweit verdünnt, daß sie allenfalls genossen werden können, so wird auch die Anwesenheit des Chlorbaryums, trotz der specifischen Giftwirkung dieses Salzes, zu Bedenken keinen Anlaß geben. Denn durch die Verdünnung wird der Gehalt des Wassers an diesem Salze so verringert, daß

¹⁾ Zeitschr. angew. Chem. 1894. S. 389–391.

eine gesundheitliche Schädigung von demselben nicht mehr zu befürchten ist. Immerhin ist es rathsam, bei Begutachtungen der Schädlichkeit von Grubenwässern, diese, wenn sie keine oder nur sehr geringe Mengen von Schwefelsäure enthalten, auf die Anwesenheit von Baryum und Strontium zu untersuchen. — Auch das nicht seltene Vorkommen von Schwerspath in Steinkohlengruben ist auf den Gehalt der Grubenwasser an Chlorbaryum zurückzuführen.

Ep.

Theodore William Richards. Neubestimmung des Atomgewichtes von Baryum. Zweite Abhandlung. Analyse von Baryumchlorid ¹⁾. — Die Untersuchung des Baryumchlorids war wegen der Löslichkeit des Chlorsilbers in Wasser weit schwieriger, als diejenige des Baryumbromids, welche Verfasser früher ²⁾ mitgetheilt hat. Das specifische Gewicht des wasserhaltigen, krystallisierten Chlorbaryums wurde zu 3,097, dasjenige des wasserfreien Salzes zu 3,856 gefunden. Wie das Bromid, so verliert auch das Chlorbaryum bei mäßigem Glühen an der Luft geringe Mengen Halogen. Da das hierdurch entstehende Oxyd oder Carbonat durch Titration mit Salzsäure und Phenolphthaleïn und Methylorange genau ermittelt werden kann, so kann die bei der Entwässerung des Salzes eintretende hydrolytische Spaltung leicht corrigirt werden, und das Chlorbaryum giebt sonach eine befriedigende Grundlage für die Atomgewichtsbestimmung des Baryums ab. Die reinsten Proben Chlorbaryum wurden nach folgenden drei Methoden dargestellt. Nach der ersten wurde das mehrere Male aus Wasser umkrystallisirte Salz fünfmal nach einander aus seiner concentrirten Lösung mit starker Salzsäure gefällt. Der letzte Niederschlag wurde wieder aufgelöst und zweimal mit Alkohol gefällt, dann getrocknet und geschmolzen. Die Schmelze wurde in Wasser aufgelöst, von Baryumcarbonat abfiltrirt, mit Alkohol gefällt und schliesslich aus Wasser umkrystallisirt. Die zweite Hauptmenge Chlorbaryum wurde zur Zerstörung der Thioschwefelsäure mit Salzsäure zur Trockne gedampft, der Rückstand aufgelöst und, zuletzt unter Zusatz von Baryumhydroxyd, mit Schwefelwasserstoff behandelt. Nach mehrmaligem darauffolgenden Umkrystallisiren und Fällen mit Alkohol war das Salz frei von Calcium, Strontium, Kalium und Magnesium. Es wurde dann gegläht, aus Wasser umkrystallisirt, mit Salzsäure gefällt, schliesslich umkrystallisirt.

¹⁾ Zeitschr. anorg. Chem. 6, 89—127; auch Chem. News 69, 64—66, 79—80, 91—92, 101—103, 112, 129, 136—137, 150—151, 164—165, 174—176.
— ²⁾ JB. f. 1893, S. 11.

und bis zur Gewichtskonstanz der Luftfeuchtigkeit ausgesetzt. Die dritte Probe Chlorbaryum wurde aus Baryumcarbonat, welches zur Darstellung des Baryumbromids gedient hatte, und Salzsäure, welche zweimal aus Platingefäßen destillirt worden war, dargestellt. — Das zu den Versuchen verwendete Silber wurde durch Reduction von Chlorsilber mit Natronlauge und Invertzucker gewonnen, dann geschmolzen, durch Elektrolyse gereinigt und wieder, theils auf Holzkohle, theils in Tiegeln aus Zuckerkohle, geschmolzen, wobei besondere Vorsichtsmafsregeln angewandt wurden, um zu verhüten, dafs das Silber Schwefel aus dem Leuchtgas, oder beim Abkühlen Sauerstoff aus der Luft aufnehme. Die Ueberführung von Chlorbaryum in Baryumsulfat ist für die Atomgewichtsbestimmung des Baryums unbrauchbar, einerseits weil eine merkliche Menge Chlorbaryum vom Baryumsulfat hartnäckig zurückgehalten wird, andererseits wegen der Löslichkeit von Baryumsulfat in Wasser und schliesslich, weil Baryumsulfat die letzten Spuren überschüssiger Säure und Wasser nur schwierig abgibt. Die Atomgewichtsbestimmung des Verfassers beruhte daher auf der Bestimmung des Verhältnisses von Chlorsilber oder Silber zu Chlorbaryum. Zur Bestimmung der schon von Gay-Lussac, Mulder, Stas, Cooke erkannten Löslichkeit des Chlorsilbers wurden genaue Versuche angestellt, welche ergaben, dafs beim Eindampfen von Chlorsilberlösungen auf dem Wasserbade zwar Fehler entstehen, welche jedoch unter constanten Bedingungen constant sind, und dafs die Löslichkeit nicht vom Baryumnitrat, wohl aber von Silbernitrat und der Salpetersäure beeinflusst wird. Unter Beobachtung dieser Thatsachen wurde die Löslichkeit des Chlorsilbers in Wasser zu 1.5 mg im Liter gefunden. Bei Gegenwart von Salpetersäure steigt die Löslichkeit. In Wasser, welches überschüssiges Silbernitrat enthält, ist Chlorsilber vollkommen unlöslich. Verfasser vermochte wiederholt 1 Thl. Chlor in 30 Millionen Theilen Wasser zu entdecken durch Zufügen von Silbernitrat und Beobachtung der eintretenden Opalescenz der Lösung im starken Sonnenlicht. Für die Bestimmung des Verhältnisses der Chloride von Silber und Baryum wurde die Analyse so ausgeführt, dafs eine Probe reinstes Chlorbaryum im Stickstoffstrom auf helle Rothgluth erhitzt wurde. Nach dem Erkalten wurde eine bestimmte Menge abgewogen, in Wasser gelöst, zur Correction des entstandenen Oxyds oder Carbonats mit Salzsäure titirt, die Lösung mit Wasser verdünnt und allmählich im dunkeln Zimmer mit reiner verdünnter Silbernitratlösung in geringem Ueberschuß versetzt. Der Niederschlag wurde mehrere Tage gelegentlich in vollkommener

Dunkelheit mit der Flüssigkeit geschüttelt, danach abfiltrirt, gewaschen, bei 180° getrocknet, gewogen, geschmolzen und wieder gewogen. Bei der Bestimmung des Verhältnisses von Silber zu Chlorbaryum wurde nach mehreren Methoden verfahren, von welchen sich die zuletzt angewandte an die zweite Methode von Stas anlehnt. An der Luft gegluhtes Chlorbaryum wurde in viel Wasser gelöst, der Chlorverlust durch Titration ausgeglichen und die Lösung mit einer Lösung von Silbernitrat in geringem Ueberschuss versetzt, zu welcher reinstes Silber genau abgewogen war. Der Niederschlag wurde geschüttelt und aus der klaren Lösung nach dem Absetzen zwei Proben abgezogen. Diese Proben wurden durch Zusatz von Salzsäure einerseits, Silbernitrat andererseits auf die Intensität der entstehenden Opalescenz verglichen, dann wurde so lange zu der Hauptlösung Salzsäure gefügt, bis die beiden abgezogenen Proben nach dem Versetzen mit Silbernitrat oder Salzsäure gleich intensive Opalescenz zeigten. Bei anderen Analysen wurde so verfahren, dass das überschüssig zugesetzte Silber im Filtrat vom Chlorsilber durch Fällung mit Bromwasserstoff bestimmt wurde. — Aus der Bestimmung des Verhältnisses von Chlorbaryum zu Chlorsilber ergab sich im Mittel aus 10 mit den verschiedensten Präparaten von Chlorbaryum und unter mannigfaltigen Abänderungen der Methode ausgeführten Analysen das Atomgewicht des Baryums zu 137,439, bezogen auf Silber = 107,930 und Chlor = 35,456, mit einer größten Abweichung der Einzelbestimmungen vom Mittel von + 0,042 und — 0,022. Aus dem Verhältniss von Silber zu Chlorbaryum wurde der Mittelwerth aus 14 Versuchen zu 137,440 ermittelt. Die entsprechenden Abweichungen betrugen hier + 0,042 und — 0,057. Aus der Untersuchung des Brombaryums hatten sich die Atomgewichte $Ba = 137,431$ und $137,428$ ergeben, so dass das Gesamtmittel aus den vier Werthen = 137,434 ist. Der wahrscheinlichste Werth für das Atomgewicht des Baryums ist $Ba = 137,44$, bezogen auf $O = 16$; $137,10$, bezogen auf $O = 15,86$; $136,41$, bezogen auf $O = 15,88$. Kp

W. F. Hillebrand. Das weitverbreitete Vorkommen von Baryum und Strontium in Silicatgesteinen¹⁾. — Durch zahlreiche Analysen von Eruptivgesteinen hat sich Verfasser davon überzeugt, dass Baryum und Strontium in diesen Gesteinen, soweit sie in den Vereinigten Staaten vorkommen, weit verbreitet sind. Es ist daher anzunehmen, dass dasselbe auch bei Eruptivgesteinen aufser-

¹⁾ Amer. Chem. Soc. J. 16, 81—82.

amerikanischen Vorkommens der Fall sein wird. Bei den untersuchten Proben betrug die Menge eines jeden der beiden Oxyde gewöhnlich unter 0,1 Proc. Jedoch stieg sie bei gewissen Gesteinen von Colorado und Montana bis auf 0,76 Proc. Baryumoxyd und 0,37 Proc. Strontiumoxyd. Kp.

*Technische Baryumpräparate*¹⁾. — In der vorliegenden Fortsetzung einer früheren Arbeit²⁾ wird die technische Gewinnung von *Schwefelbaryum* und *Barymsuperoxyd* geschildert. Die Fabrikation von *Schwefelbaryum* aus Schwerspath und Kohle geschieht in der gleichen Weise und in denselben Schmelzöfen, wie bei der Herstellung von Chlorbaryum angegeben wurde; nur wird das Chlorcalcium fortgelassen und ein Bindemittel (z. B. Steinkohlentheer) zugesetzt. Die im Ofen teigig gewordene Mischung wird gut durchgerührt und nach beendeter Umsetzung in eiserne Kästen gezogen. Diese sind mit gut schließenden Deckeln versehen, um eine Zersetzung möglichst hintanzuhalten. Die frisch gezogenen Schmelzen haben bei richtiger Arbeit 65 bis 67 Proc. Schwefelbaryum und werden sofort zum Versand in Fässer gepackt. An feuchter Luft ballt sich das Präparat zusammen, indem es in Baryumhydroxyd und Baryumsulfhydrat umgewandelt wird. Die analytische Controle des Betriebes beschränkt sich auf die Ermittlung der Rohschmelzen an Schwefelbaryum durch Bestimmung des Baryums, welches bei der Behandlung der Schmelze mit heißem Wasser und Salzsäure in Lösung geht. Die Darstellung des *Barymsuperoxyds* zerfällt in zwei Abschnitte, in die Darstellung von *Baryumnitrat* und in die Umwandlung desselben in *Barymsuperoxyd*. Zur Darstellung von *Baryumnitrat* wird Chlorbaryum in eisernen Kesseln gelöst, die klare Lösung in kupferne Blasen abgezogen, zum Sieden erhitzt und mit Natronsalpeter in festen Stücken versetzt. Das ausfallende, schwer lösliche Baryumnitrat wird abgezogen, zum Abtropfen hingestellt, durch Abspülen mit Wasser möglichst von anhaftender Mutterlauge befreit und in großen verbleiten Holzkästen umkrystallisirt. Die nach beendeter Krystallisation, welche je nach der Jahreszeit zwei bis vier Tage in Anspruch nimmt, aus den Kästen herausgeschlagenen Krystalle kommen auf Abtropfkästen und werden danach mit kaltem Wasser abgespült. Die Mutterlaugen werden bei der erneuten Fabrikation wieder verwortheit. Zur Fabrikation des *Barymsuperoxyds* selbst sind wieder zwei getrennte Operationen nothwendig, das Glühen des Baryumnitrats

¹⁾ Chemikerzeit. 18. 67—68. — ²⁾ JB. f. 1803. S. 470.

und die Ueberführung des Glühproductes in Barymsuperoxyd. Das Glühen des Salzes wird in Tiegeln aus Chamotte oder Thon in einem Herde aus feuerfestem Material vorgenommen. Die Tiegel werden mittelst eines Deckels verschlossen und die Glühhitze gut regulirt, um ein Zerspringen der Tiegel zu vermeiden. Nach vierstündigem Erhitzen kommt der Tiegelinhalt in Hef- und bleibt etwa drei Stunden darin. Danach wird er dick und hart. Sobald dieser Punkt erreicht ist, läßt man den Ofen abbrennen. Die erkalteten Kuchen werden in Stücke zerschlagen und diese sofort in gußeiserne Röhren gefüllt, um zur Darstellung des Superoxyds zu dienen. Diese wird mit allen technischen Einzelheiten beschrieben, auf welche hier nur verwiesen werden kann. Die Röhre mit dem Baryumoxyd werden in einem besonders eingerichteten Ofen drei bis vier Stunden auf dunkle Rothgluth erhitzt, während ein kohlen säure- und wasserfreier Luftstrom über das Material geleitet wird. Nach beendeter Operation wird dasselbe sortirt, da nur die Stücke, welche eine grünliche Färbung zeigen, als Barymsuperoxyd zu betrachten sind. Die weißen und grauen Stücke werden sorgfältig ausgelesen und gehen in die Fabrikation zurück. Die sortirten Stücke dagegen werden gemahlen, gesiebt und in mit Papier ausgelegte Fässer verpackt. Seine Hauptanwendung findet das Barymsuperoxyd als Bleichmittel und zur Darstellung von Wasserstoffsuperoxyd. *Kp.*

Berthelot und Matignon. Ueber Stickstoffbaryum ¹⁾. — *Stickstoffbaryum* wurde durch Zersetzung einer Lösung von Stickstoffammonium mit der äquivalenten Menge Baryumhydroxyd und Eindampfen der Lösung im Vacuum bei gewöhnlicher Temperatur dargestellt. Das Salz N_2Ba wird in wohl ausgebildeten, wasserfreien Krystallen erhalten. Die Lösungswärme pro Gramm-Molekel des gelösten Salzes betrug -7.8 cal. *Kp.*

Casimir von Woyczynski. Ueber die künstliche Darstellung der dem Apatit und der Thomasschlacke analog zusammengesetzten Baryum- und Strontiumverbindungen ²⁾. — Eine aus 1.88 g Phosphor durch Oxydation mit Salpetersäure dargestellte, wässrige Lösung von Phosphorsäure wurde mit 26.24 g Baryumnitrat, gelöst in mit Salpetersäure angesäuertem Wasser, und mit 0.7 g einer 57 proc. Flußsäure in einer Platinschale zusammengebracht. Beim vorsichtigen Neutralisiren mit Ammoniak schied sich ein krystallinischer Niederschlag ab, welcher durch Um-

¹⁾ Ann. chim. phys. [7] 2, 144; Bull. soc. chim. [3] 11, 744.
²⁾ Zeitschr. anorg. Chem. 6, 310—311.

krystallisiren in größeren Krystallen von den bekannten Formen des Apatits erhalten wurde und die Zusammensetzung $3(\text{Ba}_3\text{P}_2\text{O}_4)\text{BaFl}_2$ eines *Baryumapatits* zeigte. In der gleichen Weise gelingt die Darstellung des *Strontiumapatits* $3(\text{Sr}_3\text{P}_2\text{O}_4)\text{SrFl}_2$. Zur Darstellung der der Thomasschlacke entsprechenden Baryum- und Strontiumverbindungen $\text{Ba}_3(\text{PO}_4)_2$, BaO und $\text{Sr}_3(\text{PO}_4)_2$, SrO wurde folgendermaßen verfahren: 14 g Baryumoxydhydrat (15 g Strontiumoxydhydrat) wurden mit 4 g (7 g) Actznatron im Silbertiegel verschmolzen und dann 5 g (6 g) Natriumphosphat eingetragen. Sofort krystallisirten kleine quadratische Tafeln aus, welche nicht ohne Zersetzung von der Schmelzmasse getrennt, immerhin durch Auskochen mit Wasser aber von dem größten Theil derselben befreit werden konnten. Entsprechend der Unmöglichkeit, diese Reactionsproducte zu reinigen, lassen die Analyseergebnisse zu wünschen übrig.

Kp.

Henri Moissan. Untersuchung des krystallisirten Baryum- und Strontiumcarbids¹⁾. — Im Verfolg seiner Untersuchung des Calciumcarbids hat Verfasser die entsprechenden Verbindungen von Baryum und Strontium dargestellt. 50 g Baryumoxyd und 30 g Zuckerkohle oder 150 g Baryumcarbonat und 25 g Zuckerkohle werden innig gemischt und im Kohletiegel 15 bis 20 Minuten lang mit einem Strom von 350 Amp. und 70 Volt erhitzt. Nach dem Abkühlen erhält man eine schwarze, geschmolzene, leicht zerbrechliche Masse von *Baryumcarbid*, C_2Ba , welche an den Bruchflächen große, lamellenförmige Krystalle aufweist und die Dichte 3,75 besitzt. Das Baryumcarbid schmilzt am leichtesten von den Carbiden der Erdalkalimetalle. Die Bereitung des *Strontiumcarbids*, C_2Sr , ist die analoge. Die entsprechenden Mengen sind 120 g Strontiumoxyd auf 30 g Zuckerkohle oder 150 g Strontiumcarbonat auf 50 g Zuckerkohle. Auch dieses Carbid ist eine schwarze Masse von krystallinischem Bruch, welche braunrothe Krystalle einschließt; die Dichte ist = 3,19. Beide Carbide zersetzen sich mit Wasser unter Bildung der entsprechenden Oxydhydrate und von reinem Acetylen. Concentrirte und verdünnte Säuren wirken in der gleichen Weise ein, wie auf Calciumcarbid. Mit gasförmigen Halogenwasserstoffsäuren und Halogenen reagiren sie heftig und unter Feuererscheinung, wenn die Entzündungstemperatur erreicht ist. Dieselbe ist für C_2Ca resp. C_2Sr resp. C_2Ba im Chlorgas 245° resp. 197° resp. 140°, im Bromdampf 350° resp. 174° resp. 130°, im Joddampf 305° resp. 182° resp.

¹⁾ Compt. rend. 118, 688—686; Bull. soc. chim. [3] 11, 1007—1010.

122°. Die Einwirkung des Sauerstoffs ist gleichfalls energisch erfolgt aber erst beim Erweichungspunkt des Glases. Schwefel wandelt beide Carbide bei Temperaturen zwischen dem Schmelzpunkte des Schwefels und 500° unter Erglühen in Schwefelkohlenstoff und die entsprechenden Sulfide um. Selen und Phosphor verhalten sich ähnlich. Arsen reagirt weniger leicht und erst bei höherer Temperatur. Stickstoff, Silicium und Bor wirken dagegen selbst bei Temperaturen von 1000 bis 1200° nicht ein. Wie die Erdalkalimetalle, so gehen anscheinend auch die Alkalimetalle bei einer etwas weniger hohen Temperatur Carbide. Indem nach den oben angegebenen Bedingungen gearbeitet wurde, entstanden schwarze, überschüssige Kohle enthaltende Gemische, welche mit Wasser eine geringe Menge von Acetylen entwickelten, aber weder eine constante Zusammensetzung, noch eine Spur von Krystallisation besaßen.

Kp.

Bor, Aluminium, Cer.

C. Montemartini. Dimorphie des Kaliumfluoborats¹⁾. — Fügt man zu einer genügend concentrirten Lösung von Flußsäure-Borsäure und hierauf die nothwendige Menge Kaliumcarbonat, um alles Bor in *Borfluorkalium* zu verwandeln, so fällt dieses Salz in gelatinöser Form aus, die sich auch nicht ändert, d. h. krystallinisch wird, wenn man einige Zeit kocht. Sammelt man das gelatinöse Salz auf einem Filter, preßt es gut aus und trocknet es dann bei 100°, so verwandelt es sich in ein krystallinisches Pulver. Unter dem Mikroskope bildet dasselbe allerdings sehr kleine Krystalle des monometrischen Systems. Die zweite Form des Kaliumfluoborats erhält man, wenn man eine Lösung des Salzes in der Kälte langsam verdunsten läßt. Die so gewonnenen Krystalle sind farblos, glanzend, durchscheinend, sehr klein, aber so gut ausgebildet, daß sie krystallographisch untersucht werden konnten. Sie gehören dem trimetrischen Systeme an.

H.

Wm. P. Mason. Die Borsäurewerke zu Lardarello²⁾. — Unter diesem Titel beschreibt Verfasser seine Reise nach Lardarello und giebt eine nichts Neues bietende Beschreibung der berühmten Borsäurewerke.

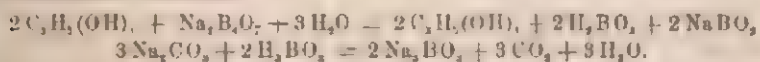
Tr.

Sigmund Waldhoff. Flüchtigkeit des Borax³⁾. — Wird entwässerter Borax im Tiegel längere Zeit mit der Gebläseflamme

¹⁾ Gazz. chim. ital. 24. 1. 478—480; Accad. dei Lincei Rend. [5] 3. 1. 339—392. — ²⁾ Amer. Chem. Soc. J. 16. 338—540. — ³⁾ Dasselbst, S. 410—412.

oder auch schon mit dem Bunsenbrenner erhitzt, so ist ein Gewichtsverlust wahrnehmbar, und zwar hängt dieser einzig und allein von der Oberfläche des geschmolzenen Boraxglases ab. Der hinterbleibende Rückstand entspricht noch genau der Formel $\text{Na}_2\text{B}_4\text{O}_7$, ein Beweis, daß der Borax als solcher flüchtig ist und leicht sich dissociirt. Der Gewichtsverlust wird vermehrt durch die Intensität und die Zeit des Erhitzens. Bei Weißgluth im unbedeckten Tiegel entweichen schwere Dämpfe aus der Oberfläche des geschmolzenen Boraxglases und wenn man das Erhitzen lange fortsetzt, so ist der Gewichtsverlust schon sehr auffallend groß. Verfasser hat nun auch die Frage zu entscheiden gesucht, ob dieses Verhalten des Borax nicht auch Einfluß auf die Genauigkeit der Borsäurebestimmungen nach H. Rose und G. Schaffgotsch haben kann; es hat sich jedoch gezeigt, daß hierdurch keine großen Fehler bedingt sein können. Bei 1410° verloren 12,3036 g Boraxglas nach 60stündigem Erhitzen 6,026 g — 48,98 Proc., bei 1350° und 48stündigem Erhitzen betrug der Gewichtsverlust bei 5,7698 g Substanz 22,40 Proc., bei 954° und dreistündigem Erhitzen für 7,5803 g Substanz 1,47 Proc. Tr.

Lyman F. Kebler. Ueber die Reaction zwischen Borax, Carbonaten und mehrwerthigen Alkoholen, sowie über die Zusammensetzung des Borax¹⁾. — Von verschiedenen Seiten ist die Beobachtung gemacht worden, daß eine saure Reaction entsteht, wenn man Borax in Glycerin oder in anderen mehrwerthigen Alkoholen löst. Ferner hat Rose festgestellt, daß Borax durch Wasser zersetzt wird, denn starke Lösungen dieses Salzes gehen mit Silberlösung Silberborat, verdünnte Lösungen fallen Silberoxyd. Die oben erwähnte saure Reaction rührt höchst wahrscheinlich davon her, daß Borax in Natriummetaborat und Borsäureanhydrid verwandelt wird und letzteres mit Wasser dann Borsäure bildet. Bei Abwesenheit von Wasser kann also keine saure Reaction eintreten, was Verfasser auch durch entsprechende Versuche bestätigte. Hieraus erklärt sich auch, warum beim Mischen von Borax, Natriumbicarbonat und Glycerin normales Natriumcarbonat und Kohlensäure entsteht:



Glycerin spielt einfach eine katalytische Rolle, ähnlich wie es Schwefelsäure bei der Aetherbildung aus Alkohol thut. Tr.

¹⁾ J. Frankl. Inst. 138, 236—239.

G. Rousseau und H. Allaire. Neue Untersuchungen über die Chlorboracite¹⁾. — Verfasser haben chlorirte Boracite erhalten, indem sie die für den Chlorboracit des Eisens beschriebene Methode anwandten und Metallchloride in Dampfform auf den Boronatrocalcit reagieren ließen. Die so gewonnenen Producte schlossen immer noch 0,8 bis 1,2 Proc. des isomorphen Kalksalzes beigemischt ein. Alle diese substituirten Boracite krystallisiren in Würfeln, Tetraedern oder in Dodekaedern und reagieren auf das polarisirte Licht. Die optischen Untersuchungen zeigen, daß diese Krystalle Aggregate bilden, die identisch sind mit denen des natürlichen Boracites. *Boracit vom Zink*, $6\text{ZnO} \cdot 8\text{Bo}_2\text{O}_3 \cdot \text{ZnCl}_2$, erhält man, wenn man Chlorzinkdämpfe auf Borax einwirken läßt, der zu dunkler Rothgluth in einem Glasrohre erhitzt wird oder indem man eine äquimolekulare Mischung von Chlorzink und Chlornatrium erhitzt und dann Borsäure, sowie etwas Borax zusetzt. *Boracit vom Cadmium*, $6\text{CdO} \cdot 8\text{Bo}_2\text{O}_3 \cdot \text{CdCl}_2$. Man erhält eine Mischung von Boronatrocalcit mit Metall in einem zur Rothgluth erhitzten Rohre im trockenen Chlorstrome. *Boracit vom Nickel*, $6\text{NiO} \cdot 8\text{Bo}_2\text{O}_3 \cdot \text{NiCl}_2$. Analog der Cadmiumverbindung dargestellt. *Boracit vom Kobalt*, $6\text{CoO} \cdot 8\text{Bo}_2\text{O}_3 \cdot \text{CoCl}_2$. *Boracit vom Mangan*, $6\text{MnO} \cdot 8\text{Bo}_2\text{O}_3 \cdot \text{MnCl}_2$. Fr

G. Rousseau und H. Allaire. Neue Untersuchungen über die Bromboracite²⁾. — Verfasser haben eine Reihe von bromirten Boraciten dargestellt, indem sie nach einer früher schon beschriebenen Methode (JB. f. 1893, S. 519) Bromdampf auf eine Mischung von Metall und Boronatrocalcit bei Rothgluth einwirken ließen. *Bromirter Magnesiumboracit*, $6\text{MgO} \cdot 8\text{Bo}_2\text{O}_3 \cdot \text{MgBr}_2$, wurde nach der genannten Methode gewonnen. Reiner erhält man ihn nach der Methode von Heintz, wenn man in einem Platintiegel eine äquimolekulare Mischung von MgBr_2 und Natrium mit wenig Borax und Borsäure zur Rothgluth erhitzt. Die Verbindung krystallisirt in farblosen Würfeln und in Tetraedern. *Bromirter Zinkboracit*, $6\text{ZnO} \cdot 8\text{Bo}_2\text{O}_3 \cdot \text{ZnBr}_2$. Auch hier giebt die Heintz'sche Methode bessere Resultate. Die Verbindung besteht aus einem Gemisch von Tetraedern, Dodekaedern und Würfeln. *Bromirter Cadmiumboracit*, $6\text{CdO} \cdot 8\text{Bo}_2\text{O}_3 \cdot \text{CdBr}_2$. Diese wie die folgenden Verbindungen stellt man durch Einwirkung von Brom auf eine Mischung von Metall und getrocknetem Boronatrocalcit dar, die man zur Rothgluth in einem Verbrennungsrohre erhitzt. Farblose Tetraeder und Dodekaeder. *Bromirter Manganboracit*

¹⁾ Compt. rend. 118, 1255—1257. — ²⁾ Dasselbst 119, 71—73.

6 MnO, 8 Bo_2O_3 , MnBr_2 . Farblose Würfel und Tetraëder. *Bromirter Kohaltboracit*, 6 CoO, 8 Bo_2O_3 , CoBr_2 . Grüne, violett reflectirende Tetraëder und Dodekaëder. *Bromirter Nickelboracit*, 6 NiO, 8 Bo_2O_3 , NiBr_2 . Gelbe Tetraëder und Dodekaëder. Alle Verbindungen mit Ausnahme derjenigen, die nach der Heintz'schen Methode erhalten sind, enthalten 1 Proc. Calcium, das aus dem Boronatrocalcit stammte.

Tr.

Henry Moissan. Darstellung und Eigenschaften von Borcarbid¹⁾. — Wenn man Bor auf Kohlenstoff bei der Temperatur des elektrischen Ofens reagiren läßt, so bilden sich zwei Borcarbide, von denen das eine beständig ist und der Formel Bo_6C entspricht, während das andere von einer Mischung von chloresaurom Kalium und Salpetersäure angegriffen wird. Das erstgenannte Carbid bildet sich, wenn man den elektrischen Funken überspringen läßt zwischen zwei Kohlen, die sich in einer Mischung von Borsäure und Aluminiumsilicat befinden, ferner wenn man eine kleine Menge Bor mitten in dem elektrischen Flammenbogen aufstellt, oder wenn man auf ca. 3500° reines Bor in einem verschlossenen Kohletiegel im elektrischen Ofen erhitzt, und schließlich bildet es sich auch inmitten geschmolzener Metalle, z. B. wenn man im Kohletiegel borhaltiges Eisen erhitzt. Auch geschmolzenes Silber und Kupfer lassen sich anstatt Eisen verwenden. Um den Borkohlenstoff direct darzustellen, erhitzt man fünf bis sechs Minuten 66 Thle. amorphes Bor und 12 Thle. Zuckerkohle mit einem Strom von 250 bis 300 Amp. und 70 Volt. Nach dem Erkalten wird die graphitähnliche Masse erst mit rauchender Salpetersäure und schließlich wiederholt mit Salpetersäure und chloresaurom Kalium behandelt. Um den Borkohlenstoff durch Lösen in Boreisen zu gewinnen, fügt man zu Eisen einen Ueberschuß von Bor und Kohle, erhitzt im elektrischen Ofen und behandelt dann den Regulus mit Königswasser. Noch bessere Resultate liefern geschmolzenes Silber bzw. Kupfer an Stelle von Eisen. Bei Kupfer erhält man den Borkohlenstoff in glänzenden Krystallen von großer Reinheit. Der *Borkohlenstoff*, Bo_6C , ist von großer Härte und sehr beständig, er bildet schwarze, glänzende Krystalle vom spec. Gew. 2,51. Von Chlor wird er unterhalb 1000° angegriffen, Brom und Jod sind jedoch ohne Einwirkung auf ihn. In Sauerstoff auf 1000° erhitzt, verbrennt er langsam, aber schwerer als Diamant. Mineralsäuren greifen ihn nicht an, bei Rothgluth wird er jedoch von geschmolzenem Kaliumnatriumcarbonat an-

¹⁾ Compt. rend. 118, 556—560; Bull. soc. chim. [3] 11, 998—1002.

gegriffen. Der Borkohlenstoff ist härter als Siliciumkohlenstoff, man kann mit seinem Pulver Diamanten schleifen. *Tr.*

Henry Moissan. Reduction der Thonerde durch Kohle. — Die bisher allgemein übliche Ansicht, die Thonerde gehöre zu den nicht reducirbaren Oxyden, trifft nicht zu. Bringt man z. B. Korundkrystalle in einem Schiffchen in das Kohlerohr eines elektrischen Ofens und erhitzt denselben mit einem Strome von 1200 Amp. und 80 Volt, so verflüchtigt sich die Thonerde in wenigen Minuten, während das Kohlerohr an beiden Enden einer krystallinischen Filz von Graphit und Thonerde aufweist, in dessen Innerem sich Kugeln von 2 bis 3 mm Durchmesser von metallischem Aluminium befinden. Bringt man ein einseitig geschlossenes Kohlerohr, das Thonerde enthält, in einen elektrischen Ofen und erhitzt mit einem Strome von 300 Amp. und 65 Volt, so entweichen Dämpfe, die sich als Aluminiumoxyd verflüchtigen. Diese Thonerde schmelzt gleichfalls kleine Aluminiumkügelchen ein. Im Kohlerohr befindet sich am untersten Ende, wo es am meisten erhitzt worden war, eine Mischung von Aluminium und dem Carbid dieses Metalles, C_3Al_2 . Es geht aus diesen Versuchen hervor, daß das flüssige Aluminium durch Kohle nur dann reducirt wird, wenn die Dämpfe dieser beiden Körper auf sehr hohe Temperatur gebracht werden. In diesem Falle giebt die Thonerde ihren Sauerstoff ab und liefert Aluminium, das sich theilweise carburirt. *Tr.*

H. N. Warren. Reduction der Thonerde und schwer schmelzbarer Erden durch Wasserstoff¹⁾. — Die betreffenden Erden wurden in einer dünnen Röhre von Kalk mittelst einer Knallgasflamme erhitzt, darauf wird etwa zehn Minuten lang ein Wasserstoffstrom durch die Röhre geleitet. Nur ein intensiver Wasserstoffstrom führte die Bildung von Metall herbei; bei langsamem Hindurchleiten kam dieselbe lediglich deshalb nicht zu Stande, weil der sich bildende Wasserdampf nicht schnell genug mit fortgerissen wurde, sondern auf den bereits reducirten Antheil wiederum einwirken konnte. Die Kalkröhre wurde durch den Gebrauch bald zerstört, indem die Bildung leicht schmelzender Verbindungen mit den Oxyden ihr Material verbrauchte. In der angegebenen Weise wurden gewonnen: Aluminium, Beryllium, Zirkonium, Chrom, Wolfram und Molybdän. Gemische von Oxyden wurden zum Theil ebenfalls untersucht und z. B. Aluminiumbronze dargestellt. Silicium und Magnesium konnten nach dieser Methode indessen nicht erhalten werden. *Sy*

¹⁾ Compt. rend. 119, 935—937. — ²⁾ Chem. News 70, 102.

Jos. W. Richards. Dichte einiger geschmolzener Salze ¹⁾. — Bei der Gewinnung von Aluminium löst man calcinirte Thonerde in einem Bade von geschmolzenem Kryolith oder einem solchen von geschmolzenem Kryolith und Fluoraluminium und leitet den elektrischen Strom mit Kohleelektroden hindurch. Verfasser hat nun die Frage aufgeworfen: Wenn das specifische Gewicht von Aluminium 2,7 und das von Kryolith 3, wie ist es möglich, daß geschmolzener Kryolith über das geschmolzene Aluminium tieft? Er hat zu diesem Zwecke die specifischen Gewichte der geschmolzenen Substanzen und dann dieselben nach dem Erkalten bestimmt. Im geschmolzenen Zustande ergaben sich folgende Zahlen: Handelsaluminium 2,54, Kryolith von Grönland 2,08, Kryolith, der Aluminiumoxyd enthält, so viel er zu lösen vermag, 2,35, Kryolith und Aluminiumfluoridgemisch entsprechend der Formel $\text{Al}_2\text{F}_6 \cdot 3\text{NaF}$ 1,97, dasselbe Gemisch mit Thonerde 2,14. Die specifischen Gewichte der einzelnen Producte nach dem Erkalten ergaben sich in derselben Reihenfolge wie bei den geschmolzenen Stoffen zu 2,66, 2,92, 2,90, 2,96 und 2,98. Ti.

Henry Moissan. Unreinheiten des technischen Aluminiums ²⁾. — Das nach den verschiedenen elektrolytischen Processen dargestellte Aluminium ist mit Eisen und Silicium verunreinigt, von denen das erstere aus dem verarbeiteten Mineral, den Elektroden und dem Tiegel stammt, während das Silicium zum Theil von den Elektroden und dem Tiegel, vor Allem aber aus dem Mineral herrührt. Silicium scheint weniger nachtheiligen Einfluß zu haben als das Eisen, das sich aber durch sorgfältig gearbeitete Elektroden und Tiegel, sowie besonders reines Ausgangsmaterial ziemlich vermeiden läßt. Aufser diesen beiden Verunreinigungen hat Verfasser noch Stickstoff und Kohlenstoff im elektrolytisch dargestellten Aluminium festgestellt. Beim Auflösen von industriellem Aluminium in reiner 10proc. Kalilauge wird neben Wasserstoff auch Ammoniak entwickelt, das sich durch Neßler's Reagens nachweisen läßt. Leitet man in geschmolzenes Aluminium Stickstoffgas, so zeigt das Metall eine kleine Verminderung in seinem Verhalten beim Bruch und Zug. Viel größer als die Menge des Stickstoffs ist diejenige des Kohlenstoffs, der zurückbleibt, wenn man Aluminium mit Salzsäuregas in Lösung bringt. Verfasser fand bei seinen Versuchen 0,08 bis 0,108 Proc. C. Die Verminderung an Zug- und Bruchfestigkeit ist bei carburirtem Aluminium

¹⁾ J. Frankl. Inst. 138, 51. — ²⁾ Compt. rend. 119, 12—15, Bull. soc. chim. [3] 11, 1021—1024.

viel auffallender, als wenn das Aluminium mit Stickstoff beladelt war.

A. Bauer und X. Schmidlechner. Verfahren zum Löthen von Aluminium¹⁾. — Die zu verbindenden Theile des Aluminiums werden ohne Aufschaben mit Kieselfluorwasserstoffsäure gereinigt und die Löthstellen ziemlich stark erhitzt; dann erfolgt das Löthen mit einem Loth je nach Härte, bestehend aus 1 Thl. Wismuth 2 bis 10 Thln. Kupfer und 89 bis 97 Thln. Zinn. Als Löthflamme dient eine Lösung von Stearinöl in Benzin oder Benzol (Verhältniß 2:1).

Op.

A. Räder. Löthmetall zum Löthen von Aluminium²⁾. — Das Löthmetall besteht aus einer Legirung von Cadmium bis 1. 50 Proc., Zink bis 20 Proc. und Zinn bis 30 Proc., je nach den an dasselbe gestellten Anforderungen.

Op.

M. Dennstedt. Verfahren zum Ueberziehen von Aluminium mit anderen Metallen³⁾. — Aluminium, das amalgamirt sein kann, wird zunächst in eine Flüssigkeit, welche dasselbe angreift z. B. Kalilauge, getaucht und dann sofort, während noch eine dünne Schicht dieser Flüssigkeit an ihm haftet, in eine Salzlösung desjenigen Metalles gebracht, welches niedergeschlagen werden soll.

Op.

Christian Göttig. Ueber ein neues Verfahren zur Erzeugung von Metallniederschlägen, welches sich besonders zur metallischen Ueberziehung des Aluminiums eignet⁴⁾. — Da bekanntlich das Aluminium sich sehr schlecht mit anderen Metallen, sei es auf galvanischem Wege oder durch das sogenannte Verreiben überziehen läßt, so bieten die Versuche des Verfassers, die eine Verkupferung bzw. Verzinnung des Aluminiums bezwecken, großes Interesse. Eine haltbare Kupferschicht schlägt sich auf dem Aluminium nieder, wenn man dasselbe mit einer concentrirten Kupfervitriollösung und Stanniolpapier verreibt. Momentan gleichmäßig verkupfert wird das Aluminium, wenn man es mit Kupfersulfatlösung und Schlammkreide verreibt, Mennigpulver anstatt Schlammkreide giebt einen ungleichmäßigen Bezug. Taucht man Aluminium, das einen dünnen Kupferüberzug besitzt, in eine verdünnte Kupfersulfatlösung, so wird der Bezug allmählich dicker. Einen dünnen Zinnbezug erhält man auf Aluminium, wenn man dasselbe mit einer sehr verdünnten Lösung von Pinksalz mit einer Messingbürste reibt. Ein mit Kupfer bezogenes Aluminium läßt

¹⁾ D. R.-P. Nr. 72684. — ²⁾ D. R.-P. Nr. 72683. — ³⁾ D. R.-P. Nr. 72772.
— ⁴⁾ Ber. 27, 1824—1826.

sich weiterhin mittelst Zinnsalz verzinnen. Verfasser folgert aus seinen Versuchen, daß man nur dann einen Metallüberzug auf dem Aluminium erhält, wenn das Reihemittel mit dem Aluminium und der Salzlösung eine galvanische Kette bildet, bei der das Aluminium zur Kathode wird. Der Metallüberzug entsteht um so leichter, je mehr das Aluminium negativ elektrisch gemacht wird durch Reihemittel und Salzlösung. *Tr.*

G. Fr. Andrews. Ueber Aluminium¹⁾. — Verfasser hat verschiedene Legirungen von Aluminium dargestellt mit Bezug auf ihre Verwendung für den Juwelier. Er stellte verschiedene Goldlegirungen dar; eine solche, die 50 Proc. Gold, 45 Proc. Kupfer und 5 Proc. Aluminium enthielt, glich in Farbe und Politur dem 14 karätigen Golde. Dargestellt wurden ferner Legirungen von Aluminium mit Silber bezw. mit Nickel. Erstere haben keinen Werth, letztere eignen sich zu decorativen Zwecken. Schliesslich erwähnt Verfasser noch, daß sich Aluminium ohne jede Löthflüssigkeit löthen läßt, ferner daß man es beim Schmelzen nicht viel über seinen Schmelzpunkt erhitzen soll und daß man es am besten reinigt, indem man es erst in Pottaschelösung taucht und dann mit einer Mischung von Salpetersäure und Schwefelsäure wäscht. *Tr.*

Ch. Schmitz. Untersuchung über die etwaige Giftigkeit des Aluminiums²⁾. — Verfasser berichtet in seiner Dissertation über Versuche, die er mit essigsaurem Aluminium $[\text{Al}(\text{C}_2\text{H}_3\text{O}_2)_3]$ an einem Hunde ausgeführt hat. Ein Hund vertrug binnen sechs Tagen ohne Störung oder Unbelagen eine Menge von 99 g des Salzes mit 13,17 Al. Als ein Hund, sowie ein Kaninchen officiellen Liquor Aluminii acetici, der mit dem gleichen Volumen Wasser verdünnt war, erhielten, erbrach es der Hund ohne üble Folgen, während das Kaninchen Durchfälle bekam und abmagerte. Verfasser selbst nahm binnen 31 Tagen 560 Tropfen oder 28 g des Liquor ein. Er beobachtete an sich Diarrhée als vermuthliche Wirkung der Essigsäure, sowie Ermattung. Der Harn zeigte nur geringe Spuren von Aluminium. Als einem Hunde 4 ccm des Liquor subcutan wiederholt eingespritzt wurden, konnte aufser vorübergehender Schmerzhaftigkeit und Abscedirung der Injectionsstelle keine sonstige Wirkung beobachtet werden. *Tr.*

P. Askenasy. Darstellung von Aluminiumchlorid³⁾. — Aluminiumchlorid läßt sich auch im Großen direct aus Aluminium

¹⁾ Amer. Chem. Soc. J. 16, 185—187. — ²⁾ Ref.: Hyg. Rundsch. 4. 33 34. ³⁾ D. R.-P. Nr. 76900.

und Salzsäure herstellen, ohne daß eine starke Wärmezuführung der eingeleiteten Reaction nöthig wäre. In dem unteren, röhrenförmigen, verengten Theile eines Gefäßes befindet sich das zu verarbeitende Aluminium, in das durch ein Rohr das Salzsäuregas eingeleitet wird. Das Gefäß wird zweckmäßig in ein Schwefelbad gesetzt. Ist die Reaction im Gange, so condensirt sich das entstandene Chloraluminium im oberen, weiteren Theile des ersten Gefäßes, während der Wasserstoff durch ein zweites Rohr entweichen kann.

Up.

Joseph Heibling. Darstellung von Thonerde aus Thon.¹⁾
 — Um aus Thon Thonerde zu fabriciren, verfährt Verfasser in folgender Weise. Nachdem man den Gehalt des Thones an Thonerde ermittelt hat, giebt man für jedes Molekül Thonerde 3 Mol. Ammoniumsulfat und 1 Mol. Kaliumsulfat zu dem Thon, knetet das Ganze, formt Ziegel daraus und erhitzt dieselben auf 270 bis 280° C. Bei dieser Temperatur bildet sich aus dem Ammoniumsulfat unter Abspaltung von Ammoniak saures schwefelsaures Ammon. Das saure Ammonsulfat bewirkt nun die Bildung von saurem Kaliumsulfat und dieses bildet bei der erwähnten Temperatur Alaun. Die den Alaun enthaltenden Ziegel werden dann mit Wasser ausgezogen, die dabei resultirende Kieselsäure findet Verwendung zur Cementbereitung. Durch wiederholtes Umkrystallisiren kann man den Alaun von Eisen befreien, aus seiner Lösung kann man andererseits mittelst des oben erwähnten Ammoniaks auch Thonerde ausfällen. Das so gewonnene Aluminiumoxyd ist leider gelatinös. Um es körnig zu erhalten, läßt man den Alaun ausgebreitet in Berührung kommen mit heißem, feuchtem Ammoniak, das vom Erhitzen der Ziegel stammt. Hierbei wandelt sich der Alaun in eine Mischung von Ammoniumsulfat, Kaliumsulfat und körnige Thonerde um, die sich leicht auswaschen läßt.

Tr.

A. A. Noyes und W. R. Whitney. Kryoskopische Untersuchungen mit Aluminaten und Boraten von Alkalimetallen²⁾. — Verfasser sucht zunächst auf kryoskopischem Wege, indem er im Beckmann'schen Apparate in titrirter Alkalilösung Aluminiumblech löst und den Gefrierpunkt ermittelt, die Frage zu entscheiden, ob die Formel für Natriumaluminat, $\text{Na}_2\text{Al}_2\text{O}_4$, nicht ein Multiplum oder Submultiplum darstelle. Aus den Versuchen ergibt sich, daß die Alkalialuminate in Lösung die Zusammensetzung MAlO_2 bezw. die des Hydrats besitzen. Borate haben

¹⁾ Compt. rend. 119, 609—610. — ²⁾ Zeitschr. physik. Chem. 15, 684—698.

eine entsprechende Zusammensetzung, so lange die Zahl der Borsäuremolekeln die der Alkalimolekeln nicht übersteigt. Die Zusammensetzung des bei Gegenwart zweier Borsäuremolekeln gebildeten Salzes ist $M_2B_4O_7$, oder die des Hydrats. Weitere Borsäuremolekeln lagern sich direct an das schon vorhandene Tetraborsäureion an unter Bildung des Dinatrium- oder Dikaliumsalzes einer noch complexeren Borsäure. Bei den Versuchen mit Borsäure wurde unkrystallisirter Borax in Alkalilösungen gelöst und dann der Gefrierpunkt ermittelt. *Tr.*

J. Morris. Neuer oder verbesserter Process zur Darstellung von Krystallen oder krystallinischen Massen¹⁾. — Die Erfindung bezieht sich in erster Linie auf die Darstellung von krystallisirtem Thonerdemagnesiaspinell, kann aber auch zur Gewinnung von Krystallen von einfachen Oxyden benutzt werden und beruht auf der Erhitzung eines innigen Gemisches der Oxyde mit Kohle in einem Kohlensäurestrom. Um Spinell zu gewinnen, mischt man eine Lösung von Chloraluminium und Chlormagnesium mit grob gepulverter Holzkohle und Lampenruß und trocknet, wobei Salzsäure entweicht. Unzersetztes Chlormagnesium wird ausgewaschen und die Masse, um sie vollständig zu zersetzen, in einem Dampfströme erhitzt. Diese Masse wird zu Kugeln oder Ziegeln geformt und soll auf $1\frac{1}{2}$ Thle. Kohle 1 Thl. Oxyde enthalten. Man durchbohrt die Kugeln, umgibt sie mit einer Hülle aus Nickeldrahtnetz oder einem anderen Drahtnetz und erhitzt sie zuerst mäßig in einem Dampfströme, darauf stärker in einem Ströme eines neutralen Gases und zuletzt in langen Retorten 50 bis 500 Stunden auf helle Rothgluth in einem vor dem Eintritt in die Retorten erhitzten Ströme von Kohlensäure. Der Verlauf des Processes wird an der Menge des Kohlenoxyds in den austretenden Gasen erkannt, und die Erhitzung wird beendet, wenn wenig Kohlenoxyd entweicht. Farbende Stoffe, wie Chrom, Eisen oder Kobalt, können in irgend einem Stadium des Processes zugesetzt werden. Die Krystalle werden auf geeignetem Wege von den unveränderten Oxyden und der Kohle getrennt. *Op.*

Claude Theodore James Vautin. Darstellung von Aluminiumsulfid²⁾. — Metallisches Aluminium wird mit Bleisulfid zusammengeschmolzen, wobei ein Ueberschuß von Aluminium vorhanden sein muß, um das Product frei von Bleisulfid zu erhalten. Ist die Schmelze abgekühlt, so nimmt die tiefste Stelle

¹⁾ Engl. Pat. Nr. 18496; Chem. Soc. Ind. J. 12, 925. ²⁾ D. R.-P. Nr. 75825.

im Gefäße der entstandene Bleiregulus ein; auf ihn folgt eine Schicht Aluminium, entsprechend dem angewandten Ueberschuß, und die höchste Schicht bildet das Aluminiumsulfid. Da sich das metallische Aluminium weder mit dem Blei noch mit dem Aluminiumsulfid legirt, lassen sich die einzelnen Schichten leicht trennen. Aluminiumsulfid kann zur Reduction von Aluminiumsalzen und Oxyden, zur Herstellung von Schwefelwasserstoff u. s. w. Verwendung finden.

Op.

Friedrich Grny. Darstellung von Aluminiumsulfid¹⁾. — Bekanntlich eignet sich das Aluminiumsulfid besser zur Reindarstellung von Reinaluminium mittelst Elektrolyse als das Oxyd, da es zur Zersetzung bedeutend weniger Energie erfordert als das Oxyd. Ein sehr gutes Bad zur elektrolytischen Zersetzung von Aluminiumsulfid gewinnt man, wenn man in geschmolzenes Natriumsulfid allmählich Natriumaluminiumchlorid einträgt, es bildet sich neben Chlornatrium Aluminiumsulfid. Analog verhält sich Fluoraluminium: $3\text{Na}_2\text{S} + \text{Al}_2\text{F}_6 = 6\text{NaF} + \text{Al}_2\text{S}_3$. Man könnte also aus Kryolith direct ein Aluminiumsulfidbad gewinnen, doch würde sich dieses Verfahren nicht billiger gestalten. Schließt man jedoch Thon mittelst Schwefelsäure auf, so erhält man Aluminiumsulfat, schmilzt man dieses mit Fluornatrium, so entsteht Natriumsulfat und Aluminiumfluorid bezw. Kryolith. Zweckmäßiger reducirt man jedoch das Natriumsulfat durch Kohle gleich zu Sulfid und letzteres setzt sich dann mit dem Fluorid in Aluminiumsulfid und Fluornatrium um. Bei der Fabrikation von Aluminiumsulfid ist zu berücksichtigen, daß sowohl Fluoride, als auch Natriumsulfid jedes feuerfeste Material angreifen. Dieser Uebelstand läßt sich vermeiden, wenn man die Schmelzung in einem Flammenofen vornimmt, dessen Herd, soweit er von der Schmelze berührt wird, aus Eisen besteht und mit Wasserkühlung versehen ist. Es entsteht dann auf dem Eisen eine Kruste, die das Eisen vor dem schädlichen Einflusse der Schmelze schützt. Tr.

H. v. Kéler und G. Lunge. Untersuchungen über die schwefelsaure Thonerde des Handels²⁾. — Veranlassung zu dieser Arbeit bot eine Preisaufgabe, die bezweckte, die Eigenschaften festzustellen, welche eine schwefelsaure Thonerde haben muß, um den Ansprüchen des Färbers und Druckers zu genügen. Es ist zu diesem Zwecke eine Anzahl Handelsproben analysirt worden und durch praktische Versuche wurde dann ermittelt, inwiefern Verunreinigungen der schwefelsauren Thonerde, in erster Linie

¹⁾ Zeitschr. angew. Chem. 1894, S. 290—291. — ²⁾ Daselbst, S. 669—676.

das Eisen, einen nachtheiligen Einfluss beim Färben und Drucken ausüben. Die Resultate dieser Arbeit sind von den Verfassern in Folgendem zusammengefasst: Thonerdesulfat, das in der Türkischrothfärberei Anwendung findet, soll nicht mehr als 0,001 Proc. Gesamteisen enthalten. Wird die zulässige Grenze überschritten, so beobachtet man einen schädlichen Einfluss. Nicht blofs der Gesamteisengehalt, sondern auch die Oxydationsstufe ist von Wichtigkeit. Eisenoxydulsalze schaden weniger als Oxydsalze. Ein Zinkgehalt, der übrigens selten in den Handelsproben nachweisbar ist, ist von nachtheiligem Einfluss auf die Färbung. Auch im Zeugdruck sind mit Thonerdesulfaten, die als essigsäure Mordants benutzt wurden, beim Dampfalizarinroth und Rosa Versuche angestellt worden. Trotz des verschiedenen Eisengehaltes fielen die einzelnen Färbungen beim Roth und Rosa gleich aus. Bis zu 0,00524 Proc. Gesamteisen konnte ein schädlicher Einfluss auf die Reinheit der Färbung nicht constatirt werden. Selbst als der Eisengehalt künstlich bis auf 1 Proc. Gesamteisen erhöht wurde, konnte ein schädlicher Einfluss der Eisensalze auf die Färbung bei der Druckwaare nicht beobachtet werden. Vielleicht liegt die Erklärung dieses unerwarteten Resultates darin, dafs beim Zeugdruck im Vergleich zur Türkischrothfärberei nur ganz geringe Mengen Mordants auf die Faser kommen. Schliesslich sind auch einige Versuche mit Kreuzbeergelb gemacht worden, das die gegen Eisen empfindlichste aller Druckfarben ist. Aus diesen Versuchen geht hervor, dafs ein Eisengehalt des Thonerdesulfats bis zu 0,005 Proc. auch für den Kattundruck nicht in Betracht kommt. Tr.

W. C. Ferguson. Ueber basisches Aluminiumsulfat¹⁾. — Viele Handelsproben vom Aluminiumsulfat enthalten mehr Aluminium, als der Formel des normalen Sulfates $\text{Al}_2(\text{SO}_4)_3$ entspricht. Der Mehrbetrag schwankt zwischen Spuren und $2\frac{1}{2}$ Proc., ist zuweilen sogar noch gröfser. Bekanntlich wird in der Papierindustrie das Aluminiumsulfat in Verbindung mit Harzseife zum Leimen der Papiermasse verwendet. Der Gehalt des Aluminiumsulfates wird aber aus der SO_4 -Menge berechnet in solchen Fällen und somit das sogenannte freie Al_2O_3 nicht berücksichtigt. Verfasser glaubt nun, dafs dieses sogenannte freie Al_2O_3 als basisches Sulfat im Aluminiumsulfat enthalten ist und in Folge seiner lockeren Bindung ebenso leicht sich mit Harzseife umsetzt wie das normale Sulfat. Als zwei Lösungen, von denen die eine nur normales Sulfat,

¹⁾ Amer. Chem. Soc. J. 16, 153—156.

die andere außer diesem auch noch basisches Salz enthielt, mit Harzseife unter gleichen Bedingungen gefällt wurden, wurde im letzteren Falle mehr Thonerde niedergeschlagen. Man sollte daher, um den Werth des Aluminiumsulfates zu bestimmen, die Gesamtmenge Thonerde berücksichtigen. Tr.

Henry Moissan. Darstellung eines krystallisirten Aluminiumcarbids¹⁾. — Zur Darstellung des Aluminiumcarbids erhitzt man Aluminium, das sich in einem Kohleschiffchen befindet, in einem elektrischen Rohrofen im Wasserstoffstrome fünf bis sechs Minuten mit einem Strome von 300 Amp. und 65 Volt. Nach dem Erkalten im Wasserstoffstrome ist das Schiffchen mit einer metallischen Masse von grauer Farbe erfüllt, die aus dem Carbol und überschüssigem Aluminium besteht. Um dieses Gemisch zu trennen, zertheilt man die Masse in Stücke von 1 bis 2 g und läßt auf höchstens 2 bis 3 g derselben in einem Rohre, das in Eiswasser sich befindet, Salzsäure einwirken. Man muß für gute Kühlung sorgen und auch rasch die Trennung vornehmen, da schon kaltes Wasser das Carbid zersetzt. Man wiederholt die Behandlung mit Salzsäure, bis kein Wasserstoff sich mehr entwickelt, wäscht dann den Rückstand mit Eiswasser, absoluten Alkohol, Aether und trocknet schließlich. Das so bereitete Carbid bildet schöne gelbe Krystalle von der Dichte 2,36. Seine Zusammensetzung ist C_3Al_4 . Mit Chlor vereinigt es sich bei dunkler Rothgluth unter Flammenerscheinung zu Aluminiumchlorid unter Abscheidung von amorphem Kohlenstoff. Aehnlich wirkt Brom. Wasser zersetzt es schon bei gewöhnlicher Temperatur unter Entwicklung von Methan gemäß der Gleichung $C_3Al_4 + 12 H_2O = 3 CH_4 + 2 [Al_2(OH)]$. Tr.

Léon Franck. Einwirkung des Aluminiums auf Kohlenstoff und seine Verbindungen²⁾. — Bei der Einwirkung von Aluminium auf Kohlensäure ergab sich, daß die Kohlensäure gemäß der nachfolgenden Gleichung zersetzt wird: $3 CO_2 + 4 Al = 2 Al_2O_3 + 3 C$. Das Aluminium befand sich in einem Schiffchen und wurde in einem Rohre im trockenen Kohlensäurestrome erhitzt. Durch Aluminium wird in analoger Weise Kohlenoxyd zu amorphem Kohlenstoff reducirt. Erhitzt man ein Gemisch von Lithiumcarbonat und Aluminium zur Rothgluth, so tritt Entflammung der Masse ein und im Rückstande läßt sich metallisches Lithium nachweisen. Weniger energisch ist die Reaction zwischen Natrium-

¹⁾ Compt. rend. 119, 16—20; Bull. soc. chim. [3] 11, 1010—1014. —

²⁾ Bull. soc. chim. [3] 11, 439—446.

carbonat und Aluminium. Der Rückstand besteht aus Aluminiumcarbonat und wenig metallischem Natrium. Aluminium und Kalkumcarbonat reagiren unter Entflammung beim Erhitzen auf Rothgluth; auch hier wird das Metall gebildet. Eine an Aluminiumcarbid reiche Mischung erhielt Verfasser, als er pulverförmiges Aluminium und Lampenrufs in einem Kohletiegel stark erhitze. Eine Isolirung dieses Carbids erzielte Verfasser nicht, doch steht es fest, daß Aluminium mit Kohlenstoff in chemische Reaction tritt. Verfasser glaubt, daß das Aluminium auf Grund seiner chemischen Eigenschaften ein nützliches Hilfsmittel der Industrie werden wird. *Tr.*

O. Hofman und D. Demond. Einige Versuche zur Bestimmung der Schwerschmelzigkeit feuerbeständiger Thone¹⁾. — In Anlehnung an die von C. Bischof u. H. Seger aufgestellten Grundsätze und Normale für die Beurtheilung feuerbeständiger Thone haben die Verfasser eine Reihe von Untersuchungen an amerikanischen Thonen ausgeführt. Sie benutzten hierbei einen Ofen, in welchem die Temperaturen mittelst eines Le Chatelier'schen Pyrometers leicht gemessen und controlirt werden konnten und die Proben während des Versuches überwacht wurden. Der Ofen besaß eine Temperatur von 1420°, nach Anbringung eines Vorhangziegels wurde als höchste Temperatur 1720° C. erreicht. Als die Seger'schen Normalkegel als Maßstab der Messungen angewendet wurden, ergab sich, daß die Schmelzungen sich bei viel niedrigeren Temperaturen als den für die Kegelnummern angegebenen vollzogen. Es wurde daher das Chatelierpyrometer benutzt, nur wurden die Thoneylinder, durch welche die Thermaldrähte gehen, mit Platindrähten an einem elektrischen Lichtkohlestift befestigt, anstatt sie wie gewöhnlich in ein eisernes Rohr zu stecken. Für die Probestücke wurde die Form der großen Segerkegel gewählt. Die Methode des Verfahrens beruht auf der Anwendung von Calciumcarbonat als Flufsmittel; der zu einer gewissen Menge Thon nöthige Zusatz an Kalk, um bei einer gewissen erhöhten Temperatur eine schmelzbare Verbindung zu liefern, giebt das Kriterium des Feuerfestigkeitswerthes des Thones ab. Da Kalk ein sehr kräftiges Flufsmittel ist, welches selbst in kleinen Mengen eine zu starke Wirkung übt, so wurde diese Wirkung durch Versetzen mit Kieselsäure abgeschwächt und eine solche Mischung an Stelle von reinem Calciumcarbonat verwendet. Die

¹⁾ Verh. d. Amer. Ver. d. Bergingen. Virginia. Besch.-Vers., Febr. 1894; Ref.: Berg- u. Hüttenm. Zeitg. 53, 83—86.

Versuche wurden mit Thon von Mount Savage und mit Kaolin von Blandford angestellt. Die Zuschläge von 3SiO_2 auf 1CaCO_3 und von 5SiO_2 auf 1CaCO_3 erwiesen sich als besonders geeignet. Die Versuchsergebnisse sind in Tabellen zusammengestellt. *Tr.*

Jules Perret. Einwirkung der Sande und Wässer der Sahara auf die hydraulischen Kalke¹⁾. — Das Résumé der diesbezüglichen Untersuchungen faßt Verfasser wie folgt zusammen: Die relativ große Menge Calciumsulfat, die in dem Sande und in den Wässern der Sahara enthalten ist, erweist sich als sehr schädlich sowohl für die Qualität als auch die Erhaltung der Cementmörtel, die in jener Gegend bereitet werden. Es ist nöthig, in der Wahl des Sandes und des Wassers sehr vorsichtig zu sein, vor Allem, was den Sand betrifft, den man an gewissen Punkten genügend frei von Gyps antrifft. Der Gyps des Sandes bildet nämlich mit dem im Cement enthaltenen Aluminiumkalksulfaluminat und in Folge dessen tritt eine Zerstörung der Cemente ein. *Tr.*

L. M. Dennis und W. H. Magee. Beiträge zur Chemie des Cers²⁾. — Das Ausgangsmaterial für die Gewinnung der Cererde war Allanit aus Amelia County, Virginia. — Das fein gepulverte Mineral (1924 g) wurde mit concentrirter Salzsäure erhitzt, bis die Flüssigkeit dunkelbraun war, und diese Behandlung wurde in der Regel dreimal in je zehn Stunden wiederholt. Nach Verdünnen und Behandlung mit Schwefelwasserstoff und Oxydiren mit Salpetersäure wurde die Lösung mit einer concentrirten Oxalsäurelösung gefällt. Die dabei erhaltenen seltenen Erdoxalate wurden mit heissem Wasser gewaschen, dann mit 1 proc. Salzsäure bis zur vollständigen Entfernung des Eisens digerirt, getrocknet und im Schmelzofen geglüht. Die Ausbeute von röthlichbraunen Oxyden war 21 Proc. (410 g). Diese Oxyde wurden in concentrirter Salpetersäure gelöst und zur Trennung der Cererde von den anderen Erden wurde einestheils die Methode von Mosander³⁾-Jolin⁴⁾, anderentheils die Methode von Debray⁵⁾ angewandt. Die letztgenannte Methode wurde vortheilhaft vervollkommenet, indem die Verfasser anstatt Kaliumnitrat ein molekulares Gemenge von Kaliumnitrat und Natriumnitrat zum Schmelzen der Erdnitrate benutzten; ein solches Gemenge schmilzt schon bei 231°; die Oxalate wurden durch concentrirte Salpetersäure in

¹⁾ Compt. rend. 119. 654—656. — ²⁾ Zeitschr. anorg. Chem. 7. 250—264. Amer. Chem. Soc. J. 16. 643—665. — ³⁾ Phil. Mag. 28. 241. — ⁴⁾ Bull. soc. chim. [2] 21. 533. — ⁵⁾ JB. f. 1883, S. 353.

Nitrate übergeführt und diese dann mit dem erwähnten Gemenge gemischt und geschmolzen, wobei die Temperatur nicht über 320° steigen soll; nach Steigen der Temperatur über 320° enthält das Ceroxyd etwas Didym. Nach viermaliger Wiederholung der Operation lassen sich so aus einem Gemenge von reinem Cer- und Didymoxalat über 63 Proc. des angewandten Cers frei von Didym erhalten. Durch vergleichende Versuche mit den verschiedenen zum Nachweise geringer Mengen von Cer vorgeschlagenen Reactionen erwies sich die von Lecoq de Boisbaudran¹⁾ angegebene Probe mit Ammoniak und Wasserstoffsuperoxyd als die schärfste. Zur Darstellung von reinen Cersalzen wurde das nach den oben angegebenen Vorschriften erhaltene Ceroxyd durch Kochen der aus dem Sulfat dargestellten Oxalate mit einer concentrirten Lösung von Ammoniumoxalat von aller vorhandenen Thorerde befreit; etwa gelöstes Thoroxalat wurde abgegossen und das rückständige Ceroxalat abermals mit concentrirter Ammoniumoxalatlösung übergossen, das Ganze in Flaschen gebracht und einige Monate unter zeitweiligem Schütteln stehen gelassen; nach Erhitzen des Gemenges zum Sieden, Abgießen der Flüssigkeit, Waschen des rückständigen Oxalats mit der gleichen Lösung, Lösen des gewaschenen Oxalats in Salpetersäure und Neutralisation mit Ammoniak wurde stickstoffwasserstoffsäures Kalium hinzugefügt, so lange noch ein Niederschlag entstand; nach Abfiltriren des Niederschlages hatte man dann eine Lösung von Cernitrat, welche nur Kalium- und Ammoniumsalze, sowie vielleicht Spuren von Calcium enthielt. Diese Lösung lieferte durch Füllen mit Ammoniak und Waschen des Niederschlages durch Decantation reines Cerhydroxyd, welches ganz frei von allen fremden Beimischungen war. Bei Versuchen zur Gewinnung von Certettrichlorid erhielten Verfasser ein *Certrichlorid*, $\text{CeCl}_3 \cdot 7\text{H}_2\text{O}$, welches sich durch Füleiten von Chlorgas in eine concentrirte Cerchlorürlösung, die sich in einer von einer Kältemischung umgebenen Waschflasche befand, als weißse, krystallinische Masse ausschied und verschieden von dem von Jolin²⁾ und Lange³⁾ erhaltenen Chlorid, $2\text{CeCl}_3 \cdot 15\text{H}_2\text{O}$, ist. Ein eigenthümlicher Farbenwechsel der Cerhydroxyde ist von verschiedenen Chemikern bemerkt worden. Verfasser beobachteten, daß ein Gemenge von Cerhydroxydul mit den Hydroxyden von Didym und Lanthan fast weiß ist, während Didymoxyd für sich röthlich ist. Frisch

¹⁾ JB. f. 1885, S. 493; vgl. Cleve, daselbst, S. 491. — ²⁾ Bull. soc. chim. [2] 21, 533. — ³⁾ J. pr. Chem. 82, 129.

gefälltes Cerhydroxydul ist weifs, wird aber an der Luft und durch Oxydationsmittel purpurroth und dann gelb; beim Glühen des weissen und des purpurrothen Hydroxyds entsteht ein olivgrünes Oxyd, welches auch bei Anwendung der höchsten Gebläsehitze nicht gelb wird; das gelbe Hydroxyd liefert beim Glühen ein gelbes Oxyd; dieses wird beim Glühen im Wasserstoffstrom grün, ohne beträchtlich an Gewicht abzunehmen. Das in Cersäurelösungen durch Ammoniak und Wasserstoffsuperoxyd entstehende orangerothe Hydroxyd giebt nach dem Trocknen und Glühen ein röthliches Oxyd, welches scheinbar etwas mehr wiegt, als das Ceroyd, CeO_2 , zukäme. Nach dem Auflösen von etwas purpurrothem Hydroxyd in Schwefelsäure und mehrtägigem Stehen scheidet sich ein krystallisirtes Sulfat aus, welches bei der Analyse für Cerosulfat zu hohe und für Cerisulfat zu niedrige Resultate giebt.

Cr.

G. Bricout. Cerdichromat und Trennung des Cers von Lanthan und Didym¹⁾. — Verfasser hat die Versuche von Erk angenommen, der gezeigt hat, dafs man durch den Einflufs des elektrischen Stromes auf Cersalze unter gewissen Umständen einen Niederschlag von Cerisalz oder Cerioxyd am positiven Pole erhalten kann, indem er die Erwartung hegte, darauf eine Trennung von Lanthan und Didym gründen zu können. Mit Erfolg benutzte er dabei eine Chromsäurelösung; er liefs einen Strom von 2,5 bis 3 Volt durch eine schwach saure Lösung von Cericarbonat in Chromsäure gehen, wobei eine positive Elektrode von grofser Oberfläche benutzt wurde; nach Schluss des Stromes setzte sich augenblicklich auf dieser Elektrode die krystallinische Verbindung $\text{CeO}_2 \cdot 2\text{CrO}_3 \cdot 2\text{H}_2\text{O}$ ab, welche in Wasser vollständig unlöslich ist und von diesem namentlich bei 100° zersetzt wird, so dafs zuletzt nur Cerhydroxyd zurückbleibt. Lanthan und Didym geben unter diesen Umständen am positiven Pole keinen Niederschlag und können durch dieses Verhalten von Cer getrennt werden.

Cr.

Eisen.

J. Norman Lockyer. Spectrumphotographie von elektrolytischem Eisen²⁾. — Verfasser hat das Spectrum von elektrolytischem Eisen photographirt und es verglichen mit solchen, die Thalén, ferner Kayser und Runge, sowie F. McClean schon beschrieben haben. Die verschiedenen Spectren zeigen in der

¹⁾ Compt. rend. 118, 145–146. — ²⁾ Proc. Roy. Soc. 54, 359–361

Anzahl der beobachteten Linien Verschiedenheiten, die Verfasser auf gewisse, dem Eisen beigemengte Verunreinigungen zurückführt. Die größere Anzahl von fremden Linien im Spectrum des elektrolytischen Eisens, welches Verfasser bei seinen Versuchen benutzte, scheint von Ca und Mn, sowie von der Anwesenheit verschiedener anderer, in kleiner Menge im Eisen enthaltenen Elementen herzuführen. *Tr.*

Georges Charpy. Allotrope Umwandlung des Eisens unter dem Einflusse der Wärme¹⁾. — Nach Osmond werden die beiden Modificationen des Eisens als α - und β -Eisen bezeichnet. Verfasser hat nun, wie bei seinen früheren Versuchen, den Uebergang des α -Eisens in das β -Eisen dadurch bestimmt, daß er mit dem Material Zugproben anstellte, die hierbei ermittelten Verlängerungen als Function der Zugstärken aufzeichnete und die aufgezeichneten Curven mit einander verglich. Das α -Eisen, auf eine genügend hohe Temperatur erhitzt, verwandelt sich in β -Eisen, das durch rasche Abkühlung sich in diesem Zustande erhalten läßt, während ohne dieses Abschrecken die Umwandlung nicht bleibend ist. Diese Thatsache ist also von Wichtigkeit beim Härten. Die Umwandlung vollzieht sich mit um so größerer Schnelligkeit, je höher die Temperatur. Bei hartem Stahl, der 0,8 Proc. Kohlenstoff enthält, hat diese Umwandlung weder nach halbstündigem Erhitzen auf 700°, noch fünf Minuten langem Erhitzen auf 750° begonnen, doch ist sie vollständig, wenn man denselben 30 Minuten auf 750° oder fünf Minuten auf 800° erhitzt. *Tr.*

Georges Charpy. Ueber die allotrope Umwandlung des Eisens²⁾. — Angelassene Eisen- oder Stahlstäbe werden auf die Abhängigkeit von Verlängerung und Belastung bei verschiedenen Temperaturen untersucht. In den Curven zeigen sich unterhalb einer gewissen Temperatur Unstetigkeiten, die auf eine Umwandlungserscheinung im Metall zurückzuführen sind. *Bs.*

Georges Charpy. Rolle der Umwandlungen des Eisens und des Kohlenstoffs bei dem Härtingsprocesse³⁾. — Nach den Versuchen des Verfassers erzeugt das Härten außer anderen Modificationen eine Umwandlung des Eisens (charakterisirt durch Zugproben) und eine Umwandlung des Kohlenstoffs (bestimmt nach der Methode von Eggertz). Die erste Veränderung scheint nur einen sehr schwachen Einfluß auf die Bruchbelastung zu

¹⁾ Compt. rend. 118, 416—421. — ²⁾ Dasselbst, S. 865—870. — ³⁾ Dasselbst, S. 1258—1260

haben, während die Umwandlung des Kohlenstoffs in Wechselwirkung steht zur Vermehrung der Härte. *Tr*

Georges Charpy. Umwandlungstemperaturen von Eisen und Stahl¹⁾. — Aus den Versuchen des Verfassers ergibt sich, daß die Temperaturen 690 bis 700° der Umwandlung des Kohlenstoffs entsprechen, was durch den Eggertz'schen Versuch charakterisirt wird. Diese Umwandlung vermehrt besonders die Härte des Stahls. Die Temperatur 740° entspricht der Umwandlung des Eisens, was an der Zugcurve charakteristisch hervortritt. Hierdurch werden die magnetischen und mechanischen Eigenschaften leicht verändert. Die Temperatur 860° schließlicb entspricht einer zweiten Umwandlung des Eisens, die besonders die magnetischen Eigenschaften zu beeinflussen scheint. *Tr*

Elbers. Die Bildung von Eisenhochhofenschlacke vom thermochemischen Standpunkte aus betrachtet²⁾. — Verfasser erklärt die Bildung der Schlacke, ihre Bestandtheile und die Reactionen, welche zur vollständigen Verbindung der gefritteten Massen führen. Da die Aufzählung all der einzelnen Reactionen, die Verfasser vom thermochemischen Standpunkte betrachtet, zu umfangreich werden würde, sei auf die Arbeit selbst verwiesen. *Tr*

Hanns Jüptner von Jonstorff. Ein Beitrag zu den Vorgängen bei Herstellung von fertigem Schweißseisen aus Rohluppen³⁾. — Verfasser hat vier Sorten Rohluppen und das dazugehörige fertige Schweißseisen analysirt. Selbstverständlich sollte der Schlacken Gehalt beim fertigen Producte kleiner sein wie in der Rohluppe. Dies trifft auch an zwei Proben zu, bei einer dritten Probe ist die Schlackenmenge fast unverändert, während allerdings die vierte Probe im fertigen Schweißseisen mehr Schlacke als in der Rohluppe zeigt, ein Verhalten, das Verfasser durch die Schwierigkeit erklärt, mit der von Rohluppen Durchschnittsprobe zu erhalten sind. Auffallend ist bei den Analysen, daß der Kieselsäuregehalt der fertigen Schweißseisen durchaus erheblich größer ist, als der der zugehörigen Rohluppen. Bezüglich der Aenderungen bei den übrigen Bestandtheilen, deren Gehalt in Tabellen zusammengestellt ist, zeigt sich überall (am wenigsten bei Schwefel) eine Verminderung des Gehaltes an Kohlenstoff, Phosphor und mit einer Ausnahme an Schwefel, ja sogar auch an Mangan und Kupfer. *Tr*

¹⁾ Compt. rend. 119, 735—737.

²⁾ Berg- u. Hüttenw. Zeitg 53,

366—368. — ³⁾ Oesterr. Zeitschr. Berg- u. Hüttenw. 42, 237—238.

F. Osmond. Beitrag zum Studium der Structur des Stahls¹⁾. — Verfasser beschreibt in dieser Abhandlung neue Versuchsergebnisse über die von ihm früher schon mitgetheilte Methode des Polirens an halbhartem Stahl, hartem Stahl und Manganstahl.

Tr.

Alex. Pourcel. Ausscheidungen in Stahl- und Eisengüssen und deren Folgen²⁾. — Schon 1881 hat Stäbbs darauf hingewiesen, daß bei einem Ingot eine 60 cm vom Kopfende entnommene Probe ein ganz anderes Resultat hinsichtlich des C-, P-, S-, Si- und Mn-Gehaltes zeigte als eine solche, die 75 cm vom Fußende entnommen war. Der Ingot war 2,3 m hoch. Nach Pourcel erfolgen nun die Ausscheidungen im Momente des Erstarrens der Gufstücke. Bei weichen Stahlsorten ist das Metall, das zuerst aus der Pfanne tritt, von jenem, welches die Pfanne zum Schlusse verläßt, nicht sehr verschieden, während es beim Gießen vom Martinofen direct in die Coquillen oft zwischen dem ersten und letzten Ingot auffallende Differenzen giebt. Ausscheidungen finden insbesondere in der Mitte des Ingots und um den Saugtrichter statt und können, soweit sich die Untersuchungen auf C und P beziehen, nachgewiesen werden. Das Muttermetall ist entschieden homogen; erstarrt enthält es jedoch Partien, die, mehr oder weniger mit fremden Bestandtheilen angereichert, von anderen Theilen des Blockes verschieden sind. Von einer Bessemerstahlwalze von sieben Tonnen Gewicht wurden an verschiedenen Stellen Proben entnommen und analysirt. Es zeigten sich hierbei beträchtliche Schwankungen im C-, Si-, S-, P- und Mn-Gehalte. Bei Ingots von besonders weichem Metall in Gufseisenformen von bedeutender Dicke gegossen zeigten sich weniger Ausscheidungen. Auch bei Stahlplatten und Panzerplatten kann man Differenzen bei Quer- und Längsproben constatiren. Verfasser meint, es müßten die nachtheiligen Folgen der Secretion so viel als möglich vermieden werden durch Verminderung der Menge der beigemengten Elemente oder man solle eine neue Legirung, z. B. Chromstahl, für Kessel- und Schiffsbleche verwenden, denn ein Chromstahl mit 0,2 bis 0,4 Proc. Cr liefert homogene Blöcke und die Elasticitätsgrenze steigt nahezu auf zwei Drittel der Bruchgrenze.

Tr.

Müller. Ueber Arnold's Arbeiten über den Einfluß der wichtigsten Eisenbestandtheile³⁾. — Arnold hat über den Ein-

¹⁾ Compt. rend. 119, 329—331. — ²⁾ Ref.: Oesterr. Zeitschr. Berg- u. Huttenw. 42, 97—100. — ³⁾ Berg- u. Huttenw. Zeitg. 53, 400.

fluss der wichtigsten in Eisenlegirungen enthaltenen Elemente berichtet, indem er von reinstem Danemoraeseisen mit 0,03 C, 0,07 Mn, 0,02 Si, 0,005 S und 0,015 P als Grundlage ausging und zunächst einfache Legirungen mit ca. 1% Proc. eines einzigen Elementes berücksichtigte. Aus den Versuchszahlen ergab sich nun, dass durch Eintritt geringer Mengen fremder Elemente Festigkeit, Elasticitätsgrenze und Härte gesteigert, die Zähigkeit hingegen verringert wird. Mit dem Einflusse des Kohlenstoffs verglichen ist derselbe bei anderen Elementen nur gering. Kupfer und Silicium wirken günstig und übertreffen bedeutend das Nickel; Wolfram und Chrom beeinflussen die Zähigkeit nur wenig. Eisen mit 1½ Proc. Arsen zeigt noch 34 Proc. Contraction, zumal wenn man das Arsen mit dem Phosphor in Beziehung setzt. Biegeproben zeigten, dass alle Stoffe, Arsen ausgenommen, einer Wirkung des Abschreckens nicht unterliegen. Phosphorverbindungen ließen sich im normalen und gehärteten Zustande um 26 bezw. 23 Proc. stauchen, ohne zu zerbrechen, während Schwefellegirungen schon bei einem Drucke von 60 kg zertrümmerten. Hinsichtlich der Härte ist zu bemerken, dass sämtliche Legirungen, Kohlenstoffstahl ausgenommen, sich leicht bearbeiten lassen, etwas schwieriger allerdings die phosphorhaltige Probe. Abgesehen von den schädlichen Elementen, Schwefel und Phosphor, ändert nur der Kohlenstoff die Beschaffenheit des Eisens. Stahlnatur, glasritzende Härte veranlaßt nur der Kohlenstoff. Verfasser hat schliesslich auch polirte und geätzte Platten mikroskopisch untersucht, sowie mittelst eines Le Chatelier'schen Pyrometers die von Osmond ermittelten Recalescenzerscheinungen revidirt. Nur in Bezug auf den Schwefel ist die Wissenschaft um zwei kritische Punkte, bei 942 und 805°, reicher geworden. Das elektrolytische Eisen zeigt den obersten kritischen Punkt besonders deutlich. Entgegen der Annahme Osmond's richtet sich der Einfluss der fremden Elemente nicht im Geringsten nach deren Atomvolumen. Tr.

A. Ledebur. Ueber den Schwefel im Eisen¹⁾. — Verfasser giebt eine kritische Uebersicht über die Methoden der Entschwefelung des Eisens in den verschiedenen Processen der Verarbeitung und kommt zu dem Resultat, dass das von Stead, Saniter und Snølus²⁾ angegebene Verfahren mit sehr viel kalkhaltigen Schlacken den Schwefel nach der Gleichung $\text{FeS} + \text{CaO} = \text{CaS} + \text{FeO}$

¹⁾ Stahl u. Eisen 14, 336—341. — ²⁾ The journal of the iron and steel industry 1893, I, S. 48, 73, 77.

zu entfernen auf Grund nicht ganz einwandfreier Versuche wohl eine gewisse theoretische Berechtigung habe, für den Betrieb jedoch ohne Bedeutung sei, dagegen in den meisten Fällen das Manganmischverfahren viel besser und bequemer zum Ziele führe, indem Schwefelmangan an sich im Eisen schwer löslich, in basischen Schlacken aber leicht löslich wäre, wobei die Anwendung von Chlorcalcium, die bei dem Saniterverfahren die wesentliche Eigenthümlichkeit bildet, vollständig überflüssig ist. Ueber das Verhalten schwefelhaltiger Verbindungen zum Eisen und des Schwefeleisens zu anderen bei der Eisendarstellung eine (tolle spielenden Körpern ist von Hilgenstock¹⁾ eine längere Untersuchung ausgeführt worden, die Verfasser in gedrängter Form wiedergibt. Beim Erhitzen von Schwefeleisen mit hochmanganhaltigem Ferromangan in den der Bildung von Mangansulfür entsprechenden Mengenverhältnissen entstand schwersmelzbares Mangansulfür, das sich in fester Form aus dem geschmolzenen Eisen ausschied. Schwefeleisen und Aluminium wirken in geschmolzenem Zustande dergestalt auf einander ein, daß der größte Theil des Schwefels an das Aluminium in die Schlacke geht, das Eisen aber stark siliciumhaltig wird, indem das Aluminium auch auf die Kieselsäure reducirend einwirkt. Beim Zusammenschmelzen von Schwefeleisen mit Nickel oder Kupfer tritt keine Trennung ein, sondern Bildung von Legirungen. Chrom zersetzt Schwefeleisen; weil aber noch beträchtliche Mengen von unzersetztem Schwefeleisen mit in die Schlacke gehen, scheint die Reaction nicht so glatt zu verlaufen wie bei Manganzusatz. Ferrosilicium mit 15 Proc. Si zeigt ebenso wenig Aufnahmefähigkeit für Schwefel aus Schwefeleisen als für elementaren Schwefel²⁾. Bezüglich der Einwirkung schwefelhaltiger Gase auf Mangan und Eisen ergab sich, daß unter sonst gleichen Bedingungen der Verdünnung und Temperatur aus Schwefelwasserstoff am meisten Schwefel aufgenommen wird. Beim Vergleich von Kupfer, Nickel, Stahl und Thomasroheisen ergab Nickel die höchsten und Kupfer merkwürdiger Weise die niedrigsten Zahlen. Metalloxyde, in derselben Weise behandelt, zeigten alle Aufnahmefähigkeit entsprechend umstehender Tabelle. — Bei Gegenwart von Kieselsäure nimmt ein Gemisch von Eisenoxyd und Manganoxydul bei Weißgluth keine Spur Schwefel auf, während bei Gegenwart von Kalk reichliche Mengen aufgenommen werden.

¹⁾ Dissertation Erlangen 1893. — ²⁾ Turner, Stahl u. Eisen 1888, S. 580.

Oxyde	Schwefelwasserstoff		Schwellige Saure		Schwefelkohlenstoff	
	dunkle	helle	dunkle	helle	dunkle	helle
	Rothgluth		Rothgluth		Rothgluth	
	Proc.	Proc.	Proc.	Proc.	Proc.	Proc.
Eisenoxyd . .	0,392	0,377	0,560	0,100	11,020	20,370
Manganoxyd .	1,762	5,043	1,270	4,880	7,095	27,370
Kalkerde . .	3,528	0,990	5,059	5,080	0,650	3,900
Magnesia . .	1,394	0,980	2,244	0,660	0,718	0,820

B.

A. de Vathaire. Entschwefelung des Roheisens¹⁾. — Verfasser empfiehlt die Anwendung eines Cyanids von der Formel $\text{FeK}_2\text{BaCy}_6$, welches aus 244 Thln. Baryumchlorid und 422 Thln. Ferrocyankalium durch Vermischen ihrer wässerigen Lösung entsteht. Die Substanz stellt einen gelben, krystallinischen Niederschlag dar, der noch 3 Mol. Krystallwasser enthält und bedarf Entfernung desselben vor dem Gebrauch längere Zeit auf ca. 300° erhitzt werden muß. Verfasser empfiehlt zur Entschwefelung einen Zusatz vom achtfachen Gewicht des zu entschwefelnden Materials unter der Annahme, daß der im Roheisen vorhandene Schwefel mit Baryum und Kalium Monosulfide bildet. Während der Reaction müssen die Luft und andere oxydierend wirkende Körper ausgeschlossen werden. Bei den Versuchen mit schwefelreichen Roheisensorten glaubt Verfasser, den vollständigen Uebergang des Schwefels in die Schlacken erreicht zu haben. Im Kleinen werden die Versuche in mit Kohle ausgefüllten Tiegeln vorgenommen; im Großen empfiehlt Verfasser rotirende Öfen mit Mannloch nach Art der Danks'schen, die mit Kohle oder besser mit Theerkalk ausgekleidet sind. Da die Kosten für Anlage und Unterhaltung eines derartigen Ofens sich auf 0,50 Fres. pro Tonne belaufen, die des Reactionsmaterials auf 18 Fres. pro Kilogramm Schwefel im Roheisen, so wird das Verfahren kaum eine andere als wissenschaftliche Bedeutung haben und höchstens einmal zur Herstellung eines sehr feinen Eisens oder Stahls im Kleinen angewendet werden.

B.

Entschwefelung des Roheisens durch Baryum²⁾. — Das dem Ingenieur A. de Vathaire patentirte Entschwefelungsverfahren ist vorläufig, da Baryum fabrikmäßig noch nicht dargestellt wird.

¹⁾ Stahl u. Eisen 14. 1052. — ²⁾ Oesterr. Zeitschr. Berg- u. Hüttenw. 42. 646–647.

auf die Ferrocyanverbindungen des Baryums gegründet. Mischt man concentrirte kochende Lösungen des gelben Blutlaugensalzes und der äquivalenten Menge von Chlorbaryum, so erhält man das Doppelsalz $\text{Fe}(\text{CN})_6\text{K}_2\text{Ba} \cdot 3\text{H}_2\text{O}$. Dieses bei 300° getrocknete Salz wird zur Entschwefelung angewandt, und zwar verwendet man ca. achtmal so viel an Gewicht, als der vorhandene Schwefel beträgt. Der Proceß muß unter Abschlufs der Luft und jedes oxydirenden Einflusses stattfinden. Das Verfahren ist nur für wenig Schwefel enthaltendes Eisen geeignet, welches nur wenig von dem Reagens benöthigt, jedoch durch gänzliche Entschwefelung bedeutend an Werth gewinnt. Bei größerem Schwefelgehalt könnte zunächst einer der bisher üblichen Entschwefelungsproceße angewandt werden und dann das neue Verfahren erst zur Entfernung des Schwefelrestes dienen.

Tr.

Schwefel im basischen Bessemerproceß¹⁾. — Bei den Untersuchungen ist besonders auf Folgendes Rücksicht genommen: 1. Die Schwefelmenge des in den Cupolöfen eingetragenen Materials; 2. die Schwefelmenge des Cupolofenmetalls, und 3. die Schwefelmenge des Stahls. Die Beobachtungen des Verfassers, die Eliminirung des Schwefels durch die Temperatur, den Fluß der Schlacke, den Zusatz von Ferromangan und Spiegeleisen und das Ueberblasen betreffend, bestätigten die Annahme, daß nur in seltenen Fällen das Roheisen über 0,10 Proc. S enthält und solches Eisen, im Cupolofen mit der entsprechenden Menge Bessemer-Qualität gemengt, wird im flüssigen Metall unter 0,06 Proc. Schwefel ergeben. Ferner ergibt sich aus den Untersuchungen, daß zwischen dem Siliciumgehalte im Cupolofenmetall und dem Schwefelgehalte im Stahl keine Beziehung bestehen kann, da der geringe Procentgehalt von Silicium im Cupolofenmetall nicht hinreichende Mengen von Kieselsäure in der Schlacke bilden kann, um deren Basicität und die davon abhängige Eliminirung des Schwefels zu beeinflussen. Ist Mangan in genügender Menge im Cupolofenmetall vorhanden, so wird der Schwefel eliminirt, was um so besser von statten geht, wenn der Chargengang ein hitziger und die Schlacke streng basisch und nicht zu dickflüssig ist.

Tr.

Hanns Jüptner von Jonstorff. Ueber die verschiedenen Arten des Vorkommens von Phosphor in Eisen und Stahl²⁾. — Verfasser hat die beim Lösen des Eisens in Salz- oder Schwefelsäure auftretenden Gase zwei Peligot'sche Röhren passiren lassen.

¹⁾ Oesterr. Zeitschr. Berg- u. Hüttenw. 42, 382—384. — ²⁾ Daselbst, S. 208—212.

die mit einer neutralen Lösung von Silbernitrat von bekannten Gehalte beschickt waren. Entweicht nun Schwefelwasserstoff, so bildet sich Schwefelsilber, während das Phosphorwasserstoffgas die Silberlösung unter Bildung von Phosphorsäure und Abscheidung von metallischem Silber zersetzt. Da Arsenwasserstoff ähnlich wie Phosphorwasserstoff wirkt, so muß die zu untersuchende Eisenprobe vorher auf Arsen geprüft werden. Man filtrirt nun die Silberlösung durch Glaswolle und titrirt zunächst mittelst Rhodanammou das in Lösung verbliebene Silber. Behandelt man jetzt den abfiltrirten Rückstand, der aus metallischem Silber und Schwefelsilber besteht, mit verdünnter Salpetersäure, so geht nur das metallische Silber in Lösung, dessen Menge man durch Titriren mit Rhodanammou feststellt. Es entspricht dann 1 Gewthl. Ag \equiv 0,0359 Thln. P bzw. 0,148 Thln. S. In einer Tabelle sind dann von verschiedenen Roheisensorten, von Flusseisen, Puddelisen und Stahl verschiedener Herkunft die Mengen von C und P (gewichtsanalytisch) ermittelt, sowie der Phosphorgehalt, wie er sich als PH₃ und als ungelöster Phosphor ergibt, zusammengestellt. Hieraus geht hervor, daß mit dem Kaltbräujener Antheil des Phosphors wächst, der bei Behandlung des Materials mit verdünnten Säuren als Phosphorwasserstoff entweicht. Diese Erscheinung erklärt sich dadurch, daß ein je nach den Umständen schwankender Theil des Gesamtphosphors von Eisen und Stahl als Eisenphosphid (Fe₃P) resp. Manganphosphid (Mn₃P₂) in Form von Krystallkörnchen ausgeschieden ist, während der Rest des Phosphors mehr oder weniger gleichmäßig in der übrigen Grundmasse vertheilt ist. Während nun letzterer, der bei Behandlung mit verdünnten Säuren als Phosphorwasserstoff entweicht, die mechanischen Eigenschaften des Materials naturgemäß stark beeinflusst, sind die in der Grundmasse vertheilten und von derselben rings umgebenen und in verdünnten Säuren unlöslichen Phosphidkrystallkörnchen auf die mechanischen Eigenschaften des Materials ganz oder wenigstens fast ganz ohne Einfluß. Diese Phosphidkörnchen sind nicht als eigentliche Krystalle, sondern als in dem bereits erstarrten Medium eingeschlossene und zuletzt erstarrte Mutterlaugentropfchen zu betrachten. Tr.

L. M. Dennis und B. S. Cushman. Verhalten von Eisenphosphid und Eisenphosphat bei der Analyse¹⁾. — Cheever hat bereits im Jahre 1886 darauf hingewiesen, daß der Phosphor im Stahl und Eisen sowohl als Phosphid als auch als Phosphat vor-

¹⁾ Amer. Chem. Soc. J. 16. 477—485.

kommen kann. Er löste zu diesem Zwecke die Eisenprobe in einer Lösung von Kupferchloridchlorammon, behandelte den Rückstand hierauf bei 50° zwei Stunden lang mit einer gesättigten Lösung von Ammoniumoxalat und filtrirte dann. Im Filtrat ist das Eisenphosphat, im Rückstande das Phosphid enthalten. Nach einer anderen Mittheilung von Cheever verflüchtigt er das Eisen als Chlorid im Chlorstrom, das Phosphid verflüchtigt sich hierbei gleichfalls, während die Phosphorsäure im Rückstande verbleiben muß. Verfasser haben nun, um diese Angaben zu controliren, Eisenphosphid dargestellt, indem sie trockenes Eisenchlorür in einem Strome von Phosphorwasserstoff in einem besonderen Apparate erhitzen und das gepulverte Reactionsproduct mit heisser Salzsäure (1 : 12) so lange digerirten, bis es nicht mehr vom Magneten angezogen wurde. Schliesslich wurde es über Schwefelsäure in einer Kohlensäureatmosphäre getrocknet. Die Analyse des *Eisenphosphides* führte zu der Formel FeP , während Verfasser auf Grund der Literaturangaben eine Verbindung Fe_2P_3 erwartet hatten. Verfasser haben nun das Verhalten von diesem Eisenphosphid und von Eisenpyrophosphat gegen Reagentien geprüft. Das Eisenpyrophosphat wurde gewählt, weil sie glauben, daß der oxydirte Phosphor in Eisen und Stahl in Form dieser Verbindung enthalten sein dürfte. Das Pyrophosphat giebt klare Lösungen mit Ammoniumoxalat, Ammoniumcitrat und mit Salzsäure. Als das Eisenphosphid mit Salzsäure digerirt wurde, so zeigte es nur einen Gewichtsverlust von ca. 4 Proc., von Ammoniumcitrat wurde es gar nicht angegriffen. Das Ammoniumcitrat läßt sich daher zur Trennung von Phosphid und Phosphat benutzen. Als schliesslich ein Gemisch von Phosphid und Pyrophosphat im Chlorstrom erhitzt wurde, verflüchtigte sich nicht bloß das Phosphid, sondern auch ein Theil des Phosphates.

Tr.

J. O. Arnold und A. A. Read. Die chemischen Beziehungen von Kohlenstoff und Eisen¹⁾. — Verfasser haben fünf verschiedene Sorten schwedischen Stahls, dessen Analysen ausgeführt wurden und dessen Kohlenstoffgehalt bei den einzelnen Proben zwischen 0.06 und 0.96 Proc. schwankte, in Salzsäure (1.02) gelöst, indem sie die Stahlproben als Anode und ein Platinblech als Kathode benutzten und mit einem Bunsenelement verbunden. Das zurückbleibende Carbid wurde dann untersucht. Diese Untersuchungen ergaben folgende Thatfachen. Das Carbid Fe_3C ist identisch mit dem von Abel und Miller auf anderem Wege entdeckten Carbid

¹⁾ Chem. Soc. J. 65, 788—801.

Das normale Carbid existirt in zwei Formen, die in chemischer Beziehung identisch sind. Die eine ist in mikroskopischen Körnern oder sehr kleinen Tafeln im Eisen des normalen Stahls enthalten und bildet ein grauschwarzes Pulver; die andere ist krystallinisch in grossen Tafeln in gut geglühtem Stahl enthalten, man kann sie in silberglänzenden Tafeln isoliren und ist sie identisch mit dem von Sorby beschriebenen Blättchen. Der Procentgehalt des Gesamtkohlenstoffs, der als Carbid erhalten wird, ist grösser bei hartem als bei weichem Stahl. Bei hartem Stahl 92 Proc., bei weichem 74 Proc. Dieser Verlust an Kohlenstoff rührt aber nicht von einer Zersetzung des Carbides, sondern von derjenigen einer unbeständigen Sulfo-carbidverbindung des Eisens her, die in weichem Stahl bis zu 25 Proc. existiren kann. Da dieser Verlust in gut geglühtem Stahl derselbe ist wie in normalem Stahl, so kann dies nicht, wie Ledebur vermuthete, auf die Anwesenheit von Hartungskohlenstoff zurückgeführt werden. Der Kohlenstoff im gehärteten Stahl existirt hauptsächlich in Lösung oder als äusserst armes Carbid. Bei der galvanischen Auflösung des gehärteten Stahls beträgt der Kohlenstoffverlust ungefähr 50 Proc. des Gesamtkohlenstoffs. Bei Manganstahl entsteht bei analoger Behandlung ein wenig beständiges Doppelcarbid Fe_7MnC_3 . 71

Friedrich C. G. Müller. Die Untersuchungen von J. O. Arnold und A. A. Read über die Formen des Kohlenstoffs im Stahl.¹⁾ — Die Versuche von Arnold und Read sind nach Verfasser noch ganz einwandfrei, insofern als die Weyl'sche elektrolytische Lösungsmethode zur Bestimmung des Gesamtkohlenstoffs dienen soll, in dem Rückstande also nicht nur das Carbid, sondern auch der hydratische Kohlenstoff vorhanden ist. Ferner ist die chemische Wirkung des elektrischen Stromes durch die Stromdichte bedingt, indem nur mit geringeren Dichten gearbeitet werden darf, um die Bildung von Fe_2Cl_6 zu vermeiden. Aus den Analysen geht hervor, dass bei normalem, d. h. schnell auf 1050° erhitztem und an der Luft erkaltetem (0,96 C und 0,57 C) Stahl und ausgeglühtem mit 12,9 Proc. resp. 7,4 Proc. Rückstand derselbe reine Carbid Fe_3C darstellt. Weitere Proben mit 0,33 und 0,16 C enthalten nach den Analysen schon geringe Mengen von hydratischem Kohlenstoff und Stahl von 0,06 C davon bereits mindestens 10 Proc. Es folgt hieraus, dass nur die kohlenstoffreichen Stahlsorten bei der elektrolytischen Lösung mit bestimmter Stromdichte ein eingemessenes reines Carbid liefern. Der Process des „annea-

¹⁾ Stahl u. Eisen 14. 849—851.

ling* hat auf die Bildung des Carbids keinen Einfluss, da dasselbe oberhalb 700° nicht mehr existirt, auch das 100stündige Erkalten vermehrt die Menge des Carbids nicht. Wohl aber wird die Structur und das äussere Aussehen dadurch wesentlich beeinflusst. Bei normalem Stahl bildet das Carbid ein graues Pulver, bei ausgeglühten Stäben silberglänzende Plättchen. Unter dem Mikroskop erscheint der Stahl in gewöhnlichem Zustande als unregelmässige, undeutlich begrenzte krystallinische Grundmasse, in welcher das Carbid Fe_3C als mikroskopische Körner eingelagert ist. Bei ausgeglühtem Stahl erscheint das Carbid als gut ausgebildete, parallele Streifen von wechselnder Dicke, die bald gerade, bald wellenförmig, zuweilen unregelmässig verlaufen und so dem Stahl eine gneifsartige Structur verleihen, aus welcher Verfasser die grössere Verschiebbarkeit der Theilchen und das Aufheben innerer Spannungen erklären zu müssen glaubt. Noch weniger glaubt Verfasser die elektrolytische Auflösung bei gehärtetem Stahl anwenden zu dürfen, da dieser überhaupt in Schwefelsäure keinen Rückstand hinterlässt. Der von Arnold und Read aus gehärtetem Stahl erhaltene Rückstand von 0,5 bis 0,7 Proc. mit der Hälfte des Gesamtkohlenstoffs wird daher vom Verfasser als hydratischer Kohlenstoff betrachtet, dessen Gehalt an Fe_3C er nicht durch den Eisengehalt als bewiesen betrachtet, da es nicht feststeht, dass der hydratische Kohlenstoff kein Eisen enthalten kann. Auch der aus manganreichem Tegelstahl erhaltene Rückstand muss nach Verfasser hydratische Kohle enthalten. Aus diesen Resultaten der Untersuchungen von Arnold und Read zieht Verfasser den Schluss, dass die elektrolytische Auflösungsmethode nicht zu empfehlen sei, da sie ja besonders bei gehärtetem Stahl als dem wichtigsten nicht genügt, dass dagegen die Auflösung in verdünnter kalter Schwefelsäure viel eher ein reines Carbid liefert. Aus der Menge des verflüchtigten Kohlenstoffs bei normalem und gut ausgeglühtem Stahl glauben Arnold und Read auf die Existenz eines bereits zerfallenen Subcarbids schliessen zu müssen, dessen Eisen sich löst, während der Kohlenstoff als Wasserstoffverbindung entweicht, während Verfasser den Rest des Kohlenstoffs, der in der Grundmasse bleibt, als Hartekohle bezeichnet, ein Subcarbid aber bis jetzt als solches noch nicht nachgewiesen sei und um so weniger angenommen werden könnte, als die Zusammensetzung der Grundmasse je nach der Härte beliebig schwankt. Zum Schluss macht Verfasser ausdrücklich darauf aufmerksam, dass die Untersuchungen sich nur auf ganz reinen Kohlenstoffstahl beziehen.

während in den sogenannten Specialstählen die Gesetze der Carbid-ausscheidung ganz andere seien. B

P. Tabary. Ueber die Vertheilung des Gesamtkohlenstoffs im Gießereiseneisen¹⁾. — Die vom Verfasser ausgeführten Untersuchungen ergaben folgende Resultate der Analysen:

Proben von vier Abstichen:

I.	II.	III.	IV.
3,926	3,648	3,621	3,389
1,144	3,872	3,286	3,272
3,689	3,523	—	3,141
3,476	3,163	—	—

Eine Roheisenflosse von 900 mm Länge ergab in Abständen von 200 mm analysirt:

3,362	3,452	3,226	3,343 Proc. Kohlenstoff.
-------	-------	-------	--------------------------

Von den drei Massen bei Anfang, in der Mitte und am Ende des Abstiches wurden am oberen Ende, in der Mitte und am unteren Ende Proben entnommen und untersucht:

	I.	II.	III. Masse
Oberes Ende	3,530	3,553	3,444 Proc. Kohlenstoff
Mitte	3,550	3,716	3,498 „
Unteres Ende . . .	3,005	3,444	3,403 „

Der höchste Kohlenstoffgehalt findet sich also in der Mitte der Masse. Bei der Analyse von fünf Proben, die in gleichen Abständen aus der Höhe des Querschnittes obiger Massen herausgenommen wurden, ergab sich ein Ansteigen des Kohlenstoffgehaltes vom unteren nach dem oberen Ende. B.

Henry Moissan. Ersatz des Kohlenstoffs durch Bor und Silicium im geschmolzenen Gufseisen²⁾. — Verfasser hat Bor bzw. Silicium auf graues Gufseisen einwirken lassen und zieht aus seinen Versuchen folgende Schlüsse: Bor sowohl als auch Silicium vermögen den Kohlenstoff in geschmolzenem Gufseisen oder in einem Eisencarbid zu ersetzen. Diese Stoffe verhalten sich, wenn eine genügende Temperatur innegehalten wird, genau so wie wässerige Lösungen von gewissen Verbindungen, in denen wir den einen oder anderen Körper in Lösung oder als Verbindung fällen oder ersetzen. Dafs der Ersatz des Kohlenstoffs nicht ganz vollständig eintritt, liegt daran, dafs ein Gleichgewichtszustand zwischen der Siliciumverbindung des Eisens und dem

¹⁾ Rev. univers. des mines 28, 98; Stahl u. Eisen 14, 1075. — ²⁾ Compt. rend. 119, 1172—1175.

Eisencarbid eintritt, ein Gleichgewichtszustand, der mit der Temperatur und mit den Verunreinigungen des Bades schwankt. Dies ist allgemein der Fall bei weissem und grauem Gussese. *Tr.*

Hans Rubricius. Ueber gesetzmässig variirenden Siliciumgehalt im Roheisen eines und desselben Hochofenstiches¹⁾. — Verfasser hat bei Ausführung von Controlanalysen in Qualitätsroheisen im Siliciumgehalt erhebliche Differenzen gefunden und hat sich seine Vermuthung bestätigt, dass die verschiedenen Resultate nicht Analysenfehlern zuzuschreiben sind, sondern von einer variirenden Zusammensetzung herrühren. Durch eine große Reihe von Beleganalysen zeigte sich, dass von den unteren Partien des Eisenkastens des Hochofens nach oben der Siliciumgehalt zunimmt. So gab beispielsweise eine Probe folgende Werthe von unten nach oben: 1,15, 1,34, 1,43, 1,57, 2,17, 2,18, 2,20 Proc. Die Siliciumzunahme konnte mit dem Siliciumgehalte in kein Verhältniss gebracht werden, es weist z. B. ein siliciumärmeres Eisen unter Umständen eine größere Siliciumvermehrung in den oberen Partien auf. Der Grund hierfür dürfte nur in verschiedenen specifischen Gewichten des Siliciums gegenüber dem Eisen liegen. Zur richtigen Begutachtung eines Roheisens ist eine gute Probenahme nöthig. *Tr.*

Carl von Gieverstam. Ueber Aluminiumzusatz zu Flussmetall²⁾. — Verfasser hat hauptsächlich an Bessemereisen und Martinstahl Versuche mit Ferroaluminium und reinem Aluminium ausgeführt, um dichte, blasenfreie Gussstücke zu erhalten. Die besten Resultate wurden hierbei erzielt, wenn während des Abstechens in gleichen Zeiträumen kleine, genau gewogene, reine Aluminiumstücke in die Coquillen geworfen wurden. Uebrigens scheint Aluminiumzusatz zu Stahl rücksichtlich der Blasenbildung ganz ebenso zu wirken wie erhöhte Temperatur. Man braucht um so höhere Aluminiumzusätze, je niedriger der Kohlenstoffgehalt und die Temperatur des Stahls ist. Werden die Zusätze größer als nöthig gemacht, so erhält man außer unnöthigen Kosten theils schlechte Flächen, theils Pfeifenbildung. Interessant ist ferner, dass man bei größeren Güssen dem Stahlgewicht nach etwas größere Zusätze braucht als bei kleineren. Das kommt offenbar daher, dass der Stahl dort länger flüssig bleibt, wodurch sich vor dem Erstarren mehr Aluminium oxydiren kann. Bei weichem Bessemermetall wurde nur dann ein möglichst kleiner Zusatz an-

¹⁾ Chemikerzeit. 18. 1905. — ²⁾ Oesterr. Zeitschr. Berg- u. Hüttenw. 42, 224—225.

gewandt, wenn dasselbe so schäumend war, daß man ohne einen solchen die Stiefelschaffbildung nicht vermeiden konnte. Proben von mit Aluminiumzusatz in den Coquillen dargestelltem Flußmetall zeigen, daß die Festigkeitseigenschaften des Stahls entschieden vorthellhaft beeinflusst sind, indem die Festigkeit ungefähr unverändert bleibt, während die Dehnbarkeit wächst. Die Lufwirkung scheint außerdem bei härterem Stahl eine vorthellbare zu sein wie bei weicherem. *Tr.*

Faucan. Die Metall-, namentlich Stahlreinigung durch Aluminium¹⁾. — Wittenström hat zuerst das Aluminium zur Reinigung der geschmolzenen Metalle, besonders des Stahls und Eisens, verwendet. Setzt man beispielsweise 2 kg Aluminium zu einem 10 Tonnen wiegenden Eisen- oder Stahlbad, so wird dessen Flüssigkeit sofort erhöht, die stürmische Gasentwicklung hört auf und die aus solchem Metall gegossenen Blöcke besitzen reinere Formen, sind ohne Blasen und in der Wärme widerstandsfähiger. Die zunehmende Flüssigkeit des Bades erklärt Verfasser dadurch, daß das Aluminium das im Bade enthaltene Oxyd reducirt. Die Erzeugung des Kohlenoxyds und der theilweisen Blasenursache hört hierdurch auf. Das oxydirte Aluminium geht nach oben und gelangt in die Schlacken. Damit dieser Process sich angemessen entwickelt und die verlangten Resultate liefert, muß man die Aluminiummenge gut anpassen und dieselbe dem Metallbade an geeigneten Momente und so zuführen, daß ihre Menge möglichst erleichtert wird. *Tr.*

F. Osmond. Ueber die Legirungen von Eisen und Nickel²⁾. — Verfasser hat an einer Reihe von Eisennickellegirungen, die bereits von Hadfield analysirt waren, die Umwandlungspunkte nach der Methode des Erkalteus, sowie die magnetischen und mechanischen Eigenschaften während des Abkühlens bestimmt. *Tr.*

Howe. Ueber Manganstahl³⁾. — Die Härte des Manganstahls nimmt durch rasches Erkalten ein wenig zu. Was den Zustand des Kohlenstoffs anlangt, so erhöht rasche Abkühlung die Menge des Härtungskohlenstoffs. Die Korngröße des Manganstahls wächst durch rasches Abkühlen ein wenig, die Structur erscheint an den gehärteten Proben stärker markirt wie an den langsam erkalteten. Der gehärtete oder wiedergegluhte Manganstahl besteht 1. aus einer Masse Eisen mit Mangan und Härtungs-

¹⁾ Rev. univers. des mines 1894, S. 294; Ref.: Berg- u. Hüttenm. Zeitg. 53, 401—402. — ²⁾ Compt. rend. 118, 532—534. — ³⁾ Rev. univers. des mines 1894, S. 314, Ref. Berg u. Hüttenm. Zeitg. 53, 402—404.

kohle etc., 2. aus einem Carbid, dessen Zusammensetzung annähernd der Formel $\text{Fe}_{10}\text{Mn}_4\text{C}_3$ entspricht. Die Zusammensetzung dieses Carbids ist praktisch im gehärteten wie im wiedergeglühten Stahl die gleiche; von derjenigen des Carbids des Kohlenstahls unterscheidet sie sich dadurch, daß das Mangan einen Theil des Eisens, der constant zu sein scheint, ersetzt.

Tr.

H. Le Chatelier. Ueber Manganstahl¹⁾. — Der von Hadfield entdeckte *Manganstahl* ist eine Eisenmanganverbindung, die 13 Proc. Mangan enthält und ganz besondere Eigenschaften besitzt. Dieses Metall ist nicht magnetisch und ist von allen Eisenverbindungen diejenige, die den größten elektrischen Widerstand darbietet; es ist um so hämmerbarer, je mehr es gehärtet ist. Hadfield hat nun neuerdings eine allotrope Art aufgefunden, die magnetisch ist. Man erhält sie, indem man den gewöhnlichen Manganstahl am besten auf 550° eine bis zwei Stunden erhitzt. Wird die magnetische Modification auf 800° oder höher erhitzt und laßt man dann rasch erkalten, so gewinnt man wieder die nicht magnetische Varietät. Verfasser giebt nun in seiner Arbeit eine Uebersicht über die elektrischen Leitungswiderstände der beiden Modificationen bei verschiedenen Temperaturen an. Hieraus ersieht man, daß die beiden Curven bei 740° zusammenkommen und für höhere Temperaturen bleiben die gefundenen Werthe gleich. Verfasser schließt daraus, daß die Temperatur 740° diejenige ist, bei der die Umwandlung der beiden Varietäten eintritt. Der Ausdehnungscoefficient für beide Varietäten ist gleich.

Tr.

James S. de Benneville. Versuche über ein Wolframeisen²⁾. — Als Verfasser ein Wolframeisen, welches reich an Wolfram war, mit Säuren, sowie mit schmelzenden Aufschlußmitteln behandelte, erhielt er einen Rückstand, den er anfangs für metallisches Wolfram hielt, der sich aber als eine wolframreiche Eisenverbindung erwies, die in Folge ihrer Indifferenz gegen chemische Reagentien dem metallischen Wolfram glich. Verfasser ließ starke Salzsäure einwirken und bestimmte das in Lösung gegangene Eisen und Wolfram. Ferner wurde diese Verbindung mit Soda und Salpeter geschmolzen und schließlich wurde ihr Verhalten gegen Silbernitrat geprüft. Die Verbindung erwies sich auf Grund von 16 Analysen, sowie nach ihrem Aussehen als sehr heterogen. Als die Verbindung mit ammoniakalischer Silbernitratlösung behandelt wurde, zeigte sich, daß der Betrag des gelösten

¹⁾ Compt. rend. 119, 272—274. - ²⁾ Amer. Chem. Soc. J. 16, 297—304.

Wolframs immer sehr regelmässig war. Bei der Behandlung mit neutraler Silberlösung wurde Wolframsäure nicht gelöst; aus der Abwesenheit von Wolframsäure schließt Verfasser, daß alles Wolfram in Form einer Legirung vorliegt. Das chemische Verhalten dieser Legirung spricht für eine complexe Molekularformel Fe_3W_4 . Dieselbe ist rein empirisch und dürfte die wahre Formel wahrscheinlich ein Multipolum hiervon sein. Tr.

II. Behrens und A. R. van Linge. Ueber Cementstahl, Ferrochrom, Wolframeisen, Chromstahl und Wolframstahl¹⁾. — Die in dieser Arbeit enthaltenen Mittheilungen bilden eine allgemeine Ergänzung zu den Beobachtungen und Schlüssen einer früheren Arbeit, welche über das mikroskopische Gefüge der Metalle und Legirungen handelt. 1. *Roher Cementstahl*, der aus Puddelleisen von Dannemora bereitet war, bricht leicht, die Bruchstücke sind raub, er läßt sich schwer feilen und poliren. Um die harte Substanz dieses Stahls zu isoliren, haben Verfasser denselben mit einer Mischung aus 1 Thl. concentrirter Schwefelsäure und 4 Thln. Wasser behandelt. Der hierbei erhaltene Rückstand betrug 3,5 bis 5 Proc. Die auftretenden Gase besaßen einen knoblauchartigen Geruch. Den harten Körper reinigt man durch Behandlung mit verdünnter Schwefelsäure, entfernt Kohlepartikelchen durch Decantiren mit Wasser und kocht schliesslich mehrere Male mit Wasser. Man erhält so einen Rückstand von weislicher Farbe, der vom Magneten stark angezogen wird. Die Härte liegt etwas über 5. Um diesen harten Körper zur quantitativen Analyse zu reinigen, wurde er, um die Spuren von Kohlenstoff zu beseitigen, mit einer Lösung von Natriumborwolframat (2,7) behandelt. Die Analyse ergab nunmehr 6,6 Proc. Kohlenstoff, während die Menge desselben im Cementstahl im Mittel 0,74 Proc. beträgt. Verfasser nehmen an, daß der Kohlenstoff nicht gelöst, sondern nur bei einer hohen Temperatur gleichmässig vertheilt ist, ein großer Theil dieses Kohlenstoffs setzt sich während des langsamen Erstarrens in Form eines Carbides ab, dessen Kohlenstoffgehalt wahrscheinlich für die Formel Fe_3C spricht. 2. *Wolframeisen und Wolframstahl*: Wolframeisen besitzt einen körnigen Bruch; Proben, die angeätzt und polirt oder durch Erhitzen gefärbt sind, geben mikroskopische Bilder, in denen man Conturen von fast rechteckigen Gebilden einer harten Substanz beobachtet. Zum Anätzen eignet sich am besten Salzsäure, zum Auflösen Schwefelsäure (1:4)

¹⁾ Rec. trav. chim. Pays-Bas 13, 155—181. Zeitschr. anal. Chem. 33, 513—533.

bei 50%. Der Geruch des Gases, welches beim Lösen entwickelt wird, zeigt einen beträchtlichen Gehalt an Kohlenstoff. Der von Säure nicht angegriffene Theil bildet ein glänzend weißes Metallpulver, das vom Elektromagneten angezogen wird, nicht aber vom gewöhnlichen Magneten. Dieser Körper ist kein Carbid, höchst wahrscheinlich eine Verbindung von der Formel Fe_3W . 3. *Chrom-eisen*: Der Bruch des Chromeisens hat das Ansehen von weißem, strahligem Gufs. In 10 bis 20 Proc. Cr enthaltenden Verbindungen können die weissen, silberglänzenden Nadeln eine Länge von 15 mm erreichen. Königswasser von gewöhnlicher Concentration läßt die harte Substanz unangegriffen. Sie bildet Stäbchen. Die Zusammensetzung der harten Nadeln des Chromeisens mit 13,3 Proc. Cr und 5,5 Proc. C entspricht der Formel $\text{Cr}_3\text{Fe}_2\text{C}_2$, während die harte Verbindung eines Chromeisens mit 50 Proc. Cr ungefähr der Formel Cr_3FeC_2 entspricht. Ohne Zweifel vermehrt das Chrom den mechanischen und chemischen Widerstand der krystallinischen Verbindungen von Eisen und Kohlenstoff und die Menge dieser Carbide. Vielleicht besitzt das Chrom diese Eigenschaft in viel höherem Grade als irgend ein anderes Element. 4. *Chromstahl*: Der Bruch desselben gleicht demjenigen des gewöhnlichen Stahls, der reich an Kohlenstoff ist. Die Einwirkung von Säuren verläuft analog wie beim Chromeisen. Die harte Substanz gleicht, was Härte, Magnetismus und chemisches Verhalten betrifft, der harten Substanz aus Chromeisen mit 13 Proc. Cr. Der zweite Theil der Arbeit umfaßt die analytische Prüfung. Zur Analyse der genannten Verbindungen des Chromeisens und Chromstahls wurden verschiedene Methoden angewendet. Die chromhaltigen Verbindungen erhitzt man mit Natriumsuperoxyd bis zum Schmelzen in einer Silberschale. Die Schmelze behandelt man mit Wasser und bestimmt im Filtrat die Chromsäure. Den Rückstand löst man in Salpetersäure, entfernt Spuren von Silber mit Salzsäure und fällt das Eisen mit Ammoniak. Der Kohlenstoff wurde nach der Methode von M. Sarnström und nach derjenigen von Petterson (Zeitschr. anal. Chem. 1893, S. 385) ermittelt. Auch im Chlorstromer haben Verfasser den harten Rückstand des Chromeisens zersetzt und den Chromgehalt aus dem Chromchlorid ermittelt.

Tr.

William Thomson. Oxydation und Corrosion von Eisen und Stahl¹⁾. — Verfasser hat Versuche angestellt, welches die beste Schutzhülle für Eisen und Stahl ist, wenn letztere mit See-

¹⁾ Chem. Soc. Ind. J. 13, 118–120.

wasser in Berührung kommen. Es wurden zu diesem Zwecke die Eisen- bzw. Stahlorten mit verschiedenen Farbenschieden von bestimmter Dicke bedeckt und dann das Ganze in einer Mischung von Chlornatrium und Chlorinagnesium aufbewahrt. Nach zwei oder drei Tagen begann Trübung des Wassers und nach längerer Zeit entstand eine Fällung von Eisenoxyd. Diese Trübung und Fällung von Eisenoxyd ist ein gutes Kriterium für die schützende Wirkung der verschiedenen Farben. Es zeigte sich hierbei, daß Eisenoxyd, Bleiweiß und die sonstigen Handelsfarben im Verhältniß zur Mennige wenig schützenden Einfluß besitzen; bei einem Anstrich mit Mennige trat keine Trübung der Salzlösung ein. Als Verfasser ferner zwei Eisenstücke, von denen das eine mittelst eines Kupferdrahtes mit einer Kupferplatte, das andere mit einer Zinkplatte verbunden war, in eine Salzlösung eintauchte, trat im ersten Falle starke Corrosion des Eisens ein, während im anderen Falle das Zink das Eisen vor Corrosion und Oxidation schützte. Verfasser glaubt deshalb, daß es rathsam sein würde, zum Schutze von Brücken und Thürmen ein großes Stück Zink im nassen Grunde mit dem Eisen in metallische Verbindung zu bringen. Es zeigte sich aber auch, daß verschiedene Stahl- und Eisensorten unter einander galvanische Ströme erzeugen können. Man sollte hiervon besonders bei der Wahl des Materials zu Dampfkesseln Notiz nehmen. Da bei Kesseln, die zum Eindampfen von Aetznatron dienten, die Platten entlang der Mittellinie brüchig wurden und in einzelnen Fällen auch die Nietköpfe leicht abbrachen, so hat Verfasser das Verhalten des Eisens gegen Aetznatron geprüft, konnte aber keinen schädlichen Einfluß wahrnehmen. Vielleicht veranlaßt das unter die Nietköpfe und zwischen die Platten gelangende Aetznatron beim Krystallisiren in Folge der Ausdehnung ein Brüchigwerden. fr.

C. A. Burghardt. Verfahren, Eisenchlorid in feste und haltbare Form überzuführen ¹⁾. — Da das zur Desinfection vielfach gebrauchte Eisenchlorid leicht zertiefst und somit wenig transportfähig ist, so wird es nach folgendem Verfahren in die gewünschte Form gebracht. Man vermischt eine Lösung von Eisenchlorid mit einer Glaubersalzlösung und läßt die Masse krystallinisch erstarrten. Das Glaubersalz schützt dann das eingeschlossene Eisenchlorid vor dem Zertiefen. Op.

P. Th. Muller. Molekulargewicht des Eisenchlorids ²⁾. — Verfasser hat das Molekulargewicht des Eisenchlorids nach der

¹⁾ D. R.-P. Nr. 75547. — ²⁾ Compt. rend. 118, 641–646.

Siedepunktmethode, indem er absoluten Alkohol bezw. wasserfreien Aether als Lösungsmittel anwandte, ermittelt und gelangt auf Grund seiner Versuche zu der Formel FeCl_2 . Tr.

F. A. Volkmann. Ueber Hydrate von Eisenjodür und -bromür¹⁾. — Nach Smith (Phil. Mag. 7, 156) bereitete sich Verfasser eine Lösung, indem er auf eine gewogene Jodmenge Eisenspäne im Ueberschuss gab und eine gemessene Menge Wasser zusetzte. Um die anfangs eintretende Reaction zu Ende zu führen, kocht man schliesslich die braune Flüssigkeit, bis keine Joddämpfe mehr entweichen. Die filtrirte Lösung wird alsdann im Exsiccator verdunstet und liefert das Hydrat $\text{FeJ}_2 \cdot 4\text{H}_2\text{O}$ in dünnen, symmetrischen, sechsseitigen Tafeln. Eine Lösung, die $\text{FeJ}_2 + 8,5\text{H}_2\text{O}$ enthielt, schied beim Abkühlen auf -16° dünne Nadeln des Hydrats $\text{FeJ}_2 + 6\text{H}_2\text{O}$ ab. Aus derselben Lösung durch langsames Abkühlen in Gegenwart eines Krystalls $\text{FeJ}_2 + 6\text{H}_2\text{O}$ kann man dieses Hydrat auch in Form dünner, hellgelber Prismen erhalten. Einen bestimmten Schmelzpunkt besitzt es nicht, bei ca. $+8^\circ$ geht es in das Hydrat mit $4\text{H}_2\text{O}$ über. Eine Lösung von $\text{FeJ}_2 + 9\text{H}_2\text{O}$ erstarrte beim Abkühlen auf -30° zu einer festen Masse. Ein Theil dieser Masse in eine auf -10° abgekühlte Lösung von $\text{FeJ}_2 + 10,5\text{H}_2\text{O}$ gebracht, gab eine reichliche Abscheidung von kleinen, tafelförmigen Krystallen des Hydrats $\text{FeJ}_2 + 9\text{H}_2\text{O}$. Größere, durchsichtige, grüne Krystalle dieses Hydrats entstehen auch aus der vom Hydrat $\text{FeJ}_2 + 6\text{H}_2\text{O}$ getrennten und auf -11° abgekühlten Mutterlauge. Aus einer Lösung von $\text{FeJ}_2 + 8,25\text{H}_2\text{O}$ schied sich bei gewöhnlicher Temperatur das Hydrat mit $4\text{H}_2\text{O}$, beim Abkühlen auf -10° dasjenige mit $6\text{H}_2\text{O}$ ab, während nach Entfernung der letzteren Krystalle die Mutterlauge nahezu vollständig unter Abscheidung des Hydrats mit $9\text{H}_2\text{O}$ erstarrte. Eine Lösung von $\text{FeBr}_2 + 9\text{H}_2\text{O}$ lieferte hellgrüne, seidenartige, kleine, zerfließliche Krystalle des Hydrats $\text{FeBr}_2 + 6\text{H}_2\text{O}$. Beim Erwärmen werden diese Krystalle zwischen 45 und 50° feucht unter Bildung des Hydrats $\text{FeBr}_2 + 4\text{H}_2\text{O}$, welches kleine, hellgrüne Krystalle bildet, die sich an der Luft leicht bräunen. Tr.

P. T. Walden. Ueber die Doppelchloride und -bromide von Cäsium, Rubidium, Kalium und Ammonium mit dreiwertigem Eisen, sowie Beschreibung zweier Ferro-Ferridoppelbromide²⁾.

¹⁾ J. russ. phys.-chem. Ges. [5] 26, 239—250; Ref.: Chem. Centr. 65, II, 610—611. ²⁾ Zeitschr. anorg. Chem. 7, 331—338, Sill. Am. J. [3] 48, 283—290.

Die Salze wurden durch Mischen von Lösungen der einfachen Halogenide, Einengen und Abkühlen bis zur Krystallisation dargestellt. Erhalten wurden folgende drei Typen von Salzen:

Typus 3:1	Typus 2:1	Typus 1:1
$\text{Cs}_3\text{FeCl}_4 \cdot \text{H}_2\text{O}$	$\text{Cs}_2\text{FeCl}_3 \cdot \text{H}_2\text{O}$	$\text{CsFeCl}_2 \cdot \frac{1}{2} \text{H}_2\text{O}$
	$\text{Cs}_2\text{FeBr}_3 \cdot \text{H}_2\text{O}$	$\text{Cs} \cdot \text{FeBr}_2$
	$\text{Rb}_3\text{FeCl}_4 \cdot \text{H}_2\text{O}$	$\text{NH}_4\text{FeBr}_2 \cdot 2\text{H}_2\text{O}$
	$\text{Rb}_2\text{FeBr}_3 \cdot \text{H}_2\text{O}$	
	$\text{K}_3\text{FeCl}_4 \cdot \text{H}_2\text{O}$	
	$(\text{NH}_4)_3\text{FeCl}_4 \cdot \text{H}_2\text{O}$	

Diese Doppelchloride sind alle roth, außer $\text{CsFeCl}_2 \cdot \frac{1}{2} \text{H}_2\text{O}$, das allein strobgelb gefärbt ist. In den Schattirungen der Salze zeigt sich eine deutliche Stufenfolge. $(\text{NH}_4)_3\text{FeCl}_4 \cdot \text{H}_2\text{O}$ ist tief rubinroth, heller schon sind die entsprechenden Cäsium- und Rubidiumsalze, am hellsten ist das Kaliumsalz. Die Doppelbromide sind durchweg tief dunkelgrün, fast schwarz und ganz undurchsichtig. *Ferro-Ferrisalze*, $\text{RbBr} \cdot \text{FeBr}_2 \cdot 2\text{FeBr}_3 \cdot 3\text{H}_2\text{O}$ und $\text{KBr} \cdot \text{FeBr}_2 \cdot 2\text{FeBr}_3 \cdot 3\text{H}_2\text{O}$: Lösungen von Eisenbromid von Bromkalium bzw. Bromrubidium, die freies Brom enthielten, gaben diese Salze, von denen das Rubidiumsalz rhombische, das Kaliumsalz würfelförmige, dunkelgrüne Krystalle bildet. Tr

Henryk Arctowski. Ueber die künstliche Darstellung von Hämatit¹⁾. — Verfasser hatte schon früher wiederholt beobachtet, dass ein starker Strom von Chlorammondämpfen, wenn er über ein Stück stark verrostetes und bis zur schwachen Rothgluth erhitztes Eisen strich, diesen Ueberzug von Eisenoxyd zum Krystallisiren brachte. Diese Bildungsweise von Eisenglanz erklärt es vielleicht auch, dass die Gase der Fumarolen, die Chlorammon enthalten und die durch Spalten hindurchgehen, Veranlassung geben können zur Bildung von Eisenglanz und Hämatitkrystallen, die man im Allgemeinen, wenn auch nicht immer, in solchen Spalten antrifft. Verfasser hat nun Chlorammondämpfe über Eisenoxyd, das auf verschiedene Temperaturen erhitzt war, geleitet. Bei 350° entstand nur ein Doppelsalz von Chlorammon und Eisenchlorid, bei 600° bildeten sich schon kleine Krystalle, während bei 700° endlich das Eisenoxyd in den wahrscheinlich vollkommen dissociirten Chlorammondämpfen krystallisirt. Die so gewonnenen Krystalle sind zwar sehr klein, zeigen aber sehr schön die Formen des Hämatits. Tr.

¹⁾ Zeitschr. anorg. Chem. 8, 377—379, Belg. Acad. Bull. [3] 27. 933 936

F. H. Hemingway. Fabrikation von Eisenoxyd¹⁾. — Zur Darstellung von venetianischem Roth und anderen hauptsächlich aus Eisenoxyd bestehenden Pigmenten wird der Eisenvitriol vor der Erhitzung gewöhnlich gepulvert, er wird aber dadurch stellenweise überhitzt und verliert an Farbe. Der Erfinder gießt die stark eingedampfte Vitriollösung nebst den Krystallen in Formen von der Gestalt der Retorten, in denen die nachfolgende Erhitzung erfolgen soll, taucht in die noch flüssige Masse einen Metallstab als Handgriff, läßt erstarren und bringt dann die Masse in die Retorten. Diese sind vertical gestellt und so angeordnet, daß zwischen je zweien ein Feuerungscanal sich befindet. Von oben wird das Sulfat eingeführt und das entstandene Eisenoxyd fällt ab und wird unten von Zeit zu Zeit abgezogen. Dadurch wird der Proceß continuirlich. Die sauren Dämpfe werden wie gewöhnlich abgeleitet.

Op.

H. und W. Pataky. Darstellung von Eisenoxydfarben²⁾. — Reine Eisenoxydfarben von werthvollen Eigenschaften erhält man, wenn man künstliche oder natürliche Eisenoxyde mit Aetz- oder kohlen-saurem Alkali glüht, das Glühproduct mit (am besten kaisem) Wasser leicht, auswäscht und den Rückstand glüht. Benutz Erzielung eines reinen Roths wird zum Auswaschen des Glühproductes schwach angesäuertes Wasser verwendet.

Op.

H. und W. Pataky. Darstellung von Eisenoxydfarben [Zusatzpatent]³⁾. — Bei dem Verfahren gemäß Patent Nr. 76686 werden an Stelle der daselbst vorgeschriebenen kaustischen und kohlen-sauren Alkalien auch Alkalinitrate verwendet.

Op.

M. N. d'Andria. Verbesserungen in der Fabrikation von Eisenoxydfarben⁴⁾. — Durch die zur Zersetzung von Ferrosulfat erforderliche Temperatur wird der Farbenton ungünstig beeinflusst. Die vollständige Entfernung der Schwefelsäure aus dem Ferrosulfat erfolgt bei niedriger Temperatur, wenn man ein Gemenge von Ferrosulfat und Magnesiumsulfat erhitzt; letzteres wird durch Auswaschen nach der Erhitzung entfernt und das Eisenoxyd dadurch in fein vertheiltem Zustande und mit mehr leuchtender Farbe gewonnen.

Op.

Th. Montgomery Lightfoot. Chemisches Verhalten von Arsenkies⁵⁾. — Verfasser hat Arsenkies, der von Quarz befreit war und dessen Zusammensetzung der Formel $\text{FeS}_2 \cdot \text{FeAs}_2$ ent-

¹⁾ Engl. Pat. Nr. 4001; Chem. Soc. Ind. J. 13. 163. — ²⁾ D. R.-P. Nr. 76686. — ³⁾ D. R.-P. Nr. 77114. — ⁴⁾ Engl. Pat. Nr. 5849; Chem. Soc. Ind. J. 13. 263. — ⁵⁾ Amer. Chem. Soc. J. 16. 624-633.

sprach, im Verhalten gegen Kaliumpermanganat, gegen Salzsäuregas und gegen Kupfersulfat untersucht. Um das Verhalten gegen Permanganat zu prüfen, wurden Versuche angestellt, bei denen 0.2 g Substanz (fein gepulvert) in einem Stopfsglase mit 10 cm Permanganat wiederholt geschüttelt und im Filtrat schliesslich der oxydirte Schwefel als schwefelsaurer Baryt gefällt wurde. Die Permanganatlösungen wurden $\frac{1}{100}$ -normal, 1 proc., 3- und 5 proc. genommen, die Einwirkungszeit betrug eine, zwei, drei, vier oder fünf Stunden. Es wurden immer zwei Versuche angestellt, die jedoch zuweilen sehr grosse Differenzen aufwiesen. Die Versuchsreihen wurden bei gewöhnlicher Temperatur und bei 100° ausgeführt. Die beste Uebereinstimmung ergab sich bei den Versuchspaaren bei Anwendung von $\frac{1}{100}$ -Normal-Permanganat. Es hat schliesslich Verfasser den Procentgehalt des durch Permanganat oxydirten Schwefels von Arsenkies mit dem in analoger Weise von Brown bestimmten Schwefel von Pyrit und Marcasit verglichen und dies durch Curven veranschaulicht. Die Schlüsse, welche Verfasser aus seinen Zahlenwerthen zieht, haben insofern wenig Bedeutung, als die von ihm bei den Doppelversuchen gefundenen Resultate zuweilen zu enorm von einander abweichen, so dass ein sogenannter Durchschnitt, wie ihn Verfasser aus solchen Zahlenpaaren zieht, doch etwas gewagt erscheint. In einer neuen Versuchsreihe hat Verfasser Arsenkies in trockenem Salzsäuregas ein, zwei und drei Stunden bei 300 und 325° erhitzt und den im Rückstand verbleibenden Schwefel bestimmt. Die gewonnenen Resultate wurden mit den von Brown in analoger Weise am Pyrit und Marcasit erhaltenen Resultaten verglichen, doch ist auch hier keine Gesetzmässigkeit zu erkennen. Schliesslich hat Verfasser Arsenkies mit wässriger Kupfersulfatlösung im geschlossenen Rohr sechs Stunden auf 200° erhitzt. Weil wenig Eisenoxydul in der Lösung sich vorfand, nimmt Verfasser das Eisen in dem Mineral in Oxydform an.

II. Erdmann. Ueber Alaune und besonders über den Kalium-Eisenalaun, einen höchst zersetzlichen Körper¹⁾. — Die Schmelzpunkte der Thonerdealaune von K, Rb und Cs steigen von 92° zu 105 zu 120,5° entsprechend den diesbezüglichen Atomgewichten 39, 85 und 133. Wird Aluminium durch Eisen substituiert, so erhält man folgende Schmelzpunkte: Aluminiumrubidiumalaun 106°, Rubidiumeisenalaun 60°, Kaliumeisenalaun 33°. Auffallend ist das Sinken der Schmelzpunkte bei diesen Alaunen durch den Eintrag

¹⁾ Zeitschr. Naturw. 1894, S. 113–114; Ref. Chem. Centr. 63, II. 725

des Eisens. Der K.Fe-Alaun als organisches Salz schmilzt also schon unter Blutwärme. Hieraus erhält man eine Erklärung für die große Zersetzlichkeit dieses Körpers und die Schwierigkeit seiner Darstellung, die nur bei 2 bis 5° möglich ist. Tr.

Nickel, Kobalt.

W. Stahl. Chlorirende Röstung armer Nickelerze¹⁾. — Dies Verfahren wurde bei schwer zersetzbaren Nickelverbindungen in folgender Weise ausgeführt. Die Erze wurden bis 1,5 mm Korngröße zerkleinert und wenn das Nickel als Schwefel-, Arsen- oder Antimonverbindung vorhanden war, bei angeheuder Rothgluth todtgeröstet. Man röstete abwechselnd oxydirend und nach dem Einmengen von Sägemehl in das Röstgut reducirend, bis zur völligen Zersetzung. Das todtgeröstete Erz wird alsdann mit 6 Proc. reinem, pulverisirtem Eisenkies und mit 12 Proc. Abfallsalz gemengt und im Chlorirungssofen drei Stunden auf angehende Rothgluth erhitzt, dann unter häufigem Umrühren bei mäßiger Temperatur weiter geröstet, bis blaue Flammenerscheinungen nicht mehr wahrzunehmen sind und eine Laugenprobe die Beendigung des Processes, d. h. die Bildung von Nickelchlorid, anzeigt. In Laugehottichen wird dann das Röstgut mit schwach saurem Wasser, das durch Condensation der sauren Röstgase in einem Condensationsthorne gewonnen wurde, ausgelaugt. Die Laugen enthalten neben Nickelchlorür beträchtliche Mengen von Alkalisulfat und Alkalichlorid, sowie meist minimale Salzmen gen der alkalischen Erden, des Kobalts, Zinks, Mangans, Kupfers, Eisens etc. Nach einem bekannten Verfahren werden die Laugen schließ lich auf reine Nickelverbindungen verarbeitet. Tr.

Knut Styffe. Nickel und dessen wichtigste Legirungen²⁾.

Nach einer kurzen geschichtlichen Einleitung bespricht Verfasser das Vorkommen des Nickels. Hierbei berücksichtigt er hauptsächlich diejenigen Erze, in denen das Nickel in solcher Menge vorkommt, daß es mit Vortheil daraus gewonnen werden kann. Es kommen hierbei besonders arsenikhaltige Erze, schwefelhaltige Erze und wasserhaltige Silicate, vor Allem der in Neu-Caledonien vorkommende Garnierit in Betracht. Im zweiten Theile der Arbeit führt Verfasser die Methoden zur Darstellung des Nickels an. Dieselben sind natürlich je nach den angewandten Erzen ver-

¹⁾ Berg- u. Hüttenm. Zeitg. 53, 105. — ²⁾ Oestr. Zeitschr. Berg- u. Hüttenw. 42, 307—311, 324—327, 340—341 und 354—357.

schieden. Alle verfolgen zunächst aber den Zweck, ein von Arsen und Schwefel möglichst freies Nickeloxydul darzustellen, welches jedoch, wenn es zur Darstellung von Neusilber oder anderen kupferhaltigen Legirungen verwendet werden soll, Kupfer, im Falle es jedoch für die Herstellung von Eisenlegirungen dienen soll, wohl Eisen, aber kein Kupfer enthalten darf. Besonders berücksichtigt ist in diesem Theile die Behandlung der canadischen und neucaledonischen Nickelerze. Der Raffinationsstein, das durch den Raffinirproceß gewonnene Product, mag dasselbe nun im Flammenofen oder im Bessemer-Converter entstanden sein, besteht fast ausschließlich aus Schwefelnickel, neben Schwefelkupfer, falls der Rohstein kupferhaltig war, und soll nicht mehr als 0.5 bis 0.75 Proc. Eisen enthalten, aber nicht weniger als 16 Proc. Schwefel, um leicht pulverisirt werden zu können. Um die in dem Raffinationsstein enthaltenen Schwefelmetalle in Oxyde zu verwandeln, wird derselbe fein pulverisirt und dann geröstet. Um Nickel zur Bereitung von Eisenlegirungen kupferfrei zu erhalten, bedient man sich gewöhnlich einer Trennung auf nassem Wege, doch wird zu diesem Zwecke auch eine von L. Thomson und Ch. Bartlett ausgearbeitete Methode, um Kupfer auf trockenem Wege aus dem Nickel abzuscheiden, angewendet. Diese Methode besteht darin, daß man die Rohsteine entweder im Converter oder durch Röstung und Schmelzung im Schachtofen auf einen gewissen Grad concentrirt und die so gewonnenen Producte dann unter Zusatz von Natriumsulfat im Schachtofen niederschmilzt, wobei dieses zu Schwefelnatrium reducirt wird und sich vorzugsweise mit Schwefelkupfer und Schwefeleisen zu sehr leichtflüssigen Verbindungen vereinigen soll. Beim Abstechen und Abkühlen sammelt sich dann alles Schwefelnickel, als specifisch schwerer, auf dem Boden, während man die oberen Lagen leicht abheben kann. Es wird dann weiter die Reduction des Nickeloxyduls und die Verarbeitung des reducirten Nickels, das eine schwammige Metallmasse bildet, zu compactem Nickelmetall, beschrieben. In einem weiteren Theile der Arbeit werden die Eigenschaften und die Anwendung des Nickels ausführlich aufgezählt. In dem letzten Theile der Arbeit führt Verfasser die Legirungen des Nickels mit Kupfer und anderen Metallen oder mit Kupfer allein und schließlich mit Eisen und Stahl an.

Tr

R. Fleitmann. Darstellung von walz- und schmiedbarem Flusnickel und dessen Legirungen¹⁾. Das Verfahren hat den

¹⁾ D. R.-P. Nr. 73423.

Zweck, Nickel bezw. dessen Legirungen möglichst vollständig von einem Gehalt an Schwefel, Kohlenstoff, Mangan und Eisen zu befreien. Zunächst wird der Schwefel beseitigt, und zwar in folgender Weise: Das Rohnickel wird in geschmolzenem Zustande in eine Bessemerbirne abgestochen und mit einer geeigneten Menge Mangan versetzt, wodurch, ähnlich wie beim Eisen, eine Verschlackung des Schwefels bewirkt wird. Hierauf wird atmosphärische Luft durchgeblasen, wodurch eine Oxydation des im Nickel enthaltenen Kohlenstoffs, Mangans und Eisens herbeigeführt wird. Da nach beendeter Verbrennung des Kohlenstoffs das Bad sehr strengflüssig wird, so wird in diesem Zeitpunkte der Luft Sauerstoff beigebracht, wodurch eine lebhaftere Verbrennung des Eisens und in Folge dessen auch größere Flüssigkeit des Bades erzielt wird. Der überschüssige Sauerstoff des Bades wird dann durch bekannte Reductionsmittel entfernt.

Op.

G. F. Campbell. Ueber die Cäsium-Kobalt- und Cäsium-Nickeldoppelchloride, -bromide und -jodide¹⁾. — Die vom Verfasser im Anschluß an seine früheren Versuche dargestellten Doppelsalze gehören folgenden drei Typen an:

3:1 Typus	2:1 Typus	1:1 Typus
Cs_3CoCl_2	Cs_2CoCl_2	$\text{CsCoCl}_2 + 2\text{H}_2\text{O}$
Cs_3CoBr_2	Cs_2CoBr_2	
	Cs_2CoJ_4	CsNiCl_2
		CsNiBr_2

Kobalt bildet also viel leichter als Nickel Doppelsalze. Die Farbe der Kobalt enthaltenden Doppelsalze ist schön blau, die entsprechenden Bromide und Jodide sind grün gefärbt, während die beiden angeführten Nickelsalze gelb sind. Die beiden Nickelsalze bilden mikroskopische Krystalle, die zwei Salze vom Typus (3:1) werden in gut ausgebildeten Krystallen, wahrscheinlich Würfeln und Octaedern, erhalten. Die Salze vom Typus (2:1) bilden breite Tafeln oder Prismen, das Salz $\text{CsCoCl}_2 + 2\text{H}_2\text{O}$ sehr kleine Tafeln. Neben dem blauen, schon erwähnten Salz konnte auch ein rothes Kobalt-Cäsiumchlorid vom Typus (1:1) erhalten werden. Alle diese Salze werden weiß, wenn man sie in Berührung mit Wasser oder Alkohol bringt, wahrscheinlich in Folge von Zersetzung.

Tr.

P. Mauhet und die Société anonyme de métallurgie du cuivre. Entschwefelung von Schwefelnickel oder Rohnickel bezw. -kobalt²⁾. — Das Schwefelnickel. Rohnickel bezw. -kobalt

¹⁾ Sil. Am. J. 48, 418—420. — ²⁾ D. R.-P. Nr. 77427.

wird nach möglichst vollständiger Abscheidung des Eisens in geschmolzenem Zustande mit einem Gemenge Alkali oder Erdalkali und dem Chlorid desselben Alkali- oder Erdalkalimetalles behandelt, wodurch der Schwefel an Alkali gebunden verschluckt wird. Op.

A. Villiers. Ueber die Metallsulfide ¹⁾. — Verfasser weist auf den allgemein bekannten Widerspruch hin, wonach die Sulfide des Nickels und Kobalts, sobald sie vermittelst Alkalisulfid ausgefällt sind, sich schwierig nur von Salzsäure angreifen lassen, während doch die Lösungen der neutralen Salze des Nickels und Kobalts, die mit Mineralsäure angesäuert sind, nicht unmittelbar durch Schwefelwasserstoff gefällt werden. Baubigny hat allerdings 1882 constatirt, daß zwar eine neutrale Lösung von Nickelsulfat mit Schwefelwasserstoff sofort keinen Niederschlag giebt, während nach und nach bei gewöhnlicher Temperatur allmählich eine Fällung eintritt, die allerdings nach Ablauf eines Monats noch nicht vollständig ist. Die Fällung wird nun durch eine Temperaturerhöhung begünstigt. Baubigny hat diese Thatsache durch die Bildung eines Sulfhydrates des Sulfides, das je nach der Temperatur und den Bedingungen der Lösung sich zersetzt und sich allmählich wieder bildet, zu erklären versucht und hat auch die Existenz eines in Wasser unlöslichen Sulfhydrates des Schwefelnickels nachgewiesen. Mit dieser Annahme ist jedoch Verfasser nicht einverstanden und beabsichtigt er in seiner nächsten Mittheilung zu zeigen, daß Schwefelnickel sowie andere Metallsulfide im Augenblick ihrer Bildung andere Eigenschaften zu besitzen scheinen als die gefällten Sulfide. Tr

A. Villiers. Ueber die Sulfide von Nickel und Kobalt ²⁾. — Wie bekannt, vermag schwefelhaltiges Schwefelammon Schwefelnickel zu lösen, was man an der dunkeln Färbung des Filtrates von Schwefelnickel erkennt. Schwefelfreies Schwefelammon thut dagegen nichts und liefert, wenn man beim Filtriren dafür sorgt, daß keine Luft Zutritt, ein farbloses Filtrat. Aehnlich ist es mit Natriumsulfid und mit Natriumsulfhydrat. Verfasser hat nun eine Nickellösung mit Natronlauge im Ueberschuß versetzt, nachdem er vorher, um eine Fällung des Nickeloxydes zu vermeiden, eine genügende Menge Weinsäure zugefügt hatte und hat schließlich diese Lösung mit Schwefelwasserstoff gesättigt. Er erhielt keinen Niederschlag, sondern nur eine dunkelgefärbte Lösung. Hieraus geht hervor, daß Schwefelnickel im Augenblick seiner

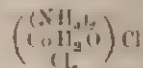
¹⁾ Compt. rend 119, 1208—1210. — ²⁾ Daselbst. S. 1263—1265.

Bildung in Schwefelnatrium löslich ist, während es, wie aus Obigem hervorgeht, in Schwefelammon nicht löslich ist. Es verhält sich also das Schwefelnickel im Augenblick seiner Bildung dem Schwefelnatrium gegenüber anders als das betreffende Sulfid und läßt sich diese Verschiedenheit nur durch eine molekulare Veränderung erklären. Analoge Versuche beim Schwefelkobalt zeigen, daß Schwefelkobalt im Augenblick seiner Lösung sich nicht in Alkalisulfid löst, oder besser, es lagert sich mit solcher Schnelligkeit in die unlösliche Modification um, daß es der Einwirkung des Schwefelnatriums entgeht. *Tr.*

A. Werner und A. Miolati. Beiträge zur Constitution anorganischer Verbindungen. Zweite Abhandlung ¹⁾. — In Fortsetzung einer früheren Abhandlung ²⁾ wird eine größere Anzahl Messungen molekularer elektrischer Leitfähigkeiten von Metallammoniaksalzen mitgetheilt und dadurch die Untersuchung zu einem vorläufigen Abschluß gebracht, indem im Gesamtbilde des Verlaufs der molekularen Leitfähigkeiten bei den charakteristischen und wichtigsten Gruppen der Kobalt-, Chrom- und Platin-Ammoniakverbindungen eine so deutliche Gesetzmäßigkeit zu Tage tritt, daß man in Zukunft aus der Leitfähigkeit eines Metallammoniaksalzes dessen Constitution leicht ableiten können wird. Die Resultate zeigen vollständige Uebereinstimmung zwischen dem aus den theoretischen Anschauungen zu erwartenden und dem thatsächlichen Verhalten der Verbindungen. Eine Zusammenstellung der bisherigen Messungen zeigt, daß bei solchen Verbindungen, die außerhalb des coordinirten complexen Radicals *ein* einwerthiges Ion gebunden enthalten, die Variation der molekularen Leitfähigkeit sich zu 11 Einheiten von 96,7 bis 108,5 ergibt; bei Verbindungen, die außerhalb des coordinirten complexen Radicals *zwei* einwerthige Ionen gebunden enthalten, beträgt die Variation 33 Einheiten von 234,4 bis 267,6 und bei solchen mit *drei* einwerthigen Ionen 43 Einheiten von 383,8 bis 426,9. Mit steigender Anzahl von Ionen nimmt also die Variation der Werthe der Leitfähigkeit, entsprechend der weniger einfachen Spaltung der Salze in Ionen, zu. Aus dem für die Leitfähigkeit gefundenen Werthe kann mit Leichtigkeit auf die Zugehörigkeit der Verbindung zur einen oder anderen Classe geschlossen werden, da die Werthe von einer zur anderen einen Unterschied von mindestens 140 Einheiten zeigen. Die Verfasser haben die molekularen Leitfähigkeiten einer

¹⁾ Zeitschr. physik. Chem. 14, 506—521; Gazz. chim. ital 24, II, 408 —
²⁾ JB. f. 1893, S. 424.

Reihe Metallammoniumsalze zusammengestellt und ihre Constitutionsformeln in erwähnter Weise sichergestellt; die gefundene Constitution stimmt mit den von Werner¹⁾ früher entwickelten Ansichten. Die erwähnten Metallammoniumsalze sind sowohl den Platin- als den Kobalt- und Chrom-Ammoniakverbindungen zugehörig. — Die Chlorotetraminchromsalze unterscheiden sich durch den normalen Verlauf der Leitfähigkeiten scharf von den analog zusammengesetzten Kobaltsalzen, die in wässriger Lösung sofort in Tetraminroseosalze übergehen. Eine Untersuchung über die Leitfähigkeit des *Dichrokobaltchlorids* bot ein specielles Interesse, bei Auflösung in Wasser verwandelt dieses Salz sich sehr schnell in das Triaminpurpureo- und Triaminroseosalz, wie schon aus dem schnellen Farbenwechsel bei der Auflösung zu schliessen; dies konnte sicher durch Bestimmung der Leitfähigkeit bei 1 nachgewiesen werden; bei dieser Temperatur geht die Umwandlung viel langsamer vor sich. Die Constitutionsformel



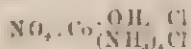
des Dichrochlorids wird dabei sichergestellt.

(Cr

S. M. Jørgensen. Zur Constitution der Kobalt-, Chrom- und Rhodiumbasen²⁾. — Durch diese Arbeit wird eine frühere Mittheilung in wesentlichen Punkten vervollständigt. Zuerst wird über die Darstellung und Constitution der Aquotetraminammoniumkobaltsalze berichtet: Der Ausgangspunkt für die Darstellung dieser Salze ist das Chloronitrotetraminkobaltchlorid, welches sich aus dem bei der Darstellung von Triaminkobaltnitrit erhaltenen, schwer löslichen Salz erhalten läßt. Dieses schwer lösliche Salz hat sich bei näherer Untersuchung als *Croceokobalt-Diaminkobaltnitrit* erwiesen; eine siedende Lösung von dieser Verbindung (0,5 g) in 5 proc. Silbernitratlösung (50 cem) und ein paar Tropfen Essigsäure liefert beim Erkalten *Silberdiaminkobaltnitrit* in prachtvollen, diamantglänzenden, achtseitigen Tafeln. Versetzt man dagegen die heisse Lösung des schwer löslichen Salzes in Wasser mit einer passenden Menge Silberlösung, zeigt der nach Erhitzen gebildete Niederschlag nach Auswaschen mit kaltem Wasser unter dem Mikroskop nur die Nadeln des schwer löslichen Salzes und enthält keine Spur Silber. Der Process ist demnach reciprok. — Weit rationeller ist es demnach, das Chloronitrotetraminkobaltchlorid aus einem einfachen Crocesalz, z. B. aus

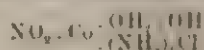
¹⁾ JB. f. 1903, S. 412. — ²⁾ Zeitschr. anorg. Chem. 7, 289—330.

dem Sulfat darzustellen; man erhält durch Erhitzen von Croceosulfat (10 g) mit 100 cm concentrirter Salzsäure in siedendem Wasserbade bis zur lebhaften Gasentwicklung und Stehen in 24 Stunden eine treffliche Ausbeute des erwähnten Salzes, welches nach Decantiren der Flüssigkeit mit halbconcentrirter Salzsäure und dann mit Alkohol gewaschen und an der Luft getrocknet wird; durch Lösen in lauwarmem Wasser und Zusatz von dem doppelten Volumen concentrirter Salzsäure scheidet sich die Verbindung nach Stehen in kaltem Wasser wieder aus und bildet dann lange, dünne, bräunlichrothe Nadeln. Auch kalte Salzsäure verwandelt Croceosulfat im Laufe von 24 Stunden in Chloronitrotetraminchlorid, $(\text{NO}_2)_4\text{Cl} \cdot \text{Co}(\text{NH}_3)_4\text{Cl}$. Beide Chloratome werden in der kalt und frisch bereiteten Lösung durch Silbernitrat sogleich gefällt, weil das Salz sich beim Lösen unter Wasseraufnahme zu einem entsprechenden Roseosalz, $\text{NO}_2 \cdot \text{Co}(\text{OH}_2 \cdot \text{Cl})(\text{NH}_3)_4\text{Cl}$, verändert. Alle daraus abgeleiteten Salze enthalten 1 Mol. Wasser, welches jedoch loser als gewöhnlich bei Roseosalzen gebunden ist. Die Reactionen für wässrige Lösungen beziehen sich daher auf das Roseosalz: Aquotetraminxanthokobaltchlorid. In Chloronitrochlorid ist das eine Chloratom an eine besondere Valenz des Kobaltatoms gebunden; doch zeigt dieses Chloratom andere Eigenschaften als sonst das Purpureochlor, indem es nicht nur in wässriger, kalt bereiteter Lösung durch Silbernitrat abgeschieden wird, sondern auch bei gänzlichem Abschlufs von Wasser als Ion fungirt und durch Silbernitrat in absolut alkoholischer Lösung entfernt wird. — *Aquotetraminxanthokobaltchlorid*,

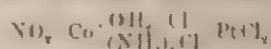


aus dem wasserfreien Salze durch Erwärmen mit Wasser (12 Thle.) und einigen Tropfen Essigsäure und Stehen der Lösung neben Vitriolöl erhalten, bildet rothe, blanke, in kaltem Wasser schwer, in heissem leicht lösliche Krystalld tafeln. Die Lösung scheidet auf Zusatz von 2 Vol. concentrirter Salzsäure das wasserfreie Salz ab. Verfasser theilt eine grössere Reihe Reactionen der wässrigen Lösung mit. Durch Schütteln des wasserfreien Chlorids mit frisch gefälltem Silberoxyd erhält man eine alkalische Lösung von *Aquotetraminxanthokobalthydrat*. — Das Chloronitrotetraminchlorid wird durch Erhitzen mit Salmiak, Wasser und etwas Ammoniak vollständig in gewöhnliches Xanthochlorid umgebildet, indem es 1 Mol. Wasser mit 1 Mol. Ammoniak vertauscht. Durch Erhitzen mit Natriumnitrat, Wasser und Salpetersäure wird das

Chlorid fast quantitativ in Croceonitrat verwandelt. Folgende Uebergänge verlaufen demnach fast quantitativ: Xanthochlorid \rightarrow Croceochlorid \rightarrow Chloronitrotetraminchlorid \rightarrow Aquotetraminxanthochlorid \rightarrow Xanthochlorid und Aquotetraminxanthochlorid \rightarrow Croceochlorid. — *Basisches Aquotetraminxanthokobaltchlorid*,

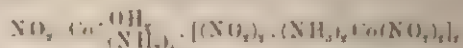


aus dem wasserfreien Chlorid durch Stehen mit verdünntem Ammoniak erhalten, bildet tief zinnoberrothe, rhombische Prismen, welche in Wasser ziemlich leicht löslich mit alkalischer Reaction sind; mit Salzsäure versetzt, liefert die Lösung beim Abkühlen das wasserfreie Chlorid. — Die kalte wässrige Lösung des wasserfreien Chlorids liefert, mit destillirter Bromwasserstoffsäure versetzt, *Aquotetraminxanthokobaltbromid* in dunkel zinnoberrothen, rhombischen Tafeln, die bei 90° 1 Mol. Wasser verlieren. — Aus dem wasserfreien Chlorid entsteht in ähnlicher Weise durch Versetzen der Lösung mit verdünnter Salpetersäure das entsprechende *Nitrat* in braungelben, mikroskopischen Octaedern, welche in kaltem Wasser ziemlich schwer löslich sind. Ebenfalls entsteht aus dem Chlorid und verdünnter Schwefelsäure das *Sulfat* als mikroskopische, braungelbe, rhombische Tafeln, in kaltem Wasser sehr schwer löslich. — Mit Kaliumplatinchloridlösung giebt die verdünnte Lösung des Chlorids das *Platinchlorardoppelsalz*:

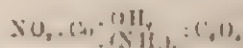


als rothe Nadeln, welche in Wasser jedoch nicht unlöslich sind.

In ähnlicher Weise entsteht mit Natriumgoldchlorid das entsprechende *Goldchlorardoppelsalz* in dunkelrothen Krystallen. Dieses Salz enthält auf 1 At. Co nur 1 Mol. AuCl_3 . — Das *Diaminkobaltnitrit*



entsteht aus der kalt gesättigten Chloridlösung mittelst einer 4proc. Lösung von Ammoniumdiaminkobaltnitrit: orangerothe, mikroskopische Tafeln. — Aus dem Chlorid und Ammoniumoxalat wird das *Oxalat*

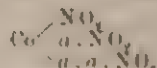


als feines, orangerotes Krystallpulver erhalten. — Weiter berichtet Verfasser über die *Darstellung und Constitution der Dinotrotriaininkobaltsalze*. Der Ausgangspunkt für die Darstellung dieser Salzreihe ist das *Dinitrotriaininkobaltnitrit*, welches Verfasser in seinem letzten Aufsatz als Triamininitrit beschrieb;

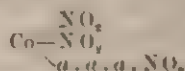
dieses Salz ist unzweifelhaft mit dem Salze von Gibbs¹⁾ identisch, wogegen es vorläufig zweifelhaft bleibt, ob dasselbe mit Erdmann's Triaminnitrit identisch ist; es wird wesentlich nach dem früher angegebenen Verfahren durch Oxydation eines ammoniakalischen Gemenges von Kobaltchlorid, Natriumnitrit und Salpnek dargestellt: die Ammoniakmenge ist hier von ausnehmender Wichtigkeit; die Reaction kann je nach der Ammoniakmenge in sechs verschiedenen, näher angegebenen Richtungen verlaufen, wozu noch eine siebente kommt, die sich bei sehr überschüssigem Ammoniak vollzieht. Bei den sechs erwähnten Reactionen bilden sich beziehungsweise *Ammoniumkobaltdinitrit*, *Ammoniumdiaminkobaltnitrit*, *Dinitrotriaminkobaltnitrit*, *Croceokobaltchlorid*, *Xanthokobaltchlorid* und *Croceodiaminkobaltnitrit*; bei der siebenten Reaction entsteht eine dunkelbraune, fast schwarze, leicht lösliche Verbindung, bei deren Zersetzung wieder Triaminnitrit in reichlicher Menge auftritt; keine der Reactionen verläuft rein, jedoch lassen sich unschwer bei zweckmäßiger Variation der Ammoniakmenge das eine oder das andere obiger Reactionsproducte in weit überwiegender Menge erhalten; weniger als 5 Mol. Ammoniumnitrit auf 1 At. Kobalt lassen sich mit Vortheil nicht verwenden. Das Nähere bezüglich der Versuchsbedingungen muß in der Originalabhandlung nachgesehen werden. — In reinem Zustande erhält man *Dinitrotriaminnitrit* durch Lösen von Ammoniumdiaminnitrit (10 g) in lauwarmem Wasser (120 ccm), Versetzen der Lösung mit concentrirter Ammoniakflüssigkeit (6 ccm) und Erhitzen auf dem Wasserbade eine halbe Stunde; die Verbindung scheidet sich beim Erkalten in glänzenden, gelbbraunen, rhombischen Tafeln ab. Verfasser hat früher gezeigt, daß Ammoniumdiaminkobaltnitrit, in der Kalte mit Ammoniak versetzt, beim Stehenlassen Xanthokobaltdiaminkobaltnitrit giebt, während es in der Hitze, mit Ammoniak behandelt, Flavodiaminnitrit liefert. — Wahrscheinlich wird bei den erwähnten Reductionen das Xanthodiaminnitrit dabei zuerst in Flavodiaminnitrit und 1 Mol. Triaminnitrit zersetzt, wonach das Flavosalz sich wiederum in 2 Mol. Triaminnitrit spaltet, so daß schließhch 3 Mol. des letzteren resultiren. Die Ueberführung des Flavosalzes in 2 Mol. Triaminnitrit gelingt leicht, dagegen ist die Zersetzung des Xanthodiaminnitrits in dem erwähnten Sinne nicht ausführbar; daher vermuthet Verfasser, daß das bei obigem Processe ursprünglich gebildete Salz nicht das gewöhnliche Xanthodiaminnitrit, sondern das Diaminnitrit der

¹⁾ Proc. Amer. Acad. 10, 14 (1873).

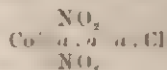
labilen Form der Xanthosalze ist, welche früher als Nitritokobaltsalze beschrieben worden, aber welche passender *Isoranthosalze* zu nennen sind. — Das Triaininkobaltnitrit wird endlich aus allerlei Dinitrotriaininsalzen durch Doppelzersetzung mit Natriumnitrit fast quantitativ abgeschieden; daher ist das Salz einfach als das Nitrit der Dinitrotriaininkobaltreihe aufzufassen. Nach den gemachten Erfahrungen ist die früher für das Triainumnitrit aufgestellte Formel



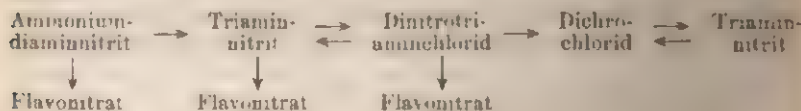
unhaltbar und durch die Formel



zu ersetzen. *Dinitrotriaininkobaltchlorid*, $(\text{NO}_2)_2\text{Co}(\text{NH}_3)_3\text{Cl}$, aus dem Triainumnitrit beim Erwärmen mit Wasser unter Zusatz von einigen Tropfen Essigsäure, Versetzen des heißen Filtrats mit 1, Vol. concentrirter Salzsäure und schnelles Abkühlen erhalten, bildet ein krystallinisches, intensiv bräunlichrothes Salz. In größerem Mafsstabe durch Zerreiben von Triainumnitrit (10 g) mit halbverdünnter Salzsäure, zeitweiliges Umrühren und Stehen durch 24 Stunden und Umkrystallisation des Rohproductes aus essigsaurem Wasser erhalten, bildet es ein schön glänzendes, fast zinnoberrothes Salz, das oftmals in mehrere Millimeter breiten Tafeln auftritt; es ist in kaltem Wasser wenig, in heißem leicht löslich; durch Erhitzen mit 10 Thln. concentrirter Salzsäure wird es in Dichrochlorid umgewandelt. Durch Erwärmen von 1 g Chlorid mit 20 cem Wasser, 2 g Ammoniumnitrat und etwas Ammoniak in einigen Minuten, bis gegen Kochen, schnelles Abkühlen der Lösung und Zusatz von 20 cem verdünnter Salpetersäure scheidet sich beim Abkühlen und Umrühren saures Flavokobaltnitrat aus; demnach besitzt das Dinitrochlorid die Constitution



Auch das Triainumnitrit liefert auf die nämliche Weise Flavonitrat. Man hat demnach folgende, fast quantitativ verlaufende Uebergänge:



Dinitrotriaminbromid, $(\text{NO}_2)_2\text{Co}(\text{NH}_3)_3\text{Br}$, aus der Chloridlösung und Bromwasserstoffsäure erhalten, ist dem Chlorid ähnlich. — *Dinitrotriaminsulfat*, $[(\text{NO}_2)_2\text{Co}(\text{NH}_3)_3]_2\text{SO}_4 \cdot 2\text{H}_2\text{O}$, aus der Chloridlösung durch Zusatz von verdünnter Schwefelsäure und dann von Weingeist in Antheilen erhalten, ist gelbbraun und krystallinisch, in kaltem Wasser schwer, in heissem, essigsäurem Wasser ziemlich leicht löslich. Schliesslich theilt Verfasser in einem besonderen Abschnitt einige theoretische Bemerkungen mit; er discutirt hier die Theorie von Werner und widerlegt Werner's Ansicht, dass „mit dem Verlust eines Ammoniakmoleküls gleichzeitig Functionswechsel eines Säureesters X eintritt, indem derselbe die Eigenschaft, als Ion zu wirken, verliert“. Schliesslich giebt Verfasser einen Ueberblick über die Beziehungen, welche zwischen den Reihen der Kobalt-, Chrom- und Rhodiumammoniaksalze bestehen. Cr.

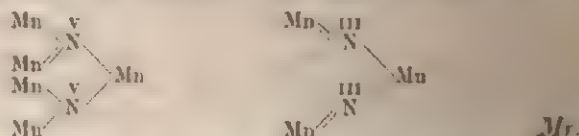
Mangan, Chrom.

L. Voltmer. Elektrolytische Darstellung von Mangan¹⁾. — Die Herstellung des Mangans erfolgt durch Elektrolyse eines geschmolzenen einfachen Haloidsalzes. Dem Elektrolyten werden Manganoxyde zugesetzt. Zur Ausführung des Verfahrens dient ein mit der negativen Elektrizitätsleitung in leitender Verbindung stehendes metallenes Schmelzgefäss, dessen oberer Theil durch eine isolirende Ausfütterung geschützt ist. In den unteren Theil ist ein herausnehmbarer metallener Behälter eingepaßt, welcher als negative Elektrode und zur Aufnahme des ausgeschiedenen Metalles dient. Op.

O. Prelinger. Ueber Stickstoffverbindungen des Mangans²⁾. — Das zu seinen Versuchen verwandte Mangan stellte Verfasser durch Elektrolyse einer Manganchlorurlösung mit Quecksilberkathode dar. Aus dem Quecksilbermangan wurde durch Glühen im Wasserstoffstrom reines Mangan gewonnen. Beim Ueberleiten von trockenem Stickstoff über Manganpulver bei Rothgluth färbte sich das Pulver dunkler und es wurden im Mittel 9,18 Proc. N aufgenommen. Wird dagegen unter raschem Erhitzen, ehe das Quecksilber vollkommen abdestillirt ist, Stickstoff über Manganamalgam geleitet, so tritt die Vereinigung von Stickstoff und Mangan unter Feuererscheinung ein. Versuche, die unter vermindertem Druck und langsamem Abdestilliren des Quecksilbers

¹⁾ D. R.-P. Nr. 74949. — ²⁾ Monatsh. Chem. 15. 391.

ausgeführt wurden, hatten dasselbe Resultat. Die so erhaltenen Proben zeigten denselben Stickstoffgehalt, wie die direct durch Ueberleiten über Mangan erhaltenen Producte. Dieses Nitrid entspricht der Zusammensetzung Mn_3N_2 und ist analog dem von Fremy und Silvestri erhaltenen Eisennitrid Fe_3N_2 . Erhitzt man Mangan oder Manganamalgam im Ammoniakstrom, so tritt kein Ergluhen ein und das erhaltene Nitrid enthielt im Mittel 13,59 Proc. N; es scheint demnach ein Nitrid Mn_3N_2 (14,56 Proc. N) vorzuliegen. Die Abweichung beruht wohl darauf, daß es kaum möglich ist, luft- und wasserdampffreies Ammoniak zu erhalten. Die stickstoffärmere Verbindung nennt Verfasser *Mangannitrür*, die stickstoffreichere *Mangannitrid*. Das Mangannitrid ist ein matt metallisch glänzendes Pulver, das beim Zerreiben schiefergrau wird. Im Wasserstoffstrom bildet es Ammoniak, im Schwefelwasserstoffstrom Schwefelammonium. Mit Chlorammonium tritt folgende Umsetzung ein: $Mn_3N_2 + 20 NH_4Cl = 5 MnCl_2 + 2 H_2NCl + 12 NH_3 + 2 H_2$. Ammoniakentwicklung tritt auch beim Schmelzen mit Aetzkali auf. Das specifische Gewicht beträgt etwa 6,6. Das Mangannitrid ist dunkler, von lebhaftem Metallglanz und sein Pulver nimmt bei Druck leicht Metallglanz an. Gegen obige Reagentien verhält es sich dem Nitrür gleich. Von Säuren wird das Nitrür viel lebhafter angegriffen als das Nitrid. Besonders unterscheiden sich beide Verbindungen durch ihr Verhalten gegen Essigsäure, wodurch nur das Nitrür versetzt wird. Manganstickstoffverbindungen entstehen auch beim Erhitzen von Mangan an der Luft. Dagegen konnte durch Glühen von Oxyduloxyd im Ammoniakstrom, sowie durch Erhitzen von Manganchlorür im Ammoniakstrom kein Stickstoffmangan erhalten werden. Glüht man Mn_3N_2 in einer Stickstoffatmosphäre, so erhält man Mn_3N_2 , während letzteres im Ammoniakstrom in M_3N_2 übergeht. Aus beiden Verbindungen bezw. ihren specifischen Gewichten wird das Atomvolumen des festen Stickstoffs zu 4,56 bezw. 4,42 berechnet. Die Constitution der Verbindungen wird vom Verfasser wie folgt ausgedrückt:



Jos. G. Hibbs und Edgar F. Smith. Einwirkung von metallischem Magnesium auf Mangansalze¹⁾. — Verfasser haben,

¹⁾ Amer. Chem. Soc. J. 16, 822—823.

da hinsichtlich des Verhaltens von metallischem Magnesium gegen Mangansalze Widersprüche existiren, diese Versuche bei Anwesenheit von Alkohol und Aether wiederholt. Zur wässrigen Lösung von Manganchlorid gaben Verfasser Alkohol bezw. Alkohol und Aether und ließen dann Magnesium zwei Stunden einwirken, destillirten nach dieser Zeit die Flüssigkeit ab und analysirten das zurückbleibende Material. Aus diesen Versuchen ergibt sich, daß die Gesamtsumme der Constituenten des analysirten Reductionsproductes geringer ist als die in Arbeit genommene Materialmenge. Wahrscheinlich wird nicht metallisches Mangan, sondern ein hydratisches Oxyd durch Magnesium gefällt und durch Wasser wird dann ein Sesquioxid gebildet. Tr.

Max Gröger. Ueber die Oxydationsstufe des Mangans in den bei der Reduction des Kaliumpermanganats entstehenden Niederschlägen¹⁾. — Verfasser hat zwei Permanganatlösungen von verschiedener Stärke benutzt bei seinen Versuchen; die erste enthielt 10 g, die zweite 1 g Permanganat im Liter. Als Reductionsmittel wurden Natriumsulfit, Natriumthiosulfat, Jodkalium, Kaliumarsenit, Methylalkohol, Aethylalkohol, Amylalkohol, Glycerin, Aceton und Oxalsäure in neutraler bezw. alkalischer Lösung verwendet. Die Menge des Reductionsmittels betrug für 25 ccm der stärkeren Permanganatlösung 1 g, für die zehnmal verdünntere Lösung nur 0,1 g. Die Reduction selbst wurde in einem Kölbchen auf kochendem Wasserbade ausgeführt und der ausgeschiedene Niederschlag auf einem dichten, stärkefreien Filter gesammelt, ausgewaschen, mit Jodkalium und Salzsäure zersetzt und das ausgeschiedene Jod mittelst Natriumthiosulfat titirt. Eine bestimmte Gesetzmäßigkeit ergab sich hierbei nicht; die Oxydationsstufe des Mangans liegt, wie Wright und Menke schon angegeben haben, zwischen den durch die Formeln des Manganoxyds ($Mn_2O_3 + O$) und Manganhyperoxyds ($Mn_2O_2 + O_2$) gegebenen Grenzen. Wird die verdünnte neutrale Permanganatlösung mit den oben erwähnten Alkoholen reducirt, so scheidet sich kein Niederschlag aus, sondern es entsteht eine kaffeebraune Flüssigkeit. Man erhält in diesen speciellen Fällen genau die für das Manganhyperoxyd stimmenden Werthe. Eine durch Aethylalkohol beispielsweise reducirte verdünnte Permanganatlösung hielt sich monatelang unverändert, schied sich aber auf Zusatz einiger Tropfen verdünnter Schwefelsäure, oder Kalilauge, oder Kaliumchloridlösung einen dunkelbraunen Niederschlag aus. Tr.

¹⁾ Chemikerzeit. 18, 743—744

Henri Moissan. Schnelle Darstellung von Chrom und Mangan bei hoher Temperatur¹⁾. — Manganoxydul wird mit Kohlenpulver erhitzt durch einen Strom von 300 Amp. und 60 Volt. Die Reduction ist in fünf bis sechs Minuten beendet. Bei einem Strom von 100 Amp. und 50 Volt dauert die Reaction 10 bis 15 Minuten. Der Kohlenstoffgehalt des Metalls schwankt zwischen 6,35 und 14,59 Proc., so lange kein überschüssiges Oxyd vorhanden ist, in diesem Falle sinkt der Kohlenstoffgehalt auf 4 bis 5 Proc. Letztere Proben vertragen auch das Stehenbleiben in offenen Gefäßen, während die kohlenstoffreicheren durch die Luftfeuchtigkeit zersetzt werden. Es entweichen dabei außer Wasserstoff eine Menge von Kohlenwasserstoffen. — Chromoxyd wird leicht, in 8 bis 10 Minuten, durch einen Strom von 350 Amp. und 50 Volt reducirt. Der Regulus ist glänzend und vollkommen geschmolzen. Schon ein Strom von 30 Amp. und 50 Volt genügt, um in 30 bis 40 Minuten 10 g Chrom abzuscheiden. Der Kohlenstoffgehalt schwankt zwischen 12,85 und 8,60 Proc. Eine Reinigung des Chroms ist möglich durch Umschmelzen im Lichtbogen bei Gegenwart von Chromoxyd. Man erhält so vollkommen kohlenstoffreies Metall. Nicht nur Chromoxyd, sondern auch Chromeisenstein, $\text{Fe}(\text{O}, \text{Cr}_2\text{O}_3)$, läßt sich reduciren. Die erhaltene Chromeisenlegirung kann leicht in Chromat übergeführt werden, indem man sie in geschmolzenes Kaliumnitrat einträgt. Das Eisen bleibt als unlösliches Oxyd zurück, das Alkalichromat wird auf bekannte Weise gewonnen. Verfasser hält diese Methode für technisch durchführbar.

Mr.

Henri Moissan. Neue Untersuchungen über Chrom²⁾. — Während die Chromeisenlegirungen ihrer werthvollen Eigenschaften wegen allgemein bekannt sind, fehlen Untersuchungen über weitere Chromlegirungen. In einem continuirlich arbeitenden elektrischen Ofen hat Verfasser 20 kg metallisches Chrom dargestellt, das ziemlich große Mengen Kohlenstoff enthielt. Chrom und Kohlenstoff bilden zwei definierte Carbide. Das erste entspricht der Formel C_2Cr_3 . Es wurde erhalten, als ein großer Ueberschuß an Kohle mit wenig metallischem Chrom einem Strom von 350 Amp. und 70 Volt ausgesetzt wurde. Der spröde Klumpen enthält fettglänzende Blätter des Carbid, das gegen concentrirte Säuren sehr beständig ist, aber von verdünnter Salzsäure langsam angegriffen wird. Schmelzendes Kaliumcarbonat wirkt wenig ein, während Kaliumnitrat es leicht zerstört. Die Dichte beträgt 5,62.

¹⁾ Bull. soc. chim. 11. 13—15. — ²⁾ Compt. rend. 119, 185—191.

Das Carbid vermag Wasser nicht zu zerlegen. Das zweite Carbid, UCr_2 , wurde als Nebenproduct bei der Chromschmelze in Nadeln erhalten, die oft 1 bis 2 cm lang waren. Die Dichte der Krystalle betrug 6,72. – Die im vorstehenden Referat angegebene Reinigungsmethode hat den Nachtheil, daß wohl ein kohlefreies, aber dabei stark sauerstoffhaltiges Chrom entsteht. Besser ist es daher, Chrom mit Kalk im Ofen zu erhitzen, wobei der größte Theil des Kohlenstoffs als Calciumcarbid gebunden wird. Man erhält so feine, körnige Proben mit 1,5 bis 1,9 Proc. C. In diesem reinen Zustande krystallisirt Chrom sehr gut und zwar in Würfeln und Octaedern. Die vollkommene Reinigung des Chroms durch Kalk gelingt deshalb nicht, da leicht die umgekehrte Reaction eintritt und sich ein Doppeloxyd von Kalk und Chrom bildet. Dies sehr gut krystallisirende Doppeloxyd wurde nun bei möglichst hoher Temperatur zusammengeschmolzen und so kohlefreies, hämmerbares und polirbares Chrom erhalten. So dargestelltes Chrom hat die Dichte 6,92. Im Sauerstoffsgebläse verbrennt Chrom unter Funkspruh zu einem geringen Theile und wird durch die Verbrennungswärme oberflächlich geschmolzen. Im Ofen von Deville und Debray konnte 2 Proc. C haltiges Chrom nicht zum Schmelzen gebracht werden, selbst nicht bei Anwendung eines Knallgasgebläses. Kohlefreies Chrom verbrennt lebhaft vor dem Löthrohr, unter Bildung von Chromoxyd, es ist noch unschmelzbarer als das kohlenstoffhaltige. Dennoch kann es im elektrischen Ofen in lebhaftem Fluß erhalten werden und läßt sich dann sogar gießen. Eisenfreies Chrom ist unmagnetisch. Das Carbid C_2Cr_3 ritzt Quarz sehr leicht, auch Topas, nicht aber Korund; CCr_4 ritzt stark Glas, vermag aber kaum Quarz zu ritzen. Reines Chrom ritzt kaum Glas. Dagegen kann das feinkörnige Chrom mit 1 bis 2 Proc. C nur mit dem Diamanten bearbeitet werden. Das reine polirte Chrom sieht etwas heller aus als Eisen. Das carburirte Chrom ist unangreifbar durch Kohlensäure und Feuchtigkeit. Polirte Flächen von reinem Chrom werden nach einigen Tagen an feuchter Luft matt, ohne jedoch sich dann weiter zu oxydiren. In Sauerstoff auf 2000° erhitzt, tritt lebhafte Verbrennung ein, beim Erwärmen auf 700° in Schwefeldampf tritt unter Erglügen Bildung von Chromsulfid ein. Mit Kohle auf gewöhnlichem Wege erhitzt, wird das Carbid CCr_4 im elektrischen Ofen dagegen C_2Cr_3 erhalten. Chrom und Silicium verbinden sich leicht zu einem Silicid, das gut krystallisirt, sehr hart ist, Rubin ritzt und selbst gegen schmelzende Nitate beständig ist. Das Borid des Chroms ist ebenfalls gut krystallisirt, schwierig

angreifbar und sehr hart. Chlorwasserstoffgas wirkt bei Dunkelrothgluth unter Bildung von krystallisirtem Chromchlorür ein. Verdünnte wässrige Salzsäure greift Chrom in der Kälte wenig an, wohl aber bei Siedehitze. Macht man aber Chrom zum positiven Pol, so geht es auch in verdünnter kalter Salzsäure in Lösung. Mit concentrirter Schwefelsäure entwickelt Chrom schweflige Säure, verdünnte Säure löst es langsam bei Luftausschluss zu blauem Chromosulfat. Rauchende Salpetersäure und Königswasser greifen das Metall nicht an. Sublimat verwandelt pulvriges Chrom in Chromsäure. Bei 1200° im Schwefelwasserstoffstrom erhitzt, tritt Bildung von krystallisirtem Chromsulfid ein. Bei dieser Temperatur wirkt auch CO_2 oberflächlich ein und das Metall bedeckt sich mit Kohle und grünem Oxyd. Kohlenoxyd wird reducirt, gleichzeitig bilden sich Carbide. Geschmolzener Kalisalpeter oder Kaliumchlorat greifen Chrom unter Lichterscheinungen an, dagegen ist geschmolzenes Kalihydrat ohne Wirkung. *Mc.*

A. Piccini. Ueber Lösungen des grünen Chromchlorids, $\text{CrCl}_3 \cdot 6\text{H}_2\text{O}$. — Fügt man zu einer wässrigen Lösung von grünem Chromchlorid eine Silbernitratlösung, so werden nur zwei Drittel des Gesamtchlors anfänglich ausgefällt, während das letzte Drittel nur nach und nach ausfällt, indem die grüne Farbe in Violett übergeht. Fluorsilber hingegen fällt alles Chlor aus und nach dem Filtriren bleibt die Flüssigkeit grünlich und ist nicht mehr trüb. Verfasser hat nun ferner geprüft, wie sich das Chromchlorid in Lösungen von Aethylalkohol, Aceton bezw. Methylalkohol verhält. Als eine äthylalkoholische Lösung von Chromchlorid mit einer solchen von Silbernitrat versetzt wurde, konnte alles Chlor gefällt werden; die Flüssigkeit blieb grün. In alkoholischer Lösung hat Verfasser auch das Molekulargewicht des Chromchlorids ermittelt und dafür $\text{CrCl}_3 \cdot 6\text{H}_2\text{O}$ gefunden. Auch in Acetonlösung konnte das Molekulargewicht nach der ebullioskopischen Methode als normal erkannt werden. Aus Acetonlösung fiel alles Chlor quantitativ aus, während die Flüssigkeit grün blieb; aus methylalkoholischer Lösung ist die Fällung jedoch eine unvollkommene. *Tr.*

A. Recoura. Ueber molekulare Umlagerungen bei einigen Chromderivaten¹⁾. — Das normale Chromhydrat fällt als blaugrüner Körper, $\text{Cr}_2(\text{OH})_6 \cdot \text{aq.}$, aus den Lösungen der violetten Chromsalze aus und vermag 3 Mol. Schwefelsäure zu binden.

¹⁾ Gazz. chim. ital. 24, II, 545–551; L'Orosi 17, 329. — ²⁾ Compt. rend. 118, 1146–1149.

wobei $6 \times 8,2 = 49$ cal. frei werden. Salzsäure entwickelt $6 \times 6,9 = 41$ cal. Versetzt man das vom Verfasser beschriebene basische grüne Chromsulfat ¹⁾ mit einer äquivalenten Menge Alkali, so zerfällt das ausgeschiedene Hydrat sofort nach der Gleichung $\text{CrO} \cdot (\text{OH})_{10} = 2\text{Cr}_2\text{O} \cdot (\text{OH})_4 + \text{H}_2\text{O}$. Dieses Hydrat vermag nur 2 Mol. Schwefelsäure unter Bildung von $\text{Cr}_2\text{O} \cdot (\text{SO}_4)_2$ zu binden. Dabei werden $4 \times 8,75 = 35$ cal. frei. Bei Behandlung mit Salzsäure beträgt die Wärmetönung 28 cal. Die Schwefelsäure des grünen Sulfats ist durch Chlorbaryum in der Kälte nur zum dritten Theile fällbar, die anderen Schwefelsäurereste müssen demnach in der Verbindung maskirt sein. Der grünen Lösung des Sulfats müßte demnach ein Salz der Constitution $[\text{Cr}_4\text{O} \cdot (\text{SO}_4)_4]\text{SO}_4 + \text{H}_2\text{SO}_4$ entsprechen, wohingegen das basische Salz das Salz der Base $[\text{Cr}_4\text{O} \cdot (\text{SO}_4)_4](\text{OH})_2$ wäre. Diese Base läßt sich durch Alkali auch aus dem Sulfat abscheiden, ist löslich und hellgrün. Seine Neutralisationswärme beträgt für Schwefelsäure $2 \times 7,1$ cal. = 14,2 cal. Weiterer Zusatz von Alkali zerstört dieses Hydrat unter Bildung von $\text{Cr}_2\text{O}(\text{OH})_4$. In dem Sulfat $\text{Cr}_2\text{O}(\text{SO}_4)_2$ ist die Schwefelsäure nicht maskirt, während das grüne Sulfat $\text{Cr}_4\text{O} \cdot (\text{SO}_4)_5$ nicht das Salz des Hydrats $\text{Cr}_4\text{O} \cdot (\text{OH})_{10}$, sondern des Hydrats $[\text{Cr}_4\text{O} \cdot (\text{SO}_4)_4] \cdot (\text{OH})_2$ ist, das Verfasser *Sulfochromylhydrat* nennt. — Verfasser hat ferner die Wärmetönungen gemessen, die bei Zusatz von überschüssigem Natron zu den grünen und violetten Salzen bis zur völligen Wiederauflösung eintreten. Es ergab sich die Differenz $88,14 - 126,05 = -37,9$ cal. Beim Uebergang des violetten Sulfats in das grüne werden demnach 37,9 cal. aufgenommen. Unter Einwirkung der Wärme geht das feste violette Sulfat in ein Isomeres über, das seine gesamte Schwefelsäure maskirt enthält. Dieses Isomere verwandelt sich in Lösung in das violette Salz zurück, was mit einer Wärmetönung von + 23,15 cal. pro Mol. verbunden ist. Dem Uebergang des normalen Hydrats in das Hydrat $\text{Cr}_2\text{O} \cdot (\text{OH})_4$ + aq. entspricht nur eine Wärmetönung von 0,2 cal., doch dürfte die wahre Umwandlungswärme größer sein, und nur durch Aenderung des Gehaltes an Hydratwasser herabgedrückt sein. Hiermit stimmt auch die Beobachtung überein, daß die Neutralisationswärme unmittelbar nach der Fällung größer ist und dann mit der Zeit abnimmt. Die Wasserabspaltung kann sogar so weit gehen, daß das Hydroxyd nicht mehr in verdünnten Säuren löslich ist.

Mr.

¹⁾ Compt. rend. 112, 1439.

G. Lunge. Zur Fabrikation von Alkalichromaten¹⁾. — Als Material zur Darstellung von Alkalichromaten dient fast ausschließlich türkischer Chromeisenstein. Die Zerkleinerung geschieht entweder mit Pulvermühlen oder die Steine werden auf pneumatischem Wege zerrieben. Man löscht dann Kalk aus Austerschalen zu Staub und mengt diesen mit Soda und dem Erzpulver und bringt darauf in Flammenöfen, die nahezu auf Weissgluth erhitzt werden. Nach acht Stunden wird die Masse aus dem Ofen gebracht und nun systematisch ausgelaugt. In das heisse Wasser gehen Natriumsalze der Chromsäure, Kohlensäure, Kieselsäure, der Thonerde und etwas Natronhydrat. Man säuert nach dem Eindampfen so weit an, dass das ursprüngliche Chromat, Na_2CrO_4 , in $\text{Na}_2\text{Cr}_2\text{O}_7$ bis auf 2 Proc. des vorhandenen Na_2CrO_4 übergeht. Dann wird die Lauge eingedampft und das zunächst ausgeschiedene Natriumsulfat dem Leblanc-Process zugeführt. Die Pyrochromatlösung wird dann entweder eingedampft zu festem Salz oder durch Zusatz von Chlorkalium in Kaliumbichromat verwandelt.

Mr.

Charles Lepierre. Eisenchromate²⁾. — Fügt man zu einer gekühlten und gesättigten Lösung von Ferrosulfat eine ebenso bereitete Lösung von reiner Chromsäure, so beobachtet man nur eine tief braun gefärbte Flüssigkeit, die sich beim Stehen trübt unter Abscheidung von basischen Ferrisulfaten. Aehnlich verhalten sich Ferrosulfat und Kaliumdichromat. Bringt man jedoch zu einer gekühlten und gesättigten Lösung von Ferrosulfat eine solche von neutralem Kaliumchromat, indem man dafür sorgt, dass das Eisensalz im Ueberschuss vorhanden ist, so entsteht ein brauner Niederschlag, der mit der Zeit wieder verschwindet. Sammelt man diesen rasch, so erweist sich derselbe als eine Verbindung von der Zusammensetzung $2\text{CrO}_3, 6\text{Fe}_2\text{O}_3, 3\text{K}_2\text{O}$, die in lufttrockenem Zustande noch 26 bis 27 Proc. Wasser enthält. Feucht ist dieses Chromat braun, getrocknet glänzend schwarz; von Wasser wird es zersetzt. Wie oben bemerkt, verschwindet dieses Chromat beim Stehen der Flüssigkeit, in der es suspendirt ist, indem basische Ferrisulfate sich bilden. Wird Ferrisulfat mit überschüssigem neutralem Kaliumchromat zusammengebracht, so entsteht eine gelbbraune, mikrokrySTALLINISCHE Fällung von der Formel $3\text{Fe}_2\text{O}_3, 4\text{K}_2\text{CrO}_4$. Das lufttrockene Salz enthält 22,7 Proc. Wasser und wird besonders von heissem Wasser leicht angegriffen.

¹⁾ Zeitschr. angew. Chem. 1894, S. 100—102. — ²⁾ Bull. soc. chim. [3] 11, 1115—1128, Compt. rend. 119, 1215—1218.

Läfst man auf überschüssiges Eisenammoniumsulfat das neutrale chromsaure Salz einwirken, so entsteht ein basisches Chromat; wird das chromsaure Salz im Ueberschufs angewandt, so bildet sich die Verbindung $10\text{CrO}_3 \cdot 6\text{Fe}_2\text{O}_3 \cdot 7\text{K}_2\text{O}$. Auch dieser Körper wird von Wasser leicht angegriffen. Ueberschüssiges Natriumchromat liefert mit Ferrosulfat das Chromat $5\text{CrO}_3 \cdot 7\text{Fe}_2\text{O}_3 \cdot 4\text{Na}_2\text{O}$, in analoger Weise entsteht bei Anwendung von überschüssigem Ammoniumchromat die Verbindung $5\text{Fe}_2\text{O}_3 \cdot 6(\text{NH}_4)_2\text{CrO}_4$. Eisenchlorid und Chromsäure reagiren in der Kälte nicht. Ueberschüssiges Eisenchlorid und neutrales Kaliumchromat geben nach längerem Stehen rothe Krystalle von der Formel $11\text{CrO}_3 \cdot 3\text{Fe}_2\text{O}_3 \cdot 4\text{K}_2\text{O} \cdot 9\text{H}_2\text{O}$. Bei Anwendung von Kaliumchromat im Ueberschufs entsteht eine orangegelbe, mikrokrySTALLINISCHE Fällung von der Zusammensetzung $9\text{CrO}_3 \cdot 2\text{Fe}_2\text{O}_3 \cdot 6\text{K}_2\text{O} \cdot 10\text{H}_2\text{O}$. Ist Eisenchlorid gegenüber dem Chromat nur in geringem Ueberschufs vorhanden, so bildet sich das Chromat $10\text{CrO}_3 \cdot 2\text{Fe}_2\text{O}_3 \cdot 6\text{K}_2\text{O} \cdot 5\text{H}_2\text{O}$. Mischt man gleiche Volumina zweier gesättigten Lösungen von Eisenchlorid und Kaliumdichromat in der Kälte, so scheiden sich nach mehrtägigem Stehen rubinrothe hexagonale Krystalle von der Formel $7\text{CrO}_3 \cdot 2\text{Fe}_2\text{O}_3 \cdot 2\text{K}_2\text{O} \cdot 7\text{H}_2\text{O}$ ab. Bei einem grossen Ueberschufs von Dichromat entstehen nach mehreren Tagen rothe Krystalle von der Zusammensetzung $4\text{CrO}_3 \cdot \text{Fe}_2\text{O}_3 \cdot \text{K}_2\text{O} \cdot 4\text{H}_2\text{O}$. Ist hingegen Eisenchlorid in grossem Ueberschufs vorhanden, so entsteht $\text{CrO}_3 \cdot \text{KCl}$, ein orangegelber, krystallinischer Niederschlag. Als Verfasser in ein mit einem verticalen Rifs versehenes Glas eine Kaliumdichromatlösung brachte und dieses Glas in ein anderes Glas eintauchte, das Eisenchlorid enthielt, hatten sich nach Ablauf mehrerer Wochen rothe prismatische Krystalle gebildet von der Formel $6\text{CrO}_3 \cdot 2\text{Fe}_2\text{O}_3 \cdot 3\text{K}_2\text{O}$. Läfst man Eisenchlorid mit überschüssigem Kaliumdichromat mehrere Stunden kochen, so erhält man ein gelbrothes Chromat, dessen Entstehung bereits bekannt und für das Verfasser die Formel $16\text{CrO}_3 \cdot 4\text{Fe}_2\text{O}_3 \cdot 5\text{K}_2\text{O} \cdot 8\text{H}_2\text{O}$ feststellte. Eisenchlorid und Ammoniumdichromat lieferten in der Kälte die Verbindung $4\text{CrO}_3 \cdot \text{Fe}_2\text{O}_3 \cdot (\text{NH}_4)_2\text{O} \cdot 4\text{H}_2\text{O}$. Tr.

G. Herfeldt. Zur Kenntnifs des chlorchromsauren Kalis¹⁾. — Chlorchromsaures Kalium gewinnt man am besten durch Lösen von 3 Thln. Kaliumbichromat in 4 Thln. concentrirter Salzsäure unter gelindem Erwärmen. Das Salz wird im Exsiccator getrocknet. Von Heinze ist behauptet worden, dafs dasselbe Chlor bei

¹⁾ J. pr. Chem. 50, 93.

100° abgeben werde, diesbezügliche Versuche lehrten jedoch, daß die Chlorabgabe erst bei 250° erfolgt. Es vermag daher auch nicht chlorirend zu wirken, sondern nur oxydirend. Ueberhaupt verläuft der Proceß der Chlorabgabe sehr complicirt. Die Chlorabgabe hört nach Erhitzen auf 500 bis 600° auf, wobei etwa 12 Proc. des Chlors abgegeben werden. Das übrige Chlor befindet sich im wässerigen Auszuge des Rückstandes. Auf organische Körper wirkt Kaliumchlorochromat zum Theil sehr heftig ein. In Benzoylchlorid löst sich das Salz rothgelb, beim Kochen wird die Lösung grün. Der grüne Körper löst sich in Benzol und wird aus dieser Lösung durch Ligroin gefällt. Beim Erhitzen mit starker Salzsäure wird Benzoesäure gebildet. Es gelang jedoch nicht, die Zusammensetzung der grünen Substanz festzustellen. Aehnlich waren die Resultate bei den krystallisirten Verbindungen mit Pyridin und Chinolin. Concentrirte Schwefelsäure liefert mit Kaliumchlorochromat Chromoxychlorid. Versuche, das Anhydrid der Chlorchromsäure darzustellen nach der Gleichung: $\text{CrO}_3 + \text{CrO}_2\text{Cl}_2 \rightarrow \text{Cr}_2\text{O}_5\text{Cl}_2$, führten zu einem rothgelben Körper, der sich mit organischen Substanzen explosionsartig umsetzte *fr.*

S. Löwenthal. Zur Kenntniss der chlor- und amidochromsauren Salze¹⁾. — Durch Einwirkung von Chromacichlorid auf Salmiak erhielt Verfasser eine leuchtend rothe Verbindung, die gut krystallisirt und sich in Wasser mit eigenthümlichem Knistern löst. Sie ist identisch mit dem chlorchromsauren Ammonium von Peligot. Chromacichlorid wirkt auf Lithiumchromat in wässriger Lösung unter Bildung von *chlorchromsaurem Lithium* ein. Die Krystallisation geschieht in essigsaurer Lösung unter Eiskühlung. Das gelbrothe blätterige Salz krystallisirt monosymmetrisch ($a:b:c = 1,1589:1:2$, $\beta = 64^\circ 50'$). Chlorchromsaures Magnesium wurde erhalten, als eine concentrirte Magnesiumchloridlösung mit dem Acichlorid in einer Kältemischung zusammengebracht wurde. Man erhält es auch, wenn gesättigte Magnesiumchloridlösung mit fester Chromsäure und etwas Eisessig in der Kälte versetzt wurde. Das rothe bis rothbraune Salz enthält 5 Mol. H_2O und krystallisirt nicht besonders. Das Zinkchlorochromat ist gelbroth, mikrokrystallin, sehr hygroskopisch und zersetzt sich sehr leicht. Die Chlorochromate des Strontiums und Bariums konnten nicht erhalten werden. Aus diesen Chlorochromaten glaubt Verfasser durch Behandlung mit Ammoniak die entsprechenden Amidochromate erhalten zu haben und beschreibt

¹⁾ Zeitschr. anorg. Chem. 8, 365–368.

ein Kalium-, Lithium- und Magnesiumamidochromat. Bezüglich dieser letztgenannten Verbindungen muß jedoch auf die folgende Kritik von Wyrouboff hingewiesen werden. *Mr.*

G. Wyrouboff. Einige Bemerkungen über Amidochromate¹⁾. — Heintze²⁾ hat ein Amidochromat, $\text{CrO}_3(\text{NH}_2)\text{K}$, beschrieben, das er aus Kaliumchlorochromat durch Einwirkung von Ammoniak erhalten haben wollte, daneben entstand in geringer Menge ein unlöslicher Körper, den Heintze als $\text{Cr}_2\text{O}_3\cdot\text{NH}_3$ ansah. Verfasser weist nach, daß das Amidochromat fast reines Kaliumbichromat ist und daß das Nitrobichromat von Daimstädter nichts weiter als das Tetrachromat des Kaliums ist. Ebenso beruhen die Angaben von Löwenthal³⁾, der Ammoniumamidochromat und Lithiumamidochromat erhalten haben wollte, auf schweren Irrthümern. Die Analysen und die Krystallform des Ammoniumamidochromats stimmen genau mit den Zahlen für das Ammoniumbichromat überein. Das angebliche Lithiumsalz der Amidochromsäure ist nichts anderes als $\text{K}_2\text{Cr}_2\text{O}_7$. Die Entstehung des Kaliumsalzes schreibt Verfasser dem Kaliumgehalt der Handelslithiumpräparate zu. Jener unlösliche Körper erwies sich als $3\text{CrO}_3\cdot 4\text{Cr}_2\text{O}_3 + \text{aq.}$ Er löst sich nicht in Wasser, wohl aber in Bichromatlösung auf und ertheilt dieser eine eigenthümliche granatrothe Färbung, die Heintze veranlaßte, eine neue Verbindung anzunehmen. *Mr.*

Maurice Blondel. Ueber einige Phosphochromate⁴⁾. — Die Phosphorsäure bildet mit der Chromsäure verschiedene complexe Säuren, von denen Verfasser die Kaliumsalze $\text{P}_2\text{O}_5\cdot 8\text{CrO}_3\cdot 3\text{K}_2\text{O}$ und $\text{P}_2\text{O}_5\cdot 4\text{CrO}_3\cdot 2\text{K}_2\text{O}\cdot \text{H}_2\text{O}$ dargestellt hat. Das erste dieser Salze krystallisirt in Prismen, das zweite in Nadeln. Behandelt man die kurzen Prismen mit Wasser oder gesättigter Kaliumbichromatlösung, so verwandeln sie sich vor ihrer vollkommenen Lösung zunächst in Nadeln. Aus ein und derselben Lösung krystallisirt zunächst das chromsäurereichere, dann, wenn nämlich die Lösung an Chromsäure arm geworden ist, das zweite Salz aus. Nimmt man eine Lösung, welche auf 1 Aeq. Phosphorsäure und 2 Aeq. Chromsäure $\frac{3}{4}$ Aeq. Natriumcarbonat enthält, so fällt augenblicklich das zweite Salz aus. Setzt man jedoch vor dem Zusatz des Alkalis Krystalle des Salzes $\text{P}_2\text{O}_5\cdot 8\text{CrO}_3\cdot 3\text{H}_2\text{O}$ ein, so erhält man dieses Salz, das jedoch dann bald in das chromsäurereichere Salz übergeht. Ähnliche complexe Säuren bilden auch die Schwefelsäure und die Molybdänsäure. *Mr.*

¹⁾ Bull. soc. chim. 11. 845. 853. — ²⁾ J. pr. Chem. [2] 4. 58 und 211. — ³⁾ Zeitschr. anorg. Chem. 6. 355. 1894. — ⁴⁾ Compt. rend. 118. 195.

von 1 Proc. Mo macht es rothbrüchig. Eine Theilen Eisen und Molybdän schmilzt zur Darstellung seiner Legierungen mit dem Genossen in einem Fletcher-Ofen, bis die Schmelze vollkommen regulus die freien Metalle und entzogen, wobei auf 1 Mol. Mo Molybdänsäure löst aus den gegenwärtigen Menge Eisen geläng jedoch nicht. In der ganzen Menge geht aus den Gegenwart von den gebundenen. Der Phosphor. Die Wolframlegierungen verhältniß in dem stabilen angewandten Atomverhältniß läßt sich die Trennungsmethode an, so daß über das Atomverhältniß im stabilen Rückstande nichts befaßt die Legierungen auf als Lösungen. eines Ueberschusses des einen Metalles wirkt Lösungsmittel für die durch die Valenz und Affinität Verbindungen der Metalle. Die Homogenität dieser aber auf beim Uebergang in den festen Zustand. In der Fall eintreten, daß eine der Kryohydratbildung Scheidung von complexen Molekülen erfolgt, oder daß Lösung bestimmte Verbindungen analog den Salzen, isolirt werden können, ausscheiden. Vielleicht entstehen instabilen Verbindungen den Kryohydraten. Für von bestimmten Verbindungen spricht auch die contraction bei den Legierungen.

Mr. Smith und G. W. Sargent. Ueber die Einwirkungen phosphorpentachlorid auf Molybdänsäure 1). — Schiff hat Wirkung von Phosphorpentachlorid auf Wolframsäure untersucht Oxychloride. Teclu konnte auf ähnlichem das Hexachlorid des Wolframs darstellen. Versuche ebenso Molybdänhexachlorid darzustellen, waren er-

Wolfram, Molybdän, Uran.

Henri Moissan. Darstellung von schwer schmelzbaren Metallen: Wolfram, Molybdän und Vanadin im elektrischen Ofen.¹⁾ — Verfasser benutzt den elektrischen Ofen, um aus einem Gemisch von Wolframsäure und Kohle unter Wirkung eines Stromes von 350 Amp. und 70 Volt Wolframmetall zu erhalten. Wodurch man mit einem grossen Ueberschuss des Oxyds arbeitet, erhält man sofort reines Metall, aber es ist trotzdem vorzuziehen, zunächst carbidhaltiges Material darzustellen, da dieses leichter schmilzt und leicht durch Umschmelzen in Gegenwart von Oxyd gereinigt werden kann. Das sehr harte, glänzende Metall hat die Dichte 18,7. Die carbidhaltigen Proben enthalten 0,64 bis 6,33 Proc. C, zeigen glänzenden Bruch und sind an der Luft beständig. Arbeitet man bei Gegenwart von überschüssiger Kohle und einem Strome von 1000 Amp. und 70 Volt, so löst das Metall weit mehr Kohlenstoff, bis 18 Proc., auf. — Wird aus Ammoniummolybdat bereitetes Molybdänoxyd mit Zuckerkohle im Ofen einem Strome von 350 Amp. und 70 Volt ausgesetzt, so erhält man ein sehr hartes Molybdäncarbid von glänzendem Bruch, das Glas und Stahl ritzt und luftbeständig ist. Die Dichte beträgt 8,6. Es enthält etwa 10 Proc. C. — Vanadiumoxyd, aus Ammoniummetavanadat dargestellt, wird, mit Zuckerkohle gemengt, im elektrischen Lichtbogen unter gleichen Stromverhältnissen schwieriger als die vorigen reducirt. Dagegen wird die vollkommene Reduction mit einem Strome von 1200 Amp. und 80 bis 90 Volt erreicht. Das entstandene Carbid enthält 17 bis 25 Proc. C und besitzt die Dichte 5,3. Bemerkenswerth ist, dass bei Temperatursteigerung auch der Kohlenstoffgehalt der Carbide wächst. *Mr.*

J. S. de Benneville. Molybdän-, Wolfram- und Chromeisenlegierungen als Lösungen²⁾. — Verfasser untersuchte die Legierungen besonders in Rücksicht auf die Einwirkung von Solventien. Die freien Metalle — mit Ausnahme von Chrom — lösen sich sämmtlich in Silbernitratlösung unter Abscheidung von metallischem Silber. Ebenso werden durch dieses Mittel die instabilen Legierungen entfernt, so dass der Rückstand der beständigen Legierungen dann weiter verarbeitet werden kann. Mit Molybdän sind bereits eine Reihe von Legierungen bekannt, die sämmtlich einen niedrigeren Schmelzpunkt besitzen als das Metall selbst. Schon ein Zusatz von 2 Proc. Molybdän macht das Eisen hart und

¹⁾ Bull. soc. chim. 11, 857—859. — ²⁾ Amer. Chem. Soc. J. 16, 735—757.

brüchig. Ein Zusatz von 1 Proc. Mo macht es rothbrüchig. Eine Mischung von gleichen Theilen Eisen und Molybdän schmilzt schon vor dem Lothrohr. Zur Darstellung seiner Legirungen schmilzt Verfasser Gufseisen mit dem Genossen in einem Fletcher-Ofen bei Weissgluth zusammen, bis die Schmelze vollkommen flüssig ist. Darauf werden dem Regulus die freien Metalle und die lose verbundenen Legirungen entzogen, wobei auf 1 Mol. Mo 6 Mol. Ag ausgeschieden werden. Salzsäure löst aus den gegen Silbernitrat bestandigen Legirungen eine beträchtliche Menge Eisen heraus, eine Fractionirung des Rückstandes gelang jedoch nicht. Das Atomverhältniß von Eisen und Molybdän in der ganzen Legirung schwankte zwischen 3,5:1 bis 14:1. Es geht aus den Daten hervor, daß mit steigendem Eisengehalte auch die Menge des Eisens im unlöslichen Rückstande steigt. Die Gegenwart von Molybdän vermindert den Siliciumgehalt und den gebundenen Kohlenstoff, während der graphitische zunimmt. Der Phosphorgehalt wird dagegen nicht verändert. Die Wolframlegirungen sind viel heterogener und das Atomverhältniß in dem stabilen Rückstand ist unabhängig von dem angewandten Atomverhältniß der Componenten. Beim Chrom läßt sich die Trennungsmethode mit Silbernitrat nicht anwenden, so daß über das Atomverhältniß von Chrom und Eisen im stabilen Rückstande nichts bekannt ist. Verfasser faßt die Legirungen auf als Lösungen. Bei Gegenwart eines Ueberschusses des einen Metalles wirkt dieses als Lösungsmittel für die durch die Valenz und Affinität möglichen Verbindungen der Metalle. Die Homogenität dieser Lösung hört aber auf beim Uebergang in den festen Zustand. Es kann dann der Fall eintreten, daß eine der Kryohydrathbildung analoge Ausscheidung von complexen Molekülen erfolgt, oder daß sich aus der Lösung bestimmte Verbindungen analog den Salzen, wie sie auch isolirt werden können, ausscheiden. Vielleicht entsprechen die unstabilen Verbindungen den Kryohydraten. Für die Bildung von bestimmten Verbindungen spricht auch die beobachtete Contraction bei den Legirungen. *Mr.*

E. F. Smith und G. W. Sargent. Ueber die Einwirkungen von Phosphorpentachlorid auf Molybdänsäure¹⁾. — Schiff hat die Einwirkung von Phosphorpentachlorid auf Wolframsäure untersucht und erhielt Oxychloride. Teclu konnte auf ähnlichem Wege dann das Hexachlorid des Wolframs darstellen. Versuche von Piutti, ebenso Molybdänhexachlorid darzustellen, waren er-

¹⁾ Zeitschr. anorg. Chem. 6, 384–385; Amer. Chem. Soc. J. 16, 425–427.

gebnisslos, indem Piutti nur grünliche Krystalle der Formel $\text{MoCl}_5\text{POCl}_3$ erhielt. Verfasser haben ebenfalls Molybdänsäure mit überschüssigem Phosphorpentachlorid im Rohr auf 175° erhitzt. Nach dem Abkühlen wurde durch die Röhre ein Chlorstrom¹⁾ geleitet und erwärmt. Zunächst geht Phosphoroxychlorid über, dann grünlich schwarze Krystalle. Diese sind leicht zersetzlich und entsprechen der Formel $\text{MoCl}_5 \cdot \text{P}_2\text{Cl}_5$. Mr.

Hugo Schiff. Phosphorpentachlorid und Wolframtrioxyd²⁾. — Verfasser bemerkt zu der vorstehenden Abhandlung, dass die abweichenden Resultate von Teclu lediglich auf einer veränderten Versuchsanordnung beruhen. Schiff arbeitete in offenen Gefässen bei gelinder Wärme, Teclu erhitzte dagegen in geschlossenen Röhren. Mr.

E. F. Smith und H. C. Burr. Ein Versuch zur Darstellung von Molybdänhexachlorid³⁾. — Wie aus den vorhergehenden Referaten ersichtlich ist, erhält man bei Behandlung von Molybdäntrioxyd mit Phosphorpentachlorid entweder das Oxychlorid $\text{MoCl}_5\text{POCl}_3$ oder $\text{MoCl}_5 \cdot \text{P}_2\text{Cl}_5$. Es schien immerhin möglich, von theilweise bereits halogenisirten Molybdänverbindungen aus zu dem Hexachlorid gelangen zu können. Zu dem Zwecke wurde Molybdänylchlorid, MoO_2Cl_2 , mit Phosphorpentachlorid in einer Chloratmosphäre im geschlossenen Rohre auf 170° erhitzt. Nach dem Abkühlen enthielt die Röhre grünschwarze Krystalle, die von anhaftendem Phosphoroxychlorid durch Destillation im Chlorstrom befreit wurden und mehr auf das Pentachlorid als auf das Hexachlorid stimmende Analysenwerthe gaben. Mit Siliciumtetrachlorid wurde ebenfalls eine krystalline Masse erhalten, die sich im Kohlensäurestrom unter Zurücklassung weisser Kieselsäure destillirte, lief, die vorhergehenden braunen Dämpfe destillirten sich leicht und gaben Werthe, die zwischen den für das Tetra- und Pentachlorid berechneten lagen. Beim Erhitzen von mit Zuckerkohle gemischtem, fein vertheiltem Molybdän mit Chlor wurde das Pentachlorid erhalten. Dagegen reducirt Molybdän Ferrichloridlösung und muss in dieser Lösung, sei es für sich oder als Doppelverbindung, sechswerthig auftreten, was aus der Menge des reducirten Eisens hervorgeht. Mr.

Edgar Smith und O. L. Shinn. Ueber die Einwirkung von Molybdändioxyd auf Silbersalze⁴⁾. — Während schon bekannt

¹⁾ Piutti arbeitete im Kohlensäureströme. — ²⁾ Zeitschr. anorg. Chem. 7. 90. — ³⁾ Amer. Chem. Soc. J. 16. 577–578. — ⁴⁾ Zeitschr. anorg. Chem. 7. 47–49, Amer. Chem. Soc. J. 16. 569.

war, daß metallisches Molybdän Silber aus seinen Lösungen niederschlagen vermag, war dies beim Molybdändioxyd noch nicht beobachtet worden. Es scheint, als ob 1 Mol. Molybdändioxyd 2 At. Silber in Freiheit setzen kann. Ähnlich wie Molybdänoxyd verhalten sich Wolfrändioxyd, das außerdem Kupfer- und Quecksilberdioxydsalze zu reduciren vermag, und Urändioxyd. Ähnlich verfällt auch das schweflignsaure Silber in gelinder Wärme unter Abscheidung von metallischem Silber. *Mr.*

Matteo Spica. Analyse eines Molybdänminerals und über die Existenz eines Ferrotetramolybdat¹⁾. — Verfasser hat ein in den reichen Erzlagerstätten von Stilo in Calabrien vorkommendes Mineral einer genauen chemischen Untersuchung unterworfen. Der weiß gefärbte Theil der Gangart, sowie eine rothe Partie bestanden fast ganz aus Kieselsäure. Die rothe Färbung wurde durch wenig Eisen veranlaßt. Eingesprengt in diese Massen konnten eine braune, metallische Masse als Molybdänbisulfid, MoS_2 , sowie ferner krystallisirter Pyrit nachgewiesen werden. Neben dem Pyrit kommt etwas Chalkopyrit vor. Ein grünliches Mineral der Stufe erwies sich als Biotit. In Form einer gelblichen, amorphen, ziemlich weichen Kruste, die in verdünnter Salzsäure wenig löslich war, dagegen leicht löslich in Salpetersäure, kam ein uranhaltiges Mineral vor, das nach der Analyse ein Trimolybdat des Urans darstellte. Außerdem wurde noch ein fluorhaltiges, hauptsächlich Aluminium und Kalium enthaltendes Silicat aufgefunden. Eine rothliche Substanz, die als Anhang auf der Gangart saß, enthielt hauptsächlich einen weissen, körnigen Körper, der der Formel $\text{FeO} \cdot 4 \text{MO}_3 \cdot 8 \text{H}_2\text{O}$ entsprechend zusammengesetzt war. *Mr.*

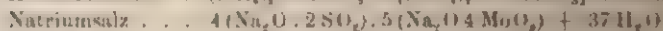
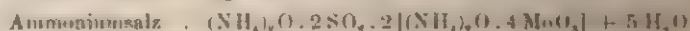
A. Rosenheim. Ueber schweflignmolybdänsaure Salze²⁾. — Verfasser ist in Wiederholung der Versuche von Péchard³⁾ zu ganz abweichenden Resultaten gelangt. Zur Darstellung von schweflignmolybdänsaurem Ammon leitet man in eine concentrirte Lösung von molybdänsaurem Ammon schweflige Säure ein. Zunächst tritt Gelbfärbung ein, die dann allmählich in Blau übergeht. Wird keine SO_2 mehr absorhirt, so scheiden sich weisse, octaëdrische Krystalle bezw. bei weiterem Concentriren feste Krystallkrusten aus, die in kaltem Wasser wenig, in warmem leicht löslich sind. Bei der Lösung in der Wärme wird ein Theil der schweflign Säure abgespalten, daher muß man bei der Um-

¹⁾ Gazz. chim. ital. 24. 1. 97—111. — ²⁾ Zeitschr. anorg. Chem. 7. 176—184. — ³⁾ Compt. rend. 116. 1441—1444; Ann. chim. phys. [6] 30. 395.

krystallisation schwellige Säure zusetzen. Während aber Péchard seinem Ammonsalze die Formel $4(\text{NH}_4)_2\text{O} \cdot 3\text{SO}_2 \cdot 10\text{MoO}_3 + 6\text{H}_2\text{O}$ zuschreibt, konnte Verfasser nur ein Salz der Formel $3(\text{NH}_4)_2\text{O} \cdot 2\text{SO}_2 \cdot 8\text{MoO}_3 + 5\text{H}_2\text{O}$ erhalten. Auch bei Variation der Bildungsbedingungen wurden Abweichungen von dieser Formel nicht beobachtet. In Anlehnung an die Anschauungen Friedheim's über die complexen Säuren drückt Verfasser die Bildung der Schwefligmolybdänsäure in folgender Reaktionsgleichung aus:

$$2[5(\text{NH}_4)_2\text{O} \cdot 12\text{MoO}_3] + 8\text{SO}_2 = 6[(\text{NH}_4)_2\text{O} \cdot 4\text{MoO}_3] + 4[(\text{NH}_4)_2\text{O} \cdot 2\text{SO}_2] + 6[(\text{NH}_4)_2\text{O} \cdot 4\text{MoO}_3] + 4[(\text{NH}_4)_2\text{O} \cdot 2\text{SO}_2] = 3 \cdot [3(\text{NH}_4)_2\text{O} \cdot 8\text{MoO}_3 \cdot 2\text{SO}_2] + (\text{NH}_4)_2\text{O} \cdot 2\text{SO}_2.$$

Zur Darstellung des Kaliumsalzes wurde das Salz $5\text{K}_2\text{O} \cdot 12\text{MoO}_3 + 7\text{H}_2\text{O}$ benutzt. Man erhält dieses Kaliumsalz, wenn die Schmelze von 1 Mol. MoO₃ und 1 Mol. K₂CO₃ in concentrirter Lösung mit Salpetersäure neutralisirt und die prismatischen Krystalle sofort, um Zersetzung mit Kaliumtrimolybdat zu verhüten, abgesaugt werden. Beim Einleiten von SO₂ in eine Suspension des Salzes in Wasser scheiden sich gelbliche, prismatische, nicht umkrystallisirbare Krystalle aus, die der Formel $4\text{K}_2\text{O} \cdot 4\text{SO}_2 \cdot 9\text{MoO}_3 + 5\text{H}_2\text{O}$ entsprechen, während Péchard für sein Salz die Zusammensetzung $4\text{K}_2\text{O} \cdot 3\text{SO}_2 \cdot 10\text{MoO}_3 + 10\text{H}_2\text{O}$ angiebt. Als Ausgangsmaterial zur Darstellung des Natriumsalzes diente das sehr beständige Salz $5\text{Na}_2\text{O} \cdot 12\text{MoO}_3 + 38\text{H}_2\text{O}$, das, dem Kaliumsalz analog dargestellt, in glänzenden, zolllangen Krystallen erhalten wurde. Beim Einleiten von SO₂ schied sich ein Salz der Formel $9\text{Na}_2\text{O} \cdot 8\text{SO}_2 \cdot 20\text{MoO}_3 + 37\text{H}_2\text{O}$ aus (Péchard $2\text{Na}_2\text{O} \cdot 3\text{SO}_2 \cdot 10\text{MoO}_3 + 16\text{H}_2\text{O}$). — Bei der Bildung dieser *condensirten* Säuren wird dem Molybdat in erster Phase die Basis entzogen, es bildet sich Bisulfit, das sich mit dem sauren Molybdat in wechselnden Mengen vermischt. Von dieser Anschauung aus formuliren sich die Salze wie folgt:



Für das Kaliumsalz wird zunächst Bildung von Kaliumtrimolybdat und Condensirung mit einem hypothetischen Tetrasulfit angenommen: $(\text{K}_2\text{O} \cdot 4 \cdot \text{SO}_2) \cdot 3(\text{K}_2\text{O} \cdot 3\text{MoO}_3) + 5\text{H}_2\text{O}$. Im Uebrigen scheinen auch die Wolframate und sogar gewisse Vanadate sich mit SO₂ zu complexen Säuren von allerdings geringer Beständigkeit zu condensiren.

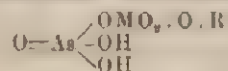
Mr.

Igo Alvisi. Ueber unorganische complexe Säuren. Vorläufige Mittheilung¹⁾. — Löst man auf Phosphormolybdänsäure

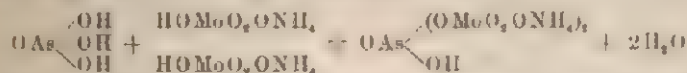
¹⁾ Accad. dei Lincei Rend. 3, 494—498; Gazz. chim. ital. 24, 1, 523.

($P_2O_5, 24 MoO_3, 61 H_2O$) oder sein Ammoniumsalz Fluorwasserstoff einwirken, so erhält man einen krystallinischen Niederschlag. Die kleinen quadratischen Krystalle sind farblos und entsprechen der Zusammensetzung $MoO_3.Fl_2.NH_4.Fl$. Wirkt auf die octaedrische Phosphormolybdänsäure, die leicht durch Behandeln des gelben, phosphormolybdänsauren Ammoniums erhalten wird, wenn dieses Salz mit Königswasser behandelt und dann aus Wasser umkrystallisiert wird, Kaliumfluorid ein, so erhält man ebenfalls einen weissen, krystallinischen Niederschlag, der in seinem Aussehen den Borsäurekrystallen ähnlich ist und der Formel $MoO_3.Fl_2.2 KFl.H_2O$ entspricht. Es ist demnach die Reaction verlaufen: $P_2O_5, 24 MoO_3, 61 H_2O + 48 KHF_2 = 24 MoO_3.Fl_2.2 KFl.H_2O + 2 H_3PO_4 + 58 aq.$ Mit Ammoniumfluorid entsteht ein weisses, wasserunlösliches Pulver, das der Formel $MoO_3.2.NH_4.Fl$ entspricht. In der Mutterlauge dagegen befindet sich das Salz $MoO_3.Fl_2.2 NH_4.Fl$. *Mr.*

C. Friedheim. Beiträge zur Kenntniss complexer Säuren. IX. Mittheilung. Ueber Ammoniumverbindungen der sogenannten Phosphor- und Arsenmolybdänsäuren¹⁾. - Lässt man 1 Mol. MoO_3 auf 1 Mol. Monokalium- oder Natriumarsenat einwirken, so entstehen schön krystallisirte Verbindungen vom Typus



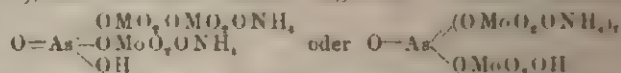
Auch mit 1 Mol. Monoammoniumarsenat geht 1 Mol. MoO_3 glatt in Lösung; der beim Concentriren erhaltene weisse Körper hat die Zusammensetzung $(NH_4)_2O.As_2O_3.2 MoO_3 + 6 H_2O$, entspricht also vollkommen dem obigen Typus. Entsprechenden Verlauf nimmt die Reaction, wenn man Arsensäure auf Ammoniummolybdat einwirken lässt. Daneben werden, wie auch bei der ersten Reaction, weisse Nebenproducte erhalten, deren Entstehung im Sinne folgender Gleichungen gedeutet wird:



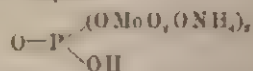
Bei Einwirkung von 2 Mol. MoO_3 auf 1 Mol. $(NH_4)_2HAsO_4$ wurden Producte wechselnder Zusammensetzung erhalten. Dagegen entstand glatt aus 3 Mol. MoO_3 und 1 Mol. $(NH_4)_2AsO_4$ die Verbindung $O-As(OMoO_3.ONH_4)_3 + 4 aq.$, die als mikrokrySTALLINISCHES Pulver erhalten wird. Bringt man Ammoniummolybdat mit Ammoniumarsenat im Verhältniss 1:7 zusammen, so scheidet

¹⁾ Zeitschr. anorg. Chem. 6, 27-34.

sich ein Niederschlag aus, während im Filtrat das Salz $O=As(O)(MoO_2)(ONH_4)$ vorhanden ist. Wendet man das Verhältniß $MoO_3:As_2O_5 = 14:1$ an, so erhält man die Verbindung von Gibb's¹⁾, der eine der beiden folgenden Formeln zukommt:



Die Entstehung der entsprechenden Phosphorsäureverbindung aus je 1 Mol. MoO_3 und Monoammoniumphosphat konnte wohl dargethan werden, aber das Salz konnte nicht ganz rein erhalten werden. Aus 2 Mol. MoO_3 und 1 Mol. Monoammoniumphosphat wurde neben der bekannten Verbindung $5(NH_4)_2O \cdot 2P_2O_5 \cdot 10MoO_3 \cdot 14aq.$ (oder $7aq.$) der Körper



erhalten. Bei Einwirkung von Ammoniummolybdat auf Ammoniumphosphat bildet sich nicht immer das Salz $3(NH_4)_2O \cdot P_2O_5 \cdot 5MoO_3 \cdot 7aq.$, sondern man erhält unter gewissen Bedingungen andere Substanzen, die aber Gemenge sein dürften. *Me.*

F. Kehrman und E. Böhm. Zur Kenntniss der complexen anorganischen Säuren. VI. Mittheilung²⁾. — Die normalen, gelb gefärbten Salze der Phosphorluteowolframsäure liefern durch Behandlung mit schwachen Alkalien eine neue farblose Salzreihe, $5RO \cdot P_2O_5 \cdot 17WO_3$, indem unter Addition von $2RO$ ein WO_3 abgespalten wird. Zwischen beiden Salzreihen besteht demnach eine genetische Beziehung, die in folgender Gleichung zum Ausdruck kommt: $3K_2O \cdot P_2O_5 \cdot 18WO_3 + 3K_2O = 5K_2O \cdot P_2O_5 \cdot 17WO_3 + K_2WO_4$. Dagegen bedarf die Rückverwandlung der farblosen Salze der 17. Reihe in die Luteosalze durch Säuren noch der Aufklärung, da diese Rückverwandlung durch Zwischenproducte geht, die noch nicht aufgeklärt sind. Zur Darstellung des Ammoniumsalzes der 17. Reihe, $5(NH_4)_2O \cdot P_2O_5 \cdot 17WO_3 + 16H_2O$, wird die Verbindung $3(NH_4)_2O \cdot P_2O_5 \cdot 18WO_3 \cdot 14H_2O$ mit Ammoniakbicarbonat behandelt. Es entsteht ein in kaltem Wasser sehr schwer löslicher Niederschlag, der, wie zu erwarten, die gesammte Phosphorsäure des Luteosalzes enthält. Im Filtrat wurde die aus obiger Gleichung berechnete Menge Wolframsäure gefunden. Zur Untersuchung der Säurespaltung des Ammoniumsalzes der 17. Reihe wurden 20 g des Salzes mit kalter, überschüssiger Salzsäure übergossen. Die farblose, klare Lösung wurde beim Erhitzen gelb.

¹⁾ Amer. Chem. J. 3, 406. — ²⁾ Zeitschr. anorg. Chem. 6, 384—392.

wobei gleichzeitig ein weißer, pulveriger Niederschlag in geringer Menge ausfiel, der sich als das Ammonsalz der Duodeciphosphorwolframsäure, $3(\text{NH}_4)_2\text{O} \cdot \text{P}_2\text{O}_5 \cdot 24 \text{WO}_3 \rightarrow \text{aq.}$ erwies. Der Haupttheil des in der gelben Lösung vorhandenen Luteosalzes wurde durch festen Salmiak, der Rest durch salzsaures Chinolin ausgeschieden. Im Filtrat hiervon ließen sich beträchtliche Mengen freier Phosphorsäure nachweisen. Es waren in einem Falle 4,06 Proc. Duodecimalsalz, 96,09 Proc. Luteosalz und 0,23 Proc. Phosphorsäure, in einem anderen Falle 3,94 Proc. Duodecimalsalz, 94,98 Proc. Luteosalz und 0,23 Proc. Phosphorsäure entstanden. *Mr.*

F. Kehrman. Zur Kenntniss der complexen anorganischen Säuren. VII. Abhandlung: Ueber Phosphorduodecimolybdänsäure und Phosphorluteomolybdänsäure, nach Versuchen von E. Böhm ¹⁾. — Die nunmehr hinreichend durchforschten Salzreihen der Phosphor- und Arsenmolybdän- und Wolframsäuren lassen sich nach Bildungsweise, Zusammensetzung und Verhalten gegenüber der spaltenden Wirkung von Säuren und Alkalien folgendermaßen gruppieren: Gruppe I. Gegen Mineralsäuren beständig, durch Alkalien leicht spaltbar. Die Molybdänverbindungen werden durch stark concentrirte überschüssige Mineralsäure zersetzt. Die freien Säuren sind großentheils existenzfähig und mehr oder weniger beständig. Die bisher bekannten sind sämmtlich dreibasisch:

24. Reihe .	$3 \text{H}_2\text{O} \cdot \text{P}_2\text{O}_5 \cdot 24 \text{MoO}_3$	18. Reihe .	$3 \text{H}_2\text{O} \cdot \text{P}_2\text{O}_5 \cdot 18 \text{MoO}_3$
24. „ .	$3 \text{R}_2\text{O} \cdot \text{As}_2\text{O}_5 \cdot 24 \text{MoO}_3$	18. „ .	$3 \text{H}_2\text{O} \cdot \text{As}_2\text{O}_5 \cdot 18 \text{MoO}_3$
24. „ .	$3 \text{H}_2\text{O} \cdot \text{P}_2\text{O}_5 \cdot 24 \text{WO}_3$	18. „ .	$3 \text{H}_2\text{O} \cdot \text{P}_2\text{O}_5 \cdot 18 \text{WO}_3$
21. „ .	$3 \text{R}_2\text{O} \cdot \text{As}_2\text{O}_5 \cdot 24 \text{WO}_3$	18. „ .	$3 \text{H}_2\text{O} \cdot \text{As}_2\text{O}_5 \cdot 18 \text{WO}_3$
21. „ .	$3 \text{H}_2\text{O} \cdot \text{P}_2\text{O}_5 \cdot 21 \text{WO}_3$	6. „ .	$3 \text{H}_2\text{O} \cdot \text{As}_2\text{O}_5 \cdot 6 \text{MoO}_3$

Gruppe II. Werden durch Mineralsäuren sofort unter Bildung von Reihen der Gruppe I gespalten. Alkalien wirken ebenfalls spaltend, aber nicht so leicht wie auf Gruppe I. Die Verbindungen entsprechen sämmtlich einer mehr als dreibasischen, nicht in freiem Zustande erhältlichen Säure. Hierher gehören:

22. Reihe .	$7 \text{R}_2\text{O} \cdot \text{P}_2\text{O}_5 \cdot 22 \text{WO}_3$	17. Reihe .	$5 \text{R}_2\text{O} \cdot \text{P}_2\text{O}_5 \cdot 17 \text{WO}_3$
17. „ .	$5 \text{R}_2\text{O} \cdot \text{P}_2\text{O}_5 \cdot 17 \text{MoO}_3$	17. „ .	$5 \text{R}_2\text{O} \cdot \text{As}_2\text{O}_5 \cdot 17 \text{WO}_3$

Es sind außer vorstehenden noch eine große Zahl von Verbindungen bekannt, welche noch nicht hinreichend studirt sind, um bestimmt sagen zu können, welche Gruppenmerkmale ihnen zukommen. Verfasser kann den von Friedheim entwickelten Ansichten über die Natur der complexen Säuren zum Theil nicht zustimmen. —

¹⁾ Zeitschr. anorg. Chem. 7, 406—426.

Phosphorduodecimolybdänsäure wurde aus dem Ammonsalz in näher beschriebener Weise erhalten und bildet prachtvolle centimeterdicke, orangegelbe Octaeder. Das entsprechende *Baryumsalz*, $3 \text{BaO} \cdot \text{P}_2\text{O}_5 \cdot 24 \text{MoO}_3$, wurde aus einer concentrirten, klaren Lösung der Rohsäure durch Vermischen mit überschüssiger, heiß gesättigter Chlorbaryumlösung erhalten und krystallisirte sofort in citronengelben Octaedern, die unter Zusatz eines Tropfens Salpetersäure zweimal aus heißem Wasser umkrystallisirt werden. Die Verbindung ist in kaltem Wasser ziemlich, in heißem sehr leicht löslich; die Krystalle sind wasserhaltig, verlieren aber beim Liegen an der Luft schnell Wasser und werden undurchsichtig. Die Reactionen der Phosphorduodecimolybdänsäure sind in der Abhandlung tabellarisch zusammengestellt; sie stimmen vollkommen mit denen der entsprechenden Wolframverbindungen überein. Die Constitutionsanalogie beider Verbindungen scheint damit sicher bewiesen. — Aus der Mutterlauge von dem Baryumsalz erhält man beim Versetzen mit verdünnter Schwefelsäure, Filtriren von ausgeschiedenem Baryumsulfat und Sättigen mit festem, gepulvertem Salmiak das *Ammoniumsalz der Phosphorluteomolybdänsäure*, $3 (\text{NH}_4)_2\text{O} \cdot \text{P}_2\text{O}_5 \cdot 18 \text{MoO}_3 + 14 \text{H}_2\text{O}$, als orangegelben, krystallinischen Niederschlag, welcher nach Auswaschen mit eiskaltem Wasser, Lösen in wenig lauwarmem Wasser und Krystallisation im Vacuum über Schwefelsäure dicke, orangerothe, prismatische Krystalle lieferte. Die wässrige Lösung dieses Salzes trübt sich beim Erwärmen unter Ausscheidung des Sonnenschein'schen Salzes. Beständiger als das Ammoniumsalz ist das Kaliumsalz, $3 \text{K}_2\text{O} \cdot \text{P}_2\text{O}_5 \cdot 18 \text{MoO}_3 + 14 \text{H}_2\text{O}$, welches leicht durch Umsetzung des Ammoniumsalzes mit Kaliumchlorid entsteht und nach Umkrystallisiren aus ca. 80° heißer Lösung gut ausgebildete, orangerothe, kurz prismatische Krystalle bildet, die in kaltem Wasser schwer, in heißem sehr leicht löslich sind. Die Krystalle zeigen in auffallender Weise den Habitus der entsprechenden Wolframverbindung. — Es wurde ferner beobachtet, daß eine etwas freie Phosphorsäure enthaltende Lösung von Duodecisaure beim Stehen allmählich in die Luteosaure umgewandelt wird; eine solche Lösung von 200 g Duodecisaure in ganz wenig Wasser, welche nach Zusatz der annähernd berechneten Menge syrupdicker Phosphorsäure in einigen Wochen sich selbst überlassen war, lieferte durch Aussalzen mit Kaliumchlorid eine nahezu quantitative Ausbeute des neuen Kaliumsalzes. Die *Säure* $3 \text{H}_2\text{O} \cdot \text{P}_2\text{O}_5 \cdot 18 \text{MoO}_3 + \text{aq.}$ kann man in der Weise erhalten, daß man eine warm gesättigte Lösung des Kaliumsalzes in wenig

Wasser mit dem fünffachen Volumen starken Alkohols vermischt, dem man vorher die zur Bindung des Kaliums eben ausreichende Menge Schwefelsäure zugefügt hat; zu der Mischung fügt man das gleiche Volumen Aether, läßt in einer Kältemischung stehen, filtrirt von ausgeschiedenem Kaliumsulfat und läßt zuletzt über Schwefelsäure verdunsten. — Lauge, durchsichtige, sehr leicht lösliche, orangerothe Prismen, welche an der Luft Feuchtigkeit anziehen, über Schwefelsäure aber verwittern. Die Säure läßt sich auch aus dem gelben Molybdänsäurehydrat und Phosphorsäure erhalten, indem man das gelbe Hydrat (einige Gramm) mit 1 ccm syrupdicker Phosphorsäure und 50 ccm Wasser zum Sieden erhitzt, wobei zuerst die Duodecensäure auskrystallisirt; diese verflüssigt sich wieder beim Stehen in mehreren Wochen und bildet dann eine Lösung der Luteosäure. — Wendet man statt Phosphorsäure Arsensäure an, so erhält man sogleich Luteosäure (18-Arsenmolybdänsäure), welche von Pufahl früher beschrieben worden ist, indem die wahrscheinlich zuerst gebildete Arsenduodecimolybdänsäure sich unvergleichlich rascher als die Phosphorverbindung in die Luteosäure umwandelt. — Das normale Ammonium- und Kaliumsalz der Arsenluteomolybdänsäure, welche $12\text{H}_2\text{O}$ enthalten, wurden dargestellt; sie sind den entsprechenden Phosphorluteowolfram- und Phosphorluteomolybdänverbindungen ganz analog zusammengesetzt, jedoch sehr zersetzlich und nicht leicht in reinem Zustande zu erhalten. Die Reactionen der Pufahlschen Säure sind am Schlufs der Abhandlung tabellarisch zusammengestellt. Das Kaliumsalz der Phosphorluteomolybdänsäure scheidet in concentrirter wässriger Lösung, mit einer verdünnten Lösung von Kaliumbicarbonat versetzt, die sehr unbeständige Verbindung $5\text{K}_2\text{O} \cdot \text{P}_2\text{O}_5 \cdot 17\text{MoO}_3$ in hell citronengelben, schuppigen Krystallen aus, auch das Ammoniumsalz wird durch Bicarbonat zersetzt.

Cr.

Carl Friedheim. Beiträge zur Kenntnifs der complexen Säuren. VIII. Mittheilung. Die Wolframvanadate¹⁾. — Läßt man normales Natriumvanadat auf Natriumparawolframat einwirken, so wird dem Vanadat Basis entzogen, die sich dem Wolframat anlagert, und zwar im Sinne folgender Gleichung: $5\text{Na}_2\text{O} \cdot 12\text{WO}_3 \cdot 28\text{aq.} + 7\text{Na}_2\text{O} \cdot \text{V}_2\text{O}_5 - 6\text{Na}_2\text{O} \cdot 12\text{WO}_3 + 2(2\text{Na}_2\text{O} \cdot 3\text{V}_2\text{O}_5) = 2[3(\text{Na}_2\text{O} \cdot 2\text{WO}_3) + (2\text{Na}_2\text{O} \cdot 3\text{V}_2\text{O}_5)] + 2\text{Na}_2\text{O} \cdot \text{V}_2\text{O}_5$. Bringt man die Verbindungen in obigem Verhältnifs zu einander, so entsteht eine besonders in der Hitze stark rothgelb gefärbte

¹⁾ Zeitschr. anorg. Chem. 6, 11—26.

Lösung, die bei fractionirter Krystallisation rothgelbe, rhombische, bis zu 1 cm lange Krystalle des *Natriumdiwolframsesquivanadats* ausscheidet. Der Körper enthält 38 Mol. H_2O und ist identisch mit dem früher aus Metavanadat und Parawolframat erhaltenen Producte. Es enthält bei 120° noch 4 H_2O und lost sich bei $13,8^\circ$ in der 1,25fachen Menge Wasser. KCl fällt die Lösung nicht, $BaCl_2$ und $AgNO_3$ dagegen sofort, $CuCl_2$ langsam. Bei Zusatz von Alkali verschwindet die gelbe Farbe. Das zweite, weißse Product bildet perlmutterglänzende Krystallschuppen und geht schwach gelb gefärbt in Lösung. Die Zusammensetzung entspricht der Formel $7.Na_2O.12WO_3.V_2O_5 + 29H_2O$. Bei einmaligem Umkrystallisiren hatten die Krystalle die Zusammensetzung $8Na_2O.14WO_3.V_2O_5 + 66$ oder $60H_2O$. Aus der Mutterlauge wurde noch normales Vanadat in Form des schwer löslichen Kaliumvanadats isolirt. Aus der Lösung des Natriumdiwolframsesquivanadats fällt $BaCl_2$ einen gelben Körper, dessen Natur nicht ganz aufgeklärt ist, aber ein Gemenge von $2BaO.WO_3$ und $3BaO.V_2O_5$ zu sein scheint. Die überstehende Lösung giebt beim Concentriren gelbrothe, rhombische Krystalle des parawolframtrivanadinsäuren Baryums: $5(BaO.12WO_3) + (BaO.3V_2O_5) . 34H_2O$. Der mit Silbernitrat sich ausscheidende voluminöse gelbe Niederschlag ist ein Gemenge von normalem Wolframat mit normalem und saurem Vanadat. Aus der Lösung scheiden sich prachtvoll glänzende Krystalle des parawolframtrivanadinsäuren Silbers aus. Verfasser denkt sich die dabei vor sich gehende Reaction so, daß Basisentziehung stattfindet und das Diwolframat in das saurere Parawolframat und das Sesquivanadat in Trivanadat übergeht, die sich dann vereinigen. Das entzogene Alkali fällt einen Theil der Reactionsproducte als normale Wolframate und Vanadate aus. Der mit $CuCl_2$ ausfallende Niederschlag zeigt die Zusammensetzung $2CuO.2WO_3.V_2O_5.12H_2O$. Das Einwirkungsproduct von KCl scheidet sich beim Einengen als prachtvoll krystallinisches, rothgelbes Salz aus und entspricht der Formel $5(5Na_2O.6WO_3.3V_2O_5 + 24H_2O) + 5K_2O.6WO_3.3V_2O_5 + 24H_2O$. Es liegt hier eine isomorphe Mischung des Natrium- und des Kaliumsalzes vor. Aus der Mutterlauge wurden noch hellere Laugen isolirt, die aus 1 Mol. Natronsalz und 4 Mol. Kalisalz bestanden. Reines Kalisalz herzustellen, gelang nicht. Die Reaction von Kaliumparawolframat und Kaliumvanadat ist dadurch erschwert, daß ersteres Salz sehr schwer löslich ist. Es gelang nicht, bestimmte analysenreine Producte zu isoliren, doch scheint dieselbe Reaction verlaufen zu sein, da durch Natrium-

chlorid die rhomboëdrischen Krystalle der isomorphen Mischung, wie vorhin bei Einwirkung von KCl, erhalten wurden. Wirken die Ammoniaksalze auf einander, so entweicht Ammoniak, und die Reaction verläuft unter Bildung von parawolframtrivanadinsäurem Ammonium. Bei möglichst niedriger Temperatur scheidet sich zunächst $\frac{1}{2}$ fach saures Vanadat aus. *Mr.*

R. H. Bradbury. Ueber die Reaction zwischen Molybdänsäure und einfach und zweifach chromsaurem Kalium¹⁾. — Kaliumbichromat kann aufgefaßt werden als ein Doppelmolekül von 1 Mol. neutralem Chromat mit 1 Mol. Säureanhydrid, der Formel $K_2CrO_4 \cdot CrO_3$ entsprechend. Bei der Aehnlichkeit von Molybdän und Chrom schien eine Ersetzung des Anhydridrestes durch MoO_3 möglich. Molybdänsäure löst sich in einer Lösung von neutralem, chromsaurem Kali schnell mit tief gelbrother Farbe auf. Beim Eindampfen der Lösung schied sich Molybdänsäure und ihr Kaliumsalz aus. Im Filtrat konnte Kaliumbichromat gefunden werden. Es hatte sich demnach die Reaction vollzogen: $2K_2CrO_4 + MoO_3 = K_2Cr_2O_7 + K_2MoO_4$. Doch geht die Reaction nur in beschränktem Mafse vor sich. In der Kälte scheint Molybdänsäure auf Kaliumdichromat nicht einzuwirken. Schmilzt man äquivalente Mengen der Componenten zusammen, so erhält man eine schwärzlichbraune Substanz, die Sauerstoff entweichen läßt. Die Schmelze wurde zur Entfernung von unverändertem Kaliumbichromat mit heißem Wasser gewaschen. Sie löst sich zum größten Theil in Salzsäure mit grüner Farbe. Der Rückstand war durch die gewöhnlichen Mittel nicht aufschließbar. Der in Lösung gegangene Körper erwies sich als ein basisches, molybdänsaures Chromoxydkali, $K_2O \cdot Cr_2O_3 \cdot 3MoO_3$. *Mr.*

Henri Moissan. Darstellung von Uran bei hoher Temperatur²⁾. — Um sonst schwer aus ihren Oxyden abzuseheidende Metalle zu erhalten, braucht man sie nur mit Kohle gemischt in den mit Magnesiumoxyd ausgefütterten elektrischen Ofen zu bringen. Sind die Metalle flüchtig, so werden die Metaldämpfe durch einen Wasserstoffstrom mitgenommen und in der Vorlage condensirt: ist das Metall, wie es beim Uran der Fall ist, nicht flüchtig, so sammelt es sich als Klumpen auf der Sohle des Ofens an. Zur Erlangung von Uran wird Uranylнитrat calcinirt und das röthliche Gemisch von Uransesquioxyd und dem grünen Oxyd U_2O_3 mit Kohlenstaub gemischt und in einen Graphittiegel ge-

¹⁾ Zeitschr. anorg. Chem. 7, 43—46; Amer. Chem. Soc. J. 16, 565. —

²⁾ Bull. soc. chim. 11, 11—13.

prefst. Man arbeitet dann mit einem Strome von 250 Amp. und 60 Volt, so daß die Reduction in einigen Minuten beendigt ist. Der Metallklumpen ist sehr hart und zeigt glänzenden Bruch. Schüttelt man Bruchstücke des Urans in einer Flasche, so beobachtet man Funkensprühen, das von dem Verbrennen kleiner Theilchen herrührt. Die so erhaltenen Uranproben sind jedoch nicht rein, sondern enthalten Kohle in wechselnden Mengen. Die Urancarbide zersetzen sich langsam mit Wasser und haben einen Schmelzpunkt, der den des Platins übersteigt. *Mr.*

Zink, Cadmium.

W. Stahl. Verarbeitung zinkhaltiger Kiesabbrände durch chlorirende Röstung¹⁾. — Verfasser beschreibt Versuche, aus denen hervorgeht, daß es nicht gelingt, Kiesabbrände mit 7 bis 11 Proc. Zink nach Zusatz von Abfallsalz (Kochsalz) und Eisenkies durch einmalige chlorirende Röstung und nachfolgender Extraction der löslichen Verbindungen ohne beträchtlichen Säureaufwand auf zinkarme Rückstände zu verarbeiten. Während des Processes gebildetes Chlorzink umhüllt das noch vorhandene Schwefelzink und schützt es vor weiterer Zersetzung. Beschlickt man die getrockneten Extractionsrückstände mit entsprechenden Mengen Abfallsalz und Eisenkies und unterzieht sie einem nochmaligen Chlorirungsprocess und nachfolgendem Extractionsverfahren, so geht der größte Theil des Zinks in lösliche Verbindungen über. Durch den Process werden zersetzbare Verbindungen der Alkalien sulfatisirt, Zink, Silber, Kupfer u. s. w. ihrer größeren Menge nach und Mangan zum großen Theil chlorirt. Eisen wird bei den obwaltenden Ofentemperaturen nicht chlorirt und gelangt nur insoweit in die Laugen, als dasselbe durch die sauren Extractionslaugen gelöst und extrahirt wird. Eine Bildung von schwer zersetzbarem Zinkoxychlorid findet nur in minimalen Mengen statt, wenn die zum Chlorirungsprocess erforderlichen Reagentien in entsprechenden Mengen aufgewandt wurden; auch gelangt der größte Theil des Zinks vor dem Kupfer in Reaction, wenn neben einer größeren Zinkmenge Kupfersulfür in geringer Menge in den Geschicken enthalten ist. In Form von Chlorzink verdampft 2 bis 3,5 Proc. Zink des angewandten Materials. Da nun aber mit den Chlorirungsöfen, behufs Condensation der sauren Röstgase, Condensationsthürme in Verbindung stehen, so ist ein er-

¹⁾ Berg- u. Huttenm. Zeitg. 53, 1—4.

heblicher Verlust an Zink ausgeschlossen, indem es mit den Röstgasen von dem sauren Wasser wieder in den Extractionsbetrieb geführt wird. Versetzt man die Extractionslaugen, die neben Zinksalzen beträchtliche Mengen von Alkalisulfat und Alkalichlorid sowie geringe Mengen von Salzen der alkalischen Erden, des Eisens, Mangans und Kupfers enthalten, mit Kalkmilch im Ueberschuß, so enthalten die Niederschläge zufolge der Mitabscheidung von Calciumsulfat nur 31 Proc. Wendet man Abfallsoda als Fällungsmittel an, so beträgt die Ausbeute das Doppelte. Da der Verarbeitung solcher zinkhaltiger Niederschläge durch den Reductionsproceß viele Schwierigkeiten entgegenstehen, so sind diese Niederschläge nach Ansicht des Verfassers am vortheilhaftesten auf Lithopone zu verarbeiten. *Op.*

P. Cogswell Choate. Bereitung einer Zinklösung aus Zinkerz¹⁾. — Die Zinkerze werden geröstet und mit verdünnter Schwefelsäure ausgelaugt. Aus der Sulfatlösung werden durch Verdunsten die Salze auskrystallisirt und die gewonnenen Krystalle so stark erhitzt, daß diejenigen Metalle, welche flüchtiger sind als Zink, ausgetrieben, die weniger flüchtigen aber in solche Verbindungen übergeführt werden, die in Wasser unlöslich sind, worauf das unzersetzt gebliebene Zinksulfat mit Wasser ausgelaugt wird. *Op.*

G. Nahrnsen. Vorbereitung zinkischen Rohmaterials zur Elektrolyse²⁾. — Das zinkische Rohmaterial, welches neben Zink elektropositive Bestandtheile, wie Calcium oder Magnesium, enthält, wird nach dem Rösten bei genügendem Sulfatgehalt (Zinksulfat, Magnesium- und Calciumsulfat und -oxyd) allein mit Wasser, sonst aber, mit freier Säure, Zink oder Eisenoxydsulfat versetzt, vor der mit dem Elektrolyten zu bewirkenden Laugung ausgewaschen, wodurch lediglich die positiveren Bestandtheile entfernt werden. *Op.*

H. Ries. Ueber künstliche Krystalle von Zinkoxyd³⁾. — Verfasser untersuchte Krystalle von Zinkoxyd, welche Zinköfen von Jersey City, Newark und New Jersey entstammen. Gemessen wurden das Prisma OP und die Pyramiden $\frac{2}{3}P$, $\frac{1}{2}P$ und $\frac{1}{3}P$. Hemimorphie konnte nicht nachgewiesen werden. Die Krystalle waren bis 3 mm lang und 1,5 mm dick. *Cr.*

Edmund Jensch. Die Verbindungsform des in abgerösteten Zinkblenden verbliebenen Schwefels⁴⁾. — Ueber die Bindungsart des Schwefels in den Röstrückständen von eisenhaltigen Zinkblenden

¹⁾ D. R.-P. Nr. 77567. — ²⁾ D. R.-P. Nr. 77127. — ³⁾ Sill. Am. J. [3] 48, 258–257. — ⁴⁾ Zeitschr. angew. Chem. 1894, S. 50–52.

gehen die Ansichten weit aus einander, indem der eine die Verbindung mit Zn annimmt und daher ein selbst kostspieliges vollständiges Abrösten empfiehlt, oder der andere noch Schwefelgehalte von 2 bis 3 Proc. hingehen lässt, in dem er die Bindung als FeS oder FeS_2 annimmt. Verfasser hat die Abbrände der Zinkblende systematisch so untersucht, dass das vorhandene Sulfid von den anderen Bestandtheilen vollkommen getrennt wurde. Zu dem Zwecke wurden die Proben, um Sulfide zu oxydiren, mit wenigen Tropfen H_2O_2 versetzt, die Sulfate durch Kochen mit schwach essigsauerm Ammoniumacetat, wodurch die Sulfide nicht gelöst werden, in Lösung gebracht. In dem sulfatfreien Rückstande wurden Blei- und Zinkoxyd, sowie Zinksilicat durch Kochen mit Natronlauge entfernt. Die letzten Reste von ZnO gehen dann mit NH_3 in Lösung. In dem nun verbleibenden Rückstande wurde Schwefel und Zink bestimmt und gefunden, dass nur $\frac{1}{12}$ bis $\frac{1}{13}$ des sulfidischen Schwefels an Zn gebunden ist. Es erscheint also in Bezug auf die Ansehung nicht vortheilhaft, vollständig abzurösten, ob aber das Schwefeleisen, wie behauptet ist, verschlackend wirkt und die Destillationsgefäße zerstört oder mechanisch Zink einhüllt, bleibt eine offene Frage. *Mr.*

P. Donnini. Colloidales Zinksulfid ¹⁾. — Ausgehend von der analytischen Erfahrung, dass das Fällern von Zink mit Schwefelwasserstoff insofern Schwierigkeiten begegnet, als beim Auswaschen das Zinksulfid durchs Filter geht und das Filtrat trübt, hat Verfasser das Verhalten und die Zusammensetzung des Niederschlages näher untersucht. Der Niederschlag ist der Formel ZnS gemäß zusammengesetzt. Die Trübung beruht darauf, dass beim Auswaschen ein Theil des Zinksulfids colloidal in Lösung geht. Dies tritt erst dann ein, wenn sämtliche anderen Salze ausgewaschen sind. Der Vorschlag von Fresenius, das Zinksulfid mit Chlorammonium enthaltendem Wasser auszuwaschen, hat seine volle Berechtigung. Man kann auch durch Dialyse mit Pergamentpapier den Niederschlag zurückhalten, doch empfiehlt sich für praktisch analytische Zwecke die Methode von Fresenius. *Mr.*

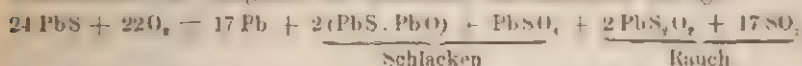
R. De Muynck. Ueber die Brechungsexponenten von wässrigen Cadmiumsalzlösungen ²⁾. — Die Thatsache, dass Hittorf aus den Ueberführungszahlen von Jod- und Chlorcadmium nachweisen konnte, dass in den concentrirten wässrigen Lösungen dieser Salze Doppel- und Tripelmoleküle bestehen, hat Verfasser veranlasst, die Brechungsexponenten mehrerer Cadmiumsalzlösungen

¹⁾ Gazz. chim. ital. 24, I, 219–222. — ²⁾ Ann. Phys. 53, 559–565.

zu bestimmen, in der Hoffnung, aus den optischen Eigenschaften dieser Lösungen den Einfluß ihres Molekularzustandes nachweisen zu können. Der Brechungsexponent wurde mit dem Refractometer von Pulfrich für die *D*-Linie bei 15° C. in verschiedenen Concentrationen folgender Lösung bestimmt: CdJ_2 , CdBr_2 , $\text{Cd}(\text{NO}_3)_2$ und CdSO_4 . Die Resultate sind in Tabellen und Curven niedergelegt, aus denen sich keine Anomalien nachweisen lassen. Die Refractionscurven verlaufen regelmäÙig. *Op.*

Blei.

J. B. Hannay. Die Metallurgie des Bleies¹⁾. — Der Verfasser giebt eine erschöpfende Darstellung seiner Untersuchungen über die Processe, welche bei dem Schmelzen von Bleiglanz im Hochofen vor sich gehen. Die früher vermutheten niedrigen Schwefelverbindungen des Bleies sind Mischungen von Blei und Bleisulfid und können in diese Componenten durch wiederholtes Schmelzen und Krystallisation zerlegt werden. Die Reduction des Bleies findet nicht nach den gewöhnlich angegebenen Gleichungen statt; es wurde gefunden, daß eine Mischung von Bleisulfid und Bleisulfat durch Erhitzen im geschlossenen Raume auf die Temperatur des Bleiofens gar nicht auf einander reagierten und bei höherer Temperatur trat die Reaction nicht nach der Gleichung $\text{PbS} + \text{PbSO}_4 = 2\text{Pb} + 2\text{SO}_2$ ein, sondern verlief in folgender Weise: $2\text{PbS} + 2\text{PbSO}_4 = \text{Pb} + 2\text{PbO} + \text{PbS}_2\text{O}_2 + 2\text{SO}_2$. Die Verbindung PbS_2O_2 ist flüchtig. Durch eine Reihe von Versuchen gestützt, giebt Verfasser der Ansicht Ausdruck, daß beim Schmelzen von Bleiglanz im Hochofen die Reaction erfolge:



Durch Darstellung der flüchtigen Verbindung PbS_2O_2 in anderer Weise will der Verfasser eine neue Metallurgie des Bleies anbahnen; ein Ueberschuß von Luft soll durch und über geschmolzenen Bleiglanz geblasen und dadurch das als Zwischenproduct entstandene, flüchtige Oxydsulfid weiter oxydirt werden: $2\text{PbS} + 6\text{O} = \text{Pb} + \text{PbSO}_4 + \text{SO}_2$. Das hierbei gebildete Bleisulfat ist sehr rein und bildet eine schöne weiÙe Farbe. *Cr.*

Hannay. Neue flüchtige Bleisulfidverbindungen²⁾. Die von Pattinson und Regnault bereits beobachtete Verflüchtigung

¹⁾ Chem. News 69, 195. Institute of Mining and Metallurgy 18 April 1894. — ²⁾ Chem. News 69, 270—272

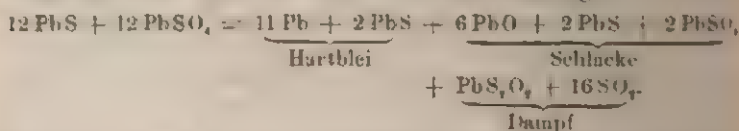
von Bleisulfid sucht Verfasser dadurch zu erklären, daß bei höherer Temperatur das Wasser sich mit dem PbS unter Bildung von flüchtigen Producten verbindet. Bei verschiedenen Temperaturen sollen die Verbindungen bestehen:

1. bei 750° . . . $\text{PbS} + \text{H}_2\text{O} = \text{PbOH}_2\text{S}$,
2. „ 900 . . . $2\text{PbO} + 2\text{PbS} = 3\text{Pb} + \text{PbS}_2\text{O}_4$,
3. „ 1400 . . . $\text{PbS} + \text{H}_2\text{O} = \text{PbSH}_2\text{O}$.

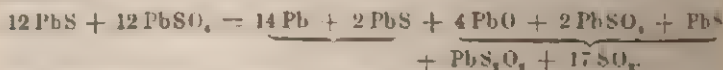
Diese Verbindungen sind nur bei hoher Temperatur in Form farbloser Dämpfe beständig und zerfallen bei niedriger in die Componenten. In der Discussion wird die Thatsache zugegeben, daß gewisse Bleiverbindungen beim Erwärmen im Gasstrom flüchtig sind; es erscheint jedoch zweifelhaft, ob, wie Verfasser annimmt, definite Verbindungen des Gases und des Bleisulfids bestehen.

Mr.

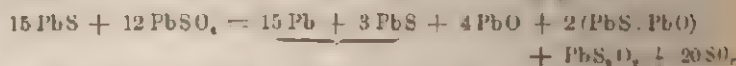
J. B. Haunay. Einwirkung von Bleisulfid auf das Sulfat und Oxyd des Bleies¹⁾. — Als Verfasser molekulare Mengen von sehr fein gemahlenem PbS und PbSO₄ bis zum ruhigem Schmelzen erwärmte, verlief die Reaction nach der Gleichung:



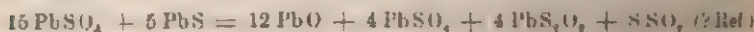
Wurde das Sulfid in kleinen Stücken angewandt, so verlief die Reaction:



Ist Sulfid im Ueberschufs, so soll die Gleichung gelten:



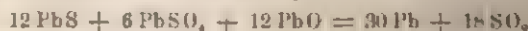
Wird zu schmelzendem Sulfat festes Sulfid hinzugefügt, so findet die Reaction:



statt, wird umgekehrt Sulfat zu schmelzendem Sulfid gebracht, so gilt die Gleichung:

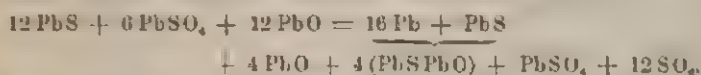


Es ist nicht möglich, die Gleichung



¹⁾ Chem. News 70, 43–45.

zu realisiren, es verläuft in diesem Falle der Proceß:



PbS und PbO wirken nicht auf einander unter Bildung von Blei, sondern bilden PbSPbO, den Hauptbestandtheil der Bleischlacken. Außer Hannay haben verschiedene andere Forscher die Frage nach der Existenz einer flüchtigen Verbindung PbS_2O_2 geprüft. Roberts-Austen kommt auf Grund seiner Versuche zu dem Schlufs, dafs die Existenz sehr unwahrscheinlich ist. PbS verflüchtigt sich bei 1200° im Vacuum vollkommen. Bei 1350° war die Flüchtigkeit von PbS im SO_2 -Strome genau so grofs wie im Stickstoffstrome. Auch erlitt das mit PbS beladene Schwefeldioxyd durch die Gegenwart von PbS keine Contraction, was nicht zu Gunsten einer Verbindung PbS_2O_2 spricht. Auch nach dem Verfahren von Deville konnte keine Verbindung PbS_2O_2 im abgekühlten Theile des Winkelrohres gefunden werden. Das Sublimat bestand lediglich aus PbS. Jerkin stellt unabhängig von dem Vorgenannten fest, dafs PbS im Stickstoffstrome sogar noch leichter übergang als im SO_2 -Strome. Fernere Versuche ergaben, dafs metallisches Blei unter Bildung von PbO und S das Schwefeldioxyd zu zerlegen vermag. Auch Armstrong hält die Bildung einer Verbindung von der Formel PbS_2O_2 für nicht sehr wahrscheinlich, ist jedoch der Meinung, dafs der schweflige Säure eine besondere Rolle bei der Reaction zugeschrieben werden müsse. Hannay hebt im Schlufsworte hervor, dafs bei inniger Berührung von PbS und SO_2 von je 1 Mol. SO_2 1 Mol. PbS fortgeführt werde, und dafs diese Thatsache ihm die Existenz von PbS_2O_2 wahrscheinlich gemacht habe. *Mr.*

F. M. Lyte. Darstellung von Chlor und raffinirtem Blei nebst Gewinnung des im Blei enthaltenen Silbers¹⁾. — Man verwandelt Bleiglätte unter Umrühren mit Salzsäure in Bleichlorid. Das in der Glätte enthaltene Silber wird als Chlorsilber durch concentrirte Salzsäure oder Erdalkalichloride ausgezogen und durch Filtration der Lösung über schlammiges Blei metallisch niedergeschlagen. Auch durch Schmelzen von Bleichlorid mit metallischem Blei kann man das Silber aus ersterem in letzteres überführen und dann durch den Treibproceß gewinnen. Die Glätte erhält man durch Oxydation von Werkblei in einer basischen Bessemerbirne, wobei die Hauptmenge des Silbers sich in dem

¹⁾ Engl. Pat. Nr. 7264; Chem. Soc. Ind. J. 13, 644.

nicht oxydirten Reste des Bleies vorfindet. Das in die Glätte übergegangene Silber wird, wie oben angegeben, gewonnen. Das Bleichlorid wird durch Umkrystallisation aus Wasser gereinigt, geschmolzen und elektrolysiert. Während der Elektrolyse kann kein Sauerstoff an das Blei treten, da die Luft über dem geschmolzenen Bleichlorid durch Chlor verdrängt wird. (Op)

Farnham Maxwell Lyte. Verfahren zur Gewinnung von reinem Blei, Sulfaten und Chlor¹⁾. — Bleisulfat, welches als Ausgangsmaterial dient, wird durch eine kochende Lösung von eventuell mit Magnesiumchlorid gemischtem Alkalichlorid in Bleichlorid umgesetzt, welches zum größten Theile durch Abkühlung aus der Lauge ausgeschieden wird. Bei weiterer Abkühlung der Lauge scheidet sich auch das bei der Umsetzung entstandene Alkalimagnesiumsulfat aus. War das Blei silberhaltig, so wird das Silber vorher durch Einführung von Zink gefällt. Der Rest des Bleies kann durch nochmaliges Kochen mit Alkali- und Jodalkalichloriden und Abkühlen gewonnen werden. Das erhaltene Bleichlorid wird durch Elektrolyse in Blei und Chlor gespalten. (Op)

J. B. Senderens. Ueber eine eigenthümliche Metallausfällung²⁾. — Beim Einführen einer Bleibarre in eine neutrale Lösung von Bleinitrat scheiden sich auf der Barre kleine Bleipartikel aus. Verfasser zeigt, dass diese Erscheinung durch den verschiedenen physischen Zustand der oberflächlichen und inneren Schichten der Bleibarre erklärt werden kann, wobei die Barre als galvanische Kette wirkt. (Cr)

P. Phillips Bedson. Ueber die giftige Wirkung der Bleisalze³⁾. — Versuche wurden mit der Einwirkung von Magensaft auf Bleiweiss gemacht; die Resultate zeigen, dass sowohl natürlicher als künstlicher Magensaft eine kennbare lösende Wirkung auf Bleicarbonat besitzt, und dass dabei die Salzsäure wirksam ist. Auch Bleisulfat wird von 0,2 Proc. haltiger Salzsäure angegriffen und kann demnach nicht als ungiftig betrachtet werden. (Cr)

A. Bogorodski. Ueber das Doppelsalz von 3-Hydrat Jodlithium mit Jodblei⁴⁾. — In eine auf 140 bis 150° erwärmte Lösung von Jodlithium wird unter beständigem Umrühren Jodblei in kleinen Mengen eingetragen, bis sich goldgelbe Flocken anzuscheiden beginnen; man fugt tropfenweise Wasser hinzu, bis die dadurch bewirkte Fällung beim Umrühren nicht mehr verschwindet, und verjagt das überschüssige Wasser, bis die Lösung

¹⁾ D. R.-P. Nr. 72804. — ²⁾ Bull. soc. chim. [3] 11, 424-426. —

³⁾ Chem. Soc. Ind. J. 13, 610. — ⁴⁾ J. russ. phys.-chem. Ges. 26, 216

klar geworden ist. Aus dieser scheiden sich beim Stehen gelbe Nadeln mit sehr spitzen Enden aus; diese Krystalle werden bei einer Temperatur von über 72° abgepresst, wobei etwa anwesende Krystalle von $\text{LiJ} + 3\text{H}_2\text{O}$ schmelzen. Die erhaltene Verbindung ist $\text{PbJ}_2 \cdot \text{LiJ} + 5\text{H}_2\text{O}$; kleine Nadeln sind durchsichtig, grofse Krystalle trübe; beim Kochen mit viel Wasser tritt Zersetzung ein und nach dem Erkalten scheiden sich Krystalle von Jodblei aus. — Die Verbindung $\text{PbJ}_2 \cdot \text{LiJ} + 5\text{H}_2\text{O}$ verliert bei 95° Wasser und giebt ein 4-Hydrat, wobei die Krystalle roth werden. Die letzten 4 Mol. Wasser gehen viel schwerer weg, erst nach längerem Trocknen bei 100° . Cr.

L. Kahlenberg und H. W. Hilmyer. Löslichkeit von Metalloxyden in den normalen Kaliumsalzen von Weinsäure und anderen organischen Säuren¹⁾. — Erhitzt man überschüssiges Bleioxyd mit neutralem Kaliumtartrat, so geht anfangs 1 Mol. Bleioxyd, bei fortgesetztem Kochen bis $1\frac{1}{4}$ Mol. auf 1 Mol. Kaliumtartrat in Lösung. Die stark alkalisch reagirende Lösung giebt beim Eindampfen und Ausziehen mit Alkohol freies Alkali an diesen ab. 1 Mol. PbO spaltet, wie sich aus einer acidimetrischen Bestimmung ergab, 1 Mol. KOH ab. Aus der heifsen, mit PbO gesättigten Lösung von Kaliumtartrat setzt sich beim Erkalten ein Niederschlag von der Zusammensetzung $(\text{PbO})_2\text{C}_6\text{H}_4\text{O}_6\text{Pb}$ ab. Leitet man in das Filtrat Schwefelwasserstoff oder Kohlensäure, so fällt das gesammte Blei aus und es hinterbleibt eine neutrale Lösung von Kaliumtartrat. Die normalen Tartrate von Lithium, Natrium und Rubidium verhalten sich wie Kaliumtartrat gegen Bleioxyd. Von Thalliumtartrat und Brechweinstein wird Bleioxyd nicht angegriffen; es verseift jedoch äthylweinsaures Kali, indem das entstehende weifse Bleisalz erst nach Zusatz von 1 Mol. KOH in Lösung geht. Wenn folgende Oxyde in festem wasserfreiem Zustande mit Kaliumtartrat gekocht werden, so gehen sie nicht in Lösung: As_2O_3 , Sb_2O_3 , SnO_2 , Bi_2O_3 , HgO , Ag_2O , Pb_2O_3 , CuO , Fe_2O_3 , Al_2O_3 , Cr_2O_3 , MnO_2 , ZnO , MgO , BeO , Er_2O_3 , Ce_2O_3 , Di_2O_3 , UO_3 . Die Kaliumsalze folgender Säuren nehmen kein Blei oder nur Spuren desselben auf: Bernstein-, Malon-, Aepfel-, Citronen-, Essig-, Propion-, Milch- und Glycerinsäure. Je 1 Mol. der neutralen Kaliumsalze von Schleim- und Zuckersäure nehmen 2 Mol. Bleioxyd auf. Aus der concentrirten Lösung derselben scheiden sich dreibasische Salze der Formel $\text{C}_6\text{H}_4\text{O}_6\text{Pb}_3$ aus. Neutrale Kaliumsalze organischer Säuren können nach Ansicht des Ver-

¹⁾ Amer. Chem. J. 16, 91–108.

fassers nur dann mit Bleioxyd reagiren, wenn die Säure zweibasisch und zwei oder ein Vielfaches von zwei alkoholischer Hydroxylgruppen enthält. *Op.*

W. Minor. Verfahren zur Herstellung von Bleisuperoxyd¹⁾. — Man trägt in geschmolzenes Natriumhydroxyd bei möglichst hoher Temperatur die erforderliche Menge Bleioxyd unter stetigem Umrühren ein, und setzt darauf die zur Oxydation erforderliche Menge Natriumnitrat zu: $\text{PbO} + 2\text{NaOH} + \text{NaNO}_3 = \text{Na}_2\text{PbO}_4 + \text{NaNO}_2 + \text{H}_2\text{O}$. Durch Auskochen mit Wasser wird Bleisuperoxyd ausgeschieden, welches nach Auswaschen mit Wasser und Trocknen nahezu chemisch rein ist. *Ch.*

Chemische Fabrik Bettenhausen, Marquart und Schulz. Verfahren zur Darstellung der Alkalisalze der Orthobleisäure bzw. der Metableisäure²⁾. — Zur Herstellung der Salze der Ortho- und Metableisäure, H_4PbO_4 bzw. H_2PbO_3 , erhitzt man 2 bzw. 1 Mol. Alkalicarbonat mit 1 Mol. Bleioxyd und leitet einen starken Luftstrom über das Gemisch. An Stelle des Bleioxydes läßt sich jede Bleiverbindung benutzen, die beim Glühen Bleioxyd liefert. *Op.*

R. Matthews. Herstellung von Bleiweifs³⁾. — Die Ausführung des Verfahrens geschieht in der Weise, daß Bleioxyd, Bleiglätte, Bleigelb (Massicot) oder abgeröstetes Bleicarbonat in Wasser gemahlen wird, bis eine wässrige Emulsion (Bleioxydmilch) gebildet ist. Diese Emulsion wird mit Essigsäure und Glycerin behandelt und in die vom ungelösten Rückstand abgezogene Flüssigkeit so viel Kohlensäuregas geleitet, daß sich basisches Bleicarbonat bildet. Der Zusatz von Glycerin hat den Zweck, ein festes Absetzen des Bleiweifs bzw. des Bleioxydes zu verhindern und dem ersteren eine gröfsere Deckkraft zu geben. *Op.*

E. Waller. Darstellung von Bleiweifs⁴⁾. — Man erhitzt bleicarbonathaltige Erze mit einer Lösung von Ammoniumacetat, condensirt das abdestillirende Ammoniumcarbonat und fällt mit demselben die aus den Erzen erhaltene filtrirte Lösung von Bleiacetat. Die neben Bleiweifs erhaltene Lösung von Ammoniumacetat wird wieder zur Aufschliessung frischer Erze benutzt. *Op.*

Kupfer.

Berthelot. Ueber einige sehr alte kupferne Gegenstände, welche aus Chaldäa stammen⁵⁾. — Der Verfasser hat eine Kupfer-

¹⁾ Chem. Centr. 65, II, 412; Chemikerzeit. 18, Rep. 189. — ²⁾ D. R.-P. Nr. 72619. — ³⁾ D. R.-P. Nr. 76199. — ⁴⁾ D. R.-P. Nr. 74179. — ⁵⁾ B. II. soc. chim. [3] 11, 859–861.

figur, welche wahrscheinlich aus dem 40. Jahrhundert vor Christi Geburt stammt, untersucht. Dieselbe ist mit einer dicken Patina bedeckt, und bis ins Innere hinein ist das Metall angegriffen. Die Analyse ergab die Werthe: 77,7 Proc. Cu; 3,9 Proc. H_2O ; 6,1 Proc. O; 1,1 Proc. Cl; 3,9 Proc. Si; 3,7 Proc. verschiedene Carbonate. Die Figur, welche ursprünglich aus reinem Kupfer bestand, hatte in Salzwasser gelegen, wodurch sich ein Kupferoxychlorür gebildet hatte. Dieses liefs an der Oberfläche grüne Efflorescenzen entstehen, welche sich an feuchter Luft vermehrten.

Ltm.

Berthelot. Ueber einige neue kupferne Gegenstände, welche aus Altägypten stammen¹⁾. — Da sich Gegenstände aus reinem Kupfer und solche aus Bronze, auch wenn dieselbe reich an Zinn ist, beim Liegen in der Erde ganz gleichartig verhalten, so sind solche in Museen meist in dieselbe Kategorie eingereiht worden, obgleich dies, dem verschiedenen Alter der Gegenstände gemäß, falsch ist. Der Chemiker kann durch Analyse hier eine Entscheidung treffen. Der Verfasser hat nun zwei Gegenstände, ein Bruchstück einer Vase und einen Ring von gleichem Aussehen, analysirt und dieselben ganz verschieden zusammengesetzt gefunden. Die Vase bestand ursprünglich aus reinem Kupfer, welches sich mit der Zeit ähnlich wie die im vorhergehenden Referate beschriebene Figur verändert hatte, der Ring dagegen enthielt auf 76,7 Proc. Cu 8,2 Proc. Zinn und 5,7 Proc. Blei. *Ltm.*

Berthelot. Ueber die langsame Veränderung von kupfernen Gegenständen im Erdboden und in den Museen²⁾. — Der Verfasser hat die Patina, welche solche kupferne Gegenstände angesetzt haben, die lange Zeit in der Erde gelegen haben, untersucht und gefunden, dafs dieselbe die Zusammensetzung: $3CuO, CuCl_2, 4H_2O$ besitzt. Entstanden denkt er sich diese Verbindung durch Einwirkung von Sauerstoff, Wasser, Chlornatrium und Kohlensäure auf das Metall: 1. $4Cu + 4O = 4CuO$; 2. $4CuO + 2NaCl + CO_2 + 4H_2O = 3CuO, CuCl_2, 4H_2O + Na_2CO_3$. Dafs nun aber der kupferne Gegenstand, auch wenn er aus der Erde entfernt ist, noch weiter oft bis ins Innere angegriffen wird, hat darin seinen Grund, dafs Spuren von Chlornatrium in den Capillaren der Patina geblieben sind, welche folgende Processe verursachen: $3CuO, CuCl_2, 4H_2O + 4Cu + 2NaCl = Cu_2Cl_2, 2NaCl + 3Cu_2O + 4H_2O$; $3Cu_2Cl_2 + 3O = 4H_2O = 3CuO, CuCl_2, 4H_2O + 2CuCl_2$; $CuCl_2 + 3Cu + 3O + 4H_2O = 3CuO,$

¹⁾ Bull. soc. chim. [3] 11, 861—863. — ²⁾ Compt. rend. 118, 768—770.

$\text{CuCl}_2 \cdot 4\text{H}_2\text{O}$. Es bildet sich also immer mehr von dem Oxichloride des Kupfers unter Mitwirkung des Sauerstoffs der Luft.

Ltm.

Edmund Jensch. Zur elektrolytischen Gewinnung von Kupfer nach dem Höpfner'schen Verfahren¹⁾. — Nach dem Höpfner'schen Verfahren (vergleiche das vorhergehende Referat²⁾) wurde das Kupfer hauptsächlich aus kupferärmeren Kiesen, wie sie aus den Suhtjema-Gruben in Nord-Norwegen gefunden werden, gewonnen. Dieses beruht darauf, daß die Kiese, welche sehr fein gemahlen worden sind, mit Kupferchlorid- und Chlorcalciumlösung ausgelaugt werden und zwar am besten bei 90°. Es bildet sich hierbei Kupferchlorür, welches in der Chlorcalciumlösung gelöst bleibt, und Schwefel; dabei muß aber ein großer Ueberschuß von Kupferchlorid angewendet werden, weil auch ein Theil der vorhandenen Eisensulfidverbindungen mit in Lösung geht. Die Lösung wird dann durch Filterpressen von der Gangart und dem Schwefel getrennt, und unter Anwendung einer Pergamentmembran mit einem dünnen Kupferblech als Kathode und paraffinirten Kohlenstäben als Anode elektrolysiert. Leider ist das Verfahren an Nebenumständen, wie Undichtwerden der angewendeten Holzbottiche, Unbrauchbarwerden der Membranen in den Pumpen für die Filterpressen und endlich Zerreißen der Pergamentpapierdiaphragmen bei der Elektrolyse, gescheitert.

Ltm.

Edmund Jensch. Das Verhalten von Coniferenholzern zu den Halogensalz-Kupferextractionsalzen²⁾. — Der Verfasser giebt eine genaue Beschreibung seiner Beobachtungen über die Einwirkung der für die Auslaugung von Schwefelkupfererzen angewendeten Kupferchloridchlorcalciumalzen auf verschiedene Holzsorten, welche zur Herstellung der Extractionstrommeln verwendet wurden. (Ueber das Verfahren selbst giebt das vorhergehende Referat Aufschluß.) Kleine Trommeln von 0,8 cbm Inhalt, welche vorher erst mit Chlorcalciumlauge behandelt worden und aus pitch-pine gefertigt waren, zeigten keine Undichtigkeiten im Betriebe. Bei einer größeren dagegen von 6,8 cbm Inhalt trat eine bedeutende Schwindung des Umfanges ein. War dieselbe zuerst für die Betriebsalzen undicht, so wurde sie plötzlich dicht, ohne daß mit einem Bohrer Verkrustung im Inneren nachgewiesen werden konnte. Eine aus polnischem Kiefernholze gefertigte und nicht präparierte Trommel von 7,6 cbm Inhalt zeigte ebenfalls Un-

¹⁾ Chemikerzeit. 18, 1906—1907. — ²⁾ Zeitschr. angew. Chem. 1894, S. 153—155.

dichtigkeiten und starkes Schwinden des Umfanges, dieselbe barst sogar im Betriebe und das Holz erwies sich als mehrere Millimeter tief verkohlt. Nach einer Analyse des Salzgehaltes dieses Holzes muß namentlich dem Kupferchlorid die Schuld an der Zerstörung des Holzes zugeschrieben werden. Zur Fällung des mitgelösten Eisens aus den Laugen durch Carbonate wurden dieselben in Bottiche aus pitch-pine, welche durch stark lackirte Eisenreifen gehalten waren, abgelassen. Aber auch hier wurde durch die heißen Laugen das Holz undicht und trotz der Lackirung bewirkten die Eisenreifen in der durchgesickerten Lauge massenhafte Ausfällung von Cementkupfer. Beim Erkalten der Laugen zogen sich die aus einander gegangenen Fugen wieder zusammen. Nach seinen Erfahrungen glaubt der Verfasser dem Holz der langsam gewachsenen Kiefer dem pitch-pine gegenüber den Vorzug geben zu müssen.

Ltm.

W. Stahl. Verarbeitung armer kupferhaltiger Schiefer mittelst Verwitterungsprocesses¹⁾. — Es ist oft die Beobachtung gemacht worden, daß der Verwitterungsproceß, welcher in Behandlung des zerkleinerten Erzes mit einer freien Salzsäure enthaltenden, aus Ferri- und Ferrochlorid bestehenden Lauge und Aussetzen des so vorbereiteten Materials der Luft besteht, zu lange Zeit in Anspruch nimmt und nicht genügend Kupfer und namentlich Silber ausbringt. Der Verfasser hat nun eine Beimengung von 6 bis 12 Proc. Alkalichlorid zu dem mit der Lauge vorbehandelten Erze für die Schnelligkeit der Verwitterung und die Ausbringung für vortheilhaft befunden. Es bildet sich hierbei Cupri- und Cuprochlorid, Oxychlorid und geringe Mengen basischen Kupfersulfates. Das Silber geht dann ebenfalls als Chlorid mit dem Alkalichlorid als Doppelverbindung in Lösung.

Idm.

G. Langbein. Elektrolytisches Kupferbad²⁾. — Das elektrolytische Kupferbad zum Galvanisiren enthält in Cyankalium gelöstes Cupri- und Cuprosulfid, das während der Elektrolyse keine Cyanverbindungen entweichen läßt.

Op.

Henry S. Washington. Ueber Kupferkrystalle im Aventuringlas³⁾. — Schon Gahn in Falun hat 1807 im Aventuringlase kleine Krystalle entdeckt. Wöhler hat dieselben dann aus metallischem Kupfer bestehend erkannt. Der Glanz des Glases wird durch Reflexion des Lichtes an diesen tafelförmigen Krystallen hervorgerufen. Der Verfasser hat nun verschiedene Proben

¹⁾ Berg- u. Huttenm. Zeitg. 53. 65. — ²⁾ D. R.-P. Nr. 72979.

³⁾ Sill. Am. J. 48. 411—418.

des Glases, theils solche nach unvollständiger Schmelzung, theils ehe und nachdem das Glas einer hohen Temperatur ausgesetzt worden war, untersucht. Das fertige Glas zeigt eine braune Farbe und ist mit unzähligen kleinen Flittern von bräunlich-gelber Farbe und brillantem Metallglanz durchsetzt. Dieselben sind von verschiedener Gröfse, aber alle sehr dünn und vollkommen undurchsichtig und stellen meist vollkommen symmetrische Hexagone oder Dreiecke dar, deren Ecken oft etwas vorspringen, so dafs die Kanten abgerundet erscheinen, außerdem haben sie ein skelettartiges Wachsthum. Höchst wahrscheinlich handelt es sich hier um octaëdrische Zwillinge. Kleinere Krystalle in diesem Glase sind theils von cubisch-octaëdrischer, theils rein octaëdrischer und endlich Zwillingsform. Diese Krystallgestalten sind auch von anderen Forschern schon am Kupfer beobachtet worden. Auch die kleinsten, welche 0,005 bis 0,0005 mm Gröfse besitzen, zeigen vollkommene Octaëderform. Das Glas selbst ist vollständig farblos und erscheint nur durch die Krystalle gefärbt. Das unvollständig geschmolzene Glas ist dunkler als das eben beschriebene und weniger durchsichtig; es besitzt eine mehr grünliche Farbe. Auch hier ist das Glas selbst ungefärbt und erhält die Farbe durch die in demselben enthaltenen Kupferkrystalle. Es enthält hauptsächlich mikroskopisch kleine Krystalle und ist ganz frei von den im fertigen Aventuringlase enthaltenen tafelförmigen Krystallen. Die Oberfläche dieses Glases, welche blaugrün erscheint, ist bedeckt mit vielen kleinen, sternförmigen Vertiefungen, die mit schwarzen Krystallen ausgefüllt sind. Diese schwarzen Krystalle bestehen aus Kupferoxyd, welches durch Oxydation des Kupfers an der Oberfläche des Glases sich gebildet hat.

Ltm.

Max Klemptner. Zur Wirkung des Kupfers auf den thierischen Organismus¹⁾. — Einige Forscher halten Kupfer für unschädlich für den Organismus, andere dagegen beobachteten Verdauungsstörungen, ja selbst bei längerem Gebrauche den Tod. Der Verfasser hat zu seinen Versuchen weinsaures Kupferoxydnatron angewendet und gefunden, dafs dasselbe alles Blut ausfällt. Die entstandene unlosliche Verbindung hält er für hämoglobinsaures Kupfer, welches 2 Proc. Cu enthält. Dieselbe ist in verdünntem Alkohol und Alkalisalzen unlöslich, löslich dagegen unter allmählicher Zersetzung in verdünnten Säuren. Alkalien verwandeln sie in eine rothe Lösung, welche das Oxyhämoglobinspectrum

¹⁾ Russ. Zeitschr. Pharm. 33, 485.

zeigt. Thiere, denen weinsaures Kupferoxydnatron intravenös, subcutan oder per os eingegeben wird, sterben sämmtlich nach einiger Zeit daran. Das Kupfer wird durch den Magendarmtractus, die Niere, Galle, Pankreas und Speicheldrüsen abgesondert und in Leber und Milz abgelagert. *Ltm.*

A. Tschirch. Das Kupfer vom Standpunkte der Toxikologie¹⁾. — Otto hatte der Ansicht des Verfassers, daß Kupfer kein Gift für Pflanzen sei, widersprochen, da er eine Schädigung der Pflanzen durch Kupfersalzlösungen beobachtet hatte. Der Verfasser will nun zwischen Aetzwirkung und Giftwirkung der betreffenden Kupfersalze unterschieden wissen und benutzte deshalb zu neueren Versuchen eine Normallösung, in welche Kupferoxyd gegeben worden war. Hierbei beobachtete er nicht nur nicht eine Schädigung der angewendeten Wasserpflanze, sondern im Gegentheil ein erhöhtes Wachsthum im Vergleiche mit einer ohne Kupferoxyd in derselben Normallösung wachsenden Pflanze. *Ltm.*

R. Kobert. Ueber den jetzigen Stand der Frage nach den pharmakologischen Wirkungen des Kupfers²⁾. — Verschiedene Forscher haben gefunden, daß Kupfer selbst in sehr starker Verdünnung noch tödtend auf Algen einwirkt. Auch für Pilze ist Kupfer ein heftiges Gift. Deshalb werden Kupfersalze, namentlich in Form der Bordelaiser Brühe, einem Gemisch von 3 kg CuSO_4 mit 2 bis 3 kg Aetzkalk auf 100 Liter Wasser zur Beseitigung des Mehlthaus auf dem Wein und der Kartoffelkrankheit angewendet. Das gebildete Kupferhydroxyd geht auf den Blättern der Pflanze in Carbonat über. Auch die Hefegährung wird durch geringe Kupfermengen verhindert. Selbst gegen Mikroorganismen, die den Menschen befallen, ist Kupfer hauptsächlich als ätzendes Salz mit großem Erfolge verwendet worden. — Um die schädlichen Pilze auf Pflanzen zu zerstören, kann auch ein Besprengen derselben mit stark verdünnter Kupfersulfatlösung ohne Schaden angewendet werden. Man hat im Gegentheil eine günstige Beeinflussung des Wachsthums der Pflanze, namentlich des Ertrages bei Weinstöcken, beobachtet. — Kupfer ist weiter als normaler Körperbestandtheil mehrerer Thiere erkannt worden; so enthalten die rothen Federn der Musophagiden 5,8 Proc. fest gebundenes Kupfer, ähnlich wie es beim Eisen im Hämoglobin der Fall ist. Ebenso ist Kupfer als Hämocyanin im Blute mancher

¹⁾ Zeitschr. osterr. Apoth.-Ver. 48, 831—832; Ref.: Chem. Centr. 66, I, 288. — ²⁾ Deutsche med. Wochenschr. 21, 5—7; Ref.: Chem. Centr. 66, I, 289; Deutsche med. Wochenschr. 21, 42—44; Ref.: Chem. Centr. 66, I, 345.

niederer Thiere (z. B. Molusken und Crustaceen) gefunden worden. Ebenso ist Kupfer im menschlichen Organismus, und zwar hervorgerufen durch kupferhaltige Nahrung, nachgewiesen worden. Es sind ja sogar kupferhaltige Präparate als Heilmittel empfohlen worden und zwar erstens gegen Hautkrankheiten, wobei selbst bei innerlicher Darreichung kein Nachtheil für die Gesundheit entsteht, endlich ist von Merck das Kupferhämol als innerliches Therapeuticum in den Handel gebracht worden, welches im Darmcanal, ohne Verdauungsbeschwerden hervorzurufen, resorbt wird.

Lam.

G. v. Kuorre. Ueber neuere Kupferlegirungen [Durammetall]¹⁾. — Der Verfasser hat eine von der Firma Hupertz und Harkort in Düren gefertigte und von der deutschen Marine namentlich für Torpedos verwendete Legirung (Durammetall) analysirt und im Mittel folgende Werthe gefunden:

Zinn und Antimon	2,22 Proc.
Eisen	1,71 „
Aluminium	1,70 „
Kupfer	61,78 „
Zink	29,50 „

Cadmium konnte der Verfasser nicht entdecken, trotzdem die Fabrikanten einen Gehalt an solchem angegeben hatten. Das specifische Gewicht betrug bei 16° 8,077. Endlich giebt der Verfasser noch die Analyse von bleihaltigem Messing, welches auch Eisen und Mangan, herrührend vielleicht von einem Zusatz von Ferromangan beim Schmelzen, enthält. Das Mittel aus zwei Analysen beträgt:

Kupfer	61,46 Proc.
Blei	0,86 „
Eisen	0,91 „
Mangan	0,76 „
Zink	35,98 „

Lam.

G. Neumann. Mangantrichlorid und Chlorokupfersäuren²⁾. — Der Verfasser hat zwei Doppelsalze des Mangantrichlorids so dargestellt, daß er zunächst in eine durch Kältemischung gekühlte und mit Chlor und Salzsäuregas gesättigte concentrirte Salzsäure Mangansuperoxyd eintrug und nach Abfiltriren in die dunkelbraune Flüssigkeit eine 10 proc. Chlorammonium- resp. Chlorkaliumlösung eintrug. Die Analyse der mit in der Kälte gesättigten

¹⁾ Zeitschr. angew. Chem. 1894, S. 238—239. — ²⁾ Monatsh. Chem. 15 489—494.

Chlorwasserstoffsäure gewaschenen dunkelvioletten Krystallmasse führte zur Formel $(\text{NH}_4)_2\text{MnCl}_6$ resp. K_2MnCl_6 . Die Krystalle lösen sich zuerst in Wasser mit brauner Farbe, die Lösung scheidet aber bald braune Flocken aus. Beim Erhitzen entweicht Chlor. Im Vacuum entsteht bald ein Manganoxydulsalz. Das freie Mangantrichlorid zu gewinnen, ist dem Verfasser nicht gelungen. Der Verfasser hat ferner eine ungefähr 40 proc. Kupferchloridlösung (in Kältemischung) mit Chlor und Salzsäure gesättigt und einen rothen krystallinischen Körper erhalten, der beim Absaugen grün wurde. Die Analyse führte zur Formel H_2CuCl_4 , im Gegensatz zu den von Engel und Sabatier gefundenen Formeln HCuCl_2 resp. H_2CuCl_4 . Bei gleicher Behandlung einer Kupferchlorürlösung erhielt der Verfasser perlgraue Nadeln, die sich in Wasser vollkommen farblos lösen und die Zusammensetzung HCuCl_2 besitzen. Der Verfasser schließt aus seinen Untersuchungen auf Constitutionsformeln, denen aber wohl nicht viel Werth beizumessen ist.

Ltm.

H. L. Wells. Ueber die Cäsiumcuprochloride¹⁾. — Beim Erhitzen einer Lösung von Cäsiumchlorid und Kupferchlorid mit Kupferdraht und Salzsäure entsteht eine chlorürhaltige Lösung, welche beim Abkühlen, wenn nur die Lösung verdünnt ist und einen Ueberschuß an Cäsiumchlorid enthält, weisse Prismen absetzt, welche beim Trocknen mit Fließpapier gelb werden, in trockenem Zustande aber beständig sind. Dieselben zeigen die Zusammensetzung: $\text{Cs}_2\text{Cu}_2\text{Cl}_5$. Werden bei Ueberschuß von Cäsiumchlorid concentrirtere Lösungen angewendet, so bilden sich farblose Krystalle, welche beim Versuche, sie umzukrystallisiren, sich in die vorher beschriebene Verbindung umwandeln. Beim Trocknen mit Fließpapier werden auch diese gelb, sind aber sonst beständig. Die Zusammensetzung ist: $\text{Cs}_2\text{Cu}_2\text{Cl}_7$. Enthält eine fast gesättigte Cäsiumchloridlösung nur wenig Kupferchlorür, so entsteht (allerdings unter enger Begrenzung der Bedingungen) beim Abkühlen ein hellgelbes Salz von der Zusammensetzung: $\text{Cs}_2\text{CuCl}_4 + \text{H}_2\text{O}$.

Ltm.

H. L. Wells und L. C. Dupee. Ueber die Cäsiumcuprichloride²⁾. — Die Verfasser haben eine Reihe von Cäsiumcuprichloriden dargestellt, welche sich in drei Typen ordnen lassen: 1. $\text{CsCl}:\text{CuCl}_2$ wie 2:1; 2. $\text{CsCl}:\text{CuCl}_2$ wie 3:2 und 3. $\text{CsCl}:\text{CuCl}_2$ wie 1:1. Das Doppelsalz Cs_2CuCl_4 ohne Krystallwasser entsteht beim Eindunsten einer Lösung, welche auf 50 g

¹⁾ Sill. Am. J. 47, 96—98. — ²⁾ Dasselbst, S. 91—94.

CsCl 5 bis 25 g CuCl_2 enthält, in gelben, rhombischen Prismen von beträchtlicher Größe, welche aus wenig Wasser durch Kühlung umkrystallisirt werden können. Ist die Lösung verdünnter, so entstehen wasserhaltige Doppelsalze. Das wasserhaltige Doppelsalz $\text{Cs}_2\text{CuCl}_4 + 2\text{H}_2\text{O}$ entsteht beim freiwilligen Verdunsten einer Lösung der berechneten Salzmenigen in bläulichgrünen Krystallen, welche an der Luft schnell ihr Krystallwasser unter Aenderung der Farbe in Hellgelb abgeben. Bei Sommertemperatur ist dieses Salz schwer zu erhalten. Das Doppelsalz $\text{Cs}_2\text{CuCl}_4 + 2\text{H}_2\text{O}$ entsteht bei Verdunsten von Lösungen der berechneten Mengen der Componenten bei gewöhnlicher Temperatur in triklinen, tiefbraunen, luftbeständigen Krystallen, welche bei 100° das Krystallwasser abgeben. Das Salz CsCuCl_3 entsteht bei ziemlich weiter Variation der Componenten, wenn nur das Kupferchlorid im Ueberschusse vorhanden ist, in granatrothen, hexagonalen Prismen und lässt sich aus Wasser umkrystallisiren. *Lm.*

H. L. Wells und P. T. Walden. Ueber die Cäsiumcupribromide¹⁾. — Die Verfasser haben im Gegensatze zu den Chloriden (siehe vorhergehendes Referat!) nur wasserfreie Bromide erhalten. Das Salz Cs_2CuBr_4 entsteht beim Eindunsten einer Lösung, welche 50 g CsBr und 5 bis 70 g CuBr_2 enthält, und beim Umkrystallisiren der zweiten Verbindung in undurchsichtigen, schwarzen Krystallen. Das Salz CsCuBr_3 dagegen bildet sich, wenn 50 g CsBr und 70 g CuBr_2 auf 200 ccm gebracht und diese Lösung dann mit Kupferbromid gesättigt wird, in dunkeln, bronzeschillernden Krystallen. *Lm.*

Theodore William Richards und Hubert Grover Shaw. Ueber Cupriammoniumdoppelsalze²⁾. — Die Verfasser haben mehrere neue Cupriammoniumsalze dargestellt, welche aufser einer Halogenwasserstoff- noch eine organische Säure enthalten. Nach Behandeln von Kupferbromid mit Alkohol und concentrirtem, wässrigem Ammoniak und Neutralisiren der Lösung mit Eisessig scheiden sich beim Abkühlen tiefblaue Krystalle aus. Dieselbe Verbindung entsteht bei analoger Anwendung von Kupferacetat und Ammoniumbromid. Sie wird durch reines Wasser in Kupferhydroxyd und basische Kupfersalze, Ammoniumacetat und -bromid zersetzt. Ein Lösungsmittel für die Verbindung ist eine concentrirte wässrige Lösung von Ammoniumacetat und -bromid, welche etwas Alkohol enthält. Säuren und Alkalien zersetzen

¹⁾ Sil. Am. J. 47, 94–96. — ²⁾ Chem. News 69, 21–22, 27–34, 47–49.

dieselbe, letztere unter Entwicklung von Ammoniak. Das Kupfer bestimmten die Verfasser elektrolytisch aus salpetersaurer oder schwefelsaurer Lösung, Brom und Ammoniak auf gewöhnliche Weise. Die Bestimmung der Essigsäure durch Destillation mit Phosphorsäure machte Schwierigkeiten, da bei der Destillation leicht etwas Bromwasserstoff und Phosphorsäure mit überging, die dann erst noch als Silbersalze bestimmt wurden, um von der Essigsäure in Abrechnung gebracht zu werden. Die Formel der Verbindung wurde so bestimmt als $\text{Cu}(\text{NH}_3)_2 \text{BrC}_2\text{H}_3\text{O}_2$. Beim Zusammenbringen concentrirter Lösungen von Kupferchlorid, viel Essigsäure, einem Ueberschusse an Ammoniak und von Alkohol entsteht eine Verbindung in blauen Blättchen mit Perlglanz, welche an der Luft langsam Ammoniak und Wasser abgeben, eine Zersetzung, die sich durch Aenderung der Farbe kundgibt. Wasser zersetzt dieselbe und nimmt etwas Kupfer gelöst auf. Die Verbindung hat die Zusammensetzung: $\text{Cu}(\text{NH}_3)_2 \text{ClC}_2\text{H}_3\text{O}_2 + \text{H}_2\text{O}$. Nach Behandeln von Kupferchlorid mit einem grossen Ammoniaküberschuss, Neutralisiren desselben mit Eisessig und Versetzen mit Alkohol entstehen beim Abdunsten desselben grosse, blaue Krystalle mit einem Stich ins Violette, welche sich in wenig Wasser unverändert auflösen, von mehr Wasser aber zersetzt werden. An der Luft zerfallen dieselben in ein bläsigrünes Pulver unter Abgabe von Wasser und Ammoniumacetat, im Exsiccator über Kalihydrat dagegen unter schneller Gewichtsabnahme in ein bläsviolettes Pulver, welches dann noch weiter langsam ohne Farbenänderung an Gewicht verliert und endlich nahezu, aber nicht vollständig, einfaches Cupriammoniumacetochlorid darstellt (siehe voriges Referat). Die Zusammensetzung des Präparates haben die Verfasser zu: $[\text{Cu}(\text{NH}_3)_2 \text{ClC}_2\text{H}_3\text{O}_2]_2 + 3 \text{NH}_4\text{C}_2\text{H}_3\text{O}_2 + 7 \text{H}_2\text{O}$ ermittelt. — Eine einigermaßen concentrirte Lösung von Cupribromid, welche ausserdem viel Ameisensäure und einen geringen Ueberschuss von Ammoniak enthält, giebt auf Zusatz von Alkohol tiefblaue Krystalle von der Zusammensetzung: $\text{Cu}(\text{NH}_3)_2 \text{BrCHO}_2$. Diese Verbindung entspricht also vollkommen dem Acetat. — Beim Mischen von Cuprichloridlösung mit Ammoniak und Essigsäure beobachteten die Verfasser, wenn Kupferchlorid und Ammoniacetat in nahezu äquivalenten Mengen vorhanden waren, namentlich bei Zusatz von Alkohol, die Bildung hellgrüner Krystalle, welche meist mit Salmiak verunreinigt, manchmal aber auch rein erhalten wurden. Die Zusammensetzung derselben ist: $\text{CuCl}_2 \cdot 2 \text{CH}_3\text{COONH}_4$. Wird eine Lösung von Kupferbromid und Ammoniak in Alkohol bis zur

Neutralisation mit concentrirter Bromwasserstoffsäure versetzt, so krystallisiren dunkel indigblaue Krystalle, welche schon an der Luft Ammoniak abgeben. Dieselben gehen bei 160° in ein olivengrünes Pulver der Formel $\text{Cu}(\text{NH}_4)_2\text{Br}_2$ über. Der blauen Verbindung geben die Verfasser nach ihren Analysen und wegen der Abgabe von 4NH_3 die Formel $3[\text{Cu}(\text{NH}_4)_2\text{Br}_2] \cdot 4\text{NH}_3$. Dieses wird durch Wasser in sich lösendes Salz der Formel $\text{Cu}(\text{NH}_4)_4\text{Br}_2$ Bromammonium und Kupferhydroxyd zersetzt. *Ltm.*

Paul Sabatier. Ueber das Kupferbromid ¹⁾. — Wenn man die blafsblaue, verdünnte Lösung von Kupferbromid in der Kälte verdunstet, so wird sie nach und nach dunkelgrün und endlich rothbraun, von der Farbe des Jods. Dann krystallisiren schwarz-zerfließliche Krystalle des wasserfreien Bromids, CuBr_2 , welche beim Erhitzen an der Luft zu einer schwarzen Flüssigkeit schmelzen unter Abgabe der Hälfte ihres Bromgehaltes, indem Kupferbromur und etwas Kupferoxybromid sich bilden. Beim Lösen derselben in Wasser von 12° werden 7,9 Cal. frei. Bei Winterkalte krystallisiren dagegen flaschengrüne Krystalle des Hydrates $\text{CuBr}_2 \cdot 4\text{H}_2\text{O}$. Beim Auflösen derselben in Wasser werden 1,5 Cal. bei $7,5^{\circ}$ gebunden. Der Verfasser berechnet für die Aufnahme von $4\text{H}_2\text{O}$ (im festen Zustande) durch $\text{CuBr}_2 + 3,7$ Cal., d. h. weniger als 1 Cal. für 1 Mol. H_2O . Er hat nun andererseits gezeigt, daß alle Salze, die bei Bindung eines Moleküls Wasser weniger als 2 Cal. geben, in trockener Atmosphäre verwittern. In der That verwandelt sich das grüne wasserhaltige Salz im Exsiccator in das schwarze wasserfreie. Ja sogar beim Erhitzen der grünen Lösung wird dieselbe braun und undurchsichtig. In Alkohol löst sich das wasserfreie Bromid mit dunkel gelbbrauner Farbe. Bringt man eine minimale Menge des Bromids in concentrirte Bromwasserstoffsäure, so entsteht eine wundervolle purpurne Farbe. Die Reaction ist so scharf, daß man, die Anwendung concentrirter Bromwasserstoffsäure vorausgesetzt, noch 1 Thl. Kupfer (gebunden an irgend welche Säure) in 30000 Thln. Wasser erkennen kann. Allerdings entsteht hier keine purpurne, sondern eine blaue Farbe. Es ist zur Reaction nicht nothig, freie HBr anzuwenden, man kann dieselbe durch KBr und H_3PO_4 ersetzen. Die Reaction wird nicht gestört durch Anwesenheit geringer Mengen von gefärbten Salzen. Dieselbe hat ihren Grund in der Bildung eines Bromhydrates des Kupferbromides. *Ltm.*

Paul Sabatier. Ueber ein Bromhydrat des Kupferbromids

¹⁾ Compt. rend. 118, 980—983; Bull. soc. chim. [3] 11. 676—678.

und ein rothes Natriumkupferbromid¹⁾. — Die Lösungen von Kupferbromid in Bromwasserstoff besitzen eine intensive Purpurfarbe (siehe das vorhergehende Referat), welche sich beim Verdünnen mit Wasser in Braun und dann in Grünlich umwandelt. Bei sehr geringen Kupfermengen entsteht eine lila Farbe. Eben- solche purpurfarbene Lösungen bilden sich beim Mischen der concentrirten braunen Kupferbromidlösungen mit concentrirten Bromkalium-, -natrium-, -lithium- und -calciumlösungen. Die Absorptionsspectren dieser sind dieselben wie die der Bromhydratlösung. Beim Verdünnen verschwindet auch hier die intensive Farbe. Man könnte meinen, daß diese starke Färbung durch Wasser- entziehung aus dem wasserhaltigen Salze entstehe. Diese An- nahme ist unrichtig, weil erstens die purpurne Farbe noch mit einer Bromwasserstoffsäure von dem Gehalte $\text{HBr} + 12$ bis $13 \text{H}_2\text{O}$ auftritt, welche also durchaus nicht mehr wasserentziehend wirkt, dann, weil die Färbung bei 100° verschwindet und beim Erkalten wieder auftritt, und endlich, weil aus den purpurnen Lösungen von CuBr_2 mit NaBr grüne Krystalle des wasserhaltigen Salzes $\text{CuBr}_2 + 4\text{H}_2\text{O}$ gewonnen werden können. Es handelt sich viel- mehr um Doppelsalze des Kupferbromids mit Bromwasserstoff und den Brommetallen. Die erste Verbindung hat der Verfasser kry- stallinisch gewonnen durch Einleiten von Bromwasserstoff in die concentrirte braune Lösung von CuBr_2 , wobei sich zunächst das anhydrische CuBr_2 in braunen Krystallen ausscheidet, welches aber bei längerem Einleiten des Gases wieder verschwindet. End- lich scheiden sich schwarze, sehr unbeständige Krystalle aus, deren Analyse den Verfasser ungefähr zur Formel $3\text{CuBr}_2 + 2\text{HBr} + 6\text{H}_2\text{O}$ führte. Derselbe möchte ihnen aber eher die Formel $\text{CuBr}_2 + \text{HBr} + 2\text{H}_2\text{O}$ in Analogie zur entsprechenden Chlor- wasserstoffverbindung zuschreiben. Mit einigen Schwierigkeiten hat er das zertheiliche Doppelsalz der Formel $\text{CuBr}_2 + \text{KBr}$ erhalten, welches beim Erhitzen sich unter Bromabgabe zersetzt. Das zersetzte Salz giebt mit Wasser Kupferbromür und Brom- kalium in Analogie zu dem entsprechenden chlorhaltigen Doppel- salze.

Ltm.

Paul Sabatier. Absorptionsspectren des Kupferbromids²⁾. — Der Verfasser hat die Absorptionsspectren der verschieden concentrirten Lösungen des Kupferbromids, welche sich in ihrer Farbe unterscheiden (siehe die vorhergehenden Referate), untersucht

¹⁾ Compt. rend. 118, 1260—1263; Bull. soc. chim. [3] 11, 681—683 —

²⁾ Compt. rend. 118, 1042—1045; Bull. soc. chim. [3] 11, 678—679.

unter Anwendung eines Spectrometers von Crova und von Auerbrennern als Lichtquelle, deren Intensität durch besondere Blendenvorrichtung (oeil-de-chat) geregelt werden konnte. Die verdünnten blauen Lösungen, z. B. CuBr_2 in 8 Litern, geben eine einigermaßen ausgesprochene Absorption in Roth. Dieselbe nimmt dann rasch ab und wird sehr schwach vom Grün an. Beim Erhitzen dieser Lösungen nähert sich das Absorptionsspectrum dem der concentrirteren grünen Lösungen. Diese grünen Lösungen (275 g CuBr_2 im Liter) absorbiren sehr stark im Roth, die Absorption erreicht ein Minimum bei $\lambda = 555 \mu\mu$, dann steigt dieselbe stark beim Blau und Indigo. Die stark concentrirten braunen Lösungen (600 bis 1000 g CuBr_2 im Liter) sind so opak, daß sie der Verfasser nur in einer Schicht, deren Dicke weniger als 1 mm betrug, untersuchen konnte. Hier liegt das Minimum der Absorption bei $\lambda = 640 \mu\mu$. Dieselbe steigt sehr schnell nach der Seite des Grün. Die alkoholischen Lösungen des wasserfreien Bromids zeigen dieselben Absorptionsverhältnisse wie die concentrirtesten wässrigen Lösungen. Die zur Berechnung des reciproken Absorptionscoefficienten (coefficient de transmission) α angewendete Formel war: $\log \alpha = \frac{n(\log m - 2)}{e}$, wo n die Anzahl Liter, in der $\frac{1}{100}$ Molekulargewicht CuBr_2 , also 0,634 g enthalten ist, m das Verhältniß (für 100) des durchgelassenen Lichtes und e die Dicke der Schicht bedeutet. Ltm.

Paul Sabatier. Absorptionsspectren der Lösungen von Kupferbromid in Bromwasserstoff¹⁾. — Im Vergleiche zu den Lösungen von Kupferbromid in Wasser und Alkohol (siehe das vorhergehende Referat) sind die in concentrirter Bromwasserstoffsäure von gleichem Kupfergehalte beinahe undurchsichtig. Zur Prüfung der Absorptionsspectren mußte der Verfasser entweder sehr dünne Schichten oder Lösungen von ganz geringem Kupfergehalte anwenden. Er machte dabei die Beobachtung, daß solche Lösungen in Bromwasserstoff sich zersetzen unter Freiwerden von Brom und zwar um so energischer, je mehr Kupfer in denselben enthalten ist, auch wenn das Licht zu denselben keinen Zutritt hat. Es hat diese Zersetzung wahrscheinlich ihren Grund in der Oxydation des Bromwasserstoffs durch Mithilfe des Metallbromides; denn in der That wird auch das Lichtabsorptionsvermögen der Flüssigkeit geringer. Die Absorption des Lichtes durch das Bromhydrat des Kupfers ist am schwächsten im Roth,

¹⁾ Compt. rend. 118, 1144—1146; Bull. soc. chim. [3] 11, 679.

nimmt dann schnell zu, erreicht bei $\lambda = 503 \mu$ ein Maximum und nimmt dann wieder ab.

Ltm.

K. Höpfner. Darstellung von Kupferoxydul¹⁾. — Gemahlene schwefelkupferhaltige Erze und Hüttenproducte werden mit einer warmen Lösung von Kupferchlorid in Kochsalz ausgelaugt. Die erhaltene Kupferchloridlösung wird von den Rückständen getrennt und darauf von Silber, Wismuth, Eisen, Arsen, Antimon, Blei u. s. w. durch Zusatz von Kupferoxydul oder aber durch Alkalien, alkalische Erden gereinigt, worauf die nunmehr reine Kupferchloridlösung getheilt wird. Die eine Portion wird durch Zusatz von Alkalien oder deren Carbonaten von Kupfer befreit, die andere durch Einwirkung von Säuren unter dem Einfluss der atmosphärischen Luft wieder in Kupferchloridlauge umgewandelt, um von Neuem zur Erzlaugerei verwendet zu werden.

Op.

Athanasosco. Untersuchungen über basische Nitrats²⁾. — Verfasser hat, um basische Nitrats des Kupfers zu erhalten, folgenden, von ihm früher an den Sulfaten geprüften Weg eingeschlagen. Er kocht zu diesem Zwecke zuerst eine neutrale concentrirte Kupfernitratlösung mit einem Ueberschuss von gefälltem Kupfercarbonat, indem er von Zeit zu Zeit das verdampfende Wasser ersetzt. Nach zwei- bis dreistündigem Kochen filtrirt er die siedende Flüssigkeit und erhitzt sie hierauf in verschlossenen Röhren einige Stunden. Eine Krystallisation erzielt man nur dann, wenn man beim Erhitzen die Temperatur 300° erreicht oder auch wohl ein wenig überschreitet. Man gewinnt so schöne Krystalle, die eine Länge von 3 mm erreichen können und von smaragdgrüner Farbe sind. Dieselben sind unlöslich in Wasser, leicht löslich in Säuren, verlieren gegen 160° ihr Wasser und bei 175° ihre Salpetersäure. Die Formel für dieses basische Kupfernitrats ist: $(\text{NO}_3)_2\text{Cu} \cdot 3\text{CuO} \cdot 3\text{H}_2\text{O}$. Das Salz ist identisch mit der von Gerhardt beschriebenen Verbindung.

Zr.

A. Arzruni und E. Schütz. Krystallisirte Verbindungen, gebildet beim Deaconprocess³⁾. — Der Deaconprocess besteht darin, dass Chlor durch Ueberleiten von mit Luft gemischtem, erhitztem Chlorwasserstoff über mit Kupfersalzen getränkte poröse Thonkugeln bei 500° erzeugt wird. Nach einiger Zeit werden die Thonkugeln unwirksam und werden ausgewechselt. Die verbrauchten zeigen sich sehr oft mit Krystallen bedeckt, die sich zusammen mit den Kupfersalzen aus den Verunreinigungen der

¹⁾ D. R.-P. Nr. 73 179. — ²⁾ Bull. soc. chim. [3] 11, 1112–1114.

³⁾ Zeitschr. Kryst. 23, 529–535.

rohen Salzsäure, Eisenchlorid und Arsenschlorür, bilden. Es ist den Verfassern möglich gewesen, vier verschiedene Substanzen analytisch und krystallographisch zu untersuchen. Zunächst hat sich oft feinschuppiger Eisenglanz abgelagert, dann folgt eine schwarze, in dünnen Schichten rothbraun durchscheinende Substanz, welche triklin krystallisirt, und der die Zusammensetzung $\text{Cu}(\text{Fe}_2)_2\text{As}_4\text{O}_{17}$ oder $\text{CuO}, 2\text{Fe}_2\text{O}_3, 2\text{As}_2\text{O}_5$ zugeschrieben wird. Ferner haben die Verfasser einen, in schön rothbraunen, monoklinen Krystallen abgelagerten Körper mit der Zusammensetzung $\text{Fe}_2(\text{AsO}_4)_2$ gefunden. Am seltensten hatte sich endlich die Verbindung $\text{Fe}_2(\text{AsO}_4)_2 \cdot 10\text{H}_2\text{O}$ in farblosen, dünnen, rhombischen Tafeln gebildet. Erklärt wird die Bildung dieser Körper so, daß zunächst durch die vorhandene Luft bei hoher Temperatur hochoxydirte Substanzen entstehen, während später die Oxydation nicht mehr so hoch steigt und endlich bei stärker fallender Temperatur sich auch das Wasser an der Bildung der Körper theiligt.

Ltm.

Quecksilber.

F. Janda. Verhüttung der Zinnobererze¹⁾. — Der Gehalt der Quecksilbererze an Bitumen und anderen organischen Bestandtheilen ist bei der pyrometallurgischen Verarbeitung derselben besonders wichtig wegen der Stuppbildung, die dieselben verursachen. Der Bitumengehalt wird durch die Gewichtsabnahme des Erzes nach dem Ausziehen desselben mit Terpentinöl bestimmt. Das Bitumen ist ein kohlenstoffreiches, etwas stickstoffhaltiges Gemenge. Dasselbe giebt bei der trockenen Destillation zwei Drittel an flüchtigen Substanzen ab, während ein Drittel als fester kohlenstoffreicher Rückstand bleibt. Die Verhüttung ist eine oxydirende Röstung mit Destillation, sie geschieht in Idria in Schüttröstöfen, in Fortschaukelungsöfen, beide mit directer Heizung durch Scheitholz, endlich in Schachtöfen mit Holzkohle. Bei der Verhüttung im Schachtöfen entsteht: 1. Quecksilber, 2. Stupp aus dem Mineral und dem Brennmaterial, 3. Rauchgase, 4. Rauchgaswasser und 5. Brennrückstände. Die Stupp enthält bis zu 71,38 Proc. Hg und zwar 65 Proc. in freiem Zustande, den übrigen Theil meist an Schwefel und in geringem Mafse an einige Säuren gebunden. Als Kohlenwasserstoffe sind Fluoranthren ($\text{C}_{18}\text{H}_{16}$), Phenanthren, Pyren und Chrysen vorhanden. Gepreßte Stupp enthält nur 18 Proc. Quecksilber, von denen 14 Proc. im freien Zustande

¹⁾ Oesterr. Zeitschr. Berg- u. Hüttenw. 42, 267—271, 284—286, 297—299.

zugegen sind. Auch in der Flugasche ist noch 1 Proc. Hg und zwar ungefähr ein Drittel davon als metallisches enthalten. Das Rauchgas enthält durch Verbrennung gasförmiger Kohlenwasserstoffe, nämlich Methan und Aethylen, wesentlich Kohlensäure, Kohlenoxyd, Wasserdampf und Stickstoff, endlich schweflige Säure und ganz wenig Schwefelwasserstoff. Das Rauchgaswasser reagirt stark sauer, riecht intensiv nach Schwefeldioxyd und scheidet nach langer Zeit etwas Schwefel ab. Es enthält Quecksilber in Form von Oxydulsalzen, Cyan ist nicht nachzuweisen. Dagegen ist ziemlich viel Eisen und verschiedene Kohlenwasserstoffe in ihm enthalten. Das Condenswasser aus Schüttröstöfen oder Fortschaufelungsöfen hat im Gegensatz zu dem eben besprochenen Cyan aufgenommen, auch ist Kreosot, stammend aus dem zur Röstung dienenden Holze, nachzuweisen. — Der Verfasser führt nunmehr einige Daten über die Verflüchtigung und Verbrennung des Zinnobers an. Bei 350° verflüchtigt sich derselbe leicht und verbrennt, wenn genügend atmosphärische Luft zugegen ist, zu Hg und SO_2 . Zur vollkommenen Verflüchtigung des Zinnobers ist schwache Rothgluth nöthig, dieselbe geschieht bei dichtem Erze langsamer als bei porösem. Der Verfasser führt dann Formeln über die Abfuhr der Wärme in den Condensatoren an, deren Wiedergabe zu weit führen würde. Endlich spricht er sich noch über die Verdichtung des Quecksilbers aus. Dasselbe fließt bei der Condensation leicht zusammen, wenn dasselbe rein ist. Bei der Verhüttung ist es aber mit fettigem Russe vermischt und bleibt so äusserst fein vertheilt. Ist der Rufs dagegen nicht fettig, so läßt sich auch hier leichter eine Vereinigung des Quecksilbers erzielen. Reines Quecksilber siedet rasch bei 360° und condensirt sich sehr leicht und schnell. Unreines siedet dagegen höher und viel langsamer, als das reine. — Die Verflüchtigung des Quecksilbers aus dem Erze geschieht zum Theil als Zinnober, zum Theil als Metall. Quecksilber ist in allen Theilen der Condensationsvorrichtungen bis in die Esse hinein zu finden. Durch die sich bei der Röstung bildende schweflige Säure werden im Verein mit Wasser auch Quecksilbersulfat und -sulfid gebildet, welche im Condenswasser sich wiederfinden. Möglichst gebunden wird diese Säure aber durch Zusatz von Kalkstein, so daß durch starken Verbrauch des letzteren ein Entweichen des Schwefeldioxydes aus der Esse möglichst vermieden wird. Die Bildung von Ammoniak und Cyanwasserstoff wird durch den Stickstoffgehalt des Bitumens und des Brennmaterials, endlich auch der Luft bewirkt; daß in den Rauchgasen der Schachtöfen kein Cyanwasserstoff auftritt,

hat sicher in der dort herrschenden sehr hohen Temperatur, bei welcher durch den Sauerstoff der Luft derselbe zersetzt wird, seinen Grund. Das in dem Condenswasser nachzuweisende Chlor entstammt sicher dem Brennmateriale. Die *Brennrückstände* endlich enthalten nur dann sehr wenig Quecksilber, wenn die Erzposten einen bedeutenden Bitumengehalt besitzen. In diesem Falle muß auch zur Verflüchtigung des Metalles eine höhere Temperatur angewendet werden, als wenn das Erz bitumenarm ist. *Ltm.*

Karl Mitter. Ueber das alte und moderne Quecksilberverhüttungswesen in Idria¹⁾. — Die Abhandlung enthält einen Auszug eines Vortrages, der auf dem Klagenfurter Bergmannstage gehalten wurde. Es behandelt derselbe die geschichtliche Entwicklung der Quecksilbergewinnung. Zuerst wurde das Metall aus dem Zinnobererze in mit abwechselnden Holzlagen versehenen, mit Erde bedeckten Haufen ausgebrannt; dann in über einander gestülpten Topfen zwischen Holzhaufen. Dann geschah die Gewinnung in eisernen Retorten. Endlich construirte man Oefen, welche eine fortgesetzte Verbesserung erfuhren, bis in heutiger Zeit die durch Exeli, Čermak und Novák construirten Schachtöfen mit Steinzeugcondensator die älteren Systeme verdrängt haben. In diesen wird die Stupp mit Thonmehl gemischt und in Ziegelform gepreßt mit Holzkohle gebrannt. Endlich sind noch geeignete Pressen für Gewinnung des Quecksilbers aus der Stupp construiert worden. *Ltm.*

A. Hilger und Ed. v. Raumer. Ueber den Quecksilbergehalt der Luft in Spiegelbeleganstalten²⁾. — Die Verfasser haben den Quecksilbergehalt der Luft so bestimmt, daß sie dieselbe nach sorgfältiger Befreiung von Staub mit Hilfe eines Asbeströhrchens durch zwei mit Blattgold gefüllte Röhrchen saugten und dann durch Salpetersäure, Natronlauge und endlich zur Messung des Volumens durch eine Gasuhr treten ließen. Es zeigte sich hierbei, daß meist das zweite Goldblattröhrchen keine Gewichtszunahme aufwies, und daß auch die in den Belegsälen überhaupt als Gas vorhandene Quecksilbermenge sehr klein ist, so daß die von den Arbeitern eingeathmete Quecksilbergasmenge als verschwindend bezeichnet werden muß; sie beträgt nämlich für das Jahr 0,360 g Hg, während in der Medicin als größte Tagesdosis 0,0738 g Hg angenommen wird. Die Menge des *mechanisch verschleuderten* Quecksilbers ist dagegen bedeutend größer, sie

¹⁾ Berg- u. Hüttenm. Zeitg. 53, 144—145. — ²⁾ Forschungsber. über Lebensm. 1, 32—37; Ref.: Chem. Centr. 65, I, 291.

beträgt z. B. an den Belegtischen in Mundhöhe pro Tag und Quadratmeter 0,999 g. Die Methode der Bestimmung des Quecksilbers durch Goldblättchen haben die Verfasser im Gegensatz zu Kunkel als völlig exact befunden. *Idm.*

K. A. H. Möerner. Verdampfen von Quecksilber in den Wohnräumen¹⁾. — In Zimmern, in denen die Luft mit Sublimat desinficirt worden war, konnte der Verfasser durch Goldblättchen in der Tapete, dem Fußboden u. s. w. Quecksilber nachweisen. Ebenso verhielten sich manche nicht desinficirte Tapeten, welche also als quecksilberhaltig anzusehen waren. Die solche Zimmer bewohnenden Personen litten nur an einer gewissen Beeinflussung des Wohlbefindens, ein dauernder Schaden entstand nicht. Es konnte im Harn derselben Quecksilber nachgewiesen werden. Doch ist die Mahnung berechtigt, besser die Desinfection von Wohnräumen nicht mit Sublimat vorzunehmen. *Idm.*

H. Arctowski. Mittheilungen über Löslichkeitsverhältnisse. I. Mittheilung: Ueber die Löslichkeit der Quecksilbersalze in Schwefelkohlenstoff²⁾. — Verfasser hat seine früheren Versuche³⁾ fortgesetzt und die Löslichkeit von Quecksilborhalogeniden zwischen -76 bis $+29^{\circ}$ bestimmt. Als Löslichkeit betrachtet Verfasser den von Etard angegebenen Ausdruck: Salz

Salz + Flüssigkeit
Die erhaltenen Resultate sind auch graphisch wiedergegeben. Da die geradlinigen Curven einige Knicke erkennen lassen, glaubt Verfasser annehmen zu dürfen, dafs bei der Auflösung eine Verbindung des gelösten Körpers mit dem Lösungsmittel (analog den Hydraten) stattfände. *Mr.*

Edward Divers. Die Fabrikation von Calomel in Japan⁴⁾. — Nach einer Besprechung der Geschichte und der Literatur der Calomelfabrikation in Japan beschreibt der Verfasser an der Hand von Abbildungen der hierzu verwendeten Apparate diese Fabrikation selbst. Das japanische Calomel (Keifun genannt) ist weifs oder schwach gelb und frei von Sublimat und metallischem Quecksilber. Zur Darstellung desselben dient Quecksilber, welches aus Europa bezogen wird, ferner ein rother Thon, welcher aus Quarz, Kaolin, Ferrioxyd, an Kieselsäure gebunden, und ein wenig Biotit besteht; als chlorlieferndes Mittel wird Seesalz oder Soole (bittern) verwendet, doch wird wohl nur das in diesen enthaltene

¹⁾ Chemikerzeit. 18. 276. — ²⁾ Zeitschr. anorg. Chem. 6. 260–267. —

³⁾ Dasselbst, S. 255; Belg. Acad. Bull. 27. 372–382. — ⁴⁾ Chem. Soc. Ind. J. 13. 108–111.

Magnesiumchlorid und nicht das Kochsalz unter Mitwirkung des Luftsauerstoffs, welcher reichlich Zutritt hat, chlorirend wirken. Das Calomel wird in einem sehr einfachen thönernen Ofen mit Hülfe von Holzfeuerung aus eisernen Töpfen, die bis auf einen Cylinder im Inneren, in welchem sich das Reactionsgemisch befindet, mit dem rothen Thon gefüllt sind, direct in übergestülpte unglasirte Thonkappen sublimirt, aus welchen es durch Abklopfen entfernt wird. Der chemische Process spielt sich nach der Gleichung ab: $4 \text{Hg} + 4 \text{HCl} + \text{O}_2 = 4 \text{HgCl} + 2 \text{H}_2\text{O}$. *Ltm.*

Walter Harris und Victor Meyer. Ueber den Molekularzustand des Calomeldampfes¹⁾. — Die Verfasser gehen zunächst auf die Geschichte der Dampfdichtebestimmung von Calomel ein. Die Dichte wurde stets der einfachen Formel HgCl entsprechend zu 8,2 gefunden. Später wurde aber bei Verdampfung von Calomel das Auftreten von Quecksilberdampf bemerkt. Dies konnten die Verfasser ebenfalls durch momentanes Eintauchen eines Goldblättchens in den Dampf bestätigen. Sie führten weiter Dampfdichtebestimmungen nach der Luftverdrängungsmethode in Schwefel- oder Phosphorpentasulfiddampf aus, und zwar sowohl von Calomel als einem molekularen Gemisch von Sublimat und Quecksilber, und fanden in beiden Fällen die Dichte 8,2. Bei letzterem Versuche hatte sich stets nach dem Abkühlen Calomel gebildet. Zum Nachweise der Dissociation des Calomeldampfes wendeten die Verfasser einmal den Versuch: Calomel in einem porösen Thoncylinder verdampfen zu lassen, an und fanden ausserhalb desselben eine ganz beträchtliche Menge von Quecksilber abgeschieden. Dann brachten sie ein vorher erhitztes Stück von Aetzkali in den Calomeldampf und konnten hier nur die Bildung von Quecksilberoxyd, nicht aber von Oxydul beobachten. Da sich nun das Quecksilberoxydul bei der angewendeten Temperatur nur langsam in Oxyd und Metall zersetzt, wie durch besondere Versuche nachgewiesen wurde, so muß das Oxyd primär aus vorhandenem Sublimat entstanden sein. Nach diesen chemischen Versuchen können somit die Dampfdichtebestimmungen nicht zum Beweise der Formel HgCl herangezogen werden, und es muß für Calomel, da Verbindungen einwerthigen Quecksilbers sonst nicht beobachtet worden sind, die Formel Hg_2Cl_2 angenommen werden eine Formel, die für die Dissociation folgende Gleichung giebt: $\text{Hg}_2\text{Cl}_2 = \text{HgCl}_2 + \text{Hg}$. *Ltm.*

M. Fileti. Ueber das Molekulargewicht des Quecksilber-

¹⁾ Ber. 27, 1482—1489.

chlorürs¹⁾. — Im Gegensatze zu Harris und V. Meyer, welche aus ihren Versuchen (siehe vorhergehendes Referat) auf die Formel Hg_2Cl_2 schlossen, giebt der Verfasser dem Calomel die Formel HgCl und zwar weil Calomel eine so geringe latente Verdampfungswärme besitzt, also die Dissociation desselben eine ganz begrenzte ist, und in Folge dessen für Hg_2Cl_2 die Dampfdichte viel näher an 16,28 als an 8,16 liegen müßte, was nicht der Fall ist. Fileti hat nun Calomel in Quecksilberchloriddampf verdampft und hier erstens keine Amalgamation von Gold wahrnehmen können, ein Befund, der zeigt, daß hierbei Calomel nicht dissociert wird; und zweitens die Dampfdichte in dieser Atmosphäre beim Siedepunkt des Quecksilbers zu 8,01 und 8,30 gefunden, während die Theorie 8,14 verlangt.

Ltm.

Victor Meyer. Der Molekularzustand des Calomeldampfes²⁾. — Fileti²⁾ schreibt im Gegensatze zum Verfasser (siehe vorhergehendes Referat) dem Dampfe von Calomel die der Formel HgCl entsprechende Dichte zu und zwar weil dasselbe auch in einer sublimathaltigen Luft diese Dichte zeigt, und weil dasselbe, wenn es zugleich mit Sublimat verdampft, gekühltes Gold nicht zu amalgamiren vermag. Der Verfasser tritt dieser Ansicht nicht bei und zwar erstens, weil die von Fileti bei Gegenwart von wenig Sublimatdampf gefundene Dichte des Calomels nur beweist, daß auch etwas Sublimat die Zersetzung des Calomels in Quecksilber und Sublimat nicht aufzuheben vermag. Dem zweiten Versuche Fileti's, daß ein Gemisch von Calomel und Sublimat gekühltes Gold nicht amalgamirt, hat der Verfasser dadurch seine Beweiskraft genommen, daß er experimentell nachgewiesen hat, daß auch ein Gemisch von metallischem Quecksilber mit der dreifachen Menge Sublimat nicht im Stande ist, diese Amalgamirung zu bewirken, während z. B. ein Gemisch von Quecksilber mit viel Salmiak dies sehr energisch thut.

Ltm.

O. Schweifsinger. Verhalten von Jodoform zu Calomel³⁾.

— Läßt man Jodoform und Quecksilberchlorür innig gemischt längere Zeit stehen, so wandelt sich das Gemisch in eine rothe Masse um, in der weder HgCl noch CHI_3 mehr zu erkennen sind. Es ist eine vollständige Umwandlung in Quecksilberjodid und Chloroform eingetreten.

Ltm.

H. Arctowski. Untersuchungen über die Flüchtigkeit des

¹⁾ J. pr. Chem. [2] 50, 222—223. — ²⁾ Ber. 27, 3143—3145. — ³⁾ JB. f. 1881, S. 6. — ⁴⁾ Pharm. Centr.-H. 35, 455, Ref.: Chem. Centr. 65, II, 562.

Quecksilberchlorids¹⁾. — Der Verfasser hat zunächst durch Versuche die Flüchtigkeit des Sublimats auch bei gewöhnlicher Temperatur nachgewiesen. Zu dem Zwecke hat er eine von kaltem Wasser durchströmte, gebogene Röhre in eine Flasche gebracht, welche am Boden einige Sublimatkrystalle enthält. Bei einer Temperatur von 19° konnte er nach einiger Zeit kleine Kryställchen an der kalten Röhre wahrnehmen. Auch quantitativ hat er diesen Vorgang verfolgt, indem er Quecksilberchlorid und -bromid in kleine Schälchen brachte, welche in einem von einem constanten Luftstrome durchflossenen Raume sich befanden, und Gewichtsabnahme nach einer bestimmten Zeit feststellte. Weitere Ueberlegungen und Versuche haben dann den Verfasser zu dem Resultate geführt, daß eine Temperaturgrenze der Flüchtigkeit praktisch wohl existirt, theoretisch dieselbe aber erst beim absoluten Nullpunkte liegt. Daher ist auch eine directe Messung der Dampfspannung des Quecksilberchlorids bei gewöhnlicher Temperatur unmöglich. Der Verfasser hat deshalb, anfangend von einer Temperatur von ungefähr 60°, die Gewichtsabnahme einer Menge von Quecksilberchlorid mit einer bestimmten Salzoberfläche in einer gegebenen Zeit und unter sonst gleichen Bedingungen bestimmt, und die verdampfte Menge als Function der Temperatur gemessen. Er hat hierzu einen Apparat verwendet, bei welchem ein constanter Luftstrom den Raum durchstreicht, in dem aus einer kleinen Schale das Sublimat verdampft. Dieser Raum wird umspült von den Dämpfen einer unter dem Apparate siedenden Flüssigkeit, welche oberhalb des Apparates durch Kühler verdichtet werden. Durch diese Versuche hat der Verfasser, indem er als Abscissen die Temperaturen, als Ordinaten die Gewichtsverluste eintrug, eine Curve erhalten, welche sich asymptotisch der Temperaturaxe nähert: es ist dies die Curve der Sublimations-
spannungen. *Lpm.*

C. E. Linebarger. Eine isotherme Curve für die Löslichkeit von Quecksilber- und Natriumchlorid in Essigäther²⁾. — Der Verfasser untersuchte zunächst die Löslichkeit beider Salze für sich in Essigäther und fand, daß bei 40° an Quecksilberchlorid 16 Mol. von 100 Mol. Lösungsmittel aufgenommen werden, und daß die Löslichkeit mit der Temperatur nicht sehr stark schwankt. Bei 40° nehmen 100 Mol. Essigäther nur 0,037 Mol. Chlornatrium auf. Anders wird das Verhältniß bei gleichzeitiger Anwesenheit

¹⁾ Zeitschr. anorg. Chem. 7, 167—175. — ²⁾ Amer. Chem. J. 16, 214—216.

beider Salze. Es bildet sich das Doppelsalz $(\text{HgCl}_2)_2 \cdot \text{NaCl}$, wenn beide im Ueberschusse vorhanden sind, indem 100 Mol. Lösungsmittel 40 Mol. HgCl_2 und 20 Mol. NaCl aufnehmen. Um das Verhältniß beider Salze bei veränderten Bedingungen, aber derselben Temperatur, zu studiren, hat der Verfasser NaCl nicht vermehrt, wohl aber nach und nach das Lösungsmittel, und hat stets für einen Ueberschuß an HgCl_2 gesorgt. Die Lösungen enthalten bei 40° in 100 Mol. Essigäther:

cl. HgCl_2	40,0	38,1	36,0	34,9	34,8	32,1	28,0	22,8	18,0	16,4	14,1	13,2	12,4	12,0	12,2	12,9
cl. NaCl	20,0	19,6	19,2	18,5	18,3	13,8	9,1	7,0	5,1	4,3	3,8	2,9	2,3	1,6	1,3	0,8

Ltm.

Léo Vignon. Ueber die Beständigkeit verdünnter Lösungen von Sublimat¹⁾. — Der Verfasser hat durch Versuche dargethan, daß Quecksilberchlorid, welches 60 Stunden auf 80° erhitzt worden ist, 4 Proc. an Gewicht verliert, und daß der Rückstand reines HgCl_2 ist. Er hat ferner gezeigt, daß stark verdünnte Sublimatlösungen beim Eindampfen im Vacuum reines HgCl_2 hinterlassen, und daß dieselben, wenn sie mit ammoniak- und staubfreier Luft in Berührung sind, sich nicht verändern. An freier Luft dagegen verändern sich die Lösungen so, daß der Gehalt an reinem Quecksilberchlorid abnimmt. Der Grund davon liegt in der Einwirkung von Ammoniak und Staub der Luft und des Alkaligehaltes des Glases oder des zur Lösung verwendeten Wassers. Besondere Versuche, bei denen der Verfasser auf 1 Mol. HgCl_2 $\frac{1}{10}$ Mol. Natronlauge, Na_2CO_3 und Ammoniak einwirken ließ, haben ergeben, daß die niedergeschlagene Quecksilbermenge immer größer als die berechnete ist und mit der Zeit zunimmt, daß aber die Schnelligkeit der Ausfällung und die Art und das Aussehen des Niederschlages sehr schwankt. Ltm.

Léo Vignon. Ueber die Beständigkeit verdünnter Lösungen von Sublimat²⁾. — Die Veränderung von Sublimatlösungen ist alkalischen Substanzen, welche aus dem zur Lösung angewendeten Wasser, der Luft und dem die Lösung einschließenden Glase stammen, zuzuschreiben (vergleiche vorhergehendes Referat). Durch die Gegenwart von Salzsäure (welche die Alkalien neutralisirt) und Alkalichloriden wird die Beständigkeit der Sublimatlösungen bedeutend erhöht, und zwar hat der Verfasser diese Wirkung zahlenmäßig untersucht. Er hat dabei gefunden, daß Chloratrium eine Sublimatlösung vor der Einwirkung von Ammoniak sehr wenig schützt, daß dies aber Chlorammonium ziemlich

¹⁾ Compt. rend. 118, 1099—1101. — ²⁾ J. Pharm. Chim. 30, 111—114.

ausgiebig thut: So sind z. B. 25 cem einer Ammoniaklösung, von der 10 cem genügen, um 100 cem einer Sublimatlösung 1:1000 vollkommen zu fällen, nöthig, um in 100 cem Sublimatlösung, welche 5 g NH_4Cl enthält, gerade den Anfang eines Niederschlages zu geben, während in derselben Lösung, welche nicht NH_4Cl enthält, schon 1,2 cem Ammoniaklösung diese Wirkung hervorbringen. Vor der Einwirkung von NaOH dagegen schützt (wenn auch wenig) Chlorammonium, während dies Chlorammonium nicht thut. Dasselbe ist der Fall bei Einwirkung von Natriumcarbonat auf Sublimatlösungen, während ebenso Chlorammonium wie Chlornatrium vor der Einwirkung von Albuminlösungen (10:100) schützen. Ein Zusatz von Salzsäure schützt gleichmäÙig gegen alle Einflüsse. Für medicinische Zwecke ist es demnach vorthailhaft, der Sublimatlösung 1:1000 entweder Chlornatrium und Chlorammonium oder Salzsäure zuzusetzen.

Idm.

Tanret. Ueber die Luftbeständigkeit von Lösungen 1:1000 des Quecksilberchlorids¹⁾. — Léo Vignon hat angegeben (vergleiche die beiden vorhergehenden Referate), dafs sich Lösungen des Quecksilberchlorids 1:1000 an der Luft verändern unter Ausscheidung eines weissen Niederschlages. Der Verfasser hat diesen Befund unter gewöhnlichen Umständen nicht bestätigen können. Nur bei Gegenwart von Ammoniak in der Luft bildet sich nach und nach ein weifser Niederschlag des Quecksilberchloramids. *Idm.*

E. Burcker. Ueber die Beständigkeit wässeriger Lösungen von Quecksilberchlorid²⁾. — Der Verfasser hat einmal Lösungen von Sublimat 1:1000 in Quellwasser, dann in destillirtem Wasser und zwar unter drei Bedingungen: in offenem Gefäfse am Lichte, in geschlossenem am Lichte, in geschlossenem in der Dunkelheit untersucht und gefunden, dafs bei Anwendung von Quellwasser, namentlich im offenen Gefäfse, aber auch in dem am Lichte befindlichen geschlossenen (in bedeutend geringerer Menge allerdings) ein braunrother Niederschlag, welcher aufser Quecksilber und Chlor noch Ammoniak und organische Bestandtheile enthielt, unter Verminderung des HgCl_2 -Gehaltes der Lösung sich gebildet hatte, während in den übrigen Fällen keine Veränderung der Lösung zu bemerken war. Der Grund der Veränderung liegt in der Einwirkung von Luft und Licht bei Gegenwart der mineralischen und organischen Bestandtheile des Wassers auf das Quecksilberchlorid. Die Einwirkung hört auf, wenn man die Lösung von

¹⁾ J. Pharm. Chim. 29, 63—64. — ²⁾ Compt. rend. 118, 1345—1347; J. Pharm. Chim. 30, 57—60.

Luft und Licht abschließt (vergleiche im Uebrigen die vorhergehenden Referate). *Ltm.*

Achille Selavo und Camillo Mannelli. Ueber die Ursachen, welche bei der Desinfection das Verschwinden des Quecksilbers aus den Sublimatlösungen zur Folge haben ¹⁾. — Quecksilber wird von Stoffen mit animalischer Faser (Wolle, Seide) leichter als von pflanzlicher Faser (Baumwolle) aus Sublimatlösungen, gleichviel ob dieselben Salzsäure oder Kochsalz enthalten, aufgenommen. Es ist deshalb nöthig, bei Desinfectionen, namentlich von Wolle oder Seide, die Sublimatlösungen öfters zu erneuern. Zur Desinfection von Betten oder Kleidungsstücken ist unter erhöhtem Druck ausstromender Wasserdampf der Sublimatlösung vorzuziehen. *Ltm.*

François. Das auf nassem Wege dargestellte krystallisirte Mercurjodid ²⁾. — Das durch Sublimation gewonnene krystallisirte Mercurjodid enthält immer freies Quecksilber, welches mühsam durch Waschen mit verdünnter Salpetersäure entfernt werden muß. Der Verfasser hat nun auf folgendem Wege reines krystallisirtes Mercurjodid erhalten: Erhitzt man 50 g Mercurjodid mit 100 g Anilin und 200 g Alkohol bis zur vollkommenen Lösung, so scheidet diese große Krystalle des Diphenylmercurdiammoniumjodids ab. Die Mutterlauge läßt dann auf Zusatz von 350 g Aether des Handels schöne gelbe Krystalle des Mercurjodids nach längerer Zeit auskrystallisiren, welche mit heissem Alkohol und dann mit Aether gewaschen werden können. Die Mutterlauge giebt auf erneuten Zusatz von Aether eine neue Menge dieses Körpers. Derselbe wird durch Ammoniak geschwärzt. Durch Jodkalium wird er unter Abscheidung von metallischem Quecksilber zersetzt. Die Bildung des Mercurjodids ist nur auf den Gehalt des Aethers an Aldehyd zurückzuführen, da reiner Aether diese Bildung nicht veranlaßt. Der angewandte Aether farbte nämlich Fuchsinchwefligsäure, der nach der Ausscheidung des Mercurjodids durch Destillation wiedergewonnene Aether zeigte dagegen diese Aldehydreaction nicht mehr. *Ltm.*

Berthelot. Ueber die Sublimation des rothen und gelben Quecksilberjodids ³⁾. — Das rothe Quecksilberjodid ist bei gewöhnlicher Temperatur beständig und geht beim Erhitzen in das gelbe über. Beim Abkühlen verwandelt sich das letztere wieder in das rothe, namentlich wenn die geringsten Spuren des rothen

¹⁾ Hyg. Rundsch. 5, 71—80; Ref.: Chem. Centr. 66, I, 348. — ²⁾ J. Pharm. Chim. 29, 67—70. — ³⁾ Dasselbst, S. 70—71.

Jodids hinzugebracht werden, unter Freiwerden von $-3,0^\circ\text{C}$ für $\text{HgJ}_2 = 354\text{ g}$. Beide Jodide können auch bei gewöhnlicher Temperatur gewonnen werden: Das rothe durch Fällung, das gelbe aus der Lösung in Alkohol durch Wasser oder Abkühlung der Lösung. Frankenheim hatte, da er durch Sublimation zwischen Glasplatten sowohl rothes als gelbes Jodid erhalten hatte, angenommen, daß beide Arten auch im Damp fzustande vorhanden seien. Der Verfasser weist diese Ansicht zurück, da im Sublimat die rothen Krystalle sehr wohl erst secundär aus dem gelben Jodid, z. B. durch Verstäuben ganz geringer Mengen rothen Jodids aus dem noch nicht sublimirten Theile auf das Sublimat, entstanden sein können. Der Verfasser ist vielmehr der Ansicht, daß im Dampfe nur das gelbe Quecksilberjodid vorhanden sei.

Lit.

E. G. Clayton. Ueber die Darstellung von Kaliummercurijodid¹⁾. — Das Doppelsalz $2(\text{KJ} \cdot \text{HgJ}_2) \cdot 3\text{H}_2\text{O}$ hat der Verfasser so gewonnen, daß er gewöhnliches Nefster'sches Reagens eingedampft und die concentrirte Lösung sich selbst überlassen hat. Dabei scheiden sich feine gelbe Prismen aus, welche durch Wasser unter Abscheidung von Mercurijodid zersetzt werden. Zur Reinigung werden dieselben abgesaugt und mit starkem Alkohol gewaschen.

Lit.

V. Antony und Q. Sestini. Quecksilbersulfür, Hg_2S_2 . — In Uebereinstimmung mit Sefström und Brande haben die Verfasser gefunden, daß das Mercurosulid existirt, wenn auch nur bei niedriger Temperatur. Zur Darstellung desselben haben sie zuerst eine Lösung von Kaliumsulfat, welche auch bei -10° nicht erstarrt, unter 0° mit Schwefelwasserstoff gesättigt und mit dieser Lösung eine Suspension von Mercurchlorid oder -acetat in Kaliumsulfatlösung gemischt. Es bildet sich dann ein schwarzes Pulver, welches aber unter dem Mikroskope auch bei 0° mit Quecksilberkugeln vermischt erscheint, also ein Gemisch von Hg und HgS ist. Bei der Einwirkung von trockenem Schwefelwasserstoff bei -10° auf trockenes Calomel ist die Reaction nur dann vollständig, wenn der Schwefelwasserstoff mit Kohlendioxyd verdünnt ist. Mercuroacetat wird auch durch reinen Schwefelwasserstoff vollständig zersetzt. Es bildet sich hierbei ein homogenes schwarzes Pulver, welches wirklich Mercurosulid ist; denn es wird bei 0° durch mit Kohlendioxyd gemischtes trockenes Chlorwasserstoffgas in reines Mercurchlorid unter Entwicklung von

¹⁾ Chem. News 70, 102.²⁾ Gazz. chim. ital. 24, I. 193 - 195.

Schwefelwasserstoff umgewandelt, während ebenso behandeltes Mercurisulfid unverändert bleibt. Bei steigender Temperatur (von 0° an) dagegen zersetzt sich Hg_2S langsam in HgS und Hg .

Atm.

J. A. Ippen. Ueber synthetische Bildung von Zinnoberkrystallen¹⁾. — Zwar sind die Versuche des Verfassers noch nicht abgeschlossen, aber es geht doch soviel aus denselben hervor, daß die von Brunner angegebene Grenze von 45° nicht als thermische Grenze der Bildung des Zinnobers angesehen werden kann. Freies Salzsäuregas befördert nicht immer die Bildung des Zinnobers, wohl aber scheint dies Schwefelwasserstoff zu thun.

Atm.

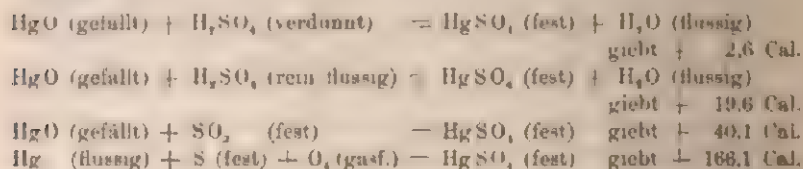
W. Spring. Ueber die Umwandlung des schwarzen Quecksilbersulfids in rothes und die Dichte und specifische Wärme beider Körper²⁾. — Der Verfasser hat schon früher gezeigt, daß sich die Dichte eines Körpers durch Druck nur dann dauernd ändern läßt, wenn derselbe in mehreren Modificationen von verschiedenem specifischen Gewicht existirt. Die Dichte des Bleies läßt sich also dauernd nicht ändern, während z. B. amorphes Arsen durch Druck sich in krystallinisches überführen läßt. Der Verfasser hat deshalb den Satz aufgestellt: „Die Materie nimmt unter Bedingungen, welche von der Temperatur abhängig sind, den Zustand an, welcher dem von der Substanz eingenommenen Volumen entspricht.“ Trotzdem ist es nun dem Verfasser nicht gelungen, die gewöhnliche schwarze Modification des Quecksilbersulfides durch Druck in die rothe überzuführen, auch wenn er die Temperatur erheblich steigerte, um über den kritischen Punkt (point de transition, wie sich van 't Hoff ausdrückte) zu kommen. Um die Ursache des Mißerfolges zu ermitteln, hat der Verfasser zunächst die specifischen Volumen des schwarzen, als Niederschlag gefällten Schwefelquecksilbers, dann des rothen Sulfides, welches erhalten ist durch Behandlung des schwarzen mit gelbem Schwefelammonium, und endlich des durch Sublimation erhaltenen Zinnobers — bei verschiedenen Temperaturen — bestimmt und dieselben bei 56,6°, einer Temperatur, bei welcher dieselben bei allen Modificationen am höchsten sind, während sie oberhalb und unterhalb dieser Temperatur wieder abfallen, zu 132,45, resp. 123,68, resp. 123,60 gefunden. Ferner hat er bei Bestimmung der specifischen Wärme auch für das schwarze Sulfid durchgängig höhere Werthe als für das rothe ermittelt. Aus diesen Unter-

¹⁾ Tschermack's Mitth. 14, 114–120; Ref. Chem. Centr. 66, I, 119.
— ²⁾ Zeitschr. anorg. Chem. 7, 371–383; Belg. Acad. Bull. 28, 238–257.

suchungen ergibt sich, daß zur Ueberführung des schwarzen in das rothe Sulfid ungefähr 35 000 Atmosphären Druck nöthig wären, ein Betrag, der mit unseren jetzigen Hilfsmitteln wohl nicht zu erreichen ist. Indessen ist es dem Verfasser gelungen, eine andere Modification des schwarzen Sulfides mit dem specifischen Volumen (17°) 124,38 durch Sublimation des gewöhnlichen schwarzen Quecksilbersulfides in einer Atmosphäre eines indifferenten Gases (CO_2 , N_2) und Aussuchen des neben einem schwarzen Pulver sich bildenden krystallinischen schwarzen Sulfides zu gewinnen. Zur Ueberführung dieser schwarzen Modification in die rothe sind nur einige hundert Atmosphären nothwendig, und in der That gelingt die Ueberführung schon beim kräftigen Reiben desselben in einem Achatmörser. Hierdurch erklärt sich auch das Amsterdamer Verfahren zur Zinnoberdarstellung, welches darauf beruht, das bei der Sublimation von Quecksilbersulfid neben dem rothen entstehende schwarze Pulver durch kräftiges Vermahlen und Drücken in das rothe Product überzuführen. Zum Schlusse berichtet der Verfasser noch einige Literaturangaben dahin, daß das rothe Sulfid beim Erhitzen auf 320° schwarz, beim Erkalten aber immer wieder roth wird, während beim Erhitzen auf 410° das rothe Sulfid dauernd schwarz wird. *Ltm.*

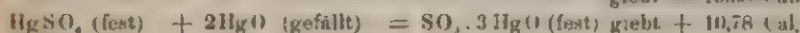
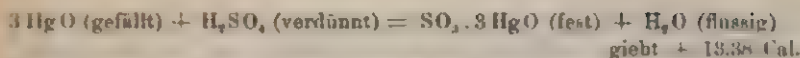
Raoul Varet. Untersuchungen über die Mercurisulfate¹⁾.

Der Verfasser hat thermochemische Untersuchungen angestellt zunächst über die Bildungswärme des neutralen Quecksilbersulfates nach der Methode der doppelten Umsetzung, indem er z. B. die Wärmetönung bei Zusammentreffen von HgSO_4 mit 2HCl und weiter von HgCl_2 mit H_2SO_4 , endlich HgO mit 2HCl mafs, dann dieselben Messungen mit HCN anstellte. Die Anführung der einzelnen Zahlen wurde zu weit führen. Er fand so folgende Resultate:

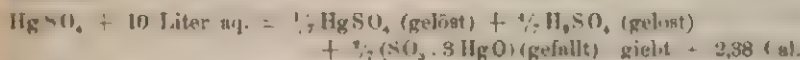


Ferner hat der Verfasser auf ähnliche Weise die Bildungswärme des dreibasischen Quecksilbersulfates ($\text{SO}_3 \cdot 3\text{HgO}$) bestimmt, und hierbei gefunden:

¹⁾ Compt. rend. 119, 684—687; Bull. soc. chim. 11, 1166—1170.

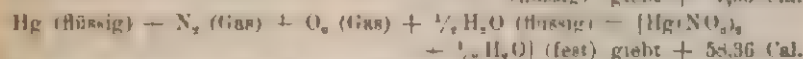
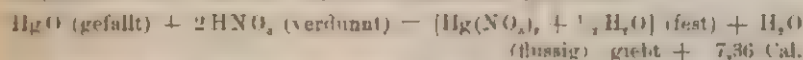


Endlich:

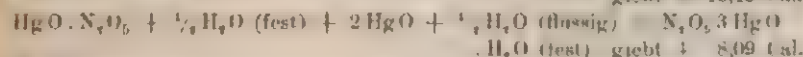
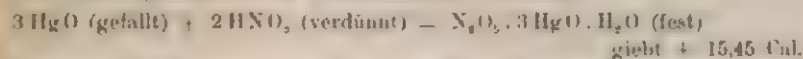


Bei der Einwirkung von Wasser auf HgSO_4 wird am meisten Wärme entwickelt. Die exotherme Reaction erklärt also, warum das neutrale Salz durch Wasser zersetzt wird. Im Mercurisulfat wird (wie aus den nicht angeführten thermochemischen Gleichungen hervorgeht) die Schwefelsäure vollständig durch die Cyanwasserstoffsäure mit + 23,5 Cal. ersetzt. Ebenso wird auch die Schwefelsäure beim Quecksilber vollständig durch Salzsäure verdrängt. *Ltm.*

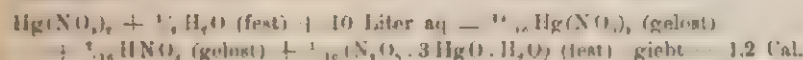
Raoul Varet. Untersuchungen über die Mercurinitrate¹⁾. — Der Verfasser hat dieselben thermochemischen Untersuchungen am Mercurinitrat wie am Sulfat (siehe vorhergehendes Referat) angestellt und hierbei folgende Resultate gewonnen.



Die Bildungswärme des dreibasischen Nitrates:



Endlich:



Auch die Salpetersäure wird gebunden an Quecksilber durch Salzsäure und Cyanwasserstoffsäure ersetzt. *Ltm.*

Silber.

J. Asbeck. Extraction silberhaltiger Aufbereitungsabgänge mittelst des Russelprocesses zu Sala in Schweden²⁾. — Um die in den Abgängen von silberhaltigen Bleiglanzerzen noch vorhandenen Silbermengen zu gewinnen, wird ein Extractionsproceß angewendet. Die Lauge enthält im Liter durchschnittlich 15 g

¹⁾ Compt. rend. 119, 797—799. — ²⁾ Berg- u. Hüttenm. Zeitg. 53, 13—15.

Natriumthiosulfat und 3g Kupfersulfat und wird bei 35 bis 45° angewendet. Sie circulirt mehrmals über die Abgänge und wird dann noch längere Zeit mit denselben in Berührung gelassen. Endlich wird mit warmem Wasser nachgewaschen, bis mit KJ kein Silber mehr nachweisbar ist. Die Fällung geschieht mit soviel einer concentrirten Schwefelnatriumlösung, daß eine genommene Probe der Lauge bei erneutem Zusatze von Schwefelnatrium eben noch eine schwarzliche Fällung giebt. Die klare Lauge wird unter Ersatz des verbrauchten Natriumthiosulfats und unter Umstünden auch des Kupfersulfats wieder als Extractions-lauge benutzt. Der die Schwefelmetalle enthaltende Schlamm geht in eine Filterpresse und wird dann mit bleischen Zuschlägen im Schachtofen niedergeschmolzen, das Werkblei mit Zusatz von 2 bis 4 Proc. Ag abgetrieben, der fallende Kupferstein mit circa 20 Proc. Cu, 15 Proc. Pb und 0,2 Proc. Ag dagegen verkauft. Die Auslaugung der Abgänge geht nach der Gleichung: $4 \text{Na}_2\text{S}_2\text{O}_3 + 3 \text{Cu}_2\text{S}_2\text{O}_3 + 3 \text{Ag}_2\text{S} = 3 \text{Cu}_2\text{S} + 6 \text{NaAgS}_2\text{O}_3 + \text{Na}_2\text{S}_2\text{O}_3$ vor sich. Ltm.

Der Roefler-Edelmann'sche Bleientsilberungsproceß¹⁾.

Dieser Proceß zerfällt in zwei Theile. 1. Entsilbern des Werkbleies durch eine $\frac{1}{2}$ Proc. Aluminium enthaltende Zinklegrung, wodurch raffinirtes Blei und eine Zinksilberlegirung gewonnen wird. 2. Verarbeitung der Zinksilberlegirung zu raffinirtem Silber und Zink. Bei Entsilberung des Werkbleies mit reinem Zink bildet sich viel Zinkoxyd, welches eine vollständige Aufnahme des Silbers durch das Zink verhindert und einen obenauf schwimmenden Zinkschaum entstehen läßt. Die Zinkaluminiumlegirung oxydirt sich nicht und nimmt alles Silber auf. Sie wird dann einem auf 400 bis 500° erhitzten Werkblei zugesetzt und geht beim Abkühlen nach Aufnahme des Silbers an die Oberfläche, wo sie abgehoben und durch Aussagern bei niedriger Temperatur von dem noch anhaftenden Blei befreit wird. Die Legirung kann entweder durch Behandlung mit Salz- oder Schwefelsäure auf Silber oder durch ein elektrolytisches Verfahren auf Zink und Silber verarbeitet werden. Das letztere Verfahren liefert ein sehr reines Zink von 99,94 Proc. Gehalt. Als Elektrolyt dient hier eine Lösung von Chlorzink in Chlormagnesium. Als Anode dient die Zinksilberlegirung, als Kathode Zinkplatten. Den Anoden wird das Zink entzogen und es bleibt als Rückstand derselben ein Schlamm mit 75 Proc. Ag und 12 Proc. Pb. Dieser wird mit sehr verdünnter

¹⁾ Berg- u. Huttenm. Zeitg. 53, 109—110.

Schwefelsäure behandelt, um die Oxyde von Kupfer, Zink und Eisen zu entfernen, dann wird gebildetes Chlorsilber mit Eisenabfällen zu Silber reducirt, so daß dieser Schlamm nunmehr 15 Proc. Pb und 80 bis 85 Proc. Ag enthält. Hieraus wird das Blei als Glätte entfernt.

Ltm.

Francis C. Phillips. Notiz über eine Form des Silbers, welche durch Reduction von Silbersulfid mit Wasserstoff erhalten wird¹⁾. — Der Verfasser hat in Uebereinstimmung mit mehreren anderen Forschern beobachtet, daß bei der Reduction von gefälltem Silbersulfid oder Argentit mit Wasserstoff das Silber Draht- oder Fadenform annimmt. Dieselbe Erscheinung bietet sich auch bei der Reduction von Kupfersulfid mit Wasserstoff dar. Für dieselbe ist von Hampe (JB. f. 1893, S. 490) die Erklärung aufgestellt worden, daß das reducirte Kupfer sich in dem geschmolzenen Sulfid auflöse und dann aus dem geschmolzenen Inneren durch Hohlräume der erstarrten Kruste durchgepreßt werde. Diese Erklärung läßt sich nicht für das Silber aufrecht erhalten, da der Schmelzpunkt desselben 500° höher liegt als die Reductionstemperatur, und die bei der Reduction des Silbersulfids freierwerdende Wärme durchaus nicht ausreicht, diese Temperatursteigerung herbeizuführen.

Ltm.

E. Odernheimer. Verfahren zum Färben von Textilfasern, Leder, Holz u. dergl. mit Silber-, Uran- und Chromsalzen²⁾. — Textilfasern, welche mit einem Silbersalz getränkt oder bedruckt sind, behandelt man noch feucht mit einem reducirenden Gas, z. B. Phosphorwasserstoff oder Wasserstoff, welchem Spuren von Phosphor- oder Arsenwasserstoff beigemengt sind, wobei sich metallisch glänzendes Silber ausscheidet. Mit Uransalzen imprägnirte Faser setzt man dem Druck einer heißen Walze aus, wodurch eine intensive gelbe Farbe erzeugt wird, welche durch Alkalien in Orange übergeht. Chromsalze neben einem Reducationsmittel, z. B. Glycerin, liefern bei gelindem Erhitzen eine grüne, bei stärkerem eine braune Färbung.

Op.

E. A. Schneider. Zur Kenntniss des colloidalen Silbers³⁾. — Bekanntlich läßt sich eine Lösung des colloidalen Silbers in Aethylalkohol darstellen, ein sogenanntes Organosol. Der Verfasser hat nun dadurch geprüft, welche anderen Organosole des Silbers sich gewinnen lassen, daß er 1 ccm des alkoholischen Organosols mit 5 ccm des betreffenden zu untersuchenden Lösungs-

¹⁾ Amer. Chem. Soc. J. 16, 700. — ²⁾ D. R.-P. Nr. 72523. — ³⁾ Zeitschr. anorg. Chem. 7, 339–340.

mittels versetzte, und beobachtete, ob Fällung eintrat oder nicht. Nur Propyl-, Isobutyl-, tertiärer Butylalkohol, Aethylenglycol und Phenol bewirken nicht sofortige Ausfällung, nach einigen Monaten tritt durch dieselben aber Coagulirung ein, das Coagulum ist außer beim Aethylenglycol in Wasser löslich. Mit Glycerin läßt sich dadurch ein Organosol darstellen, daß man das alkoholische Organosol mit dem gleichen Volumen Glycerin versetzt und den Alkohol über Schwefelsäure im Vacuum abdunstet. Beim Versetzen des alkoholischen Organosols mit Aether entsteht ein Coagulum, welches, im Vacuum getrocknet, einen grünlichen Metallschimmer besitzt. Dieses Präparat löst sich vollkommen in Wasser auf.

Ltm.

M. Carey Lea. Ueber Lösungen von metallischem Silber¹⁾. — Der Verfasser vertritt die Ansicht, daß wahrscheinlich das colloidale Silber sich nicht im Zustande der Polymerisation befindet, da es leichter oxydirt und chlorirt wird als gewöhnliches Silber, und polymere Substanzen meist indifferenten sind als solche mit einfachem Molekül. Er hat ferner, wie schon Schneider, Prange u. A. vor ihm, durch Dialyse nachweisen können, daß das allotrope Silber in colloidalem Zustande sich befindet. Er bezeichnet aber weiter die colloidale Lösung als eine vollkommene, weil er bei einem ziemlich rohen optischen Versuche (er ließ Licht von oben in die Flüssigkeit eintreten und betrachtete dieselbe rechtwinkelig zu dieser Einfallslinie) keine Trübung nachweisen konnte. (Inzwischen ist von verschiedenen Forschern durch Anwendung des Tyndall'schen Experimentes diese Ansicht widerlegt worden. D. Ref.) Der Verfasser hat die von ihm gewonnenen colloidalen Silberlösungen als sehr beständig befunden, wenigstens bleiben dieselben theilweise unverändert, wenn sich auch ein Theil des Silbers absetzt. Diese Veränderung schreibt er der Einwirkung des Lichtes zu. (Die Verunreinigungen werden wohl aber eine noch bedeutendere Rolle als das Licht spielen. D. Ref.)

Ltm.

C. Barna. Beobachtungen am colloidalen Silber²⁾. — Im Gegensatz zu Carey Lea (siehe vorhergehendes Referat) und Prange¹⁾, welche im Hydrosol des Silbers wahre Lösungen erblickten, nimmt der Verfasser das Silber als in Suspension befindlich an, da er sowohl Lea's Versuch als das Tyndall'sche Experiment nicht für beweisend ansieht, da die Größe der Theilchen

¹⁾ Zeitschr. anorg. Chem. 7, 341–342; Sill. Am. J. 48, 343. — ²⁾ Sill. Am. J. 48, 451–454. — ³⁾ JB. f. 1890, S. 634.

im Silberhydrosol geringer ist als die Wellenlänge des Lichtes. Der Verfasser hat dies auf folgendem Wege gefunden: Durch den Druck, welcher nöthig ist, Luft durch eine poröse Thonplatte in Wasser zu pressen, hat er die Durchmesser der Poren derselben zu $2.18.10^{-6}$ cm, also geringer als die Wellenlänge des violetten Lichtes berechnet. Da es nun möglich ist, das Hydrosol des Silbers durch eine poröse Thonplatte zu filtriren, so müssen die in ihm enthaltenen Silbertheilchen noch kleiner als diese Poren sein. Wenn man die Poren successive verkleinern könnte, so würde man auf diese Weise gewiss zu Schlüssen über die Gröfse der im Hydrosol enthaltenen Theilchen gelangen können. Der Verfasser hat im Verein mit Schneider an den Carey Lea'schen Silberspiegeln, welche durch Eintrocknung des festen colloidalen Silbers auf Glas entstehen, eine Nichtleitung derselben für den elektrischen Strom beobachtet. Leitung tritt vielmehr erst ein, wenn ein elektrischer Funke übergeschlagen ist. Der Verfasser hält die optischen Untersuchungen für die entscheidendsten. So könnte eine Entscheidung für den cohärenten oder nicht-cohärenten Zustand des Lea'schen Spiegels durch Anbringung desselben zwischen zwei durchsichtigen Medien (Glas) getroffen werden, deren eines (das nach dem Beschauer zu liegende) gröfseren Refractionsindex als das andere besitzt. Durch die Aenderung der Phase des reflectirten Lichtes, je nachdem, ob Beschleunigung oder Verlangsamung eintritt, würde die Entscheidung gegeben sein. Zum Schlusse vergleicht der Verfasser die Ausfällung des Silbers aus seiner colloidalen Lösung mit der Sedimentation fein vertheilter Substanzen (Trübungen) aus Wasser. *Idm.*

J. Seymour. Reactionen einiger Silberverbindungen mit reducirenden Salzen¹⁾. — Die unlöslichen Silbersalze werden im Dunkeln und in der Kälte weniger leicht reducirt, als die löslichen. Der Verfasser hat reines Chlor-, Brom- und Jodsilber im Dunkeln mit verschiedenen reducirenden Salzen behandelt und hat hierbei gefunden, dafs Natriumthiosulfat in saurer, neutraler und alkalischer Lösung keine Reduction bewirkt, wenn bei gewöhnlicher Temperatur gearbeitet wird. In der Hitze tritt bei AgCl und AgBr Reduction zu Metall ein, während AgJ in eine in Natriumthiosulfat auch bei Zusatz von Ammoniak unlösliche Modification übergeht. Eine Lösung von Chlor- und Bromsilber in Natriumthiosulfat wird vom Licht wenig beeinflusst. AgCl und AgBr werden beide, ersteres etwas schneller, von Natriumhypo-

¹⁾ Pharm. Rundsch. 1894, S. 264; Ref.: Chem. Centr. 66, I. 148.

phosphit reducirt. Durch Ferrocyankalium wird AgCl etwas reducirt, aber nicht zu Metall, da die dunkelgefärbte Substanz in Ammoniak löslich ist. Kupferchlorür übt keine reducirende Wirkung aus, ebenso wenig saure Zinnchlorürlösung. Alkalische Zinnchlorürlösung dagegen reducirt AgCl und AgBr in der Wärme und im Licht zu Metall und führt AgJ in eine in Ammoniak lösliche Verbindung über. Ferrosulfat in neutraler oder saurer Lösung übt auf Halogensilber sowohl bei Lichtabschluss als im Lichte und in der Wärme keine reducirende Wirkung aus, reducirt dagegen lösliche Silbersalze sofort zu grauem Metall, Silbernitrat und -acetat schon im Dunkeln.

Lm.

Chapman Jones. Ueber das Product der Einwirkung von Mercurichlorid auf metallisches Silber¹⁾. — Lässt man auf eine photographische Platte Mercurichlorid einwirken, so bekommt man eine weiße Substanz, die auch erhalten wird, wenn reduirtes Silber mit HgCl_2 behandelt und die Substanz von Ag und unverändertem HgCl_2 durch Schlämmen getrennt wird. Diese Substanz ist nicht ein Gemenge von AgCl und HgCl , sondern hat die Formel AgHgCl_2 , da seine Dichte 6,495 beträgt, während obiges Gemenge 6,618 erfordern würde. Ammonchlorid wirkt nach der Gleichung ein: $3 \text{AgHgCl}_2 = \text{Ag} + \text{Hg} + 2 \text{AgCl} + 2 \text{HgCl}$. Cyankalium wirkt nach folgender Gleichung ein: $3 \text{AgHgCl}_2 + 8 \text{KCy} = \text{Ag} + \text{Hg} + 2 \text{KAgCy}_2 + 2 \text{HgCy}_2 + 6 \text{KCl}$. Da aber etwas Quecksilber durch Silber ausgefällt wird, so findet man immer etwas mehr Hg und weniger Ag , als der Gleichung entspricht. Zwischen KAgCy_2 und HgAgCl_2 findet dann weiter die Reaction statt: $\text{HgAgCl}_2 + \text{KAgCy}_2 = \text{Ag} + \text{AgCl} + \text{HgCy}_2 + \text{KCl}$. Das Cyansilber des Rückstandes wird in secundärer Reaction ($\text{AgCl} + \text{KAgCy}_2 = \text{KCl} + 2 \text{AgCy}$) erhalten. Mit Ammoniak entstehen schwarze Körper, wahrscheinlich NH_2AgHgCl und NHAgHg_2Cl . Verdünnte Natronlauge bildet neben AgCl , Hg_2O und Ag_2O . Sodalösung entzieht das an Ag gebundene Chlor. Mit concentrirter HCl erfolgt Hg -Abscheidung: $2 \text{AgHgCl}_2 = \text{Hg} + \text{HgCl}_2 + 2 \text{AgCl}$. Ferrooxalat reducirt zu den Metallen. Na_2SO_3 schwärzt HgCl , wobei zunächst $\text{Hg}(\text{SO}_3)_2\text{Hg}_2$ entsteht, bei einem Ueberschuss von Sulfid scheidet sich Hg aus und in Lösung geht $\text{HgNa}_2(\text{SO}_3)_2$. Auf AgHgCl_2 wirkt Sulfid nach der Gleichung: $4 \text{AgHgCl}_2 + 7 \text{Na}_2\text{SO}_3 + x \text{Na}_2\text{SO}_3 = \text{Ag}_2 + \text{Hg} + \text{Ag}_2\text{SO}_3 + x \text{Na}_2\text{SO}_3 + 3 \text{HgNa}_2(\text{SO}_3)_2 + 8 \text{NaCl}$. Thiosulfat wirkt genau wie Ammonchlorid.

Mr.

¹⁾ Chem. Soc. Ind. J. 12, 988—988; Chem. Centr. 65, 1, 317—318.

Joannis und Croizier. Ueber einige Verbindungen von Ammoniak mit verschiedenen Silbersalzen¹⁾. — Die Verfasser haben die Ammoniakverbindungen verschiedener Silbersalze so dargestellt, daß sie die trockenen Salze mit Ammoniak behandelten, indem sie vermieden, daß die Temperatur bis zum Schmelzpunkt der Salze stieg. Eine vollständige Sättigung mit Ammoniak erreichten sie, indem sie das Gefäß, welches das Silbersalz enthielt, durch Kältemischung kühlten, während sie Ammoniak einleiteten, wodurch das Salz in flüssiges Ammoniak eingebettet wurde. Von Bromsilber existiren die Ammoniakverbindungen: $\text{AgBr} \cdot 3\text{NH}_3$, $\text{AgBr} \cdot \frac{3}{2}\text{NH}_3$ und $\text{AgBr} \cdot \text{NH}_3$. Nach der Formel von Dupré:

$$\log P = \frac{a}{T} + b \log T + c,$$

in welcher P der Druck in Centimetern Quecksilber, T die absolute Temperatur und a , b , c Constanten, die für die verschiedenen Körper verschieden sind, bedeuten, haben sie die Dissociationstemperaturen bei normalem Druck zu 3,5, 3,4 resp. 51,5° gefunden. Von Jodsilber bestehen die Ammoniakverbindungen: $\text{AgJ} \cdot \text{NH}_3$ und $\text{AgJ} \cdot \frac{1}{2}\text{NH}_3$ mit den Dissociationstemperaturen 3,5 resp. 90°. Von Cyansilber ist $\text{AgCN} \cdot \text{NH}_3$ mit der Dissociationstemperatur 102° dargestellt worden. Von Silbernitrat sind $\text{AgNO}_3 \cdot 3\text{NH}_3$, $\text{AgNO}_3 \cdot 2\text{NH}_3$ und $\text{AgNO}_3 \cdot \text{NH}_3$ bekannt. Das erste hat die Dissociationstemperatur 63°, das zweite ungefähr 170°.

Idm.

Eduard Valenta. Ueber die Löslichkeit des Chlor-, Brom- und Jodsilbers in verschiedenen anorganischen und organischen Lösungsmitteln²⁾. — Der Verfasser stellt eine Tabelle der Löslichkeit verschiedener Salze für die Silberhaloide auf, aus welcher Folgendes hervorzuhelen ist. Den ersten Platz nehmen die *Thiosulfate* ein und zwar lösen dieselben am besten in 10- bis 20proc. Lösung Chlor-, weniger gut Brom- und unverhältnißmäßig viel weniger Jodsilber. Es verhält sich die Löslichkeit von Jod- zu Bromsilber ungefähr wie 1:10. Die Löslichkeit entspricht durchaus nicht der Gleichung: $3\text{Na}_2\text{S}_2\text{O}_3 + 2\text{AgCl} = \text{Ag}_2\text{S}_2\text{O}_3 + 2\text{Na}_2\text{S}_2\text{O}_3 + 2\text{NaCl}$. *Natriumsulfit* wirkt nur sehr schwach, am besten noch bei Chlorsilber. *Ammoniumsulfit* und *-carbonat* lösen Chlorsilber nur spurenweise. *Ammoniak* ist für Chlorsilber ein sehr gutes Lösungsmittel, ist aber in den Concentrationen, in welchen es sehr wirksam ist, für photographische Zwecke nicht zu brauchen, da es Bildschichten und Papier an-

¹⁾ Compt. rend. 118, 1149–1151. — ²⁾ Monatsh. Chem., 15, 249–251.

greift. Eine concentrirte *Magnesiumchloridlösung* 1 : 2 nimmt genau so viel (und zwar nur) Chlorsilber auf, wie eine 1 proc. Natriumthiosulfatlösung. Das beste Lösungsmittel ist *Cyankalium* und zwar nimmt hier das Lösungsvermögen von Chlor- bis Jodsilber bedeutend zu. Die *Rhodanide* lösen am leichtesten Bromsilber und zwar ist hier *Rhodanammun* und *Rhodanalbuminum* am meisten zu empfehlen. Von organischen Lösungsmitteln wirkt *Thiocarbamid* nur sehr gering lösend, während *Thiosinamin* (Allylthiocarbamid) fast ebenso stark Chlorsilber löst, wie Natriumthiosulfat.

Idm.

Gold.

A. Liversidge. Ueber den Ursprung des moosförmigen Goldes [moss gold]¹⁾. — Der Verfasser berichtet zunächst über Versuche, bei welchen er goldhaltigen Arsenikkies in einer Muffel im Bade von geschmolzenem Zinn oder Zink erhitzte und Arsen und Schwefel abtrieb, den Rückstand mit Salzsäure zur Entfernung des Eisenoxyds behandelte und so blumenkohlähnliche Gebilde von Gold erhielt, ohne daß das Gold geschmolzen gewesen wäre. Auch beim Rosten von Gold mit Arsenikkies erhielt er ähnliche Gebilde von Gold. Andere Sulfide dagegen nahmen das Gold vollständig auf und gaben keine moosähnlichen Formen des Goldes. Ebenso konnte er dieses Moosgold beobachten beim Rosten der aus einer Lösung von Natriumchloraurat, gemischt mit Natriumarseniat, durch Schwefelwasserstoff gefällten Sulfide. Beim Rosten von aus Natriumchloraurat mit Schwefelwasserstoff gefälltem Goldsulfid erhielt er mehr oder weniger krystallisiertes Gold. Um Goldarsenid zu erhalten, hat der Verfasser Arsendämpfe in einer Verbrennungsröhre über erhitztes Gold geleitet, hierbei sofort ein Schmelzen des letzteren beobachtet und beim Abkühlen unter Spratzen goldgelbe Kugeln gewonnen. Das Spratzen führt er auf eine Abgabe von überschüssigem Arsen zurück. Diese Kugeln hatten oft Hohlräume, in denen sich moosförmiges Gold befand. Das Verfahren zur Gewinnung des Goldarsenids hat der Verfasser mannigfach modificirt und über jede Kleinigkeit mit minutioser Genauigkeit berichtet. Ein näheres Eingehen auf dieselben erscheint aber zwecklos für den Kern der Sache, und es muß deshalb auf das Original verwiesen werden. Er hat so Legirungen von Gold und Arsen von ganz

¹⁾ Chem. News 69, 152—155.

wechselndem Gehalte (2 bis 10 Proc. As) gewonnen. Beim Erlützen von fein vertheilten Gemischen von Gold und Arsen, Gold, Arsen und Schwefel, Arsenkies und Gold gewann der Verfasser Gold, welches eine moosförmige Structur zeigte. In Schwefeldampf veränderte sich das Gold nicht. Besondere Versuche zeigten ihm die Unschmelzbarkeit des Goldes auch in feinsten Blättchen beim Erhitzen mit dem Gebläse in einer Röhre. Beim Rösten von Goldamalgam blieb ebenfalls ein blumenkohlähnliches Gebilde von Gold zurück, moosartige Theile waren an demselben aber nicht zu entdecken. Er kommt deshalb zu dem Schlusse, daß zur Bildung des Moosgoldes das Vorhandensein einer leicht schmelzbaren Goldarsenlegirung nothig ist, welche dann beim Rosten unter Abgabe des Arsens das Gold in Moosform zurückläßt. *Ltm.*

A. Liversidge. Ueber den Ursprung der „gold nuggets“¹⁾.

— Zunächst führt der Verfasser eine große Reihe älterer Ansichten über die Entstehung dieser Goldgebilde an. Vereinzelt steht die Annahme, daß die „gold nuggets“ in glutflüssigem Gestein sich gebildet und durch spätere Zertrümmerung des erstarrten Gesteines in Freiheit gesetzt worden seien. Die meisten anderen Forscher vertreten vielmehr die Anschauung, daß diese Goldgebilde durch Ausscheidung aus einer wässerigen Lösung (in Mineralwässern) entstanden seien und zwar unter Mithilfe von Pyriten und anderen Metallsulfiden, woraus auch die große Reinheit des angeschwemmten Goldes gegenüber dem in Adern gefundenen zu erklären sei. Die Einen meinen, daß diese Ausscheidung nur bei Gegenwart einer organischen Materie, wie Holz, durch Sulfide zu Stande kommen kann. Andere dagegen haben dieselbe auch nur bei Anwesenheit von Sulfiden, wie Pyrit, sehr energisch wahrgenommen, namentlich bei Gegenwart von Alkalisalzen. Die größten und meisten Goldklumpen seien auch nicht auf den Westgoldfeldern, wo basaltische Eruptionen vorwiegend sind, gefunden worden, sondern in den Goldfeldern, welche am entferntesten von jenen liegen. Daß die großen Goldnuggets meist an einem Stücke Quarz hängend gefunden werden, beweise, daß dieselben zuerst in quarzigem Gesteine befindlich waren. Andere Forscher geben wieder an, daß die größten Goldklumpen in den Westdistricten gefunden worden seien und dort während der vulcanischen Thätigkeit sich aus den salzhaltigen Wässern gebildet hätten. Die Annahme, daß die Goldnuggets durch Auswaschen der goldführenden Adern, wobei die Oberfläche der Goldtheile

¹⁾ Chem. News 69. 260—262.

abgerundet und plattgeschliffen worden sei, entstanden wären, wurde von einem anderen Forscher durch die oben angeführte Thatsache, daß die Nuggets bedeutend reineres Gold als das aus den Adern stammende sind, zurückgewiesen; denn dann mußte das Gold aus den Adern dieselbe Zusammensetzung zeigen, wie die Nuggets derselben Fundstätte. Die Nuggets haben sich aus einer Goldlösung im zersetzten, porösen Gestein gebildet; denn sie werden nur in solcher Tiefe gefunden, als das Gestein für Wasser durchlässig ist. Es ist auch eine bekannte Thatsache, daß das Gold in den Extractionsabgängen des Goldbergbaues nach und nach wächst, so daß dieselben wieder zur erneuten Goldgewinnung nach einiger Zeit benutzt werden können. Das Gold wird aus seiner Lösung als Chlorid durch die verschiedensten organischen Substanzen reducirt, namentlich durch Torf (peat) wird dasselbe als warzenförmige Masse ausgeschieden. Weiter ist die Löslichkeit von schaumigem Gold in verschiedenen Salzlösungen, wie Sulfaten und Chloriden, untersucht worden. Es wird nur von Bromkalium bei 150 bis 200° in geringer Menge gelöst. Es wirken weiter auf Gold in der Kalte Natrium- und Kaliumsulfid unter Bildung eines schwarzen Niederschlages ein, während auch Gold in Lösung geht, Ammoniumsulfid dagegen nur in der Hitze. In der Natur wird das Gold wahrscheinlich durch Chlor gelöst, welches aus Chloriden, die ja in jedem Wasser vorhanden sind, durch den salpeterhaltigen Boden frei gemacht worden ist. Bei schneller Ausfällung desselben aus dieser Lösung während der Filtration durch Sand entstehen dann warzenförmige Aggregate von Gold, während die Ausscheidung des Goldes in den Adern so langsam vor sich geht, daß es krystallinsche Form annimmt. Die verschiedensten Forscher, mit Ausnahme von einigen wenigen, haben gefunden, daß das alluviale Gold reiner ist als das in den Adern gefundene. Nach diesen von anderen Forschern stammenden Ansichten berichtet der Verfasser von eigenen Versuchen. Zunächst hat er beobachtet, daß alle natürlichen Sulfide auf Goldlösungen einwirken, indem sich diese mit Gold überziehen; dasselbe besitzt erst einen metallischen Glanz, wird aber bald rauh und braun, und zeigt unter dem Mikroskop oft eine warzenförmige Beschaffenheit. Der Verfasser¹⁾ geht dann auf eigene quantitative Versuche ein, die die Bildung der Goldnuggets nachahmen sollen. Zunächst hat er ein Goldstückchen (als nugget oder als Goldblatt) in einer Goldchloridlösung mit organischen Stoffen, wie

¹⁾ Chem. News 69, 296—298.

Staub, Kork, Papier, Holz, behandelt und hat überall eine Abscheidung von schwarzem Golde aus der Lösung beobachtet, immer hatte aber das Stück Gold an Gewicht verloren, ein Befund, der mit dem anderer Forscher in Widerspruch steht. Bei Behandlung einer Goldchloridlösung mit einem Stücke oder Blatte Gold und den verschiedensten natürlichen Sulfiden, als Pyrit, Markasit, Molybdänglanz, Arsenkies, Kupferglanz, Bleiglanz, Zinkblende, und endlich auch mit Graphit konnte der Verfasser sowohl eine Gewichtszunahme des metallischen Goldes als auch Ablagerung von Gold auf dem Sulfide in wurmförmiger, sehr oft aber auch in warzenförmiger Gestalt wahrnehmen, während die Goldlösung sich nach und nach entfärbte. Auch andere Substanzen, wie Kohle und Sandstein, Granit, Quarz, haben dieselbe Wirkung wie die Sulfide. Der Verfasser¹⁾ führt die verschiedensten Forscher an, welche Gold im natürlichen Wasser gefunden haben. Er selbst bestätigt dieses Vorkommen im Meerwasser. Es ist weiter beobachtet worden, daß Gold in Silicatlösung löslich ist, und dann aus dieser Lösung durch Oxalsäure ausgefällt wird. Es ist dies eine bemerkenswerthe Thatsache, welche zu erklären im Stande ist, wie das Gold in der Natur in Lösung gegangen ist. Daher kommt es auch; daß Gold fast immer in Begleitung von Quarz, Thon u. s. w. gefunden wird. Auch Goldsulfid ist in natürlichem, namentlich alkalicarbonathaltigem Wasser löslich. Die Entstehung des Goldes aus wässriger Lösung wird auch dadurch sehr wahrscheinlich gemacht, daß es oft mit nachweislich aus wässriger Lösung entstandenen Mineralien (z. B. Brauneisenerz) zusammen vorkommt. So ist auch Gold oft in Niederschlägen von Pyrit und Kupfersulfid, welche aus dem Gehalte der heißen Quellen an Kupfer- und Eisensulfat durch Reduction mit Hilfe einer organischen Substanz entstanden sind, enthalten. Ja sogar die Flüchtigkeit des Goldes mit Hilfe von Borsäure, Kohlensäure, Schwefelwasserstoff und Wasserdämpfen in den Sulfionen Kaliforniens ist durch das Vorhandensein desselben in den Absätzen dieser vulcanischen Gebilde und zwar im Schwefel, Zinnober etc. erwiesen. Nach Allem kommt der Verfasser²⁾ zu der Ueberzeugung, daß wohl die großen Nuggets entstanden sind durch Loslösung des Goldes aus Adern, ohne daß eine besondere Vergrößerung derselben durch Gold aus Lösungen eingetreten ist. Für die Ansicht, daß die Nuggets in situ gebildet seien, war als Beweis aufgestellt worden, daß dieselben meist etwas andere Zusammensetzung als

¹⁾ Chem. News 70, 6—8. — ²⁾ Dasselbst, S. 21—22.

das Gold aus Adern zeigten. Dies weist der Verfasser als nicht zutreffend und zufällig zurück. Als fernerer Beweis sollte der Umstand gelten, daß die größten Nuggets fern von den nächsten Goldadern gefunden wurden. Dies betrachtet der Verfasser mit Recht als ganz unwesentlich. Weiter hat man gemeint, daß die Nuggets noch Spuren von krystallinischer Structur zeigen müßten, wenn sie aus Adern stammten. Dies wird vom Verfasser damit widerlegt, daß gewiß die Nuggets, auf ihrem Wege durch Wasser abgeschliffen, eine warzenartige Form angenommen haben. Der letzte Beweis endlich, daß bedeutend größere Nuggets gefunden seien, als Goldstücke in den Adern vorkämen, fällt durch die Unrichtigkeit desselben. Als fernere Stütze für seine Ansicht führt der Verfasser an, daß die Nuggets meist mit Stücken von Quarz verbunden angetroffen wurden, welche ebenfalls aus den Adern stammen. Wenn die Nuggets in situ entstanden seien, so müßten auch solche in Platten- oder Fadenform im Alluvialgold gefunden werden, was aber nicht der Fall ist.

Ltm.

A. Liversidge. Structur der „gold nuggets“¹⁾. — Wenn ein Goldnugget durchgeschnitten und die Oberfläche polirt und mit Chlorwasser angeätzt wird, so erkennt man die krystallinische Structur. Man erhält den Widmanstätten'schen Figuren ähnliche Zeichnungen. Beim Erhitzen der Nuggets bilden sich Blasen, welche bei höherer Temperatur platzen und mit großer Gewalt Goldtheilchen fortschleudern. Das in diesen Blasen enthaltene Gas scheint kein Wasserstoff zu sein, da mit Chlorwasser keine Explosion eintritt. Woher diese Blasenbildung stammt, gedenkt der Verfasser noch zu untersuchen. Beim Durchschneiden der Nuggets stieß er öfters auf in denselben enthaltene Quarztheilchen.

Ltm.

G. A. Goyder. Die Einwirkung von Cyankalium auf Gold und einige andere Metalle und Mineralien²⁾. — Um den Einfluß der das Gold begleitenden Mineralien bei der Behandlung mit Cyankalium kennen zu lernen, hat der Verfasser die Einwirkung von 100 Thln. einer 1 proc. Cyankaliumlösung auf 15 Thle. äußerst fein vertheiltes, kupferhaltiges, möglichst von Gangart befreites Mineral, wie Malachit, Kupferglanz u. s. w., studirt, und bei allen, am meisten beim Kupferglanz, eine starke Einwirkung des Kaliumcyanids beobachten können. Endlich hat er auch gefunden, daß Cyankaliumlösung, welche mit einem Kupfermineral geschüttelt wurde, viel weniger Gold aufnimmt, als eine, mit der diese Man-

¹⁾ Chem. News 70, 199. — ²⁾ Daselbst 69, 262—263, 268—270, 280—281.

pulation nicht vorgenommen wurde. Bei Zink- und Eisensulfidmineralien konnte der Verfasser keine Einwirkung des Cyankaliums nachweisen, so dafs der Rath Mac Arthur-Forrest's, diese Sulfide erst durch Schwefelammonium zu entfernen, unnöthig ist. Dieser hatte auch ausgesprochen, dafs er nicht an die Nothwendigkeit der Gegenwart von Sauerstoff bei der Lösung von Gold durch Cyankalium glaube, sondern dafs ihm die Abgabe von Wasserstoff hierbei plausibler erscheine. Der Verfasser hat durch besondere Versuche bewiesen, dafs Sauerstoff unbedingt zur Lösung des Goldes nöthig ist, indem solches, welches mit Cyankaliumlösung in Berührung ist, zu dem aber die Luft keinen Zutritt hat, unangegriffen bleibt. Wasserstoff wird durchaus nicht entwickelt. Die Lösung von Silber verläuft ganz gleich. Blei wird von Cyankaliumlösung nur sehr gering und langsam angegriffen, ohne dafs Gasentwicklung eintritt. Ebenso ist es mit Wismuth. Dasselbe überzieht sich mit einem haftenden weissen Ueberzug, wahrscheinlich von Carbonat. In der Lösung konnte der Verfasser (nach dem Ansäuern) mit H_2S Wismuth nachweisen. Es hatte sich also wahrscheinlich ein Natriumwismuthcyanid gebildet. Cadmium wird bedeutend stärker mit gelber Farbe gelöst, wie dieselbe Untersuchung wie beim Wismuth zeigte. Auch dieses hatte einen Ueberzug von Carbonat erhalten. Genau dieselbe Erscheinung bietet metallisches Arsen dar, nur dafs dieses Element bedeutend langsamer in Lösung geht, und zwar ohne Gasentwicklung (ebenso wie alle vorher untersuchten Metalle). Auch Antimon wird ein wenig angegriffen. Zinn geht ebenfalls als Doppelcyanid, wenn auch langsam, in Lösung. Ohne Gasentwicklung löst sich ebenfalls in beträchtlicher Menge Quecksilber. Magnesium zeigt bei gleicher Behandlung Gasentwicklung. Dieselbe tritt aber ebenso ein mit Kalilauge oder destillirtem Wasser. Dieses Verhalten ist höchst wahrscheinlich auf einen Gehalt an Alkalimetall zurückzuführen. Zink zeigt dieselbe Erscheinung der Gasentwicklung. Alle diese Versuche wurden so angestellt, dafs das Metall in ein Reagenzglas gebracht und dieses gefüllt mit Cyankaliumlösung in eine Schale, welche mit derselben Lösung beschickt war, umgekehrt wurde, so dafs die Luft keinen directen Zugang zum Metalle fand. Bei der Untersuchung der Einwirkung von Cyankaliumlösung auf Kupfer, bei welcher mit noch gröfserer Sorgfalt die Einwirkung des Sauerstoffs beseitigt war, konnte der Verfasser Entwicklung von Wasserstoff und Lösung des Metalles beobachten. $\text{Cu}_2 + 4\text{KCN} + 2\text{H}_2\text{O} = \text{Cu}_2\text{C}_2\text{N}_2 + 2\text{KCN} + 2\text{KOH} + \text{H}_2$. Es ist gefunden worden, dafs zur Ausfällung

des Goldes aus der Cyanidlösung mehr Zink verwendet werden muß, als der Gleichung $2 \text{K Au(CN)}_2 - \text{Zn} - \text{K}_2\text{Zn(CN)}_4 + 2 \text{Au}$ entspricht, und es ist dieses Mehr der Bildung einer Gold-Zinkverbindung zugeschrieben worden. In der That ist auch die Goldausscheidung schneller und vollständiger, wenn ein mit einem Goldüberzuge versehenes Zink angewendet wird. Bei Anwendung von reinem Zink ist es vortheilhaft, die Lösung noch einmal nach Zufügung von mehr Cyankalium mit Zink zu behandeln, und das Zink nicht länger einwirken zu lassen, als zur Ausfällung des Goldes nöthig ist, da sonst die Stärke derselben während der Berührung mit Zink abnimmt. *Compactes Eisen* in reinem Zustande sowohl, wie als Stahl oder Schmiedeeisen hat auch bei Gegenwart von Platin oder Gold nicht die geringste Einwirkung auf Cyankaliumlösung. Fein vertheiltes Eisen dagegen, wie es durch Glühen des Oxydes im Wasserstoff- oder Kohlenoxydstrom gewonnen wird, entwickelt Wasserstoff unter Bildung von Ferrocyankalium. Gefälltes und gut ausgewaschenes Ferrihydroxyd hat die nämliche Wirkung. *Nickel* wirkt namentlich in feiner Vertheilung, wie es durch Reduction mit Wasserstoff aus dem Oxyd gewonnen wird, oder wie es durch Reduction von Ni(CO)_4 erhalten werden kann, unter Bildung von $\text{K}_2\text{Ni(CN)}_4$ auf Cyankaliumlösung ein. Nur bei dem durch Wasserstoff reducirten Metall wurde vom Verfasser Gasentwicklung beobachtet. Das Gas war also wahrscheinlich nur occludirt worden. *Kobalt* verhält sich ebenso wie Nickel, wirkt aber nicht so energisch wie dieses. *Aluminium* zersetzt sehr schnell und reichlich unter Wasserstoffentwicklung Cyankaliumlösung und es bildet sich Aluminiumhydroxyd und etwas Ammoniak, da wahrscheinlich ein Doppelcyanid des Aluminiums unbeständig ist. Einige Forscher hatten beobachtet, daß *Silbersulfid* (*Silberglanz*) von Cyankaliumlösung nicht angegriffen wird und nur durch diese Behandlung den Kupfergehalt abgibt. Der Verfasser hat aber wohl eine Einwirkung des Cyanids auf Silbersulfid feststellen können. Er schiebt das negative Resultat der anderen Forscher darauf, daß durch Aufnahme des Kupfers der Cyankaliumgehalt der Lösung erschöpft worden sei und erst eine erneute Behandlung mit Cyankaliumlösung auch das Silber ausgezogen hätte. Der Verfasser empfiehlt zuletzt die elektrolytische Gewinnung des Goldes aus seiner Cyankaliumlösung.

Ltm.

(Cyankalium zur Goldextraction¹⁾). - Es wird darauf hin-

¹⁾ Chemikerzeit. 18, 1902.

gewiesen, dafs das Mac Arthur Forrest'sche Verfahren, welches darauf beruht, dafs Gold unter Mithilfe von Luft von verdünnter Cyankaliumlösung gelöst wird, nur auf fein vertheiltes Gold, wie es in der südafrikanischen Republik gefunden wird, angewendet werden kann, während sich dasselbe bei anderen Gold-erzen, wie sie in Australien, Amerika und Rußland vorkommen, wegen der grobkörnigen Beschaffenheit des Goldes nicht bewährt hat. Es ist einerseits deshalb und andererseits wegen der zu erwartenden Verdrängung des Forrest-Verfahrens durch das von Siemens kein bedeutender Mehrbedarf an Cyankalium zu erwarten.

Ldm.

Albano Brand. Neuere Verfahren der Goldgewinnung¹⁾. — *Das Mac Arthur-Forrest-Verfahren.* Der Verfasser giebt zunächst eine Geschichte des Mac Arthur-Forrest-Verfahrens. Schon vor 50 Jahren wurde das Cyankaliumgolddoppelsalz zur galvanischen Vergoldung benutzt, es wurde aber mit Hilfe von Goldchlorid, nicht mit metallischem Gold hergestellt. Zuerst wurde die Löslichkeit des Goldes in Cyankalium 1843 von Prince Bagration beobachtet, diese Erfahrung von Faraday dahin erweitert, dafs die Lösung bei Zutritt von Luft leichter vor sich geht. Schon in den sechziger Jahren wurde dann Cyankaliumlösung benutzt, um die bei der Amalgamation sich bildenden, dieselbe hindernden Ueberzüge zu entfernen. Dann wurde es von Rae als Elektrolyt benutzt, um direct aus den Erzen, eventuell mit Hilfe einer Quecksilberelektrode, das Gold auszubringen. Mac Arthur und die Gebrüder Drs. Forrest erkannten 1885 die lösende Kraft des Cyankaliums, welche in 5 proc. Lösung ihre größte Wirksamkeit aufsert. Jetzt wendet man aber eine 0,2- bis 0,8 proc. Lösung an, da hier die Lösungsfähigkeit für unedle Metalle ein Minimum hat. Das Verfahren hatte aber noch lange gegen Vorurtheile zu kämpfen. Dasselbe wurde 1888 zuerst in Australien und Neuseeland eingeführt und von 1892 an mit steigendem Erfolge verwendet. Auch in Südafrika hat sich das Verfahren, nachdem das Vorurtheil der Goldsucher einmal beseitigt war, sehr rasch eingebürgert. In den Vereinigten Staaten von Nordamerika ist dasselbe seit 1889 im Betriebe und auch die übrigen Gold producirenden Länder haben sich nach und nach zu demselben bekannt. Der Verfasser geht dann über zu einer eingehenderen Beschreibung der maschinellen Einrichtungen beim Mac Arthur-Forrest-Verfahren. Dieselben bestehen in

¹⁾ Berg- u. Hüttenm. Zeitg. 53, 73—76, 381—384, 389—391.

der Hauptsache aus drei staffelförmig angeordneten Kastenreihen, von denen die oberste die Bottiche mit den Vorrathslaugen, die mittlere die Laugebottiche, die unterste die für die verbrauchte Lauge bestimmten Sumpfe enthalten. Zwischen den Laugebottichen und den Sumpfen sind endlich die Fällkästen angebracht, in denen durch Zinkspäne die Fällung des Goldes bewirkt wird. Die Cyankaliumlösung nimmt nun außer Gold namentlich dann auch andere Metalle auf, wenn sie wegen der groben Beschaffenheit des Goldes sehr lange Zeit einwirken muß. Die besten Resultate geben sehr feine Pochwerksschlämme, während grobere Erze noch ziemlich viel ihres Goldgehaltes zurückhalten. Der Zusatz von Cyankaliumlösung bei der Amalgamation wirkt deshalb günstig, weil dieselbe wegen ihrer alkalischen Beschaffenheit die löslichen Oxydsalze, namentlich Ferrisulfat, zerstört, welche die blanke Oberfläche des Quecksilbers angreifen und dasselbe in eine mehlige Beschaffenheit bringen würden. Cyankaliumlösung steigert das Ausbringen oft bedeutend, es giebt aber auch, namentlich wenn dieselbe concentrirt ist, zu Verlusten Anlaß, da das Gold durch das in Cyanidlösung elektronegativeres Quecksilber nicht ausgefällt wird und sich also so der Gewinnung entzieht. Ja, Gold scheidet umgekehrt das Quecksilber aus. Diese Nachtheile treten besonders bei Gegenwart von wenig Quecksilber ein. Die Erze des siebenbürgischen Erzgebirges verhalten sich nicht günstig beim Cyanidverfahren, da sie einen hohen Gehalt an Schwefelmetallen aufweisen, die einen übermäßigen Verbrauch an Cyankalium verursachen. In Muszari wird deshalb zuerst das Amalgamationsverfahren angewendet, durch welches die Hälfte des Goldes gewonnen wird. Die Abgänge werden nach Trennung in Klarteichen in arme Schlämme mit 2 bis 3 g Gold pro Tonne und reiche Mehle dem Cyanidverfahren unterworfen. Hierbei werden aber auch nur ungefähr 60 Proc. des Goldgehaltes derselben und 50 Proc. des Silbers gewonnen. In Südafrika wird das Gold hauptsächlich nach dem Amalgamationsverfahren in Pochwerken ausgebracht, doch hat das Cyanidverfahren schon sehr an Boden gewonnen, wie die statistischen Erhebungen des Verfassers zeigen. Das letztere wird namentlich am Witwatersrand angewendet. Das verwendete Cyankalium stammt größtentheils aus Deutschland. Der Verfasser stellt dann eine Kostenberechnung des Cyanidverfahrens auf. Die Kosten haben sich nach und nach sehr vermindert. Das elektrolytische Entgoldungsverfahren nach Siemens und Halske besteht darin, daß in die Cyanidlauge als Anoden Eisen-, als Kathoden Bleibleche eingehängt werden und ein Strom

von 10 Volt Spannung durch das Bad geschickt wird. Das auf den Bleiblechen abgeschiedene Gold wird durch Cupellation gewonnen. An der Anode bildet sich Berliner Blau, welches sich wohl wieder in Cyanid zurückverwandeln läßt. Zur Verarbeitung des Goldschlammes aus den Zinkfällkästen wird derselbe vorthellhaft erst einer Röstung unterworfen.

Ltm.

Felix Abraham. Die neue Aera der Witwatersrand-Goldindustrie in Transvaal¹⁾. — Zunächst giebt der Verfasser eine geologische Beschreibung des Witwaterrandes. Die goldführenden Flöze fallen nach Süden zu vom Tage 30 bis 80° steil ein, vertiefen sich dann und bilden in 300 bis 500 Fuß Tiefe eine Mulde. Zunächst wurde zu Tage abgebaut, als man aber die Formation erkannt hatte, erschloß man auch durch Tiefbau die Erze der Mulde. Die Gewinnung des Goldes geschieht zunächst durch Pochwerksamalgamation. Das durch Brechwerk zerkleinerte Erz wird gepocht und die mit Wasser gewonnene Trübe über amalgamirte Kupferplatten geleitet. Von Zeit zu Zeit wird dann das Goldamalgam abgekratzt und abdestillirt. Man gewinnt so Rohgold mit 800 bis 900 Taus. Feingehalt. Aus der Trübe gewinnt man durch Concentration auf Schüttelherden die Schliege, welche nach dem Plattner'schen Chlorationsverfahren entgolddet wird. Hiernach wird dieselbe zunächst oxydirend und chlorirend geröstet und dann mit Chlor behandelt, endlich das gebildete Goldchlorid ausgelaugt und Gold aus der Lösung durch Eisenvitriol gefällt. Die Trübeabgänge werden dann nach dem Cyanidproceß von Mac Arthur-Forrest weiter verarbeitet. Das Laugen geschieht mit 0,2- bis 0,8proc. Cyankaliumlösung, durch welche Gold und Silber gelöst werden, die anderen Metalle, welche als Sulfide zugegen sind, aber ungelöst bleiben. Aus der Cyankaliumlösung wird dann durch Zink und neuerdings durch Aluminium das Gold gefällt. Das letztere besitzt vor dem Zink den Vortheil, daß es wiedergewonnen werden kann und ein bedeutend reineres Gold liefert. Dann stellt der Verfasser eine Kostenberechnung des ganzen Verfahrens auf und giebt die Menge des verarbeiteten Erzes und gewonnenen Goldes an. Die Entgoldung der Laugen geschieht endlich auch nach elektrolytischen Verfahren von Siemens und Halske, von Pielsticker und von Molloy. Die beim Cyanidverfahren beschäftigten Arbeiter haben durch das Einathmen der Blausäuredämpfe an Geschwüren an der Brust und den Oberarmen zu leiden.

Ltm.

¹⁾ Berg- u. Huttenm. Zeitg. 53. 261—264.

Henry de Mosenthal. Die Behandlung der Golderze auf den Witwatersrandgoldfeldern (Transvaal)¹⁾. — Der Witwatersrand liegt auf der Wasserscheide zwischen dem Oranjeflufs, welcher in den Atlantischen Ocean fliefst, und dem Limpopo, der in den Indischen Ocean mündet. Dort wurde bald, nachdem Transvaal von England unabhängig geworden war, Gold gefunden und zugleich auch zum Glücke für die Goldindustrie Kohle. Das Gold findet sich in cementartigem, mit Pyrit durchsetztem Gestein, welches an der Oberfläche durch Oxydation des Pyrits unter Mitwirkung des Wassers zersetzt ist. Aus dem aus der Mine kommenden Erze wird nun zunächst nach dem Anfeuchten desselben mit der Hand das leere Gestein ausgesucht. Das goldhaltige Erz wird dann in besonders hierzu construirten Maschinen gebrochen und kommt hierauf mit Wasser gemischt in das Pochwerk, dessen Mörser seitlich mit amalgamirten Kupferplatten versehen sind, in welche allmählich Quecksilber eintropft. Diese nehmen schon einen Theil des Goldes auf. Dann wird das Erz, nachdem es Siebe passirt hat, über schwach geneigte amalgamirte Kupferplatten geleitet, welche ebenfalls Gold, namentlich wenn es grob und rein ist, aufnehmen, während das im Pyrit enthaltene Gold nicht festgehalten wird. Das harte Goldamalgam wird dann von den Kupferplatten entfernt, zerkleinert und in Quecksilber eingetragen, worin sich ein Theil löst, ein Theil zu Boden sinkt, während die Unreinigkeiten obenauf schwimmen. Diese werden abgeschöpft und zur Weiterverarbeitung den Schliegen (concentrates) hinzugefügt, während das Quecksilber von dem Amalgam in Filterpressen getrennt wird. Von dem Amalgam wird dann in Retorten, welche unter Wasser münden, das Quecksilber abdestillirt, und es bleibt ein Gold von 800 bis 830 fein zurück, verunreinigt durch Silber und wenig andere Metalle. Mit dem Wasser geht von den Kupferplatten das Erz weiter und wird einer Concentration auf Schüttelherden (frue vauners) unterzogen. Dies geschieht derart, dafs durch einen Vertheiler, der ebenfalls noch mit amalgamirten Kupferplatten versehen ist, die Erzmasse mit dem Wasser (pulp) auf ein endloses Band gebracht wird, welches schwach geneigt ist und eine schüttelnde Bewegung besitzt. Die leichteren Erztheilchen, welche kein Gold oder nur wenig enthalten, bleiben hierdurch im Wasser suspendirt und fliessen entsprechend der Neigung des Bandes ab, während die schweren pyritischen, goldhaltigen Theile durch das raue Band festgehalten

¹⁾ Chem. Soc. Ind. J. 13, 326—340.

und durch dessen Fortbewegung entgegengesetzt der Neigung in gesonderte Behälter gebracht werden. Die so gewonnenen Schliege (concentrates) werden nun geröstet und zur Chloration meist an besondere Werke verkauft. Die Röstung geschieht, um den Pyrit zu oxydiren und durch dessen Zerfall das eingeschlossene Gold freizulegen. Das geröstete Material wird angefeuchtet und in hölzernen Wannen (chlorination vats), die gasdicht verschlossen sind, mit Chlor 18 bis 36 Stunden behandelt. Der Boden dieser Wannen ist gefüttert mit einem Filter von Sand, Kies und Kieselsteinen. Das chlorirte Material wird dann mit warmem Wasser behandelt und die hierdurch gebildete Lösung von Goldchlorid in Fällbottiche (precipitating tanks) abgelassen. Hier wird dieselbe mit Schwefelsäure und Ferrosulfat versetzt, wodurch Gold gefällt und von den übrigen in Lösung befindlichen Metallen, als Kupfer, Kobalt, Aluminium u. s. w. getrennt wird. Das gefällte Gold wird hierauf mit Borax und Soda geschmolzen und endlich in Barren gegossen. Seine Feinheit schwankt zwischen 870 und 980. Es enthält Blei, etwas Eisen, Spuren von Kupfer und Arsen. Die vom gefällten Golde zurückbleibende Flüssigkeit enthält noch Gold sowohl in Suspension als in Lösung (durch die Gegenwart des aus dem Ferrosulfat entstandenen Ferrichlorids). Sie wird mit Eisen behandelt, wodurch neue Mengen von Gold, gemengt mit etwas Kupfer und Blei und basischem Bleiarsenit, gefällt werden. Diese Fällung wird dem Schlieg zur Röstung und Chloration beigegeben. Die leichteren Erztheilchen, welche auf den Schüttelherden von dem Schlieg getrennt wurden, laufen in große Reservoirs, in denen sich zuerst noch gröbere Theilchen von der Größe feinen Sandes (tailings) absetzen, während später ein im trockenen Zustande unfühlbar feines Pulver zu Boden sinkt (battery slimes). Während diese Schlümme nicht weiter verarbeitet werden, obgleich sie noch goldhaltig sind, wird das Gold der Tailings durch das Cyanidverfahren von Mac Arthur und Forrest gewonnen. Unter Mithilfe des Sauerstoffs der Luft wird das feine Erz mit Cyankaliumlösung in großen Holzgefäßen ausgelangt, welche innen mit Stofffiltern auf Holzrahmen versehen sind und im Boden eine für gewöhnlich geschlossene Oeffnung besitzen, durch die das noch etwas Cyankalium enthaltende ausgelangte Erz in darunter gebrachte Wagen entleert wird. Die Laugung geschieht so, daß die Tailings zunächst mit verdünnterer (0,1- bis 0,3 proc.) Cyankaliumlösung und dann mit stärkerer (0,3- bis 0,6 proc.) behandelt werden. Die letztere wird durch Pumpen in Circulation erhalten und wirkt 12 bis 18 Stunden ein. Bei diesem Verfahren

wird nun bedeutend mehr Cyankalium verbraucht, als dem Goldgehalt des Erzes entspricht, und das hat seinen Grund darin, daß das Erz fein vertheilten Pyrit enthält, welcher sich zu Eisenoxyd- und -oxydsulfat oxydirte. Das Cyanid bildet in der sauren Lösung Berliner Blau. Dies hat man durch Zusatz von Natronhydrat allerdings mit nicht großem Erfolge zu verhindern versucht. Ein weiterer Verlust an Cyankalium tritt durch Absorption von Kohlensäure der Luft ein, welche die Blausäure austreibt. Endlich bleibt noch ein gut Theil Cyankalium in dem ausgelaugten Erze haften, welches also ebenfalls verloren geht. Nach der Lauge gelangen die Laugeflüssigkeiten, und zwar die verdünnten und concentrirteren getrennt, in die Fällbottiche (weak boxes und strong boxes), in denen dieselben mit Zinkspänen behandelt werden. Die Lauge mit dem gefällten Golde passirt dann zunächst Siebe, welche das Zink zurückhalten, und das Gold (gold slime) wird auf Filtern gesammelt. Dasselbe enthält Zink, Blei und geringe Mengen von Silber, Kupfer und endlich Zinkeyanide und -ferrocyanide und solche des Eisens. Der gesammelte Niederschlag wird calcinirt und mit Soda, Borax und Flußspath geschmolzen. Das von der Schlacke getrennte Gold wird in Barren gegossen. Es hat 750 bis 780 fein und enthält wenig Silber, hauptsächlich dagegen Blei, Zink und Kupfer. Statt das Gold mit Zink zu fällen, wird in Südafrika auch das Siemens und Halske'sche elektrische Verfahren angewendet. Als Anode dient hierbei Eisen, als Kathode ein dünnes Bleiblech. Die Anode ist mit einem besonderen Mittel imprägnirt, welches bewirkt, daß das bei dem Proceß gebildete Berliner Blau haften bleibt. Dieses wird dann wieder mit Kaliumcarbonat in Cyanid umgewandelt. Das Gold und Silber wird vom Blei durch Cupellation getrennt. Auch ist vorgeschlagen worden, an Stelle des Zinks zur Goldfällung Aluminium anzuwenden. Der Verfasser belegt jeden einzelnen Theil des Verfahrens mit genauen Kostenberechnungen, deren Anführung hier aber zu weit führen würde. *Ltm.*

Hannay. Allgemeiner Goldextractionsproceß¹⁾. — Die älteren Amalgamationsprocesse litten an dem Mangel, daß bei bestimmter Beschaffenheit des Golderzes (Gehalt an Schwefel, Arsen etc.) das Quecksilber eine pulverige Beschaffenheit annimmt und hierdurch zur weiteren Amalgamation untüchtig wird. Hannay hat einen Proceß gefunden, durch den alle Golderze ausgebracht werden: In einem Holzbottich, auf dessen Boden sich Quecksilber als

¹⁾ Berg- u. Hüttenm. Zeitg. 53, 61—62.

Kathode befindet, und welcher mit einer ringförmigen, an der Seite anliegenden Anode aus gepulvertem Graphit mit Pech oder Harz versehen ist, wird das zerkleinerte Erz mit Cyankaliumlösung und einem schwachen elektrischen Strome behandelt, während ein Rührwerk dafür sorgt, daß das Erz in der Mitte des Bottichs nach unten geht, mit dem Quecksilber, ohne es aufzurühren, in Berührung kommt und an den Seiten wieder aufsteigt. Auf diese Weise wird in zwei bis sechs Stunden bis 90 Proc. des Goldes ausgebracht und direct amalgamirt. Alle Golderze sollen sich so behandeln lassen, auch brauchen dieselben keinerlei chemischer Behandlung vorher unterworfen zu werden.

Ltm.

Behandlung der Goldsulfide vom Chlorations- und Bromationsproceß¹⁾. — Nach Langguth geschah in Deadwood früher die Goldlösung aus den Erzen durch Chlor. Da aber der Preis des Chlorkalkes zu hoch stieg, wendet man jetzt Brom an. Aus der Lösung gewinnt man durch Behandlung mit Schwefelwasserstoff und schwediger Säure Goldsulfid. Das Sulfid wird dann zunächst mit Hilfe von Filterpressen und durch Erhitzen in einer Gußeisenmuffel getrocknet. Dann wird dasselbe gepulvert und mit Borax, Soda und etwas Salpeter gemischt. Diese Mischung wird endlich in einem Graphittiegel, dessen Boden mit Boraxglas bedeckt ist, unter Borax geschmolzen und endlich in conische Formen gegossen. Endlich werden die Könige nochmals umgeschmolzen, um in eine für den Schifftransport geeignete Form gebracht zu werden. Die goldreichen Schlacken werden von Goldkörnern befreit und nochmals mit zum Schmelzen verwendet; der Verlust an Gold im Flugstaub ist bei sorgfältiger Arbeit nur gering.

Ltm.

C. Lossen. Kurze Mittheilung über ein neues Verfahren, goldführende Erze mit Brom zu behandeln, unter Regeneration des angewandten Broms²⁾. — Die Anwendung von Brom zur Goldgewinnung hatte sich bisher nicht eingebürgert, da dasselbe nicht vollständig wiedergewonnen werden konnte. Der Verfasser hat ein Verfahren gefunden, bei welchem dieser Uebelstand nicht vorhanden ist. Er gewinnt durch Elektrolyse von Bromkalium ohne Diaphragma eine alkalische, Brom (aber natürlich nicht in freiem Zustande) enthaltende Flüssigkeit, welche Gold zu lösen vermag. Mit dieser wird das goldführende Erz so lange behandelt, bis alles Gold gelöst ist. Das Gold geht hierbei als Aurat in Lösung, während Eisen- und andere Metallsalze als Hydroxyde

¹⁾ Berg- u. Hüttenm. Zeitg. 53, 252. — ²⁾ Ber. 27, 2726—2727.

zurückbleiben, und außerdem Bromkalium gebildet wird. Das Gold wird dann aus der Lösung durch eine Mischung von Eisen mit Kohlestücken niedergeschlagen; die Bromkaliumlösung endlich wieder von Neuem elektrolysiert. *Lim.*

J. S. Mac Arthur, C. J. Ellis und The Cassel Gold Extracting Company Lim. Verbesserungen in der Extraction von Gold und Silber aus Erzen und dergleichen¹⁾. — Beim Mac Arthur-Forrest-Process, wie er bisher angewandt wurde, bildet sich ein in dem Cyanid lösliches Sulfid, welches die Einwirkung des Cyanids auf die edlen Metalle erheblich beeinträchtigt. Dieses Sulfid kann unschädlich gemacht werden, indem man zu dem Erz oder der Cyanidlösung oder der Mischung beider ein Salz oder eine andere Verbindung eines Metalles fügt, welches ein in dem Metall unlösliches Sulfid bildet. Es können folgende Salze angewandt werden: Plumbat, Sulfat oder Chlorid von Mangan, Zinkate, Oxyd oder Chlorid von Quecksilber, Ferrihydrat oder Ferrioxyd. Die nothwendige Menge des Zusatzes wird durch einen Laboratoriumsversuch ermittelt. *Op.*

J. C. Montgomerie. Verbesserungen in der Extraction von Gold und Silber aus Erzen durch Lösungsmittel und Apparate dafür²⁾. — Die zur Extraction dienende Cyankalilösung soll durch Zusatz von Aetznatron haltbarer gemacht werden. Dieselbe wird mehrmals hinter einander verwandt, ehe man das Gold aus ihr durch Zink fällt, indem man die abgezogene Lösung durch Zusatz von Wasser, Cyankali und Aetznatron wieder auf die alte Zusammensetzung bringt. Auch hierdurch wird Cyankali gespart, weil die Verunreinigung durch Zink verringert wird. *Op.*

J. C. Montgomerie. Verbesserungen in der Extraction von Gold und Silber aus seinen Erzen³⁾. — Man versetzt die Cyankalilösung mit Natriumsuperoxyd und leitet während der Extraction Luft hindurch, um die Auflösung der Edelmetalle zu beschleunigen. *Op.*

F. W. Durham. Extraction von Gold aus reinen Erzen⁴⁾. — Anstatt des Quecksilbers wird geschmolzenes Blei zur Extraction benutzt; zur Verhütung der Oxydation wird der Extractionsraum mit Kohlensäure gefüllt. *Op.*

J. W. Sutton. Verfahren zur Gewinnung von Gold aus reiner Chloridlösung⁵⁾. — Der Uebelstand, daß das Gold durch

¹⁾ Engl. Pat. Nr. 5218; Chem. Soc. Ind. J. 13, 526. — ²⁾ Engl. Pat. Nr. 12641; Chem. Soc. Ind. J. 12, 766. — ³⁾ Engl. Pat. Nr. 16894; Chem. Soc. Ind. J. 12, 767. — ⁴⁾ Engl. Pat. Nr. 11147; Chem. Soc. Ind. J. 12, 767. — ⁵⁾ D. R.-P. Nr. 72528.

Zusatz von Eisenvitriol aus reiner Chloridlösung in so fein vertheiltem Zustande ausgeschieden wird, daß es durch das Filter geht, wird durch Zusatz eines flüssigen Kohlenwasserstoffs, z. B. Kerosen, vermieden. Das durch Eisenvitriol gefällte Gold sammelt sich beim Umrühren des Gemisches vollständig in dem Kohlenwasserstoff an, welcher zwecks leichter Vertheilung mit Borax oder einem Alkali versetzt wird. Nach der Fällung wird mit Rühren aufgehört; der mit Gold beladene Kohlenwasserstoff steigt nach oben oder fällt auf den Boden, je nach seinem specifischen Gewicht; derselbe wird sodann von der übrigen Lösung getrennt und zur Gewinnung des Goldes filtrirt. Es empfiehlt sich, vor dem Filtriren etwas verdünnte Schwefelsäure zuzusetzen, welche das Alkali neutralisirt und etwa durch letzteres gefälltes Eisen wieder löst.

Op.

K. Moldenhauer. Fällung von Gold aus Cyanidlösungen durch Aluminium ¹⁾. — Das Verfahren besteht darin, daß statt des bisher gebräuchlichen Zinks Aluminium zur Ausscheidung der Edelmetalle aus ihren freies Alkali enthaltenden Cyanidlösungen verwendet wird. Während Zink hierbei mit den Cyanalkalien eine Verbindung eingeht, $2 \text{AuKCy}_2 + \text{Zn} = \text{K}_2\text{ZnCy}_4 + 2 \text{Au}$, und in Folge dessen die Cyanalkalien (sowohl die an die Edelmetalle gebunden gewesenen, als auch die freien) verbraucht, scheidet das Aluminium die Edelmetalle sehr rasch aus ihren Cyanidlösungen aus, geht jedoch weder mit dem gebunden gewesenen noch mit dem freien Cyankali eine Verbindung ein: $6 \text{AuKCy}_2 + 6 \text{KOH} + 2 \text{Al} = 6 \text{Au} + 12 \text{KCN} + \text{Al}_2\text{O}_3 + 3 \text{H}_2\text{O}$. Es tritt also bei Anwendung von Aluminium eine Regenerirung der Cyanalkalien ein, die dann von Neuem zum Lösen der Edelmetalle benutzt werden.

Op.

K. Moldenhauer. Fällung von Gold aus Cyanidlösungen durch Aluminium [Zusatzpatent ²⁾]. — Das Verfahren des Hauptpatentes, welches sich nur auf freies Alkali enthaltende Cyanidlösungen erstreckt, ist für saure Cyanidlösungen dadurch anwendbar gemacht, daß nach dem Goldausfällen durch Aluminium der zurückbleibenden Lösung zum Zwecke der Regenerirung des Lösungsmittels freies Alkali oder Erdalkali zugesetzt wird.

Op.

P. Schottländer. Ueber colloidales Gold ³⁾. — Der Verfasser hat einen Goldpurpur dadurch erhalten, daß er eine neutrale Goldlösung durch Ceroxydulacetat reducirte. Zu dem Zwecke

¹⁾ D. R.-P. Nr. 74532. — ²⁾ D. R.-P. Nr. 77392. — ³⁾ Verh. d. Ver. deutsch. Naturf. u. Aerzte 1893, II, S. 73—78; Ref. Chem. Centr. 65, II, 409.

löste er 15,75 g reinen Ceroxydulacetats in 300 ccm luft- und kohlensäurefreien Wassers und machte die Lösung durch 400 ccm $\frac{1}{10}$ -Normalnatronlauge alkalisch. In die trübe erscheinende Flüssigkeit brachte er dann eine verdünnte, 2 g Gold enthaltende Lösung und bewirkte durch Erhitzen Reduction. Die entstandene rothe, dicke Flüssigkeit ist lange haltbar, wird aber durch Elektrolyse gefällt. Die durch neutrale Alkalisalze gefällten Niederschläge lösen sich in feuchtem Zustande in Wasser auf. Durch mehrfache Behandlung des Hydrosols mit 20 proc. schwach saurer Natriumacetatlösung ist es möglich, die Niederschläge immer ärmer an Cersalzen zu erhalten, indem nur stärker basische Cersalze ausfallen, während weniger basische in Lösung bleiben. Ganz cerfrei ist aber der Niederschlag nicht zu erhalten, da er bald seine Löslichkeit in Wasser bei dieser Behandlung verliert. Es handelt sich bei diesem Präparate um ein Gemisch von colloidalem Golde mit eben solchen Cersalzen; daher ist auch eine Trennung des ersteren von den letzteren durch Dialyse nicht möglich. *Ltm.*

Henry Louis. Das specifische Gewicht des Goldes in Goldsilberlegirungen¹⁾. — Der Verfasser hat das specifische Gewicht des Goldes, das nach Herauslösen des Silbers aus Goldsilberlegirungen mit wechselndem Silbergehalte zurückbleibt, bestimmt und dasselbe im Durchschnitt zu 20,3 ermittelt. Dieses hohe specifische Gewicht, welches mit dem von Rose für das gefällte Gold ermittelten übereinstimmt, soll nach der Meinung des Verfassers durch Anwesenheit einer allotropen Form des Goldes hervorgerufen sein. Indessen kann diese Erhöhung des specifischen Gewichtes sehr wohl auch in mechanischen Ursachen ihren Grund haben. *Ltm.*

F. Herrmann. Ueber das Chloraurat des Silbers²⁾. — Der Verfasser hat das bisher vergeblich gesuchte Silbersalz der Aurichlorwasserstoffsäure dadurch erhalten, dafs er zu einer Lösung von 4 Thln. Gold in Königswasser, welche so weit eingedampft worden war, dafs sie beim Erkalten zu einer Krystallmasse bestand, eine Lösung von 1 Thl. Silber in verdünnter Salpetersäure zugab. Hierbei scheidet sich zwar zuerst Chlorsilber in der gelben Flüssigkeit ab, dasselbe geht aber beim wiederholten Abdampfen mit höchst concentrirter Salpetersäure in ein orangerothes, schweres Krystallpulver über. Die Substanz hat die Zusammensetzung AgAuCl_4 , sie wird durch Wasser langsam, schnell durch verdünnte Salzsäure in AuCl_3 und AgCl resp. HAuCl_4 und AgCl zersetzt. Ammoniak löst Chlorsilber und bildet Knallgold. *Ltm.*

¹⁾ Berg- u. Huttenm. Zeitg. 53, 375—396. — ²⁾ Ber. 27. 596—597.

Platinmetalle.

Edward H. Keiser und Mary B. Breed. Das Atomgewicht des Palladiums ¹⁾. — Zur Controle der früher von Keiser ²⁾ angeführten Bestimmung nahmen die Verfasser die Reinigung des Palladiumchlorürs durch Destillation bei Rothgluth in einem Chlorstrome vor. Vor- und Nachlauf wurden getrennt und nur der mittlere Antheil des Destillats benutzt. Wegen der Hygroskopicität des Palladiumchlorürs konnte dieses selbst nicht als Ausgangsmaterial benutzt werden. Es wurde deshalb in Wasser gelöst und die Lösung mit so viel Ammoniak versetzt, daß sich der zuerst entstandene Niederschlag wieder löste. Durch Einleiten von Chlorwasserstoff in die verdünnte filtrirte Lösung wurde Palladammoniumchlorid, $\text{Pd}(\text{NH}_4)\text{Cl}_2$, gefällt. Die Atomgewichtsbestimmung erfolgte durch Reduction gewogener Mengen der Verbindung im Wasserstoffstrome und Wägung des dabei reducirten Metalls. Der auf das Vacuum reducirte Mittelwerth ist, auf $\text{H} = 1$, $\text{N} = 14.01$ und $\text{Cl} = 35.37$ bezogen, 106,246. In einer zweiten Versuchsreihe wurde Palladium auf nassem Wege gereinigt und dann in Palladammoniumchlorid übergeführt. Hier ergab sich der Mittelwerth 106,245. *Bdl.*

Edgar F. Smith und Daniel L. Wallace. Doppelbromüre von Palladium ³⁾. — *Kalumpalladiumbromür*, K_2PdBr_4 , bildet wasserfreie, bestandige, glänzende, rothbraune Nadeln. Bildet auch ein leicht verwitterndes Hydrat, $\text{K}_2\text{PdBr}_4 + 3\text{H}_2\text{O}$, in dunkelbraunen Nadeln. *Ammoniumpalladiumbromür*, $(\text{NH}_4)_2\text{PdBr}_4$, krystallisirt gut in olivenbraunen, orthorhombischen Formen, wasserfrei und luftbeständig. *Natriumpalladiumbromür*, $\text{Na}_2\text{PdBr}_4 + 4\text{H}_2\text{O}$, krystallisirt schwer in tiefroth gefärbten Tafeln, ist äußerst hygroskopisch. *Strontiumpalladiumbromür*, $\text{SrPdBr}_4 + 6\text{H}_2\text{O}$, bildet sich ebenfalls schlecht. Kurze, schwarze, luftbeständige Prismen. *Mangalpalladiumbromür*, $\text{MnPdBr}_4 + 7\text{H}_2\text{O}$, mattschwarze, in der Form dem Ammoniumsalz ähnliche Krystalle; krystallisirt schwer. Zink- und Cadmiumpalladiumbromür krystallisiren so schlecht, daß sie nicht analysirt werden konnten. *Bs.*

A. Joly et E. Leidié. Einwirkung der Wärme auf die Alkalidoppelnitrite der Metalle der Platingruppe. Verbindungen des Rutheniums ⁴⁾. — Das Studium der Nitrite der Platinmetalle bietet

¹⁾ Amer. Chem. J. 16, 20—28. — ²⁾ JB f. 1889 S. 120. — ³⁾ Zeitschr. anorg. Chem. 6, 380—383. Amer. Chem. Soc. J. 16, 465—468. — ⁴⁾ Compt. rend. 118, 468—471.

unter Anderem auch deshalb Interesse, weil diese sauerstoffreichen Verbindungen leicht zersetzlich sind und man daher Aussicht hat, sonst schwer herstellbare Sauerstoffverbindungen der Metalle zu erhalten. Es wurden untersucht die beiden Kaliumrutheniumnitrite, deren Formeln sich folgendermaßen ergeben: *Neutrales Kaliumrutheniumnitrit*, $\text{Ru}_2(\text{NO}_2)_8 + \text{KNO}_3$, orangegelbes, leicht lösliches Salz, bildet sich in neutraler Lösung bei Anwendung von genau der nöthigen Menge Alkalinitrit. *Basisches Kaliumrutheniumnitrit*, $\text{Ru}_2\text{O}(\text{NO}_2)_4 \cdot 8\text{KNO}_3$, gelbes, schwer lösliches Salz, bildet sich aus alkalischer Lösung im Ueberschuss von Alkalinitrit. Bei 100° wasserfrei, in der Kälte 1 Mol. Wasser. *Natriumrutheniumnitrit*, $\text{Ru}_2(\text{NO}_2)_8 \cdot 4\text{NaNO}_2 + 4\text{H}_2\text{O}$, orangegelbe, dichroitische, klinorhombische Prismen, sehr wasserlöslich, giebt beim Erhitzen mit verdünnter Salzsäure $\text{Ru}(\text{NO})\text{Cl}_3 + 2\text{NaCl}$. Beim Erhitzen des Kaliumsalzes auf 440° entsteht unter stürmischer Zersetzung ein schwarzer Körper, $3\text{Ru}_2\text{O}_5 \cdot \text{K}_2\text{O}$, der wohl als ein saures Salz der Unterrutheniumsäure, $\text{H}_2\text{Ru}_2\text{O}_6$, aufzufassen ist; das Natriumsalz liefert eine ähnliche Verbindung, $3\text{Ru}_2\text{O}_5 \cdot \text{Na}_2\text{O}$. Bs.

James Lewis Howe. Ruthenium und seine Nitrosochloride ¹⁾. — Das rothe, von Claus ²⁾ beschriebene Salz, welches übrigens auch bei der Einwirkung von Königswasser auf die Lösung der Schmelze des Rutheniums mit Alkali und Salpeter und darauf folgende Fällung mit Chloralkalien entsteht, ist, wie der Verfasser übereinstimmend mit Joly ³⁾ feststellt, eine Verbindung des Nitrosochlorids. Es enthält genau die für das Nitrosochlorid berechnete Menge Chlor. Es wurden *Rubidium-* und *Cäsiumnitrosochlorid* dargestellt. Man erhält die Salze wasserfrei als hell purpurfarbenes Pulver durch Fällung aus concentrirten Lösungen oder in der Wärme, während man aus verdünnten Lösungen in der Kälte wasserhaltige Krystalle der Formeln $2\text{RbCl} \cdot \text{RuCl}_3 \cdot \text{NO} \cdot 2\text{H}_2\text{O}$ und $2\text{CsCl} \cdot \text{RuCl}_3 \cdot \text{NO} \cdot 2\text{H}_2\text{O}$ erhält. Diese haben dunkel purpurne Farbe und sind isomorph; monoklin $a:b:c = 1,698:1:1,177$, $\beta 76^\circ 11'$ bei dem Cäsiumsalz und $a:b:c = 1,692:1:1,242$, $\beta 76^\circ 50'30''$ bei dem Rubidiumsalz. Es lösen bei 25° 100 Thle. Wasser 0,57 des wasserfreien und 114,3 Thle. des wasserhaltigen Rubidiumsalzes und 0,20 resp. 105,8 Thle. vom Cäsiumsalze. — Die allgemeinen Reactionen der Rutheniumnitrosochloride wurden besonders an dem Kaliumsalz studirt. Dieses entwickelt bei der

¹⁾ Amer. Chem. Soc. J. 16. 388—396. — ²⁾ JB. f. 1859, S. 258. —

³⁾ JB. f. 1888, S. 677.

Erhitzung Stickoxyd und Chlor. Harnstoff, Wasserstoffsperoxyd, Ferrosulfat, Kupferchlorür oder Zinnchlorür greifen die Lösungen der Nitroschloride nicht an. Kaliumpermanganat greift das Salz nur in alkoholischer Lösung an, wobei Rutheniumtrichlorid entsteht, während das Stickoxyd als salpetrige Säure abgespalten wird. Natriumhypobromit greift in der Kälte unter Gasentwicklung an. Beim Ansäuern mit Salzsäure entweichen Rutheniumtetroxyd und Brom. Ferrocyankalium greift nur die neutralen Lösungen in der Wärme an, Schwefeldioxyd nur die warmen alkoholischen Lösungen, Oxalsäure ist ohne Einwirkung. Durch Cyankalium werden die Lösungen in der Wärme entfärbt. Mercursalze und Silbernitrat geben Niederschläge in den Lösungen der Nitroschloride. Der durch Natronlauge aus einer Lösung von Kupfersulfat und dem Nitroschlorid entstandene blaue Niederschlag von Kupferhydroxyd löst sich beim Erwärmen mit tiefblauer Farbe; die entstandene Lösung wird durch Zucker reducirt. Durch Einleiten von Stickoxyd in eine Lösung von Rutheniumchlorid entsteht zwar nicht das Nitroschlorid, es werden aber die Reactionen des Chlorids dadurch modificirt. Charakteristische Reactionen des Nitroschlorids im Unterschiede von dem Trichlorid sind die folgenden: Die Lösungen werden bei der Verdünnung lachsfarben, Ueberschuß von Alkali bewirkt keinen Niederschlag, beim Kochen mit Rhodankaliumlösung entsteht keine Purpurfärbung, Ammoniak und Natriumthiosulfat geben keine Reaction, Ferrocyankalium färbt die Lösung in neutraler Lösung beim Kochen braun. — Rutheniumtetroxyd giebt beim Auflösen in Salzsäure oder Chlorwasser nur Rutheniumtrichlorid. Rutheniumdisulfid giebt bei der Oxydation mit Salzsäure und Kaliumchlorat Tetroxyd und Trichlorid.

Bdl.

Carey Lea. 1. Ueber einige neue Methoden zur Darstellung von Platinchloriden. 2. Wahrscheinliche Existenz eines Platinsubchlorids ¹⁾. — Da die bisherigen Methoden zur Herstellung von Kaliumplatinchlorür dem Verfasser Nachtheile zu haben scheinen, hat er sich nach neuen Methoden umgesehen und schlägt die folgenden vor. 1. Kaliumplatinchlorid wird mäßig erhitzt mit Lösung von saurem Kaliumsulfat (12 g Platinsalz, 9 g Sulfat, 160 ccm Wasser). Die Reduction erfordert 10 bis 12 Stunden auf dem Wasserbade. 2. Zur Reduction wird Kaliumhypophosphit gebraucht, von dem 1 Thl. 9 bis 10 Thle. Platinsalz zu reduciren vermag (10 g Platinsalz, 2 g Hypophosphit und 600 ccm Wasser werden

¹⁾ Silb. Am. J. 48. 397.

schlüssiges Kaliumplatochlorid in der Hitze das nicht umgewandelte Reiset'sche Salz (39,8 Proc.) in Form des Magnus'schen Salzes. Aus dem Filtrat gewinnt man durch Eindampfen das Chloroplatinat des Platosomonodiamins. Dieses krystallisirt in rosafarbenen Blättchen von schwach metallischem Glanz, die optisch einaxig zu sein scheinen. Durch Ammoniak wird es theilweise in das Magnus'sche Salz verwandelt, zum Theil in Platosodiaminchlorid. Salpetersäure verwandelt das Salz leicht in eine farblose, krystallinische, unlösliche Substanz, die ein Nitrat von Chloroplatinodiamin zu sein scheint. Bringt man in eine siedende Lösung des Chloroplatinits des Platosomonodiamins eine gleichmolekulare Lösung von Platosodiaminchlorid, so erfolgt die Reaction: $[\text{Pt}(\text{NH}_3)_4\text{Cl}_2]_2\text{PtCl}_2 + \text{Pt}(\text{NH}_3)_4\text{Cl}_2 = \text{Pt}(\text{NH}_3)_4\text{Cl}_2 \cdot \text{PtCl}_2 + 2\text{Pt}(\text{NH}_3)_2\text{Cl}_2$. Man erhält beim Eindampfen des Filtrats vom grünen Magnus'schen Salze das Chlorid des Platosomonodiamins in farblosen, monoklinen Prismen von Seidenglanz, die in Wasser sehr leicht löslich, in Alkohol aber unlöslich sind. Durch Salzsäure wird es leicht in das Platososemidiaminchlorid verwandelt, durch Ammoniak in Platosodiaminchlorid; durch Natriumchloroplatinat entsteht ein Niederschlag des Platosomonodiaminchloroplatinats, welcher sich bei gewöhnlicher Temperatur leicht unter Bildung noch nicht genau ermittelter Producte zersetzt. *Bdl.*

H. G. Söderbaum. Zur Constitution der Platosoxalylverbindungen¹⁾. — Um die Isomerie der gelben und rothen Platosoxalsäureverbindungen zu erklären, hat Werner angenommen, daß 2 Mol. Constitutionswasser in den Salzen fest gebunden sei und sich nur unter Zersetzung der Molekel entfernen lasse. Söderbaum zeigt nun, daß dies bei dem Ammoniaksalz wohl der Fall ist, daß dagegen aus beiden Modificationen des Kaliumsalzes das Wasser sich austreiben läßt, ohne daß die wasserfreien Salze nun identisch werden; vielmehr giebt jedes Salz beim Lösen sofort die richtige Lösung wieder. Auch wird gezeigt, daß die beiden Säuremodificationen verschiedene Eigenschaften zeigen, indem nur die rothe Säure zur Bildung saurer Salze neigt, z. B. $\text{K}_2\text{H}[\text{Pt}(\text{C}_2\text{O}_4)_2]_3 + 6\text{H}_2\text{O}$. Söderbaum hält die rothe Säure für ein Polymeres der gelben Säure. *Bs.*

¹⁾ Zeitschr. anorg. Chem. 6, 45–48.

1



JUN 3 1937



JUN 3 1937

